

# MANUALUL INGINERULUI MECANIC

---

TEHNOLOGIA  
CONSTRUCȚIILOR DE MAȘINI

EDITURA TEHNICĂ



134.502 v. [1,2]

70

# MANUALUL INGINERULUI MECANIC

TEHNOLOGIA

CONSTRUCȚIILOR DE MAȘINI

Coordonatorul acestui volum:

prof. dr. doc. șt. A. NANU

Coordonarea generală a celor trei volume  
din „Manualul inginerului mecanic”:

prof. dr. doc. șt. GH. BUZDUGAN

membru corespondent al Academiei R.S.R.



EDITURA TEHNICĂ  
BUCUREȘTI



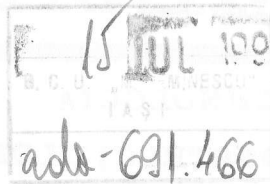


*Colectivul de autori:*

Ing. N. ACHIMESCU, conf. ing. GH. AILINCĂI, prof. dr. ing. A. ALBU, conf. dr. ing. L. BAGIU, ing. VL. BURGARD, prof. dr. ing. N. BUDIȘAN, dr. ing. L. DEACU, prof. emerit ing. AL. DOMȘA, ing. S. DOMȘA, conf. dr. ing. A. DREUCEAN, prof. dr. GH. FĂCSKO, conf. ing. V. KILLMANN, ing. Z. LANCĂRĂNEAN, prof. dr. ing. I. LĂZĂRESCU, conf. dr. ing. V. MANOVICIU, prof. dr. doc. șt. A. NANU, ing. D. NANU, ing. S. NANU, ing. I. NEGREA, conf. dr. ing. AL. NICHICI, ing. GH. PAULESCU, prof. dr. ing. GH. PETRICEANU, prof. dr. ing. C. PICOȘ, ing. H. POPA, ing. I. POPOVICI, conf. dr. ing. V. POPOVICI, prof. dr. ing. VL. POPOVICI, conf. ing. A. RĂILEANU, conf. dr. ing. ST. ROSINGER, conf. dr. ing. C. ȘARLĂU, prof. dr. ing. GH. SAVII, ing. M. ȘELARIU, ing. CL. ȘTEFĂNESCU, ing. C. ȘTEȚIU, dr. ing. G. ȘTEȚIU, conf. ing. GH. TACHE, prof. dr. ing. M. TRUȘULESCU

*Coordonarea secțiunilor:*

prof. dr. ing. I. LĂZĂRESCU  
conf. ing. V. KILLMANN  
prof. dr. doc. șt. A. NANU  
prof. dr. ing. C. PICOȘ  
prof. dr. ing. GH. SAVII



Lucrarea prezintă procedeele tehnologice utilizate în industria construcțiilor de mașini, insistându-se asupra tehnologiilor care au o eficiență tehnico-economică ridicată.

Lucrarea cuprinde: precizia de prelucrare a pieselor, calitatea suprafețelor, semifabricate, adaosuri de prelucrare, probleme tehnico-organizatorice, norme și normative, principii de automatizare a proceselor tehnologice în construcția de mașini, prelucrarea materialelor metalice prin turnare, prelucrarea materialelor metalice prin deformare plastică, prelucrarea tabelor, sudarea, tăierea și lipirea materialelor metalice, fabricarea pieselor din pulberi metalice, prelucrarea materialelor metalice prin așchiere, prelucrarea materialelor prin eroziune, tratamente termice și termochimice ale oțelurilor și fontelor, coroziunea și protecția materialelor metalice, prelucrarea materialelor plastice, proiectarea proceselor tehnologice de prelucrare, proiectarea și construcția dispozitivelor, studiul tehnico-economic al procedeeelor și proceselor tehnologice, proiectarea proceselor tehnologice de asamblare, echilibrarea în tehnologia asamblării, tehnologia îmbinărilor, mecanizarea și automatizarea operațiilor de asamblare, lucrările de încheiere în tehnologia asamblării, organizarea controlului tehnic în construcția de mașini, controlul calității materialelor metalice, mecanizarea și automatizarea controlului tehnic, controlul asamblărilor și al pieselor de formă complexă și protecția muncii în construcția de mașini.

\* \* \*

Acest volum constituie o parte din lucrarea în trei volume intitulată „Manualul inginerului mecanic”, pe care o publică Editura tehnică. Celelalte două volume vor cuprinde: unul „Materiale, rezistența materialelor și vibrații”, iar celălalt volum — „Organe de mașini și mecanisme”. Manualul inginerului mecanic în actuala ediție apare într-o elaborare nouă, la zi cu progresele actuale ale tehnicii în acest domeniu.

Lucrarea se adresează tuturor inginerilor mecanici, dar poate fi utilizată și de inginerii de alte specialități, de tehnicieni și de studenții din învățământul tehnic superior.

Redactori: ing. VASILE BUZATU și ing. MARIA-ANTOINETTE IONESCU  
Tehnoredactor: ELLY GORUN  
Coperta: ȘTEFAN PĂRĂU  
Execuția desenelor: ing. VIOREL VAȘNEA

*PREFAȚĂ*

Dezvoltarea într-un ritm deosebit de ridicat a industriei constructoare de mașini și aparate din țara noastră, sarcină trasată prin directivele Congresului al X-lea al P.C.R., impune introducerea și aplicarea pe scară largă a proceselor tehnologice moderne, care, în final, să determine o calitate ridicată a produselor și deci competitivitatea lor.

În acest sens, tovarășul Nicolae Ceaușescu, secretar general al Partidului Comunist Român, a arătat că: „Un rol esențial au în acest sens ridicarea nivelului tehnic al producției, îmbunătățirea continuă a tehnologiilor de fabricație și a calității produselor. În condițiile progresului tehnic de astăzi, când modernizarea produselor și a tehnologiilor are loc într-un ritm extrem de rapid, menținerea în fabricație a unor produse cu caracteristici învechite, dotarea economiei cu utilaje și instalații cu randament scăzut au efecte negative asupra dezvoltării economice a țării. De aceea se impune să acționăm energic și permanent pentru înnoirea produselor, re-proiectarea mașinilor și utilajelor, perfecționarea tehnologiilor de fabricație, îmbunătățirea substanțială a calității tuturor produselor”. \*

Realizarea acestor deziderate necesită un sistem informațional corespunzător, o documentație completă și o pregătire tehnico-științifică adecvată a fabricației în fiecare unitate productivă.

Pentru a veni în ajutorul constructorilor de mașini și aparate din țara noastră, lucrarea prezintă problemele fundamentale teoretice și practice ale tehnologiei construcțiilor de mașini, constituind primul manual ingineresc de acest fel.

Tematica lucrării este prezentată pe domenii fundamentale: proiectare, prelucrare, asamblare și control. Sînt prezentate succint principalele procedee utilizate în construcția de mașini și aparate, atât cele clasice cît și cele moderne (neconvenționale), insistîndu-se asupra acestora din urmă datorită faptului că au eficiență economică superioară, chiar dacă unele dintre ele nu au încă un cîmp larg de aplicare. De asemenea sînt prezentate și unele procedee care pe plan mondial se găsesc încă în fază de aplicare semiindustriale

\* Nicolae Ceaușescu. Raportul „Cu privire la dezvoltarea economică-socială a României în următorii ani și în perspectivă, la perfecționarea conducerii planificate a societății și dezvoltarea democrației socialiste, la creșterea rolului conducător al partidului în edificarea socialismului și comunismului, la activitatea internațională a partidului și statului”, prezentat la Conferința Națională a Partidului Comunist Român din 19–21 iulie 1972, Scinteia nr. 9214 din 20 iulie 1972, pag. 4.



sau numai în fază de încercări în laborator. Fiecare procedeu cuprinde teoria aferentă, utilajele necesare și tehnologia de lucru.

Prezentarea teoriei ce stă la baza procedurii tehnologice s-a considerat necesară deoarece cunoașterea legității fenomenelor și interdependența lor sub formă analitică, grafică etc. duce la cuprinderea în ansamblu a problemei, la fixarea corectă a domeniului de aplicare, a condițiilor de optimizare, automatizare și, în consecință, utilizarea sa cea mai rațională.

Prezentarea utilajelor necesare aplicării procedurii s-a făcut în majoritatea cazurilor prin scheme, fără a se intra în detalii descriptive, considerându-se că o astfel de descriere formează obiectul unor manuale specifice procedurilor.

Tehnologiei propriu-zise i s-a acordat cea mai mare atenție în scopul orientării inginerilor, pentru aplicarea optimă a procedurilor prezentate.

Conținutul lucrării a fost elaborat de un amplu colectiv de autori din toată țara, coroborând experiența cadrelor ingineresti din uzine, institute de cercetări și proiectări și cadre didactice din învățământul tehnic superior.

Lucrarea se adresează inginerilor mecanici din toate ramurile de activitate legate de construcția de mașini și aparate.

Prof. dr. doc. șt. AUREL NANU

## CUPRINSUL

Prefață .....	5	3.1.1. Influența calității suprafeței asupra rezistenței la uzură .....	87
1. PROBLEME GENERALE ALE TEHNOLOGIEI CONSTRUCȚIILOR DE MAȘINI (coordonare prof. dr. ing. Gh. Savii) .....	13	3.1.2. Influența calității suprafeței asupra rezistenței la oboseală .....	88
1.1. CONSIDERAȚII GENERALE (prof. dr. ing. Gh. Savii) .....	15	3.2. Influența procesului tehnologic asupra calității suprafețelor .....	88
1.1.1. Procesul de producție .....	15	3.2.1. Influența procesului tehnologic asupra gradului de netezime a suprafeței prelucrate .....	89
1.1.2. Definiții asupra procedurilor și proceselor tehnologice .....	16	3.2.2. Influența procesului tehnologic asupra proprietăților stratului superficial al suprafeței prelucrate .....	95
2. PRECIZIA DE PRELUCRARE A PIESELOR ÎN CONSTRUCȚIA DE MAȘINI (prof. dr. ing. I. Lăzărescu și prof. dr. ing. Gh. Savii) .....	18	3.3. Metode de control al calității suprafeței prelucrate .....	101
2.1. Condiții de precizie impuse produselor finite .....	18	4. SEMIFABRICATE, ADAOSURI DE PRELUCRARE (prof. dr. ing. Gh. Savii și conf. ing. Gh. Ailincăi) .....	105
2.1.1. Generalități .....	18	4.1. Semifabricatele obținute prin turnare .....	105
2.1.2. Abaterile dimensiunilor liniare .....	20	4.2. Semifabricate obținute prin deformare plastică .....	105
2.1.3. Abaterile dimensiunilor unghiulare .....	32	4.3. Alte metode de obținere a semifabricatelor .....	111
2.1.4. Abaterile de formă geometrică .....	34	4.4. Calculul adaosurilor de prelucrare .....	112
2.1.5. Abaterile de poziție .....	40	5. PROBLEME TEHNICO-ORGANIZATORICE, NORME ȘI NORMATIVE (prof. dr. ing. Gh. Savii) .....	119
2.2. Lanțuri de dimensiuni liniare paralele și lanțuri de dimensiuni unghiulare cu virf comun .....	43	5.1. Importanța normelor de timp pentru organizarea științifică a producției și a muncii .....	119
2.2.1. Generalități .....	43	5.2. Importanța dimensiunilor și a forme constructive asupra tehnologicității .....	119
2.2.2. Problema directă .....	44	5.3. Influența semifabricatului asupra economicității tehnologiei de prelucrare .....	122
2.2.3. Calculul de proiectare (problema indirectă) .....	54	5.4. Norme de producție și norme de timp .....	122
2.2.4. Corelația dintre proiectare și tehnologie .....	54	5.5. Metode de determinare a normelor de timp .....	125
2.3. Alte tipuri de dimensiuni .....	55	5.6. Normarea tehnică la mașini-unelte .....	133
2.4. Cauzele apariției abaterilor la prelucrarea pe mașini-unelte .....	66	5.7. Normative de producție .....	138
2.4.1. Generalități .....	66	6. PRINCIPII DE AUTOMATIZARE A PROCESURILOR TEHNOLOGICE ÎN CONSTRUCȚIA DE MAȘINI (prof. dr. ing. N. Budișan) .....	140
2.4.2. Influența formei și dimensiunii piesei de prelucrat și a semifabricatului folosit .....	66	6.1. Obiectul automatizării. Terminologie .....	140
2.4.3. Erorile de bazare .....	66	6.2. Reprezentarea convențională a sistemelor automate și a elementelor componente .....	140
2.4.4. Starea mașinii-unelte .....	67	6.2.1. Reprezentarea elementelor și semnalelor .....	140
2.4.5. Influența reglării mașinii-unelte .....	68	6.2.2. Reprezentarea sistemelor automate .....	140
2.4.6. Rigiditatea sistemului elastic mașină-unelte-sculă-piesă .....	69	6.3. Structura și principiile de funcționare a sistemelor automate .....	142
2.4.7. Vibrațiile care apar în procesul de așchiere .....	74	6.3.1. Sisteme automate în circuit deschis .....	142
2.4.8. Influența factorilor termici .....	82	6.3.2. Sisteme automate în circuit închis .....	157
2.4.9. Influența uzurii sculei .....	85	Bibliografie .....	161
2.4.10. Influența procedurii tehnologice .....	86		
3. CALITATEA SUPRAFEȚELOR (prof. dr. ing. Gh. Savii) .....	87		
3.1. Importanța calității suprafețelor componente ale unei mașini .....	87		



## II. PROCEDEE ȘI PROCESE TEHNOLOGICE DE PRELUCRARE (coordonare prof. dr. doc. șt. A. Nanu) .....

### 7. PRELUCRAREA MATERIALELOR METALICE PRIN TURNARE (ing. Cl. Ștefănescu).....

7.1. Construcția pieselor turnate .....	165
7.1.1. Construcția pieselor turnate ținând seamă de metoda de formare ....	167
7.1.2. Construcția pieselor turnate ținând seamă de condițiile de solidificare ..	174
7.1.3. Construcția pieselor turnate ținând seamă de natura aliajului turnat....	182
7.2. Precizia dimensiunilor pieselor turnate și adaosurile de prelucrare .....	185
7.2.1. Precizia pieselor turnate din fontă ..	189
7.2.2. Precizia pieselor turnate din oțel..	189
7.2.3. Precizia pieselor turnate din aliaje neferoase .....	190
7.2.4. Precizia pieselor turnate în forme metalice (cochile) .....	215
7.2.5. Precizia pieselor turnate sub presiune .....	215
<b>Bibliografie</b> .....	215

### 8. PRELUCRAREA MATERIALELOR METALICE PRIN DEFORMARE PLASTICĂ (prof. dr. doc. șt. A. Nanu și ing. I. Popovici) .....

8.1. Definiții și clasificare .....	216
8.2. Considerații asupra deformării plastice a materialelor metalice .....	216
8.2.1. Mecanismul deformării plastice ..	216
8.2.2. Plasticitatea și rezistența la deformare a materialelor metalice.....	221
8.3. Materiale metalice prelucrabile prin deformare plastică .....	221
8.4. Mașini universale pentru deformare plastică .....	222
8.5. Forjarea de profilare a materialelor metalice .....	222
8.5.1. Forjarea radială .....	222
8.5.2. Forjarea roților dințate .....	229
8.5.3. Forjarea prin laminare .....	229
8.6. Matrișarea pieselor din materiale metalice .....	233
8.6.1. Matrișarea pe mașini universale ..	233
8.6.2. Matrișarea pe mașini orizontale ..	249
8.6.3. Matrișarea prin extrudare a materialelor metalice .....	263
8.6.4. Matrișarea cu viteze mari de deformare .....	275
<b>Bibliografie</b> .....	277

### 9. PRELUCRAREA TABLELOR (conf. dr. ing. St. Rosinger) .....

9.1. Definirea și clasificarea operațiilor de prelucrare la rece a tablelor.....	278
9.2. Tăierea tablelor cu foarfeci și ștanțe..	278
9.2.1. Procesul tăierii tablelor .....	278
9.2.2. Calculul forțelor necesare la operațiile de tăiere și calibrare prin tăiere a tablelor .....	283
9.2.3. Condiții privind forma și precizia pieselor obținute prin operații de tăiere .....	285
9.3. Croirea semifabricatelor .....	289
9.4. Deformarea plastică a tablelor.....	291
9.4.1. Probleme specifice la prelucrarea tablelor .....	291
9.4.2. Îndoirea .....	292
9.4.3. Ambutisarea .....	296
9.4.4. Fasonarea .....	312
9.4.5. Deformări cu puteri și viteze mari .....	318
9.5. Construcții de scule pentru prelucrarea tablelor .....	321
9.5.1. Foarfeci .....	321
9.5.2. Valturi de îndreptat și curbat tablă .....	321
9.5.3. Ștanțe .....	323
9.6. Mecanizarea și automatizarea operațiilor de ștanțare .....	341
9.6.1. Alimentarea ștanțelor cu semifabricate .....	341
9.6.2. Îndepărtarea pieselor și deșeurilor .....	343
9.6.3. Automatizarea comenzii și controlului .....	344
<b>Bibliografie</b> .....	346

### 10. SUDAREA, TĂIEREA ȘI LIPIREA MATERIALELOR METALICE (prof. dr. ing. Vl. Popovici și conf. dr. ing. C. Șarlău) .....

10.1. Definirea și clasificarea procedeelelor de sudare .....	347
10.2. Surse de energie folosite la sudare și cimpul termic .....	347
10.2.1. Arcul electric ca sursă de căldură la sudare .....	349
10.2.2. Flacăra oxiacetilenică pentru sudare .....	350
10.2.3. Analiza comparativă a arcului electric și flăcării oxiacetilenice ..	352
10.2.4. Cimpul termic la sudarea prin topire .....	352
10.2.5. Efectul Joule-Lenz sursă de căldură la sudare .....	354
10.3. Materiale folosite la sudarea prin topire .....	355

B.C.U. „M. EMINESCU” IASI

### 12. PRELUCRAREA MATERIALELOR METALICE PRIN AȘCHIERE (coordonare prof. dr. ing. I. Lăzărescu) .....

12.1. Elemente de teoria așchierii metalelor și construcția sculelor așchietoare....	438
12.1.1. Parametrii procesului de așchiere și ai sculei așchietoare (prof. dr. ing. I. Lăzărescu) .....	438
12.1.2. Forma așchiei .....	447
12.1.3. Comprimarea plastică a așchiei ..	447
12.1.4. Depunerile pe tăiș .....	448
12.1.5. Fenomene sub linia de așchiere ..	448
12.1.6. Dinamica procesului de așchiere (prof. dr. ing. I. Lăzărescu) ..	449
12.1.7. Precizia suprafeței prelucrate prin așchiere (ing. C. Stețiu).....	452
12.1.8. Termodinamica așchierii (prof. dr. ing. I. Lăzărescu) ..	454
12.1.9. Fluide de așchiere (prof. dr. ing. I. Lăzărescu) .....	454
12.1.10. Uzura sculelor așchietoare (conf. ing. A. Dreucan) ..	455
12.1.11. Viteza de așchiere (prof. dr. ing. I. Lăzărescu) .....	458
12.1.12. Regimul de așchiere (prof. dr. ing. I. Lăzărescu) .....	467
12.1.13. Materialele pentru scule (conf. dr. ing. A. Dreucan) ..	468
12.1.14. Economia de materiale în construcția de scule (prof. dr. ing. I. Lăzărescu) .....	469
12.2. Metode de prelucrare prin așchiere....	470
12.2.1. Strunjirea (prof. dr. ing. I. Lăzărescu, prof. dr. ing. A. Albu și dr. ing. L. Deacu) .....	470
12.2.2. Rabotarea și mortezarea (prof. dr. ing. I. Lăzărescu, prof. dr. ing. A. Albu și dr. ing. L. Deacu).....	514
12.2.3. Broșarea (prof. dr. ing. I. Lăzărescu, prof. dr. ing. A. Albu și dr. ing. L. Deacu) .....	521
12.2.4. Pilirea (prof. dr. ing. I. Lăzărescu) .....	530
12.2.5. Răzuirea (prof. dr. ing. I. Lăzărescu) .....	531
12.2.6. Ferestruierea (prof. dr. ing. I. Lăzărescu) .....	531
12.2.7. Frezarea (prof. dr. ing. I. Lăzărescu, prof. dr. ing. A. Albu și dr. ing. L. Deacu) ..	532
12.2.8. Burghierea, lărgirea, adâncirea, lamarea și alezarea (prof. dr. ing. I. Lăzărescu, prof. dr. ing. A. Albu și dr. ing. L. Deacu) .....	569
12.2.9. Tarodarea și prelucrarea cu filiere (prof. dr. ing. I. Lăzărescu) .....	590

10.3.1. Materiale folosite la sudarea electrică cu arc .....	355
10.3.2. Materiale folosite la sudarea cu flacăra de gaze .....	362
10.4. Sudabilitatea metalului de bază.....	364
10.5. Procedee de sudare prin topire .....	365
10.5.1. Sudarea manuală cu arc .....	365
10.5.2. Sudarea automată și semiautomată sub flux .....	372
10.5.3. Sudarea în mediu de gaze protectoare .....	380
10.5.4. Sudarea electrică în baie de zgură topită .....	386
10.5.5. Sudarea cu flacăra oxiacetilenică ..	388
10.5.6. Sudarea cu termit .....	392
10.5.7. Sudarea prin procedee fizice (speciale).....	392
10.6. Procedee de sudare prin presiune....	393
10.6.1. Sudarea electrică cap la cap prin presiune .....	393
10.6.2. Sudarea electrică în puncte prin presiune .....	396
10.6.3. Sudarea electrică în linie prin presiune .....	398
10.6.4. Sudarea prin procedee speciale ..	400
10.7. Tăierea termică a metalelor .....	405
10.7.1. Tăierea cu oxigen .....	405
10.7.2. Tăierea cu arc electric .....	407
10.8. Lipirea materialelor metalice .....	409
10.8.1. Materiale folosite la lipire ....	409
10.8.2. Tehnologia lipirii .....	412
<b>Bibliografie</b> .....	415
11. FABRICAREA PIESELOR DIN PULBERI METALICE (prof. emerit. ing. Al. Domșa, ing. S. Domșa, ing. Z. Lăncrăngean) .....	416
11.1. Considerații generale .....	416
11.2. Fenomene de bază în metalurgia pulberilor .....	417
11.3. Procesul tehnologic de fabricare a unei piese din pulberi metalice .....	418
11.3.1. Obținerea pulberilor sau a amestecurilor de pulberi .....	418
11.3.2. Pregătirea pulberilor pentru formare .....	419
11.3.3. Formarea .....	419
11.3.4. Sinterizarea semifabricatelor presate .....	427
11.3.5. Operații suplimentare ulterioare ..	429
11.3.6. Controlul produselor sinterizate ..	431
11.4. Produse ale metalurgiei pulberilor....	431
11.4.1. Materiale antifricțiune poroase ..	431
11.4.2. Piese de rezistență în construcția de mașini .....	433
11.4.3. Filtre metalice .....	434
11.4.4. Materiale de fricțiune .....	435
11.4.5. Metale refractare .....	436
11.4.6. Aliaje dure .....	436
<b>Bibliografie</b> .....	437



12.2.10. Danturarea roților cilindrice (prof. dr. ing. I. Lăzărescu, prof. dr. ing. A. Albu și dr. ing. L. Deacu)	598
12.2.11. Șeveruirea (prof. dr. ing. I. Lăzărescu)	618
12.2.12. Danturarea roților melcate și a melcilor (prof. dr. ing. I. Lăzărescu, prof. dr. ing. A. Albu și dr. ing. L. Deacu)	620
12.2.13. Danturarea roților conice cu dinți drepiți și înclinați (prof. dr. ing. I. Lăzărescu)	625
12.2.14. Danturarea roților conice cu dinți curbilini (prof. dr. ing. I. Lăzărescu)	627
12.2.15. Prelucrarea profilelor neevolventice prin metoda rulării (prof. dr. ing. I. Lăzărescu)	633
12.2.16. Rectificarea (prof. dr. ing. I. Lăzărescu, dr. ing. L. Deacu, dr. ing. G. Stețiu și ing. I. Negrea)	633
12.2.17. Prelucrarea fină prin aşchiere (prof. dr. ing. I. Lăzărescu și dr. ing. G. Stețiu)	647
<i>Bibliografie</i>	650
<b>13. PRELUCRAREA MATERIALEOR PRIN EROZIUNE</b> (coordonare prof. dr. doc. șt. A. Nanu)	653
13.1. Definirea, clasificarea și caracteristicile generale ale metodelor de prelucrare dimensională prin eroziune (prof. dr. doc. șt. A. Nanu și conf. dr. ing. Al. Nichici)	653
13.2. Prelucrarea dimensională prin eroziune electrică (prof. dr. doc. șt. A. Nanu, ing. H. Popa și conf. dr. ing. Al. Nichici)	657
13.2.1. Principii fizice și tehnologice	657
13.2.2. Utilaje pentru prelucrarea prin eroziune electrică	660
13.2.3. Procese tehnologice de prelucrare caracteristice	676
13.2.4. Elemente de proiectare a proceselor tehnologice	681
13.3. Prelucrarea dimensională prin eroziune cu plasmă (prof. dr. doc. șt. A. Nanu, ing. D. Nanu și ing. N. Achimescu)	688
13.3.1. Proprietățile plamei și fenomene caracteristice	688
13.3.2. Utilaje pentru prelucrarea cu plasmă	689
13.3.3. Utilizarea plamei în prelucrarea dimensională	693
13.4. Prelucrarea prin eroziune electrochimică (prof. dr. doc. șt. A. Nanu și conf. dr. ing. V. Popovici)	697
13.4.1. Considerații generale	697
13.4.2. Principii de bază ale prelucrării electrochimice	705
13.4.3. Procedee de prelucrare prin eroziune electrochimică cu depasivare naturală	707
13.4.4. Prelucrarea dimensională electrochimică cu depasivare hidrodinamică	715
13.4.5. Prelucrarea prin eroziune electrochimică abrazivă	722
13.5. Prelucrarea prin eroziune complexă electrică și electrochimică (prof. dr. doc. șt. A. Nanu și conf. dr. ing. V. Popovici)	722
13.5.1. Considerații generale	722
13.5.2. Așchuirea prin eroziune complexă	730
13.5.3. Debitarea prin eroziune complexă	730
13.6. Prelucrarea prin eroziune chimică (prof. dr. doc. șt. A. Nanu și conf. dr. ing. V. Popovici)	734
13.7. Prelucrarea prin eroziune abrazivocavitatională în câmp ultrasonic (prof. dr. doc. șt. A. Nanu, ing. S. Nanu și ing. Gh. Păulescu)	736
13.7.1. Proprietățile undelor ultrasonice	736
13.7.2. Producerea undelor ultrasonice	739
13.7.3. Caracteristicile prelucrării prin eroziune abrazivocavitatională în câmp ultrasonic	739
13.7.4. Procesul tehnologic de prelucrare	756
13.8. Prelucrarea prin eroziune cu radiații (prof. dr. doc. șt. A. Nanu și ing. N. Achimescu)	757
13.8.1. Prelucrarea cu fascicul de electroni	758
13.8.2. Prelucrarea cu fascicul de fotoni	765
<i>Bibliografie</i>	771
<b>14. TRATAMENTE TERMICE ȘI TERMOCIMICE ALE OTELURILOR ȘI FONTELOR</b> (prof. dr. doc. șt. A. Nanu și prof. dr. ing. M. Trușculescu)	773
14.1. Considerații generale	773
14.1.1. Diagrame la răcire izotermă și la răcire neizotermă (continuă) a austenitei	773
14.2. Procedee și utilaje pentru tratamente termice	780
14.2.1. Recoacerea aliajelor feroase	780
14.2.2. Călire și revenirea aliajelor feroase	783
14.2.3. Călire superficială a aliajelor feroase	791
14.2.4. Tratamentele termochimice aplicate oțelurilor și fontelor	795
14.2.5. Utilaje pentru încălzirea pieselor supuse tratamentului termic	797
14.2.6. Utilaje pentru răcirea pieselor supuse tratamentului termic	804
<i>Bibliografie</i>	808
<b>15. COROZIUNEA ȘI PROTECȚIA MATERIALELOR METALICE</b> (prof. dr. Gh. Facsko)	809
15.1. Considerații generale	809
15.2. Considerații teoretice asupra coroziunii	809

15.2.1. Coroziunea în gaze	809
15.2.2. Coroziunea în soluții apoase cu electrolit	812
15.3. Metode de protecție anticorrosivă	818
15.3.1. Protecția metalelor împotriva oxidării la temperatură înaltă	818
15.3.2. Protecția metalelor împotriva coroziunii în soluții apoase de electrolit	819
<i>Bibliografie</i>	824
<b>16. PRELUCRAREA MATERIALELOR PLASTICE</b> (conf. dr. ing. V. Manovicu)	825
16.1. Considerații generale	825
16.1.1. Nomenclatura compuşilor macromoleculari	825
16.1.2. Clasificarea materialelor de tip polimer	826
16.2. Prelucrarea dimensională a materialelor plastice	826
16.2.1. Prelucrarea termoplastelor	826
16.2.2. Prelucrarea materialelor plastice termoreactive (termorigide)	841
16.2.3. Materiale plastice armate	843
16.3. Acoperiri cu materiale plastice	845
16.4. Polimeri cu utilizări în industria constructoare de mașini	845
<i>Bibliografie</i>	846
<b>III. PRINCIPII DE PROIECTARE A PROCESELOR TEHNOLOGICE DE PRELUCRARE</b> (coordonare prof. dr. ing. Gh. Savii)	847
<b>17. PROIECTAREA PROCESELOR TEHNOLOGICE</b> (prof. dr. ing. Gh. Savii)	849
17.1. Probleme cu caracter general la proiectarea unui proces tehnologic	849
17.1.1. Proiectul de execuție al unui produs	849
17.1.2. Alegerea utilajului necesar prelucrării	850
17.1.3. Întocmirea documentației tehnologice	853
17.1.4. Tipizarea proceselor tehnologice	855
17.2. Influența volumului producției asupra proiectării procesului tehnologic	860
17.2.1. Proiectarea proceselor tehnologice pentru producția de unicat și de serie mică	860
17.2.2. Proiectarea proceselor tehnologice pentru producția de serie	860
17.2.3. Proiectarea proceselor tehnologice pentru producția de masă	861
17.3. Proiectarea procesului tehnologic pentru tehnologia de grup	861
17.3.1. Lucrări pregătitoare pentru aplicarea tehnologiei de grup	861
17.3.2. Elaborarea proceselor tehnologice de grup	865
17.4. Proiectarea procesului tehnologic pentru prelucrări pe mașini-unelte cu comandă numerică	865
17.4.1. Considerații generale	865
17.4.2. Întocmirea programului de lucru	868
17.5. Proiectarea procesului tehnologic pentru prelucrări pe mașini-unelte automate	873
17.5.1. Proiectarea schemei de prelucrare	873
17.5.2. Calculul de reglare și al regimului de aşchiere	877
17.5.3. Proiectarea camelor de comandă	878
17.6. Proiectarea proceselor tehnologice de prelucrare pe strunguri automate multiax	878
17.7. Proiectarea proceselor tehnologice pentru prelucrarea pe strunguri verticale multipoziționale	892
17.8. Proiectarea proceselor de prelucrare pentru linii tehnologice	894
<b>18. PROIECTAREA ȘI CONSTRUCȚIA DISPOZITIVELOR</b> (conf. ing. Gh. Tache și ing. M. Șelariu)	899
18.1. Introducere	899
18.1.1. Definirea și clasificarea dispozitivelor	899
18.1.2. Condiții impuse dispozitivelor	901
18.2. Bazarea obiectelor de lucru	902
18.3. Elementele și mecanismele dispozitivelor	905
18.3.1. Abaterile de instalare ale obiectivelor de lucru în dispozitiv	906
18.3.2. Elemente și mecanisme de orientare	909
18.3.3. Elemente și mecanisme de fixare	949
18.4. Determinarea eficienței economice a utilizării dispozitivelor	963
18.4.1. Determinarea programului anual de producție minim și a celui critic	964
18.4.2. Determinarea efectului economic datorat utilizării dispozitivelor	965
18.4.3. Determinarea cheltuielilor anuale pentru dispozitive	966
<b>19. STUDIUL TEHNICO-ECONOMIC AL PROCEDEELOR ȘI PROCESELOR TEHNOLOGICE</b> (prof. dr. ing. Gh. Savii)	969
19.1. Influența procedeele tehnologice asupra economicității fabricației	969
19.1.1. Unele considerații generale	969
19.1.2. Costul materialelor	970
19.1.3. Costul manoperei	971
19.1.4. Cota corespunzătoare cheltuielilor de regie	971
19.1.5. Cota de amortisment pentru mașini-unelte	972
19.1.6. Cota corespunzătoare cheltuielilor cu construcția dispozitivelor	973
19.1.7. Cota corespunzătoare cheltuielilor cu construcția sculelor	974
19.2. Alegerea variantei optime a procesului tehnologic de prelucrare	975
19.3. Determinarea loturilor optime de prelucrare	978
19.4. Determinarea rentabilității înlocuirii mașinilor-unelte vechi cu altele noi	982



19.5. Productivitatea muncii .....	984	25. LUCRĂRILE DE ÎNCHEIERE ÎN TEHNOLOGIA ASAMBLĂRII (conf. ing. V. Killmann și prof. dr. ing. Gh. Petriceanu) .....	1038
19.5.1. Factorii care determină creșterea productivității muncii ..	984	25.1. Controlul tehnic și procesul tehnologic de asamblare .....	1038
19.5.2. Factorii care determină creșterea capacității de prelucrare pe mașini-unelte .....	986	25.2. Rodajul preliminar al produsului asamblat .....	1038
19.5.3. Posibilități de reducere a timpului de prelucrare .....	986	25.3. Documentele produselor industriei constructoare de mașini .....	1040
19.5.4. Creșterea productivității muncii prin deservirea mai multor mașini .....	991	25.4. Urmărirea în producție a produselor industriei constructoare de mașini .....	1041
Bibliografie .....	994	Bibliografie .....	1042
IV. TEHNOLOGIA ASAMBLĂRII MAȘINILOR (coordonare conf. ing. V. Killmann) .....	995	V. CONTROLUL TEHNIC ÎN CONSTRUCȚIA DE MAȘINI (coordonare prof. dr. ing. C. Picoș) .....	1043
20. PROIECTAREA PROCESELOR TEHNOLOGICE DE ASAMBLARE (conf. ing. V. Killmann și prof. dr. ing. Gh. Petriceanu) .....	997	26. ORGANIZAREA CONTROLULUI (conf. ing. A. Răileanu) .....	1045
20.1. Elementele componente ale procesului tehnologic de asamblare .....	997	26.1. Forme tehnico-organizatorice de control .....	1045
20.1.1. Noțiuni privind proiectarea proceselor tehnologice de asamblare .....	999	26.1.1. Controlul pasiv .....	1045
20.1.2. Procedee de asamblare .....	1000	26.1.2. Controlul activ .....	1046
20.1.3. Normarea tehnică a operațiilor de asamblare .....	1003	26.2. Forme organizatorice de control .....	1046
20.1.4. Determinarea numărului locurilor de muncă .....	1003	27. CONTROLUL CALITĂȚII MATERIALELOR METALICE (conf. ing. Gh. Ailincăi) .....	1048
21. ECHILIBRAREA ÎN TEHNOLOGIA ASAMBLĂRII (conf. ing. V. Killmann și prof. dr. ing. Gh. Petriceanu) .....	1005	27.1. Analiza defectelor interne ale pieselor .....	1048
22. TEHNOLOGIA ÎMBINĂRILOR (conf. ing. V. Killmann și prof. dr. ing. Gh. Petriceanu) .....	1009	28. MECANIZAREA ȘI AUTOMATIZAREA CONTROLULUI TEHNIC (ing. Vl. Burgard) .....	1051
23. PROBLEME DEOSEBITE ÎN TEHNOLOGIA ASAMBLĂRII (conf. ing. V. Killmann și prof. dr. ing. Gh. Petriceanu) .....	1017	28.1. Considerații generale .....	1051
24. MECANIZAREA ȘI AUTOMATIZAREA OPERAȚIILOR DE ASAMBLARE (conf. ing. V. Killmann și prof. dr. ing. Gh. Petriceanu) .....	1033	28.2. Metode de control automat al dimensiunilor, formelor și poziției reciproce a suprafețelor .....	1052
24.1. Considerații generale .....	1033	28.3. Automate de control pasiv .....	1053
24.2. Utilaje specifice folosite în tehnologia asamblării .....	1034	28.4. Automate de control activ .....	1056
		29. CONTROLUL ASAMBLĂRILOR ȘI AL PIESELOR DE FORMĂ COMPLEXĂ (conf. ing. A. Răileanu și conf. dr. ing. L. Bagiu) .....	1059
		29.1. Controlul asamblărilor cu pene și caneluri .....	1059
		29.2. Controlul filetelor .....	1061
		29.3. Controlul angrenajelor .....	1062
		29.4. Controlul rulmenților .....	1064
		Bibliografie .....	1072

## I. PROBLEME GENERALE ALE TEHNOLOGIEI CONSTRUCȚIILOR DE MAȘINI



## 1. CONSIDERAȚII GENERALE

### 1.1. PROCESUL DE PRODUCȚIE

Procesul de producție al unei întreprinderi constructoare de mașini cuprinde întreaga activitate desfășurată cu scopul de a realiza, prin transformarea materiei prime și a materialelor, produse finite. Această activitate se desfășoară într-un cadru organizat corespunzător particularităților constructive, condițiilor și procedeele folosite pentru realizarea produsului. Organizarea procesului de producție, determinată de felul materialelor care se prelucerează și de procedeele tehnologice, trebuie să asigure realizarea în cele mai bune condiții a produsului finit respectiv. Activitatea de producție se desfășoară în cadrul sectoarelor, secțiilor, atelierelor, ca subunități ale întreprinderii.

După felul cum participă la realizarea produsului finit, procesele de producție pot fi clasificate în procese de bază, auxiliare, de deservire și anexe.

*Procesele de bază* cuprind activitățile prin care materiile prime și materialele suferă modificări ale formei, dimensiunilor, proprietăților, poziției relative a suprafețelor și a aspectului lor, transformându-se în produse finite. La întreprinderile constructoare de mașini, în procese de bază sînt cuprinse procesele de turnare, forjare, presare, sudare, prelucrare pe mașini unelte, ajustare, asamblare, încercare, finisare etc.

*Procesele auxiliare* concură la realizarea procesului de bază. Acestea cuprind procesele de producere a energiei electrice, aburului, aerului comprimat etc., întreținerea mașinilor-unelte și a utilajelor, construcția și întreținerea sculelor, dispozitivelor și verificatoarelor etc.

*Procesele de deservire* cuprind acțiuni care se referă atât la procesele de bază, cît și la cele auxiliare și constau în transportul diferitelor forme de energie, al materialelor, al semifabricatelor, al S.D.V.-urilor la locul de muncă etc.

Un factor important care determină desfășurarea procesului de producție și a proceselor tehnologice este volumul producției de același fel care urmează a se executa. După această caracteristică a producției se disting producția de unicate, de serie și de masă.

*Producția de unicate* sau individuală este caracterizată prin aceea că se fabrică produsul într-un singur exemplar sau într-un număr redus de exemplare, iar la locurile de muncă se execută o varietate mare de operații, fără ca ele să se mai repete, sau se repetă la intervale neregulate. În această categorie intră producția mașinilor speciale mari, construcția prototipurilor etc.

*Producția de serie* prezintă caracteristica de fabricație a unui număr mai mare de produse. După cum seria este formată dintr-un număr mai mic sau mai mare de pro-

duse, se poate clasifica în producția de serie mică, mijlocie și mare. Producția de serie mică prezintă caracteristica apropiată de aceea a producției de unicat. Producția de serie mare se apropie de caracteristicile producției de masă. Din punct de vedere tehnologic, la această formă de producție, la majoritatea locurilor de muncă se execută, după anumite perioade de timp, aceleași operații asupra loturilor de piese, prin lot de piese înțelegându-se cantitatea de piese care intră în același timp în lucru. Producția de serie se întâlnește la fabricarea mașinilor-unelte, compresoarelor, pompelor, locomotivelor etc.

*Producția de masă* se caracterizează prin aceea că la locul de muncă se execută în mod permanent aceeași operație. Pentru realizarea unei înalte productivități, operațiile se execută pe mașini-unelte de mare productivitate, mașini-unelte speciale, mașini-unelte automate sau linii automate. Acest tip de producție se întâlnește la fabricarea unor motoare electrice, a autoturismelor, a rulmenților etc.

Considerată din punct de vedere al elementelor componente, se constată că la aceeași mașină, produsă chiar într-un număr mic de exemplare, se întâlnesc piese care sînt fabricate în producție de masă, altele în producție de serie.

## 1.2. PROCEDEE ȘI PROCESE TEHNOLOGICE

Activitatea productivă prin care se realizează modificări ale proprietăților, dimensiunilor și ale formei materiei prime și materialelor, precum și aceea de asamblare a elementelor componente ale unei mașini, constituie *procesul tehnologic*.

În vederea obținerii unui produs conform cu documentația tehnică, materia primă sau semifabricatele sînt supuse unor acțiuni de prelucrare, acțiuni prin care se urmărește asigurarea dimensiunilor, formei și proprietăților corespunzătoare, prevăzute în documentație. Prelucrarea se realizează prin aplicarea unor energii mecanice, termice, electrice, chimice etc., caracteristice *procedeelor tehnologice* aplicate.

Este cunoscut că același produs finit se poate obține prin aplicarea unor diferite procedee tehnologice. Alegerea procedului tehnologic este determinată de caracteristicile constructive, proprietățile fizico-mecanice, condițiile de precizie și calitate a prelucrării etc.

La aplicarea unui anumit procedeu tehnologic se folosește un anumit utilaj, un anumit număr și succesiune a operațiilor, ceea ce face ca procesul tehnologic să difere de la un procedeu la altul.

Stabilirea procedului tehnologic ce trebuie aplicat se face avîndu-se în vedere utilizarea unei tehnologii înaintate, pentru a se asigura o prelucrare optimă din punct de vedere tehnic și economic. Analiza tehnico-economică a procedului de prelucrare se face pentru fiecare operație, stabilindu-se mașina-uneltă, dispozitivele și sculele necesare. Pe baza acestor studii se întocmește documentația tehnologică pentru varianta admisă.

Pentru întocmirea documentației tehnologice, procesul tehnologic se descompune în subdiviziuni sau elemente componente. Cea mai importantă subdiviziune este *operația* prin care se arată în ce condiții se efectuează prelucrarea. Operația corespunde unei prelucrări executate de același muncitor, la același loc de muncă, cu același utilaj, cu aceeași sculă, cu același regim de lucru. Operația constituie elementul de bază la elaborarea proiectelor pentru procedeele și procesele tehnologice, pentru normarea tehnică a muncii și pentru planificarea producției.

Deoarece de multe ori la prelucrare se impune schimbarea fixării piesei sau a regimului de lucru, apare o subdiviziune a operației în *faze de lucru*. La rîndul său, faza se poate subdivide în *tregeri*, cînd se prelucurează aceeași suprafață în aceleași condiții, adaosul de prelucrare fiind îndepărtat prin una, două sau mai multe treceri. Trecerea este deci partea din faza de prelucrare care se execută la o singură deplasare a sculei pe suprafața de prelucrat.

Pentru studiul muncii este necesar a se cunoaște contribuția muncitorului la executarea unei faze sau operații. Totalitatea acțiunilor manuale efectuate de muncitor pentru executarea unei operații formează *mînuirile*. Mînuirea poate fi simplă sau complexă. La rîndul ei, mînuirea se poate descompune în *mişcări*, care reprezintă deplasările efectuate de un organ de lucru și care pot fi măsurate în timp. Studiul mînuirilor și mișcărilor sînt elemente principale pentru studiile ergonomice.



## 2. PRECIZIA DE PRELUCRARE A PIESELOR ÎN CONSTRUCȚIA DE MAȘINI

### 2.1. CONDIȚII DE PRECIZIE IMPUSE PRODUSELOR FINITE

#### 2.1.1. GENERALITĂȚI

Calitatea unui produs finit \*) depinde de un complex de valori, printre care se menționează parametrii geometrici (liniari sau unghiulari) și starea suprafețelor (rugozitate, duritate etc. sau prelucrare, tratament etc.). Calitatea produsului finit, din punct de vedere geometric, este determinată de *macro-geometrie* (precizia dimensională, precizia formei geometrice, precizia poziției diferitelor elemente geometrice, ondulații) și *micro-geometrie* (rugozitatea suprafeței).

Oricât de exact se va căuta să se execute sau să se măsoare oricare din parametrii enumerați, intervin întotdeauna erori de execuție sau de măsurare. Iată de ce proiectantul este necesar să prescrie, în *desenul produsului finit* \*\*, limitele permise diferiților parametri, astfel încât să se asigure calitatea respectiv funcționarea produsului finit. Pentru oricare parametru fizic, limita, care corespunde valorii maxime permise, se va numi *limită maximă*, iar limita, care corespunde valorii minime permise — *limită minimă*. Diferența dintre limita maximă și limita minimă se numește *toleranță*; de exemplu pentru dimensiuni liniare,

$$T_D = D_{max} - D_{min} \quad (2.1)$$

unde  $T_D$  este toleranța dimensiunii  $D$ , iar  $D_{max}, D_{min}$ , sînt limitele.

Deoarece (prima axiomă a teoriei toleranțelor [14])

$$D_{max} \geq D_{min} \quad (2.2)$$

rezultă că

$$D_{max} - D_{min} \geq 0,$$

adică

$$T_D \geq 0 \quad (2.3)$$

\*) Prin produs finit se înțelege un produs în starea lui de utilizare, care poate fi: o piesă gata pentru montaj sau pentru punerea în funcțiune, o piesă pentru transformări ulterioare (un produs de turnătorie sau de forjă).

\*\*) Un desen al produsului finit este acela care definește complet un produs în starea lui de utilizare, condițiile necesare pentru funcționarea produsului fiind exprimate direct pe desen (după ISO/129). În STAS 6857-70 se numește *desen de execuție*.

sau, cu alte cuvinte, toleranța este o mărime reală (cele două limite  $D_{max}$  și  $D_{min}$  fiind reale) și nenegativă.

Pentru a corespunde condițiilor prescrise de proiectant, *valoarea efectivă*  $E$  (adică valoarea obținută prin măsurarea dimensiunii realizate), pentru oricare dintre para-

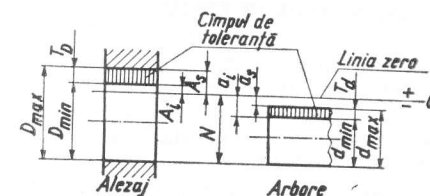


Fig. 2.1. Parametrii unei asamblări

metrii considerați, trebuie să fie cuprinsă între cele două limite. În cazul dimensiunilor liniare,

$$D_{max} \geq E_D \geq D_{min}.$$

Cîmpul în care poate fi cuprinsă dimensiunea efectivă se numește *cîmp de toleranță* (fig. 2.1).

În vederea definirii valorii unui parametru fizic oarecare, se obișnuiește să se considere *valoarea nominală*  $N$  a acestuia, adică valoarea luată ca bază pentru a caracteriza parametrul respectiv, independent de diferențele admise față de această valoare.

Diferențele algebrice dintre limite și dimensiunea nominală se numesc *abateri*. În cazul dimensiunilor liniare:

— abaterea superioară ( $A_s$  sau  $a_s$ ) \*)

$$A_s = D_{max} - N; \quad (2.4)$$

— abaterea inferioară ( $A_i$  sau  $a_i$ ) \*)

$$A_i = D_{min} - N. \quad (2.5)$$

Relațiile (2.4) și (2.5) pot fi transformate:

$$D_{max} = N + A_s; \quad D_{min} = N + A_i. \quad (2.6)$$

Introducînd (2.6) în (2.1), se obține o nouă definire a toleranței:

$$T_D = A_s - A_i. \quad (2.7)$$

Expresiile (2.6) arată că valorile limită se obțin dacă se adaugă algebric la valoarea nominală cele două abateri. Convențional, aceasta se scrie sub forma

$$(N) \begin{matrix} +A_s \\ +A_i \end{matrix} \quad (2.8)$$

\*) S-a convenit ca majuscula să se utilizeze la alezaje, iar minuscula la arbori; convenția se menține și la alte simbolizări.

Aceasta este forma sub care proiectantul prescrie, prin *cotă* sau *condiții tehnice*, pe desenul produsului finit, abaterile permise pentru un parametru oarecare (de exemplu, pentru dimensiuni liniare:  $10^{+0,2}_{-0,1}$ ).

## 2.1.2. ABATERILE DIMENSIUNILOR LINIARE

Prin *dimensiune* se înțelege numărul care exprimă, în unitatea de măsură aleasă, valoarea numerică a unei mărimi liniare (diametru, lungime etc.) sau unghiulare (unghi perpendicularitate etc.).

Abaterile dimensiunilor liniare sau unghiulare față de un reper (corespunzător dimensiunii nominale) constituie *abaterile dimensionale*.

În cazul dimensiunilor liniare, cazul reprezentativ întâlnit este cel al îmbinărilor cilindrice netede, constituite din *alezaj* (termen utilizat convențional pentru denumirea oricărei dimensiuni liniare interioare a unei piese, chiar dacă nu este cilindrică) și *arbore* (termen convențional pentru denumirea oricărei dimensiuni liniare exterioare).

La asamblarea unui alezaj cu diametrul efectiv  $E_D$  cu un arbore cu diametrul efectiv  $E_d$ , dacă înainte de îmbinare exista relația  $E_D > E_d$ , va rezulta după îmbinare o *asamblare cu joc*. Dacă înainte de îmbinare  $E_D < E_d$ , va rezulta o *asamblare cu strângere*. Se definesc: *jocul efectiv*  $J = E_D - E_d$  și *strângerea efectivă*  $S = E_d - E_D$ .

Luând în considerare cîmpurile de toleranță, se deosebesc (fig. 2.2):

$$\text{Jocul minim } J_{\min} = D_{\min} - d_{\max} = A_s - a_i. \quad (2.9)$$

$$\text{Jocul maxim } J_{\max} = D_{\max} - d_{\min} = A_i - a_s. \quad (2.10)$$

$$\text{Strângerea minimă } S_{\min} = d_{\min} - D_{\max} = a_i - A_s. \quad (2.11)$$

$$\text{Strângerea maximă } S_{\max} = d_{\max} - D_{\min} = a_s - A_i. \quad (2.12)$$

$$\text{Toleranța jocului } T_J = J_{\max} - J_{\min} = T_D + T_d. \quad (2.13)$$

$$\text{Toleranța strîngerii } T_S = S_{\max} - S_{\min} = T_D + T_d. \quad (2.14)$$

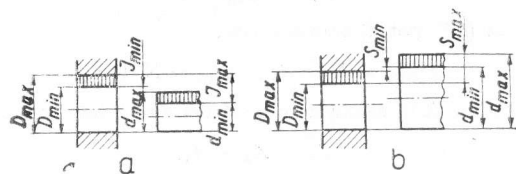


Fig. 2.2. Ajustaje:  
a - cu joc; b - cu strângere

La fabricația de serie sau masă, diametrele efective ale alezajelor respectiv arborilor, vor avea valori diferite (după o lege de distribuție, în funcție de condițiile existente). Ca urmare, apare noțiunea de *ajustaj*, care caracterizează relația ce există între două

grupe de piese de același diametru nominal, în legătură cu valoarea jocului sau strîngerii ce apare cînd piesele sînt asamblate. Se deosebesc: *ajustaje cu joc* (fig. 2.2, a), *ajustaje cu strîngere* (fig. 2.2, b) și *ajustaje intermediare* (de trecere, fig. 2.3); în ultimul caz, apar atît asamblări cu joc cit și asamblări cu strîngere (distribuția jocurilor și strîngerilor se calculează pe baza teoriei probabilităților [14, pct. 7.14]).

Diferitele ajustaje se realizează pe două căi (fig. 2.4):

*Sistemul alezaj unitar* (fig. 2.4, a), în care diferitele ajustaje sînt obținute prin poziționarea corespunzătoare a cîmpului de toleranță al diversilor alezați, în raport cu cîmpul de toleranță al alezajului menținut constant.

*Sistemul arbore unitar* (fig. 2.4, b), în care diferitele ajustaje sînt obținute prin poziționarea corespunzătoare a cîmpului de toleranță al diverselor alezați, în raport cu cîmpul de toleranță al arborelui menținut constant.

În sistemul ISO, poziționarea cîmpurilor de toleranță, față de linia zero, este definită prin: mărimea cîmpului de toleranță  $T_D, a$  și una din abaterile limită, numită *abateră fundamentală* (fig. 2.5) — STAS 8101-68 și STAS 8108-68 (tabelele 2.1—2.5).

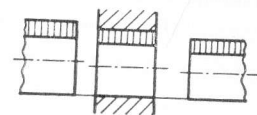


Fig. 2.3. Ajustaje intermediare

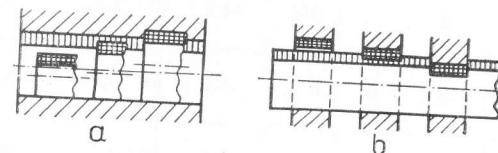


Fig. 2.4. Sisteme de ajustaje:  
a - alezaj unitar; b - arbore unitar

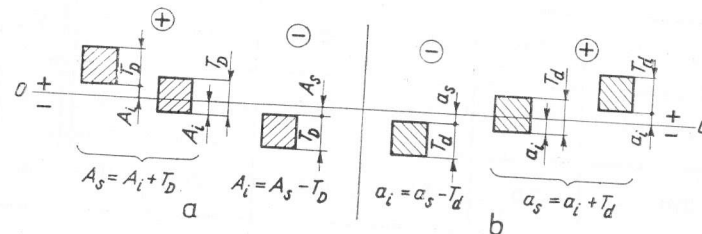


Fig. 2.5. Poziționarea cîmpurilor de toleranțe:  
a - alezaje; b - arbori

Poziționarea diferitelor cîmpuri de toleranță ale alezajelor se simbolizează cu majuscule, iar ale arborilor — cu minuscule. Cîmpurile  $H$  și  $h$  se găsesc deasupra, respectiv sub linia zero (fig. 2.6). Pentru a se obține diferitele ajustaje, în sistemul alezaj unitar



Precizie	01	0	1	2	3	4	5
Mărimea toleranței	—	—	—	—	—	—	$\approx 7i$
Toleranțe fundamentale	IT01	IT0	IT1	IT2	IT3	IT4	IT5
Peste 1 pînă la 3	0,3	0,5	0,8	1,2	2	3	4
3—6	0,4	0,6	1,0	1,5	2,5	4	5
6—10	0,4	0,6	1,0	1,5	2,5	4	6
10—18	0,5	0,8	1,2	2,0	3	5	8
18—30	0,6	1,0	1,5	2,5	4	6	9
30—50	0,6	1,0	1,5	2,5	4	7	11
50—80	0,8	1,2	2,0	3,0	5	8	13
80—120	1,0	1,5	2,5	4,0	6	10	15
120—180	1,2	2,0	3,5	5,0	8	12	18
180—250	2,0	3,0	4,5	7,0	10	14	20
250—315	2,5	4,0	6,0	8,0	12	16	23
315—400	3,0	5,0	7,0	9,0	13	18	25
400—500	4,0	6,0	8,0	10,0	15	20	27

Tabelul 2.1

Toleranțe fundamentale în sistemul ISO, pentru dimensiuni 1—500 mm (STAS 8101-68),  $\mu\text{m}$ 

6	7	8	9	10	11	12	13	14	15	16
10i	16i	25i	40i	64i	100i	160i	250i	400i	640	1000i
IT6	IT7	IT8	IT9	IT10	IT11	IT12	IT13	IT14	IT15	IT16
6	10	14	25	40	60	100	140	250	400	600
8	12	18	30	48	75	120	180	300	480	750
9	15	22	36	58	90	150	220	360	580	900
11	18	27	43	70	110	180	270	430	700	1100
13	21	33	52	84	130	210	330	520	840	1300
16	25	39	62	100	160	250	390	620	1000	1600
19	30	46	74	120	190	300	460	740	1200	1900
22	35	54	87	140	220	350	540	870	1400	2200
25	40	63	100	160	250	400	630	1000	1600	2500
29	46	72	115	185	290	460	720	1150	1850	2900
32	52	81	130	210	320	520	810	1300	2100	3200
36	57	89	140	230	360	570	890	1400	2300	3600
40	63	97	155	250	400	630	970	1550	2500	4000

# Abaterile

Poziția cimpului de toleranță	a	b	c	cd	d	e	ef	f	gf	g	h	j	js
Precizia	Toate preciziile											5 6	Toate preciziile
Intervalul de dimensiuni, mm	Superioare											7	Abaterile, μm
Peste	Pină la	Valori negative											8
1	3	270	140	60	34	20	14	10	6	4	2	0	2
3	6	270	140	70	46	30	20	14	10	6	4	2	4
6	10	280	150	80	56	40	25	18	13	8	5	0	2
10	14	290	150	95		50	32		16		6	0	3
14	18										7	0	4
18	24	300	160	110		65	40		20				8
24	30										9	0	5
30	40	310	170	120		80	50		25				10
40	50	320	180	130							10	0	7
50	65	340	190	140		100	60		30				12
65	80	360	200	150							12	0	9
80	100	380	220	170		120	72		36				15
100	120	410	240	180							14	0	11
120	140	460	260	200		145	85		43				18
140	160	520	280	210									
160	180	580	310	230									
180	200	660	340	240							15	0	13
200	225	740	380	260		170	100		50				21
225	250	820	420	280									
250	280	920	480	300		190	110		56		17	0	16
280	315	1050	540	330									26
315	355	1200	600	360		210	125		62		18	0	18
355	400	1350	680	400									28
400	450	1500	760	440									
450	500	1650	840	480		230	135		68		20	0	20

Abaterile sunt egale cu  $\pm \frac{1}{2}$  IT a preciziei respective

Observație. S-au considerat și dimensiunile sub 1 mm.

Tabelul 2.2

fundamentale pentru arbori, după ISO, pentru dimensiuni 1—500 mm (STAS 8101-68)

k	m	n	p	r	s	t	u	v	x	y	z	za	zb	zc
4 la 7	Toate preciziile													
$\leq 3 \mu m$	Inferioare													
$> 3 \mu m$	Valori pozitive													
0	0	2	4	6	10	14				20		26	32	40
0	0	2	4	6	10	14		18		20		26	32	40
1	0	4	8	12	15	19		23		28		35	42	50
1	0	6	10	15	19	23		28		34		42	52	67
1	0	7	12	18	23	28			40			50	64	90
								33	39	45		60	77	108
2	0	8	15	22	28	35		41	47	54	63	73	98	136
								48	55	64	75	88	118	160
2	0	9	17	26	34	43		43	60	68	80	94	112	148
								54	70	81	97	114	136	180
2	0	11	20	32				66	87	102	122	144	172	226
					41	53	66	87	102	122	144	172	226	300
3	0	13	23	37				102	120	146	174	210	274	360
					43	59	75	102	120	146	174	210	274	360
3	0	15	27	43				124	146	178	214	258	335	445
					51	71	91	124	146	178	214	258	335	445
					54	79	104	144	172	210	254	310	400	525
					63	92	122	170	202	248	300	365	470	620
3	0	17	31	50				202	248	300	365	470	620	800
					65	100	134	190	228	280	340	415	535	700
					68	108	146	210	252	310	380	465	600	780
					77	122	166	236	284	350	425	520	670	880
4	0	19	35	56				284	340	425	520	640	820	1050
					80	130	180	258	310	385	470	575	740	960
					84	140	196	284	340	425	520	640	820	1050
4	0	21	37	62				315	385	475	580	710	920	1200
					94	158	218	315	385	475	580	710	920	1200
					98	170	240	350	425	525	650	770	1000	1300
4	0	23	40	68				425	525	650	770	900	1150	1500
					108	190	268	390	475	590	730	900	1150	1500
					114	208	294	435	530	660	820	1000	1300	1650
5	0	25	44	74				530	660	820	1000	1300	1650	2100
					126	232	330	490	595	740	920	1100	1450	1850
					132	252	360	540	660	820	1000	1250	1600	2100



Tabelul 2.3

Abaterile fundamentale pentru alezaje după ISO, pentru dimensiuni 1—500 mm

Poziția cimpului de toler- anță		A	B	C	CD	D	E	EF	F	FG	G	H	J	J <sub>s</sub>	K	M	N	K	N	P	
Preci- zia		Toate preciziile												6	7	8	De la 9		Pînă la 8		
Interval de dimen- siuni, mm		Abaterile, μm																			
		Inferioare												Superioare		Superioare		Superi- oare *			
Peste	Pînă la	Valori pozitive																			
	1				60	34	20	14	10	6	4	2	0	2	4	6	0	2	0	4	6
1	3	270	140	60	34	20	14	10	6	4	2	0	2	4	8	0	2	4	0	4	6
3	6	270	140	70	46	30	20	14	10	6	4	0	5	6	10	0	4	0	1	8	12
6	10	280	150	80	56	40	25	18	13	8	5	0	5	8	12	0	6	0	1	10	15
10	14	290	150	95		50	32		16		6	0	6	10	15	0	7	0	1	12	18
14	18																				
18	24	300	160	110		65	40		20		7	0	8	12	20	0	8	0	2	15	22
24	30																				
30	40	310	170	120		80	50		25		9	0	10	14	24	0	9	0	2	17	26
40	50	320	180	130																	
50	65	340	190	140		100	60		30		10	0	13	18	28	0	11	0	2	20	32
65	80	360	200	150																	
80	100	380	220	170		120	72		36		12	0	16	22	34	0	13	0	3	23	37
100	120	410	240	180																	
120	140	460	260	200																	
140	160	520	280	210		145	85		43		14	0	18	26	41	0	15	0	3	27	43
160	180	580	310	230																	
180	200	660	340	240																	
200	225	740	380	260		170	100		50		15	0	22	30	47	0	17	0	4	31	50
225	250	820	420	280																	
250	280	920	480	300		190	110		56		17	0	25	36	55	0	20	0	4	34	56
280	315	1050	540	330																	
315	355	1200	600	360		210	125		62		18	0	29	39	60	0	21	0	4	37	62
355	400	1350	680	400																	
400	450	1500	760	440		230	135		68		20	0	33	43	66	0	23	0	5	40	68
450	500	1650	840	480																	

Abaterile sînt egale cu ± 1/2 IT a preciziei respective

Abaterile sint egale cu  $\pm 1/2$  IT a preciziei respective\*) Se adună algebric cu  $+$   $\Delta$ .\*\*) Caz particular M 6, care în zona de dimensiuni peste 280 la 315 are  $A_c = -9 \mu\text{m}$ ,

R	S	T	U	V	X	Y	Z	ZA	ZB	ZC	M	P la ZC							
De la 8												Până la 8**	Până 7	3	4	5	6	7	8
Superioare													Valori $\Delta$ , $\mu\text{m}$						
Valori negative																			
10	14				20		26	32	40	60	2	Aceleși abateri ca și pentru calitățile peste 7, dar însumate algebric cu + $\Delta$	0	0	0	0	0	0	
10	14		18		20		26	32	40	60	2		0	0	0	0	0	0	
15	19		23		28		35	42	50	80	4*		1	1,5	1	3	4	6	
19	23		28		34		42	52	67	97	6*		1	1,5	2	3	6	7	
23	28		33		40		50	64	90	130	7*		1	2	3	3	7	9	
			39	45		60	77	108	150										
28	35		41	47	54	63	73	98	130	188	8*		1,5	2	3	4	8	12	
		41	48	55	64	75	88	118	160	218									
34	43	48	60	68	80	94	112	148	200	274	9*		1,5	3	4	5	9	14	
		54	70	81	97	114	136	180	242	323									
41	53	66	87	102	122	144	172	226	300	405	11*	2	3	5	6	11	16		
43	59	75	102	120	146	174	210	274	360	480									
51	71	91	124	146	178	214	258	339	446	585	13*	2	4	5	7	13	19		
54	79	104	144	172	210	254	310	400	527	690									
63	92	122	170	202	248	300	365	470	620	800									
65	100	134	190	228	280	340	415	535	700	900	15*	3	4	6	7	15	23		
68	108	164	210	252	310	380	465	600	780	1 000									
77	122	166	236	284	350	425	520	670	880	1 150									
80	130	180	258	310	385	470	575	740	960	1 250	17*	3	4	6	9	17	26		
84	140	196	284	340	425	520	640	820	1 050	1 350									
94	158	218	315	385	475	580	710	920	1 200	1 550	20*	4	4	7	9	20	29		
98	170	240	350	425	525	650	790	1 000	1 300	1 700									
108	190	268	390	475	590	720	900	1 150	1 500	1 900	21*	4	5	7	11	21	32		
114	208	294	435	530	660	820	1 000	1 300	1 650	2 100									
126	232	330	490	595	740	920	1 100	1 450	1 850	2 400	23*	5	5	7	13	23	34		
132	252	360	540	660	820	1 000	1 250	1 500	2 100	2 600									

(în loc de  $-11 \mu\text{m}$ ).

Tabelul 2.4

Toleranțe fundamentale în sistemul ISO pentru dimensiuni 500—3150 mm (STAS 8108-68)

Precizia	6	7	8	9	10	11	12	13	14	15	16
Mărimea toleranței	10I	16I	25I	40I	64I	100I	160I	250I	400I	640I	1000I
Toleranțe fundamentale	IT6	IT7	IT8	IT9	IT10	IT11	IT12	IT13	IT14	IT15	IT16
Dimensiuni nominale, mm	Valori, $\mu\text{m}$						Valori, mm				
Peste 500 pînă la 630	44	70	110	175	280	440	0,7	1,1	1,75	2,8	4,4
630—800	50	80	125	200	320	500	0,8	1,25	2,0	3,2	5,0
800—1 000	56	90	140	230	360	560	0,9	1,4	2,3	3,6	5,6
1 000—1 250	66	105	165	260	420	660	1,05	1,65	2,6	4,2	6,6
1 250—1 600	78	125	195	310	500	780	1,25	1,95	3,1	5,0	7,8
1 600—2 000	92	150	230	370	600	920	1,5	2,3	3,7	6,0	9,2
2 000—2 500	110	175	280	440	700	1 100	1,75	2,8	4,4	7,0	11,0
2 500—3 150	135	210	330	540	860	1 350	2,1	3,3	5,4	8,6	13,5

Tabelul 2.5

Abaterile fundamentale pentru arbori și aleziile, pentru dimensiuni de 500—3150 mm după ISO (STAS 8108-68),  $\mu\text{m}$

[illegible]



		1	2	3			4	5	6	7	8	9	10	11	12	13	14	15	16	17								
Valoriile abaterilor fundamentale		Dimensiuni	1 250—1 400	390	220	110	30	0												0	48	78	140	300	640	960	1450	
			1 400—1 600																									
			1 600—1 800	430	240	120	32	0												0	58	92	170	400	920	1350	2000	
			1 800—2 000																					440	1000	1500	2300	
			2 000—2 240	480	260	130	34	0												0	68	110	195	460	1100	1650	2500	
			2 240—2 500																					550	1250	1900	2900	
			2 500—2 800	520	290	145	38	0												0	76	135	240	580	1400	2100	3200	
			2 800—3 150																									
Abaterea fundamentală		Semnul		+	+	+	+														—	—	—	—	—	—	—	—
		Înscrisă în tabel		$A_s = A_i + IT$											$A_i = A_s - IT$													
		Calculată		$A_i$											$A_s$													
Aliaje				6—16																								
Simbolul cimpului de toleranță	Precizia			D	E	F	G	H	J <sub>s</sub>	K	M	N	P	R	S	T	U											
	Poziția																											

se consideră cîmpul de toleranță al alezajului  $H$  și cîmpurile de toleranță ale arborilor  $a, b, c, \dots$  iar în sistemul arbore unitar se ia cîmpul de toleranță al arborelui  $h$  și cîmpurile de toleranță ale alezajelor  $A, B, C, \dots$

În STAS 8102-68, STAS 8103-68, STAS 8109-68 și STAS 8110-68 sînt date abaterile limită pentru cîmpurile de toleranță de uz general, pentru alezaje și arbori de dimensiuni nominale pînă la 500 mm, respectiv peste 500 la 3 150 mm iar în STAS 8106-68 și STAS 8107-68 — pentru industria de mecanică fină.

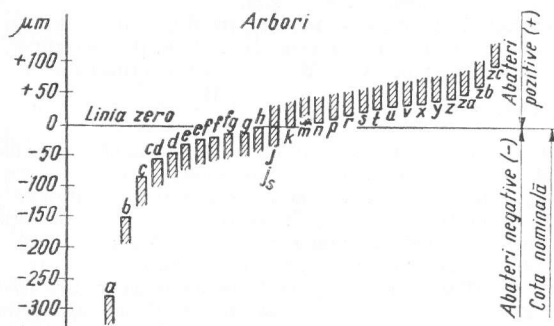
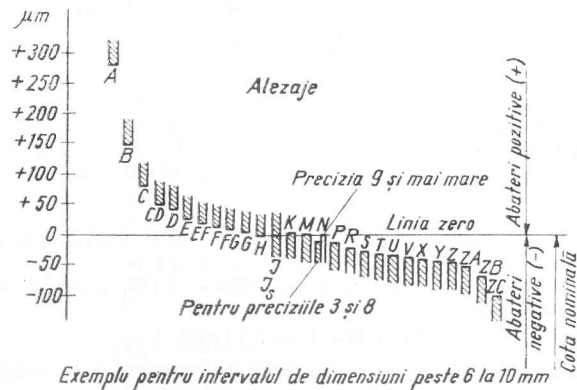


Fig. 2.6. Poziția câmpurilor de toleranță în sistemul ISO

Sistemul alezaj unitar în general este mai economic și de aceea se aplică în toate cazurile, cu excepția acelor în care funcțional sau tehnologic este rațională folosirea sistemului arbore unitar [14, p. 19/20].

În ceea ce privește mărimea timpurilor de toleranță, aceasta se alege în funcție de precizia necesară funcționării produsului finit (nou și după un anumit grad de uzură — problemă ridicată de fiabilitatea produselor) — deoarece o precizie, mai ridicată decât cea necesară, va mări în mod inutil prețul de cost (care variază după o curbă hiperbolică în funcție de valoarea toleranțelor).

Sînt standardizate (în sistemul ISO) 18 trepte de precizie (precizii), notate, în ordinea descrescîndă a preciziei, cu numerele 01; 0 și 1 pînă la 16. Toleranțele, corespunzătoare diferitelor precizii, se numesc *toleranțe fundamentale* (notate cu simbolurile IT01, IT0, IT1...IT16). Valoarea toleranțelor fundamentale pentru precizia 5 și următoarele

$$T = ai, \quad (2.15)$$

în care  $a$  este numărul de unități de toleranță (tabelul 2.1), iar  $i$  — unitatea de toleranță care pentru dimensiunile cuprinse între 1 și 500 mm are valoarea

$$i = 0,45 \sqrt[3]{D} + 0,001 D [\mu\text{m}]. \quad (2.16)$$

Pentru simplificare, dimensiunile cuprinse între 1 și 500 mm s-au grupat în 13 intervale (pentru anumite cîmpuri de toleranță, s-au considerat și intervale intermediare). Pentru cele 13 intervale, s-au calculat 13 unități de toleranță — conform (2.16), în care  $D$  s-a considerat media geometrică a intervalului, în milimetri. Pentru preciziile 01,0 și 1, toleranțele fundamentale se calculează cu relația aproximativă

$$T = k(0,1 + 0,0025 D) [\mu\text{m}], \quad (2.17)$$

în care  $k$  are valoarea 3 pentru IT01,5 pentru IT0 și 8 pentru IT1, iar  $D$  se ia în milimetri. Toleranțele fundamentale pentru preciziile 2,3 și 4 se iau în progresie geometrică între IT1 și IT5. Pentru dimensiunile 500 — 3 150, preciziile 6—16, unitatea de toleranță are valoarea

$$I = 0,004 D + 2,1 [\mu\text{m}], \quad (2.18)$$

în care  $D$  este media geometrică a intervalului de dimensiuni, în milimetri.

În STAS 8101-68 și STAS 8108-68 se dau valorile toleranțelor fundamentale și abaterilor fundamentale (v. tabelele 2.4 și 2.5).

Simbolurile treptelor de precizie se notează imediat după simbolul cîmpurilor de toleranță. De exemplu un alezaj cu diametrul de 10 mm, de precizie 7, corespunzător cîmpului de toleranță H, se va nota:  $\varnothing 10 H7$ . Un ajustaj format din alezajul  $\varnothing 10 H7$  și arborele  $\varnothing 10 g6$ , se va nota sub forma  $\varnothing 10 \frac{H7}{g6}$  (în sistemul alezaj unitar).

În vederea organizării, raționalizării fabricației, aprovizionării și exploatarei sculelor, dispozitivelor și calibrelor, în scopul folosirii unui număr restrîns de dimensiuni, ajustaje și precizii, care să acopere însă necesitățile practice, s-au standardizat șirurile de dimensiuni folosite de preferință în industrie — STAS 75-66, dimensiuni liniare normale, ajustajele preferențiale și cîmpurile de toleranță preferențiale — STAS 8104-68 și STAS 8105-68, pentru dimensiuni pînă la 500 mm (tabelele 2.6 și 2.7).

Abaterile limită ale dimensiunilor libere (care nu intră în lanțuri de dimensiuni) sînt date în STAS 2145-68; aceste abateri se trec pe desen. Abaterile limită pentru dimensiunile liniare fără indicații de toleranță pe desen se dau în STAS 2300-65.

### 2.1.3. ABATERILE DIMENSIUNILOR UNGHIULARE

Dimensiunile unghiulare (unghiurile pieselor cu lungimea laturii mici pînă la 2 000 mm, unghiul conurilor cu lungimea axială pînă la 2 000 mm) sînt prevăzute cu abateri limită  $\pm 8/2$  simetrice (fig. 2.7) sau, în cazuri speciale, chiar cu abateri asimetrice. În STAS 7030-66 sînt standardizate 10 clase de precizie notate cu 1 pînă la 10, în ordinea descrescîndă a preciziei. (Standardul nu se referă la divizarea unghiulară a cercului sau dimensiuni unghiulare ale căror abateri sînt date în standarde speciale — de exemplu pentru unghiul filetului etc.)

Tabelul 2.6

Cîmpuri de toleranță preferențiale și ajustaje preferențiale pentru dimensiuni pînă la 500 mm (STAS 8104-68). Sistemul alezaj unitar

	H6	H7	H8	H9	H10	H11	H12
a			a9			a11	
b			b9			b11	b12
c		c8	c9			c11	
d		d8	d9	d10	d10	d11	
e	e7	e8	e9				
f	f6	f7	f8	f9			
		f6					
g	g5	g6					
h	h5	h6	h8	h9	h10	h11	h12
			h7				
j	j5	j6	j7				
k	k5	k6	k7				
m	m5	m6	m7				
n	n5	n6	n7				
p	p5	p6	p7				
r	r5	r6	r7				
s	s5	s6	s7				
t	t5	t6					
u	u5	u6	u7				
v	v5	v6					
x	x5	x6	x7				
y		y6	y7				
z		z6	z7				

Observații. S-au stabilit două șiruri preferențiale (din care șirul 1 este încadrat).

Tabelul 2.7

Cîmpuri de toleranță preferențiale și ajustaje preferențiale pentru dimensiuni pînă la 500 mm (STAS 8105-68). Sistemul arbore unitar

	h6	h7	h8	h9	h11
A					A11
B					B11
D				D8	D11
E			E7		
F		F7	F8		
G	G7				
H	H7	H8	H8	H9	H11
J	J7				
K	K7				
M	M7				
N	N7				
P	P7				
R	R7				
S	S7				
U	U7				
V	V7				
Z	Z7				

Abaterile unghiulare, în special pentru unghiurile mici sau perpendicularități, paralelism etc., se pot da sub formă de abateri liniare, calculate cu relația

$$a/2 = L \operatorname{tg} (\delta/2), \quad (2.19)$$

în care  $\delta/2$  este abaterea unghiulară simetrică (egală cu semitoleranța), iar  $a/2$  — abaterea liniară corespunzătoare.

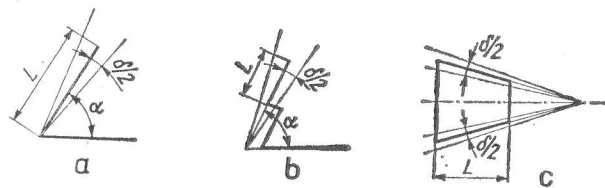


Fig. 2.7. Toleranțele dimensiunilor unghiulare:

a și b — dimensiuni unghiulare; c — unghiul conului

#### 2.1.4. ABATERILE DE FORMĂ GEOMETRICĂ

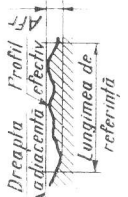
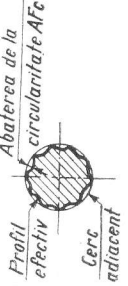
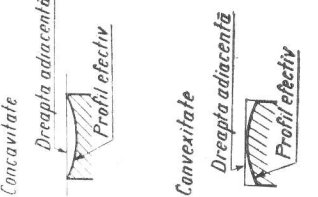
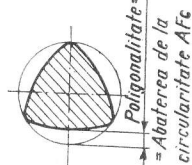
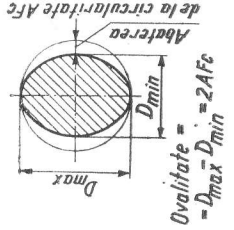
Forma geometrică a unei piese este definită prin forma suprafeței sau forma profilului acesteia (obținut prin secționarea cu un plan oarecare). În raport cu acestea, piesa poate avea anumite abateri (abateri de formă — tabelul 2.8), care, pentru a fi asigurată funcționarea piesei, este necesar să se încadreze în anumite limite: abaterile limită de formă (tabelele 2.9 și 2.10). Se definesc:

Tabelul 2.8  
Exemple de abateri de la formă și profil (STAS 7384-66)

	Forma generală	Cazuri particulare
Neplanitate		
Necilindricitate		<p>Forma bului: <math>D_{max} - D_{min} = 2AFL</math></p> <p>Abaterea de la cilindricitate AFL-curbarea: <math>D_{max} - D_{min} = 2AFL</math></p>
		<p>Forma șa: <math>D_{max} - D_{min} = 2AFL</math></p> <p>Abaterea de la cilindricitate AFL: <math>D_{max} - D_{min} = 2AFL</math></p>



Tabelul 2.8 (continuare)

	Forma generală	Cazuri particulare
Abateri de la forma profilului	Nerectilitate	
	Necircularitate	
		
		
		

Tabelul 2.9

Toleranțe de rectilitate, planitate și la forma dată a profilului  
și a suprafeței (STAS 7391-66)

Lungimea de referință, mm	Clasa de precizie											
	I	II	III	IV	V	VI	VII	VIII	IX	X	XI	XII
	Toleranțe, μm											
Pină la 10	0,25	0,4	0,6	1	1,6	2,5	4	6	10	16	25	40
10—25	0,4	0,6	1	1,6	2,5	4	6	10	16	25	40	60
25—60	0,6	1	1,6	2,5	4	6	10	16	25	40	60	100
60—160	1	1,6	2,5	4	6	10	16	25	40	60	100	160
160—400	1,6	2,5	4	6	10	16	25	40	60	100	160	250
400—1 000	2,5	4	6	10	16	25	40	60	100	160	250	400
1 000—2 500	4	6	10	16	25	40	60	100	160	250	400	600
2 500—6 300	6	10	16	25	40	60	100	160	250	400	600	1 000
6 300—10 000	10	16	25	40	60	100	160	250	400	600	1 000	1 600

Dimensiunile plăcii de control, mm	Numărul de pete de vopsea pe 25×25 mm²					
	28	25	22	20	16	12
	Toleranța la planitate, mm/mm					
200×200	0,006/200	0,010/200	0,016/200	0,025/200	0,04/200	0,06/200
1000×1000	0,010/1000	0,016/1000	0,025/1000	0,06/1000	0,06/1000	0,10/1000

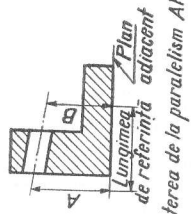
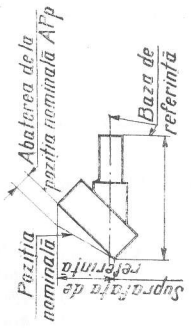
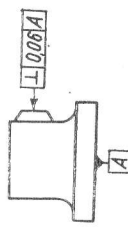
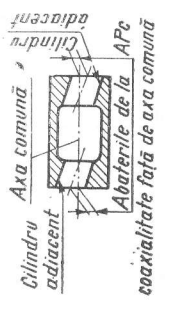
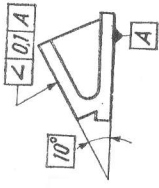
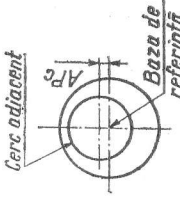
Tabelul 2.10

Toleranțe la circularitate și la cilindricitate (STAS 7392-66)

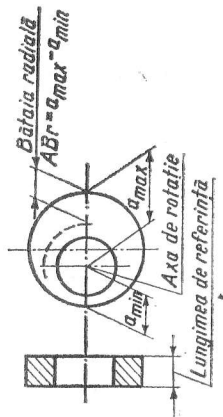
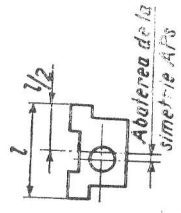
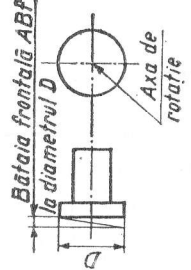
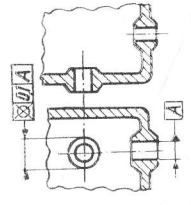
Diametrul nominal, mm	Clasa de precizie											
	I	II	III	IV	V	VI	VII	VIII	IX	X	XI	XII
	Toleranțe, μm											
Pină la 6	0,3	0,5	0,8	1,2	2	3	5	8	12	20	30	50
6—18	0,5	0,8	1,2	2	3	5	8	12	20	30	50	80
18—50	0,6	1	1,6	2,5	4	6	10	16	25	40	60	100
50—120	0,8	1,2	2	3	5	8	12	20	30	50	80	120
120—260	1	1,6	2,5	4	6	10	16	25	40	60	100	160
260—500	1,2	2	3	5	8	12	20	30	50	80	120	200
500—800	1,6	2,5	4	6	10	16	25	40	60	100	160	250
800—1 250	2	3	5	8	12	20	30	50	80	120	200	300
1 250—2 000	2,5	4	6	10	16	25	40	60	100	160	250	400

Tabelul 2.11

Exemple de abateri de poziție (STAS 7384-66)

Abateri de la paralelism $AP_l$	 <p>Abateri de la paralelism <math>AP_l-A-B</math></p>	Abateri de la poziția nominală $AP_p$	
Abateri de la perpendicularitate $AP_d$		Abateri de la coaxialitate $AP_c$	
Abateri de la înclinare $AP_i$		Abateri de la cointercentritate $AP_c$	

Tabelul 2.11 (continuare)

Bataia radială $AB_r$		Abateri de la simetrie $AP_s$	
Bataia frontală $AB_f$		Abateri de la intersecție $AP_x$	

Suprafața reală a piesei — suprafața care limitează piesa.

Suprafața efectivă — obținută prin măsurare.

Suprafața adiacentă — de aceeași formă cu suprafața prescrisă, tangentă la suprafața efectivă, dinspre partea exterioară a piesei.

Analog se definesc: *profilul real*, *profilul efectiv* și *profilul adiacent*.

Abaterile de formă se consideră ca distanța maximă dintre suprafața efectivă, respectiv profilul efectiv, și suprafața adiacentă, respectiv profilul adiacent.

### 2.1.5. ABATERILE DE POZIȚIE

Abaterile de la poziția corectă (tabelul 2.11) a diferitelor elemente geometrice (suprafețe, axe, suprafețele, profiluri, plane de simetrie etc.) se iau în raport cu anumite *baze de referință* sau în raport cu *poziția nominală* a acestora. Se definesc:

*Abaterile limită de poziție* — valorile maxime admise (pozitive sau negative) ale abaterilor de poziție.

*Toleranța de poziție* — determinată de abaterile limită de poziție.

*Toleranța de poziție independentă* — când mărimea toleranței este determinată numai prin abaterile limită.

*Toleranța de poziție dependentă* (marcată prin *M* încercuit) — când mărimea toleranței este determinată, în afară de valorile prescrise pentru această toleranță, și de abaterile dimensionale efective ale altor elemente ale aceleiași piese.

În tabelele 2.12–2.14 se dă valoarea toleranțelor (după STAS 7393-66 și STAS 7394-66) iar în tabelul 2.15 se dă precizia de formă și pozițională obținută la prelucrări pe mașini-unelte.

Tabelul 2.12

Toleranțe la paralelism și la perpendicularitate (STAS 7393-66)

Lungimea de referință, mm	Clasa de precizie											
	I	II	III	IV	V	VI	VII	VIII	IX	X	XI	XII
	Toleranțe, $\mu\text{m}$											
Pînă la 10	0,4	0,6	1	1,6	2,5	4	6	10	16	25	40	60
10–25	0,6	1	1,6	2,5	4	6	10	16	25	40	60	100
25–60	1	1,6	2,5	4	6	10	16	25	40	60	100	160
60–160	1,6	2,5	4	6	10	16	25	40	60	100	160	250
160–400	2,5	4	6	10	16	25	40	60	100	160	250	400
400–1000	4	6	10	16	25	40	60	100	160	250	400	600
1000–2500	6	10	16	25	40	60	100	160	250	400	600	1 000
2500–6300	10	16	25	40	60	100	160	250	400	600	1 000	1 600
6300–10000	16	25	40	60	100	160	250	400	600	1 000	1 600	2 500

Tabelul 2.13

Toleranțele bății radiale (STAS 7394-66)

Dimensiuni nominale, mm	Clasa de precizie											
	I	II	III	IV	V	VI	VII	VIII	IX	X	XI	XII
	Toleranțe, $\mu\text{m}$											
Pînă la 6	—	—	3	5	8	12	20	30	50	80	120	200
6–18	1,6	2,5	4	6	10	16	25	40	60	100	160	250
18–50	2	3	5	8	12	20	30	50	80	120	200	300
50–120	2,5	4	6	10	16	25	40	60	100	160	250	400
120–260	3	5	8	12	20	30	50	80	120	200	300	500
260–500	4	6	10	16	25	40	60	100	160	250	400	600
500–800	5	8	12	20	30	50	80	120	200	300	500	800
800–1250	6	10	16	25	40	60	100	160	250	400	600	1 000
1250–2000	8	12	20	30	50	80	120	200	300	500	800	1 200

Tabelul 2.14

Toleranța bății frontale (STAS 7394-66)

Diametrul frontal, mm	Clasa de precizie											
	I	II	III	IV	V	VI	VII	VIII	IX	X	XI	XII
	Toleranțe, $\mu\text{m}$											
Pînă la 10	0,4	0,6	1	1,6	2,5	4	6	10	16	25	40	60
10–25	0,6	1	1,6	2,5	4	6	10	16	25	40	60	100
25–60	1	1,6	2,5	4	6	10	16	25	40	60	100	160
60–160	1,6	2,5	4	6	10	16	25	40	60	100	160	250
160–400	2,5	4	6	10	16	25	40	60	100	160	250	400
400–1000	4	6	10	16	25	40	60	100	160	250	400	600
1000–2500	6	10	16	25	40	60	100	160	250	400	600	1 000
2500–6300	10	16	25	40	60	100	160	250	400	600	1 000	1 600
6300–10000	16	25	40	60	100	160	250	400	600	1 000	1 600	2 500



Tabelul 2.15

Precizia economică de formă și poziție, la prelucrarea pe mașini-unelte  
(după A. I. Kașirin și B. S. Balakșin)

Mașina-unelte	Abateri, mm		
Strunguri cu înălțimea vîrfurilor de: — pînă la 180 mm — pînă la 400 mm	Ovalitate: 0,005 0,01	Conicitate (la lungimea de 300 mm): 0,01 0,02	Convexitatea părții frontale: 0,02 0,02
Strunguri revolver și automate	Ovalitate: 0,01	Conicitate (la lungimea de 300 mm): 0,03	Convexitate: 0,02
Mașini de rabotat	Planitate: 0,02 la 1 000 mm	Perpendicularitate: 0,02 la 500 mm	—
Mașini de găurit verticale, cu coloană	Devierea axei găurii de la perpendicularitatea pe suprafața mesei: 0,02 la 300 mm	—	—
Mașini de alezat	Neparalelismul axelor: 0,015—0,03, la lungimea de 300 mm, la o singură așezare 0,02—0,05, la cîteva așezări	Neperpendicularitatea axelor: 0,02—0,03 la lungimea de 300 mm	—
Mașini de frezat orizontale și verticale	Neregularitatea planului orizontal la finisare: 0,020—0,045	Neparalelismul planului de bază: 0,025—0,05 la lungimea de 100 mm	—
Mașini de rectificat rotund	Ovalitate: 0,005	Rectilinitate: 0,01—0,02 la lungimea de 1000 mm	—
Mașini de rectificat plan	—	De la suprafața plană: la mașini mici 0,01 pentru lungimea de 1 000 mm iar la mașini mari 0,025—0,05	—

## 2.2. LANȚURI DE DIMENSIUNI LINIARE PARALELE ȘI LANȚURI DE DIMENSIUNI UNGHIULARE CU VÎRF COMUN

### 2.2.1. GENERALITĂȚI

Prin lanț de dimensiuni se înțelege un șir de dimensiuni, liniare (fig. 2.8) sau unghiulare (fig. 2.9), care formează un contur închis.

După legătura care o au, se disting: lanțuri de dimensiuni *simple* (fig. 2.8, b), lanțuri de dimensiuni *complexe*—cînd mai multe lanțuri de dimensiuni sînt legate între ele: în paralel (fig. 2.10), în serie (fig. 2.11) sau mixt (fig. 2.12). Lanțurile de dimensiuni complexe în pa-

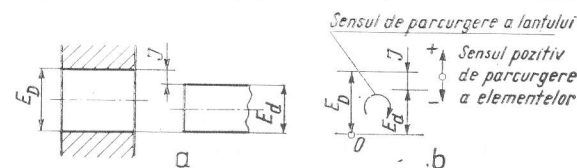


Fig. 2.8. Lanț de dimensiuni liniare paralele:  
a — elementele lanțului; b — lanțul de dimensiuni

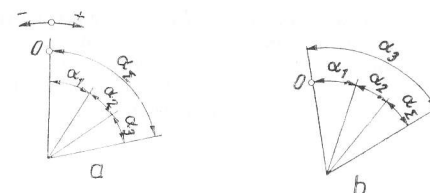


Fig. 2.9. Lanțuri de dimensiuni unghiulare  
cu vîrf comun

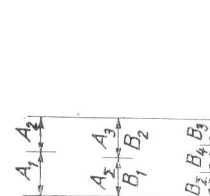


Fig. 2.10. Lanțuri de dimensiuni legate în paralel

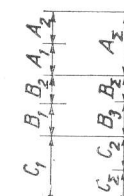


Fig. 2.11. Lanțuri de dimensiuni legate în serie

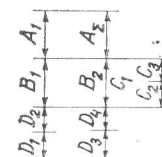


Fig. 2.12. Lanțuri de dimensiuni legate mixt

ralem au unul sau mai multe *elemente comune*; lanțurile de dimensiuni complexe în serie sînt astfel legate încît un lanț oarecare formează o bază de plecare pentru lanțul următor,

Mărimile  $E_D$ ,  $E_d$  și  $J$  (fig. 2.8, b) și  $\alpha_1$ ,  $\alpha_2$ ,  $\alpha_3$  și  $\alpha_4$  (fig. 2.9) se numesc *elementele* (verigile) lanțului de dimensiuni; elementele  $E_D$ ,  $E_d$ , respectiv  $\alpha_1$ ,  $\alpha_2$ ,  $\alpha_3$  sînt *elemente componente*.

iar elementul  $J$ , respectiv  $\alpha_\Sigma$  — *elemente de închidere (rezultante)*. Este important de a se stabili, de la început, funcțiunea fiecărui element: component sau rezultat (într-un lanț de dimensiuni există un singur element rezultat).

Pentru stabilirea ecuației lanțului de dimensiuni, se adoptă un sens oarecare de parcurgere a lanțului de dimensiuni și un punct de plecare (de exemplu punctul  $O$  din fig. 2.8) și se admite un sens pozitiv de parcurgere a elementelor. Pentru fig. 2.8,  $b$  și 2.9 se găsește:

$$E_D - J - E_d = 0, \alpha_\Sigma - \alpha_3 - \alpha_2 - \alpha_1 = 0, \text{ respectiv } \alpha_1 + \alpha_2 + \alpha_\Sigma - \alpha_3 = 0.$$

Deoarece este vorba de *ecuația lanțului de dimensiuni* <sup>\*</sup>, ordonarea termenilor se face după rolul lor funcțional: elementele componente într-un membru, iar elementul rezultat în celălalt:

$$J = E_D - E_d; \alpha_\Sigma = \alpha_1 + \alpha_2 + \alpha_3; \alpha_\Sigma = \alpha_3 - \alpha_1 - \alpha_2.$$

Aceasta este o metodă de stabilire a ecuației lanțului de dimensiuni.

Cele trei ecuații pot fi scrise sub forma generală

$$R = A_1 X_1 + A_2 X_2 + \dots + A_n X_n = \sum_j A_j X_j, \quad (2.20)$$

în care  $A_j$  se numește *coeficient de transmitere*. În cazul considerat (lanț de dimensiuni liniare paralele sau lanț de dimensiuni unghiulare cu vîrf comun),  $A_j$  are valoarea  $+1$  (cînd creșterea elementului component mărește elementul rezultat, adică este vorba de un element măritor), sau  $-1$  (cînd creșterea elementului component micșorează elementul rezultat, adică este vorba de un element reducător).

Luînd în considerare (2.20), se deduce a doua metodă de stabilire a ecuației lanțului de dimensiuni: după scrierea ecuației sub forma generală, urmează găsirea valorii coeficientului  $A_j$  și semnului acestuia (urmărindu-se cum influențează creșterea elementului component respectiv asupra elementului rezultat, ca valoare și semn). Această metodă se utilizează mai ales în cazul rezolvării lanțurilor de dimensiuni cu elemente unghiulare care nu au un vîrf comun (v. fig. 2.16).

În cazul rezolvării lanțurilor de dimensiuni, după scopul urmărit, se pun două probleme: *problema directă* — se cunosc elementele componente și se calculează elementul rezultat și *problema indirectă* sau *calculul de proiectare* — calculul elementelor componente, cînd se cunoaște elementul rezultat.

## 2.2.2. PROBLEMA DIRECTĂ

**Metoda de maxim și minim.** Se va considera cazul lanțurilor de dimensiuni liniare paralele (v. fig. 2.8,  $b$ ) sau al lanțurilor de dimensiuni unghiulare cu vîrf comun (v. fig. 2.9). Fie, de exemplu, de rezolvat lanțul de dimensiuni

$$R = X_1 - X_2 + X_3 - X_4.$$

<sup>\*</sup> În teoria toleranțelor, s-a convenit ca rolul funcțional al diferitelor dimensiuni să fie scos în evidență prin termenul *dimensiune*; de exemplu, ecuații de dimensiuni, algebra dimensiunilor etc. [20].

Se găsesc:

$$\begin{aligned} R_{max} &= X_{1max} - X_{2min} + X_{3max} - X_{4min}; \\ R_{min} &= X_{1min} - X_{2max} + X_{3min} - X_{4min}. \end{aligned} \quad (2.21)$$

**Metoda algebrică.** În cazul aplicării algebrei dimensiunilor (la care se găsește același rezultat ca și la metoda de maxim și minim), se pleacă de la observația că dimensiunile tolerate, simbolizate sub forma (2.8), reprezintă două sume neefectuate, de forma (2.6). Ca urmare, calculul se face pentru cele două sume neefectuate (în legătură cu abaterea superioară și abaterea inferioară). De exemplu:

$$R = 10^{+0,2}_{-0,1} + 5^{+0,1}_{-0,2} = (10 + 5)^{+0,2-0,1}_{-0,1-0,2} = 15^{+0,1}_{-0,3}.$$

În cazul unor dimensiuni ce se scad, se vor schimba semnele atît ale valorii nominale, cît și ale abaterilor, și se vor inversa abaterile (pentru a respecta convenția că abaterile superioare sînt în legătură cu limita maximă, iar abaterile inferioare — în legătură cu limita minimă). În cazul general

$$\begin{aligned} R &= (N_1)^{+A_{s1}}_{+A_{i1}} + (N_2)^{+A_{s2}}_{+A_{i2}} - \left[ (N_3)^{+A_{s3}}_{+A_{i3}} \right] = \\ &= (N_1)^{+A_{s1}}_{+A_{i1}} + (N_2)^{+A_{s2}}_{+A_{i2}} - (N_3)^{-A_{i3}}_{-A_{s3}} = \\ &= (N_1 + N_2 - N_3)^{+A_{s1} + A_{s2} - A_{i3}}_{+A_{i1} + A_{i2} - A_{s3}} = (N_R)^{+A_{sR}}_{+A_{iR}}, \end{aligned}$$

unde:

$$N_R = N_1 + N_2 - N_3; A_{sR} = A_{s1} + A_{s2} - A_{i3}; A_{iR} = A_{i1} + A_{i2} - A_{s3}.$$

Se observă că

$$T_R = A_{sR} - A_{iR} = (A_{s1} - A_{i1}) + (A_{s2} - A_{i2}) + (A_{s3} - A_{i3}) = T_1 + T_2 + T_3$$

sau

$$T_R = \sum_j T_j, \quad (2.22)$$

adică toleranța elementului rezultat este egală cu suma toleranțelor elementelor componente. Datorită acestui fapt, pentru stabilirea toleranței unui element component, nu este permis a se separa elementul respectiv într-unul din membri. Soluția găsită este falsă! În realitate, toleranța elementului component constituie o valoare componentă a toleranței elementului rezultat.

**Metoda probabilistică.** Datorită faptului că nu toate dimensiunile vor fi executate la maxim sau minim, rezolvarea lanțului de dimensiuni se poate face pe baza calculului probabilistic.

Fie lanțul de dimensiuni  $R = \sum_j A_j X_j$ . Se găsește [21]:

$$\left. \begin{aligned} N_R &= \sum_j A_j N_j; \quad T_R = (k_e/k_R) \sqrt{\sum_j A_j^2 k_j^2 T_j^2}; \\ A_{sR} &= X_{eR} + 0,5 T_R; \quad A_{iR} = X_{eR} - 0,5 T_R; \\ X_{eR} &= \sum_j A_j (X_{ej} + 0,5 \alpha_j T_j) \end{aligned} \right\} \quad (2.23)$$

sau

$$R = \left( \sum_j A_j N_j \right) \frac{+ \sum_j A_j (X_{ej} + 0,5 \alpha_j T_j) + 0,5 (k_e/k_R) \sqrt{\sum_j A_j^2 k_j^2 T_j^2}}{+ \sum_j A_j (X_{ej} + 0,5 \alpha_j T_j) - 0,5 (k_e/k_R) \sqrt{\sum_j A_j^2 k_j^2 T_j^2}} \quad (2.24)$$

unde  $T_{R,j}$  este toleranța elementului rezultat, respectiv a elementului component de ordin  $j$ ;  $A_j$  — coeficientul de transmitere al elementului  $j$ ;  $k_{j,R}$  — coeficientul de împrăștiere relativă a curbei de distribuție a dimensiunii  $j$ , respectiv  $R$ ;  $k_e$  — coeficientul de eficiență [9], care depinde de stadiul condițiilor de reproducere în practică a presupunerilor teoretice (cu cât lotul lunar de fabricație este mai mare, cu atât  $k_e$  crește, tinzînd către unitate) — tabelul 2.16 [19];  $\alpha_j$  — coeficientul de asimetrie al elementului  $j$ ;  $X_{ej,R}$  — coordonata mijlocului cîmpului de toleranță al elementului  $j$ , respectiv  $R$ .

Tabelul 2.16

Valoarea coeficientului de eficiență  $k_e$  [9]

Mărimea lotului	10	20	50	100	200	500	1 000	∞
$k_e$	1,45	1,32	1,20	1,14	1,10	1,06	1,04	1,00

Valorile  $\alpha_j$  și  $k_j$  se iau din tabelul 2.17; atunci cînd nu se cunoaște curba de distribuție, se consideră cazul distribuției uniforme (dreptunghi). În ceea ce privește  $k_j$ , se observă că: 1) suma a două mărimi întîmplătoare avînd fiecare distribuția după legea distribuției uniforme are o distribuție după legea triunghiului isoscel (Simpson); 2) suma a trei sau mai multe mărimi întîmplătoare avînd fiecare distribuția după legea distribuției uniforme se apropie de o distribuție rezultantă după legea distribuției normale (Gauss-Laplace); 3) suma a două sau mai multe mărimi întîmplătoare avînd fiecare distribuția după legea triunghiului isoscel (Simpson) se apropie de distribuția normală (Gauss-Laplace); 4) suma mărimilor întîmplătoare avînd fiecare distribuția după legea de împrăștiere normală (Gauss-Laplace) are o distribuție după legea normală (Gauss-Laplace).

Pentru cazul cînd distribuția abaterilor elementului de închidere are o împrăștiere după legea de distribuție normală, cu procentul de risc 0,27%, atunci  $k_R = 1$ ; pentru alte valori ale procentului de risc, se iau valorile lui  $k_R$  din tabelul 2.18 [44].

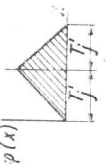
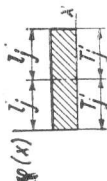
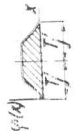

Tabelul 2.17

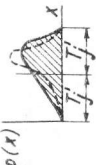
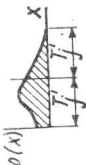

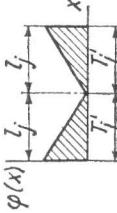
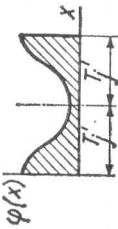
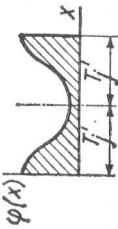
Valorile coeficienților de asimetrie relativă  $\alpha_j$  și de împrăștiere relativă  $k_j$  pentru diferite legi de repartiție

Caracteristicile legii de distribuție	Schița curbei de distribuție	Parametrii curbei de distribuție	Coeficienții	Observații
Legea de distribuție normală (curba lui Gauss) care coincide cu cîmpul de toleranță ( $T_j = \pm 3\sigma_j$ )		$\frac{h_1}{h_2}$ $\frac{a}{2}$	$\alpha_j$ $k_j$	$\sigma_j$ — abaterea medie pătratică $T_j$ — jumătatea cîmpului de toleranță $\frac{a}{2}$ — rebutul neremaniabil % $b$ — rebut remaniabil %
Curba de distribuție normală care iese simetric în afara ambelor limite ale cîmpului de toleranță		$\frac{h_1}{h_2}$ $\frac{a}{2}$	$\alpha_j$ $k_j$	$\sigma_j$ — abaterea medie pătratică $T_j$ — jumătatea cîmpului de toleranță $\frac{a}{2}$ — rebutul neremaniabil % $b$ — rebut remaniabil %
Curba de distribuție care depășește numai într-o parte cîmpul de toleranță		$\frac{h_1}{h_2}$ $\frac{a}{2}$	$\alpha_j$ $k_j$	$\sigma_j$ — abaterea medie pătratică $T_j$ — jumătatea cîmpului de toleranță $\frac{a}{2}$ — rebutul neremaniabil % $b$ — rebut remaniabil %



Tabelul 2.17 (continuare)

Caracteristicile legii de distribuție	Schița curbei de distribuție	Parametrii curbei de distribuție	Coefficienții	Observații
Legea triunghiului isoscel (legea lui Simpson)			$\alpha_j$ 0	$k_j$ 1,22
Legea probabilității egale (distribuție uniformă)			$\alpha_j$ 0	$k_j$ 1,73
Compunerea legii lui Gauss și a legii uniforme		$l'/36$	$\alpha_j$	$k_j$
		2/3 1 2 3	0 0 0 0	1,10 1,19 1,38 1,49
		$n$	$\alpha_j$	$k_j$
		2 3 5	+ 0,33 + 0,50 + 0,67	1,41 1,16
Distribuția uniformă crescândă (reprezentată continuu) sau a legii accelerate (reprezentată întrerupt)				$l'$ și $\sigma$ sint parametrii legilor componente  $n$ este exponentul parabolicei aproximative $x = f(t)$

Compunerea legii lui Gauss și a distribuției uniforme crescînde (reprezentată continuu) sau a legii accelerate (reprezentată întrerupt)		$n$	$1/3\sigma$	$\alpha_j$	$k_j$	$\mu$ este deplasarea față de originea distribuției inițiale
		2 2 5 5	1 3 1 3	+ 0,19 + 0,29 + 0,45 + 0,63	1,03 1,21 0,77 0,75	
		$\mu$	$\sigma/M(s)$	$\alpha_j$	$k_j$	
		0,5 1 2,0	0,74 0,69 0,48	- 0,46 - 0,38 - 1,16	1,22 1,27 1,21	
În cazul unei dispersii inițiale pe o singură dimensiune				$\alpha_j$	$k_j$	
				- 0,28	1,14	
În cazul unei dispersii inițiale pe două dimensiuni (curba lui Maxwell)				$\alpha_j$	$k_j$	
				0	2,12	
Formată din segmente de dreaptă				$\alpha_j$	$k_j$	
				0	2,28	
Formată din ramuri ale curbei lui Gauss						

Tabelul 2.17 (continuare)

Caracteristicile legii de distribuție	Schița curbei de distribuție	Parametrii curbei de distribuție	Coeficienții	Observații
Legea arc-sinusului (sau arc-cosinusului)			$\alpha_f$ $k_f$	
			0 2,12	
		$F_2 - 3/F_1$	$\alpha_f/3\alpha_j$	$F_f$ este mărimea loturilor componente — numărul de loturi componente
Distribuție simetrică cu mai multe maxime în cazul amestecării mai multor loturi de piese		$n$	$\alpha_f$ $k_f$	$n$
		3 3 3 3 3	1 1 1 2/3 3/4	1,0 1,07 1,17 0,92 10,7
		$F_2 - 3/F_1$	$\alpha_f/3\alpha_j$	Idem
Distribuție simetrică cu mai multe maxime în cazul amestecării mai multor loturi de piese		$n$	$\alpha_f$ $k_f$	
		2 2 3 3	2 1 2 1	1,58 1,20 1,68 1,33

Modală		$b_j/T_j$	$h_1/h_2$	$\alpha_f$ $k_f$					
		1/2 1/2 1 3/2 1	1/2 0 0 0 1/2	0 0 0 0 0	1,54 1,26 1,37 1,52 1,57				
Antimodală		$b_j/T_j$	$h_1/h_2$	$\alpha_f$ $k_f$					
		2 2 3 3	1 0 1 0	0 0 0 0	1,92 1,87 2,03 1,94				
Distribuție nesimetrică, cu un singur maxim, în cazul amestecării cîtorva loturi de piese		$n$	$T_j/T_1$	$\alpha_f/3\alpha_j$	$k_f$				Semnificația notațiilor ca la distribuția cu mai multe maxime
		2 2 2 2 3	1/4 1/4 1/3 1/2 1/4	2/3 1 1 1 1	0,96 1,03 1,09 1,15 1,25				
Distribuție nesimetrică schematizată, în cazul amestecării unui număr mare de loturi de piese		$b_j/T_j$	$h_1/h_2$	$\alpha_f$ $k_f$					
		1/2 1 3/2 0	0 0 0 1/2 1/3	0,30 0,22 0,12 0,1 0,22	1,41 1,44 1,55 1,77 1,75				

Distribuția schematică simetrică, în cazul unui număr mare de loturi de piese:

Tabelul 2.17 (continuare)

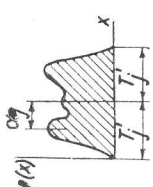
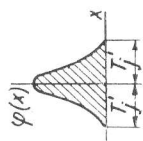
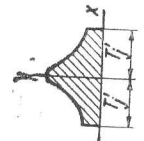
Caracteristicile legii de distribuție	Schița curbei de distribuție	Parametrii curbei de distribuție			Coeficienții		Observații
Distribuție antinormală când se amestecă trei loturi de piese		$n$	$F_{1,2}/F_3$	$\alpha_j/3\sigma_j$	$\alpha_j$	$k_j$	Idem
		3 3	2 3	1 1	0 0	1,43 1,47	
Distribuție cu maxim ascuțit, în cazul când împrăștierea variabilă descrește		$\frac{\sigma_{min}}{\sigma_{max}}$	$I_s/\sigma_0$	$n$	$\alpha_j$	$k_j$	$I_s$ este intervalul de variație a lui $\sigma$ -- valoarea lui $\sigma$ în centrul intervalului
		1/9 3/7 1/4 1/4 1/2	0,8 0,4 — — —	3 2 2	0 0 0 0 0	0,80 0,84 0,86 0,75 0,79	
Distribuție în cazul când împrăștierea variabilă crește		$\frac{\sigma_{max}}{\sigma_{min}}$	$\frac{a}{2}$	$n$	$\alpha_j$	$k_j$	$\frac{a}{2}$ este rebutul nerecuperabil, %
		9 7/3 4 4	14,5 14,0 14,5 12	2 3	0 0 0 0	1,37 1,54 1,31 1,38	
Același lucru, în cazul când se amestecă loturi de piese							

Tabela 2.18

Valoarea coeficientului de împrăștiere relativă  $k_R$  [28]

Procentul de risc	0,02	0,05	0,1	0,2	0,27	0,5	1,0	1,5	2	3	4	5	6	8	10
$k_R$	0,81	0,86	0,91	0,97	1,00	1,06	1,16	1,23	1,29	1,38	1,46	1,52	1,60	1,71	1,82

Relația a doua din (2.23) arată că

$$T_R < \sum_j T_j, \quad (2.25)$$

cu alte cuvinte, dacă se compară cu valoarea toleranței elementului rezultat dată de (2.22), rezultă că, în cazul metodei probabilistice, se pot mări toleranțele elementelor componente — ceea ce face ca metoda să fie, în anumite cazuri, mai economică.

Datorită măririi toleranțelor componente, apare un coeficient de risc — adică se va putea întâmpla ca piese considerate ca bune la fabricație să fie necorespunzătoare la montaj; apare oarecum o deplasare a apariției pieselor necorespunzătoare, de la fabricație la montaj. Piese finite (pentru montaj) fiind mai scumpe, alegerea uneia sau alteia din metodele de rezolvare a lanțurilor de dimensiuni va trebui să rezulte dintr-un calcul economic.

**Metoda sortării.** În cazul când elementele de închidere trebuie să aibă o toleranță mică, rezultă pentru elementele componente toleranțe mici (neeconomice). În acest caz, se poate mări toleranța elementelor componente de exemplu de  $n$  ori (valoarea lui  $n$  se va alege cât mai mică posibil, în cadrul toleranțelor economice) iar, după execuția pieselor, se va face sortarea pieselor în  $n$  grupe (în fiecare grupă, piesele vor avea toleranța prescrisă inițial). La montare, se vor asambla piesele din aceeași grupă de sortare, astfel încît, pînă la urmă, elementul de închidere rezultă la toleranța funcțională prescrisă inițial. Este de observat că, pentru ca în fiecare grupă de sortare să rezulte același număr de piese ca la piesele conjugate, este necesar să existe aceeași curbă de distribuție pentru diferitele repere. De asemenea, este de preferat ca toate piesele componente ale lanțului să aibă aceeași toleranță — astfel încît, la montaj, să rezulte pentru toate grupele de piese jocuri sau stringeri maxime și minime egale.

Metoda se aplică în cazul lanțurilor cu un număr mic de elemente componente.

**Metoda ajustării.** Dacă elementul de închidere are o toleranță mică, se poate da o toleranță mare (economică) elementelor componente, iar la montaj se prevede ajustarea unuia din elementele componente (*element compensator*), dinainte prescris, astfel încît elementul de închidere să rezulte în limitele admise. Mărimea elementului compensator este astfel stabilită, încît să rezulte întotdeauna un adaus de prelucrare a acestuia, iar mărimea adausului să fie cât mai mică.

**Metoda reglării.** Această metodă diferă de cea anterioară, prin aceea că *elementul de compensare*, în loc să fie ajustat, poate fi modificat ca valoare. Modificarea se face: cu *element compensator mobil* (prin deplasarea unei piese) sau cu *element compensator fix* (cînd elementul respectiv se execută de mărimi diferite și se alege mărimea care satisface precizia prescrisă lanțului de dimensiuni rezultat).

Metoda reglării este, în general, mai economică decît metoda ajustării (și mai precisă).



## 2.2.3. CALCULUL DE PROIECTARE (PROBLEMA INDIRECTĂ)

**Metoda algebrică.** Pentru găsirea elementelor componente, atunci când se cunoaște elementul rezultat, este necesar să se introducă o anumită condiție în plus (deoarece în cazul general, problema este nedeterminată); de exemplu: toate elementele să fie în aceeași treaptă de precizie. În acest caz, ținând seama de relația (2.15), se ia  $a_j = a = \text{const}$ . Considerind și expresia unității de toleranță (2.16) și relația (2.22), rezultă (pentru precizia 5 și următoarele):

$$a = T_R / \sum_j (0,45 \sqrt[3]{X_{mj}} + 0,001 X_{mj}), \quad (2.26)$$

unde  $X_{mj}$  este valoarea medie (geometrică) a intervalului de dimensiuni în care se găsește elementul component  $X_j$ . O dată cunoscut  $a$  din tabelul 2.1, se determină treapta de precizie și, corespunzător acesteia, se iau toleranțele diferitelor elemente componente.

**Metoda probabilistică.** Luând, ca și anterior,  $a_j = a = \text{const}$  și considerind relația 2-a din expresiile (2.23), se găsește

$$a = k_R T_R / k_e A_j k_j \sqrt[3]{\sum_j (0,45 \sqrt[3]{X_{mj}} + 0,001 X_{mj})}. \quad (2.27)$$

**Metoda aproximativă.** Se poate repartiza toleranța elementului rezultat diferitelor elemente componente, în mod egal sau (preferabil) proporțional cu mărimea elementelor. În toate cazurile, urmează o verificare a lanțului de dimensiuni găsit.

## 2.2.4. CORELAȚIA DINTRE PROIECTARE ȘI TEHNOLOGIE [14]

La proiectarea unui produs finit se iau în considerare: funcționarea produsului și tehnologia pentru executarea produsului (ținându-se seama, bineînțeles, de latura economică). Din punct de vedere funcțional, produsul proiectat trebuie să îndeplinească anumite condiții legate de buna funcționare; din punct de vedere tehnologic, produsul proiectat este necesar să permită un proces tehnologic simplu, productiv, economic, în condiții de muncă admise (securitatea muncii). Cei doi factori, funcțional și tehnologic nu pot fi separați; dar legătura dintre factorul funcțional și cel tehnologic nu trebuie înțeleasă în sensul unei concesi pe care funcționarea (respectiv condițiile tehnice) o face tehnologiei. Proiectantul urmărește respectarea bunei funcționări, dar ține seama și de procesul tehnologic: reper forjat, turnat etc.; tipizare; sistemul de ajustaje; materialul (dacă este așchiabil); amplasarea diferitelor orificii pe aceeași parte (dacă este permis funcțional); separarea unor repere complicate etc. O dată reperul conceput, cotarea acestuia se face numai funcțional.

Pe baza desenului produsului finit, tehnologul elaborează procesul tehnologic, cu desenele tehnologice (planul de operații). Când este posibil, se caută ca bazele tehnologice să corespundă cu bazele funcționale; acolo unde nu este posibil, va schimba baza de cotare și va calcula dimensiunile tehnologice compatibile cu dimensiunile funcționale — astfel, ca pînă la urmă, produsul să rezulte la dimensiunile prescrise de proiectant.

Fie, de exemplu, produsul finit din fig. 2.13, *a* (cu lanțul de dimensiuni funcțional dat în fig. 2.13, *b*). Executarea operației de frezare se face conform desenului tehnologic din fig. 2.14, *a* (cu lanțul de dimensiuni tehnologic dat în figura 2.14, *b*). Dimensiunea tehnologică  $X$  se va calcula astfel încît să rezulte dimensiunea funcțională prescrisă de

proiectant (care va trebui să se pună la rezultat):  $30_{-0,1}^{+0,2} - X = 10_{+0,2}^{+0,3}$ . Se găsește, prin metoda algebrică:  $-X = -20_{+0,1}^{+0,2}$ , adică  $X = 20_{-0,2}^{-0,1}$ . Prin metoda probabilistică (considerind de exemplu distribuție normală, adică  $k_{R,j} = 1, \alpha_{R,j} = 0$ ):  $30 - N_x = 10$ , deci  $N_x = 20$ ;  $0,2 = \sqrt{0,1^2 + T_x^2}$ , deci  $T_x = 0,173$ ;  $0,1 = 0,05 - X_{cx}$ , adică  $X_{cx} = -0,15$ ;  $A_{sx} = -0,15 + 0,5 \cdot 0,173 \approx -0,063$ ;  $A_{tx} = -0,15 - 0,5 \cdot 0,173 \approx -0,236$ ; rezultă  $X = 20_{-0,236}^{-0,063}$ . Comparind cu metoda algebrică, se observă că s-a găsit pentru  $X$  o toleranță mai mare — ceea ce este mai economic.

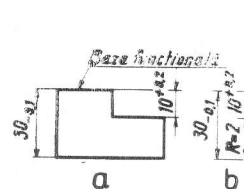


Fig. 2.13. Cîteva cote ale desenului produsului finit:

*a* — produsul finit; *b* — lanț de dimensiuni funcțional

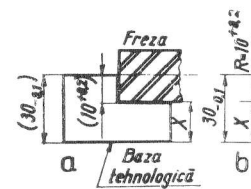


Fig. 2.14. Desenul tehnologic:

*a* — operația de prelucrare; *b* — lanț de dimensiuni tehnologice

Comparind desenul produsului finit cu desenul tehnologic, se observă că se deosebesc: lanțuri de dimensiuni funcționale și lanțuri de dimensiuni tehnologice, baza de cotare funcțională și baza de cotare tehnologică, cote funcționale și cote tehnologice, toleranțe funcționale și toleranțe tehnologice. Toate celelalte clasificări se reduc, pînă la urmă, la aceste două categorii de elemente.

## 2.3. ALTE TIPURI DE LANȚURI DE DIMENSIUNI

**Lanțuri de dimensiuni liniare neparalele.** Pentru rezolvarea lanțului de dimensiuni, se proiectează toate elementele pe direcția elementului rezultat. De exemplu în cazul fig. 2.15, *a* se găsește:  $R = X_1 \cos (90^\circ - \alpha) + X_2 \cos \alpha$ .

Valorile  $\cos (90^\circ - \alpha)$  și  $\cos \alpha$  joacă rolul coeficienților de transmitere, astfel că, pentru un caz general, se poate scrie

$$R = A_1 X_1 + A_2 X_2 + \dots + A_n X_n = \sum_j A_j X_j, \quad (2.28)$$

unde  $A_j$  are valoarea cosinusurilor unghiulare pe care le închid elementele componente cu direcția elementului rezultat, iar semnul se ia după cum  $X_j$  este un element măritor sau reducător (de exemplu, dacă se dă o creștere  $\Delta X_1$  elementului  $X_1$  și se observă că  $R$  crește,  $A_j$  va fi pozitiv — fig. 2.15, *b*).

Rezolvarea lanțului (2.28) se face conform metodei algebrice sau metodei probabilistice.

Lanțuri de dimensiuni unghiulare, fără vîrf comun. Se va considera exemplul din fig. 2.16 [44]. Se scrie:

$$R = A_1\beta_1 + A_2\beta_2 + A_3\beta_3 + A_4\beta_4 + A_5\beta_5, \quad (2.29)$$

unde  $\beta_1$  este neperalelismul dintre axa de rotație a arborelui principal și axa alezajelor pentru lagărele arborelui principal;  $\beta_2$  — neperalelismul dintre axa alezajelor pentru

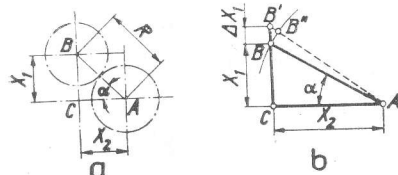


Fig. 2.15. Lanț de dimensiuni liniare neparalele:

a — lanțul de dimensiuni; b — stabilirea semnului lui  $A_1$

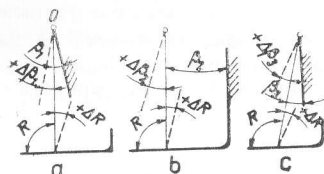


Fig. 2.17. Stabilirea semnului pentru  $A_1$ ,  $A_2$  și  $A_3$ :

a — pentru  $A_1$ ; b — pentru  $A_2$ ; c — pentru  $A_3$

lagărele arborelui principal și ghidajele batiului;  $\beta_3$  — neregularitatea ghidajelor batiului;  $\beta_4$  — neperpendicularitatea dintre ghidajele consolei, în secțiunea verticală;  $\beta_5$  — neperalelismul dintre suprafața de lucru a mesei și sania de ghidare transversală.

Considerându-se un vîrf convențional al unghiurilor  $\beta_1$ ,  $\beta_2$ , și  $\beta_3$  în partea de sus a mașinii (fig. 2.17), iar pentru unghiurile  $\beta_4$  și  $\beta_5$  în partea din spate a mașinii (fig. 2.18), se obține:

$$A_1 = A_2 = A_3 = +1; A_4 = A_5 = -1. \text{ Lanțul de dimensiuni devine:}$$

$$R = \beta_1 + \beta_2 + \beta_3 - \beta_4 - \beta_5.$$

Valorile toleranțelor  $T_j$  și ale coeficienților  $\alpha_j$  și  $k_j$  se vor lua din tabelul 2.19 [28].

Lanțuri de dimensiuni cu abateri variabile. Fie lanțul de dimensiuni  $X_1$ ,  $X_2$  și  $R$  (fig. 2.19). Elementul component  $X_2$  (notat, pentru generalizare, cu  $X$ ) depinde de modulul excentrității  $Y$  și de direcția  $\theta$  a acesteia. Deoarece  $Y$  și  $\theta$  sînt mărimi întîmplătoare

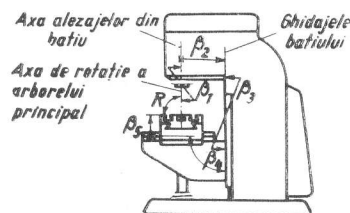


Fig. 2.16. Lanț de dimensiuni unghiulare fără vîrf comun

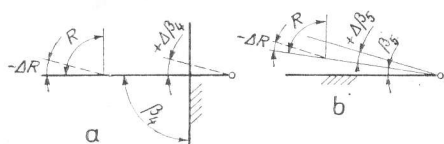


Fig. 2.18. Stabilirea semnului lui  $A_4$  și  $A_5$

a — pentru  $A_4$ ; b — pentru  $A_5$

(în funcție de felul cum a fost montată bușca 2), rezultă că mărimea  $X$  va avea un modul și un semn întîmplător. Rezolvarea se face pe baza teoriei probabilităților — în legătură cu valoarea medie și dispersia produsului dintre mărimi întîmplătoare [5], [14, p. 460]. În tabelul 2.20 [5] se dau relațiile de calcul.

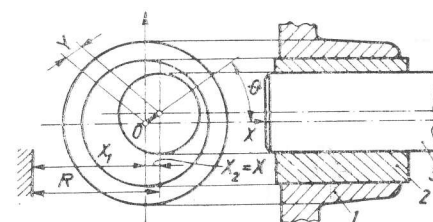


Fig. 2.19. Lanț de dimensiuni cu abateri variabile

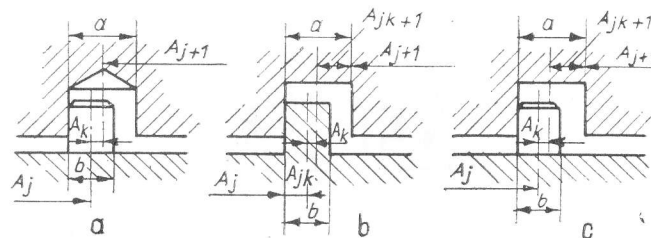


Fig. 2.20. Lanțuri de dimensiuni la jocuri de îmbinare

Lanțuri de dimensiuni cu abateri dependente. În cazul prelucrării împreună a mai multor piese (de exemplu fixate în același dispozitiv sau pe aceeași masă magnetică, cînd distanța dintre masa magnetică și discul abraziv face să apară abateri dependente) sau prelucrării unei piese cu un grup de scule (cînd abaterile dimensionale dintre treptele de prelucrare sînt într-o anumită dependență) este necesar să se țină seama, la rezolvarea lanțurilor de dimensiuni, de relațiile din teoria probabilităților în legătură cu mărimile întîmplătoare corelate, într-o anumită relație de dependență (v. tabelul 2.20[5]).

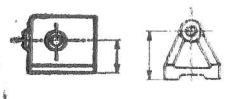
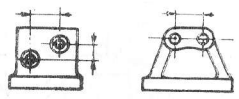
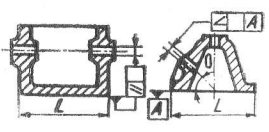
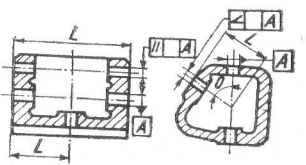
Se deosebesc: abateri *dependente uniforme* (cînd la o valoare bine precizată a unei abateri rezultă valori bine determinate pentru abaterile corelate) și abateri *dependente multifforme* (cînd la o valoare bine precizată a unei abateri rezultă o distribuție de valori pentru abaterile corelate).

Lanțuri de dimensiuni cu elemente deformate. În cazul cînd intervin forțe și temperaturi care produc deformări, în general, este vorba de abateri dependente. Ca urmare, se rezolvă analog ca în cazul precedent.

Numărul lanțurilor de dimensiuni rezolvate într-un proiect. Orice piesă, considerată ca un solid rigid, liber, are șase grade de libertate. Ca urmare, pentru determinarea poziției unei piese, vor fi necesare șase coordonate independente, luate față de trei plane reciproc perpendiculare (bazele de cotare funcționale). Cele șase coordonate vor constitui elemente rezultante a tot atîtea lanțuri de dimensiuni cîte grade de libertate, la deplasare (după direcția celor trei axe de coordonate) sau rotire (în jurul celor trei axe de coordonate), există.

Tabelul 2.19

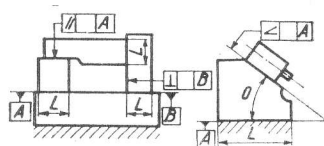
Valorile toleranțelor  $T_j$  și ale coeficienților  $\alpha_j$  și  $k_j$  (după RTM 23 — 61) [44]

Felul dimensiunii
Distanța de la axa unui alezaj la suprafața de bază

Distanța dintre axele alezajelor

Paralelismul, perpendicularitatea, precizia unghiului dintre axa alezajului și suprafața de bază

Paralelismul, perpendicularitatea și precizia unghiului dintre axele alezajelor


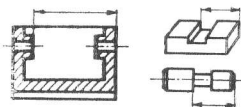
Operația tehnologică	$T_j$	$k_j$	$\alpha_j$	Observații
Rectificarea suprafeței plane de bază, cu reglarea după axa alezajului	0,04—0,12	1,3—1,4	0,3—0,4	
Frezarea suprafeței plane de bază, cu reglarea după axa alezajului	0,10—0,40	1,0—1,3	0—0,3	
Prelucrarea alezajului: — pe mașina de alezat sau mașina de găurit	0,1—0,3	1,0—1,2	0	
— pe mașina de alezat, cu diamant	0,04—0,15	1,1—1,2	0	
Prelucrarea pe mașina de alezat sau mașini de găurit	0,1—0,2	1,0—1,2	0—0,1	
Prelucrarea pe mașina de alezat, cu diamant	0,04—0,10	1,1—1,3	0—0,1	
Rectificarea suprafeței de bază cu reglarea după axa alezajului	$\frac{0,05}{L} \dots \frac{0,1}{L}$	1,2—1,3	0	Dimensiunea $L$ poate să se găsească în intervalul 100 la 300 mm
Frezarea suprafeței de bază cu reglarea după axa alezajului	$\frac{0,1}{L} \dots \frac{0,3}{L}$	1,1—1,2	0	
Reglarea alezajului pe mașina de alezat sau mașina de găurit	$\frac{0,1}{L} \dots \frac{0,2}{L}$	1,1—1,3	0—0,1	
Prelucrarea alezajului pe mașina de alezat, cu diamant	$\frac{0,05}{L} \dots \frac{0,1}{L}$	1,1—1,2	0	
Prelucrarea alezajelor pe mașina de alezat sau mașina de găurit	$\frac{0,1}{L} \dots \frac{0,2}{L}$	1,1—1,3	0	Idem
Prelucrarea alezajelor pe mașina de alezat, cu diamant	$\frac{0,05}{L} \dots \frac{0,1}{L}$	1,1—1,3	0—0,1	

Felul dimensiunii

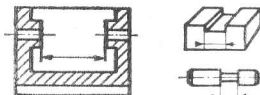
Paralelismul, perpendicularitatea, precizia unghiului dintre suprafețe



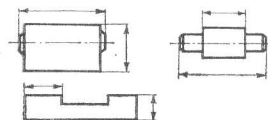
Distanța dintre suprafețe



Distanța dintre pereții unei suprafețe cuprinzătoare



Distanța dintre pereții unei suprafețe cuprinse



Tabelul 2.19 (continuare)

Operație tehnologică	$T_j$	$k_j$	$\alpha_j$	Observații
Rectificarea suprafețelor	$\frac{0,02}{300} \dots \frac{0,1}{300}$	1,2—1,4	0	
Frezarea suprafețelor	$\frac{0,1}{300} \dots \frac{0,3}{300}$	1,1—1,2	0	
Prelucrarea suprafețelor pe mașina de alezat	$\frac{0,1}{300} \dots \frac{0,2}{300}$	1,3—1,4	0	
Prelucrarea suprafețelor pe mașina de rabotat	$\frac{0,1}{300} \dots \frac{0,2}{300}$	1,1—1,4	0	
Rectificare	0,02—0,1	1,3—1,4	0	
Prelucrarea prin frezare, rabotare și mașina de alezat	0,1—1,0	1,1—1,4	0—0,1	
Prelucrarea pe strung, strung revolver și automate	0,1—0,4	1,1—1,4	$\pm 0,2$	
Rectificare	0,02—0,1	1,2—1,4	$\pm 0,25$	
Prelucrarea prin frezare, rabotare și mașina de alezat	0,01—1,0	1,1—1,4	$\pm 0,25$	
Prelucrare pe strung, strung-revolver și automate	0,1—0,4	1,1—1,4	$\pm 0,2$	
Rectificare	0,02—0,2	1,0—1,4	$\pm 0,1$	
Prelucrare prin frezare, rabotare și mașina de alezat	0,1—1,0	1,0—1,4	$\pm 0,2$	
Prelucrare pe strung, strung-revolver și automate	0,1—0,4	1,0—1,4	0—0,3	
Prelucrare pe mașini speciale	0,5—2,0	1,2—1,73	$\pm 0,4$	



Tabelul 2.19 (continuare)

Felul dimensiunii
Diametrul suprafețelor cilindrice exterioare
Diametrul alezajelor
Bătaia radială a suprafețelor
Bătaia axială a suprafețelor frontale

Operația tehnologică	$T_j$	$k_j$	$\alpha_j$	Observații
Rectificare	0,01—0,1	1,0—1,4	0—0,1	
Prelucrare pe strung, carusel, strung-revolver și automate	0,1—0,5	1,1—1,4	$\pm 0,2$	
Rectificare	0,01—0,1	1,0—1,3	0...(-0,2)	
Broșare	0,01—0,1	1,0—1,2	0	
Prelucrare cu alezorul	0,01—0,1	1,0—1,2	0	
Prelucrare pe mașina de alezat, cu diamant	0,02—0,1	1,0—1,2	0...(-0,2)	
Prelucrare pe mașina de alezat	0,02—0,2	1,1—1,2	-0,2	
Găurire	0,1—0,3	1,0—1,2	0	
Rectificare	0,01—0,02	1,14	-0,3	$k_x = 1,7$
Prelucrare pe strung, strung-revolver și automate	0,02—0,1	1,2	-0,3	
Rectificare	0,01—0,1	1,14	-0,3	
Prelucrare pe strung, strung-revolver și automate	0,02—0,1	1,2	-0,3	$k_x = 1,7$

Tabelul 2.20

## Formulele de calcul al lanțurilor de dimensiuni [5]

Caracteristica elementelor și factorii care influențează precizia lanțului de dimensiuni	Formulele de calcul	Observații
1	2	3
Pentru calculul dimensiunilor nominale la diferite tipuri de lanțuri de dimensiuni	$N_R = \sum_j A_j N_j$	$N_{R,j}$ este dimensiunea nominală rezultantă, respectiv componentă; $A_j$ — coeficientul de transmitere
Pentru dimensiuni liniare și unghiulare cu abateri simple (în afară de jocuri)	$X_{cR} = \sum_j A_j (X_{cj} + 0,5 \alpha_j T_j) - 0,5 \alpha_R T_R$ $T_R = \frac{1}{k_R} \sqrt{\sum_j A_j^2 k_j^2 T_j^2}$ <p><i>Observație.</i> <math>\alpha</math> se poate lua nul, deoarece la însumarea erorilor distribuite simetric sau chiar la însumarea unor erori omogene cu distribuție asimetrică, se poate admite că distribuția tinde către o distribuție simetrică</p>	$X_{cR,j}$ — mijlocul cimpului de toleranță (valoarea centrală) a elementului rezultat, respectiv component; $\alpha_{R,j}$ — coeficientul de asimetrie relativă a elementului rezultat, respectiv component; $k_{R,j}$ — coeficientul de împrăștiere relativă a elementului rezultat, respectiv component; $T_{R,j}$ — toleranța elementului rezultat, respectiv, component.
Pentru dimensiuni liniare și unghiulare cu abateri vectoriale (în afară de jocuri)	$X_{cR} = -0,5 \alpha_R T_R$ $T_R = \frac{1}{k_R} \sqrt{A_j^2 k_j^2 T_j^2 + \sum_j A_j^2 k_j^2 T_j^2}$ $k_{xj} = \sqrt{0,5[k_y^2 + 9(1 + \alpha_y)^2]}$	$k_{xj}$ — coeficientul raportat al împrăstierii relative a elementului vectorial $X$ (fig. 2.19); $k_y$ și $\alpha_y$ se referă la distribuția modulului vectorului $y$ (fig. 2.19)
Pentru jocurile de îmbinare arbore-alezaj, într-o parte sau alta-cazul cel mai defavorabil (fig. 2.20,a)	$T_R = \frac{1}{k_R} \sqrt{\frac{1}{4} \sum_j A_j^2 (k_{aj}^2 T_{aj}^2 + k_{bj}^2 T_{bj}^2)}$ $X_{cR} + 0,5 \alpha_R T_R = \pm \frac{1}{2} \sum_j  A_j  \cdot [(N_{aj} - N_{bj}) + (X_{caj} - X_{cbj}) + 0,5(\alpha_{aj} T_{aj} - \alpha_{bj} T_{bj})]$	Indicele $a$ se referă la dimensiunea suprafeței cuprinzătoare (alezaj, iar indicele $b$ se referă la dimensiunea suprafeței cuprinse (arbore)

Tabelul 2.20 (continuare)

1	2	3
Pentru jocuri de îmbinare pană-canal de pană sau arbore canal de pană-elemente de tip $A$ (fig. 2.20,b și c)	$X_{cR} = \sum A_{jk} (X_{cjk} \pm T_{jk})$ <p><i>Observație.</i> Se ia semnul <math>+</math> sau <math>-</math>, astfel încât să se obțină valoarea absolută maximă pentru suma din paranteză,</p>	Elementul $A_{jk}$ se introduce pentru a lua în considerare abaterile axelor de simetrie ale arborelui, respectiv penei și canalului (deoarece dimensiunile nu sînt luate pînă la axele de simetrie)
Lanțuri de dimensiuni cu erori dependente liniar	$X_{cR} + 0,5 \alpha_R T_R = \sum_{k=1}^r [X_{cR} + 0,5 \alpha_k T_k] \sum_{j=1}^{m(n \dots p)} A_{jk} a_{jk} + \sum_{j,k=1}^{p,r} A_{jk} b_{jk}$ $T_R = \frac{1}{k_R} \sqrt{\sum_{k=1}^r k_k^2 T_k^2 \left( \sum_{j,k=1}^{p,r} A_{jk} a_{jk} \right)^2}$ <p>Dacă lanțul de dimensiuni cuprinde o singură grupă de elemente dependente:</p> $X_{cR} + 0,5 \alpha_R T_R = (X_{cR} + 0,5 \alpha_k T_k) \sum_{j=1}^m A_j b_j$ $T_R = \frac{1}{k_R} \sqrt{k_k^2 T_k^2 \left( \sum_{j=1}^m A_j a_j \right)^2}$	<p>Se consideră cazul unui lanț de dimensiuni formate din elemente componente împărțite în grupe de dependență, și anume: prima grupă cuprinde <math>m</math> elemente dependente, a doua grupă <math>n</math> elemente dependente ș.a. m.d., ultima grupă de ordinul <math>r</math> cuprinde <math>p</math> elemente dependente. Elementele dependente</p> <p>— din prima grupă:  <math>Y_{11} = a_{11} X_1 + b_{11};</math>  <math>Y_{21} = a_{21} X_1 + b_{21};</math>  <math>\vdots</math>  <math>Y_{m1} = a_{m1} X_1 + b_{m1};</math></p> <p>— din a doua grupă:  <math>Y_{12} = a_{12} X_2 + b_{12};</math>  <math>Y_{22} = a_{22} X_2 + b_{22};</math>  <math>\vdots</math>  <math>Y_{n2} = a_{n2} X_2 + b_{n2};</math></p> <p>— din ultima grupă:  <math>Y_{1r} = a_{1r} X_r + b_{1r}</math>  <math>Y_{2r} = a_{2r} X_r + b_{2r}</math>  <math>\vdots</math>  <math>Y_{pr} = a_{pr} X_r + b_{pr},</math></p> <p>unde <math>a_{jk}</math> și <math>b_{jk}</math> sînt constante; <math>X_k</math> — mărimea întîmplătoare comună pentru elementele dintr-o grupă de dependență</p>

## 2.4. CAUZELE APARIȚIEI ABATERILOR LA PRELUCRAREA PE MAȘINI-UNELTE

### 2.4.1. GENERALITĂȚI

Factorii care determină apariția abaterilor la prelucrarea pe mașini-unelte se pot clasifica în: factori *independenți* (starea semifabricatului, starea mașinii-unelte și a sculei, condițiile de poziționare și fixare a piesei, condițiile de reglare a mașinii-unelte) și factori *dependenți* de procesul de prelucrare (factorii termici, uzura sculei, vibrațiile, rigiditatea sistemului tehnologic mașină-dispozitiv-sculă-piesă, abateri ale schemei cinematice a mașinii-unelte). În continuare se vor prezenta acești factori, considerați mai importanți.

### 2.4.2. INFLUENȚA FORMEI ȘI DIMENSIUNII PIESEI DE PRELUCRAT ȘI A SEMIFABRICATULUI FOLOSIT

În general, forma pieselor se obține din combinarea unor corpuri geometrice; cu cât acestea vor fi mai simple, cu atât se favorizează obținerea unei precizii mai ridicate. Pe de altă parte, o piesă de formă complexă și având și dimensiuni mai mari se va executa mai greu la un înalt grad de precizie — datorită deformărilor elastice ale piesei (și ale mașinii-unelte), precum și preciziei mai scăzute a sculelor (ca urmare a dimensiunilor mari și formei complexe — în cazul sculelor profilate).

Practica arată că există o legătură bine definită între valoarea diametrului piesei și toleranța la care se poate executa piesa în condiții economice:

$$T_{D,d} = C \sqrt{x} \frac{1}{(D \text{ sau } d)} + C_1(D \text{ sau } d),$$

unde  $C$  este coeficientul tehnologiei de prelucrare (strunjire, alezare, rectificare etc.), iar termenul  $C_1$  ( $D$  sau  $d$ ) înglobează erorile de măsurare (datorită deformărilor elastice ale materialului pieselor și calibrelor și datorită diferențelor de temperatură între acestea), proporționale cu valoarea diametrului de executat; indicele radicalului are valori cuprinse între 2,5 și 3,5, (în medie,  $x = 3$ ).

În ceea ce privește semifabricatul, acesta influențează asupra preciziei prin mărimea și uniformitatea (ca mărime și duritate) adaosului lăsat pentru prelucrare, precum și prin tensiunile interioare existente. De asemenea, posibilitatea alegerii la prima operație de prelucrare a unei baze de așezare corespunzătoare va avea o influență importantă. Suprafața folosită ca bază tehnologică, la prima operație de prelucrare, va fi aceea suprafață care, până la urmă, rămâne neprelucrată (pentru a poziționa corect suprafețele prelucrate, față de cele care rămân neprelucrate). Dacă toate suprafețele se prelucurează, se va alege ca bază tehnologică aceea suprafață care asigură o așezare bună și un adaos de prelucrare uniform pe suprafețele care se prelucurează ulterior (deoarece un adaos neuniform este cauza variației forțelor de așchiere și implicit a intensificării vibrațiilor).

### 2.4.3. ERORILE DE BAZARE

Este indicat ca, pentru mărirea preciziei de prelucrare, să se aleagă, pe cât posibil, baze tehnologice identice cu bazele funcționale. Contrar, intervin erori de bazare  $\Delta b_{real}$ , care trebuie să fie mai mici sau cel mult egale cu valoarea admisibilă a cimpului

de distribuție a dimensiunilor pieselor datorită erorilor de bazare  $W_{b adm}$ , adică  $\Delta b_{real} \leq W_{b adm}$ .

Se poate calcula  $W_{b adm}$  când se dau  $T$  — toleranța piesei,  $W_{\Sigma}$  — amplitudinea cimpului de distribuție a dimensiunilor pieselor în legătură cu metoda de prelucrare,  $\eta$  — eroarea sistematică constantă a dispozitivului și  $W_b$  — amplitudinea cimpului de distribuție a dimensiunilor piesei datorită erorilor de bazare: rezultă

$$T = k \sqrt{W_{\Sigma}^2 + W_b^2} + \eta \text{ sau } W_{b adm} = \frac{1}{k} \sqrt{(T - \eta)^2 - k^2 W_{\Sigma}^2}. \quad (2.30)$$

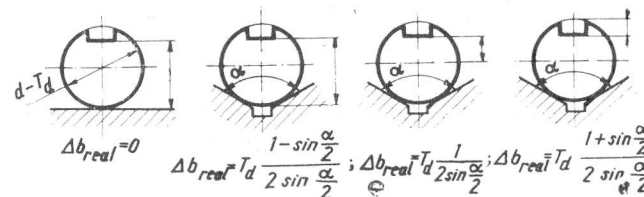


Fig. 2.21. Exemple de erori de bazare

Pentru distribuția normală, se ia  $k = 1$ . În ceea ce privește  $\Delta b_{real}$  acesta se calculează în funcție de așezarea piesei (câteva exemple se dau în fig. 2.21).

De exemplu la executarea dimensiunilor  $L_{1,2}$  (fig. 2.22), precizia acestora va fi funcție de precizia dimensiunilor de bază  $X_{1,2}$ . Se poate lua  $L = \varphi(X_1, X_2, \dots, X_n, \dots, A, B, \dots)$ , în care  $X_i$  sînt dimensiunile de bază, iar  $A, B, \dots$  — dimensiuni constante ale dispozitivului sau ale mașinii-unelte. Eroarea de bazare  $\Delta L$ , considerată ca o mărime infinit mică, se calculează cu ajutorul diferențialei:

$$\Delta L = \frac{\partial \varphi}{\partial X_1} \Delta X_1 + \frac{\partial \varphi}{\partial X_2} \Delta X_2 + \dots + \frac{\partial \varphi}{\partial X_n} \Delta X_n,$$

în care  $\Delta X_i$  reprezintă abaterile dimensiunilor de bazare. Considerînd că  $\Delta L$  și  $\Delta X_i$  sînt amplitudinea cimpurilor de distribuție respective, se găsește:

$$\omega_{b real} = k \sqrt{\sum_{i=1}^n \left( \frac{\partial \varphi}{\partial X_i} \right)^2 T_i^2}. \quad (2.31)$$

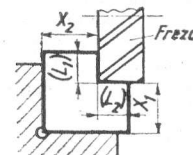


Fig. 2.22. Schema prelucrării, atunci când baza de așezare (tehnologică) diferă de baza funcțională.

### 2.4.4. STAREA MAȘINII-UNELTE

Precizia mașinilor-unelte (și modul de verificare) este prescrisă prin standarde (STAS 1671-66 pentru strunguri universale, STAS 1672-64 pentru mașini de frezat, STAS 2672-65 pentru mașini de rectificat) sau norme interne. Datorită uzurii, cu timpul, abaterile sînt depășite. Ca urmare, este necesar să se facă determinări experimentale asupra preciziei mașinii-unelte. Se va considera un lot de probă (grupă de probă, selecție, sondaj, eșantion). Valoarea  $6s$  (în care  $s$  este abaterea medie pătratică corectată a probei) va

caracteriza amplitudinea distribuției abaterilor întâmplătoare, respectiv precizia mașinii-unelte (cu alte cuvinte, toleranța mașinii-unelte). Este necesar ca

$$6s \leq T, \quad (2.32)$$

unde  $T$  este toleranța piesei prelucrate.

Dacă  $6s > T$ , este necesar să se aleagă o altă mașină-unealtă pentru executarea piesei respective.

Valoarea  $s$  se calculează cu formula (conform STAS 2631-58, pct. 2,12 [14, p. 140]):

$$s = \sqrt{\frac{\sum_{j=1}^n \left( \frac{X'_j - C}{a} \right)^2 n_i}{n-1} - \frac{n}{n-1} \left( \frac{C - \bar{X}}{a} \right)^2}, \quad (2.33)$$

în care  $X'_j$  reprezintă valorile centrale ale celor  $m$  intervale în care s-au clasificat valorile găsite;  $n_i$  — frecvența absolută a intervalelor considerate;  $n$  — numărul total de valori.

Ordonarea valorilor după rang (în ordine crescătoare sau descrescătoare), fiecare valoare fiind scrisă o dată — iar în dreptul ei, trecându-se numărul  $n_i$  de cîte ori se repetă — formează un șir statistic.

#### 2.4.5. INFLUENȚA REGLĂRII MAȘINII-UNELTE

Prin reglare se asigură poziția corectă a sculei așchietoare față de piesa de prelucrat, poziția opritoarelor etc. — astfel încît piesa să fie executată la precizia prescrisă. Deoarece în timpul prelucrării intervin modificări ale poziției sculei față de suprafața de prelucrat (datorită influenței diferiților factori care participă la procesul de așchiere — de exemplu, uzura etc.), este necesar ca la reglare să se ia în considerare influența acestor factori.

Pentru efectuarea unei reglări corespunzătoare și pentru evitarea intervenției prea frecvente în scopul reglării, trebuie să se cunoască care este valoarea medie  $\bar{X}$  a unei selecții. La un reglaj corespunzător trebuie ca  $\bar{X}$  să fie apropiată de dimensiunea medie prescrisă sau, în cazuri speciale, de o anumită dimensiune stabilită în prealabil (bineînțeles, se iau în considerare și factorii care produc abateri sistematice).

Valoarea medie a selecției  $\bar{X}$  se calculează cu formula (STAS 2631-58, pct. 2.3. [14, p. 140]):

$$\bar{X} = C + a \frac{\sum_{j=1}^n n_j \left( \frac{X'_j - C}{a} \right)}{n}. \quad (2.34)$$

Dacă reglarea este corectă și  $6s \leq T$ , atunci cîmpul de dispersie se va suprapune peste cîmpul toleranței, sau va depăși, în mod simetric, acest cîmp.

Prin deplasarea centrului de grupare a dimensiunilor pieselor cu o cantitate  $E$  (fig. 2.23), în cazul  $6s = T$ , o parte din piese nu se vor încadra în limitele prescrise. Procentul de pierderi se calculează cu relația

$$P_r = 0,5 - \Phi \left( \frac{0,5 T + E}{s} \right), \quad (2.35)$$

în care  $\Phi \left( \frac{0,5 T + E}{s} \right)$  reprezintă funcția integrală a lui Laplace [14, tabelul 3.1].

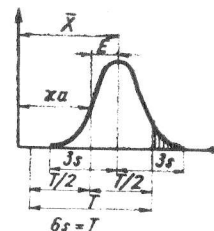


Fig. 2.23. Influența deplasării centrului de distribuție, în cazul  $6s = T$

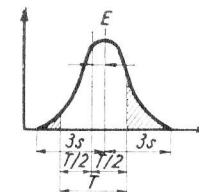


Fig. 2.24. Influența deplasării centrului de distribuție, în cazul  $6s > T$

Pentru cazul  $6s > T$  (fig. 2.24), procentul de piese cu abateri peste limitele prescrise se calculează cu formulele:

$$P_{r1} = \left[ 0,5 - \Phi \left( \frac{0,5 + E}{s} \right) \right] 100\%; \quad P_{r2} = \left[ 0,5 - \Phi \left( \frac{0,5 - E}{s} \right) \right] 100\%.$$

Dacă mașina-unealtă nu se poate schimba, atunci reglarea trebuie făcută astfel ca procentul de piese necorespunzătoare să fie remaniabil.

#### 2.4.6. RIGIDITATEA SISTEMULUI ELASTIC MAȘINĂ-UNEALTĂ-DISPOZITIV-SCULĂ-PIESĂ

În procesul de așchiere apar forțe care tind să producă modificări ale poziției suprafețelor de prelucrat și ale sculelor datorită deformațiilor elastice ale sistemului mașină-unealtă-dispozitiv-sculă-piesă (prescurtat MDSP). Cu cît variația acestor forțe va fi mai mare, cu atît va fi mai accentuată influența asupra preciziei de prelucrare.

Unul din factorii importanți care influențează modificarea poziției este rigiditatea sistemului. Influența rigidității asupra preciziei de prelucrare se referă în mod deosebit asupra formei (fig. 2.25—2.27) și poziției suprafețelor. O rigiditate mică a sistemului facilitează și intensificarea vibrațiilor și deci influențează și calitatea suprafeței.

În vederea reducerii abaterilor de prelucrare datorită deformațiilor elastice sub influența forțelor de așchiere, se impune ca sistemul să aibă o rigiditate ridicată.

Rigiditatea se exprimă sub forma raportului dintre forță și deplasarea după direcția de acționare a acesteia:

$$R = \frac{F}{y} \left[ \frac{\text{daN}}{\text{mm}} \right], \quad (2.36)$$



sau, exprimînd inversul acestui raport, se obține gradul de cedare

$$W = \frac{Y}{F} \left[ \frac{\mu\text{m}}{\text{daN}} \right]. \quad (2.37)$$

La acțiunea mai multor forțe, se face însumarea deformațiilor sau a cedărilor:

$$Y_t = \sum_{i=1}^n \frac{F_i}{R_i} [\mu\text{m}]; \quad (2.38)$$

$$W_t = \sum_{i=1}^n W_i \left[ \frac{\mu\text{m}}{\text{daN}} \right]. \quad (2.39)$$

La calculul rigidității se ține seama de toate forțele care apar în sistemul elastic.

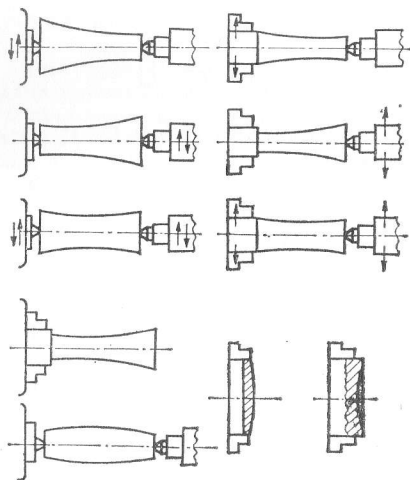


Fig. 2.25. Abateri de formă la strunjire

Este de reținut că, la acționarea simultană a mai multor forțe după direcții diferite, rigiditatea unui sistem va avea alte valori. În procesul de așchiere se va lua în considerare rigiditatea după direcția de acționare a forței care influențează în măsură mai mare precizia de prelucrare.

În fig. 2.28 sînt indicate forțele care apar în sistem, în cazul unui arbore fixat între vîrfuri, pe strung, iar în fig. 2.29 — cazul unei mașini de alezat orizontal. Pentru calculul rigidității statice, la așezarea piesei pe strung, se dau cîteva exemple, în tabelul 2.21.

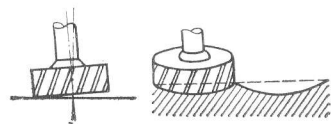


Fig. 2.26. Abateri de formă la frezare



Fig. 2.27. Abateri de formă la rabotare

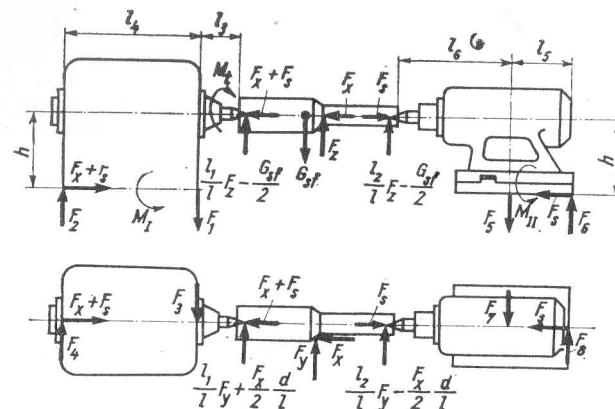


Fig. 2.28. Forțele care apar în sistem în cazul unui arbore fixat între vîrfuri, pe strung:

$F_z, F_x$  și  $F_y$  — componentele forței de așchiere;  $G_{sf}$  — greutatea semifabricatului;  $M_t$  — momentul de torsiune;  $F_s$  — forța de stringere axială a piesei între vîrfuri;  $F_1, F_2, F_3, F_4$  și  $M_I$  — forțele și, respectiv, momentul (în plan transversal) care acționează asupra păușii fixe;  $F_5, F_6, F_7, F_8$  și  $M_{II}$  — forțele și, respectiv, momentul (în plan transversal) care acționează asupra păușii mobile. Relațiile de calcul sînt următoarele:

$$F_1 = \frac{l_3 + l_4}{l_4} \left( \frac{l_1}{l} F_z - \frac{G_{sf}}{2} \right) + \frac{h}{l_4} (F_x + F_s);$$

$$F_2 = \frac{l_3}{l_4} \left( \frac{l_1}{l} F_z - \frac{G_{sf}}{2} \right) + \frac{h}{l_4} (F_x + F_s); \quad F_3 = \left( \frac{l_3 + l_4}{l_4} \right) \cdot$$

$$\left( \frac{l_1}{l} F_y + \frac{F_x}{2} \cdot \frac{d}{l} \right); \quad F_4 = \frac{l_3}{l_4} \left( \frac{l_1}{l} F_y + \frac{F_x}{2} \cdot \frac{d}{l} \right); \quad F_5 = \frac{l_6 + l_5}{l_5} \cdot$$

$$\left( \frac{l_2}{l} F_z - \frac{G_{sf}}{2} \right) + \frac{h}{l_5} F_s; \quad F_6 = \frac{l_6}{l_5} \left( \frac{l_2}{l} F_z - \frac{G_{sf}}{2} \right) + \frac{h}{l_5} F_s;$$

$$F_7 = \frac{l_6 + l_5}{l_5} \left( \frac{l_2}{l} F_y - \frac{F_x}{2} \cdot \frac{d}{l} \right); \quad F_8 = \frac{l_6}{l_5} \left( \frac{l_2}{l} F_y - \frac{F_x}{2} \cdot \frac{d}{l} \right);$$

$$M_I = F_z \frac{d}{2} - \left( \frac{l_1}{l} F_y + \frac{F_x}{2} \cdot \frac{d}{l} \right) h; \quad M_{II} = \left( \frac{l_2}{l} F_y - \frac{F_x}{2} \cdot \frac{d}{l} \right) h$$

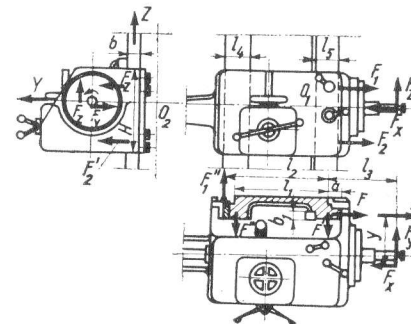
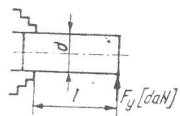
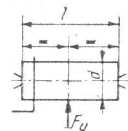
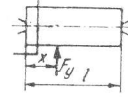
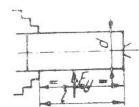


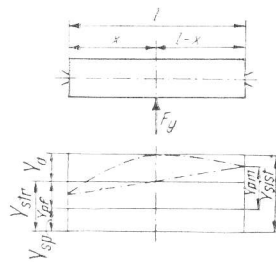
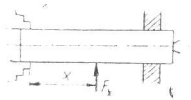
Fig. 2.29. Forțele care apar în sistem, în cazul unei mașini de alezat orizontal

Tabelul 2.21

## Exemple de calcul al rigidității statice

Felul fixării arborelui	Schița	Formulele de calcul
1	2	3
Arbore lis fixat în universal	$E = 2,1 \cdot 10^4 \frac{\text{daN}}{\text{mm}^2};$ $J = 0,05 d \text{ mm}^4$ , unde $d$ și $l$ în mm 	$R_{a \min} = \frac{3 E J}{l^3} \left[ \frac{\text{daN}}{\text{mm}} \right]$ sau $R_{a \min} = 3 \cdot 10^3 d \left( \frac{d}{l} \right)^3 \left[ \frac{\text{daN}}{\text{mm}} \right]$ $W_{a \max} = \frac{1}{3 d} \left( \frac{l}{d} \right)^3 \left[ \frac{\mu\text{m}}{\text{daN}} \right]$
Arbore lis fixat între vîrfuri	 	$R_{a \min} = \frac{48 E J}{l^3} \left[ \frac{\text{daN}}{\text{mm}} \right]$ sau $R_{a \min} = 48 \cdot 10^3 \left( \frac{d}{l} \right)^3 d \left[ \frac{\text{daN}}{\text{mm}} \right]$ $W_{a \max} = \frac{1}{48 d} \left( \frac{l}{d} \right)^3 \left[ \frac{\mu\text{m}}{\text{daN}} \right]$ Pentru poziția $x$ a forței: $W_a = \frac{x^2(l-x)^2}{3 E J l} 10^3 \left[ \frac{\mu\text{m}}{\text{daN}} \right]$
Arbore lis fixat în universal și vîrf		$R_{a \min} = \frac{110 E J}{l^3} \left[ \frac{\text{daN}}{\text{mm}} \right]$ $W_{a \max} = \frac{1}{110 d} \left( \frac{l}{d} \right)^3 \left[ \frac{\mu\text{m}}{\text{daN}} \right]$

Tabelul 2.21 (continuare)

1	2	3
Deformarea sistemului tehnologic strung-dispozitiv-piesă-sculă în cazul unui arbore lis, fixat între vîrfuri		Deformarea suportului: $Y_{sp} = F_y W_{sp} [\mu\text{m}]$ Deformarea păpușii fixe: $Y_{pf} = F_y \left( \frac{l-x}{l} \right)^2 W_{pf} [\mu\text{m}]$ Deformarea păpușii mobile: $Y_{pm} = F_y \left( \frac{x}{l} \right)^2 W_{pm} [\mu\text{m}]$ Deformarea arborelui: $Y_a = F_y \frac{x^2(l-x)^2}{3 E J l} 10^3 [\mu\text{m}]$ Considerînd scula foarte rigidă deformarea sistemului și forma geometrică a piesei prelucrate va fi $Y_{sist} = F_y \left[ W_{sp} + \left( \frac{l-x}{l} \right)^2 W_{pf} + \left( \frac{x}{l} \right)^2 W_{pm} + \frac{x^2(l-x)^2}{3 E J l} 10^3 \right] [\mu\text{m}]$
Deformarea sistemului tehnologic în cazul sprijinirii arborelui cu lunetă	 $W_l$ - cedarea lunetei, $\mu\text{m}$	$Y_{sist} = F_y \left\{ \frac{W_l \left[ W_{pf} \left( \frac{l-x}{l} \right)^2 + W_{pm} \left( \frac{x}{l} \right)^2 + \frac{x^2(l-x)^2}{3 E J l} 10^3 \right]}{W_l + \left[ W_{pf} \left( \frac{l-x}{l} \right)^2 + W_{pm} \left( \frac{x}{l} \right)^2 + \frac{x^2(l-x)^2}{3 E J l} 10^3 \right]} + W_{sp} \right\} [\mu\text{m}]$ Pentru $x = l$ : $Y_{sist} = F_y \left( W_{sp} + \frac{W_l W_{pm}}{W_l + W_{pm}} \right) [\mu\text{m}]$ Pentru $x = 0$ : $Y_{sist} = F_y \left( W_{sp} + \frac{W_l W_{pf}}{W_l + W_{pf}} \right) [\mu\text{m}]$

## 2.4.7. VIBRAȚIILE CARE APAR ÎN PROCESUL DE AȘCHIERE

2.4.7.1. CAUZELE APARIȚIEI VIBRAȚIILOR. Prelucrarea prin așchiere este însoțită întotdeauna de vibrații relative între scula așchietoare și piesă. Acestea micșorează durabilitatea sculei (dăunător mai ales în cazul degroșării), măresc uzura utilajului și înrăutățesc netezimea suprafeței prelucrate (dăunător mai ales la finisare). Cauzele vibrațiilor sint:

*Vibrații transmise prin fundație*, respectiv vibrații forțate, datorită vibrațiilor produse de alte mașini. Contra acestora se poate lupta prin izolarea mașinii care generează vibrații (metodă indicată mai ales pentru fundația ciocanelor și preselor) sau prin izolarea mașinii-unelte luate în considerare.

*Construcția mașinii-unelte*, datorită: vibrațiilor produse de piesele în mișcare de rotație neechilibrate; acționării prin roți dințate (din această cauză la mașinile-unelte de precizie arborele principal este antrenat prin curele — care joacă rolul de filtru); acționării prin curea (în cazul unei mari precizii se utilizează curele fără cusătură, de mătase); lagărelor (ca urmare a impreciziei suprafețelor elementelor de rulare sau a căilor de rulare); lipsei de rigiditate statică și dinamică (în legătură cu construcția sau montarea mașinii-unelte — se obține o rigiditate mai mare, în cazul unei mașini-unelte existente, prin utilizarea de lunete, prin fixarea sculei și piesei într-o poziție în care deplasarea dinamică relativă este mică [27]; alunecării intermitente (stick-slip) la mecanismele de translație [27, p. 96]

*Excentricitatea piesei* (modul de fixare a piesei în dispozitiv), *dispozitivului sau sculei* (când aceasta se rotește).

*Proprietățile materialului prelucrat* (neomogenitatea materialului), precum și *dimensiunile piesei prelucrate* (în legătură cu lipsa de rigiditate a acesteia).

*Așchieră intermitentă*, în cazul: prelucrării suprafețelor discontinue (canale de pană etc.; de exemplu, la rectificare, se recomandă introducerea în canal a unei pene de lemn) sau în cazul folosirii sculelor cu mai multe tășuri. Astfel în cazul frezării frontale, se recomandă ca numărul de dinți care așchiază simultan să fie un întreg, iar lățimea piesei prelucrate să nu fie mai mică decât jumătatea diametrului frezei. În cazul frezării cilindrice, se recomandă utilizarea de dinți înclinați — astfel încît un număr întreg de dinți să prelucreză simultan, respectiv să existe condiția de uniformitate  $\text{tg } \lambda = \frac{k\pi D}{tz}$  -

unde:  $\lambda$  este unghiul de înclinare;  $z$  — numărul de dinți ai frezei;  $D$  — diametrul frezei;  $t$  — adîncimea principală de așchiere;  $k = 1; 2$  sau  $3$  (luînd  $k = 1; 2$  sau  $3$ , se calculează astfel încît să se satisfacă valorile recomandate; deoarece practic valoarea lui  $t$  variază, se recomandă să se ia  $k = 2 \dots 3$ , obținîndu-se o variație a forțelor de așchiere mai mică de 20% — deci admisibil.

*Vibrații autoexcitate*, introduse și întreținute de forțele existente în însuși procesul de așchiere și dăunătoare netezimii suprafețelor prelucrate, durabilității sculelor așchietoare, productivității muncii — datorită faptului că, în unele cazuri, eliminarea acestora se face prin reducerea vitezei de așchiere. Sistemul tehnologic MDSP formează un sistem dinamic în mișcare permanentă. Cînd intervin perturbări (variația forțelor de frezare pe fețele sculei, variația forțelor de așchiere datorită neomogenității materialului prelucrat sau datorită formării și căderii depunerilor pe tăș, urme de vibrații rămase de la operația precedentă etc.), care fac ca peste forța de așchiere permanentă să se suprapună o forță variabilă în timp — dacă această forță este astfel încît mărește perturbarea inițială (se formează o forță variabilă și mai mare, care mărește și mai mult perturbarea ș.a.m.d.) — rezultă o instabilitate dinamică. (Dacă această forță acționează contrar

perturbării, se stabilește, cu timpul, condiția de așchiere statică — adică sistemul va fi stabil).

2.4.7.2. VIBRAȚII AUTOEXCITATE. Sistemul tehnologic MDSP este constituit din elemente care au *masă*, *capacitate de cedare* (elasticitate) și *capacitate de amortizare* (de dispersie a energiei prin căldură, zgomot etc). Ansamblul acestora constituie un sistem oscilant mecanic similar cu circuitele oscilante electrice (fig. 2.30). Dacă se excită sistemul oscilant mecanic cu o forță sinusoidală  $F = F_0 \sin \omega \tau$  (unde  $F_0$  este strict constant;  $\omega$  — pulsația,  $\frac{\text{rad}}{\text{s}}$ ;

$\tau$  — timpul), variînd pulsația, deplasarea punctului de aplicație a forței va fi, de asemenea, sinusoidală, cu aceeași frecvență și defazată cu  $\varphi$ :

$$y = y_0 \sin (\omega \tau - \varphi).$$

Suma forțelor ce acționează asupra mesei va fi egală cu produsul dintre masa și accelerația acesteia (legea a doua a lui Newton):

$$m \frac{d^2 y(\tau)}{d\tau^2} + \frac{C}{\omega_n} \frac{dy(\tau)}{d\tau} + ky(\tau) = f(\tau), \quad (2.40)$$

unde  $C$  este coeficientul de amortizare. Termenul al doilea din primul membru reprezintă forța de amortizare (proporțională cu viteza în cazul amortizării viscoase și a celei hysterezis, la amplitudini mici); iar cel de-al treilea termen — forța indusă în arc. Aplicînd transformata Laplace, rezultă

$$(ms^2 + Cs + k) \mathcal{Y}(s) = \mathcal{F}(s)$$

Funcția de transfer (raportul dintre semnalul de ieșire și cel de intrare) va fi intervalul impedanței mecanice (raportul dintre forță și deplasarea provocată de aceasta):

$$\frac{\mathcal{Y}(s)}{\mathcal{F}(s)} = \frac{1}{ms^2 + Cs + k} = \frac{1}{k \left( \frac{s^2}{\omega_n^2} + \frac{2\delta s}{\omega_n} + 1 \right)} = \frac{1}{k} G(s)$$

unde:  $s$  este mărime complexă ( $s = \sigma + j\omega$ );  $\omega_n$  — pulsația proprie a sistemului,  $\frac{\text{rad}}{\text{s}}$ ;

$\delta$  — raportul de amortizare  $\left( \delta = \frac{C}{C_{cr}} = \frac{C}{2\sqrt{km}} \right)$ ;  $C_{cr}$  — coeficientul de amortizare critic.

Relația găsită arată că rigiditatea dinamică  $\frac{\mathcal{F}(s)}{\mathcal{Y}(s)} = \frac{k}{G(s)} = k \frac{1}{G(s)}$  este egală cu produsul dintre rigiditatea statică  $k$  și inversul unui operator diferențial  $G(s)$ , a cărui valoare variază cu variația pulsației. Relația reprezintă rigiditatea dinamică a unui

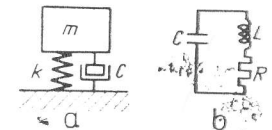


Fig. 2.30. Sistem oscilant cu un singur grad de libertate:

a — mecanic; b — electric

circuit oscilant mecanic cu un singur grad de libertate. Înlocuind  $s = j\omega$  [31], se găsește

$$\frac{\mathcal{Y}(s)}{\mathcal{F}(s)} = \frac{1}{k \left( \frac{\omega^2}{\omega_n^2} + \frac{2\delta j\omega}{\omega_n} + 1 \right)}$$

În cazul sarcinilor statice ( $\omega = 0$ ), se ajunge la ecuația rigidității statice

$$\frac{\mathcal{Y}(j \cdot 0)}{\mathcal{F}(j \cdot 0)} = \frac{1}{k}$$

Pentru sisteme cu mai multe grade de libertate, ecuațiile diferențiale transformate Laplace se rezolvă utilizând calculul matricial.

În cazul mașinilor-unelte-masa, amortizorul și arcul constituind proprietăți difuze ale structurii acestora, nepreconizabile prin calcul — stabilirea valorii acestora se face pe cale experimentală, excitându-se structura mașinii-unelte într-un punct considerat, cu un excitator (mecanic, hidraulic, electric sau combinat) ce asigură o forță de tipul  $F = F_0 \sin \omega \tau$  [26] și măsurându-se deformația în punctul căutat, determinându-se astfel răspunsul la frecvență al structurii (fig. 2.31). În particular, la mașini-unelte se iau în considerare punctele de intrare și ieșire după direcțiile în care este afectată precizia de prelucrare (direcțiile perpendiculare pe suprafața prelucrată și eventual direcțiile ortogonale față de acestea).

Simplificând modelul lui Merritt [15], presupunând că așchierea este continuă (luând un fragment dintr-o piesă ce se rotește) și concentrând masa echivalentă a sistemului

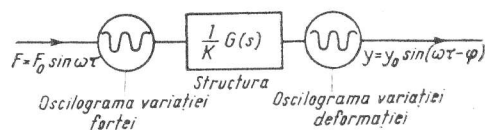


Fig. 2.31. Schema bloc a răspunsului la frecvență a structurii

oscilant cu un singur grad de libertate în piesă (fig. 2.32), dacă se reglează grosimea de așchiere la valoarea  $a_0$ , datorită forței staționare  $F_y$  sistemul cedează, astfel încât virful cuțitului descrie traiectoria 1. Datorită vibrațiilor sistemului, traiectoria reală rezultă ondulatorie, în jurul direcției 1. La trecerea următoare fenomenul repetindu-se, traiectoria va fi ondulatorie în jurul direcției 2. Pentru un timp  $\tau$ , grosimea instantanee a așchierii

$$a(\tau) = a_0(\tau) - y(\tau) + \mu y(\tau - \tau_0),$$

unde  $y(\tau)$  este deformația sistemului la timpul  $\tau$ ;  $y(\tau - \tau_0)$  — deformația la timpul  $\tau - \tau_0$ ;  $\tau_0$  — timpul între două treceri succesive (la strunjire: timpul unei rotații a piesei);  $\mu$  — coeficient care ia în considerare faptul că la trecerea următoare grosimea instantanee este îngroșată de deformația trecerii anterioare (de exemplu, la retezare), când  $\mu = 1$  sau de cazul cînd fenomenul nu are loc (de exemplu, la filetare)  $\mu = 0$ .

Transformata Laplace a relației anterioare dă

$$\mathcal{A}(s) = \mathcal{A}_0(s) - \mathcal{Y}(s) + \mu e^{-\tau_0 s} \mathcal{Y}(s). \quad (2.41)$$

Forța de așchiere  $F_y(\tau)$  variază ca urmare a variației grosimii așchierii precum și datorită dinamicii procesului de așchiere (problemă încă nedefinitiv elucidată). Forța

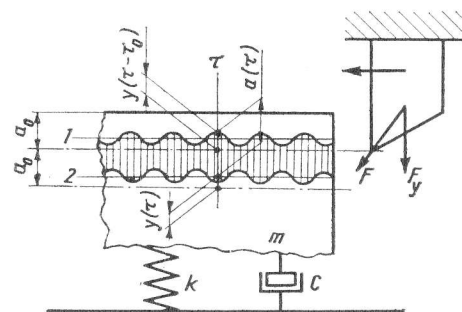


Fig. 2.32. Sistemul oscilant mecanic, cu un singur grad de libertate, în cazul așchierii

fiind influențată de diferiți parametri — după cum s-a văzut, ecuația diferențială, care să reflecte dinamica de așchiere, după V. A. Kudinov, este  $dF = dF_a + dF_y + dF_x + \dots$ , unde

$$dF_a = \frac{\partial F}{\partial a} da; \quad dF_y = \frac{\partial F}{\partial y} dy; \quad dF_x = \frac{\partial F}{\partial x} dx \dots$$

Neglijînd componenta dinamică — pînă la definitivarea ei, se poate scrie

$$F_y(\tau) = k_c a(\tau),$$

unde  $k$  este rigiditatea statică de așchiere (deoarece reprezintă raportul dintre o forță și o dimensiune care determină această forță). Transformata Laplace va fi

$$\mathcal{F}_y(s) = k_c \mathcal{A}(s). \quad (2.42)$$

Relațiile (2.40) — (2.42) definesc sistemul dinamic al mașinii-unelte. Cu aceste relații se construiește schema bloc, care definește comportarea sistemului la vibrații autoexcitate (fig. 2.33) datorită variației grosimii așchierii (și fără să țină seama de efectele altui factor care cauzează vibrații).

Schema bloc (calea directă) arată că, înmulțindu-se adîncimea instantanee  $\mathcal{A}(s)$  cu  $k_c$ , se obține forța  $\mathcal{F}(s)$ ; iar aceasta, înmulțită cu capacitatea dinamică de cedare, dă deformația instantanee  $\mathcal{Y}(s)$ .

Aplicînd principiile reglării automate pentru determinarea funcțiilor de transfer [31], rezultă

$$\frac{\mathcal{A}(s)}{\mathcal{A}_0(s)} = \frac{1}{1 + (1 - \mu e^{-\tau_0 s}) \frac{k_c}{k} G(s)}$$



Condiția de stabilitate din punct de vedere matematic este asigurată dacă rădăcinile ecuației caracteristice a funcției de transfer au părți reale negative. (Dacă oricare dintre rădăcini sau toate au părți reale pozitive, sistemul este instabil). Limita stabilității este reprezentată de cazul când o rădăcină are partea reală nulă, iar restul având părți reale negative.

Ecuația caracteristică este

$$1 + (1 - \mu e^{-\tau_0 s}) \frac{k_c}{k} G(s) = 0.$$

Rădăcinile acestei ecuații, conform celor spuse, trebuie să se limiteze la partea stângă a planului  $s$  (fig. 2.34). Rădăcinile de pe axa imaginară sînt de forma  $s = j\omega$  — și corespund soluțiilor armonice. Prin găsirea acestor soluții se definește limita stabilității. Înlocuind mai sus,  $s = j\omega$ , se găsește

$$\frac{k_c}{k} G(j\omega) = - \frac{1}{1 - \mu e^{-\tau_0 j\omega}}.$$

Membrul întâi reprezintă produsul funcțiilor de transfer al căii directe, adică raportul  $\mathcal{Y}(s)/\mathcal{A}(s)$ . Membrul al doilea  $-1/(1 - \mu e^{-\tau_0 s}) = G_p$ , reprezentat grafic, constituie locul geometric al punctelor critice [31]. Intersecțiile diagramei  $\mathcal{Y}(s)/\mathcal{A}(s)$  cu punctele de pe locul geometric critic dau soluțiile armonice ale ecuației caracteristice, care definesc limita

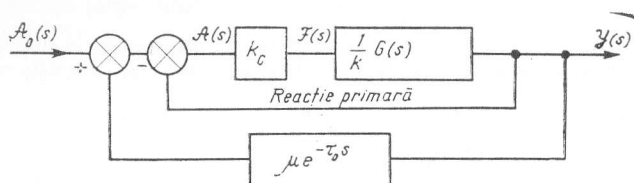


Fig. 2.33. Schema bloc care definește comportarea sistemului la vibrații autoexcitate

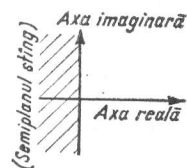


Fig. 2.34. Planul  $s$ .

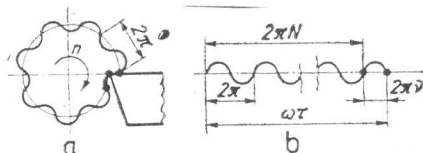


Fig. 2.35. Traectoria corespunzătoare unei rotații, în cazul strunjirii transversale

stabilității. Dacă graficul  $\mathcal{Y}(s)/\mathcal{A}(s)$  nu intersectează nici un punct definit de  $G_p$ , sistemul este absolut stabil, ceea ce are loc la valori mici ale rigidității statice de așchiere, adică la lățimi mici de așchiere.

Locul geometric critic  $G_p$ , este o funcție de  $\mu$  și  $\omega_0 \tau$ . Considerînd de exemplu cazul strunjirii transversale (fig. 2.35, a), desfășurata traiectoriei (fig. 2.35, b) va fi formată

dintr-un număr întreg  $N$  de unde și o fracțiune  $\nu$  dintr-o undă, adică  $\omega \tau_0 = 2\pi(N + \nu)$ . Ca urmare  $e^{-j\omega \tau_0} = e^{-j2\pi(N+\nu)} = e^{-j2\pi\nu}$ , deoarece,  $N$  fiind un număr întreg,  $e^{-j2\pi N} = 1$ .

Rezultă

$$G_p = \frac{-1}{1 - \mu e^{-j2\pi\nu}},$$

adică  $G_p$  este funcția de  $\mu$  (gradul de acoperire) și  $\nu$  (fracțiunea de undă finită de pe periferia piesei).

Merritt [23] indică metodologia determinării contururilor  $\mu = \text{const}$  și  $\nu = \text{const}$  \*) (cercuri, fig. 2.36). Pentru  $\mu = 1$ , se vede că locul geometric critic este o linie paralelă cu axa imaginară, trecînd prin punctul  $-0,5 + j \cdot 0$ . Dacă sistemul este stabil la toate vitezele, curba de răspuns la frecvență  $\mathcal{Y}(s)/\mathcal{A}(s)$  nu va intra în regiunea din stînga acestei linii. Deci  $\mu = 1$  impune cele mai mari restricții stabilității. Cu descreșterea lui  $\mu$  spre  $\mu = 0$ , curba de răspuns poate intra în regiunile exterioare cercurilor corespunzătoare valorii efective a lui  $\mu$ . În cazul  $\mu = 0$ , regiunea critică se reduce la un punct:  $-1 + j \cdot 0$ , care este punctul critic convențional Nyquist. În această situație nu apare nici într-un caz instabilitatea dinamică.

Pentru ușurarea operațiilor, se poate utiliza reprezentarea în coordonate carteziene, luînd în abscisă defazarea, în grade, iar în ordonată logaritmul modului  $\mathcal{Y}(s)/\mathcal{A}(s)$  (fig. 2.37). În această diagramă, calea directă a schemei bloc avînd funcția de transfer sub forma

$$\Phi = \frac{k_c}{k} G(s) = \frac{1}{\frac{s^2}{\omega_n^2} + 2\delta \frac{s}{\omega_n} + 1} \cdot \frac{k_c}{k},$$

va avea pe ordonată, pentru cazul  $\omega = 0$ , deci  $s = j\omega = j \cdot 0 = 0$ , valoarea  $\Phi = \frac{k_c}{k}$ . Experimental, se va

determina curba răspunsului la frecvență, pentru o singură forță. Trasîndu-se această curbă pe hirtie transparentă (fig. 2.38) și suprapunîndu-se peste graficul locului geometric critic prin deplasare după direcția orizontală, se obține adunarea logaritmului lui  $k_c$  (fig. 2.39).

\*) Deși metodologia este identică cu aceea a determinării contururilor  $M = \text{const}$  și  $N = \text{const}$  din teoria reglării automate [23], semnificația este cu totul deosebită.

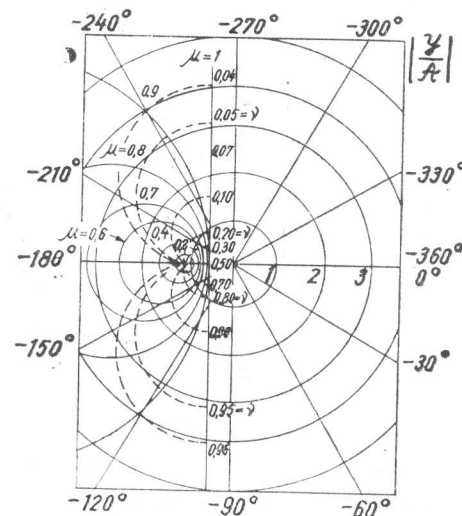


Fig. 2.36. Diagrama polară a locurilor geometrice critice  $G_p$  [15]

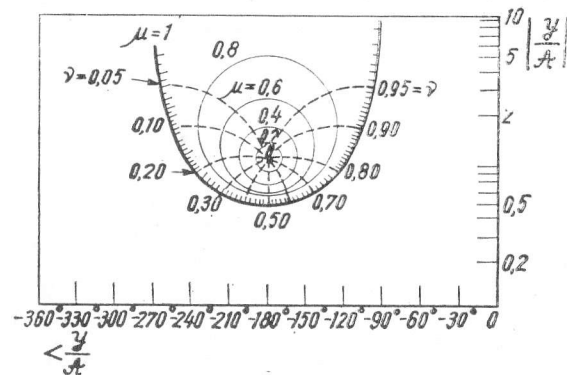


Fig. 2.37. Locul geometric critic [15]

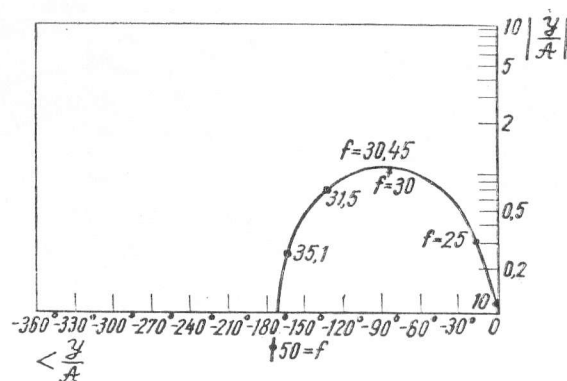


Fig. 2.38. Curba răspunsului la frecvență [15]

**Exemplu:** Fie  $k_c/k = 0,1$  (fig. 2.38). Din fig. 2.39 se găsește  $\frac{k_c}{k} = 0,1$ , este tangentă la  $\mu=1$ , în dreptul frecvenței  $f = 31,5$  Hz și punctul corespunzător curbei  $\nu = 0,758$ . Deoarece  $\omega = 2\pi f$  și  $\tau_0 = \frac{1}{n}$ , rezultă  $N + \nu = f\tau_0 = f \frac{1}{n}$ , adică  $n = \frac{f}{N + \nu}$ . În cazul de față, dînd lui  $N$  valori de la 1 la  $N$ , se obțin turațiile critice  $n = \frac{31,5}{0,758 + N} = 42,4; 18,1; 11,5; 8,42; 6,65; 5,48 \frac{\text{rot}}{\text{s}}$ .

Luînd diferite valori pentru  $k_c/k$ , se stabilește diagrama de stabilitate (fig. 2.40). Diagrama arată că, atunci cînd la o anumită turație apar vibrații autoexcitate, schimbînd turația, acestea pot dispărea.

Deoarece răspunsul la frecvență al sistemului (capacitatea dinamică de cedare) depinde de direcția considerată, iar aparatul necesar este complex și costisitor, Merritt [23]

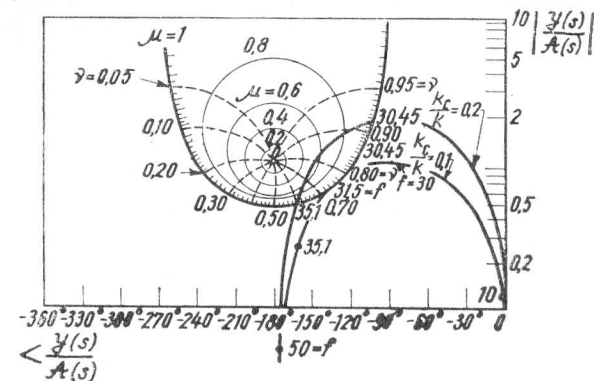


Fig. 2.39. Determinarea frecvențelor critice [15]

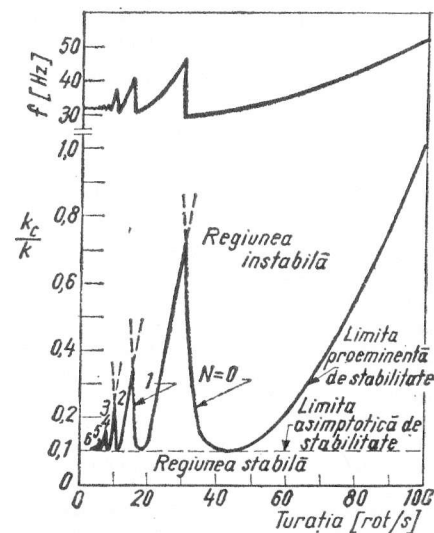


Fig. 2.40. Diagrama de stabilitate [15]

a considerat și un criteriu de stabilitate simplificat. Din fig. 2.36 se vede că stabilitatea absolută este asigurată dacă curba răspunsului la frecvență este în interiorul unui cerc de rază  $\frac{1}{2}$ ;

$$\frac{\mathcal{Y}(s)}{\mathcal{A}(s)} = \frac{k_c}{k} [G(j\omega)] < \frac{1}{2}.$$

Notînd valoarea maximă a capacității de cedare dinamică cu  $\frac{1}{k_a}$ , rezultă  $k_c/k_a < \frac{1}{2}$ , adică  $k_c < \frac{k_a}{2}$ . Practic, se măsoară rigiditatea dinamică minimă, pentru toate orientările posibile ale forței de așchiere și se impune  $k_c$  mai mic decît jumătate din această valoare. În acest caz, așchieria va fi absolut stabilă.

**2.4.7.3. MICȘORAREA VIBRAȚIILOR.** Micșorarea acestora se face, pe de o parte, diminuînd cauzele interne și externe ale vibrațiilor forțate (vibrații ce provin din fundație, de la motoare, curele, roți dințate, dezechilibru al organelor de mașini aflate în rotație etc.) iar, pe de altă parte (din studiul căii directe a schemei bloc din fig. 2.33), acționînd asupra elementelor  $k_c$  și  $\frac{1}{k} G(s)$ , adică asupra condițiilor în care se desfășoară așchieria și asupra caracteristicilor dinamice ale structurii mașinii-unelte. Astfel, asupra mărimii  $k_c$  se acționează prin utilizarea unor geometrii corespunzătoare a sculelor așchietoare — fațetă cu unghi de degajare negativ (M. I. Klushin și D. L. Ryzhkov), mărirea unghiului de degajare (A. P. Sokolovski), mărirea unghiului de atac principal, tăiș transversal, de exemplu la burghie (S. A. Tobias și W. Fishwick) sau tăiș frontal lat de la freze frontale (S. A. Tobias) — și prin ascuțirea preventivă a sculelor (deoarece uzura poate da naștere la vibrații). Elementul  $\frac{1}{k} G(s)$  poate contribui la micșorarea vibrațiilor,

prin utilizarea în construcția de mașini-unelte a unor materiale avînd capacitate mare de amortizare, prin folosirea eficientă a amortizării coulombiene (a frecărilor uscate între subansambluri) sau prin aplicarea, la mașina finită, a unor amortizori special construiți; se pot folosi, de asemenea, absorbitori cu masă auxiliară.

#### 2.4.8. INFLUENȚA FACTORILOR TERMICI

În timpul prelucrării mecanice are loc încălzirea sistemului tehnologic mașină-dispozitiv-sculă-piesă, datorită: căldurii degajate în procesul de așchiere; frecării între suprafețele mobile ale diferitelor subansambluri (de exemplu, între arborele principal al mașinii și lagăre, între roțile dințate din cutia de viteze); surselor exterioare (de exemplu, temperatura mediului ambiant, temperatura uleiului din sistemul de ungere, temperatura fluidului de așchiere), iar, după terminarea prelucrării, are loc răcirea acestuia. Ca urmare, starea termică a sistemului va fi la început variabilă (temperatura de regim staționar se atinge de exemplu după 3—4 h de funcționare în păpușa fixă a strungului, 20—40 min de așchiere continuă a cuțitului, într-un timp mai scurt în piesă — după dimensiunile acesteia). Datorită acestui fapt, pot avea loc abateri dimensionale și de formă ale pieselor prelucrate (cele mai mari abateri se datoresc variației temperaturii sculei; în ceea ce privește mașina-uneltă, abaterile cele mai mari se datoresc păpușii fixe).

Dacă se consideră, ca exemplu, prelucrarea pe strung, influența sculei asupra abaterilor depinde de condițiile de așchiere: degroșare și finisare pe aceeași mașină, cu același cuțit și cu adîncimi de așchiere diferite (fig. 2.41, a) sau cu cuțite diferite cu adîncimi de așchiere diferite (fig. 2.41, b — prelucrare individuală); degroșarea și finisarea pe

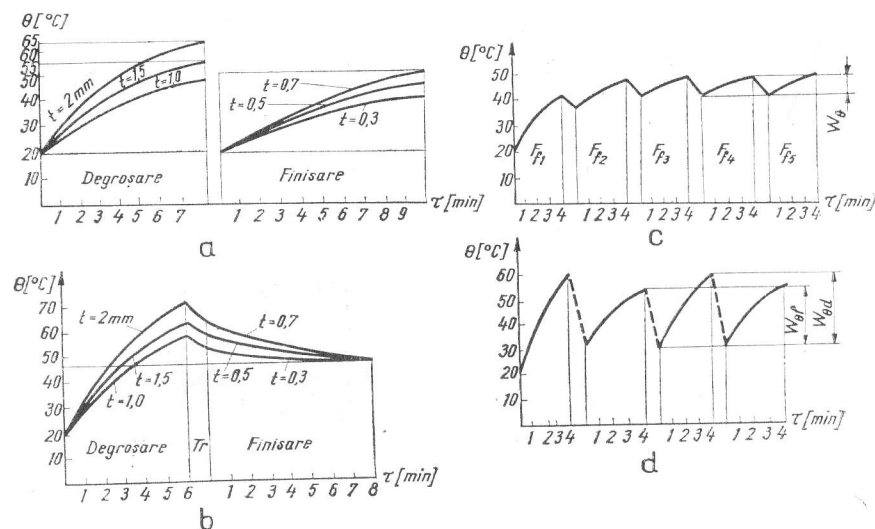


Fig. 2.41. Variația temperaturii în cuțit:

a — degroșare și finisare pe același strung, cu același cuțit, cu adîncimi diferite; b — idem, cu cuțite diferite și adîncimi diferite; c — degroșare și finisare pe mașini diferite; d — degroșare și finisare pe aceeași mașină, cu scule diferite (faza de finisare);  $F_{fi}$  — faza de finisare a piesei de ordinul  $i$ ;  $\theta_0$  — cimpul de împrăștiere a temperaturii în cuțit ( $\theta_{0d}$  — la degroșare;  $\theta_{0f}$  — la finisare);  $T_r$  — timpul de întrerupere (pentru schimbarea regimului de așchiere, piesei etc.).

mașini diferite (fig. 2.41, c — prelucrarea în serie); degroșarea și finisarea pe aceeași mașină, dar cu scule diferite (fig. 2.41, d — prelucrarea în serie). Variația dimensiunii liniare a cuțitului (fig. 2.42)

$$\Delta l_c = \alpha l_c \Delta \theta, \quad (2.43)$$

unde:  $\alpha$  este coeficientul de dilatare liniară a cuțitului în consolă;  $l_c$  — lungimea în consolă a cuțitului;  $\Delta \theta$  — variația temperaturii în cuțit ( $\Delta \theta = \theta_f - \theta_i$ , indicii  $i$  și  $f$  se referă la etapa inițială, respectiv finală). Variația diametrului piesei

$$\Delta d_p = 2\Delta l_c = d_i - d_f.$$

Abaterile, pe diametru, datorită temperaturii piesei (fig. 2.43)

$$\Delta d_p = \alpha d \Delta \theta_p,$$

unde  $d$  este diametrul piesei iar  $\Delta\theta_p$  — variația temperaturii piesei ( $\theta_p = \theta_{pl} - \theta_{pr}$ ,  $\theta_{pl}$  fiind temperatura piesei în timpul lucrului, iar  $\theta_{pr}$  — temperatura piesei după răcire).

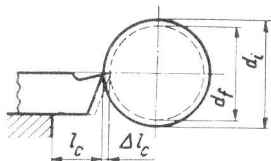


Fig. 2.42. Abateră datorită temperaturii cuțitului

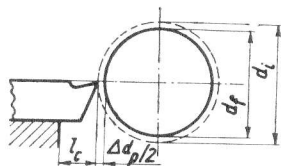


Fig. 2.43. Abateră pe diametru datorită temperaturii piesei

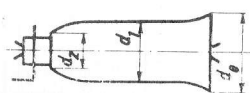


Fig. 2.44. Abaterile datorită variației temperaturii de-a lungul piesei

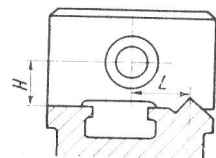


Fig. 2.45. Poziția arborelui principal

Variația diametrului piesei  $\Delta d_p = d_{ir} - d_{fr}$ , în care indicii  $ir$  și  $fr$  se referă la diametrul inițial de reglare a cuțitului, respectiv diametrul final după răcire.

Variația temperaturii de-a lungul piesei va fi (fig. 2.44) [19]

$$\Delta d_p = d_0 - d_2,$$

unde:  $d_0$  este diametrul rezultat după reglarea cuțitului;  $d_2$  — diametrul capătului final al piesei, care are valoarea  $d_2 = d_1 \sqrt{1 - \gamma \Delta\theta_2}$ , în care  $d_1 = d_0 \sqrt{1 - \gamma \Delta\theta_1}$ ;  $d_1$  — diametrul piesei după dilatarea volumică;  $\gamma$  — coeficientul de dilatare volumică;  $\Delta\theta_{1,2}$  — variația temperaturii referitor la diametrele  $d_1$ , respectiv  $d_2$ .

Datorită variației temperaturii din păpușa fixă, se produce o deplasare a arborelui principal în plan orizontal și vertical (fig. 2.45) [29]:

$$\Delta H = \alpha L \Delta\theta_{pf}; \quad \Delta V = \alpha H \Delta\theta_{pf},$$

unde:  $L$  și  $H$  sînt dimensiunile de poziție ale arborelui principal;  $\Delta\theta_{pf}$  — variația temperaturii păpușii fixe ( $\Delta\theta_{pf} = \theta_f - \theta_i$ ); în funcție de construcția strungului și caracteristica uleiului de ungere,  $\Delta H$  variază între 12–26  $\mu\text{m}$ , iar  $\Delta V$  — între 30–50  $\mu\text{m}$ .

Variația temperaturii suportului, batiului și păpușii mobile sînt neglijabile (2–6°C).

Literatura de specialitate se ocupă de influența temperaturii pentru diferite prelucrări mecanice [19].

În vederea micșorării influenței temperaturii, în legătură cu precizia prelucrării, se recomandă: utilizarea virfurilor rotative (eliminarea frecării), îndepărtarea așchiilor, răcirea cu fluide de răcire-ungere, încălzirea prealabilă a uleiului din păpușa fixă, dispozitive termostactice (la păpușa fixă), compensatoare.

#### 2.4.9. INFLUENȚA UZURII SCULEI

Datorită uzurii, sculele așchietoare își pierd dimensiunile de poziționare față de piesă, astfel încît au loc abateri dimensionale și de formă, pe lângă faptul că, în urma uzurii, se modifică geometria sculei, crește frecarea dintre sculă și piesa prelucrată, are loc încăl-

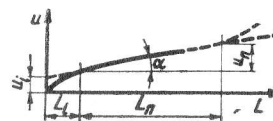


Fig. 2.46. Caracteristica uzurii

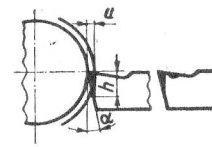


Fig. 2.47. Uzura sculei

zirea sculei, vibrații și înrăutățirea suprafeței prelucrate; ca urmare, uzura sculelor va constitui factorul principal care impune efectuarea de reglări intermediare a sistemului.

Practic, se poate considera că uzura începe o dată cu începutul așchierii (fig. 2.46); se disting: uzura inițială  $U_i$ , uzura normală  $U_n$  și uzura intensivă. Așchiera se va opri înainte de uzura intensivă și, în funcție de precizie, imediat ce apar abateri în afara condițiilor tehnice admise.

Abateră dimensională produsă de uzura sculei, măsurată în direcția normală la suprafața prelucrată (fig. 2.47), se poate calcula cu relația aproximativă  $u = h \operatorname{tg} \alpha$ , în care  $h$  reprezintă uzura măsurată pe fața de așchiere a sculei, iar  $\alpha$  — unghiul de așchiere. A. P. Sokolovski arată că relația prezintă erori pînă la 40%. De aceea, este recomandat să se utilizeze uzura specifică. În acest caz, uzura dimensională la un moment dat va avea valoarea  $u = u_0 L / 1000$  [ $\mu\text{m}$ ], în care  $L$  reprezintă lungimea efectivă parcursă de tăișul sculei, în m ( $L = L_i + L_n$ , unde  $L_i$  este lungimea de așchiere corespunzătoare uzurii inițiale;  $L_n$  — lungimea de așchiere corespunzătoare uzurii normale);  $u_0$  — uzura specifică,  $\mu\text{m}/\text{m}$ .

Pentru strunjire,  $L = \pi D l / (1000 \text{ s})$  [m], unde  $D$  și  $l$  sînt diametrul și respectiv lungimea piesei, mm;  $s$  — avansul, mm/rot. Pentru frezare (fig. 2.48),  $L = \pi D l \varphi / (1000 \cdot s \cdot 360)$  [m], unde:  $D$  este diametrul frezei, mm;  $l$  — lungimea tehnologică de frezare, mm;  $\varphi$  — unghiul de contact, grd;  $s$  — avansul, mm/rot.

Uzura specifică depinde de o serie de factori:  $U_0 = C v^{u_1} s^{u_2} t^{u_3} \tau^{u_4}$ , unde:  $v$  este viteza de așchiere;  $s$  — avansul;  $t$  — adîncimea de așchiere;  $\tau$  — timpul de așchiere;  $u_1 > u_2 > u_3 > u_4$  și  $u_1 \approx 1$  sînt exponenți determinați experimental (influența cea mai mare o are viteza de așchiere, apoi, în ordine; avansul și adîncimea de așchiere);  $C$  — coeficient care înglobează restul factorilor (materialul prelucrat, materialul sculei, unghiul de așchiere — de mare importanță, fluidul de răcire-ungere etc).

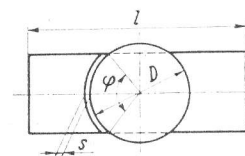


Fig. 2.48. Frezarea frontală



## 2.4.10. INFLUENȚA PROCEDEULUI TEHNOLOGIC

Alegerea procedului tehnologic se face pe baze economice: preț de cost, precizie, condiții de muncă (securitatea muncii). În ceea ce privește precizia, se va ține seama

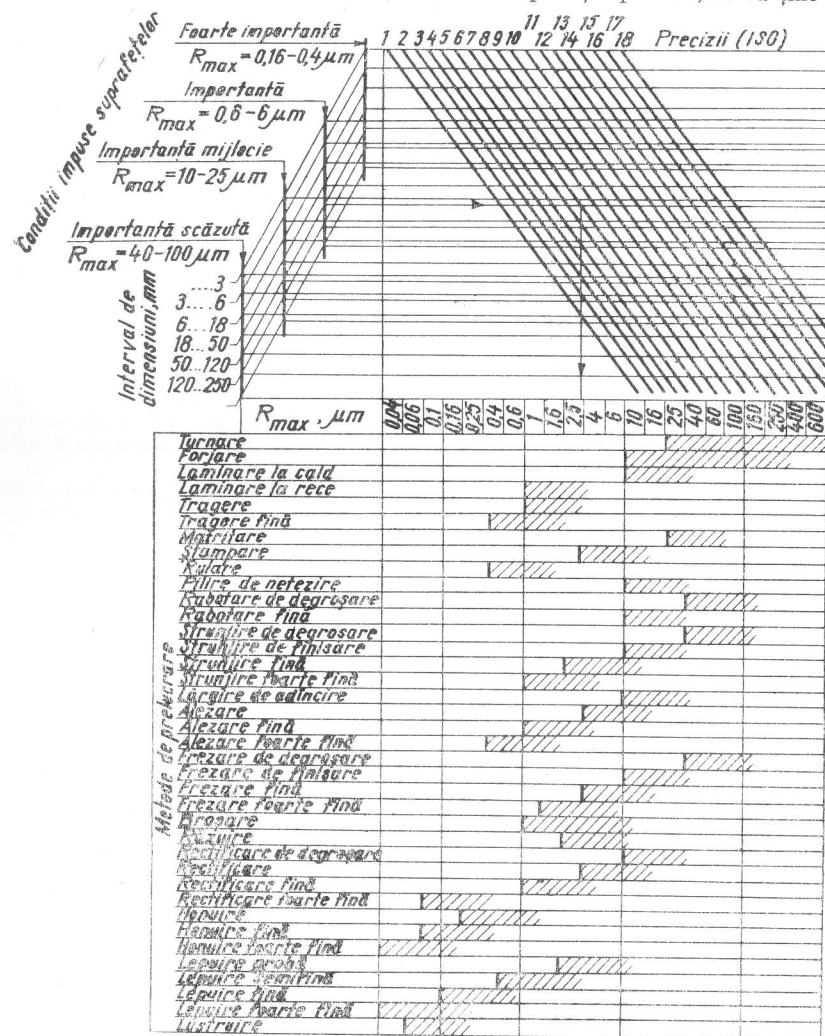


Fig. 2.49. Precizia de prelucrare [4]

de toate abaterile enumerate anterior. Literatura de specialitate dă indicații în ceea ce privește precizia obținută la diferite prelucrări (fig. 2.49) [4, I, p. 597].

## 3. CALITATEA SUPRAFEȚELOR

## 3.1. IMPORTANȚA CALITĂȚII SUPRAFEȚELOR ELEMENTELOR COMPONENTE ALE UNEI MAȘINI

Calitatea suprafețelor influențează rezistența la uzură, rezistența la oboseală, rezistența la coroziune și comportarea ajustajelor mobile sau fixe, iar în ansamblu — durabilitatea în funcționare a unei mașini. Problema calității suprafețelor prelucrate se pune mai accentuat în construcția mașinilor de mare productivitate, a mașinilor automate, a aparatelor de mare precizie.

În afară de asperitățile suprafețelor și orientarea neregularităților, trebuie să se dea atenție și stării fizico-mecanice a stratului superficial.

Calitatea impusă unei suprafețe — rugozitatea și proprietățile fizice — este determinată de rolul funcțional și condițiile în care lucrează. Din aceste motive nu este posibil a se indica prescripții general valabile, fiind necesară analizarea fiecărui caz particular în parte.

## 3.1.1. INFLUENȚA CALITĂȚII SUPRAFEȚEI ASUPRA REZISTENȚEI LA UZURĂ

Se cunoaște că fenomenul de uzură a două suprafețe în contact, având o mișcare relativă, este influențat printre altele și de calitatea celor două suprafețe — microgeometria suprafețelor în frecare și proprietățile fizice ale straturilor superficiale.

La asamblarea a două suprafețe, contactul se va face numai pe o parte a suprafeței nominale corespunzătoare vîrfurilor neregularităților celor două suprafețe (fig. 3.1).

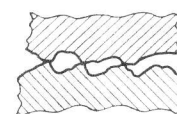


Fig. 3.1. Schema contactului inițial între două suprafețe asamblate

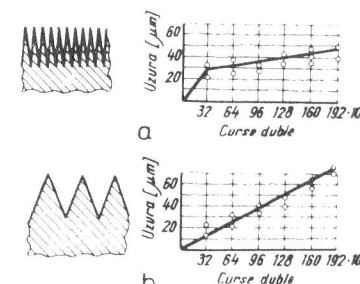


Fig. 3.2. Variația uzurii la rodaj în funcție de grosimea asperităților

Între aceste suprafețe se va produce o presiune de contact foarte mare, care va provoca deformări plastice ale vîrfurilor, urmate de ruperi de metal. Uneori presiunile ating astfel de valori, încît între suprafețele în contact apar forțe de adeziune moleculară.

Aceste fenomene se produc într-o oarecare măsură și în cazul în care între cele două suprafețe se găsește un lubrifiant, deoarece din cauza presiunii mari, lubrifiantul este expulzat de pe virfurile în contact, producându-se contactul metalic între suprafețe.

Valoarea uzurii este determinată, în mare măsură, de forma asperităților, care, la rândul lor, sînt în funcție de procedeul de prelucrare și de regimurile de așchiere. Astfel, în perioada inițială, uzura se produce mai accentuat în cazul asperităților mai subțiri și mai încet — în cazul asperităților mai groase (fig. 3.2). În continuare fenomenul de uzură este mai atenuat.

### 3.1.2. INFLUENȚA CALITĂȚII SUPRAFEȚEI ASUPRA REZISTENȚEI LA OBOSEALĂ

Rezistența la oboseală este determinată în bună măsură de calitatea suprafeței. Rugozitatea și starea suprafeței au influență cu atît mai mare, cu cît metalul este mai sensibil față de concentrarea tensiunilor interne. În tabelul 3.1 se dau, orientativ,

Tabelul 3.1

Scăderea procentuală a rezistenței la oboseală în funcție de prelucrarea suprafeței, %

Felul prelucrării	Oțel cu rezistența la rupere de:		
	47 daN/mm <sup>2</sup>	95 daN/mm <sup>2</sup>	142 daN/mm <sup>2</sup>
Lustruire fină	100	100	100
Lustruire sau suprafinisare	95	93	90
Rectificare sau finisare cu cuțit	93	90	88
Degroșare cu cuțitul	90	80	70
Suprafață cu țunder după laminare	70	50	35

unele valori privind influența prelucrării asupra rezistenței la oboseală. Influența rugozității suprafeței și a regimului de așchiere asupra rezistenței la oboseală se poate vedea din figurile 3.3 — 3.5.

## 3.2. INFLUENȚA PROCESULUI TEHNOLOGIC ASUPRA CALITĂȚII SUPRAFEȚELOR

Problema influenței procesului tehnologic de prelucrare asupra calității suprafeței este astăzi cercetată tot mai mult, deoarece încă nu se cunoaște suficient influența factorilor care participă la așchiere, fenomenele și interdependența acestora privind procesul de formare a micronegularităților și proprietățile stratului superficial.

Dintre factorii și fenomenele care participă la așchiere și care au o pondere mai însemnată se amintesc: procedeul de prelucrare, forma geometrică și materialul sculei, regimul de așchiere, proprietățile elastico-plastice ale materialului prelucrat, rigiditatea

Fig. 3.3. Variația rezistenței la oboseală în funcție de înălțimea rugozității:

a — pentru oțel crom-molibden;  
b — pentru oțel-carbon

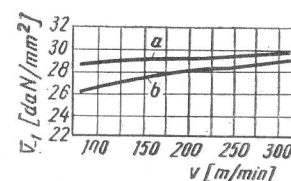
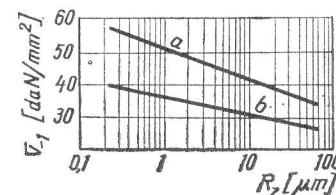


Fig. 3.4. Influența vitezei de așchiere asupra rezistenței la oboseală:

a — oțel laminat; b — oțel recopt (adîncimea de așchiere  $t = 0,25$  mm, avansul  $s = 0,07$  mm/rot iar unghiul de degajare  $\gamma = 0^\circ$ )

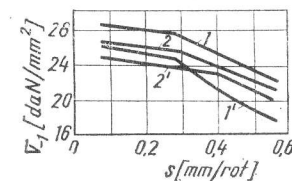


Fig. 3.5. Influența avansului asupra rezistenței la oboseală a oțelurilor:

1 și 2 pentru  $v = 80$  m/min; 1' și 2' pentru  $v = 13$  m/min ( $t = 0,5$  mm;  $\gamma = 15^\circ$ ; raza de rotunjire a vârfului cuțitului 1 mm)

sistemului elastic mașină-unealtă-dispozitiv-piesă-sculă, poziția de prelucrare a sculei, fenomenele de frecare, modul de răcire al piesei și al sculei.

### 3.2.1. INFLUENȚA PROCESULUI TEHNOLOGIC ASUPRA GRADULUI DE NETEZIME A SUPRAFEȚEI PRELUCRATE

Relațiile de calcul teoretic al valorii rugozității ținînd seama de elementele geometrice ale sculei sînt date în tabelul 3.2. Deși acest calcul nu exprimă valoarea reală a rugozităților, prezintă interes pentru alegerea regimului de așchiere în vederea obținerii unei rugozități optime. Trebuie să se țină seama că, în realitate, rugozitățile vor avea valori mai mari decît cele obținute din calcul.

Influența regimului de așchiere se poate urmări în fig. 3.6. În tabelul 3.3 se indică regimul de așchiere la strunjire necesar pentru obținerea unui anumit grad de netezime. Pentru prelucrările alezajelor prin burghiere, legătura între regimul de așchiere și rugozitatea suprafeței este indicată în fig. 3.7. La operația de prelucrare cu freze cilindrice valoarea aproximativă a rugozității se poate stabili cu ajutorul diagramei din fig. 3.8.

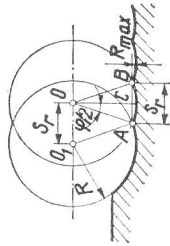
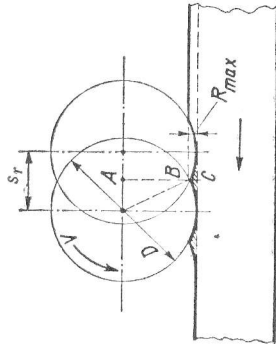
Influența calității materialului prelucrat asupra rugozității se poate urmări din fig. 3.9, iar variația rugozității în funcție de viteza de așchiere și structura oțelului — din fig. 3.10.

Tabelul 3.2  
Calculul teoretic al rugozității maxime ținând seama de geometria sculei





Operația	Forma sculei	Relația de calcul	Observații
1	2	3	4
Strunjire		$R_{max} = s \frac{\sin \alpha \sin \alpha_1}{\sin (\alpha + \alpha_1)}$	Relația este valabilă și pentru frezarea frontală
		$R_{max} = v - \sqrt{v^2 - \frac{s^2}{4}}$ sau $R_{max} \approx \frac{s^2}{8v}$	$\alpha > \arcsin \frac{s}{2v}$ $\alpha_1 > \arcsin \frac{s}{2v}$
		$R_{max} = \frac{\sin \alpha \sin \alpha_1}{\sin (\alpha + \alpha_1)} \left( s - v \operatorname{tg} \frac{\alpha}{2} \operatorname{tg} \frac{\alpha_1}{2} \right)$	$\alpha < \arcsin \frac{s}{2v}$
		$R_{max} = v(1 - \cos \alpha) + s \sin \alpha \cos \alpha - \sin \alpha \sqrt{s \sin \alpha (2v - s \sin \alpha)}$	$\alpha < \arcsin \frac{s}{2v}$

Strunjire		$R_{max} = v(1 - \cos \alpha_1) + s \sin \alpha_1 \cos \alpha_1 - \sin \alpha_1 \sqrt{s \sin \alpha_1 (2v - s \sin \alpha_1)}$	$z$ este numărul de dinți ai frezei; $s_z$ — avansul pe dinte; $R$ — raza frezei
Frezare cilindrică		La frezarea contra avansului $R_{max} = \frac{\pi^2 R^2 s_z^2}{2(zs_z + 2\pi R)^2}$	
		La frezarea în sensul avansului $R_{max} = \frac{\pi^2 R^2 s_z^2}{2(zs_z - 2\pi R)^2}$	

Tabelul 3.2 (continuare)

1	2	3	4
Prezare cilindrică		Relația aproximativă $R_{max} = R - \sqrt{R^2 - \left(\frac{s_r}{2}\right)^2}$	$s_r$ — avansul pe o rotație, mm/rot
Bătăia frezei cilindrice		$R_{max} = \frac{s_r^2}{4D}$	

Tabelul 3.3  
Gradul de netezime a suprafeței în funcție de regimul de așchiere la strunjire

Raza de rotunjire a vârfului cuțitului, $\mu\text{m}$	Gradul de netezime					
						
	Viteza de așchiere, m/s					
	$v < 1$	$v > 1$	$v < 1$	$v > 1$	$v < 1$	$v > 1$
Avansul $s$ , mm/rot						
500	—	—	—	—	0,02— 0,14	0,03— 0,06
1 000	0,20—0,40	0,30—0,50	0,10—0,20	0,12—0,24	0,03— 0,06	0,05— 0,08
1 500	0,30—0,60	0,40—0,65	0,25—0,30	0,20—0,40	0,03— 0,06	0,05— 0,10
2 000	0,40—0,60	0,50—0,70	0,35—0,40	0,30—0,50	—	—



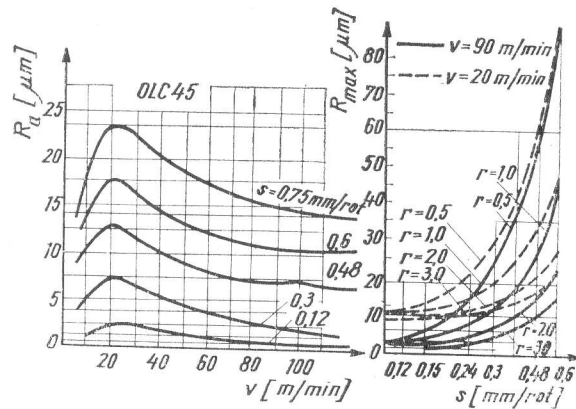


Fig. 3.6. Influența regimului de așchiere asupra netezimii suprafeței

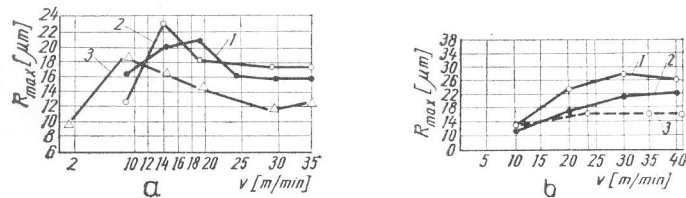


Fig. 3.7. Variația rugozității în funcție de regimul de așchiere:  
a – la burghierea OLC 45: 1 pentru  $s = 0,38$  mm/rot; 2 pentru  $s = 0,28$  mm/rot, la ambele răcire cu emulsie; 3 pentru  $s = 0,28$  mm/rot răcire cu ulei sulfurat;  
b – la adăncire: 1 pentru  $s = 0,76$  mm/rot; 2 pentru  $s = 0,52$  mm/rot, la prelucrarea OLC 45; 3 – prelucrarea fontei cenușii

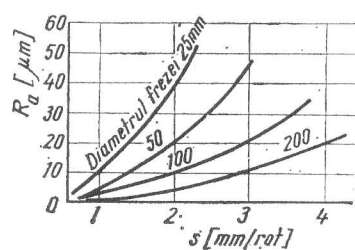


Fig. 3.8. Curbe pentru aprecierea aproximativă a rugozității la prelucrarea cu freze cilindrice

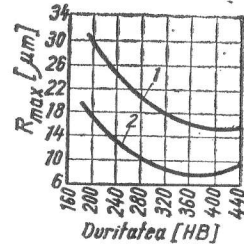


Fig. 3.9. Influența durității materialului prelucrat asupra rugozității:

1 – pentru  $v = 0,17$  m/s și  $s = 0,35$  mm/rot; 2 – pentru  $v = 0,95$  m/s și  $s = 0,2$  mm/rot

Asupra mărimii rugozității influență însemnată are și modul de răcire, mai ales pentru viteze sub 60 m/min. Când există și răcire și ungere se micșorează posibilitatea de depunere a materialului pe machia de așchiere a sculei (tăiș de depunere) și se obțin suprafețe cu o netezime mai bună (fig. 3.11). La prelucrarea prin rectificare, folosirea

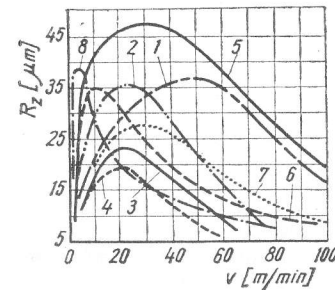


Fig. 3.10. Variația rugozității în funcție de viteza de așchiere și structura oțelului: Oțeluri cu conținut mediu de carbon:

1 – ferită și perlită lamelară; 2 – perlită globulară; 3 – sorbită cu duritate mare; 4 – troostită și sorbită. Oțeluri cu conținut mic de carbon: 5 – ferită și perlită lamelară; 6 – ferită și perlită globulară. Oțeluri cu conținut mare de carbon: 7 – perlită lamelară; 8 – perlită globulară

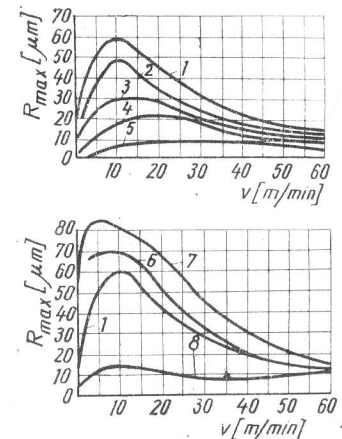


Fig. 3.11. Influența lichidelor de răcire și ungere asupra mărimii rugozității la strunjire:

1 – aer; 2 – ulei; 3 – petrol sulfonat; 4 – petrol lampant; 5 – tetraclorură de carbon; 6 – hidrogen; 7 – azot lichid; 8 – oxigen

lichidelor de răcire are importanță mare pentru evitarea încălzirilor accentuate locale, care duc la modificări nedorite ale structurii materialului.

Este de menționat că la prelucrările de finisare și netezire rugozitatea suprafeței prelucrate este influențată atât de gradul de netezire la care este prelucrată muchia așchietoare a sculei cât și de uzura acesteia în timpul procesului de așchiere.

### 3.2.2. INFLUENȚA PROCESULUI TEHNOLOGIC ASUPRA PROPRIETĂȚILOR STRATULUI SUPERFICIAL AL SUPRAFEȚEI PRELUCRATE

În stratul superficial al unui material prelucrat se constată modificări ale stării și structurii materialului, determinate de procedeul și procesul de așchiere (fig. 3.12).

În general, se constată o deformare plastică a stratului superficial și o deformare elastică sub acest strat, care duc la crearea unor tensiuni ce modifică proprietățile mecanice ale materialului.

Mărimea stratului de metal ecruisat este determinată de caracteristicile materialului care se prelucurează și de regimul de așchiere folosit. În fig. 3.13 se observă variația gradului de ecruisare (microdurețea) în stratul marginal în funcție de adâncimea de așchiere (fig. 3.13, a) și de avansul longitudinal (fig. 3.13, b).

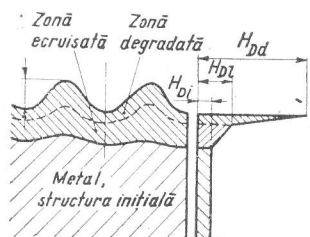


Fig. 3.12. Starea stratului superficial după prelucrare:

$H_{Da}$  — microdurețea stratului distrus;  
 $H_{Di}$  — a stratului ecruisat;  $H_{Di}$  — inițială

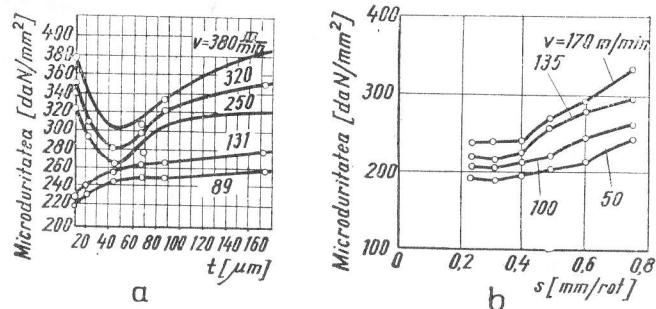


Fig. 3.13. Variația gradului de ecruisare (microdureții) după strunjire în funcție de:

a — adâncimea de așchiere la oțel OLC 60; b — avansul longitudinal, la oțel OLC 45

scăzute. Influența proprietăților și a grosimii stratului de metal așchiat asupra adâncimii stratului de metal ecruisat la rectificare este arătată în tabelul 3.5. La rectificarea roților dințate, influența avansului transversal  $t$  asupra grosimii  $h$  a stratului modificat se poate urmări în fig. 3.15.

Valori pentru rugozitatea suprafețelor așchiate în cazul diferitelor procedee tehnologice folosite sint date orientativ în tabelul 3.6.

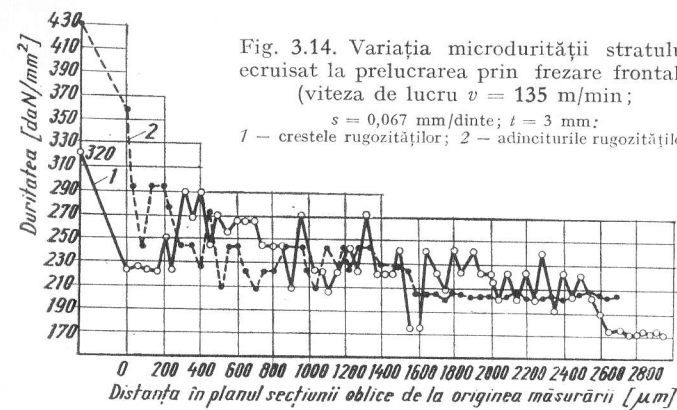


Fig. 3.14. Variația microdureții stratului ecruisat la prelucrarea prin frezare frontală (viteza de lucru  $v = 135$  m/min;  $s = 0,067$  mm/dinte;  $t = 3$  mm; 1 — crestele rugozităților; 2 — adânciturile rugozităților)

Tabelul 3.4

Influența regimului de așchiere asupra adâncimii stratului ecruisat la burghiere, adâncire și alezare

Prelucrarea	Regimul de așchiere		Adâncimea de ecruisare $h$ , $\mu$ m	
	$s$ , mm/rot	$v$ , m/min	În lungul creștelor asperităților	În lungul adânciturilor asperităților
Burghiere	0,28	10	295	305
	0,28	20	255	300
	0,28	30	235	195
	0,28	40	175	205
	0,09	30	250	225
	0,21	30	237	215
	0,28	30	235	195
	0,52	30	205	185
Adâncire	0,76	10	188	177
	0,76	20	332	324
	0,76	30	200	213
	0,52	20	249	294
	0,52	30	211	215
Alezare	1,24	2	252	360
	1,24	6	252	288
	1,24	10	268	253
	1,24	12	241	257
	1,24	40	227	256
	1,24	57	228	218
	0,39	100	242	215

Tabelul 3.5

Influența grosimii stratului aşchiat asupra adâncimii de ecruisare la rectificare

Calitatea sau tipul oțelului		Grosimea stratului aşchiat, $\mu\text{m}$		Adâncimea stratului de metal ecruisat, $\mu\text{m}$
		Medie	Maximă	
30 CN 35		0,267	12,3	40
Crom-siliciu		0,268	14,0	50
Crom-nichel-molibden-vanadiu		0,280	14,3	60
Crom-mangan-titan		0,282	15,5	40
13 CN 33		0,326	17,3	50
41 C 10		0,326	18,5	30
15 CO 7		0,417	27,1	40
Mangan	0,2%C și 0,7–1%Mn	0,423	27,7	60
	0,5%C și 0,7–1%Mn	0,425	28,1	70
OLC 15–OLC 25		0,437	29,8	60
OLC 45		0,495	40,5	60
Crom-nichel-molibden		0,326	20,2	80

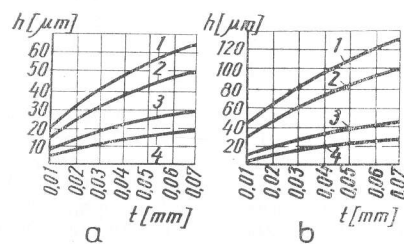


Fig. 3.15. Influența avansului transversal la rectificarea roților dințate asupra grosimii stratului ecruisat:

a – procedeul Maag; b – procedeul Niles; 1 – capul dintelui; 2 – zona cercului de divizare; 3 – începutul evolventei; 4 – golul dintelui

Tabelul 3.6

Rugozitatea în funcție de procedeul de prelucrare aplicat

Procedeul de prelucrare	Rugozitatea $R_a$ , $\mu\text{m}$	0,01	0,025	0,05	0,1	0,2	0,4	0,8	1,6	3,2	6,3	12,5	25	50	100
Turnare	În nisip												+	+	+
	În coajă											+	+	+	
	În modele de ceară								+	+	+	+			
Forjare	Liberă												+	+	+
	În matriță										+	+	+		
Tăiere	Cu flacăra											+	+	+	+
	Cu ghilotina											+	+	+	+
Strunjire și rabotare	Degroșare												+	+	+
	Finisare									+	+	+			
	Cu diamant							+	+	+					
Strunjire interioară	Degroșare												+	+	+
	Finisare									+	+	+			
	Cu diamant						+	+	+						
Găurire	—										+	+	+	+	
Alezare	Fină										+				
	Foarte fină							+	+						
Frezare frontală	Degroșare												+	+	+
	Finisare									+	+	+			
	Netezire								+						
Frezare cilindrică	Degroșare												+	+	+
	Finisare								+	+	+	+			

Tabelul 3.6 (continuare)

Procedul de prelucrare	Rugozitatea $R_a$ , $\mu\text{m}$	0,01	0,025	0,05	0,1	0,2	0,4	0,8	1,6	3,2	6,3	12,5	25	50	100
Rectificare	Degroșare								+	+					
	Finisare						+	+							
	Netezire					+	+								
Broșare	Finisare							+	+	+					
	Netezire					+	+								
Lepuire	Seminetădă				+										
	Netădă				+	+									
	Foarte netădă	+	+	+											
Lustruire	Netădă				+	+	+								
	Foarte netădă		+	+											
Honuire	Netădă				+	+	+								
	Foarte netădă	+	+												
Supra-finisare	Netădă				+	+									
	Foarte netădă	+	+												
Electro-eroziune	Degroșare													+	+
	Finisare								+	+					
Eroziune anodo-mecanică	Tăiere											+	+	+	
	Profilare					+	+	+	+	+					

### 3.3. METODE DE CONTROL A CALITĂȚII SUPRAFEȚEI PRELUCRATE

Controlul calității suprafeței prelucrate se referă la evaluarea rugozității suprafeței și a caracteristicilor fizico-mecanice a stratului superficial de metal. Deși se cunosc multe aparate destinate acestui scop, se desfășoară totuși o largă activitate de cercetare pentru a se găsi procedeul cel mai corespunzător pentru anumite condiții concrete, datorită faptului că există o varietate mare de factori care pot să influențeze caracteristicile calitative ale unei suprafețe prelucrate.

Pentru evaluarea rugozității se folosesc următoarele metode principale: prin comparare, prin palpate, optică și pneumatică.

*Metoda prin comparare* oferă posibilitatea unui control expeditiv. Controlul constă în compararea la microscop (fig. 3.16) a suprafeței prelucrate cu o altă suprafață admisă ca etalon. Metoda se aplică la controlul suprafețelor cu rugozități  $R_a > 0,32 \mu\text{m}$ .

*Metoda prin palpate* constă în urmărirea de către un palpator a microprofilului suprafeței. Aparatele construite pe acest principiu, după felul cum sînt transmise

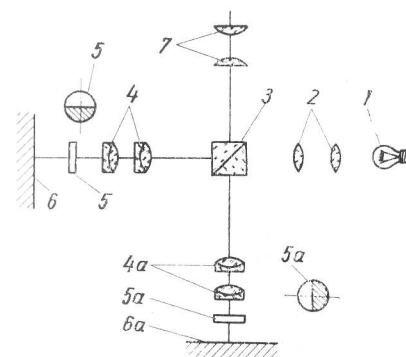


Fig. 3.16. Microscop pentru compararea gradului de netezire:

1 — fascicul de lumină; 2 — lentilă; 3 — prismă;  
4 și 4a — obiective; 5 și 5a — diafragme; 6 — suprafața etalonului; 6a — suprafața de controlat;  
7 — ocular

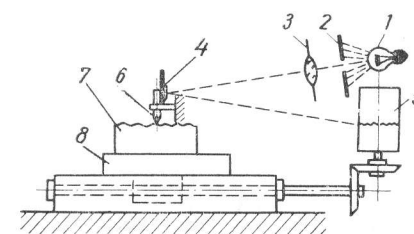


Fig. 3.17. Schema de funcționare a unui profilograf optico-mecanic:

1 — fascicul de lumină; 2 — lentilă; 3 — prismă;  
4 — oglindă; 5 — tambur cu hirtie fotosensibilă;  
6 — palpator; 7 — piesă; 8 — masă mobilă

oscilațiile palpatorului, se grupează în profilograme optico-mecanice (fig. 3.17), la care microprofilul se înregistrează sub formă de profilogramă și profilometre, la care valoarea microneregularităților este indicată direct.



Tabelul 3.6 (continuare)

Procedeul de prelucrare	Rugozitatea $R_a$ , $\mu\text{m}$	0,01	0,025	0,05	0,1	0,2	0,4	0,8	1,6	3,2	6,3	12,5	25	50	100
Rectificare	Degroșare								+	+					
	Finisare						+	+							
	Netezire					+	+								
Broșare	Finisare							+	+	+					
	Netezire					+	+								
Lepuire	Seminetădă				+										
	Netedă				+	+									
	Foarte netedă	+	+	+											
Lustruire	Netedă			+	+	+									
	Foarte netedă		+	+											
Honuire	Netedă			+	+	+									
	Foarte netedă	+	+												
Supra-finisare	Netedă			+	+										
	Foarte netedă	+	+												
Electro-eroziune	Degroșare												+	+	
	Finisare								+	+					
Eroziune anodomecanică	Tăiere											+	+	+	
	Profilare					+	+	+	+	+					

### 3.3. METODE DE CONTROL A CALITĂȚII SUPRAFEȚEI PRELUCRATE

Controlul calității suprafeței prelucrate se referă la evaluarea rugozității suprafeței și a caracteristicilor fizico-mecanice a stratului superficial de metal. Deși se cunosc multe aparate destinate acestui scop, se desfășoară totuși o largă activitate de cercetare pentru a se găsi procedeul cel mai corespunzător pentru anumite condiții concrete, datorită faptului că există o varietate mare de factori care pot să influențeze caracteristicile calitative ale unei suprafețe prelucrate.

Pentru evaluarea rugozității se folosesc următoarele metode principale: prin comparare, prin palpăre, optică și pneumatică.

*Metoda prin comparare* oferă posibilitatea unui control expeditiv. Controlul constă în compararea la microscop (fig. 3.16) a suprafeței prelucrate cu o altă suprafață admisă ca etalon. Metoda se aplică la controlul suprafețelor cu rugozități  $R_a > 0,32 \mu\text{m}$ .

*Metoda prin palpăre* constă în urmărirea de către un palpator a microprofilului suprafeței. Aparatele construite pe acest principiu, după felul cum sînt transmise

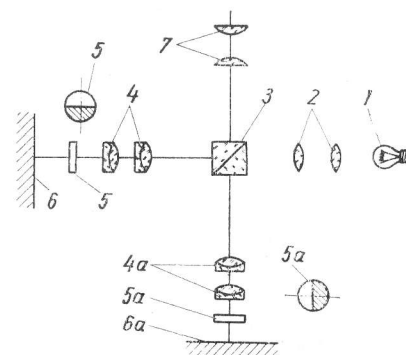


Fig. 3.16. Microscop pentru compararea gradului de netezire:

1 – fascicul de lumină; 2 – lentile; 3 – prismă;  
4 și 4a obiective; 5 și 5a – diafragme; 6 – suprafața etalonului; 6a – suprafața de controlat;  
7 – ocular

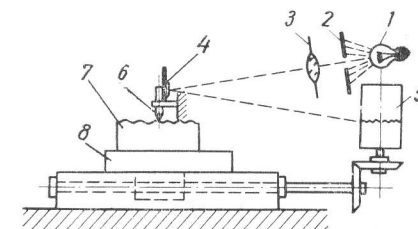


Fig. 3.17. Schema de funcționare a unui profilograf optico-mecanic:

1 – fascicul de lumină; 2 – fantă; 3 – lentilă;  
4 – oglindă; 5 – tambur cu hîrtie fotosensibilă;  
6 – palpator; 7 – piesă; 8 – masă mobilă

oscilațiile palpatorului, se grupează în profilografe optico-mecanice (fig. 3.17), la care microprofilul se înregistrează sub formă de profilogramă și profilometre, la care valoarea micronegularităților este indicată direct.

Metoda optică se bazează pe principiul secționării luminoase sau pe fenomenul de interferență a luminii. Microscopul Linnik-Schmaltz permite măsurarea rugozităților  $R_z = 0,8 \dots 320 \mu\text{m}$  iar microinterferometrul Linnik (fig. 3.18) — a rugozităților  $R_z = 0,05 \dots 20 \mu\text{m}$ .

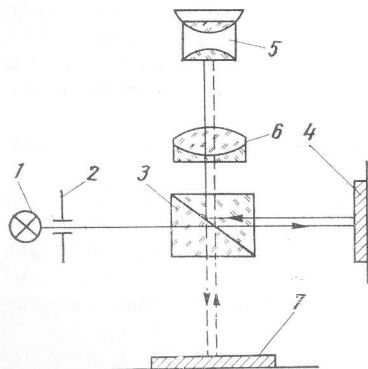


Fig. 3.18. Schema microinterferometrului Linnik:  
1 — sursă de lumină; 2 — diafragmă; 3 — prismă dublă;  
4 — oglindă; 5 — ocular; 6 — obiectiv; 7 — suprafața de controlat;

Fig. 3.19. Principiul măsurării rugozității prin metoda pneumatică

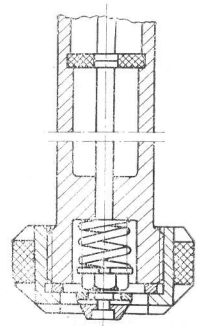
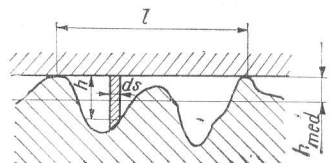


Fig. 3.20. Cap pneumatic de tip ventuză

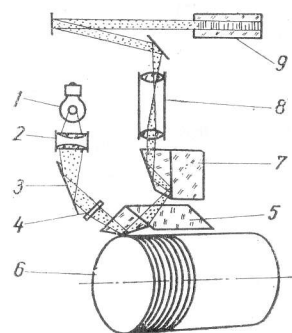


Fig. 3.21. Schema aparatului Visoport:

1 — sursă de lumină; 2 — condensator de lumină; 3 — oglindă;  
4 — filtru; 5 — diamant prismatic;  
6 — piesă de control; 7 — prismă;  
8 — sistem de lentile; 9 — geamă  
mat pe care apar razele de lumină reflectate

Metoda pneumatică se bazează pe faptul că micronegularitățile suprafeței fac ca să nu se realizeze un contact perfect între ajutorul măsurător și suprafață (fig. 3.19). Spațiile rămase permit scurgerea unei anumite cantități de aer, ce permite determinarea în mod obiectiv a rugozității suprafeței. Secțiunea de pierdere a aerului comprimat,

$$A = \int_0^l h \, ds = h_{med} l,$$

este direct proporțională cu înălțimea medie  $h_{med}$  a rugozităților. În fig. 3.20 se arată construcția unui cap pneumatic de tip ventuză pentru măsurarea rugozității. Această metodă se aplică pentru  $R_z = 0,4 \dots 40 \mu\text{m}$ .

În scopul determinării portanței unei suprafețe se pot folosi aparate de tip Visport (fig. 3.21).

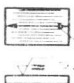
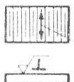
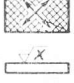
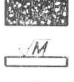
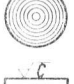

Tabelul 3.7

Notarea rugozității

	100	50	10	5	1	0,5	0,1	0,05	0,01
ANGLIA	500	160	32	4					
AUSTRIA	▽	▽▽	▽▽▽	▽▽▽▽					
CEHOSLOVACIA	▽	▽▽	▽▽▽	▽▽▽▽					
DANEMARCA	25	8	25	0,8	0,25	0,08	0,025		
R.F.G.	▽	▽▽	▽▽▽	▽▽▽▽					
OLANDA	~	○	∞	∞∞	∞∞	∞∞	∞∞	∞∞	∞∞
R.S. ROMÂNIA	25	8	25	0,8	0,25	0,08	0,025		
SPANIA	~	▽	▽▽	▽▽▽	▽▽▽▽				
SUEDIA	>▽	▽100	▽25	▽10	▽4	▽1,6	▽0,8		
S.U.A.	500	160	32	4					
U.R.S.S.	▽1	▽5	▽9	▽14					

Tabelul 3.8

Indicarea orientării urmelor de prelucrare

Simbolul	Interpretarea simbolului	Exemple
=	Rizuri paralele cu planul desenului	 Orientarea urmelor
⊥	Rizuri perpendiculare pe planul desenului	 Orientarea urmelor
X	Rizuri încrucișate, înclinate față de planul desenului	 Orientarea urmelor
M	Rizuri orientate în mai multe direcții oarecare	 M
C	Rizuri aproximativ circulare și concentrice față de centrul suprafeței însemnate	 C
R	Rizuri aproximativ radiale față de centrul suprafeței însemnate	 R

Pentru folosirea unui limbaj comun, notarea rugozității suprafețelor este standardizată (tabelul 3.7). Simbolurile pentru indicarea în documentația tehnică a orientării urmelor de prelucrare sînt date în tabelul 3.8.

## 4. SEMIFABRICATE. ADAOSURI DE PRELUCRARE

Semifabricatele metalice se prezintă în forme foarte variate, determinate de destinație și de metoda de executare. După metoda de obținere, semifabricatele pot fi clasificate în următoarele categorii: semifabricate turnate din fontă, oțeluri și metale și aliaje neferoase; semifabricate obținute prin deformare plastică din oțeluri, metale și aliaje neferoase; semifabricate obținute prin metode combinate; semifabricate sinterizate. Metodele principale de obținere a semifabricatelor sînt date în tabelul 4.1.

### 4.1. SEMIFABRICATE OBȚINUTE PRIN TURNARE

Turnarea permite obținerea de semifabricate într-o gamă largă de tipodimensiuni și greutate. Forma lor este strîns legată de forma pieselor finite.

Clasificarea semifabricatelor turnate se poate face după mai multe criterii: după greutate — ușoare, de greutate medie, grele; după complexitatea formei piesei turnate — simple și complexe; după tipul formei de turnare — semifabricate executate în forme temporare, semipermanente, permanente; după procedeul de turnare — turnate în forme de pămînt, în forme metalice, centrifugal, sub presiune, prin turnare de precizie în coji de bachelită sau cu modele ușor fuzibile în vid.

Precizia semifabricatelor turnate depinde de procedeu, de calitatea modelului, de modul de formare și de mărimea pieselor. Calitatea suprafețelor depinde de calitatea materialului de formare, a materialului de vopsire a formelor și de metoda de curățire a semifabricatelor.

Mărimile adaosurilor de prelucrare și a abaterilor limită pentru piese turnate sînt indicate în standarde (STAS 1592-66; 6287-67; E 6717-63).

### 4.2. SEMIFABRICATELE OBȚINUTE PRIN DEFORMARE PLASTICĂ

Principalele procedee de obținere a semifabricatelor prin deformare plastică sînt: laminarea, tragerea, trefilarea, forjarea liberă, forjarea în matriță (matrițarea), ștanțarea.

Semifabricatele laminate au forme geometrice regulate și sînt caracterizate printr-o lungime foarte mare în raport cu secțiunea, care poate fi de formă rotundă, pătrată, triunghiulară, hexagonală, octogonală, trapezoidală, semirotundă, ovală, semiovală, lată etc. O altă categorie de laminate sînt formate din: benzi, platbande, table, sîrmă, țevi, șine, diferite profile cornier, I, T, U, H, Z, UV, profile speciale, laminate periodice

Tabelul 4.1

## Metode principale de obținere a semifabricatelor

Metoda	Procedeul	Dimensiunile sau greutatea	
		Maxime	Minime
1	2	3	4
Turnare	Turnare în nisip cu formare manuală	Nelimitate	Grosimea minimă a pereților 3—5 mm
	Idem, cu formare mecanică	Până la 250 daN	Idem
	Idem, cu formare după șablon	Nelimitate	Idem
	Turnare cu miezuri	Idem	Idem
	Turnare în forme permanente (cochile)	De obicei până la 100 daN	Grosimea pereților pentru metale neferoase, 1,5 mm
	Turnare centri-fugală	De obicei până la 200 daN	Grosimea minimă a pereților 3—5 mm
	Turnare sub presiune	10—16 daN	Grosimea pereților: 0,5 mm pentru zinc și 1,0 mm pentru alte aliaje
	Turnare de precizie: — în forme coji de bachelită — cu modele ușor fuzibile	100 daN 50 daN	Grosimea pereților 0,8 mm 0,15 mm

Complexitatea formei obținute	Precizia de execuție a semifabricatelor, mm	Calitatea suprafeței	Materialul	Caracterul producției
5	6	7	8	9
Cele mai complicate	1—10, în funcție de dimensiuni	Foarte grosolană	Aliaje fier-carbon, metale neferoase și aliajele lor	Individuală și în serie mică
Idem	1—2	Grosolană	Idem	În serie mare și în masă
În special corpuri de rotație	4—15, în funcție de dimensiuni	Foarte grosolană	Idem	Individuală și în serie mică
Cele mai complicate	1—10, în funcție de dimensiuni	Grosolană	Idem	Individuală, în serie mijlocie și în masă
Simple și mijlocii, în funcție de posibilitățile de extragere a piesei turnate din formă	0,1—0,5	Netedă	Idem	În serie mare și în masă
În special corpuri de rotație	1—8, în funcție de dimensiuni	Netedă	Idem	Idem
Limitată numai de posibilitatea confecționării formei de turnare	0,05—0,2; în direcția separării formelor ceva mai mică	Foarte netedă	Aliaje de zinc, aluminiu, magneziu, cupru, staniu și plumb	În serie mare și în masă
Foarte complicate	0,05—0,15	Foarte netedă	Aliaje fier-carbon, metale neferoase și aliajele lor	Individuală, în serie și în masă



Tabelul 4.1 (continuare)

1	2	3	4
Deformare plastică	Laminare	Nelimitate	3—4 mm
	Laminare profilată	De obicei până la 50 daN	Grosimea pereților pentru aliajele de aluminiu peste 1,5 mm
	Trefilare, tragere	100 daN	—
	Forjare liberă	Nelimitate	—
	Matrițare la ciocan	De obicei până la 100 daN	Grosimea pereților 2,5 mm
	Matrițare la mașini de forjat orizontale	De obicei până la 100 daN	Grosimea pereților 2,5 mm
	Matrițare prin extruziune, fără bavuri	Până la diametre de aproximativ 200 mm	Grosimea pereților pentru aliajele de aluminiu peste 1,5 mm
	Matrițarea la prese de calibrare	De obicei până la 100 daN	Grosimea pereților 1,5 mm
	Calibrarea pieselor matrițate	Idem	Idem
	Refulare la rece	Până la diametre de 25 mm	Diametrul 3,0 mm
	Ștanțarea-matrițarea tablelor (decupare)	Grosimea 15 mm	Grosimea 0,1 mm

5	6	7	8	9
Simple	0,4—2,5	Grosolană	Oțeluri, metale neferoase și aliajele lor	În serie mare și în masă
Simple	0,4—2,5	Grosolană	Idem	Idem
Simple	—		Idem	Idem
Simple	1,5—25	Foarte grosolană	Idem	Individuală și în serie mică
Limitată de posibilitatea executării matriței	0,4—2,5; în direcția deschiderii matriței ceva mai mică	Grosolană	Idem	În serie mijlocie și în masă
Idem	0,4—2,5; în direcția deschiderii matriței ceva mai mică	Grosolană	Idem	În serie mare și în masă
Simple	0,2—0,5	Netedă	Idem	Idem
Limitată de posibilitatea executării matriței	0,4—1,8	Netedă	Idem	Idem
Idem	0,05—0,10	Foarte netedă	Idem	Idem
Simple	0,1—0,25	Netedă	Oțeluri și alte materiale cu plasticitate mare	Idem
Complicate	0,05—0,5	Netedă	Toate tipurile de materiale în foi	În serie mare în masă

1	2	3	4
	Debitarea materi- alelor laminate (bare)		—
Sinterizare	Presarea pulberi- lor metalice și a grafitului	Aria secțiunii transversale: 100 cm <sup>2</sup>	Grosimea peretelui 2,0 mm
Presarea materia- lelor plastice	Presare	Grosimea pereților 8 mm	Grosimea pereților 0,8 mm

etc. Semifabricatele laminate pot fi livrate cu precizie obișnuită sau cu precizie ridicată obținută prin tragere și calibrare. Precizie ridicată se impune când se execută ulterior o prelucrare pe mașini-unelte, unde prinderea se realizează cu bușe extensibile.

*Semifabricatele trefilate* din oțeluri sau metale și aliaje neferoase se prezintă sub formă de sirmă (diametre sub 10 mm). Semifabricatele trefilate sînt caracterizate printr-o înaltă precizie a dimensiunilor și a formei. Abaterile limită la dimensiuni și formă sînt cuprinse în limite foarte strînse.

*Semifabricatele trase* sînt sub formă de bare sau profile de forme variate, din oțeluri sau metale și aliaje neferoase. Îndeplinesc condiții tehnice similare cu produsele trefilate.

*Semifabricatele forjate liber*, după dimensiuni, se clasifică în semifabricate mici, de mărime mijlocie și mari iar după greutate în semifabricate ușoare, de greutate medie și grele. După importanța lor în exploatare, piesele din oțel forjat se împart în patru categorii (STAS 1097-65): categoria I — piese fără solicitări deosebite; categoria II — piese importante sau piese mari; categoria III — piese foarte importante; categoria IV — piese cu o importanță deosebită.

Condițiile tehnice generale pentru piesele forjate liber din oțel-carbon, oțel de calitate și oțel aliat de construcție, cu grosimi sau diametre de 40—800 mm sînt indicate în STAS 1097-65. Adaosurile de prelucrare și abaterile limită pentru forjarea la clocane și prese (cu excepția preselor hidraulice), pentru piese de diferite forme sînt date în STAS 2171-64.

*Semifabricatele matrițate* se clasifică, de asemenea, după dimensiuni și greutate, ca și cele forjate liber. Piesele matrițate din oțel-carbon și oțel aliat, cu masa de 0,250—250 kg/buc. executate pe toate utilajele de matrițat, cu excepția preselor hidraulice, se clasifică în cinci grupe (STAS 1299-67). În cadrul fiecărei grupe de formă se face o

Tabelul 4.1 (continuare)

5	6	7	8	9
Idem	0,5—0,6, funcție de dimensiuni și metoda de debitare	Grosolană	Oțeluri, metale și aliaje ne- feroase	Individuală, în serie și în masă
Simplă, limi- tată de forma matriței și de presiune în di- recția mișcă- rii poansonului	0,1—0,25 în direcția miș- cării poanso- nului; 0,05 în direcție per- pendiculară	Idem	Toate metalele și grafitul	În serie mare și în masă
Limitată numai de posibilitatea confecționării forme	0,05—0,25	Foarte netedă	Materiale plas- tice cu umplu- tură fibroasă sau pulveru- lentă	Idem

subclasificare pe grupe dimensionale. Adaosurile de prelucrare și abaterile limită, precum și alte caracteristici tehnice, cum ar fi cele legate de mărimea bavurilor, sînt date în STAS 7670-66 și STAS 1299-67. Metodele moderne de matrițare pot asigura o foarte mare precizie. De exemplu, la matrițarea de precizie, 0,1—0,2 mm iar la matrițarea de calibrare, 0,03—0,05 mm.

*Semifabricatele ștanțate* se obțin din table sau benzi de oțel din metale și aliaje sub formă de: fișii (prin operația de tăiere); bucăți (prin operația de rețezare); discuri cu un contur variat (prin operația de decupare). Caracterul producției și precizia asigurată sînt indicate în tabelul 4.1.

#### 4.3. ALTE METODE DE OBȚINERE A SEMIFABRICATELOR

*Semifabricatele obținute prin metode combinate* au forme complexe. Este rațional ca forma complexă să fie descompusă în părți simple, executate prin metodele obișnuite (turnare, deformare plastică) și asamblate apoi prin sudare. Metoda are avantajul că rezultă un semifabricat mai ușor ca cel turnat, cu calitățile materialelor deformate, ușor de executat și mai economic. O piesă complexă poate fi executată și prin asamblarea unor piese din materiale diferite.

*Semifabricatele sinterizate* au în general, dimensiuni mici. Se obțin prin metalurgia pulberilor într-o producție de serie mare sau de masă. Au o înaltă precizie și adaosuri de prelucrare foarte mici sau sînt lipsite complet de aceste adaosuri (v. tabelul 4.1). Asemenea semifabricate sînt folosite pentru o serie de organe de mașini, ca: bușe, cuzineți, roți dințate, segmenti etc.

Semifabricatele din materiale plastice se prezintă sub formă de bare laminate, extrudate sau turnate, plăci (foi) sau piese brute confecționate prin aceleași procedee ca și barele. Caracteristicile tehnice (compoziție, forme, dimensiuni, adaosuri de prelucrare și abateri limită) ale lor sînt specificate în standarde, norme interne, caiete de sarcini și acorduri între producător și beneficiar.

#### 4.4. CALCULUL ADAOSURILOR DE PRELUCRARE

Forma finită a unei piese, dimensiunile stabilite prin proiect și calitatea suprafețelor se obțin prin mai multe operații și faze de lucru. Începînd de la operația de degroșare pînă la aceea de prelucrare foarte fină, se urmărește eliminarea succesivă a erorilor de la prelucrarea premergătoare, prin îndepărtarea unor straturi de material, pînă se obțin forma, dimensiunile și calitatea suprafeței cerute. Stratul de material îndepărtat formează adaosul de prelucrare.

Stabilirea mărimii adaosului de prelucrare este o problemă deosebit de importantă pentru tehnologia de elaborare a semifabricatului și de prelucrare mecanică. Dacă se admite un adaos prea mare, se face risipă de material, crește volumul de muncă la prelucrarea mecanică și se scumpește produsul. Admiterea unui adaos de prelucrare prea mic poate duce la rebutarea pieselor. Practic, mărimea adaosurilor se stabilește pe baza unor normative ale întreprinderii sau a standardelor. Este de menționat însă că acestea dau valori acoperitoare.

Mărimea adaosurilor depinde de foarte mulți factori, determinați de procedeul tehnologic folosit la elaborarea semifabricatului, și anume de: materialul folosit, mărimea și greutatea piesei, caracterul producției, felul și numărul operațiilor și fazelor de prelucrare, sistemul de bazare etc. Ținînd seama de toți acești factori, se impune un calcul cit mai exact al mărimilor adaosurilor de prelucrare, astfel ca să se asigure obținerea preciziei și a calității piesei în condițiile cele mai economice. În cele ce urmează se expun cîteva considerații de care trebuie să se țină seama la calculul adaosurilor de prelucrare.

Se consideră **adaosul total** de prelucrare, care reprezintă grosimea stratului de material ce se îndepărtează prin prelucrare în toate operațiile, pînă se obține dimensiunea finală. Adaosul total conține deci toate adaosurile necesare între diferitele faze. Mărimea adaosului total indică cu cit trebuie să se majoreze dimensiunile semifabricatului față de dimensiunile piesei finite. Pentru fiecare fază trebuie să existe un anumit adaos de prelucrare, care formează **adaosul între faze** și conține, ca mărime, numai cantitatea de material care se îndepărtează la faza respectivă. Pentru stabilirea valorii adaosului de prelucrare între faze trebuie să se cunoască dimensiunile piesei corespunzătoare fazei respective.

Adaosurile de prelucrat pot fi simetrice, cazul suprafețelor exterioare și interioare de revoluție, și asimetrice (adaosul are mărimi diferite pentru suprafețele opuse), cazul suprafețelor prismatice.

Deoarece nu se pot da valori precise pentru adaosuri de prelucrare, se admit și pentru acestea toleranțe. Și pentru ca să nu se influențeze mărimea adaosului prin toleranțe, știind că acestea se iau întotdeauna în spre material, se vor lua în considerare numai pentru operația premergătoare. Aceasta înseamnă că toleranța pentru adaosul de prelucrare va corespunde cu toleranța dimensiunii respective. Astfel, toleranța pentru prima operație va fi egală cu toleranța dimensiunii semifabricatului. Piese vor avea un adaos minim, cînd la operația anterioară s-a înlăturat întreaga valoare a toleranței iar la cea

următoare se lucrează cu valoarea minimă a toleranței (fig. 4.1). Adaosul teoretic corespunde unui adaos minim, la care se adaugă toleranța de la etapa precedentă (fig. 4.1). După fiecare operație, dimensiunea stratului de material de adaos scade. De asemenea scade mărimea adaosului de prelucrare de la operația de degroșare spre operația de prelucrare foarte fină, astfel că la operația  $n$ , adaosul este mai mic ca la cea  $n-1$ . În fig. 4.2 se prezintă schematic succesiunea adaosurilor de prelucrare și toleranțele.

Alegerea procedeele tehnologice de elaborare a semifabricatelor și a procedeele de prelucrare trebuie să se facă astfel încît să necesite adaosuri de prelucrare optime din punct de vedere economic.

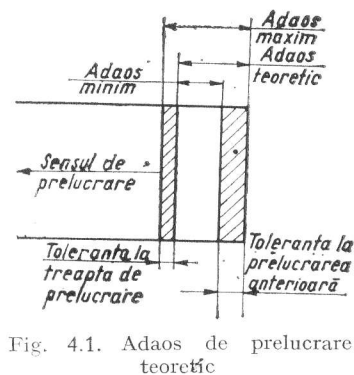


Fig. 4.1. Adaos de prelucrare teoretic

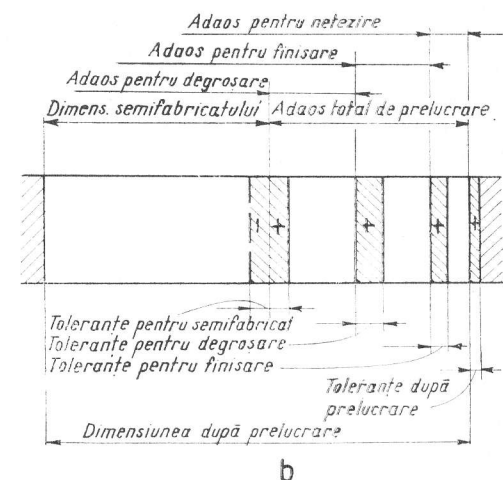
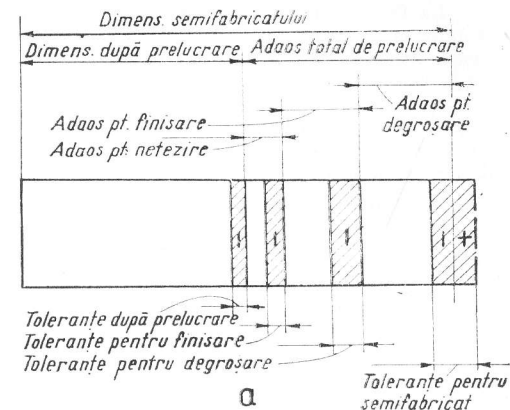


Fig. 4.2. Succesiunea adaosului de prelucrare și a toleranțelor:

a — pentru arbore; b — pentru alezaj

La un adaos mare este necesar un timp mare de prelucrare, adică mai multe treceri, iar la un adaos mic, crește timpul auxiliar de fixare și există o posibilitate mai mare de rebut. De asemenea, în cazul unui adaos mare sau în cazul unui adaos mic, prin rebutarea piesei, este necesar un consum mare de scule și un consum mai mare de energie.

La fiecare procedeu de obținere a semifabricatului sînt elemente specifice de care trebuie să se țină seama. La turnare, de exemplu, trebuie să se ia în considerare calitatea nisipului, procedeul de formare, modelul folosit, calitatea metalului turnat. La forjare și matrițare se iau în considerare: temperatura de încălzire, timpul de încălzire, temperatura de început și de sfîrșit a forjării, procedeul de încălzire folosit, numărul de încălziri, proprietățile materialului.

Elemente importante de care trebuie să se țină seama la calcularea adaosurilor sînt dimensiunile și complexitatea formei pieselor.

Calculul adaosului de prelucrare total. Adaosul total

$$A_t = L_{sf} - L_{pf}, \quad (4.1)$$

unde  $L_{sf}$  este dimensiunea semifabricatului iar  $L_{pf}$  — dimensiunea piesei finite.

În cazul adaosului simetric, pentru suprafețe de revoluție exterioare

$$A_{ts} = \frac{d_{sf} - d_{pf}}{2}, \quad (4.2)$$

iar pentru suprafețe de revoluție interioare

$$A_{ts} = \frac{d_{pf} - d_{sf}}{2}, \quad (4.3)$$

unde  $d_{sf}$  este diametrul semifabricatului iar  $d_{pf}$  — diametrul piesei finite.

Calculul adaosurilor intermediare. Între adaosurile de prelucrare  $A_p$  și dimensiunile intermediare ale unei piese există relațiile:

În cazul suprafețelor exterioare, pentru adaosuri simetrice

$$2A_{p\max} = a_{\max} - b_{\max}, \quad (4.4)$$

iar pentru adaosuri asimetrice

$$A_{p\max} = a_{\max} - b_{\max}. \quad (4.5)$$

În cazul suprafețelor interioare, pentru adaosuri simetrice

$$2A_{p\max} = b_{\min} - a_{\min}, \quad (4.6)$$

iar pentru adaosuri asimetrice

$$A_{p\max} = b_{\min} - a_{\min}. \quad (4.7)$$

În cazul suprafețelor exterioare, pentru adaosuri asimetrice,

$$A_{p\min} = a_{\min} - b_{\min} \quad (4.8)$$

iar pentru adaosuri simetrice

$$2A_{p\min} = a_{\min} - b_{\min}. \quad (4.9)$$

La suprafețe interioare, pentru adaosuri asimetrice,

$$A_{p\min} = b_{\max} - a_{\max}. \quad (4.10)$$

iar pentru adaosuri simetrice

$$2A_{p\min} = b_{\max} - a_{\max}, \quad (4.11)$$

unde:  $a_{\max}$  și  $a_{\min}$  sînt dimensiunile maxime și minime care se obțin de la faza precedentă de prelucrare iar  $b_{\max}$  și  $b_{\min}$  — dimensiunile maxime și minime care se obțin la faza de prelucrare considerată.

La prelucrarea pe mașini-unelte reglate se obține dimensiunea maximă  $b_{\max}$ , dacă semifabricatul are dimensiunea maximă  $a_{\max}$  iar adaosul de prelucrare este maxim  $A_{p\max}$ , și dimensiunea minimă  $b_{\min}$ , dacă dimensiunea semifabricatului este minimă  $a_{\min}$  iar adaosul de prelucrare este minim  $A_{p\min}$ .

Dimensiunea maximă se obține adăugînd toleranța la dimensiunea minimă:

$$a_{\max} = a_{\min} + T_a; \quad (4.12)$$

$$b_{\max} = b_{\min} + T_b; \quad (4.13)$$

unde  $T_a$  este toleranța pentru dimensiunea de la faza precedentă iar  $T_b$  — toleranța pentru dimensiunea de la faza considerată.

Înlocuind (4.12) și (4.13) în (4.5) și (4.4), se obțin valorile adaosurilor maxime de prelucrare

$$A_{p\max} = A_{p\min} + T_a - T_b, \quad (4.14)$$

în cazul adaosurilor asimetrice și

$$2A_{p\max} = 2A_{p\min} + T_a - T_b, \quad (4.15)$$

în cazul adaosurilor simetrice.

Diferența dintre adaosurile maxim și minim este toleranța adaosului de prelucrare:

$$T_A = A_{p\max} - A_{p\min}, \quad (4.16)$$

respectiv

$$T_A = 2A_{p\max} - 2A_{p\min}. \quad (4.17)$$

În general,

$$A_{t\max} = A_{t\min} + T_{sf} - T_{pf}, \quad (4.18)$$

unde  $A_{t\max}$  și  $A_{t\min}$  sînt adaosurile de prelucrare maxim, respectiv minim, iar  $T_{sf}$ ,  $T_{pf}$  — toleranțele semifabricatului, respectiv ale piesei finite.

Calculul adaosului nominal se face ținînd seama de erorile care apar la dimensiunile respective. Pentru suprafețe exterioare, adaosul nominal minim

$$A_{tn} = A_{p\min} + \omega_{ai} - \omega_{bi}, \quad (4.19)$$

respectiv

$$2A_{tn} = 2A_{p\min} + \omega'_{ai} - \omega'_{bi}, \quad (4.20)$$

unde  $\omega_{ai}$ ,  $\omega'_{ai}$  sînt abaterile inferioare ale dimensiunii obținute la prelucrarea precedentă iar  $\omega_{bi}$ ,  $\omega'_{bi}$  — abaterile inferioare ale dimensiunii la prelucrarea considerată.



Pentru suprafețele interioare,

$$A_{tn} = A_{p \min} + \omega_{as} - \omega_{bs}, \quad (4.21)$$

respectiv

$$2A_{tn} = 2A_{p \min} + \omega'_{as} - \omega'_{bs} \quad (4.22)$$

unde  $\omega_{as}$ ,  $\omega'_{as}$  sînt abaterile superioare ale dimensiunii de la faza precedentă, iar  $\omega_{bs}$ ,  $\omega'_{bs}$  — abaterile superioare ale dimensiunii la faza considerată.

La calculul adaosurilor de prelucrare trebuie să se țină seama și de abaterile spațiale (încovoire, neperpendicularitate, necoaxialitate, excentricitate etc.) care rămîn de la prelucrările precedente și trebuie eliminate la prelucrarea considerată. În relația care dă adaosul de prelucrare se introduce un termen care reprezintă suma vectorială a abaterilor spațiale orientate după anumite direcții:

$$\rho = |\bar{\rho}_1 - \bar{\rho}_2|, \quad (4.23)$$

unde  $\bar{\rho}_1$  și  $\bar{\rho}_2$  reprezintă abateri spațiale, orientate sub un anumit unghi. Dacă vectorii  $\bar{\rho}_1$  și  $\bar{\rho}_2$  se găsesc pe aceeași direcție și au același sens, atunci  $|\bar{\rho}| = |\bar{\rho}_1| + |\bar{\rho}_2|$ , iar dacă sînt de sens contrar  $|\bar{\rho}| = |\bar{\rho}_1| - |\bar{\rho}_2|$ .

Deoarece vectorii abaterilor spațiale pot avea direcții greu de stabilit, se poate face însumarea după regula rădăcinii pătrate:

$$\rho = \sqrt{\rho_1^2 + \rho_2^2}. \quad (4.24)$$

Deoarece prin faza de prelucrare considerată trebuie să se îndepărteze rugozitățile rămase de la prelucrarea precedentă și stratul de material degradat, adaosul minim, în cazul adaosurilor simetrice,

$$2A_{p \min} = T_a + 2(R_{za} + S_{pa}) + 2\sqrt{\rho_a^2 + \omega_{as}^2}, \quad (4.25)$$

iar în cazul adaosurilor asimetrice

$$A_{p \min} = T_a + R_{za} + S_{pa} + \sqrt{\rho_a^2 + \omega_{as}^2}, \quad (4.26)$$

unde  $R_{za}$  este rugozitatea maximă a suprafeței care se prelucurează;  $S_{pa}$  — stratul de material degradat de la prelucrarea precedentă;  $T_a$  — abaterile spațiale de la prelucrarea precedentă;  $\omega_{as}$  — abaterile de așezare la prelucrarea considerată;  $\rho_a$  — abaterea spațială de la prelucrarea anterioară.

La calculul dimensiunilor intermediare se pleacă de la dimensiunea piesei finite și din aproape în aproape, ținînd seama de toate fazele de așchiere pentru care trebuie să se lase adaos de prelucrare, se determină dimensiunea semifabricatelor.

Pentru producția de unicate, cînd nu se folosesc dispozitive speciale de fixare, relația de calcul a abaterilor este similară, cu deosebirea că se înlocuiește abaterea de așezare  $\omega_a$  prin abaterea datorită modului de verificare  $\omega_v$  a fixării piesei.

Tabelul 4.2

Valori medii pentru adîncimea stratului degradat al semifabricatelor

Configurația	Dimensiunile	Adîncimea stratului mm
Semifabricate turnate din fontă cenușie		
Simplă	Medii și mari	1,0
Complicată	Medii	1,5
Complicată	Mari	2,0
Semifabricate din oțel-carbon executate din lamine prin forjare liberă		
Simplă	Mici	1,5
Simplă	Medii și mari	2,0
Complicată	Mici	2,0
Complicată	Medii și mari	3,0
Semifabricate din oțel-carbon executate din lamine prin forjare în matrițe închise		
Simplă	Mici și medii	1,0
Complicată	Mici	1,0
Complicată	Medii	1,5
Semifabricate din oțel aliat executate din lamine prin forjare în matrițe închise		
Simplă	Mici și medii	0,5
Complicată	Mici	0,5
Complicată	Medii	1,0

Abaterile spațiale se determină ținând seama de factorii care pot introduce abateri și care sînt caracteristici procesului tehnologic respectiv.

Abaterile spațiale

$$\rho_s = \sqrt{\rho_a^2 + \omega_{as}^2 b^2}$$

Pentru o secțiune oarecare, abaterile spațiale datorită curburii semifabricatelor

$$\rho_c = \Delta_c l_c \quad (4.27)$$

unde  $\Delta_c$  este curbura specifică, în  $\mu\text{m/mm}$  iar  $l_c$  — distanța de la capătul cel mai apropiat pînă la secțiunea pentru care se determină curbura. În mod similar se va calcula curbura datorită acțiunii forțelor de așchiere.

Dacă semifabricatele sînt obținute prin matrițare sau turnare, atunci trebuie să se țină seama de abaterile  $\rho_m$  care pot apărea prin deplasarea matriței sau forme:

$$\rho_t = |\bar{\rho}_a + \bar{\rho}_{as} b + \bar{\rho}_m|$$

Abaterile dimensionale ale semifabricatelor sînt date în standarde de stat.

Valori pentru adîncimea stratului de material degradat se dau în tabelul 4.2. În tabelul 4.3 se dau valori ale curburilor specifice pentru piese cilindrice, în urma diferitelor operații de prelucrare. Curbura specifică la barele laminate la rece este de 4–100  $\mu\text{m/mm}$ , pentru bare cu diametrul de 3–70 mm.

Tabelul 4.3

Curbura specifică,  $\mu\text{m/mm}$ , a laminatelor cilindrice după diferite operații de prelucrare

Prelucrarea	Diametrul laminatelor, mm				
	30	30–50	50–80	80–120	120–180
După strunjirea de degroșare a laminatelor îndreptate	0,15	0,1	0,1	0,05	0,05
După strunjirea de semifinisare	0,01	0,007	0,007	0,004	0,003
După tratamentul termic și îndreptare	0,9	0,8	0,7	0,6	0,5
După călire cu curenți de înaltă frecvență	0,5	0,4	0,4	0,4	
După rectificarea de degroșare a pieselor călite și îndreptate	0,06	0,05	0,05	0,05	
După rectificarea de degroșare a pieselor călite cu curenți de înaltă frecvență	0,03	0,03	0,03	0,03	

## 5. PROBLEME TEHNICO-ORGANIZATORICE. NORME ȘI NORMATIVE

### 5.1. IMPORTANȚA NORMELOR DE TIMP PENTRU ORGANIZAREA ȘTIINȚIFICĂ A PRODUCȚIEI ȘI A MUNCII

În desfășurarea unui proces de producție, normarea muncii este o necesitate obiectivă pentru organizarea științifică a producției, deoarece permite stabilirea, în mod științific, a cantității de muncă necesară pentru executarea unor lucrări sau îndeplinirea unor funcții, în anumite condiții tehnico-organizatorice.

Obiectul activității de normare a muncii îl formează elaborarea metodologiei și practicii pentru stabilirea normelor pe bază de studii, generalizarea și introducerea metodelor mai înaintate de muncă, folosirea rațională a timpului de lucru, a mijloacelor de muncă și a obiectului muncii.

Prin caracterul ei de a studia folosirea rațională a timpului, normarea muncii scoate în evidență posibilitățile de folosire a noi resurse pentru creșterea productivității muncii, de folosire în acest sens a progresului tehnic și de perfecționare a producției și a muncii.

Studiul muncii trebuie să se facă ținându-se seama de condițiile concrete, de posibilitățile de îmbunătățire a acestor condiții și de aplicarea practică a tehnologiei înaintate. De exemplu, etapele indicate a fi folosite la studiul muncii de către „Bureau international de travail” — Geneva sînt cele arătate în fig. 5.1.

### 5.2. IMPORTANȚA DIMENSIUNILOR ȘI A FORMEI CONSTRUCTIVE ASUPRA TEHNOLOGICITĂȚII

Pentru prelucrarea unei piese se folosește o anumită cantitate de timp, care depinde de mai mulți factori, dintre care mai importanți sînt: dimensiunile piesei, forma constructivă, procedeele tehnologice alese, precizia de prelucrare. Forma constructivă și dimensiunile sînt determinate la proiectare, din condițiile de rezistență și de funcționare.

La proiectarea unei mașini se cere, de obicei, să se obțină o eficacitate maximă și o siguranță în funcționare. Din punct de vedere economic însă construcția trebuie să se realizeze cu un consum minim de material și cu un volum redus de muncă.

Dimensiunile constructive și forma au influență hotărâtoare atit asupra consumului de material, cit și asupra volumului de muncă, ceea ce se exprimă prin tehnologicitatea construcției respective. Condițiile principale pentru aprecierea tehnologicității unei piese se referă la: forma optimă cit mai simplă; asigurarea unei greutatei minime; alegerea

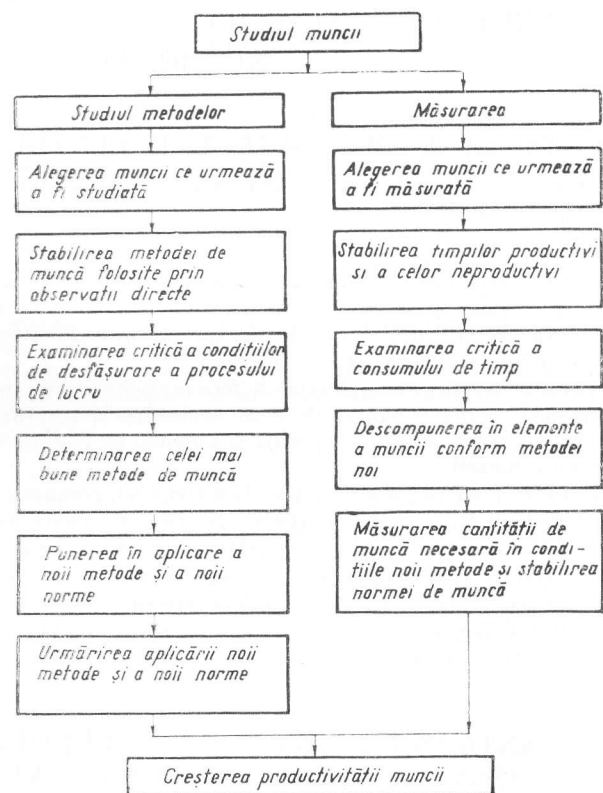


Fig. 5.1. Etapele pentru studiul muncii după „Bureau international du travail”

semifabricatelor astfel încât să aibă adaosuri de prelucrare cit mai mici; folosirea unei variații minime de calitate de materiale; folosirea materialelor celor mai corespunzătoare; folosirea optimă a toleranțelor; folosirea construcțiilor standardizate și tipizate.

Cîteva exemple de influență a formei constructive asupra tehnologicității sînt date în tabelul 5.1.

Tabelul 5.1  
Exemple de forme constructive corecte și incorecte

Semifabricat	Incorect	Corect
Turnat		
Forjat		

### 5.3. INFLUENȚA SEMIFABRICATULUI ASUPRA ECONOMICITĂȚII TEHNOLOGIEI DE PRELUCRARE

Semifabricatul se stabilește la proiectare, când se indică și procedeul tehnologic de obținere. Procedeul tehnologic este determinat de o serie de factori, dintre care se amintesc: proprietățile materialului, dimensiunile și forma piesei finite, volumul producției. De procedeul tehnologic depind forma și dimensiunile semifabricatului, măsura în care acesta va avea forma apropiată de cea a piesei finite, mărimea adaosurilor de prelucrare, prelucrabilitatea etc.

Procedeul de obținere a semifabricatului determină tehnologia de prelucrare. În funcție de aceasta și de precizia de prelucrare impusă se stabilesc felul operațiilor, numărul succesiunea lor, utilajul necesar pentru prelucrare.

Din punct de vedere economic, la stabilirea procedului tehnologic se ține seama de cheltuielile de elaborare a semifabricatului și a prelucrărilor necesare până la forma finită, știind că acestea se influențează reciproc. Un semifabricat elaborat la dimensiuni apropiate de cele finite costă mai mult, dar prelucrarea ulterioară va fi mai economică. În acest sens se ține seama de volumul producției, de existența utilajului necesar, de cheltuielile de investiții, de posibilitățile folosirii tehnologiilor înaintate și de toți factorii care pot influența calitatea și economicitatea produsului.

Pentru piesele prelucrate direct din laminate se cere stabilirea formei, dimensiunilor și toleranțelor pentru materialul laminat.

Exemple care arată influența procedului de obținere a semifabricatului asupra gradului de utilizare a materialului sint date în tabelul 5.2.

### 5.4. NORME DE PRODUCȚIE ȘI NORME DE TIMP

Prin norma de producție se exprimă cantitatea de produse executată în unitatea de timp, în condiții determinate. Norma de producție se exprimă în unități naturale: bucăți, unități de lungime, unități de masă etc.

Norma de timp reprezintă durata de timp necesară pentru executarea unui produs, în anumite condiții tehnico-organizatorice. Norma de timp se poate exprima prin durata unui schimb, a unei ore, a unui minut sau a unei fracțiuni de minut. Norma de timp fi stabilită pentru o întreagă operație sau pentru elementele componente: fază, mișcare, mișcare complexă sau mișcare simplă.

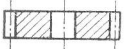
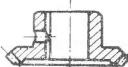
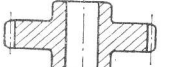
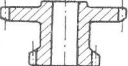
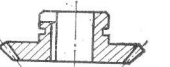
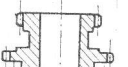
Între norma de producție  $N$  și norma de timp  $t_n$  există relația funcțională

$$N = \frac{1}{t_n} \quad (5.1)$$

La stabilirea normelor de producție sau de timp cu motivare tehnică trebuie să se țină seama de următoarele principii: utilizarea rațională și completă a mijloacelor tehnice, pe baza analizei elementelor componente ale procesului tehnologic și folosirea celor mai productive metode; organizarea rațională a muncii; crearea de condiții pentru desfășurarea optimă a procesului de producție; organizarea deservirii locului de lucru; pregătirea profesională corespunzătoare a normatorului.

Tabelul 5.2

Influența procedului de obținere a semifabricatului asupra gradului de utilizare a materialului

Forma constructivă	Coeficientul de folosire a materialului			
	Laminare	Forjare liberă	Forjare în matriță deschisă	Forjare în matriță închisă
	0,66	0,53	—	0,59
	0,34	0,30	0,40	0,52
	0,26	0,31	0,54	0,64
	0,19	0,24	0,37	0,45
	0,29	0,26	0,48	0,56
	0,18	0,17	0,38	0,63

În industria constructoare de mașini se folosește în general, norma de timp.

În condițiile progresului tehnic, normele de timp trebuie să fie întocmite pe baza cercetărilor științifice, și nu pe baza experienței întâmplătoare.

Structura normei de timp cu motivare tehnică se arată schematic în fig. 5.2. Timpii componenți ai normei de timp sînt: timpul unitar  $t_u$ , care reprezintă timpul de muncă

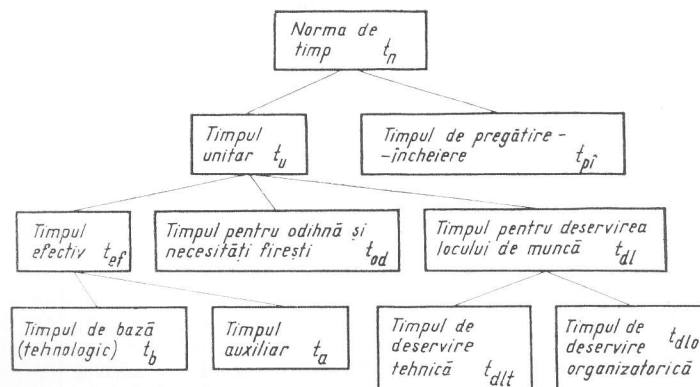


Fig. 5.2. Structura unei norme de timp

necesar pentru prelucrarea unui produs, format din timpul de bază  $t_b$ , timpul auxiliar  $t_a$ , timpul de deservire a locului de muncă  $t_{dl}$  și timpul intreruperilor pentru odihnă și necesități fiziologice ale muncitorului  $t_{od}$ .

Timpul efectiv sau timpul operativ este timpul folosit pentru executarea operațiilor de prelucrare a unei piese. El se compune din timpul de bază, în decursul căruia are loc modificarea aspectului, formei, stării sau așezării reciproce a obiectului muncii precum și din timpul auxiliar, necesar fixării pieselor, opririi și pornirii mașinii-unelte, schimbării numărului de rotații, schimbării sculelor, apropierii și îndepărtării sculei, măsurării dimensiunilor, deplasării piesei etc. Este de remarcat faptul că o parte din timpul auxiliar poate să coincidă cu timpul de bază, iar o altă parte nu. Acea parte a timpului auxiliar care se suprapune cu timpul de bază nu se cuprinde în norma de timp. Din punctul de vedere al modului de efectuare a operației, timpul de bază și cel auxiliar poate fi:

- mecanic, atunci cînd lucrul se execută de mașină, muncitorul avînd numai sarcina de supraveghere;
- mecanic-manual, cînd o parte din mînuiri le execută muncitorul;
- manual, cînd toate mînuirile le execută muncitorul.

Timpul de deservire a locului de muncă este timpul consumat pentru asigurarea condițiilor de lucru. Acest timp se împarte în: timp pentru deservirea tehnică și timpul pentru deservirea organizatorică a locului de muncă.

Timpul de deservire tehnică cuprinde: înlocuirea sculei, reglarea dispozitivelor, reglarea periodică la dimensiune a sculelor, îndepărtarea așchiilor etc.

Timpul de deservire organizatorică cuprinde: curățirea și ungerea utilajului, pregătirea documentelor și sculelor înainte și după terminarea lucrului etc.

Timpul de pregătire-încheiere  $t_{pi}$  nu se cuprinde în timpul unitar. Acesta se referă la lucrările efectuate de muncitor înainte și după terminarea prelucrării unui lot de piese. În acest timp sînt cuprinse: studiul documentației, prelucrarea instrucțiunilor, primirea și predarea sculelor și dispozitivelor, predarea și primirea materialului respectiv pieselor, reglarea mașinii-unelte etc.

## 5.5. METODE DE DETERMINARE A NORMELOR DE TIMP

**Considerații generale.** La determinarea normelor de timp trebuie să se țină seama ca acestea să fie reale, să se poată aplica practic în condițiile concrete de muncă, să asigure creșterea productivității și a calității produselor.

Norma de timp, ca și tehnologia în general, diferă după caracteristica producției și a proceselor tehnologice folosite.

Elaborarea normelor de timp trebuie să se facă plecîndu-se de la aplicarea tehnicii înaintate, precum și de la posibilitățile mijloacelor tehnice și organizatorice. Metodele folosite la stabilirea normelor de timp trebuie să contribuie la descoperirea rezervelor de îmbunătățire a productivității muncii.

Pentru stabilirea normelor se pot folosi: metoda experimentală statistică, metoda comparativă sau metoda analitică.

Primele două metode nu au bază tehnică de calcul, norma stabilită depinzînd de experiența normatorului sau de justetea datelor statistice.

Metoda analitică are la bază o analiză profundă a procesului de muncă pe elemente componente. Prin această analiză trebuie să se găsească posibilitatea unui consum minim de timp, prin eliminarea tuturor minuirilor și mișcărilor inutile.

Etapele pentru elaborarea unei norme de timp cuprind: studiul și analiza procesului tehnologic; proiectarea unei structuri raționale a operației, atît prin conținutul elementelor de lucru, cit și prin cel al elementelor tehnologice; elaborarea normelor tehnico-organizatorice pentru îmbunătățirea structurii operației; determinarea normei de timp pentru fiecare element și pentru toată operația.

La determinarea normei de timp trebuie să se țină seama de condițiile tehnico-organizatorice și de particularitățile pe care le prezintă procesul de producție, diferind de la producția de unicate, la cea de serie sau de masă.

**Observarea prin cronometrare a timpului de lucru necesar.** Prin cronometrare se fac studii asupra elementelor componente ale timpului necesar, pentru executarea unei operații sau numai a unei părți din operație. Observațiile prin cronometrare se fac asupra elementelor componente ale operației care se efectuează ciclic, acestea corespunzînd de fapt cu timpul efectiv necesar pentru efectuarea unei părți sau a întregii operații.

Prin cronometrare se fac și măsurări asupra timpilor de bază și a timpilor auxiliar pentru întocmirea normelor sau verificarea normelor stabilite anterior.

Pregătirea cronometrării se începe prin studierea procesului tehnologic. Se fac verificări la locul de lucru asupra: mașinii-unelte, dispozitivelor și sculelor folosite; organizării locului de lucru; condițiilor în care se desfășoară lucrul (iluminat, încălzire, ordine și curățenie etc.).

După separarea din fișa tehnologică sau din planul de operații a elementelor ciclice asupra cărora se va face observația, în continuare, se va studia: succesiunea fazelor, descompunîndu-se în mișcări și mînuiri; regimul de lucru prevăzut. Pe baza acestor studii se propune, dacă este cazul, îmbunătățirea tehnologiei de prelucrare.

După efectuarea cronometrării se analizează rezultatele și se trece la stabilirea normei de timp.







Tabelul 5.6

Secția			Fișă pentru fotografierea zilei de lucru, nr.								
Data	Schimbul	Începutul observării	Sfârșitul observării	Durata	Numărul paginilor	Observatorul					
Lucrătorul			Mașina			Muncă					
Nr. crt.	Numele	Clasa de salarizare	Stagiul	Profesia	Caracteri- zare	Denumirea și tipul	Nr. de inventar	Mărima	Piesa produsă	Operația	Categoria

## Observări

Nr. crt.	Lucrătorul	1		2		3		4		5		Indicile	Observații
	Ce s-a observat	Ora curentă	Durata min	Ora curentă	Durata min	Ora curentă	Durata min	Ora curentă	Durata min	Ora curentă	Durata min		
1	2	3	4	5	6	7	8	9	10	11	12	13	14
0	Începutul observării												

**Observări instantanee asupra folosirii timpului de lucru.** Metoda constă, spre deosebire de fotografiere, din observări spontane sau instantanee, normatorul trecând de mai multe ori pe la locul de muncă respectiv. Numărul de observări este de data aceasta mult mai mare, două sau trei observări, pentru a se putea trage concluzii cât mai reale. Metoda prezintă avantajul că se pot face mai multe observări de către un singur normator la mai multe locuri de muncă. În construcția de mașini numărul minim de observări instantanee se apreciază la 300.

Pentru obținerea unui anumit grad de precizie se poate stabili, pe baza teoriei erorilor din statistica matematică, numărul optim de observări cu relația

$$n = \frac{4(1-p)}{v^2 p}, \quad (5.2)$$

în care:  $n$  este numărul de observări;  $y$  — eroarea maximă,  $p$  — probabilitatea evenimentului.

Pentru  $p$  și  $y$  se stabilesc anticipat valori, care pentru industria constructoare de mașini sînt:  $p = 0,7...0,9$  și  $y = \pm 0,01...0,10$ . Numărul optim de observări necesare în funcție de  $p$  și  $y$  este dat în tabelul 5.8.

**Studiul muncii prin sistemul MTM (Methode Time Measurement).** Această metodă se bazează pe studiul legăturii care există între mișcările efectuate de un executant și timpul necesar realizării lor. Metoda are o largă răspîndire în toate țările dezvoltate și prezintă avantajul că se determină mai precis și mai rapid timpul necesar pentru efectuarea unei munci, este ușor accesibilă și de aplicat practic și ține seama de toți factorii care prestează și influențează procesul muncii.

Unitățile de bază folosite la măsurarea timpului TMU (Time measurement unit):

$$1 \text{ TMU} = \frac{1}{100\,000} \text{ h} = \frac{36}{10\,000} \text{ min} = \frac{36}{1\,000} \text{ s}.$$

În vederea studiului mișcărilor de bază, acestea s-au clasificat și codificat (tabelul 5.9).

În lucrări de specialitate sînt dați timpii măsurați în unități TMU (1/100 000 ore) adaptați de MTM Asociation for Standards and research. Pentru aplicarea acestei metode sînt necesare studii de adaptare la condițiile concrete și specificul țării respective.

## 5.6. NORMAREA TEHNICĂ LA MAȘINI-UNELTE

Normarea tehnică la prelucrarea pe mașini-unelte, pe lângă stabilirea normei de lucru sau de producție, dă posibilitatea aprecierii eficienței, deci a economicității procesului tehnologic folosit.

Factorul principal care determină valoarea normei de lucru la un anumit tip de mașină este regimul de așchiere. La rîndul său, acesta depinde de o serie de factori, cum sînt: prelucrabilitatea materialului, proprietățile așchietoare ale sculelor, durabilitatea sculei etc. La stabilirea regimului de așchiere trebuie să se cunoască posibilitățile folosirii capacității optime a mașinii.

Fișă de analiză a fotografiilor locului de muncă nr.

Data	Secția	Obiectul	Muncitorul sau secția	Observatorul
Categoriile timpului de lucru				
Indicii	Denumirea categoriei	Denumirea cheltuielilor timpului de lucru	Indice	Bilanțul timpului de lucru
PI	Pregătire		$t_1$	
ME	Muncă efectivă	Muncă de bază Muncă auxiliară	$t_2$ $t_3$	
DL	Deservirea locului de muncă	Organizatorică Tehnică	$t_4$ $t_5$	
OD	Odihnă	Odihnă-masă Necesități firești	$t_6$	
Timpul total al încărcării utile				
PN	Pierderi	Munci neproductive	$t_7$	
IO	Întreperii	Tehn. organizatorice	$t_8$	
PL	Pierderi	Ce depind de muncitor	$t_9$	
Timpul total al pierderilor				
Total general				

## Concluzii

Asupra fotografiilor zilei de lucru din fișa de analiză nr.

Procentul timpului efectiv	Procentul pierderilor ce depind de lucrător	Procentul pierderilor ce nu depind de lucrător
$K_1 = \frac{t_2 + t_3}{T} \cdot 100$	$K_2 = \frac{t_6^{real} - t_6^{regl.} + t_9}{T} \cdot 100$	$K_3 = \frac{t_7 + t_8}{T} \cdot 100$
Creșterea posibilă a productivității muncii		
Prin înlăturarea pierderilor tehnice și organizatorice a muncii neproductive	Prin înlăturarea pierderilor ce depind de lucrător și a odihnei nereglementare	
$M_1 = \frac{t_7 + t_8}{t_1 + t_2 + t_3 + t_5 + t_6^{reglementar}} \cdot 100$	$M_2 = \frac{t_6^{real} - t_6^{reglementar} + t_9}{t_1 + t_2 + t_3 + t_5 + t_6^{reglementar}} \cdot 100$	
Creșterea posibilă a productivității muncii $M = M_1 + M_2 =$ %		

Data

A observat

A verificat

Tabelul 5.8

Numărul optim de observații necesare

$\rho \backslash v$	0,01	0,02	0,03	0,04	0,05	0,06	0,07	0,08	0,09	0,10
0,55	32730	8180	3640	2050	1310	910	667	510	405	375
0,60	26670	6670	2960	1670	1070	740	545	415	300	265
0,65	21540	5390	2396	1350	860	600	440	335	265	215
0,70	17140	4285	1900	1070	685	475	350	265	210	170
0,75	13330	3370	1480	835	535	370	270	210	163	135
0,80	10000	2520	1110	625	400	275	205	155	125	100
0,85	7060	1765	785	440	280	195	145	110	87	71
0,99	4440	1110	495	280	175	125	90	69	55	45

Tabelul 5.9

Mișcările de bază cuprinse în sistemul MTM

Mișcările de bază	Felul mișcării	Simbolul
Mișcările de bază ale membrilor superioare	Întinde mîna Deplasează Rotește manivela Întoarcere Aplică presiune Apucă Dă drumul Potrivește Desprinde	R (Reach) M (Move) C (Cranking) T (Turn) AP (Apply Pressure) G (Grasp) RL (Releaseload) P (Position) D (Disengage)

Tabelul 5.9 (continuare)

Mișcările de bază	Felul mișcării	Simbolul
Mișcările de bază ale ochilor	Deplasează privirea Ațintește privirea	ET (Eye Travel) EF (Eye Focus)
Mișcările de bază ale corpului și ale membrilor inferioare	Mișcarea labei piciorului Mișcarea gambei sau a pulpei Merge Face un pas lateral Întoarce corpul Se așază Se ridică  Se înclină Se ridică din poziția înclinat  Se apleacă Se ridică din poziția aplecat  Îngenunchiază Se ridică din poziția ingenuchiat	FM (Foot Motion) LM (Leg Motion) W (Walk) SS (Side Step) TB (Torn Body) SIT (Sit) STD (Stand from Sitting Position) B (Bend) AB (Arise from Bend Position) S (Stoop) As (Arise from Stop Position) K (Kneel) AK (Arise Kneel)

De asemenea se va lua în considerare durabilitatea economică a sculei. Aceasta se poate scrie ținând seama de cheltuielile de fabricație și întreținere sub forma:

$$T_{ec} = \frac{1 - m}{m} \left( \frac{C_1 t_1 + C_2 t_2 + C_3}{C_1} \right) [\text{min}] \quad (5.3)$$

în care:  $t_1$  este timpul de reglare, min;  $t_2$  — timpul de ascuțire, min;  $C_1$  — costul unui minut pentru reglare, lei/min;  $C_2$  — costul unui minut pentru ascuțire, lei/min;

$$C_3 = \frac{C_0}{R};$$

$C_0$  — costul sculei, lei/buc;  $R$  — numărul de reascuțiri pe care leadmite scula;  $m$  — indicele durabilității relative cu valori între 1/3 și 1/10.

Sub formă mai restrinsă, durabilitatea economică

$$T_{ec} = \frac{1 - m}{m} C_{ex}, \quad (5.4)$$

unde  $C_{ex}$  reprezintă cheltuielile de exploatare a sculei. La alegerea regimului de așchiere trebuie să se țină seama că între viteza  $v$ , durabilitatea economică și capacitatea de așchiere există o interdependență (fig. 5.3).

Pentru calculul timpului de bază se folosesc relațiile de calcul date în tabelul 5.10.

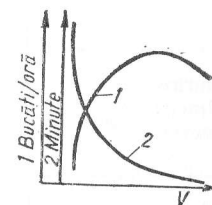


Fig. 5.3. Interdependența dintre durabilitatea economică (curba 2) și capacitatea de așchiere (curba 1)



Tabelul 5.10

Relații pentru calculul timpului de bază  $t_b$ 

Operația	Relația	Observații
1	2	3
Strunjire	$t_b = \frac{L}{ns} i$	$L$ este lungimea totală a cursei de lucru, mm; $L = l + l_1 + l_2$ ; $l$ — lungimea de strunjire, mm; $l_1$ — cursa de apropiere a sculei, mm; $l_2$ — cursa de ieșire a sculei din așchiere, mm; $n$ — turație, rot/min; $s$ — avansul longitudinal, mm/rot; $i$ — numărul de treceri
Frezare	$t_b = \frac{L}{ns} i$	$L = l + l_1 + l_2$ — lungimea totală a cursei de lucru, mm; $l$ este lungimea de frezat, mm; $l_1$ — cursa de pătrundere, mm; $l_1 = \sqrt{l(D-t)}$ , pentru freze cilindrice; $l_1 = 0,5 (D - \sqrt{D^2 - B^2})$ , pentru freze frontale; $D$ — diametrul frezei, mm; $B$ — lățimea de frezat, mm; $t$ — grosimea adaosului așchiat, mm; $l_2 = (0,03...0,05)D$ — cursa la ieșire, mm; $n$ — turația frezei, rot/min; $s$ — avansul pe turație, $\frac{\text{mm}}{\text{rot}}$ ; $i$ — numărul de treceri;
Găurire Adîncire Alezare	$t_b = \frac{L}{ns} i$	$n$ este turația sculei sau piesei, după procedul folosit, $\frac{\text{rot}}{\text{min}}$ ;
Rabotare	$t_b = \frac{BL}{1000 s v_a} \cdot \left(1 + \frac{v_a}{v_g}\right) i$	$v_a$ este viteza la cursa activă, m/min; $v_g$ — viteza la cursa în gol, m/min; $B$ — lățimea totală, mm; $B = b + b_1 + b_2$ ; $b$ — lățimea efectivă de prelucrat, mm; $b_1$ — apropierea; $b_2$ — ieșirea, mm; $s$ — avansul pe cursă dublă, $\frac{\text{mm}}{\text{cd}}$

Tabelul 5.10 (continuare)

1	2	3
Frezarea roților dîntate cu freză melc	$t_b = \frac{Lz}{n_f s_r q k}$	$L = l + l_1 + l_2$ ; $l_1 = \frac{\sqrt{l(D-t)}}{\cos \varphi}$ , unde $\varphi$ este unghiul de pantă al frezei; $l_2$ este lungimea cursei la ieșire, mm; $z$ — numărul de dinți; $n_f$ — turația frezei, rot/min; $s_r$ — avansul pe o rotație, $\frac{\text{mm}}{\text{rot}}$ ; $q$ — numărul de începuturi ale frezei; $k$ — numărul de roți ce se prelucreză simultan
Mortezarea roților dîntate	$t_b = \frac{zm\pi}{s_{cd}n} + \frac{h}{s_{pdr}n}$	$n$ este numărul de curse duble pe minut, cd/min; $h = 2,17 m + (0,4...0,6)$ [mm]; $s_{cd}$ — avansul la o cursă dublă, $\frac{\text{mm}}{\text{cd}}$ ; $s_{pdr}$ — avansul de pătrundere, $\frac{\text{mm}}{\text{cd}}$ ; $m$ — modulul roții
Frezarea roților melcate	Cu avans radial	$t_b = \frac{1,35 hz}{s_r n_f q}$
	Cu avans tangențial	$t_b = \frac{zm \left(1,5 \sqrt{z} + \frac{z}{2} \operatorname{tg} \frac{\varphi}{2} + 1,1 \cotg \frac{\varphi}{2}\right)}{s_t n_f q}$
		$h$ este înălțimea dintelui, mm; $z$ — numărul de dinți; $n_f$ — turația frezei, rot/min; $s_r$ — avansul radial, mm/rot; $s_t$ — avansul tangențial, mm; $\varphi$ — unghiul de înclinare al danturii; $q$ — numărul de începuturi ale frezei

Tabelul 5.10 (continuare)

1	2	3
Rectificare	Cilindrică	$L$ este lungimea cursei, mm; $a_p$ — adaosul de prelucrare, mm; $s_t$ — adaosul transversal la o cursă, mm; $B$ — lățimea de prelucrat, mm; $k$ — coeficient; $k = 1,1 \dots 1,7$ ;
	$t_b = \frac{L}{ns} \cdot \frac{a_p}{s_t} k$	$v_s$ — viteza mesei, m/min; $s_p$ — avansul lateral la o cursă dublă, mm/cd;
	Plană frontală	$b$ — lățimea discului abraziv, mm
	$t_b = \frac{La_p}{v_s s_t 1000} k$	
	Plană periferică	
	$t_b = \frac{2(B + 2b) La_p}{1000 v_s s_p s_t} k$	

Observație. În acest tabel s-a notat prin cd, numărul de curse duble.

## 5.7. NORMATIVE DE PRODUCȚIE

Pentru stabilirea normelor tehnice de timp prin metoda analitică de calcul se folosesc normativele pentru normarea tehnică.

Metodele de elaborarea normativelor și conținutul acestora se stabilesc în funcție de destinația și tipul producției. Astfel, pentru producția de masă, normativele se stabilesc făcându-se o diferențiere mai accentuată a minuirilor. La producția de serie se pot face pe minuire mai complexe.

Normativele pot fi pe uzină, pe ramură sau pe mai multe ramuri industriale sub formă de tabele.

Normativele pentru normarea tehnică trebuie să fie elaborate în condițiile aplicării unor procese tehnologice optime, ținându-se seama de toți factorii care pot influența valoarea lor.

Pentru stabilirea timpului normat se pot folosi mai multe metode. Metoda care exprimă cu o mai mare exactitate norma de timp și care se poate folosi la elaborarea normativelor unificate este metoda celor mai mici pătrate. Aceasta constă în exprimarea legăturii între variabila independentă  $x$  și valoarea normativă  $y$ . Dacă funcția care exprimă legătura între  $x$  și  $y$  este de forma  $y = ax + b$ , se poate scrie sistemul

$$bn + a \sum_{i=1}^n x_i = \sum_{i=1}^n y_i; \quad (5.5)$$

$$b \sum_{i=1}^n x_i + a \sum_{i=1}^n x_i^2 = \sum_{i=1}^n x_i y_i, \quad (5.6)$$

n care  $n$  este numărul datelor rezultate din experimentări.

Rezolvînd sistemul, se obține:

$$a = \frac{n \sum x_i y_i - \sum x_i y_i}{n \sum x_i^2 - \sum x_i^2}; \quad (5.7)$$

$$b = \frac{\sum x_i^2 y_i - \sum x_i y_i \sum x_i}{n \sum x_i^2 - \sum x_i^2}. \quad (5.8)$$

Dacă funcția care exprimă legătura între elemente are forma

$$y = mx^k, \quad (5.9)$$

atunci prin logaritmare se obține sistemul:

$$(\log m) n + k \sum_{i=1}^n \log x_i = \sum_{i=1}^n \log y_i; \quad (5.10)$$

$$(\log m) \sum_{i=1}^n \log x_i + k \sum_{i=1}^n (\log x_i)^2 = \sum_{i=1}^n (\log x_i \log y_i). \quad (5.11)$$

Notînd  $\sum_{i=1}^n \log x_i = A$ ;  $\sum_{i=1}^n \log y_i = B$ ;  $\sum_{i=1}^n (\log x_i)^2 = C$  și  $\sum_{i=1}^n (\log x_i \log y_i) = D$ ,

sistemul se poate scrie astfel:

$$(\log m) n + kA = B; \quad (5.12)$$

$$(\log m) A + kC = D. \quad (5.13)$$

Rezolvînd acest sistem, se obține:

$$\log m = \frac{BC - DA}{nC - A^2}; \quad (5.14)$$

$$k = \frac{B - n \log m}{A}. \quad (5.15)$$

## 6. PRINCIPII DE AUTOMATIZARE A PROCESELOR TEHNOLOGICE ÎN CONSTRUCȚIA DE MAȘINI

### 6.1. OBIECTUL AUTOMATICII. TERMINOLOGIE

Prin automatizare se urmărește realizarea conducerii proceselor tehnice fără participarea omului, cu ajutorul unor dispozitive corespunzătoare de conducere automată — dispozitive de automatizare.

Pentru realizarea dispozitivelor de automatizare, automatica utilizează elemente specifice sau elemente ale altor discipline tehnice, adaptându-le sau combinându-le în legături capabile să îndeplinească funcțiile caracteristice dispozitivelor de automatizare.

Definiția automaticii ca știință, a elementelor componente ale sistemelor automate și ale dispozitivelor de automatizare, a mărimilor funcționale caracteristice și a altor noțiuni specifice ale sistemelor automate și a funcționării lor sînt cuprinse în STAS 6019-67. AUTOMATICA. Terminologie.

### 6.2. REPREZENTAREA CONVENȚIONALĂ A SISTEMELOR AUTOMATE ȘI A ELEMENTELOR LOR COMPONENTE

#### 6.2.1. REPREZENTAREA ELEMENTELOR ȘI SEMNALELOR

În schemele de reprezentare a sistemelor automate elementele componente ale acestora, legăturile dintre ele și semnalele ce se transmit prin aceste legături se reprezintă prin semne convenționale.

Semnele convenționale și simbolurile literare aferente utilizate pentru reprezentarea elementelor de automatizare sînt cuprinse în: STAS 6019-67 — AUTOMATICA. Terminologie; STAS 6755-67 — AUTOMATICA. Semne convenționale pentru măsurare, reglare și comandă; STAS 8061-67 — AUTOMATICA. Semne convenționale pentru elementele și dispozitivele logice ale sistemelor de comutație statică.

Semne convenționale se găsesc, de asemenea, și în alte standarde, ca de exemplu: STAS 1590-64 — Semne convenționale fundamentale și electrotehnice; STAS 2877-64 — Aparare de conectare.

#### 6.2.2. REPREZENTAREA SISTEMELOR AUTOMATE

**Scheme principale.** Schema principală este o reprezentare a modului în care sînt legate între ele părțile componente ale unui sistem, care facilitează înțelegerea funcționării elementelor în cadrul sistemului și a acestuia în ansamblu. În schemele principale (fig. 6.1), părțile componente ale elementelor sistemului sînt reprezentate punînd în evidență înlănțuirea lor funcțională, neglijîndu-se poziția lor relativă în spațiu.

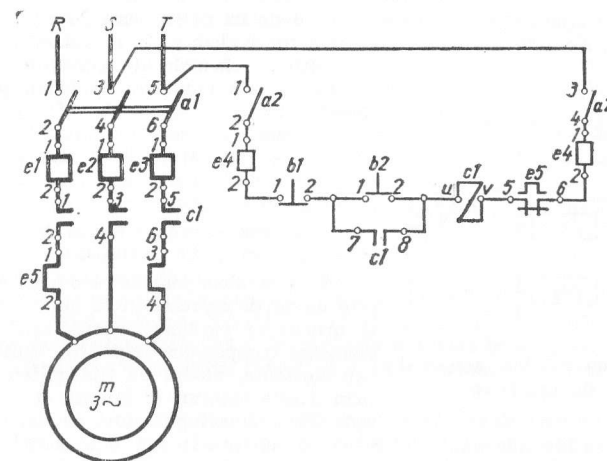


Fig. 6.1. Schema principală a unui sistem automat de comandă a pornirii și opririi unei acționări electromecanice cu motor asincron trifazat, cu rotorul în scurtcircuit

În scopul ușurării citirii, desenarea schemelor se face ținînd seama de prevederile STAS 7070-64 — Scheme de automatizare. În continuare se dau cîteva reguli pentru întocmirea documentației tehnice desenate:

- circuitele principale se trasează cu linii groase;
- circuitele de comandă se trasează cu linii subțiri;
- elementele (contacte) aparaturii se reprezintă în stare normală, adică în starea corespunzătoare lipsei unei acțiuni exterioare (tensiune, curent, acțiune mecanică etc.), asupra aparatelor respective;
- elementele mașinilor și aparaturii primesc o notație simbolică, urmată de un număr de ordine;
- bornele diferitelor elemente ale schemei se numerotează cu litere sau cifre și litere; conductorii de legătură se marchează de asemenea.

Explicarea, cu ajutorul schemelor principale a modului de funcționare a sistemelor automate se face în ordinea următoare:

- se arată care sînt operațiile pregătitoare de punere în funcție a sistemului (închiderea întrerupătoarelor  $a_1$  și  $a_2$ );

— se explică starea elementelor după operațiile pregătitoare:  $b1(1,2)$  — închis,  $b2(1,2)$  — deschis,  $c1(U, V)$  — fără tensiune etc;  
 — se arată operația sau acțiunea care pune sau scoate sistemul din funcție: apăsarea pe butonul  $b2(1,2)$  sau  $b1(1,2)$ ;  
 — se explică efectele acțiunii de punere în funcțiune, în ordinea succesiunii lor cauzale:  $c1(U, V)$  — sub tensiune,  $c1(7,8)$  — se închide,  $c1(1,2)$ ,  $c1(3,4)$ ,  $c1(5,6)$  — se închid, asigurând alimentarea motorului  $m$  și, deci, pornirea etc.  
 Scheme de montare. Schemele de montare pot fi scheme de conexiuni și scheme de cablare.

Schema de conexiuni constituie desenul de execuție pentru realizarea legăturilor dintre aparate. Aceasta trebuie să cuprindă toate elementele necesare pentru realizarea instalației. Schemele de conexiuni se întocmesc pe unități de montare: tablouri, pupitre de comandă etc.

Schemele de cablare cuprind ansamblurile și elementele instalației de automatizare, desenate sub formă de blocuri, ca și legăturile prin cabluri și conducte dintre acestea.

Schemele de conexiuni și de cablare se execută conform STAS 7070-64.

**Schema-bloc.** Schema bloc (schema structurală) este modul de reprezentare a unui sistem prin care se urmărește explicarea structurii lui: părți și elemente componente, modul de transmitere a informației prin aceste legături și funcția elementelor în sistem. Pentru exemplificare, în fig. 6.2 sunt reprezentate schemele bloc ale unui sistem de urmărire.

În fig. 6.2,  $a$  este reprezentată schema bloc generală, exprimând interacțiunea dintre dispozitivul de automatizare  $DA$  și instalația automatizată  $IA$ , cât și acțiunile care se exercită asupra acestora ( $i$  — mărimea de intrare urmărită;  $m$  — mărime de execuție;  $p$  — mărime de perturbare;  $e$  — mărimea de ieșire care urmărește mărimea de intrare  $i$ ).

În fig. 6.2,  $b$  este reprezentată o schemă bloc mai amănunțită, indicând elementele componente ( $EC$  — element de comparare;  $EE$  — element de execuție;  $OR$  — organ de reglare;  $EM$  — element de măsurare) și acțiunile care se exercită asupra acestor elemente de către ele ( $a$  — mărime de acționare;  $c$  — mărime de conducere;  $r$  — mărime de reacție etc.).

## 6.3. STRUCTURA ȘI PRINCIPIILE DE FUNCȚIONARE A SISTEMELOR AUTOMATE

### 6.3.1. SISTEME AUTOMATE ÎN CIRCUIT DESCHIS

Din această clasă fac parte sistemele automate în care dispozitivul de automatizare acționează asupra instalației automatizate, determinându-i starea, iar instalația automatizată nu influențează dispozitivul de automatizare. Schema-bloc simplificată a acestor sisteme este reprezentată în fig. 6.3.

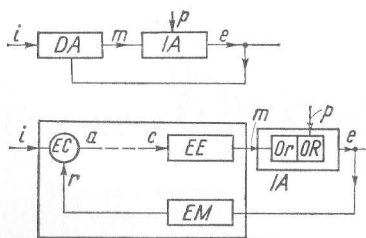


Fig. 6.2. Schemele bloc ale unui sistem de urmărire

**6.3.1.1. SISTEME AUTOMATE ÎN CIRCUIT DESCHIS COMBINAȚIONALE (DE COMANDĂ DIRECTĂ).** Fac parte din această categorie sistemele în care unei combinații date a valorilor sau stărilor mărimilor de intrare îi corespunde o combinație dată a valorilor sau stărilor mărimilor de execuție a dispozitivului de automatizare și corespunzător, a valorilor mărimilor de ieșire ale instalației de automatizare. Un exemplu de sistem automat combinațional îl constituie sistemul de comandă a cărui schemă principală a fost considerată în fig. 6.1. Sistemul automat respectiv este combinațional, în sensul arătat mai sus, deoarece unei anumite combinații a mărimilor de intrare — starea contactelor  $b1(1,2)$ ,  $b2(1,2)$  și starea bimetalilor  $e5(1,2)$  și  $e5(3,4)$  ale releului de protecție împotriva suprasarcinilor — îi corespunde o acțiune determinată a dispozitivului de automatizare: alimentarea sau întreruperea alimentării motorului acționării prin intermediul contactelor  $c1(1,2)$ ,  $c1(3,4)$ ,  $c1(5,6)$  ale contactorului  $c1$ .

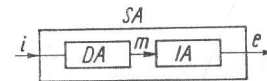


Fig. 6.3. Schema bloc generală (simplificată) a sistemelor automate în circuit deschis

Dispozitivele de automatizare a sistemelor combinaționale îndeplinesc funcții logice de conducere, în sensul că exercită o acțiune sau alta în funcție de faptul dacă mărimile de intrare îndeplinesc o anumită condiție logică (există simultan, există unele și nu există altele etc.). Așa, de exemplu, în cazul sistemului de acționare din fig. 6.1, dispozitivul de automatizare va comanda, prin contactele lui  $c1(1,2)$ ,  $c1(3,4)$ ,  $c1(5,6)$ , motorul de acționare  $m$  numai dacă este satisfăcută următoarea condiție (condiționare logică): este sau a fost acționat butonul  $b2(1,2)$ , nu este acționat butonul  $b1(1,2)$  și sarcina motorului nu depășește o anumită limită care ar determina deschiderea contactului  $e5(5,6)$ .

În exemplul considerat, condiționările logice sînt realizate de către circuitele realizate cu contactele aparatelor de comandă și protecție. Circuitul respectiv este un circuit logic sau un dispozitiv logic.

**Elemente logice ale sistemelor automate combinaționale.** Se numesc logice acele elemente care realizează o interdependență logică între semnalele de la ieșirea lor și cele de la intrare, în sensul că semnalele de la ieșire există sau nu există în funcție de faptul dacă semnalele de la intrare îndeplinesc sau nu o condiție logică. Așa, de exemplu, circuitul reprezentat în fig. 6.4 este un element logic, deoarece tensiunea  $F$  de la ieșirea lui (bornele 5;2) există numai dacă există simultan acțiunile  $A$  și  $B$  (mărimi de intrare), care determină închiderea contactelor 1;3 și 3;5. Funcția logică realizată de către circuitul din fig. 6.4 este funcția logică  $\text{ȘI}$ .

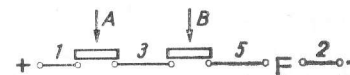


Fig. 6.4. Circuit logic  $\text{ȘI}$ , cu contacte

Elementele logice, indiferent de natura lor fizică, au la intrare și ieșire valori discrete, și anume două nivele ale semnalelor (mărimilor) respective, care, în mod convențional, sînt considerate unul zero (0) și altul unu (1). Valorile 0 și 1 ale semnalelor de ieșire depind de valorile 0 și 1 ale semnalelor de intrare și de funcția logică pe care o îndeplinește elementul considerat. Așa, de exemplu, în cazul circuitului  $\text{ȘI}$  (fig. 6.4), interdependența dintre mărimile de intrare  $A$  și  $B$  și mărimea de ieșire  $F$  este cea arătată în tabelul de adevăr 6.1.

Principalele funcții logice îndeplinite în sistemele combinaționale de către elementele logice sînt prezentate în tabelul 6.2, împreună cu scrierea lor simbolică. Se poate arăta



Tabelul 6.1

Tabelul de adevăr al elementelor ȘI cu două mărimi de intrare

<i>A</i>	0	0	1	1
<i>B</i>	0	1	0	1
<i>F</i>	0	0	0	1

Tabelul 6.2

Principalele funcții logice ale elementelor logice utilizate în sistemele combinaționale

Denumirea elementelor	Funcția logică realizată	Scrierea simbolică a funcției logice
Element DA (repetor)	Mărimea de ieșire există când există mărimea de intrare	$F = A$
Element NU (inversor)	Mărimea de ieșire există când nu există mărimea de intrare	$F = \bar{A}$
Element ȘI	Mărimea de ieșire există atunci și numai atunci, când există simultan mărimile de intrare	$F = A \cap B$
Element SAU	Mărimea de ieșire există când există una sau alta din mărimile de intrare	$F = A \cup B$
Element de interdicție	Mărimea de ieșire există când există una din mărimile de la intrare și nu există cealaltă	$F = A \cap \bar{B}$
Element de implicație	Mărimea de ieșire există când există una din mărimile de la intrare sau nu există cea de-a doua mărime de intrare	$F = A \cup \bar{B}$
Element de inhibiție		$F = A$ pentru $B = 0$ $F = \bar{A}$ pentru $B = 1$
Element NU ȘI		$F = \overline{A \cap B}$
Element NU SAU (NICI)		$F = \overline{A \cup B}$
Element SAU EXCLUSIV		$F = (A \cap \bar{B}) \cup (\bar{A} \cap B)$ sau $F = A \oplus B$

că orice funcție logică poate fi realizată utilizând elemente care îndeplinesc funcțiile logice elementare ȘI, SAU și NU sau altele, de exemplu NICI.

Reprezentarea convențională a elementelor logice este cuprinsă în STAS 6755-67.

Dispozitivele logice complexe, realizate prin combinarea unor elemente logice elementare, se reprezintă îmbinând corespunzător simbolurile dispozitivelor logice elementare, așa cum, de exemplu, este arătat în fig. 6.5, pentru un dispozitiv logic SAU EXCLUSIV.

**Realizarea fizică a elementelor logice.** În prezent, ca elemente logice, cea mai largă utilizare o au dispozitivele logice cu contacte ale unor aparate de comutație (relee, contactoare, butoane de comandă, limitatoare de cursă și alte elemente poziționale etc.), elementele logice cu tuburi electronice sau semiconductori și elementele logice cu miezuri magnetice. Se utilizează, de asemenea, elemente logice mecanice (mecanisme logice) și elemente logice pneumatice, optice etc.

**Sisteme unificate de elemente logice.** Pentru satisfacerea cerințelor crescînde în privința echipamentelor de automatizare, industria a recurs la soluția sistemelor unificate de elemente logice, adică la soluția fabricării unor module tip, care să poată fi combinate în cele mai diferite moduri, pentru realizarea celor mai diferite funcții logice. În R.S.R., în prezent se fabrică la Fabrica de Elemente de Automatizare București sistemul unificat de elemente logice UNILOG, avînd ca element de bază elementul logic NICI.

**6.3.1.2. SISTEME AUTOMATE ÎN CIRCUIT DESCHIS SECVENȚIALE CU ACȚIUNE DUPĂ PROGRAM. Considerații generale.** Din această categorie fac parte sistemele automate la care acțiunea dispozitivului de automatizare asupra instalației automatizate se realizează printr-o serie de acțiuni succesive în funcție de timp — după un program, independent de modul de desfășurare a procesului comandat.

Pentru realizarea unei acțiuni de tipul arătat, dispozitivul de automatizare al acestor sisteme conține, în general, două blocuri de elemente (fig. 6.6): blocul elementelor de execuție BE (contactoare, servomotoare etc.) și blocul elementelor de comandă secundară BS (realizat cu relee de timp, registre, dispozitive calculatoare, interpolatoare etc.).

Blocul elementelor de execuție primește trei tipuri de semnale de comandă: mărimile de intrare primare  $i_1, i_2, \dots, i_k$ , primite din exterior; mărimile de comandă secundară  $i_{s1}, i_{s2}, \dots, i_{sl}$ , primite de la blocul elementelor secundare; mărimile de comandă de reacție  $e_1, e_2, \dots, e_m$ , primite de la ieșirea blocului elementelor de execuție (reacții).

Mărimile secundare de comandă  $i_{s1}, i_{s2}, \dots, i_{sl}$  sînt, în general, rezultatul acțiunii, asupra blocului elementelor secundare, a mărimilor de intrare  $i_1, i_2, \dots, i_k$ ; de reacție proprie  $i_{s1}, i_{s2}, \dots, i_{sl}$ ; de ieșire a blocului de execuție  $e_1, e_2, \dots, e_m$ .

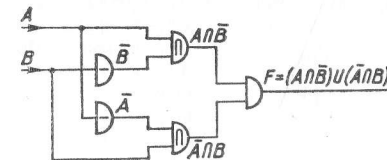


Fig. 6.5. Dispozitiv logic SAU EXCLUSIV realizat cu elemente ȘI, SAU și NU

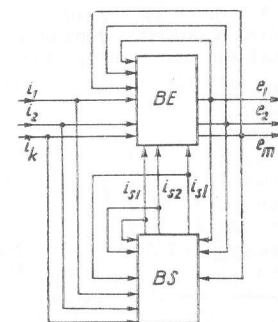


Fig. 6.6. Schema-bloc a dispozitivelor de automatizare a sistemelor automate în circuit deschis secvențiale, cu acțiune după program



O trăsătură caracteristică a blocului elementelor secundare de comandă considerat este aceea că conține elemente speciale de *întârziere*, care întârzie sau eșalonează transmiterea semnalelor, spre ieșire, după un program prestabil.

Se menționează că unele din categoriile de acțiuni, arătate mai sus, pot lipsi, schema bloc din fig. 6.6, reprezentând structura acestor sisteme în forma ei cea mai generală.

**Elemente specifice sistemelor automate secvențiale cu acțiune după program.** Elementele de timp (de întârziere) sînt elemente logice specifice sistemelor secvențiale cu

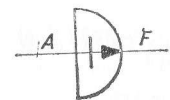


Fig. 6.7. Simbolul elementelor logice de timp

acțiune după program, funcția lor fiind aceea de a întârzi transmiterea semnalelor de la un element la altul, ceea ce face ca acțiunile dispozitivului de automatizare să se eșaloneze, în timp, după un program prestabil. Este caracteristic pentru elementele de timp faptul că mărirea lor de ieșire  $F$  există dacă există mărirea de intrare  $A$ , însă  $F$  apare la ieșire numai după un anumit interval de timp  $t$  (de obicei ajustabil) de la apariția mării  $A$ . În schemele bloc elementele de timp se reprezintă prin simbolul din fig. 6.7.

Dintre elementele de timp, cea mai largă utilizare în sistemele automate de comandă secvențială după program o au releele de timp electromagnetice și, mai recent, elementele de timp electronice cu

tuburi și, mai ales, cu tranzistoare. Releele de timp electromagnetice se caracterizează prin aceea că își închid sau își deschid contactele (acțiunea de ieșire) numai după un anumit timp de la apariția sau dispariția tensiunii (mărirea de intrare) de alimentare a bobinei lor.

În fig. 6.8 este reprezentată schema unui element de timp realizat cu tranzistoare  $p-n-p$ . În lipsa semnalului de intrare  $A$  (tensiune negativă) tranzistorul  $T_1$  este blocat, iar tranzistorul  $T_2$  conduce. Tensiunea de ieșire  $F$  va fi nulă. Condensatorul  $C$  va fi încărcat. La aplicarea unui semnal (negativ) la intrare, tranzistorul  $T_1$  se va debloca și tensiunea lui de colector crește. Creșterea tensiunii de ieșire a tranzistorului  $T_1$  va provoca creșterea tensiunii de intrare a tranzistorului  $T_2$ . Această creștere este întârziată de către condensatorul  $C$ . După timpul  $t$ , care depinde de valoarea capacității  $C$  și a rezistențelor din schemă, tensiunea de intrare a tranzistorului  $T_2$  atinge valoarea de blocare și tensiunea de ieșire  $F$  devine egală cu tensiunea de saturație  $-F = 1$ .

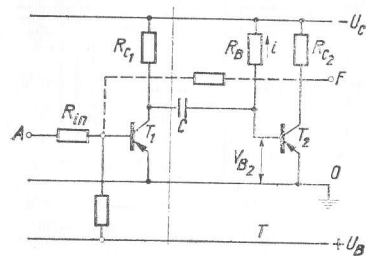


Fig. 6.8. Schema unui element de timp realizat cu tranzistoare  $p-n-p$

— menținerea stării sistemului corespunzător cu programul dorit, după dispariția comenzii anterioare, pînă în momentul apariției unei noi comenzi;

— păstrarea (memorarea) programului de conducere a procesului; în scopul păstrării informației asupra problemei tehnice de executat, în vederea introducerii ei în sistemul

de comandă, în sistemele moderne de comandă secvențială se utilizează cartele perforate, benzi perforate și benzi magnetice.

a. Cartela perforată — se confecționează din carton rezistent, cu bune calități izolatoare, dacă extragerea informației de pe cartelă se face prin metode electrice (există și metode optice, pneumatice etc. de extragere).

Există foarte multe tipuri de cartele, deosebirea constînd în formă, dimensiuni, modul în care este dispusă informația, cantitatea de informație etc. O cartelă conține, de obicei, 20—160 coloane, în fiecare din ele existînd 10—12 locuri pentru perforarea orificiilor purtătoare de informație, de formă pătrată sau rotundă (fig. 6.9). Prezența orificiilor în anumite locuri, pe o coloană a cartelei, reprezintă o anumită informație,

1	2	3	4	.	.	.	.	44	45
0	0	0	0	.	.	.	.	0	0
1	1	1	1	.	.	.	.	1	1
2	2	2	2	.	.	.	.	2	2
3	3	3	3	.	.	.	.	3	3
4	4	4	4	.	.	.	.	4	4
5	5	5	5	.	.	.	.	5	5
6	6	6	6	.	.	.	.	6	6
7	7	7	7	.	.	.	.	7	7
8	8	8	8	.	.	.	.	8	8
9	9	9	9	.	.	.	.	9	9

Fig. 6.9. Cartelă perforată

care este extrasă de către un dispozitiv special și transformată într-o acțiune anumită. Coloanele cartelei pot corespunde, de exemplu, secvențelor de comandă, extragerea informației făcîndu-se în acest caz, în ordinea succesivă a coloanelor, pe măsură ce cartela se deplasează (mai frecvent însă se utilizează extragerea de tip paralel — simultan, cu ajutorul unor dispozitive de extragere mai complicate). Așa, de exemplu, patru locuri succesive din fiecare coloană ar putea purta informația de comandă a excitației unui amplificator magnetic. În fig. 6.10 este arătat un exemplu de dispozitiv, de extragere a unei astfel de informații. Dacă de o parte a cartelei se găsește o placă metalică sub tensiune iar de cealaltă parte, în dreptul locurilor purtătoare de informație, se găsesc perii colectoare, legate electric cu înfășurarea de comandă a amplificatorului, curentul de comandă al acestuia va depinde de numărul și poziția orificiilor din coloana respectivă a cartelei (de ele depinzînd și care din perii sînt în contact cu placa). Curenții  $i_1, i_2, \dots$  depind de valoarea rezistențelor  $R_1, R_2, \dots$ , corespunzător cu un cod. Modulurile de codificare sînt foarte variate. De cele mai multe ori se utilizează codurile numerice binar sau zecimal.

În prezent o mare răspîndire o au sistemele fotoelectrice de extragere a informației (în locul periiilor sînt utilizate elemente sensibile la lumină — fotocelule, fotodiode semiconductor, fotorezistențe — iar placa metalică este înlocuită de către o sursă de lumină).

În sistemele de comandă numerică care utilizează, pentru elaborarea programului, dispozitive de calcul, cartelele servesc pentru introducerea problemei în dispozitivul

de calcul. De exemplu, cartela poate conține dimensiunile unei piese, exprimate numeric. Introducerea informației se face, în acest caz, paralel (simultan de pe toate coloanele cartelei).

b. Banda perforată a fost preluată din tehnica telegrafiei. Se confecționează din hirtie sau material plastic. Prezintă 3–8 canale pe care se perforază găurile purtătoare de informație (fig. 6.11). Introducerea datelor în dispozitivele de calcul se face în acest caz în serie (succesiv, prin deplasarea benzii).

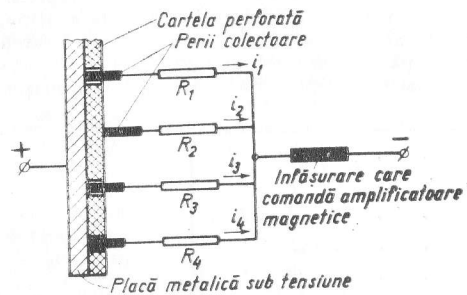


Fig. 6.10. Dispozitiv de extragere a informației de pe cartele perforate

(acetil-celuloză, celofan, hirtie, diferite materiale plastice, materiale metalice nemagnetice de tipul bronzurilor fosforice), peste care se depune un strat subțire de material feromagnetic (oxizii  $\text{Fe}_2\text{O}_3$ ,  $\text{Fe}_3\text{O}_4$ , ferit  $\text{Fe-Co}$ , aliaje speciale cu bază de  $\text{Co}$ ,  $\text{Ni}$  etc.). Mai rar, se utilizează benzi de oțel cu proprietăți magnetice. Numărul de canale paralele este de 1–128. Lățimea benzilor magnetice este de 6,35–355,6 mm. Lungimea unei benzi (într-un rulou) este de 120–1 000 m.

Introducerea, scoaterea și ștergerea informației se face cu ajutorul unor capete magnetice.

Informația se înregistrează și se păstrează sub forma unor regiuni ale benzii care sub influența unui cimp magnetic se magnetizează și își păstrează starea magnetică

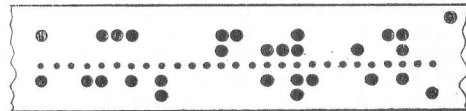


Fig. 6.11. Bandă perforată

și după dispariția cimpului exterior. La extragerea informației, cimpul magnetic remanent, de o polaritate sau alta, induce, în elementul de extragere, tensiuni (semnale) care se transmit elementelor de utilizare a informației.

d. Elementul bistabil sau „Trigger”-ul se utilizează pentru reprezentarea și memorarea numerelor binare 0 și 1 în dispozitivele calculatoare cu acțiune discretă sau numerice. În fig. 6.12 este reprezentată schema unui astfel de element — memorie-bistabilă — realizat cu tranzistoare p-n-p. Bistabilul din fig. 6.12 are

trei intrări ( $A, B, C$ ) și două ieșiri ( $Q, \bar{Q}$ ). Dacă la una din ieșiri există semnalul  $Q$  (o tensiune de exemplu), la cealaltă ieșire există un semnal  $\bar{Q}$  opus celui de la prima ieșire (lipsă de tensiune). Se consideră bistabilul în starea 1, dacă la ieșirea  $Q$  există potențial negativ, considerat semnal 1. Semnalele la intrările  $A, B$  și  $C$  sînt impulsuri electrice pozitive. La aplicarea impulsurilor la intrarea  $B$ , bistabilul va trece în starea 1 (semnal la ieșirea  $Q$ ) sau va rămîne în această stare, dacă și înainte a fost în starea 1. La aplicarea impulsurilor la intrarea  $C$  bistabilul va trece în starea 0 (lipsa semnalului la ieșirea  $Q$ ). Dacă impulsurile vin la intrarea  $A$  (de numărare), bistabilul va bascula la fiecare impuls din starea 1 în starea 0 sau invers.

e. Memoriile magnetice cu ferite sînt un ansamblu de  $N^2$  miezuri de ferită, dispuse sub forma unei matrice pătrate (fig. 6.13, a și c). Miezurile joacă rolul elementului de memorie; ele sînt traversate de trei fire care sînt servesc atât ca suport mecanic, cit și ca conductor electric:

- un conductor de selecție orizontală, comun tuturor miezurilor unei coloane verticale;
- un conductor de selecție verticală, comun tuturor miezurilor dintr-o linie orizontală;
- un conductor de citire, care trece prin toate miezurile dispozitivului.

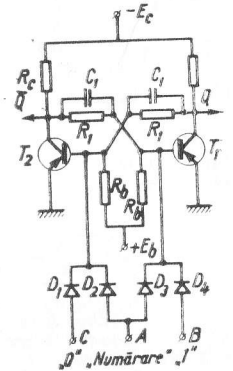
Principiul de funcționare este următorul:

— Înscriserea. Fiecare miez se poate găsi într-una din stările remanente, reprezentate prin 0 și 1 pe diagrama de histerezis (fig. 6.14). Bascularea de la o stare la cealaltă nu poate fi obținută decît la coincidența impulsurilor de curent trimise simultan în firele de selecție orizontală și verticală. Dacă fiecare dintre aceste impulsuri corespunde unui cimp magnetic  $OH_1$ , un singur impuls nu este suficient pentru bascularea feritei.

— Citirea. Pentru a citi starea feritei de coordonate  $x$  și  $y$  se procedează în același mod, trimițînd simultan pe linia  $y$  și coloana  $x$  impulsuri avînd valoarea corespunzătoare cimpului —  $OH_1$ . Dacă ferita se află în starea 1, ea revine în starea 0 și induce atunci o t.e.m. în firul de citire.

Elementele și dispozitivele de calcul utilizate în sistemele moderne de comandă programată primesc informații asupra problemei de rezolvat (de exemplu dimensiunile unei piese) și elaborează programul de comandă a elementelor de execuție (calculează, în funcție de dimensiunile piesei, deplasările sculei după cele trei coordonate, cit și valorile avansurilor etc.). Dispozitivele de calcul pot fi: cu acțiune continuă (analogice) sau cu acțiune discretă (numerice).

a. Elementele de calcul analogice electrice și electronice au în prezent o foarte mare utilizare. Pentru operațiile liniare (adunare, înmulțire, diferențiere, integrare) se utilizează, printre altele, și amplificatoare operaționale — amplificatoare de c.c. cu factor mare de amplificare și cu reacție negativă realizată cu rezistențe și capacități. În tabelul 6.3 sînt date cîteva exemple de amplificatoare operaționale și funcțiile matematice pe care le realizează fiecare.



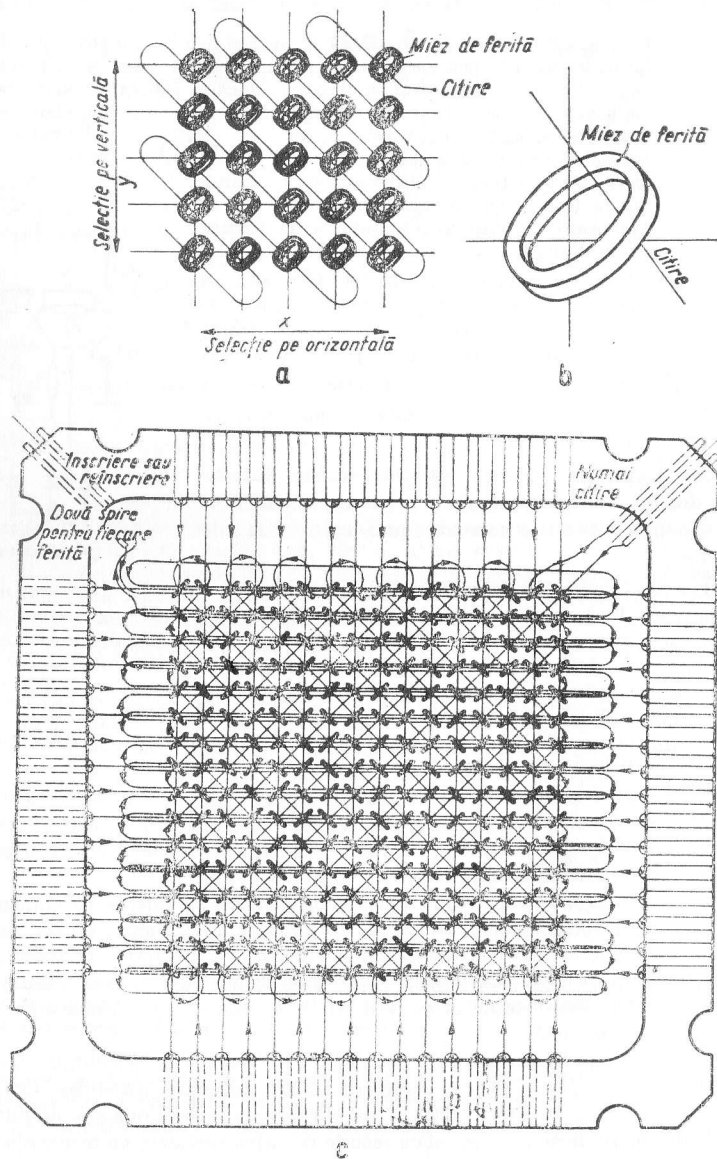


Fig. 6.13. Matrice de memorie cu ferite

În afară de amplificatoare electronice operaționale se utilizează o mulțime de alte elemente calculatoare: mecanice, pneumatice, electromecanice etc.

b. În dispozitivele de calcul numerice, diferitele mărimi sînt reprezentate prin cifre. Se utilizează, de obicei, sistemul de reprezentare binar, în care numerele sînt reprezentate numai cu ajutorul a două cifre: 0 și 1.

În sistemul zecimal, de exemplu, numărul 247, poate fi reprezentat în modul următor

$$247 = 2 \cdot 10^2 + 4 \cdot 10^1 + 7 \cdot 10^0.$$

Un număr oarecare

$$N = a_n \cdot 10^n + a_{n-1} \cdot 10^{n-1} + \dots + a_0 \cdot 10^0$$

se va reprezenta  $N = a_n a_{n-1} \dots a_0$ , unde  $a_n, a_{n-1}, \dots, a_0$  pot avea oricare din valorile 0, 1, 2, ..., 9.

În mod analog cu modul de reprezentare în sistemul zecimal, numerele pot fi reprezentate în sistemul binar. De exemplu, numerele 13 și 34 se vor reprezenta, în sistemul binar, astfel

$$13 = 1 \cdot 2^3 + 1 \cdot 2^2 + 0 \cdot 2^1 + 1 \cdot 2^0 = 1101;$$

$$34 = 1 \cdot 2^5 + 0 \cdot 2^4 + 0 \cdot 2^3 + 0 \cdot 2^2 + 1 \cdot 2^1 + 0 \cdot 2^0 = 100010.$$

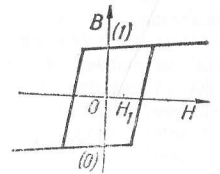


Fig. 6.14. Diagrama de histerezis a unui miez de ferită

Tabelul 6.3

## Exemple de amplificatoare operaționale

Schema principală	Funcția matematică realizată
	$U_e = - \frac{1}{R_2} \sum_{i=1}^n R_{ik} U_{ik}$
	$U_e = - \frac{1}{R_1 C_1} \int U_i dt$
	$U_e = - R_1 C_1 \frac{dU_i}{dt}$

Un număr oarecare

$$N = a_n \cdot 2^n + a_{n-1} \cdot 2^{n-1} + \dots + a_0 \cdot 2^0$$

se va reprezenta  $N = a_n a_{n-1} \dots a_0$ , unde  $a_n, a_{n-1}, \dots, a_0$  pot avea una din valorile 0 sau 1.

Pentru fixarea cifrelor în sistemul binar, dispozitivele de calcul trebuie să aibă elemente de memorie cu două stări stabile, una fiind considerată, în mod convențional ca 0, iar cealaltă ca 1. În dispozitivele de calcul moderne, drept astfel de elemente pot fi utilizate: relee electromagnetice, circuite bistabile sau „triggere” cu tuburi electronice sau tranzistoare, elemente inelare din ferite etc. Înregistrarea și numărarea unui număr care constă din  $n$  semne binare necesită  $n$  elemente de memorie bistabile, formînd un registru, dacă introducerea informației se face paralel (fig. 6.15), respectiv un numărător,

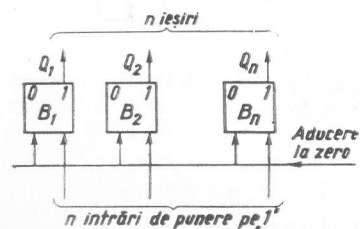


Fig. 6.15. Schema-bloc a unui registru cu circuite bistabile electronice

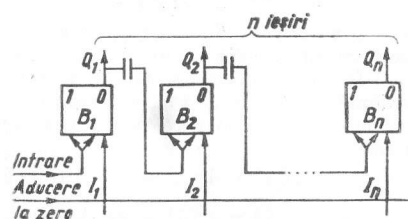


Fig. 6.16. Schema-bloc a unui numărător cu circuite bistabile electronice

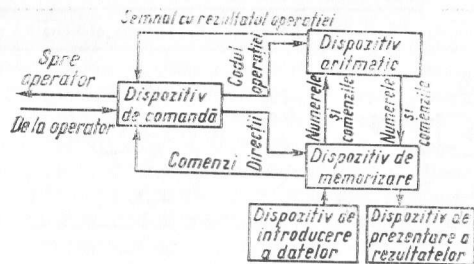


Fig. 6.17. Schema-bloc a unui calculator electronic universal

dacă introducerea numărului se face în serie, introducînd succesiv impulsurile care reprezintă unitățile numărului de înregistrat (fig. 6.16).

Dispozitivele de calcul numerice efectuează operații de adunare și scădere. Celelalte operații matematice se reduc, printr-o programare corespunzătoare, la adunări și scăderi. În afara operațiilor de adunare și scădere, dispozitivele de calcul cu acțiune discretă trebuie să efectueze adesea o serie de operații logice (v. 6.3.1.1).

În sistemele moderne complexe de comandă numerică, dispozitivele de calcul numerice sînt alcătuite din elemente numeroase, schema structurală fiind, în general, cea reprezentată în fig. 6.17, caracteristică pentru așa-numitele calculatoare electronice universale. Principiul general de funcționare a acestor calculatoare este următorul:

Dispozitivul de introducere a datelor introduce în dispozitivul de memorare datele inițiale ale problemei de rezolvat și programul de succesiune (algoritmul) a operațiilor aritmetice necesare rezolvării problemei. Dispozitivul de comandă, după punerea în funcție, de către operator (semnalul 1), extrage din dispozitivul de memorare prima comandă (semnalul 2), codificată sub formă numerică. Prima parte (primele cifre) a comenzii exprimă codul operației (adunare, transfer etc.) iar partea a doua (celelalte cifre) a comenzii indică „adresele”, adică locul (celulele) din memorie unde se găsesc numerele asupra cărora trebuie efectuată operația respectivă (indicată de codul operației). După extragerea primei comenzi (semnalul 2), dispozitivul de comandă intervine, pe de o parte, asupra dispozitivului de memorare (semnalul 3), determinînd transferul (semnalul 4), de la adresa indicată, în dispozitivul aritmetic, a numerelor asupra cărora urmează să se facă operația și, pe de altă parte, intervine (semnalul 5) asupra dispozitivului aritmetic, determinînd efectuarea operației respective. Rezultatul operației respective este transferat (semnalul 6) în memorie. Terminarea operației este semnalată (semnalul 7) dispozitivului de comandă care extrage (semnalul 8), din memorie, a doua comandă programată și începe un nou ciclu, identic cu primul, descris mai sus.

Se menționează, de asemenea, particularitatea funcționării constînd în aceea că în funcție de rezultatele intermediare obținute, indicii respectivi fiind transmiși dispozitivului de comandă, este posibil a modifica programul de calcul, variantele respective fiind conținute și ele în memorie.

Dispozitivul de extragere a rezultatelor asigură transferarea lor la elementele de execuție ale sistemului automat de comandă a procesului tehnologic condus.

Exemplu de sistem numeric de comandă secvențială după program pentru mașini prelucrătoare. Ca exemplu, se consideră sistemul „NUMERICORD” (fig. 6.18) de comandă

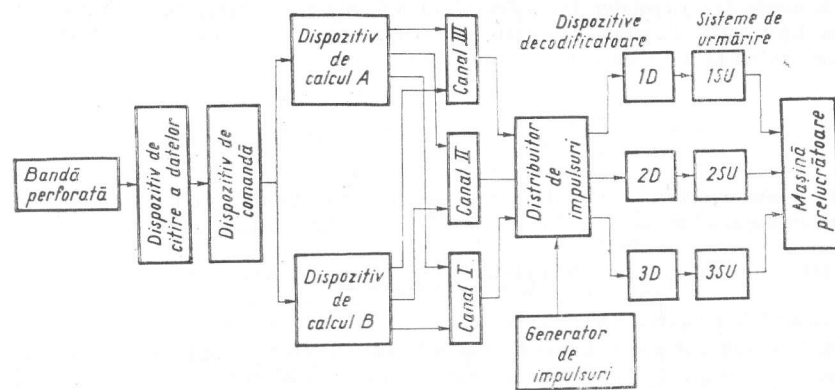


Fig. 6.18. Schema-bloc a sistemului numeric de comandă NUMERICORD

automată a mașinilor prelucrătoare. Sistemul realizează comandă o mașină de frezat pentru prelucrarea unor piese de avion. Precizia de prelucrare este de 25–50 μm.



În mașina prelucrătoare considerată, scula așchietoare poate să se deplaseze după trei direcții perpendiculare una față de cealaltă. Deplasările respective sînt realizate de către sistemele de acționare de urmărire 1SU, 2SU, 3SU (principiul de funcționare a sistemelor de urmărire este prezentat în 6.4.2). Programul de lucru al mașinii — profilul piesei de prelucrat — se introduce sub formă numerică, cu ajutorul unei benzi perforate. Programul constă din indicarea unor deplasări succesive ale sculei. Fiecare deplasare este dată prin cele trei coordonate (în cifre) ale poziției (sculei) de realizat și prin timpul (în cifre) în care această deplasare trebuie realizată. Cele patru numere formează un (loc de informație și sînt codificate într-un singur rînd al benzii perforate. Blocurile de informație ale programului sînt calculate, după desenul piesei, numai pentru un număr finit de puncte ale suprafeței de prelucrat, numite *puncte de sprijin*. Aceste puncte se aleg, pe suprafață, astfel încît să se asigure precizia de prelucrare dorită. Conturul suprafeței între punctele de sprijin se aproximează de către însuși dispozitivul de calcul *A* sau *B*, prin calculul tuturor pozițiilor intermediare ale sculei, astfel încît deplasările intermediare să fie segmente de drepte (interpolare liniară) sau segmente a unor curbe mai complicate (interpolare neliniară), iar deplasarea de la o poziție dată de un bloc de informație la alta să se facă în timpul prevăzut. Dispozitivul de calcul se numește *interpolator*. Deplasările sînt date de către dispozitivul de calcul sub forma unor serii de impulsuri, acesta fiind de fapt un decodificator al coordonatei (exprimată numeric și păstrată în memorie) în număr de impulsuri. Impulsurile sînt apoi transformate de către decodificatoarele 1D, 2D și 3D în semnale care vor determina o deplasare anumită a elementelor de execuție 1SU, 2SU, 3SU (de exemplu rotirea cu un grad a arborelui respectiv al acționării), pentru fiecare impuls. Timpul cît durează impulsurile de comandă este funcție de timpul de prelucrare dat în program (în blocul respectiv de informație).

**Exemplu de interpolator.** Pentru exemplificare, în fig. 6.19 este reprezentată structura unuia din tipurile obișnuite de interpolatoare liniare — realizat ca multiplicator de impulsuri, avînd la ieșire un număr de impulsuri

$$N = M \sum_{i=1}^n \frac{a_i}{2^{n-1-i}} = a_1 2^0 + a_2 2^1 + a_3 2^2 + \dots + a_n 2^{n-1}$$

unde  $N$  este numărul de impulsuri la ieșirea interpolatorului, egal cu numărul binar înscris în registrul memoriei;  $M$  — numărul de impulsuri multiplicat, egal cu capacitatea

numărătorului binar al interpolatorului;  $\sum_{i=1}^n \frac{a_i}{2^{n-1-i}}$  — factorul de multiplicare;  $n$  — numărul de ranguri ale numărătorului.

Sub acțiunea impulsurilor de frecvență  $F$ , date de către un generator de impulsuri, bistabilii  $B_{11}, B_{12}, \dots, B_{1n}$  își schimbă succesiv stările și la ieșirile lor  $E_{11}, \dots, E_{1n}$  apar impulsuri. Se poate arăta că impulsurile se succed, la cele  $n$  ieșiri, așa cum este arătat în fig. 6.20. Impulsurile de la ieșirile  $E_{11}, E_{12}, \dots, E_{1n}$  ale numărătorului se transmit, prin intermediul porților 1ȘI, 2ȘI, ...,  $n$ ȘI, spre poarta SAU, de la ieșirea interpolatorului, numai dacă în celulele  $B_{21}, B_{22}, \dots, B_{2n}$  sînt înscrise numerele binare 1. Dacă, de exemplu în  $B_{21}, B_{22}, B_{23} \dots$  sînt înscrise, respectiv, numerele binare 1, 0, 1, ..., graficul impulsurilor de la ieșirile porților 1ȘI, 2ȘI, 3ȘI, ..., va fi cel din fig. 6.21.

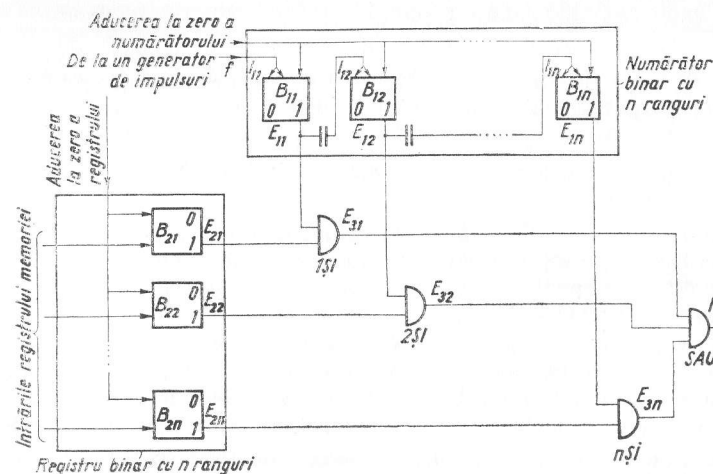


Fig. 6.19. Schema-bloc a unui interpolator liniar

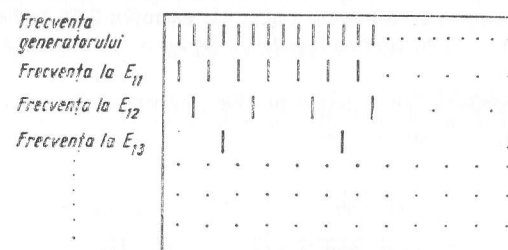


Fig. 6.20. Graficul succesiunii impulsurilor la ieșirile număratorului

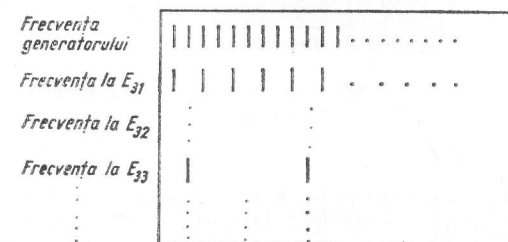


Fig. 6.21. Graficul succesiunii impulsurilor la ieșirile  $E_{31}, E_{32}, E_{33}$



Impulsurile de la ieșirile  $E_{31}, E_{32}, \dots$ , ajungând la poarta SAU, la ieșirea acesteia vor apărea toate aceste impulsuri, numărul lor fiind

$$N = a_1 2^0 + a_2 2^1 + a_3 2^2 + \dots + a_n 2^{n-1}.$$

Timpul de transmitere a acestui număr de impulsuri depinde de timpul de umplere a numărătorului și deci de frecvență  $f$ . Stabilind o legătură între timpul  $t_k$ , înscris în blocul de informație respectiv, și frecvența  $f$ , se realizează un timp de transmitere a impulsurilor egal cu timpul  $t_k$ .

Interpolatoarele pentru conducerea avansurilor sculei după trei direcții au, pentru fiecare direcție, cite un registru cu porțile respective  $1SI, 2SI, \dots$  și o poartă SAU, numărătorul și generatorul de impulsuri fiind comune. În acest fel se realizează convertirea simultană a programului din memorie, în impulsuri, pentru toate direcțiile de avans.

**Sisteme de acționare a dispozitivelor de comandă numerice.** În prezent se utilizează două sisteme de acționare: sisteme de acționare cu motoare pas cu pas și sisteme de urmărire.

În sistemele de acționare cu motoare pas cu pas, impulsurile de la ieșirea interpolatorului sînt amplificate și date la înfășurările statorice 1, 2, 3 ale unui motor pas cu pas. Rotorul acestuia se va roti cu un anumit unghi (de exemplu  $2,5^\circ$ ) la fiecare serie de impulsuri date, într-o anumită succesiune (1-2-3, 1-2-3, ... sau 1-3-2, 1-3-2, ...), la înfășurările statorice.

Principiul constructiv al unui motor pas cu pas este arătat în fig. 6.22. Motorul are trei statoare și trei rotoare cu poli aparenti. Polii unui rotor sînt dispuși la  $120^\circ$

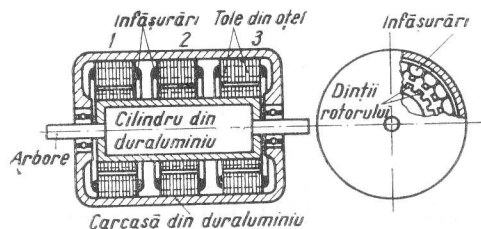


Fig. 6.22. Principiul constructiv al unui motor pas cu pas

grade electrice față de cei ai rotorului vecin. Dacă înfășurărilor statoarelor 1, 2, 3, li se aplică o serie de impulsuri, într-o anumită succesiune (1-2-3, 1-2-3, ...), sub acțiunea cuplului reactiv ce ia naștere, rotorul începe să se rotească pas cu pas, într-un anumit sens. Dacă se schimbă ordinea de succesiune a impulsurilor (1-3-2, 1-3-2, ...), sensul de rotație se va inversa. Pentru a asigura o precizie înaltă a prelucrării pieselor,

se alege un pas mic al motorului ( $2,5^\circ$ ). Viteza mică a motorului și cuplul relativ mare permit să nu se utilizeze reductoare. Motoarele se cuplează direct la capetele șuruburilor conducătoare de avans transversal, longitudinal și vertical ale mașinii-unelte.

Sistemele de acționare de urmărire sînt descrise în 6.3.2.2. Aici se menționează doar că mărimea de prescriere a deplasării de executat se dă fie direct sub formă de număr de impulsuri venite de la interpolator, fie sub forma unei mărimi analogice (tensiune, curent), în care caz programul înscris sub formă numerică, în registrul memoriei, trebuie convertit, cu ajutorul unui convertor numeric-analogic, într-o mărime analogică corespunzătoare. În fig. 6.10 a fost prezentat un exemplu de decodificator numeric-analogic de tip electromecanic cu rezistențe, utilizabil în cazul memoriilor pe bandă perforată. În cazul cînd programul este conținut de către un registru cu elemente bistabile, același principiu de decodificare poate fi realizat, de exemplu, așa cum este arătat în fig. 6.23.

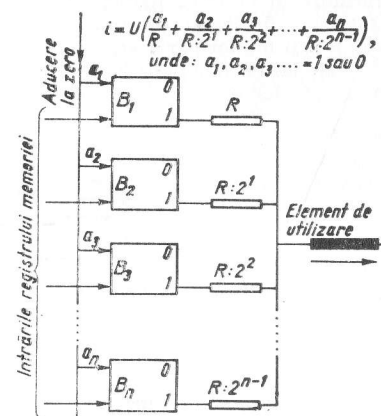


Fig. 6.23. Decodificator numeric-analogic

### 6.3.2. SISTEME AUTOMATE ÎN CIRCUIT ÎNCHIS

Din această clasă de sisteme fac parte acelea în care instalația automatizată, comandată de către dispozitivul de automatizare, influențează, la rîndul ei, dispozitivul de automatizare.

**6.3.2.1. SISTEME AUTOMATE ÎN CIRCUIT ÎNCHIS SECVENȚIALE CU ACȚIUNE ÎN FUNCȚIE DE DESFĂȘURAREA PROCESULUI CONDUS.** Din această categorie de sisteme automate fac parte acelea în care mărimea comandată a instalației automatizate (comandată de către dispozitivul de automatizare) influențează, la rîndul ei, dispozitivul de automatizare, în scopul declanșării unor noi comenzi, influența reciprocă a dispozitivului de automatizare și a instalației automatizate succedîndu-se alternativ (mărimea de execuție  $m$  determină valoarea mărimii comandate  $e$  iar această determină o nouă valoare a mărimii de execuție  $m$  ș.a.m.d.).

Schema bloc simplificată a acestor sisteme este cea arătată în fig. 6.24, în care s-au adoptat notațiile:  $IA$  — instalația automatizată;  $e_1$  — mărime de ieșire a instalației automatizate  $IA$ , provocată de mărimea de intrare  $i$ , prin intermediul mărimii de execuție  $m_1$  a dispozitivului de automatizare  $DA$  și, în același timp, mărime de comandă pentru dispozitivul de automatizare  $DA$ ;  $e_2$  — mărime de ieșire a instalației automatizate  $IA$ , provocată de mărimea secundară de comandă  $e_1$  și, în același timp, mărime de comandă pentru dispozitivul de automatizare  $DA$  ș.a.m.d.;  $m_1, m_2, m_3, \dots$  — mărimi de execuție ale dispozitivului de automatizare, provocate de către mărimile de comandă  $e_1, e_2, \dots$ .

**6.3.2.2. SISTEME AUTOMATE ÎN CIRCUIT ÎNCHIS CU ACȚIUNE ÎN FUNCȚIE DE ABATERE.** Fac parte din această categorie sistemele la care dispo-

zitivul de automatizare acționează asupra instalației automatizate în funcție de abaterea mărimii comandate de la valoarea prescrisă — sistemele sensibile la eroarea lor — în sensul readucerii mărimii comandate la valoarea prescrisă. Aceste sisteme, frecvent întâlnite în practica industrială, sînt cunoscute, de obicei, sub denumirea de sisteme automate de reglare în funcție de abatere, ele servind la reglarea automată a unuia sau a mai multor parametri ai unei instalații, conform cu o valoare prescrisă.

Modul de funcționare a sistemelor automate de reglare în funcție de abatere și de structura lor sînt exprimate de către schema lor bloc arătată în fig. 6.25, în care s-au

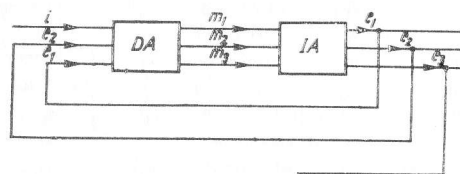


Fig. 6.24. Schema-bloc generală a sistemelor automate în circuit închis secvențiale, cu acțiune în funcție de desfășurarea procesului condus

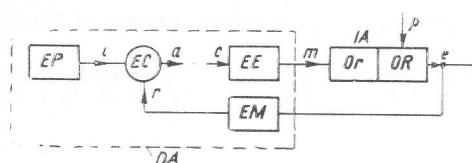


Fig. 6.25. Schema-bloc a sistemelor automate de reglare în funcție de abatere

făcut următoarele notații: IA — instalația automatizată; OR — obiectul reglat; Or — organul de reglare; DA — dispozitivul de automatizare; EM — element de măsurare; EC — element de comparare; EP — element de prescriere (element de comandă); EE — element de execuție;  $e$  — mărimea de ieșire a obiectului reglat;  $p$  — mărime de perturbare — aceasta provoacă modificarea mărimii de ieșire, modificare care trebuie redusă, parțial sau total, prin reglarea automată;  $r$  — mărime de reacție;  $i$  — mărime de intrare;  $a$  — mărime de acționare;  $c$  — mărime de conducere;  $m$  — mărime de execuție.

Reglarea parametrului considerat  $e$ , al obiectului reglat OR, se realizează prin acțiunea dispozitivului de automatizare DA asupra organului de reglare Or al instalației automatizate IA. Dispozitivul de automatizare DA își exercită acțiunea de reglare prin intermediul elementului de execuție EE. Această acțiune este rezultatul controlului permanent pe care dispozitivul de automatizare DA îl exercită asupra mărimii reglate  $e$  și al comparării acesteia cu valoarea prescrisă  $i$ . Elementul EM al dispozitivului de

automatizare, care efectuează controlul valorii mărimii reglate  $e$ , se numește element de măsurare. Elementul EC al dispozitivului de automatizare, care compară valoarea mărimii reglate  $e$ , care îi parvine prin intermediul elementului de măsurare EM, cu valoarea prescrisă  $i$ , care îi parvine de la elementul de prescriere EP, se numește element de comparare. Rezultatul comparării arătate se manifestă la ieșirea elementului de comparare sub forma mărimii de acționare  $a$ , care, în caz de egalitate a mărimii reglate cu cea prescrisă, asigură o mărime de ieșire (poziție etc.) a organului de reglare Or, care asigură, pentru mărimea reglată, valoarea prescrisă. În cazul în care mărimea reglată diferă de cea prescrisă, mărimea de acționare — mărime de ieșire a elementului de comparare — acționează astfel asupra elementelor următoare ale sistemului automat — element de execuție, organ de reglare, obiect reglat — încît valoarea mărimii reglate este readusă la valoarea prescrisă.

Între diferitele elemente ale schemei bloc arătată în fig. 6.25 pot să existe și alte elemente intermediare necesare, de exemplu, pentru: amplificarea semnalelor, transformarea naturii fizice a semnalelor, corecția calității sistemului etc.

În scopul reglării parametrilor unor instalații industriale, de multe ori este posibilă folosirea unor dispozitive de automatizare tipizate care, constructiv, unesc mai multe din elementele dispozitivului de automatizare definit mai înainte — regulatoare automate sau blocuri de reglare (elemente din cadrul sistemelor unificate de elemente de automatizare).

Sistemele automate de reglare în funcție de abatere se împart, după felul de variație a valorii prescrise pentru mărimea reglată, în următoarele subclase: sisteme automate de reglare stabilizatoare; sisteme automate de reglare după program; sisteme automate de urmărire.

**Sisteme automate de reglare stabilizatoare.** Aceste sisteme îndeplinesc funcția menținerii constante a valorii unuia sau a mai multor parametri ai unui proces tehnic (menținerea constantă a nivelului unui lichid într-un rezervor, a presiunii într-un recipient, a temperaturii într-un cuptor, a turației unei mașini, a tensiunii unui generator, a poziției unui avion sau rachete etc.). Așadar, din această categorie fac parte acele sisteme de reglare la care valoarea prescrisă a mărimii reglate este constantă.

**Sisteme automate de reglare după program.** Aceste sisteme îndeplinesc funcția reglării unuia sau a mai multor parametri ai unui proces după un program prestabilit, valoarea prescrisă a mărimii de ieșire a sistemului variind în timp după o lege impusă dinainte, numită program (reglarea după program a presiunii unui gaz într-un recipient, a temperaturii într-un cuptor, a poziției sculei unei mașini-unelte în procesul de prelucrare după program etc.).

Tehnica numerică se utilizează în prezent și în sistemele de reglare în circuit închis. Cea mai largă răspindire o au sistemele în care este realizat sub formă numerică numai elementul de prescriere, el fiind un registru în care este păstrat, sub formă numerică, programul conducerii automate a procesului. Structura unui astfel de sistem este reprezentată în fig. 6.26.

O altă structură, cu largă utilizare, este cea arătată în fig. 6.27. În astfel de sisteme sînt realizate numeric, pe lângă elementul de prescriere, elementul de măsurare a mărimii reglate (poziție, turație, etc.) și elementul de comparare. Dispozitivul numeric de comparare, primind sub formă numerică mărimea de prescriere și valoarea mărimii reglate,

dă, la ieșire, tot sub formă numerică, diferența acestora. Mărimea abatere este convertită apoi, în mărime analogică, de către un convertor numeric — analogic.

Dacă valoarea mărimii de prescriere și valoarea mărimii reglate sînt date sub forma unui număr corespunzător de impulsuri, ca elemente de comparare numerică, se utilizează număratoarele reversibile, care au drept mărime de ieșire diferența dintre mărimile de intrare  $i$  și  $r$ , exprimată sub formă numerică.

Pentru exemplificare, dintre traductoarele numerice utilizate pentru măsurarea mărimii reglate, se vor considera traductoarele de poziție unghiulară sau de deplasare

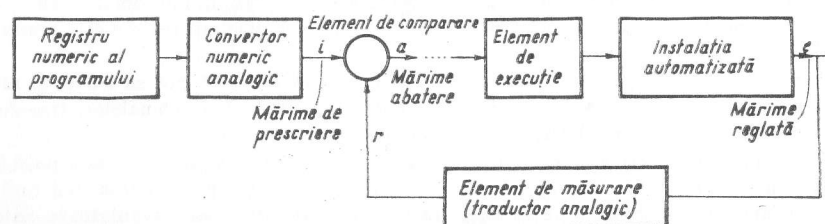


Fig. 6.26. Schema-bloc a unui sistem de reglare avînd elementul de prescriere de tip numeric

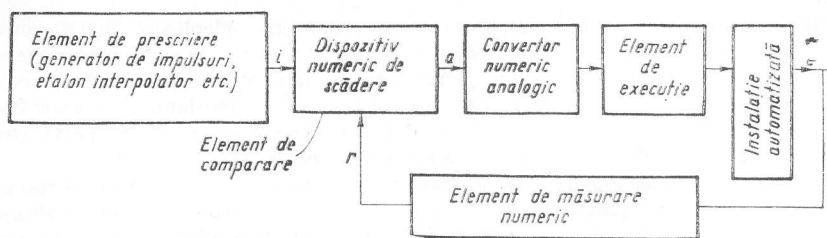


Fig. 6.27. Schema-bloc a unui sistem numeric-analogic de reglare cu elemente numerice de prescriere, măsurare și comparare

liniară, utilizate în sistemele automate de reglare după program a acestor mărimi (sisteme larg utilizate la comanda mașinilor prelucrătoare) și, dintre acestea se vor considera cele fotoelectrice (se utilizează, de asemenea, și traductoare numerice inductive etc.). Convertirea numerică a cursei, respectiv a unghiului, cere ca piesa acționată sau arborele de acționare să antreneze rigid un lineal, respectiv un disc codat, de felul celui arătat în fig. 6.28.

În cazul convertorului disc, pe el sînt dispuse, în cercuri concentrice, segmente transparente.

binare cu care se exprimă rezultatul măsurării. Fiecărui cerc cu segmente transparente îi corespunde câte o fotocelulă, care basculează elementele bistabile ale registrului de măsurare, la fiecare trecere prin dreptul ei a câte unui segment transparent. În acest mod, în registru se înscrie numărul binar care exprimă valoarea deplasării unghiulare a discului.

**Sisteme automate de urmărire.** Aceste sisteme îndeplinesc funcția reglării unui parametru sau a mai multor parametri al unui proces tehnic, în funcție de o mărime exterioară sistemului considerat, mărime a cărei variație nu este cunoscută dinainte (reglarea automată a tirului bateriilor antiaeriene în funcție de poziția țintei, reglarea poziției unui organ al unei mașini în funcție de un element de comandă).

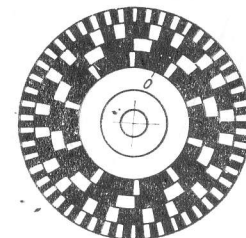


Fig. 6.28. Disc convertor analogic-numeric al unui traductor de poziție fotoelectric

Se impune a preciza că noțiunea de sistem automat de comandă în circuit închis are un caracter relativ, în sensul că sistemul închis respectiv poate fi o parte a unui ansamblu de elemente care constituie un sistem deschis.

#### BIBLIOGRAFIE (cap. 1—72)

1. BARANOV, B.A. Normarea tehnică în uzinele constructoare de mașini (trad. din lb. rusă) București, Editura tehnică, 1960.
2. CAUBERT, I.J. *Théorie et pratique industrielle du frottement*. Paris, Dunod, 1964.
3. DAMSKER, D. *Principii și mijloace noi de automatizare a acționărilor electrice*. București, Editura Academiei, R.S.R. 1964.
4. Dubbels *Taschenbuch für den Maschinenbau*. V.I și II. Berlin, Heidelberg-New York, Springer 1966.
5. DUNAEV, P.F. *Lațuri de dimensiuni* (trad. din lb. rusă). București, Editura tehnică, 1958.
6. DUTSCHE, W. *Qualitätsregelung in der Fertigung*. Stuttgart, Technische Hochschule, 1964.
7. EGOROV, M.E. ș.a. *Tehnologia mașinostroenia*. Moscova, Izdatelstvo "Visșia Skola" 1965.
8. ENACHE, ȘT. *Calitatea suprafețelor prelucrate*. București, Editura tehnică, 1966.
9. HORNUNG, A. *Férfelületek finommunkálása*. Budapest, Műszaki könyvkiadó, 1963.
10. IAKOBSON, M.D. *Tehnologia stankostroenia*. Moscova, Mașinostroenie, 1966.
11. ISUTKIN, V.I. *Reglarea mașinilor-unelte*. București, Editura tehnică, 1962.
12. KORSÁKOV, V.S. *Tocinosti mehanicheskoi obrabotki*. Moscova, Mașghiz, 1961.
13. LĂZĂRESCU, I. *Toleranțe, ajustaje, calibr*. București, Editura tehnică, 1963.
14. LĂZĂRESCU, I. ș.a. *Toleranțe și măsurători tehnice*. București, Editura didactică și pedagogică, 1969.
15. MERITT, H.E. *Theory of Self-Excited Machine-Tool*. in: *Journal of Engineering for Industry*, nov., 1965.
16. NASLIN, P. *Circuite logice și automatizări secvențiale* (traducere din lb. franceză). București, Editura tehnică, 1967.
17. PÉLEGRIN, M. *Calculatoare analogice și numerice* (trad. din lb. franceză). București, Editura tehnică, 1966.
18. POPOVICI, C. SAVII, GH. și KILLMAN, V. *Tehnologia construcției de mașini*. București, Editura didactică și pedagogică, 1967.
19. PETRICEANU, GH. *Contribuții în legătură cu stabilirea unei metode pentru determinarea influenței variației temperaturii din păpușa fixă a strungului asupra preciziei de prelucrare a arborilor cu fixarea între virfuri*. In: *Buletinul științific al Inst. Politehnic din Cluj*, nr. 8, 1965, p. 385—398.
20. PETRICEANU, GH. *Contribuții la determinarea influenței variației temperaturii în cușt asupra preciziei de prelucrare a pieselor cilindrice netede fixate între virfuri*. In: *Buletinul științific al Inst. Politehnic din Cluj*, nr. 8, 1965, p. 399—411.
21. PETRICEANU, GH. *Contribuții în legătură cu stabilirea preciziei de prelucrare la strunjire, avînd în vedere variația temperaturii în sistemul tehnologic M.D.S.P.* In: *Buletinul științific al Inst. Politehnic din Cluj*, nr. 9, 1966, p. 225—233.

22. PETRICEANU, GH. *Contribuții la stabilirea influenței deformății termice a sistemului tehnologic M.D.S.P. asupra preciziei de danturare*. În: Buletinul științific al Inst. politehnic din Cluj, nr. 11/2, 1968, p. 143—151.
23. SAVANT, C.J. *Calculul sistemelor automate* (trad. din lb. engleză). București, Editura tehnică, 1967.
24. SIMON, W. *Conducerea numerică a mașinilor-unelte* (trad. din lb. germană). București, Editura tehnică, 1967.
25. SIROTIN, A.A. *Comanda automată a acționărilor electrice* (trad. din lb. rusă). București, Editura tehnică, 1961.
26. TOBIAS, S.A. *Schwingungen an Werkzeugmaschinen*. München, Carl Hanser Verlag, 1961.
27. TOBIAS, S.A. *Vibrațiile mașinilor-unelte*. În: Șocuri și vibrații (trad. din lb. engleză — S.U.A.), sub redacția C. Harris și Ch. Crede, V. III. București, Editura tehnică, 1969.
28. \* \* \* RTM 23—61. *Metodika rasčiota razmernih tepei* (na baze teorii veroiatnostei). Moscova. Gosudarstvennoe izdatelstvo standardov, 1963.

---

## II. PROCEDEE ȘI PROCESE TEHNOLOGICE DE PRELUCRARE

## 7. PRELUCRAREA MATERIALELOR METALICE PRIN TURNARE

Tehnica turnării cuprinde totalitatea mijloacelor cu ajutorul cărora se pot obține piese, prin umplerea cu metal topit a unor cavități „formate” într-un material refractar.

Cavitatea formei poate fi executată, manual sau mecanic, într-o masă refractară plastică, constituită în general dintr-un nisip cu o anumită granulație, din liant și apă (fig. 7.1). Forma executată în amestec de formare poate fi utilizată la turnare, în stare crudă (umedă) sau în stare uscată, în funcție de metalul ce se toarnă, de grosimea pereților și de configurația piesei. La acest mod de execuție a formei se utilizează modele de lemn sau metalice, libere sau fixate pe plăci de model. Cu această metodă se pot turna piese de la câteva zeci de grame la câteva sute de tone.

Pentru turnarea de precizie se utilizează metode la care formele și miezurile se întăresc înainte de demulare (extracție) pe model, respectiv în cutia de miez. În acest scop, modelele se acoperă cu un material plastic care se autoîntărește (metoda Shaw), cu nisip peliculizat cu o rășină sintetică în cazul formării în coji (metoda Croning) (fig. 7.2) sau cu un amestec fluid conținând ca liant silicatul de etil, în cazul formării în coji cu modele fuzibile (fig. 7.3). Modelele utilizate la aceste trei tehnologii sînt, metalice reci (metoda Shaw), metalice calde (metoda Croning) și din amestecuri ușor fuzibile (stearină, parafină, polistiren etc.); în acest din urmă caz modelele se evacuează prin topire. Piesele ce se pot turna prin aceste metode sînt mijlocii (100—200 kg) și mai ales mici (ultimele două metode).

La turnarea fontei și în special a metalelor neferoase, se utilizează și forme metalice, în cavitatea cărora metalul poate fi introdus prin cădere liberă, injectat sub presiune sau absorbit. În aceste cazuri gradul de precizie al pieselor este mărit față de turnarea clasică în forme din amestec de formare cu nisip; formele metalice, datorită duratei lor de utilizare se numesc și forme permanente. Exceptînd cilindrii de laminor, piesele ce se toarnă cu aceste metode sînt mijlocii și mici.

În fig. 7.4 se arată un exemplu de formă metalică pentru turnarea prin cădere liberă.

Alegerea metodei de turnare, operație ce revine tehnologului, depinde atît de metalul care se toarnă, cît și de configurația piesei, de dimensiunile acesteia, de mărimea seriei și de condițiile speciale calitative impuse prin condițiile tehnice.

Condițiile de calitate impuse piesei pot, la rîndul lor, în anumite cazuri, determina metoda de execuție a formei de turnare.

### 7.1. CONSTRUCȚIA PIESELOR TURNATE

Pentru proiectantul de mașini construcția pieselor turnate trebuie să pornească de la criterii tehnico-economice complexe a căror analiză să determine soluția optimă. Se are în vedere imensul progres al tehnicii, varietatea mare de materiale de construcție în



afara aliajelor turnate ca: materiale plastice, pulberi metalice, piese forjate, matrițate sau de construcție sudată etc.

Proiectantul de piese turnate va trebui să țină cont la construcția acestora, de metoda de execuție estimată, de natura aliajului ce urmează a se turna, de condițiile de solidi-

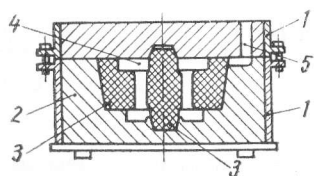


Fig. 7.1. Formă de turnare executată într-un amestec de nisip cuarțos, cu argilă și apă:

1 - ramă; 2 - amestec de formare îndesat; 3 - miez; 4 - cavitatea formei; 5 - rețeaua de turnare

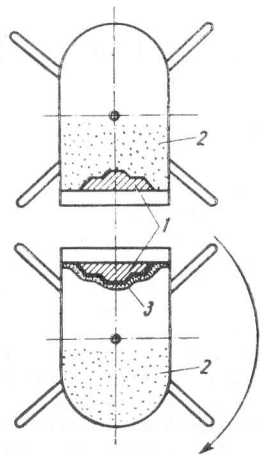


Fig. 7.2. Obținerea formei-coajă (metoda Croning), cu plan de separație, utilizând nisip peliculizat:

1 - model cald; 2 - nisip peliculizat; 3 - coaja formată

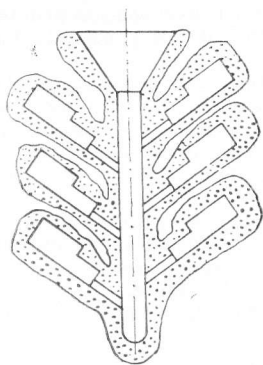


Fig. 7.3. Forme coajă fără plan de separație, obținute cu modele fuzibile

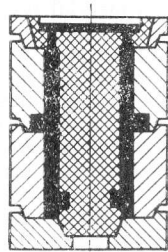


Fig. 7.4. Formă metalică pentru turnarea prin cădere liberă

ficare, de posibilitățile de curățire și de o serie de considerațiuni economice (modele de lemn sau metalice, mecanizarea procesului de formare, de prelucrare mecanică etc).

### 7.1.1. CONSTRUCȚIA PIESELOR TURNATE ȚINÎND SEAMA DE METODA DE FORMARE

Configurația piesei turnate este determinată de posibilitățile de formare, de obținere a cavității formei și golurilor interioare ale piesei; de asemenea, dimensiunile piesei turnate, ca și precizia acestor dimensiuni, corelate cu posibilitățile de prelucrare, nu pot fi desprinse de metoda de formare a cavității care urmează a fi umplută cu metal lichid.

7.1.1.1. CONSTRUCȚIA PIESELOR TURNATE ÎN FORME DIN AMESTECURI DE FORMARE (FORME DE NISIP). Posibilitățile constructive, din punct de vedere al proiectantului de piese turnate, sînt cele mai largi în cazul execuției cavității de turnare într-o formă de nisip.

Una dintre problemele de bază ce se pun la construcția pieselor turnate în forme de nisip este determinarea grosimii minime a pereților pieselor turnate. Alegerea grosimii minime se face luînd în considerare gabaritul și greutatea piesei turnate, rolul pereților și natura metalului. La turnarea pieselor mari din fontă sau din oțel, în forme de nisip, valoarea grosimii minime a pereților piesei poate fi adoptată din diagrama reprezentată în fig. 7.5, în funcție de un indice  $N$ , care caracterizează gabaritul piesei și a cărui valoare se determină din relația [1]:

$$N = \frac{2L + B + H}{3} [m]$$

în care:  $L$  este lungimea piesei, m;  
 $B$  - lățimea piesei, m;  
 $H$  - înălțimea piesei, m.

Pentru  $N \geq 8$  m, grosimea pereților se adoptă de minimum 40 mm la piesele turnate din oțel și de minimum 30 mm la piesele turnate din fontă.

La proiectarea pieselor turnate din fontă (oțel) sau metale neferoase, pentru grosimea minimă a pereților se pot adopta și valorile indicate în tabelul 7.1.

În ceea ce privește găurile minime ce se pot obține prin turnare, în tabelul 7.2 se dau diametrele minime prin raport cu grosimea peretelui în care se prevede gaura [2]. Este de reținut pentru proiectantul de piese turnate, că în tehnica turnării este posibil să se obțină găuri în pereții piesei direct din turnare; dimensiunile găurilor ce se pot obține prin formare (fără miez) sînt date în tabelul 7.3.

Pentru ca modelul să poată fi extras din formă (din amestecul de formare îndesat) este necesar ca pereții pieselor să aibă înclinări constructive în direcția de extracție (fig. 7.6.). În cazul în care nu au fost prevăzute la proiectarea piesei, aceste înclinări vor fi prevăzute de tehnologul turnător, caz în care ele se încadrează în grupa adaosurilor tehnologice

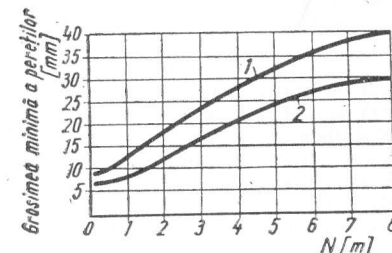


Fig. 7.5. Grosimea minimă a pereților piesei în funcție de valoarea indicelui  $N$ :  
1 - oțel; 2 - fontă

Tabelul 7.1

Grosimea minimă a pereților pieselor, turnate în amestec de formare

Aliajul turnat	Rezistența la tracțiune da N/mm <sup>2</sup>	Dimensiunea maximă a piesei, mm					
		100	250	500	1000	2000	4000
Fontă cenușie	15	3	3	4	6	10	—
	20	4	4	5	7	12	25
	25	—	5	6	9	15	30
	30	—	6	8	12	20	40
Fontă cu grafit nodular	—	4	4—5	5	8	12	—
Fontă maleabilă	—	3	3	4	6—8	—	—
Oțel carbon	—	—	5	6	10	20	40
Aliaje cu bază de cupru	—	3	3	5	8	—	—
Aliaje cu bază de aluminiu	—	3	3—4	6—8	6—8	10—15	—
Aliaje cu bază de magneziu	—	3	4	5	8	15	—

Tabelul 7.2

Diametrele minime ale găurilor obținute prin turnare (cu miez)

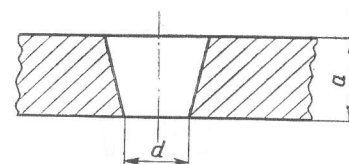
Lungimea sau înălțimea găurii, mm	Grosimea peretelui în care se prevede gaura, mm							
	≤ 25	26—50	51—80	81—125	126—180	181—265	266—360	≥ 361
≤ 25	25	25	25	25	25	25	25	30
26—50	28	32	33	33	33	33	33	40
51—100	32	38	40	40	40	40	40	50
101—150	38	42	50	50	50	50	50	60
151—250	—	48	55	60	60	60	60	70
251—400	—	54	65	80	80	80	80	90
401—600	—	—	72	90	100	100	100	110
601—800	—	—	76	95	105	110	110	115
801—1000	—	—	80	100	110	120	120	125
> 1001	—	—	—	110	120	132	145	160

Observație. În cazuri speciale, la piese din fontă maleabilă se pot folosi miezuri cu diametrul până la 6—8 mm.

care în cele mai multe cazuri trebuie să fie înlăturate prin prelucrare mecanică. În cazul părților pieselor turnate, care rămân neprelucrate, înclinările constructive se precizează pe desen, fie prin valoarea  $\alpha$ , fie prin panta  $a/h$ ; acest raport se exprimă cu numărătorul redus la unitate. Unghiurile de înclinare recomandate sînt indicate în tabelul 7.4.

Tabelul 7.3

Dimensiunile minime ale găurilor obținute prin formare (fără miez)

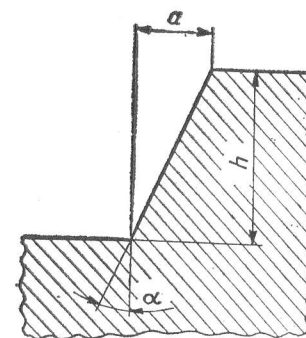


Inclinarea pereților găurilor 1:10

Dimensiuni, mm		Dimensiuni, mm	
a	d	a	d
4—6	8	12—14	16
6—8	10	14—16	18
8—10	12	16—18	20
10—12	14	18—20	22

Tabelul 7.4

Unghiuri de înclinare recomandate la piesele turnate



Panta constructivă a/h	Unghiul $\alpha$	Domeniul de aplicare în funcție de h
1 : 5 1 : 10	11°30' 5°30'	≤ 25 mm
1 : 20 1 : 30	3° 2°	26—500 mm
1 : 50 1 : 100 1 : 200	1° 0°40' 0°20'	≥ 501 mm

În fig. 7.7 se arată modul în care trebuie aplicate înclinările constructive la diverse tipuri de piese turnate [3].

Constructorul de piese turnate trebuie să țină cont de faptul că bosajele (adaosuri cilindrice pe pereții pieselor) destinate asamblării, nu trebuie să îngreuneze formarea. În fig. 7.8 se arată modul în care constructorul poate soluționa problema sau se poate declara de acord, la propunerea tehnologului de piese turnate.

Din aceleași considerente, legate de extracția modelului din formă, în unele cazuri constructorul este obligat să corijeze pereții piesei turnate în sensul în care arată exemplul din fig. 7.9 [4].

La execuția formelor de turnare în amestecuri de nisip clasice, prevederea unei așezări incorecte a miezurilor în cavitatea formei poate provoca unele dificultăți capabile

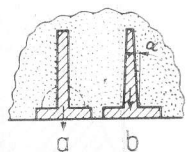


Fig. 7.6. Înclinare constructivă necesară demulării:  
a — fără înclinare (forma se rupe după linia punctată); b — cu înclinare corectă

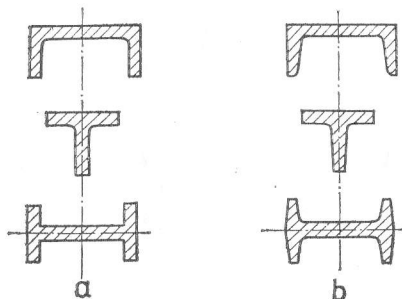


Fig. 7.7. Înclinări constructive prevăzute la piese, în direcția de extracție a modelului:

a — greșit; b — corect

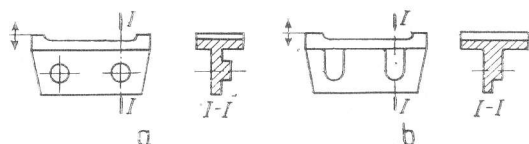


Fig. 7.8. Plasarea bosajelor de către constructor pe piesa turnată:

a — greșit; b — corect

să mărească în mod fortuit rebutul pieselor turnate. Așa de pildă, insuficiența mărcilor miezurilor sau construcția greșită a golurilor interioare pot crea condiții de instabilitate a miezurilor în timpul turnării. În fig. 7.10 se ilustrează prin trei exemple astfel de situații. Se observă cum prin neînsemnate modificări constructive se poate remedia poziția dezechilibrată a miezurilor.

În sfârșit, la turnarea în forme de nisip, ca și la alte metode de formare, constructorul de piese turnate este obligat să aibă în vedere cele mai simple configurații pentru a

nu complica operația de formare. Pentru a ilustra o astfel de situație, în fig. 7.11 se arată modul în care se poate simplifica forma constructivă a unui suport de lagăr astfel încât până la urmă să se renunțe și la miezul central.

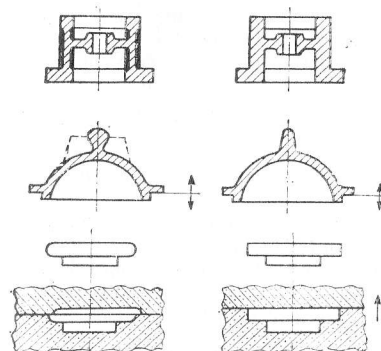


Fig. 7.9. Modificarea constructivă a piesei pentru ușurarea demulării

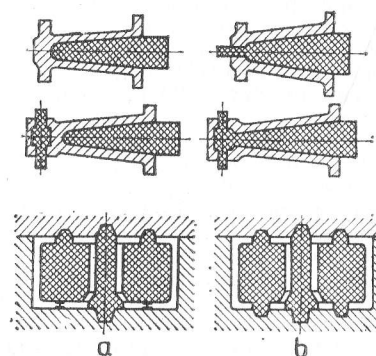


Fig. 7.10. Modificări constructive pentru mărirea stabilității miezurilor:

a — greșit; b — corect

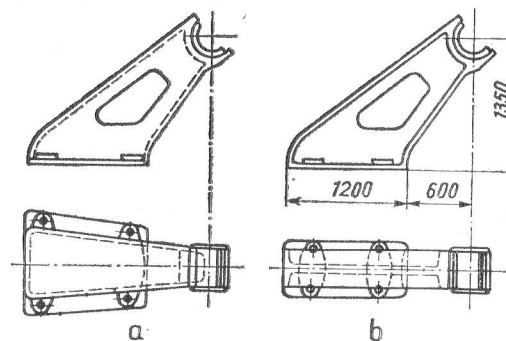


Fig. 7.11. Modificări constructive la un suport de lagăr

7.1.1.2. CONSTRUCȚIA PIESELOR TURNATE ÎN FORME COJI. Turnarea pieselor în forme coji se caracterizează printr-o precizie mărită și calitate deosebită a suprafețelor pieselor față de turnarea clasică în nisip, fie că este vorba de coji cu plan de separație, fie de coji fără plan de separație (obținute cu modele fuzibile).

Ceea ce caracterizează metoda de formare în coji cu plan de separație este stabilitatea redusă în timp a formei la contactul cu metalul turnat datorită arderii liantului (rășina sintetică). Din această cauză nu se pot turna piese cu pereți groși și de dimensiuni mari. Este de dorit ca aliajul turnat să se solidifice repede, cel puțin la exterior, pentru a putea obține integritatea piesei turnate.

Aplicațiile cele mai curențe ale turnării în coji, fără plan de separație, se găsesc în industria automobilelor unde se realizează prin această metodă: blocuri de motor, arbori cotiți, axe cu came, supape de evacuare, culbutori etc. Toleranțele ce se pot obține cu această metodă la secțiuni de 30–50 mm sînt de ordinul 0,1–0,3 mm.

La turnarea în coji fără plan de separație, realizate cu modele fuzibile, se pot obține toleranțe și mai strînse. Astfel, pentru secțiuni de 30–50 mm se pot realiza toleranțe de ordinul 0,03–0,1 mm, ceea ce pentru piesele mici la care această metodă este proprie reprezintă o înaltă clasă de precizie. În mod obișnuit, cu această metodă nu se toarnă piese mai grele de 0,5 kg și mai lungi de 100 mm; de reținut că se pot obține în schimb grosimi de perete de 1–3 mm. În ultimul timp s-a reușit să se găsească aplicații, în afara pieselor mici considerate clasice pentru acest sistem (roți dințate, cleme, cremaliere, pîrghii, piese de legătură etc.) și în domeniul fabricației turbinelor cu aburi de mare putere și anume la turnarea paletelor. Ceea ce caracterizează această metodă este faptul că modelul evacuindu-se prin topire poate avea configurații oricît de complicate, acestea păstrîndu-se la cote precise în forma de turnare.

**7.1.1.3. CONSTRUCȚIA PIESELOR TURNATE ÎN FORME METALICE.** Pentru constructorul de piese turnate în forme metalice sînt importante următoarele:

— grosimea pereților piesei turnate să fie suficient de mare pentru ca forma să fie complet umplută cu metal lichid în cazul unui proces tehnologic normal (tabelul 7.5);  
— configurația pieselor trebuie să fie în așa fel aleasă încît acestea să poată fi scoase ușor din formă, cu un număr minim de suprafețe rectilinii de separație și de miezuri din nisip;

Tabelul 7.5

Caracteristicile constructive ale pieselor turnate în cochile

Denumirea caracteristicii	Valoarea caracteristicii la piesele turnate		
	Mici	Mijlocii	Mari
Grosimea de perete a piesei, în mm:			
— la piese fără miez;	3	8	15–20
— la piese cu miez de amestec	2,5	5	10–15
Razele de racordare interioare ale colțurilor piesei, în mm	$r = \frac{a+b}{5}$	$r = \frac{a+b}{4}$	$r = \frac{a+b}{3}$
Unghiul de înclinare al pereților interiori ai piesei, formați de miezuri metalice sau de proeminențele formei metalice, în grade	5	3	2

**Observații.** Cotele  $a$  și  $b$  reprezintă grosimea pereților alăturați ai piesei turnate.

— pentru reducerea crăpăturilor trebuie evitate trecerile bruște de la pereții groși la cei subțiri.

La piesele turnate din metale neferoase, în special aliaje de aluminiu, o problemă importantă o constituie profilarea nervurilor de răcire ale cilindrilor și capetelor de motoare.

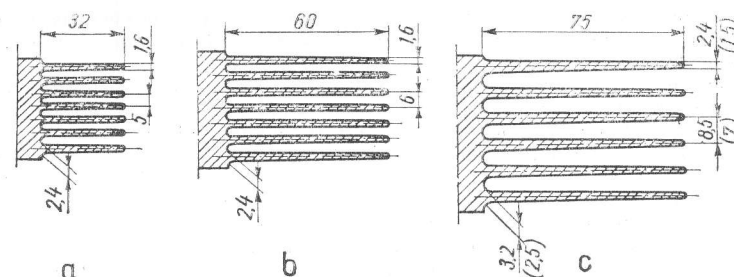


Fig. 7.12. Construcția nervurilor de răcire înalte

În fig. 7.12 se dă un exemplu de execuție prin turnare a unor asemenea nervuri subțiri și înalte.

Lungimea găurilor turnate nu trebuie să depășească:

- $4d$  pentru găurile cu diametrul pînă la 6 mm;
- $6d$  pentru găurile cu diametrul de la 6 la 12 mm;
- $8d$  pentru găurile cu diametrul de la 12 la 25 mm.

**7.1.1.4. CONSTRUCȚIA PIESELOR TURNATE SUB PRESIUNE.** Această metodă de turnare oferă cele mai precise dimensiuni și suprafețele optime pieselor turnate față de celelalte metode cunoscute. În tabelul 7.6 se dau caracteristicile

Tabelul 7.6

Greutatea, dimensiunile și grosimea pereților pieselor turnate sub presiune

Aliajul	Greutatea maximă a piesei turnate, daN	Dimensiunile exterioare maxime ale piesei turnate, mm	Grosimea minimă a pereților, în mm, la o suprafață a piesei turnate, cm <sup>a</sup>			
			25	26–100	101–500	501
Aliaje cu bază de plumb	1	300×200×200				
Aliaje cu bază de staniu	0,5(1)		0,6–1	1–1,5	1,5–2	—
Aliaje cu bază de zinc	16(20)					2–2,5
Aliaje cu bază de aluminiu	25	800×600×300	0,8–1,2	1,2–1,8	1,8–2,5	2,5–3
Aliaje cu bază de magneziu	5(7)					
Aliaje cu bază de cupru	5	400×250×15	1,5–2	2–2,5	2–3,3	3–4

principale ale pieselor turnate sub presiune, considerate realizabile în condițiuni normale. Ca performanțe se citează și piese turnate sub presiune de greutate și gabarite mai mari (blocuri de motor, culase etc.).

Caracteristică pentru construcția pieselor turnate sub presiune este necesitatea impoziției de a avea pereții piesei turnate cât mai uniformi. Menținerea unei grosimi constante a pereților permite să se obțină piese turnate mari și complicate fără defecte.

Trebuie evitate construcții a căror tensiuni provocate de contracție produc încovoierea și uzura intensă a miezurilor. Nu este recomandabil să se folosească găuri lungi, subțiri și mai ales interpătrunse.

Pe cât posibil trebuie evitate găurile, ferestrele sau deschiderile în pereții laterali. Înclinările constructive ce trebuie aplicate pieselor turnate sub presiune depind de poziția suprafețelor, respectiv dacă acestea sînt exterioare piesei turnate (se desprind la răcire de pereții forme metalice) sau interioare, realizate cu miezuri (în jurul cărora metalul se solidifică și se contractă).

Înclinările ce se aplică suprafețelor exterioare și celor interioare realizate cu miezuri care pot fi extrase (lățimea acestora < 100 mm) au următoarele valori minime:

— aliaje cu bază de plumb și staniu	1 : 1000;
— aliaje cu bază de zinc	1 : 600;
— aliaje cu bază de aluminiu	1 : 200;
— aliaje cu bază de magneziu	1 : 400;
— aliaje cu bază de cupru	1 : 100.

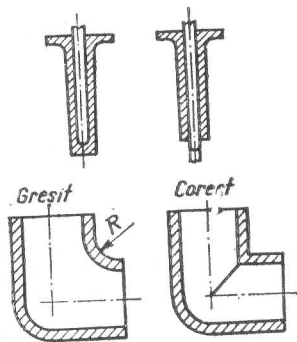
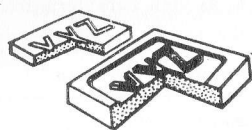


Fig. 7.13. Exemple privind construcția greșită și corectă a pieselor turnate sub presiune

pentru diferite aliaje, iar în fig. 7.14 se arată tipurile constructive de piese clasificate în funcție de comportarea la contracție.

Valoarea înclinărilor suprafețelor realizate cu miezuri permanente trebuie să fie dublă.

Tehnica turnării sub presiune permite realizarea unor piese de mare precizie și cu forme deosebit de complicate dacă se respectă principiile constructive de bază (fig. 7.13). Astfel se realizează carburatoare, carcase pentru aparate de fotografiat și filmat, cutii de transmisie pentru mașini de spălat, roți dințate, piese cu filete interioare și exterioare etc.

#### 7.1.2. CONSTRUCȚIA PIESELOR TURNATE ȚINÎND SEAMĂ DE CONDIȚIILE DE SOLIDIFICARE.

După turnare, metalul fiind încă lichid în cavitățile formei începe să se contracte, proces care la început se traduce prin scăderea nivelului topiturii din pilnii și maselote, pentru ca în continuare contracția să conducă la formarea de goluri în nodurile termice (retasuri) și la tensiuni în sistemul de bare și suprafețe din care este constituită piesa.

Contracția se produce în mod diferit la același metal și chiar la aceeași piesă în funcție de modul în care are loc contracția liniară în pereții piesei și în special dacă contracția este liberă sau frinată.

Cu titlu orientativ, în tabelele 7.7 și 7.8 se dau valorile contracțiilor liniare ale pieselor turnate

Tabelul 7.7

Contracția liniară a aliajelor feroase turnate în piese [1]

Aliajul	Compoziția chimică, %						Temperatura de turnare, °C	Dilatarea inițială, %	Contracția antipetrică, %	Dilatarea în timpul eutectoid, %	Contracția petrică, %	Contracția liniară totală, %
	C	Si	Mn	P	S	Mg						
Fontă cenușie	3,30	3,14	0,66	0,095	0,026	—	1270	0,025	0,845	0	1	0,982
Fontă albă	2,65	1,00	0,48	0,060	0,015	—	1300	0	1,180	0	1	2,180
Fontă cu grafit nodular cu ruptură cenușie	3,00	2,96	0,69	0,11	0,015	0,045	1250	0,60	0,418	0,01	1	1,007
Fontă cu grafit nodular cu ruptură albă	3,35	2,38	0,40	0,06	0,009	0,089	1240	0,025	0,845	0	1	1,820
Oțel carbon	0,14	0,15	0,14	0,05	0,01	—	1530	0	1,280	0,080	1	2,161
Oțel silicios	0,61	3,61	0,42	0,05	—	—	1520	0	0,885	0	1	1,885



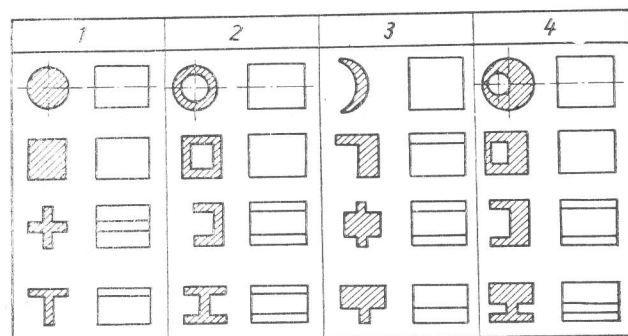


Fig. 7.14. Tipuri constructive de piese în funcție de comportarea la contracție:

1 — contracție liberă; 2 — contracție cu frinare mecanică; 3 — contracție cu frinare termică; 4 — contracție complexă cu frinare mecanică și termică

Tabelul 7.8

Contracțiile liniare a diferitelor aliaje turnate în piese [3]

Aliajul și piesele turnate	Construcția, %	
	frinată	liberă
Fontă cenușie		
— piese turnate mici și mijlocii	0,9	1,0
— piese turnate mari	0,8	0,9
— piese turnate foarte mari	0,7	0,8
Fontă maleabilă	1,0	1,5
Oțel carbon și slab aliat	1,3—1,7	1,6—2,0
Oțel cu crom	1,0—1,4	1,3—1,7
Oțel ferito-austenitic	1,5—1,9	1,8—2,2
Oțel austenitic	1,7—2,0	2,0—2,3
Bronz cu staniu	1,2	1,4
Bronz cu aluminiu	1,6—1,8	2,0—2,2
Alame obișnuite	1,5—1,7	1,8—2,0
Alame cu siliciu	1,6—1,7	1,7—1,8
Alame cu mangan	1,8—2,0	2,0—2,3
Aluminiu cu siliciu (silumin)	0,8—1,0	1,0—1,2
Aluminiu cu cupru (7—12% Cu)	1,4	1,6
Aluminiu cu magneziu (10% Mg)	1,0	1,3
Aliaje de magneziu (electron)	1,2	1,6

În asemenea condiții rapoartele secțiilor sau grosimilor diversilor pereți care compun piesele turnate nu pot fi luate de constructor *numai pe baza datelor de calcul* deoarece aceasta poate duce la piese netehnologice, care dau dificultăți numeroase la execuție.

Îmbinarea a doi, trei sau patru pereți conduce la existența unui *nod termic* de care constructorul de piese turnate trebuie să țină seama în toate cazurile.

Îmbinările pereților pieselor turnate pot fi reduse în mod simplificat la următoarele tipuri:

- frontală (unirea cap la cap a doi pereți aflați în același plan însă având grosimi diferite);
- în unghi drept (îmbinarea în formă de L);
- în unghi ascuțit (îmbinarea în formă de V);
- ramificată (îmbinarea a trei pereți în formă de Y sau T);
- încrucișată (îmbinarea a patru pereți în formă de X sau +).

În fig. 7.15 se arată îmbinarea frontală a doi pereți foarte des întâlnită în construcția pieselor turnate. La piesele din fontă de exemplu, este necesar să se respecte raportul:

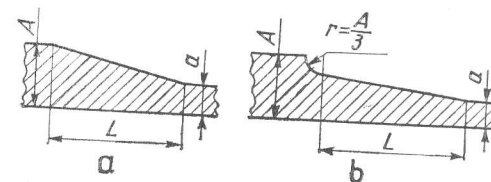


Fig. 7.15. Îmbinare frontală a doi pereți cu grosimi diferite

$\frac{A-a}{L} \leq \frac{1}{4}$  pentru a se asigura o trecere lină; la piesele din oțel, același raport ajunge la 1:5.

În cazul îmbinărilor în unghi a doi pereți se pot lua în considerare datele de racordare indicate în tabelul 7.9.

Dacă raportul  $A : a \leq 2$  (fig. 7.16, a), pentru evitarea îngroșărilor locale și obținerea unor treceri line la colțuri, racordarea se face cu o rază exterioară  $R$  egală cu grosimea peretelui  $A$  și cu o rază interioară

$$r = \left( \frac{1}{6} \dots \frac{1}{3} \right) \frac{A+a}{2}.$$

La diferențe mai mari între grosimea pereților (fig. 7.16, b) se recomandă construirea trecerilor astfel încât:  $c \approx 3\sqrt{A-a}$ ;  $a+c \leq A$ , iar  $h \geq 4c$  în cazul pieselor din fontă și  $h \geq 5c$  în cazul celor din oțel. Valoarea lui  $c$  se alege în funcție de raportul  $A : a$ , astfel:

$A : a$	$> 2,5$	$1,8 - 2,5$	$1,25 - 1,8$	$< 1,25$
$c$	$0,7(A-a)$	$0,8(A-a)$	$A-a$	—

Pentru racordarea a trei pereți, în tabelul 7.10 se dau o serie de date pentru diferite construcții posibile în practică.

Tabelul 7.9

## Racordarea a doi pereți

Tipul de racordare		Raportul $A : a$	Unghiul dintre pereți, $\alpha^\circ$	$R$
recomandat	admis			
		1	75–105	$r + a$
		1	$< 75$	$r + a$
		1	$> 105$	$r + a$
		1,25	75–105	$r + a$
		$> 1,25$	75–105	$r + a + c$
		$> 1,25$	$< 75$	$r + m$

Tabelul 7.10

## Racordarea a trei pereți

Configurația pereților	Caracteristici constructive		
	$A \approx 1,25a$	$\alpha = 75^\circ \dots 105^\circ$	—
	$A \approx 1,25a$	$\alpha < 75^\circ$	$R = A + r$
	$A > 1,25a$	$\alpha = 75^\circ \dots 105^\circ$	$h = 8c$ pentru fontă $h = 10c$ pentru oțel
	$A > 1,25a$	$\alpha < 75^\circ$	$h = 8c$ pentru fontă $h = 10c$ pentru oțel $m = a + c$ $R = r + m$

Racordarea a trei pereți în cazul general se poate construi ca în fig. 7.17, *a* caz în care:  $c \approx 3\sqrt{A-a}$ ;  $a+c \leq A$  iar  $h \geq 4c$  în cazul pieselor din fontă cenușie și  $h \geq 5c$  pentru cele din oțel. De asemenea, se poate construi și ca în fig. 7.17, *b* unde:

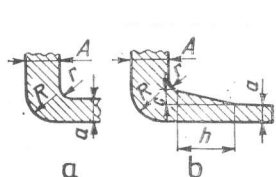


Fig. 7.16. Racordarea generală a doi pereți în unghi drept, având diferite grosimi de perete

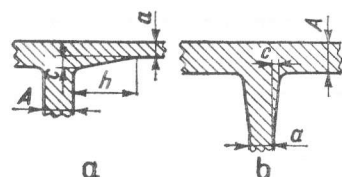


Fig. 7.17. Racordarea generală a trei pereți cu grosimi diferite

$c \approx 1,5\sqrt{A-a}$ ;  $a+2c \leq A$  iar  $h \geq 8c$  pentru piesele din fontă și  $h \geq 10c$  pentru piesele din oțel. Valoarea lui  $c$  se alege în funcție de raportul  $A:a$ , astfel:

$A:a$	$> 2,5$	$1,8 - 2,5$	$1,25 - 1,8$	$< 1,25$
$c$	$\frac{0,7A-a}{2}$	$\frac{0,8A-a}{2}$	$\frac{A-a}{2}$	—

În cazul pieselor turnate din aliaje cu bază de aluminiu, pentru racordarea a doi și trei pereți (fig. 7.18) se recomandă adoptarea următoarelor date constructive:

$$h = 2(A+a); h_1 = 2,5(A+b); c = 0,75A; d = r = 0,5A+a;$$

$$l = 0,5(A+a).$$

Se recomandă, în toate cazurile în care este posibil, în deosebi când este vorba de nervuri, să se evite îmbinarea în X sau + înlocuindu-le cu îmbinările în Z.

În același timp, trebuie evitate nervurile care pornesc în fascicule dintr-un punct comun. În fig. 7.19 se arată cum trebuie evitate aceste îmbinări în câteva cazuri. Un caz curent în construcția batiurilor este cel arătat în fig. 7.20 în care se pot observa soluțiile prin care se evită nodurile termice create de îmbinarea nervurilor cu pereții piesei.

Un caz particular în îmbinările dintre un perete drept și unul cilindric, care creează un nod termic important, susceptibil de retasură, se arată în fig. 7.21. Când este realizată construcția, pentru evitarea îmbinării în cruce, se poate proceda așa cum se arată în fig. 7.22.

Este de reținut însă că nu numai retasurile trebuie evitate ci și tensiunile remanente mari în pereții pieselor turnate (cauzate la rindul lor de contracția în stare solidă) care pot conduce la deformări sau fisuri.

De exemplu în cazul roților de curea, în obadă, care se răcește mai repede decât spișele, vor exista tensiuni remanente de comprimare, iar în spișe, de întindere, ceea

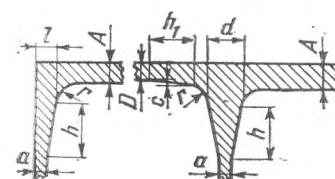


Fig. 7.18. Racordarea pereților pieselor turnate din aliaje cu bază de aluminiu

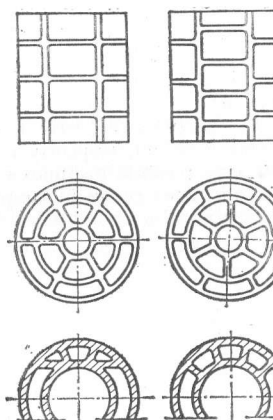


Fig. 7.19. Exemple de rezolvare constructivă a îmbinărilor nervurilor

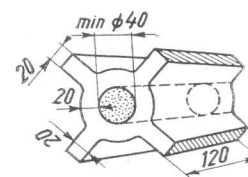


Fig. 7.22. Îmbinarea corectă a patru pereți în formă de cruce (nodul termic s-a evitat printr-un miez central)

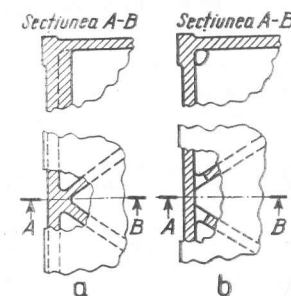


Fig. 7.20. Nervuri de întărire îmbinate cu pereții piesei turnate

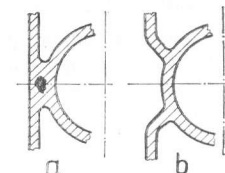


Fig. 7.21. Cilindru asamblat cu un perete drept (pompe, compresoare)

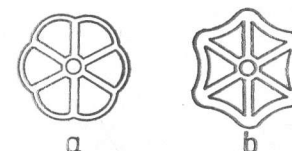


Fig. 7.23. Deformarea roților și volanelor datorită tensiunilor remanente

ce va conduce la deformări în genul celor din fig. 7.23, a. În cazul volanelor, unde obada este mai groasă și drept urmare se răcește mai încet decât spițele, natura tensiunilor este inversă iar volanele se vor deforma ca în fig. 7.23, b.

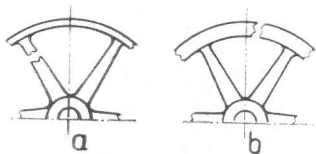


Fig. 7.24. Crăparea roților și volanelor datorită tensiunilor de întindere

în care:

$$R_{sp} = \frac{F_{sp}}{P_{sp}} \quad \text{și} \quad R_{ob} = \frac{F_{ob}}{P_{ob}};$$

$R_{sp}$  este grosimea echivalentă (modulul) a spiței;  
 $R_{ob}$  — grosimea echivalentă a obezii;

$F_{sp}$  și  $F_{ob}$  — suprafața secțiunii transversale a spiței respectiv a obezii;

$P_{sp}$  și  $P_{ob}$  — perimetrul secțiunii transversale a spiței, respectiv a obezii.

În cazul pieselor cu configurație complicată este posibilă însumarea tensiunilor de turnare cu cele termice ceea ce complică mult solicitarea piesei în timpul solidificării. Este clar că în astfel de cazuri consultarea proiectantului cu tehnologul de turnătorie poate duce la rezultate pozitive.

### 7.1.3. CONSTRUCȚIA PIESELOR TURNATE ȚINÎND SEAMĂ DE NATURA ALIAJULUI TURNAT

În afară de contracția care activează diferit în cazul varietății mari de aliaje feroase și neferoase turnate, un aport important la realizarea unei piese de calitate are și temperatura de turnare.

7.1.3.1. CONSTRUCȚIA PIESELOR TURNATE DIN FONTE SPECIALE. Cele mai multe principii constructive descrise până acum sînt valabile pentru fontele cenușii obișnuite. În continuare ne vom ocupa de fontele speciale.

**Construcția pieselor turnate din fontă modificată.** Datorită tendinței de albire mai redusă a fontei modificate, față de fontele obișnuite, ele se pot turna fără riscuri în pereți avînd grosimi de 4—5 mm.

Fontele cenușii modificate, afară de faptul că au caracteristici mecanice superioare, permit să se obțină piese compacte care urmează a fi încercate la presiune (cilindrii, distribuitoare, corpuri de pompă etc.).

Se va avea în vedere că această fontă are totuși o tendință mai pronunțată de a forma retasuri concentrate, ceea ce impune constructorului o grijă deosebită la construcția nodurilor termice ale pieselor turnate și tehnologului la tehnica maselotării.

Construcții tipice de astfel de piese sînt: roți dințate (pentru mașini-unelte și vehicule), roți de rulare, arbori, batiuri de mașini-unelte, cămăși de cilindru, roți melcate, carcase de motoare, elemente de armătură etc.

**Construcția pieselor turnate din fontă cu grafit nodular.** Această fontă caracterizată prin cele mai înalte proprietăți mecanice dintre toate fontele, poate fi cu structură ferică, cînd pe lângă o rezistență la tracțiune de minimum 40 daN/mm<sup>2</sup> are și o alungire

mare (10—20%) sau cu structură perlitică, cînd are o rezistență mare la tracțiune de minimum 50 daN/mm<sup>2</sup> și o alungire redusă ( $\approx 1,5\%$ ).

De remarcat rezistența la uzură (la uscat și cu ungere) ridicată a fontei cu grafit nodular, motiv pentru care această fontă are aplicații foarte interesante: roți dințate-cilindri de laminor, arbori cotiți, role de tractor, rotoare de pompe, matrițe pentru cărămizi etc. Se menționează și rezistența mărită la temperaturi înalte, mai ales la conținuturi ceva mai ridicate de siliciu (4—5%).

Privind construcția pieselor turnate din fontă cu grafit nodular trebuie să se aibă în vedere necesitatea folosirii maselotelor pentru alimentarea nodurilor termice și drept urmare dirijarea solidificării spre locurile unde pot fi amplasate maselotele în vederea alimentării finale.

**Construcția pieselor turnate din fontă maleabilă.** Contracția mare a fontei albe și tendința de a forma macroretasuri arată că la turnarea fontei maleabile, alimentarea nodurilor termice din maselote este obligatorie.

Se deosebesc fonte maleabile cu miez alb, a căror aplicație este limitată la piese cu pereți subțiri (3—15 mm) și fonte maleabile cu miez negru care se aplică și la piese cu pereți mai groși (maximum 40—50 mm).

În producția pieselor turnate din fontă maleabilă trebuie luată în seamă nu numai contracția liniară a piesei în timpul răcirii în formă, ci și modificarea dimensiunilor în timpul tratamentului termic.

Pentru a evita fisurarea pieselor turnate din fontă maleabilă sînt necesare o serie de măsuri dintre care cele mai importante sînt:

- evitarea modificărilor bruște ale secțiunilor;
- razele de racordare să nu fie mai mici de 0,5 în raport cu grosimea peretelui și, dacă nu apare frînarea contracției, racordările trebuie să fie de 2—3 ori grosimea peretelui;
- folosirea de spițe și grinzi curbate;
- consolidarea secțiunilor expuse la fisurare prin nervuri.

Piese deformate în timpul tratamentului termic, pot fi îndreptate pe prese (la rece, fonta maleabilă cu miez negru și la cald, fonta maleabilă cu miez alb).

7.1.3.2. CONSTRUCȚIA PIESELOR TURNATE DIN OȚEL. Contracția mare a oțelului turnat este un parametru de care trebuie să țină seamă constructorul de piese din oțel deoarece aceasta conduce la retasuri, tensiuni și tendință de fisurare.

În piesele turnate din oțel pot apărea atît retasuri concentrate cît și microretasuri. Evitarea lor se poate face atît prin aportul constructorului cît și prin tehnica aplicată de tehnolog.

Acest aport este ilustrat de exemplele din fig. 7.25, fig. 7.26 și fig. 7.27 în care, de fiecare dată, s-a modificat construcția inițială a piesei turnate pentru a asigura eficiența maselotelor aplicate.

La piesele turnate din oțeluri aliate sînt unele caracteristici care trebuie să fie bine cunoscute de constructorul de piese turnate. Astfel:

— oțelul manganos austenitic, după călire, deși cu duritate mică (120—220 HB), se prelucurează foarte greu cu scule așchietoare normale și de aceea orificiile, chiar cu diametre mici, se caută a se obține prin turnare; contracția mare în stare solidă a acestui oțel favorizează apariția în piesele turnate a tensiunilor și crăpăturilor;

— oțelul Cr-Ni 18/8 are tendință de segregare a carburilor la limitele granulelor în cazul răcirii lente a piesei turnate și, de asemenea, datorită contracției mari, tendința de a forma retasuri și fisuri la cald.

Oțelurile înalt aliate turnate în piese necesită maselote mai puternice decât oțelurile carbon, iar piesele trebuie să fie astfel construite încât să asigure treceri line de la o

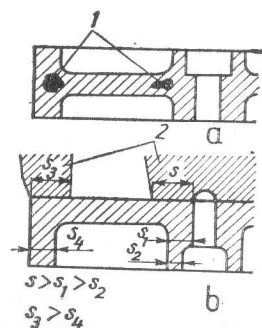


Fig. 7.25. Modificarea construcției unei roți turnate din oțel:

— greșit; b — corect; 1 — retasuri; 2 — maselote

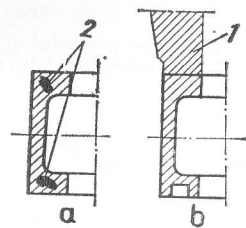


Fig. 7.27. Piesă din oțel cu noduri termice caracteristice la colțuri:

a — greșit; b — corect; 1 — maselotă; 2 — retasuri

suprafață la alta, pereții pe cât posibil să aibă secțiuni egale și configurația să frineze cât mai puțin contracția piesei.

**7.1.3.3. CONSTRUCȚIA PIESELOR DIN ALIAJE NEFEROASE.** Aliajele neferoase se pot clasifica în două mari categorii: aliaje cu bază de cupru (bronzuri și alame) și aliaje ușoare (de Al, Mg).

Aliajele pe bază de cupru pot fi clasificate în: bronzuri cu staniu, bronzuri fără staniu și alame.

Bronzurile cu staniu au tendința de a forma microretasuri (interval mare de solidificare) în special în secțiunile mai groase. La conținuturi mari de plumb, în secțiunile groase apare tendința de licație. Pentru obținerea unor piese turnate etanșe din bronz cu staniu, constructorul trebuie să evite proiectarea de pereți groși. Adaosurile de prelucrare trebuie să fie minime. Grosimea flanșelor nu trebuie să depășească dublul pereților piesei turnate.

Bronzurile fără staniu (de exemplu cu aluminiu) și alamele au contracție mare și tendință de a forma retasuri concentrate, sufluri și un strat de oxizi pe suprafața metalului fluid. La aceste piese, proiectantul trebuie să evite părțile ascuțite și proeminente care provoacă, la turnare, împrăștierea metalului și ruperea eventuală a peliculei de oxizi de pe suprafața metalului lichid și amestecarea acestei pelicule cu metalul curat ce intră în formă. Bronzurile cu aluminiu, mangan sau siliciu și alamele obișnuite se pot turna în bune condiții în forme metalice.

Piesele turnate din aliaje ușoare au azi o mare răspindire datorită excelentelor proprietăți de turnare și caracteristicilor mecanice interesante. Din grupa aceasta fac parte aliajele cu bază de aluminiu și aliajele cu bază de magneziu.

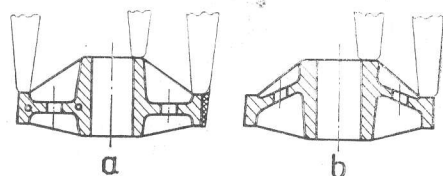


Fig. 7.26. Construcția unei roți cu butuc înalt:

a — greșit; b — corect

La construirea pieselor turnate din aliaje ușoare, configurația trebuie astfel asigurată încât părțile groase să poată fi alimentate cu maselote.

Este bine să se rețină, la proiectarea pieselor turnate din aliaje ușoare, că metalul are proprietăți de rezistență mai scăzute în secțiunile groase decât în cele subțiri (din cauza vitezei diferite de răcire). Drept urmare trebuie evitate îngroșările (nodurile termice importante), grosimea pereților menținându-se pe cât posibil în limitele a 10 mm, așa cum se arată în exemplele din fig. 7.28.

Folosirea pereților plani orizontali cu suprafețe mari este deosebit de defavorabilă deoarece la turnare metalul se împarte în vine separate care se sudează cu greu în

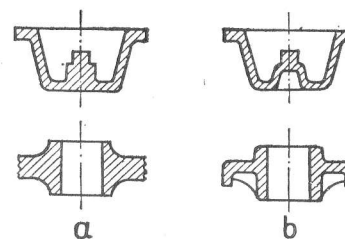


Fig. 7.28. Piese turnate din aliaje ușoare:

a — rezolvări greșite; b — rezolvări corecte

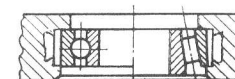


Fig. 7.29. Fixarea prin turnare a unui cuzinet pentru rulment într-o piesă din aliaj ușor

momentul când se unesc din cauza oxizilor formați la suprafața metalului lichid. Când astfel de cazuri nu se pot evita, se recomandă turnarea înclinată.

Deoarece modulul de elasticitate al aliajelor ușoare este redus, pentru a obține totuși rigiditatea necesară pieselor turnate, se folosesc secțiuni cu moment de inerție mare cu secțiuni în dublu T, în C, în cheson etc. Nervurile de tip X trebuie evitate și înlocuite cu cele de tip Z.

Piesele turnate din aliaje ușoare supuse la presiuni specifice mari și la solicitări alternative se uzează repede. Pentru a evita această uzură prematură, în piesele turnate din aliaje ușoare se introduc bușe speciale (din oțel, fontă sau bronz), în care se fixează carcasa rulmenților (fig. 7.29). Această tehnică, în prezent s-a perfecționat și s-a răspândit ca un procedeu de turnare bimetalic (Al-Fin; cilindru din aluminiu cu aripioare de răcire având la interior încastrată o bușă din fontă).

Piesele turnate din aliaje cu bază de magneziu au o slabă rezistență la coroziune, motiv pentru care trebuie protejate prin lăcuire.

Piesele turnate din aliaje cu bază de aluminiu, pentru a avea o rezistență sporită la uzură, se pot proteja prin cromare, ceea ce în unele cazuri permite să se elimine construcția bimetalică (cu fontă) și implicit să se ușureze greutatea cilindrului cu 50—60%.

## 7.2. PRECIZIA DIMENSIUNILOR PIESELOR TURNATE ȘI ADAOSURILE DE PRELUCRARE

Tehnica modernă a turnării pieselor destinate construcțiilor de mașini permite, în funcție de aliajul care se toarnă, de dimensiunile piesei turnate și de metoda de formare, obținerea unor grade de precizie a dimensiunilor bine determinate, necesar să fie cunoscute de constructorul de mașini.



Tabelul 7.11

Abateri limită la dimensiunile pieselor turnate din fontă (STAS 1592-66)

Gabaritul maxim al piesei turnate, mm	Clasa de precizie	Dimensiunea				
		≤ 30	31—60	61—100	101—200	201—300
		Abateri				
≤ 200	I	±0,35	±0,40	±0,45	±0,50	
	II	±0,40	±0,50	±0,60	±0,75	
	III	±0,50	±0,60	±0,70	±0,80	
	IV			+1,20 -0,80	+1,30 -0,90	
	V			+1,40 -1,00	+1,80 -1,20	
201—500	I	±0,40	±0,45	±0,50	±0,60	±0,70
	II	±0,60	±0,70	±0,75	±0,80	±0,90
	III	±0,60	±0,70	±0,80	±1,00	±1,25
	IV			+1,30 -0,90	+1,60 -1,00	+1,80 -1,20
	V			+1,60 -1,00	+1,90 -1,30	+2,10 -1,40
501—1200	I	±0,45	±0,50	±0,60	±0,70	±0,80
	II	±0,70	±0,75	±0,80	±0,90	±1,00
	III	±0,70	±0,80	±1,00	±1,25	±1,50
	IV			+1,6 -1,0	+1,80 -1,20	+2,10 -1,40
	V			+1,80 -1,20	+2,10 -1,40	+2,40 -1,60
1201—2600	I	±0,50	±0,60	±0,70	±0,80	±1,00
	II	±0,75	±0,80	±0,90	±1,00	±1,25
	III	±0,80	±1,00	±1,25	±1,50	±1,75
	IV			+1,80 -1,20	+2,10 -1,40	+2,40 -1,60
	V			+2,10 -1,40	+2,40 -1,60	+3,00 -2,00
2601—5400	I	±0,80	±0,90	±1,00	±1,25	±1,50
	II	±1,00	±1,25	±1,50	±1,75	±2,00
	III			+2,1 -1,4	+2,40 -1,60	+3,00 -2,00
	IV			+2,40 -1,60	+3,00 -2,00	+3,6 -2,4
	V					
5400	IV			+2,40 -1,60	+3,0 -2,00	+3,60 -2,4
	V			+3,00 -2,00	+3,60 -2,40	+4,20 -2,80

nominală, mm							
301—500	501—800	801—1200	1201—1800	1801—2600	2601—3800	3801—5400	≥ 5401
limită, mm							
±0,80 ±1,00 ±1,50 +2,10 -1,40 +2,40 -1,60							
±0,90 ±1,10 ±1,75 +2,40 -1,60 +3,00 -2,00	±1,00 ±1,25 ±2,00 +3,00 -2,00 +3,60 -2,40	±1,25 ±1,50 ±2,50 +3,60 -2,40 +4,20 -2,80					
±1,25 ±1,50 ±2,00 +3,00 -2,00 +3,60 -2,40	±1,50 ±1,75 ±2,50 +3,60 -2,40 +4,20 -2,80	±1,75 ±2,00 ±3,00 +4,20 -2,80 +4,80 -3,20	±2,00 ±2,50 ±3,50 +4,80 -3,20 +6,00 -4,00	±3,00 ±4,00 ±5,40 -3,60 +7,20 -4,80			
±1,75 ±2,50 +3,60 -2,40 +4,20 -2,80	±2,00 ±3,00 +4,20 -2,80 +4,80 -3,20	±2,50 ±3,50 +4,80 -3,20 +5,40 -3,60	±3,00 ±4,00 +5,40 -3,60 +7,20 -4,80	±3,50 ±5,00 +7,20 -4,80 +8,40 -5,60	±4,00 ±7,00 +9,60 -6,40 +10,8 -7,20	±4,50 ±9,00 +12,0 -8,0 +12,0 -8,00	±11,0
+4,20 -2,80 +4,80 -3,20	+4,80 -3,20 +5,40 -3,60	+5,40 -3,60 +6,00 -4,00	+6,00 -4,80 +8,40 -5,60	+8,40 -5,60 +9,60 -6,40	+10,8 -7,20 +12,0 -8,00	+13,2 -8,80 +15,0 -10,0	+15,0 -10,0 +21,0 -14,0

Tabelul 7.12  
Abateri limită la grosimea pereților și nervurilor pieselor turnate din fontă (STAS 1592-66)

Gabaritul maxim al piesei turnate, mm	Clasa de precizie	Grosimea pereților și nervurilor neprelucrate, mm									
		Abateri limită, mm									
		≤ 6,0	7-10	11-20	21-30	31-50	51-80	81-120			
≤ 200	I	± 0,35	± 0,40	± 0,50	± 0,60	± 0,70	± 1,00	± 1,25	± 1,50	± 2,00	
	II	± 0,40	± 0,50	± 0,60	± 0,70	± 0,80	± 1,00	± 1,25	± 1,50	± 2,00	
	III	± 0,50	± 0,60	± 0,70	± 0,80	± 1,00	± 1,25	± 1,50	± 2,00	± 2,50	
	IV	± 0,60	± 0,70	± 0,80	± 1,00	± 1,25	± 1,50	± 2,00	± 2,50	± 3,00	
	V	± 0,70	± 0,80	± 1,00	± 1,25	± 1,50	± 2,00	± 2,50	± 3,00	± 4,00	
201-500	I	± 0,40	± 0,50	± 0,60	± 0,70	± 0,80	± 1,00	± 1,25	± 1,50	± 2,00	
	II	± 0,50	± 0,60	± 0,70	± 0,80	± 1,00	± 1,25	± 1,50	± 2,00	± 2,50	
	III	± 0,60	± 0,70	± 0,80	± 1,00	± 1,25	± 1,50	± 2,00	± 2,50	± 3,00	
	IV	± 0,70	± 0,80	± 1,00	± 1,25	± 1,50	± 2,00	± 2,50	± 3,00	± 4,00	
	V	± 0,80	± 1,00	± 1,25	± 1,50	± 2,00	± 2,50	± 3,00	± 4,00	± 5,00	
501-1200	I	± 0,50	± 0,60	± 0,70	± 0,80	± 1,00	± 1,25	± 1,50	± 2,00	± 2,50	
	II	± 0,60	± 0,70	± 0,80	± 1,00	± 1,25	± 1,50	± 2,00	± 2,50	± 3,00	
	III	± 0,70	± 0,80	± 1,00	± 1,25	± 1,50	± 2,00	± 2,50	± 3,00	± 4,00	
	IV	± 0,80	± 1,00	± 1,25	± 1,50	± 2,00	± 2,50	± 3,00	± 4,00	± 5,00	
	V	± 1,00	± 1,25	± 1,50	± 2,00	± 2,50	± 3,00	± 4,00	± 5,00	± 6,00	
1201-2600	I	± 0,60	± 0,70	± 0,80	± 1,00	± 1,25	± 1,50	± 2,00	± 2,50	± 3,00	
	II	± 0,70	± 0,80	± 1,00	± 1,25	± 1,50	± 2,00	± 2,50	± 3,00	± 4,00	
	III	± 0,80	± 1,00	± 1,25	± 1,50	± 2,00	± 2,50	± 3,00	± 4,00	± 5,00	
	IV	± 1,00	± 1,25	± 1,50	± 2,00	± 2,50	± 3,00	± 4,00	± 5,00	± 6,00	
	V	± 1,25	± 1,50	± 2,00	± 2,50	± 3,00	± 4,00	± 5,00	± 6,00	± 7,00	
2601-5400	I	± 0,80	± 1,00	± 1,25	± 1,50	± 2,00	± 2,50	± 3,00	± 4,00	± 5,00	
	II	± 1,00	± 1,25	± 1,50	± 2,00	± 2,50	± 3,00	± 4,00	± 5,00	± 6,00	
	III	± 1,25	± 1,50	± 2,00	± 2,50	± 3,00	± 4,00	± 5,00	± 6,00	± 7,00	
	IV	± 1,50	± 2,00	± 2,50	± 3,00	± 4,00	± 5,00	± 6,00	± 7,00	± 8,00	
	V	± 2,00	± 2,50	± 3,00	± 4,00	± 5,00	± 6,00	± 7,00	± 8,00	± 9,00	
≥ 5401	IV	± 1,50	± 2,00	± 2,50	± 3,00	± 4,00	± 5,00	± 6,00	± 7,00	± 8,00	
	V	± 2,00	± 2,50	± 3,00	± 4,00	± 5,00	± 6,00	± 7,00	± 8,00	± 9,00	

## 7.2.1. PRECIZIA PIESELOR TURNATE DIN FONTĂ

Precizia pieselor turnate din fontă este reglementată în țara noastră de STAS 1592-66. În tabelul 7.11 se dau abaterile limită la dimensiunile pieselor turnate din fontă.

Abaterile limită la grosimea pereților și a nervurilor pieselor turnate din fontă în funcție de gabaritul maxim al piesei turnate, de grosimea peretelui sau a nervurii neprelucrate și de clasa de precizie în care se încadrează piesa în funcție de metoda de turnare, se dau în tabelul 7.12.

Abaterile limită la masa pieselor turnate din fontă sînt date de tabelul 7.13 pentru mase de la 1 la peste 1000 kg în funcție de cele cinci clase de precizie.

Tabelul 7.13

## Abateri limită la masa pieselor turnate din fontă

Masa nominală a piesei turnate, kg	Clasa de precizie				
	I	II	III	IV	V
	Abateri limită superioare la masă, %				
≤ 1	5,0	5,0	6,5	8,0	10,0
2-10	4,0	5,0	6,0	8,0	9,0
11-50	3,5	4,0	5,0	7,0	9,0
51-100	3,5	4,0	4,5	7,0	8,0
101-500		3,5	4,0	6,0	7,0
501-1000			3,0	5,0	6,0
≥ 1001			3,0	4,0	5,0

Pentru proiectantul de piese turnate ca și pentru inginerul mecanic este important să se cunoască, pe lângă precizia dimensională ce se poate asigura pieselor turnate și mărimea adaosurilor de prelucrare minime obligatorii care pot asigura suprafețe curate după prelucrarea prin așchiere. În STAS 1592-66 se precizează aceste adaosuri pentru cele cinci clase de precizie în funcție de dimensiunile de gabarit, de dimensiunea nominală și de locul unde se află plasată în forma de turnare suprafața respectivă (tabelele 7.14; 7.15; 7.16; 7.17 și 7.18).

## 7.2.2. PRECIZIA PIESELOR TURNATE DIN OȚEL

Abaterile limită la dimensiunile pieselor turnate din oțel sînt date de același STAS 1592-66, în funcție de gabaritul piesei turnate și de clasa de precizie. Abaterile limită date de clasa IV și clasa V de precizie se referă la dimensiunile exterioare. În cazul dimensiunilor interioare, abaterile în plus devin abateri în minus iar abaterile în minus devin abateri în plus (tabelul 7.19).

Abaterile limită la grosimea pereților și nervurilor, pentru piesele turnate din oțel, în funcție de gabaritul și de clasa de precizie, se dau în tabelul 7.20.

Pentru abaterile limită la masa pieselor turnate din oțel se pot folosi datele din tabelul 7.21 în care aceste abateri se dau pentru mase de la 1 kg la peste 1000 kg, în funcție de cele cinci clase de precizie.

Adaosurile de prelucrare pentru piesele turnate din oțel sînt cuprinse în cinci tablouri corespunzătoare celor cinci clase de precizie și sînt stabilite pornind de la gabaritul maxim al piesei turnate și de la poziția în forma de turnare a suprafeței luate în considerare pentru prelucrarea prin așchiere (tabelele: 7.22; 7.23; 7.24; 7.25 și 7.26). Se observă că adaosurile de prelucrare a pieselor turnate din oțel sînt în toate cazurile mai mari decît adaosurile de prelucrare a pieselor din fontă cu 30–50%, ceea ce din punct de vedere al volumului de așchiere are o mare importanță economică.

### 7.2.3. PRECIZIA PIESELOR TURNATE DIN ALIAJE NEFEROASE

Se reglementează prin STAS 6287-67 și cuprinde abaterile limită și adaosurile maxime de prelucrare acordate pieselor turnate din aliaje neferoase grele și ușoare.

Toate acestea sînt stabilite pe baza a trei clase de precizie:

- clasa I de precizie: piese turnate sub presiune;
- clasa II de precizie: piese turnate în forme metalice, static sau centrifug, în miezuri sau în forme executate mecanic cu modele metalice;
- clasa III de precizie: piese turnate în forme executate manual din amestec de formare.

Se observă că fiecare clasă de precizie și grup de metale (grole sau ușoare) este împărțită la rîndul ei în două categorii de precizie A și B, în funcție de forma și complexitatea pieselor turnate:

- categoria A: forme geometrice simple și fără miezuri;
- categoria B: forme geometrice complicate și cu miezuri.

În tabelul 7.27 se dau abaterile limită la dimensiunile pieselor turnate din metale și aliaje neferoase.

Masa nominală a piesei turnate este masa stabilită prin cîntărirea piesei executate conform desenului cu adaosurile de prelucrare și abaterile limită prescrise. Abaterile limită la masa pieselor turnate din metale și aliaje neferoase ușoare și grele, conform STAS 6287-67, se dau în tabelul 7.28.

Adaosurile de prelucrare pentru piesele turnate din metale și aliaje neferoase, ușoare și grele, în funcție de gabaritul piesei, de poziția suprafeței de prelucrare în formă și cele trei clase de precizie și categorii A și B, se dau în tabelele 7.29 și 7.30 conform STAS 6287-67. Adaosurile de prelucrare la dimensiuni peste 1600 mm se stabilesc de comun acord între producător și beneficiar.

Tabelul 7.14

Adaosuri de prelucrare pentru piese turnate din fontă cuprinse în clasa I de precizie (STAS 1592-66)

Gabaritul maxim al piesei turnate mm	Poziția suprafeței piesei turnate în formă	Dimensiunea nominală, mm								
		≤ 30	31 – 60	61 – 100	101 – 200	201 – 300	301 – 500	501 – 800	801 – 1200	≥ 1201
		Adaosuri de prelucrare, mm								
100	Sus	2,5	3,0	3,0						
	Jos, lateral	2,0	2,0	2,5						
101 – 200	Sus	2,5	3,0	3,0	3,5					
	Jos, lateral	2,0	2,5	2,5	3,0					
201 – 300	Sus	3,0	3,0	3,5	3,5	4,0				
	Jos, lateral	2,5	2,5	3,0	3,0	3,5				
301 – 500	Sus	3,0	3,5	3,5	4,0	4,0	4,5			
	Jos, lateral	2,5	3,0	3,0	3,5	3,5	4,0			
501 – 800	Sus	3,5	3,5	4,0	4,0	4,5	4,5	5,0		
	Jos, lateral	3,0	3,0	3,5	3,5	4,0	4,0	4,5		
801 – 1200	Sus	3,5	4,0	4,0	4,5	4,5	5,0	5,0	6,0	
	Jos, lateral	3,0	3,5	3,5	4,0	4,0	4,5	4,5	5,0	
≥ 1201	Sus	4,0	4,0	4,5	4,5	5,0	5,0	5,0	5,5	6,0
	Jos, lateral	3,5	3,5	4,0	4,0	4,5	4,5	5,0	5,0	5,5

Tabelul 7.15

Adaosuri de prelucrare pentru piese turnate din fontă cuprinse în clasa II  
de precizie (STAS 1592-66)

Gabaritul maxim al piesei turnate, mm	Poziția suprafeței piesei turnate în formă	Dimensiunea nominală, mm									
		≤ 30	31-60	61-100	101-200	201-300	301-500	501-800	801-1200	1201-1800	1801-2600
		Adaosuri de prelucrare, mm									
61-100	Sus	3,0	3,0	3,5							
	Jos, lateral	2,0	2,5	2,5							
101-200	Sus	3,0	3,0	3,5	3,5						
	Jos, lateral	2,5	2,5	3,0	3,0						
201-300	Sus	3,0	3,5	3,5	4,0	4,0					
	Jos, lateral	2,5	3,0	3,0	3,5	3,5					
301-500	Sus	3,5	3,5	4,0	4,0	5,0	5,0				
	Jos, lateral	3,0	3,0	3,5	3,5	4,0	4,0				
501-800	Sus	3,5	4,0	4,0	4,5	5,0	5,0	5,5			
	Jos, lateral	3,0	3,5	3,5	4,0	4,0	4,5	4,5			
801-1200	Sus	4,0	4,0	4,5	4,5	5,0	5,5	5,5	6,0		
	Jos, lateral	3,5	3,5	4,0	4,0	4,5	4,5	5,0	5,0		
1201-1800	Sus	4,0	4,5	4,5	5,0	5,0	5,5	6,0	6,0	6,5	
	Jos, lateral	3,5	4,0	4,0	4,5	4,5	5,0	5,0	5,0	5,5	
1801-2600	Sus	4,5	4,5	5,0	5,0	5,5	6,0	6,5	6,5	7,0	7,0
	Jos, lateral	4,0	4,0	4,5	4,5	5,0	5,0	5,5	5,5	6,0	6,0
≥ 2601	Sus	4,5	5,0	5,0	5,5	5,5	6,0	6,5	7,0	7,0	8,0
	Jos, lateral	4,0	4,5	4,5	5,0	5,0	5,5	5,5	6,0	7,0	7,0

Tabelul 7.16

Adaosuri de prelucrare pentru piese turnate din fontă cuprinse în clasa III  
de precizie (STAS 1592-66)

Gabaritul maxim al piesei turnate mm	Poziția suprafeței piesei turnate în formă	Dimensiunea nominală, mm								
		≤ 100	101-200	201-300	301-500	501-800	801-1200	1201-1800	1801-2600	≥ 2601
		Adaosuri de prelucrare, mm								
≤ 100	Sus	2,5								
	Jos, lateral	2,0								
101-200	Sus	3,0	3,5							
	Jos, lateral	2,5	3,0							
201-300	Sus	3,5	4,0	4,0						
	Jos, lateral	3,0	3,0	3,0						
301-500	Sus	4,0	4,5	4,5	5,0					
	Jos, lateral	3,5	3,5	3,5	4,0					
501-800	Sus	4,5	5,0	5,0	5,5	6,0				
	Jos, lateral	4,0	4,0	4,0	4,5	5,0				
801-1200	Sus	5,0	5,5	6,0	6,5	7,0	7,5			
	Jos, lateral	4,5	4,5	4,5	5,0	5,5	5,5			
1201-1800	Sus	5,5	6,0	6,5	7,0	7,5	8,0	8,5		
	Jos, lateral	5,0	5,0	5,0	5,5	6,0	6,0	6,5		
1801-2600	Sus	6,5	7,0	7,0	7,5	8,0	8,5	9,0	9,5	
	Jos, lateral	5,5	5,5	5,5	6,0	6,5	6,5	7,0	7,0	
≥ 2601	Sus	7,0	7,5	7,5	8,0	8,5	9,0	9,5	10,0	10,5
	Jos, lateral	6,0	6,0	6,0	6,5	7,0	7,0	7,0	7,5	7,5

Tabelul 7.17

Adaosuri de prelucrare pentru piese turnate din fontă cuprinse în clasa IV de precizie (STAS 1592-66)

Gabaritul maxim al piesei turnate mm	Poziția suprafeței piesei turnate în formă	Dimensiunea nominală, mm										
		≤100	101-200	201-300	301-500	501-800	801-1200	1201-1800	1801-2600	2601-3800	3801-5400	≥5401
		Adaosuri de prelucrare, mm										
≤ 100	Sus	4,0										
	Jos, lateral	3,0										
101-200	Sus	4,5	5,0									
	Jos, lateral	3,5	4,0									
201-300	Sus	5,0	5,5	5,5								
	Jos, lateral	3,5	4,0	4,5								
301-500	Sus	5,5	6,0	6,0	6,5							
	Jos, lateral	4,0	4,5	4,5	5,0							
501-800	Sus	6,0	6,5	6,5	7,0	7,5						
	Jos, lateral	4,0	5,0	5,0	5,5	5,5						
801-1200	Sus	6,5	7,0	7,0	7,5	8,0	8,5					
	Jos, lateral	4,5	5,5	5,5	6,0	6,0	6,5					
1201-1800	Sus	7,0	7,5	8,0	8,5	9,0	9,5	10,0				
	Jos, lateral	5,0	6,0	6,0	6,5	6,5	7,0	7,5				
1801-2600	Sus	7,5	8,0	8,5	9,0	9,5	10,0	10,0	11,0			
	Jos, lateral	5,5	6,5	6,5	7,0	7,0	7,5	8,0	8,5			
2601-3800	Sus	8,0	8,5	9,0	9,5	10	10,5	11,0	11,5	12,0		
	Jos, lateral	6,0	7,0	7,0	7,5	7,5	8,0	8,5	9,0	9,5		
3801-5400	Sus	8,5	9,0	9,5	10,0	10,5	11	11,5	12,0	13,0	14,0	
	Jos, lateral	6,5	7,5	7,5	8,0	8,0	8,5	9,0	9,5	10,0	11,0	
≥ 5401	Sus	9,0	9,5	10	10,5	11	11,5	12,0	13,0	14,0	15,0	18,0
	Jos, lateral	7,0	8,0	8,0	8,5	9,0	9,5	10,0	10,5	11,0	12,0	14,0

Tabelul 7.18

Adaosuri de prelucrare pentru piese turnate din fontă cuprinse în clasa V de precizie (STAS 1592-66)

Gabaritul maxim al piesei turnate mm	Poziția suprafeței piesei turnate în formă	Dimensiunea nominală, mm										
		≤100	101-200	201-300	301-500	501-800	801-1200	1201-1800	1801-2600	2601-3800	3801-5400	≥5401
		Adaosuri de prelucrare, mm										
≤ 100	Sus	4,5										
	Jos, lateral	3,5										
101-200	Sus	5,0	5,5									
	Jos, lateral	4,0	4,5									
201-300	Sus	5,5	6,0	6,0								
	Jos, lateral	4,5	5,0	5,0								
301-500	Sus	6,0	6,5	7,0	7,0							
	Jos, lateral	4,5	5,0	5,5	6,0							
501-800	Sus	7,0	7,5	7,5	8,5	9,0						
	Jos, lateral	5,0	5,5	6,0	6,5	7,0						
801-1200	Sus	7,5	8,0	8,0	9,0	9,5	10,0					
	Jos, lateral	5,5	6,0	6,5	7,0	7,5	8,5					
1201-1800	Sus	8,0	8,5	9,0	9,5	10,0	10,5	11,0				
	Jos, lateral	6,0	6,5	7,0	7,5	8,0	8,5	9,0				
1801-2600	Sus	8,5	9,0	9,5	10,0	10,5	11,0	11,5	12,0			
	Jos, lateral	6,5	7,0	7,5	8,0	8,5	9,0	9,5	10,0			
2601-3800	Sus	9,0	9,5	10,0	10,0	11,0	11,5	12,0	13,0	14,0		
	Jos, lateral	7,0	7,5	8,0	8,5	9,0	9,5	10,0	10,5	11,0		
3801-5400	Sus	9,5	10,0	10,5	11,0	11,5	12,0	13,0	14,0	15,0	16,0	
	Jos, lateral	7,5	8,0	8,5	9,0	9,5	10,0	10,5	11,0	12,0	13,0	
≥ 5401	Sus	10,0	10,5	11,0	11,5	12,0	13,0	14,0	15,0	16,0	18,0	22,0
	Jos, lateral	8,0	8,5	9,0	9,5	10,0	10,5	11,0	12,0	13,0	15,0	18,0



Gabaritul maxim al piesei turnate mm	Clasa de precizie	Dimensiunea					
		≤30	31—60	61—100	101—200	201—300	301—500
		Abateri					
1	2	3	4	5	6	7	8
≤ 200	I	±0,15	±0,20	±0,25	±0,35		
	II	±0,40	±0,45	±0,50	±0,60		
	III	±0,50	±0,60	±0,70	±0,80		
	IV			+1,20 -0,80	+1,50 -1,00		
	V			+1,20 -0,80	+1,50 -1,00		
201—500	I	±0,20	±0,25	±0,30	±0,60	±0,60	±0,70
	II	±0,45	±0,50	±0,60	±0,70	±0,80	±1,00
	III	±0,60	±0,70	±0,80	±1,00	±1,25	±1,50
	IV			+1,50 -1,00	+1,80 -1,20	+2,10 -1,40	+2,40 -1,60
	V			+1,50 -1,00	+1,80 -1,20	+2,10 -1,40	+2,40 -1,60
501—1200	I	±0,25	±0,30	±0,40	±0,60	±0,70	±0,80
	II	±0,50	±0,60	±0,70	±0,80	±1,00	±1,25
	III	±0,70	±0,80	±1,00	±1,25	±1,50	±2,00
	IV			+1,80 -1,20	+2,10 -1,40	+2,40 -1,60	+3,00 -2,00
	V			+2,10 -1,40	+2,40 -1,60	+3,00 -2,00	+3,60 -2,40

Tabelul 7.19

Abateri limită la dimensiunile pieselor turnate din oțel (STAS 1592-66)

[illegible]

Tabelul 7.19 (continuare)

1	2	3	4	5	6	7	8
1201—2600	II	$\pm 0,60$	$\pm 0,70$	$\pm 0,80$	$\pm 1,00$	$\pm 1,25$	$\pm 1,50$
	III	$\pm 0,80$	$\pm 1,00$	$\pm 1,25$	$\pm 1,50$	$\pm 2,00$	$\pm 2,50$
	IV			$+2,10$ $-1,40$	$+2,40$ $-1,60$	$+3,00$ $-2,00$	$+3,60$ $-2,40$
	V			$+2,40$ $-1,60$	$+3,00$ $-2,00$	$+3,60$ $-2,40$	$+4,20$ $-2,80$
2601—5400	II	$\pm 0,70$	$\pm 0,80$	$\pm 1,00$	$\pm 1,25$	$\pm 1,50$	$\pm 2,00$
	III	$\pm 1,00$	$\pm 1,25$	$\pm 1,50$	$\pm 2,00$	$\pm 2,50$	$\pm 3,00$
	IV			$+2,40$ $-1,60$	$+3,00$ $-2,00$	$+3,60$ $-2,40$	$+4,20$ $-2,80$
	V			$+3,00$ $-2,00$	$+3,60$ $-2,40$	$+4,20$ $-2,80$	$+4,80$ $-3,20$
5401—6300	III	$\pm 1,25$	$\pm 1,50$	$\pm 2,00$	$\pm 2,50$	$\pm 3,00$	$\pm 3,50$
	IV			$+3,00$ $-2,00$	$+3,60$ $-2,40$	$+4,20$ $-2,80$	$+4,80$ $-3,20$
	V			$+3,60$ $-2,40$	$+4,20$ $-2,80$	$+4,80$ $-3,20$	$+5,40$ $-3,60$
$\geq 6301$	V			$+4,20$ $-2,80$	$+4,80$ $-3,20$	$+5,40$ $-3,60$	$+6,00$ $-4,00$

9	10	11	12	13	14	15	16
$\pm 2,00$	$\pm 2,50$	$\pm 3,00$	$\pm 3,50$				
$\pm 3,00$	$\pm 3,50$	$\pm 4,00$	$\pm 5,00$				
$+4,20$ $-2,80$	$+4,80$ $-3,20$	$+6,00$ $-4,00$	$+7,20$ $-4,80$				
$+4,80$ $-3,20$	$+5,40$ $-3,60$	$+7,20$ $-4,80$	$+9,60$ $-6,40$				
$\pm 2,50$	$\pm 3,00$	$\pm 3,50$	$\pm 4,50$	$\pm 5,50$			
$\pm 3,50$	$\pm 4,00$	$\pm 5,00$	$\pm 6,00$	$\pm 7,00$	$\pm 8,00$		
$+4,80$ $-3,20$	$+6,00$ $-4,00$	$+7,20$ $-4,80$	$+8,40$ $-5,60$	$+9,60$ $-6,40$	$+10,8$ $-7,20$		
$+5,40$ $-3,60$	$+6,00$ $-4,00$	$+8,40$ $-5,60$	$+10,8$ $-7,20$	$+13,2$ $-8,80$	$+14,4$ $-9,60$		
$\pm 4,00$	$\pm 5,00$	$\pm 6,00$	$\pm 7,00$	$\pm 8,00$	$\pm 9,00$	$\pm 10,0$	
$+5,40$ $-3,60$	$+6,00$ $-4,00$	$+7,20$ $-4,80$	$+9,60$ $-6,40$	$+10,8$ $-7,20$	$+15,0$ $-10,0$	$+21,0$ $-14,0$	
$+6,00$ $-4,00$	$+7,20$ $-4,80$	$+9,60$ $-6,40$	$+12,0$ $-8,00$	$+14,4$ $-9,60$	$+16,8$ $-11,2$	$+24,0$ $-16,0$	
$+7,20$ $-4,80$	$+9,60$ $-6,40$	$+12,0$ $-8,00$	$+14,4$ $-9,60$	$+16,8$ $-11,2$	$+21,0$ $-14,0$	$+30,0$ $-20,0$	$+42,0$ $-28,0$

*Tabelul 7.20*  
Abateri limită la grosimea pereților și nervurilor pentru piesele turnate din oțel  
(STAS 1592-66)

Grosimea pereților și nervurilor neprelucrați, mm	Abateri limită, mm							
	≤ 6	7—10	11—20	21—30	31—50	51—80	81—120	
	2	3	4	5	6	7	8	
Gabaritul maxim al piesei turnate, mm	1							
0	I	±0,30	±0,35	±0,40	±0,70	±0,80	±1,00	±1,25
≤ 200	II	±0,45	±0,50	±0,45	±0,80	±1,00	±1,25	±1,25
	III	±0,60	±0,70	±0,80	±1,25	±1,50	±2,00	±2,00
	IV	±0,75	±1,00	±1,25	±1,75	±2,25	±3,00	±2,25
	V	±1,00	±1,25	±1,50	±2,00	±2,50	±3,50	±2,50
201—500	I	±0,35	±0,40	±0,45	±0,80	±1,00	±1,25	±1,75
	II	±0,50	±0,60	±0,70	±1,25	±1,50	±2,00	±2,00
	III	±0,70	±0,80	±1,00	±1,75	±2,25	±3,00	±2,50
	IV	±1,00	±1,25	±1,50	±2,00	±2,50	±3,50	±3,00
	V	±1,25	±1,50	±1,75	±2,25	±2,50	±3,50	±3,00
501—1200	I	±0,40	±0,45	±0,50	±0,90	±1,00	±1,25	±2,25
	II	±0,60	±0,70	±0,80	±1,25	±1,50	±2,00	±2,50
	III	±0,80	±1,00	±1,25	±1,75	±2,25	±3,00	±2,75
	IV	±1,25	±1,50	±1,75	±2,25	±2,50	±3,50	±3,00
	V	±1,50	±1,75	±2,00	±2,25	±2,50	±3,50	±4,00
1201—2600	II	±0,70	±0,80	±0,90	±1,25	±1,50	±2,00	±2,50
	III	±1,00	±1,25	±1,50	±2,00	±2,25	±2,50	±2,75
	IV	±1,50	±1,75	±2,00	±2,25	±2,50	±3,50	±3,00
	V	±1,75	±2,00	±2,25	±2,50	±3,00	±4,00	±4,00
2601—5400	II	±0,80	±0,90	±1,00	±1,25	±1,50	±2,00	±2,75
	III	±1,25	±1,50	±1,75	±2,25	±2,50	±3,50	±3,50
	IV	±1,75	±2,00	±2,25	±2,50	±3,00	±4,00	±4,50
	V	±2,00	±2,25	±2,50	±2,75	±3,00	±4,00	±4,50
5401—6300	III	±1,50	±1,75	±2,00	±2,25	±2,50	±3,50	±3,00
	IV	±2,00	±2,25	±2,50	±2,75	±3,00	±4,00	±4,00
	V	±2,25	±2,50	±3,00	±3,50	±4,00	±5,00	±6,00
≥ 6301	V	±2,50	±3,00	±3,50	±4,00	±5,00	±6,00	±8,00

*Tabelul 7.21*

Abateri limită la masa pieselor turnate din oțel

Masa nominală a piesei turnate, kg	Clasa de precizie				
	I	II	III	IV	V
	Abateri limită maxime la masă, %				
≤ 1	5,5	6,0	7,0	8,0	10,0
2—10	4,5	5,0	6,0	8,0	9,0
11—50	4,0	5,0	6,0	7,0	9,0
51—100	4,0	4,5	5,0	7,0	9,0
101—500		4,0	5,0	6,0	8,0
501—1000			4,0	6,0	7,0
≥ 1001			4,0	5,0	6,0

*Tabelul 7.22*

Adaosuri de prelucrare pentru piese turnate din oțel cuprinse în clasa I de precizie (STAS 1592-66)

Gabaritul maxim al piesei turnate, mm	Poziția suprafeței piesei turnate în formă	Dimensiunea nominală, mm							
		≤ 30	31—60	61—100	101—200	201—300	301—500	501—800	801—1200
		Adaosuri de prelucrare, mm							
0	1	2	3	4	5	6	7	8	9
≤ 100	Sus	1,0	1,2	1,4					
	Jos, lateral	0,8	0,9	1,0					
101—200	Sus	1,2	1,4	1,6	1,8				
	Jos, lateral	0,9	1,0	1,2	1,4				
201—300	Sus	1,4	1,6	1,8	2,0	2,2			
	Jos, lateral	1,0	1,2	1,4	1,6	1,8			
301—500	Sus	1,6	1,8	2,0	2,2	2,6	3,0		
	Jos, lateral	1,2	1,4	1,6	1,8	2,0	2,2		
501—800	Sus	1,8	2,0	2,2	2,6	3,0	3,5	4,0	
	Jos, lateral	1,4	1,6	1,8	2,0	2,2	2,6	3,0	
801—1200	Sus	2,0	2,2	2,5	3,0	3,5	4,0	4,5	5,0
	Jos, lateral	1,6	1,8	2,0	2,2	2,5	3,0	3,5	4,0

Tabelul 7.23

Adaosuri de prelucrare pentru piese turnate din oțel cuprinse în clasa II de precizie (STAS 1592-66)

Gabaritul maxim al piesei turnate, mm	Poziția suprafeței piesei turnate în formă	Dimensiunea nominală, mm										
		≤ 30	31—60	61—100	101—200	201—300	301—500	501—800	801—1200	1201—1800	1801—2600	≥ 2601
		Adaosuri de prelucrare mm,										
0	1	2	3	4	5	6	7	8	9	10	11	12
≤ 100	Sus	2,5	2,5	3,0								
	Jos, lateral	2,0	2,0	2,5								
101—200	Sus	2,5	2,5	3,0	3,0							
	Jos, lateral	2,0	2,0	2,5	2,5							
201—300	Sus	2,5	2,5	3,0	3,0	3,5						
	Jos, lateral	2,0	2,0	2,5	2,5	3,0						
301—500	Sus	2,5	3,0	3,5	3,5	4,0	4,0					
	Jos, lateral	2,0	2,5	3,0	3,0	3,5	3,5					
501—800	Sus	3,0	3,0	3,5	3,5	4,0	4,0	5,0				
	Jos, lateral	2,5	2,5	3,0	3,0	3,5	3,5	4,0				
801—1200	Sus	3,0	3,0	3,5	4,0	5,0	5,0	5,5	5,5			
	Jos, lateral	2,5	2,5	3,0	3,5	4,0	4,0	4,5	4,5			
1201—1800	Sus	3,0	3,5	3,5	4,0	5,0	5,0	5,5	5,5	6,0		
	Jos, lateral	2,5	3,0	3,0	3,5	4,0	4,0	4,5	4,5	5,0		
1801—2600	Sus	3,0	3,5	4,0	4,0	5,0	5,0	5,5	5,5	6,0	7,0	
	Jos, lateral	2,5	3,0	3,5	3,5	4,0	4,0	4,5	4,5	5,0	6,0	
≥ 2601	Sus	3,5	3,5	4,0	5,0	5,5	5,5	6,0	6,0	7,0	7,0	8,5
	Jos, lateral	3,0	3,0	3,5	4,0	4,5	4,5	5,0	5,0	6,0	6,0	7,0

Tabelul 7.24

Adaosuri de prelucrare pentru piese turnate din oțel cuprinse în clasa III de precizie (STAS 1592-66)

Gabaritul maxim al piesei turnate, mm	Poziția suprafeței piesei turnate, în formă	Dimensiunea nominală, mm											
		≤100	101—200	201—300	301—500	501—800	801—1200	1201—1800	1801—2600	2601—3800	3801—5400	≥5401	
		Adaosuri de prelucrare, mm											
0	1	2	3	4	5	6	7	8	9	10	11	12	
≤ 100	Sus	4,0											
	Jos, lateral	3,5											
101—200	Sus	4,5	5,5										
	Jos, lateral	3,5	4,0										
201—300	Sus	4,5	5,5	5,5									
	Jos, lateral	3,5	4,0	4,0									
301—500	Sus	5,0	5,5	5,5	6,5								
	Jos, lateral	4,0	4,0	4,0	4,5								
501—800	Sus	5,0	6,0	6,0	7,0	7,0							
	Jos, lateral	4,0	4,5	4,5	5,0	5,0							
801—1200	Sus	7,0	7,0	7,0	8,0	8,0	9,0						
	Jos, lateral	5,0	5,0	5,5	5,5	6,0	6,0						
1201—1800	Sus	8,0	8,0	8,0	9,0	9,0	10,0	10,0					
	Jos, lateral	5,0	5,0	6,0	6,0	7,0	7,0	7,0					
1801—2600	Sus	9,0	9,0	9,0	10,0	10,0	11,0	11,0	12,0				
	Jos, lateral	6,0	6,0	7,0	7,0	8,0	8,0	8,0	8,0				
2601—3800	Sus	10,0	10,0	10,0	11,0	11,0	12,0	12,0	13,0	13,0			
	Jos, lateral	7,0	7,0	8,0	8,0	8,0	9,0	9,0	9,0	9,0			
3801—5400	Sus	11,0	11,0	11,0	12,0	12,0	13,0	13,0	14,0	14,0	16,0		
	Jos, lateral	8,0	8,0	8,0	8,0	8,0	9,0	9,0	10,0	10,0	12,0		
≥ 5401	Sus	12,0	12,0	12,0	13,0	13,0	14,0	14,0	15,0	16,0	18,0	19,0	
	Jos, lateral	9,0	9,0	9,0	9,0	10,0	10,0	10,0	11,0	11,0	13,0	14,0	

Tabelul 7.25

Adaosuri de prelucrare pentru piese turnate din oțel cuprinse în cl. IV de precizie (STAS 1592-66)

Gabaritul maxim al piesei turnate mm	Poziția suprafeței piesei turnate în formă	Dimensiunea nominală, mm											
		≤100	101—200	201—300	301—500	501—800	801—1200	1201—1800	1801—2600	2601—3800	3801—5400	≥5401	
		Adaosuri de prelucrare, mm											
0	1	2	3	4	5	6	7	8	9	10	11	12	
≤100	Sus	5,0											
	Jos, lateral	4,0											
101—200	Sus	5,0	5,5										
	Jos, lateral	4,0	4,0										
201—300	Sus	5,0	5,5	6,0									
	Jos, lateral	4,0	4,5	5,0									
301—500	Sus	6,0	6,0	7,0	7,0								
	Jos, lateral	4,5	5,0	6,0	6,0								
501—800	Sus	7,0	7,0	8,0	9,0	10,0							
	Jos, lateral	5,0	5,5	6,0	6,5	7,0							
801—1200	Sus	8,0	8,5	9,0	9,5	10,0	11,0						
	Jos, lateral	6,0	6,0	6,5	7,0	7,5	8,0						
1201—1800	Sus	9,0	9,0	9,0	10,0	11,0	12,0	13,0					
	Jos, lateral	6,5	7,0	7,0	8,0	8,0	9,0	9,0					
1801—2600	Sus	9,0	10,0	10,0	11,0	12,0	13,0	13,0	14,0				
	Jos, lateral	7,0	7,0	8,0	8,0	9,0	9,0	10,0	10,0				
2601—3800	Sus	10,0	10,0	11,0	12,0	13,0	13,0	14,0	15,0	15,0			
	Jos, lateral	7,0	8,0	8,0	9,0	9,0	10,0	10,0	11,0	12,0			
3801—5400	Sus	11,0	11,0	12,0	13,0	13,0	14,0	14,0	15,0	15,0	16,0		
	Jos, lateral	8,0	9,0	9,0	10,0	10,0	11,0	11,0	12,0	12,0	13,0		
≥ 5401	Sus	12,0	12,0	13,0	13,0	14,0	14,0	15,0	15,0	16,0	16,0	20,0	
	Jos, lateral	9,0	10,0	10,0	10,0	11,0	11,0	12,0	12,0	13,0	15,0	18,0	

Tabelul 7.26  
Adaosuri de prelucrare pentru piese turnate din oțel cuprinse în clasa V de precizie (STAS 1592-66)

Gabaritul maxim al piesei turnate mm	Poziția suprafeței piesei turnate în formă	Dimensiunea nominală, mm											
		≤100	101—200	201—300	301—500	501—800	801—1200	1201—1800	1801—2600	2601—3800	3801—5400	5401—6300	≥6301
		Adaosuri de prelucrare, mm											
0	1	2	3	4	5	6	7	8	9	10	11	12	13
≤100	Sus	5,0											
	Jos, lateral	4,0											
101—200	Sus	5,0	6,0										
	Jos, lateral	4,0	5,0										
201—300	Sus	5,0	6,0	7,0									
	Jos, lateral	4,0	5,0	6,0	9,0								
301—500	Sus	6,0	7,0	8,0	6,0								
	Jos, lateral	5,0	6,0	7,0	10,0	11,0							
501—800	Sus	7,0	8,0	9,0	6,0								
	Jos, lateral	6,0	7,0	8,0	10,0	7,0							
801—1200	Sus	8,0	9,0	10,0	7,0								
	Jos, lateral	7,0	8,0	9,0	11,0	7,0							
1201—1800	Sus	9,0	10,0	11,0	8,0								
	Jos, lateral	8,0	9,0	10,0	12,0	8,0							
1801—2600	Sus	10,0	11,0	12,0	9,0								
	Jos, lateral	9,0	10,0	11,0	13,0	9,0							
2601—3800	Sus	11,0	12,0	13,0	10,0								
	Jos, lateral	10,0	11,0	12,0	14,0	10,0							
3801—5400	Sus	12,0	13,0	14,0	11,0								
	Jos, lateral	11,0	12,0	13,0	15,0	11,0							
≥5401	Sus	13,0	14,0	15,0	12,0								
	Jos, lateral	12,0	13,0	14,0	16,0	12,0							



Tabelul 7.26 (continuare)

0	1	2	3	4	5	6	7	8	9	10	11	12	13
801—1200	Sus	8,0	9,0	10,0	11,0	12,0	13,0						
	Jos, lateral	6,0	7,0	7,0	8,0	8,0	9,0						
1201—1800	Sus	10,0	11,0	12,0	13,0	14,0	15,0	16,0					
	Jos, lateral	7,0	8,0	8,0	9,0	10,0	11,0	11,0					
1801—2600	Sus	10,0	11,0	12,0	13,0	14,0	15,0	16,0	17,0				
	Jos, lateral	8,0	9,0	9,0	10,0	11,0	12,0	12,0	12,0				
2601—3800	Sus	12,0	12,0	13,0	14,0	15,0	16,0	17,0	18,0	18,0			
	Jos, lateral	9,0	10,0	10,0	11,0	12,0	13,0	13,0	14,0	15,0			
3801—5400	Sus	13,0	13,0	14,0	15,0	16,0	17,0	18,0	20,0	20,0	22,0		
	Jos, lateral	10,0	11,0	11,0	12,0	13,0	14,0	14,0	15,0	16,0	18,0		
5401—6300	Sus	15,0	15,0	15,0	16,0	17,0	18,0	20,0	22,0	24,0	26,0	28,0	
	Jos, lateral	12,0	13,0	13,0	14,0	15,0	16,0	16,0	17,0	18,0	19,0	22,0	
> 6301	Sus	18,0	18,0	18,0	19,0	20,0	22,0	24,0	26,0	28,0	30,0	32,0	36,0
	Jos, lateral	14,0	15,0	15,0	16,0	17,0	18,0	19,0	20,0	21,0	22,0	26,0	30,0

Tabelul 7.27

Abaterile limită la dimensiunile pieselor turnate din metale și aliaje neferoase ușoare și grele, mm (STAS 6287-67)

Gabaritul maxim al piesei turnate, mm	Clasa I de precizie					Clasa II de precizie					Clasa III de precizie																																																																																																																																																																																																																																																																																																																																																																																																																																																																																																																																																																																																																																																																																																																																																																																																																																																																																																																																																																																																																																																																																																																																																																																																																			
	Metale și aliaje					Metale și aliaje					Metale și aliaje																																																																																																																																																																																																																																																																																																																																																																																																																																																																																																																																																																																																																																																																																																																																																																																																																																																																																																																																																																																																																																																																																																																																																																																																																			
	Ușoare			Grele		Ușoare			Grele		Ușoare			Grele																																																																																																																																																																																																																																																																																																																																																																																																																																																																																																																																																																																																																																																																																																																																																																																																																																																																																																																																																																																																																																																																																																																																																																																																																
	A	B	—	+	—	A	B	—	+	—	A	B	—	+	—	A	B	—	+	—																																																																																																																																																																																																																																																																																																																																																																																																																																																																																																																																																																																																																																																																																																																																																																																																																																																																																																																																																																																																																																																																																																																																																																																																										
1	2	3	4	5	6	7	8	9	10	11	12	13																																																																																																																																																																																																																																																																																																																																																																																																																																																																																																																																																																																																																																																																																																																																																																																																																																																																																																																																																																																																																																																																																																																																																																																																																		
≤ 10	0,10	0,20	0,15	0,25	0,25	0,30	0,40	0,50	0,40	0,60	—	—	—	—	—	0,60	0,40	0,60	0,60	1,00	—	—	—	—	—	—	—	—	—	—	—	—	—	—	—	—	—	—	—	—	—	—	—	—	—	—	—	—	—	—	—	—	—	—	—	—	—	—	—	—	—	—	—	—	—	—	—	—	—	—	—	—	—	—	—	—	—	—	—	—	—	—	—	—	—	—	—	—	—	—	—	—	—	—	—	—	—	—	—	—	—	—	—	—	—	—	—	—	—	—	—	—	—	—	—	—	—	—	—	—	—	—	—	—	—	—	—	—	—	—	—	—	—	—	—	—	—	—	—	—	—	—	—	—	—	—	—	—	—	—	—	—	—	—	—	—	—	—	—	—	—	—	—	—	—	—	—	—	—	—	—	—	—	—	—	—	—	—	—	—	—	—	—	—	—	—	—	—	—	—	—	—	—	—	—	—	—	—	—	—	—	—	—	—	—	—	—	—	—	—	—	—	—	—	—	—	—	—	—	—	—	—	—	—	—	—	—	—	—	—	—	—	—	—	—	—	—	—	—	—	—	—	—	—	—	—	—	—	—	—	—	—	—	—	—	—	—	—	—	—	—	—	—	—	—	—	—	—	—	—	—	—	—	—	—	—	—	—	—	—	—	—	—	—	—	—	—	—	—	—	—	—	—	—	—	—	—	—	—	—	—	—	—	—	—	—	—	—	—	—	—	—	—	—	—	—	—	—	—	—	—	—	—	—	—	—	—	—	—	—	—	—	—	—	—	—	—	—	—	—	—	—	—	—	—	—	—	—	—	—	—	—	—	—	—	—	—	—	—	—	—	—	—	—	—	—	—	—	—	—	—	—	—	—	—	—	—	—	—	—	—	—	—	—	—	—	—	—	—	—	—	—	—	—	—	—	—	—	—	—	—	—	—	—	—	—	—	—	—	—	—	—	—	—	—	—	—	—	—	—	—	—	—	—	—	—	—	—	—	—	—	—	—	—	—	—	—	—	—	—	—	—	—	—	—	—	—	—	—	—	—	—	—	—	—	—	—	—	—	—	—	—	—	—	—	—	—	—	—	—	—	—	—	—	—	—	—	—	—	—	—	—	—	—	—	—	—	—	—	—	—	—	—	—	—	—	—	—	—	—	—	—	—	—	—	—	—	—	—	—	—	—	—	—	—	—	—	—	—	—	—	—	—	—	—	—	—	—	—	—	—	—	—	—	—	—	—	—	—	—	—	—	—	—	—	—	—	—	—	—	—	—	—	—	—	—	—	—	—	—	—	—	—	—	—	—	—	—	—	—	—	—	—	—	—	—	—	—	—	—	—	—	—	—	—	—	—	—	—	—	—	—	—	—	—	—	—	—	—	—	—	—	—	—	—	—	—	—	—	—	—	—	—	—	—	—	—	—	—	—	—	—	—	—	—	—	—	—	—	—	—	—	—	—	—	—	—	—	—	—	—	—	—	—	—	—	—	—	—	—	—	—	—	—	—	—	—	—	—	—	—	—	—	—	—	—	—	—	—	—	—	—	—	—	—	—	—	—	—	—	—	—	—	—	—	—	—	—	—	—	—	—	—	—	—	—	—	—	—	—	—	—	—	—	—	—	—	—	—	—	—	—	—	—	—	—	—	—	—	—	—	—	—	—	—	—	—	—	—	—	—	—	—	—	—	—	—	—	—	—	—	—	—	—	—	—	—	—	—	—	—	—	—	—	—	—	—	—	—	—	—	—	—	—	—	—	—	—	—	—	—	—	—	—	—	—	—	—	—	—	—	—	—	—	—	—	—	—	—	—	—	—	—	—	—	—	—	—	—	—	—	—	—	—	—	—	—	—	—	—	—	—	—	—	—	—	—	—	—	—	—	—	—	—	—	—	—	—	—	—	—	—	—	—	—	—	—	—	—	—	—	—	—	—	—	—	—	—	—	—	—	—	—	—	—	—	—	—	—	—	—	—	—	—	—	—	—	—	—	—	—	—	—	—	—	—	—	—	—	—	—	—	—	—	—	—	—	—	—	—	—	—	—	—	—	—	—	—	—	—	—	—	—	—	—	—	—	—	—	—	—	—	—	—	—	—	—	—	—	—	—	—	—	—	—	—	—	—	—	—	—	—	—	—	—	—	—	—	—	—	—	—	—	—	—	—	—	—	—	—	—	—	—	—	—	—	—	—	—	—	—	—	—	—	—	—	—	—	—	—	—	—	—	—	—	—	—	—	—	—	—	—	—	—	—	—	—	—	—	—	—	—	—	—	—	—	—	—	—	—	—	—	—	—	—	—	—	—	—	—	—	—	—	—	—	—	—	—	—	—	—	—	—	—	—	—	—	—	—	—	—	—	—	—	—	—	—	—	—	—	—	—	—	—	—	—	—	—	—	—	—	—	—	—	—	—	—	—	—	—	—	—	—	—	—	—	—	—	—	—	—	—	—	—	—	—	—	—	—	—	—	—	—	—	—	—	—	—	—	—	—	—	—	—	—	—	—	—	—	—	—	—	—	—	—	—	—	—	—	—	—	—	—	—	—	—	—	—	—	—	—	—	—	—	—	—	—	—	—	—	—	—	—	—	—	—	—	—	—	—	—	—	—	—	—	—	—	—	—	—	—	—	—	—	—	—	—	—	—	—	—	—	—	—	—	—	—	—	—	—	—	—	—	—	—	—	—	—	—	—	—	

Abaterile limită la dimensiuni peste 1 600 mm se vor stabili de comun acord între producător și beneficiar

Tabelul 7.28

Abateri limită la masa pieselor turnate din metale și aliaje neferoase ușoare și grele

Neferoase ușoare				Neferoase grele			
Masa nominală a piesei turnate kg	Clasa de precizie			Masa nominală a piesei turnate, kg	Clasa de precizie		
	I	II	III		I	II	III
	Abateri limită la masă, %				Abateri limită la masă, %		
≤ 1	2	4	8	≤ 1	4	6	9
2-10	1,5	3	6	2-5	3	5	8
11-50	1	2	4	6-10	3	4	7
51-100	—	1,5	3	11-25	2	3	6
101-500	—	1	2,5	26-50	2	3	5
≥ 501	—	—	2	≥ 51	1	2	4

Tabelul 7.29  
Adaosuri de prelucrare pentru piese turnate din metale și aliaje neferoase ușoare, în mm  
(STAS 6287-67)

Gabaritul maxim al piesei, mm	Poziția suprafeței de prelucrat în formă	Clasa I de precizie		Clasa II de precizie		Clasa III de precizie	
		Categoria		Categoria		Categoria	
		A	B	A	B	A	B
		Abateri limită la masă, %		Abateri limită la masă, %		Abateri limită la masă, %	
$\leq 10$	Sus	0,4	0,6	0,8	1,2	—	—
	Jos, lateral	0,4	0,6	0,6	1,0	—	—
11-25	Sus	0,5	0,7	0,9	1,4	—	—
	Jos, lateral	0,5	0,7	0,7	1,2	—	—
26-50	Sus	0,6	0,8	1,0	1,6	1,8	2,2
	Jos, lateral	0,6	0,8	0,8	1,4	1,2	1,6
51-80	Sus	0,7	1,1	1,2	1,8	2,2	2,5
	Jos, lateral	0,7	1,1	1,0	1,6	1,7	2,0
81-125	Sus	0,8	1,4	1,6	2,2	2,6	3,0
	Jos, lateral	0,8	1,4	1,4	1,8	2,2	2,5
126-180	Sus	0,9	1,7	2,0	2,6	3,0	3,5
	Jos, lateral	0,9	1,7	1,8	2,0	2,5	3,0

Tabelul 7.29 (continuare)

Gabaritul maxim al piesei, mm	Poziția suprafeței de prelucrat în formă	Clasa I de precizie		Clasa II de precizie		Clasa III de precizie	
		Categorie		Categorie		Categorie	
		A	B	A	B	A	B
181—250	Sus	1,0	2,0	2,5	3,0	3,5	4,0
	Jos, lateral	1,0	2,0	2,2	2,5	3,0	3,5
251—315	Sus			3,0	3,5	4,0	4,5
	Jos, lateral			2,5	3,0	3,5	4,0
316—400	Sus			3,5	4,0	4,5	5,0
	Jos, lateral			3,0	3,5	4,0	4,5
401—500	Sus			3,5	4,0	5,0	6,0
	Jos, lateral			3,0	3,5	4,0	4,5
501—630	Sus	1,5	3,0	4,0	4,5	5,5	6,5
	Jos, lateral	1,5	3,0	3,5	4,0	4,5	5,5
631—800	Sus			4,5	5,0	6,0	7,0
	Jos, lateral			4,0	4,5	5,0	6,0
801—1000	Sus			4,5	5,0	7,0	8,0
	Jos, lateral			4,0	4,5	5,5	7,0
1001—1250	Sus	—	—	5,5	6,5	8,0	9,0
	Jos, lateral	—	—	5,0	5,5	6,5	8,0
1251—1600	Sus	—	—	6,0	7,0	9,0	10,5
	Jos, lateral	—	—	5,5	6,5	7,5	9,5

Tabelul 7.30  
Adaosuri de prelucrare pentru piese turnate din metale și aliaje neferoase grele, în mm (STAS 6287-67)

Gabaritul maxim al piesei, mm	Poziția suprafeței de prelucrat, în formă	Clasa I de precizie		Clasa II de precizie		Clasa III de precizie	
		Categorie		Categorie		Categorie	
		A	B	A	B	A	B
≤ 10	Sus	0,4	0,6	1,1	1,2	—	—
	Jos, lateral	0,4	0,6	1,1	1,2	—	—
11—25	Sus	0,5	0,7	1,2	1,5	2,0	3,0
	Jos, lateral	0,5	0,7	1,2	1,5	1,5	2,0
26—51	Sus	0,6	0,8	1,4	1,6	2,5	3,5
	Jos, lateral	0,6	0,8	1,4	1,6	1,8	2,5
51—80	Sus	0,7	1,1	1,6	1,8	3,0	4,0
	Jos, lateral	0,7	1,1	1,6	1,8	2,2	3,0
81—125	Sus	0,8	1,4	1,8	2,0	3,5	4,5
	Jos, lateral	0,8	1,4	1,8	2,0	2,6	3,5
126—180	Sus	0,9	1,7	2,0	2,5	3,5	5,0
	Jos, lateral	0,9	1,7	2,0	2,5	3,0	4,0
181—250	Sus	1,0	2,0	2,2	3,0	3,8	5,5
	Jos, lateral	1,0	2,0	2,2	3,0	3,2	4,5

Tabelul 7.30 (continuare)

Gabaritul maxim al piesei, mm	Poziția suprafeței de prelucrat în formă	Clasa I de precizie		Clasa II de precizie		Clasa III de precizie	
		Categorie		Categorie		Categorie	
		A	B	A	B	A	B
251—315	Sus			2,5	3,5	4,0	6,0
	Jos, lateral			2,5	3,5	3,5	5,0
316—400	Sus			3,0	4,0	4,5	6,5
	Jos, lateral			3,0	4,0	4,0	5,5
401—500	Sus			3,5	4,0	4,5	7,0
	Jos, lateral			3,5	4,0	4,0	5,5
501—630	Sus			4,0	4,5	5,0	7,5
	Jos, lateral	1,5	3,0	4,0	4,5	4,5	6,0
631—800	Sus			4,5	5,0	6,0	8,0
	Jos, lateral			4,5	5,0	5,0	6,5
801—1000	Sus			5,0	5,5	6,5	9,0
	Jos, lateral			5,0	5,5	5,5	7,0
1001—1250	Sus			5,5	6,0	8,0	10,0
	Jos, lateral			5,5	6,0	7,0	8,0
1251—1600	Sus			6,0	7,0	9,0	10,0
	Jos, lateral			6,0	7,0	8,0	9,0

Tabelul 7.31

Abaterile limită la dimensiuni și adaosuri de prelucrare la piesele din fontă, turnate în cochile

Dimensiunea măsurată a piesei mm	Abateri limită la dimensiuni mm		Adaosuri de prelucrare, mm		
	Suprafețe de lucru prelucrate $\pm$	Suprafețe brute de lucru $\pm$	Interioare sau exterioare laterale	Interioare laterale	Superioare
$\leq 25$	0,3	0,5	0,7	0,8	1,0
26—40	0,4	0,6	1,0	1,2	1,5
41—60	0,5	0,8	1,2	1,4	1,7
61—100	0,5	1,0	1,4	1,6	2,0
101—160	0,6	1,0	1,6	1,8	2,2
161—250	0,8	1,2	2,0	2,2	2,5
251—400	1,0	1,2	2,2	2,4	2,7
401—600	1,2	1,4	2,6	2,8	3,0
601—1000	1,2	1,5	3,0	3,2	3,5
1001—1600	1,2	1,5	3,2	3,4	4,0

Tabelul 7.32

Abateri admisibile la dimensiuni netolerate, la piesele turnate sub presiune din aliaje cu bază de zinc, de aluminiu și de magneziu

Felul dimensiunii	Abaterile admisibile de la dimensiuni, mm					
	$<10$	11—30	31—80	81—180	181—315	316—500
Dimensiuni exterioare	+0,2	+0,4	+0,6	+0,8	+1,0	+1,5
Dimensiuni interioare	-0,2	-0,4	-0,6	-0,8	-1,0	-1,5
Raze de racordare interioare	-0,3	-0,6	-1,0	-1,2	-1,5	-2,0
Raze de racordare exterioare	+0,3	+0,6	+1,0	+1,2	+1,5	+2,0
Distanțe între găuri și îngroșări	$\pm 0,1$	$\pm 0,2$	$\pm 0,3$	$\pm 0,4$	$\pm 0,6$	$\pm 0,8$

Tabelul 7.33  
Dimensiunile orificiilor pieselor turnate sub presiune

Felul aliajului	Diametrul minim al orificiului, mm		Adâncimea maximă a orificiului, l		Filete exterioare		Filete interioare	
	Folosit practic	Posibil de obținut	Orificii oarbe	Orificii de trecere	Diametrul minim mm	Pasul minim mm	Diametrul minim mm	Pasul minim mm
Aliaje cu bază de plumb	1	0,75	4d	cînd $d > 1,5$ ; $l < 10d$	5	0,8	10	1
Aliaje cu bază de staniu	1	0,50		cînd $d < 1,5$ ; $l < 7d$	8	1	10	1
Aliaje cu bază de zinc	1,5	1,0	cînd $d > 5$ ; $l < 4d$ cînd $d < 5$ ; $l < 3d$	cînd $d > 5$ ; $l < 8d$ cînd $d < 5$ ; $l < 6d$	10	1,25	25	2
Aliaje cu bază de aluminiu	2,5	1,5		cînd $d > 5$ ; $l < 7d$ cînd $d < 5$ ; $l < 5d$	10	1,25	25	2
Aliaje cu bază de magneziu	2	1,5	cînd $d > 5$ ; $l < 3d$ cînd $d < 5$ ; $l < 2d$	cînd $d > 5$ ; $l < 6d$ cînd $d < 5$ ; $l < 4d$	12	1,5	—	—
Aliaje cu bază de cupru	5	2,5						

#### 7.2.4. PRECIZIA PIESELOR TURNATE ÎN FORME METALICE (COCHILE)

Pentru metalele neferoase turnate în forme metalice precizia dimensională și adaosurile de prelucrare au fost indicate în tabelele 7.27 pînă la 7.30 și corespunde clasei II de precizie.

În cazul turnării pieselor din fontă, abaterile admisibile și adaosurile de prelucrare au valori mai mari.

Cu toate acestea, datorită bunei fluidități a fontei lichide, în forma metalică (corespunzător încălzită și vopsită) se pot turna piese cu grosime de perete comparabilă cu aceea de la turnarea în forme din amestec de formare. În schimb, la turnarea pieselor din oțel, datorită proprietăților de turnare inferioare ale acestuia, grosimile minime ce se pot obține la turnarea în forme metalice nu pot coborî sub 10–12 mm.

Pentru practica industrială, la turnarea pieselor din fontă în forme metalice, abaterile limită la dimensiuni și adaosurile de prelucrare în funcție de dimensiunea măsurată a piesei și locul (suprafața) considerat, pot avea valorile indicate în tabelul 7.31.

Experiența a demonstrat că rezultate optime la turnarea pieselor din fontă și mai ales din oțel în forme metalice se obțin cînd configurația piesei este simplă și pe cît posibil plasată într-o singură semiformă, în asociație cu miezuri din amestec de formare.

#### 7.2.5. PRECIZIA PIESELOR TURNATE SUB PRESIUNE

În tabelele de la 7.27 la 7.30 s-au dat abaterile limită la dimensiuni și adaosurile de prelucrare ale pieselor turnate din aliaje neferoase ușoare și grele pentru turnarea sub presiune (clasa I de precizie).

Față de datele deja prezentate ar trebui să mai adăugăm abaterile admisibile de la dimensiuni netolerate la piesele turnate sub presiunea din aliaje cu bază de zinc, aluminu și magneziu care în genere sînt ceva mai largi, așa cum rezultă din tabelul 7.32. Față de datele din acest tabel, la suprafețele ce urmează a fi prelucrate mecanic se adaugă adaosuri de 0,3 pînă la 0,5 mm.

De asemenea este important să se cunoască dimensiunile minime ale orificiilor ce pot fi obținute la turnarea sub presiune. În tabelul 7.33 se dau valorile acestor dimensiuni, împreună cu cotele principale ale filetelor exterioare și interioare ale diferitelor aliaje turnate sub presiune.

#### BIBLIOGRAFIE

1. CERNOV, I.I. și KIZILOV, A.I. *Spravochnik politeinoi osnastke*. Moscova, Mašinostroenie, 1961.
2. *Porađnik inžinera mehanika*. (Wydawnictwa naukowo-Techniczne), Warszawa, W.T.N., 1969.
3. *Porađnik odlewnictwa*. Warszawa, W.T.N., 1959.
4. SKARBINSKI, M. *Construcția pieselor turnate*. București, Editura tehnică, 1965.
5. Colectiv sub îngrijirea lui Rubțov. *Spravochnik vitejsica*. Moscova, Mașghiz, 1962.
6. *Spravochnik mašinostroitelia*, tom 5. Moscova, Mașghiz, 1956.
7. ȘTEFĂNESCU, CL. *Îndreptar pentru turnători*. București, Editura tehnică, 1960.



## 8. PRELUCRAREA MATERIALELOR METALICE PRIN DEFORMARE PLASTICĂ

### 8.1. DEFINIȚII ȘI CLASIFICARE

Prelucrarea prin deformare plastică este metoda de prelucrare la care, în scopul obținerii unor semifabricate sau piese finite, se realizează deformarea permanentă a materialelor în stare solidă (la cald sau la rece) fără fisurare macroscopică, în anumite condiții de solicitare, depășind limita de curgere a materialului.

Clasificarea principalelor procedee de deformare plastică pentru confecționarea pieselor utilizate în industria construcțiilor de mașini se prezintă în tabelul 8.1.

Alte criterii de clasificare sînt:

a. După temperatura la care are loc procesul:

- la rece  $\theta < 0,3 \theta_t$
- incomplet la rece  $\theta < 0,3 \dots 0,5 \theta_t$
- incomplet la cald  $\theta = 0,5 \dots 0,7 \theta_t$
- la cald  $\theta = 0,85 \dots 0,90 \theta_t$

b. După viteza sculelor de lucru:

- viteză mică  $v < 7 \text{ m/s}$
- viteză mare  $v > 7 \text{ m/s}$

### 8.2. CONSIDERAȚII ASUPRA DEFORMĂRII PLASTICE A MATERIALELOR METALICE

#### 8.2.1. MECANISMUL DEFORMĂRII PLASTICE

Cînd materialul (fig. 8.1, a) este deformat elastic ( $\epsilon_e < 0,02\% \epsilon$ ) se produce o deplasare mică în planul de lunecare (fig. 8.1, b), care este anulată o dată cu încetarea solicitării. Deformarea plastică ( $\epsilon_p > 0,02\% \epsilon$ ) se produce prin lunecarea unei părți din cristal în raport cu alta cu cîte o distanță interatomică (fig. 8.1, c). La încetarea solicitării, deformarea elastică este eliminată, dar deplasarea corespunzătoare deformării plastice se păstrează (fig. 8.1, d).

În afara mecanismului lunecării, în timpul deformării plastice se produce și fenomenul maclării. Prin maclare o parte din cristal se reorientează în raport cu restul

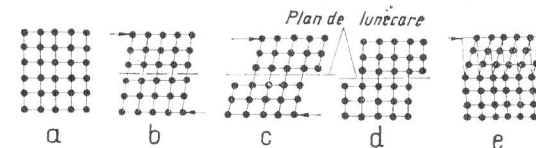


Fig. 8.1. Reprezentarea schematică a deformării elastice și plastice:

a — rețea inițială; b — deformare elastică prin forfecare; c — deformare elastică mărită și deformare plastică; d — deformare permanentă după înlăturarea sarcinii; e — formarea unei macle

de-a lungul unui anumit plan numit plan de maclare. Rețeaua prezintă simetria corespunzătoare unei imagini în oglindă (fig. 8.1, e). Maclarea apare mai ales în cazul vitezelor mari de deformare.

8.2.1.1. DEFORMAREA PLASTICĂ A MONOCRISTALELOR. Se produce prin lunecare de-a lungul unor plane cu densitate maximă de atomi. Efortul unitar tangențial maxim teoretic necesar lunecării este mult mai mare decît cel determinat experimental:

$$\tau_{max t} = \frac{G}{2\pi} = (10^3 \dots 10^4) \tau_{max e} \text{ [daN/mm}^2\text{]}, \quad (8.1)$$

unde  $G$  este modulul de elasticitate transversal.

Diferența se datorește prezenței imperfecțiunilor în cristale. Acestea sînt punctiforme (locuri vacante, atomi de substituție, atomi interstițiali), liniare sau dislocații (constituite dintr-un șir de imperfecțiuni punctiforme); defecte repartizate pe o suprafață.

Fiecare imperfecțiune provoacă o deformare a rețelei cristaline în vecinătatea ei.

Cristalul supus la o solicitare de forfecare progresivă (fig. 8.2) este la început deformat elastic pînă cînd dintr-o regiune mică locală începe lunecarea unei părți din cristal în raport cu cealaltă parte. La început mărimea translației de lunecare este egală cu o distanță atomică și uniformă pe întreaga porțiune a suprafeței din planul de

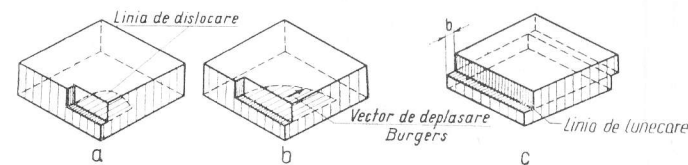
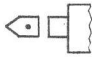
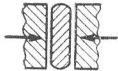
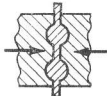
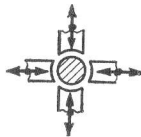
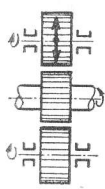
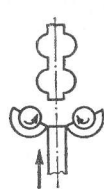
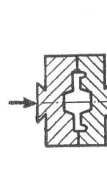
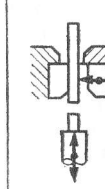
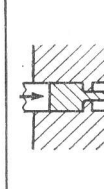
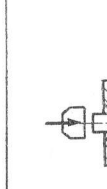


Fig. 8.2. Deformarea plastică a monocristalului

lunecare. Dislocarea se deplasează progresiv cu o anumită viteză în salturi, de cîte o distanță atomică ( $b = 2,5 \dots 3 \cdot 10^{-8} \text{ cm}$ ) spre limitele planului de lunecare. Pentru o deformare plastică importantă este necesar să se deplaseze un număr mare de dislocații.

Nr. crt.	Caracterul deformării	Denumirea procedeuului	Variante ale procedeuului	Schița pentru procedeu	S c u l a				Mașini de prelucrare
					Denumire	Construcție	Formă	Poziție	
1.	Liberă	Forjare liberă	Forjare liberă manuală		Ciocan Nicovală		Liberă	Liberă	Ciocane și prese universale
			Forjare liberă mecanică		Nicovale plate	Deschisă			
			Forjare cu nicovale profile		Nicovale profile		Determinată		
	Semi-determinată	Forjare de profile	Forjare radială		Ciocane profile		Liberă		Mașini de forjat radial

3.	Determinată	Matrițarea	Forjarea roților dințate		Cilindrii dințati	Determinată	Determinată	Mașini speciale de rulare
			Forjarea prin laminare		Matriță segment de cilindru Cilindri profilati			Laminoare speciale
			Matrițarea la mașini universale		Bloc de matriță			Ciocane și prese universale
			Matrițarea pe mașini orizontale de forjat		Bloc port-poanson Poanson de refulare			Mașini orizontale de forjat
			Matrițarea prin extrudare		Matriță			Prese universale adaptate
			Matrițarea cu viteze mari de deformare $v > 7 \text{ m/s}$		Bloc de matriță			Ciocane cu viteze mari de deformare

La început lunecarea a două părți vecine de cristal are loc într-un singur plan. Pe măsură ce deformarea avansează iau naștere noi plane de lunecare, corespunzătoare noilor dislocații apărute, formându-se adevărate benzi de lunecare din ce în ce mai late. Intersecția acestor benzi cu suprafața exterioară a epruvetei monocristaline devin vizibile sub forma unor linii de lunecare. Direcția planelor de lunecare într-un monocristal coincide cu direcția celui mai scurt vector care unește atomii rețelei cristaline respective. Vectorul se numește Burgers și are valoarea înclinării apropiată de  $45^\circ$ .

8.2.1.2. DEFORMAREA PLASTICĂ A POLICRISTALELOR. Se produce mai greu și rezistența la deformare este cu atât mai mare cu cât grăunții sînt mai mici.

La lunecarea în cristale o dislocație poate părăsi foarte greu cristallul la atingerea suprafeței lui din cauza cristalelor care-l înconjoară și care caută separat să producă o discontinuitate în masa policristalină (fig. 8.3).

Dislocațiile acumulate în același plan de lunecare (fig. 8.3), în vecinătatea limitei dintre grăunți, creează o stare de tensiune care provoacă lunecări într-un al doilea cristal. La capătul grupului de dislocații apare o tensiune  $\tau = n\tau_s$ , unde:  $n$  este numărul de grăunți;  $\tau_s$  — tensiunea tangențială

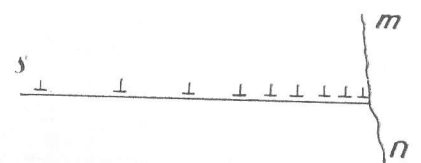


Fig. 8.3. Dislocații acumulate la limita dintre grăunți:

S — sursă de dislocații;  $m$  — limita dintre grăunți

mărul de dislocații concentrate la limita efectivă care acționează asupra sursei.

Deformarea nu se produce prin trecerea dislocațiilor de la un grăunte la altul ci prin excitarea surselor de dislocații din grăunții cu orientare mai puțin favorabilă sub influența tensiunii  $n\tau_s$ .

Deformarea grăunților, deplasarea și rotirea lor provoacă deformarea substanței intercrystaline. Aceasta are un caracter mai pronunțat de substanță cristalină (la temperaturi mici) cînd există pericolul apariției microfisurilor intercrystaline, sau de substanță amorfă (la temperaturi mari) cînd eliminarea dislocațiilor este mult ușurată și posibilitatea de deformare plastică se mărește.

**Ecruierea.** La un material metalic deformat plastic crește limita de elasticitate, limita de proporționalitate, rezistența mecanică la rupere și duritatea metalului și scade plasticitatea, rezistența la coroziune și conductibilitatea termică și electrică.

Această stare cu proprietăți modificate în urma deformării plastice se numește *ecruisare*. Ecruierea se datorește imperfecțiunilor din cristal. În timpul deformării plastice se elimină o parte din dislocații apărînd în același timp altele noi. Apariția noilor dislocații face mai dificilă lunecarea într-un plan determinat întrucît acestea se opresc întîlnind diferite obstacole (o parte din dislocații, impurități etc.). Tensiunile datorate dislocațiilor acumulate și oprite în zona de lunecare perturbă planele vecine pe o distanță destul de mare împiedicînd lunecarea. În final toată masa metalului are o rezistență sporită la deformare prezentînd fenomenul de ecruiere. Coeficientul de ecruiere este:

$$\zeta = \frac{d\theta}{d\gamma}, \quad (8.2)$$

unde  $\theta$  este temperatura la care are loc deformarea și  $\gamma$  lunecarea la forfecare.

## 8.2.2. PLASTICITATEA ȘI REZISTENȚA LA DEFORMARE A MATERIALELOR METALICE

Prin plasticitate se înțelege capacitatea metalelor și aliajelor de a-și schimba forma și dimensiunile inițiale datorită unor forțe exterioare, fără distrugerea integrității.

Factorii de care depinde plasticitatea sînt: natura materialului (compoziția chimică și structura metalului sau aliajului); condițiile de deformare (temperatura, viteza de deformare și caracterul stării de tensiune).

O plasticitate optimă se determină prin reglarea compoziției chimice (eliminarea sau limitarea elementelor care dăunează plasticității) și prin crearea unor condiții optime de deformare (alegerea corespunzătoare a vitezei, a temperaturii și a schemei stării de tensiune la deformare).

Plasticitatea metalelor se determină cu ajutorul următoarelor metode: metoda ruperii la întindere; metoda ruperii prin șoc (reziliența); metoda torsionării; metoda laminării penei; metoda refulării; metoda întinderii prin forjare.

Majoritatea metodelor apreciază plasticitatea prin înregistrarea momentului de apariție a primelor crăpături în piesa supusă încercării.

8.2.2.1. REZISTENȚA LA DEFORMARE PLASTICĂ. În cazul prelucrării metalelor prin presiune — reprezintă forța totală raportată la aria de contact necesară deformării plastice pentru anumite condiții de deformare.

Factorii de care depinde rezistența la deformare sînt: compoziția chimică a metalului; temperatura și gradul de deformare; viteza de deformare și schema stării de tensiune. Rezistența la deformare se determină de obicei cu metoda ruperii la întindere și metoda refulării.

## 8.3. MATERIALE METALICE PRELUCRABILE PRIN DEFORMARE PLASTICĂ

Se pot prelucra prin deformare plastică toate metalele și aliajele care posedă într-un anumit domeniu de temperatură o anumită plasticitate, adică se pot deforma plastic permanent sub acțiunea unor forțe exterioare.

Din totalitatea metalelor și aliajelor utilizate pentru prelucrarea prin deformare plastică, oțelurile reprezintă 80% iar restul îl constituie metalele și aliajele neferoase.

Condițiile pe care trebuie să le îndeplinească un material supus deformării plastice sînt:

- să corespundă din punct de vedere al compoziției chimice și al structurii metalografice prescrise;
- să nu prezinte defecte exterioare ca: fisuri, suprapuneri, exfolieri etc.
- să nu prezinte defecte interioare ca: incluziuni de zgură sau materiale nemetaleice, pori, sufluri, segregatii etc.

Materialele se livrează sub formă de: lingouri, blumuri, brame, țagle. Dimensiunile nominale și toleranțele admisibile, precum și condițiile de recepționare pentru blumuri, brame și țagle sînt date în STAS 436-64.

## 8.4. MAȘINI UNIVERSALE PENTRU DEFORMARE PLASTICĂ

Mașinile universale reprezintă totalitatea mașinilor care au rolul de a produce forța și lucrul mecanic necesar deformării materialului. Parametrii tehnici importanți ai mașinilor sînt:  $L$  — lucrul de deformare util (la o cursă, respectiv la o lovitură a organu-

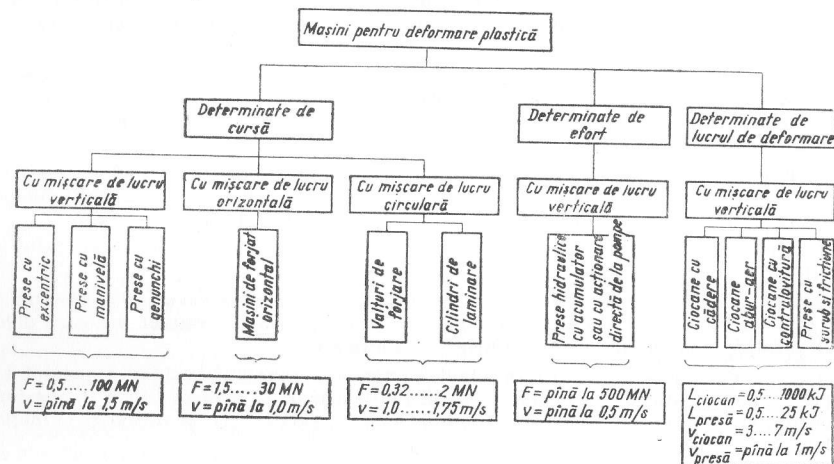


Fig. 8.4. Clasificarea generală a mașinilor întrebuintate în procesul de deformare plastică

lui de lucru),  $J$ ;  $F$  — forța nominală de deformare, daN;  $v$  — viteza organului de lucru, m/s;  $H$  — cursa organului de lucru, mm.

Clasificarea generală a mașinilor utilizate în procesul de deformare plastică se poate face după criteriile prezentate în fig. 8.4.

Mașinile care stau la baza prelucrării metalelor prin forjare și matrițare sînt redată în fig. 8.5.

## 8.5. FORJAREA DE PROFILARE A MATERIALELOR METALICE

### 8.5.1. FORJAREA RADIALĂ

**8.5.1.1. DEFINIȚIE ȘI CLASIFICARE.** Forjarea radială este operația de forjare cu reducerea succesivă a secțiunii la care forțele de deformare de mărimi identice acționează simultan după două, patru sau mai multe sensuri diametral opuse. Materialul primește o mișcare de avans (pe verticală sau orizontală) și o mișcare de rotație. În toate cazurile operația executată este întinderea, diametrul piesei reducându-se în trepte la o valoare minimă dorită.

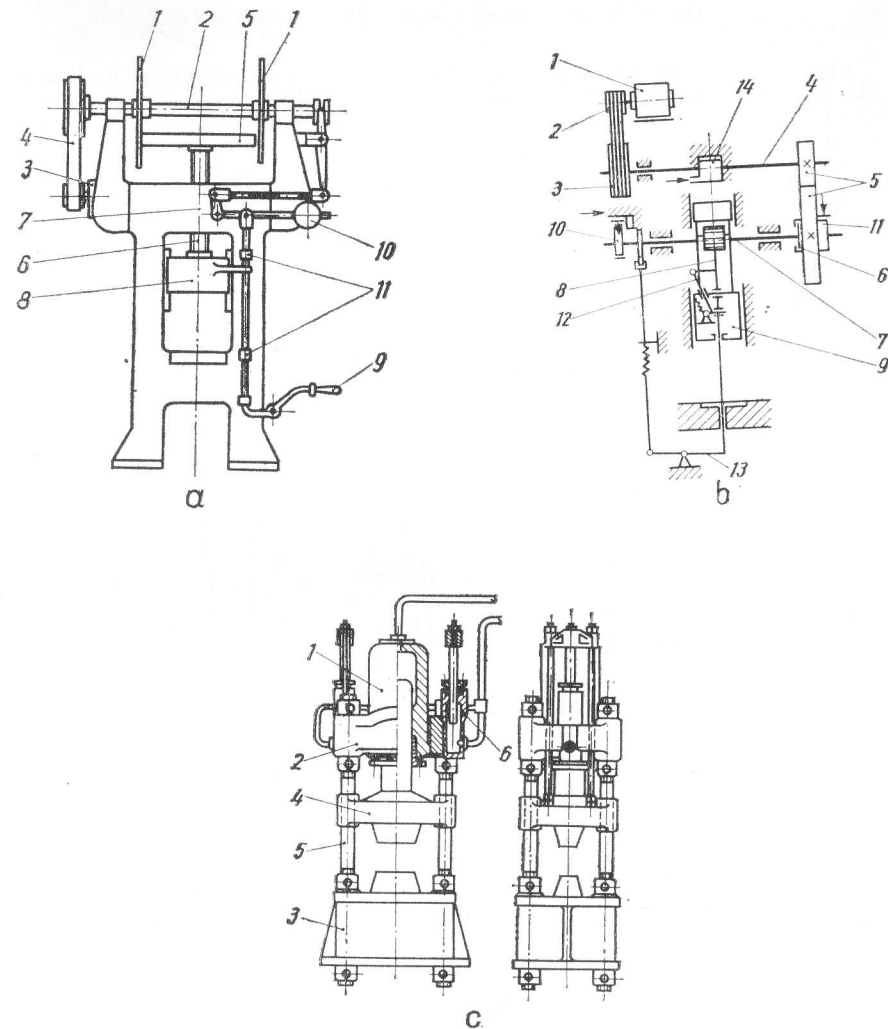


Fig. 8.5. Mașinile de bază pentru forjare și matrițare:

a — presă cu șurub și fricțiune: 1 — discuri de fricțiune; 2 — arbore orizontal; 3 — motor electric de acționare; 4 — curea de transmisie; 5 — volant; 6 — șurub; 7 — piuliță; 8 — berbec; 9 — manetă de comandă; 10 — contragreutate; 11 — limitatoare de cursă; b — schema cinematică a presei mecanice pentru matrițarea la cald (maxipresă): 1 — motor electric de acționare; 2, 3 — curele trapezoidale; 4 — arbore de distribuție; 5 — roți dințate; 6 — cuplaj; 7 — arbore principal; 8 — bielă; 9 — berbec; 10 — frână cu bandă; 11 — frână cu sabot; 12 — mecanism de evacuare în berbec; 13 — mecanism de evacuare în masa piesei; 14 — cilindru de echilibrare a greutății berbecului; c — presă hidrostatică: 1 — cilindru de lucru; 2 — traversă superioară; 3 — traversă inferioară; 4 — traversă mobilă; 5 — coloană de ghidare; 6 — cilindru de ridicare

Clasificarea procedeului se face după: natura avansului materialului (cu tragerea materialului, fig. 8.6, *a*, și cu împingerea materialului, fig. 8.6, *b*); după forma produselor obținute (pentru piese pline și pentru piese tubulare), după temperatura de lucru (la cald și la rece).

8.5.1.2. CONSIDERAȚII ASUPRA PROCEDEULUI. REPARTIZAREA EFORTULUI DE DEFORMARE (fig. 8.7). Întrucât diametrul porțiunii cilindrice a ciocanelor

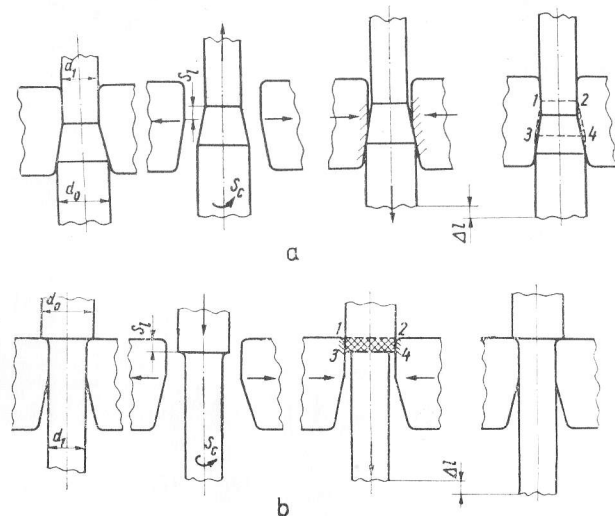


Fig. 8.6. Schema forajării radiale:

*a* — cu tragerea materialului; *b* — cu împingerea materialului

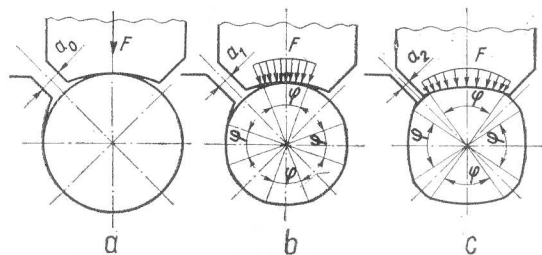


Fig. 8.7. Repartiția efortului de forjare asupra perimetrului semifabricatului în timpul unei lovituri.

este mai mare decât cel al semifabricatelor, în momentul loviturii contactul se face într-un singur punct (fig. 8.7, *a*) asupra căruia acționează forța de deformare  $F$  de la fiecare ciocan în parte. Pe măsura deformării semifabricatului, crește contactul între

ciocan și semifabricat la o suprafață definită de unghiul  $\varphi$  cu atât mai mare cu cât cursa ciocanului se apropie de sfârșit (fig. 8.7, *b* și *c*). În felul acesta forța concentrată  $F$  se transformă într-un efort uniform distribuit a cărui valoare pe unitatea de suprafață scade pe măsura măririi suprafeței de contact. La terminarea cursei de lucru valoarea

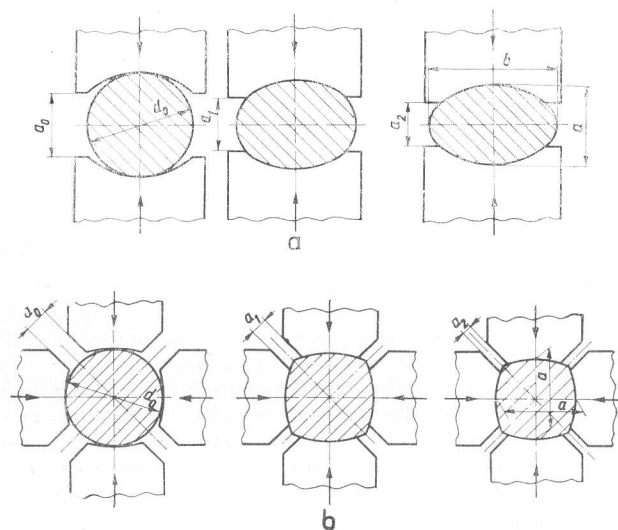


Fig. 8.8. Deformarea materialelor la forjarea radială:

*a* — între două ciocane; *b* — între 4 ciocane

efortului este zero și la cursa următoare ciclul se reia. Valoarea maximă a unghiului  $\varphi$  la sfârșitul loviturii depinde de: gradul de deformare; raportul dintre diametrul suprafeței cilindrice de lucru al ciocanelor  $D_c$  și diametrul semifabricatului  $d$ .

Pentru o valoare mică a acestui raport unghiul  $\varphi$  este mare ( $\varphi$  se alege mai mic decât  $90^\circ$  pentru că la valoarea de  $90^\circ D_c = d$  și deformarea nu se mai produce). Deformarea materialului depinde de numărul ciocanelor de lucru (fig. 8.8 *a* și *b*).

Parametrii regimului de lucru:

— Avansul radial

$$s_r = \frac{60 \cdot v_c}{n} \quad [\text{mm/lovitură}], \quad (8.3)$$

în care:  $v_c$  este viteza de apropiere a ciocanului de 1,5–22 mm/s;  $n$  — numărul de lovituri al ciocanului, lovituri/min.

— Avansul longitudinal

$$s_l = \frac{60 \cdot v_{cp}}{n} \quad [\text{mm/lovitură}], \quad (8.4)$$



unde  $v_{ep} = 10 \dots 250$  mm/s este viteza de deplasare a capului de prindere depinzând de tipul utilajului

— Avansul circular

$$s_c = \frac{\pi d \cdot n_1}{n} \quad [\text{mm/lovitură}], \quad (8.5)$$

unde:  $d$  este diametrul semifabricatului, mm;  $n_1$  — turația capului de prindere, rot/min

— Unghiul de rotire între două lovituri

$$\psi = \frac{360 n_1}{n} \quad [\text{grd/lovitură}]. \quad (8.6)$$

**Avantajele forjării radiale.** Productivitatea ridicată datorită vitezelor mari de lucru și a gradelor mari de deformare la o singură trecere; toleranțe restrinse ( $\Delta_t = \pm 0,10 \dots \pm 0,3$  mm); proprietăți îmbunătățite ale pieselor prin asigurarea unui fibraj continuu și limitarea posibilității de imprimare superficială a oxizilor; funcționare și reglare simplă a mașinii; preț de cost redus al sculelor (aproximativ 0,5 ... 3% din costul matrițelor pentru ciocane și prese); durabilitatea ridicată a sculelor și posibilități mărite de recon-ditionare; randamentul energetic al ciocanelor rotative atinge 70%; posibilitatea de forjare a aliajelor cu plasticitate redusă datorită stării tensionale favorabile în timpul deformării mai ales în cazul întrebuințării a patru ciocane; economii de material.

**8.5.1.3. UTILAJE PENTRU FORJAREA RADIALĂ.** Tipurile principale de mașini sînt prezentate în fig. 8.9.

Mașinile au 2—4 ciocane putînd să prelucreză piese cu diametrul de 5—160 mm (pline sau tubulare). Forța utilă de lucru este 800—6 500 kN, iar numărul de curse cuprins între 250 și 1 000 curse/min.

**Scule de lucru.** Indiferent de tipul mașinii sculele urmăresc în totalitate forma piesei pentru forjat și poartă denumirea de ciocane.

După mărime, ciocanele sînt considerate ca mici pentru piese cu diametru de pînă la 80 mm și mari pentru piese peste 80 mm diametru.

În fig. 8.10 și 8.11 sînt date dimensiunile constructive ale ciocanelor normale, mici și mari. Majoritatea dimensiunilor se dau constructiv cu cote fixe în funcție de mărimea ciocanului. Materialul pentru execuția ciocanelor (oțel de scule de tipul VCV 85) se alege conform STAS 3611-66. Suprafața activă a ciocanelor se încarcă prin sudură cu un strat din aliaj dur de cca. 5 mm grosime atît la sculele noi, cit și la cele recon-ditionate. Duritatea suprafeței se recomandă a fi 45—48 HRC.

**8.5.1.4. PROCESUL TEHNOLOGIC. PROBLEME SPECIFICE.** Pentru asigurarea toleranțelor prescrise semifabricatele se debitează la greutatea piesei finite și se încălzesc fără oxidare. Diametrul maxim al semifabricatului corespunde cu diametrul maxim al piesei. Un capăt al semifabricatului nu se forjează și constituie partea de fixare în capul de prindere.

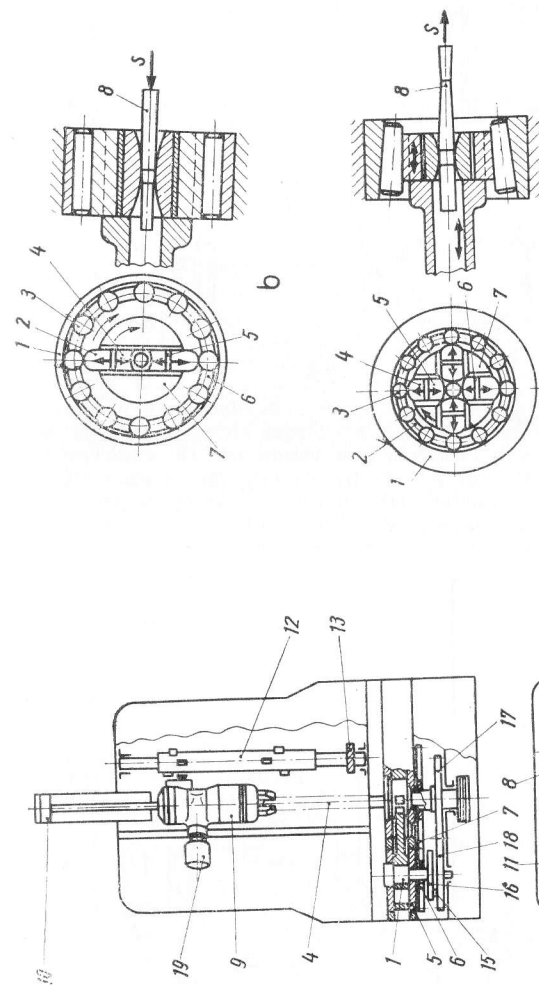


Fig. 8.9. Mașini pentru forjarea radială:

a — mașină radială de precizie: 1 — mecanism cu excentric; 2 — berbecul ciocanului; 3 — ciocan pentru deformare; 4 — semifabricat; 5 — mașon excentric; 6, 7 — roți dințate; 8 — piston; 9 — dispozitiv cu falci; 10 — cilindru hidraulic; 11, 12 — tamburi; 13 — augrenaj; 14 — disc de ghidare; 15 — piatră de culsă; 16 — volanți; 17 — roată dințată centrală; 18 — roată dințată; 19 — motor electric; b — mecanismul de reducere al mașinii de forjat radială cu doi berbeci și deformare constantă: 1 — inel exterior; 2 — pistonase; 3 — role; 4 — ciocane; 5 — pene de reglaj; 6 — inel separator; 7 — arbore principal; 8 — semifabricat; c — mecanismul de reducere pentru mașina de forjat radială cu 4 berbeci și deformare variabilă: 1 — inel exterior rotativ; 2 — inel separator; 3 — role; 4 — pistonase; 5 — ciocane; 6 — panta de reglaj; 7 — arbore principal; 8 — semifabricat

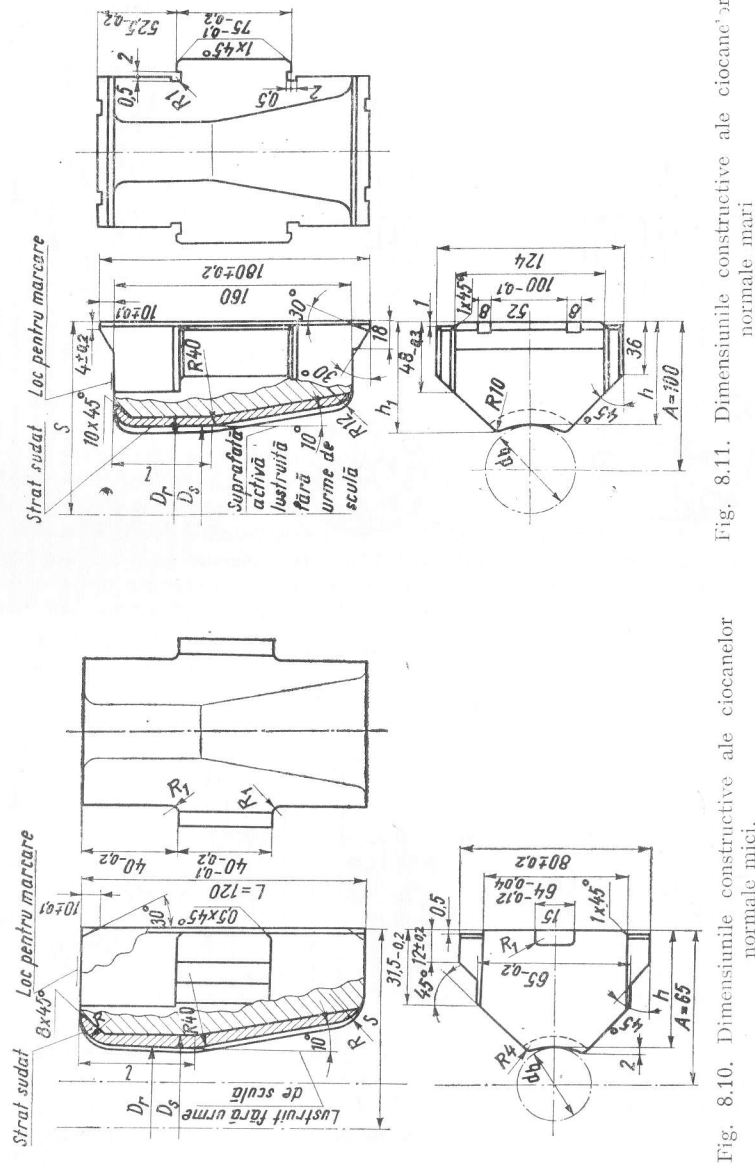


Fig. 8.11. Dimensiunile constructive ale ciocanelor normale mari

Fig. 8.10. Dimensiunile constructive ale ciocanelor normale mici.

**Fazele ciclului de forjare.** Prin forjare radială se realizează piese de formă și dimensiuni diferite cu aceeași garnitură de scule. Fazele componente ale unui ciclu de forjare depind de varianta tehnologică de execuție a piesei (prin împingere, prin tragere, sau combinată).

Pentru o piesă forjată, simplă (fig. 8.12) formată din trei trepte de forjare cu diametrul  $d_1$ ,  $d_2$  și  $d_3$  și lungimea  $l_1$ ,  $l_2$ ,  $l_3$  materialul de pornire fiind un semifabricat cu diametrul  $d_0$  și lungimea  $L$ , fazele ciclului de forjare pentru cele trei variante posibile de execuție sint date în fig. 8.13 și 8.14.

### 8.5.2. FORJAREA ROȚILOR DINȚATE

Danturarea se realizează cu ajutorul unor scule de presare și rotație care acționează asupra suprafeței laterale a semifabricatului cilindric sau conic încălzit superficial prin inducție.

Pentru roți cilindrice principiul de lucru este dat în fig. 8.15, *a* (pentru procedeul de trecere) fig. 8.15, *b* (pentru procedeul de pătrundere).

În cazul procedeului de trecere semifabricatul (semifabricatele) 6 este împins de suportul 4 în inductorul 3. La începutul procesului de deformare semifabricatul 5 se sprijină pe roata divizoare 2 angrenată cu cilindrii dințiți 7 care produc deformarea. Roțile dințate rezultate joacă pe rînd rolul roții divizoare 2.

În cazul procedeului de pătrundere semifabricatul prematrițat este centrat și strîns între două jumătăți de piese profilate și antrenat fără alunecare. Sculele pentru danturat sint împinse înainte, radial spre piesa de prelucrat pînă la angrenare.

### 8.5.3. FORJAREA PRIN LAMINARE

**8.5.3.1 DEFINIRE ȘI CLASIFICARE.** Forjarea prin laminare este operația de deformare plastică utilizată pentru obținerea unor piese sau semifabricate cu ajutorul unor matrițe fixate pe doi sau trei cilindri. Clasificarea procedeelor de forjare prin laminare este dată în tabelul 8.2.

**8.5.3.2. CONSIDERAȚII ASUPRA PROCEDEULUI.** Forjarea prin laminare se execută cu ajutorul sculelor rotative simple (cilindrii) sau a unor matrițe segment de cilindru fixate pe circumferința unor cilindri a căror diametre variază obișnuit între 500—1 000 mm. Viteza periferică de lucru este cuprinsă între 0,4 și 0,85 m/s. Procedeul se utilizează pentru fabricația de masă și serie mare asigurînd: un grad înalt de automatizare; viteze mari de execuție; toleranțe restrînse și adaosuri mici pentru prelucrare; durabilitate mare pentru scule; cheltuieli mici de întreținere; utilizarea mai completă a materialului; caracteristici de rezistență îmbunătățite.

Calculul forței de deformare:

$$F = p_m b_m \sqrt{r \Delta h} \quad [\text{daN}], \quad (8.7)$$

unde  $p_m = 20 \dots 35 \text{ daN/mm}^2$  este presiunea specifică medie de apăsare (prin lubrifiere se reduce cu 20—30%);  $b_m$  — lățimea medie a semifabricatului în momentul deformării, mm;  $r$  — raza de curbă a matrițelor;  $\Delta h$  — înălțimea semifabricatului înainte de deformare;  $h_0$ , minus înălțimea semifabricatului după deformare,  $h_1$ ;  $\Delta h = h_0 - h_1$ .

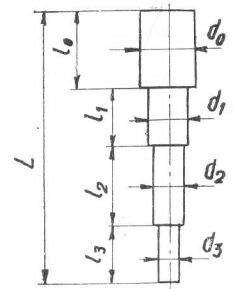


Fig. 8.12. Ax cu trei trepte forjate.

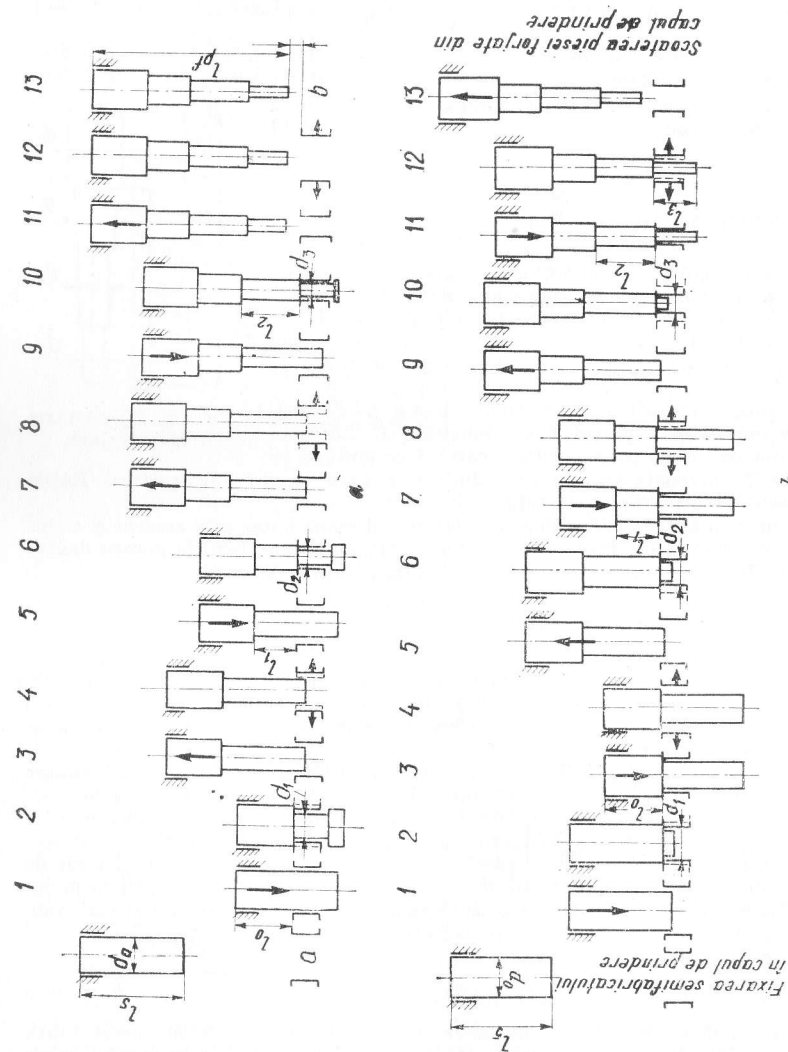


Fig. 8.13. a) Fazele forjării prin tragere cu fixarea semifabricatului în capul de prindere (a) și scoaterea piesei forjate din capul de prindere (b); b) fazele forjării prin împingere:

1 — cap prindere, mers rapid în jos; 2 — ciocane, avans închidere; 3 — cap prindere, avans în sus (a), în jos (b); 4 — ciocane, mers rapid deschidere; 5 — cap prindere, mers rapid în jos (a), în jos (b); 6 — ciocane, avans închidere; 7 — cap prindere, avans în sus (a), în jos (b); 8 — ciocane, mers rapid deschidere; 9 — cap prindere, mers rapid în jos (a), în jos (b); 10 — ciocane, avans închidere; 11 — cap prindere, avans în sus (a), în jos (b); 12 — ciocane, mers rapid deschidere; 13 — cap prindere, mers rapid în sus (b).

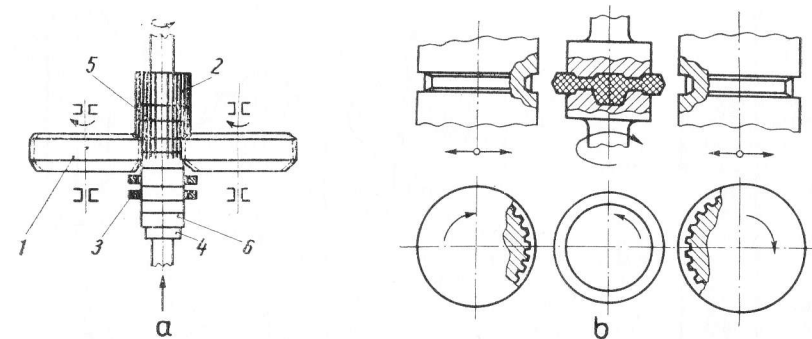
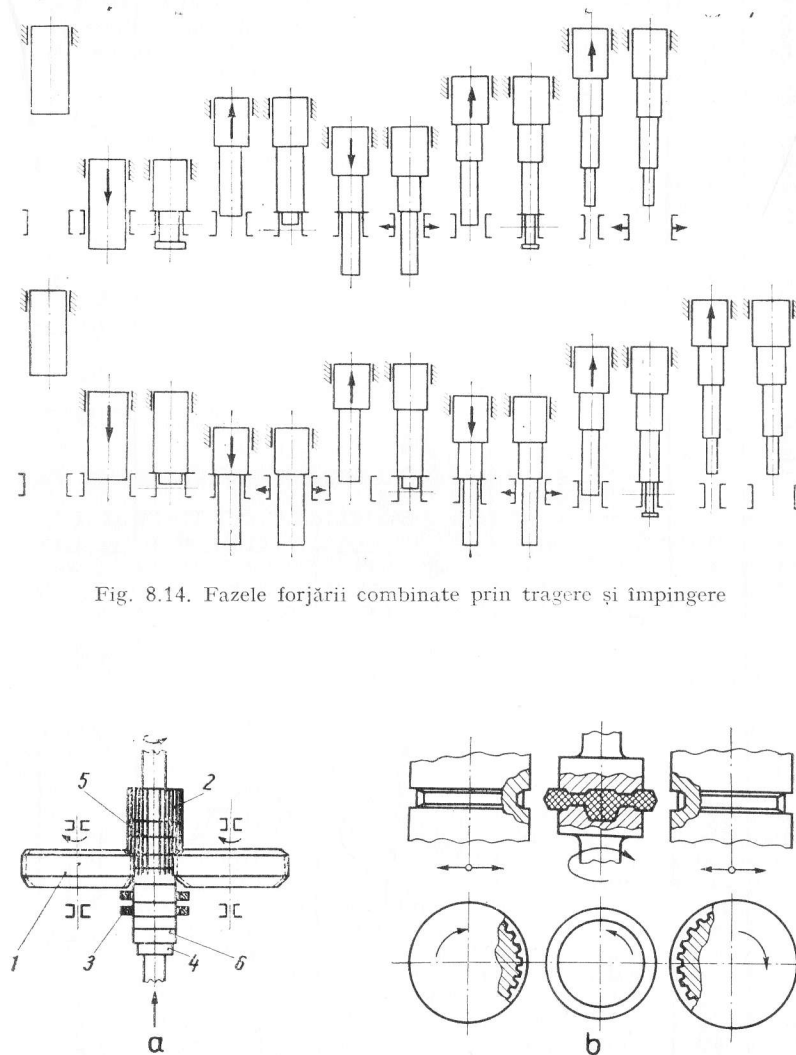


Fig. 8.15. Forjarea roților dințate cilindrice: a — schema mașinii cu avans continuu pentru rularea danturii prin procedeul de trecere; b — schema mașinii pentru rularea danturii roților cilindrice prin procedeul pătrunderii

Clasificarea procedeeelor de forjare prin laminare

Denumirea procedurii	Schia pentru procedeu	Scula				Observații
		Denumirea	Poziția	Forma	Construcția	
Laminare longitudinală	continuu	Cilindri	Liberă (cu distanță între axe variabilă)	Netedă	Deschisă	Procedul se numește și întindere prin laminare
	periodică	Matriță segment de cilindru	Determinată (cu distanță dintre axe fixă)	Profilată	Închisă	
Laminare transversală		Cilindri profilați				
Laminare prin presare		Cilindru și matriță plană		Combinată (cilindru neted)	Semi închisă	Înălțimea nervurilor piesei este mică

8.5.3.3. UTILAJUL PENTRU FORJAREA PRIN LAMINARE. Este specific fiecărei categorii de piese (tabelul 8.3).

Sculele pentru deformare au forma unor cilindri obișnuiți sau a unor role cu suprafață mică de contact. În cazul cilindrilor, matrița care cuprinde profilul piesei pentru matrițat se execută direct pe cilindru de forjat (profile simple) sau separat după care se fixează pe cilindru de lucru.

8.5.3.4. PROCESUL TEHNOLOGIC. PROBLEME SPECIFICE. Procesul de deformare are loc numai la cald. La calculul semifabricatului se ține seama de următoarele particularități: coeficientul de umplere a canalului de bavură se adoptă la valoarea  $k = 0,2 \dots 0,5$ ; trecerea de la o secțiune la alta se face cu unghiuri cât mai mari; grosimea semifabricatului inițial se alege cu 12–15% mai mare decât diametrul sau grosimea celei mai mari secțiuni transversale a semifabricatului profilat.

Pentru a evita formarea cavităților în zona centrală (în cazul laminării transversale) se utilizează 3 cilindri în loc de 2. În acest fel se produce o deformare pronunțată a barei în direcția axială.

## 8.6. MATRIȚAREA PIESELOR DIN MATERIALE METALICE

### 8.6.1. MATRIȚAREA PE MAȘINI UNIVERSALE

8.6.1.1. DEFINIȚIE ȘI CLASIFICARE. Matrițarea este procedeul de deformare plastică prin presare la cald sau la rece la care materialul este obligat să ia forma și dimensiunile cavității prevăzute în scula de lucru în funcție de configurația pieselor executate.

După modul de execuție matrițarea este: deschisă (cu bavură) și închisă (fără bavură), iar după precizia realizată matrițarea se clasifică în matrițare normală și de precizie.

Matrițarea deschisă se caracterizează prin formarea unei bavuri care duce la schimbarea fibrajului în piesă și la obținerea unui deșeu. Se execută într-o singură cavitate sau în două cavități ale matriței.

Matrițarea închisă constă în deformarea semifabricatului într-o singură cavitate a matriței și obținerea piesei fără bavuri.

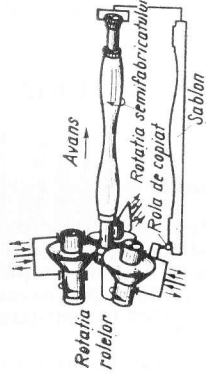
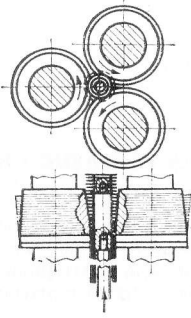
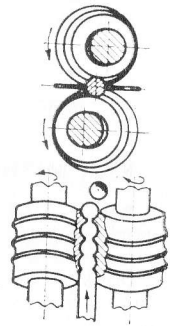
Matrițarea normală se încadrează din punct de vedere al preciziei de prelucrare în standarde prevăzute pentru fiecare procedeu. Matrițarea de precizie urmărește reducerea toleranțelor admise la dimensiuni care să mărească gradul de apropiere a piesei matrițate de cea finită. Operația se realizează cu economii sporite de material, crescând însă gradul de dificultate pentru producerea piesei. Adaosurile prevăzute la matrițarea de precizie depind de felul prelucrării mecanice ulterioare a pieselor matrițate și au următoarele valori: pentru suprafețe supuse lustruirii 0,15–0,2 mm; pentru suprafețe supuse rectificării 0,25–0,3 mm; pentru suprafețe supuse prelucrării prin așchiere 0,6–1 mm.

Debitarea semifabricatelor se face la dimensiuni exacte, iar încălzirea se execută în cuptoare cu inducție sau medii neutre pentru a împiedica oxidarea la suprafață.

8.6.1.2. CONSIDERAȚII ASUPRA PROCEDEULUI. Matrițarea este unul din procedeele de prelucrare cel mai răspândit în industria constructoare de mașini. Prin productivitatea ridicată ca și prin precizia de realizare procedeul se extinde la o gamă largă de piese (tabelul 8.4).


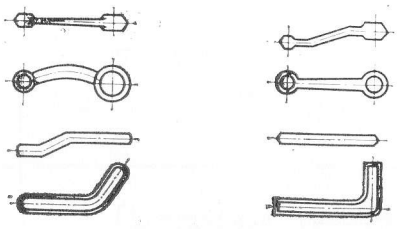
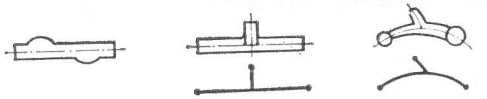
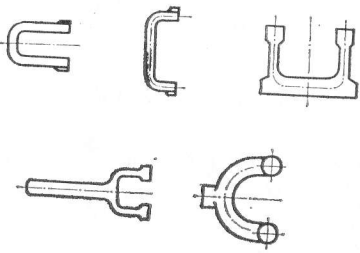
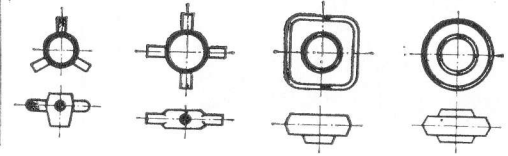
Matrițarea este influențată de următorii factori: temperatura de lucru; plasticitatea materialului; configurația piesei și alegerea corespunzătoare a planului de separație a piesei; starea utilajului și a sculelor de lucru; lubrifierea.

Tabelul 8.3  
Utilaj pentru forjare prin laminare

Tipul de piesă	Tipul utilajului	Schema de principiu a părții de lucru a utilajului	Observații
Axe în trepte, conice, filetate, arbori, armături, semiaxe, fusuri de cilindri etc. $l/d \geq 1$ $l \leq 400 \text{ mm}$ $d \leq 120 \text{ mm}$	Mașină de laminat cu 3 role (cilindrice sau conice)		Executarea piesei are loc prin copiere; rolele sînt antrenate hidraulic
Tuburi cu aripioare $d_{st} \leq 40 \text{ mm}$ $l_{st} \leq 5000 \text{ mm}$	Mașină de laminat cu 3 cilindri		
Bile, role și piese a căror profil se poate realiza prin laminare periodică $l/d \approx 1$ $l \approx d \leq 120 \text{ mm}$	Mașină de laminat profile periodice cu 2 cilindri care formează o caă închisă sau deschisă (în consolă)		Diametrul cilindrilor de lucru este egal cu de 5 ... 7 ori diametrul piesei

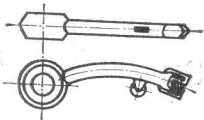
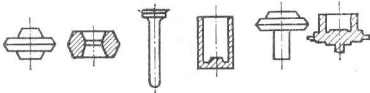
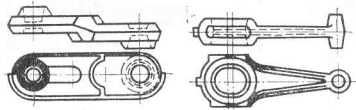
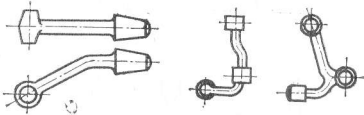
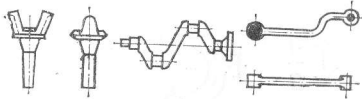
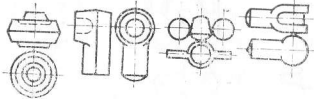
Tabelul 8.4

Forma pieselor în funcție de matrițarea pe ciocane și prese

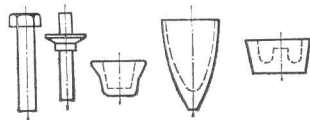
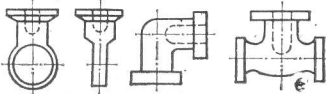
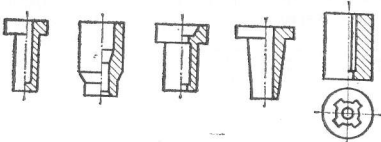

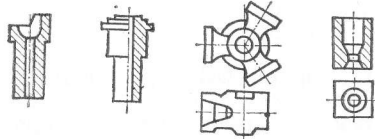
Utilaj	Grupa	Forma pieselor	Tipul pieselor
Ciocane	I		Piesă cu axă dreaptă și alungită (arbori drepecți bieie etc.)
	II		Piese cu axă curbă
	III		Piese cu proeminente
	IV		Piese cu ramificații
	V		Piese rotunde în plan sau apropiate de această formă



Tabelul 8.4 (continuare)

Utilaj	Grupa	Forma pieselor	Tipul pieselor
Ciocane	VI		Piese de formă mixtă
	I		Rotunde sau pătrate în plan sau apropiate de această formă
Prese cu manivelă și excentric	II		Cu axă alungită
	III		Cu axă curbă
	IV		Piese de formă mixtă
	I		Piese mici de formă oarecare

Tabelul 8.4 (continuare)

Utilaj	Grupa	Forma pieselor	Tipul pieselor
Prese cu fricțiune	II		Piese mijlocii de tipul brațului cu un corp
	III		Piese cu guler și racordări
Prese hidraulice	I		Piese tip pahar, bușe etc.
	II		Bușe, flanșe etc.
	III		Piese de tipul racordurilor

**Forța necesară deformării.** Pentru cazul cel mai general (fig. 8.16) forța necesară matrițării pentru semifabricate cilindrice are expresia:

$$F = \sigma_r \left[ \left( 1,5 + \frac{b_p}{2h} \right) A + \left( 1,5 + \frac{b_p}{h} + 0,10 \frac{d}{h} \right) A_n \right] \text{ [daN]} \quad (8.8)$$

și

$$F = 1,15 \sigma_r \left[ \left( 1 + \frac{b_p}{h} \right) A + \left( 1 + \frac{b_p}{h} + 0,15 \frac{a}{h} \right) A_n \right], \quad (8.9)$$

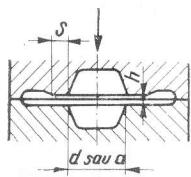


Fig. 8.16. Schema de principiu a matrițării

pentru semifabricate de secțiune pătrată sau altă formă, în care:  $b_p$  este lățimea punții bavurii, mm;  $h$  — grosimea punții bavurii, mm;  $A$  — aria punții bavurii, mm<sup>2</sup>;  $A_n$  — aria semifabricatului în proiectie orizontală, mm<sup>2</sup>;  $d$  — diametrul semifabricatului, mm;  $\sigma_r$  — rezistența de rupere la temperatura de lucru, daN/mm<sup>2</sup> (tabelul 8.5);  $a$  — latura patratului, mm.

**8.6.1.3. PROCESUL TEHNOLOGIC.** Proiectarea procesului tehnologic de matrițare depinde de caracteristicile pieselor ce se execută (formă și dimensiuni, calitatea materialului, toleranțe, structură, proprietăți etc.).

Procesul tehnologic depinde de întocmirea corectă a desenului de piesă matrițată, proiectarea, calculul și construcția corectă a matrițelor, precum și alegerea corespunzătoare a succesiunii fazelor de matrițare.

**Întocmirea desenului piesei matrițate.** Desenul ține seama de condițiile de funcționare ale piesei și cuprinde:

— Planul de separație care se alege în funcție de felul închiderii matriței și corespunde următoarelor cerințe: scoaterea ușoară a piesei din matriță; umplerea completă

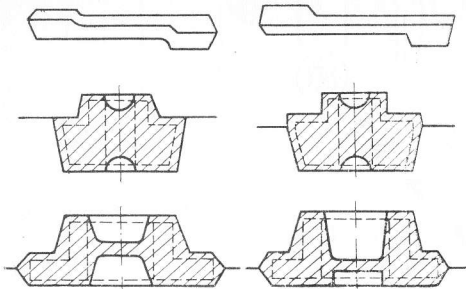


Fig. 8.17. Posibilități diferite de alegere a planului de separație la piesele matrițate

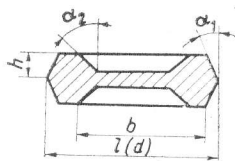


Fig. 8.18. Înclinările pieselor matrițate

a locașului matriței; repartizarea simetrică a piesei în cele două semimatrițe. În fig. 8.17 sînt prezentate cîteva posibilități de alegere a planului de separație.

— Adaosurile de prelucrare pentru calitatea suprafeței și toleranțele de dimensiuni (STAS 1299-67).

— Înclinările de matrițare sînt exterioare  $\alpha_1$  și interioare  $\alpha_2$  (fig. 8.18). Alegerea înclinărilor exterioare se face în funcție de raportul  $h/b$  și  $l/b$  din tabelul 8.6, pentru matrițarea la ciocane și din tabelul 8.7, pentru matrițarea la prese. Înclinările interioare sînt cu 30–40% mai mari.

Tabelul 8.5

Rezistența de rupere la temperatura de lucru

Material	Rezistența de rupere la rece a oțelului $\sigma_r$ [daN/mm <sup>2</sup> ]	Rezistența de rupere a oțelurilor la cald pentru temperaturile, °C:						
		700	800	900	1000	1100	1200	
Oțel carbon moale	40	7,2	6,25	5,0	3,1	2,5	2,0	
Oțel cu conținut mediu de carbon	60	16,2	11,2	7,6	5,5	3,7	2,5	
Oțel carbon dur	80	24,2	17,5	11,0	7,0	4,9	3,1	
Oțel aliat	100	32,0	21,0	13,5	8,5	6,2	3,8	

Tabelul 8.6

Înclinările exterioare la matrițarea la ciocan

$\frac{L}{b}$	1	3	5,1...7	7,1...9	9
$\frac{H}{b}$					
Pînă la 1,5	5° ± 30'	7° ± 30'	10° ± 30'	12° ± 30'	15° ± 30'
Peste 1,5	5° ± 30'	5° ± 30'	9° ± 30'	12° ± 30'	15° ± 30'

Tabelul 8.7

Înclinările exterioare la matrițarea la prese

pînă la						
$\frac{h}{b}$	1	1...3	3...4,5	4,5...6,5	6,5...8	8
$\frac{l}{b}$						
Pînă la 1,5	2°	3°	5°	6°	7°	10°
Peste 1,5	2°	2°	3°	5°	6°	7°

— Razele de racordare evită muchiile ascuțite care duc la apariția crăpăturilor și la majorarea solicitărilor mecanice. În funcție de raportul  $h/b$  (fig. 8.19) valorile razelor de racordare sînt date în tabelul 8.8.

Tabelul 8.8

Razele de racordare pentru execuția pieselor pe ciocane și prese

$\frac{h}{b}$	$r$	$R$
$< 2$	$0,05 h + 0,5$	$2,5 r + 0,5$
$2 \dots 4$	$0,06 h + 0,5$	$3,0 r + 0,5$
$> 4$	$0,07 h + 0,5$	$3,5 r + 0,5$

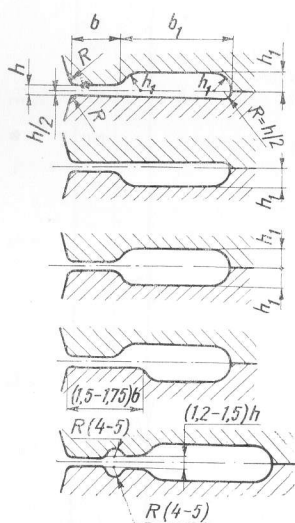
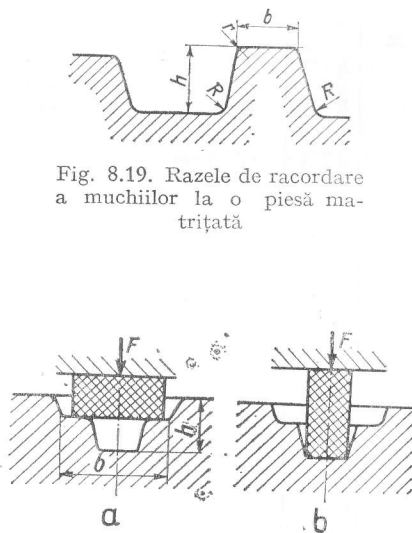


Fig. 8.20. Tipuri și lăcașuri pentru bavură

**Bavură, formă și dimensiuni.** Principalele tipuri de bavură sînt date în fig. 8.20. Dimensiunile canalului de bavură depind de felul matrițării (fig. 8.21) și de utilajul pentru deformare (tabelul 8.9 și tabelul 8.10).

**Proiectarea matriței.** Clasificarea lăcașelor de matrițare se face în funcție de rolul lor în procesul de deformare. O matriță cu mai multe lăcașuri cuprinde:

Fig. 8.21. Variante de matrițare:  
a — cu împingere; b — cu refulareTabelul 8.9  
Dimensiunile lăcașului de bavură pentru matrițarea pe ciocane

$h$ [mm]	$h_1$ [mm]	$R$ [mm]	Matrițare cu refulare			Matrițare cu refulare și împingere			Matrițare cu împingere		
			$b$ [mm]	$b_1$ [mm]	$A_b$ [mm <sup>2</sup> ]	$b$ [mm]	$b_1$ [mm]	$A_b$ [mm <sup>2</sup> ]	$b$ [mm]	$b_1$ [mm]	$A_b$ [mm <sup>2</sup> ]
0,6	3,0	1,0	6,0	18,0	52,0	6,0	20,0	61,0	8,0	22,0	74,0
0,8	3,0	1,0	6,0	20,0	69,0	7,0	22,0	77,0	9,0	25,0	88,0
1,0	3,0	1,0	7,0	22,0	80,0	8,0	25,0	91,0	10,0	28,0	104,0
1,6	3,5	1,0	8,0	22,0	102,0	9,0	25,0	113,0	11,0	30,0	155,0
2,0	4,0	1,5	9,0	25,0	136,0	10,0	28,0	153,0	12,0	32,0	177,0
3,0	5,0	1,5	10,0	28,0	201,0	12,0	32,0	233,0	14,0	38,0	278,0
4,0	6,0	2,0	11,0	30,0	268,0	14,0	38,0	344,0	15,0	42,0	385,0
5,0	7,0	2,0	12,0	32,0	343,0	15,0	40,0	434,0	18,0	46,0	506,0
6,0	8,0	2,5	13,0	35,0	435,0	16,0	42,0	530,0	20,0	50,0	642,0
8,0	10,0	3,0	14,0	38,0	601,0	18,0	46,0	745,0	22,0	55,0	903,0
10,0	12,0	3,0	15,0	40,0	768,0	20,0	50,0	988,0	25,0	60,0	1208,0

Tabelul 8.10  
Dimensiunile lăcașului de bavură pentru matrițarea pe prese

$h$ [mm]	$h_1$ [mm]	$R$ [mm]	Matrițare cu refulare			Matrițare cu refulare și împingere			Matrițare cu împingere		
			$b$ [mm]	$b_1$ [mm]	$A_b$ [mm <sup>2</sup> ]	$b$ [mm]	$b_1$ [mm]	$A_b$ [mm <sup>2</sup> ]	$b$ [mm]	$b_1$ [mm]	$A_b$ [mm <sup>2</sup> ]
0,6	3,0	1,0	4,0	16	50	4,5	18	57	5,0	20	64
0,8	3,5	1,0	4,5	18	67	5,0	20	75	6,0	22	83
1,0	4,0	1,0	5,0	20	87	6,0	22	97	7,0	25	111
1,6	5,0	1,5	5,0	20	113	7,0	22	126	8,0	25	145
2,0	6,0	1,5	7,0	22	150	8,0	25	179	9,0	28	196
2,4	7,0	2,0	8,0	22	175	9,0	25	202	10,0	28	229
3,0	8,0	2,0	9,0	25	232	10,0	28	264	11,0	30	286
4,0	9,0	2,5	10,0	25	288	11,0	28	311	12,0	31	359
5,0	10,0	2,5	11,0	28	356	12,0	32	410	14,0	36	470

— locașuri pregătitoare din care fac parte: locașul de prematrițare; locașul de matrițare finală;

— locașul pentru capăt de clește care cuprinde cuțitul de tăiere a matriței;

— dispozitiv de ghidare cu pragul de ghidare al matriței și coloană de ghidare.

Locașul de întindere este locașul matriței utilizat pentru mărirea lungimii semifabricatului datorită micșorării suprafeței secțiunii transversale corespunzător cu configurația piesei matrițate. Locașul de întindere poate fi deschis (fig. 8.22, a) sau închis (fig. 8.22, b).

Mărimile caracteristice ale locașului sînt: înălțimea minimă a locașului de întindere  $h$ :

$$h = kd_p \quad [\text{mm}], \quad (8.10)$$

pentru întinderea fără rotirea semifabricatului și

$$h = k_1 A, \quad (8.11)$$

pentru întinderea cu rotirea semifabricatului, în care:  $d_p$  este diametrul piesei brut matrițate inclusiv bavura în porțiunea de întindere mm;  $A$  — secțiunea piesei, inclusiv bavura

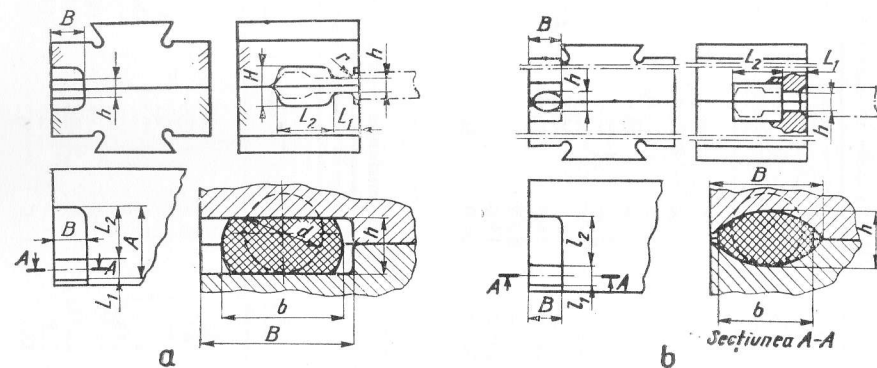


Fig. 8.22. Construcția și dimensiunile caracteristice ale locașului de întindere:

a — locaș deschis; b — locaș închis

în porțiunea de întindere,  $\text{mm}^2$ ;  $k = 0,7 \dots 0,8$ ;  $k_1 = 0,8 \dots 0,9$ ; valorile minime se folosesc pentru piese cu lungime mai mare de 500 mm și cele maxime pentru piese cu lungime mai mică de 500 mm.

Înălțimea maximă a cavității de întindere

$$H = 2h \quad [\text{mm}]. \quad (8.12)$$

Lungimea pragului de întindere

$$L_1 = (1,1 \dots 1,5) d_s \quad [\text{mm}], \quad (8.13)$$

unde  $d_s$  este diametrul semifabricatului inițial, mm.

Lungimea magaziei locașului de întindere

$$L_2 = \frac{V_s}{A_s} - L_1 \quad [\text{mm}], \quad (8.14)$$

pentru întindere prin înaintare și

$$L_2 = \frac{V'_s}{A'_s} \quad [\text{mm}], \quad (8.15)$$

pentru întinderea prin retragere, unde:  $V_s, A_s$  sînt volumul și aria semifabricatului după întindere iar  $V'_s, A'_s$  — volumul și aria semifabricatului cuprinse în porțiunea magaziei locașului pe lungimea  $L_2$ .

Lățimea locașului de întindere

$$B = (1,2 \dots 1,5) d_s \quad [\text{mm}], \quad (8.16)$$

valoarea minimă se ia pentru  $d_s > 80$  mm și cea maximă pentru  $d_s < 80$  mm.

Razele de racordare

$$r = 0,25 L_1. \quad (8.17)$$

Locașul de rulare este locașul matriței folosit pentru profilarea prin rulare a semifabricatului, atunci cînd acesta necesită să fie deformat neuniform de-a lungul axei longitudinale,

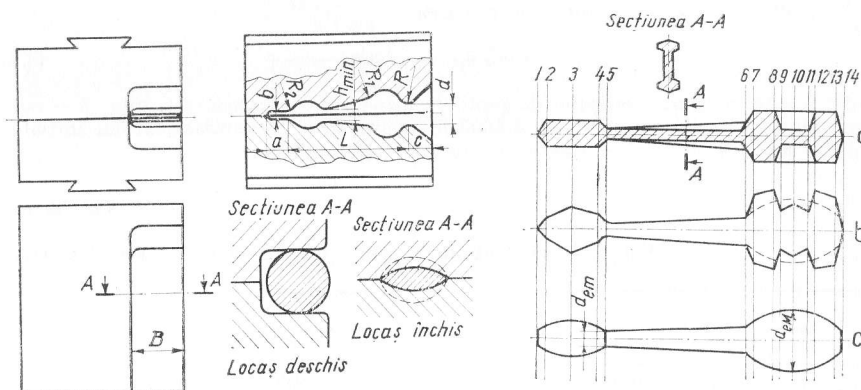


Fig. 8.23. Construcția și dimensiunile caracteristice ale locașului de rulare

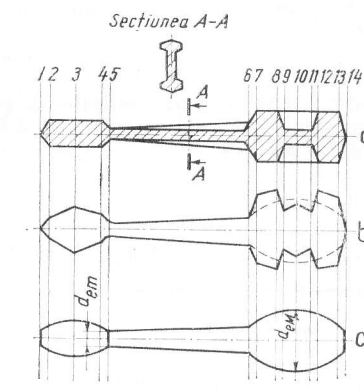


Fig. 8.24. Desenul piesei matrițate și epura diametrelor:

a — desenul de piesă finită; b — epura reală a diametrelor; c — epura simplificată a diametrelor

dinale, în așa fel încît repartitia volumului de metal în semifabricat să fie cit mai apropiată de repartitia volumului în piesa brut matrițată (fig. 8.23).

În timpul operației de rulare lungimea semifabricatului rămîne constantă și egală cu lungimea locașului de rulare. Dimensiunile locașului se determină pe baza epurei diametrelor, construită conform desenului de piesă matrițată (fig. 8.24). Diametrul epurei într-o secțiune oarecare

$$d_e = 1,13 \sqrt{A} \quad [\text{mm}], \quad (8.18)$$

unde  $A$  este aria transversală a piesei matrițate inclusiv a bavurilor în porțiunea considerată, în  $\text{mm}^2$ .

Epura reală a diametrelor se construiește pe baza ariilor, respectiv a diametrelor, calculate în secțiunile caracteristice ale piesei (1-14). În ordonată se pune valoarea diametrului calculat, iar în abscisă distanța dintre suprafețele considerate. Pentru simplificarea conturului obținut prin epura reală a diametrelor aceasta se rotunjește obținând epura simplificată a diametrelor (fig. 8.24, c). Rotunjirea se face păstrind constant volumul de material. Pentru piesele îndoite sau curbate semifabricatul se construiește drept, apoi se îndoaie și se matrițează.

Dimensiunile locașului de rulare sînt:

Diametrul de strângulare al semifabricatului în dreptul pragurilor de frinare

$$d \geq 0,3 d_{si} \quad [\text{mm}], \quad (8.19)$$

unde  $d_{si}$  este diametrul semifabricatului inițial.

Adîncimea cavității pentru clește

$$c = (0,75 \dots 1) d. \quad (8.20)$$

Surplusul de material se colectează într-o cavitate ale cărei dimensiuni sînt:  $a = 20 \dots 40 \text{ mm}$ ;  $b = 4 \dots 10 \text{ mm}$ ; iar valoarea

$$h = k d_{si} \quad [\text{mm}], \quad (8.21)$$

unde:  $h$  este înălțimea locașului de profilare într-un punct considerat,  $\text{mm}$ ;  $k$  — coeficient ale cărui valori depind de diametrul epurei  $d_e$  și al semifabricatului inițial  $d_{si}$  (tabelul 8.11).

Tabelul 8.11

Valorile coeficientului  $k$  pentru dimensionarea locașului de rulare

Diametrul semifabricatului $d_s$ [mm]	< 30	30 ... 60	> 60
Felul secțiunii	Valoarea coeficientului $k$		
Secțiuni subțiri ( $d_e < d_s$ )	$\geq 0,80$	$\geq 0,75$	$\geq 0,70$
Secțiuni groase ( $d_e \geq d_s$ )	$\leq 1,00$	$\leq 1,05$	$\leq 1,10$

Lățimea  $B$  a locașului de rulare:

— pentru locașul deschis,

$$B = \frac{A_{si}}{h_{min}} + (10 \dots 20) \text{ mm} \quad [\text{mm}], \quad (8.22)$$

dar  $B \geq d_{eM} + 10 \text{ mm}$ , unde  $A_{si}$  este aria transversală a semifabricatului inițial și  $d_{eM}$  — diametrul maxim din epura simplificată a diametrelor.

— pentru locașul închis,

$$B = 1,15 \frac{A_{si}}{h_{min}}, \quad [\text{mm}] \quad (8.23)$$

dar  $1,7 d_{si} \geq B \geq 1,1 d_{eM}$ .

Toate razele de racordare se adoptă între 5 și 20  $\text{mm}$  în funcție de locul de aplicare.

Locașul de formare este locașul matriței utilizat pentru obținerea semifabricatului la o formă apropiată de configurația în plan a piesei matrițate pe baza unei deplasări axiale mici a metalului (fig. 8.25).

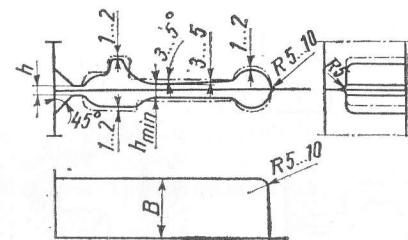


Fig. 8.25. Locașul de formare

Lățimea locașului de formare

$$B = \frac{A_{si}}{h_{min}} + (10 \dots 20) \text{ mm} \quad [\text{mm}], \quad (8.24)$$

unde

$$h_{min} \geq \sqrt{\frac{A_{si}}{3}}.$$

Raza

$$R = 0,1 d_{si} + 6 \text{ mm}. \quad (8.25)$$

Profilul cavității de formare corespunde conturului liniei de separație, față de care este așezat mai în interior cu circa 1-2  $\text{mm}$  în locurile puțin strângulate și cu 3-5  $\text{mm}$  în locurile mai strângulate.

Locașul de îndoire este locașul matriței utilizat pentru îndoirea semifabricatului corespunzător configurației piesei matrițate prin deplasarea axială mică a metalului semifabricatului în unele secțiuni (fig. 8.26).

Îndoirea se execută liber (fig. 8.26, a) sau cu încăstrare (fig. 8.26, b) cînd se produce și o întindere a materialului.

Mărimile caracteristice ale locașului de îndoire sînt:

$$f = (0,1 \dots 0,2) H \quad [\text{mm}], \quad (8.26)$$



unde  $H$  este grosimea piesei sau semifabricatului în locul îndoirii;

$$h = (0,8 \dots 0,9) H \quad [\text{mm}]; \quad (8.27)$$

$$B = \frac{A}{h} + (10 \dots 20) \text{ mm} \quad [\text{mm}], \quad (8.28)$$

unde  $A$  este aria piesei sau semifabricatului în locul îndoirii;  $r = 3 \dots 15 \text{ mm}$ ;

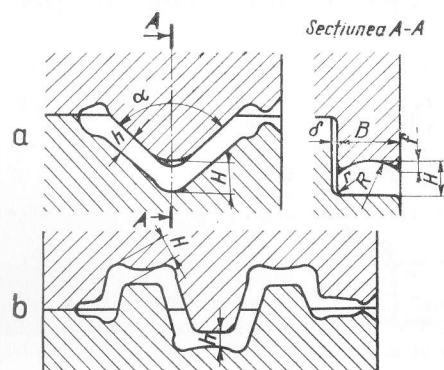


Fig. 8.26. Locașul de îndoire:  
a - îndoire liberă; b - îndoire cu încastrare

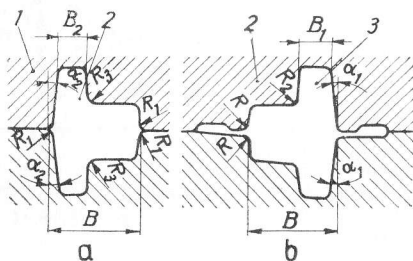


Fig. 8.27. Poziția reciprocă a locașului de prematrițare și matrițare finală:  
a - locaș de prematrițare; b - locaș de matrițare

$R$  se alege în așa fel încât la valoarea săgeții  $f$  să rezulte lățimea  $B$  a locașului; jocul dintre cele două semimatrițe  $j = (5 \dots 10) \text{ mm}$ ;

$\alpha \geq 90^\circ$  (recomandabil).

Locașul de prematrițare este locașul matriței utilizat anterior matrițării în locașul de matrițare finală, în care se obține forma și dimensiunile apropiate de configurația finală a piesei matrițate.

Pentru piese cu nervuri și proeminente, locașul de prematrițare se așază în așa fel față de cel de matrițare finală încât piesa să se întoarcă obligatoriu cu  $180^\circ$  (fig. 8.27).

Raza

$$R_1 = R + 2 \dots 5 \text{ mm} \quad [\text{mm}], \quad (8.29)$$

unde  $R$  este raza de racordare pentru locașul final corespunzător desenului piesei;

$$R_3 = 1,2R_2 + 3 \text{ mm} \quad [\text{mm}], \quad (8.30)$$

unde  $R_2$  este raza pentru locașul final corespunzător desenului piesei.

Înclinările locașului de prematrițare sînt aceleași cu ale locașului final de matrițare sau mai mari dacă piesa prezintă porțiuni care se umplu greu. Pentru ca deformarea în locașul final de matrițare să se facă prin refulare, înălțimea locașului de prematrițare este cu  $10-15\%$  mai mare, iar lățimea cu circa  $10-15\%$  mai mică decît dimensiunile piesei matrițate.

Locașul de matrițare finală este locașul matriței utilizat pentru obținerea configurației finale a piesei matrițate. Este o copie fidelă a desenului piesei matrițate la care se adaugă mărirea coeficientului de contracție, adaosurile de prelucrare mecanică și toleranțele.

Locașul pentru capăt de clește este o cavitate în suprafața de separație pentru a creia posibilitatea manevrării semifabricatului fixat în clește în timpul matrițării.

Cușitul de tăiere al matriței este format din muchii ascuțiți, utilizat la separarea piesei matrițate din bară cînd din aceasta se obțin mai multe piese.

Dispozitive de ghidare: prag de ghidare — dispoziție a suprafețelor de contact ale matrițelor prin care se asigură o ghidare reciprocă a acestora în timpul matrițării (fig. 8.28); coloană de ghidare — piesă fixată rigid în matrița inferioară care se utilizează pentru ghidarea matriței superioare în timpul matrițării (fig. 8.29).

Amplasarea locașurilor în matriță se face astfel: la matrițe cu un singur locaș, acesta se așază în centrul matriței care coincide cu axa mașinii; dacă matrița are mai multe locașuri, atunci locașurile pregătitoare se așază la marginea matriței, pentru a se ușura

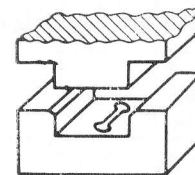


Fig. 8.28. Prag de ghidare al matriței



Fig. 8.29. Coloană de ghidare

curățirea de oxizi, iar celelalte se dispun în interiorul matriței în ordinea de desfășurare a operațiunilor de matrițare. Cîteva exemple de distribuție a locașurilor în matriță sînt date în tabelul 8.12. Numărul de locașuri se stabilește în funcție de complexitatea piesei pentru matrițat în așa fel încît la o operație să nu se depășească gradul de reducere admis.

8.6.1.4. SCULE PENTRU MATRIȚARE. Matrița este scula folosită la refigurarea unui semifabricat prin deformare plastică astfel încît să se obțină o piesă de o anumită formă și mărime. Principalele tipuri de matriță întîlnite în procesul de matrițare sînt date în STAS 7829-67.

Materiale folosite pentru execuția matrițelor. Materialele pentru matriță prezintă următoarele proprietăți: tenacitate ridicată, limită de curgere mare și rezistență la șoc; proprietăți termice ridicate; punctele critice de transformare au valori ridicate; nu se oxidează în contact cu materialul cald.

		Distribuirea locașurilor pe matriță						Tabelul 8.12	
Varianța a 2-a	Distribuirea locașurilor	Locaș I	Locaș II	Locaș III	Locaș IV	Locaș V	Locaș VI	Distribuirea locașurilor	Varianța a 2-a
		Suprafața prin care se face	Finisare						
		Finisare	Cuțit						
		Preliminar	Finisare						
		Preliminar	Finisare	Cuțit					
		Pregătitor tip A	Finisare	Cuțit					
		Pregătitor tip A	Finisare	Cuțit					
		Pregătitor tip A	Preliminar	Finisare					
		Pregătitor tip A	Preliminar	Finisare	Cuțit				
		Pregătitor tip A (2-lea)	Finisare						
		Pregătitor tip A (2-lea)	Finisare	Cuțit					
		Pregătitor tip A (2-lea)	Preliminar	Finisare					
		Pregătitor tip A (2-lea)	Preliminar	Finisare	Cuțit				
		Pregătitor tip A	Finisare						
		Pregătitor tip B	Finisare	Cuțit					
		Pregătitor tip B	Preliminar	Finisare					
		Pregătitor tip B	Preliminar	Finisare	Cuțit				
		Pregătitor tip A	Pregătitor tip B	Finisare					
		Pregătitor tip A	Pregătitor tip B	Finisare	Cuțit				
		Pregătitor tip A	Pregătitor tip B	Preliminar	Finisare				
		Pregătitor tip A	Pregătitor tip B	Preliminar	Finisare	Cuțit			
		Pregătitor tip A (2-lea)	Pregătitor tip B	Finisare	Cuțit				
		Pregătitor tip A (2-lea)	Pregătitor tip B	Preliminar	Finisare				
		Pregătitor tip A (2-lea)	Pregătitor tip B	Preliminar	Finisare	Cuțit			
		Locaș de finisare Locaș preliminar Locaș pregătitor tip A de alungire preformare Locaș pregătitor tip B de îndoire de gîtură de formare Cuțit de tăiere							

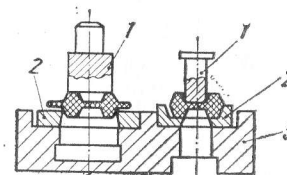
După utilajul de lucru oțelurile pentru matrițe se clasifică în: oțeluri de matrițe pentru ciocane (tabelul 8.13); oțeluri de matrițe pentru prese și mașini de forjat orizontale (tabelul 8.14) oțeluri pentru pastile STAS 3611-66. Oțelurile prezintă stabilitate la cald între 500–550°C și-și mențin duritatea de peste 45 HRC la 670–680°C. În afara oțelurilor de mai sus se mai utilizează oțelurile turnate, fontele speciale, carburile metalice.

8.6.1.5. OPERAȚII TEHNOLOGICE SPECIFICE. *Debavurarea* este o operație specifică procedurii de matrițare care constă în înlăturarea bavurii piesei matrițate

(fig. 8.30). Forma poansonului și a plăcii de tăiere corespund conturului piesei. De obicei plăcile de tăiere se execută sub forma unor elemente de inserție care se înlocuiesc după uzură. Materialul pentru confecționarea ștanțelor pentru debavurat este același cu cel pentru matrițe normale.

Fig. 8.30. Ștanța de debavurare combinată:

1 — poanson; 2 — placă de tăiere;  
3 — matriță



Îndreptarea se execută la rece sau la cald după o operație prealabilă de normalizare sau recoacere.

Calibrarea are drept scop asigurarea unor dimensiuni precise pentru piesa matrițată. Calibrarea este de suprafață (executată la rece) asigură toleranțe de 0,08–0,25 mm) și de volum executată în matrițe închise și cu preîncălzirea piesei.

Clasificarea defectelor pieselor matrițate este reglementată prin STAS 6092-66;

## 8.6.2. MATRIȚAREA PE MAȘINI ORIZONTALE

8.6.2.1. CONSIDERAȚII ASUPRA PROCEDEULUI. Matrițarea pe MFO (mașini de forjat orizontale) permite matrițarea din semifabricate simple a pieselor pline sau goale, de configurație simplă sau complexă la care partea deformată este scurtă și de secțiune mult mai mare decât secțiunea semifabricatului inițial. Configurația pieselor ce se matrițează este reprezentată în fig. 8.31. Procedul cuprinde patru faze importante (fig. 8.32).

În prima fază semifabricatul se introduce în matriță pînă atinge opritorul 1. În faza a doua are loc stringerea semifabricatului și începutul refulării. Urmează faza a treia de refulare completă. În faza a patra semimatrița mobilă coboară și piesa este scoasă afară. În cazul pieselor inelare se prevede un dispozitiv de tăiere astfel încît dintr-un semifabricat de lungime nedefinită se matrițează un număr mare de piese.

Avantajele procedurii: productivitate mare (între 400–1 000 piese/h); posibilitatea de matrițare a unor piese a căror formă nu permite matrițarea la alte utilaje; obținerea unor piese de dimensiuni apropiate cu cele finite datorită matrițării fără bayură și a unor înclinații mici de matrițare: adaosurile de prelucrare și toleranțele de matrițare sînt mici.

Forța necesară matrițării

$$F = (1,20 \dots 1,25) k A_p \sigma_d \quad [\text{daN}], \quad (8.31)$$

unde:  $k$  este coeficient determinat cu ajutorul graficelor din fig. 8.33;  $A_p$  — aria piesei în planul de separare dintre matriță și poanson,  $\text{mm}^2$ ;  $\sigma_d$  — rezistența la deformare a materialului pentru temperatura de lucru,  $\text{daN/mm}^2$ .

Tabelul 8.13

Caracteristicile unor oțeluri de matrițe pentru ciocane

Marca	Clasa oțelului	Norme	Compoziția chimică medie %								
			C	Mn	Si	Cr	Ni	W	V	Mo	Alte
C45W3	Carbon	VDEh 1730 RFG	0,45	0,70	0,35	—	—	—	—	—	—
O.K.	Cr-W	Jessop-Saville Anglia	0,47	0,4	0,4	1,5	—	2,25	0,2	—	—
60MnSi4	Mn-Si	VDEh 2826 RFG	0,6	1,0	1,0	—	—	—	—	—	—
MoCN15	Ni-Cr-Mo	STAS 3611-66 RSR	0,55	0,65	max 0,4	0,65	1,45	—	—	0,22	—
5HNV	Ni-Cr-W	GOST 5950-51 URSS	0,55	0,65	0,25	0,65	1,6	0,5	—	—	—
HNT	Ni-Cr-Ti	GOST 5950-51 URSS	0,55	0,65	max. 0,35	1,1	1,6	—	—	—	Ti 0,12
MoCM14	Cr-Mn-Mo	STAS 3611-66 RSR	0,55	1,4	0,4	0,45	—	—	—	0,22	—
55NiCr MoV6	Ni-Cr-Mo-V	VDEh 2813 RFG	0,55	0,6	0,25	0,70	1,7	—	1,0	0,2	—
56NiCr MoV7	Ni-Cr-Mo-V	VDEh 2714 RFG	0,56	0,6	0,25	1,00	1,7	—	0,10	0,45	—
57NiCr MoV77	Ni-Cr-Mo-V	VDEh 2744 RFG	0,55	0,7	0,25	1,00	1,7	—	0,10	0,8	—

Interval de forjare °C	Duritatea după revenire (la temperatura, °C), daN/mm <sup>2</sup>										Utilizare	Echivalenți
	300	350	400	450	500	550	600	650	700			
1100—850	—	150	130	120	110	90	—	—	—	Matrițe mici cu gravură plată	19023 RSC NAZ RPP	
1100—850	—	—	—	165	160	145	130	115	100	Matrițe mici, cuțite pentru debavurări la rece		
1100—900	190	185	165	155	145	135	—	—	—	Matrițe mijlocii ptr. ciocane și prese rapide, debavurare	54 SAE/ AISI SUA	
1150—850	—	—	—	—	150	135	120	—	—	Matrițe mari solicitate puternic	40 NCDV-06-02 Franța	
1180—850	—	—	—	172	135	130	120	—	—	Blocuri mici și mijlocii Elemente de matrițe MFO		
1180—850	—	—	—	170	135	130	120	—	—	Poansoane		
1150—850	—	—	—	—	150	140	130	—	—	Matrițe solicitate mediu	HGM-URSS	
1050—850	—	—	160	150	140	130	120	105	—	Matrițe puternic solicitate	5HNM-URSS N9662-RSC WNL-RPP	
1050—850	—	—	165	160	150	140	130	110	—	Matrițe foarte solicitate, gravuri adânci pentru oțel și neferoase	N9663-CSR U52 ND65-Italia	
1050—850	—	185	175	170	160	150	140	120	—	Insertii ptr. matrițe foarte puternic solicitate		

Tabelul 8.14

Caracteristicile unor oțeluri de matrițe pentru prese și mașini de forjat orizontale

Marca	Clasa oțelului	Norma	Analiza chimică medie %							
			C	Mn	Si	Cr	Ni	W	V	Mo
VSCW20	W-Cr	STAS 3611-66 RSR	0,5	max. 0,4	0,65	1,15	—	2,25	0,22	—
VSCW45	W-Cr	Idem	0,3	max. 0,4	0,75	1,15	—	4,5	0,22	—
VCW85	W-Cr	Idem	0,35	max. 0,4	max. 0,3	2,35	—	8,25	0,35	—
4HV25	W-Cr-Si	GOST 5950-51 URSS	0,4	0,3	0,75	1,15	—	max. 0,3	2,25	—
38SiCrV8	Cr-Si	VDEh 224 RFG	0,38	0,4	1,3	1,3	—	—	0,10	—
H12	W-Cr-Si Mo	SAE/AISI SUA	0,4	max. 0,35	1	5	—	1,25	0,25	1,5
45CrMoW58	Cr-V-Si W	VDEh 2603 RFG	0,45	0,9	0,6	2,0	—	0,5	0,8	0,5
X45NiCrMo4	Ni-Cr-W	VDEh 2767 RFG	0,4	0,5	0,25	1,3	4	0,5	—	0,2

Interval de forjare °C	Duritatea după revenire (la temperatura, °C), daN/mm <sup>2</sup>										Utilizare	Echivalenți
	300	350	400	450	500	550	600	650	670	700		
1100—850	—	—	180	170	160	150	130	120	110	100	Matrițe, ștanțe, poansoane, dornuri, pastile	45WCrV7/VDEh 2542—440 W20 Italia
1100—850	—	—	—	—	165	155	150	140	128	110	Înlocuitor W 85 la solicitări mai reduse, pastile ptr. șuruburi, neferoase etc.	X30WCrV41/VDEh 2564 WWS Polonia
1100—900	—	—	—	—	180	180	175	160	140	120	Matrițe pentru MFO supape electrorefulate etc.	30WCo9-03/AFNOR Franța
1050—850	—	—	—	165	160	145	130	115	110	100	Dornuri, cuțite răcite cu apă	35 WCrV/VDEh-2541
1050—850	180	170	165	160	150	140	125	110	—	—	Suport de matrițe, foarte solicitate pentru perforare la cald etc.	44HS-GOST
1100—850	—	—	—	—	—	190	170	125	110	100	Matrițe foarte solicitate ptr. prese rapide	X37 CrMoW 51/VDEh 2606
1050—850	—	—	—	—	180	175	170	155	125	100	Matrițe pentru prese rapide	
1050—850	—	170	165	155	145	140	130	120	—	—	Matrițe pentru piese cu profile complicate	35NCD 14-06/AFNOR Franța

1	Piese forjate lungi cu tije	11	Deformarea unei porțiuni	Rotund	Axial, plin	Diferite secțiuni	Excentric	Plin	Perforat
2	Piese forjate fără tije	21	Deformarea unei porțiuni	Rotund	Alte secțiuni	Diferite secțiuni	Excentric	Plin	Perforat
3	Piese forjate din bară sau semifabricat mai multor porțiuni	31	Deformarea unei porțiuni	Rotund	Alte secțiuni	Diferite secțiuni	Excentric	Plin	Perforat
4	Piese forjate din semifabricat mai multor porțiuni	41	Deformarea unei porțiuni	Rotund	Alte secțiuni	Diferite secțiuni	Excentric	Plin	Perforat
5	Piese forjate din semifabricat mai multor porțiuni	51	Deformarea unei porțiuni	Rotund	Alte secțiuni	Diferite secțiuni	Excentric	Plin	Perforat
6	Piese forjate din semifabricat mai multor porțiuni	61	Deformarea unei porțiuni	Rotund	Alte secțiuni	Diferite secțiuni	Excentric	Plin	Perforat
7	Piese forjate din semifabricat mai multor porțiuni	71	Deformarea unei porțiuni	Rotund	Alte secțiuni	Diferite secțiuni	Excentric	Plin	Perforat
8	Piese forjate din semifabricat mai multor porțiuni	81	Deformarea unei porțiuni	Rotund	Alte secțiuni	Diferite secțiuni	Excentric	Plin	Perforat
9	Piese forjate din semifabricat mai multor porțiuni	91	Deformarea unei porțiuni	Rotund	Alte secțiuni	Diferite secțiuni	Excentric	Plin	Perforat
10	Piese forjate din semifabricat mai multor porțiuni	101	Deformarea unei porțiuni	Rotund	Alte secțiuni	Diferite secțiuni	Excentric	Plin	Perforat
11	Piese forjate din semifabricat mai multor porțiuni	111	Deformarea unei porțiuni	Rotund	Alte secțiuni	Diferite secțiuni	Excentric	Plin	Perforat
12	Piese forjate din semifabricat mai multor porțiuni	121	Deformarea unei porțiuni	Rotund	Alte secțiuni	Diferite secțiuni	Excentric	Plin	Perforat
13	Piese forjate din semifabricat mai multor porțiuni	131	Deformarea unei porțiuni	Rotund	Alte secțiuni	Diferite secțiuni	Excentric	Plin	Perforat
14	Piese forjate din semifabricat mai multor porțiuni	141	Deformarea unei porțiuni	Rotund	Alte secțiuni	Diferite secțiuni	Excentric	Plin	Perforat
15	Piese forjate din semifabricat mai multor porțiuni	151	Deformarea unei porțiuni	Rotund	Alte secțiuni	Diferite secțiuni	Excentric	Plin	Perforat
16	Piese forjate din semifabricat mai multor porțiuni	161	Deformarea unei porțiuni	Rotund	Alte secțiuni	Diferite secțiuni	Excentric	Plin	Perforat
17	Piese forjate din semifabricat mai multor porțiuni	171	Deformarea unei porțiuni	Rotund	Alte secțiuni	Diferite secțiuni	Excentric	Plin	Perforat
18	Piese forjate din semifabricat mai multor porțiuni	181	Deformarea unei porțiuni	Rotund	Alte secțiuni	Diferite secțiuni	Excentric	Plin	Perforat
19	Piese forjate din semifabricat mai multor porțiuni	191	Deformarea unei porțiuni	Rotund	Alte secțiuni	Diferite secțiuni	Excentric	Plin	Perforat
20	Piese forjate din semifabricat mai multor porțiuni	201	Deformarea unei porțiuni	Rotund	Alte secțiuni	Diferite secțiuni	Excentric	Plin	Perforat

Fig. 8.31. Posibilități de matrițare pe mașinile de forjat orizontale

În mărimea proiecției suprafeței de refulare este trecută și bavura pentru piese la care aceasta nu se poate evita. Forța mașinii variază după o curbă descendentă (fig. 8.34). Mărimea cursei active a poansonului se alege în așa fel încât forța de deformare să fie sub cursă.

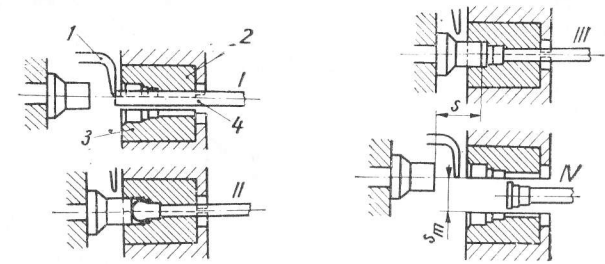


Fig. 8.32. Fazele procesului de matrițare (refulare) la mașinile de forjat orizontale:

1 — opritori; 2 — matriță fixă; 3 — matriță mobilă; 4 — semifabricat; s — cursa poansonului;  $s_m$  — deschiderea matriței; I, II, III, IV — fazele de lucru

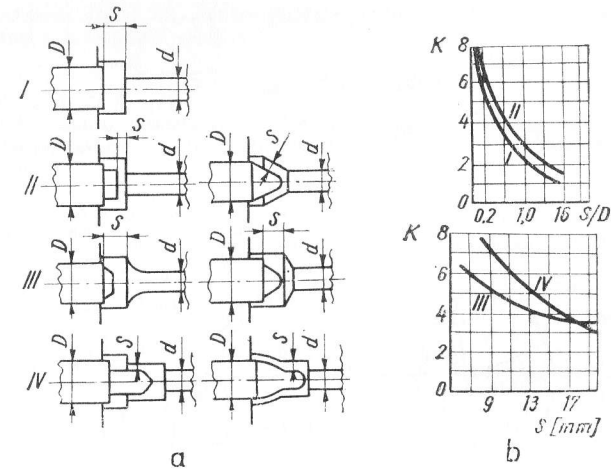


Fig. 8.33. Schema (a) și grafice (b) pentru stabilirea coeficientului K.

Pentru determinarea rapidă a eforturilor de refulare în funcție de complexitatea piesei se întrebuințează nomograma din fig. 8.35.

8.6.2.2. UTILAJ PENTRU MATRIȚARE PE MFO. Utilajul are puteri foarte mari (500—30 000 kN) pentru un diametru al semifabricatelor de 25—225 mm și lungimi ale cursei de 80—400 mm. Numărul curselor variază între 15—80 curse/min. Principiul de lucru al mașinilor este reprezentat în fig. 8.36.



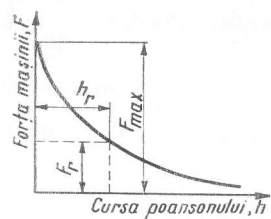


Fig. 8.34. Variația forței mașinii de forjat orizontal cu cursa poansonului

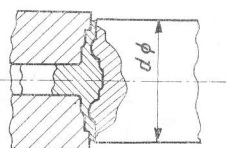
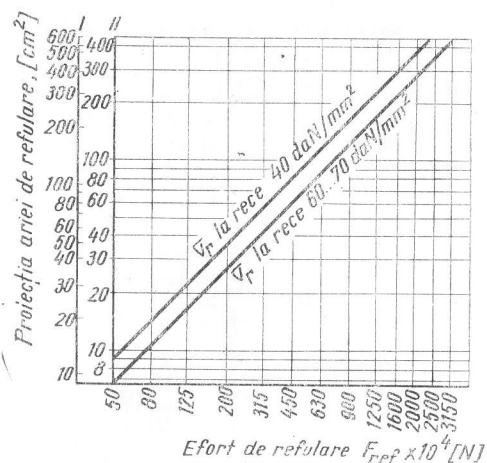
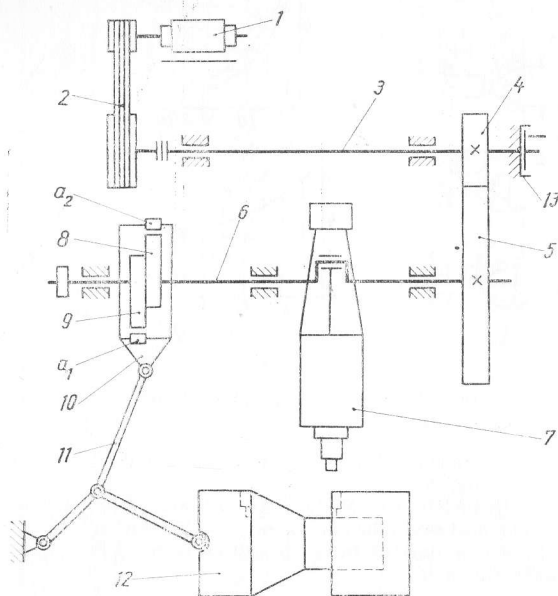


Fig. 8.35. Nomogramă pentru determinarea efortului necesar la refularea pe mașini de forjat orizontale:

I — piese cu configurație simplă (roți, volanți, inele); II — piese cu configurație complexă

Fig. 8.36. Schema cinematică a mașinii de forjat orizontal:

1 — motor electric; 2 — curele de transmisie; 3 — arbore intermediar; 4, 5 — roți dințate; 6 — arbore principal; 7 — berbec; 8, 9 — sistem cu came; 10 — sanie laterală; 11 — sistem de pîrghie; 12 — semimatriță mobilă; 13 — frînă;  $a_1$  și  $a_2$  — role



8.6.2.3. SCULE PENTRU DEFORMARE. Matrița cuprinde următoarele părți: **Zona de strîngere** (fig. 8.37). Lungimea porțiunii de strîngere  $l$  se calculează cu relația  $l \geq 2,5 d_{st} + 50$  mm în care  $d_{st}$  este diametrul semifabricatului inițial.

Pentru semifabricate laminate diametrul orificiului de strîngere este  $d_{st} + 2 \Delta$ , unde  $\Delta$  este abaterea de la cota nominală a laminatului. Pentru bare profilate diametrul

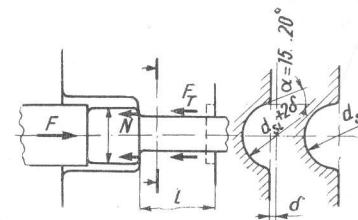


Fig. 8.37. Zona de strîngere a matriței

orificiului se ia egal cu diametrul semifabricatului inițial în stare rece. Suprafața rugoasă a orificiului ca și dilatarea materialului în cazul deformării la cald va asigura strîngerea necesară.

**Zona de refulare** (fig. 8.38). Pentru ghidarea corespunzătoare a poansonului se recomandă respectarea următoarei relații:

$$l_{cm} \geq l - l_{cp} + 3a \quad [\text{mm}], \quad (8.32)$$

în care:  $l_{cm}$  este adîncimea cavității matriței, mm;  $l_{cp}$  — adîncimea cavității poansonului;  $l$  — lungimea porțiunii de bară supusă refulării;  $a = 2 \dots 5$  mm — lățimea dega-

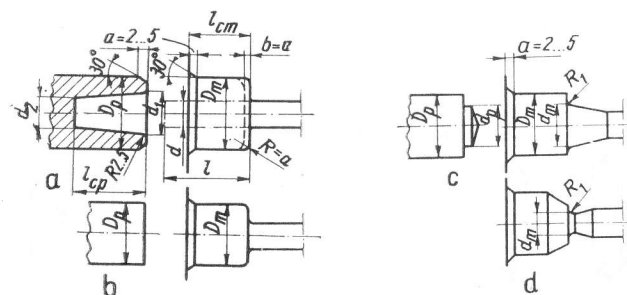


Fig. 8.38. Zona de refulare a matriței

jării la matriță și poanson precum și jocul lăsat la sfîrșitul cursei între fața poansonului și fundul cavității matriței.

Diametrul matriței și poansonului în zona de ghidare

$$D_m \geq 1,5 d + 12 \text{ mm}; \quad D_p = D_m + 2j \quad (8.33)$$

Jocul  $2j$  între  $D_p$  și  $D_m$  se calculează cu relația:

$$2j = \frac{d_{s \max}}{250} + (0,3 \dots 0,5) \quad [\text{mm}]. \quad (8.34)$$

Se recomandă:  $d_2 = (1,02 \dots 1,05)d$ ;  $d_1 = (1,25 \dots 1,5)d$ ;  $R_1 \leq 1 \text{ mm}$ .

**Zona de perforare** (fig. 8.39). Dacă  $d_0$  este diametrul găurii, atunci diametrul poansonului se ia  $D_p = 1,01 d_0 \text{ mm}$ . Poansonul este mai întâi ghidat într-un orificiu care are următoarele dimensiuni:

$$D_g = 1,005 D_p \text{ și } l \leq 0,2 D_p + 10 \text{ mm}.$$

Dimensiunile cavității matriței care cuprinde piesa deformată (secțiunea A-B) sînt:  $D = 1,015 D_0 + \Delta$ ;  $l_m = l_p + (5 \dots 8)$ , în mm, unde:  $D_0$  este diametrul piesei forjate;  $l_p$  — lungimea piesei forjate;  $D$  — diametrul matriței;  $l_m$  — lungimea matriței;  $\Delta$  — toleranța pozitivă la forjare (STAS 1299-66);  $a = 0,04 D_0 + 2 \text{ mm}$ . Pentru ca perforarea să se facă corespunzător bara este mai întâi gîtuită la valoarea  $d_s = 1,015 d_0 + 0,3 \text{ mm}$  pe lungimea  $l_g = 0,04 D_0 + 2 \text{ mm}$ .

Ghidarea barei se face într-un inel de ghidare cu diametrul  $d_g = 1,03 d + 2 \text{ mm}$ .

**Zona de gîtuire** (fig. 8.40). Are ca scop aducerea materialului la o dimensiune apropiată de cea a orificiului perforat atunci cînd bara care se perforază are diametru mai

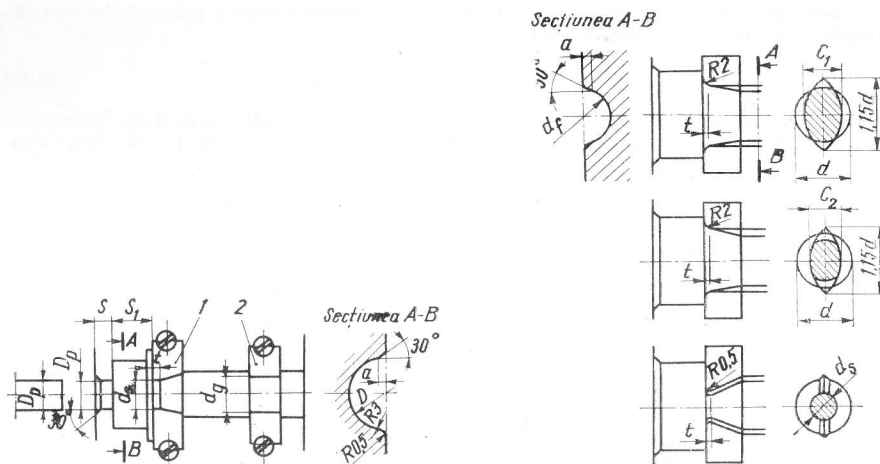


Fig. 8.39. Zona de perforare a matriței

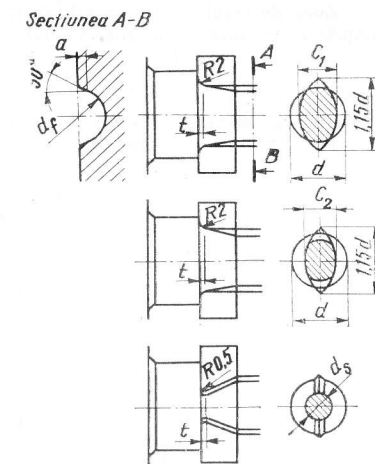


Fig. 8.40. Zona de gîtuire a matriței

mare decît al orificiului. Gîtuirea se execută de obicei în mai multe faze. Pentru bare cu diametrul  $d < 80 \text{ mm}$ , reducerea se face la valoarea  $d_s \geq 0,6 d$  iar pentru  $d > 80 \text{ mm}$  — la valoarea  $d_s \geq 0,7 d$ . La gîtuirea în trei cavități, axa mică a elipsei devine:  $c_1 = (0,7 \dots 0,8) d$ , după prima fază și după o rotire cu  $90^\circ$  și  $c_2 = (0,58 \dots 0,68) d$ , după a doua fază. În ultima fază de matrișare,  $d_1 = (0,6 \dots 0,7) d$ . Grosimea bușei de gîtuire este  $l_g = 0,04 d + 2 \text{ mm}$ , iar țesirea în planul de separație  $a = 0,08 d + 2 \text{ mm}$ . Pentru

economisirea materialelor folosite la inelele gîtuite se face cu ajutorul unor bușe demontabile. Forma bușelor de gîtuire este dată în fig. 8.41.

**Zona de tăiere** (fig. 8.42). Pentru  $d \leq 30 \text{ mm}$  tăierea se face într-o singură fază, iar pentru  $d \geq 30 \text{ mm}$  tăierea se face în două sau mai multe faze. Tăierea se execută

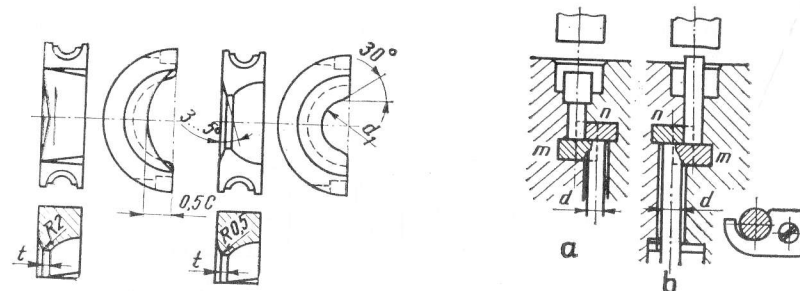


Fig. 8.41. Forma bușelor de gîtuire — bușă pregătitoare, bușă finală

Fig. 8.42. Schema tăierii unui semifabricat din bară în 2 variante:

a — bara se deplasează în cursul tăierii spre dreapta; b — piesa tăiată se deplasează spre dreapta, bara rămînînd pe loc

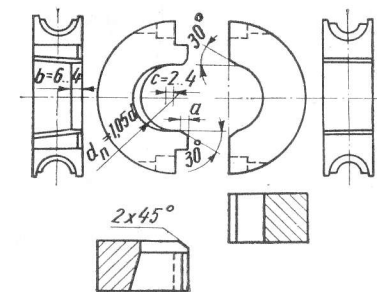


Fig. 8.43. Bușe de tăiere

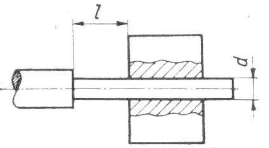
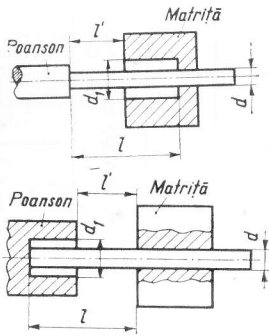
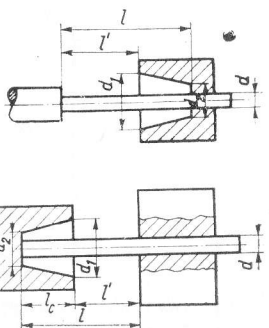
cu ajutorul a două bușe de sprijin  $n$  și  $m$  sub forma unui cuțit semicircular care apasă pe bară pînă la închiderea matriței cînd are loc tăierea barei. Forma bușelor de tăiere se dă în fig. 8.43.

8.6.2.4. PROCESUL TEHNOLOGIC, PROBLEME SPECIFICE. La proiectarea procesului tehnologic se ține seamă de următoarele: numărul fazelor de deformare să fie mic (5—6); refulările se prevăd a fi executate în poanson pentru evitarea formării bavurilor ce s-ar putea imprima în piesă; se evită curgerile masive de material; bavurile se



Tabelul 8.16

Condițiile refulării materialului la o singură trecere în funcție de tipul refulării

Tipul refulării	Schema refulării	Condițiile refulării
Deschisă		$\frac{l}{d} \leq 3$ Valoarea maximă se adoptă în cazul în care se asigură o centrare foarte bună
Închisă	a. Locaș în matriță sau în poanson de formă cilindrică 	Dacă $\frac{l}{d} > 3$ atunci pentru: $d_1 = (1,25 \dots 1,5)d$ ; $l' \leq d$ $d_1 \leq 1,25d$ $l' \leq 1,5d$ Pentru limite în afara celor de mai sus refularea se face în mai multe treceri
	b. Locaș în matriță sau în poanson de formă conică 	Dacă $\frac{l}{d} > 3$ atunci pentru: $d_1 = (1,25 \dots 1,5)d$ ; $l' \leq 2d$ $d_1 \leq 1,25d$ $l' \leq 3d$ $d_2 = (1,02 \dots 1,05)d$ $l_c = \frac{3ld^2}{d_1^2 + d_2^2 + d_1 \cdot d_2} \geq 0,5l$ Pentru limite în afara celor de mai sus refularea se face în mai multe treceri

## 8.6.3. MATRIȚAREA PRIN EXTRUDARE A MATERIALELOR METALICE

8.6.3.1. DEFINIȚIE ȘI CLASIFICARE. Extrudarea este procedeul de prelucrare prin deformare plastică care constă în presarea materialului într-o matriță cu trecerea lui forțată prin orificiul acesteia, de secțiune transversală mai mică decât cea a semifabricatului inițial (fig. 8.47). Semifabricatul 4 sub acțiunea poansonului 1 și a presăaibei 3,

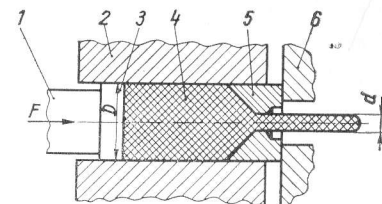


Fig. 8.47. Schema extrudării:

1 - poanson; 2 - container; 3 - presăaibă;  
4 - semifabricat; 5 - matriță; 6 - suport

acționată de o forță  $F$  este obligat să treacă prin orificiul matriței 5 luind forma acestuia.

Clasificarea procedului de extrudare se face după sensul de curgere al materialului în raport cu sensul forței de lucru (tabelul 8.17). După temperatura de lucru extrudarea are loc la cald sau la rece.

Extrudarea se folosește pentru obținerea de piese sau profile cu secțiune plină sau tubulară de mărime constantă sau variabilă. Semifabricatele utilizate sînt de forma unor pastile pline a căror suprafață este egală cu secțiunea transversală a containerului. În cazul extrudării directe a pieselor tubulare semifabricatele sînt găurite în prealabil corespunzător diametrului exterior al dornului de lucru.

8.6.3.2. CONSIDERAȚII ASUPRA PROCEDEULUI. Deformarea metalului în volumul semifabricatului este neuniformă. Schema stării de tensiune în semifabricat și distribuția presiunilor pe suprafața lui de extrudare rezultă din fig. 8.48.

Asupra curgerii materialului și a neuniformității deformăției influențează următorii factori: unghiul de înclinare al orificiului matriței (fig. 8.49), unghiul  $\alpha = 45 \dots 65^\circ$ ,

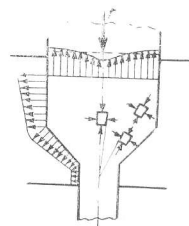


Fig. 8.48. Schema stării de tensiune în semifabricat și distribuția presiunilor pe suprafața lui la extrudarea directă.

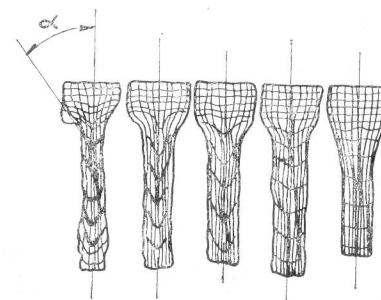
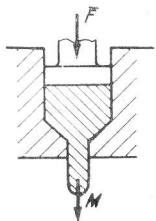
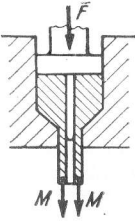
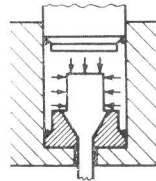
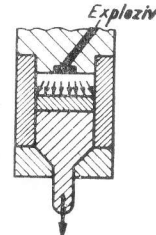


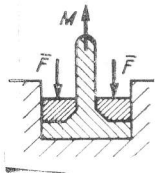
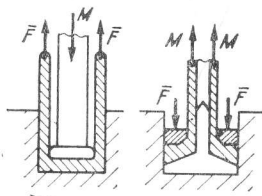
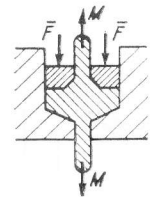
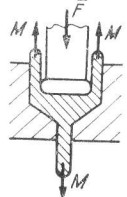
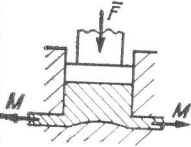
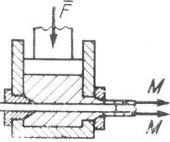
Fig. 8.49. Influența conicității matriței asupra uniformității curgerii materialului la extrudarea directă.

Tabelul 8.17

## Clasificarea procedului de extrudare

Criteriul de clasificare		Schița pentru	
După sensul de deplasare a materialului în raport cu sensul forței de deformare	După natura forței de presare	Profile pline	Profile tubulare
1	2	3	4
Directă	mecanică		
	hidraulică (hidrostatică)		
	explozie		

Tabelul 8.17 (continuare)

1	2	3	4
Indirectă	Mecanică		
Mixtă	Mecanică		
Laterală	Mecanică		

valorile mai mici alegându-se pentru materialele cu plasticitate redusă; diferența de temperatură dintre sculă și materialul ce se extrudează; forțele de frecare exterioare.

Indiferent de restul condițiilor de lucru neuniformitatea deformăției este cu atât mai pronunțată cu cât forțele de frecare exterioară sînt mai mari. Reducerea lor se face prin ungerea semifabricatelor înainte de deformare.

Principalele tipuri de piese ce se pot extruda sînt date în tabelul 8.18. Toleranțele impuse depind de forma și mărimea piesei ce se extrudează și variază între 0,1—0,3 mm pentru toate dimensiunile în afara lungimii piesei finite la care toleranțele admise sînt cuprinse între  $\pm 1,5 \dots \pm 2$  mm.

Precizia pieselor extrudate depinde de: matriță (toleranțele executării, starea de uzură, deformarea elastică a ei etc.); utilajul de lucru (construcție, rigiditate, precizia ghidajelor etc.); semifabricat (variațiile de rezistență a materialului, jocul la așezarea în matriță etc.).

La materialele care se prelucraază prin extrudare se recomandă ca valoarea presiunii de deformare să fie  $p \leq 250 \text{ daN/mm}^2$ ; valoarea rezistenței la rupere pentru materialul



Tipul pieselor	Piese pline cu capete diferite	Piese pline cu lăți în trepte	Combinații ale caracteristicilor din gr. I și II	Piese tubulare și forme de cupă cu pereți groși sau subțiri	Piese cavități cu pereți etajați	Combinații ale caracteristicilor din gr. IV și V
Forma pieselor						
Grupa	I	II	III	IV	V	VI

utilizat să fie  $\sigma_r < 50 \text{ daN/mm}^2$ ; raportul  $\frac{p}{\sigma_r} = 5 \dots 7$  pentru extrudarea la rece și mai mic pentru extrudarea la cald.

**Calculul forțelor de extrudare.** Valoarea forței de extrudare este influențată de: rezistența la deformare a materialului; gradul de reducere pentru o singură cursă; valoarea forțelor de frecare; tipul extrudării; complexitatea piesei; forma și dimensiunile semifabricatului inițial.

Relația generală pentru calculul forțelor de extrudare este

$$F = pA \quad [\text{daN}], \quad (8.35)$$

în care:  $p$  este presiunea la deformare a materialului,  $\text{daN/mm}^2$  (tabelul 8.19);  $A$  — aria transversală a părții active a poansonului,  $\text{mm}^2$ .

Utilajul utilizat pentru extrudare trebuie să îndeplinească următoarele condiții: forța nominală trebuie să fie eficientă pe o distanță mare înainte de punctul mort inferior, iar aria capacității de lucru mecanic să fie cât mai mare (fig. 8.50); mașinile să fie rigide și să nu prezinte nici un semn de arcuire între masă și berbec chiar la încărcări excentrice; ghidajele berbecului să fie lungi; ambreiajul și frâna să asigure funcționarea perfectă și rapidă a ansamblului sculei și dispozitivului de alimentare, posibilitatea maximă de reglaj și o distanță mică de frinare; presele mecanice trebuie să aibă motoarele, angrenajele, volanetele și frânele mai mari ca la cele clasice, iar presele hidraulice se concep în așa fel încât să mențină presiunea de vîrf pe durata întregului ciclu de extrudat; utilajele se prevăd cu dispozitive de aruncare care să funcționeze sincron cu restul mișcărilor; numărul de curse trebuie să fie mai mare pentru a se asigura o utilizare economică a mașinii.

**Scule pentru extrudare.** Forma generală a unei scule pentru extrudare se dă în fig. 8.51. Principalele părți componente sînt matrița și poansonul.

Forma generală a matrițelor pentru extrudare directă și inversă se dă în fig. 8.52. O matriță pentru extrudare cuprinde trei părți principale: conul de deformare; cilindrul de calibrare; conul de ieșire. Principalele dimensiuni ale matrițelor sînt date în tabelul 8.20.

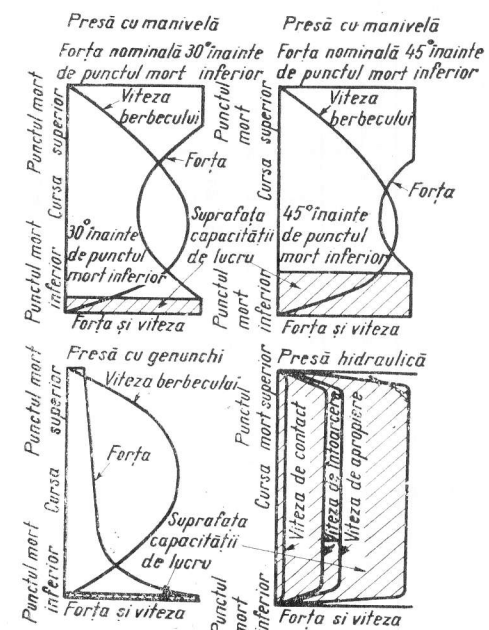


Fig. 8.50. Mărimea suprafeței capacității de lucru pentru diferite prese.

Tabelul 8.19

Valoarea presiunii specifice  $p$ , daN/mm<sup>2</sup>

Felul extrudării	Presiunea specifică $p$ [daN/mm <sup>2</sup> ]				
	Al	Cu	Am	OL	
Directă	40...60	80...100	100...130	170...220	
Inversă	80...120	150...200	200...250	220...280	

Tabelul 8.20

Dimensiunile principale ale matrițelor pentru extrudarea directă

Schița matriței	$d$ [mm]	$d_1$ [mm]	$2\alpha^\circ$		$R$ [mm]	$R_1$ [mm]	$h$ [mm]
			Zn, Cu, Al	Alamă, oțel			
	pînă la 5	$d + 1$	150...180	120...150	0,25	0,1	1,0
	5...10	$d + 1,5$	150...180	120...150	0,5	0,2	1,5
	10...30	$d + 2$	150...180	120...150	1,0	0,5	2,0
	30...50	$d + 2$	140...160	120...140	1,5	0,5	3,0
	peste 50	$d + 3$	140...160	140	2,0	1,0	4,0

Clasificarea principalelor tipuri de matrițe se dă în tabelul 8.21.

Alegerea formei constructive a matriței depinde de configurația pieselor ce se extrudează și de materialul acestora. La piesele mici de configurație simplă (fig. 8.53, a) matrița se execută dintr-o singură bucată, iar pentru piesele cu configurație complexă

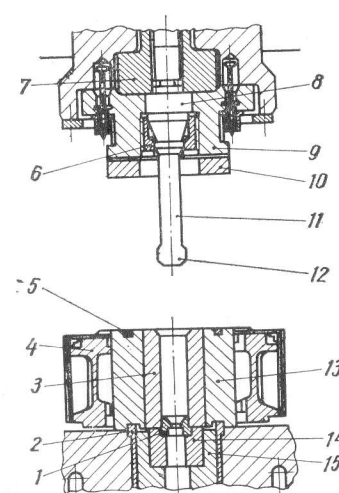


Fig. 8.51. Sculă pentru extrudare:

1 - matriță; 2 - bușă de centrare; 3 - manșon de lucru al containerului; 4 - carcasa dispozitivului de încălzit; 5 - găuri de centrare; 6 - inel filetat; 7 - inel de reazem; 8 - placă de reazem; 9 - cap de fixare; 10 - inel; 11 - poanson; 12 - partea activă poansonului; 13 - container; 14 - suportul matriței; 15 - cap de susținere a suportului matriței

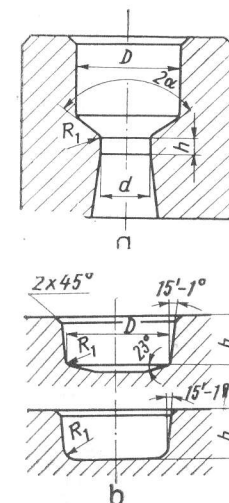


Fig. 8.52. Geometria matrițelor:

a - pentru extrudare directă;  
b - pentru extrudare inversă

matrița se execută din două părți: containerul și matrița propriu-zisă care joacă rol de calibrare (fig. 8.53, b).

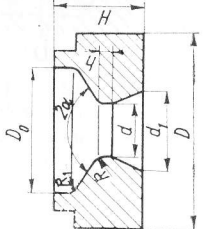
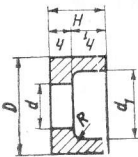
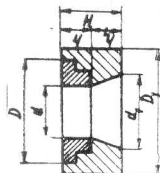
Dimensiunile containerului sint:  $D_0 = d_{st} + (2 \dots 10)$ , mm;  $H_0 = h_{st} + (10 \dots 30)$  mm. Diametrul exterior al containerului

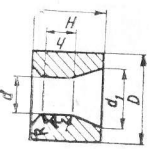
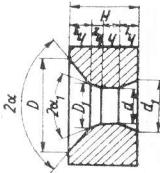
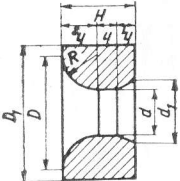
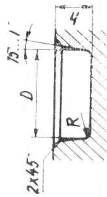
$$D = CD_0 \cdot e^{\frac{p_l}{\sigma_c}} \quad [\text{mm}], \quad (8.36)$$

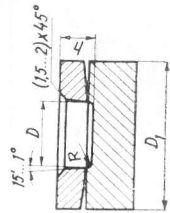
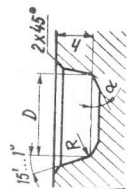
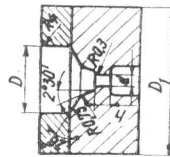
în care:  $p$  este presiunea laterală în container;  $\sigma_c$  - limita de curgere a materialului matriței;  $C = 1,2 \dots 1,3$  - coeficient de siguranță.

Pentru solicitări foarte mari ( $p > 250$  daN/mm<sup>2</sup>), în cazul materialelor cu plasticitate mică, containerul se execută din mai multe inele fretate (fig. 8.54). Dimensiunile orificiului se prezintă în tabelul 8.20, iar pentru diametrele exterioare se recomandă valorile:  $D_1 = (1,8 \dots 2) D_0$  și  $D_2 = (2 \dots 2,5) D_1$ .

Tabelul 8.21  
Tipuri de matriță pentru extrudare

Tipul de extrudare	Matrița	Schița matriței	Caracteristici generale
Directă	Conică		$D = (1,5...2)D_0$ ; $H = 20...80$ mm Înălțimea $h$ se poate mări la $h = 5...10$ mm pentru materiale greu deformabile pentru a împiedica uzura prematură a matriței.
Directă	Plană dintr-o singură bucată		$H = 20...80$ mm; $2\alpha = 180^\circ$ ; $D = 2d$ ; $R = 2...3$ mm Matrița se utilizează pentru materiale cu plasticitate ridicată.
Directă	Plană cu pastilă detașabilă din material dur		$H = 20...80$ mm; $h = h_1 = 1/2 H$ ; $2\alpha = 180^\circ$ ; $D = (1,8...2)d$ ; $D_1 = 2D$

Directă	Plan-conică		$H = 20...80$ mm; $D = 2d$ .
Directă	Cu conicitate dublă		$H = 20...80$ mm; $2\alpha_1 = 50...90^\circ$ ; $h = h_2$ . Se întrebunțează pentru materialele cu plasticitate mică sau pentru grade mari de deformare
Directă	Radială		$H = 20...80$ mm; $R = \frac{D-d}{2}$ ; $D = f(\alpha)$ ; $D_1 = (1,8...2)D$ .
Inversă	Cu fundul drept (dintr-o bucată)		$R = 1...2$ mm; $h \leq 1,5 h_{si}$ ( $h_{si}$ — înălțimea semifabricatului inițial)

Tipul de extrudare	Matrița	Schița matriței	Caracteristici generale
Inversă	Cu fundul drept (din 2 bucăți)		$R = 1...2 \text{ mm}; h \leq 1,5 h_{st}, D_1 = (1,8...2)D$
Inversă	Cu fundul conic		$R = 1...2 \text{ mm}; \alpha = 20...25^\circ; h \leq 1,5 h_{st}$
Combinată			$D_1 = (1,8...2)D$

Poansonul este format din trei părți (fig. 8.55): dispozitivul de prindere, corpul poansonului și partea activă.

Partea activă are același diametru cu corpul poansonului în cazul extrudării directe când partea activă are numai rol de presare și diametru mai mare în cazul extrudării inverse pentru ca frecarea să se facă numai de-alungul înălțimii  $h$ . Tipurile cele mai reprezentative de poansoane sînt date în fig. 8.56.

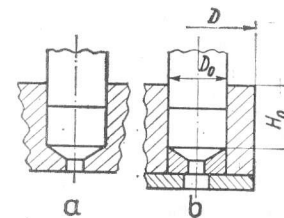


Fig. 8.53. Forme constructive ale matriței

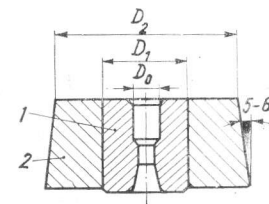


Fig. 8.54. Matriță compusă din două inele fretate

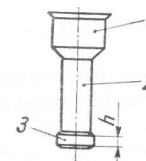


Fig. 8.55. Forma generală a poansonului folosit la extrudare:

1 - dispozitiv de prindere; 2 - corpul poansonului; 3 - partea activă

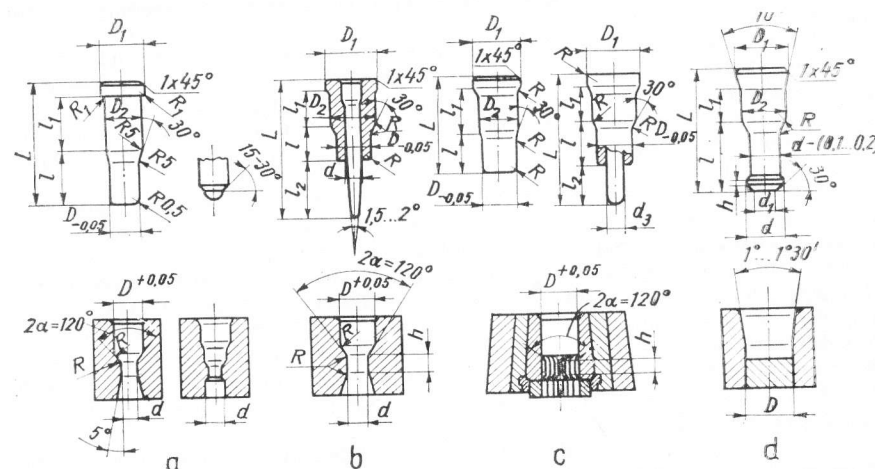


Fig. 8.56. Tipuri de poansoane folosite la extrudare:

a - poanson pentru extrudarea directă a pieselor tip tijă cu sau fără cap; b - poanson pentru extrudarea directă a pieselor tubulare; c - poanson pentru extrudarea directă a pieselor profilate (roți dințate); d - poanson pentru extrudarea indirectă a pieselor tubulare

Partea activă a unui poanson pentru extrudarea inversă are formele arătate în fig. 8.57.

Dimensiunile caracteristice ale poansoanelor sînt:  $R = 1 \dots 5 \text{ mm}$ ;  $\frac{l}{D(d)} = 2,5 \dots 3$ , în cazul extrudării oțelurilor și  $\frac{l}{D(d)} \leq 6$ , în cazul extrudării metalelor

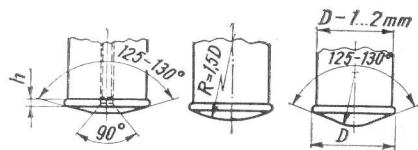


Fig. 8.57. Forma părții active a poansoanelor pentru extrudare inversă

neferoase. Pentru un diametru  $D$  sau  $d$  impus, rezultă:  $l_1 = (0,5 \dots 2)D_2$ ; lungimea  $l_2$  se alege fie conform raportului  $\frac{l_2}{d_3} = 2,5 \dots 3$ , fie corespunzător înălțimii semifabricatului inițial, și anume  $l_2 = (1,5 \dots 2)h_{si}$ ;  $D_2 = 1,5 D$ , pentru poansoanele utilizate la extrudarea directă și  $D_2 = 1,5 d$ , pentru poansoanele utilizate la extrudarea indirectă;  $D_1 = 1,5 D_2$ ; înălțimea  $h$  a părții active în cazul extrudării inverse se recomandă a fi  $h = 2 \dots 5 \text{ mm}$ , pentru neferoase și  $h = 2 \dots 10 \text{ mm}$ , pentru oțel (valorile maxime se recomandă pentru extrudarea la rece sau pentru metale cu plasticitate mică, pentru a preîntîmpina uzura rapidă a părții active).

Pentru toate părțile active atît la matriță cit și la poanson se recomandă o duritate de 60–63 HRC. Asupra durabilității în exploatare a sculelor mai influențează: ungerea; viteza de lucru; centrarea sculelor; rigiditatea utilajului de lucru etc.

Pentru extrudarea metalelor neferoase se recomandă folosirea oțelului carbon pentru scule conform STAS 1700-64; pentru extrudarea metalelor feroase se folosesc oțelurile aliate pentru scule conform STAS 3611-66.

8.6.5.3. PROCESUL TEHNOLOGIC, DE EXTRUDARE cuprinde următoarele grupe de operații: execuția semifabricatului; pregătirea pentru extrudare; extrudarea; efectuarea operațiilor suplimentare; controlul tehnic de calitate.

Pentru proiectarea corectă a procesului tehnologic de fabricație se recomandă: analiza proprietăților mecanice impuse piesei finite corespunzător condițiilor ei de exploatare (rezistență la tracțiune, duritate etc.); alegerea corespunzătoare a materialului și a eventualelor tratamente termice; alegerea corespunzătoare a toleranțelor de realizare a piesei în așa fel încît utilajul existent să asigure precizia maximă atît din punct de vedere dimensional, cit și al calității suprafeței; stabilirea seriei minime pentru care extrudarea devine rentabilă.

Avantajele extrudării: se pot deforma plastic metalele și aliajele cu plasticitate redusă datorită stării de tensiune de comprimare triaxială; se obțin piese finite cu complexitate ridicată; precizia dimensională și calitatea suprafețelor este bună; economiile de material realizate sînt de 25–75%; la extrudarea la rece a oțelului fenomenul de ecruisare permite folosirea materialelor mai ieftine; procedeul se poate aplica la rece și la cald.

#### 8.6.4. MATRIȚAREA CU VITEZE MARI DE DEFORMARE

Matrițarea cu viteze mari de deformare este o variantă a matrițării clasice la care viteza sculelor de lucru este mult mărită. Astfel, în timp ce la matrițarea pe mașini universale viteza de deplasare a părților active nu depășește 7 m/s, la mașinile pentru deformarea cu viteze mari viteza de deplasare a părților active este 30–120 m/s pentru instalațiile mecano-pneumatice și de 500–1 500 m/s în cazul folosirii substanțelor explozive brizante.

Principalele procedee de matrițare cu viteze mari de deformare sînt: matrițarea mecano-pneumatică; matrițarea hidroelectrică; matrițarea electromagnetică; matrițarea prin explozie.

8.6.4.1. CONSIDERAȚII ASUPRA PROCEDEULUI. Avantaje: piesele de formă complexă se obțin la o singură lovitură a sculelor de lucru; metalul curge cu viteze foarte mari în spații înguste umplînd bine locașul matriței; toleranțele realizate variază între  $\pm 0,025 \dots \pm 0,125 \text{ mm}$ , ceea ce permite eliminarea operațiilor suplimentare de prelucrare; pierderile de metal sînt minime; piesele sînt omogene din punct de vedere structural și al proprietăților mecanice; prețul de cost al matrițelor este mic; procedeul se pretează și pentru serii mici; viteza mare de lucru permite reducerea greutății maselor în mișcare. Greutatea acestora se calculează cu relația

$$G_s = 2k \frac{Lg}{v^2} \quad [\text{N}], \quad (8.37)$$

în care:  $L$  este lucru mecanic de lovire, J;  $g$  — accelerația gravitațională, m/s<sup>2</sup>;  $v$  — viteza de lovire, m/s;  $k$  — raportul între cantitățile de energie cedată de cele două părți în mișcare  $\leq 1$ .

Datorită timpului scurt de lucru pierderile de căldură ale semifabricatului supus deformării sînt mici și plasticitatea se menține la valoarea ei superioară. Solicitarea termică mică mărește mult durabilitatea sculelor.

Cu creșterea vitezei de deformare, crește și rezistența la deformare a materialului prezentînd un maxim (datorită ecruisării) după care rezistența la deformare se reduce datorită efectului termic al vitezei de deformare.

8.6.4.2. UTILAJ PENTRU MATRIȚAREA CU VITEZE MARI DE DEFORMARE. Principalele tipuri de ciocane utilizate în procesul de deformare se dau în fig. 8.58.

Forța de deformare se aplică prin șoc iar agentul de lucru (aer sau gaz sub presiune) acționează direct asupra părților active.

Se folosesc două tipuri de matrițe care depind de forma și toleranțele impuse piesei:

— matrițe închise (fig. 8.59), în care curgerea metalului este limitată de cavitatea interioară; sînt necesare dimensiuni mai mici pentru semifabricat, iar piesele au o structură mai omogenă, o stabilitate mai mare și toleranțe restrînse;

— matrițe deschise (fig. 8.60) pentru prelucrarea cu bavură, utilizate pentru piese subțiri cînd curgerea trebuie să fie mai bună.

Matrițele se construiesc divizate din elemente interschimbabile care să poată fi înlocuite la o uzură mai pronunțată. Duritatea părților active este 46–48 HRC.

Prelucrarea matrițelor se face cu metode clasice sau chiar prin matrițarea cu viteze mari cînd prin aplicarea unei lovituri de către poanson se obține urma dorită.



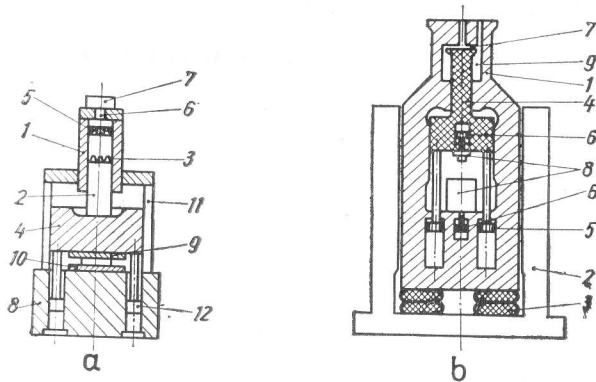


Fig. 8.58. Mașini pentru matrițare cu viteze mari:

a — ciocan acționat cu pulbere; 1 — cilindru; 2 — piston; 3 — dopuri conice; 4 — berbec; 5 — perete cu orificiu; 6 — cameră de ardere; 7 — capac; 8 — plăci de bază; 9 — matriță superioară; 10 — matriță inferioară; 11 — tiranți; 12 — cilindru de reducere; b — ciocan mecanopneumatic (Dy-napak); 1 — cadru liber; 2 — cadru de reazem; 3 — suspensia pneumatică; 4 — piston de lucru; 5 — cilindru de ridicare; 6 — extractoare; 7 — garnitură inelară; 8 — semimatriță; 9 — cilindru de lucru; c — ciocan acționat cu azot sub presiune (Hermes); 1 — batiu; 2 — berbec superior; 3 — berbec inferior; 4 — piston de lucru; 5 — piston liber; 6 — cilindru de lucru; 7 — conductă de ulei; 8 — conductă de gaze; 9 — cameră; 10 — cilindru de amortizare; 11 — cilindru de echilibrare

8.6.4.3. PROCESUL TEHNOLOGIC. PROBLEME SPECIFICE. Semifabricatele se debitează prin tăiere cu ferăstrăul sau prin așchiere la strung, pentru a se asigura suprafețe paralele perpendiculare pe axa lui; încălzirea semifabricatelor se face cu 60–80°

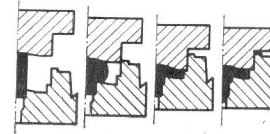


Fig. 8.59. Matriță închisă

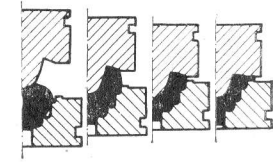


Fig. 8.60. Matriță deschisă

sub temperatura de deformare pentru a compensa creșterea temperaturii datorită efectului termic al vitezei de deformare. Încălzirea se face fără oxidare; pentru ungere se utilizează oxizi de plumb, acoperiri cu cupru sau acoperiri ceramice speciale, soluții pe bază de silicați plus 10% mică, bisulfură de molibden etc.

## BIBLIOGRAFIE

1. BRIUHANOV, A.N. *Kovka i obemnaia stampovka*. Moscova, Mașghiz, 1960.
2. CIJIKOV, M. I. U. *Procedee de deformare plastică a oțelurilor aliate și a aliajelor neferoase speciale*. București, Editura tehnică, 1969.
3. CHIRIȚĂ, V.I. ș.a. *Matrițarea la cald a metalelor*. București, Editura tehnică, 1968.
4. DRĂGAN, I. *Tehnologia forjării și matrițării*. Vol. I și II. București, Editura didactică și pedagogică, 1963.
5. EKIMOV, K.K. *Mecanizarea și automatizarea forjării și matrițării*. București, Editura tehnică, 1962.
6. FAVORSKII, V.E. *Holodnaia stampovka vidavlivaniem*. Moscova, Mașinostroenie, 1966.
7. FILIMONOV, I.F. ȘI POZNIAC, L.A. *Stampovka pressovaniem*. Moscova, Mașinostroenie, 1964.
8. GELEJI, A. *Walzwerksund Schmiedemaschinen*. Berlin, VEB Technik Verlag, 1961.
9. GEUTSCH, H. *Hochleistungsumforming*. Düsseldorf, 1962.
10. GHIZDAVU, V. *Prelucrarea metalelor cu puteri și viteze mari*. București, Editura tehnică, 1967.
11. GUBKIN, S.I. *Plasticeskaia deormaiia metallov*. Vol. I, II, III. Moscova, Metallurgizdat, 1960.
12. HAMBURGER, L. *Forjarea la cald în matrițe*. București, Editura tehnică, 1965.
13. HOUDREMONT, E. *Handbuch der Sonderstahlkunde*. Berlin, Springer Verlag, 1956.
14. IVANOV, A.P. *Modernizația kuznecino șampo vocinovo oburudovania*. Moscova—Leningrad, Mașghiz, 1963.
15. JOLOBOV, V.V. ș.a. *Instrument dlia goreacevo pressovania metallov*, Moscova, Mașinostroenie, 1965.
16. KORNEEV, N.I. ș.a. SKUGAREV, I.I. *Osnovi fizikohimiceskoi teorii obrabotki metallov davleniem*. Moscova, Metallurgizdat, 1960.
17. KRIVADIN, V.A. ș.a. *Cuptoare metalurgice*. București, Editura tehnică, 1963.
18. LANGE, K. *Gesamtschmieden von Stahl*, Berlin, Springer Verlag, 1958.
19. MAKELT, H. *Die Mechanische Pressen*, München, Ganser Verlag, 1961.
20. MANIU, A. *Tehnologia forjării, matrițării și utilaje pentru forjă*. București, Editura didactică și pedagogică, 1968.
21. MANSUROV, A.M. *Tehnologia goreacei stampovki*. Moscova, Mașghiz, 1960.
22. MC. LEAN, D. *Mechanical Properties of Metals*. Ed. Jon Wiley, 1962.
23. MOLDOVAN, V. *Utilajul secțiilor de forjă*. București, Editura tehnică, 1965.
24. PEARSON, C.E., și PARKINS, R.N. *The Extrusion of Metals*, London, 1961.
25. BERLIN, I.L. *Teoria presovania metallov*. Moscova, Metallurgizdat, 1964.
26. POPESCU, V.I. *Tehnologia forjării și extruziunii*, București, Editura didactică și pedagogică, 1967.
27. REBELSKI, A.V. *Osnovi proektirovanija professov goricei obiemnoi stampovki*. Moscova, Mașinostroenie, 1965.
28. RINEHART, I. și PEARSON, J. *Explosive Working of Metals*. Oxford, 1963.
29. SMIRNOV, V.S. ș.a. *Laminarea periodică longitudinală*. București, Editura tehnică, 1964.
30. TARNOVSKI, I.I. ș.a. *Teoria obrabotki metallov devlenie*. Moscova, Metallurgizdat, 1963.

## 9. PRELUCRAREA TABLELOR

### 9.1. DEFINIREA ȘI CLASIFICAREA OPERAȚIILOR DE PRELUCRARE LA RECE A TABLELOR

Prelucrarea tablelor comportă tăierea materialului și deformarea plastică a acestuia. Definirea și clasificarea operațiilor de bază legate de prelucrarea la rece a tablelor se prezintă în tabelul 9.1.

### 9.2. TĂIEREA TABLELOR CU FOARFECI ȘI ȘTANȚE

#### 9.2.1. PROCESUL TĂIERII TABLELOR

Procesul tăierii cuprinde succesiunea a trei faze:

- faza inițială, a deformărilor elastice;
- faza deformărilor plastice, în decursul căreia scula se imprimă în semifabricat pe o adâncime de 10...30% din grosimea acestuia, în funcție de plasticitatea materialului. Cu începutul deformării plastice este atinsă integritatea legăturilor intracristaline și intercristaline ale materialului;
- faza de tăiere propriu-zisă, cînd, în baza unei tensionări mai puternice a materialului distrugîndu-se complet legăturile intra și intercristaline, apar micro apoi macro-fisuri care străbat întreaga grosime a semifabricatului, după direcțiile de lunecare din material și duc astfel la separarea completă a semifabricatului. În baza propagării fisurilor în fața muchiei tăietoare a sculei, separarea de fapt a materialului se încheie la o pătrundere doar de 16...50% din grosimea semifabricatului.

Calitatea suprafeței de tăiere depinde, pentru un material dat, în deosebi de mărimea jocului dintre perechea de muchii tăietoare cît și de starea de uzură a acestora.

Calitatea optimă apare cînd jocul are o valoare pentru care fisurile ce pornesc de la ambele muchii tăietoare ale sculei se suprapun pe aceeași suprafață. Pentru acest caz și forța de tăiere va fi minimă.

Valoarea optimă a jocului, funcție de condiția amințită, conform fig. 9.1 va fi:

$$j = 2(\delta - i_f) \operatorname{tg} \beta = 2(1 - c) \delta \operatorname{tg} \beta, \quad (9.1)$$

în care:  $\beta$  este unghiul de lunecare din material;  $c = \frac{i_f}{\delta}$  —

— pătrunderea relativă a muchiei sculei în momentul apariției fisurilor în material. Valorile lui  $c$  și  $\beta$  se indică în tabelul 9.2.

Piesa obținută va dispune de suprafețe de tăiere înclinate și ele sub unghiul  $\beta$ . La piese de precizie, pentru a obține suprafețe de tăiere perpendiculare pe planul tablei se impune operații ulterioare de calibrare prin tăiere (curățire).

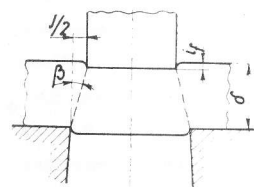


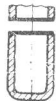

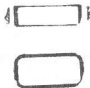




Fig. 9.1. Schemă pentru calculul jocului optim

Tabelul 9.1

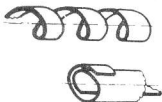

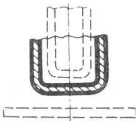

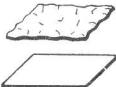


Definirea și clasificarea operațiilor de prelucrare a tablelor

Caracterul deformăției	Denumirea operației	Schița operației	Definirea operației
1	2	3	4
TĂIERE	Forfecare		Tăierea după un contur deschis pentru debi-tarea materialului
	Retazare		Tăierea după un contur deschis, cu separarea completă a materialului
	Decupare		Tăierea după un contur închis, pentru sepa-rarea completă a unor semifabricate sau piese
	Perforare		Tăierea după un contur închis, pentru sepa-rarea completă a unei părți de material ce constituie deșeu
	Crestare		Tăierea după un contur deschis, pentru sepa-rarea incompletă a unei părți de material
	Slițuire		Tăierea după un contur deschis, pentru sepa-rarea completă a unei părți de material la marginea semifabricatului, care constituie deșeu
	Separare (secționare)		Tăierea pentru separarea între ele a două sau mai multe piese, care din motive tehnologice au fost prelucrate împreună

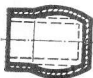
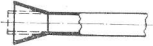
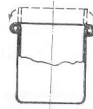
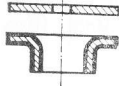


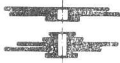

Tabelul 9.1 (continuare)

1	2	3	4	
TĂIERE	Tundere tăierea marginilor)		Tăierea plusului de material la marginea semifabricatelor cave	
	Calibrare prin tăiere (curățire)		Tăierea plusului de material de la conturul pieselor, pentru a ameliora netezimea suprafeței laterale, a obține perpendicularitatea acesteia pe fețele piesei, asigurându-se obținerea unor detalii precise	
DEFORMARE PLASTICĂ	ÎNDOIRE	Îndoire		Modificarea formei unui semifabricat, prin încovoiere plană în jurul unei muchii rectilinii
		Profilare		Îndoirea tablelor și benzilor pe muchii sau generatoare paralele între ele și paralele cu marginea lor inițială, în scopul obținerii de profile
		Curbare		Îndoirea tablelor pentru a le da o formă cilindrică sau conică
		Roluire		Îndoirea marginii unui semifabricat plan, pentru a se forma parțial sau total o suprafață cilindrică de diametru mic
		Răsucire		Torsionarea unui semifabricat în jurul axei sale, în elice, astfel ca două secțiuni vecine și perpendiculare pe axă să se rotească între ele

Tabelul 9.1 (continuare)

		1	2	3	4
DEFORMARE PLASTICĂ	ÎNDOIRE	Înfășurare		Îndoirea unui semifabricat în jurul unei axe exterioare lui, astfel ca fibra sa neutră să capete o formă elicoidală sau spirală	
		Îndreptare		Îndoirea în sens convenabil a semifabricatelor pentru a le îmbunătăți planitatea	
	AMBUTISARE	Ambutisare		Modificarea formei unui semifabricat de la forma plană la cea cavă sau mărirea adâncimii unui semifabricat cav, cu sau fără modificarea intenționată a grosimii pereților	
		Tragere pe calapod		Ambutisarea unui semifabricat plan prin întinderea sa pînă aproape de limita de curgere, cu aplicarea forțată concomitentă pe un calapod (tipar)	
	FASONARE	Planare		Fasonarea pieselor din tablă în vederea realizării unei planități îmbunătățite	
		Reliefare		Fasonare prin executarea unui relief de mică adâncime pe o porțiune din suprafața semifabricatului	
		Gîtuire		Fasonarea locală a unei piese cave sau țevi, în vederea reducerii dimensiunilor transversale	

Tabelul 9.1 (continuare)

1	2	3	4	
DEFORMARE PLASTICĂ	FASONARE	Umflare		Fasonare pentru mărirea dimensiunilor transversale pe o porțiune a pieselor cave sau a țevilor, dimensiunile la gură rămânând practic aceleași
		Evazare		Fasonare pentru mărirea progresivă spre extremitate a diametrului unei țevi sau a unei piese cave
		Bordurare		Fasonarea pentru modificarea formei marginii unui semifabricat, pentru a obține suprafața (în general toroidală) de racordare sau pentru mărirea rigidității
		Răsfrîngere		Fasonarea marginilor orificiilor și a marginilor conturului exterior al piesei
	ASAMBLARE	Fălțuire (încheiere)		Asamblarea a două table prin îndoiri paralele cu muchia, cu sau fără o bandă de adaos
		Agrafare		Asamblarea a două piese prin îndoirea limbilor uneia din piese sau prin crestarea simultană a pieselor din tablă
		Capsare		Asamblarea a două sau mai multe piese, prin deformarea unor capse sau a gulerului uneia din piese care străbat găurile executate în celelalte piese
		Bercluire		Asamblarea a două sau mai multe piese, prin deformarea convenabilă a marginii uneia dintre piese peste marginea celeilalte

Tabelul 9.2

Valorile mărimilor  $c$  și  $\beta$  pentru calculul jocului la ștanțe de tăiere

Materialul	c		$\beta$ (grade)	
	pentru material			
	recopt	ecruisat	recopt	ecruisat
Oțel moale, cupru, alamă moale	0,5	0,35	6	5
Oțel de duritate mijlocie, alamă tare	0,3	0,2	5	4
Oțel dur	0,2	0,1	4	4

Lucrul cu scule, ale căror muchii tăietoare sînt uzate, determină formarea unor bavuri pronunțate de-a lungul conturului de tăiere, în baza unei curgeri plastice intense a materialului din această zonă, înainte de începerea fazei propriu-zise de tăiere.

Tensionarea materialului supus prelucrării la rece duce la ecruisarea (întărirea) acestuia. Prin ecruisare se modifică proprietățile fizico-mecanice și tehnologice ale materialului: crește limita de elasticitate, rezistența la rupere și duritatea, se micșorează lungirea și gîtuirea specifică cît și reziliența metalului. Astfel cresc forțele necesare prelucrării materialului, iar gradul de deformare realizabil se micșorează.

Comportarea metalelor sub raportul ecruisării este pusă în evidență prin intermediul curbelor de ecruisare, care exprimă valoarea efectivă a tensiunii  $\sigma_{ef}$ , în funcție de gîtuirea specifică  $\psi$  a epruvetelor supuse la tracțiune, sub forma ecuației exponențiale

$$\sigma_{ef} = \frac{\sigma_r}{1 - \psi_g} \left( \frac{\psi}{\psi_g} \right)^{\frac{\psi_g}{1 - \psi_g}} \quad (9.2)$$

în care  $\psi_g$  este gîtuirea specifică în momentul apariției contracției transversale locale a epruvetei supuse la tracțiune.

#### 9.2.2. CALCULUL FORTELOR NECESARE LA OPERAȚIILE DE TĂIERE ȘI CALBRARE PRIN TĂIERE A TABLELOR

Valoarea efortului unitar tangențial efectiv la forfecare  $\tau_{fef}$  a unui material, în funcție de caracteristicile mecanice ale acestuia și mărimea jocului dintre muchiile tăietoare ale ștanței, este dată de relația

$$\tau_{fef} = \frac{k \sigma_{ref}}{\sqrt{3}} \left( \frac{\arctg \frac{2i_f}{j}}{\sqrt{3} \varepsilon_{ref}} \right)^{\ln \frac{1}{1 - \psi_r}} \quad (9.3)$$

în care:  $\sigma_{ref}$  este efortul unitar efectiv de rupere la tracțiune,  $\sigma_{ref} = \frac{\sigma_r}{1 - \psi_r}$ ;  $\epsilon_{ref}$  —

lungirea specifică efectivă la rupere,  $\epsilon_{ref} = \ln \frac{1}{1 - \psi_r}$ ;  $\psi_r$  — gîtuirea specifică la rupere prin tracțiune;  $k$  — coeficient a cărui mărime se deduce din diagrama prezentată în fig. 9.2, în funcție de gîtuirea concentrată  $\psi_{conc} = \frac{A_u - A_f}{A_u}$ , în care  $A_u$  este aria secțiunii uniform deformate a epruvetei supuse tracțiunii, iar  $A_f$  — aria secțiunii finale la rupere.

În cazul operațiilor de tăiere după un contur închis, determinată de deformările elastice care însoțesc procesul, apare o strîngere a materialului pe elementele active ale ștanței, ceea ce majorează forța necesară realizării procesului de tăiere.

În practica calculului forțelor necesare la operațiile de tăiere, se folosesc relații de calcul simplificate și empirice. În aceste calcule, se ține seama de efortul unitar tangențial de forfecare  $\tau_f$  a materialului, grosimea  $\delta$  a semifabricatului, lungimea  $l$  a conturului după care se face tăierea, forma deschisă sau închisă a acestui contur, poziția relativă (paralelă sau înclinată sub unghiul  $\varphi$ ) a perechii de muchii tăietoare care execută operația.

Pentru cazul tăierii după contur deschis:

— dacă perechea de muchii tăietoare este paralelă (foarfece cu lame paralele, ștanțe cu muchii plane paralele pentru retezat sau crestat), se va folosi relația

$$F = l \delta \tau_f; \quad (9.4)$$

— dacă perechea de muchii tăietoare este înclinată,

$$F = \frac{k \delta^2 \tau_f}{\lg \varphi}, \quad (9.5)$$

în care:  $k = 0,5$ , pentru cazul muchiilor tăietoare rectilinii (foarfece ghilotină, ștanțe cu muchii tăietoare rectilinii înclinate);  $k = 0,5 \dots 0,6$ , pentru ștanțe cu muchii tăietoare curbilinii;  $\varphi$  — unghiul de înclinare a muchiei tăietoare față de planul semifabricatului.

Pentru cazul foarfecelor disc, cu  $n$  perechi de discuri care atacă materialul sub unghiul  $\varphi_1$ , relația ia forma

$$F = \frac{10,5 \delta^2 \tau_f n}{2 \lg \varphi_1}, \quad \text{în care } \varphi_1 = \arccos \left( 1 - \frac{h + \delta}{D} \right) \quad (9.6)$$

$h$  fiind mărimea de suprapunere a discurilor de tăiere (v. tabelul 9.35).

Forța practic necesară tăierii este de  $(1,2 \dots 1,3) F$ , majorarea impunându-se ca urmare a distanțării muchiilor tăietoare, a uzurii acestora, a frecării dintre diferite elemente etc.

Pentru cazul tăierii după contur închis, forța totală necesară se majorează cu forța de desprindere  $F_d$  a materialului de pe poanson și forța de împingere  $F_i$  a materialului prin orificiul plăcii active, care se exprimă ca și cotă parte din forța de tăiere, adică:

$$F_d = k_d F; \quad F_i = k_i F, \quad (9.7)$$

valorile coeficienților  $k_d$  și  $k_i$  fiind date în tabelul 9.3.

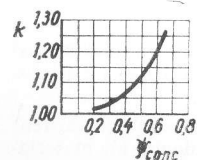


Fig. 9.2. Diagrama de variație a coeficientului  $k = f(\psi_{conc})$

Deci, forța totală necesară în aceste cazuri care se va avea în vedere și la alegerea utilajului, este

$$F_t = (1,2 \dots 1,3) F + F_d + F_i. \quad (9.8)$$

Tabelul 9.3

Valorile coeficienților  $k_i$  și  $k_d$  pentru calculul forței de desprindere și de împingere [12]

Materialul piesei	$k_i$	$k_d$
Oțel	0,010...0,063	0,005...0,081
Alamă	0,006...0,031	0,010...0,038
Aluminiu	0,009...0,043	0,004...0,069

În cazul lucrărilor grele, pentru a reduce forța necesară tăierii, se utilizează scule cu muchii tăietoare înclinate sau se amplasează poansoanele cu muchii tăietoare în plane denivelate între ele cu  $0,6 \dots 0,8$  din grosimea semifabricatului, avînd însă grijă ca rezultanta forțelor de tăiere să nu-și schimbe poziția.

### 9.2.3. CONDIȚII PRIVIND FORMA ȘI PRECIZIA PIESELOR OBTINUTE PRIN OPERAȚII DE TĂIERE

Execuția pieselor prin ștanțare are delimitări legate de construcția sculelor și comportarea materialului în procesul deformării. Aceste delimitări se indică prin condițiile de formă și precizie date prin fig. 9.3 ... 9.5 și tablele 9.4 ... 9.7.

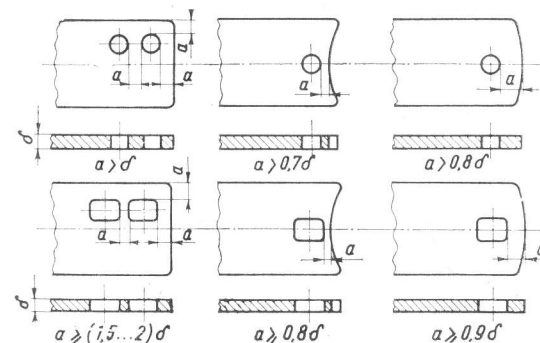


Fig. 9.3. Distanțe minime de poziționare a orificiilor perforate în piese plate.



Tabelul 9.4

Distanțe minime dintre orificii și dintre marginea plăcii active și aceste orificii [7]

$\delta_{mm}$	0,4	0,6	0,8	1,0	1,2	1,4	1,6	1,8	2,0	2,2	2,4	2,6
$a_{mm}$	1,4	1,8	2,3	2,7	3,2	3,6	4,0	4,4	4,9	5,2	5,6	6,0

$\delta_{mm}$	2,8	3,0	3,2	3,4	3,6	3,8	4,0	4,2	4,4	4,6	4,8	5,0
$a_{mm}$	6,4	6,7	7,1	7,4	7,7	8,1	8,5	8,8	9,1	9,4	9,7	10,0

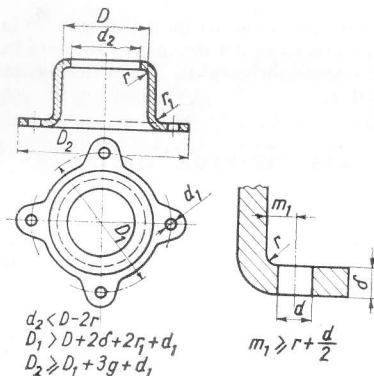


Fig. 9.4. Distanțe minime de poziționare a orificiilor perforate în piese ambutisate și îndoite

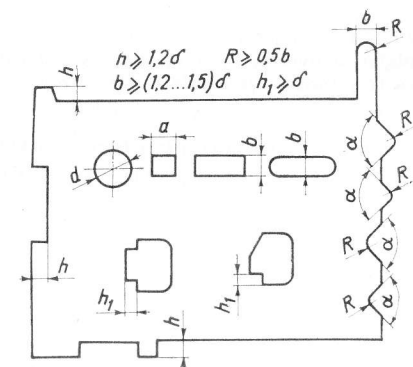


Fig. 9.5. Dimensionarea elementelor de contur la decupare și perforare

Tabelul 9.5

Raze minime de racordare  $R$  ale conturilor pieselor la tăiere [7]

Materia	La decupare		La perforare	
	$\alpha \geq 90^\circ$	$\alpha < 90^\circ$	$\alpha \geq 90^\circ$	$\alpha < 90^\circ$
Oțel, alamă, aluminiu	0,3 $\delta$	0,5 $\delta$	0,4 $\delta$	0,7 $\delta$

Tabelul 9.6

Dimensiunile minime ale orificiilor perforate [7]

Forma orificiului	Dimensiuni minime ale orificiului, mm	Materialul piesei			
		oțel		alamă, cupru	aluminiu
		dur	moale		
Circular	Diametrul, $d$	1,2 $\delta$	1,0 $\delta$	0,8 $\delta$	0,7 $\delta$
Pătrat	Latura, $a$	1,1 $\delta$	0,9 $\delta$	0,7 $\delta$	0,5 $\delta$
Dreptunghiular	Latura mică, $b$	0,9 $\delta$	0,7 $\delta$	0,6 $\delta$	0,5 $\delta$
Oval	Lățimea, $b$	1,0 $\delta$	0,9 $\delta$	0,65 $\delta$	0,55 $\delta$

Tabelul 9.7

Precizii realizabile la operații de tăiere [7]

A. Tăierea cu foarfecă						
Grosimea materialului de tăiat, mm	Lățimea benzii, mm					
	Până la 50	51 ... 100	101 ... 200	201 ... 300	301 ... 500	Peste 500
Precizia tăierii, mm						
... 0,5	0,25	0,5	0,75	1,0	1,2	1,5
0,5 ... 1,0	0,50	0,75	1,0	1,0	1,2	1,5
1,1 ... 2,0	0,75	0,75	1,0	1,25	1,5	2,0
2,1 ... 3,0	1,0	1,0	1,25	1,5	1,8	2,2
3,1 ... 5,0	1,0	1,25	1,5	1,5	2,0	2,5
5,1 ... 7,0	1,25	1,5	1,8	2,0	2,2	2,5
7,1 ... 10,0	1,5	1,8	2,2	2,2	2,5	3,0

Tabelul 9.7 (continuare)

## B. Decupare

Grosimea materialului, mm	Dimensiunile piesei, mm			
	Până la 50	peste 50 până la 120	peste 120 până la 260	peste 260 până la 500
Peste 0,2 la 0,5	0,1/0,03	0,15/0,05	0,2/0,08	0,3/0,1
Peste 0,5 la 1,0	0,15/0,04	0,2/0,06	0,3/0,1	0,4/0,15
Peste 1,0 la 2,0	0,2/0,06	0,3/0,1	0,3/0,12	0,5/0,15
Peste 2,0 la 3,0	0,3/0,1	0,4/0,12	0,5/0,15	0,6/0,2
Peste 3,0 la 4,0	0,4/0,1	0,5/0,15	0,6/0,2	0,8/0,25
Peste 4,0 la 6,0	0,5/0,3	0,6/0,4	0,8/0,5	1,0/0,7
Peste 6,0 la 10	0,7/0,5	0,8/0,5	1,0/0,7	1,2/0,8

## C. Perforare

Grosimea materialului, mm	Dimensiunile orificiului, mm		
	Până la 10	peste 10 până la 50	peste 50 până la 100
Peste 0,2 până la 1,0	0,06/0,02	0,08/0,04	0,1/0,08
Peste 1,0 până la 4,0	0,08/0,03	0,1/0,06	0,12/0,1
Peste 4,0 până la 10	0,1/0,06	0,12/0,1	0,14/0,12

## D. Distanța între orificii

Grosimea materialului, mm	Distanța între orificii, mm		
	Până la 50	peste 50 până la 150	peste 150 până la 300
Până la 1,0	$\pm 0,1/\pm 0,03$	$\pm 0,15/\pm 0,05$	$\pm 0,2/\pm 0,08$
Peste 1,0 până la 2,0	$\pm 0,12/\pm 0,04$	$\pm 0,20/\pm 0,06$	$\pm 0,3/\pm 0,1$
Peste 2,0 până la 4,0	$\pm 0,15/\pm 0,06$	$\pm 0,25/\pm 0,08$	$\pm 0,35/\pm 0,12$
Peste 4,0 până la 6,0	$\pm 0,2/\pm 0,08$	$\pm 0,3/\pm 0,10$	$\pm 0,4/\pm 0,15$

Tabelul 9.7 (continuare)

## E. Distanța de la orificiu la conturul piesei

Grosimea materialului, mm	Distanța de la orificiu la contur		
	până la 50	peste 50 până la 150	peste 150 până la 300
Până la 1,0	$\pm 0,5/\pm 0,25$	$\pm 0,6/\pm 0,3$	$\pm 0,7/\pm 0,35$
Peste 1,0 până la 2,0	$\pm 0,5/\pm 0,25$	$\pm 0,6/\pm 0,3$	$\pm 0,7/\pm 0,35$
Peste 2,0 până la 4,0	$\pm 0,6/\pm 0,3$	$\pm 0,7/\pm 0,35$	$\pm 0,8/\pm 0,4$
Peste 4,0 până la 6,0	$\pm 0,7/\pm 0,35$	$\pm 0,8/\pm 0,4$	$\pm 1,0/\pm 0,6$

*Observație.* Pentru operațiile executate pe ștanțe, valorile de la numărător corespund lucrului pe ștanțe cu precizie obișnuită, iar cele de la numitor pe ștanțe cu precizie ridicată.

## 9.3. CROIREA SEMIFABRICATELOR

Sistemul de croire, factor important de economicitate la prelucrarea tablelor, se precizează în funcție de coeficientul de utilizare  $\eta$  realizabil al materialului, asigurarea unei productivități ridicate a muncii, fără a se complica sculele necesare prelucrării și ținând seama de utilajul existent din uzină.

Coeficientul de utilizare al materialului  $\eta$  este dat de raportul dintre aria suprafeței piesei decupate  $A_u$  și cea a semifabricatului consumat în acest scop  $A_t$ .

$$\eta = \frac{A_u}{A_t} \quad (9.9)$$

Debitarea fișiiilor din foile de tablă se face după o croire longitudinală, transversală sau combinată.

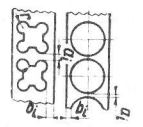
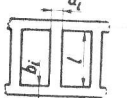
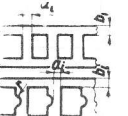
Croirea fișiiilor sau a benzilor se face după mai multe sisteme (cu așezare dreaptă, înclinată, cap la cap, pe mai multe rînduri etc.), în variante cu sau fără punțițe, după cum se impun condiții de mai mare sau mai mică precizie la execuția pieselor.

Punctele laterale  $b_l$  și intermediare  $a_i$  se determină cu ajutorul datelor din tabelul 9.8.

Pentru cazul cînd se lucrează la ștanțe cu poansoane laterale de pas, lățimea benzii se sporește cu un adaos  $a$  indicat în tabelul 9.9.

Tabelul 9.8

Valorile coeficienților  $a$ ,  $b$ ,  $K_1$ ,  $K_2$ ,  $K_3$  pentru calculul punțiilor [8]

Relații de calcul al punției laterale $b_l$ și intermediare $a_i$		$b_l = K_1 K_2 K_3 b$ $a_i = K_1 K_2 K_3 a$					
		Valori pentru $a$ și $b$					
Grosimea materialului $\delta$ , mm	Piese rotunde sau cu rază de curbă $r > 2\delta$	Piese dreptunghiulare cu lungimea $l \leq 50\text{mm}$	Piese cu porțiuni rectilinii $l > 50\text{mm}$ ; $r \leq 2\delta$				
							
	$a$	$b$	$a$	$b$	$a$	$b$	
—0,25	1,8	2,0	2,2	2,5	2,8	3	
0,25...0,50	1,2	1,5	1,8	2,0	2,2	2,5	
0,50...0,80	1,0	1,2	1,5	1,8	1,8	2,0	
0,80...1,20	0,8	1,0	1,2	1,5	1,5	1,8	
1,20...1,6	1,0	1,2	1,5	1,8	1,8	2,0	
1,60...2,0	1,2	1,5	1,8	2,0	2,0	2,2	
2,0...2,5	1,5	1,8	2,0	2,2	2,2	2,5	
2,5...3,0	1,8	2,2	2,2	2,5	2,5	2,8	
3,0...3,5	2,2	2,5	2,5	2,8	2,8	3,2	
3,5...4,0	2,5	2,8	2,8	3,2	3,2	3,5	
4,0...4,5	3,0	3,5	3,5	3,0	3,0	4,5	
5,0...12	0,68	0,78	0,78	0,88	0,88	0,88	

Valori pentru  $K_1$ ,  $K_2$  și  $K_3$ 

$K_1$	$K_2$	$K_3$
Oțel moale, 1,0 Oțel semidur, 0,9 Oțel dur, 0,8 Bronz tare, 1,1 Alamă moale, 1,2 Duraluminu, 1,4	Bandă care trece o singură dată prin ștanță, 1,0 Bandă care trece de două ori prin ștanță, 1,2	Ștanță cu avans și ghidare neprecisă a benzii, 1,0 Ștanță cu înaintare și ghidare precisă a benzii, 0,8

Tabelul 9.9

Valoarea adaosului  $a$  pentru benzi prelucrate pe ștanțe cu poansoane laterale de pas [12]

Grosimea materialului, mm	Lățimea fișiei $a$ , mm
Până la 1	1,5
1,5...2,5	2,0
2,5...3,5	2,5

## 9.4. DEFORMAREA PLASTICĂ A TABLELOR

## 9.4.1. PROBLEME SPECIFICE LA PRELUCRAREA TABLELOR

Problemele deformării plastice, sub aspectul lor general, sînt prezentate în cap. 8. Se amintesc aici doar unele probleme specifice legate de prelucrarea tablelor.

Tabla de oțel necalmat, semifabricatul cel mai frecvent folosit la operațiile de prelucrare a tablelor, este supusă fenomenului de îmbătrînire. Prin îmbătrînire se modifică caracteristicile fizico-mecanice ale materialului, dintre care de deosebită importanță din punctul de vedere al deformării plastice este micșorarea lungirii specifice la rupere cu circa 6% și scăderea indicelui Erichsen cu circa 0,5 mm. Aproximativ jumătate din această scădere se atinge după circa 20 zile în urma laminării tablei, înregistrîndu-se în acest fel o sensibilă micșorare a plasticității materialului. De aceea, pentru cazul lucrărilor cu un grad de deformare mare (în deosebi ambutisările adînci), se va căuta prelucrarea cit mai grabnică a acestor table de oțel, de preferat la nu mai mult de 8... 10 zile de la laminarea lor. Aceleași lucrări se recomandă să se execute din table de oțel calmat, care deși mai scumpă, fiind practic ferită de îmbătrînire, menține valorile inițiale de plasticitate și deci apar rebuturi mult mai reduse prin ruperi de piese.

Prezintă deosebită importanță, sub raportul plasticității materialului, și durata ciclului complet de prelucrare a semifabricatelor din tablă de oțel necalmat, pentru cazul că acestea se supun unei succesiuni de operații de deformare plastică. Prima deformare, în baza degajării de căldură în cadrul procesului, amorsează o îmbătrînire artificială a materialului. În acest caz după numai 3... 4 ore se resimte deja scăderea sensibilă a plasticității materialului, iar deformările plastice care s-ar efectua după acest timp ar duce la o rupere mai ușoară a semifabricatului. De acest fapt urmează a se ține seama în organizarea producției pieselor în cauză. Presele cu transfer, care asigură realizarea întregii succesiuni de deformare a semifabricatului în fracțiuni de minut, prezintă importante avantaje deci și sub acest aspect.

Totodată, la ambutisarea tablelor de oțel necalmat îmbătrînite intervin și defecte de calitate legate de apariția liniilor Lüders pe suprafața lor. Apariția acestora este legată de zone cu lungiri cuprinse între lungirea  $\epsilon_1$ , corespunzătoare limitei de elasticitate, și  $\epsilon_2$ , corespunzătoare extremității palierului de curgere de pe curba de tracțiune a oțelului (fig. 9.6). Pentru a evita acest defect de calitate, se trece semifabricatul ce urmează a

fi prelucrat printr-o mașină de îndoit-îndreptat, Roller-Leveller (fig. 9.7), în care materialul fiind îndoit între valțuri se ecruisează întrucîtva. În acest caz, de pe caracteristica de tracțiune a oțelului se suprimă, pentru un timp, palierul de curgere. Efectul acestei prelucrări se resimte circa 48 ore.

Deformarea plastică a tablelor este urmare a acumulării unei anumite cantități de energie potențială în material, cantitate ce depinde de proprietățile fizice ale materialului și regimul termo-mecanic al deformării.

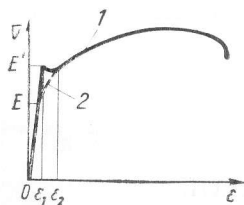


Fig. 9.6. Curba de tracțiune a oțelului:

1 - oțel recopt; 2 - oțel trecut prin mașina de îndoit-îndreptat

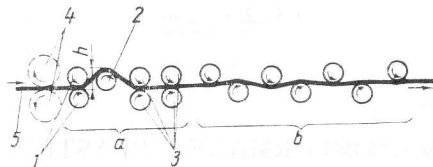


Fig. 9.7. Schema deformării tablei cu o mașină de îndoit-îndreptat:

a - tren de deformare; b - tren de îndreptare;  
1 - role de angajare; 2 - rolă de îndoire;  
3 - role de antrenare; 4 - role cu perie pentru curățire; 5 - semifabricat

Din energia potențială acumulată, o parte redusă produce deformarea elastică a materialului. Din această cauză, dimensiunile și forma pieselor se modifică față de cele pe care ele le prezintă în interiorul sculelor care au servit la deformarea lor (arcuirea pieselor îndoite, conicitatea pieselor cilindrice ambutisate etc.).

Cea mai mare parte a energiei potențiale acumulate servește deformării plastice. În cadrul acestei deformări, au loc modificări în rețeaua cristalină a materialului, apare ecruisarea materialului, ceea ce reduce gradul de deformare admisibil la prelucrare. De aceea, se impune ca, la prelucrările la care intervine un grad de deformare ridicat, pentru a evita ruperea semifabricatului, să se execute recoaceri interoperații, în urma cărora se restabilește o așezare normală a atomilor în rețea.

La ambutisare, unde o asemenea cerință intervine destul de frecvent, numărul operațiilor care se poate executa fără recoaceri intermediare este de: 3 ... 4, la oțel moale; 4 ... 5, la aluminiu; 2 ... 4, la alamă; 1 ... 2, la cupru.

## 9.4.2. ÎNDOIREA

### 9.4.2.1. PROCESUL, TENSIONAREA MATERIALULUI, FORȚA DE ÎNDOIRE.

La operația de îndoire, materialul semifabricatului supus prelucrării suferă o deformare plastică localizată în zona de lângă locul îndoirii. La deformări plastice puternice, cînd se îndoaie un semifabricat la raze mici de curbură în raport cu grosimea lor, semifabricatul se subțiază cu 2 ... 15% în zona de îndoire, stratul neutru se deplasează spre centrul curburii, iar pentru benzi de lățime redusă ( $b < 3\delta$ ), caz mai puțin frecvent la prelucrarea tablelor, se modifică și forma secțiunii transversale a semifabricatului, prin creșterea lățimii zonei interioare comprimate și micșorarea lățimii zonei exterioare întinse.

Deformarea elastică a materialului, care însoțește pe cea plastică de îndoire, duce la modificarea unghiului de îndoire a piesei față de mărimea unghiului ștanței de îndoit. Unghiul de arcuire unilateral  $\beta$  se exprimă prin relațiile:

$$\text{— pentru îndoire în V, } \operatorname{tg} \beta = 0,375 \frac{l}{k_n \delta} \frac{\sigma_c}{E}; \quad (9.10)$$

$$\text{— pentru îndoire în U, } \operatorname{tg} \beta = 0,75 \frac{l_1}{k_n \delta} \frac{\sigma_c}{E}, \quad (9.11)$$

în care:  $k_n = 1 - k$  coeficient ce ține cont de poziția stratului neutru;  $l$  — distanța dintre reazeme;  $l_1$  — distanța dintre reazeme,  $l_1 = r_p + r_a + j$ ;  $r_p, r_a$  — raze de rotunjire a muchiei poansonului și a plăcii de îndoire;  $j$  — jocul dintre poanson și placa de îndoire.

Starea de tensionare a materialului dintr-o bandă îndoită, ținînd seama de ecruisarea materialului, admițînd pentru simplificare că stratul neutru se găsește la mijlocul grosimii semifabricatului și neglijînd zona elastică din vecinătatea acestui strat (grosimea acestuia fiind doar de 0,01 ... 0,028), se prezintă în fig. 9.8. În baza acestei scheme se

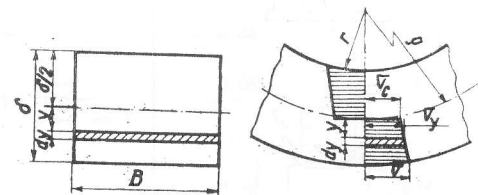


Fig. 9.8. Schema de tensionare a materialului la îndoire

poate calcula valoarea momentului necesar îndoirii. Notînd prin  $\sigma_y$  solicitarea din elementul de grosime  $dy$  situat la distanța  $y$  de stratul neutru și prin  $\sigma$  solicitarea stratului extrem ecruisat ( $\sigma > \sigma_c$ ) rezultă

$$|M_i| = 2 \int_0^{\frac{\delta}{2}} \sigma_y b y dy = \frac{b \delta^2}{6} (\sigma + 0,5 \sigma_c) = W(\sigma + 0,5 \sigma_c),$$

în care  $W$  are semnificația modului de rezistență a secțiunii.

Pentru a evita ruperea straturilor extreme, cel mai puternic tensionate, se admite  $\sigma = 0,8 (1 + \epsilon_r) \sigma_r$  și, luînd sîne simplificare aproximația  $\sigma_c \approx \sigma_r$ , rezultă

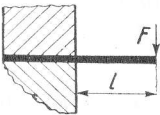
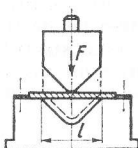
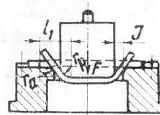
$$M_i = W \sigma_r (1,3 + 0,8 \epsilon_r). \quad (9.12)$$

Egalînd momentul de îndoire plastică, ca moment rezistent, cu momentul activ al forței de deformare, se deduce expresia forței necesare pentru deformarea plastică de îndoire. Pentru cazurile cele mai frecvente, valoarea acestei forțe se indică în tabelul 9.10.

La îndoiri pe ștanțe, pentru învingerea frecărilor, forța de calcul se majorează cu 30% față de valorile din acest tabel.

Tabelul 9.10

Relații de calcul ale forțelor de îndoire

Mod de îndoire	Schița îndoirii	Forța de îndoire
Îndoire liberă în consolă		$F = \frac{W \sigma_r (1,3 + 0,8 \varepsilon_r)}{l}$
Îndoire în V în ștanță		$F = \frac{4W \sigma_r (1,3 + 0,8 \varepsilon_r)}{l}$
Îndoire în U în ștanță		$F = \frac{2W \sigma_r (1,3 + 0,8 \varepsilon_r)}{r_p + j}$

9.4.2.2. CONDIȚII PRIVIND FORMA ȘI PRECIZIA PIESELOR ÎNDOITE. Condiții privind forma pieselor îndoite. Pentru a obține forma dorită la piesele îndoite, trebuie să se respecte următoarele:

— Înălțimea minimă a porțiunii drepte a părții îndoite trebuie să fie  $H - r \geq 2\delta$ , dacă  $\delta < 5$  mm (fig. 9.9,a). Dacă înălțimea  $H$  este mai mică, se vor executa canale ca

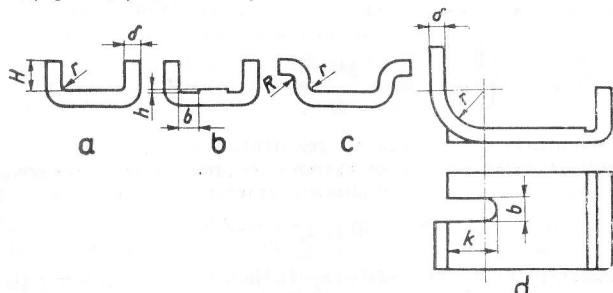


Fig. 9.9. Dimensiuni ale pieselor îndoite

în fig. 9.9, b cu  $b \geq \delta$  și  $h = (0,1 \dots 0,3)\delta$  sau se realizează piese cu  $H > 2\delta$  și se retează după îndoire la înălțimea dorită.

— Razele minime de îndoire a materialului (corespunzătoare razelor de racordare ale poansoanelor), la care se previne fisurarea acestuia, pentru  $\alpha \geq 90^\circ$ , se indică în tabelul 9.11.

Tabelul 9.11

Raze minime de îndoire, pentru  $\alpha \geq 90^\circ$  [7]

Material	Poziția liniei de îndoire			
	Material recopt sau normalizat		Material ecruiat	
	perpendiculară pe direcția de laminare	paralelă cu direcția de laminare	perpendiculară pe direcția de laminare	paralelă cu direcția de laminare
Aluminiu	—	0,28	0,38	0,88
Cupru	—	0,28	1,08	2,08
Alamă	—	0,28	0,48	0,88
OL 34	—	0,48	0,48	0,88
OL 37	0,18	0,58	0,58	1,08
OL 42	0,28	0,68	0,68	1,28
OL 50	0,38	0,88	1,08	1,58
Duraluminiu	1,08	1,58	1,58	2,58

Pentru obținerea unor raze de îndoire mai mici ca cele din tabelul 9.11, este necesar să se realizeze, după o îndoire prealabilă, un canal ca în fig. 9.9, b sau să se facă o operație de calibrare.

Dacă piesa are o formă ca cea din fig. 9.9, c și se obține la o singură ștanță, atunci se impune ca  $R > 3\delta$ . Dacă  $R < 3\delta$ , îndoirea trebuie să se facă prin 2 operații și anume îndoire cu  $R > 3\delta$  și calibrare la rază dată.

— Pentru îndoirea unor părți la o piesă ca în fig. 9.9, d, trebuie să se execute în prealabil șlițuri cu  $b \geq \delta$  și  $k \geq r$ .

**Condiții privind precizia pieselor îndoite.** Prin operația de îndoire se pot obține piese, la care precizia diverselor elemente variază între limitele date în tabelele 9.12 și 9.13.



Tabelul 9.12

## Toleranțe ale unghiurilor la îndoire [7]

Materialul piesei	Toleranțe ale unghiurilor la îndoire		
	$\frac{r}{\delta}$		
	până la 1	1...2	2...4
Oțel moale, alamă moale $\sigma_r \leq 30 \text{ daN/mm}^2$	$\pm 15'$	$\pm 30'$	$\pm 1^\circ$
Oțel cu duritate medie $\sigma_r = 40 \text{ daN/mm}^2$	$\pm 30'$	$\pm 1^\circ 30'$	$\pm 3^\circ$
Alamă semitare $\sigma_r = 35 \text{ daN/mm}^2$ oțel tare $\sigma_r = 60 \text{ daN/mm}^2$	—	$\pm 3^\circ$	$\pm 5^\circ$

Tabelul 9.13

## Toleranțe ale razelor de îndoire [7]

Raza, mm	Toleranțe ale razelor de îndoire			
	Până la 3	Peste 3 până la 6	Peste 6 până la 20	Peste 20
Toleranța, mm	$\pm 0,5$	$\pm 1$	$\pm 2$	$\pm 3$

9.4.2.3. DIMENSIONAREA SEMIFABRICATELOR PENTRU PIESE ÎNDOITE. Lungimea  $L$  necesară a semifabricatelor rezultă din egalarea acestora cu lungimea stratului neutru al pieselor îndoite]

$$L = \sum_1^n l_i + \sum_1^{n-1} \frac{\pi \cdot \alpha_i}{180} \rho_i \quad (9.13)$$

în care  $l_i$  este lungimea porțiunilor drepte ale piesei;  $\rho_i$  — razele de curbura ale stratului neutru în zonele îndoite.

## 9.4.3. AMBUTISAREA

9.4.3.1. PROCESUL, TENSIONAREA MATERIALULUI, FORȚA DE AMBUTISARE. La ambutisarea pieselor, partea centrală a semifabricatului plat va forma fundul piesei, iar partea sa periferică inelară va forma pereții laterali ai acesteia. Excesul

de material al acestei părți din urmă, indicate în fig. 9.10 sub forma triunghiurilor hașurate, urmează să se redistribuie, proces legat de o tensionare a materialului specifică ambutisării, de întindere radială ( $\sigma_r$ ) și compresiune tangențială ( $\sigma_t$ ).

Compresiunea tangențială duce la pericolul formării cutelor pe suprafața laterală a pieselor ambutisate. Pericolul este cu atât mai pronunțat cu cât este mai subțire semi-

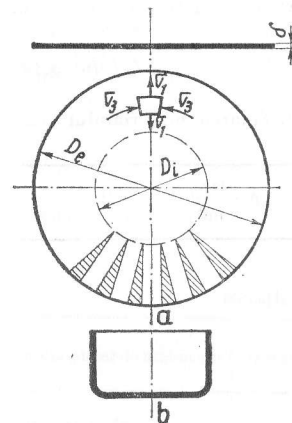


Fig. 9.10. Semifabricatul (a) și piesa (b) ambutisată

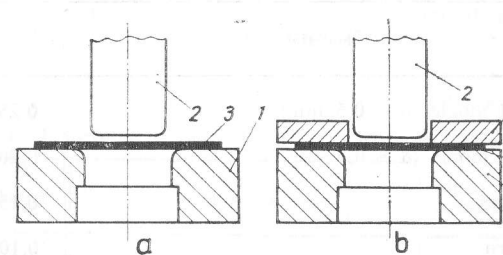


Fig. 9.11. Schema de ambutisare: fără (a) și cu (b) fixarea materialului; 1 — placa de ambutisare; 2 — poanson; 3 — semifabricat; 4 — placa de fixare

fabricatul și cu cât este mai înaltă piesa ce se execută. De aceea, alături de ambutisarea fără fixarea materialului (fig. 9.11,a), se impune deseori cea cu fixarea materialului (fig. 9.11,b) la care strângerea semifabricatului între placa de ambutisare și placa de apăsare, cu o forță  $F_f$ , ajută la redistribuirea uniformă a excesului de material pe pereții laterali ai piesei.

Aprecierea necesității ambutisării cu fixarea materialului se face în funcție de mărirea raportului  $\frac{\delta}{D}$  anume:

— la piesele cilindrice fără flanșă și la cele conice nu se impune fixarea semifabricatului la prima ambutisare, dacă  $\frac{\delta}{D} 100 > 2$ , iar la următoarele ambutisări, dacă

$$\frac{\delta}{D_{n-1}} 100 > 1,5;$$

— piesele cilindrice cu flanșă se execută cu fixarea semifabricatului.

În expresiile de sus:

$\delta$  este grosimea semifabricatului;  $D$  — diametrul semifabricatului;  $D_{n-1}$  — diametrul piesei în urma celei de-a  $(n-1)$  — a operații.

Forța  $F_f$  pentru fixarea semifabricatului rezultă ca produs al ariei suprafeței de fixare  $A$  cu presiunea  $p$  de fixare, adică

$$F_f = Ap,$$

valorile lui  $p$  fiind date în tabelul 9.14.

În cazul ambutisării cu fixarea semifabricatului, în porțiunea periferică, inelară, materialul este solicitat suplimentar și la compresiune axială.

Tabelul 9.14

Presiunea specifică  $p$  pentru fixarea materialului [12]

Material	$p, \frac{\text{daN}}{\text{mm}^2}$
Oțel moale ( $\delta < 0,5 \text{ mm}$ )	0,25–0,30
Oțel moale ( $\delta > 0,5 \text{ mm}$ )	0,20–0,25
Alamă	0,15–0,20
Cupru	0,10–0,15
Aluminiu	0,08–0,12

Forța necesară ambutisării se determină pornind de la condiția de echilibru a unui element de material de pe partea inelară a semifabricatului în curs de deformare.

În calcul, se iau în considerare la început numai solicitările  $\sigma_1$  și  $\sigma_3$ . Din expresia identică nulă a sumei proiecțiilor verticale ale forțelor (notații conform fig. 9.12)

$$\Sigma F_{iV} = \sigma_1 R \varphi \delta + d(\sigma_1 R \varphi \delta) - \sigma_1 R \varphi \delta - 2\sigma_3 dR \frac{\varphi}{2} \delta = 0$$

și condiția de plasticitate,

$$\sigma_1 - \sigma_3 = \beta \sigma_c,$$

în urma integrării de la  $R_i$  la  $R_e$ , se deduce expresia tensiunii medii de ambutisare

$$\sigma_{amb \text{ med}} = 1,1 \sigma_d \text{ med} \ln \frac{R_e}{R_i},$$

în care  $\sigma_d \text{ med}$  este efortul unitar mediu de deformare a fibrelor cuprinse între  $R_i$  și  $R_e$ .

Incluzind tensiunile suplimentare din material provocate de forțele de frecare ale semifabricatului de placa de fixare și cea de ambutisare, cit și cele provocate de înco-

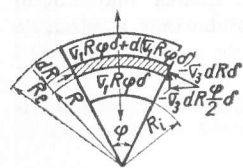


Fig. 9.12. Schema de tensionare a materialului la ambutisarea fără subțierea pereților.

voierea pe muchiile rotunjite ale poansonului și a plăcii de ambutisare, expresia ia forma finală

$$\sigma_{amb} = \left[ 1,1 \sigma_d \text{ med} \ln \frac{R_e}{R_i} + \frac{\mu F_f}{\pi \cdot R_e \cdot \delta} \right] e^{\mu \cdot \alpha} \sin \alpha (1 + K_i), \quad (9.14)$$

în care:  $\mu$  este coeficientul de frecare, variind între 0,08 ... 0,16 funcție de calitățile de ungere ale lubrifiantului folosit;  $e$  — baza logaritmilor naturali;  $K_i$  — coeficient de majorare determinat de încovoiere; pentru  $\delta < 1 \text{ mm}$ ,  $K_i = 0,02 \dots 0,04$ ;  $\delta = 1 \dots 2 \text{ mm}$ ,  $K_i = 0,04 \dots 0,06$ ;  $\delta > 3 \text{ mm}$ ,  $K_i = 0,08 \dots 0,12$ ;  $\alpha$  — unghiul de înclinare al semifabricatului în spațiul jocului dintre poanson și orificiul plăcii de ambutisare.

Forța necesară ambutisării va fi

$$F = 2\pi R_i \delta \sigma_{amb}. \quad (9.15)$$

În practică, pentru calculul forței de ambutisare se folosesc relațiile simplificate indicate în tabelul 9.15, în care se introduc coeficienți a căror mărime se dau în tabelele 9.16 ... 9.20.

Tabelul 9.15

Relații de calcul al forțelor de ambutisare fără subțierea pereților

Forma piesei de ambutisat	Operația de ambutisare	Formule	Tabele cu coeficienți
Cilindrice fără flanșă	1, a 2-a și următoarele	$F = \pi D_1 \delta \sigma_r k_1$ $F = \pi D_i \delta \sigma_r k_2$	9.16 9.17
Cilindrice cu flanșă lată	1	$F = \pi D_1 \delta \sigma_r k_f$	9.18
Conice și sferice cu flanșă	1	$F = \pi D_e \delta \sigma_r k_f$	9.18
Cutii ovale	1, a 2-a și următoarele	$F = \pi D_{m1} \delta \sigma_r k_1$ $F = \pi D_{mi} \delta \sigma_r k_2$	9.16 9.17
Cutii dreptunghiulare joase (o singură operație)		$F = (2A + 2B - 1,72r) \delta \sigma_r k_f$	9.19
Cutii dreptunghiulare înalte (mai multe operații)	1 și a 2-a Următoarele	Ca la cutii ovale $F = (2A + 2B - 1,72r) \delta \sigma_r k_i$	9.17 9.20

Notații:  $D_1, D_i$  — Diametrele semifabricatelor (pieselor) cilindrice după prima, respectiv a  $i$ -a operație de ambutisare, măsurate la linia medie, în mm.

$D_c$  — Diametrul mic al piesei conice și 0,5 din diametrul piese sferice, în mm.

$D_{m1}, D_{mi}$  — diametrul mediu al semifabricatului (piesei) ovale după prima, respectiv a  $i$ -a operație de ambutisare, în mm.

$A, B, r$  — lungimea, lățimea și raza de racordare a pereților cutiei dreptunghiulare, în mm.

## 9.4.3.2. DETERMINAREA NUMĂRULUI ȘI SUCCESIUNII OPERAȚIILOR.

Pentru a evita ruperea materialului în decursul operației de ambutisare, se impune ca forța de ambutisare să fie mai mică decât cea de tăiere a materialului, adică

$$2\pi R_i \delta \sigma_{amb} < 2\pi R_i \delta \sigma_r.$$

De aici rezultă anumite valori limită minim admisibile la prelucrare pentru raportul  $m_n = \frac{d_n}{d_{n-1}}$ , denumit coeficient de ambutisare. Aceste valori se indică în tabelele 9.21 ... 9.23.

Numărul  $n$  de operații necesare la ambutisarea unui vas cilindric de diametru  $d_n$ , pornind de la un semifabricat circular plan de diametru  $D$ , se determină cunoscând că:

$$d_1 = m_1 D; \quad d_2 = m_2 d_1 = m_1 m_2 D; \quad d_n = m_1 m_2 \dots m_n D$$

și aproximînd  $m_2 = m_3 = \dots = m_n$ , de unde

$$n = 1 + \frac{\log d_n - \log(m_1 D)}{\log m_2}. \quad (9.16)$$

La ambutisarea pieselor de altă formă decât cilindrică, numărul operațiilor necesare se determină, avînd în vedere următoarele:

**Piese conice** Piese conice se împart în mai multe tipuri, în funcție de mărimea raportului  $\frac{h}{d}$  (dintre înălțimea  $h$  și diametrul mediu  $d$  al piesei) și a unghiului de înclinare a pereților  $\alpha$ :

**Piese joase**, cu  $\frac{h}{d} = 0,1 \dots 0,25$  și  $\alpha = 50 \dots 80^\circ$ , se execută printr-o singură

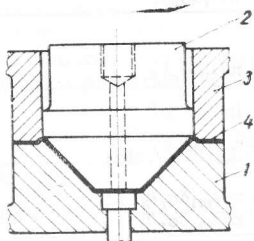


Fig. 9.13. Ștanță pentru ambutisarea pieselor conice joase:

1 - placă de ambutisare cu nervuri de întindere a materialului;  
2 - poanson; 3 - placă de fixare;  
4 - semifabricat

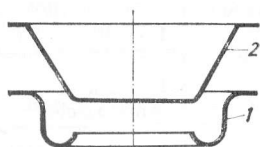


Fig. 9.14. Succesiunea operațiilor de ambutisare a pieselor conice cu înălțime medie

operație, cu fixarea materialului, folosind eventual o placă activă cu nervuri de întindere a materialului (fig. 9.13).

**Piese de înălțime medie**, cu  $\frac{h}{d} = 0,3 \dots 0,7$  și  $\alpha = 15 \dots 45^\circ$ , se execută de regulă prin două operații 1 și 2, schematizate în fig. 9.14.

Tabelul 9.16

Valoarea coeficientului  $k_1$  pentru calculul forței de ambutisare [12]

$\frac{\delta}{D} \cdot 100$	Valoarea coeficientului $k_1$ pentru coeficientul de ambutisare la prima operație $m_1$									
	0,45	0,48	0,50	0,52	0,55	0,60	0,65	0,70	0,75	0,80
5,0	0,95	0,85	0,75	0,65	0,60	0,50	0,43	0,35	0,28	0,20
2,0	1,10	1,00	0,90	0,80	0,75	0,60	0,50	0,42	0,35	0,25
1,2		1,10	1,00	0,90	0,80	0,68	0,56	0,47	0,37	0,30
0,8			1,10	1,00	0,90	0,75	0,60	0,50	0,40	0,33
0,5	Domeniul			1,10	1,00	0,82	0,67	0,55	0,45	0,36
0,2	de				1,10	0,90	0,75	0,60	0,50	0,40
0,1	rupere					1,10	0,90	0,75	0,60	0,50

Observație. La raze de racordare mici ( $r = 4 \dots 6\delta$ ) coeficientul  $k_1$  se ia cu 5% mai mare, iar domeniul de rupere crește puțin.

Tabelul 9.17

Valoarea coeficientului  $k_2$  pentru calculul forței de ambutisare [12]

$\frac{\delta}{D} \cdot 100$	$\frac{\delta}{d_1} \cdot 100$	Valoarea coeficientului $k_2$ pentru mărimea coeficientului de ambutisare $m_2$									
		0,70	0,72	0,75	0,78	0,80	0,82	0,85	0,88	0,90	0,92
5,0	11	0,85	0,70	0,60	0,50	0,42	0,32	0,28	0,20	0,15	0,12
2,0	4	1,10	0,90	0,75	0,60	0,52	0,42	0,32	0,25	0,20	0,14
1,2	2,5		1,10	0,90	0,75	0,62	0,52	0,42	0,30	0,25	0,16
0,8	1,5			1,10	0,82	0,70	0,57	0,46	0,35	0,27	0,18
0,5	0,9	Domeniul		1,10	0,90	0,76	0,63	0,50	0,40	0,30	0,20
0,2	0,3	de			1,00	0,85	0,70	0,56	0,44	0,33	0,23
0,1	0,15	rupere			1,10	1,00	0,82	0,68	0,55	0,40	0,30

Tabelul 9.18

Valoarea coeficientului  $k_f$  pentru calculul forței de ambutisare [12]

$\frac{d_f}{d}$	Mărimea coeficientului $k_f$ , pentru mărimea coeficientului de ambutisare $m_1$										
	0,35	0,38	0,40	0,42	0,45	0,50	0,55	0,60	0,65	0,70	0,75
3,0	1,0	0,9	0,83	0,75	0,68	0,56	0,45	0,37	0,30	0,23	0,18
2,8	1,1	1,0	0,90	0,83	0,75	0,62	0,50	0,42	0,34	0,26	0,20
2,5		1,1	1,0	0,9	0,82	0,70	0,56	0,46	0,37	0,30	0,22
2,2			1,1	1,0	0,90	0,77	0,64	0,52	0,42	0,33	0,25
2,0				1,1	1,0	0,85	0,70	0,58	0,47	0,37	0,28
1,8	Domeniul				1,1	0,95	0,80	0,65	0,53	0,43	0,33
1,5	de					1,10	0,90	0,75	0,62	0,50	0,40
1,3	rupere						1,0	0,85	0,70	0,56	0,45

Observație.  $d_f$  reprezintă diametrul flanșei. Cînd se lucrează cu scule prevăzute cu nervuri de întindere, valoarea lui  $k_f$  se mărește cu 10...20%.

Tabelul 9.19

Valoarea coeficientului  $k_j$  pentru calculul forței de ambutisare [12]

Raportul $\frac{h}{B}$ pentru $\frac{\delta}{D} 100$				Coeficientul $k_j$ pentru $\frac{r}{B}$				
2...1,5	1,5...1,0	1,0...0,5	0,5...0,2	0,3	0,2	0,15	0,10	0,05
1,2	1,1	1,0	0,9	0,8	—	—	—	—
1,0	0,95	0,9	0,85	0,7	0,8	—	—	—
0,90	0,85	0,76	0,70	0,6	0,7	0,8	—	—
0,75	0,70	0,65	0,60	0,5	0,6	0,7	0,8	—
0,60	0,55	0,50	0,45	0,4	0,5	0,6	0,7	0,8
0,40	0,35	0,30	0,25	0,3	0,4	0,5	0,6	0,7

Observație.  $h$  reprezintă înălțimea cutiei dreptunghiulare, iar  $B$  — lățimea cutiei dreptunghiulare.

Tabelul 9.20

Valoarea coeficientului  $k_i$  pentru calculul forței de ambutisare [12]

			Coeficientul $k_i$ pentru $\frac{r}{B}$				
$\frac{\delta}{D} 100$	$\frac{\delta}{d_1} 100$	$\frac{\delta}{d_2} 100$	0,3	0,2	0,15	0,10	0,05
2,0	4,0	5,5	0,40	0,50	0,60	0,70	0,80
1,2	2,5	3,0	0,50	0,60	0,75	0,80	1,0
0,8	1,5	2,0	0,55	0,65	0,80	0,90	1,1
0,5	0,9	1,1	0,60	0,75	0,90	1,0	—

Tabelul 9.21

Valori ale coeficienților de ambutisare pentru piese cilindrice fără flanșă, la ambutisare cu fixarea materialului [12]

Coeficientul de ambutisare	Mărimea coeficientului pentru raportul $\frac{\delta}{D} 100$				
	2...1,5	1,5...1,0	1,0...0,5	0,5...0,2	0,2...0,06
$m_1$	0,46—0,50	0,50—0,53	0,53—0,55	0,55—0,58	0,58—0,60
$m_2$	0,73—0,75	0,75—0,76	0,76—0,78	0,78—0,79	0,79—0,80
$m_3$	0,76—0,78	0,78—0,79	0,79—0,80	0,80—0,81	0,81—0,82
$m_4$	0,78—0,80	0,80—0,81	0,81—0,82	0,82—0,83	0,83—0,85
$m_5$	0,80—0,82	0,82—0,84	0,84—0,85	0,85—0,86	0,86—0,87

Observații. Valorile din tabel se referă la TDA sau alamă moale. La ambutisarea metalelor mai puțin plastice, coeficienții de ambutisare se vor lua cu (10...15)% mai mari, iar la materialele mai plastice, cu (13...20)% mai mici, ca cei din tabel. Valorile mai mici ale coeficienților de ambutisare se iau în cazul cînd razele de racordare sînt mai mari,  $r = (8...15) \delta$ , iar valorile mai mari în cazul razelor mai mici,  $r = (4...8) \delta$ .

Tabelul 9.22

Valori ale coeficienților de ambutisare pentru piese cilindrice fără flanșă, la ambutisare fără fixarea materialului [1]

$\frac{\delta}{D} \cdot 100$	Coeficientul de ambutisare					
	$m_1$	$m_2$	$m_3$	$m_4$	$m_5$	$m_6$
0,4	0,90	92	—	—	—	—
0,6	0,85	0,90	—	—	—	—
0,8	0,80	0,88	—	—	—	—
1,0	0,75	0,85	0,90	—	—	—
1,5	0,65	0,80	0,84	0,87	0,90	—
2,0	0,60	0,75	0,80	0,84	0,87	0,90
2,5	0,55	0,75	0,80	0,84	0,87	0,90
3,0	0,53	0,75	0,80	0,84	0,87	0,90

Tabelul 9.23

Valori ale coeficientului de ambutisare pentru prima operație, la piese cilindrice cu flanșă [12]

$\frac{d_f}{d}$	Mărimea coeficientului de ambutisare $m_n$ pentru raportul $\frac{\delta}{D} \cdot 100$				
	2 ... 1,5	1,5 ... 1,0	1,0 ... 0,5	0,5 ... 0,2	0,2 ... 0,06
Până la 1,1	0,50	0,53	0,55	0,57	0,59
1,3	0,49	0,51	0,53	0,54	0,55
1,5	0,47	0,49	0,50	0,51	0,52
1,8	0,45	0,46	0,47	0,48	0,48
2,0	0,42	0,43	0,44	0,45	0,45
2,2	0,40	0,41	0,42	0,42	0,42
2,5	0,37	0,38	0,38	0,38	0,38
2,8	0,33	0,34	0,34	0,35	0,35

Observație. Pentru operațiile următoare, valoarea coeficienților de ambutisare se ia egală cu cea de la ambutisarea pieselor cilindrice fără flanșă. Diametrul exterior al flanșei, obținut în urma primei operații de ambutisat, rămâne neschimbat la operațiile următoare.

Piese înalte, cu  $\frac{h}{d} > 0,8$  și  $\alpha \leq 10^\circ$ , cit și

Piese înalte cu vîrf cu  $\alpha \leq 40^\circ$ , se execută printr-o succesiune de mai multe operații 1—7, după una din variantele a și b, schematizate în fig. 9.15.

Coeficienții de ambutisare, precizați ca rapoarte ale diametrilor medii, dinainte și de după operația dată de ambutisare, pentru primele două tipuri de piese conice se iau aproximativ egali cu cei dați pentru piese cilindrice, iar valorile lor pentru piese conice înalte și înalte cu vîrf se indică în tabelul 9.24.

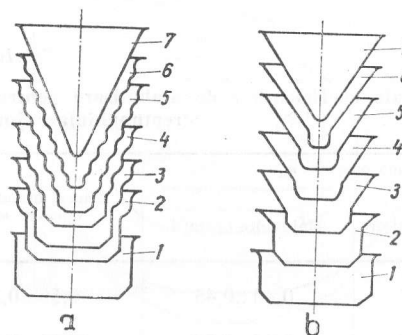


Fig. 9.15. Variante ale succesiunii operațiilor de ambutisare a pieselor conice înalte cu vîrf.

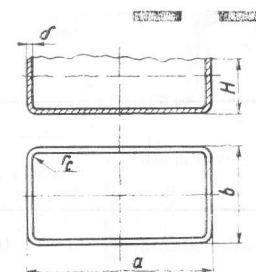


Fig. 9.16. Piesă ambutisată cu contur dreptunghiular

**Piese cu contur dreptunghiular.** Piese cu contur dreptunghiular se împart în două grupe: piese cu înălțime mică, cu  $\frac{H}{b} \leq 0,6 \dots 0,8$ , și piese înalte, cu  $\frac{H}{b} > 0,6 \dots 0,8$  (fig. 9.16).

Tabelul 9.24

Valori ale coeficientului de ambutisare pentru piese conice înalte și înalte cu vîrf [12]

$\frac{\delta}{d_{n-1}} \cdot 100$	0,5	1,0	1,5	2,0
$m_n = \frac{d_n}{d_{n-1}}$	0,85	0,80	0,75	0,70

Piese dreptunghiulare joase se ambutisează de regulă printr-o singură operație, dacă  $\frac{H}{r_c} \leq 10$ . În caz contrar numărul necesar de operații  $n$  se determină ca la ambutisarea pieselor cilindrice.



Valoarea coeficientului total de ambutisare se obține din relația

$$m = \frac{1}{\sqrt{1 + 2 \frac{M}{r_c}}} \quad (9.17)$$

Coeficienții de ambutisare admiși la execuția pieselor joase, de formă dreptunghiulară, se indică în tabelul 9.25.

Tabelul 9.25

Valori ale coeficienților de ambutisare pentru piese dreptunghiulare joase [7]

Materialul piesei	Prima operație $m_1$		A doua și următoarele operații $m_2$
	O operație de ambutisare	Mai multe operații	
Oțel moale, alamă	0,35...0,40	0,40...0,45	0,50...0,55
Aluminiu și aliajele lui	0,40...0,45	0,45...0,50	0,55...0,60

Piesele dreptunghiulare înalte se execută prin mai multe operații. O variantă de realizare constă în executarea unor semifabricate intermediare de formă ovală și în final executarea piesei dreptunghiulare, ca în fig. 9.17.

Numărul operațiilor necesare se stabilește în funcție de coeficientul total de ambutisare  $m_t$  și grosimea relativă a semifabricatului, exprimată prin raportul  $\frac{\delta}{L+l}$  50 la semifabricate ovale.

Coeficientul de ambutisare total are valoarea

$$m_t = 1,27 \frac{A+B}{L+l} \quad (9.18)$$

Numărul de operații necesar pentru executarea pieselor dreptunghiulare înalte rezultă din tabelul 9.26.

Dimensiunile semifabricatului oval se iau de:

$$L = 1,13 \sqrt{B^2 + 4B(H - 0,43r) - 1,72r(H + 0,33r)} + A - B \quad (9.19)$$

$$l = 1,13 \sqrt{B^2 + 4B(H - 0,43r) - 1,72r(H + 0,33r)} \frac{B - 2r}{A - 2r} + [B + 2(H - 0,43r)] \frac{A - B}{A - 2r} \quad (9.20)$$

Raza de curbatură  $R_{c\ n-1}$  cu care se prevede semifabricatul obținut la penultima operație, înainte de a trece la forma finită dreptunghiulară a piesei, se calculează cu relația

$$R_{c\ n-1} = \frac{B - 0,43r}{1,57 m_m}, \quad (9.21)$$

în care  $m_m$  este coeficientul mediu de ambutisare, avînd mărimea de 0,90 ... 0,95.

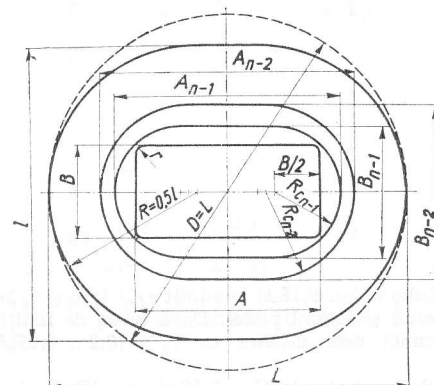


Fig. 9.17. Succesiunea conturului la operațiile de ambutisare a pieselor înalte cu contur dreptunghiular

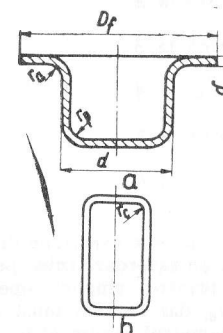


Fig. 9.18. Dimensiuni ale pieselor ambutisate

Tabelul 9.26

Numărul operațiilor necesare la ambutisarea pieselor dreptunghiulare înalte [12]

Numărul operațiilor	Coeficientul total de ambutisare $m_t$ pentru $\frac{\delta}{D} 100$ sau $\frac{\delta}{L+l} 50$			
	2,0 ... 1,5	1,5 ... 1,0	1,0 ... 0,5	0,5 ... 0,2
2 ambutisări	0,40...0,45	0,43...0,48	0,45...0,50	0,47...0,53
3 ambutisări	0,32...0,39	0,34...0,42	0,36...0,44	0,38...0,46
4 ambutisări	0,25...0,30	0,27...0,32	0,28...0,34	0,30...0,36
5 ambutisări	0,20...0,24	0,22...0,26	0,24...0,27	0,25...0,29

9.4.3.3. CONDIȚII PRIVIND FORMA ȘI PRECIZIA PIESELOR AMBUTISATE. Condiții privind forma pieselor realizate prin ambutisare fără subțierea pereților. În acest sens, se dau următoarele:

— Razele minime de racordare (fig. 9.18) care se pot obține în final, printr-o succesiune de ambutisări, se indică în tabelul 9.27. Printr-o operație suplimentară de calibrare aceste raze se pot reduce pînă la valorile de  $r_p = 0,25 \delta$  și  $r_a = (0,1 \dots 0,3) \delta$ .

Tabelul 9.27

Raze minime de racordare ce se pot obține prin ambutisare [7]

Grosimea materialului $\delta$ , mm	$r_p$ mm	$r_a$ mm
Pînă la 1	2	3
Peste 1 pînă la 2	3	5
Peste 2 pînă la 3	5	6
Peste 3 pînă la 4	6	7
Peste 4 pînă la 5	7	8
Peste 5 pînă la 6	8	10

Pentru piese cu secțiune dreptunghiulară (fig. 9,18,b) se admit  $r_f \geq 1,5\delta$  și  $r_c \geq 3\delta$ ,  $r_f$  fiind raza de racordare între pereții laterali și fundul piesei. Dacă piesa de înălțime  $H$  se obține printr-o singură operație, atunci este necesar ca  $r_c \geq (0,2 \dots 0,25)H$ , iar  $r_f > 0,3 r_c$ , dar nu mai mică de  $3\delta$ .

— Diametrul minim al flanșei pieselor ambutisate (fig. 9,18,a) se ia  $D_f \geq d + 12\delta$ .

Precizia pieselor obținute prin ambutisare fără subțierea peretilor. Valorile orientative legate de precizia acestor piese sînt indicate în tabelurile 9,28 ... 9,30.

Tabelul 9.28

Valorile abaterilor înălțimii pieselor cilindrice ambutisate fără flanșă [6]

Grosimea materialului mm	Înălțimea piesei, mm						
	<18	18-30	30-50	50-80	80-120	120-180	180-260
< 1	$\pm 0,5$	$\pm 0,6$	$\pm 0,8$	$\pm 1,0$	$\pm 1,2$	$\pm 1,5$	$\pm 1,8$
1-2	$\pm 0,6$	$\pm 0,8$	$\pm 1,0$	$\pm 1,2$	$\pm 1,5$	$\pm 1,8$	$\pm 2,0$
2-4	$\pm 0,8$	$\pm 1,0$	$\pm 1,2$	$\pm 1,5$	$\pm 1,8$	$\pm 2,0$	$\pm 2,5$
4-6	$\pm 1,0$	$\pm 1,2$	$\pm 1,5$	$\pm 1,8$	$\pm 2,0$	$\pm 2,5$	$\pm 3,0$

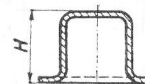
Tabelul 9.29

Valorile abaterilor diametrului pieselor cilindrice ambutisate fără flanșă [6]

Grosimea materialului, mm	Diametrul piesei, mm			Grosimea materialului, mm	Diametrul piesei, mm		
	Pînă la 50	50-120	120-260		Pînă la 50	50-120	120-260
0,5	$\pm 0,12$	—	—	2,0	$\pm 0,4$	$\pm 0,5$	$\pm 0,7$
0,6	$\pm 0,15$	$\pm 0,2$	—	2,5	$\pm 0,45$	$\pm 0,6$	$\pm 0,8$
0,8	$\pm 0,2$	$\pm 0,25$	$\pm 0,3$	3,0	$\pm 0,5$	$\pm 0,7$	$\pm 0,9$
1,0	$\pm 0,25$	$\pm 0,3$	$\pm 0,4$	4,0	$\pm 0,6$	$\pm 0,8$	$\pm 1,0$
1,2	$\pm 0,3$	$\pm 0,35$	$\pm 0,5$	5,0	$\pm 0,7$	$\pm 0,9$	$\pm 1,1$
1,5	$\pm 0,35$	$\pm 0,4$	$\pm 0,6$	6,0	$\pm 0,8$	$\pm 1,0$	$\pm 1,2$

Tabelul 9.30

Valorile abaterilor înălțimii pieselor cilindrice ambutisate cu flanșă [6]



Grosimea materialului, mm	Înălțimea piesei, mm						
	Pînă la 18	18-30	30-50	50-80	80-120	120-180	180-260
Pînă la 1	$\pm 0,3$	$\pm 0,4$	$\pm 0,5$	$\pm 0,6$	$\pm 0,8$	$\pm 1,0$	$\pm 1,2$
De la 1 la 2	$\pm 0,4$	$\pm 0,5$	$\pm 0,6$	$\pm 0,7$	$\pm 0,9$	$\pm 1,2$	$\pm 1,4$
De la 2 la 4	$\pm 0,5$	$\pm 0,6$	$\pm 0,7$	$\pm 0,8$	$\pm 1,0$	$\pm 1,4$	$\pm 1,6$
De la 4 la 6	$\pm 0,6$	$\pm 0,7$	$\pm 0,8$	$\pm 0,9$	$\pm 1,2$	$\pm 1,6$	$\pm 1,8$

9.4.3.4. DIMENSIONAREA SEMIFABRICATELOR PENTRU PIESE AMBUTISATE. Stabilirea dimensiunilor semifabricatului pentru piese de revoluție. La ambutisarea fără subțierea pereților, neglijând variația de grosime a pereților piesei, dimensiunile semifabricatului plan se determină pe baza egalității ariei suprafeței acestuia cu cea a piesei finite, la care se adună adaosul pentru tăierea marginilor.

La piese de revoluție, semifabricatul este de formă circulară.

Determinarea diametrului  $D$  al semifabricatului se face prin metoda analitică (la piese cu formă relativ simplă) sau grafică (la piese de formă complicată).

*Metoda analitică:*

Se determină lungimea  $L$  a curbei generatoare cât și distanța  $r$  de la centrul de greutate al curbei până la axa de rotație. Suprafața generată prin rotirea curbei respective în jurul axei  $y-y$  este dată de relația  $A = 2\pi rL$  care, egalată cu aria semifabricatului  $\frac{\pi D^2}{4}$ , permite deducerea valorii lui  $D$ .

*Metoda grafică:*

Curba generatoare a suprafeței de revoluție se divide într-o serie de porțiuni de lungime  $l_i$ , care se pot considera aproximativ drepte.

Se stabilește poziția centrelor de greutate ale porțiunilor respective. În aceste puncte (centre de greutate) se consideră aplicate niște forțe de același sens și paralele cu axa

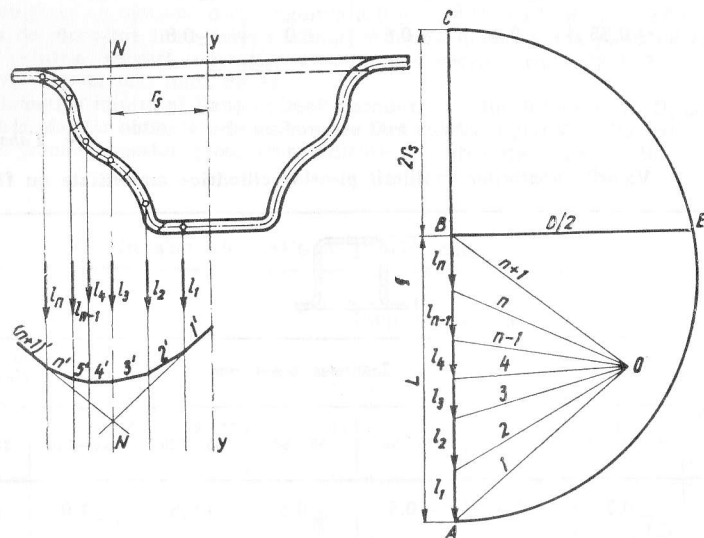


Fig. 9.19. Determinarea grafică a dimensiunilor semifabricatelor pentru piese de revoluție ambutisate

de rotație  $y-y$ , de mărime proporțională cu greutatea, respectiv lungimea porțiunilor corespunzătoare, ca în fig. 9.19.

Cu ajutorul poligonului funicular se găsește linia de acțiune  $N-N$  a rezultantei acestor forțe și în același timp și distanța  $r_s$  dintre  $N-N$  și  $y-y$ .

Întrucit relația de egalitate a ariei suprafețelor semifabricatului și piesei se poate reduce la forma

$$\left(\frac{D}{2}\right)^2 = 2r_s L,$$

razei semifabricatului îi va corespunde înălțimea unui triunghi dreptunghic, coborâtă din vârful unghiului drept și care împarte ipotenuza în două segmente de mărime  $2r_s$  și  $L$  (ca medie geometrică a acestor segmente).

Deci, pe segmentul  $AC$  (fig. 9.19) de mărime egală cu  $\Sigma l_i + 2r_s$ , considerat diametru, se descrie un semicerc. Mărima perpendicularei  $BE$  ridicată pe diametrul  $AC$  în punctul  $B$  distanțat față de  $A$  cu mărimea  $\Sigma l_i$  corespunde mărimii razei semifabricatului  $\frac{D}{2}$ .

**Stabilirea dimensiunilor semifabricatului pentru piese dreptunghiulare.** În cazul pieselor dreptunghiulare de înălțime mică se adoptă pentru semifabricat forma și dimensiunile din fig. 9.20.

În această construcție, raza de racordare  $r_1$  a semifabricatului se ia

$$r_1 = \sqrt{2r_c h + 1,41 r_c r_f}; \quad (9.22)$$

$e$  și  $f$  reprezintă mijloacele segmentelor  $ab$  respectiv  $cd$ , puncte prin care se trasează tangentele  $gh$  și  $ij$  la arcul de cerc având centrul în  $A$ , tangente care se racordează

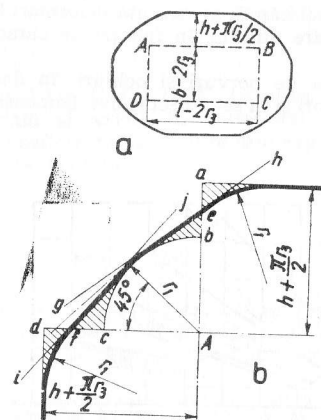


Fig. 9.20. Dimensionarea semifabricatelor pentru piese dreptunghiulare de înălțime mică:

$a$  - forma semifabricatului;  $b$  - construcția conturului în colțurile semifabricatului

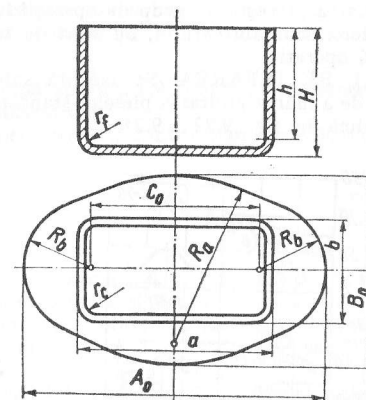


Fig. 9.21. Dimensionarea semifabricatelor pentru piese dreptunghiulare înalte

cu marginile drepte ale semifabricatului prin arcele de cerc având centrele în  $x$  și  $y$ . Semnificația lui  $r_c$ ,  $r_f$  și  $h$  se vede în fig. 9.20.

Pentru piese dreptunghiulare înalte (fig. 9.21), forma semifabricatului este ovală, având dimensiunile: distanța  $C_0$  dintre focare,

$$C_0 = \sqrt{(a-b)(a+b-0,76 r_c)}; \quad (9.23)$$

aria suprafeței semifabricatului,

$$A_s = ab - 0,86 r_c^2 + 2(a + b - 0,86 r_c) (H - 0,43 r_f); \quad (9.24)$$

lățimea semifabricatului,

$$B_0 = \sqrt{1,27 A_s - 0,5 C_0^2}; \quad (9.25)$$

lungimea semifabricatului,

$$A_0 = \sqrt{B_0^2 + C_0^2} = \sqrt{1,27 A_s + 0,5 C_0^2}; \quad (9.26)$$

razele de rotunjire,

$$R_b = \frac{0,707 B_0}{\sqrt{\left(\frac{A_0}{B_0}\right)^2 + 1}}; \quad R_a = \frac{A_0^2 + B_0^2 - 4 A_0 R_b}{4 (B_0 - 2 R_b)}. \quad (9.27)$$

#### 9.4.4. FASONAREA

Fasonarea privește un grup de operații în cadrul cărora se execută deformări locale ale suprafeței semifabricatului, cu stări de tensionare diferite, în funcție de caracterul concret al operației.

9.4.4.1. RELIEFAREA. Se execută sub formă de nervuri și ochiuri, în deosebi cu scopul de a mări rigiditatea pieselor ștanțate, uneori și în scop decorativ. Dimensiunile lor se indică în fig. 9.22 ... 9.24.

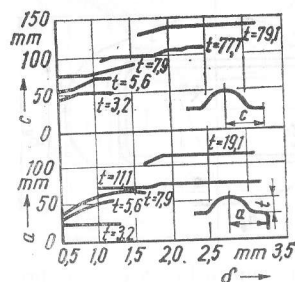


Fig. 9.22. Distanțe de poziționare a nervurilor de rigidizare [2]

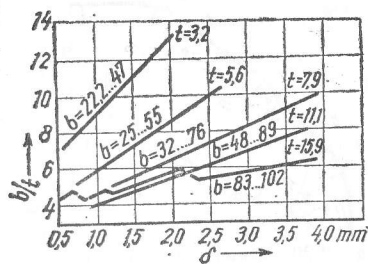


Fig. 9.23. Dimensiuni ale nervurilor de rigidizare [2]

Forța necesară pentru realizarea nervurilor de rigidizare se aproximează cu relația

$$F = (0,6 \dots 0,9) L \delta \sigma_r, \quad (9.28)$$

iar pentru executarea unor reliefuri de suprafețe mai reduse

$$F = k A \delta^2, \quad (9.29)$$

în care:  $L$  este lungimea perimetrului nervurii;  $A$  — aria suprafeței plane supuse operației de reliefare;  $k$  — coeficient ce depinde de natura materialului: pentru oțel  $k = 20 \dots 30$ , alamă  $15 \dots 20$ , aluminiu  $8 \dots 15$  daN/mm<sup>4</sup>

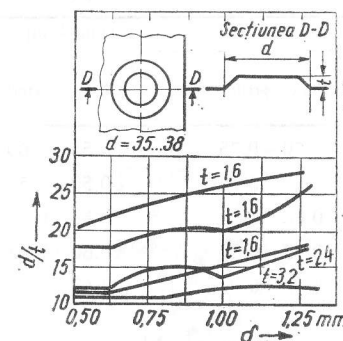


Fig. 9.24. Dimensiuni ale ochiurilor de rigidizare [2]

9.4.4.2. GÎTUIREA. Gîtuirea determină apariția solicitărilor de compresiune tangențială și axială în materialul semifabricatului.

Coeficientul de gîtuire este exprimat prin raportul dintre diametrele de după și dinainte de operație

$$K_{gn} = \frac{d}{d_{n-1}}. \quad (9.30)$$

Pentru cazul unor coeficienți de gîtuire prea mici, datorită stării de tensionare a materialului, se formează cute pe porțiunea gîtuită și apare umflarea semifabricatului în zona de sub porțiunea gîtuită. Acolo unde pericolul unor asemenea defecte este mai mare, se va proceda la gîtuire cu sprijinire exterioară și interioară, sau numai exterioară.

Valorile minime admise pentru coeficientul de gîtuire de la prima operație se indică în tabelul 9.31.

Pentru operațiile următoare, aceste valori se majorează cu 10 ... 15%.

Valoarea coeficientului de gîtuire  $K_g$  variază în funcție de raportul dintre grosimea  $\delta$  a pereților și diametrul  $d$  al semifabricatului, cât și de conicitatea  $\alpha$  sub care se realizează gîtuirea, după cum se prezintă în fig. 9.25.

Înălțimea necesară a semifabricatului, determinată în baza invariabilității volumului de material în cursul deformării plastice, se indică, pentru diferite cazuri, în tabelul 9.32.

Forța de gîtuire se calculează cu relația

$$F = 1,6 \frac{d \delta \sigma_r}{K \cos \alpha}. \quad (9.31)$$

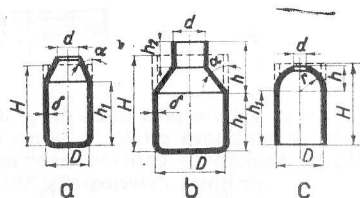
Tabelul 9.31

Valori minime ale coeficientului de gîtuire [7]

Material	Tipul ștanței		
	Fără sprijin	Cu sprijin exterior	Cu sprijin exterior și interior
Oțel moale	0,70—0,75	0,55—0,60	0,30—0,35
Alamă	0,65—0,70	0,50—0,55	0,27—0,32
Aluminiu	0,68—0,72	0,53—0,57	0,27—0,32
Duraluminu moale	0,73—0,80	0,60—0,63	0,35—0,40
Duraluminu tare	0,75—0,80	0,68—0,72	0,40—0,43

Tabelul 9.32

Relații de calcul a înălțimii semifabricatului la gîtuire [7]



a	$H = 1,05 \left[ h_1 + \frac{D^2 - d^2}{8D \sin \alpha} \left( 1 + \sqrt{\frac{D}{d}} \right) \right]$
b	$H = 1,05 \left[ h_1 + h \sqrt{\frac{d}{D}} + \frac{D^2 - d^2}{8D \sin \alpha} \left( 1 + \sqrt{\frac{D}{d}} \right) \right]$
c	$H = h_1 + \frac{1}{4} \left( 1 + \sqrt{\frac{D}{d}} \right) \sqrt{D^2 - d^2}$

9.4.4.3. UMFLAREA. La umflare, apar solicitări locale de întindere tangențială și axială, deformarea ducind la subțierea pereților în zona respectivă.

Coeficientul de umflare  $K_u$  este dat de raportul diametrului maxim de după umflare  $d_f$  și diametrul semifabricatului cilindric  $d$

$$K_u = \frac{d_f}{d} \quad (9.32)$$

Valorile lui  $K_u$  se indică în tabelul 9.33.

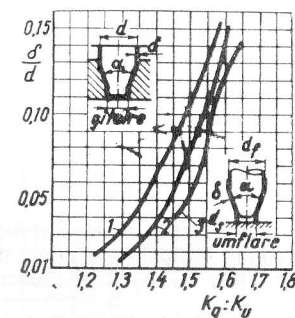


Fig. 9.25. Variația coeficientului de gîtuire și umflare [12]:

1 - gîtuire la  $\alpha = 40^\circ$ ; 2 - gîtuire la  $\alpha = 20^\circ$ ; 3 - umflare la  $\alpha = 40^\circ$

Tabelul 9.33

Valori ale coeficientului de umflare [12]

Materialul	Raportul $\frac{\delta}{D} \cdot 100$			
	0,45—0,35		0,32—0,28	
	ecruisat	recopt	ecruisat	recopt
Oțel moale	1,10	1,20	1,05	1,15
Aluminiu	1,20	1,25	1,15	1,20

Înălțimea necesară a semifabricatului  $L_s$  se ia

$$L_s = (1 - \varepsilon_m) L_p + a, \quad (9.33)$$

în care:  $L_p$  este lungimea piesei;  $a$  - adaosul de tăiere;  $\varepsilon_m$  - lungirea tangențială specifică medie

$$\varepsilon_m = (0,4 \dots 0,5) \frac{d_f - d_s}{d} = 0,4 \dots 0,5(K_u - 1).$$



9.4.4.4. RĂSFRÎNGEREA. Răsfrîngerea se referă fie la marginile orificiilor din piese, fie la marginile conturului exterior al piesei.

Răsfrîngerea marginilor orificiilor din piese determină întinderea tangențială a materialului, provocând subțierea grosimii pereților porțiunii răsfrînte. Pentru a mări înălțimea porțiunii răsfrînte se execută uneori resfrîngere cu subțierea intenționată a pereților, printr-un joc dintre poason și placa activă de mărime mai redusă decât grosimea semifabricatului (subțiere la 0,4 ... 0,5  $\delta$ ).

Coefficientul de răsfrîngere  $K_r$  este dat de raportul dintre diametrul  $d$  al orificiului din semifabricat și diametrul răsfrînt  $d_1$  (fig. 9.26)

$$K_r = \frac{d}{d_1} \quad (9.34)$$

Valoarea limită a lui  $K_r$  se poate preciza funcție de lungirea specifică la rupere a fibrei extreme, întinse cel mai puternic

$$K_{r \min} = \frac{1}{1 + \varepsilon_r} \quad (9.35)$$

Mărimile admisibile ale lui  $K_r$  se indică în tabelul 9.34.

Pentru cazul răsfrîngerii marginii orificiilor de formă dreptunghiulară, coeficientul de răsfrîngere  $K_{rd}$  se ia de (0,85... 0,9)  $K_r$ ,  $K_r$  fiind coeficientul indicat pentru orificii circulare.

Raza de racordare  $r$  cu porțiunea răsfrîntă se ia în funcție de grosimea  $\delta$  a semifabricatului, de  $r = (3... 5) \delta$  pentru  $\delta < 2$  mm și  $r = (2... 3) \delta$  pentru  $\delta > 2$  mm.

Tabelul 9.34

Valori ale coeficientului de răsfrîngere [12]

Forma poansonului de răsfrîngere	Modalitatea obținerii orificiului	Raportul $\frac{d}{\delta}$										
		100	50	35	20	15	10	8	6,5	5	3	1
Sferic	cu burghiu	0,70	0,60	0,52	0,45	0,40	0,36	0,33	0,31	0,30	0,25	0,20
	perforat	0,75	0,65	0,57	0,52	0,48	0,45	0,44	0,43	0,42	0,42	—
Cilindric	cu burghiu	0,80	0,70	0,60	0,50	0,45	0,42	0,40	0,37	0,35	0,30	0,25
	perforat	0,85	0,75	0,65	0,60	0,55	0,52	0,50	0,50	0,48	0,47	—

Diametrul  $d$  al orificiului de răsfrînt, după care se execută semifabricatul, se determină în baza invariației lungimii fibrei neutre approximate la mijlocul grosimii semifabricatului (fig. 9.26)

$$d = D_1 - \left[ \pi \left( r + \frac{\delta}{2} \right) + 2h \right] \text{ sau}$$

$$d = D - 2[H - 0,43 r - 0,72 \delta]. \quad (9.36)$$

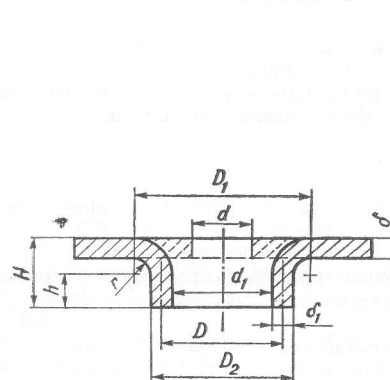


Fig. 9.26. Răsfrîngerea marginilor orificiilor circulare

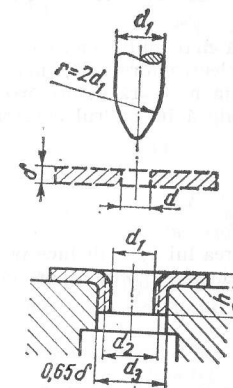


Fig. 9.27. Răsfrîngerea orificiilor mici în vederea filetării lor

Înălțimea totală a piesei răsfrînte este

$$H = \frac{D - d}{2} + 0,43 r + 0,72 \delta, \quad (9.37)$$

din care porțiunea răsfrîntă cilindrică are înălțimea

$$h = \frac{D^2 - d^2 - 2r_1[D(\pi - 2) + 2r_1(\pi - 3)]}{4D}, \quad (9.38)$$

iar

$$r_1 = r + 0,5 \delta. \quad (9.39)$$

La răsfrîngerea orificiilor mici ce urmează a fi filetate, la piese din semifabricate subțiri (fig. 9.27), se adoptă un coeficient de răsfrîngere  $K_r = 0,45$ , subțierea pereților fiind  $\frac{d_3 - d_1}{2} = 0,65\delta$ , în care caz înălțimea este  $h = (2... 2,5) \delta$ . Deseori aceste orificii din table subțiri se fac fără o perforare prealabilă, realizându-se direct, o străpungeră cu răsfrîngere.

Forța necesară rășfringerii marginilor orificiilor circulare se aproximează cu relația

$$F = (1,5 \dots 2) \pi(D - d) \sigma_r. \quad (9.40)$$

În ce privește rășfringerea marginilor conturului exterior al pieselor, procesul se reduce la cel de rășfringere al marginilor orificiilor pentru porțiuni concave de contur, respectiv la un proces de ambutisare pentru porțiuni convexe de contur.

#### 9.4.5. DEFORMĂRI CU PUTERI ȘI VITEZE MARI

Există mai multe metode de deformare cu puteri și viteze mari: deformarea prin explozii, electrohidraulică, magnetodinamică și pneumomecanică.

Energia necesară deformării  $W$ , funcție de care se precizează energia care trebuie să fie produsă în cadrul acestor metode de deformare este dată de relația

$$W = k_s V \quad [\text{J}], \quad (9.41)$$

în care  $K_s$  este lucrul mecanic specific de deformare,  $\text{J/m}^3$ ;  $V$  — volumul de material ce se deformează,  $\text{m}^3$ .

Valoarea lui  $k_s$  se deduce pornind de la funcția exponențială care exprimă mărimea tensiunii efective  $\sigma_{ef}$  în raport cu deformarea specifică efectivă  $\varepsilon_{ef}$  și o constantă  $B$  a materialului

$$\sigma_{ef} = B \varepsilon_{ef}^\alpha,$$

care integrată pentru domeniul de deformare de la 0 la  $\varepsilon$  dă

$$k_s = \int_0^\varepsilon \sigma_{ef} d\varepsilon = \int_0^\varepsilon B \varepsilon_{ef}^\alpha d\varepsilon = \frac{B \varepsilon_{ef}^{1+\alpha}}{1+\alpha}. \quad (9.42)$$

Prin particularizarea relației forței de deformare pentru momentul formării gîturii, se deduce că

$$\alpha = \varepsilon_g, \text{ iar } B = \sigma_{r ef} \frac{\varepsilon^\varepsilon}{\varepsilon_{ef}^\alpha}. \quad (9.43)$$

**9.4.5.1. DEFORMAREA PRIN EXPLOZIE.** Energia necesară deformării poate fi produsă prin detonație, cu ajutorul explozivilor, sau prin combustie chimică, cu ajutorul unor medii de ardere (praf de pușcă, gaze de combustie). În primul caz se obține o deformare cu presiune ridicată, în al doilea caz, cu presiuni joase. Variația presiunii în funcție de timp, pentru cele două cazuri 1 și 2, se prezintă în fig. 9.28.

În urma exploziei, ia naștere o undă de șoc care se propagă cu o viteză supersonică în toate direcțiile și produce deformarea semifabricatului de care se lovește. Viteza și presiunea undei de șoc este funcție de mediul prin care aceasta se transmite. În medii mai dense, viteza de propagare este mai mică, dar presiunea mai ridicată.

La deformări se folosește atît procedeul formării libere (mediul de transmitere al energiei undei de șoc fiind aerul), cît și al formării în recipient (mediul lichid). În acest din urmă caz, explozivul este introdus într-o capsulă detonatoare, iar amorsarea exploziei se face printr-o scintee electrică.

Presiunea maximă  $p_{max}$  exercitată asupra semifabricatului depinde de natura explozivului (constanta  $C$ ), cantitatea  $G$  a acestuia, forma (exponentul  $k$ ) și distanța  $R$  de amplasare a explozivului, fiind dată de relația [4]

$$p_{max} = C \left( \frac{G^{1/3}}{R} \right)^k. \quad (9.44)$$

În funcție de timp, presiunea scade după relația

$$p = p_{max} e^{-t/n}, \quad (9.45)$$

în care  $n$  este caracteristica intensității căderii presiunii în funcție de timp.

Energia undei de șoc, raportată la  $1 \text{ cm}^2$  suprafață pe care ea se exercită, se exprimă prin relația

$$W = \frac{p_{max}^2 n}{2 \rho_0 c_0}, \quad [\text{J/m}^2] \quad (9.46)$$

în care  $\rho_0$  este densitatea mediului,  $\text{kg/m}^3$ ;  $c_0$  — viteza sunetului în mediul respectiv,  $\text{m/s}$ .

**9.4.5.2. DEFORMAREA ELECTROHIDRAULICĂ.** În cadrul procedurii electrohidraulice, puterile și vitezele mari de deformare sînt obținute prin descărcări electrice în mediu lichid.

Instalația (fig. 9.29) cuprinde un circuit de încărcare a condensatorilor și unul de descărcare. Tensiunea de lucru  $U$  este de ordinul cîtorva zeci de kilovolți. Electrozii,

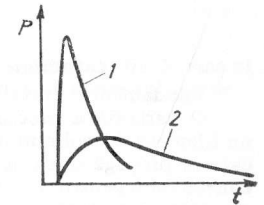


Fig. 9.28. Variația presiunii în funcție de timp la deformarea prin explozie:  
1 — detonație; 2 — combustie chimică

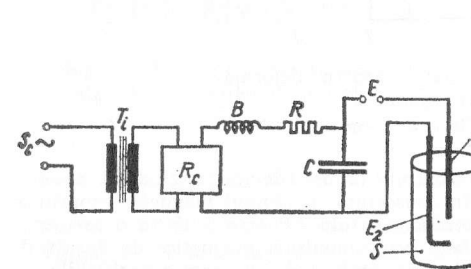


Fig. 9.29. Schema instalației pentru deformare electrohidraulică:

$S_c$  — sursa de curent alternativ;  $T_i$  — transformator de înaltă tensiune;  $R_c$  — redresor;  $B$  — bobina de șoc;  $R$  — rezistență;  $C$  — condensator;  $E$  — eclator;  $E_1$  și  $E_2$  — electrozi;  $S$  — semifabricat;  $S_d$  — sculă pentru deformare

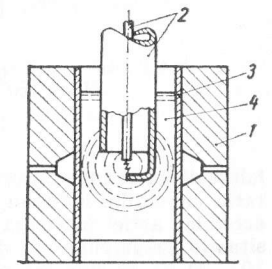


Fig. 9.30. Schema de principiu a sculei pentru deformarea electrohidraulică:  
1 — placa de formare; 2 — electrozi; 3 — semifabricat; 4 — mediu fluid

între care se produce scintea electrică, se plasează în interiorul sculei, în care s-a introdus și semifabricatul supus deformării (fig. 9.30). Unda de șoc se propagă după o direcție perpendiculară pe electrozii.

Energia acumulată în condensatoare și eliberată prin descărcare este dată de relația

$$W = \frac{CU^2}{2} \text{ [J]}, \quad (9.47)$$

în care:  $C$  este capacitatea condensatorilor,  $F$ ;  $U$  — tensiunea la bornele condensatorului,  $V$

Randamentul instalației este de 10 ... 30%.

O variantă a procedului electrohidraulic constă în utilizarea unui „fir exploziv”, un filament de wolfram între electrozi, care se volatilizează în cursul descărcării. Scînteia care se propagă după acest filament va putea fi astfel dirijată după o direcție cit mai convenabilă pentru deformare. Firul exploziv permite totodată lungirea scînteii, ceea ce prezintă importanță la deformarea tuburilor mai lungi.

9.4.5.3. DEFORMAREA MAGNETODINAMICĂ. La procedul magnetodinamic, deformarea semifabricatului se datorește interacțiunii dintre cîmpul magnetic impulsiv, obținut prin descărcarea unui condensator într-o bobină și cîmpul magnetic al curentului indus în semifabricatul bun conducător de electricitate, situat în interiorul bobinei (fig. 9.31).

În cursul procesului se degajă o cantitate de căldură mare, ceea ce duce la încălzirea semifabricatului și prin aceasta la reducerea conductibilității sale electrice. Semi-

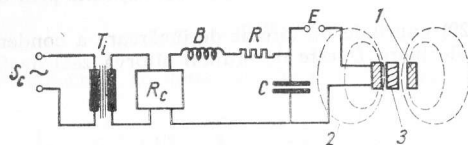


Fig. 9.31. Schema instalației pentru deformarea magnetodinamică:

1 — bobină; 2 — linii de flux; 3 — dispozitiv de lucru

fabricatul avînd în această situație conductibilitate redusă, devine neglijabilă intensitatea curentului indus în semifabricat și, în consecință, și cîmpul magnetic propriu al acestuia. Astfel încetează și deformarea semifabricatului. Pentru a evita o asemenea situație, se impune ca deformarea să se facă prin impulsuri magnetice de durată de 10 ... 20  $\mu s$ , în care caz pierderile de energie prin căldură devin practic neglijabile.

Lucrul mecanic de deformare a unui semifabricat avînd suprafața de arie  $A$ , și care prin deformare se transpune la o distanță  $\Delta l$  față de poziția sa inițială este dat în funcție de valoarea  $B$  a inducției magnetice, de relația

$$W = \frac{B^2}{8\pi} \Delta l A \text{ [J]}. \quad (9.48)$$

Procedul este folosit la deformarea materialelor bune conducătoare de electricitate (cupru, aluminiu). Pentru materiale cu o conductibilitate electrică mai slabă se impune o cuprare prealabilă a semifabricatului sau să se interpună între bobină și piesă o foaie de cupru sau aluminiu, ceea ce îmbunătățește considerabil condițiile de deformare.

## 9.5. CONSTRUCȚII DE SCULE PENTRU PRELUCRAREA TABLELOR

### 9.5.1. FOARFECE

Diverse tipuri de foarfece, date privind elementele lor active și domeniul lor de utilizare se prezintă în tabelul 9.35.

### 9.5.2. VALȚURI DE ÎNDREPTAT ȘI CURBAT TABLĂ

Valțuri de îndreptat. În fig. 9.32, se schițează poziția relativă a valțurilor mașinilor de îndreptat rotative. Numărul valțurilor este de 9 ... 21, la îndreptarea tablelor subțiri respectiv de 5 ... 11, la table de grosime mai mare.

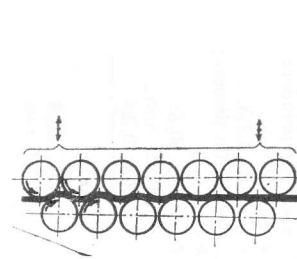


Fig. 9.32. Poziția relativă a valțurilor mașinilor de îndreptat

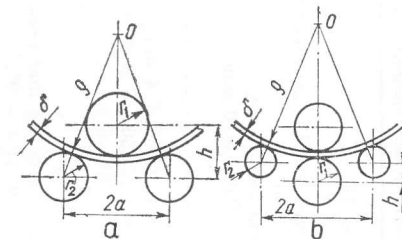


Fig. 9.33. Poziția relativă a valțurilor mașinilor de curbat tablă:  
a — cu 3 valțuri; b — cu 4 valțuri

Pasul dintre valțuri, în funcție de grosimea tablei de îndreptat se indică în tabelul 9.36.

Diametrul valțurilor se ia de 0,9 ... 0,95 din pas.

Valțuri de curbat. Curbarea tablelor se execută cu mașini de curbat rotative cu 3 sau 4 valțuri orizontale (fig. 9.33)

Distanța  $h$  dintre centrele valțurilor, pentru a obține o curbă de rază  $\rho$ , se determină din relațiile:

— la mașinile cu 3 valțuri (fig. 9.33,a),

$$h = \sqrt{(\rho + \delta + r_2)^2 - a^2} - (\rho - r_1) \quad (9.49)$$

respectiv

$$\rho = \frac{(r_2 + \delta)^2 - (h - r_1)^2 - a^2}{2[h - (r_1 + r_2 + \delta)]}; \quad (9.50)$$

Tabelul 9.35  
Date constructive și domeniul de utilizare a foarfecelor

Tipul foarfecei	Schema	Caracteristicile elementelor active	Domeniul de utilizare
1. Foarfecă cu lame paralele		$\beta = 75...85^\circ$ ; $\alpha = 2...3^\circ$ ; Pentru simplificarea ascuțirii, $\beta = 90^\circ$ și $\alpha = 0^\circ$ . Jocul între lame, $j = 0,05...0,20$ mm	Tăierea benzilor relativ înguste și groase
2. Foarfecă cu lame înclinate		$\varphi = 1...6^\circ$ ; $\delta \leq 4$ mm, $\varphi = 1^\circ...2'30''$ ; $\delta > 4$ mm, $\varphi = 2'30''...6''$ ; $\beta = 75...85^\circ$ ; $\alpha = 2...3^\circ$ . Pentru ascuțire mai ușoară, $\beta = 90^\circ$ și $\alpha = 0^\circ$ ; $j = 0,05...0,2$ mm	Tăierea tablelor în benzi sau în alte semifabricate mai mici
3. Foarfecă cu o pereche de discuri cu axe paralele		Unghiul de prindere $\alpha = 14^\circ$ ; $h = (0,2...0,3)\delta$ . Dimensiunile discului $\delta \leq 3$ mm $D = (25...50)\delta$ ; $b = 20...25$ mm; $j = (0,05...0,2)\delta$	Tăierea tablelor în benzi sau în semifabricate circulare
4. Foarfecă cu două sau mai multe perechi de discuri		$\alpha = 90^\circ$ ; $D = (40...125)\delta$ ; $b = 15...30$ mm; $h = 0,5\delta$ ; $j = (0,1...0,2)\delta$	Tăierea tablei simultan în mai multe benzi

Tabelul 9.36

Mărimea pasului dintre valțuri

Grosimea tablei, mm	0,4...1,5	0,6...2,5	1...4	2...8	4...16	5...20	8...30	12...50
Pasul dintre valțuri, mm	50	65	85	125	200	220	300	400

— la mașinile cu 4 valțuri (fig. 9.33,b),

$$h = r_1 + \rho' - (r_2 + \rho')^2 - a^2; \quad (9.51)$$

$$\rho' = \rho + \delta;$$

$$\rho' = \frac{r_2^2 - (r_1 - h)^2 - a^2}{2(r_1 - r_2 - h)}. \quad (9.52)$$

### 9.5.3. ȘTANȚE

9.5.3.1. TIPURI CONSTRUCTIVE DE ȘTANȚE. În funcție de combinarea operațiilor pe care le execută, ștanțele se clasifică în:

— ștanțe simple, care execută o singură tăiere sau deformare plastică, utilizate în cazul producției de serie mică.

— ștanțe combinate, care execută o serie de tăieri sau deformări plastice, în mod succesiv (ștanțe cu acțiune succesivă), simultan (ștanțe cu acțiune simultană), sau prin succesiunea de grupe de deformări executate simultan (ștanțe cu acțiune simultană succesivă). Se utilizează la producția în serie mijlocie, mare și de masă. Caracteristicile acestora se dau în tabelul 9.37.

9.5.3.2. CONSTRUCȚIA ȘI DIMENSIONAREA ELEMENTELOR COMPONENTE ALE ȘTANȚELOR. Elementele active ale ștanțelor. Plăci active și poansoane ale ștanțelor pentru operații de tăiere. Există următoarele feluri de plăci active mai frecvent utilizate la ștanțele pentru operații de tăiere: placă dintr-o singură bucată, executată din oțel de scule; placă din oțel de construcție prevăzută cu pastile din material pentru scule în zonele active; placă din segmente separate executate din oțel de scule.

Grosimea  $H$  a plăcilor active dintr-o singură bucată se indică în tabelul 9.38.

Forma orificiilor de lucru din plăcile active și domeniul lor de utilizare este indicat în tabelul 9.39.

Lățimea  $B$  a plăcilor active dintr-o singură bucată se precizează în funcție de dimensiunea maximă  $b$  a piesei decupate, măsurată după o direcție perpendiculară pe avans, cu relația

$$B = b + (3 \dots 4) H. \quad (9.53)$$

Tabelul 9.37

## Caracteristici ale ștanțelor combinate

Indicator	Tipul ștanței	
	Simultană	Succesivă
Precizia piesei	Ridică și medie (clasa 3...5)	Medie și redusă (clasa 5...8)
Calitatea pieselor decupate	Plane, cu suprafețe de forfecare bune, datorită fixării materialului	Cu abateri de la planeitate
Dimensiuni maxime ale piesei și interval de grosimi ale semifabricatului	Funcție de gabaritul presei, $\delta = (0,05...8)$ mm	Până la 250 mm, la ambutisarea materialelor cu $\delta = (0,2...3)$ mm până la 500 mm, la tăierea și îndoirea materialelor cu $\delta \leq 10$ mm
Productivitatea	Mai scăzută, datorită îndepărtării relativ greoaie a piesei din sculă	Mai ridicată, datorită posibilității de automatizare a alimentării cu semifabricate și a evacuării pieselor
Protecția muncii	Scăzută, datorită posibilității introducerii mâinii în zona activă a sculei	Ridică, este exclusă posibilitatea introducerii mâinii în zona activă a sculei

Tabelul 9.38

## Grosimea plăcilor de tăiere [12]

b mm	Grosimea H a plăcii active pentru grosimea materialului de decupat, mm		
	Până la 1 mm	1 - 3 mm	3 - 6 mm
Până la 50	$(0,3...0,4)b$	$(0,35...0,5)b$	$(0,45...0,6)b$
50...100	$(0,2...0,3)b$	$(0,22...0,35)b$	$(0,30...0,45)b$
100-200	$(0,15...0,2)b$	$(0,18...0,22)b$	$(0,22...0,30)b$
Peste 200	$(0,10...0,15)b$	$(0,12...0,18)b$	$(0,15...0,22)b$

Tabelul 9.39

## Tipuri ale orificiilor active ale plăcilor de tăiere

Tipul orificiului	Schița	Domeniu de utilizare												
Tipul I cu centură		Pentru decuparea pieselor cu formă complicată Valori în funcție de $\delta$ <table><tr><th><math>\delta</math>mm</th><th><math>h</math>mm</th><th><math>\Delta'</math></th></tr><tr><td><math>&lt; 0,5</math></td><td>3—5</td><td>10</td></tr><tr><td>0,5—5</td><td>5—10</td><td>20</td></tr><tr><td>5—10</td><td>10—15</td><td>30</td></tr></table> $\alpha = 3...5^\circ$	$\delta$ mm	$h$ mm	$\Delta'$	$< 0,5$	3—5	10	0,5—5	5—10	20	5—10	10—15	30
$\delta$ mm	$h$ mm	$\Delta'$												
$< 0,5$	3—5	10												
0,5—5	5—10	20												
5—10	10—15	30												
Tipul II conic		Pentru decuparea pieselor mici cu formă simplă Valori în funcție de $\delta$ <table><tr><th><math>\delta</math>mm</th><th><math>\alpha'</math></th></tr><tr><td>0,1—0,5</td><td>10—15</td></tr><tr><td>0,5—1</td><td>15—20</td></tr><tr><td>1—2</td><td>20—30</td></tr><tr><td>2—4</td><td>30—45</td></tr><tr><td>4—6</td><td>45—60</td></tr></table>	$\delta$ mm	$\alpha'$	0,1—0,5	10—15	0,5—1	15—20	1—2	20—30	2—4	30—45	4—6	45—60
$\delta$ mm	$\alpha'$													
0,1—0,5	10—15													
0,5—1	15—20													
1—2	20—30													
2—4	30—45													
4—6	45—60													
Tipul III prismatic		Pentru decuparea pieselor mari și în cazul scoaterii inverse a pieselor												
Tipul IV cilindric în trepte		Pentru perforarea orificiilor cu diametrul până la 25 mm. Pentru $h$ și $\Delta$ , se admit aceleași valori ca la tipul I $\delta$ — grosimea materialului de ștanțat												



Verificarea rezistenței la încovoiere a plăcilor active se face cu relațiile simplificate:  
— pentru plăci circulare (fig. 9.34,a),

$$\sigma_i = \frac{1,5F_t}{H^2} \left(1 - \frac{2d}{3d_0}\right) \leq \sigma_{ai}; \quad (9.54)$$

— pentru plăci dreptunghiulare (fig. 34,b),

$$\sigma_i = \frac{3F_t}{H^2} \left( \frac{\frac{b}{a}}{1 + \frac{b^2}{a^2}} \right) \leq \sigma_{ai}, \quad (9.55)$$

în care  $F_t$  este forța activă totală care apare în procesul de deformare.

Plăcile active cu pastile montate se întrebuințează de obicei pentru perforarea orificiilor din piese relativ mari.

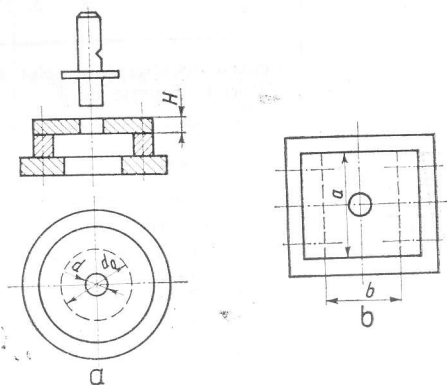


Fig. 9.34. Schema de calcul a rezistenței plăcilor active:

a — plăci circulare; b — plăci dreptunghiulare

Poansoanele ștanțelor pentru operații de tăiere pot avea o mare varietate de forme constructive, așa cum se prezintă în tabelul 9.40.

Lungimea poansoanelor se ia egală cu suma grosimilor următoarelor elemente: placa port-poanson, placa de ghidare sau de desprindere, rigla de ghidare, plus 10 ... 20 mm.

Poansoanele se verifică la compresiune și flambaj.

La o șanță fără placă de ghidare, lungimea maximă admisibilă a poansonului, pentru a evita flambajul, este

$$l = \sqrt{\frac{\pi^2 EI}{4nF_t}}, \quad (9.56)$$

iar la o șanță cu placă de ghidare,

$$l = \sqrt{\frac{2\pi^2 EI}{nF_t}}, \quad (9.57)$$

în care:  $I$  este momentul de inerție al secțiunii transversale a poansonului;  $n$  — coeficient de siguranță, care pentru oțel călit se ia de 2 ... 3.

Dimensionarea părților de lucru ale elementelor active se face având în vedere:  
a. precizia de execuție impusă pieselor de realizat, dată prin toleranța  $T$  a acestora;  
b. asigurarea unui joc minim  $j_{min}$  între poanson și placa de tăiere, pentru care se obține o calitate corespunzătoare a suprafeței de tăiere; c. asigurarea unei durabilități totale

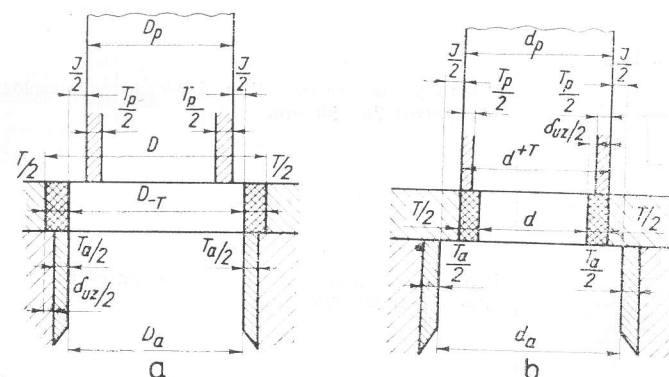


Fig. 9.35. Schema pentru dimensionarea zonei de lucru a elementelor active ale ștanțelor de tăiere:

a — decupare; b — perforare

cît mai ridicate a sculei; d. valoarea toleranțelor  $T_a$  și  $T_p$  cu care se execută elementele active ale ștanței.

Se va avea de asemenea în vedere că dimensiunile piesei decupate corespund dimensiunilor orificiului din placa activă, pe cînd ale orificiilor perforate corespund dimensiunilor poansonului.

Calculul dimensiunilor părților de lucru ale elementelor active ale ștanțelor de tăiat se face conform datelor din fig. 9.35 și tabelele 9.41 ... 9.42.

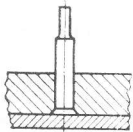
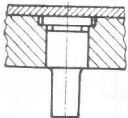
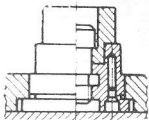
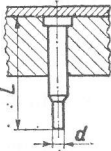
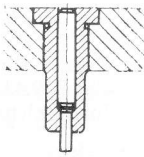
Plăci active și poansoane ale ștanțelor de îndoit. În fig. 9.36 se prezintă cazurile de îndoire în  $U$  și  $V$ . Valoarea mărimilor ce apar în figură se indică în tabelul 9.43.

În cazul îndoirii fără îndreptare, mărimea jocului pe o parte, dintre elementele active, se calculează cu relația

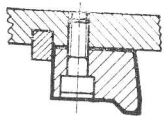
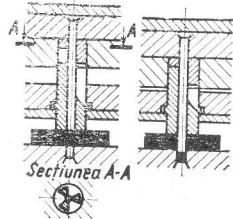
$$j = \delta_{max} + c\delta, \quad (9.58)$$

Tabelul 9.40

## Tipuri de poansoane la ștanțe pentru operații de tăiere

Tipul poansonului	Domeniul de utilizare
	Pentru perforarea orificiilor cu diametrul pînă la 5 mm, cînd $d > \delta$
	Pentru perforarea orificiilor și decuparea pieselor cu diametrul 26—50 mm
	Pentru perforarea orificiilor și decuparea pieselor cu diametrul 50—250 mm
	Pentru perforarea orificiilor apropiate. Se folosește totdeauna placă de sprijin
	Pentru perforarea orificiilor cu diametrul de 0,8...12 mm, în cazul condițiilor grele de lucru: — perforarea materialelor dure; — perforarea orificiilor mici cu $d = (0,7...1,3)\delta$ ; — perforarea orificiilor cu $d = (0,5...0,6)\delta$ , cînd poansonul are o parte conică

Tabelul 9.40 (continuare)

Tipul poansonului	Domeniul de utilizare
	Pentru perforarea orificiilor mici cu $d = (0,3...0,5)\delta$
	Pentru retezare

Tabelul 9.41

## Relații de calcul ale dimensiunilor părților de lucru ale ștanțelor de tăiere

Felul piesei și operația ce se execută		Dimensiunea orificiului din placa activă	Dimensiunea poansonului
Piesă cu dimensiuni tolerate	Decupare	$D_a = (D - T)^{+T_a}$	$D_p = (D - T - j_{min})_{-T_p}$
	Perforare	$d_a = (d + T + j_{min})^{+T_a}$	$d_p = (d + T)_{-T_p}$
Piesă cu dimensiuni libere	Decupare	$D_a = D^{+T_a}$	$D_p = (D - j_{min})_{-T_p}$
	Perforare	$d_a = (d + j_{min})^{+T_a}$	$d_p = d_{-T_p}$

Tabelul 9.42

## Jocuri și toleranțe de execuție ale elementelor active la ștanțe de tăiere [12]

Grosimea materialului, mm	Jocul, mm		Toleranțe de execuție, mm	
	minim	maxim	$T_a$	$T_p$
0,3	0,02	0,04	0,015	0,01
0,5	0,03	0,06	0,02	0,01
0,8	0,05	0,08	0,02	0,012
1,0	0,06	0,10	0,025	0,015
1,5	0,10	0,16	0,03	0,02
2,0	0,14	0,22	0,04	0,02
2,5	0,20	0,28	0,05	0,03
3,0	0,24	0,36	0,06	0,03
4,0	0,40	0,56	0,08	0,04
5,0	0,6	0,8	0,10	0,05
6,0	0,8	1,0	0,12	0,06
8,0	1,3	1,6	0,16	0,08
10,0	1,8	2,2	0,20	0,10

Tabelul 9.43

## Dimensiuni ale elementelor active ale ștanțelor de îndoire (fig. 9.55) [13]

$L_0$ mm	Grosimea materialului $\delta$ , mm											
	Pînă la 0,5			0,5–2,0			2,0–4,0			4,0–7,0		
	$l_0$ mm	$r_a$ mm	$c$	$l_0$ mm	$r_a$ mm	$c$	$l_0$ mm	$r_a$ mm	$c$	$l_0$ mm	$r_a$ mm	$c$
10	6	3	0,10	10	3	0,10	10	4	0,08	—	—	—
20	8	3	0,10	12	4	0,10	15	5	0,08	20	8	0,06
35	12	4	0,15	15	5	0,10	20	6	0,08	25	8	0,06
50	15	5	0,20	20	6	0,15	25	8	0,10	30	10	0,08
75	20	6	0,20	25	8	0,15	30	10	0,10	35	12	0,10
100	—	—	—	30	10	0,15	35	12	0,10	40	15	0,10
150	—	—	—	35	12	0,20	40	15	0,15	50	20	0,10
200	—	—	—	45	15	0,20	55	20	0,15	65	25	0,15

în care:  $\delta_{max}$  este grosimea maximă a tablei ținînd cont de toleranța de laminare;  $c$  — coeficient, a cărui mărime se dă în tabelul 9.42.

Raza poansonului  $r_p$  se ia egală cu raza interioară a piesei de îndoit.

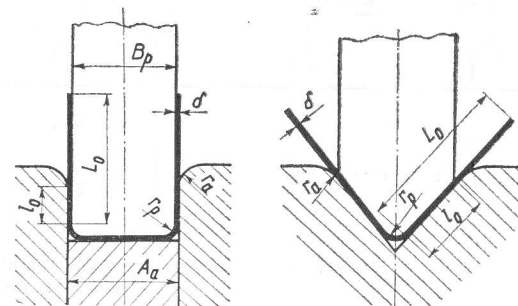


Fig. 9.36. Schemă pentru dimensionarea zonei de lucru a elementelor active ale ștanțelor de îndoit în U și V

Dimensiunile zonei de lucru a elementelor active ale sculelor de îndoit piese în formă de U se calculează cu relațiile:

— pentru piese la care interesează precizia dimensiunilor exterioare ( $A-T$ ):

$$A_a = (A - T)^{T_a}; B_p = (A - T - 2j) - T_p; \quad (9.59)$$

— pentru piese la care interesează precizia dimensiunilor interioare ( $B-T$ ):

$$B_p = B - T_p; A_a = (B + 2j)^{T_a}; \quad (9.60)$$

La proiectarea elementelor active ale sculelor de îndoit, la îndoirea fără calibrare, se ține cont și de arcuirea materialului piesei.

**Plăci active și poansoane ale ștanțelor pentru ambutisat.** Datele pentru calculul dimensiunilor zonei de lucru a elementelor active ale ștanțelor pentru ambutisat fără subțierea pereților, se dau în fig. 9.37 și tabelurile 9.44 ... 9.48.

Mărimea toleranțelor de execuție a elementelor active ale sculelor pentru calibrare se iau cu 20 ... 25% mai mici decât cele indicate în tabelul 9.48.

Razele de racordare ale plăcilor active pentru scule de ambutisat  $r_a$  pentru prima ambutisare, se indică în tabelul 9.49.

Pentru ambutisările următoare, razele de racordare se micșorează conform relației

$$r = (0,6 \dots 0,8) r_{n-1}. \quad (9.61)$$

Tabelul 9.44

Relații pentru calculul mărimii jocului pe o parte, la ambutisarea pieselor cilindrice fără calibrare [12]

Mărimea jocului pe o parte ( $j/2$ ) la ambutisarea pieselor cilindrice fără calibrare, mm		
Operația de ambutisare	Jocul funcție de clasa de precizie a piesei	
	4 și 5	7,8 și 9
Prima ambutisare	$j/2 = \delta_{max} + a$	$j/2 = \delta_{max} + (1,5...2)a$
Operații intermediare	$j/2 = \delta_{max} + 2a$	$j/2 = \delta_{max} + (2,5...3)a$
Ultima ambutisare	$j/2 = \delta_{max}$	$j/2 = \delta_{max} + 2a$

Tabelul 9.45

Valori ale adaosului  $a$  pentru calculul jocului conform relațiilor din tabela 9.55 [12]

$\delta$ mm	0,2	0,5	0,8	1,0	1,2	1,5	1,8	2	2,5	3	4	5
$a$ mm	0,05	0,1	0,12	0,15	0,17	0,19	0,21	0,22	0,25	0,3	0,35	0,4

Tabelul 9.46

Valoarea jocului pe o parte, la ambutisarea pieselor cilindrice la care se face și calibrare [12]

Mărimea jocului pe o parte $j/2$ , la ambutisarea pieselor cilindrice la care se face și calibrare			
Material	Mărimea jocului		
	Pentru prima ambutisare	Pentru ambutisările intermediare	Pentru calibrare
Oțel moale	$(1,3...1,5)\delta$	$(1,2...1,3)\delta$	$1,1\delta$
Alamă, aluminiu	$(1,3...1,4)\delta$	$(1,15...1,2)\delta$	$1,1\delta$

Tabelul 9.47

Relații pentru calculul zonei de lucru a elementelor active ale ștanțelor pentru ambutisat

Cazul de ambutisare	Dimensiunea plăcii active	Dimensiunea poansonului
Ambutisarea pieselor cu dimensiunea exterioară tolerată	$D_a = (D - T)^{+T_a}$	$D_p = (D - T - j)_{-T_p}$
Ambutisarea pieselor cu dimensiunea interioară tolerată	$d_a = (d + j)^{+T_a}$	$d_p = d_{-T_p}$

Tabelul 9.48

Toleranțe de execuție a elementelor active ale ștanțelor pentru ambutisat [12]

$\delta$ mm	Mărimea toleranței, în mm funcție de diametrul nominal al piesei de ambutisat, în mm					
	10-50		50-200		200-5 000	
	$T_a$	$T_p$	$T_a$	$T_p$	$T_a$	$T_p$
0,25	0,02	0,01	0,03	0,015	0,03	0,015
0,35	0,03	0,02	0,04	0,02	0,04	0,025
0,5	0,04	0,03	0,05	0,03	0,05	0,035
0,6	0,05	0,035	0,06	0,04	0,06	0,04
0,8	0,07	0,04	0,08	0,05	0,08	0,06
1,0	0,08	0,05	0,09	0,06	0,10	0,07
1,2	0,09	0,06	0,10	0,07	0,12	0,08
1,5	0,11	0,07	0,12	0,08	0,14	0,09
2,0	0,13	0,085	0,15	0,10	0,17	0,12
2,5	0,15	0,10	0,18	0,12	0,20	0,14

Tabelul 9.49

Raza de racordare  $r_a$  a plăcii active pentru prima ambutisare [12]

Tipul ambutisării	Raze de racordare pentru raportul grosimii la diametrul semifabricatului plan, $\frac{\delta}{D} \cdot 100$		
	2,0-1,0	1,0-0,2	0,2-0,06
Piesă fără flanșă	$(6...8)\delta$	$(8...10)\delta$	$(10...15)\delta$
Piesă cu flanșă	$(10...15)\delta$	$(15...20)\delta$	$(20...30)\delta$
Placa activă cu nervuri de întindere a materialului	$(4...6)\delta$	$(6...8)\delta$	$(8...10)\delta$

Razele de racordare  $r_p$  ale poansoanelor se stabilesc în felul următor:  
— pentru prima operație:

$$\begin{aligned} \text{cînd } \frac{\delta}{D} 100 > 0,5, \quad r_p &= r_a; \\ \frac{\delta}{D} 100 &= 0,5 \dots 0,2, \quad r_p = 1,5 r_a; \\ \frac{\delta}{D} 100 < 0,2, \quad r_p &= 2r_a, \end{aligned} \quad (9.62)$$

în care  $D$  este diametrul semifabricatului.

— pentru operațiile următoare, poansonul se execută cu o conicitate ca în fig. 9.38,a sau cu racordare ca în fig. 9.38,b, luînd

$$r_{pn-1} = \frac{d_{n-1} - d_n - 2\delta}{2}, \quad (9.63)$$

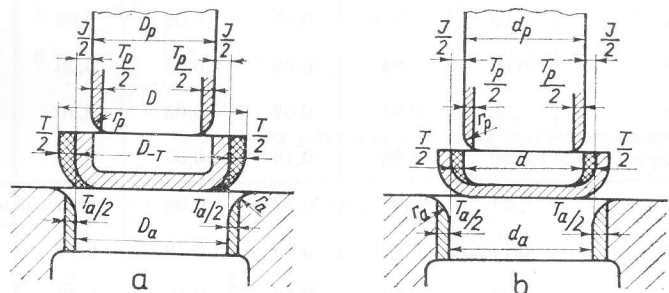


Fig. 9.37. Schemă pentru dimensionarea zonei de lucru a elementelor active ale ștanțelor de ambutisat fără subțierea pereților:

a — cazul cînd se precizează dimensiunea de exterior a piesei,  $D_T$ ; b — cazul cînd se precizează dimensiunea de interior a piesei,  $d_T$ .

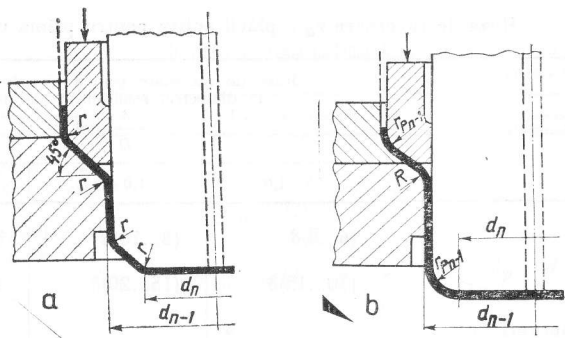


Fig. 9.38. Forma poansoanelor ștanțelor de ambutisat

în care  $d_{n-1}$ ,  $d_n$  sînt diametrele în urma celei de a  $(n-1)$ , respectiv  $n$  — a operație.

— la ultima operație de ambutisare, raza poansonului se ia egală cu raza interioară a piesei de ambutisat.

Plăci active și poansoane ale ștanțelor pentru răsfrînt margini. În fig. 9.39,a se prezintă forma și dimensiunile elementelor active ale unei ștanțe pentru răsfrînt margini

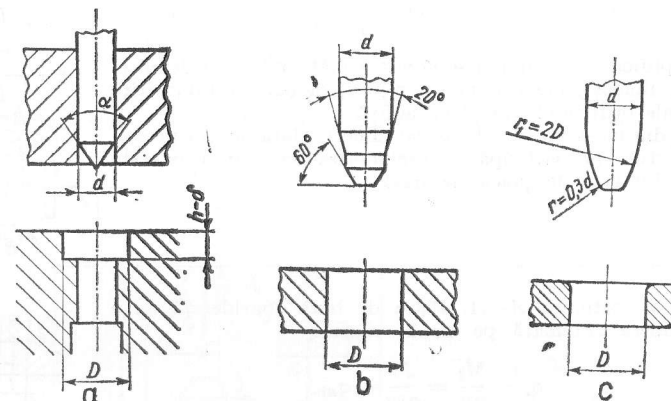


Fig. 9.39. Elementele active ale ștanțelor pentru răsfrîngerea marginilor:

a — fără perforarea prealabilă a semifabricatului; b — cu orificii perforate în prealabil, cu  $D < 10$  mm; c — cu  $D > 10$  mm

fără perforarea prealabilă a semifabricatului. În acest caz, pentru  $\delta < 1,5$  mm se ia  $\alpha = 55^\circ$ , iar pentru  $\delta > 1,5$  mm se ia  $\alpha = 60^\circ$ .

Pentru răsfrîngerea marginilor la semifabricate perforate în prealabil, ștanța se dimensionează ca în fig. 9.39,b, pentru  $D < 10$  mm, și ca în fig. 9.39,c, pentru  $D > 10$  mm.

Diametrul orificiului din plăcile active  $D$  se stabilește ținînd cont de diametrul poansonului și de grosimea semifabricatului:

$$D = d + 2\delta. \quad (9.64)$$

Plăci de bază și plăci de cap. Plăcile de bază și de cap ale ștanțelor se aleg, ca formă și dimensiuni, după norme existente. Cele mai frecvent utilizate tipuri sînt cele cu coloanele de ghidare așezate în diagonală, axial sau în spate.

Plăcile de bază alese se verifică la încovoiere conform condițiilor și relațiilor indicate în tabelul 9.50.

La plăcile nenormalizate se admite lățimea acestora în acest fel încît să depășească cu 30 ... 70 mm lățimea plăcii active, iar grosimea lor se ia de 1 ... 1,5 ori grosimea plăcii active. Apoi se fac verificările plăcii de bază după relațiile din tabelul 9.50.

În placa de cap, se montează cepul, a cărui axă trebuie să coincidă cu centrul de presiune al ștanței. În caz contrar, apar momente încovoietoare la acționarea sculei, cu efecte negative asupra calității prelucrării, durabilității ștanței și uzurii presei.



Tabelul 9.50

## Relații de verificare la încovoiere a plăcilor de bază

Considerente și relații	Scheme
<p>Pentru simplificarea calculului se admit următoarele considerente:</p> <ul style="list-style-type: none"> <li>— Forma și dimensiunile orificiului din placa de bază sînt indentice cu cele ale orificiului din placa activă</li> <li>— Orificiul din masa presei este așezat simetric față de axa presei;</li> <li>— Placa activă nu participă la prelucrarea sarcinii, care este preluată integral de placa de bază</li> </ul>	
<p>Verificarea în secțiunea A—A. Placa de bază considerată ca o grindă liberă rezemată pe două reazeme</p> $\sigma_i = \frac{M_i}{W} = \frac{Fl}{2W} \leq \sigma_{ai}$	
<p>Verificarea în secțiunea B—B. Placa de bază este considerată ca o grindă semiîncastată la capete</p> $\sigma_i = \frac{M_i}{W} = \frac{3Fl_0}{16W} \leq \sigma_{ai}$	
<p>Verificarea în secțiunea C—C, în baza unui calcul acoperitor de aproximare. Pentru orificii dreptunghiulare,</p> $\sigma_i = \frac{M}{W} = \frac{F(l_2 - l_1)}{4W} \leq \sigma_{ai}$ $l_2 = \frac{L_1 L_0}{\sqrt{L_1^2 + L_0^2}}; \quad L_1 = \frac{bc}{\sqrt{b^2 + c^2}}$ <p>Pentru orificii circulare,</p> $\sigma_i = \frac{0,64(R - r)F}{2W} \leq \sigma_{ai},$ <p>în care R, r sînt razele orificiului din masa presei, respectiv din placa de bază</p>	

Centrul de presiune al ștanței reprezintă punctul de aplicație al rezultantei forțelor ce intervin în procesul de lucru cu ștanța respectivă. Poziția lui se poate preciza pe cale analitică și grafică.

Metoda analitică se bazează pe relația de egalitate dintre suma momentelor forțelor în raport cu centrul de presiune și momentul rezultantei forțelor respective în raport cu același punct. Adică (fig. 9.40)

$$x = \frac{F_1 a + F_2 b + \dots + F_6 e}{F_1 + F_2 + \dots + F_6}; \quad y = \frac{F_1 a' + F_2 b' + \dots + F_6 e'}{F_1 + F_2 + \dots + F_6} \quad (9.65)$$

Deoarece mărimea forțelor este proporțională cu lungimea conturului decupat, în locul forțelor în relațiile lui x și y se pot introduce lungimile conturilor respective.

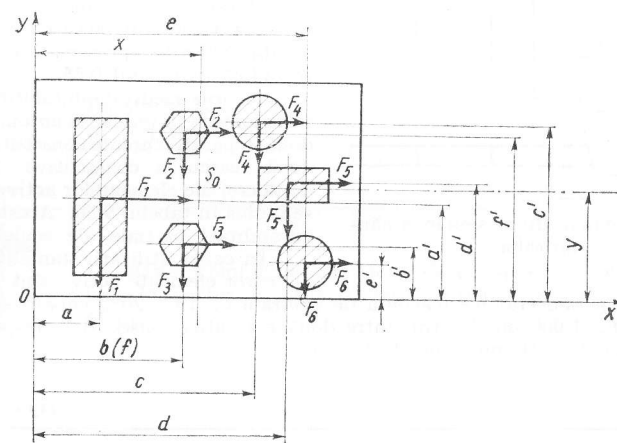


Fig. 9.40. Schiță pentru determinarea analitică a centrului de presiune al ștanței

Metoda grafică se bazează pe determinarea punctului de aplicație al rezultantei unor forțe paralele și de același sens, cu ajutorul poligonului funicular.

**Elemente de ghidare.** Plăci de ghidare. Lățimea și lungimea plăcii de ghidare se iau, în general, egale cu cele ale plăcii active a ștanței respective.

Grosimea plăcii de ghidare se admite de 0,8 ... 1 din grosimea plăcii active, variind între 18 și 30 mm.

Între orificiul plăcii de ghidare și poansoanele ghidate există un ajustaj alunecător. Coloane și bușe de ghidare. Coloanele și bușele de ghidare se aleg, ca formă și dimensiuni, după norme existente.

La construcția ștanțelor cu placă de bază și de cap nenormalizate, se folosesc coșoane de ghidare cu diametru variabil. Partea coloanei care intră în placa de bază, cu diametrul  $d_1$ , se ia egală cu diametrul exterior al bușei de ghidare, pentru o mai ușoară prelucrare a orificiilor din plăcile de bază și de cap.

**Elemente auxiliare.** Placa portpoanson se ia cu grosimea de 0,6 ... 0,8 din grosimea plăcii active, variind între 15 și 30 mm.

Plăcile de sprijin se includ în construcția ștanțelor dacă presiunea exercitată de poanson asupra plăcii de cap depășește 1 800 ... 2 000 daN/cm<sup>2</sup>, pentru plăci de cap din oțel, și 800 ... 900 daN/cm<sup>2</sup>, pentru plăci de cap din fontă. Grosimea lor se ia de 3 ... 8 mm.

Formele și dimensiunile opritorilor și căutătorilor se indică în tabelele 9.51 ... 9.54 și fig. 9.41.

**9.5.3.3. DURABILITATEA ȘTANȚELOR.** Durabilitatea ștanțelor este funcție de materialul de prelucrat (caracteristici mecanice și grosimea semifabricatului), materialul sculei (natura acestuia și tratamentul termic aplicat), tipul constructiv al ștanței și felul operației de executat, tipul și starea preseii, condițiile de exploatare a ștanței.

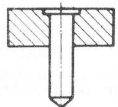
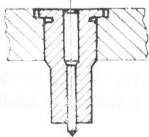
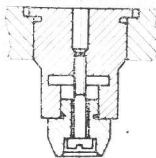
Durabilitatea totală depinde de numărul de reparații curente pe care le poate suporta ștanța. Valorile aproximative ale acestora se indică în tabelul 9.55.

Valorile medii de durabilitate ale ștanțelor folosite în industria automobilelor, între două reparații curente consecutive (respectiv două reascuțiri consecutive ale ștanțelor de tăiere) ale elementelor active ale acestora se indică în tabelul 9.56. Acestea reprezintă durabilități parțiale ale sculei.

În cazul utilizării ștanțelor de perforat ale căror elemente active sînt confecționate din materiale metaloceramice (carbură de wolfram cu 15 ... 20% cobalt) se ating durabilități de 500 ... 1 000 mii lovituri între două reascuțiri consecutive, respectiv durabilități totale de 20 ... 60 milioane de lovituri.


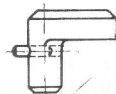
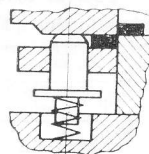
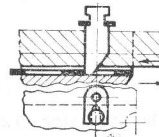
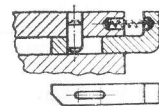
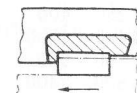
Tabelul 9.51

Tipuri de căutători

Schița căutătorului	Domeniul de utilizare
	1. Pentru centrarea benzilor după orificiile perforate. Diametrul căutătorului de 3–10 mm
	2. Pentru centrarea precisă a orificiilor perforate în prealabil în raport cu conturul decupat. Se folosește la orificii cu diametrul pînă la 12 mm
	3. Aceeași utilizare ca la tipul 2. Se folosește la orificii cu diametrul de 12–50 mm

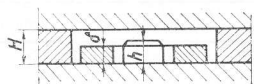
Tabelul 9.52

Tipuri de opritor

Schița opritorului	Domeniul de utilizare
	La ștanțe simple de decupat și ștanțe combinate succesive. Ștanțarea benzilor cu lățimea peste 20 mm și avans manual. Diametrul capului, 6–40 mm
	La ștanțe simple și ștanțe combinate succesive de decupat. Ștanțarea pieselor mari
	La ștanțe combinate simultane de decupat, la care placa activă este în partea superioară, iar poansonul în partea inferioară a ștanței
	La ștanțe de decupat. Decuparea pieselor înguste cu lățimea de 6–20 mm și grosimea minimă de 0,5 mm, la piese scurte, și de 1 mm, la piese lungi
	La ștanțe combinate succesive. Pentru oprirea benzii la primul pas la sculei
	La ștanțe combinate cu acțiune succesivă, unde nu se pot folosi celelalte tipuri, de exemplu: decuparea pieselor cu contur complicat. Decuparea pieselor mici cu grosimea 0,3–3 mm

Tabelul 9.53

Înălțimea opritorilor și a riglelor de ghidare [12]



Grosimea benzii mm	Înălțimea opritorului, h, mm	H, mm	
		Opritor în formă de știft	Cușit lateral de pas
0,3— 2,0	3	6— 8	4— 6
2,0— 3,0	4	8—10	6— 8
3,0— 4,0	4	10—12	6— 8
4,0— 6,0	5	12—15	8—10
6,0—10,0	8	15—25	10—15

Tabelul 9.54

Dimensiuni ale căutătoarelor [1]

$\bar{a}_0$ mm	2—6	6—10	10—16	16—24	24—32	32—42	42—60	$\delta$ , mm	h, mm	
									Tip 1	Tip 2 și 3
2a, mm	0,60	0,08	0,10	0,12	0,16	0,18	0,20	1	3	2
								1...3	4	3
								3...6	5	4

Tabelul 9.55

Valorile de durabilitate totală ale ștanțelor [12]

Denumirea ștanței	Grosimea semifabricatului mm	Materialul părților active	
		Oțel carbon	Oțel aliat
Ștanțe de decupare cu coloane de ghidare	0,25—0,5	700—900	1100—1400
	1,0	450—650	680—980
	1,5	355—550	550—800
	2,0	250—450	400—680
	3,0	250—400	400—600
	4,0	150—300	250—450
Ștanță de perforare	<4	150—250	250—400
Ștanță de îndoire simplă	<3	900—1100	1400—1700
Ștanță de îndoire complexă	<3	450—600	700—900
Ștanță de ambutisare simplă	<3	1200—1600	1800—2400

Observație. Valorile din tabel corespund la mii de lovituri.

Tabelul 9.56

Valori medii de durabilitate ale ștanțelor folosite în industria automobilelor, între două reparații curente consecutive ale elementelor active ale acestora [3]

Denumirea ștanței	Materialul de prelucrat	Grosimea semifabricatului, mm				
		< 0,3	0,3—1,0	1,0—3,0	3,0—6,0	> 6
De decupat	alamă oțel	51—63 17—21	45—51 15—17	30—45 10—15	— 7—10	— 5
De perforat și retezat	alamă oțel	45—51 15—45	33—45 11—15	29—33 9—11	— 6—9	— 4,5
De îndoit	alamă oțel	105—138 35—46	84—105 25—35	51—87 17—25	— 14—17	— 12
De ambutisat	alamă oțel	120—138 40—46	102—120 34—40	87—102 29—34	— 17—29	— 1
De decupat și ambutisat	alamă oțel	51—69 17—23	45—51 15—17	33—45 11—15	— 9—11	— 7

Observație. Valorile din tabel corespund la mii de lovituri.

## 9.6. MECANIZAREA ȘI AUTOMATIZAREA OPERAȚIILOR DE ȘTANȚARE

Mecanizarea și automatizarea operațiilor de ștanțare urmărește creșterea productivității muncii, scurtarea ciclului de fabricație, reducerea utilajelor necesare și a spațiului de producție afectat, asigurarea securității muncii.

Gradul automatizării depinde de natura producției (serie, masă). Funcție de situația concretă se vor urmări automatizări parțiale sau totale ale întregului proces de prelucrare.

### 9.6.1. ALIMENTAREA ȘTANȚELOR CU SEMIFABRICATE

Semifabricatele cu care se alimentează ștanțele pot fi benzi, fișii, table sau semifabricate individuale.

Alimentarea semifabricatelor sub formă de benzi se automatizează folosind dispozitive cu role, clești sau cirlige.

La dispozitive cu role, avansul benzilor se asigură prin trecerea lor între una sau două perechi de role care determină pe bază de frecare împingerea, tragerea sau împingerea și tragerea semifabricatului.

Rolele pot fi cu acționare intermitentă (fig. 9.42,a) dată de o roată cu clichet, sau pot fi cu acționare continuă, o rolă fiind executată cu degajare (fig. 9.42,b), sau dacă amândouă rolele sînt complete cu sistem de distanțare și apropiere a rolelor (fig. 9.42,c).

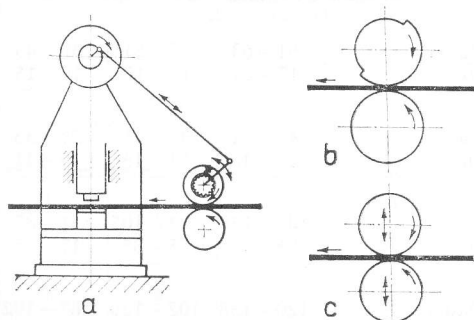


Fig. 9.42. Sisteme pentru avans automat cu dispozitive cu role:

a — cu acționare intermitentă; b — role cu acționare continuă cu degajări; c — role cu acționare continuă și cu distanță variabilă

Pentru a evita o deplasare prea mare a semifabricatului în virtutea forței inerțiale, ceea ce ar reduce precizia avansului benzii, sistemul de alimentare se prevede cu frîne care intră în acțiune asupra semifabricatului în momentul în care încetează acțiunea de avans a rolelor.

Dispozitivul de avans cu clești cu role (fig. 9.43) dispune de un cărucior fix 1, care are o pereche de role ce servesc la împiedicarea revenirii semifabricatului, și un cărucior mobil 2, care pus într-o mișcare de translație alternativă sincronizată cu deplasarea culisoului presei, determină, prin intermediul celor două perechi de role de care dispune, avansul benzii în sensul indicat de săgeată s.

Dispozitivul de avans cu cîrlig (fig. 9.44) aplicabil la semifabricate cu grosime de peste 1 mm, asigură avansul prin tragerea semifabricatului ca urmare a agățării cîrligului de punțița intermediară menținută în bandă, după ce s-a realizat decuparea pieselor.

Alimentarea cu fișii cuprinde o magazie cu semifabricate, din care un mecanism de apucare cu ventuze le așază pe acestea una câte una, în ritm determinat, pe o cale de rulare. Avansul fișilor de pe calea de rulare se realizează cu dispozitive identice cu cele care servesc pentru avansul benzilor.

La alimentarea cu table, se folosesc dispozitive de avans în zig-zag. În acest caz, dispozitivul de strîngere a tablei determină mai înainte o deplasare longitudinală a

acesteia, efectuîndu-se decupări de semifabricate în linie, apoi urmează o deplasare transversală cu un pas, după care se face decuparea după a doua linie.

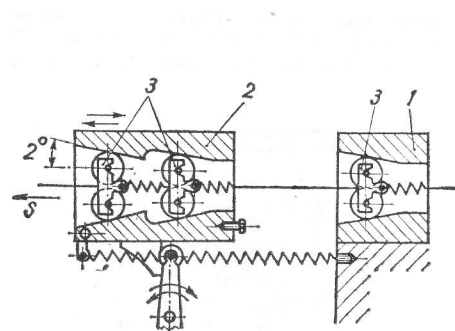


Fig. 9.43. Dispozitiv pentru avans automat cu clești cu role:  
1 — cărucior fix; 2 — cărucior mobil; 3 — role

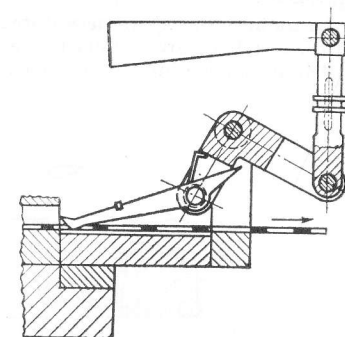


Fig. 9.44. Dispozitiv de avans automat cu cîrlig

În ce privesc dispozitivele de avans cu semifabricate individuale, acestea au în principiu aceeași construcție ca și cele folosite la alimentarea cu semifabricate a mașinilor-unelte așchietoare.

## 9.6.2. ÎNDEPĂRTAREA PIESELOR ȘI DEȘEURILOR

La operațiile de decupare, de regulă, piesa se înlătură din sculă prin cădere prin orificiul plăcii active, al plăcii de bază și cel din masa presei. Îndepărtarea deșeurii

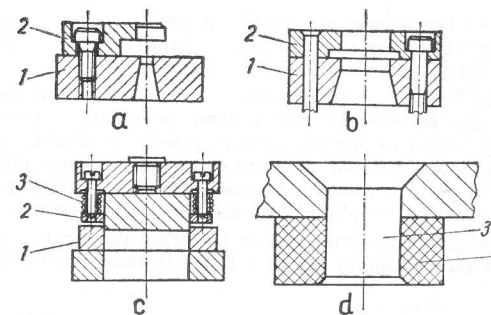


Fig. 9.45. Plăci de desprindere:

a — fixă, tip deschis; b — fixă, tip închis; c — mobilă, acționată de arc; d — desprindere cu tampon de cauciuc;  
1 — placă de tăiere; 2 — placă de desprindere; 3 — poanson;  
4 — tampon de cauciuc

se realizează în acest caz prin deplasarea lui, în urma scoaterii deșeurii de pe poanson de către o placă de desprindere fixă de tip deschis sau închis (fig. 9.45,a,b), o placă de

desprindere mobilă acționată de arcuri (fig. 9.45,c) sau de un tampon de cauciuc (fig. 9.45,d).

La ambutisare apare necesitatea desprinderii piesei de pe poanson, ceea ce se realizează în baza arcuirii elastice a piesei, în timpul cursei de ridicare a poansonului (fig. 9.46,a) sau folosind sisteme de desprindere cu gheare inelare sau radiale (fig. 9.46, b, c).

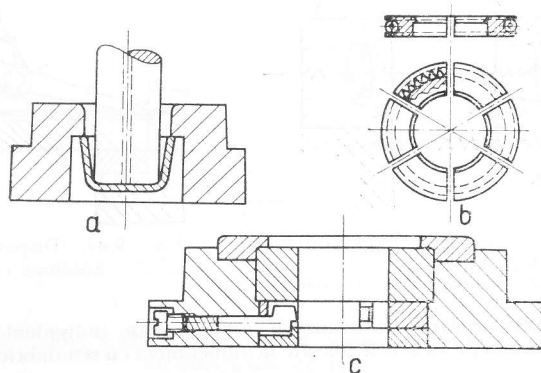


Fig. 9.46. Sisteme de desprindere a pieselor ambutisate:

a - în baza deformației elastice a piesei; b - cu gheare inelare; c - cu gheare radiale

În cazurile în care se face scoaterea inversă a piesei din orificiul plăcii active, se vor folosi extractoare acționate cu arc (fig. 9.47,a), cu tampon de cauciuc (fig. 9.47,b) sau printr-un sistem rigid cu pirghii (fig. 9.47,c).

În cazul pieselor ambutisate, după ce piesa a fost extrasă din orificiul plăcii active, îndepărtarea ei din ștanță se execută prin sisteme pneumatice: piesele mărunte prin suflarea lor de către un curent de aer comprimat, piesele de dimensiuni mari printr-un împingător legat de un piston acționat de aerul comprimat. Foarte avantajoase sînt din punctul de vedere al îndepărtării pieselor, presele înclinabile, la care piesele se îndepărtează prin alunecarea acestora pe planul înclinat al plăcii active a ștanței.

Atunci cînd se lucrează din semifabricate în formă de bandă, deșeul se va putea înlătura prin înfășurare pe un tambur sau prin tăiere în bucăți sub acțiunea unor poansoane de retezat

### 9.6.3. AUTOMATIZAREA COMENZII ȘI CONTROLULUI

La presele cu avans automat se impun sisteme de semnalizare a modului în care se realizează alimentarea și sisteme de protecție pentru a feri scula și presa de ruperi.

În acest scop, se prevăd întrerupătoare care, deconectînd circuitul electric de acționare a presei, determină oprirea acesteia în caz de nereguli.

În fig. 9.48 se prezintă un întrerupător pentru semnalarea terminării benzii. De îndată ce rola 1 nu mai are dedesubt bandă pe care să calce, sub acțiunea arcului 2, pirghia 3, rotindu-se în jurul articulației a, desface contactul K.

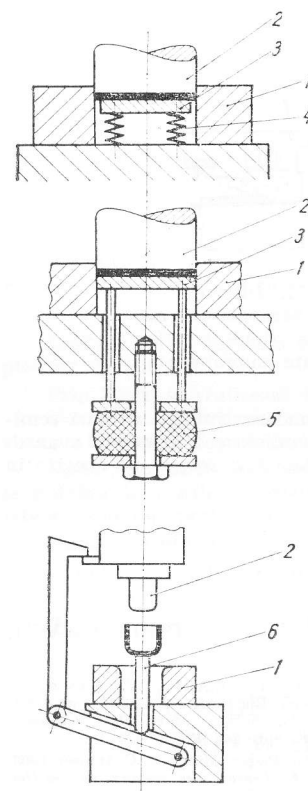


Fig. 9.47. Extractoare:

a - acționat prin arcuri; b - acționat prin tampon de cauciuc; c - acționat prin pirghii; 1 - placă activă; 2 - poanson; 3 - placă extractoare; 4 - arcuri; 5 - tampon de cauciuc; 6 - tijă extractoare

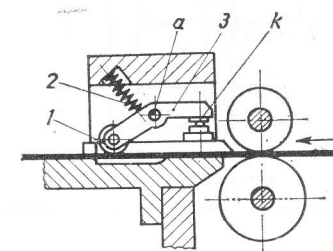


Fig. 9.48. Întrerupător pentru semnalarea terminării benzii

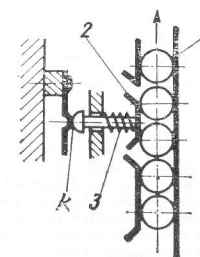


Fig. 9.49. Întrerupător pentru semnalarea încetării alimentării cu semifabricate individuale

În fig. 9.49 se indică un întrerupător pentru semnalarea încetării alimentării cu semifabricate individuale ce se scurg prin jgheabul 1. Partea mobilă 2 a peretelui jgheabului, în lipsă de semifabricat, va fi deplasată de către arc 3, în acest fel desfăcîndu-se și contactul K.



În fig. 9.50 se prezintă un întrerupător pentru semnalarea dereglării de pas la ștanțele cu acțiune succesivă. Știftul de control 1 trebuie să pătrundă într-o gaură tehnologică dată în semifabricatul ce se prelucurează prin ștanțarea succesivă. În cazul dereglării pasului, știftul de control este deplasat în sus de către semifabricat și contactul *K* se desface.

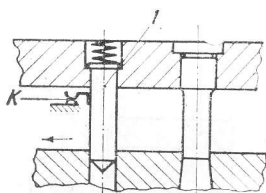


Fig. 9.50. Întrerupător pentru semnalarea dereglării de pas

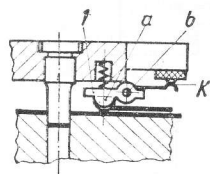


Fig. 9.51. Întrerupător pentru semnalarea intrării a două semifabricate suprapuse

În fig. 9.51 se prezintă un întrerupător pentru semnalarea intrării a două semifabricate suprapuse. Într-un asemenea caz, cel de al doilea semifabricat, în cursul avansului pe care îl face, acționând asupra proeminenței *a* a pârghiei 1, o rotește pe aceasta în jurul articulației *b*, desfășurând contactul *K*.

#### BIBLIOGRAFIE

1. ANIKAI, V. ș.a. *Spravochnik konstruktora stampov*. Moscova, Mașghiz, 1960
2. BREMBERGER, M. *Stanzerei Handbuch für Konstrukteure*. München, Carl Hanser, 1965.
3. CIRILLO, A., PICOS, C., BOHOSIEVICI, C. *Tehnologia matrițării și ștanțării la rece*. București, Editura didactică și pedagogică, 1966
4. GHIZDAVU, V. *Prelucrarea metalelor cu puteri și viteze mari*. București, Editura tehnică, 1967.
5. KACZMAREK, E. *A hidegsajtolás gyakorlata*. Budapest, Műszaki könyvkiadó, 1961.
6. KUHTAROV V.I. *Holodnaia stampovka*. Moscova, Mașghiz, 1962.
7. MALOV A.N. *Tehnologia holodnoi stampovka*. Moscova, Oboronghiz, 1963.
8. MUNTEANU, I., OLARIU, V., BAȘCA, S. *Presarea la rece*. București, Editura tehnică, 1965.
9. OEHLER, G. *Schnitt Stanz und Ziehwerkzeuge*. Berlin, Springer, 1957.
10. OEHLER, G. *Biegen*. München, C. Hanser, 1963.
11. QUERCY, A. *Travail des métaux en feuilles*. Paris, Dunod, 1962
12. ROMANOVSKI, V.P. *Spravochnik po holodnoi stampovke*. Moscova, Mașinostroenie, 1965.
13. \* \* \* *Blech*
14. \* \* \* *Kuznecina stampovocinogo proizvodstvo*.
15. \* \* \* *La pratique des industries mécaniques*
16. \* \* \* *Machine moderne*
17. \* \* \* Colecția de STAS-uri

## 10. SUDAREA, TĂIEREA ȘI LIPIREA MATERIALELOR METALICE

### 10.1. DEFINIREA ȘI CLASIFICAREA PROCEEDEELOR DE SUDARE

Sudura este o legătură omogenă între atomii marginali ai pieselor de îmbinat. Aceasta se poate realiza prin topire, presiune, difuzie etc.

Prin sudare se realizează îmbinări nedemontabile ale materialelor.

Lipitura este o legătură eterogenă realizată cu ajutorul unui material diferit de al pieselor de îmbinat.

Prin lipire se realizează îmbinări nedemontabile ale materialelor.

Clasificarea procedeele de sudare se poate face în funcție de fenomenele fizice, constituția îmbinării și procedeele industriale de sudare aplicate.

După fenomenele-fizice care au loc în procesul de sudare, adică după modul cum se stabilesc legăturile de coeziune interatomică la marginile pieselor de îmbinat se deosebesc: sudarea prin topire; sudarea prin presiune.

După constituția îmbinării se deosebesc:

- sudarea, când se obține o legătură omogenă între piesele de îmbinat;
- lipirea, când se obține o legătură eterogenă între piesele de îmbinat.

După procedeele industriale, clasificarea se face conform tabelului 10.1.

### 10.2. SURSE DE ENERGIE FOLOSITE LA SUDARE ȘI CÎMPUL TERMIC

Sursele de energie folosite mai frecvent în procesele de sudare sînt: electrice, fizice, chimice, mecanice și combinate.

Oricare ar fi sursa de energie, pentru a realiza o îmbinare sudată e necesar să existe legături de coeziune interatomică la marginile pieselor de îmbinat. Aceste legături de coeziune interatomică pot lua naștere: prin topirea marginilor pieselor de îmbinat și apoi cristalizarea împreună; prin încălzirea pînă la domeniul plastic și aplicarea unei forțe de compresiune pentru a se produce deformarea plastică sau numai prin aplicarea unei forțe de compresiune suficient de mare pentru realizarea unei deformări plastice la rece.

Pentru încălzirea pieselor în vederea sudării este necesară o energie calorică. Această căldură poate proveni de la surse de energie electrică dată de arcul electric sau de efectul



coloana arcului și zona anodului. Căderea cea mai mare de tensiune este în coloana arcului (fig. 10.3). Tensiunea arcului este suma celor trei căderi de tensiune:

$$U_a = U_{cat} + U_{col} + U_{an}. \quad (10.1)$$

Pentru a asigura o stabilitate suficientă arderii arcului și în curent alternativ, este necesar ca gazele din spațiul arcului să aibă potențial de ionizare mai redus, iar tensiunea de mers în gol a transformatorului de sudare să fie mai mare decît în cazul sudării în curent continuu.

Arcul electric este caracterizat prin tensiunea sa de ardere  $U_a$ , curentul de sudare  $I_s$  și lungimea arcului  $l_a$ . Legătura dintre aceste mărimi poartă denumirea de caracteristica statică a arcului care se dă grafic sub forma unei familii de curbe fig. 10.4, unde  $U_a = f(I_s)$  se trasează pentru diferite lungimi ale arcului, la care  $l_1 < l_2 < l_3$ , iar  $U_{a1} < U_{a2} < U_{a3}$ . Arcul electric transformă energia electrică în energie calorică. Căldura dată de arc electric este

$$Q = UIt [J]. \quad (10.2)$$

Căldura dezvoltată de arc electric se folosește numai parțial pentru încălzirea și topirea metalului de bază și adaos, deoarece o parte se pierde prin radiație, convecție și conducție. Randamentul arcului electric la sudare depinde de procesul de sudare. Experimental s-au stabilit următoarele valori [9]: la sudarea cu electrod de carbune,  $\eta = 0,5 \dots 0,7$ ; la sudarea cu electrod metalic învelit,  $\eta = 0,70 \dots 0,85$ ; la sudarea cu arc acoperit prin flux  $\eta = 0,8-0,95$ .

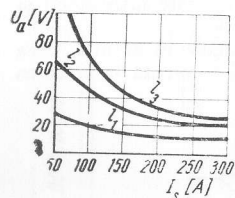


Fig. 10.4. Caracteristica arcului electric

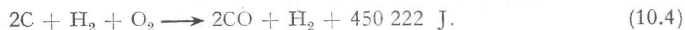
## 10.2.2. FLACĂRA OXIACETILENICĂ PENTRU SUDARE

Flacăra de gaz este frecvent folosită la sudare și în special la procedeele conexe sudării: tăierea, călirea la suprafață și lipirea metalelor. Arderea are loc numai dacă amestecul de gaz combustibil și aer sau oxigen atinge o anumită temperatură numită temperatura de aprindere. Viteza de ardere (propagarea flăcării) este influențată de presiunea, compoziția amestecului etc. Pentru fiecare amestec gazos există o anumită concentrație la care viteza de propagare a arderii este maximă.

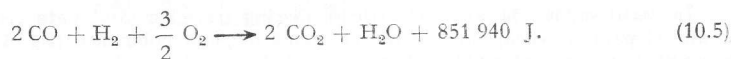
În procesul de ardere a acetilenei în amestec cu oxigenul are loc descompunerea acetilenei în elementele sale:



iar apoi în prima etapă de ardere se oxidează carbonul prin reacția exotermă:



În a doua etapă a arderii, oxidul de carbon trece în bioxid de carbon, iar hidrogenul în apă, după reacțiile:



Oxigenul necesar în prima etapă de ardere se introduce în flăcăra sub forma de oxigen tehnic pur din butelie și se numește oxigen primar. Oxigenul necesar pentru a doua etapă de ardere provine din aerul atmosferic și se numește oxigen secundar. Ambele etape ale arderii acetilenei în oxigen sint exotermice.

Aspectul schematic al flăcării oxiacetilenice este prezentat în fig. 10.5.

Temperatura maximă a flăcării se obține în zona oxidării primare; de aceea piesa de sudat trebuie să fie așezată la 1,2–1,5  $l$ , unde  $l$  este lungimea nucleului luminos al zonei doi. Practic, raportul volumetric oxigen: acetilenă este 1,1–1,2 pentru flacăra normală,  $> 1,1$  pentru flacăra carburantă și  $< 1,2$  pentru flacăra oxidantă.

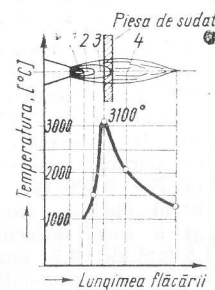


Fig. 10.5. Zonele și temperatura flăcării oxiacetilenice:

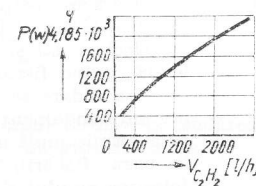


Fig. 10.6. Căldura flăcării oxiacetilenice în funcție de volumul acetilenei

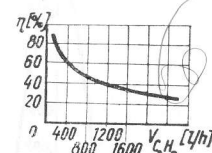


Fig. 10.7. Randamentul flăcării oxiacetilenice

Cantitatea de căldură în unitatea de timp dezvoltată de flacăra oxiacetilenică depinde de volumul acetilenei care se consumă. Graficul din fig. 10.6 arată variația puterii flăcării în funcție de consumul acetilenei. Căldura dată de flacăra oxiacetilenică crește o dată cu creșterea consumului de acetilenă, dar nu este proporțional cu debitul de acetilenă.

Suflaiurile cu debit mai mic au randament mai bun. Dacă  $P = \frac{Q}{t}$  [W], reprezintă căldura efectivă a flăcării, randamentul ei se exprimă prin relația:

$$\eta = \frac{P}{P_{inf}} \cdot \frac{P}{\frac{48\,000}{3\,600} \cdot V_{C_2H_2}} = \frac{P}{13,33 V_{C_2H_2}}, \quad (10.6)$$

unde:  $V_{C_2H_2}$  este consumul de acetilenă în l/h;  $P_{inf}$  — puterea inferioară teoretică a flăcării oxiacetilenice. Randamentul flăcării oxiacetilenice scade o dată cu creșterea debitului de acetilenă (fig. 10.7). În concluzie, încălzirea efectivă a flăcării oxiacetilenice este influențată în general de factorii: raportul amestecului  $O_2/C_2H_2$ , viteza amestecului de gaze

prin ajutorul suflaiului, distanța de la ajutor pînă la suprafața piesei de sudat; înclinarea suflaiului, viteza și metoda de sudare, grosimea și proprietățile termofizice ale piesei de sudat.

Căldura dată de flacăra oxiacetilenică nu se repartizează uniform pe suprafața piesei de încălzit, iar coeficientul de concentrare a căldurii este  $k = 0,2-0,4$ .

### 10.2.3. ANALIZA COMPARATIVĂ A ARCLUI ELECTRIC ȘI A FLĂCĂRII OXIACETILENICE

Arcul electric, în comparație cu flacăra oxiacetilenică, dezvoltă o căldură mai mare și foarte concentrată. În cazul arcului electric cu electrod metalic învelit,  $k = 1,3$  iar în cazul flăcării oxiacetilenice,  $k = 0,4$ , deci de circa 3 ori mai mic. La aceeași putere efectivă, suprafața încălzită cu arcul electric este mult mai mică, decît aceea încălzită cu flacăra oxiacetilenică. În graficul din fig. 10.8 se prezintă repartizația căldurii atît la sudarea cu arc electric cît și la sudarea cu flacăra oxiacetilenică, avînd fiecare puterea de  $P = 9400 \text{ W}$ .

La sudare se folosește arcul electric, care are un randament mai bun și o zonă influențată termic mult mai mică (1,5 față de 4,2 cm, în cazul flăcării). De asemenea, se recomandă folosirea arcului electric la sudarea pieselor de grosime mai mare și conductibilitate termică mare iar flacăra la sudarea pieselor de grosime mai mică.

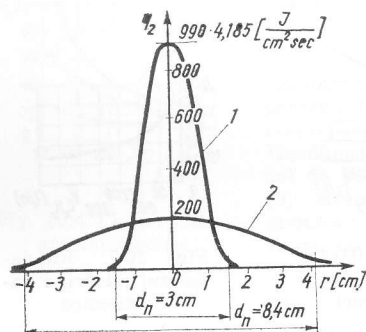


Fig. 10.8. Fluxul de căldură:

1 - pentru arc; 2 - pentru flacăra oxiacetilenică

terialului piesei și de felul sursei de căldură. În cazul sudării pe o piesă cu dimensiuni mari apare un câmp termic tridimensional (fig. 10.9). În cazul sudării pe o placă cu grosimea  $s$ , repartizarea câmpului termic este prezentată în fig. 10.10.

Izotermele sînt foarte concentrate în jurul sursei și anume în fața ei, apoi se răresc, determinînd o zonă influențată termic a cărei mărime depinde de puterea sursei și de viteza de sudare.

Mărimea zonei influențată termic depinde de raportul:  $\frac{P}{v_s} \left[ \frac{\text{J}}{\text{cm}} \right]$ . Energia liniară a sursei se exprimă cu relația

$$Q_1 = \frac{\eta UI}{v_s} \left[ \frac{\text{J}}{\text{cm}} \right]. \quad (10.7)$$

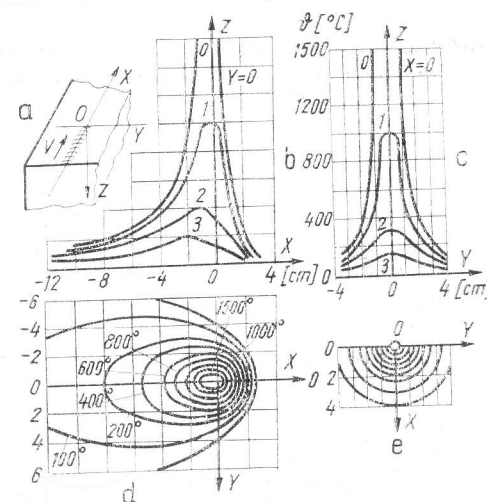


Fig. 10.9. Cîmpul termic la sudarea pieselor cu grosime mare

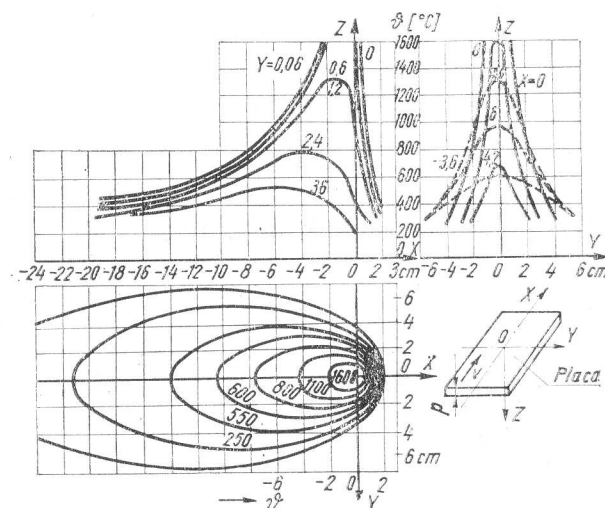


Fig. 10.10. Cîmpul termic la sudarea pieselor cu grosime mică

Materialul piesei de sudat are influență asupra repartizării cimpului termic (fig. 10.11) la sudarea pe o placă de oțel carbon obișnuit, oțel crom nichel, aluminiu și cupru, cu același regim de sudare ( $P = 4185 \text{ W}$  și  $v_s = 0,2 \text{ cm/s}$ ).

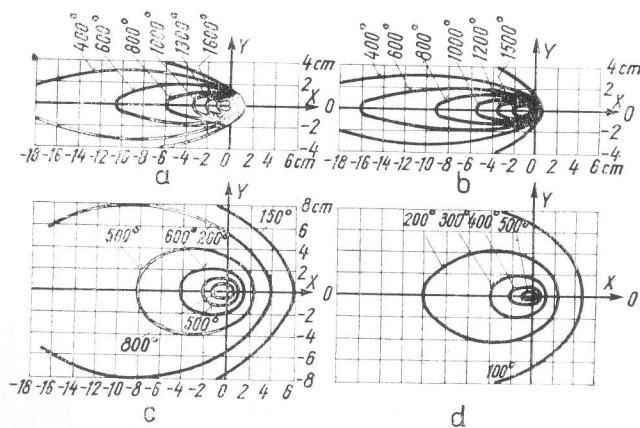


Fig. 10.11. Cimpul termic în piese din oțel, cupru, aluminiu: a - placă de oțel carbon obișnuit; b - placă de oțel crom-nichel; c - placă de aluminiu; d - placă de cupru

Cunoașterea repartiziției temperaturilor într-o piesă în timpul sudării ajută la stabilirea tensiunilor, deformațiilor și a structurilor care se formează în timpul procesului de sudare.

#### 10.2.5. EFECTUL JOULE-LENZ SURSĂ DE CĂLDURĂ LA SUDARE

Încălzirea pieselor la sudarea prin presiune se poate face electric și cu flacără de gaz. Cel mai folosit este însă procedeul electric de sudare prin presiune.

Cantitatea de căldură produsă de curentul electric într-un conductor este determinată după legea Joule Lenz prin expresia

$$Q = RI^2t. \quad (10.8)$$

Rezistența circuitului de sudare este formată din: rezistența porțiunilor încălzite ale pieselor de sudat,  $R_p$ ; rezistența de contact dintre piese  $R_{cp}$  și rezistența de contact

dintre electrod și piesă  $R_{cep}$ . (fig. 10.12). Rezistența circuitului la sudarea electrică prin presiune se poate exprima prin relația:

$$R = 2R_p + R_{cp} + 2R_{cep}. \quad (10.9)$$

Cantitatea de căldură care se degajă se poate exprima mai exact prin ecuația:

$$Q = \int_0^t (2R_p + R_{cp} + 2R_{cep}) I^2 dt. \quad (10.10)$$

Pentru procesul de sudare sînt utile numai căldura degajată în metalul de bază și cea provenită de la contactul dintre piesele care se îmbină. Rolul relativ al fiecăreia dintre aceste cantități de căldură variază în diferitele cazuri de sudare.

### 10.3. MATERIALE FOLOSITE LA SUDAREA PRIN TOPIRE

#### 10.3.1. MATERIALE FOLOSITE LA SUDAREA ELECTRICĂ CU ARC

La sudarea electrică prin topire se folosesc electrozi înveliți, electrozi neînveliți și fluxuri. Electrozii pentru sudare pot fi fuzibili și nefuzibili, cei nefuzibili fiind de cărbune sau de wolfram.

Electrozii fuzibili înveliți sau neînveliți sînt cei mai folosiți în procesul de sudare. Sîrma electrodului fuzibil are o compoziție cît mai apropiată de a metalului de bază și cu un conținut cît mai redus de impurități. La sudarea oțelurilor aliate se folosesc electrozi atît din sîrme corespunzătoare aliate, cît și din sîrme de oțel nealiate alierea făcîndu-se în arcul electric cu elemente ce provin din înveliș sau din flux. Mărcile și utilizarea cîtorva sîrme pentru sudarea oțelurilor se dau în tabelul 10.2.

10.3.1.1. ELECTROZI ÎNVELIȚI PENTRU SUDARE. O parte din electrozii fabricați în țară (STAS 1125-64) sînt prezentați în tabelul 10.3.

După natura învelișurilor electrozii de uz general pentru sudarea electrică se pot împărți în următoarele grupe:

**Electrozi cu înveliș oxidant.** Învelișul acestor electrozi conține oxizi metalici, silicați naturali și foarte puține substanțe dezoxidante. La sudare arcul arde foarte stabil. Învelișul nu asigură o protecție bună împotriva aerului și cusătura conține oxizi și nitruri. De asemenea atmosfera oxidantă din spațiul arcului face ca siliciul și manganul din sîrmă să treacă în zgură, iar carbonul să ardă. Sudura executată cu acești electrozi are însușiri mecanice slabe, în special plasticitatea a scăzut, de aceea se folosesc la lucrări de sudare neimportante.

**Electrozi cu înveliș acid.** Învelișul conține oxizi metalici, silicați naturali, substanțe organice și dezoxidanți. La sudare arcul arde stabil și cusătura se formează uniform.

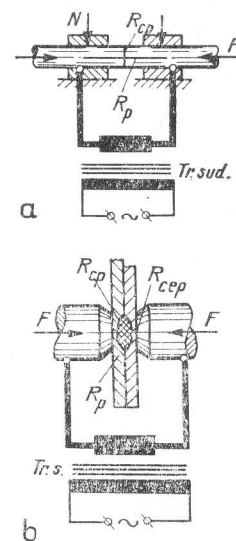


Fig. 10.12. Schema procesului de sudare electrică prin presiune:

a - cap la cap; b - prin puncte



Metalul din electrod trece în picături fine, din cauza peliculei de oxizi, care mărește tensiunea superficială. Pătrunderea aerului în spațiul arcului este împiedicată de mediul gazos cu suprapresiune, produs de arderea substanțelor organice. În sudură intră puțin siliciu și mangan în raport cu cantitatea de feroaliaje din înveliș manganul din înveliș servește în cea mai mare parte ca dezoxidant. Siliciul care intră în cusătură frinează oxidarea carbonului și deci se evită formarea porilor din cauza oxidului de carbon. Mediul oxidant protejează cusătura și față de hidrogen. Este importantă însă alegerea corespunzătoare a proporției între oxizii de fier și feromangan, deoarece dacă e mult oxid de fier acesta frinează trecerea siliciului în sudură și din această cauză apar pori datorită oxidării carbonului.

**Electrozii cu înveliș titanic (rutilic).** Învelișul acestor electrozi este similar cu al electrozilor acizi cu deosebirea că în locul oxizilor de fier se introduce rutil sau ilmenit. Zgura are o viscozitate ceva mai mare decât la electrozii acizi și permite sudarea de poziție. Proprietățile mecanice ale cusăturilor sudate cu electrozi acizi și titanici sînt bune. Reziliența însă nu depășește valoarea de 110 J/cm<sup>2</sup> din cauza oxizilor de fier care se dizolvă în cusătură. Electrozii acizi și titanici se folosesc la construcții din oțeluri cu puțin carbon sub 0,2% și oțeluri slab aliate.

**Electrozi cu înveliș bazic.** La acești electrozi învelișul conține carbonați de calciu, fluorină, puțini silicați naturali și feroaliaje după necesități. Electrozii bazici ard stabil la sudare numai în curent continuu, din cauza fluorinei care mărește tensiunea de ionizare. Picăturile sînt mari și formarea cusăturii este dificilă. Învelișurile bazice sînt higroscopice, din cauza carbonaților și fluorinei, de aceea înainte de sudare se recomandă uscarea electrozilor la temperatura 200°–300°C timp de 2–3 h. Sudurile executate cu electrozi bazici sînt mai pure și au un conținut de gaze scăzut și caracteristici mecanice superioare. Metalul depus are o plasticitate mare și o reziliență care poate ajunge la 240 J/cm<sup>2</sup>.

Electrozii bazici se folosesc la sudarea construcțiilor greu solicate, la sudarea oțelurilor medii și bogat aliate. Spațiul arcului avînd un mediu aproape neutru, asigură o bună trecere a elementelor de aliere și de aceea toți electrozii care lucrează cu sîrmă aliată sau care lucrează pe principiul alierii în arc electric, au învelișuri bazice. Cu electrozi bazici se poate suda și în curent alternativ, fapt care a mărit considerabil aplicarea practică a acestor electrozi.

**Electrozi cu înveliș celulozic.** Învelișul conține în special substanțe organice. La sudare se dezvoltă multe gaze și se împiedică intrarea aerului în arc. Oxizii și nitrurile care eventual s-au format sînt reduse de hidrogenul prezent în cantitate mare:  $\text{FeO} + \text{H}_2 \rightarrow \text{Fe} + \text{H}_2\text{O}$ ;  $2\text{Fe}_3\text{N} + 3\text{H}_2 \rightarrow 8\text{Fe} + 2\text{NH}_3$ . În sudură intră însă mult hidrogen, circa 27 cm<sup>3</sup> la 100 g cusătură, față de circa 15 cm<sup>3</sup> la electrozii acizi și circa 8 cm<sup>3</sup> la electrozii bazici. Hidrogenul din cusătură se poate reduce cu ajutorul oxizilor metalici din înveliș care leagă hidrogenul sub formă de hidroxizi.

**Sorturi cu electrozi înveliși pentru utilizări speciale.** În afara electrozilor enumerați se produc și alte tipuri cu utilizări speciale ca: electrozi cu pătrundere adîncă, electrozi cu pulbere de fier în înveliș, electrozi bimetalici etc.

**10.3.1.2. FLUXURI PENTRU SUDARE.** Fluxurile pentru sudare cu arc electric se clasifică: după modul de fabricație (fluxuri topite și fluxuri netopite sau ceramice); după caracterul zgurei (fluxuri acide și fluxuri bazice); după domeniul de utilizare (fluxuri obișnuite și fluxuri speciale).

Fluxurile care, la temperaturi ridicate au rezistivitate electrică mare, se utilizează la sudarea în baie de zgură, la rafinarea sau alierea oțelului prin folosirea metodei de retopire electrică în baie de zgură.

Tabelul 10.2

Sirme pentru sudarea oțelurilor

Marca sirmei	Utilizarea principală	Procedee recomandate
S 10 S 10 X S 10 MX S 10 M S 10 M1 S 12 M2	Pentru oțeluri ușor sudabile cu conținut redus de carbon necalmat și calmate, la cele mai multe construcții Pentru oțeluri de construcție slab aliate cu Mn sau Mn-Si, ușor sudabile	Sudare oxiacetilenică și automată sub flux silico-manganos Sudare sub flux silico-manganos
S 11 M2 S	Oțeluri carbon și slab aliate cu Mn sau Mn-Si ușor sudabile	Specială pentru sudarea în mediu de CO <sub>2</sub>
S 12 M2 SC S 22 MSC S 22 MoC	Oțeluri slab aliate cu Cr-Mn-Si și sau cu Mo-C cu rezistențe de 70...100 kgf/mm <sup>2</sup>	Sudare în mediu de gaz inert; argon sau sub flux bazic
S 12 Mo S 12 MoC S 10 M2 SMOc	Oțeluri termorezistente pentru țevi și cazane cu abur supraîncălzite și cu înaltă presiune	Sudare în mediu de argon sau sub fluxuri bazice aliate în mod corespunzător
S 12 C2 Mo S 12 C5 Mo	Pentru oțeluri de cracare rezistente la hidrogen sub presiune	În unele cazuri și cu flacără oxiacetilenică
S 08 N3 S 08 C14 S 12 C17 T S 15 C25 T S 04 C19 N9 S 06 C19 N9	Pentru oțel similar, aliat cu Ni Oțeluri feritice și ferito-perlitice, înalt aliate cu crom  Pentru oțeluri înalt aliate cu nichel și crom, de aceeași compoziție sau similară	Sudare în mediu de argon în hidrogen atomic sau sub fluxuri bazice aliate în mod corespunzător pentru menținerea în limitele prescrise a compoziției și a proprietăților metalului depus prin sudare
S 08 C19 N9 T S 10 C19 N10 Nb S 06 C19 N11 Mo2 SO6C19N11Mo2Nb SO8C19N10Mo2T	Pentru oțeluri înalt aliate cu nichel și crom de aceeași compoziție sau similară, cu conținuturi de elemente stabilizatoare pentru evitarea coroziunii intercristaline și a fisurilor	
S12 N25 C16 Mo6 S32 N35 C15 W3 Nb3T SO9 C25 N13 S10 N50	Pentru oțeluri înalt aliate cu nichel și crom, de aceeași compoziție sau similară Pentru oțel înalt aliat cu Ni	

Tabelul 10.3

## Electrozi înveliți pentru sudare

Tipul	Marca electro- dului	Metalul depus					
		$\sigma_f$ kgf/mm <sup>2</sup> min	$\varepsilon_5$ % min	$\sigma_c$ kgf/mm <sup>2</sup> min	KCU 30/2 KCU 30/5 **		S max. %
					kgf · m/cm <sup>2</sup> min		
					epruvetă cu creștătură tip c	epruvetă cu creștătură tip b	
1	EL-38T	38	18	—	—	—	0,05
	EL-38A	38	18	—	—	—	
2	EL-42A	42	22	28	8	7	0,05
2a	EL-44T	44	22	30	9	8	0,05
2b	EL-44C	44	22	32	8	7	0,05
2c	EL-42TFc	42	22	28	8	7	0,05
3	EL-42B	42	26	30	14	13	0,04
3a	EL-42B	42	24	28	14	13	0,04
4	EL-46T	46	22	32	8	7	0,05
5	EL-46B	46	24	32	14	12	0,04
6	EL-50*)	50	16	—	6	5	0,05
7	EL-50B	50	22	36	13	12	0,04
8	EL-55B	55	20	40	12	11	0,04
9	EL-60*)	60	16	—	6	5	
10	EL-60B*)	60	18	—	10	9	
11	EL-70*)	70	12	—	6	5	
12	EL-85*)	85	12	—	5	5	
13	EL-100B	100	10	—	5	5	
14	EL-125*)	125	6	—	4	4	
15	EL-145*)	145	5	—	4	4	

\*) Se fabrică numai pe bază de înțelegere între părți

\*\*) Conform STAS 5540-65

Îmbinarea sudată				Destinația principală
P max. %	Material de bază	$\sigma_f$ kgf/mm <sup>2</sup> min.	Unghi de îndoire grade	
0,005	OL38	38	90	Pentru oțeluri carbon necalmate cu max. 0,20% C, table și profile subțiri sau mijlocii Pentru oțeluri carbon calmate și necal- mate cu max. 0,25% C
0,05				
0,05	OL42	42	120	
0,05				
0,05				
0,04	OL42	42	180	Pentru oțeluri carbon calmate și necal- mate cu max. 0,30% C puternic solici- tate dinamic și oțeluri slab aliate
0,04	OL42	42	180	
0,05	LOM16	46	120	
0,04	10M16	46	150	
0,05	18M14	50	90	
0,04	18M14	50	150	Pentru oțeluri calmate, cu carbon între 0,3...0,5% și oțeluri slab aliate cu Mn și Si
0,04	25SM14	55	140	
	—	—	—	
	—	—	—	
	—	—	—	
	—	—	—	Pentru oțeluri de înaltă rezistență
	—	—	—	
	—	—	—	

Obs. Caracteristicile mecanice pentru electrozii EL85, EL-100B, EL-125 și EL-145  
sunt obținute după tratamentul termic specificat în fișa tehnică respectivă

Fluxurile se numesc acide sau bazice după cum este valoarea raportului, suma oxizilor bazici/suma oxizilor acizi:

$\text{CaO} + \text{MgO} + \text{MnO} = B$ ;  $B = 1$  fluxul sau învelișul are caracter neutru;  $B < 1$   $\text{SiO}_2 + \text{FeO} + \text{TiO}_2$  fluxul sau învelișul are caracter acid;  $B > 1$ , fluxul sau învelișul are caracter bazic.

Fluxurile topite sînt acelea la care substanțele sînt topite împreună la temperatura de 1400–1500°C, iar după solidificare sînt măcinate la granulația dorită. Avînd în vedere compoziția chimică a fluxurilor topite precum și acțiunea lor chimică în procesul de sudare acestea se pot clasifica în cinci categorii:

— Fluxuri bogate în  $\text{SiO}_2$  și  $\text{MnO}$ . Aceste fluxuri conțin 40–50%  $\text{SiO}_2$  și 35–45%  $\text{MnO}$ . Din cauza conținutului ridicat în  $\text{SiO}_2$  și  $\text{MnO}$ , în sudură se introduce siliciu și mangan astfel încît oțelurile de construcție să se poată suda cu acest flux și cu sîrmă nealiată de tipul S10 sau S10x. Fluxurile acestea sînt puternic acide, ceea ce înseamnă că sînt sensibile la rugină și oxizi. Sulful și fosforul poate fi introdus sub forma impurităților în oxizii de mangan, iar aciditatea fluxului nu favorizează desulfurarea și defosforarea băii de sudură. Exemplu din aceste fluxuri: AN348, OST45, VUS34M; UM50.

— Fluxuri bogate în  $\text{SiO}_2$  și cu puțin  $\text{MnO}$ . Aceste fluxuri conțin 40–50%  $\text{SiO}_2$  și 15–20%  $\text{MnO}$ . În cusătură se introduce suficient siliciu, dar prea puțin mangan. Din acest motiv sudarea oțelurilor de construcție cu acest flux se poate face numai cu sîrmă aliată cu 0,8–1,2% Mn. Conținutul redus în  $\text{MnO}$  are drept consecință o limitare a cantității de sulf și fosfor introdusă în cusătură. În această categorie intră și fluxurile fără  $\text{MnO}$ , la care sudarea trebuie făcută cu sîrme aliate cu 2–3% Mn. Exemplu din aceste fluxuri AN1, AN2, VUS28, UM90, TIM (Pie 18).

— Fluxuri cu puțin  $\text{SiO}_2$  și  $\text{MnO}$ . Aceste fluxuri au caracter bazic. Cu ele se obține o bună desulfurare și defosforare a băii de sudură, ceea ce determină o creștere a plasticității cusăturii și o scădere considerabilă a incluziunilor nemetalice din cusătură. Sîrmele de sudură folosite cu aceste fluxuri trebuie să fie aliate cu siliciu și mangan pentru a avea în cusătură suficiente elemente de aliere. Exemple din aceste fluxuri: AN22, VUS2B, AN30, Grau RFG. Atmosfera arcului electric este puțin oxidantă, deci elementele de aliere trec în cusătură cu pierderi mici. Pentru acest motiv ele se folosesc la sudarea oțelurilor aliate, cu sîrmă de sudură de aceeași compoziție cu a metalului de bază. Principalul dezavantaj al fluxurilor bazice constă în aceea că la sudare, arcu este mai puțin stabil și se recomandă sudarea în curent continuu. Lipsa oxigenului din spațiul arcului face ca picăturile de metal să fie mai mari, iar suprafața cusăturii este mai puțin netedă decît fluxurile acide. În tabelul 10.4 sînt prezentate cîteva fluxuri topite.

— Fluxuri pentru sudare în baie de zgură topită. La sudarea în baie de zgură pe lîngă proprietățile de protecție, rafinare și degazare, fluxul mai trebuie să aibă o rezistivitate electrică mare la temperatura de topire pentru ca efectul Joule Lenz să fie mai puternic.

Fluxurile pentru sudarea în baie de zgură sînt de tipul fluxurilor bogate în  $\text{SiO}_2$  și cu puțin  $\text{MnO}$ , care au în compoziția lor 48%  $\text{SiO}_2$ , 25%  $\text{MnO}$ , 17%  $\text{MgO}$  etc. Conținutul mare în  $\text{SiO}_2$  și  $\text{MnO}$  explică rezistivitatea electrică mare a acestui flux la temperaturi înalte. Rezistivitatea electrică la temperaturi ridicate a fluxului se poate realiza folosind fluxuri bazice sau chiar fluxuri pasive.

Fluxurile ceramice se prepară prin amestecarea substanțelor fin măcinate în stare uscată pînă la omogenizare perfectă. După aceea se introduce liantul pînă la obținerea unei paste consistente care apoi se granulează. Granulele se usucă la 350°C în cuptor. Fluxurile ceramice permit introducerea feroaliajelor pentru alierea în arcu electric și se fabrică mai ușor, pentru că nu necesită cuptoare cu temperaturi ridicate. Rezistența mecanică a granulelor este însă redusă, ceea ce face ca după manipulări repetate să

Tabelul 10.4

Fluxuri topite cu mult  $\text{SiO}_2$  și fără  $\text{MnO}$  (% din greutate)

Tipul de flux	$\text{SiO}_2$	CaO	MgO	$\text{Al}_2\text{O}_3$	CaFe	FeO	$\text{K}_2\text{O}$ și NaO	S+P
AN-5 U.R.S.S.	50–52	26–30	10–14	—	5–6	—	1≤	—
FT-10 U.R.S.S.	44–47	3,0	28–30	19–21	2–3	1,5	—	0,2
FTL U.R.S.S.	34–37	32–34	16–18	6–7	6–7,5	1,2	—	0,2

Fluxuri topite cu mult  $\text{SiO}_2$  și conținut mijlociu în  $\text{MnO}$  (% din greutate)

Tipul de flux	$\text{SiO}_2$	MnO	CaO	MgO	$\text{Al}_2\text{O}_3$	CaF <sub>2</sub>	FeO	S+P
VUS-152 C.S.R.	47–53	22–28	8–12	7–11	≤5	—	≤2,7	≤0,1
AN-3 U.R.S.S.	48–50	15,5–18,5	5–18	8,5–10	—	2+3,5	≤2	≤0,25
THM Pje18 R.D.G.	43	18	21	6	1,4–2,0	5	—	—

Fluxuri topite cu mult  $\text{SiO}_2$  și  $\text{MnO}$  (% din greutate)

Tipul de flux	$\text{SiO}_2$	MnO	CaO	CaF <sub>2</sub>	MgO	$\text{Al}_2\text{O}_3$	$\text{TiO}_2$	Restul
AN-348 U.R.S.S.	41–44	34–38	6,5	4–5,5	5,5–7,5	4,5	—	FeOS P
OST-45 U.R.S.S.	38–44	38–47	6,5	6–9	2,5	5	—	FeOS P
FT-4 U.R.S.S.	45–48	30–33	6,0	2–3	2,0	4,6	5–6	$\text{K}_2\text{O}$ , $\text{Na}_2\text{O}$ , $\text{FeO}$ , S, P
Z41 C.S.R	41–43	42–46	4,5	4–5	1,0	—	—	—
VUS 42 MN C.S.R	40–43	38,5–42	3,4	2,5–3,8	1–4	3–6	1–2,5	—
FSA-58 R.S.R.	40–50	30–40	5–8	4–6	—	—	—	—

apară mult praf în flux. În afară de aceasta fluxurile ceramice sînt mai higroscopice decît cele topite. Fluxurile ceramice pot fi acide sau bazice, de compoziție asemănătoare cu fluxurile topite. Cele mai folosite fluxuri ceramice sînt de tipul bazic, avînd

Tabelul 10.5

Fluxuri ceramice pentru sudare și încărcare

Tipul de flux	Al <sub>2</sub> O <sub>3</sub>	CaF <sub>2</sub>	FeSi	FeCr	Cr	Ni	FeTi	Feldspat	FeMn	Marimură	Indicații de folosire
Flux SCN decompensare	41	52	2	3	1	2					Se sudează oțelul CrNi 18-8 cu sîrmă ca metalul de bază
Flux FCN de aliere	20	25	3	35		14	1				Cu sîrmă de oțel cu puțin carbon
Flux FB1	35	10						35	10	10	Se sudează oțelul cu puțin carbon
Flux FISP-CM	36	9		15				26	15	9	Se folosește la încărcarea cu bandă oțel
Flux FM	19	6						15	50	6	Se folosește la încărcare

în compoziția lor, trei substanțe principale: carbonat de calciu, fluorină și rutil, celelalte elemente intrînd în proporții mai reduse. Toate fluxurile au în compoziția lor feroliale corespunzătoare destinației lor și lucrează pe principiul alierii în arc electric. În tabelul 10.5 se prezintă cîteva fluxuri ceramice.

### 10.3.2. MATERIALE FOLOSITE LA SUDAREA CU FLACĂRĂ DE GAZE

**10.3.2.1. SÎRMĂ PENTRU SUDARE.** La sudarea cu flacără oxiacetilenică sîrmă trebuie să îndeplinească următoarele condiții: diamantul sirmei de sudură trebuie să corespundă grosimii tablelor (pieselor) de sudat pentru alegerea cărui se folosește relația  $d_s = (1,5 \dots 2) \sqrt{s}$ , unde  $s$  este grosimea piesei care se sudează, în mm; să fie curată lipsită de rugină, uleiuri sau alte substanțe sau corpuri străine.

La sudarea oxiacetilenică a construcțiilor importante din oțel cu conținut redus în carbon se recomandă folosirea sîrmelor de sudare din oțel aliat cu Si, Mn și Cr. La sudarea oțelurilor cu conținut ridicat în elemente de aliere, sîrma de adaos are, de obicei, aceeași compoziție chimică ca și materialul de bază. Pentru sudarea fontei cenușii se folosesc sîrme, bare de sudare din fontă, turnate, cu diametrul de 6, 8, 10 și 12 mm. La sudarea pieselor din fontă sîrma trebuie să conțină 3–3,6% C, 3–3,5% Si, 0,5–0,8% Mn, 0,2–0,5% P iar sulf mai puțin de 0,08%, STAS 1126-64.

**10.3.2.2. FLUXURI PENTRU SUDAREA OXIACETILENICĂ.** Dezoxidarea metalului topit, prin dizolvarea și separarea din el a oxizilor și a altor incluziuni nemetalice

se face cu ajutorul unor fluxuri care se introduc în baia de sudură. Prin formarea unui strat de zgură la suprafața băii de sudură se protejează metalul topit împotriva oxidării.

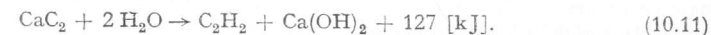
În tabelul 10.6 sînt date cîteva fluxuri pentru sudarea cu flacără oxiacetilenică. Fluxurile pentru sudarea aluminiului fiind foarte higroscopice, trebuie păstrate în borcane închise ermetic. După sudare, resturile de flux se spală cu apă fierbinte și se neutralizează cu o soluție chimică corespunzătoare.

Tabelul 10.6

Fluxuri pentru sudarea cu flacără oxiacetilenică

Metalul care se sudează	Compoziția chimică a fluxului, %												
	Borax	Acid boric	Fosfat disodic	Carbonat de potasiu	Carbonat de sodiu	Bicarbonat de sodiu	Clorură de sodiu	Clorură de potasiu	Clorură de litiu	Clorură de bariu	Clorură de zinc	Clorură de amoniac	Fluorură de potasiu
Oțeluri aliate cu Cr, Ni	100	—	—	—	—	—	—	—	—	—	—	—	—
Fontă	100	—	—	—	—	—	—	—	—	—	—	—	—
	56	—	—	22	22	—	—	—	—	—	—	—	—
	23	—	—	—	27	—	—	—	—	—	—	—	—
	—	—	—	30	50	—	—	—	—	—	—	—	50
Cuprul și aliajele lui	100	—	—	—	—	—	—	—	—	—	—	—	—
	50	50	—	—	—	—	—	—	—	—	—	—	—
	50	53	15	—	—	—	—	—	—	—	—	—	—
	56	—	—	22	—	—	22	—	—	—	—	—	—
Aluminiul și aliajele lui	—	—	—	—	—	—	45	30	10	—	—	—	15
	—	—	—	—	—	—	35	48	9	—	—	—	8
Zinc	—	—	—	—	—	—	19	29	—	48	—	—	4
	—	—	—	—	—	—	—	—	—	50	50	—	—

**10.3.2.3. GAZE FOLOSITE LA SUDARE.** Acetilena este un gaz ce se obține în urma reacției dintre carbura de calciu și apă:



Carbura de calciu tehnică (carbideul) conține și substanțe străine în proporție destul de mare circa 20%. De aceea dintr-un kg de carbide se obține 240–300 l acetilenă.

Amestecul acetilenei cu unele gaze prezintă pericolul de explozie. Prezența oxigenului, a aerului, a clorului în acetilenă, mărește pericolul de explozie, deoarece la reacția acestor gaze cu acetilena se produce o cantitate de căldură suficientă pentru amorsarea reacției de descompunere explozivă.



**Hidrocarburile.** Majoritatea hidrocarburilor gazoase au putere calorifică apropiată de cea a acetilenei. În tabelul 10.7 sînt indicate caracteristicile mai importante ale gazelor combustibile folosite la sudare. Se folosesc cu bune rezultate la sudare și tăiere, metanul și gazele petroliere făcîndu-se astfel economie de acetilenă.

Tabelul 10.7

Principalele caracteristici ale gazelor folosite în țară

Gazul	Formula chimică	Puterea calorifică kcal/m <sup>3</sup>	Căldura utilizabilă kcal/m <sup>3</sup>	Temperatura flacării	Densitatea fluxului de căldură kcal/s.cm <sup>2</sup>
Acetilenă	C <sub>2</sub> H <sub>2</sub>	13600	5050	3200	—
Metan	CH <sub>4</sub>	8550	1400	1900	10,7
Propan	C <sub>3</sub> H <sub>8</sub>	22350	1150	1950	2,56
Butan	C <sub>4</sub> H <sub>10</sub>	29510	1100	2000	—
Hidrogen	H <sub>2</sub>	2570	1300	2000	2,34

**Oxigenul.** La sudare cu flacără de gaz se folosește oxigenul pentru a spori randamentul procesului de ardere. Oxigenul se prepară din aerul atmosferic prin lichefiere și distilarea fracționată. Oxigenul comprimat, în contact cu substanțe organice (uleiuri, grăsimi, celuloze) poate să provoace autoaprindere producînd explozii. Oxigenul poate fi transportat și depozitat sub formă lichidă la presiune atmosferică sau în stare gazoasă, în butelii comprimate la 150  $\frac{\text{daN}}{\text{cm}^2}$ . Buteliile au 40 l, capacitatea (6000 l oxigen gazos la 0 °C și 10,13  $\frac{\text{N}}{\text{cm}^2}$ ). Puritatea oxigenului are importanță deosebită la sudare și tăiere, de aceea se recomandă folosirea unui oxigen cît mai pur în special la tăiere.

## 10.4. SUDABILITATEA METALULUI DE BAZĂ

Metalul de bază cel mai folosit pentru construcții sudate este oțelul laminat, forjat și turnat. Dintre aceste oțeluri, pentru construcțiile sudate se preferă oțelurile calmate (STAS 500-63).

Oțelurile carbon fabricate în țara noastră se pot folosi astfel: OL 00, pentru scopuri auxiliare; OL 32 și OL 37 pentru construcții sudate ca: suporti, rame, carcase, flanșe, mantale pentru rezervoare etc.; OL 42 și OLC 25 pentru construcții sudate ca: flanșe, recipiente, organe de mașini solicitate variabil etc.; OL 50 și OLC 35 pentru mantale și capace pentru recipiente, rezervoare de presiune mare, batiuri, cadre pentru mașini și organe de mașini etc. solicitate dinamic.

În general sudabilitatea oțelurilor de construcție cu carbon se apreciază cu următoarea relație:

$$C_e = C + \frac{\text{Mn} + \text{Si}}{4} \leq 0,45. \quad (10.12)$$

Conform acestei relații oțelurile cu  $C_e$  pînă la 0,24% sînt bine sudabile, cele cu  $C_e$  pînă la 0,45% satisfacătoare sudabile și cele cu  $C_e$  peste 0,45% necesită precauțiuni speciale la sudare, determinate pe baza unor încercări prealabile de sudabilitate.

Gradul de sudabilitate metalurgică a oțelurilor aliate se determină prin coeficientul de echivalență în carbon  $C_e$  dat de relația (STAS 7194-65):

$$C_e = C\% + \frac{\text{Mn}\%}{6} + \frac{\text{Cr}\%}{5} + \frac{\text{Ni}\%}{15} + \frac{\text{Mo}\%}{4} + \frac{\text{Cn}\%}{18} + \frac{(\text{S} + \text{P})\%}{2} + 0,0024 s \leq 0,5\%, \quad (10.13)$$

unde  $s$  este grosimea piesei de sudat, în mm. Oțelul este considerat sudabil dacă  $C_e \leq 0,50$ . Se mai observă că relația de mai sus dă indicații orientative, sudabilitatea determinîndu-se de obicei prin încercări metalurgice, tehnologice și constructive, folosind una din metodele prescrise în standardele sau normele uzinale în vigoare (încercarea durității sub sudură, încercarea Kommerel, Schnadt, Kinzel etc.).

## 10.5. PROCEDEE DE SUDARE PRIN TOPIRE

### 10.5.1. SUDAREA MANUALĂ CU ARC

**10.5.1.1. SURSE PENTRU ALIMENTAREA ARCULUI.** Sursa de energie electrică pentru alimentarea arcului poate fi de curent continuu sau alternativ.

În general sursele pentru sudare au caracteristici în conformitate cu fenomenele care se petrec în procesul de sudare. Arderea stabilă a arcului electric este posibilă numai dacă tensiunea sursei variază în mod corespunzător cu schimbările regimului de sudare și depinde de caracteristica externă a sursei de alimentare  $U = f(I)$ .

La sursele de curent pentru sudare, caracteristica externă poate fi ca cea prezentată în fig. 10.13. Între caracteristica externă a sursei de curent și caracteristica statică a

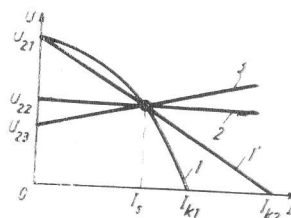


Fig. 10.13. Diferite caracteristici externe:

1 - coboitoare; 2 și 3 rigidă

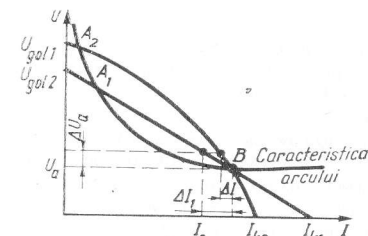


Fig. 10.14. Corelația între caracteristica externă și caracteristica arcului

arcului electric trebuie să existe puncte de intersecție care reprezintă puncte posibile de funcționare a arcului electric (sursa are parametrii corespunzător existenței arcului). În fig. 10.14 punctul B este punct sigur de funcționare deoarece  $U_s > U_a$ .



Sursele pentru sudare sînt de construcție specială, atît în ce privește caracteristica externă cît și în ce privește caracteristicile dinamice, care trebuie să asigure o trecere rapidă în maximum 0,03 s din regim de scurtcircuit în regim de mers în sarcină și invers, adică timpul de revenire a tensiunii necesare pentru menținerea arcului să fie de maximum 0,03 s.

**Transformatorul pentru sudare.** După principiul obținerii caracteristicii externe și după modul de reglare al curentului, transformatoarele pentru sudare pot fi: cu dispersie mărită și șunt magnetic, cu bobină de reactanță separată, cu bobină de reactanță pe același miez, cu reglaj inductiv prin curent continuu.

**Transformatorul pentru sudare cu dispersie mărită și șunt magnetic** este compus dintr-un miez de tablă silicioasă și înfășurările primară și secundară așezate separat. Prin separarea înfășurărilor și introducerea unui șunt magnetic se mărește fluxul de dispersie și astfel se obține o caracteristică externă coboritoare. Schema acestui transformator și caracteristica externă sînt reprezentate în fig. 10.15. Acest transformator are un domeniu mare de reglare, factor de putere și randament bune.

**Transformatorul cu bobină de reactanță separată** este alcătuit dintr-un transformator care reduce tensiunea rețelei la tensiunea necesară amorsării arcului și o bobină de reactanță legată în serie cu circuitul de sudare. Cu ajutorul bobinei de reactanță se reglează curentul de sudare și se obține caracteristica externă coboritoare. Schema transformatorului cu bobină de reactanță separată este reprezentată în fig. 10.16.

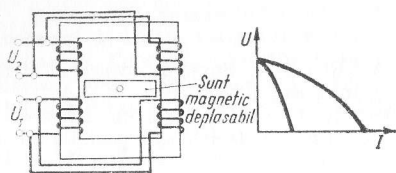


Fig. 10.15. Schema transformatorului pentru sudare cu șunt magnetic și caracteristica sa externă

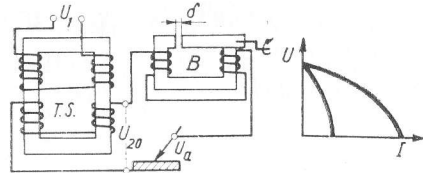


Fig. 10.16. Schema transformatorului cu bobină de reactanță separată și caracteristica sa externă

Acest transformator are proprietăți dinamice bune, permite reglarea fină a curentului de sudare și are tensiunea de mers în gol constantă la reglarea curentului de sudare.

**Transformatorul cu bobină de reactanță pe același miez** este o combinație între un transformator și o bobină de reactanță montate pe același miez. Prin construcția sa acest transformator are atît legături electrice cît și magnetice cu bobina de reactanță. Din această cauză prin conectarea bornelor bobinei de reactanță cu bornele înfășurării secundare în același sens și în sens contrar se obține un domeniu mare de reglare a curentului de sudare și o caracteristică externă coboritoare cu tensiunea de mers în gol mare în domeniul curentilor mici și mai mică în domeniul curentilor mari. Acest lucru favorizează mult sudarea cu electrozi subțiri. Schema transformatorului și caracteristica externă sînt reprezentate în fig. 10.17. Acest transformator are proprietăți dinamice bune și randament ridicat, deoarece fluxul de dispersie este minim.

**Generatorul de curent continuu pentru sudare.** Generatoarele de curent sînt antrenate de motoare asincrone sau motoare termice cu turație cît mai constantă. Există mai multe tipuri de generatoare de curent continuu pentru sudare, după felul excitațiilor sau forma polilor: generatoare cu excitație separată și serie inversă, generatoare cu exci-

tație proprie și serie inversă, generatoare cu poli divizați și generatoare cu cîmp transversal.

**Generatorul cu excitație separată și serie inversă** are două înfășurări pentru excitație: o înfășurare alimentată separat  $W_n$  de la o sursă de curent continuu și o înfășurare serie inversă  $W_s$ . Schema generatorului este reprezentată în fig. 10.18.

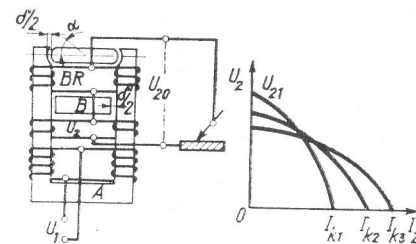


Fig. 10.17. Schema transformatorului cu bobină de reactanță pe același miez și caracteristica sa externă

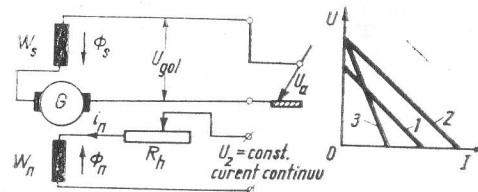


Fig. 10.18. Schema generatorului pentru sudare cu excitație separată și serie inversă, caracteristica sa externă

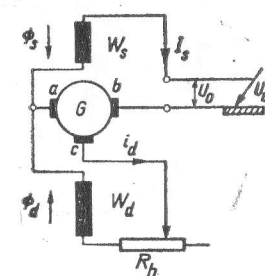


Fig. 10.19. Schema generatorului cu excitație proprie și serie inversă

Fluxul dat de înfășurarea serie inversă este demagnetizant și dă naștere unei caracteristici externe coboritoare. Reglarea curentului de sudare se poate face prin reostatul  $R_h$  și prin modificarea numărului de spire la înfășurarea  $W_s$ . Combinarea celor două metode de reglare a curentului conduce la obținerea unor caracteristici externe favorabile procesului de sudare. Acest generator de sudare are caracteristici tehnice și funcționale bune, permite reglarea curentului în limite largi și arcul arde stabil.

**Generatorul cu excitație proprie și serie inversă** are o înfășurare legată în serie cu circuitul de sudare și una legată la o perie principală și o perie auxiliară conform schemei din fig. 10.19.

Prin modificarea curentului de excitație proprie și a numărului de spire la înfășurarea serie, se poate regla curentul în limite largi și se obține o caracteristică externă coboritoare favorabilă procesului de sudare.

Generatorul cu poli divizați are patru poli de bază, așezați perechi  $N_t - N_p$  și  $S_t - S_p$  conform cu fig. 10.20, astfel că în principiu se prezintă o ca mașină cu doi poli. Poli principali  $N_p - S_p$  au o secțiune mai redusă și lucrează în regim magnetic saturat. La mers în sarcină pe direcția axei neutre (periile  $a-b$ ) ia naștere fluxul reacției de indus  $\Phi_t$ , care împreună cu fluxurile polilor transversali  $\Phi_t$  și polilor principali  $\Phi_p$  dau naștere unei caracteristici externe coborâtore, favorabilă sudării.

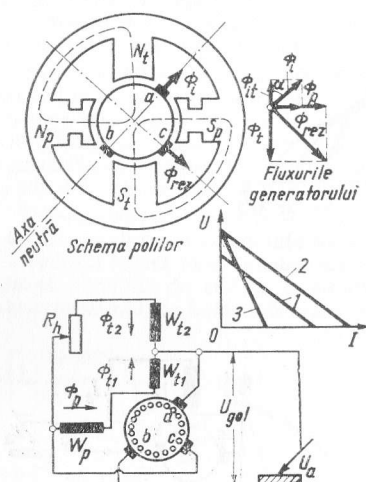


Fig. 10.20. Schema generatorului cu poli divizați și caracteristica sa externă

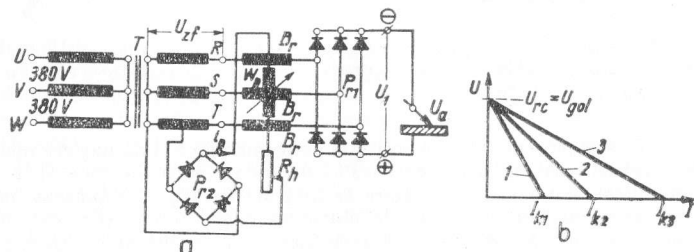


Fig. 10.21. Schema redresorului pentru sudare și caracteristica sa externă

**10.5.1.2. TEHNICA SUDĂRII MANUALE CU ARC. Pregătirea pieselor pentru sudare.** Pentru obținerea unor îmbinări sudate cu însușiri bune, sînt necesare operații de pregătire cum sînt: curățirea pieselor de rugină și alte impurități, teșirea sau prelucrarea marginilor pieselor, spre a se asigura formarea corectă a cusăturii sudate.

Reglarea curentului de sudare se poate face prin rotirea cu unghiul  $\alpha$  al perilor  $a-b$  (cînd se modifică fluxul reacției de indus) sau cu reostatul  $R_h$  (cînd se modifică fluxul  $\Phi_t$ ). Acest generator de sudare are proprietăți dinamice foarte bune, permite reglarea curentului în limite largi și nu necesită o sursă separată pentru alimentarea înfășurărilor de excitație.

**Redresorul pentru sudare.** Este compus dintr-un transformator trifazat T, bobine de reactanță  $B_r$ , pe fiecare fază, o înfășurare pentru premagnetizare  $W_p$ , alimentată în curent continuu de la  $P_{r2}$  și puntea redresoare trifazată  $P_{r1}$  (fig. 10.21, a). Transformatorul T are caracteristica externă rigidă. Caracterul coboritor al caracteristicilor externe al instalației (fig. 10.21, b) se obține datorită sistemului de bobine de reactanță  $B_r$  și înfășurării  $W_p$ . Reglarea curentului de sudare se face prin modificarea reactanțelor  $B_r$ , cu ajutorul fluxului înfășurării  $W_p$  modificînd curentul de la reostatul  $R_h$ . Redresorul pentru sudare are însușiri dinamice foarte bune și permite reglarea curentului în limite largi. Are randament mare, gabarit mic, nu face zgomot, este ușor de întreținut, ceea ce face să devină foarte apreciat.

Marginile pieselor se prelucurează pentru sudare în funcție de grosimea lor și de forma îmbinării sudate conform tabelului 10.8.

**Poziția în spațiu și executarea cusăturii sudate.** La executarea sudurii nu este indiferentă poziția sa în spațiu. După orientarea axei cusăturii și a normalei la fața cusăturii, sudurile pot avea pozițiile arătate în fig. 10.22.

Cusătura sudată este alcătuită din rinduri și straturi de suduri. Rindul este sudura depusă printr-o singură trecere și are lățimea cel mult de două ori diametrul electrodului.

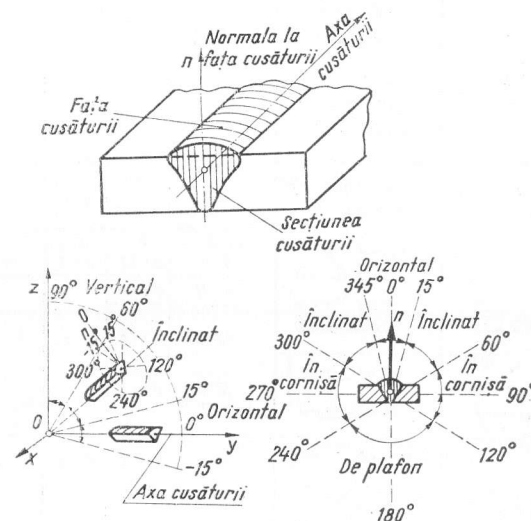


Fig. 10.22. Poziția în spațiu a cusăturilor sudate

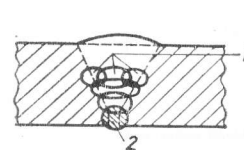


Fig. 10.23. Rînd și strat de sudură:  
1 — strat de sudură; 2 — rînd de sudură

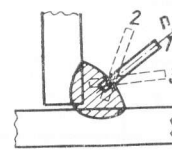


Fig. 10.24. Ordinea executării sudurilor de colț

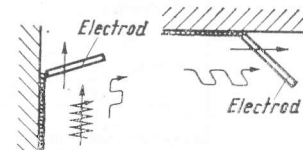


Fig. 10.25. Executarea sudurilor verticale și de plafon

lui. Stratul este format din mai multe rînduri alăturate. Grosimea unui strat la sudarea manuală nu este mai mare de 6 mm (fig. 10.23). La sudurile de colț în T, normala la fața cusăturii este înclinată față de orizontală, de aceea la execuția lor trebuie respectată ordinea din fig. 10.24. Sudurile în plan vertical sau de plafon se execută în straturi subțiri și cu mișcări ce permit solidificarea metalului topit, pentru a nu se scurge, fig. 10.25.

Preelucrarea marginilor pieselor în vederea sudării Tabelul 10.8

Pregătire	Forma cusăturii																																																				
		<table><tr><td>σ</td><td>1-2</td><td>3</td><td></td></tr><tr><td>a</td><td>0,1</td><td>0,15</td><td></td></tr><tr><td>b</td><td>2σ±0,2</td><td>2σ±0,3</td><td></td></tr></table>				σ	1-2	3		a	0,1	0,15		b	2σ±0,2	2σ±0,3																																					
σ	1-2	3																																																			
a	0,1	0,15																																																			
b	2σ±0,2	2σ±0,3																																																			
		<table><tr><td>σ</td><td>a</td><td>b</td><td>h</td></tr><tr><td>3-3,5</td><td>1</td><td>8±4</td><td>0-2</td></tr><tr><td>4-4,5</td><td>1,5</td><td></td><td></td></tr><tr><td>5-5,5</td><td></td><td></td><td></td></tr><tr><td>6</td><td>2</td><td>9±4</td><td>0-3</td></tr><tr><td>7</td><td></td><td></td><td></td></tr><tr><td>8</td><td></td><td></td><td></td></tr><tr><td>1</td><td>0,5</td><td>5±2</td><td>0-1,5</td></tr><tr><td>2</td><td>1</td><td>6±2</td><td></td></tr><tr><td>2,5</td><td>1</td><td>9±2</td><td></td></tr><tr><td>3-3,5</td><td></td><td></td><td></td></tr><tr><td>5-6</td><td>2</td><td></td><td></td></tr></table>				σ	a	b	h	3-3,5	1	8±4	0-2	4-4,5	1,5			5-5,5				6	2	9±4	0-3	7				8				1	0,5	5±2	0-1,5	2	1	6±2		2,5	1	9±2		3-3,5				5-6	2		
σ	a	b	h																																																		
3-3,5	1	8±4	0-2																																																		
4-4,5	1,5																																																				
5-5,5																																																					
6	2	9±4	0-3																																																		
7																																																					
8																																																					
1	0,5	5±2	0-1,5																																																		
2	1	6±2																																																			
2,5	1	9±2																																																			
3-3,5																																																					
5-6	2																																																				
		<table><tr><td>σ</td><td>b</td><td>h</td><td></td></tr><tr><td>3-7</td><td>σ±1,2</td><td>0-3</td><td>1±1</td></tr><tr><td>8-11</td><td>σ±1,4</td><td></td><td></td></tr><tr><td>12-17</td><td>σ±1,6</td><td>0-4</td><td>2±1</td></tr><tr><td>18-26</td><td>σ±1,9</td><td></td><td></td></tr></table>				σ	b	h		3-7	σ±1,2	0-3	1±1	8-11	σ±1,4			12-17	σ±1,6	0-4	2±1	18-26	σ±1,9																														
σ	b	h																																																			
3-7	σ±1,2	0-3	1±1																																																		
8-11	σ±1,4																																																				
12-17	σ±1,6	0-4	2±1																																																		
18-26	σ±1,9																																																				
	<																																																				

**Regimul de sudare electrică manuală.** La sudarea manuală principalii parametri ai regimului de sudare sînt: curentul de sudare, tensiunea arcului electric, viteza de sudare și diametrul electrodului. Diametrul electrodului se alege în funcție de grosimea pieselor de sudat, cu relația:

$$d_e = 1,5 \sqrt{s} \text{ [mm]}, \quad (10.14)$$

în care  $s$  este grosimea, mm. În funcție de diametrul electrodului se stabilește curentul de sudare  $I_s = (20 + 5d_e)d_e$ , sau  $I_s = kd_e$ , unde  $k = 35-45$ . La executarea sudurilor

în poziții dificile se ia un curent de sudare mai mic cu 10-15% față de curentul pentru poziții orizontale.

Regimul de sudare are influență asupra calității și formei cusăturii sudate după cum urmează: curentul de sudare trebuie să asigure o penetrație de cel puțin 2 mm, pentru ca cusătura sudată să fie bine formată și să prezinte rezistență mecanică corespunzătoare, tensiunea arcului are

o influență asupra lățimii cusăturii și creează o supraînălțare dacă e mai mare decât cea necesară menținerii arcului electric. Viteza de sudare influențează forma geometrică a cusăturii și penetrația. Odată cu creșterea vitezei scade secțiunea sudurii. În fig. 10.26 este prezentată influența curentului și a tensiunii asupra cusăturii sudate. Astfel, pentru  $I_1 < I_2$  și  $U_1 = U_2$ , rezultă  $H_2 > H_1$  iar pentru  $U_3 < U_4$  și  $I_3 = I_4$ , rezultă  $B_3 < B_4$  și  $h_3 < h_4$ .

### 10.5.2. SUDAREA AUTOMATĂ ȘI SEMIAUTOMATĂ SUB FLUX

**10.5.2.1. PRINCIPIUL PROCEDURELUI.** La sudarea electrică sub strat de flux, arcul arde între capătul electrodului și piesă sub un strat de substanță granulatată numită flux. În fig. 10.27 este reprezentat schematic procedeul de sudare sub strat de flux.

Sirma de sudare 1, este debitată de bobina 2, în zona arcului, prin capul de sudare 3. Din buncărul 5, prin țeava 4, se depune pe piesă fluxul 8. Fluxul nepotit la sudare se aspiră pneumatic înapoi în buncăr prin conducta 6. Fluxul topit formează prin solidificare pe cusătură o crustă groasă de zgură, 7. Fluxul se depune pe piesă în spațiul format de gazele și vaporii formați neîncetat datorită arcului electric.

Densitatea fluxului este circa  $1,5 \text{ kg/cm}^3$  și creează o presiune statică asupra metalului lichid de  $700-900 \text{ N/m}^2$ , suficientă pentru a înlătura acțiunile mecanice dăunătoare ale arcului asupra băii de metal topit, prin formarea de stropi sau formarea unei cusături nesatisfăcătoare, chiar și la intensități de curent mari.

**10.5.2.2. INSTALAȚII PENTRU SUDAREA AUTOMATĂ SUB FLUX.** O instalație pentru sudarea automată sub flux se compune în general din următoarele părți: sursa de alimentare cu curent a arcului electric (transformatorul sau generatorul pentru

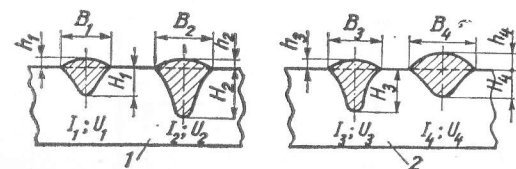


Fig. 10.26. Influența  $U, I$  asupra forme cusăturii sudate:

1 - influența curentului; 2 - influența tensiunii

sudare) capul sau tractorul de sudare, care poartă suportul pentru bobina de sirmă și buncărul pentru flux precum și diferite accesorii.

**Capul de sudare fix (suspendat).** În cazul capului de sudare suspendat mișcarea relativă dintre cap și piesa de sudat se obține prin deplasarea piesei. În fig. 10.28 este reprezentat un cap de sudare destinat sudării pieselor cu grosime până la 20 mm, efectuându-se suduri cap la cap, prin suprapunere și în T.

Capul de sudare este dotat cu un mecanism pentru avansul sîrmei a cărui schemă cinematică este prezentată în fig. 10.29. Capul de sudare poate fi montat la o instalație cu sau fără tablou de comandă.

**Capul de sudare autopropulsat.** Acesta este un cap de sudare combinat cu un mecanism de deplasare pe o cale de rulare, asigurându-se pe lângă avansul sîrmei și deplasarea de-a lungul axei rostului de sudare. Capul de sudare autopropulsat de tip SAG este dotat cu un singur motor de antrenare conform schemei cinematice din fig. 10.30. În fig. 10.31 este prezentată vederea generală a capului de

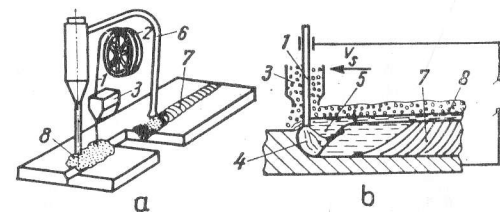


Fig. 10.27. Schema procesului de sudare automată sub flux (a) și secțiune longitudinală prin zona sudurii (b)

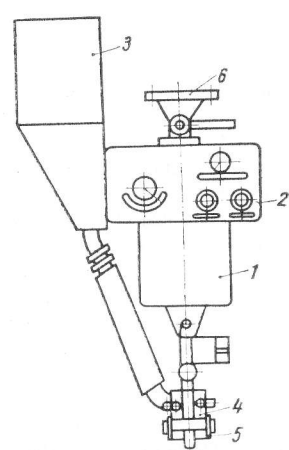


Fig. 10.28. Cap de sudură fix:

1 - corp; 2 - tablou de comandă; 3 - buncăr pentru flux; 4 - piese de contact; 5 - role de direcție; 6 - suport

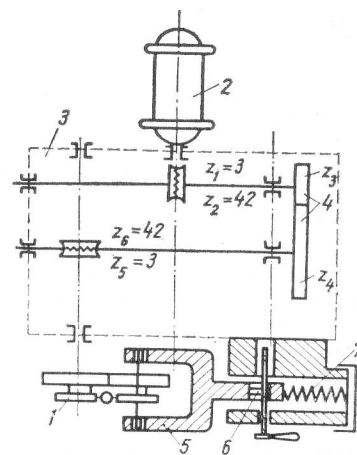


Fig. 10.29. Schema cinematică a capului de sudare fix:

1 - role; 2 - motor; 3 - angrenaje melcate; 4 - roți de schimb; 5 - piesă; 6 - excentric; 7 - arc



sudare autotimpulsat unde s-a notat cu 1 mecanismul de avans al sirmii, 2 piesa de contact, 3 buncărul pentru flux, 4 suportul pentru sirmă, 5 mecanismul de deplasare a capului de sudare.

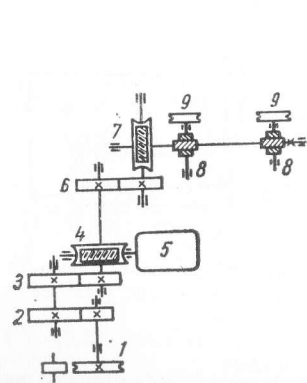


Fig. 10.30. Schema cinematică a capului de sudare autotimpulsat:

1 — role; 2, 3 — roți; 4 — angrenaj melcat; 5 — motor; 6 — roți; 7 — angrenaj melcat; 8 — dispozitiv de antrenare; 9 — role

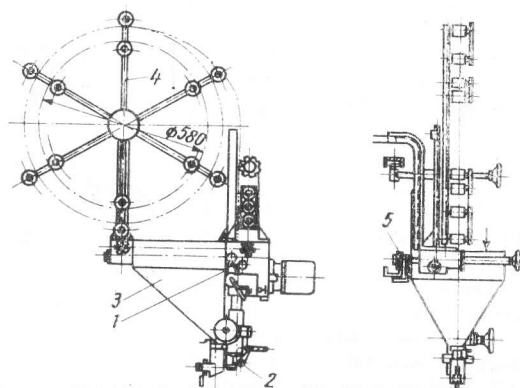


Fig. 10.31. Cap de sudare autotimpulsat

**Tractorul de sudare** (fig. 10.32). Servește pentru sudarea automată asigurând avansul mecanizat al sirmii cit și deplasarea capului de sudare direct pe piesele de sudat, de-a lungul rostului de sudare.

Acest tractor este universal, întrucât are posibilitatea de a executa automat suduri de orice tip. Schema cinematică a tractorului este prezentată în fig. 10.33.

Alimentarea tractorului se face conform schemei din fig. 10.34. La punerea instalației în funcțiune se închide întrerupătorul principal  $IP$  și se observă becul de control aprins. Se apasă apoi butonul  $B_1$  și bobina releului  $CP$  primește tensiune și închide contactele printre care și contactul de automenținere  $CP_1$ . Prin închiderea contactului  $CP_2$  bobina contactorului  $CT$  este alimentată și se închid contactele  $CT_1$  și  $CT_2$ . O dată cu închiderea contactorului  $CT_2$ , transformatorul de sudare este alimentat de la rețea. Alimentarea motorului  $M_B$  se face prin închiderea contactorului  $CT_1$ . Înainte de începerea procesului de sudare sarma este adusă în contact cu piesa. Pentru amorsarea arcului electric se apasă butonul  $B_1$  circa 1 secundă și motorul  $M_B$  se rotește astfel încât sarma se ridică de la piesă permițându-se aprinderea arcului. După eliberarea  $B_1$  motorul schimbă sensul de rotație, antrenând sarma spre piesă și căruciorul în direcția de sudare, iar procesul de sudare se desfășoară normal. La oprirea procesului de sudare se apasă butonul  $B_3$  care deconectează alimentarea releului  $CP$  și o dată cu aceasta și a contorului principal  $CT$ . Totodată și sarma este ridicată de la piesă și arcul se stinge.

**10.5.2.3. INSTALAȚIE PENTRU SUDAREA SEMIAUTOMATĂ SUB STRAT DE FLUX.** Instalațiile semiautomate se folosesc în special la executarea sudurilor mai scurte sau în locuri greu accesibile. La aceste instalații este mecanizată numai deplasarea sirmii, capul de sudare fiind purtat manual de-a lungul cusăturii. Schema instalației

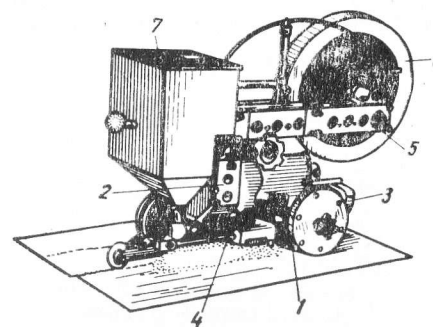


Fig. 10.32. Tractorul de sudare AST2:

1 — motor; 2 — sirmă cu mecanism de avans; 3 — tractor; 4 — piesă de contact; 5 — pupitrul de comandă; 6 — suport pentru sirmă; 7 — buncăr pentru flux

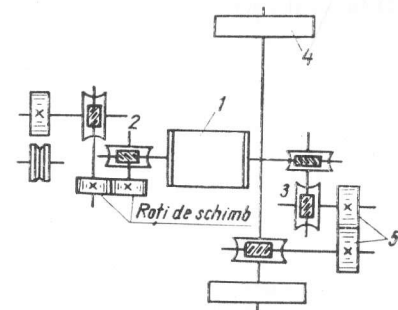


Fig. 10.33. Schema cinematică a tractorului de sudare AST2:

1 — motor; 2 — angrenajele pentru avansul sirmii; 3 — angrenajele pentru deplasarea tractorului; 4 — roțile tractorului; 5 — roți de schimb

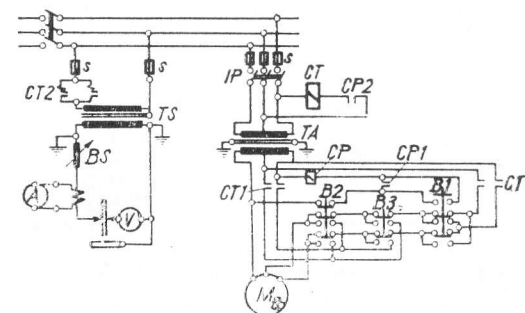


Fig. 10.34. Schema electrică a tractorului AST2

de sudare semiautomată este prezentată în fig. 10.35, a. Schema electrică de comandă a deplasării sirmii electrod este asemănătoare instalației pentru sudare automată. Capul de sudare este prezentat în fig. 10.35, b. Comanda avansului sirmii se face de la întrerupătorul 6 așezat pe minerul capului de sudare.

**10.5.2.4. PARAMETRII REGIMULUI DE SUDARE AUTOMATĂ SUB FLUX ȘI INFLUENȚA LOR ASUPRA CUSĂTURII SUDATE.** Regimul de sudare influențează și determină atât forma cusăturii sudate, cât și compoziția și însușirile ei mecanice.



sudare autotopulsat unde s-a notat cu 1 mecanismul de avans al sîrmei, 2 piesa de contact, 3 buncărul pentru flux, 4 suportul pentru sîrmă, 5 mecanismul de deplasare a capului de sudare.

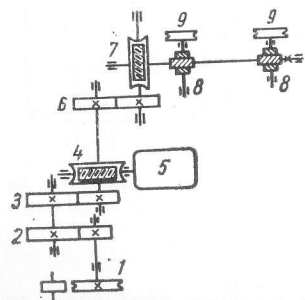


Fig. 10.30. Schema cinematică a capului de sudare autotopulsat:

1 — role; 2, 3 — roți; 4 — angrenaj melcat; 5 — motor; 6 — roți; 7 — angrenaj melcat; 8 — dispozitiv de antrenare; 9 — role

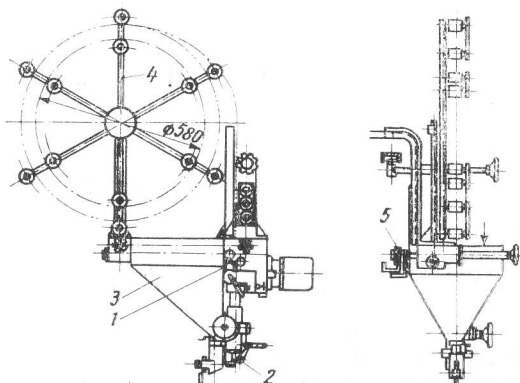


Fig. 10.31. Cap de sudare autotopulsat

**Tractorul de sudare** (fig. 10.32). Servește pentru sudarea automată asigurînd avansul mecanizat al sîrmei cît și deplasarea capului de sudare direct pe piesele de sudat, de-a lungul rostului de sudare.

Acest tractor este universal, întrucît are posibilitatea de a executa automat suduri de orice tip. Schema cinematică a tractorului este prezentată în fig. 10.33.

Alimentarea tractorului se face conform schemei din fig. 10.34. La punerea instalației în funcțiune se închide întrerupătorul principal  $IP$  și se observă becul de control aprins. Se apasă apoi butonul  $B_1$  și bobina releului  $CP$  primește tensiune și închide contactele printre care și contactul de automenținere  $CP_1$ . Prin închiderea contactului  $CP_2$  bobina contactorului  $CT$  este alimentată și se închid contactele  $CT_1$  și  $CT_2$ . O dată cu închiderea contactorului  $CT_2$ , transformatorul de sudare este alimentat de la rețea. Alimentarea motorului  $M_B$  se face prin închiderea contactorului  $CT_1$ . Înainte de începerea procesului de sudare sîrma este adusă în contact cu piesa. Pentru amorsarea arcului electric se apasă butonul  $B_1$  circa 1 secundă și motorul  $M_B$  se rotește astfel încît sîrma se ridică de la piesă permițîndu-se aprinderea arcului. După eliberarea  $B_1$  motorul schimbă sensul de rotație, antrenînd sîrma spre piesă și căruciorul în direcția de sudare, iar procesul de sudare se desfășoară normal. La oprirea procesului de sudare se apasă butonul  $B_3$  care deconectează alimentarea releului  $CP$  și o dată cu aceasta și a contactorului principal  $CT$ . Totodată și sîrma este ridicată de la piesă și arcul se stinge.

**10.5.2.3. INSTALAȚIE PENTRU SUDAREA SEMIAUTOMATĂ SUB STRAT DE FLUX.** Instalațiile semiautomate se folosesc în special la executarea sudurilor mai scurte sau în locuri greu accesibile. La aceste instalații este mecanizată numai deplasarea sîrmei, capul de sudare fiind purtat manual de-a lungul cusăturii. Schema instalației

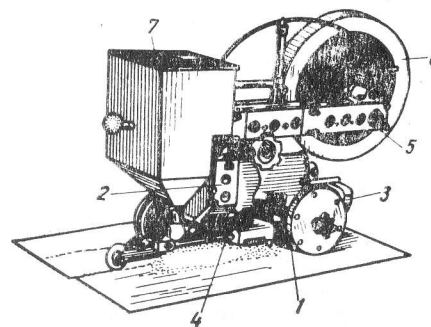


Fig. 10.32. Tractorul de sudare AST2:

1 — motor; 2 — sîrmă cu mecanism de avans; 3 — tractor; 4 — piesă de contact; 5 — pupitrul de comandă; 6 — suport pentru sîrmă; 7 — buncăr pentru flux

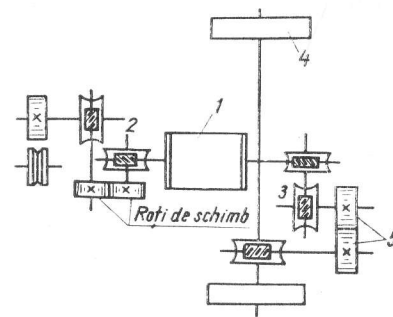


Fig. 10.33. Schema cinematică a tractorului de sudare AST2:

1 — motor; 2 — angrenajele pentru avansul sîrmei; 3 — angrenajele pentru deplasarea tractorului; 4 — roțile tractorului; 5 — roți de schimb

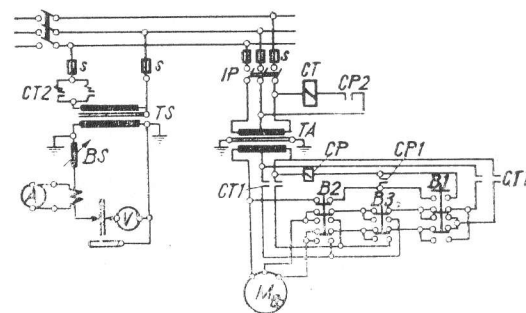


Fig. 10.34. Schema electrică a tractorului AST2

de sudare semiautomată este prezentată în fig. 10.35, a. Schema electrică de comandă a deplasării sîrmei electrod este asemănătoare instalației pentru sudare automată. Capul de sudare este prezentat în fig. 10.35, b. Comanda avansului sîrmei se face de la întrerupătorul 6 așezat pe minierul capului de sudare.

**10.5.2.4. PARAMETRII REGIMULUI DE SUDARE AUTOMATĂ SUB FLUX ȘI INFLUENȚA LOR ASUPRA CUSĂTURII SUDATE.** Regimul de sudare influențează și determină atît forma cusăturii sudate, cît și compoziția și însușirile ei mecanice.

La sudarea automată sub flux prezintă interes următorii parametri: curentul de sudare, tensiunea arcului electric, viteza de sudare, viteza de avans a sîrmei electrod, diametrul sîrmei electrod, lungimea liberă a sîrmei electrod, unghiul de înclinare al sîrmei electrod față de verticală, forma și deschiderea rostului de sudare și fluxul de sudare (compoziția și granulația sa).

Curentul de sudare determină în cea mai mare măsură cantitatea de căldură dezvoltată în arcul electric. Odată cu creșterea curentului de sudare, crește pătrunderea cusăturii

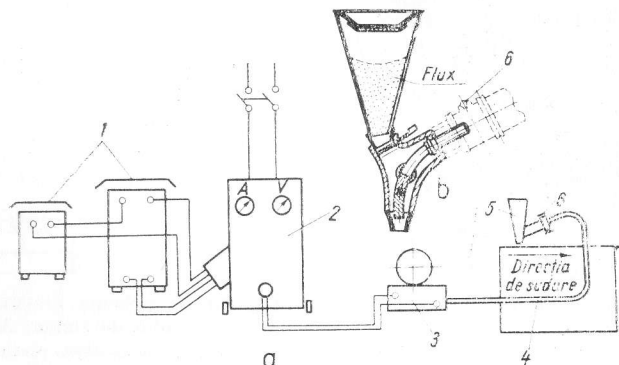


Fig. 10.35. Schema instalației pentru sudarea semiautomată sub flux:

1 — Sursă de alimentare a arcului electric; 2 — cutie cu aparate de comandă; 3 — dispozitivul de antrenare a sîrmei; 4 — cablu flexibil; 5 — capul de sudare

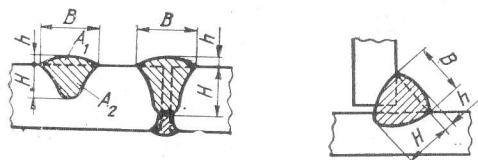


Fig. 10.36. Elementele geometrice ale cusăturii sudate

turii  $H$  în metalul de bază. În fig. 10.36 sînt notate elemente geometrice ale cusăturilor sudate.

Participarea metalului de bază la formarea cusăturilor se apreciază prin raportul:

$$k_b = \frac{A_2}{A} \cdot 100 \quad (10.15)$$

și aceasta crește cu creșterea curentului de sudare după cum se observă în graficul din fig. 10.37. Nu se recomandă însă să se sudeze cu curent prea mare, deoarece crește

zona influențată termic, se formează la margine mici canale, care constituie creștături și locuri de concentrare a eforturilor.

Tensiunea arcului, are o influență mai ales asupra lățimii cusăturii  $B$ . Odată cu creșterea tensiunii arcului scade însă penetrația și supraînălțarea (fig. 10.38). Sudarea

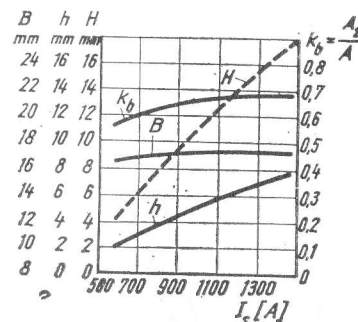


Fig. 10.37. Influența curentului asupra geometriei cusăturii

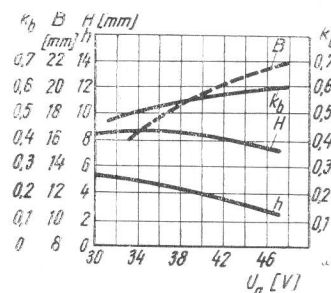


Fig. 10.38. Influența tensiunii asupra geometriei cusăturii

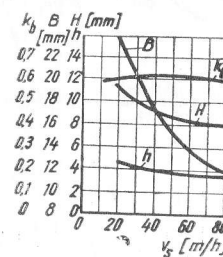


Fig. 10.39. Influența vitezei de sudare asupra geometriei cusăturii

cu tensiune prea mare nu se recomandă din cauză că poate duce la defecte de nepătrundere în cusătură.

Viteza de sudare, are influență asupra întregii geometrii a cusăturii sudate și mai ales asupra lățimii cusăturii și penetrației (fig. 10.39). Prin creșterea vitezei de sudare crește și viteza de răcire. În consecință dacă se mărește viteza de sudare, pentru sporirea productivității, trebuie mărită în mod corespunzător și cantitatea de căldură a arcului electric, în așa fel ca energia liniară să rămână aceeași:

$$\frac{P_1}{v_{s1}} = \frac{P_2}{v_{s2}} = \text{const}; P[\text{W}]; v \left[ \frac{\text{cm}}{\text{s}} \right] \quad (10.16)$$

Diametrul sîrmei electrod influențează lățimea cusăturii, care crește odată cu creșterea diametrului.

Lungimea liberă a sîrmei electrod are o influență mai mare asupra coeficientului de topire  $\alpha_T$  care crește cu mărirea lungimii libere.

Forma și deschiderea rostului de sudare are o influență mare asupra penetrației și suprainălțării. De aceea unghiul de teșire a marginilor pieselor și distanța între piese trebuie alese corect pentru a se realiza o pătrundere mai mare de 2 mm, aleasă ca minimă. Ceilalți parametri ai regimului de sudare au influențe mai mici și nu pot împiedica desfășurarea normală a procesului de sudare.

**10.5.2.5. STABILIREA REGIMULUI OPTIM DE SUDARE AUTOMATĂ SUB FLUX.** Pentru ca procesul de sudare sub flux să se desfășoare în condiții bune, trebuie

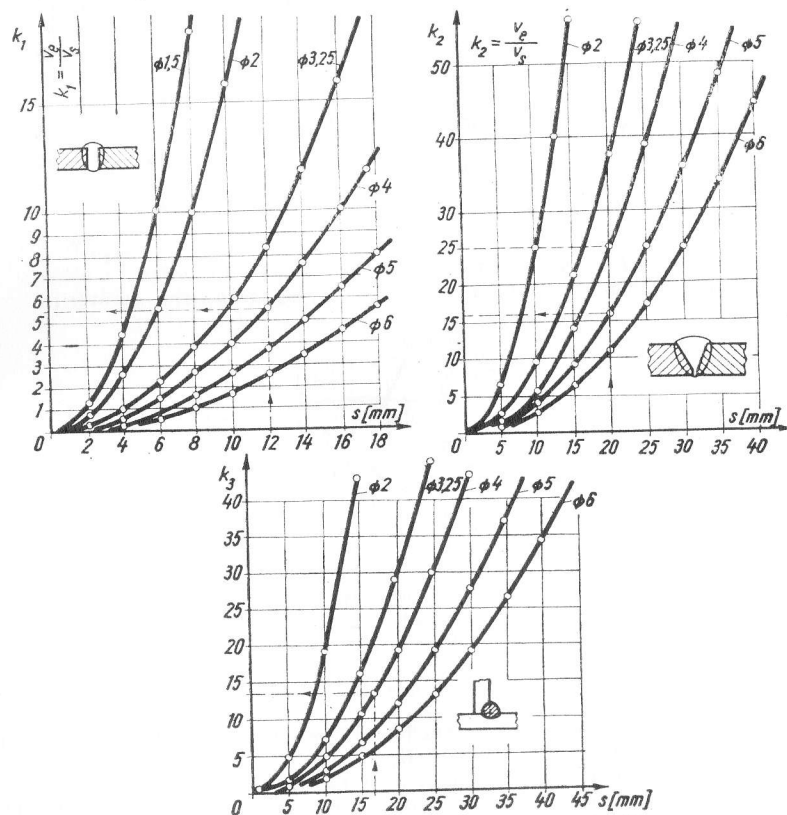


Fig. 10.40. Grafice pentru determinarea raportului  $k = \frac{v_e}{v_s}$  pentru diferite îmbinări.

îndeplinite anumite corelații cel puțin între principalii parametri ai săi, ca: grosimea piesei care se sudează, curentul de sudare, viteza de avans a sirmei electrod și forma îmbinării sudate caracterizată prin volumul metalului topit pentru re-

alizarea cusăturii. Cu ajutorul graficelor din fig. 10.40 se poate determina raportul  $K = v_e/v_s$  în funcție de  $s$  și  $d_e$  pentru diferite îmbinări. Dependent de grosimea pieselor și diametrul electrodului este și curentul de sudare care se poate determina cu ajutorul graficului din fig. 10.41.

**10.5.2.6. DETALII DE EXECUȚIE A ÎMBINĂRILOR SUDATE SUB FLUX.** În vederea sudării, marginile pieselor se curăță bine de rugină și impurități apoi se prind provizoriu, lăsându-se rostul necesar formării cusăturii sudate. Când se sudează pe o singură parte, trebuie luate măsuri pentru formarea corectă a rădăcinii sudurii. Uneori

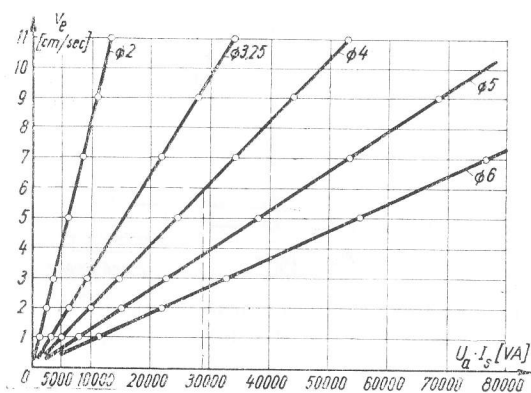


Fig. 10.41. Grafic pentru determinarea curentului de sudare

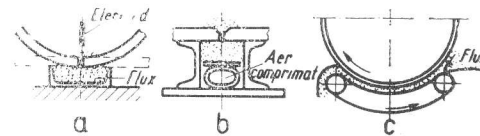


Fig. 10.42. Sprijinirea rădăcinii sudurii cu pernă de flux

se obișnuiește executarea inițială a sudurii de rădăcină manual. Alteleori, la construcții importante, după sudare se îndepărtează sudura de la rădăcină și se resudează (cazane).

O metodă economică și suficient de bună este executarea sudurilor cu sprijinirea rădăcinii. Sprijinirea rădăcinii pentru a se forma corect și fără scurgeri de metal, se poate face în trei moduri: cu pernă de flux, cu placă de cupru (în special la table subțiri) și cu placă de oțel. Perna de flux este susținută de profile U (fig. 10.42, a), dispozitive speciale cu aer comprimat (fig. 10.42, b), sau benzi rulante (fig. 10.42, c).

În cazul pieselor cu grosime mai mică formarea corectă a rădăcinii sudurii se face cu ajutorul unor plăci de cupru (fig. 10.43). Placa de cupru are și rolul de a repartiza uniform căldura la rădăcina sudurii și înlătură arderea metalului.

La sudarea țevelor în capete, dacă placa de la rădăcina sudurii poate rămâne în construcție, aceasta este din oțel (fig. 10.44).

### 10.5.3. SUDAREA ÎN MEDIU DE GAZE PROTECTOARE

**10.5.3.1. SUDAREA CU HIDROGEN ATOMIC.** Instalația pentru sudare. Sudarea în hidrogen atomic se face de obicei în curent alternativ, iar amorsarea arcului necesită o tensiune mare, circa 300 V, care după aprinderea arcului scade la circa 100 V. În schimb curentul de sudare nu este mai mare de 100 A, din cauza electrozilor de wolfram, care

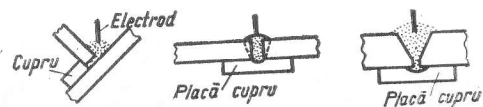


Fig. 10.43. Sprijinirea rădăcinii sudurii cu placă de cupru

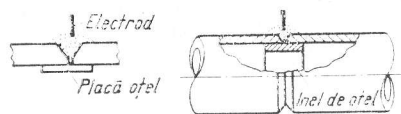


Fig. 10.44. Sprijinirea rădăcinii sudurii cu placă de oțel

sînt de diametru relativ mic. Tensiunea la mersul în gol, 300 V, este periculoasă și din acest motiv instalațiile sînt astfel construite încît la mersul în gol electrozii să nu fie sub tensiune. Schema instalației de sudare în hidrogen atomic este prezentată în fig. 10.45. Instalația este alcătuită din: transformatorul de sudare  $Ts$ , bobina de reactanță  $Br$ , butelia de hidrogen, ventil electro-magnetic pentru hidrogen și port electrod. Transformatorul dă un curent de 15–100 A la o tensiune de 50–100 V. Tensiunea la mers în gol, 300 V, este asigurată de înfășurarea auxiliară  $W_2$ . Înfășurarea auxiliară  $W_2$  dă o tensiune de 40 V necesară alimentării circuitelor de comandă a instalației. Reglarea curentului de sudare se face prin variația reactanței bobinei  $Br$ .

**Tehnologia sudării.** Arcul electric care se formează între doi electrozi de wolfram arde într-o atmosferă de hidrogen (fig. 10.46). Sub acțiunea temperaturii ridicate a arcu-

lui electric, de peste 4000°C în zona 1 se produce disocierea hidrogenului, în proporție de 72% după reacția endotermă:

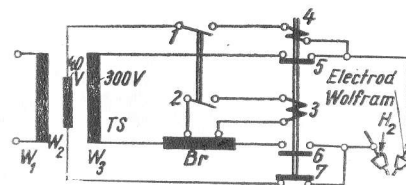
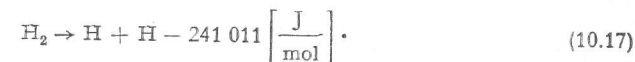


Fig. 10.45. Schema instalației de sudat în hidrogen:

1, 2 – contacte; 3, 4 – bobină; 5, 6 – contacte; 7 – contacte de deschidere și închidere

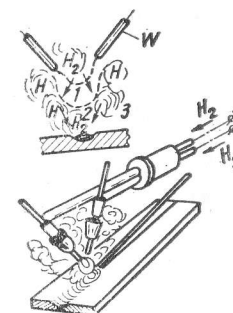
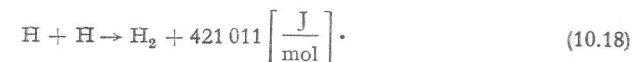


Fig. 10.46. Schema procesului de sudare în hidrogen

În zona 2 la suprafața metalului de sudat se produce recombinarea hidrogenului:



și cedează căldura absorbită din arc metalului care se topește. În zona 3 ce înconjoară zona 2, arde hidrogen nedisociat sau recombinat și protejează baia topită împotriva acțiunii aerului. Afară de acțiunea de încălzire și protejare, hidrogenul mai are și rolul de reducător al oxizilor în baia topită. De aceea sudurile executate cu hidrogen atomic sînt omogene, dacă se respectă parametrii regimului optim de sudare.

La acest procedeu principalii parametri de sudare sînt: curentul de sudare sau densitatea de curent (10–12 A/mm<sup>2</sup>); tensiunea arcului care este 100 V; diametrul electrodului și presiunea hidrogenului care este 0,4–0,8 at sau 15–30 l/min. Pentru o piesă cu grosimea de 5 mm se ia  $\Phi_{el} = 3$  mm, curentul 45 A, presiunea hidrogenului 0,5 at și consumul de  $H_2$  1 500 l/h.

Sudarea cu hidrogen atomic se aplică la sudarea unor metale și aliaje speciale și la oțelurile cu mult carbon sau aliate. Deseori se folosește și la reparația unor piese sau organe de mașini uzate.

**10.5.3.2. SUDAREA ÎN MEDIU DE ARGON.** Schema unei instalații de sudat în mediu de argon este reprezentată în fig. 10.47. Această instalație se compune din: transformatorul de sudare  $TrS$  cu tensiunea secundară de 120 V, bobina de reactanță separată  $Br$ , bateria de condensatori  $C$  și ionizatorul format din transformatorul ridicător de tensiune  $T_{r1}$  și descărcătorul  $P$  cu doi electrozi de wolfram.

Tensiunea înaltă de la secundarul transformatorului  $Tr1$  încarcă într-o alternanță condensatoarele  $C_1$  și  $C_2$  pînă la tensiunea de străpungere pentru spațiul dintre electrozii descărcătorului  $P$ . Prin străpungerea acestui spațiu se formează un circuit oscilant  $L_1$ ,  $C_1$ ,  $C_2$  și  $P$  inducînd în bobina  $L_2$  o tensiune înaltă de frecvență mare. Această tensiune este aplicată bornelor  $B$  și  $F$  iar de aci postului de sudare. Circuitul de sudare este legat inductiv cu circuitul oscilant, ceea ce face ca funcționarea oscilatorului să nu fie periculoasă. Curentul de înaltă frecvență se închide prin următorul circuit: bobina  $L_2$ ,

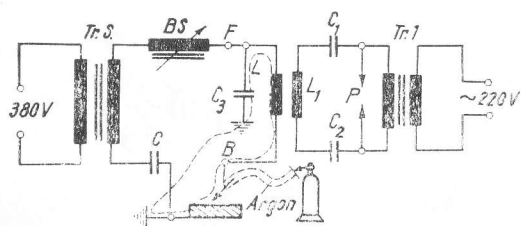


Fig. 10.47. Schema instalației pentru sudare în argon

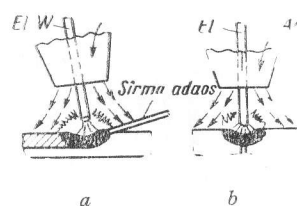


Fig. 10.48. Schema procesului de sudare în argon:  
a — WIG; b — MIG

condensatorul  $C_3$ , pămînt, electrod, borna  $B$  și din nou bobina  $L_2$ . Rolul condensatorului  $C_3$  este de a permite curentului de înaltă frecvență să ajungă la masă, deoarece prin  $B_r$  și secundarul transformatorului de sudare nu poate trece, impedanța acestui circuit fiind mare. Frecvența de oscilație variază de la 0,8—3 MHz, iar tensiunea de la 1 000—5 000 V. Caracteristica transformatorului  $Tr1$  trebuie să fie coboritoare, pentru a rezista scurtcircuitărilor. Sudarea în mediu de argon se face și cu instalații de curent continuu la care problema stabilității arcului nu se pune atît de accentuat ca la sudarea în curent alternativ.

Acest procedeu de sudare se folosește mai mult la sudarea metalelor și aliajelor neferoase, care se sudează greu cu alte procedee cum sînt: alumiul și aliajele lui, cuprul și aliajele lui. La sudarea alumiului acest procedeu de sudare dă rezultate foarte bune. Alumiul are de obicei la suprafață o peliculă de oxid  $Al_2O_3$  care se topește la o temperatură mai mare ca metalul. Acest oxid de aluminiu se îndepărtează de argonul disociat în arc electric în procesul de sudare. Deci argonul are rolul de a îndepărta pelicula de oxid de aluminiu și de a proteja baia topită a sudurii de aerul înconjurător (fig. 10.48).

Se cunosc două metode de sudare în mediu de argon sudarea cu electrod nefuzibil, de wolfram denumit pe scurt WIG și sudarea cu electrod fuzibil, de compoziție chimică identică cu metalul de bază denumit pe scurt MIG. La sudarea cu electrod de wolfram caracteristica exterioară a sursei de alimentare este coboritoare, iar la sudarea cu electrod fuzibil poate fi rigidă. Sudarea se poate face în curent continuu sau alternativ în funcție de metalul care se sudează. Argonul folosit la sudare trebuie să fie pur pentru a obține

suduri de bună calitate. La sudare se folosesc electrozi de wolfram cu diametrul 2—6 mm sau electrozi fuzibili cu diametrul 1,5—3 mm.

Parametrii regimului de sudare sînt: curentul de sudare, sau densitatea de curent, care pentru electrozi de wolfram este 15—20 A/mm<sup>2</sup> iar pentru electrod fuzibil 50—60 A/mm<sup>2</sup>; tensiunea arcului circa 50 V, presiunea argonului este 0,2—0,4 at, sau 5—20 l/min și viteza de sudare, care se aleg în funcție de grosimea piesei.

Tehnologia sudării în argon este asemănătoare cu aceea a sudării cu arc electric obișnuit. Dacă piesele au o grosime mai mare de 8 mm, se recomandă o preîncălzire la temperatura de 150—200°C. Pentru sudarea unor piese de aluminiu cu grosimea de 5 mm se folosește următorul regim: diametrul electrodului de wolfram este 4 mm, curentul de sudare 180 A, iar debitul argonului 6—8 l/min.

10.5.3.3. SUDAREA ÎN MEDIU DE BIXID DE CARBON. Sudarea în mediu de bixid de carbon se face semiautomat și automat. Stabilitatea arcului se asigură mai bine dacă sursa de alimentare a arcului este de curent continuu și are caracteristica externă rigidă. Tensiunea de mers în gol a sursei de circa 60 V este suficientă pentru amorarea arcului, tensiunea arcului fiind circa 30 V. Curentul de sudare nu depășește 400 A, deoarece se sudează cu sirme electrod subțiri 0,8—2 mm.

Instalația pentru sudare în bixid de carbon este prezentată în fig. 10.49.

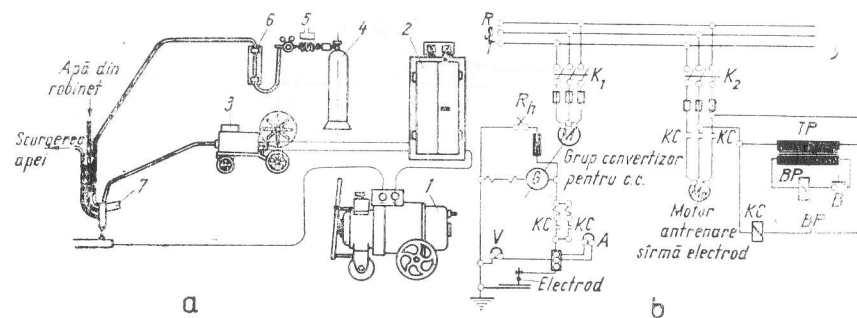


Fig. 10.49. Schema instalației de sudat în bixid de carbon:

1 — generator de curent continuu; 2 — cutia de comandă; 3 — dispozitivul de antrenare; 4 — butelia;  
5 — dispozitiv; 6 — debitmetru; 7 — pistolul

În schema electrică a instalației (fig. 10.49, b) motorul pentru antrenarea sirmei electrod este comandat de la butonul  $B$ . Prin închiderea contactului  $BP$  este alimentată bobina contactorului  $KC$  care închide contactele de la alimentarea motorului de antrenare a sirmei electrod precum și circuitul de sudare. Astfel, cînd electrodul nu este antrenat, nici circuitul de sudare nu este sub tensiune, ca măsură de protecție. Grupul convertizor de c.c. este alimentat de la rețea prin întrerupătorul  $k_1$ , iar dispozitivul de antrenare a sirmei și cutia de comandă sînt alimentate prin întrerupătorul  $k_2$ .

Sudarea în bixid de carbon, se folosește în general la sudarea oțelurilor de construcție. Bixidul de carbon în anumite condiții de presiune și temperatură este un gaz protector. Față de sudarea cu electrozi înveliți sau sudarea sub flux, prin sudarea în  $CO_2$  se simplifică procesul de sudare. Zgura care se formează la sudarea în  $CO_2$  este o cantitate neglijabilă și nu influențează chimic metalul sudurii, ci doar îl protejează împotriva aerului înconjurător.





ușor de aplicat și productiv. Productivitatea este de 3—5 ori mai mare decât la sudarea cu electrod învelit. Un avantaj la fel de important este acela că se pot suda piese puțin ruginite, deoarece procedeul de sudare în  $\text{CO}_2$  nu este sensibil la rugină. Sudarea în

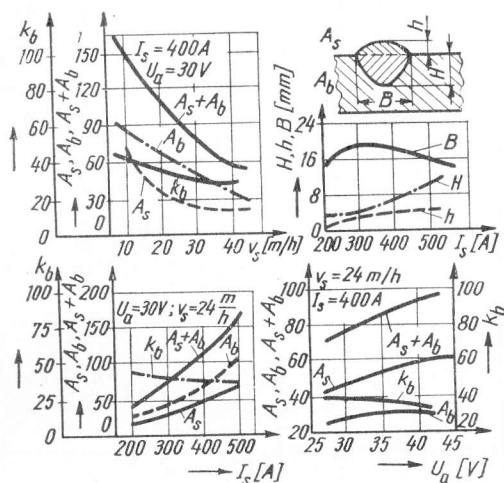


Fig. 10.51. Influența regimului de sudare asupra geometriei cusăturii sudate

mediu de  $\text{CO}_2$  poate înlocui în anumite cazuri sudarea sub flux, deoarece se poate suda în condiții bune și în poziții dificile (vertical și de plafon) unde sudarea sub flux nu se poate aplica.

#### 10.5.4. SUDAREA ELECTRICĂ ÎN BAIE DE ZGURĂ TOPITĂ

10.5.4.1. FENOMENE FIZICE ȘI METALURGICE. Metoda de sudare bazată pe degajarea căldurii, la trecerea curentului electric prin zgura topită transformând energia electrică în calorică conform relației

$$Q = RI^2t [J] \quad (10.21)$$

a căpătat denumirea de sudare electrică în baie de zgură topită, sau simplu, sudarea în baie de zgură. Schema procesului de sudare în baie de zgură este dată în fig. 10.52.

Desfășurarea favorabilă a procesului de sudare este condiționată de următorii factori: compoziția chimică a zgurei și gradul ei de conductibilitate electrică în funcție de temperatura, lungimea electrodului ce intră în zgură, adâncimea băii de zgură, caracteristica externă a sursei de alimentare cu energie electrică, care e bine să fie puțin coboritoare sau chiar rigidă.

Preîntîmpinarea formării arcului electric la suprafață, sau în baie de zgură, se realizează prin folosirea la sudare a curentului alternativ cu tensiune mică, prin folosirea fluxurilor cu proprietăți de ionizare scăzute și o baie de zgură adîncă.

10.5.4.2. UTILAJE PENTRU SUDARE. Sudarea în baie de zgură topită se face cu instalații specifice și au o formă dependentă de piesa care se sudează. Utilajele acestea au în general în componența lor sursa de alimentare cu energie electrică, dispozitive de antrenare a sîrmei în baie de sudură, de deplasare transversală a electrozilor în cazul pieselor mai groase și pentru deplasarea glisierelor (patinelor) de cupru.

Deplasarea patinelor de cupru trebuie să se facă în funcție de viteza de umplere a rostului dintre piese, adică de nivelul băii metalice. Pentru aceasta s-au construit diferite

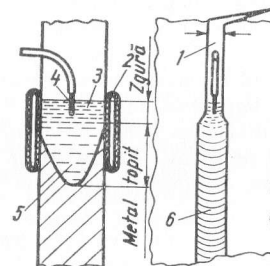


Fig. 10.52. Schema procesului de sudare în baie de zgură:  
1 — piese de sudat; 2 — dispozitiv de cupru; 3 — baie de zgură topită; 4 — electrod; 5 — baie metalică; 6 — cusătură sudată

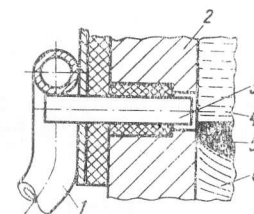


Fig. 10.53. Sondă electrică pentru nivelul băii de zgură topită:  
1 — racordul sondei; 2 — piesa de sudat; 3 — sonda; 4 — baie de zgură; 5 — baie metalică; 6 — sudura.

dispozitive dintre care cel mai sigur este dispozitivul cu sondă electrică pentru măsurarea nivelului băii. Sonda din cupru poate fi așezată vertical sau orizontal (fig. 10.53). Alimentarea sondei se face de la o sursă separată sau la bobinajul secundar al transformatorului de sudare.

Instalațiile și aparatele pentru sudare în baie de zgură topită sînt alcătuite în general din: calea de ghidare pentru dispozitivul de antrenare al electrozilor, transformatorul de sudare și aparatele de comandă și măsurare a parametrilor regimului de sudare. În industrie sînt foarte multe tipuri din aceste instalații. Schema a două tipuri, una pentru sudat vertical rectiliniu și alta pentru sudat circular, este dată în fig. 10.54.

Tehnica sudării în baie de zgură, cuprinde operațiile: antrenarea electrozilor în rostul de sudare și alimentarea cu curent, menținerea unui proces stabil de sudare, reținerea băii de zgură și formarea cusăturii sudate precum și asigurarea unei pătrunderi uniforme și sigure a sudurii.

Procedeul de sudare în baie de zgură se poate realiza cu diferite secțiuni și forme ale electrodului, începînd cu sîrma de diametru mic și terminînd cu plăci și bare cu secțiune de zeci de centimetri pătrați. De cele mai multe ori se folosesc sîrme

cu diametrul de 3 mm sau plăci cu grosimea de 8–12 mm, iar lățimea egală cu a piesei de sudat.

În tabelul 10.10 se dau indicații privind alegerea numărului de electrozi în funcție de grosimea piesei de sudat. Din motive economice este indicat ca numărul de electrozi să fie oprit înainte de a atinge limita superioară a grosimii piesei de sudat.

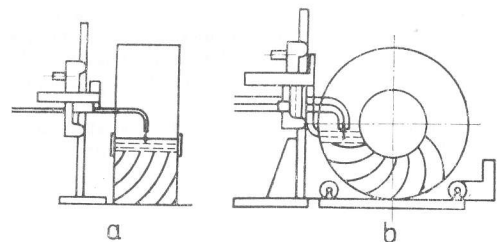


Fig. 10.54. Instalații pentru sudarea în baie de zgură:

a – rectilinie; b – circulară

care se aleg în funcție de mărimea și forma piesei de sudat. În fig. 10.56 se prezintă o nomogramă cu ajutorul căreia se pot determina parametrii regimului de sudare.

La sudarea cusăturilor inelare formarea sudurii se face cu ajutorul glisierelor circulare de cupru sau oțel. Sudarea îmbinărilor circulare trebuie să se facă pe diametrul orizontal (fig. 10.55), iar sfârșitul sudurii se poate încheia mai sus cu 30°.

Parametrii principali ai regimului de sudare sînt: curentul de sudare, tensiunea, viteza de avans și diametrul sîrmei și viteza de sudare,

Tabelul 10.10

Alegerea numărului de electrozi în funcție de grosimea piesei

Numărul de electrozi	Grosimea piesei de sudat, mm	
	Fără oscilarea electrozilor	Cu oscilarea electrozilor
1	Pînă la 60 mm	Pînă la 150 mm
2	60–130 mm	Pînă la 350 mm
3	110–200 mm	Pînă la 600 mm

### 10.5.5. SUDAREA CU FLACĂRĂ OXIACETILENICĂ

10.5.5.1. INSTALAȚII ȘI APARATE. Acetilena se obține industrial din carbura de calciu sau carbid. După felul contactului între carbid și apă pentru descompunere, generatoarele de acetilenă se clasifică astfel: generatoare de acetilenă carbid în apă, apă pe carbid și prin contact intermitent (fig. 10.57).

Generatorul sistem carbid în apă (fig. 10.57, a) este format din corpul 1, buncărul de alimentare 2, dispozitivul de alimentare 3, și grătarul 4. Carbidul căzut pe grătar se descompune iar acetilena se adună la partea superioară a gazeificatorului, de unde trece la purificare și consum. Acest tip de generator are randamentul cel mai bun și se folosește pentru unități mari.

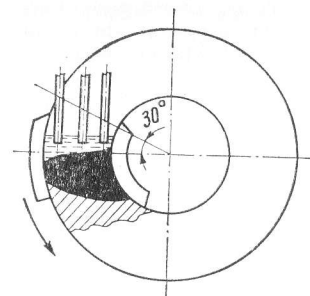


Fig. 10.55. Schema sudării inelare în baie de zgură

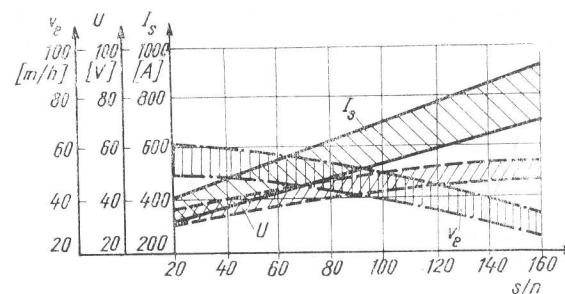


Fig. 10.56. Grafic pentru determinarea regimului de sudare în baie de zgură

Generatorul apă pe carbid (fig. 10.57, b) este format din corpul 1, rezervorul inelar 2, cu apă pentru reacție, retoarele 3, și conductele pentru acetilenă 5. Prin deschiderea robinetului 4, apa trece în retortă și începe descompunerea carbidului. Acetilena degajată se adună în compartimentul inferior, creînd o presiune asupra apei care este împinsă în compartimentul superior. Diferența de nivel dintre cele două compartimente indică presiunea gazului.

Acest tip de generator are un randament mai slab, dar prezintă avantajul că se poate folosi carbid sub formă de praf sau cu granulație mică. Se folosește la unități mici și mijlocii.

Generatorul sistem contact intermitent (fig. 10.57, c) este compus din corpul generatorului 1, clopotul 2 și coșul pentru carbid 3. Presiunea acetilenei este egală cu înălțimea

coloanei de apă dintre corp și clopot  $p = \gamma h_0$ . Acest generator are randamentul cel mai slab, se folosește pentru unități mici și este transportabil. Mărimea generatorului de acetilenă este determinată prin debitul său orar, care poate fi pînă la 100 m<sup>3</sup>/h.

Aparate auxiliare și de siguranță. Ca aparate auxiliare se menționează: dispozitivele de alimentare a generatorului cu carbid care poate fi elicoidal sau bandă transportoare; instalații de spălare și purificare a acetilenei, gazometrul pentru depozitarea acetilenei și supapele de siguranță. Aparatele de spălare-epurare au rolul de a opri impuritățile din acetilenă cum sînt sulf, fosforul și vaporii de apă. Supapele de siguranță, de obicei

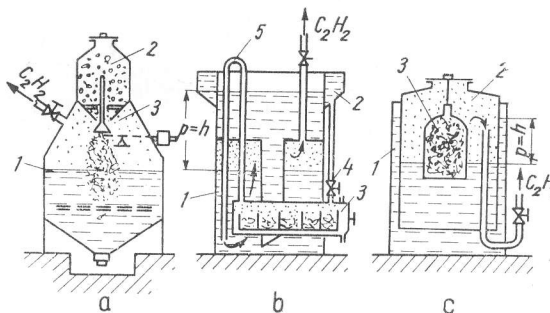


Fig. 10.57. Tipuri de generatoare de acetilenă:

a – sistem carbid în apă; b – sistem apă pe carbid; c – sistem contact intermitent

hidraulice, protejează instalația împotriva incendiilor și a exploziei. Există posibilitatea întoarcerii flăcării din arzător către generatorul de acetilenă, de aceea nu este permisă punerea în funcție a unei instalații de acetilenă fără a fi protejată cu supape de siguranță.

Supapele hidraulice de siguranță sînt de două tipuri: deschise (fig. 10.58, a) sau de presiune mică și închise sau de presiune medie și mare (fig. 10.58, b).

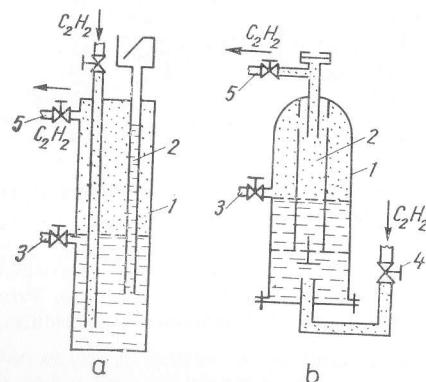


Fig. 10.58. Tipuri de supape hidraulice de siguranță:

1 — tub; 2 — conductă; 3 — robinet de control; 4 — robinet pentru ieșirea și intrarea acetilenei

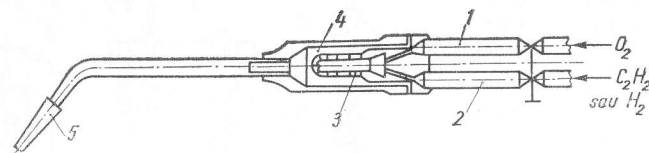


Fig. 10.59. Suflai fără injector:

1, 2 — conductă de  $O_2$ , respectiv  $C_2H_2$ ; 3 — cilindru găurit; 4 — cameră de amestec; 5 — ajutor

În cazul supapei de presiune joasă, la întoarcerea flăcării, acetilena din supapă ia foc și creează o suprapresiune care împinge cu zgomot afară apa din conducta de siguranță, dînd semnalul de pericol. Sudorul observă și închide robinetul de intrare a acetilenei în supapă. La supapa de presiune mare, conducta de siguranță este închisă cu o membrană care se rupe în cazul întoarcerii flăcării și dă semnalul de alarmă. În plus și ventilul se închide automat sub presiunea mult mai mare care se creează în supapă și împiedică propagarea flăcării la generator.

**Suflaiuri (arzătoare) pentru sudarea cu flacără.** Flacăra oxiacetilenică, folosită la sudare, ia naștere prin arderea acetilenei în oxigen. Amestecul și dirijarea pentru ardere a acetilenei în oxigen se face cu ajutorul suflaiurilor sau arzătoarelor speciale. După debitul lor, suflaiurile sînt în număr de șapte, de la debitul de 350 l/h la 2700 l/h.

După principiul de construcție suflaiurile sînt de două feluri, fără injector (fig. 10.59) la care gazele care se amestecă trebuie să aibă aceeași presiune și cu injector (fig. 10.60)

la care gazele ce se amestecă pot avea presiuni diferite (acetilena avînd presiune mult mai mică decît oxigenul). Reglarea flăcării se face cu ajutorul robinetelor pentru oxigen și acetilenă. La aprinderea suflaiului se deschide întîi robinetul de oxigen și apoi cel pentru acetilenă, iar la stingerea lui se închide întîi robinetul de acetilenă. Manipularea suflaiului

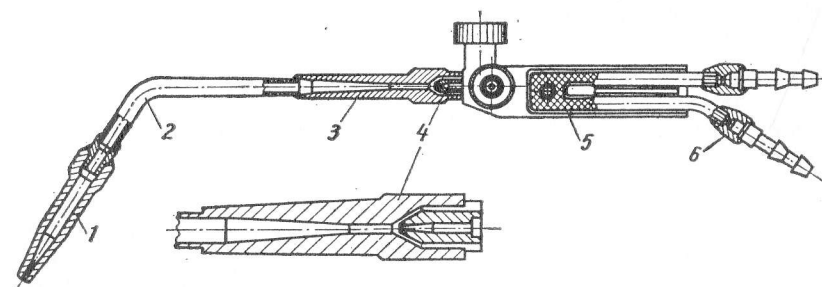


Fig. 10.60. Suflai cu injector:

1 — ajutor din cupru; 2 — conductă; 3 — cameră de amestec; 4 — injector; 5 — miner; 6 — record

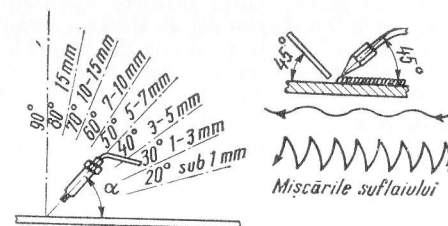


Fig. 10.61. Poziția și mișcările suflaiului

se face cu atenție pentru a nu lua foc sau a nu face explozie. Cînd se încălzește mult, este necesară răcirea lui cu apă.

**10.5.2. TEHNOLOGIA SUDĂRII.** Sudarea cu flacără oxiacetilenică sau cu alte gaze combustibile se folosește la sudarea pieselor cu grosime mai mică și la reparații. Căldura folosită la sudare depinde de poziția suflaiului față de piesă (fig. 10.61), căldura fiind maximă cînd suflaiul are poziția verticală sau perpendiculară pe piesă. În timpul sudării, suflaiului sau barei li se imprimă anumite mișcări pentru topirea corectă a marginilor pieselor de sudat și pentru a menține baia de sudură.

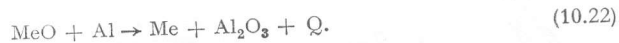
Sînt două metode de sudare cu flacără de gaz: metoda la stînga sau înainte și metoda la dreapta sau înapoi. Sudarea la stînga nu folosește economic căldura flăcării și se aplică la sudarea pieselor de grosime pînă la 5 mm. Sudarea cu flacără oxiacetilenică se poate folosi la toate metalele și aliajele. La sudare trebuie să se țină seama de caracterul flăcării. Astfel, oțelul cu conținut redus de carbon, oțelul slab aliat, cuprul și bronzul se sudează cu flacără normală, neutră; fonta, aluminiul și oțelul cu conținut ridicat în carbon și încărcarea cu aliaje dure, se sudează cu flacără ușor carburantă, iar alama și zincul se sudează cu flacără oxidantă.



Parametrii principali la sudarea cu flacără oxiacetilenică sînt: puterea flăcării, diametrul sîrmei de adaos și viteza de sudare. Puterea flăcării este funcție de grosimea piesei de sudat și de felul materialului. La sudarea oțelului obișnuit se folosește un suflai cu puterea de 150 l/h acetilenă pentru fiecare mm grosime a piesei, la sudarea fontei și a oțelurilor aliate 100 l/h acetilenă de fiecare mm grosime a piesei, iar la sudarea cuprului și aluminului 130 l/h de fiecare mm grosime.

### 10.5.6. SUDAREA CU TERMIT

10.5.6.1. TERMITUL PENTRU SUDARE. Sudarea aluminotermică se bazează pe afinitatea chimică mare a aluminului față de oxigen:



Amestecul de oxid de fier și aluminu sau magneziu se numește termit.

Cel mai important termit pentru sudare este cel de aluminu alcătuit din aluminu metalic, sub forma unei pulberi cu granule de circa 1 mm și oxid de fier, cu granule de aceeași mărime. Termitul pentru sudare, pe lângă aluminu și oxid de fier, mai conține diferite adaosuri, cu scopul de a îmbunătăți compoziția sudurii, respectiv calitatea acesteia. Astfel termitul pentru sudare are în compoziția sa feroaliaje, în special tefosiliciu și feromangan. De asemenea pentru mărirea cantității de metal (fier) și pentru o reducere oarecare a temperaturii reacției de ardere a termitului, se mai adaugă de obicei fier tehnic pur, în bucăți mici, în proporție de 10–15% din greutatea termitului. Compoziția termitului pentru sudare se determină prin calcul și experimental în funcție de caracterul operației și de compoziția metalului care urmează a fi sudat.

10.5.6.2. TECHNOLOGIA SUDĂRII CU TERMIT. În vederea sudării, termitul se aprinde și arde în creuzete din material refractar. După terminarea reacției de ardere care durează 20–30 s, se poate trece la operația de sudare, prin golirea creuzetului în rostul de sudare. Golirea cea mai bună se face prin fundul creuzetului, cînd se scurge întîi metalul și apoi zgura. Locul de sudare (capetele pieselor) se introduc într-o formă astfel încît să rămînă un rost pentru metalul topit. Se cunosc următoarele procedee de sudare cu termit: sudarea prin topire la care capetele metalului de bază se tolesc pe întreaga secțiune și prin solidificare cu metalul de adaos se realizează legătura sudată; sudarea prin presiune la care topirea capetelor metalului de bază se realizează prin încălzirea la o temperatură în domeniul plastic, apoi aplicîndu-se o compresiune specifică suficient de mare, se realizează legătura sudată prin refulare; sudarea combinată, la care capetele pieselor se tolesc parțial sau pe întreaga secțiune și apoi se aplică o compresiune de refulare.

### 10.5.7. SUDAREA PRIN PROCEDEE FIZICE (SPECIALE)

Sudarea cu jet de plasmă. Sudarea cu plasmă se face ca și în cazul sudării în mediu de gaze inerte, căldura fiind însă mai concentrată și cu temperatură mult mai înaltă; ca urmare, viteza de sudare crește și scade zona influențată termic. Se pot suda oțeluri aliate și, în special oțeluri austenitice crom-nichel, precum și metalele și aliajele neferoase cu conductibilitate termică mare.

Principalii parametri ai procesului de sudare sînt: curentul de sudare cuprins între 100–250 A, tensiunea arcului 50–100 V, presiunea gazului sau consumul de gaz 10–25 l/min, diametrul electrodului 2–8 mm și viteza de sudare 10–100 m/h.

Sudarea cu fascicul de electroni. Se folosește la metale și aliaje greu fuzibile, precum și la metalele care absorb gaze cînd sînt încălzite la temperaturi înalte cum sînt W, Mo, V, Nb, Ta, ... etc., a oțelurilor austenitice și refractare.

Instalațiile pentru sudat cu fascicul de electroni au surse pentru alimentare cu tensiune variabilă între 25 și 200 kV, iar curentul între 10 mA și 1 A avînd puterea de 30 kVA. Cu aceste instalații se pot realiza pătrunderi pînă la 25 mm, formîndu-se suduri înguste avînd raportul  $b/s = 1/12 \dots 1/8$ , la piese cu grosimea de 10–12 mm, lățimea sudurii nu este mai mare de 1,5–2 mm. Forma cusăturii sudate nu variază mult cu schimbarea curentului de sudare sau a tensiunii, ci în general aceasta depinde de viteza de sudare. Sudurile executate cu jet de electroni sînt omogene, cu cristale fine, lipsite de impurități și fisuri. Baia de sudură fiind mică deformațiile sau tensiunile interne sînt minime.

## 10.6. PROCEDEE DE SUDARE PRIN PRESIUNE

### 10.6.1. SUDAREA ELECTRICĂ CAP LA CAP PRIN PRESIUNE

10.6.1.1. MAȘINI PENTRU SUDAREA CAP LA CAP. Sudarea electrică prin presiune se realizează datorită căldurii degajate la locul de contact de efectul Joule Lenz la trecerea curentului electric și datorită forței de presare asupra pieselor. Mașinile pentru sudarea electrică prin presiune sînt alcătuite în general dintr-un dispozitiv 2 pentru fixarea pieselor și aplicarea forței de presare 3 și transformatorul de sudare 1 (fig. 10.62).

Randamentul mașinilor pentru sudarea prin presiune este 0,4–0,5 și este mult influențat de construcția, realizarea și întreținerea îngrijită a elementelor care formează circuitul de sudare (secundarul transformatorului și sistemul de conducere a curentului la piesele de sudat). Factorul de putere este influențat în mare măsură de reactanța circuitului de sudare. La mașinile cu brațe lungi, în cazul mașinilor de sudat prin puncte,  $\cos \varphi$  scade la 0,3–0,4, iar la mașinile cu brațe scurte  $\cos \varphi = 0,8$ .

Caracteristic pentru aceste mașini este faptul că randamentul și factorul de putere depind nu numai de construcția ci și de condițiile sudării. La sudarea pieselor din materiale feromagnetice reactanța și rezistența circuitului de sudare cresc, datorită creșterii permeanței corespunzătoare fluxului magnetic, conducînd în general la scăderea factorului de putere. Puterea aparentă  $P_a$  (absorbită de la rețea) este  $P_a = P_2/\eta \cos \varphi$ , unde  $P_2$  este puterea utilă.

Mecanismele cele mai importante ale mașinilor de sudat electric prin presiune cap la cap sînt: mecanismul de presare, mecanismul de strîngere a pieselor de sudat. Mecanismul de presare poate fi acționat cu arc, cu pîrghie sau cu șurub, pneumatic sau hidraulic. Mecanismul de strîngere a pieselor în fâlcii poate fi cu excentric, cu pîrghii, cu șurub, pneumatic, hidraulic și combinat, precum și acționat de la un motor electric.

Fixarea și centrarea pieselor de sudat se face în suporturi cu fâlcii. Unul din suporturi este fix și izolat față de corpul mașinii. La unele construcții suportul fix se poate regla atît în plan vertical cît și în cel orizontal. Celălalt suport este mobil fiind acționat de mecanismul de presare și refulare și împreună cu legătura flexibilă de curent poate să se deplaseze în ghidajele mașinii.

10.6.1.2. TECHNOLOGIA SUDĂRII. Sudarea electrică prin presiune cap la cap se poate realiza prin două procedee: în stare solidă și prin topire intermediară. La piese



cu secțiune mai mică se poate aplica cu succes sudarea în stare solidă, iar la piese de secțiune mai mare, sudarea prin topire intermediară.

Sudarea în stare solidă începe prin aducerea în contact a pieselor și presarea lor cu o anumită forță. Piese de sudat sînt: fixate în fâlcii, așa fel încît planul lor de contact să fie la mijlocul distanței dintre acestea. Astfel se asigură încălzirea uniformă a capetelor pieselor (fig. 10.63) cu condiția ca ele să fie din același material și de aceeași

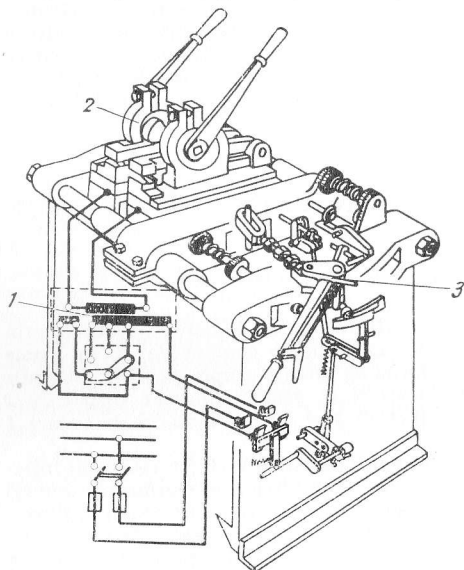


Fig. 10.62. Mașină de sudat prin presiune cap la cap

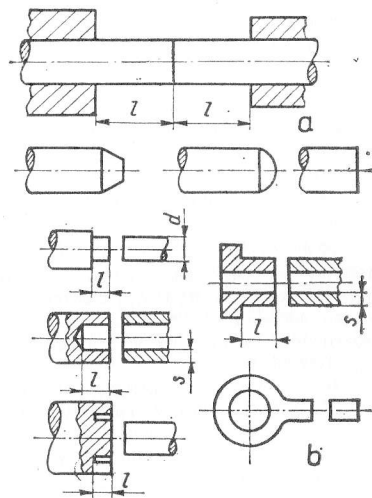


Fig. 10.63. Pregătirea capetelor pieselor de sudat

secțiune. În cazul sudării a două piese de aceeași secțiune din materiale diferite, lungimea capetelor se ia după relația:  $\rho_1 l_1 = \rho_2 l_2$  sau  $\rho_1 / \rho_2 = l_2 / l_1 = k$ ;  $l_2 = k l_1$  deci în funcție de rezistivitatea electrică a fiecărui material. În ce privește pregătirea capetelor pieselor se dau câteva exemple în fig. 10.63, la care  $l = d + \delta/2$ , unde  $\delta$  este scurtarea la sudare;  $l = 5s + \delta/2$ , unde  $s$  este grosimea peretelui țevii.

Procesul de sudare este fixat cu ajutorul următorilor parametri: temperatura maximă la sfîrșitul încălzirii în regiunea de contact, densitatea de curent; timpul de menținere sub curent, presiunea de încălzire și refulare, scurtarea la refulare și lungimea liberă a capetelor pieselor de sudat.

**Sudarea prin topire intermediară.** Cuprinde în general patru etape: preîncălzirea, topirea, refularea și uneori o încălzire ulterioară cu tratament termic. Sînt diferite variante de sudare, după cum cuprind sau nu etapele de preîncălzire sau încălzirea ulterioară.

Procesul de sudare începe cu preîncălzirea care se execută în formă intermediară, prin aducerea în contact și desfacerea contactului între capetele pieselor de sudat. După ce piesele prin preîncălzire au atins temperatura necesară, capetele se apropie din nou cu viteză relativ mică, care să asigure o topire continuă a capetelor pieselor. În aceste

condiții, cînd nu se stabilește un contact ferm între piese iar forța de apăsare este neglijabilă, se instaurează procesul de topire evidențiat printr-o degajare abundentă de scînteie.

Condiția unei topiri stabile este ca, în orice moment, viteza de înaintare a saniei mobile să fie egală cu viteza de topire a capetelor pieselor. Întreținerea procesului de topire un timp suficient de lung promovează formarea unui strat subțire de metal topit care acoperă capetele pieselor de sudat. Acest strat joacă un rol important în procesul de eliminare din îmbinare a oxizilor greu fuzibili, astfel ca la începerea refulării să nu mai existe oxizi între piesele care urmează a fi sudate.

După ce s-a realizat scurtarea dorită la topire, se trece la etapa de refulare, prin accelerarea bruscă a mișcării saniei mobile. Cu ocazia refulării, se obține deformarea plastică necesară pentru realizarea sudării. După un anumit timp de la declanșarea refulării se întrerupe circuitul de sudare. Sudarea prin topire intermediară se poate realiza în două variante: sudarea cu topire directă și sudarea cu preîncălzire prin impulsuri.

Sudarea cu topire directă începe prin apropierea pieselor cu o viteză suficient de mică, astfel încît proeminențele de pe capetele pieselor de sudat se topec succesiv, împiedecîndu-se astfel stabilirea unui contact ferm. Pe măsură ce capetele pieselor se încălzesc topirea devine mai stabilă, scînteile se elimină mai uniform, iar variația curentului devine mai mică și crește valoarea sa.

Schema procesului de sudare cu topire directă este prezentată în fig. 10.64, a, în care  $t_1$  este durata topirii,  $t_2$  — durata refulării sub curent,  $t_3$  — durata refulării fără curent,  $t_4$  — timpul de repaos al saniei mobile,  $t_5$  — timpul de retragere al saniei mobile,  $S_1$  — scurtarea la topire,  $S_2$  — scurtarea la refulare sub curent,  $S_3$  — scurtarea la refulare fără curent,  $S_4$  — scurtarea totală la refulare,  $F_r$  — forța de refulare.

Sudarea cu preîncălzire prin impulsuri se începe cu aducerea pieselor în contact ferm, apoi se îndepărtează și se repetă aceasta de mai multe ori, constituind etapa de preîncălzire. După ce temperatura capetelor pieselor de sudat a atins valoarea necesară pentru trecerea la topire, sania mobilă va înainta cu o viteză mai mică decît cea de la preîncălzire în așa fel încît să înceapă formarea și dezagregarea punților de metal topit. Topirea și refularea decurg în continuare potrivit graficului din fig. 10.64, b, în care notațiile au aceleași semnificații ca la sudarea cu topire directă. Principalii parametri ai procesului de sudare sînt: curentul la preîncălzire și la topire, viteza de topire, scurtarea la topire, scurtarea la refulare sau compresiunea specifică la refulare, viteza de refulare și lungimea liberă inițială. Relația:

$$I_s = \sqrt{d^3(3v + 1) \sqrt{v}} \text{ [kA]} \quad (10.23)$$

dă curentul de sudare  $I_s$  în funcție de diametrul piesei  $d$ , cm și viteza de topire  $v$ ,  $\frac{\text{cm}}{\text{s}}$ .

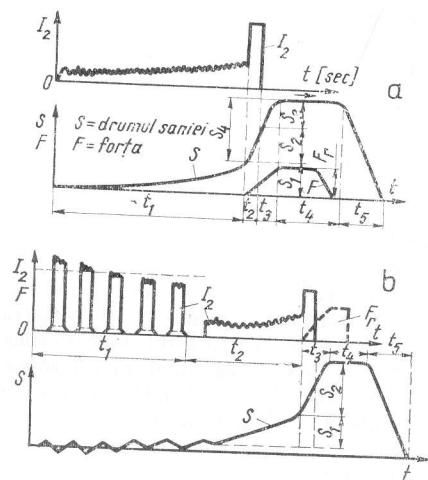


Fig. 10.64. Schema procesului de sudare prin topire intermediară:

a — cu topire directă; b — cu topire prin impulsuri

Defectele îmbinărilor sudate. Principalele cauze care le provoacă sînt: abaterea de la axialitate, cratere neînchise, fisuri, pori și incluziuni nemetaleice. Acestea se datoresc fixării necorecte a pieselor, refulării insuficiente, supraîncălzirii metalului, necurățirii capetelor și oxidării intense, datorită regimului incorect la sudare.

Procedul de sudare prin topire intermediară are o extindere mai mare decît sudarea în stare solidă, datorită următoarelor avantaje: proprietățile mecanice ale îmbinării sînt foarte bune, nu e necesară o pregătire specială a capetelor pieselor de sudat, scurtarea la refulare este mai mică iar concentrarea căldurii în zona de contact este mai favorabilă. Materialele cu temperaturi de topire mult diferite se pot suda prin presiune, mai bine prin topire intermediară.

### 10.6.2. SUDAREA ELECTRICĂ ÎN PUNCTE PRIN PRESIUNE

10.6.2.1. MAȘINI PENTRU SUDAREA PRIN PUNCTE. La fel ca la mașinile de sudat cap la cap, circuitul de sudare se caracterizează prin curenți mari și tensiuni mici. De multe ori circuitul de sudare asigură și transmiterea forțelor de presare necesare sudării, de aceea dimensionarea acestuia trebuie făcută din punct de vedere electromagnetic, mecanic și termic. Mașinile pentru sudarea prin puncte diferă după destinație, putînd fi universale sau specializate; după numărul de puncte sudate simultan, pot fi mașini cu un punct și cu puncte multiple; după felul acționării pot fi cu pedală, electromagnetice, pneumatice și hidraulice, după gradul de automatizare sînt mașini manuale și automate. În cele ce urmează se dau schemele cu dispoziția electrozilor și domeniul de folosire a unor mașini de sudat prin puncte universale; mașină de sudat prin puncte simple a pieselor cu grosime pînă la 6 mm (fig. 10.65, a); mașină de sudat prin puncte simple cu electrozi pe aceeași parte care se folosește la sudarea pieselor cu grosime pînă la 2,5 mm (fig. 10.65, b); mașină pentru sudare pe aceeași parte în două puncte a pieselor cu grosime pînă la 2 mm (fig. 10.65, c); mașină de sudat două puncte simultan cu două transformatoare, piese cu grosime pînă la 5 mm (fig. 10.65, d); mașină de sudat în puncte multiple a pieselor cu grosime pînă la 2 mm (fig. 10.65, e).

10.6.2.2. TEHNOLOGIA DE SUDARE. La sudarea prin puncte, piesele de sudat (de obicei table) sînt strînse cu forța  $F$ , între electrozii de contact (fig. 10.66). După strîngerea tablelor între electrozii de contact, se conectează transformatorul de sudare.

Diferite procedee ale sudării prin puncte se deosebesc prin modul de variație a curentului de sudare și a forței  $F$ , în timpul sudării, precum și prin numărul și poziția electrozilor de contact față de piesele ce urmează a fi sudate. În fig. 10.67 se dau cîteva variante de cicluri cu modul de variație a curentului de sudare  $I_s$  și a forței de presare  $F$ . Încălzirea se face prin impulsuri de curent evitîndu-se supraîncălzirea cuielei de contact, cînd se sudează cu regim dur. În timpul încălzirii forța de presare este mult mai mică, pentru a se realiza o rezistență de contact mai mare, contribuindu-se astfel la ridicarea temperaturii. De obicei timpul  $t_3$  este 0,1–0,15 s, după care crește forța  $F$ , pentru forjarea punctului sudat.

O variantă care se folosește la sudarea aliajelor de aluminiu și a oțelurilor aliate cu grosime mai mare de 1,5 mm, este cea de la punctul e, în care curentul de sudare variază continuu pînă la un maxim, apoi scade. Această programare a curentului și a

forței de apăsare este mai dificilă, dar se realizează puncte sudate fără pori sau fisuri și de calitate foarte bună.

Alegerea uneia din variantele arătate, se face ținînd cont atît de materialul care se sudează, cît și de posibilitățile mașinii existente de a programa parametrii  $J$  și  $F$ .

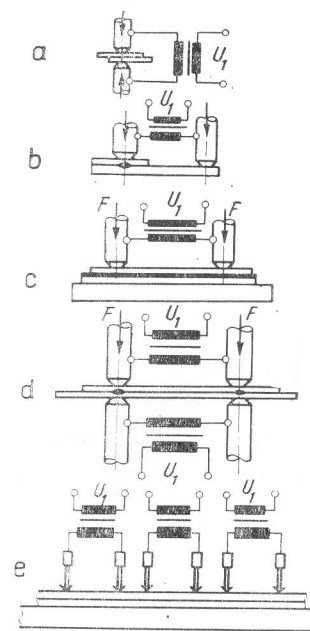


Fig. 10.65. Scheme ale mașinilor de sudat prin puncte

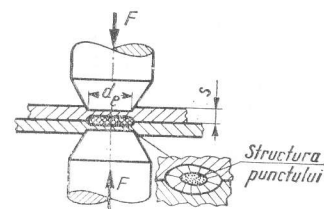


Fig. 10.66. Schema procesului de sudare prin puncte

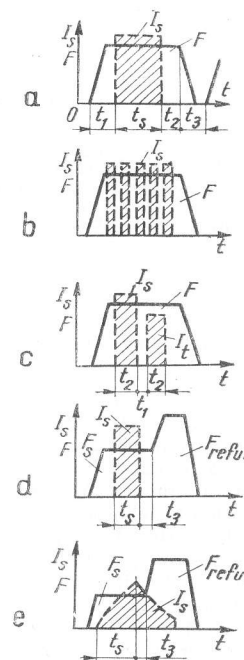


Fig. 10.67. Variante ale udării prin puncte:

a — cu tendințe de călire reduse și grosime sub 5 mm;  
b — pentru piese cu grosime peste 5 mm

Diametrul punctului sudat este de obicei egal cu diametrul vârfului electrodului:  $d_p = d_e$ , iar diametrul electrodului la vîrf se poate determina cu relația

$$d_e = 5,5 \sqrt{s}, \quad (10.24)$$

unde  $s$  este grosimea tablei care se sudează. Din cauza pierderilor de căldură, energia necesară pentru formarea corectă a nucleului topit este cu atît mai mică cu cît regimul de sudare este mai dur. Prin regim dur se înțelege curent de sudare mare și durată scurtă, iar la regim moale curentul este mai mic și timpul de sudare mai lung.

În cazul pieselor cu grosime diferită pentru formarea corectă a punctului sudat este necesară determinarea corespunzătoare a diametrului electrozilor de contact. Diametrul electrozilor de contact este proporțional cu grosimea pieselor de sudat. Principalii parametri ai procesului de sudare sînt: curentul  $I_s$ , durata de acțiune a curentului  $t$ , forța de apăsare a electrozilor de contact  $F$  și diametrul electrozilor de contact  $d_e$ . Între acești parametri există relația:

$$I^2 \sqrt{\frac{t}{F}} = (1,5 s \sqrt{s} + 1) 10^6 \quad (10.25)$$

sau

$$I_s = 10^3 \sqrt{(1,5 \sqrt{s^3} + 1) \sqrt{\frac{F}{t}}} \text{ [A]}, \quad (10.26)$$

în care  $F$  este în daN,  $s$  în mm și  $t$  în s.

Forța de presare  $F$  se poate determina cu relația:  $F = (150 - 250) s$  sau  $F = ks^2 \sigma_c$ , unde,  $k = (5 - 10) \frac{\text{daN}}{\text{mm}^2}$ , valorile mici fiind pentru metale mai plastice și cele mari pentru metale dure; iar  $\sigma_c$  este efortul unitar de curgere al metalului de sudat [4], [9].

### 10.6.3. SUDAREA ELECTRICĂ ÎN LINIE PRIN PRESIUNE

10.6.3.1. MAȘINI PENTRU SUDAREA ÎN LINIE. Operațiunea de sudare în cusătură sau linie se deosebește de cea prin puncte doar prin faptul că punctele se suprapun parțial, asigurînd pe lîngă rezistența mecanică a îmbinării și etanșitatea. Întreruperea circuitului primar se face electronic. Formarea de impulsuri se poate asigura și cu ajutorul modulatorilor intercalate în circuitul de alimentare.

Mașinile de sudat în linie pot fi: universale și specializate; cu una, două sau mai multe cusături (fig. 10.68); cu așezarea rolor pe o parte sau ambele părți ale tablelor; cu deplasarea piesei antrenate de role sau, cu deplasarea rolor, piesa fiind fixă, iar după felul acțiunii forței de presare asupra rolor, mecanic, pneumatic, hidraulic etc.

La sudarea în linie a tablelor foarte subțiri se folosesc mașini cu baterie condensatoare, adică cu energie înmagazinată, deoarece acestea fac o dozare mai precisă a energiei electrice pentru sudare.

Mecanismul caracteristic al mașinilor de sudat electric prin presiune în linie, este mecanismul de acționare al rolor. La mașinile pentru sudarea cusăturilor longitudinale este suficient să existe acționarea unei singure role, cealaltă rolă rotindu-se datorită frecării.

La mașinile universale, acționarea rolei superioare poate fi realizată conform cu schema din fig. 10.69. În această construcție rola superioară împreună cu motorul electric 1

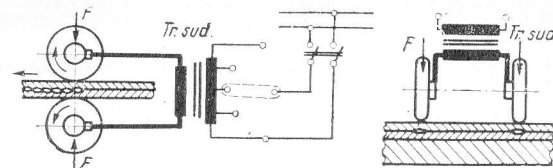


Fig. 10.68. Scheme ale mașinilor de sudat în linie

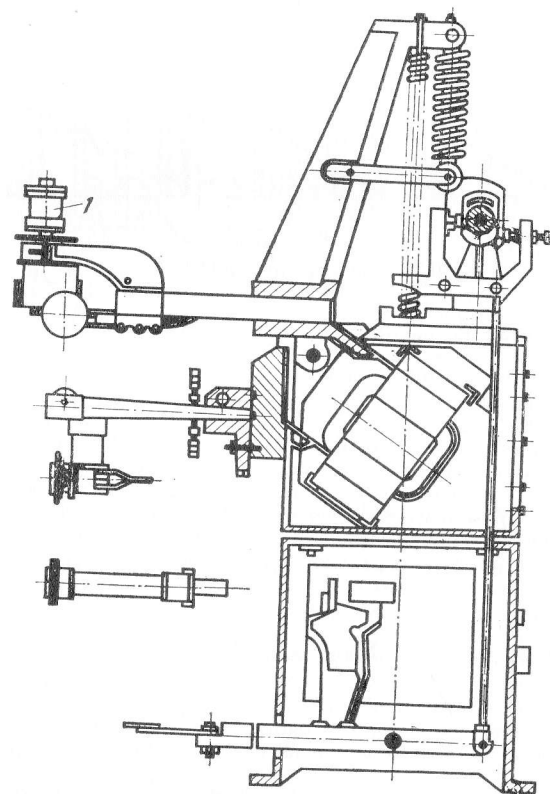


Fig. 10.69. Mașină de sudat în linie

formează un ansamblu care poate fi adaptat atât pentru sudarea cusăturilor longitudinale cât și a celor transversale. Această soluție este avantajoasă pentru cazul unei mașini care este destinată pentru sudarea prin puncte și sudarea în linie.

**10.6.3.2. TEHNOLOGIA DE SUDARE.** La sudarea în linie, punctele sînt foarte apropiate unul de altul sau chiar suprapuse parțial. Rolele de contact au dimensiuni și forme bine determinate. Diametrul este mai mare de 150 mm, iar lățimea este de 3—8 mm în funcție de grosimea tablelor care se sudează. Principalii parametri ai regimului de sudare sînt curentul de sudare, viteza de sudare și forța de apăsare a rolor. Curentul de sudare se ia de obicei de două ori mai mare decît la sudarea prin puncte.

Diagramele de variație în raport cu timpul a principalilor parametri: curentul de sudare  $I_s$ , spațiul parcurs de piesele de sudat  $S$  și forța aplicată rolor de contact  $F$ , sînt date în fig. 10.70.

La executarea unor suduri pretențioase se aplică diagrame ale procesului de sudare, la care variază atât curentul cât și forța de apăsare pe role. După forma și poziția rolor există de asemenea mai multe variante mai ales în funcție de forma pieselor de sudat.

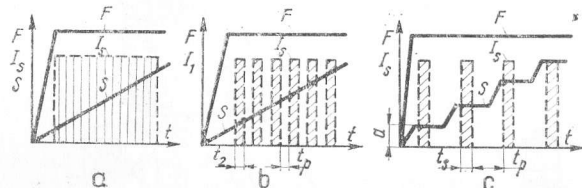


Fig. 10.70. Variante ale sudării în linie

Principalii parametri de sudare sînt: curentul de sudare, forța de apăsare a rolor de contact, pasul între două puncte consecutive, condițiile de intermitență a curentului, viteza de sudare și dimensiunile rolor de contact.

Domeniul de aplicare al sudării în linie coincide cu al sudării prin puncte, în plus permite obținerea unor îmbinări etanșe și productivitate mărită. Se pot suda aproape toate metalele și aliajele lor cu grosime pînă la 4 mm. Dintre aceste procedee, cel mai răspîndit este sudarea cu energie înmagazinată în cîmp electrostatic, adică cu baterie de condensatori. Parametrii procesului de sudare în linie se determină experimental pentru fiecare caz concret și tip de mașină. În general forța de apăsare a rolor la sudarea în linie este mai mare cu pînă la 50% față de sudarea prin puncte. De asemenea la sudarea în linie este necesară o pregătire îngrijită a suprafețelor de contact prin curățirea lor și asigurarea condițiilor necesare pentru stabilirea unui contact electric corect.

#### 10.6.4. SUDAREA PRIN PROCEDEE SPECIALE

**10.6.4.1. SUDAREA PRIN FRECAR.** Sudarea prin frecare face parte din procedeele de sudare prin presiune la cald, la care încălzirea capetelor pieselor de sudat se obține pe seama forțelor de frecare ce iau naștere între două suprafețe în contact și în mișcare relativă.

Mișcarea relativă se obține prin rotirea uneia din piese (fig. 10.71), rotirea în sens contrar a ambelor piese, rotirea unei piese intermediare sau prin deplasarea rectilinie alternativă a unei piese. Pe măsură ce temperatura capetelor crește, sub influența forței  $F$

se realizează deformații plastice. Pentru realizarea sudării se oprește mișcarea de rotație prin frinare.

Factorii cei mai importanți, care influențează procesul de sudare prin frecare sînt: felul materialului, adică caracteristicile mecanice și termofizice, precum și starea suprafeței de contact, concretizată prin coeficientul de frecare; presiunea specifică la încălzire

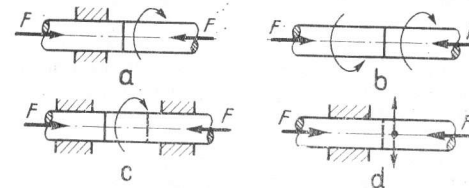


Fig. 10.71. Sudarea prin frecare, variante

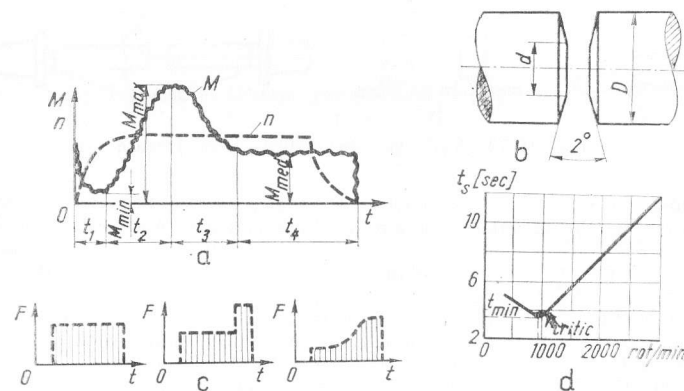


Fig. 10.72. Variația forței, momentului și turației

și refulare; turația sau viteza de deplasare și timpul de sudare, în special timpul de încălzire a capetelor pieselor.

Variația în raport cu timpul a turației  $n$  și a momentului  $M$  transmis prin piesele de sudat (fig. 10.72) a scos în evidență cele patru faze distincte în cadrul procesului de sudare. În prima fază momentul cuplului de frecare scade la o valoare minimă în timp ce turația crește. În faza a doua, cuplul de frecare crește aproape liniar în raport cu timpul pînă atinge o valoare constantă în faza a patra.

Variația în acest fel a cuplului la  $F = \text{const}$ , este condiționată de modificarea rugozității suprafețelor în contact, a vitezei relative și a temperaturii în cursul procesului de sudare.

Sursele termice nu sînt uniform repartizate pe rază în etapa inițială, temperatura fiind mult mai mică la centru față de periferie; de aceea piesele cu diametru mai mare se prelucrează ca în fig. 10.72, b și în felul acesta se asigură o încălzire mai uniformă.



Principalii parametri ai procesului de sudare sînt: viteza relativă de frecare sau turația relativă a pieselor, compresiunea specifică în timpul sudării, durata procesului de sudare în starea inițială a suprafețelor. Turația relativă poate fi variată în limite largi, fără a influența însușirile mecanice ale îmbinării sudate. Ea are o influență asupra duratei operației de sudare. În condițiile turației pentru care timpul de sudare este minim, se determină turația critică (fig. 10.72, d). Viteza relativă periferică se alege de obicei 2–3 m/s.

Compresiunea specifică, fig. 10.72, c, influențează rezistența sudurii prin deformările plastice și prin configurația timpului termic pe care le determină.

Sudarea prin frecare se utilizează la îmbinarea pieselor cu secțiuni circulare de diametre egale sau diferite, cum sînt: tije, arbori, prelungitoare la burghie, șuruburi etc. (fig. 10.73).

Procedeul se pretează atât la sudarea oțelurilor nealiatelor cît și la sudarea metalelor neferoase, cuprul și alumiul. Față de sudarea electrică prin presiune, acest procedeu

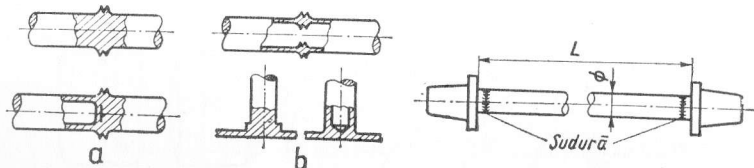


Fig. 10.73. Aplicații ale sudării prin frecare

prezintă următoarele avantaje: mașinile sînt simple, energia consumată este redusă, factor de putere ridicat, mecanizare și automatizare mai ușoară a procesului de sudare.

10.5.4.2. SUDAREA CU ULTRASUNETE. Undele ultrasonore au diverse aplicații industriale, atât la aparate de control și măsurare, cît și la diferite procese de prelucrare, cum sînt sudarea și tăierea cu ultrasunete. La sudare, ultrasunetele sînt produse de vibratoare magnetostriuctive. Acestea se compun din două părți principale: elementul activ, magnetostriectiv propriu-zis și elementul pasiv, transformatorul acustic al vibrațiilor elastice, care pot fi cu ghid de unde transversal (fig. 10.74, a) și longitudinal (fig. 10.74, b). Vibrațiile elementului activ se produc datorită fenomenului potrivit căruia, într-un cîmp magnetic alternativ o bară de nichel sau alt material magnetostriectiv își modifică dimensiunile.

În timpul sudării piesele sînt strînse între capătul transformatorului acustic confecționat de obicei din oțel și piesa 5, căreia i se aplică o forță de presare. Sudarea are loc în momentul aplicării unui curent electric de înaltă frecvență de la generatorul de ultrasunete la bobinajul vibratorului. Vibrațiile elastice de înaltă frecvență care apar în vibratorul magnetostriectiv, se transmit pieselor de sudat prin transformatorul acustic, sub forma unor deplasări mecanice.

Ultrasunetele intensifică difuzia atomilor mărginași la piesele de contact și astfel se realizează legătura sudată. Se pot suda piese cu grosime mică din aluminu, cupru, oțeluri aliate și mase plastice. Piese pot avea grosimi pînă la 2,5 mm, iar mașinile o putere pînă la 20 kW.

Parametrii regimului de sudare sînt: amplitudinea undelor ultrasonore, care este 10–25 μm; frecvența undelor cuprinsă între 15–70 kHz; timpul de sudare și forța de presare, care este 20–250 daN. În tabelul 10.11 se dau parametrii regimului de sudare pentru cîteva metale.

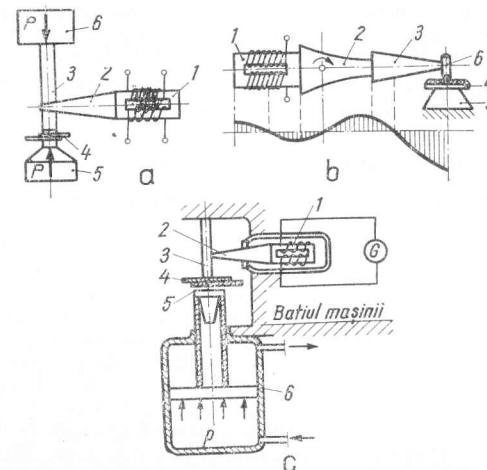


Fig. 10.74. Utilaje pentru sudarea cu ultrasunete

Tabelul 10.11

Parametrii regimului de sudare pentru cîteva metale

Felul materialului	Grosimea, mm	Parametrii regimului		
		Forța de presiune daN	Timpul de sudare, min	Amplitudinea, μm
Aluminu	0,3–0,7	20–30	0,5–1,0	14–16
Aluminu	0,8–1,2	35–50	1,0–1,5	14–16
Aluminu	1,3–1,5	50–70	1,5–2,0	14–16
Cupru	0,3–0,6	30–70	1,5–2,0	16–20
Cupru	0,7–1,0	80–100	2–3	16–20

10.6.4.3. SUDAREA PRIN DEFORMARE PLASTICĂ LA RECE. La sudarea prin deformare plastică la rece, îmbinarea se obține prin aducerea în contact intim a pieselor, așa încît se petrece o difuzie a atomilor și se creează forțe de natură interatomică. Aceasta se realizează prin deformare plastică a zonei de contact, la o temperatură mai mică decît cea de cristalizare a metalului respectiv.



O parte din energia înmagazinată prin deformarea plastică a zonei de contact servește drept energie de activare pentru formarea unor grăunți cristalini comuni. Pentru ca îmbinarea să fie rezistentă este necesar ca suprafețele de contact să fie curate, deformarea să fie suficient de mare, iar tensiunile proprii să fie mici. Prin deformare plastică la rece se pot suda toate metalele în special cele cu plasticitate mare, cuprul și aluminul etc.

Principalii parametri ai procesului de sudare sint deformarea plastică caracterizată prin gradul de deformare  $\Delta = \frac{h_0 - h}{h_0} \cdot 100$  (10.50) ( $h_0$  — dimensiunea inițială;  $h$  —

dimensiunea finală), presiunea necesară pentru realizarea deformăției plastice dorite, temperatura și viteza de deformare.

Deformarea plastică necesară pentru obținerea unei îmbinări sudate cu anumite însușiri mecanice, depinde de materialul de sudat și starea suprafețelor în contact. Un material este cu atât mai ușor sudabil prin presiune la rece, cu cât deformăția plastică necesară la realizarea unor îmbinări sigure, este mai mică. Astfel la sudarea plumbului este necesară o deformare de 60%, aluminului 60–70%, cuprului 80–90%, fierului 85–92% etc.

O dată cu creșterea deformăției plastice, rezistența îmbinării sudate se apropie de cea a materialului de bază. Temperatura are efect favorabil și micșorează deformarea plastică necesară, datorită mobilității atomilor, micșorării rezistenței față de deformarea plastică și micșorării tensiunilor proprii, rezultate la sudare.

Sudarea prin deformare plastică la rece se execută în două variante principale: prin suprapunere și cap la cap. Sudarea prin suprapunere este prezentată în fig. 10.75 a, unde se arată câteva posibilități de sudare prin puncte la rece. Poansoanele sint pe o parte sau pe ambele părți. Oprirea deformării piesei în zonele vecine sudurii se face cu dispozitive care presează inițial aceste zone.

Pentru sudarea barelor în prelungire, se folosește varianta de sudare cap la cap (fig. 10.75 b). Bacurile de fixare a capetelor barelor au forme speciale, pentru a fixa piesele și a îndepărta bavura după sudare.

În afara acestor variante mai sint și altele, atît pentru sudarea tablelor, cît și a barelor prin suprapunere și a tablelor în linie (cusătură) cu role. Cu aceste procedee se sudează table de 0,2–1,5 mm

și bare cu secțiunea pînă la 500 mm<sup>2</sup> și mai mare. Poansoanele au secțiune rotundă sau dreptunghiulară. Diametrul poansonului este de 2–3 ori mai mare decît grosimea

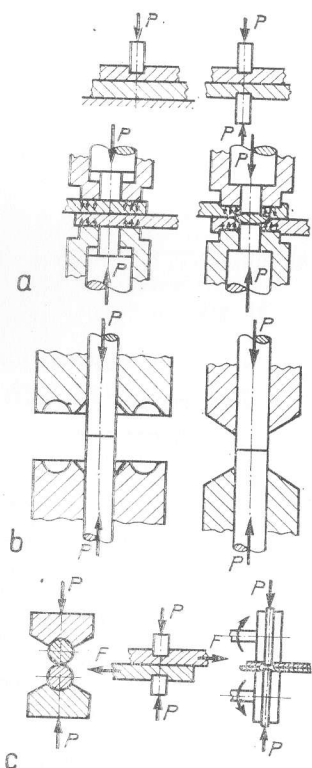


Fig. 10.75. Schema sudării prin deformăției plastice la rece

tablei care se sudează. Suprafața frontală a poansonului poate fi plană sau bombată. Compresiunea specifică care trebuie realizată la sfîrșitul deformării este  $30-60 \frac{\text{daN}}{\text{mm}^2}$  la aliaje de aluminiu moi,  $100-300 \frac{\text{daN}}{\text{mm}^2}$  la cupru și aliaje de cupru.

## 10.7. TĂIEREA TERMICĂ A METALELOR

### 10.7.1. TĂIEREA CU OXIGEN

La tăierea cu oxigen, fenomenul de bază este arderea fierului într-un jet de oxigen pur, după relația:  $3\text{Fe} + 2\text{O}_2 \rightarrow \text{Fe}_3\text{O}_4 + \text{kcal}$ . Căldura degajată la arderea fierului întreține desfășurarea procesului în continuare. Pentru a compensa pierderile de căldură prin conductibilitate este necesară o sursă de căldură suplimentară, flacăra unui gaz combustibil. Pentru încălzirea metalului, în vederea amorșării arderii, se poate folosi acetilena, metanul sau propanul etc.

10.7.1.1. TĂIEREA OBIȘNUITĂ CU OXIGEN. Se face cu suflai special, reprezentat schematic în fig. 10.76, a. Amestecul de gaz combustibil și oxigen formează flacăra de preîncălzire, iar jetul de oxigen arde metalul încălzit și astfel începe tăierea (fig. 10.76, b).

Pentru a se putea tăia cu oxigen, metalul trebuie să îndeplinească următoarele condiții: să ardă în stare solidă, netopită; oxizii de metal să aibă o temperatură de topire

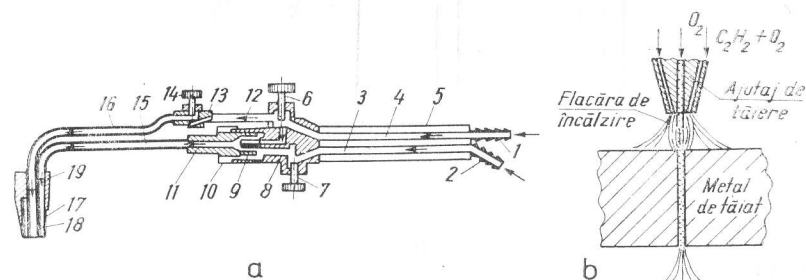


Fig. 10.76. Suflaiul și schema tăierii cu oxigen

mai joasă decît a metalului respectiv; prin ardere metalul să degaje căldură mare pentru întreținerea arderii în continuare, iar conductibilitatea termică a metalului să fie mică. Aceste condiții sint îndeplinite numai de oțelul cu pînă la 0,7% carbon; celelalte oțeluri și metalele neferoase, folosite în tehnică, nu le îndeplinesc și nu pot fi tăiate cu oxigen în condiții tehnice corespunzătoare. Elementele din oțel cum sint: carbonul, siliciul, cromul, nichelul etc. îngreunează tăierea acestuia.

Oxigenul destinat tăierii de precizie trebuie să fie cît mai pur (peste 98%) căci de acesta depinde în mare măsură productivitatea tăierii și calitatea tăieturii. Metalul de tăiat trebuie să fie curat, fără rugină sau vopsea. În ce privește tehnologia tăierii, în prima

fază se face preîncălzirea locală pînă la circa 1200°C, apoi se deschide robinetul pentru jetul de oxigen și începe tăierea. În partea opusă suprafeței pe care se taie, jetul de oxigen trebuie să fie liber, pentru a se putea evacua oxizii rezultați din procesul de tăiere și în sfîrșit jetul de oxigen trebuie să aibă direcția perpendiculară pe suprafața de tăiere. Experiența a demonstrat că tablele de oțel se pot tăia și în pachete pentru mărirea productivității muncii.

Se observă că la tăiere, zona influențată termic este mult mai îngustă ca la sudare, din cauza scăderii rapide a temperaturii în raport cu distanța. Din această cauză, transformările structurale durifică suprafața de tăiere mai ales la oțelurile cu conținut mai ridicat în carbon sau aliate. Atenție deosebită se acordă oțelurilor care se călesc puternic, deoarece în zona influențată termic pot să apară fisuri la tăiere. Acestea pot fi prevenite prin preîncălzirea pieselor. În acest mod se micșorează totodată deformările, tensiunile interne și scade duritatea. Preîncălzirea se face cu arzătoare de mare putere, montate pe mașina de tăiat, care se deplasează o dată cu suflaiul de tăiat.

Oțelurile cu mult carbon și aliate, fontele și metalele neferoase nu se pot tăia obișnuit cu oxigen. Acestea se pot tăia însă cu oxigen și cu flux.

**10.7.1.2. TĂIEREA CU OXIGEN ȘI FLUX.** Acest procedeu constă în aceea că oxigenul antrenează în zona de tăiere un flux sub formă de pulbere fină, care joacă rolul de oxidant (fig. 10.77). Se folosesc în acest scop două feluri de fluxuri: fluxuri neme-

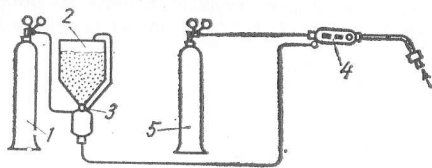


Fig. 10.77. Instalație pentru tăierea cu oxigen și flux

talice, formate din amestecuri de carbonați, silicați și fluxuri metalice sub formă de pulberi. Cu fluxuri se taie oțelurile inoxidabile și cele feritice. Pulberile metalice sînt formate din pulbere de fier amestecată cu diverși fondanți, care micșorează temperatura de topire a oxizilor de tăiere. Utilajul folosit la tăiere este cel pentru tăiere cu oxigen, în plus este necesar un rezervor cu flux 2, care este vibrat și încă o butelie de oxigen 1, care antrenează pulberea la locul tăierii. Dozarea fluxului antrenat se face în robinetul 3. Suflaiul 4 și butelia de oxigen 5 completează instalația.

Parametrii tehnologici la tăiere sînt: presiunea oxigenului, care se reglează în funcție de grosimea metalului de tăiat și viteza de tăiere. În fig. 10.78 se dă graficul acestor parametri pentru piese cu grosime pînă la 300 mm. Pentru grosimi mai mari sînt construite arzătoare speciale iar parametrii diferă. De exemplu pentru tăierea unei piese cu grosimea de 1000 mm, presiunea oxigenului de tăiere este  $3 \frac{\text{daN}}{\text{cm}^2}$ , iar viteza de tăiere este de 50 mm/min.

### 10.7.2. TĂIEREA CU ARC ELECTRIC

*Tăierea obișnuită cu arc electric* este un procedeu de tăiere care se bazează pe îndepărtarea metalului topit din zona tăierii prin acțiunea arcului electric și datorită greutatei proprii a metalului topit. Se pot tăia cu arc electric, oțeluri slab aliate, oțeluri aliate, metale neferoase și fontă.

Tăierea se realizează cu electrozi de metal sau din cărbune în aer sau în mediu de gaze protectoare. Electrozii de metal folosiți la tăierea cu arc electric au un înveliș

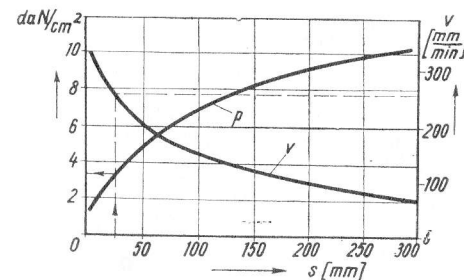


Fig. 10.78. Presiunea oxigenului și viteza de tăiere în funcție de grosimea piesei

gros special, care prin ardere dezvoltă o căldură mare și oxigen și astfel accelerează procesul de tăiere. Când electrozii au un canal la mijloc, se suflă oxigen în arc și în acest caz crește mult calitatea și productivitatea tăierii.

Productivitatea tăierii cu arc electric se caracterizează prin cantitatea de metal topit în unitatea de timp și depinde de mărimea curentului și de unghiul de înclinare a electrodului față de suprafața metalului care se taie. Experimental s-a stabilit că productivitatea maximă este la un unghi de înclinare de 10–15°.

*Tăierea arc-aer* este un procedeu de prelucrare a metalelor bazat pe două procese fizice: topirea metalului cu ajutorul arcului electric și eliminarea metalului topit cu ajutorul unui jet de aer comprimat. Oxidarea metalului este un fenomen auxiliar, care nu influențează procesul de tăiere. Cantitatea de metal topit depinde de puterea arcului electric și de proprietățile termofizice ale metalului. Prin procedeu de tăiere arc-aer se pot tăia oțelurile carbon, oțelurile slab aliate și aliate, fonta, bronzul, alama, aluminiul și aliajele sale. Tăierea arc-aer se folosește la prelucrarea suprafețelor metalelor, la topirea porțiunilor defecte de la rădăcina cusăturilor, la tăierea niturilor, la curățirea fisurilor, topirea defectelor din piese turnate, la pregătirea rosturilor pentru sudare, la străpungerea găurilor necesare pentru scoabe sau nituri de legătură etc. Tăierea arc-aer prezintă următoarele avantaje: este un procedeu de prelucrare economic, utilajul este simplu, iar materialele necesare sînt ușor de procurat. La tăierea arc-aer se folosesc electrozi de cărbune cu diametrul 6–12 mm și lungimea mai mare de 250 mm. Electrozii de cărbune cuprați și electrozii de grafit asigură un proces stabil de tăiere. Tăierea arc-aer se face cu productivitate mai mare dacă electrodul este conectat la polul plus și aceasta se datorește formeii băii metalice, care are o suprafață convexă, conică și poate fi îndepărtat mai ușor cu jetul de aer.

Pentru tăierea arc-aer, portelectrodul poate fi construit în următoarele variante: cu jet de aer concentric electrodului și cu jet de aer lateral, într-o parte și în ambele

părți. Portelectrodul poate fi universal sau cu destinații speciale. Tăierea arc-aer cu port-electrod cu jet de aer concentric poate fi folosit pentru tăiere în orice direcție, dar are dezavantajul că consumă mult aer comprimat. Portelectrodul cu jet de aer lateral se poate folosi la tăierea într-o singură direcție; jetul de aer este după electrod (în spate) ținând seama de direcția de deplasare (fig. 10.79). Portelectrodul universal se folosește atât la tăierea cât și la sudarea cu electrod metallic.

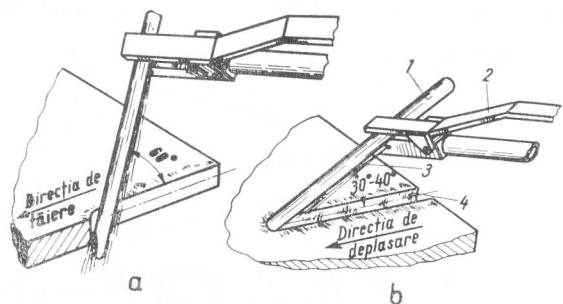


Fig. 10.79. Portelectrozi pentru tăierea arc-aer

Productivitatea tăierii arc-aer este proporțională cu mărimea curentului. În funcție de diametrul electrodului se poate stabili mărimea curentului cunoscând că densitatea de curent poate fi  $j = 6-8 \text{ A/mm}^2$ . Diametrul electrodului este de obicei 6–12 mm, presiunea aerului comprimat suflat în arc este 4–6 at. Dacă presiunea aerului este mai mare, arcul se stinge, iar dacă este mai mică, nu se îndepărtează bine metalul topit. Lungimea liberă a electrodului nu trebuie să depășească 100 mm. Pe măsura arderii electrodului, acesta se va deplasa în portelectrod. Viteza de tăiere depinde de mărimea curentului și de presiunea jetului de aer comprimat în anumite limite. Acestea se ale în funcție de grosimea piesei de tăiat și de diametrul electrodului (tabelul 10.12). Dacă electrodul se înclină în direcție transversală față de tăiere, se poate obține o tăiere înclinată pentru execuția rosturilor de sudare.

Tabelul 10.12

Alegerea vitezei de tăiere în funcție de diametrul electrodului

Diametrul electrodului, mm	Curentul A	Viteza de tăiere, mm/min, pentru grosimea tablei de tăiat, în mm			
		5	8	15	20
6	150	600	—	—	—
	300	1 200	600	—	—
8	150	1 000	400	—	—
	300	1 000	500	—	—
10	400	2 000	800	400	—
	300	1 200	—	—	—
10	400	1 600	600	300	—
	500	2 000	1 000	500	500

## 10.8. LIPIREA MATERIALELOR METALICE

### 10.8.1. MATERIALE FOLOSITE LA LIPIRE

Lipirea se realizează prin difuzia materialului de adaos, aflat în stare lichidă, în metalul pieselor aflate în stare solidă. Materialele folosite la lipire sînt: metalul de adaos și fluxurile respective. Din punct de vedere al materialului de adaos și al rezistenței legăturii lipite, procedeele de lipire se împart în două categorii:

— lipire tare, cînd temperatura de topire a metalului de adaos este mai mare ca  $500^\circ\text{C}$ ;

— lipire moale, cînd temperatura de topire a metalului de adaos este sub  $500^\circ\text{C}$ .

10.8.1.1. ALIAJE PENTRU LIPIRE TARE. În tabelul 10.13 sînt date aliajele de aluminiu cu siliciu care se folosesc la lipirea aluminiului și a aliajelor sale. Aliajele de cupru cu fosfor sînt date în tabelul 10.14 și se folosesc la lipirea cuprului și a aliajelor sale. Nu se recomandă folosirea acestui aliaj la lipirea oțelului și nichelului din cauza fosforului care produce fragilitate la rece.

Tabelul 10.13

Aliaje de lipit cu aluminiu și siliciu (BJ)

Compoziția, %			$\theta_{S1}, ^\circ\text{C}$	$\theta_{L1}, ^\circ\text{C}$
Al	Si	Alte elemente		
95	—	—	575	630
92,5	7,5	—	575	615
86	10	4Cu	520	584
88	12	—	575	580

Tabelul 10.14

Aliaje de lipit cu cupru și fosfor (BC)

Compoziția, %			$\theta_S, ^\circ\text{C}$	$\theta_L, ^\circ\text{C}$
Cu	P	Alte elemente		
95	5	—	708	896
93	7	—	708	805
89	6	5 Ag	645	815
87	7	6 Ag	640	748
80	5	15 Ag	640	702

Aliajele de cupru cu aur se folosesc la lipituri în industria electronică. Dintre aceste aliaje se menționează două: aliajul format din 62,5% Cu + 37,5% Au avind temperatura de topire 990°C și aliajul format din 20% Cu + 80% Au avind temperatura de topire 886°C.

Aliajele de cupru cu zinc sînt date în tabelul 10.15; ele se folosesc la lipirea nichelului și a aliajelor de cupru și nichel. Uneori se pot folosi și la lipirea alamelor.

Tabelul 10.15

## Aliaje de lipit cu cupru și zinc (BB)

Compoziția, %			$\theta_S, ^\circ\text{C}$	$\theta_L, ^\circ\text{C}$
Cu	Zn	Alte elemente		
99	—	—	1082	1082
60	40	—	898	902
57	42	1 Sn	887	898
56	40	1 Sn 1 Fe 2Ni	865	887
52,5	47,5	—	854	868
51,5	45	3,5 Sn	862	876
48	42	10 Ni	922	936
47	41,5	10,5 Ni 1 Ag	920	932

Aliajele cu magneziu de tipul 89% Mg + 2% Al + 2% Zn și alte elemente avind temperatura de topire 620°C se folosesc la lipirea magneziului și a aliajelor sale.

Aliajele de nichel și crom sînt date în tabelul 10.16; ele rezistă la temperaturi înalte și la coroziune. De aceea se folosesc la lipirea recipientelor și conductelor în industria chi-

Tabelul 10.16

## Aliaje de lipit cu nichel și crom (BL)

Compoziția, %					$\theta_S, ^\circ\text{C}$	$\theta_L, ^\circ\text{C}$
Ni	Cr	C	Si	B		
75,5	16,5	0,2	4	3,8	960	1095
86	7	—	4	3	955	997
93,4	—	—	4	2,6	983	1024
71	19	—	10	—	1110	1140

mică. Aliajul de la numărul patru rezistă la oxidare pînă la temperatura de 1100°C. Aliajele de cupru cu argint sînt date în tabelul 10.17. Au utilizare largă la lipirea metalelor feroase și neferoase, cu excepția aluminiului. Avind conductibilitate electrică bună, aliajele se utilizează la lipirea contactelor electrice.

Aliaje de cupru cu argint și staniu sînt date în tabelul 10.18. În unele se introduce cadmiu pentru a mări plasticitatea lipiturii.

Tabelul 10.17

## Aliaje de lipit cu cupru și argint (BF)

Compoziția, %				$\theta_S, ^\circ\text{C}$	$\theta_L, ^\circ\text{C}$
Cu	Ag	Alte elemente			
15	45	24 Cd	16 Zn	608	618
30	40	2 Ni	28 Zn	658	780
22	56	15 Sn	17 Zn	618	652
—	85	15 Mn	—	960	972
7	92,5	0,5 Si	—	760	890

Tabelul 10.18

## Aliaje de cupru cu argint și staniu (BG)

Compoziția, %				$\theta_S, ^\circ\text{C}$	Utilizarea
Ag	Cu	Sn	Cd		
20	45	35	—	765	Lipirea alamei
20	45	30	5	765	
30	38	32	—	738	Lipirea cuprului
45	30	25	—	670	Lipirea oțelurilor inoxidabile
50	15,5	16,5	18	620	
50	34	16	—	687	
70	20	10	—	712	Lipirea argintului
80	16	4	—	768	

10.8.1.2. ALIAJE PENTRU LIPIREA MOALE: cele mai folosite aliaje pentru lipirea moale și domeniul de aplicare sînt date în tabelul 10.19. Cea mai importantă grupă de aliaje pentru lipirea moale o formează aliajele de plumb cu staniu, la care se adaugă stibiu, cînd se cere o rezistență mecanică mai mare. În unele cazuri este necesar ca aliajele de lipit să aibă temperaturi de lipire foarte scăzute. Cîteva aliaje de acest tip se dau în tabelul 10.20 remarcîndu-se faptul că toate sînt eutectice și ca urmare temperaturile de topire sînt cele mai scăzute cu putință.

### 10.8.2. TEHNOLOGIA LIPIRII

În vederea lipirii piesele se curăță mecanic prin sablaj și chimic. Rostul dintre piesele de lipit trebuie astfel pregătît ca să se asigure pătrunderea prin capilaritate a metalului de adaos lichid. Rostul pentru lipire depinde de metalul de bază, de starea suprafețelor pieselor de lipit și de aliajul cu care se face lipirea. În cazul aliajelor pe bază de cupru și pe bază de argint, care au o fluiditate mare, se poate alege rostul de lipit (jocul dintre piese) mai mic decît în cazul altor aliaje.

La lipirea oțelurilor cu aliaje de cupru, jocul optim este 0,04–0,5 mm; cu aliaje de argint 0,02–0,15 mm și cu alamă, 0,05–0,25 mm. La lipirea cuprului și aliajelor de cupru se recomandă următoarele jocuri în funcție de aliajul de lipit: 0,08–0,40 mm la lipire cu aliaje de argint; 0,05–0,3 mm la lipire cu alamă. Pentru lipirea aluminiului cu aliaje de aluminiu și siliciu se recomandă jocuri de 0,1–0,6 mm.

Un caz deosebit este acela la care trebuie lipite două piese din materiale care au coeficienți de dilatare termică foarte departe unul de altul. În acest caz se ține seama de variația jocului dintre piese în cursul proceselor de încălzire și răcire a lipiturii (cazul lipirii plăcuțelor din carbură de wolfram pe suportul de oțel).

În ce privește forma lipiturii, ea se face în cazul lipiturilor cap la cap în mai multe variante: cu margini suprapuse pe o lățime de 2–3 ori grosimea tablelor sau cu pregătirea marginilor conform fig. 10.80. În cazul lipiturilor în T se folosesc variantele prezen-

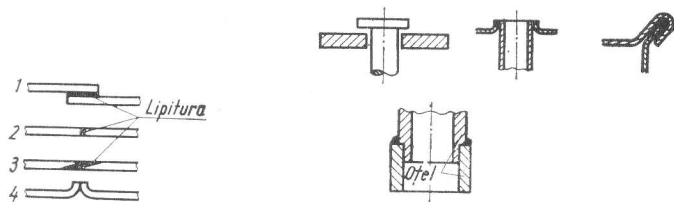


Fig. 10.80. Forme de lipituri cap la cap

Fig. 10.81. Forme de lipituri în T.

tate în fig. 10.81 unde se observă tendința de mărire a suprafețelor între care se produce îmbinarea. După curățirea pieselor se aplică lipirea care în principiu se face în două moduri: în primul mod se introduce metalul de adaos în stare topită la locul lipiturii iar în al doilea mod se introduce metalul de adaos și fluxul între piese și apoi tot ansamblul se încălzește la temperatura de lipire. Aplicarea uneia sau alteia din aceste două posibilități depinde de numărul pieselor ce se lipesc, de tipul pieselor și de utilajele care stau la dispoziție.

Tabelul 10.19

Aliaje pentru lipire moale

Compoziția, %					$\theta_S, ^\circ\text{C}$	$\theta_L, ^\circ\text{C}$	Utilizarea
Pb	Sn	Sb	Ag	Zn			
95	5	—	—	—	300	313	Lipirea la temperaturi moderate
90	10	—	—	—	268	300	Se utilizează la lipiri unde sînt
80	20	—	—	—	183	280	necesare intervale mari de solidi-
70	30	—	—	—	183	255	ficare
60	40	—	—	—	183	235	Aliaje folosite la diferite lipiri:
50	50	—	—	—	183	214	conexiuni electrice, table subțiri
40	60	—	—	—	183	190	Aliaj eutectic, care dă lipituri
							fine
30	70	—	—	—	183	193	Lipirea zincului
79	20	1	—	—	184	270	Sb mărește rezistența mecanică
68,4	30	1,6	—	—	184	250	Nu se recomandă la lipirea Al
58	40	2	—	—	185	231	și Zn
5	95	—	—	—	234	240	Are conductibilitate electrică
							bună la lipirea conexiunilor elec-
							trice
—	95	—	5	—	222	245	— „ —
—	91	—	—	9	199	199	Lipirea aluminiului
—	70	—	—	30	199	312	
—	30	—	—	70	199	376	
97,5	—	—	2,5	—	304	304	
97,5	1	—	1,5	—	309	309	Lipirea aluminiului
—	—	—	Cd82,5	17,5	265	265	
—	—	—	Cd40	60	265	236	
—	—	—	Cd10	90	265	400	Lipirea aluminiului
—	—	—	Al5	95	383	383	

Tabelul 10.20

Aliaje ușor fuzibile

Compoziția, %				$\theta_S$	$\theta_L$
Pb	B	Zn	Cd		
26,7	50	13,3	10	70	70
32	52,5	15,5	—	95	95
44,5	55,5	—	—	124	124



Ca surse de căldură pentru lipire, acestea se aleg în funcție de temperatura necesară și de procedul de lipit. Astfel se utilizează flacăra oxigaz, ciocane de lipit electric sau încălzite la flacăra de gaz, lămpi de benzină, surse electrice cu arc sau efect Joule, băi de săruri topite, curenți de înaltă frecvență, cuptoare cu sau fără atmosferă controlată etc. Spre deosebire de sudare, la lipire se preferă o încălzire mai lentă și dispersată pe zone mari. Din acest motiv se folosesc următoarele procedee de lipire: lipirea cu flacăra oxigaz, lipirea în cuptor, lipirea cu inducție, lipirea prin rezistență electrică și lipirea prin scufundare.

**Lipire cu flacăra oxigaz** se folosește mai ales în cazul pieselor de grosime mare. Flacăra trebuie să fie neutră sau ușor reducătoare. Lipirea cu flacăra oxigaz decurge astfel: se așază fluxul decapant pe locul de lipire, se face încălzirea la temperatura necesară în mod uniform și apoi se depune metalul de adaos care pătrunde între piese.

**Lipirea în cuptor** se folosește în cazul pieselor de serie mare și care permit o încălzire totală fără deformări. Lipirea în cuptoare se face cu atmosferă controlată pentru a proteja piesele și aliajul de lipit. Piesele de lipit se așază în poziția exactă pentru lipire, iar aliajul de lipit se așază în vecinătatea rostului sau în rost în forme potrivite situației. Este foarte importantă așezarea corespunzătoare a pieselor și a aliajului, astfel ca în cuptor metalul de adaos să umple complet rostul dintre piese fără să se scurgă.

**Lipirea prin inducție** se bazează pe încălzirea electromagnetică cu curenți de joasă tensiune și înaltă frecvență. Piesa este îmbrăcată de solenoidul parcurs de curent. Cu cât frecvența este mai înaltă cu atât pătrunderea este mai redusă. Acest fenomen este folosit la reglarea zonei folosite. Inductorii după forma piesei de încălzit pot fi în formă de bobină sau în formă de placă. În funcție de mărimea suprafeței de încălzit pot avea o spirală sau mai multe spire. Pentru a încălzi uniform suprafața piesei de lipit, spirele sunt așezate cu pas variabil și au forme și dimensiuni corespunzător determinate (fig. 10.82).

Pentru alimentarea cu energie electrică a procesului de lipire prin inducție, se folosesc grupuri rotative motor-generator având frecvența variabilă între  $10^3$  și  $10^4$  Hz

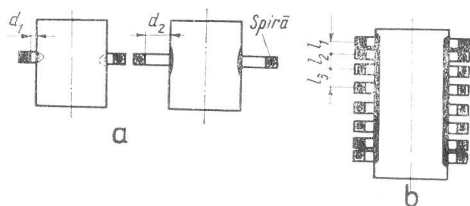


Fig. 10.82. Lipirea prin inducție

și puteri până la 1000 kW sau convertizoare de frecvență  $10^4$ – $10^5$  Hz cu circuite oscilante de puteri până la 40 kW. Lipirea prin inducție se desfășoară foarte repede, temperatura de lipire atingându-se în zecimi de secundă. Din această cauză se cere o pregătire foarte exactă a pieselor de lipit. Aliajul de lipit se va așeza cât mai aproape de rostul pe care trebuie să-l umple fără să sufere acțiunea directă de încălzire a inductorului. Lipirea prin inducție se folosește mai ales la piesele din oțeluri feromagnetice.

**Lipirea prin rezistență electrică** se bazează pe încălzirea pieselor de lipit la trecerea unui curent electric prin ele. La trecerea curentului, aliajul de lipit și

capetele pieselor se încălzesc iar când metalul de adaos se topește se întrerupe curentul și lipirea este terminată. La acest mod de încălzire electrozii de contact sînt din cupru sau din aliaj de cupru cu crom astfel ca încălzirea lor și a locului de contact cu piesele să fie cât se poate de mică. Durata de încălzire variază între 2 și 60 s. Alimentarea cu energie electrică se face de la transformatoare cu tensiuni în secundar de 4–8 volți și curenți, după caz, de la câteva sute la câteva mii de amperi. La acest mod de încălzire se utilizează aliaje cu punct de topire scăzut cum sînt cele pe bază de argint.

**Lipirea prin scurgere.** Se poate executa în două feluri: se scufundă piesele de lipit într-o baie de săruri topite, după ce metalul de adaos a fost așezat în rostul lipiturii sau se scufundă piesele de lipit în aliajul de lipit topit. Băile de săruri topite sînt de obicei cloruri sau cianuri la lipituri cu temperaturi medii folosind ca aliaje de lipit alama sau aliaje de argint. Temperatura băii este de 950°C. Dacă piesele sînt masive scufundarea se face treptat pentru a evita topirea prematură a aliajului de lipit. Durata scufundării este 1–2 minute. Al doilea mod de lipire se aplică la lipirea cu alamă a pieselor de oțel sau de fontă. Baia metalică topită este acoperită de un strat topit de flux, format din 75% borax și 25% acid boric. O altă aplicație este lipirea aluminului cu aliaje de aluminiu și siliciu. În acest caz, metalul topit se acoperă cu flux ușor alcalin.

## BIBLIOGRAFIE

1. BECKERT M., NEUMANN A. *Grundlagen der Schweisstechnik*. Berlin, VEB, Verlag, 1963.
2. BOTH, D. *Tehnologia sudării electrice*, București, Editura didactică și pedagogică, 1967.
3. ERDMANN, JESNITZER. *Werkstoff und Schweissung*. Vol. I, II. Berlin, Akademik Verlag, 1966.
4. GELMANN, A. *Tehnologia sudării prin presiune*, Moscova, Mașghiz, 1956.
5. HRENOV, K. *Tehnologia tăierii și sudării metalelor*. Moscova, Mașghiz, 1964.
6. MIKLOȘI, C. *Sudarea metalelor*. București, Editura tehnică, 1965.
7. PATON, E.O. *Tehnologia sudării electrice prin topire*. Moscova, Mașghiz, 1962.
8. POPOVICI, VL., IVANCENCO, AL. *Utilajele sudării electrice*. București, Editura didactică și pedagogică, 1968.
9. RIKALIN, H. *Teoria proceselor de sudare*. Moscova, Mașghiz, 1963.
10. SĂLĂGEAN, TR. *Fenomene fizice și metalurgice la sudare*. București, Editura Academiei R.S.R., 1963.
11. SEFERIAN, D. *Metalurgie de la soudure*, Paris, Dunod, 1965.
12. ȘARLĂU, C. *Stabilirea rațională a parametrilor regimului de sudare automată*. Timișoara, Conștiința a V-a de Sudură, 1965.

## 11. FABRICAREA PIESELOR DIN PULBERI METALICE

### 11.1. CONSIDERAȚII GENERALE

Necesitatea de a elabora materiale cu caracteristici deosebite cerute de tehnica modernă și care nu se pot obține prin metodele clasice a determinat apariția și dezvoltarea metalurgiei pulberilor, ramură a metalurgiei care se ocupă cu obținerea și utilizarea pulberilor metalice ca atare sau sub formă de produse sinterizate.

Pulberea este materialul format din particule de metale pure, de aliaje, de compuși intermetalici, de compuși chimici ai metalelor sau de amestecuri mecanice ale mai multor componenți și ale căror dimensiuni pot varia între 0,1 și 1000  $\mu\text{m}$ . Mărimea granulelor utilizate în metalurgia pulberilor pe scară industrială este cuprinsă însă în limite mai restrânse variind între 1 și 400  $\mu\text{m}$ .

Confecționarea semifabricatelor din pulberi metalice se realizează printr-o tehnologie simplă dar pretențioasă, care are la bază două operații principale: formarea semifabricatelor și sinterizarea.

Formarea este operația de obținere a unor semifabricate intermediare, de formă stabilă, cu sau fără utilizarea presiunii care ușurează operația de sinterizare și asigură în condiții economice obținerea proprietăților finale prescrise.

Sinterizarea este tratamentul termic care se aplică unui semifabricat compus din pulberi, cu scopul îmbunătățirii proprietăților fizico-mecanice de rezistență, utilizându-se o temperatură suficient de înaltă, dar sub punctul de topire al componentului principal al materialului.

Importanța economică a aplicării metalurgiei pulberilor se datorește următorilor factori mai importanți:

- posibilitatea obținerii pieselor cu configurație mai puțin complexă, direct la forma geometrică și dimensiunile finale, fără alte prelucrări ulterioare;
- economie de metale prin eliminarea aproape completă a deșeurilor, care la alte metode reprezintă între 20 și 80% din masa semifabricatelor prelucrate;
- un preț de cost mai redus al produselor fabricate în serii mijlocii sau mari față de posibilitățile oferite de tehnologia obișnuită;
- posibilitatea înlocuirii metalelor neferoase deficitare;
- eliberarea unor mari capacități de producție din parcul de mașini-unelte, producția realizându-se la același nivel calitativ, cu un personal mai puțin calificat și mai puțin numeros;

— ridicarea performanțelor tehnice ale mașinilor, aparatelor și instalațiilor la care se montează piese obținute prin această metodă.

Față de avantajele enumerate metoda are și unele neajunsuri:

- produsele din pulberi metalice sînt de obicei mai scumpe decît produsele echivalente turnate sau laminate;
- configurația și mărimea pieselor este limitată de puterea preselor, avînd în vedere faptul că regimul de presare necesită presiuni de pînă la 70  $\text{kN/cm}^2$ .

### 11.2. FENOMENE DE BAZĂ ÎN METALURGIA PULBERILOR

Esența procesului de obținere a produselor din pulberi metalice o constituie operațiile de formare și de sinterizare, care determină realizarea și creșterea suprafețelor de contact, cit și apariția legăturilor de coeziune interatomice. Acestea se obțin în următoarele etape:

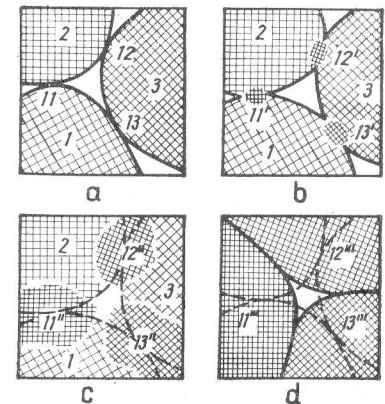
- formarea legăturilor tip „punct”;
- creșterea legăturilor „punct” și formarea suprafețelor de contact;
- creșterea cristalelor noi, sferoidizarea și dispariția porilor, etape care apar în operațiile de formare (cu și fără presare) și de sinterizare.

Etapele pot fi consecutive, suprapuse într-o anumită măsură sau simultane, favorizate fiind de: curgerea plastică, difuziunea superficială, difuziunea în straturile marginale ale grăunților, difuziunea în toată masa metalului, evaporare și condensare. Aceste etape determină mecanismul obținerii produselor sinterizate, mecanism ce poate fi urmărit în fig. 11.1.

Formarea legăturilor tip „punct” apare încă de la vărsarea simplă a pulberilor, unde se formează de obicei primele suprafețe de contact între particule, suprafețe care sînt

Fig. 11.1. Mecanismul sinterizării pulberilor metalice cu un singur constituent:

a — formarea legăturilor tip „punct”; b — creșterea legăturilor „punct” și formarea suprafețelor de contact; c — dezvoltarea noilor grăunți cristalini; d — creșterea cristalelor noi, sferoidizarea, dispariția porilor; 1, 2, 3... — particule de pulberi; 11, 12, 13..., 11', 12', 13'..., 11'', 12'', 13''..., 11''', 12''', 13'''... — nuclee de cristalizare în diferite faze de dezvoltare



instabile și de dimensiuni reduse; la tasarea pulberii, suprafețele de contact se măresc însă în majoritatea cazurilor aceste suprafețe rămîn tot instabile, astfel încît nu pot asigura un grad de consolidare suficient pentru ca semifabricatele obținute să-și poată

păstra forma. În cazul presării însă, realizarea acestor legături este determinată de compactizarea pulberii prin alunecare, de redistribuirea particulelor cit și de deformarea plastică ce are loc în întreaga masă de pulberi, imprimând astfel semifabricatului o formă stabilă.

Creșterea legăturilor „punct” și formarea suprafețelor de contact se produc în timpul sinterizării, fiind favorizate de creșterea mobilității atomilor odată cu creșterea temperaturii. Astfel „punctele” realizate în faza anterioară cresc lateral, transformându-se în „suprafețe” de contact (ce sînt în realitate volume), iar nucleele de cristalizare se dezvoltă în lungul suprafețelor de contact și în adîncime, peste granițele rețelelor cristaline inițiale. În continuare, datorită procesului de difuziune și de curgere plastică noii grăunți cristalini se dezvoltă, porii dintre particule sînt micșorați și izolați, volumul semifabricatului se contractă și se compactizează. În unele cazuri, creșterea suprafețelor de contact poate avea loc fără contracțiuni, respectiv fără micșorarea volumului. Creșterea legăturilor „punct” și formarea suprafețelor de contact se consideră terminată atunci cînd porii sînt izolați între ei și de suprafața semifabricatului.

Creșterea cristalelor noi, sferoidizarea și dispariția porilor reprezintă ultima fază în obținerea produselor din pulberi metalice. Creșterea granulară începută în a doua fază se accentuează; porii sînt micșorați treptat, căpătînd o formă sferică și treptat sînt eliminați total sau parțial, în funcție de desfășurarea în sine a procesului, adică depinzînd de temperatură, de durată, de natura pulberilor etc. Fenomenele din această fază se desfășoară mai lent și se termină odată cu procesul de sinterizare. Recristalizarea, care se produce în a doua și a treia etapă, se realizează în trei stadii, în funcție de temperatură: la 0,3—0,4 din temperatura absolută de topire a metalului respectiv, se produce o recristalizare de suprafață; la 0,4—0,45 din temperatura absolută de topire a metalului respectiv se începe recristalizarea spațială iar peste 0,45 din temperatura absolută de topire a metalului respectiv se realizează recristalizarea de asamblare între particule, care uneori poate avea loc în toată masa pulberilor. Recristalizarea și creșterea grăunților se dezvoltă — cu unele diferențe — după aceleași legi care acționează în cazul metalelor și al aliajelor turnate și ecruisate, supuse tratamentului termic.

Datorită transformărilor produse în aceste procese, proprietățile fizice și mecanice ale masei de pulberi se modifică sensibil.

## 11.3. PROCESUL TEHNOLOGIC DE FABRICARE AL UNEI PIESE DIN PULBERI METALICE

Procesul tehnologic de fabricare al unei piese din pulberi metalice, comportă următoarele operații fundamentale:

### 11.3.1. OBȚINEREA PULBERILOR SAU A AMESTECURILOR DE PULBERI

În tabelul 11.1 sînt enumerate diferite procedee de obținere cit și domeniul de utilizare a pulberilor. Procedeele de obținere a pulberii influențează în mare măsură proprietățile particulelor, prețul de cost al produselor fabricate cit și tehnologia prelucrării ulterioare a pulberii pînă la obținerea produselor finite.

Proprietățile produselor sinterizate (tabelul 11.2) sînt dependente în mare măsură de proprietățile fizice și chimice ale pulberilor utilizate.

Proprietățile fizice mai importante sînt:

— forma, respectiv neregularitățile suprafeței particulelor, care influențează în mod hotărîtor asupra proprietăților de presare a pulberii cit și asupra rezistenței muchiilor pieselor presate; se recomandă utilizarea particulelor cu formă cit mai diferită de cea sferică;

- densitatea după umplere și după scuturare;
- compactitatea de umplere;
- fluiditatea;
- duritatea și plasticitatea pulberii.

Conținuturile de oxigen, carbon, siliciu, sulf, fosfor etc., sînt date procentual în tabelul 11.3, pentru cele mai uzuale pulberi metalice. Compoziția chimică cit și rezistența la oxidare influențează procesul de fabricație și diminuează proprietățile finale ale produselor, în cazul depășirii valorilor prescrise.

### 11.3.2. PREGĂTIREA PULBERILOR PENTRU FORMARE

Pregătirea pulberilor constă din următoarele operații:

— sortare după mărimea particulelor, ce se realizează cu ajutorul sitelor vibratoare, pentru pulberi cu granulație mai mare de 44  $\mu\text{m}$ , și cu instalații pneumatice de sortare sau instalații bazate pe sedimentarea pulberii în medii lichide, pentru pulberile cu granulație foarte fină;

— tratament termic în atmosferă reducătoare aplicat pulberilor ce prezintă un grad ridicat de ecruisare sau celor ce prezintă oxizi peste limita admisă;

— dezintegrarea aglomeratelor de pulberi după elaborare sau după tratament termic;

— dozarea amestecului de pulberi, de obicei cu balanțe automate sau cu program;

— omogenizarea loturilor;

— ambalarea și păstrarea pulberilor în cazul în care nu se utilizează imediat, pentru a preîntîmpina oxidarea lor.

### 11.3.3. FORMAREA

11.3.3.1. CLASIFICAREA PROCESELOR DE FORMARE. În metalurgia pulberilor formarea semifabricatelor se realizează prin presarea sau fără presarea pulberii.

Formarea semifabricatelor din pulberi prin presare se poate realiza prin:

- presarea pulberilor în matriță la temperatura ambiantă;
- presarea pulberilor în matriță la cald;
- presarea izostatică a pulberilor;
- presarea pulberilor prin explozie;
- extrudarea pulberilor;
- laminarea pulberilor.

Formarea semifabricatelor din pulberi fără presare se poate realiza prin:

- vîrsarea simplă fără tasare și în forme de ipsos (Slip casting)
- compactizarea prin vibrație sau alte formări speciale.

11.3.3.2. FORMAREA PRIN PRESARE ÎN MATRIȚĂ. Comportarea la sinterizare a semifabricatelor obținute depinde în mare măsură de procedeul de formare. Cea mai des utilizată este formarea în matriță prin presare. La procesul de presare un rol important îl are factorul de umplere, care este raportul între înălțimea de umplere

Tabelul 11.1

## Metode de obținere și domeniul de utilizare a pulberilor metalice

Metode de obținere				Materia primă	
Mecanice	Din faza solidă	Dezintegrare grosolană și fină prin măcinare	În mori cu bile și în mori vibratoare	Metale casante	
				Metale plastice devenite casante	Burete din minereuri
					Precipitate electronice
					Așchii, sîrme
				Aliaje casante	
	Din faza lichidă	Granulare	În mori cu vîrtej	Materiale metalice plastice	
			În apă	Materiale metalice plastice în stare lichidă	
			Prin agitare în cursul solidificării		
			Centrifugă cu aer și apă DGR, jeturi de apă		
			Cu aer și aburi DPZ		
Fizicochimice	Din faza gazoasă	prin condensare		Vapori de metal	
		Procedul carbonil		Carbonil de metal	

Caracteristicile pulberii			Domeniul de utilizare
Simbol	Fermă	Mărimea grăunțelor μm²	
Mn, Cr, Sb, Bi, Co	Poliedrică, aciculară disc	10 — 1 000	Piese de mașini pentru industria chimică
Fe			Lagăre poroase, piese de mașini
Fe, Cr			Magneți, piese de mașini
Fe, Al, Cu			
Fe-Al, Fe-Cr, etc.			
Fe, Ni-Fe Cu, Ag, Al.	Disc	20 — 1 000	Lagăre poroase, amalgame ș.a.
Fe, Pb Cu, Ag	Sterilă	250	Lagăre poroase, cărbune metalic, filtre, magneți, piese de mașini, amalgame, etc.
Al, Cd, Sn, Zn		20 — 400	
Fe, Cu, Ni, Al, Bz, Am, Pb-Cu etc.			
Al, Co, Fe			
Zn, Mo Cd	Sferică	0,1 — 10 Cd	Lagăre poroase, cărbune metalic, bimetale, magneți, materiale pentru vid, aliaje dure, filtre
Ni, Fe Co, Cr		0,1 — 5	

Metode de obținere				Materie primă
Fizicochimice	Din faza lichidă	Reducere	Soluții apoase de săruri	Săruri de Ag, Au, Pt, Sn
			Topituri de săruri	Cloruri, fluoruri și sărurile elementelor
		Electroliză	Soluții apoase de săruri	Săruri de Fe, Cu, Pb, Sn etc.
			Topituri de săruri	Săruri de Zr, V, To, Nb, Ti, Th
		Reducerea compușilor chimici la temperatură înaltă. Hăgonăs; Pyron, H. Iron; Ch4 convertit, CH <sub>4</sub> neconvertit FREM		Oxizi metalici, minereuri, săruri organice
		Coroziune intercristalină		Oțel inoxidabil
		Reacții chimice cu metaloizi		Metale și oxizi de metale

și înălțimea semifabricatului presat (fig. 11.2). Înălțimea de umplere  $H_u$  cu pulbere liber vărsată se determină cu relația

$$\frac{\rho_u}{\rho_p} = \frac{H_u}{H_p} \text{ de unde } H_u = \frac{\rho_u}{\rho_p} \cdot H_p \quad (11.1)$$

în care:  $\rho_u$  este densitatea de umplere a pulberii, g/cm<sup>3</sup>;  $\rho_p$  — densitatea aparentă a semifabricatului presat, g/cm<sup>3</sup>.

Dimensionarea matrițelor se face ținând seama de factorul de umplere al pulberii respective, de concentrația în urma sinterizării și de relaxarea elastică ce are loc după presare.

Forța specifică de presare (presiunea de compactizare) se alege astfel, încît, în funcție de proprietățile inițiale ale pulberii utilizate să se obțină o stabilitate corespunzătoare

Tabelul 11.1 (continuare)

Caracteristicile pulberii			Domeniul de utilizare
Simbol	Formă	Mărimea grăunțelor $\mu\text{m}^2$	
Ag, Au, Pt, Sn		0,1–10	Amalgame, lagăre poroase, contacte electrice (W. Ag)
Ta, Nb, Ti Th, Zr, V.			Materiale pentru vid, ind. chimică, etc.
Fe, Cu, Pb, Sn	Neregulată, dentritică și aciculară poroasă	0,1–30	Lagăre poroase, cărbune metalic, magneți etc.
Ta, Th, Nb, Ti, Zr, V.			Materiale pentru industria chimică etc.
W, Mo, Fe, Ni, Ca, Co, Ti, Zr, U	Neregulată cu asperități și spongioasă	0,1–10	Filamente pentru becuri, plăcuțe pentru contacte electrice, aliaje dure, magneți
Cr-Ni		200	Piese pentru mașini și industria chimică
carburi nitruri bonuri de W, Mo, Ta, Ti		1–50	Aliaje dure

punzătoare a formei semifabricatului, precum și o porozitate anumită a produsului presat, știind că acestea se pot realiza în limite largi (fig. 11.3).

Mărimea presiunii de compactizare se alege în funcție de curba de presabilitate, ridicată pentru pulberea sau amestecul de pulberi ce urmează a se presa, ținând seama de porozitatea dorită a semifabricatului, precum și de specificul materialului presat.

Presiunea de compactizare este cel mai important factor care determină proprietățile semifabricatului presat cum ar fi: porozitatea, rezistența mecanică și duritatea.

Caracteristica principală a produselor obținute prin metalurgia pulberilor este structura poroasă. Determinarea porozității totale a produsului presat se face cu relația

$$P_t = 100 \left( 1 - \frac{\rho_p}{\rho_m} \right) [\%], \quad (11.2)$$

unde:  $\rho_p$  este densitatea aparentă a corpului presat în g/cm<sup>3</sup> iar  $\rho_m$  — densitatea reală a materialului.



Tabelul 11.2

Analiza granulometrică, densitatea de umplere și fluiditatea unor pulberi de fier

Denumirea pulberii (procedeu)	Fabricată	Reparația granulometrică, %							$\rho_w$ g/cm <sup>3</sup>	Fluiditatea s/50 g
		> 208 $\mu$ m	208 – 147 $\mu$ m	147 – 104 $\mu$ m	104 – 74 $\mu$ m	74 – 52 $\mu$ m	52 – 44 $\mu$ m	< 44 $\mu$ m		
Hăganäs I	Suedia	—	0,2	10,8	29,0	32,0	8,0	20,0	2,4	28,9
Hăganäs II	Suedia	—	—	24,3	34,4	12,9	13,4	15,0	2,48	—
R.Z.	R. F. a Ger- maniei	—	0,6	11,4	23,1	30,0	9,1	25,8	2,5	26,5
Hamettag	R. F. a Germaniei	3,2	41,7	32,1	19,6	1,8	1,2	0,4	2,42	—
Fier H pentru piese	S.U.A.	—	1 – 5	30 – 35	30 – 35	30 – 35	30 – 35	—	1,6 – 2,3	—
Pyron	S.U.A.	—	urme	14,5	20,5	19,5	9,2	36,3	—	—
Electrolitic	—	—	6,1	17,5	25,0	10,0	24,6	16,8	2,83	27,1
APJM-A și B	U.R.S.S.	0,5	6,5	25,5	26,1	20,0	6,2	15,2	—	—
MPJM-A și B	U.R.S.S.	32,1	48,0	16,3	20,0	3,6	—	—	—	—
FREM-P-150	R. S. România	0,4	6,2	15,2	20,0	22,1	8,2	27,9	2,3	—

Procedeele de presare utilizate sînt reprezentate în fig. 11.4.

Mașinile pentru formare prin presare sînt:

— presele mecanice cu acționare cu excentric, arbore cotit, mecanism cu articulații, came, care asigură o forță pînă la 2500 kN, cu o productivitate mare (200–400 buc/min).

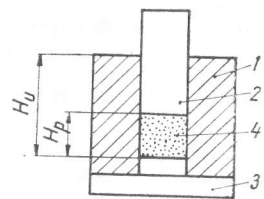


Fig. 11.2. Schema de presare unilaterală:

1 — matrită; 2 — poanson; 3 — suport; 4 — corp presat.

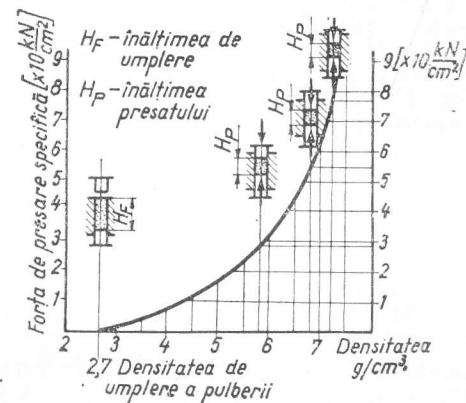


Fig. 11.3. Variația presiunii de compactizare în funcție de densitate.

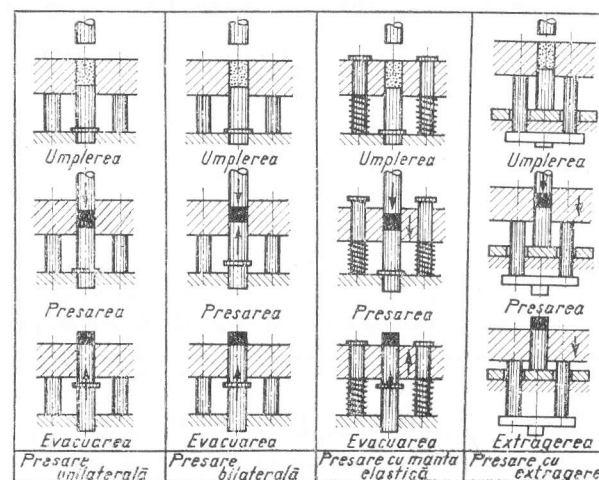


Fig. 11.4. Procedee de presare

— prese hidraulice cu forțe cuprinse între 1 000 și 50 000 kN, realizînd curse lungi și o viteză mică de presare; printr-o reglare judicioasă se obține și o productivitate acceptabilă, între 10–16 buc/min.

— prese mecano-hidraulice, caracterizate prin acționarea hidraulică a poansonului superior și mecanică a poansonului inferior; forța acestor prese este de 1 000—1 500 kN și productivitatea 6—18 buc/min.

În general, cu cât presa este mai complexă și are mai multe posibilități de mișcare, cu atât construcția matriței care se adaptează la presă este mai simplă. Materialul, proiectarea și prelucrarea părților active ale matrițelor influențează în mod hotărâtor calitatea presatelor. Oțelurile cele mai uzuale pentru confecționarea părților active ale matrițelor sint: VM 18; MoCN 15; C 120-STAS 3611-66.

Durata de funcționare a matrițelor depinde de pulberea utilizată la presare, de calitatea materialului matriței și de forma pieselor presate. În tabelul 11.4 sint redată câteva indicații în acest sens.

Tabelul 11.3

## Compoziția chimică a unor pulberi de fier

Denumirea pulberii (procedul)	Compoziția chimică, %							
	Fe (total)	C	O	Si	SiO <sub>2</sub>	Mn	P	S
Hăganăs I.	98,2	0,07	0,58	n.d.	0,24	n.d.	0,005	0,010
Hăganăs II.	98	0,1	0,5	n.d.	0,2	n.d.	0,015	0,015
R.Z.	98,2	0,07	0,61	0,9	n.d.	0,08	0,040	0,025
Hametag	Nedeterminat	0,09	0,5	0,04	n.d.	0,31	0,024	0,03
Fier H pentru piese	98,8	0,02	0,63	n.d.	0,20	0,43	0,018	0,021
Pyron	98,25	0,02	0,8	n.d.	n.d.	0,035	0,012	0,005
Electrolitic	98,8	0,01	0,48	0,01	n.d.	0,04	0,004	0,005
APJM-A	98	0,10	n.d.	0,20	n.d.	0,50	0,02	0,020
APJM-B	96	0,20	n.d.	0,20	n.d.	0,50	0,02	0,020
FREM-P-150	98,2	0,08	0,8	0,20	n.d.	0,30	0,02	0,025

Observație. În tabel s-a notat n.d. = nedeterminat.

Tabelul 11.4

## Durata de funcționare a matrițelor în funcție de pulberea presată

Materialul presatului	Durata matriței (în mii bucăți)		
	Piese de forme simple	Piese de formă mai puțin complicată	Piese de formă complicată
Materiale moi pe bază de cupru	40—50	23—30	20—25
Materiale pe bază de fier	30—35	20—25	12—15
Materiale dure	12—15	8—10	6—8

Matrițele uzate din oțel se pot recondiționa prin cromare dură de maximum 0,05 mm. În legătură cu proiectarea formei produsului presat, indicații constructive se arată în fig. 11.5.

Tabelul 11.5

## Proprietățile produselor de fier, în funcție de densitatea obținută după presare

Densitatea aparentă $\rho$ , g/cm <sup>3</sup>	Rezistența de rupere la tracțiune $\sigma_r$ , daN/mm <sup>2</sup>	Alungirea $\delta$ %	Reziliența KCU <sup>3</sup> daJ/cm <sup>2</sup>	Duritatea HRB $F = 30$ daN $d = 2,5$ mm
6,00	14,06	2	0,28	60
6,50	17,58	5	0,70	80
6,75	21,90	7	1,05	88
7,00	24,61	10	1,40	96
7,25	28,12	14	2,10	—
7,50	31,61	20	2,80	—

## 11.3.4. SINTERIZAREA SEMIFABRICATELOR PRESATE

Sinterizarea se realizează prin încălzirea semifabricatelor la o temperatură ce trebuie să fie superioară sau cel puțin egală cu temperatura de recristalizare, practic situându-se între 0,75—0,8 din temperatura absolută de topire a componentului principal.

Utilajele de sinterizare mai des folosite sint diferite tipuri de cuptoare cu încălzire prin rezistență electrică, ca de exemplu: cuptoare tubulare cu trecere continuă, cu cameră, tip cupolă, cu clopot, cu vid, cuptoare cu vid și încălzire prin inducție, instalații de sinterizare CIF sau instalații de încălzire cu fascicul de electroni.

Structura poroasă a produselor sinterizate variază de obicei între 1—30%, în funcție de porozitatea obținută la operația de presare, precum și de temperatura și durata de sinterizare.

În timpul sinterizării, contracția în direcția presării este mai pronunțată decât perpendicular pe ea, din care motiv sint mai greu de respectat dimensiunile pieselor în direcția presării. Creșterea compactității influențează hotărâtor toate proprietățile mecanice ale corpurilor sinterizate (fig. 11.6).

Lungimea pieselor sinterizate variază mult în funcție de densitate (fig. 11.7).

Proprietățile de rezistență a pieselor sinterizate pe bază de fier sint date în tabelul 11.5.

--	--	--	--	--	--	--	--	--	--	--	--	--	--	--	--	--	--	--	--	--	--	--	--	--	--	--	--	--	--	--	--	--	--	--	--	--	--	--	--	--	--	--	--	--	--	--	--	--	--	--	--	--	--	--	--	--	--	--	--	--	--	--	--	--	--	--	--	--	--	--	--	--	--	--	--	--	--	--	--	--	--	--	--	--	--	--	--	--	--	--	--	--	--	--	--	--	--	--	--	--	--	--	--	--	--	--	--	--	--	--	--	--	--	--	--	--	--	--	--	--	--	--	--	--	--	--	--	--	--	--	--	--	--	--	--	--	--	--	--	--	--	--	--	--	--	--	--	--	--	--	--	--	--	--	--	--	--	--	--	--	--	--	--	--	--	--	--	--	--	--	--	--	--	--	--	--	--	--	--	--	--	--	--	--	--	--	--	--	--	--	--	--	--	--	--	--	--	--	--	--	--	--	--	--	--	--	--	--	--	--	--	--	--	--	--	--	--	--	--	--	--	--	--	--	--	--	--	--	--	--	--	--	--	--	--	--	--	--	--	--	--	--	--	--	--	--	--	--	--	--	--	--	--	--	--	--	--	--	--	--	--	--	--	--	--	--	--	--	--	--	--	--	--	--	--	--	--	--	--	--	--	--	--	--	--	--	--	--	--	--	--	--	--	--	--	--	--	--	--	--	--	--	--	--	--	--	--	--	--	--	--	--	--	--	--	--	--	--	--	--	--	--	--	--	--	--	--	--	--	--	--	--	--	--	--	--	--	--	--	--	--	--	--	--	--	--	--	--	--	--	--	--	--	--	--	--	--	--	--	--	--	--	--	--	--	--	--	--	--	--	--	--	--	--	--	--	--	--	--	--	--	--	--	--	--	--	--	--	--	--	--	--	--	--	--	--	--	--	--	--	--	--	--	--	--	--	--	--	--	--	--	--	--	--	--	--	--	--	--	--	--	--	--	--	--	--	--	--	--	--	--	--	--	--	--	--	--	--	--	--	--	--	--	--	--	--	--	--	--	--	--	--	--	--	--	--	--	--	--	--	--	--	--	--	--	--	--	--	--	--	--	--	--	--	--	--	--	--	--	--	--	--	--	--	--	--	--	--	--	--	--	--	--	--	--	--	--	--	--	--	--	--	--	--	--	--	--	--	--	--	--	--	--	--	--	--	--	--	--	--	--	--	--	--	--	--	--	--	--	--	--	--	--	--	--	--	--	--	--	--	--	--	--	--	--	--	--	--	--	--	--	--	--	--	--	--	--	--	--	--	--	--	--	--	--	--	--	--	--	--	--	--	--	--	--	--	--	--	--	--	--	--	--	--	--	--	--	--	--	--	--	--	--	--	--	--	--	--	--	--	--	--	--	--	--	--	--	--	--	--	--	--	--	--	--	--	--	--	--	--	--	--	--	--	--	--	--	--	--	--	--	--	--	--	--	--	--	--	--	--	--	--	--	--	--	--	--	--	--	--	--	--	--	--	--	--	--	--	--	--	--	--	--	--	--	--	--	--	--	--	--	--	--	--	--	--	--	--	--	--	--	--	--	--	--	--	--	--	--	--	--	--	--	--	--	--	--	--	--	--	--	--	--	--	--	--	--	--	--	--	--	--	--	--	--	--	--	--	--	--	--	--	--	--	--	--	--	--	--	--	--	--	--	--	--	--	--	--	--	--	--	--	--	--	--	--	--	--	--	--	--	--	--	--	--	--	--	--	--	--	--	--	--	--	--	--	--	--	--	--	--	--	--	--	--	--	--	--	--	--	--	--	--	--	--	--	--	--	--	--	--	--	--	--	--	--	--	--	--	--	--	--	--	--	--	--	--	--	--	--	--	--	--	--	--	--	--	--	--	--	--	--	--	--	--	--	--	--	--	--	--	--	--	--	--	--	--	--	--	--	--	--	--	--	--	--	--	--	--	--	--	--	--	--	--	--	--	--	--	--	--	--	--	--	--	--	--	--	--	--	--	--	--	--	--	--	--	--	--	--	--	--	--	--	--	--	--	--	--	--	--	--	--	--	--	--	--	--	--	--	--	--	--	--	--	--	--	--	--	--	--	--	--	--	--	--	--	--	--	--	--	--	--	--	--	--	--	--	--	--	--	--	--	--	--	--	--	--	--	--	--	--	--	--	--	--	--	--	--	--	--	--	--	--	--	--	--	--	--	--	--	--	--	--	--	--	--	--	--	--	--	--	--	--	--	--	--	--	--	--	--	--	--	--	--	--	--	--	--	--	--	--	--	--	--	--	--	--	--	--	--	--	--	--	--	--	--	--	--	--	--	--	--	--	--	--	--	--	--	--	--	--	--	--	--	--	--	--	--	--	--	--	--	--	--	--	--	--	--	--	--	--	--	--	--	--	--	--	--	--	--	--	--	--	--	--	--	--	--	--	--	--	--	--	--	--	--	--	--	--	--	--	--	--	--	--	--	--	--	--	--	--	--	--	--	--	--	--	--	--	--	--	--	--	--	--	--	--	--	--	--	--	--	--	--	--	--	--	--	--	--	--	--	--	--	--	--	--	--	--	--	--	--	--	--	--	--	--	--	--	--	--	--	--	--	--	--	--	--	--	--	--	--	--	--	--	--	--	--	--	--	--	--	--	--	--	--	--	--	--	--	--	--	--	--	--	--	--	--	--	--	--	--	--	--	--	--	--	--	--	--	--	--	--	--	--	--	--	--	--	--	--	--	--	--	--	--	--	--	--	--	--	--	--	--	--	--	--	--	--	--	--	--	--	--	--	--	--	--	--	--	--	--	--	--	--	--	--	--	--	--	--	--	--	--	--	--	--	--	--	--	--	--	--	--	--	--	--	--	--	--	--	--	--	--	--	--	--	--	--	--	--	--	--	--	--	--	--	--	--	--	--	--	--	--	--	--	--	--	--	--	--	--	--	--	--	--	--	--	--	--	--	--	--	--	--	--	--	--	--	--	--	--	--	--	--	--	--	--	--	--	--	--	--	--	--	--	--	--	--	--	--	--	--	--	--	--	--	--	--	--	--	--	--	--	--	--	--	--	--	--	--	--	--	--	--	--	--	--	--	--	--	--	--	--	--	--	--	--	--	--	--	--	--	--	--	--	--	--	--	--	--	--	--	--	--	--

Fig. 11.5. Indicații constructive privind proiectarea formei presatului.

Variația modului de elasticitate în funcție de densitatea aparentă a presatelor din fier se arată în fig. 11.8. Modulul de elasticitate se poate calcula cu relația:

$$\frac{E_s}{E_t} = v^{3,5}, \quad (11.3)$$

în care:  $E_s$  este modulul de elasticitate a presatului sinterizat;  $E_t$  — modulul de elasticitate al metalului compact;  $v$  — raportul dintre densitatea aparentă a presatului sinterizat și a metalului compact. Principalii factori în procesul de sinterizare sînt redați în tabelul 11.6.

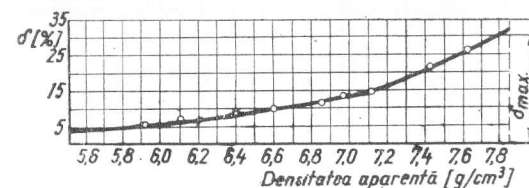


Fig. 11.7. Lungirea presatelor din fier în funcție de densitatea aparentă

### 11.3.5. OPERAȚII SUPLIMENTARE ULTERIOARE

**Calibrarea** este folosită pentru obținerea unei precizii dimensionale înalte, executată după sinterizare.

**Compactizarea** urmărește pe lângă precizie dimensională și mărirea densității produsului ceea ce duce la îmbunătățirea proprietăților mecanice. Foarte des operațiile de calibrare și compactizare sînt asociate într-o singură operație.

**Așchieria** produselor sinterizate este utilizată numai la produsele unicate sau de serie mică din două motive: prețul de cost crește iar calitatea suprafeței și porozitatea sînt influențate negativ. Pentru așchieria în regim de îndesare (densitatea stratului superficial crește) aplicat la așchieria pieselor cu porozitate mare (25...35%) se utilizează

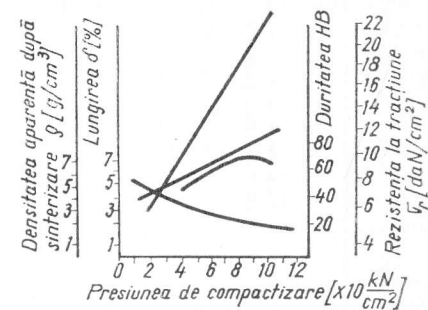


Fig. 11.6. Caracteristicile mecanice ale unei piese din fier sinterizate în funcție de presiunea de compactizare.

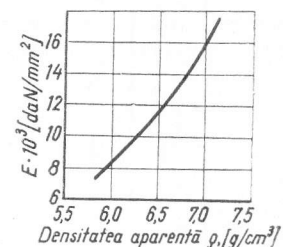


Fig. 11.8. Variația modului de elasticitate în funcție de densitatea aparentă la piese din fier sinterizate.

Indicații practice privind sinterizarea

Materialul	Atmosfera de protecție	Temperatura de sinterizare, °C	Timpul de sinterizare, min	Observații
Fier și aliaje de fier	Amoniac disociat, gaz parțial ars	900—1 200	30—90	Pentru evitarea decarburării, CO trebuie să fie mic CO <sub>2</sub>
Aliaje de bronz		700—870	15—25	—
Material de fricțiune		730—850	30—60	Sinterizarea și lipirea pe placa de oțel se face simultan
Materiale pentru contacte	H <sub>2</sub> amoniac disociat	900—1 200	10—25	—
Magneți permanenți	H <sub>2</sub>	1 250—1 350	60—180	Din cauza aluminiului este nevoie de H <sub>2</sub> purificat și fără vapori de apă
Aliaje dure	H <sub>2</sub>	1 350—1 600	45—120	Eventual se sinterizează în vid (TiC) sau prin presare la cald
Metale refractare: W, Mo, Ta, Nb	H <sub>2</sub> (W, Mo) vid (Ta, Nb)	2 200—3 200	15—40	Barele de wolfram și molibden se presinterizează la temperaturi mai joase

parametrii:  $v = 300$  m/min;  $s = 0,03$  mm/rot.;  $\hat{\gamma} = 15^\circ$ . În cazul aşchierii fără îndesarea stratului superficial porii rămân deschiși. Cele mai utilizate operații de aşchiere sînt: strunjirea, alezarea și frezarea. Rectificarea suprafețelor de frecare este interzisă, deoarece granulele de carbură de siliciu intră în porii produsului sinterizat producînd degradarea suprafețelor de frecare. În general, se lucrează cu viteze mari (80—300 m/min) și avansuri mici (sub 0,03 mm/rot), răcirea făcîndu-se cu aer comprimat.

*Tratamentele în întreaga masă*, ce se aplică în special produselor mai puțin poroase, sînt: călirea și durificarea prin precipitare. Călirea aplicabilă materialelor fier-grafit, fier-cupru-grafit, cu structură perlitică, necesită carburarea materialelor sinterizate prin: călire cu încălzire și carburare în baie de săruri topite, carburarea prin împachetare în amestecuri solide, carburarea în timpul sinterizării, carburarea cu gaze și carbonitrurarea. Durificarea prin precipitare se aplică aliajelor fier-cupru-grafit.

*Tratamentele de suprafață* constau din călirea prin încălzire în băi cu săruri de carburare, cementare, cianurare și se aplică pieselor sinterizate compacte, rezistente la uzură. Cromarea de difuzie mărește duritatea, rezistența mecanică la uzură și la coroziune. Fosfatarea dă mare rezistență la uzură.

### 11.3.6. CONTROLUL PRODUSELOR SINTERIZATE

Proprietățile produselor sinterizate sînt specifice metodei de elaborare din care cauză și controlul produselor sinterizate se realizează prin încercări, determinări și analize adaptate evidențierii proprietăților specifice [1].

## 11.4. PRODUSE ALE METALURGIEI PULBERILOR

### 11.4.1. MATERIALE ANTIFRICȚIUNE POROASE

**Lagăre poroase cu bază de fier.** Caracteristica principală a lagărelor poroase produse prin metalurgia pulberilor este autoungerea datorită îmbibării cu ulei, care asigură în condiții mai ușoare de funcționare, formarea unui film permanent de ulei. Cantitatea de ulei debitat din pori depinde de încărcarea și viteza periferică a suprafețelor de alunecare, dar și de numărul și mărimea porilor și de felul uleiului. Lagărele autolubrifiante se caracterizează printr-un coeficient de frecare mic, prin proprietatea de a se roata ușor, printr-o rezistență bună la uzură și tendință redusă la gripare chiar dacă ungerea exterioară nu mai este asigurată. Lagărele cu bază de fier au rezistență la uzură de două ori mai mare ca cele de bronz și pot funcționa la temperaturi mai ridicate (300°C).

Unele proprietăți ale fierului sinterizat pentru lagăre poroase se arată în tabelul 11.7. Pentru lagărele poroase din fier fără ungere suplimentară, limita superioară de viteză este de circa 4 m/s, la încărcare de 5 daN/cm<sup>2</sup>, iar limita superioară de încărcare de 60 daN/cm<sup>2</sup> la o viteză sub 0,5 m/s. În condiții mai grele (viteze peste 1,5 m/s), lagărele pot fi prevăzute cu ungere suplimentară, iar acolo unde solicitările mecanice sînt însoțite de solicitări termice, proprietățile se pot îmbunătăți cu lubrifiant solid.

**Lagăre de bronz sinterizat.** Materialul tipic pentru lagărele poroase este bronzul cu 10% Sn și o porozitate de circa 25%. Bronzul poros este indicat pentru lagărele la

Tabelul 11.7

## Proprietățile fierului sinterizat pentru lagăre poroase

Densitatea	58–60 g/cm <sup>3</sup>
Porozitatea	~ 25% din volum
Rezistența la tracțiune	7–10 daN/mm <sup>2</sup>
Alungirea $\delta_{10}$	≥ 20%
Rezistența la încovoiere	15–20 daN/mm <sup>2</sup>
Duritatea HB(5/125/30)	25–30 daN/mm <sup>2</sup>
Reziliența	≈ 0,3 j/cm <sup>2</sup>
Conductibilitatea termică între 20–100°C	≈ 0,46 j/cm · s · grd
Coeficientul linear de dilatare termică între 20–100°C	≈ 12 · 10 <sup>-6</sup> /grd
Căldura specifică între 20–100°C	≈ 0,46 J/g · grd
Rezistența electrică specifică la 20°C	0,205 × 10 <sup>-6</sup> Ωm
Compoziția chimică, %	C ~ 0,2; Si ≤ 0,1 P ≤ 0,003; Mn ~ 0,3 S ≤ 0,06; Cu ~ 0,2

Tabelul 11.8

## Proprietățile lagărelor bronz-grafit și fier-grafit autolubrifiante (porozitate 20–25%)

Caracteristici	Bronz-grafit	Fier-grafit
Densitatea aparentă $\rho$ , g/cm <sup>3</sup>	60–68	6,5–6,7
Duritatea HB, daN/mm <sup>2</sup>	18–20	35–40
Rezistența la compresiune $\sigma_c$ , daN/mm <sup>2</sup>	60–70	75–80
Rezistența la forfecare $\sigma_f$ , daN/mm <sup>2</sup>	10–12	20–25
Capacitatea de absorbție, % din greutatea presei	2–3	2–3
Coeficientul de frecare la $p = 20–25$ daN/cm <sup>2</sup> , $v = 1,5–2$ m/s	0,004–0,007	0,005–0,009
Coeficientul de dilatare linear între 20–300°C/grd	12 × 10 <sup>-6</sup> –17 × 10 <sup>-6</sup>	9 × 10 <sup>-6</sup> –10 × 10 <sup>-6</sup>
Încărcarea maximă admisibilă la $P_{max}$ [daN/cm <sup>2</sup> ] și $v = 2$ m/s	60–80	150–200
Temperatura maximă de regim, °C	60–80	100–120

care mediul este coroziv față de fier, unde se cere un mers fără zgomot, sau în cazul lagărelor de dimensiuni mici.

În cazul lagărelor de bronz, viteza maximă este 3 m/s la încărcarea de 1,5 daN/cm<sup>2</sup> și încărcarea maximă de 30 daN/cm<sup>2</sup> la o viteză de 0,15 m/s (tabelul 11.8). În fig. 11.9 este dată încărcarea limită a lagărelor sinterizate din diferite materiale. Valorile coeficientului de frecare sînt cuprinse între 0,004–0,01 (fig. 11.10). Durata de funcționare a lagărelor poroase este influențată de mai mulți factori așa încît, valorile de durată sînt orien-

tative. În condiții normale durată atinge 3000–4000 h iar cu ungere suplimentară poate atinge durată de funcționare 10000 h. La lagărele sinterizate se poate obține în general un joc mai mic decît la cele compacte, atingînd valorile 0,05–0,25% din diametrul axului.

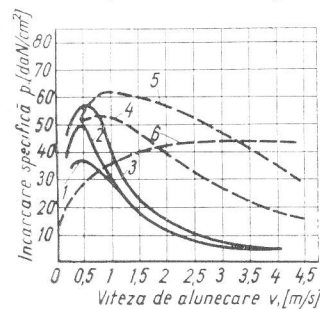


Fig. 11.9. Încărcarea limită a lagărelor sinterizate:

1 – bronz poros; 2 – fier-grafit; 3 – Fe-Cu-grafit; 4 – Fe-grafit (ungere fitil); 5 – Fe-grafit (ungere prin circulație); 6 – bronz compact (ungere prin presare)

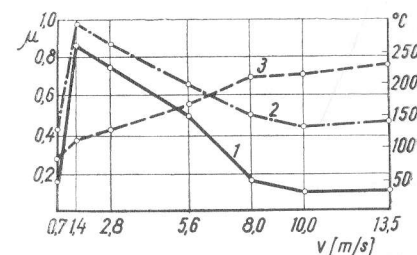


Fig. 11.10. Variația coeficientului de frecare, a uzurii și a temperaturii în funcție de viteza de alunecare.

## 11.4.2. PIESE DE REZISTENȚĂ ÎN CONSTRUCȚIA DE MAȘINI

Piese cu bază de fier. În general, la piesele de mare rezistență și precizie ridicată, solicitate dinamic, se utilizează presiuni de compactizare mai mari de 6 kN/cm<sup>2</sup> și tehnologii complexe, cuprinzînd eventual mai multe presări și sinterizări, impregnare cu alt metal topit, calibrare, tratamente termice și alte operații ulterioare. Exemple de cîteva sorturi de materiale feroase sinterizate pentru piese de mașini se dau în tabelul 11.9.

Tabelul 11.9

## Proprietățile unor materiale sinterizate pentru piese de mașini pe bază de fier

Materialul	Densitatea g/cm <sup>3</sup>	Rezistența la rupere daN/mm <sup>2</sup>	Alungirea $\delta_s$ , %	Rezistența la încovoiere daN/mm <sup>2</sup>	Duritatea HB daN/mm <sup>2</sup>
Fier nealiat	6,5	18–22	12–8	42–48	55
sărac în carbon	7,2	24–28	20–15	50–56	58
Fier cu 2% Cu	6,5	20–24	6–4	40–46	75
Fier sărac în carbon	6,8	28–32	7–5	56–62	100
Fier nealiat C ≈ 0,8%	6,8	33–43	4	66–82	110
Fier cu 5% Ni sărac în carbon	7,2	37–41	12–10	82–88	120
Fier cu 2% Cu 5% Ni și 0,8% C	6,2 6,5 6,8	38–42 46–50 58–62	2 2 2	66–72 90–96 108–114	125 150 175



Materialele cu densitate pînă la  $6 \text{ g/cm}^3$  se obțin prin presare și sinterizare simplă iar cele cu densitate mai mare prin dublă presare și dublă sinterizare, atingînd rezistențe ridicate.

**Piese pe bază de metale neferoase.** Bronzul sinterizat cu mică porozitate se utilizează pentru piese rezistente la coroziune, cu valori înalte pentru rezistență și alungire, în special în industria electrotehnică, mecanică fină și filtre pentru industria chimică (tabelul 11.10).

Tabelul 11.10

Proprietățile unor materiale sinterizate pe bază de cupru

Materialul	Densitatea $\rho$ , $\text{g/cm}^3$	Rezistența la rupere $\text{daN/mm}^2$	Alungirea $\delta$ , %	Duritatea HB $\text{daN/mm}^2$
Bronz sintetizat cu 10% Sn și pînă la 3% Zn	6,5	8	4	25
	7,0	18	8	35
	7,7	22	20	50
Alamă sinterizată cu 20% Zn și pînă la 2% Pb	7,0	11	11	30
	7,7	25	25	50
Alamă sinterizată cu 30% Zn și pînă la 2% Pb	7,0	13	10	30
	7,7	25	20	45
Alpaca sinterizată cu 67% Zn, 17% Ni și restul Zn	7,2	14	7	40
	8,0	30	12	75

Piese de aluminiu sinterizat se utilizează în industria avioanelor, în construcția de mașini și în ultimul timp și în tehnica nucleară.

#### 11.4.3. FILTRE METALICE

În general materialele metalice sinterizate cu porozitatea mai mare de 30% din volum sînt utilizate pentru filtre. Proprietățile de bază ale filtrelor metalice sînt: porozitatea deschisă, permeabilitatea și secțiunea activă a porilor, (tabelul 11.11). Pentru filtre cu permeabilitate nu prea mare și cu pori fini, după omogenizarea amestecului cu adaosul pentru porozitate (oxizi, carbonați sau oxalați) se presează cu presiuni mici  $5-20 \text{ kN/cm}^2$  sau pulberea se varsă liber în forme ceramice, oxidice, pentru filtre cu permeabilitate mai mare. Sinterizarea se execută în general în două etape: o presinterizare la temperatură joasă urmată de o sinterizare finală la temperaturi înalte.

Filtrele metalice se execută din diferite metale și aliaje în funcție de destinație cum sînt: filtre de bronz (92% Cu, 8% Sn) cu porozitate de 50%, de nichel cu porozitate 38-90%, din oțel inoxidabil cu 18% Cr, 8% Ni sau 18% Cr și 12% Ni utilizabile pînă la  $550^\circ\text{C}$  pentru: filtrarea gazelor, lichidelor, curățirea carburanților și lubrifianților etc.

Tabelul 11.11

Granulație medie și utilizarea pulberilor sferice pentru filtre

Pulberea	Granulația medie, mm	Utilizarea
Fier carbonil Nichel carbonil	Sub 0,003	Filtre de permeabilitate foarte redusă și mărime foarte fină a porilor
Fier, bronz, obținute prin pulverizare din fază lichidă (DPG etc.)	Sub 0,06 0,06-0,1 0,1-0,2 0,2-0,3	Filtre de mică permeabilitate și mărime fină a porilor Filtre de înaltă permeabilitate și mărime medie a porilor
Fier, oțel nealiat și aliat, nichel, bronz, alamă etc. obținute prin măcinare din așchii, sirmă	0,2-0,3	Filtre de înaltă permeabilitate și mărime medie a porilor
Bronz, alamă și cupru obținute prin topirea sirmei cu arc electric sub apă	0,3-0,5 0,5-0,8	Filtre de foarte mare permeabilitate și mărime mare și foarte mare a porilor
Carburi de wolfram, titan etc. aglomerate prin sinterizare	0,06-0,2	Ca la pulberi de aceeași granulație

#### 11.4.4. MATERIALE DE FRICȚIUNE

Se utilizează ca garnituri pentru frîne și ambreiaje și sînt elaborate pe bază de fier, cupru sau bronz care conțin pînă la 30% componenți nemetalici (grafit, silice, alumină, azbest). Ele se folosesc sub formă de segmenti, aplicate pe un suport din oțel (discuri, saboți, benzi etc.) iar legătura se realizează prin imbinare mecanică (nituire) sau prin aderență rezultată în timpul sinterizării.

În cazul materialelor fier-grafit, cu un conținut de 5-20% grafit, sinterizarea trebuie astfel condusă încît pierderile de grafit să fie evitate și produsul final să cuprindă cît mai mult carbon liber. Pentru aceasta se sinterizează la temperatură mai joasă ( $750-960^\circ\text{C}$ ) într-un gaz neutru iar viteza de răcire se alege astfel încît partea de carbon dizolvată la sinterizare în soluție solidă să se separe din nou elementar.

La utilizarea pentru discuri de ambreiaj, materialul este sinterizat pe table suport. Ca liant se utilizează un aliaj cu compoziția eutecticului Fe-P-C sau pulbere de fier aliat cu fosfor. În industrie, utilizare mai mare au materialele de fricțiune pe bază de cupru, a căror compoziție variază în felul următor: 60-85% Cu, 5-15% Pb, 5-10% Sn, 0-10% Fe, 4-8% grafit, 2-7%  $\text{SiO}_2$ , 0-10% azbest. Cel mai mult se utilizează procedeul sinterizării sub presiune, care permite sudarea stratului de material de fricțiune pe suportul de oțel chiar în timpul sinterizării. Se aplică o presiune de  $10-12 \text{ daN/cm}^2$  utilizîndu-se un cuptor special de sinterizare sub presiune.

## 11.4.5. METALE REFRACTARE

Metalele a căror temperatură de topire depășește pe cea a cromului (1875°C) se numesc metale refractare. Obținerea metalelor refractare în formă compactă se realizează în metalurgia pulberilor prin topirea cu arc și topirea cu fascicul de electroni. Cele mai utilizate metale refractare sînt: wolframul, molibdenul, titanul și în ultimul timp tantalul, niobiul și zirconiu. Neajunsul acestor materiale este că peste o anumită temperatură (600°C) se oxidează intens.

Pentru confecționarea sîrmelor din wolfram, pulberea se presează în forme de bare cu secțiune pătrată care se presinterizează, apoi bara se sinterizează prin trecere directă a curentului într-un cuptor tip clopot la circa 3000°C, în vid. Urmează forjarea barei la temperaturi înalte (circa 1700°C) cu ciocane rotative și trefilarea la cald sau la rece. Prelucrare similară necesită molibdenul și tantalul.

Materialele refractare se mai elaborează din oxizi, carburi, nitruri, sulfuri, siliciuri, boruri și alți compuși refractari. Actualmente metalele refractare se folosesc pentru: table pentru aviație, motoare cu reacție, turbine cu gaz etc., piese masive forjate din molibden, tantal și wolfram, în special pentru rachete și motoare cu combustibil solid, elemente de încălzire din molibden și wolfram pentru cuptoarele electrice.

## 11.4.6. ALIAJE DURE

Unele din cele mai importante produse ale metalurgiei pulberilor sînt aliajele dure sinterizate (tabelul 11.12). Ele sînt constituite din grăunți foarte duri de carburi, aglomerări de către un liant obișnuit, cobaltul.

Tabelul 11.12

Compoziția și proprietățile aliajelor dure (WC-TiC-Co)

Compoziția, %			Densitatea g/cm <sup>3</sup>	Duritatea		Rezistența la încovoiere $\sigma_{rl}$ , daN/mm <sup>2</sup>
WC	TiC	Co		HRA	HV	
94	1	5	14,5—14,7	90—91	1 500—1 600	140—160
87,5	2,5	10	14,0—14,2	89—90	1 400—1 500	160—180
84,5	2,5	13	13,7—13,8	87—89	1 300—1 400	180—196
86	5	9	13,2—13,4	89—91	1 450—1 550	150—160
82	5	13	12,8—13,0	88—90	1 350—1 450	160—180
82	10	8	11,8—12,0	90—91	1 500—1 600	150—170
78	14	8	11,1—11,3	90—91	1 550—1 650	130—140
78	16	6	11,0—11,2	90—91,5	1 600—1 700	110—125
76	16	8	10,9—11,1	90—91	1 550—1 650	120—130
69	25	6	9,6—9,8	91—92	1 650—1 750	90—110
61	32	7	8,7—9,0	92—93	1 650—1 750	80—100
34	60	6	6,5—6,8	92—93	1 750—1 850	70—80

După amestecul intim, pulberile de carburi și de cobalt, la care se adaugă un plastifiant provizoriu, se presează în matrițe din oțel sau din aliaje dure cu presiunea de 10—40 kN/cm<sup>2</sup>, obținându-se semifabricate în formă de blocuri mari sau plăcuțe de formă

definitivă. Se efectuează apoi o presinterizare la 900—1150°C, în atmosferă reducătoare sau în vid. Ele se taie cu procedee speciale în plăcuțe care se sinterizează definitiv în atmosferă de hidrogen sau în vid la temperatura de 1400—1500°C în funcție de compoziția aliajelor. Peste 70% din aliajele dure se utilizează pentru scule de așchiere.

Piese supuse la uzură puternică, pentru care se utilizează aliajele dure sînt: filiere de trefilare, matrițe și poansoane pentru presare, matrițe de ambutisare, extrudare, laminare (cilindrii) pentru benzi fine, instrumente de măsură (verificatoare, calibre, filete de măsură etc.), tuburi în industria chimică, duze pentru sablaj etc.

## BIBLIOGRAFIE

1. DOMȘA, A. *Tehnologia fabricării pieselor din pulberi metalice*. București, Editura tehnică, 1966.
2. FEDORCENKO, I. ANDRIEVSKI, R.A. *Osnovi proshkovoii metallurgii*. Kiev, Akad. Nauk SSSR, 1962.
3. LĂBUȘCĂ, E. *Introducere în metalurgia pulberilor*. București, Editura Academiei RSR, 1957.
4. LESZINSKI, u. *Powder Metallurgy*. New-York 1961.
5. RAKOVSKI, V.S., SAKLINSKI, V.V. *Poroškovaia metallurgia v mašinostroenii*. Moskva, Maşghiz, 1963.

## 12. PRELUCRAREA MATERIALELOR METALICE PRIN AȘCHIERE

### 12.1. ELEMENTE DE TEORIA AȘCHIERII METALELOR ȘI CONSTRUCȚIA SCULELOR AȘCHietoARE

#### 12.1.1. PARAMETRII PROCESULUI DE AȘCHIERE ȘI AI SCULEI AȘCHietoARE

12.1.1.1. FACTORII PROCESULUI DE AȘCHIERE. Procesul de așchiere constă din detașarea, sub formă de așchii, a unui strat de material, cu ajutorul unei scule așchietoare. Intervin: *materialul piesei prelucrate*, *scula inclusă în sistemul tehnologic mașină-unealtă-dispozitiv-sculă-piesă (M-D-S-P)*, *mediul*, (de exemplu fluidul de așchiere).

12.1.1.2. CINEMATICA AȘCHIERII. În deplasarea relativă între sculă și piesă, se distinge: *mișcarea principală* (care concurează la ridicarea așchiei) și *mișcarea secundară, de avans* (pot exista una sau mai multe).

Mișcarea principală se execută cu *viteza principală  $v$* , m/min sau m/s; mișcarea secundară de avans se execută cu *viteze de avans  $w = n \cdot s$*  [mm/min]; din compunerea acestora rezultă *viteza de așchiere  $u$* , care determină *direcția de așchiere*, tangentă la traiectoria descrisă de punctul respectiv.

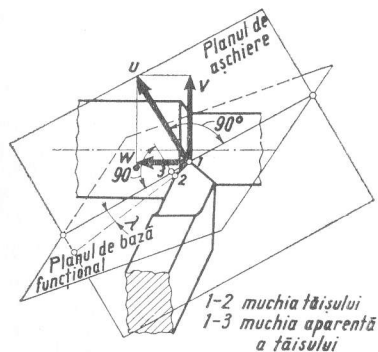


Fig. 12.1. Planele de referință la strunjire:  
1-2 — muchia tăișului; 1-3 — muchia aparentă a tăișului

12.1.1.3. SISTEME DE REFERINȚĂ. Viteza de așchiere  $u$  și tangenta la muchia tăișului sculei, într-un punct al acesteia, determină un plan imaginar numit *plan de așchiere* (fig. 12.1).

Planul normal pe direcția de așchiere, în punctul considerat, va fi *planul de bază funcțional*. Acesta determină *sistemul de referință funcțional  $Oxyz$*  (în care  $Oxy$  corespunde planului de bază funcțional, iar  $Oz$  este îndreptat către sensul mișcării relative a sculei față de piesă). *Parametrii geometrici funcționali* ai sculei așchietoare se consideră în raport cu sistemul funcțional.

Deoarece scula așchietoare se consideră și singular, în afara procesului de așchiere, se definește *sistemul de referință constructiv*, luat față de sculă. În acest caz, corespunzător planului de bază funcțional, va exista un *plan de bază constructiv*, definit, în cazul sculei generalizate (fig. 12.8) de axa de rotație a sculei și punctul considerat pe tăiș — care, pentru simplificare, *practic* [34] se poate lua vârful tăișului. În raport cu sistemul de referință constructiv, se definesc *parametrii geometrici constructivi* ai sculei.

12.1.1.4. GEOMETRIA SCULEI AȘCHietoARE ELEMENTARE. Diferitele scule așchietoare sînt constituite din una sau mai multe scule elementare (fig. 12.5).

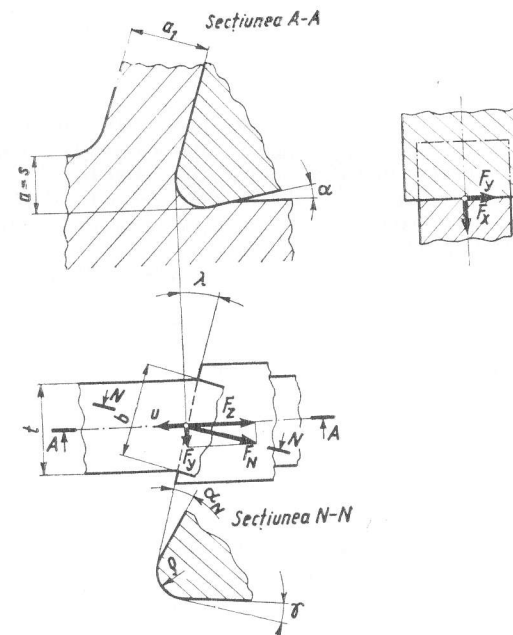


Fig. 12.2. Așchieria înclinată liberă

Scula elementară este un cuțit (cuțitul elementar), cu un singur tăiș, la care se disting (fig. 12.2):

*Fața de degajare* — fața sculei pe care se ridică așchia.

*Fața de așezare* — fața sculei pe care are loc frecarea între materialul prelucrat și sculă.

*Muchia tăișului sculei* — linie (matematică) de intersecție dintre fața de degajare și fața de așezare, iar *tăișul sculei* — unghiul solid material din jurul acesteia.

*Raza de ascuțire* [38]  $\rho$  — raza de racordare a intersecției dintre fața de degajare și fața de așezare.

*Unghiul de degajare funcțional*  $\gamma^*$  — unghiul dintre planul de bază funcțional și planul tangent la fața de degajare din punctul respectiv, măsurat într-un plan secant normal la tangenta dusă la muchia tăișului (așchia deplasându-se, în general, normal la tăiș).

Unghiul  $\gamma^*$  se consideră pozitiv dacă muchia tăișului principal precede fața de degajare în sensul vitezei de așchiere și negativ — în sens contrar.

În cazul prelucrării materialelor dure ( $\sigma_r > 80 \text{ daN/mm}^2$ ), se utilizează un *unghi de degajare negativ* — care face ca vârful sculei să fie solicitat la compresiune; de asemenea în cazul așchierii rapide.

Pentru a combina avantajele unghiurilor de degajare pozitiv și negativ, se prevede o față de degajare dublă.

*Unghiul de așezare funcțional*  $\alpha^*$  — unghiul cuprins între planul de așchiere și planul tangent la fața de așezare în punctul considerat, măsurat într-un plan secant normal la planul de așchiere conținând tangenta la traiectorie.

*Unghiul de așchiere funcțional*  $\delta^*$  — unghiul dintre planul tangent la fața de degajare și planul de așchiere, măsurat în același plan secant ca și unghiul de degajare funcțional.

*Unghiul de înclinare funcțional*  $\lambda^*$  — unghiul dintre direcția tangentei la muchia tăișului și planul de bază funcțional, măsurat în planul de așchiere.

*Unghiul de degajare constructiv*  $\gamma$  — unghiul dintre planul de bază constructiv și planul tangent la fața de degajare din punctul respectiv, măsurat într-un plan secant normal la tangenta dusă la muchia tăișului.

*Unghiul de așezare constructiv*  $\alpha$  — unghiul cuprins între planul tangent la fața de așezare din punctul respectiv și un plan determinat de tangenta la muchia tăișului și direcția axei  $Oz$ , măsurat într-un plan normal la cel de-al doilea plan considerat.

*Unghiul de așchiere constructiv*  $\delta$  — unghiul cuprins între planul tangent la fața de degajare din punctul respectiv și un plan determinat de tangenta la muchia tăișului și direcția axei  $Oz$ , măsurat în același plan ca și  $\gamma$ .

*Unghiul de ascuțire*  $\beta$  — unghiul cuprins între fața de degajare și fața de așezare, măsurat într-un plan secant normal la muchia tăișului sculei.

*Unghiul de înclinare constructiv*  $\lambda$  — unghiul dintre direcția tangentei la muchia tăișului și planul de bază constructiv, măsurat într-un plan normal pe acesta din urmă.

Cînd dimensiunile piesei prelucrate sînt mari, sculele așchietoare sînt prevăzute cu un *tăiș principal* și 1—2 *tăișuri secundare*. Se deosebesc (fig. 12.3):

*Unghiul de atac principal funcțional*  $\kappa^*$  — unghiul dintre direcția tangentei la muchia tăișului principal în punctul considerat și direcția avansului rezultat.

*Unghiul de atac secundar funcțional*  $\kappa_1^*$  — unghiul dintre direcția tangentei la muchia tăișului secundar în punctul considerat și direcția avansului rezultat.

Obs. Unghiurile de atac principal și atac secundar se numesc *unghiuri de poziție*.

*Muchia aparentă a tăișului* — proiecția muchiei tăișului pe planul de bază constructiv (numită și *profilul tăișului*).

*Unghiul vârfului tăișului*  $\epsilon$  (fig. 12.6) — unghiul cuprins între cele două muchii aparente ale tăișului principal și secundar.

*Unghiul direcției tăișului principal*  $\psi$  — unghiul dintre direcția aparentă a tăișului principal și proiecția axei principale longitudinale a sculei, pe planul de bază constructiv.

*Unghiul direcției tăișului secundar*  $\psi_1$  — unghiul dintre direcția aparentă a tăișului secundar și proiecția axei principale longitudinale a sculei, pe planul de bază constructiv.

*Unghiul de atac principal* (constructiv)  $\kappa$  este complementul unghiului direcției tăișului principal  $\psi$ .

*Unghiul de atac secundar* (constructiv)  $\kappa_1$  este complementul unghiului direcției tăișului secundar  $\psi_1$ .

Unghiurile de atac (constructive)  $\kappa$  și  $\kappa_1$  se numesc și *unghiuri în plan*.

*Tăișul de trecere* sau *rotunjirea cu raza de racordare*  $r$  — racordarea dintre tăișul principal aparent și tăișul secundar aparent (fig. 12.4).

*Unghiul de atac al tăișului de trecere* (constructiv)  $\kappa_0$  este complementul unghiului direcției tăișului de trecere  $\psi_0$ .

*Unghiul de înclinare pozitiv* ( $\lambda > 0$ ) — cînd vârful tăișului precede muchia tăișului, în sensul de așchiere.

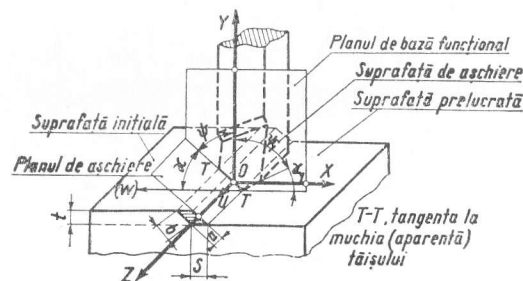


Fig. 12.3. Prelucrarea suprafeței plane, în mai multe treceri (cicluri)

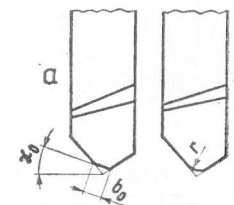


Fig. 12.4. Forma vârfului sculei așchietoare:  $a$  — tăiș de trecere;  $b$  — raza de racordare;  $b_0$  — lățimea tăișului de trecere

*Unghiul de înclinare negativ* ( $\lambda < 0$ ) — cînd muchia tăișului precede vârful tăișului, în sensul de așchiere.

12.1.1.5. GEOMETRIA AȘCHIEI. *Adaosul de prelucrare* este stratul de material care se îndepărtează de pe toată întinderea suprafeței prelucrate, dintr-o trecere sau din mai multe treceri.

*Adîncimea de așchiere*  $t$  — dimensiunea adaosului de prelucrare ridicat la o singură trecere (fig. 12.3 și 12.6); în cazul frezării (fig. 12.5) și în cazul rectificării: pătrunderea principală a sculei, măsurată în planul de bază funcțional sau într-un plan axial al frezei se numește *adîncimea de așchiere*  $t$  iar pătrunderea sculei măsurată într-un plan normal pe planul de bază funcțional sau în planul transversal al frezei se numește *lățimea de așchiere*  $t_1$ .

Secțiunea nominală a așchiei — secțiunea așchiei cuprinsă în planul de bază funcțional (fig. 12.6).

Grosimea nominală a așchiei  $a$  ( $a = s \sin \kappa$ ).

Lățimea nominală  $b$ , ( $b = t/\sin \kappa$ ).

Obișnuit  $a < b$  (secțiune înaltă, directă); mai rar  $a > b$  (secțiune joasă, inversă).

Grosimea așchiei  $a_1$  — grosimea așchiei ridicată (fig. 12.2).

Lățimea așchiei  $b_1$  — lățimea așchiei ridicate.

Avia secțiunii așchiei este  $q_1 = a_1 \cdot b_1$ .

Forma secțiunii așchiei (zveltețea) este  $b/a$ ;  $b_1/a_1$ .

Secțiunea așchiei efectivă este secțiunea de așchie ridicată efectiv de sculă (fig. 12.6).

Secțiunea așchiei rămasă este diferența dintre secțiunea nominală a așchiei și secțiunea efectivă a acesteia.

12.1.1.6. GENERALIZAREA SCULEI AȘCHietoARE [39]. Din unirea a două sau mai multe cuțite elementare, care constituie tăișul principal și tăișurile secundare, se pot obține diversele scule așchietoare (fig. 12.7).

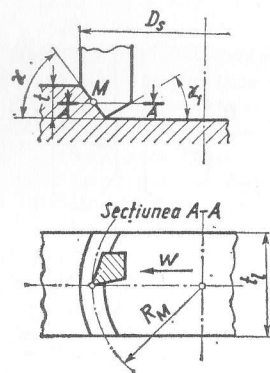


Fig. 12.5. Frezarea frontală:  
 $t_1$  — adâncimea de trecere;  $t_2$  — lățimea de așchiere

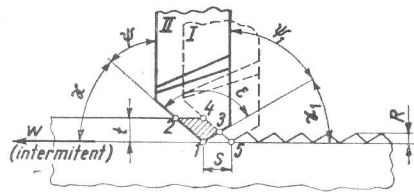


Fig. 12.6. Secțiunile așchiei:  
1-2-4-5 secțiunea nominală; 1-2-4-3 secțiunea efectivă; 1-3-5 — secțiunea rămasă

Se poate considera o sculă generalizată, abstractă, a cărei particularizare permite găsirea diferitelor scule așchietoare clasice sau găsirea de noi scule, încă neabordate. O astfel de sculă poate fi, de exemplu, *capul portcuțite* (fig. 12.8), cu  $i$  rînduri de cuțite, fiecare cu câte  $z_i$  cuțite [39].

Mișcarea principală poate fi (caz simplificat [39]):

- mișcarea de rotație a capului portcuțite, cu viteza principală  $v_s$  (fig. 12.9);
- mișcarea de rotație a semifabricatului, cu viteza principală  $v_p$  (fig. 12.9).

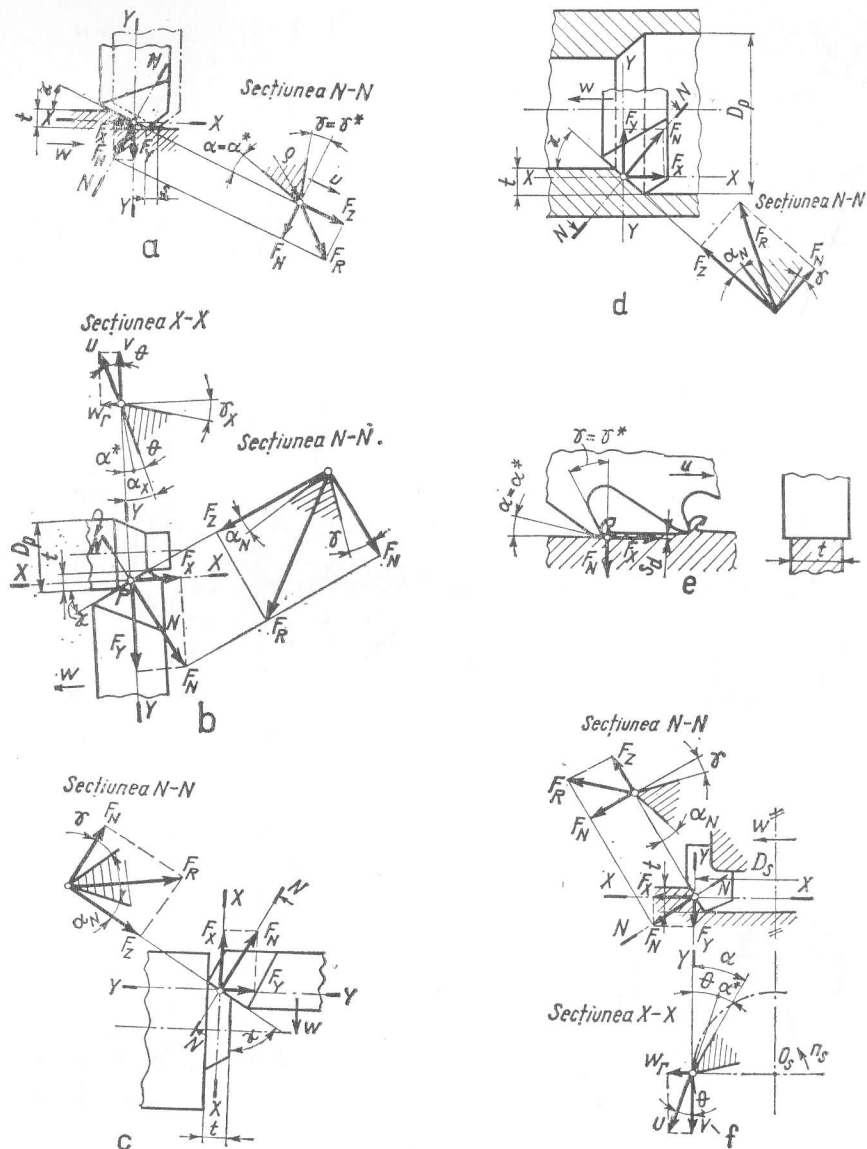


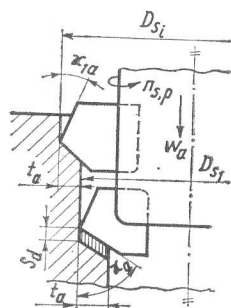
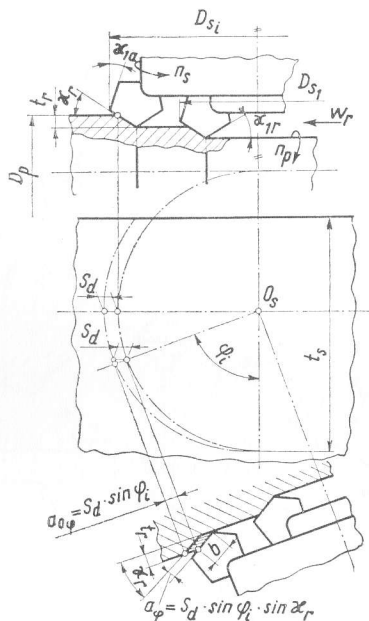
Fig. 12.7. Constituirea sculei așchietoare din cuțite elementare:  
 $a$  — cuțitul de rabotat;  $b$  — cuțitul de strung la strunjirea longitudinală;  $c$  — cuțitul de strung la strunjirea transversală;  $d$  — cuțitul de strung la strunjirea interioară;  $e$  — broșarea;  $f$  — frezarea frontală;





Mișcarea de avans poate fi:

- deplasarea rectilinie radială, cu viteza de avans  $w_r$  (fig. 12.9);
- deplasarea rectilinie axială, cu viteza de avans  $w_a$  (fig. 12.10), sau alte deplasări.



Particularizarea sculei generalizate:

- $v_s \neq 0$  ( $v_p = 0$ ),  $w_a \neq 0$  ( $w_r = 0$ ),  $i > 1$ ,  $z_i > 1$  — tarod;
- $v_p \neq 0$  ( $v_s = 0$ ),  $w_r \neq 0$  ( $w_a = 0$ ),  $i \geq 1$ ,  $z_i \geq 1$  — filieră;
- $v_s \neq 0$  ( $v_p = 0$ ),  $w_a \neq 0$  ( $w_r = 0$ ),  $i = 1$ ,  $z_1 > 1$  — alezor, sculă de lamă, lărgitor sau, pentru  $z_1 = 2$ , — burghiu;
- $v_s \neq 0$  ( $v_p = 0$ ),  $w_r \neq 0$  ( $w_a = 0$ ),  $i \geq 1$ ,  $z_i \geq 1$  — freză;
- $v_p \neq 0$  ( $v_s = 0$ ),  $w_r \neq 0$  ( $w_a = 0$ ),  $i = 1$ ,  $z_1 = 1$  — cuțit pentru strunjire longitudinală sau pentru  $i > 1$  — cuțit multiplu; în aceleași condiții, dar  $w_a \neq 0$  ( $w_r = 0$ ) — cuțitul pentru strunjire transversală;

—  $v_s(\text{rectilinie}) \neq 0$  ( $v_p = 0$ ),  $w_a \neq 0$  ( $w_r = 0$ ),  $D_s = \infty$ ;  $i > 1$ ,  $z_i = 1$  — broșă; pentru  $i = 1$ ,  $z_1 = 1$  — cuțit de rabotat respectiv cutit de mortezat.

Printr-o particularizare diferită, se pot obține și alte scule așchietoare (broșe circulare, scule combinate etc.).

12.1.1.7. FORȚE, PUTERI. Pentru un cuțit constitutiv (cuțitul elementar) al unei scule, apar următoarele forțe componente (fig. 12.2):  $F_z$  — forța principală de așchiere,  $F_N$  — forța normală de așchiere; ultima se descompune în  $F_x$  — forța de avans ( $F_x = k_x F_z$ ),  $F_y$  — forța de respingere ( $F_y = k_y F_z$ ).

Ca urmare, forța totală de așchiere are valoarea

$$F_R = \sqrt{F_z^2 + F_x^2 + F_y^2} = F_z \sqrt{1 + k_x^2 + k_y^2} \approx 1,1 F_z \quad [\text{daN}]. \quad (12.1)$$

Forța totală necesară avansului va fi

$$F_s = F_x + \mu(F_z + F_y) = F_z[k_x + \mu(1 + k_y)] = k_s F_z \quad [\text{daN}], \quad (12.2)$$

în care  $k_s = k_x + \mu(1 + k_y)$ , iar  $\mu$  — coeficientul de frecare ( $\mu \approx 0,1$ ).

Puterea necesară avansului:

$$P_s = F_s w / (1000 \cdot 60 \cdot 100) = [F_x + \mu(F_z + F_y)] w / (6 \cdot 10^6) \quad [\text{kW}]. \quad (12.3)$$

Puterea necesară așchierii:

$$P = F_z v / (60 \cdot 100) + [F_x + \mu(F_z + F_y)] w / (1000 \cdot 60 \cdot 100) + F_y \cdot 0 / (60 \cdot 100) \approx F_z v / 6000 \quad [\text{kW}]. \quad (12.4)$$

Momentul necesar așchierii:

$$M = 974 P / n \quad [\text{daN} \cdot \text{m}] \approx F_z D_{s,p} / 2000 \quad [\text{daN} \cdot \text{m}]. \quad (12.5)$$

## 12.1.2. FORMA AȘCHIEI

În funcție de materialul așchiat, parametrii așchierii, geometria sculei și fluidul de așchiere, așchia ridicată va avea diferite forme:

— așchia produsă prin deformare plastică, care, după gradul de deformare poate fi: așchie formată din grupe de elemente (fig. 12.11, a), așchie în trepte (fig. 12.11, b), așchie de curgere (fig. 12.11, c);

— așchie de rupere, în cazul materialelor în stare fragilă (fig. 12.11, d).

## 12.1.3. COMPRIMAREA PLASTICĂ A AȘCHIEI

În funcție de condițiile de așchiere, are loc o scurtare respectiv o îngroșare și lățire a așchiei. Rapoartele  $k_l = l/l_1$ ,  $k_a = a_1/a$  și  $k_b = b_1/b$  (în care  $l$  și  $l_1$  este lungimea nominală respectiv reală a așchiei) definesc coeficientul de comprimare plastică (contractie) a așchiei, coeficientul de îngroșare a așchiei și coeficientul de lățire a așchiei.

## 12.1.4. DEPUNERILE PE TĂIȘ

În cazul aşchierii oţelurilor reziliante, mai ales la prelucrarea interioară, în prezenţa unei geometrii necorespunzătoare a sculei sau sculei uzate, calitate nesatisfăcătoare a feţelor sculei, fluidul de aşchiere necorespunzător, cînd coeficientul de frecare este mare etc., apar depuneri pe tăişul sculei.

Depunerile pe tăiş se formează la o anumită viteză de aşchiere. I. M. Besprozvannii a constatat că în cazul strunjirii unui oţel  $\sigma_r = 41 \text{ daN/mm}^2$  (luînd  $\gamma = 15^\circ$ ,  $t = 2,5 \text{ mm}$ ,

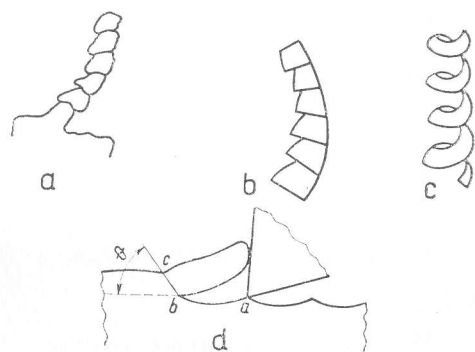


Fig. 12.11. Diferite forme de aşchii:

a - aşchie din grupe de elemente; b - aşchie în trepte;  
c - aşchie de curgere; d - formarea aşchiei la materiale  
în stare fragilă

$s = 0,33 \text{ mm/rot}$ ), apar patru zone în legătură cu formarea adaosului pe tăiş:  $v \leq 5 \text{ m/min}$  (lipsă depuneri),  $v = 7 \dots 25 \text{ m/min}$  (apar depuneri),  $v = 25 \dots 80 \text{ m/min}$  (apar depuneri care cad pe suprafaţa prelucrată),  $v > 200 \text{ m/min}$  (depunerile sînt antrenate de aşchie).

## 12.1.5. FENOMENE SUB LINIA DE AȘCHIERE

În stratul superficial al materialului prelucrat, are loc o deformare plastică însoțită de doi factori contradictorii: ecruisare și temperatură. În general, temperatura produsă nu depășește temperatura de recristalizare, iar durata de încălzire este mică, astfel că predominantă este ecruisarea; în cazul vitezei de aşchiere mare și în prezența unui unghi de degajare negativ, temperatura poate atinge valori înalte, acțiunea de ecruisare fiind micșorată. Încălzirea superficială intensă, pe lângă variațiile termice volumetrice ale metalului, este însoțită și de transformări de fază, legate, la rîndul lor, de variațiile volumelor diferitelor straturi superficiale, ceea ce face să apară tensiuni.

Calitatea suprafeței prelucrate, sub aspectul fizic și geometric, are o mare importanță asupra rezistenței la oboseală [51, vol. III, p. 713—738].

## 12.1.6. DINAMICA PROCESULUI DE AȘCHIERE

12.1.6.1. DINAMICA AȘCHIERII ÎN CAZUL SCULEI ELEMENTARE. V. D. Kuznețov a stabilit, pentru forța principală de aşchiere, expresia (completată)

$$F_z = C_{Fz} t^{x_{Fz}} s^{y_{Fz}} k_z \text{ [daN]}, \quad (12.6)$$

relație aproximativă (de aceeași formă cu formula găsită experimental de Taylor), care arată că forța de aşchiere depinde de aria secțiunii aşchiei ( $t$ s) și de forma secțiunii aşchiei ( $t/s$ ); influența restului condițiilor este cuprinsă în factorul  $k_z$ . Analog:

$$F_x = C_{Fx} t^{x_{Fx}} s^{y_{Fx}} k_x, \quad (12.7)$$

$$F_y = C_{Fy} t^{x_{Fy}} s^{y_{Fy}}. \quad (12.8)$$

Raportul acestora depinde de unghiul  $\alpha$  (fig. 12.8). Cînd  $\alpha = 90^\circ$ , practic  $F_y = 0$  (important pentru piese insuficient de rigide).

În practică se consideră, în multe cazuri, apăsarea specifică de aşchiere:  $p = F_z/q$  [daN/mm<sup>2</sup>].

12.1.6.2. DINAMICA AȘCHIERII ÎN CAZUL SCULEI GENERALIZATE Considerîndu-se pentru scula generalizată avansul după direcția radială respectiv axială, se găsește relația generalizată [39]

$$F_z = C_{Fz} D_{s \text{ med}}^{q_{Fz}} s_d^{x_{Fz}} t^{y_{Fz}} t_l^{q_{Fz}} z \cdot i k_z \text{ [daN]}, \quad (12.9)$$

în care  $D_{s \text{ med}}$  este diametrul mediu al sculei.

Relația este valabilă pentru determinarea forței principale de aşchiere pentru toate sculele aşchietoare. În cazul cînd una dintre mărimile  $s_d$ ,  $t$ ,  $t_l$ ,  $z$ ,  $i$  sau  $D_{s \text{ med}}$  nu participă în cazul sculei respective, exponentul acelei mărimi se ia egal cu zero. De exemplu, pentru rabotare, mortezare și strunjire cu un singur cuțit:

$$F_z = C_{Fz} s^{x_{Fz}} t^{y_{Fz}} k_z. \quad (12.10)$$

Pentru broșare, (în care  $b$  este lățimea aşchiei ridicate):

$$F_z = C_{Fz} s_d^{x_{Fz}} b^{y_{Fz}} z k_z \quad (12.11)$$

în care  $z$  este numărul de dinți ai broșei în contact cu materialul prelucrat.

În cazul frezării (cu un singur rînd de dinți):

$$F_z = C_{Fz} D_s^{q_{Fz}} s_d^{x_{Fz}} t^{y_{Fz}} t_l^{q_{Fz}} z k_z. \quad (12.12)$$

La burghiere:

$$F_z = C_{Fz} D_s^{q_{Fz}} s^{x_{Fz}} k_z. \quad (12.13)$$

Momentul necesar burghierii:

$$M = C_M D_s^{q_M} s^{x_M} k_M. \quad (12.14)$$

Forța axială este de forma  $F_x = k_{Fx} \cdot F_z$ , deci

$$F_x = C_{Fx} D_s^{q_{Fx}} s^{x_{Fx}} t^{y_{Fx}} z^{u_{Fx}} k_{Fx}. \quad (12.15)$$

La lărgire și alezare:

$$F_z = C_{Fz} D_s^{q_{Fz}} s^{x_{Fz}} t^{y_{Fz}} z^{u_{Fz}} k_{Fz}. \quad (12.16)$$

Momentul necesar așchierii:

$$M = C_M D_s^{q_M} s^{x_M} t^{y_M} z^{u_M} k_M. \quad (12.17)$$

La tarodare și prelucrarea cu filiera:

$$F_z = C_{Fz} D_s^{q_{Fz}} p^{x_{Fz}} z^{u_{Fz}} l_a k_{Fz}, \quad (12.18)$$

iar momentul necesar,

$$M = C_M D_s^{q_M} p^{x_M} z^{u_M} l_a k_M, \quad (12.19)$$

unde  $l_a$  este lungimea conului de atac.

Literatura de specialitate dă o relație simplificată [52, p. 491]:

$$M = C_M D_s^{q_M} p^{x_M} k_M. \quad (12.20)$$

În cazul forțelor de avans și respingere, se poate lua pentru scula generalizată  $F_x = k_x \cdot F_z$  și  $F_y = k_y \cdot F_z$ , adică

$$F_x = C_{Fx} D_s^{q_{Fx}} s^{x_{Fx}} t^{y_{Fx}} l^{z_{Fx}} z^{u_{Fx}} k_x \quad [\text{daN}], \quad (12.21)$$

$$F_y = C_{Fy} D_s^{q_{Fy}} s^{x_{Fy}} t^{y_{Fy}} l^{z_{Fy}} z^{u_{Fy}} k_y \quad [\text{daN}]. \quad (12.22)$$

**12.1.6.3. INFLUENȚA DIFERIȚILOR FACTORI ASUPRA FORȚELOR DE AȘCHIERE** Factorul  $k_z$  (și la fel  $k_x$  și  $k_y$ ) poate fi scris sub forma:

$$k_z = k_{CF} k_{MFz} k_{vFz} k_{wFz} k_{rFz} k_{vFz}, \quad (12.23)$$

unde  $k_{CF}$  este un factor ce ține seama de starea și de grupa materialului prelucrat,  $k_{MFz}$  — factor în legătură cu proprietățile mecanice ale materialului piesei, iar restul coeficienților — factori care iau în considerare influența unghiului de atac principal ( $k_{x_{Fz}}$ ), unghiul de degajare ( $k_{y_{Fz}}$ ), uzura ( $k_{h_{Fz}}$ ), fluidul de așchiere ( $k_{w_{Fz}}$ ), raza de rotunjire ( $k_{r_{Fz}}$ ), viteza de așchiere ( $k_{v_{Fz}}$ ) etc.

Materialul de prelucrat influențează asupra mărimii forțelor de așchiere. Datorită, lipsei de date suficiente, se utilizează încă pentru oțel relații de forma  $F_z = C_1 \sigma_y^{n_{Fz}}$ ,

iar pentru fontă,  $F_z = C_2 (HB)^{0,55}$ . Pe baza acestor formule, forța de așchiere se poate scrie față de forța cunoscută pentru așchieria unui material etalon — sub forma:

$$F_z = F_{ze} (\sigma_y / \sigma_{ye})^{n_{Fz}}, \quad F_z = F_{ze} (HB / HB_e)^{0,55}. \quad (12.24)$$

Pentru valorile uzuale ale vitezei ( $v < 500$  m/min), se poate lua  $F_z = C/v^u$ , adică, față de un material cunoscut (etalon), forța de așchiere rezultă din relația

$$F_z = F_{ze} (v_e / v)^u, \quad (12.25)$$

în care  $u = 0, 15 - 0, 30$  (valorile mici pentru avansuri mari).

**12.1.6.4. VIBRAȚIILE ÎN PROCESUL DE AȘCHIERE** Procesul de așchiere este însoțit întotdeauna de vibrații (§2.4.7). În general, se urmărește micșorarea acestora — datorită efectelor negative ce au loc. Din punctul de vedere al sculei, micșorarea vibrațiilor se realizează prin geometria corespunzătoare, ascuțirea preventivă, utilizarea de absorbitori cu masă auxiliară sau, după Tlustý, prin modificarea direcției forțelor așchietoare în raport cu modurile principale de vibrație ale sistemului.

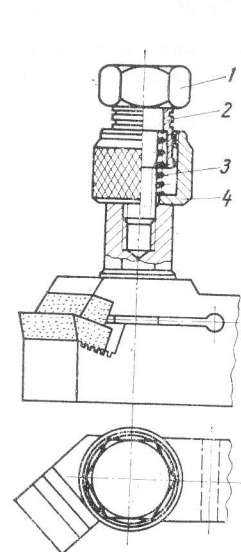


Fig. 12.12. Amortizor de șocuri pentru cuțite de strung (Rijkov):  
1 — șurub; 2 — bușă; 3 — arc; 4 — masă auxiliară

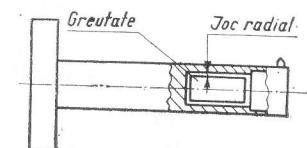


Fig. 12.13. Amortizorul Lan- chester (R. S. Hahn)

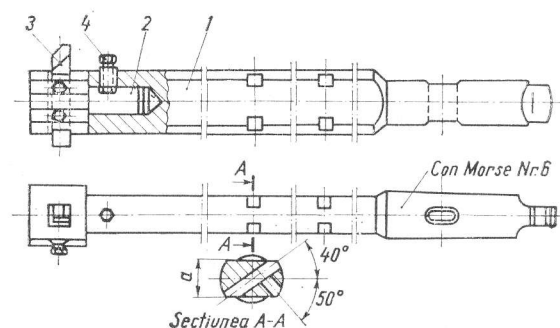


Fig. 12.14. Bară de alezat cu secțiune necirculară (L. K. Kuchma)

În fig. 12.12 și 12.13, se dă construcția cuțitului de strung prevăzut cu masă auxiliară 4 — după Rijkov, și construcția amortizorului Lan- chester pentru micșorarea vibra- țiilor barei de alezat. În fig. 12.14 se dau încercările făcute de Kuchma [32] în legătură

cu utilizarea unei bare de alezat necirculare, la care alegerea optimă a unghiului de poziționare a sculei, în raport cu bara, mărește rezistența la vibrații a sistemului.

Este de observat faptul că, în ultimii ani, în vederea sfărîmării și îndepărtării așchiilor, s-au utilizat scule vibratoare (aplicîndu-se în lanțul cinematic mașină-sculă-piesă oscilații de frecvență mare și amplitudine mică, care, practic, nu influențează dimensiunile și forma suprafețelor prelucrate), care modifică condițiile de frecare și uzură a sculelor; ca urmare, are loc o reducere a deformațiilor stratului așchiat — deci a forțelor de așchiere, a cantității de căldură degajată și o îmbunătățire a condițiilor de pătrundere a fluidului de așchiere, concomitent cu o rupere a așchiilor (supuse unor oboseli ciclice de frecvență 13 ... 3 kHz). Rezultate bune s-au obținut, în țară, în legătură cu vibrotarodarea.

### 12.1.7. PRECIZIA SUPRAFEȚEI PRELUCRATE PRIN AȘCHIERE

12.1.7.1. PRECIZIA MACROGEOMETRICĂ. Datorită uzurii sculei așchietoare, deformațiilor sistemului tehnologic MDSP, nepreciziei sistemului tehnologic MDSP și neuniformității procesului de așchiere, au loc *abateri de la forma geometrică* prescrisă pentru piesă, *abateri de la poziția corectă a diferitelor elemente geometrice* (STAS 7384-66) și *ondulații*.

În cazul strunjirii, este posibil să se limiteze săgeata de deformare a piesei, la valoarea admisă, prin limitarea avansului (fig. 12.15), [38, p. 151]:

$$s \leq \sqrt{\frac{\gamma F_z}{f_{adm} \varepsilon EI / (C_{F_z} t x F_z l^3 1,12)}} \quad [\text{mm/rot}], \quad (12.26)$$

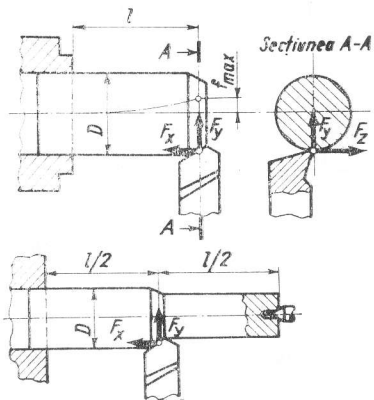


Fig. 12.15. Solicitarea semifabricatului

unde  $f_{adm}$  este săgeata admisă de condițiile tehnice prescrise,  $\varepsilon$  — coeficient ce depinde de felul fixării piesei ( $\varepsilon = 3$  pentru fixarea în universal,  $\varepsilon = 110$  pentru fixarea în universal și sprijinirea în vîrf,  $\varepsilon = 48$  pentru sprijinirea între vîrfuri),  $l$  — lungimea piesei.

Datele în legătură cu toleranțele de formă sau poziție se înscriu, pe desenul produsului finit, conform STAS 7385-66.

*Ondulația* suprafețelor constă din abateri de la forma geometrică, avînd aspectul de valuri care se succed periodic, atît în direcția principală de așchiere, cît și în direcția avansului.

12.1.7.2. RUGOZITATEA SUPRAFEȚEI PRELUCRATE (microneregularități) Microneregularitățile se datoresc urmelor rămase la prelucrarea cu scula.

**Înălțimea microneregularităților.** Din punct de vedere geometric înălțimea microneregularităților depinde de secțiunea rămasă a așchiei (fig. 12.16) care este în funcție de avans, de raza de rotunjire a sculei (sau, în cazul frezei cilindrice, de diametrul acesteia) și de unghiul de atac secundar. Profilul teoretic (geometric) al microneregularităților este deformat, în plus, de o serie de factori ca: viteza de așchiere, fluidul de așchiere, vibrații,

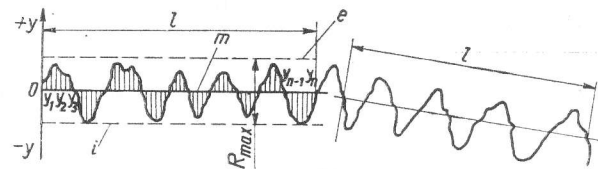


Fig. 12.16. Profilul efectiv al microneregularităților

geometria și rugozitatea tăișului sculei, uzura sculei, felul cum intră scula în material (de ex. în cazul dintelui frezei), frecarea dintre sculă și suprafața prelucrată, materialul prelucrat, spiralarea așchiei.

Evaluarea numerică a rugozității se face după mai multe sisteme:

*Sistemul liniei medii* (sistemul M), (adoptat de STAS 5730-60), în care evaluarea se face în raport cu linia medie a profilului. În acest sistem se consideră parametrii:

— abaterea medie aritmetică a profilului (fig. 12.16)

$$R_a = \left( \int_0^l |y| dx \right) / l \quad \text{sau} \quad R_a \approx \left( \sum_{i=1}^n |y_i| \right) / n; \quad (12.27)$$

— înălțimea neregularităților (în zece puncte) (fig. 12.17)

$$R_z = [(R_1 + R_3 + \dots + R_9) - (R_2 + R_4 + \dots + R_{10})] / 5; \quad (12.28)$$

— înălțimea maximă a neregularităților:  $R_{max} \approx 4,5 R_a^{0,97}$ .

*Sistemul liniei înfășurătoare* (sistemul E), în care evaluarea numerică a rugozității se face în raport cu linia care înfășoară în exterior profilul real și care se obține prin parcurgerea profilului cu ajutorul unui palpator cu rază de curbura mare (astfel încît linia obținută să cuprindă numai abateri de formă) (fig. 12.18). Se consideră parametrii:

— pasul mijlocul sau distanța de contact:  $A_v = \left( \sum_{i=1}^n A_{v_i} \right) / n$ ;

— adîncimea mijlocie a rugozităților:  $R_p = \left( \int_0^l y dx \right) / l \quad \text{sau} \quad R_p \approx \left( \sum_{i=1}^n y_i \right) / n$ ;



- adâncimea maximă a rugozității  $R_{max}$ ;
  - grad (coeficient) de golire  $K_p = R_p/R_{max}$ ;
  - grad (coeficient) de plenitudine  $K_h = 1 - K_p = (R_{max} - R_p)/R_{max}$ .
- Notarea rugozității pe desenul produsului finit se face conform indicațiilor STAS 612-66.

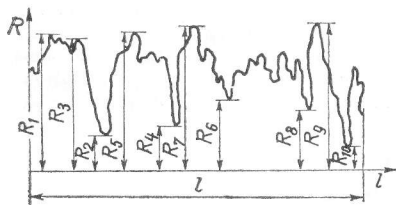
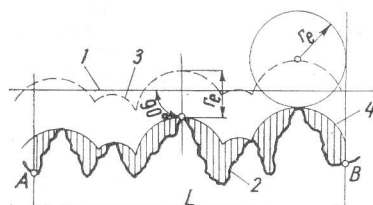
Fig. 12.17. Stabilirea înălțimii  $R_z$ .

Fig. 12.18. Evaluarea rugozității în sistemul E.

### 12.1.8. TERMODINAMICA AȘCHIERII

Lucrul mecanic consumat cu așchiera se transformă aproape integral în căldură:

$$Q_m = W = F_z v \text{ [daJ/min]}, \quad (12.29)$$

unde  $W = \sum_{i=1}^6 W_i \approx W_1 + W_2 + W_3$  și  $Q = \sum_{i=1}^4 Q_i$ . S-a notat:  $W_1$  — lu crul mecanic necesar deformărilor plastice ale metalului așchiat și ale materialului de sub linia de așchiere,  $W_2$  — lucrul mecanic consumat de frecarea dintre fața de degajare și așchie,  $W_3$  — lucrul mecanic consumat de frecarea dintre fața de așezare și piesă,  $W_4$  — lucrul mecanic consumat de deformările elastice,  $W_5$  — lucrul mecanic consumat cu spiralarea așchiei,  $W_6$  — lucrul mecanic consumat de sfărîmarea așchiei,  $Q_1$  — cantitatea de căldură luată de așchie,  $Q_2$  — cantitatea de căldură luată de sculă,  $Q_3$  — cantitatea de căldură luată de piesă,  $Q_4$  — cantitatea de căldură luată de mediul ambiant (eventual de fluidul de așchiere). Suma  $W_4 + W_5 + W_6$  este neglijabilă (2–3%).

S-au făcut studii asupra determinării analitice a fluxului de căldură ce se transmite diferitelor elemente ce iau parte la procesul de așchiere [53]. Teoria și practica arată că:

- cu cît viteză de așchiere crește, cu atît trece mai puțină căldură la semifabricat și mai multă la sculă;
- cînd lățimea așchiei  $b$  și coeficientul de conductibilitate al materialului prelucrat cresc, trece mai multă căldură la piesă și mai puțină la sculă.

### 12.1.9. FLUIDE DE AȘCHIERE

12.1.9.1. ROLUL FLUIDELOR DE AȘCHIERE. Fluidele (lichide sau gaze), utilizate ca mediu de desfășurare a procesului de așchiere, au un rol complex: răcire, ungere, „efect de așchiere” (datorită absorbției la suprafața materialului a componentelor capilari activi existenți în fluidele active de ungere și răcire), împiedicarea depunerilor pe tăiș, protejarea suprafețelor (mașină, dispozitiv, sculă, piesă) împotriva coroziunii,

îndepărtarea așchiilor de exemplu la prelucrarea găurilor adinci, sau efectul de spălare în cazul abrazării, etc.

În afara lichidelor uzuale (tabelul 12.1), s-au încercat în laboratoare și alte fluide de așchiere: mercurul, cloroformul, azotul, oxigenul, hidrogenul, bioxidul de carbon (ultimul fiind utilizat cu succes în cazul aliajelor tenace și dure, fiind introdus în interiorul sculelor prin canale spre fața de așezare, cu o presiune de 55–70 at), tetraclorura de carbon, gaze lichide etc. S-a constatat că reducerea frecării (exterioare) se datorește prezenței componentelor capilari activi sau datorită prezenței componentelor cu acțiune chimică.

Rezultate importante au dat fluidele de așchiere cu aditivi (de ex. bisulfura de molibden). În ultimii ani, s-au făcut încercări de răcire electronică a sculelor așchietoare, fenomen bazat pe efectul Peltier.

12.1.9.2. UTILIZAREA FLUIDELOR DE AȘCHIERE. La alegerea fluidului de așchiere, se are în vedere: procedeul de prelucrare (strunjire, filetare etc.), materialul de prelucrat, regimul de așchiere, forma așchiilor, netezimea impusă suprafeței prelucrate menținerea dimensiunilor piesei prelucrate etc., (tabelul 12.1).

### 12.1.10. UZURA SCULELOR AȘCHIETOARE

În funcție de condițiile de așchiere, uzura se produce pe fața de așezare (caracterizată de parametrul  $h_{\alpha}$ ), pe fața de degajare (caracterizată prin parametrii  $B$  și  $h_{\gamma}$ ) — separat sau concomitent (fig. 12.19). Ca urmare, variază geometria sculei (apare unghiul de degajare  $\alpha_{uz}$  al sculei uzate), precizia de prelucrare, forțele de așchiere. Pentru

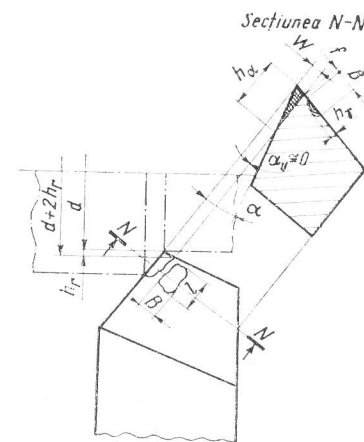


Fig. 12.19. Uzura cuțitului de strung.

asigurarea unor condiții normale (precizie, consum material și de scule etc.), se limitează uzura la anumite valori:

Uzura admisibilă — care se stabilește după diferite criterii: la finisare uzura se limitează de condiția menținerii dimensiunilor piesei în câmpul de toleranță, la degroșare

Tabelul 12.1

Recomandări în legătură cu utilizarea lichidelor de aşchiere  
[50] (indicate în ordinea preferenţială)

Materialul prelucrat	Rectificare	Strunjire		Prezare		Găurire	
		de degroşare	de finisare	de degroşare	de finisare	adâncimi mici şi medii	găuri adânci
1	2	3	4	5	6	7	8
Oţeluri de construcţie şi oţeluri de scule	1. SS 2. SSa 3. Em 4. Oc	1.SS 2.SSa 3. Em	1.Ssp 2. Em 3. SB 4. SA 5. OC	1. SS 2. SSa 3. Em	1. Ssp 2. Em 3. SB 4. SA 5. OC 6. CM	1. SS 2. SSa 3. SB 4. Ssp 5. Em 6. SA	1. Em 2. SA 3.OC+K 4.OCa+K 5. CM
Oţeluri aliate speciale	1. SS 2. SBT 3. Em 4. OC	1. SS 2. SSa 3. Em 4. Ssp	1. Em 2. SA 3. OC 4. CM	1. SS 2. SSa 3. Em	1. Em 2. SA 3. OC 4. CM	1. SSa 2. SB 3. Ssp 4. Em 5. SA	1. Em 2.OC+K 3.OC+K 4.OCa+K 5. CM
Oţel turnat	1. SS 2. SSa 3. Em	1. Em	1. Em	1. Em	1. Em 2. CM	1. Em	
Fontă	1. U 2. SS 3. SSa 4. SB	1. U 2. SS 3. SSa 4. Em		1. U 2. SS 3. SSa 4. Em		1. U 2. Em 3. K 4. SBg	
Fontă maleabilă	1. SS 2. SSa 3. Em	1. U 2. Em		1. U 2. Em	1. U 2. OC	1. Em	
Bronz	1. Em 2. Mm	1. U 2. Em	1. Em	1. U 2. Em	1. Em 2. CM	1. U 2. Em	
Alamă	1. Em 2. Mm	1. U 2. Em	1. U 2. Em 3. CM	1. Em	1. Em 2. CM	1. U 2. Em	
Cupru	1. Em 2. Mm	1. U 2. Em	1. Em	1. Em	1. Em 2. CM	1. U 2. CM	
Nichel	1. Mm	1. U	1. U	1. Em	1. Em	1. Em	
Zinc	—	1. Em	1. U	—	—	—	

Alezare	Filetare	Frezare danturii	Mortezare		Rabotare	Debitare cu ferăstrăul	Broşare
			Obişnuită	Mortezarea danturii			
9	10	11	12	13	14	15	16
1. Em 2. Ssp 3. OC 4. CM	1. Em 2. Oc 3.OC+K 4. CM 5.OCa+K	1. Em 2. OC 3. Cm	1. U 2. Em 3. OC 4. CM	1. Em 2. OC 3. CM	1. U 2. Em 3. CM	1. Em 2. OC 3. CM	1. Em 2. Ssp 3. OC 4. CM
1. Em 2. Ssp 3. OC 4. CM	1. Em 2.OC+K 3.OCa+K 4. CM 5. OC	1. Em 2. OC 3. CM	1. Em 2. OC 3. CM	1. OC 2. CM	1. U 2. Em 3. OC 4. CM	1. Em 2. OC 3. CM	1. OC 2. CM
1. Em 2. OC 3. CM	1. Em 2. OC 3. CM	1. Em 2. OC 3. CM	1. Em 2. CM	1. Em 2. OC	1. U 2. Em 3. CM	1. Em	1. Em 2. OC 3. CM
1. U 2. CM	1. U 2. K 3. CM	1. U 2. SS 3. SSa 4. Em	1. U 2. K	1. U	1. U 2. K	1. U 2. Em	1. U 2. CM
1. U	1. Em	—	1. Em 2. CM	—	1. U 2. CM	1. Em	1. U
1. Em 2. M 3. CM	1. U 2. CM	1. U	1. U 2. CM	1. U	1. U	1. U 2. Em	1. CM
1. U 2. CM	1. U 2. CM	1. Em	1. U	—	1. U	1. U 2. Em	1. U 2. CM
1. Em	1. Em 2. CM	1. U	—	—	1. U	1. Em	1. Em
1. Em	1. Em	—	1. U	—	1. U	1. U	1. Em
—	1. Em	—	1. Em	—	—	—	—

1	2	3	4	5	6	7	8
Aluminiu	1. M 2. M+K	1. U 2. Em 3. K	1. Em 2. K	1. U 2. Em 3. K	—	1. U 2. Em 3. K	
Duralu- miniu	1.CM+K 2. K	1. U 2. K	1. K	1. K	1.CM+K	1. Em 2.CM+K	
Silumin	—	1. Em	1. Em 2. M	1. Em	1. Em	1. Em	

Notații: U — uscat

SS — soluție apoasă de sodă

SSa — soluție apoasă de sodă cu unul sau mai multe dintre următoarele adausuri anticorozive sau a amestecurilor: azotit de sodiu, fosfat trisodic, sticlă solubilă, bicromat de potasiu sau de sodiu

SB — soluție apoasă de borax

SBg — soluție apoasă de borax și glicerină

Sbt — soluție apoasă de borax și trietanolamină

Ssp — soluție apoasă de săpun

Observație. La strungurile automate se întrebuințează și uleiuri minerale: ulei de fose.

se limitează uzura astfel încât să nu se ajungă în zona uzurii catastrofale; un criteriu economic este acela care asigură o durată totală maximă de așchiere a sculei.

În scopul urmăririi uzurii, s-a introdus noțiunea de *uzură specifică* sau *uzură relativă* (uzura raportată la 1 000 metri lungime):  $u_0 = 1\,000\, u/l$  [ $\mu\text{m}/\text{m}$ ], în care  $u$  este uzura normală,  $l$  — lungimea așchiată în metri corespunzător uzurii normale (calculată, de ex. pentru strunjire cu formula  $l = \pi DL/(1\,000\, s)$  [ $\text{m}$ ] în care  $D$  și  $L$  sînt diametrul și lungimea prelucrată a piesei,  $\text{mm}$ ,  $s$  — avansul,  $\text{mm}/\text{rot}$ .

În tabelul 12.2 se dau valorile uzurilor admisibile.

#### 12.1.11. VITEZA DE AȘCHIERE

12.1.11.1. DURABILITATEA SCULEI AȘCHietoARE. Durata continuă de lucru a unei scule, numită *durabilitatea sculei*  $T$ , măsurată în minute timp de mașină, depinde de factorii care au influență asupra uzurii. Dintre toți aceștia, influența cea mai mare o are viteza de așchiere. Taylor a stabilit dependența  $T-v$  sub forma:

$$T = C_1/v^z \quad \text{sau} \quad v = C_2/T^m, \quad (12.30)$$

unde  $m$  este exponentul duratei continue de așchiere ( $m = 1/z$ ),  $C_1, C_2$  — constante care depind de proprietățile fizice și mecanice ale materialului de prelucrat, de adîncimea de așchiere, de avans etc. Exponentul  $m$  nu este constant; el depinde de uzura tăişului. Pentru un domeniu restrîns al vitezei de așchiere (raportul dintre cele două viteze limită circa 1,5), se poate considera  $m = \text{constant}$ .

Tabelul 12.1 (continuare)

9	10	11	12	13	14	15	16
1. Em 2.SK+K	1. U 2. Em 3. K	— —	1. U 2. Em 3. K	—	1. U 2. Em 3. K	1. U 2. K 3. Em 4. M	1.CK+K 2. M 3.CM+K
1. CM	1. CM	—	—	—	1. U 2. K	1. Em 2.CM+K	1. CM
1. K 2. SK	1. Em 2.CM+K	— —	1. Em	—	1. Em 2. K	1. M	1. K 2. SK

SA — soluție apoasă de ulei de alizarină (ulei de ricin sulfonat)

Em — emulsie

M — ulei mineral

Mm — ulei mineral de viscozitate mică

OC — ulei activat cu sulf

OC+K — ulei activat cu sulf + petrol lampant

OCa+K — ulei activat cu sulf + petrol lampant cu adaus superficial activ, de ex. acid oleic

CM — uleiuri mixte (ulei mineral în amestec cu un produs care conține acizi grași)

SK — terebentină

K — petrol lampant

12.1.11.2. DURABILITATEA ECONOMICĂ. Calculul durabilității se face astfel încît să se obțină productivitatea maximă a muncii sociale totale (considerînd evidența și controlul prin leu, [3]):

$$T = (1 - m) \left( \tau_{inloc} + \frac{S}{\Sigma C} \right) / m \quad [\text{min}], \quad (12.31)$$

unde  $\tau_{inloc}$  este timpul necesar înlocuirii sculei și reglării mașinii-unelte, min;  $S$  — costul exploatării sculei  $S = \frac{C_s}{n_s + 1} + C_{asc} + C_{regl} \cdot \tau_{regl}$ ;  $C_s$  — costul inițial al sculei, lei;

$n_s$  — numărul de reascuțiri permis pînă la uzura completă a sculei;  $C_{asc}$  — cheltuieli în legătură cu ascuțirea sculei, inclusiv salariul — cu cotele — ascuțitorului și cheltuielile de regie legate de funcționarea utilajului de ascuțire, lei;  $C_{regl}$  — salariul, cu cotele, reglului, pe 1 min, lei;  $\tau_{regl}$  — timpul consumat de reglul pentru înlocuirea sculei uzate și pentru reglarea mașinii-unelte, în perioada de durabilitate  $T$ , min;  $\Sigma C = C_{munc} + C_{munc.des.} + C_{rep} + C_{amort} + C_{clăd} + C_{itf} + C_{aux} + C_{reg}$ ;  $C_{munc}$  — salariul muncitorului de la mașina-unealtă, de bază și suplimentar, inclusiv cotele, pe 1 min, lei;  $C_{munc.des.}$  — salariile muncitorilor legați de deservirea utilajului, raportat la 1 min de lucru al muncitorului, lei;  $C_{amort}$  — cheltuielile de amortizare a utilajului de producție, raportate la 1 min de funcționare a acestuia, lei;  $C_{rep}$  — cheltuielile pentru reparațiile curente ale utilajului de producție, raportate la 1 min de funcționare a

Tabelul 12.2

Valorile uzurilor admisibile pentru diferite tipuri de scule

## a. Cuțite

Tipul de cuțit	Materialul de prelucrat	Uzura feței de așezare $h_{\alpha}$ , mm, la cuțite din:	
		Oțel rapid	Carburi metalice
Cuțite normale, frontale și de interior	Oțel și materiale tenace	1,5–2	0,8–1
Cuțite de canelat și retezat		0,8–1	
Cuțite profilate	Oțel și materiale tenace	0,4–0,5	—
Cuțite normale		3–4	Pentru $s > 0,3$ mm/rot 1,4–1,7
Cuțite frontale, de interior, retezat și canelat	Fonte și materiale fragile	1,5–2	Pentru $s < 0,3$ mm/rot 0,8–1,0

## b. Burghie, adâncitoare, alezoare

Scula	Materialul de prelucrat	Uzura caracteristică	Mărimea uzurii $h_{\alpha}$ , mm
Burghie spirale din oțel de scule	Oțel, cu răcire Fontă, fără răcire	Pe fața de așezare Pe colț	1–1,2 0,5–1,2
Idem cu plăcuțe din carburi metalice	Oțel, cu răcire	Pe fața de așezare	0,4–1,3
Adâncitoare	Oțel, cu răcire Fontă, fără răcire	Pe fața de așezare Pe colț	0,2–1,0 0,8–1,5
Alezoare	Oțel, cu răcire Fontă, fără răcire	Pe fața de așezare	0,5–0,8

Observație. Mărimea uzurilor variază în limitele indicate în funcție de diametrul sculelor respective.

Tabelul 12.2 (continuare)

## c. Broșe

Tipul broșei	Uzura feței de așezare $h_{\alpha}$ , mm
Broșe de canal de pană și de canelat	0,3–0,4
Broșe cilindrice	0,2–0,3

## d. Freze

Tipul frezei	Materialul de prelucrat	Uzura feței de așezare $h_{\alpha}$ mm, la	
		Degroșare	Finisare
Freză cilindrică	Oțel	0,4–0,6	0,15–0,25
	Fontă	0,5–0,8	0,20–0,30
Freză frontală	Oțel și fontă	1,5–2,0	0,30–0,50
Freză deget	Oțel	0,15–0,2	0,10–0,15
		0,3–0,4	0,20–0,25
Freză disc cu trei tăișuri	Oțel și fontă	0,4–0,5	0,15–0,25
Freză disc pentru canelat și retezat	Oțel și fontă	0,15–0,2	0,15–0,20
Freză profilată	Oțel	0,6–0,7	0,20–0,30
	Oțel și fontă	0,3–0,4	0,20
Freze frontale cu dinți din carburi metalice	Oțel	1,5	
	Fontă	2,0	
Freze disc cu dinți din carburi metalice	Oțel	1,5	
	Fontă	2,0	

Tabelul 12.2 (continuare)

## e. Scule de filetat

Tipul sculei		Uzura feței de așezare $h_{\alpha}$ , mm
Tarozi de mașină	Pentru oțel	0,125 $d$
	Pentru fontă	0,070 $d$
Tarozi pentru piuliță	Presăți la rece	0,050 $d$
	Presăți la cald	0,125 $d$
Filiere rotunde		0,1—0,5
Cuțite și piepteni de filetat	Degroșare	2,0
	Finisare	0,3
Freze-pieptene de filetat	$D = 40...50$ mm	0,4
	$D = 55...65$ mm	0,5
	$D = 80...90$ mm	0,6

Observație.  $d$  reprezintă diametrul mediu al sculei de filetat

## f. Scule pentru danturat

Tipul sculei	Uzura feței de așezare $h_{\alpha}$ , m la:	
	Degroșare	Finisare
Freze-melc	1,2—1,6	0,2—0,36
Freze modul-disc	0,8—1,0	0,2—0,30
Cuțite de rabotat	0,8—1,0	0,25—0,30
Cuțite-roată de mortezat	0,8—1,0	0,06—1,00
Cuțite pentru capete de prelucrat roți conice cu dinți curbi	0,3—0,6	0,15—0,30
Freze-melc conice	—	0,60—0,80

utilajului, lei;  $C_{clad}$  — cheltuielile de amortizare și întreținere a clădirilor și instalațiilor, raportate la 1 min de funcționare a utilajului, lei;  $C_{itf}$  — salariile, inclusiv cotele ale inginerilor, tehnicienilor, funcționarilor și personalului de serviciu, raportate la 1 min de funcționare a utilajului, lei;  $C_{aux}$  — salariile, inclusiv cotele, ale muncitorilor auxiliari, raportate la 1 min de funcționare a utilajului, lei;  $C_{reg}$  — regia generală, raportată la 1 min de funcționare a utilajului, lei.

Metoda dată servește pentru elaborarea normativelor asupra durabilității (tabelul 12.3), care trebuie verificate în condițiile existente.

În cazul cind condițiile impun o productivitate maximă a unei operații tehnologice:

$$T_{prod} = (1 - m) \tau_s / m \text{ [min]}. \quad (12.32)$$

Este de observat că, în cazul unui atelier, prețul de cost la o mașină-unealtă nu mai este reprezentativ, trebuind să se aibă în vedere prețul de cost total și productivitatea muncii pe întreg atelierul. În acest caz, pentru mașinile-unelte care limitează producția, se introduce un coeficient de corecție pe lângă durabilitatea economică, de forma [3, p. 178]:

$$k_T \min = \tau_{inloc} \cdot \Sigma C / (\tau_{inloc} \Sigma C + S) \quad (12.33)$$

Sub valoarea minimă dată de (12.33) nu se merge, deoarece nu trebuie să se depășească durabilitatea dată de (12.32).

12.1.11.3. VITEZA DE AȘCHIERE ECONOMICĂ. Valoarea vitezei de așchiere corespunzătoare regimului de lucru economic (determinat de  $T_{ec}$ ), [39, p.194]:

$$v = C_v D_s^{q_v} k_v / (T_m^x s_d^x t_l^y v t_l^g v z^u v). \quad (12.34)$$

În cazul cind unul din parametrii  $s$ ,  $t$ ,  $t_l$ ,  $z$  sau  $D$  nu participă la determinarea vitezei de așchiere, pentru o anumită sculă, exponentul parametrului respectiv se ia zero (v. tabelul 12.4).

12.1.11.4. INFLUENȚA DIFERIȚILOR FACTORI ASUPRA VITEZEI DE AȘCHIERE. Factorul  $k_v$ , care înglobează restul condițiilor de așchiere — în afara factorilor care intră în mod explicit în formula (12.34), are valoarea:

$$k_v = k_T k_{prel} k_{st} k_c k_s k_x k_\gamma k_\alpha k_\gamma k_{q_1} k_h k_d k_w, \quad (12.35)$$

unde  $k_T$  este un factor ce depinde de durabilitatea sculei,  $k_{prel}$  — coeficient de prelucrare (asupra căruia influențează și  $k_{Mv}$ ),  $k_{st}$  — coeficient care indică influența stării materialului prelucrat,  $k_c$  — influența stării suprafeței (crustă etc.), iar restul factorilor arată influența stării materialului sculei  $k_s$ , geometriei sculei  $k_\alpha$  și  $k_\gamma$ , parametrilor de poziție  $k_x$  și  $k_\gamma$ , razei de rotunjire  $k_r$ , ariei secțiunii sculei  $k_{q_1}$ , uzurii sculei  $k_h$ , forma feței de degajare  $k_d$ , fluidului de așchiere  $k_w$ , etc.

Materialul prelucrat influențează asupra vitezei de așchiere, (pentru oțel și fontă), astfel:

$$v = v_e (\sigma_{re} / \sigma_r)^n \text{ și } v = v_e (HBe / HB)^n,$$

unde  $v_e$  este viteza de așchiere pentru un material cunoscut considerată etalon.



Tabelul 12.3

Valorile teoretice medii ale durabilității  $T$ , la prelucrarea cu o singură sculă [3]

Scula	$T$ , min	Scula	$T$ , min
Cuțite normale	60	Cuțite-roată pentru danturat	
Cuțite profilate	120	degroșare	360
Cuțite pentru filet	60	finisare	180
Filiere	90	Cuțite-pieptene pentru danturat	180
Piepteni-disc pentru capete de filetat	90	Cuțite pentru dantură conică	
		degroșare	240
		finisare	180
Piepteni tangențiali pentru capete de filetat	90	Scule pentru strung revolver cu mai multe cuțite	480—600
Burghie elicoidale (după (T. V. Tolcenov) pentru oțel pentru fontă și aliaje de cupru	1 $D$	Strung, carusel cu două sau mai multe cuțite	120
$D$ = diametrul burghiului)	1,5 $D$	Discuri de rectificat (după Min. Ind. Aviatice URSS)	15
Freze modul-disc, $m < 3$	120		
$m = 4$	180		

## Durabilitatea frezelor

## 1. Freze din oțel rapid

Tipurile frezei	$D$ , mm	Construcția frezei	$T$ , min
Freze cilindrice	$\leq 60$	Monobloc	60
	$> 60$		90
Freze frontale și freze disc	$\leq 90$	Monobloc	90
	$\leq 150$	Cu dinți demontabili	120
	$> 150$		180
Freze profilate	$\leq 60$	Monobloc	180
	$> 60$		270
Freze cu coadă	—	Coadă cilindrică	30
		Coadă conică	60
Freze pentru canale și de retezat			60

Tabelul 12.3 (continuare)

## 2. Freze cu plăcuțe din carburi metalice

Tipul frezei	Numărul de dinți, $Z$						
	4	5	6	8	10	12	16
	Durabilitatea $T$ , min						
Freze frontale cu cuțite prizmatice	160	200	240	320	400	—	—
Freze frontale cu cuțite rotunde	80	100	120	160	200	240	—
Freze disc	—	—	—	240	300	360	480
Freze cu coadă	$D \leq 30$	60					
	$D > 30$	180					

## 3. Freze pentru filet

$D$ , mm	20	40	60
$T$ , min	90	120	180

## 4. Freze melc modul

Felul operației	$m =$	$< 3$	4	5	6	8	10
Degroșare	$T$ , min	240	300	480	600	720	960
Finisare	$T$ , min	120	150	240	300	360	480

Observație:  $m$  este modulul în milimetri.

Tabelul 12.3 (continuare)

Durabilitatea lărgitoarelor (din oțel rapid)

$D$ , mm	30	40	60
$T$ , min	42	65	110

Durabilitatea alezoarelor

Din oțel rapid	$D$ , mm	10	15	30	40	50
	$T$ , min	18	24	42	72	72
Cu plăcuțe din carburi metalice (K40), pentru fontă HB = 190	$D$ , mm	10	15	20	30	40
	$T$ , min	30	45	60	90	120
Idem, P10, pentru oțel călit (HRC 49)	$T$ , min	30				
Alezoare reglabile	$T$ , min	150				

Durabilitatea tarozilor

Pentru oțel carbon,  $D = 10-30$  mm,  $T = 90$  minPentru oțel refractar,  $D = 5-12$  mm,  $T = 20$  min

Aliaje de aluminiu	Pentru	$D$ , mm	5-14	16-30	36-72
	Silumin	$T$ , min	20	40	60
	Duralumin	$T$ , min	40	90	180

Pentru fontă,  $D = 5-36$  mm,  $T = 30$  min

Tabelul 12.4

Particularizarea vitezei de așchiere

Rabotare, mortezare, strunjire	Burghiere
$q_v = g_v = u_v = 0; s = s/z = s$ $v = C_v k_v / (T^m t^{x_v} s^{y_v})$	$q_v = 0; z = 2 = \text{ct și } t = D_s/2 - \text{deci}$ $x_v = u_v = 0, s_d = s/2, D_s \text{ med} = D_s$ $v = C_v D_s^{q_v} k_v / (T^m x^v)$
Broșare	Lărgire și alezare
$q_v = g_v = u_v = 0; x_v = 0$ $v = C_v k_v / (T^m s^{x_v})$	$x_v = g_v = 0; s_d = s/z$ $v = C_v D_s^{q_v} k_v / (T^m s^{x_v} t^{y_v} z^{u_v})$
Frezare	Tarodare și prelucrare cu filiere
$D_s \text{ med} = D_s$ $v = C_v D_s^{q_v} k_v / (T^m s_d^{x_v} t^{y_v} l^{g_v} z^{u_v})$	$s = p; t = \varphi(p) = k_p p$ (deci $x_v = 0$ ) $s_d = s/z = p/z; x_v = g_v = 0$ $v = C_v D_s^{q_v} k_v / (T^m p^{x_v} z^{u_v})$

## 12.1.12. REGIMUL DE AȘCHIERE

Volumul de așchii ridicat, în unitate de timp, are valoarea  $V = C_{tsv}$  [mm<sup>3</sup>/min]. Luind în considerare condiția  $T = T_{ec}$ , se obține [38, p. 208],  $V = C_1 t^{1-xv} s^{1-yv}$ , relație care arată că productivitatea tehnologică crește mai mult cu mărirea adâncimii de așchiere  $t$  (deoarece  $x_v < y_v$ ). Ca urmare:

— Este mai avantajos să se mărească adâncimea de așchiere decât avansul.

La fel, viteza de așchiere influențează mai mult asupra uzurii.

— Mărirea vitezei de așchiere în dauna adâncimii de așchiere sau avansului micșorează productivitatea tehnologică. Se poate mări productivitatea tehnologică prin mărirea vitezei, pentru  $T = T_{ec}$ , luând un alt material pentru scule etc.

Deci, în condiția  $T = T_{ec}$ , rezultă că este mai bine să se lucreze cu aria secțiunii așchiei mare, pe seama micșorării vitezei, decât invers.

Ca urmare, ordinea stabilirii regimului de așchiere va fi  $t, s, v$ .

## 12.1.13. MATERIALELE PENTRU SCULE

Este necesar ca materialele pentru scule să satisfacă anumite condiții: *rezistență mecanică* (rezistență la încovoiere și reziliență suficient de ridicată, pe lângă rezistența la compresiune) *rezistență la uzură*, caracterizată prin duritatea materialului, *stabilitate termică*; în plus este bine să aibă o conductibilitate termică suficientă, să nu prezinte — dacă este posibil — proprietatea de aderare și să aibă un preț de cost cât mai scăzut.

Se deosebesc: *oțeluri carbon pentru scule* STAS 1700-64, cu indicații de utilizare, cu un conținut de 0,65–1,4% C, duritate în stare călită 62–65 HRC, rezistență ridicată  $\sigma_r = 160$  daN/mm<sup>2</sup>, tenacitate mare ( $KCU_{30/2} = 1,5$  daJ/cm<sup>2</sup>), stabilitate termică mică (200–250°C); *oțeluri aliate pentru scule*, STAS 3611-66, cu conținut mic de Cr, W, V etc., rezistență  $\sigma_r = 160$ –200 daN/mm<sup>2</sup>, reziliență  $KCU_{30/2} = 1,5$ –4 daJ/cm<sup>2</sup>, duritate (după călire) maxim 65 HRC și stabilitate termică mai bună (până la 300°C); *oțeluri rapide*, STAS 7382-66, bogat aliate, cu aceleași caracteristici mecanice ca oțelurile aliate, stabilitate termică ridicată (550–650°C); *carburi metalice*, STAS 6374-61, (obținute prin sinterizarea — la temperaturi și presiuni înalte — pulberilor de carburi de W, Ti, Ta etc., cu cobalt metalic), acestea au duritate foarte mare (85–92 HRA), stabilitate termică bună (900–1000°C), rezistență la compresiune mare dar sînt fragile, avînd  $\sigma_r = 50$ –100 daN/mm<sup>2</sup>,  $\sigma_{inc} = 130$ –150 daN/mm<sup>2</sup>,  $KCU_{30/2} = 0,1$  daJ/cm<sup>2</sup>; *materiale minero-ceramice* (sinterizate sub formă de plăcuțe — principalul element constitutiv  $Al_2O_3$ , amestecat cu alți oxizi alcalino-pămîntoși și cu o cantitate mică de  $Cr_2O_3$ ), duritate 95–98 HRA, stabilitate termică 1100°C, rezistență la compresiune  $\sigma_{rc} = 170$  daN/mm<sup>2</sup>, la rupere  $\sigma_r = 7,5$  daN/mm<sup>2</sup>, tenacitate scăzută ( $KCU_{30/2} = 0,08$  daJ/cm<sup>2</sup>) — ca urmare se utilizează numai la finisare și semifinisare: *diamantul* are stabilitate termică mare (1600–1800°C), dar este fragil (așchiere fără șocuri și fără trepidații); *materiale abrazive* (pentru materiale de duritate mare). Literatura de specialitate [25] [19] dă recomandări pentru utilizarea materialelor de scule.

În tabelul 12.5, se dau rezistențele admisibile ale oțelurilor de scule, tratate și netratate termic.

Tabelul 12.5

Rezistențele admisibile ale oțelurilor pentru scule

Materialul	Starea	Duritatea HRC	Rezistența admisibilă, daN/mm <sup>2</sup>			
			încovoiere	tracțiune	răsucire	forfecare
Oțel carbon de scule	Netratat	30–40	24	20	17	20
	Călit	62–65	36	30	26	28
Oțel rapid	Netratat	30–40	36	30	26	28
	Călit	62–64	48	40	35	38

În fig. 12.20, se dau formele utilizate ale cuțitelor cu diamant [30]: cu o muchie, rotund — pentru obținerea unei netezimi mari (pericol de vibrații), cu mai multe muchii — după utilizarea uneia, se poate folosi alta. În tabelul 12.6 [33], se dau valorile parametrilor geometrici.

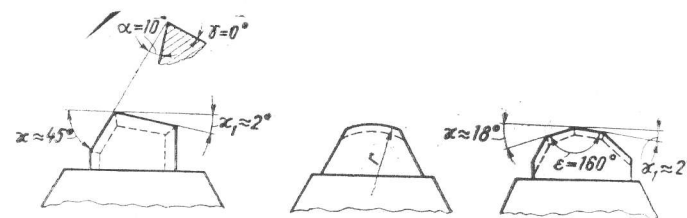


Fig. 12.20. Geometria diamantului [18]:

a — cu un tăiș; b — cu un tăiș curb; c — cu mai multe tăișuri

Tabelul 12.6

Valorile recomandate pentru parametrii geometrici ai sculelor cu diamant [33]

Materialul prelucrat	$\gamma$	$\alpha$
Aliaje de aluminiu și magneziu	+ 3 la 0°	Strunjire exterioară 5 la 8°
Cupru, alamă, bronz, metale antifricțiune	– 10 la 0°	Strunjire interioară 6 la 10°

## 12.1.14. ECONOMIA DE MATERIALE ÎN CONSTRUCȚIA DE SCULE

Economia de materiale pentru scule se poate face pe mai multe căi: *exploatarea rațională* a sculelor; *măsurile de proiectare* (se execută numai tăișul sculei din materiale de scule); *măsurile tehnologice* (micșorarea adaosurilor de prelucrare la executarea sculelor); *tratamentul termo-chimic superficial* al tăișurilor sculei (cianizare, sulfizare, feroxare — care formează un oxid ce defavorizează formarea adaosului pe tăiș [33, p. 361], cromarea, corodarea, oxidarea superficială anticorosivă-brunarea [19]; *tratamentul la temperaturi sub 0°* executat înainte de revenire [27, p. 312]; *durificarea prin scînteie electrice*; *recondiționarea repetată* a sculelor [37].

## 12.2. METODE DE PRELUCRARE PRIN AȘCHIERE

### 12.2.1. STRUNJIREA

12.2.1.1. STRUNGURI. Prelucrarea pe strung se face pe baza directoarei și generatoarei cinematice (fig. 12.21, *a* și *b*).

În fig. 12.21 se dau lanțurile cinematice ale strungului normal, iar în fig. 12.22 — structura cinematică a acestuia.

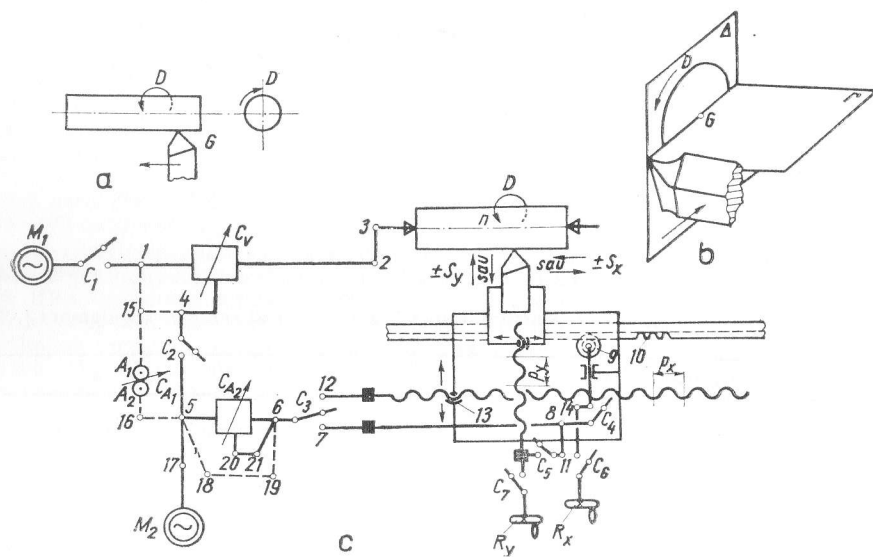


Fig. 12.21. Lanțul cinematic al strungului normal:

*a* — strunjire longitudinală; *b* — strunjire transversală; *c* — lanțul cinematic

Ecuatiile caracteristice:

$$n = n_{M1} i_{11} i_{Cv} i_{45} i_{18} i_{19} i_{67} i_{8} \pi D_9 \text{ [rot/min]},$$

$$s'_x = n_{M1} i_{11} i_{Cv} i_{45} i_{18} i_{19} i_{67} i_{8} \pi D_9 \text{ [mm/min]} \text{ sau}$$

$$s_x = s'_x / n \text{ [mm/rot]},$$

$$s'_y = n_{M1} i_{11} i_{Cv} i_{45} i_{18} i_{19} i_{67} i_{8} i_{11} p_y \text{ [mm/min]} \text{ sau}$$

$$s_y = s'_y / n \text{ [mm/rot]}.$$

În cazul deplasării rapide:

$$s_{x \text{ rap}} = n_{M1} i_{11} i_{Cv} i_{45} i_{18} i_{19} i_{67} i_{8} \pi D_9 \text{ [mm/min]},$$

$$s_{y \text{ rap}} = n_{M1} i_{11} i_{Cv} i_{45} i_{18} i_{19} i_{67} i_{8} i_{11} p_y \text{ [mm/min]}.$$

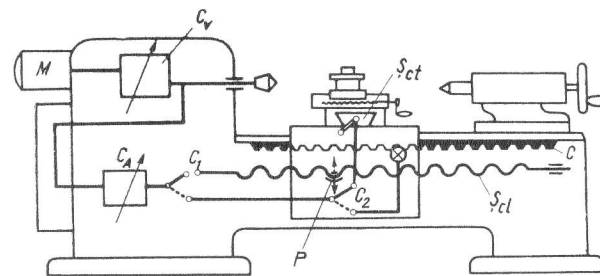


Fig. 12.22. Structura cinematică a strungului normal:

$s_{cl}$  — șurub conducător longitudinal;  $s_{ct}$  — șurub conducător transversal;  $p$  — piulița șurubului conducător;  $C_1$  — cuplă pentru cuplarea mecanismului de deplasare a cuțitului;  $C_2$  — cuplă pentru cuplarea avansului longitudinal sau transversal;  $C$  — cremalieră  $c$  — roată dințată

Cînd se ocolește variatorul  $C_v$ , se înlocuiește  $i_{Cv}$  cu  $A_{11} i_{15} i_{16} / A_2$ , în care  $A_{1,2}$  sînt roți de schimb.

Ecuatia caracteristică la prelucrarea filetelui:

$$s'_{xf} = n_{M1} i_{11} i_{Cv} i_{45} i_{18} i_{19} i_{67} i_{8} p_x \text{ [mm/min]} \text{ sau}$$

$$s_{xf} = s'_{xf} / n \text{ [mm/rot]}.$$

În această ecuație se va înlocui  $s'_{xf}$  cu valoarea pasului de la filetul de executat. De exemplu:  $s_{xf} = 25,4 / N_x$ , din tabelul 12.7. În cazul prelucrării filetelor frontale (spirale arhimedice), se folosește lanțul cinematic al strunjirii transversale. La prelucrarea filetelor multiple (fig. 12.23 [1], în care  $k = 3$  începuturi), este necesar ca scula să se deplaseze cu valoarea  $p = k \cdot div$ , unde  $p$  este pasul filetelui, iar  $div$  — diviziunea. Prelucrarea unui asemenea filet presupune și o divizare intermitentă a piesei, cu valoarea  $(1/k) 360^\circ$  — ce se poate obține cu dispozitivul din fig. 12.24 [1], realizat din discurile 1 și 2, blocate cu șurubul 4; poziționarea se face cu ajutorul unui vernier. Se pot utiliza, de asemenea, capete cu mai multe cuțite (fig. 12.25) [1], în funcție de numărul de începuturi; reglarea cuțitelor se face printr-un șablon. Este necesar să se verifice neapărat înclinarea filetelui:  $\tan \sigma = v/w$ , deoarece, la înclinări mari, rezultă  $w > v$ , ceea ce nu este recomandabil.

Pentru filetarea cu viteze rapide la exterior și interior, se folosește capul portcuțite, filetarea în vîrtej, care se montează pe suportul portscule excentric față de piesă (fig. 12.26 [1] și 12.27 [38]). Capul portcuțite 7 poate avea mai multe cuțite 2, și este acționat de un electromotor separat avînd o turație de 1000 la 3000 rot/min. La o rotație a piesei, capul portcuțite se deplasează axial cu un pas, urmîrind filetul piesei. În ceea ce privește viteza de așchiere și avansul, se utilizează valorile din tabelele 12.8 și 12.9.

Tabelul 12.7

## Reglarea strungului pentru filetare

Denumirea filetului	Caracteristica filetului	Pasul filetului, mm	Dimensiunile pasului
Filet metric	pasul, mm	$S_x$	1...12 mm
Filet în țoli	$N_x$ = numărul de pași pe țol	$S_x = \frac{25,4}{N_x}$	$N_x = 2-24$ pași pe țol
Filet modul	$m_x$ = modulul = $= \frac{d^*}{z}$ [mm]	$S_x = \pi \cdot m_x$	$m_x = 0,5-3$ mm
Filet	$DP_x = \frac{z}{d''^{**}}$ numărul de dinți pe țol	$S_x = \frac{25,4\pi}{DP_x}$	$DP_x = 96...7$

$d^*$  — diametrul de divizare al melcului, mm,  
 $d''^{**}$  — diametrul de divizare al melcului, țoli.

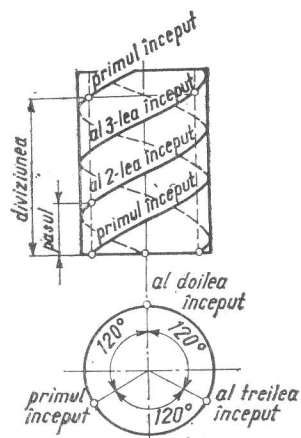


Fig. 12.23. Filet cu trei începuturi [1]

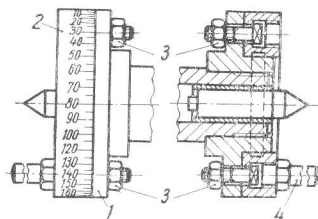


Fig. 12.24. Dispozitiv pentru prelucrarea filetului cu mai multe începuturi [1].

Tabelul 12.8

Valoarea coeficientului  $C_v$  și a avansului recomandat la filetare în virtej [3] și [24]

Oțel $\sigma_r$ da N/mm <sup>2</sup>	55	65	75	85	115
$C_v$	3180	2690	2330	2060	1380
Avansul $s_d$ , mm	0,8-1,2	0,8-1,2	0,6-1,0	0,4-0,8	0,3-0,6

Tabelul 12.9

## Durabilitatea recomandată la filetare în virtej [3] și [24]

Numărul de cuțite, $z$	1	2	3	4
Durabilitatea $T$ , min	20	40	60	80

**Strungul de detalonat.** La detalonarea radială, lanțul cinematic de detalonare (fig. 12.28 [1]), trebuie să asigure mișcarea de rotație a piesei (frezei)  $R_1$  și mișcarea de deplasare a sculei (cuțitului)  $D_1$ , ultima fiind realizată de o camă cu  $z_k$  proeminențe, de obicei  $z_k = 1$ ; lungimea cursei de deplasare este egală cu adâncimea  $c_k$  a proeminențelor camei, respectiv adâncimea de detalonare  $c$  a frezei. Este necesar să se asigure, de asemenea, o mișcare de divizare. La o rotație com-

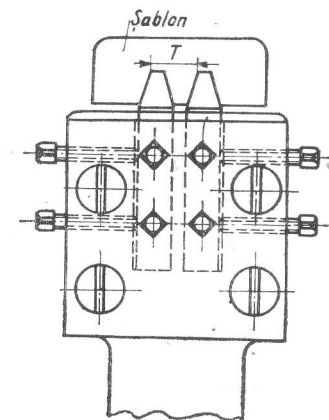
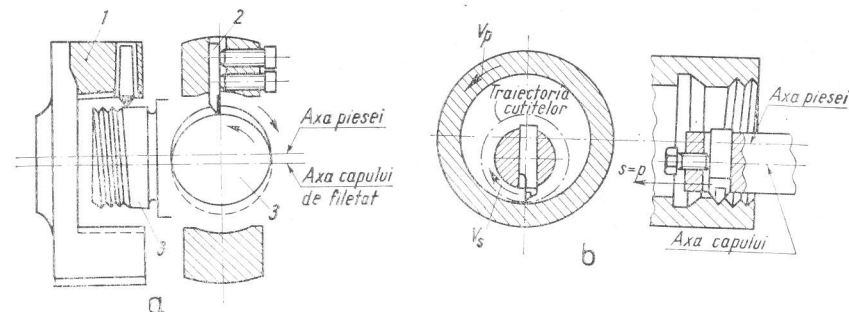


Fig. 12.25. Cap portcuțite pentru prelucrarea filetului cu două începuturi [1]

Fig. 12.26. Cap portcuțit pentru prelucrarea rapidă, în virtej [1]:  
a — filet exterior; b — filet interior



pletă a frezei, cama trebuie să se rotească de  $z/z_k$  rotații complete,  $z$  fiind numărul de dinți ai frezei. Ecuația lanțului cinematic de divizare (închis) va fi:

$$z/z_k = n_p i_{5-1} i_{4-6} i_x i_{7-8} \text{ sau } i_x = C_1 z.$$

Lanțul cinematic de acționare conține variatorul de reglare  $i_v$  și are ecuația:

$$n_p = n_M i_{1-2} i_v i_{3-4} i_{4-5} \text{ sau } i_v = C_2 n_p,$$

în care  $n_p = 1000 v/\pi D$ , unde  $v$  este viteza de așchiere,  $D$  — diametrul piesei.

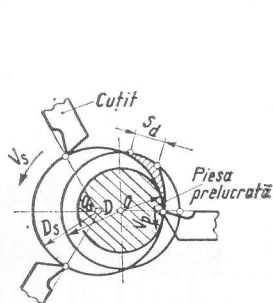


Fig. 12.27. Filetarea în vîrtej a filetului [38]

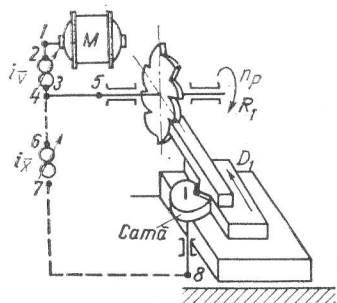


Fig. 12.28. Detalonarea radială [1].

La detalonarea oblică și axială, în scopul uniformizării mărimii unghiului de așezare lateral, detalonarea se face oblic, la unghiul  $\psi$  (fig. 12.29 [7]), în care caz, traiectoria directoare va fi o elice conică. Unghiul înclinării conului fiind  $90^\circ - \psi$ . În cazul  $\psi = 90^\circ$ , detalonarea se face axial (frontal), traiectoria directoare fiind o elice cilindrică.

La detalonarea pe elice, sînt necesare trei mișcări: rotația piesei (freza melc etc.)  $R_1$ , deplasarea radială a cuțitului  $D_1$  și deplasarea axială  $D_2$  a acestuia (fig. 12.30 [1]). Cuțitul urmărind elicea  $E_1$ , după care sînt dispuși dinții frezei melc (fig. 12.31 [7]), va întîlni, în timpul unei rotații a frezei,  $(1 + P_{E1}/P_{E2})z$  dinți [7, p. 563], unde  $P_{E1,2}$  este pasul elicei  $E_1$ , respectiv pasul elicei  $E_2$ , corespunzătoare canalului de evacuare a așchiilor. Ca urmare, cama trebuie să se rotească cu  $(1 + P_{E1}/P_{E2}) (z/z_k)$  rotații. Ecuația lanțului de divizare va fi (fig. 12.30 și 12.31),

$$(1 + P_{E1}/P_{E2}) (z/z_k) = n_p i_{1-2} i_x i_{3-4} \text{ sau } i_x = C_1 (1 + P_{E1}/P_{E2}) z.$$

Ecuația lanțului de urmărire a elicei  $E_1$ :

$$P_{E1} = n_p i_{5-6} i_y i_{7-8} p \text{ sau } i_y = C_2 P_{E1}.$$

În cazul prelucrării frezelor melc conice, este necesar în plus un lanț cinematic închis, avînd variatorul  $i_z$ , care să asigure avansul transversal pentru realizarea elicei conice (fig. 12.32 [1]).

La detalonarea cu generatoare cilindrică, (detalonare cu avans), sînt necesare două grupuri de mișcări: pentru detalonare radială (divizare) — cu mișcările  $R_1$  și  $D_1$  și pentru asigurarea canalului elicoidal — cu mișcările  $R_2$  și  $D_2$  (fig. 12.33 [1]).

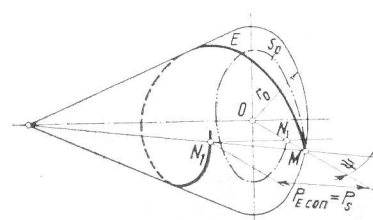


Fig. 12.29. Detalonarea oblică [7]

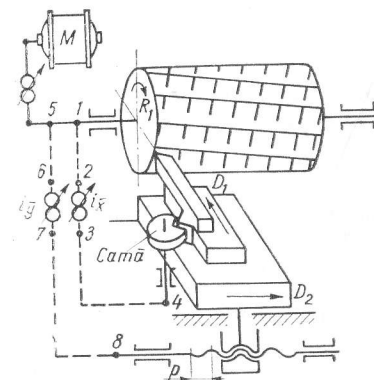


Fig. 12.30. Detalonarea pe elice [1]

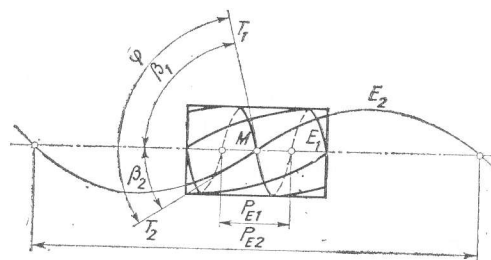


Fig. 12.31. Freza-melc [7]:  
 $E_1$  — elicea dinților;  $E_2$  — elicea canalelor

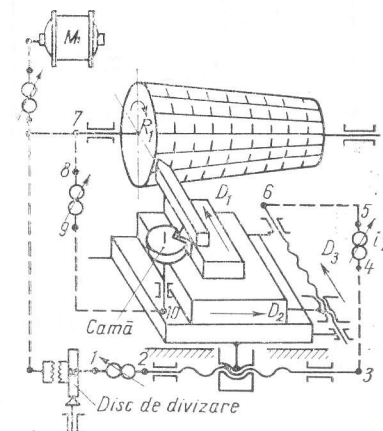


Fig. 12.32. Detalonarea frezei melc conice [1]

Ecuația lanțului cinematic închis de divizare este:

$$z/z_k = n_p i_{3-2} i_{2-4} i_x i_{5-6} i_{7-6} i_{7-15} i_{15-16} \text{ sau } i_x = C_1 z.$$

Ecuația lanțului cinematic al elicei dinților (de pas  $P_E$ ) este:

$$P_E = n_p i_{3-2} i_{2-4} i_x i_{5-6} i_{6-8} i_y i_{9-10} p \text{ sau } i_y = C_2 P_E / i_x = C_3 P_E / z.$$

Ecuția lanțului de așchiere a piesei este:

$$n_p = n_M i_v i_{2-3} \text{ sau } i_v = C_4 n_p.$$

Ecuția lanțului cinematic de acționare a lanțului închis de generare a elicei este:

$$s = n_p i_{14-17} i_s i_{18-12} i_{12-11} p \text{ sau } i_s = C_5 s.$$

**Structura strungului universal de detalonat.** Luîndu-se cazul prelucrării frezei mele (fig. 12.34 [1]), legătura între arborele principal și camă se asigură prin două legături cinematice interioare, cu ajutorul unui mecanism de însumare (diferențial).

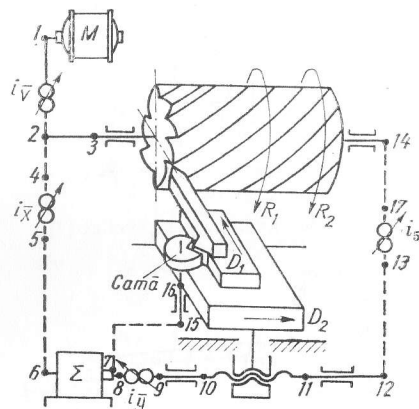


Fig. 12.33. Detalonarea cu generatoare cinematice [1]

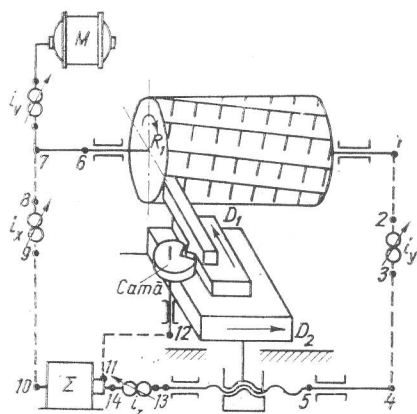


Fig. 12.34. Structura strungului de detalonat [1]

Deoarece, pentru o rotație a piesei, cama se rotește de valoarea  $(1 + P_{E1}/P_{E2})(z/z_k)$  rotații, această mișcare se împarte în două:  $n_p \rightarrow z/z_k$  și  $n_p \rightarrow (P_{E1}/P_{E2})(z/z_k)$ . Prima legătură se asigură prin lanțul cinematic cu variatorul  $i_x$ , iar a doua printr-un alt lanț cinematic, cu variatoarele  $i_y$  și  $i_z$ . Ca urmare, legătura cinematică constă din trei lanțuri cinematice, acționate printr-un lanț ce cuprinde variatorul  $i_v$ . Ecuția lanțului cinematic al elicei dinților este

$$P_{E1} = n_p i_{1-2} i_y i_{3-4} i_{4-5} p \text{ sau } i_y = C_1 P_{E1},$$

iar ecuația lanțului cinematic de divizare este

$$n_k = n_p i_{6-7} i_{7-8} i_x i_{9-10} i_{10-11} i_{11-12} \text{ sau } i_x = C_2 s.$$

Ecuția lanțului diferențialului (a mișcării suplimentare), este  $z P_{E1}/P_{E2} = n_p i_{1-2} i_y i_{3-4} i_{4-5} i_{5-13} i_z i_{14-11} i_{11-12}$  sau  $i_z = C_3 z/P_{E2}$ .

**Strungul vertical (carusel).** Se construiește (fig. 12.35 [16]), cu un montanț și traversă mobilă ( $d = 650-1800$  mm), cu doi montanți și traversă mobilă ( $d > 1800$  mm), cu

unul sau doi montanți cu traversă fixă (piese cu înălțime mică:  $h < 700$  mm). În figura 12.36 [16]), se dă principiul de lucru al strungului carusel.

Figura 12.37 [16], reprezintă schema cinematică de principiu a unui strung carusel cu doi montanți și traversă mobilă.

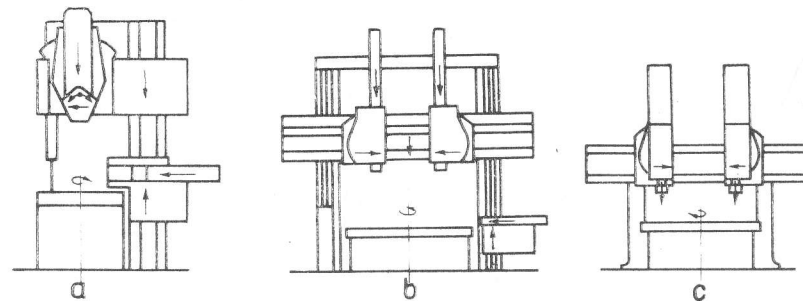


Fig. 12.35. Construcții de strunguri carusel [16]:

a — cu un montanț și traversă mobilă; b — cu doi montanți și traversă mobilă; c — cu doi montanți și traversă fixă

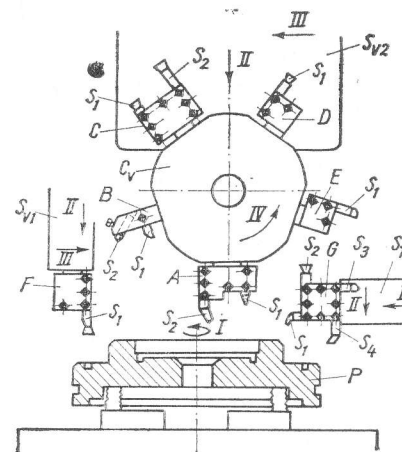


Fig. 12.36. Principiul de lucru al strungului carusel [16]

Lanțul principal este  $M_1 - 1 - 2 - C_v - 3 - z_1/z_2$ . Din punctul 3 se ramifică mișcările pentru acționarea celor trei cărucioare:  $3 - 5$ ,  $3 - 13$  și  $3 - 25$ , ajungînd la cutiile de avansuri  $C_{A1}$ ,  $C_{A2}$  și  $C_{A3}$ . La ieșirea din acestea, pentru fiecare cărucior, mișcarea se ramifică asigurînd deplasarea orizontală sau verticală a căruciorului. Pentru poziționarea cărucioarelor respectiv traversei, există lanțuri cinematice rapide (fără variatoare), acționate de motoarele  $M_2, M_3, \dots, M_8$ .

**Strungul revolver.** Permite prelucrarea pieselor din bară fixată în patron, sau a semifabricatelor forjate, matrițate și turnate, fixate în universal. Prin poziționarea sculelor, conform planului de operații, într-un cap revolver tip „turelă” (fig. 12.38, a), cu axa de rotație verticală sau înclinată, sau tip „tambur” (fig. 12.38, b), cu axa de rotație orizontală, se pot repeta fazele de prelucrare până la uzura sculelor, fără o reglare între reascuțiri; de aceea este utilizat la fabricația de serie mare sau masă [1].

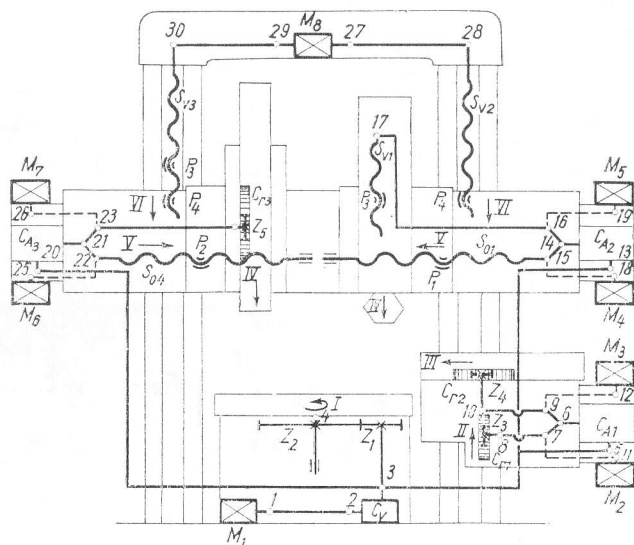


Fig. 12.37. Schema cinematică de principiu a unui strung carusel cu doi montanți și traversă mobilă [16]

Prelucrarea se face după principii cinematice similare cu ale strungului normal [7]: directoarea cinematică se obține prin rotirea piesei de către lanțul cinematic principal  $C_v 1-2$  (fig. 12.38), iar generatoarea cinematică se realizează prin lanțul cinematic de avans longitudinal:  $C_v 3-4-5-6-7-8-9-10$ , sau transversal:  $C_v 3-4-11-12-13-14-15-16-17-18-19-20-21-22-23-24-25-26-27-28-29-30$ .

Ecuatiile parametrilor cinematici:

$$n = n_{M1} i_{cv} i_1 i_2 \text{ [rot/min]},$$

$$s'_x = n_{M1} i_{cv} i_3 i_{CA} i_4 i_5 i_6 i_7 i_8 \pi D_9 \text{ [mm/min]} \text{ sau } s_x = s'_x / n \text{ [mm/rot]},$$

$$s'_y = n_{M1} i_{cv} i_3 i_{CA} i_4 i_5 i_6 i_7 i_8 \pi D_9 \text{ [mm/min]} \text{ sau } s_y = s'_y / n \text{ [mm/rot]},$$

$$s'_{xrap} = n_{M2} i_{13} i_7 i_8 \pi D_9 \text{ [mm/min]},$$

$$s'_{yrap} = n_{M2} i_{13} i_7 [1/(i_6 i_5 i_4)] i_{11} i_{12} \pi D_9 \text{ [mm/min]},$$

în care  $n$  este turația arborelui principal,  $s'_{x,y}$  — viteza de avans longitudinal respectiv transversal,  $D_9$  — diametrul de rulare al pinionului 9 pentru avansul longitudinal,  $\pi D_9$  — pasul șurubului conducător transversal.

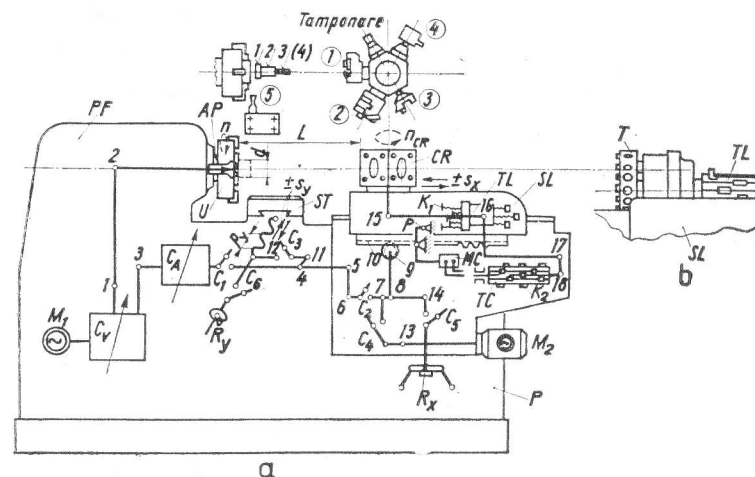


Fig. 12.38. Schema cinematică a strungului revolver

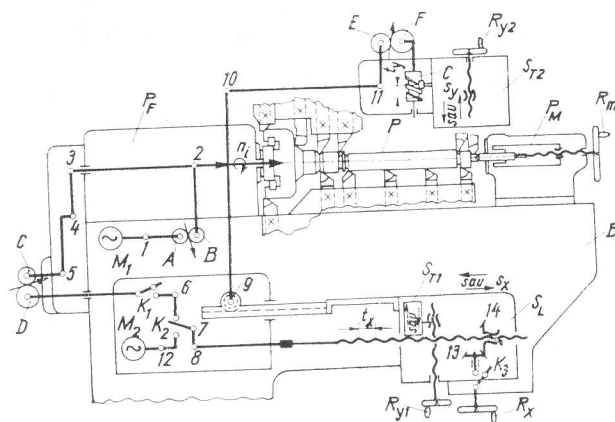


Fig. 12.39. Schema cinematică principală a unui strung semiautomat de profilat și strunjit longitudinal

**Strunguri automate și semiautomate.** Strungurile semiautomate de profilat și strunjit longitudinal, fig. 12.39, folosesc mai multe cutii. Ecuatii cinematice:

— mișcarea principală, rotirea piesei  $P$  de către electromotorul  $M_1$ ,

$$n_i = n_{M1} i_1 (A/B) i_2 \text{ [rot/min]};$$

— mișcările pentru avansul de lucru longitudinal și transversal sînt:

$$s'_x = n_{M1} i_1 (A/B) i_2 i_3 i_4 i_5 (C/D) i_6 i_7 i_8 t_x [\text{mm/min}] \text{ sau } s_x = s'_x / n_i [\text{mm/rot}] \text{ și}$$

$$s'_y = n_{M1} i_1 (A/B) i_2 i_3 i_4 i_5 (C/D) i_6 i_7 i_8 t_x [1/(\pi m_9 z_9)] i_{10} i_{11} (E/F) t_y [\text{mm/min}]$$

$$\text{sau } s_y = s'_y / n_i [\text{mm/rot}];$$

— mișcările auxiliare pentru deplasările rapide de apropiere, îndepărtare și poziționare a săniilor față de piesă sînt:

$$s_{xr} = n_{M2} i_{12} i_7 i_8 t_x [\text{mm/min}],$$

$$s_{yr} = n_{M2} i_{12} i_7 i_8 t_x [1/(\pi m_9 z_9)] i_{10} i_{11} (E/F) t_y [\text{mm/min}].$$

În aceste ecuații,  $S_{x,y}$  reprezintă avansul longitudinal respectiv transversal;  $A, B$  — roți de schimb pentru mișcarea principală;  $C, D, E$  și  $F$  — roți de schimb pentru

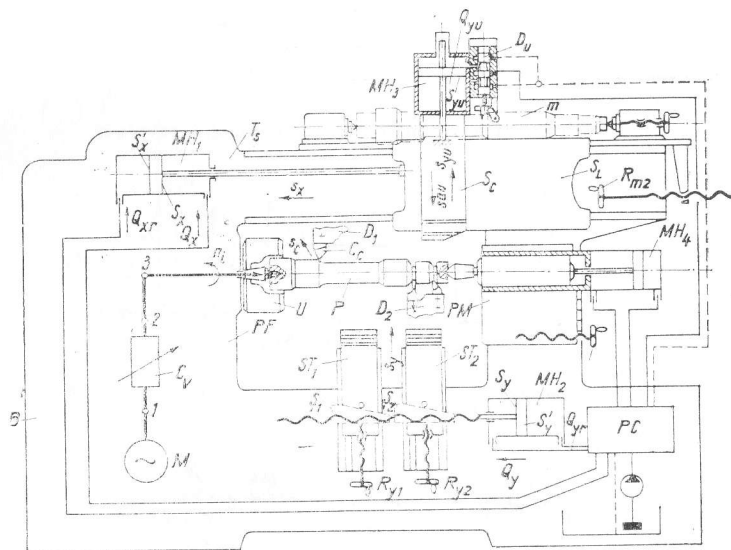


Fig. 12.40. Schema cinematică principală a strungului de copiere.

mișcările de avans;  $t_x$  — pasul șurubului conducător;  $t_y$  — pasul camei cilindrice transversale;  $m_9, z_9$  — modulul, respectiv numărul de dinți ai roții 9.

Pentru acționarea și reglarea manuală a mașinii, servesc roțile de mină  $R_x, R_{y1}, R_{y2}$  și  $R_m$ .

**Strunguri de copiere.** În figura 12.40, se dă schema cinematică a acestor strunguri. Mișcarea principală, în general, se realizează sub acțiunea unui electromotor  $M$ ; variatorul de turații  $C_v$  poate fi cu reglare în trepte sau cu reglare continuă. Mișcările pentru

avansurile de lucru  $S_x, S_y$  cit și pentru deplasările auxiliare, sînt produse și comandate hidraulic. Elementele sistemului sînt coordonate de la un panou central  $PC$  iar mișcarea este dată de motoarele hidraulice  $MH_1, MH_2, MH_3$  și  $MH_4$ . Ecuații cinematice:

— mișcarea principală

$$n_i = n_{M1} i_{Cv} i_2 i_3 [\text{rot/min}];$$

— mișcarea de copiere  $S_c$  se compune din mișcarea de transport cu viteza de avans  $s_x$  și din mișcarea de urmărire cu viteza de avans  $s_{yu}$

$$s_x = Q_x / S_x [\text{mm/min}]; s_{yu} = Q_{yu} / S_{yu} [\text{mm/min}]; s_c = \sqrt{s_x^2 + s_{yu}^2} [\text{mm/min}];$$

— mișcarea pentru avansul transversal  $s_y$

$$s_y = (Q_y / S_y) h_y [\text{mm/min}];$$

— mișcările auxiliare pentru deplasările rapide

$$s_{xr} = Q_{xr} / S'_x [\text{mm/min}], s_{yr} = (Q_{yr} / S_y) h_y [\text{mm/min}].$$

În aceste ecuații  $Q_x, Q_{yu}, Q_y$  sînt debitele de alimentare pentru avansurile de lucru al motoarelor hidraulice  $MH_1, MH_2, MH_3$ ;  $Q_{xr}$  și  $Q_{yr}$  sînt debitele de alimentare a motoarelor pentru deplasările rapide;  $S_x, S_{xr}, S_y, S_{yr}$  și  $S_{yu}$  sînt suprafețele active ale pistoanelor de la motoarele hidraulice  $MH_1, MH_2$  și  $MH_3$ ;  $h_y$  este panta de ridicare a șabloanelor  $S_1$  și  $S_2$ .

Pentru acționarea și reglarea manuală a mașinii-unelte, servesc roțile de mină  $R_{y1}, R_{y2}, R_{m1}$  și  $R_{m2}$ .

Unele tipuri de strunguri de copiere sînt prevăzute cu sisteme complexe electrohidraulice de comandă după program.

**Strunguri semiautomate multiaxe cu prelucrare succesivă.** Se construiesc orizontal sau vertical, cu cinci, șase, opt sau doisprezece arbori de lucru.

În figura 12.41, se dă schema cinematică principală și de lucru în cazul unei construcții verticale.

Mașina-unelte are o sursă de acționare centrală și derivații ale lanțului cinematic care asigură acționarea independentă pentru fiecare post de lucru, atît sub raportul mișcării principale, cit și celei de avans. Ecuații cinematice:

— mișcarea principală

$$n_i = n_{M1} i_{12} (A/B) i_3 i_4 [\text{rot/min}];$$

— mișcarea de avans are ca sursă de acționare electromotorul  $M_1$  și, prin  $1-2-A-B-5-C-D-6$ , se ajunge la cama  $C_A$ , de unde, prin bara  $b$ , se acționează direct sania axială  $S_A$  sau, prin  $9-10-11$ , sania radială  $S_R$  astfel,

$$s'_x = n_{M1} i_{12} (A/B) i_5 (C/D) i_6 h_{CA} [\text{mm/min}] \text{ sau } s_x = s'_x / n_i [\text{mm/rot}],$$

$$s'_y = n_{M1} i_{12} (A/B) i_5 (C/D) i_6 h_{CA} [\text{mm/min}] \text{ sau } s_y = s'_y / n_i [\text{mm/rot}].$$

Transferul arborilor de lucru dintr-un post de lucru în următorul, pentru desfășurarea prelucrării succesive a piesei, se face sub acțiunea lanțului cinematic auxiliar acționat de către electromotorul  $M_2$ , și anume, coroana dințată 13 este acționată intermitent prin elementele  $7-K_3-8$  și 12, rotind astfel cu un anumit unghi masa indexată  $M$ .

**Strunguri automate monoaxe pentru retezat și strunjit longitudinal.** Se caracterizează prin lanțuri cinematice simple pentru mișcarea principală și mișcările de avans și auxiliare, formînd o grupă unitară de mașini-unelte care dispun de un singur arbore de distribuție cu turație constantă (pentru cazul reglat), care, pentru un ciclu de lucru complet, se rotește cu 360°. De asemenea, caracteristic este și faptul că semifabricatul,

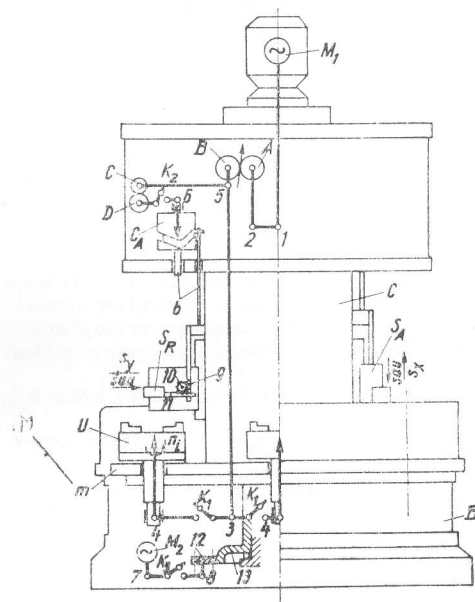


Fig. 12.41. Schema cinematică principală a unui strung semiautomat multi-ax, cu prelucrare succesivă

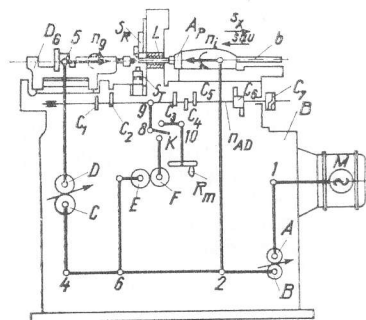


Fig. 12.42. Schema cinematică principală a unui strung automat mono-ax pentru retezat și strunjit longitudinal

în faza de strunjire longitudinală, pe lângă mișcarea de rotație execută și o mișcare de avans longitudinal, împreună cu arborele principal. În figura 12.42, se dă schema principală cinematică și constructivă a acestuia. Sculele fixate în suporturile transversale și radiale (fig. 12.43 [6]), pot efectua numai deplasări transversale, fapt care reclamă aducerea semifabricatului în zona de lucru, în faze succesive, iar în cazul strunjirii longitudinale, cu deplasare continuă corespunzătoare vitezei de avans  $s'_x$ . Ecuații cinematice:

1) mișcarea principală

$$n_i = n_M i_1(A/B) i_2 i_3 \text{ [rot/min]};$$

2) mișcarea pentru găurirea rapidă

$$n_g = n_M i_1(A/B) i_4(C/D) i_5 \text{ [rot/min]};$$

3) mișcarea pentru realizarea avansurilor;  
— avansul longitudinal

$$s'_x = n_M i_1(A/B) i_6 i_7(E/F) i_8 i_9 h_{C7} \text{ [mm/min]} \text{ sau } s_x = s'_x / n \text{ [mm/rot]};$$

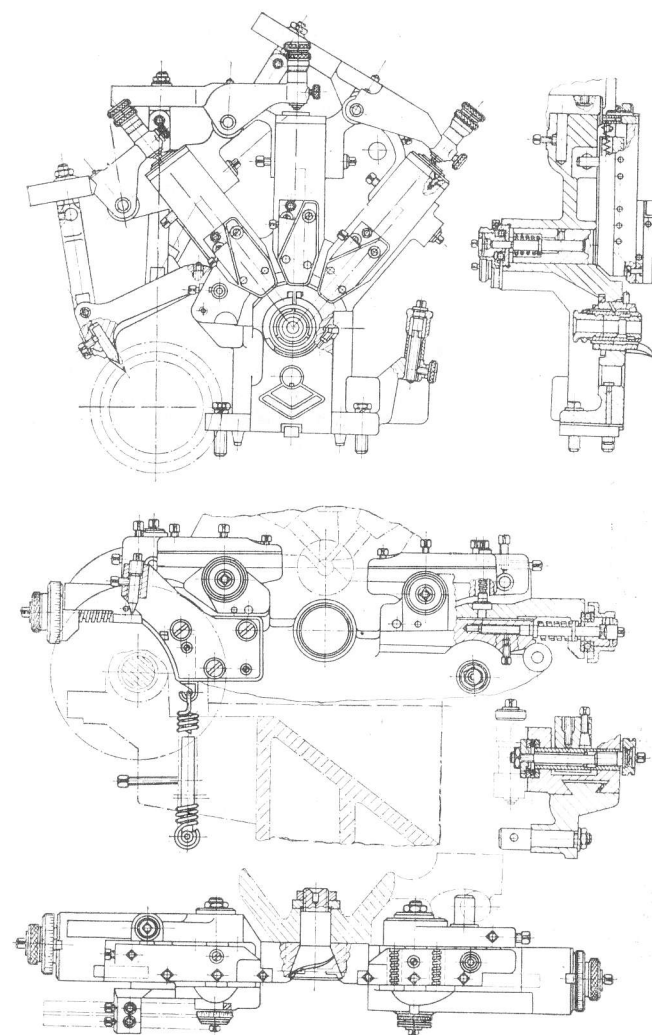


Fig. 12.43. Schema de fixare a sculelor [6]



— avansul radial

$$s'_{yR} = n_M i_1(A/B) i_6 i_7(E/F) i_8 i_9 h_{C3.4.5} \text{ [mm/min]} \text{ sau } s_{yR} = s'_{yR}/n \text{ [mm/rot]};$$

— avansul transversal

$$s'_{yT} = n_M i_1(A/B) i_6 i_7(E/F) i_8 i_9 h_{C2} \text{ [mm/min]} \text{ sau } s_{yT} = s'_{yT}/n_i \text{ [mm/rot]};$$

— avansul pentru găurirea rapidă

$$s'_{xG} = n_M i_1(A/B) i_6 i_7(E/F) i_8 i_9 h_{C1} \text{ [mm/min]},$$

$$\text{sau } s_{xG} = s'_{xG}/(n_i + n_g) \text{ [mm/rot]};$$

— turația arborelui de distribuție

$$n_{AD} = n_M i_1(A/B) i_6 i_7(E/F) i_8 i_9 \text{ [rot/min]}.$$

În aceste ecuații  $n_g$  este turația arborelui de găurire rapidă,  $ABCDEF$  — numărul de dinți ai roților de schimb respective,  $h_{C1...7}$  — panta camelor  $C_1...7$  mm/rot. Valoarea raportului de transfer pentru  $E/F$  se alege astfel încît  $n_{AD} = 1/T$ , în care  $T$  este timpul total necesar pentru executarea unei piese (un ciclu tehnologic). Determinarea lui  $T$  se

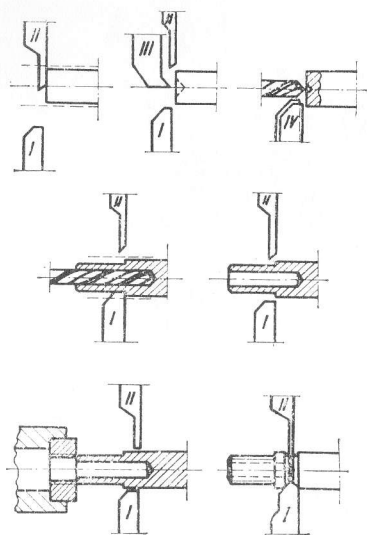


Fig. 12.44. Planul cu fazele de prelucrare [49]

face prin însumarea timpilor de bază nesuprapuși  $t_{bi}$ , rezultați la executarea unei piese, și a tuturor timpilor ajutători  $t_{ai}$ , adică  $T = \sum_{i=1}^n (t_{bi} + t_{ai})$ . Calculul timpilor de bază  $t_{bi}$  se face pe baza planului de desfășurare a fazelor de executare a piesei, (fig. 12.44 [49]).

Acest plan constituie, în același timp, baza de plecare a proiectării camelor cu care se înzestrează mașina-unealtă de fiecare dată cînd se prelucurează un nou tip de piesă.

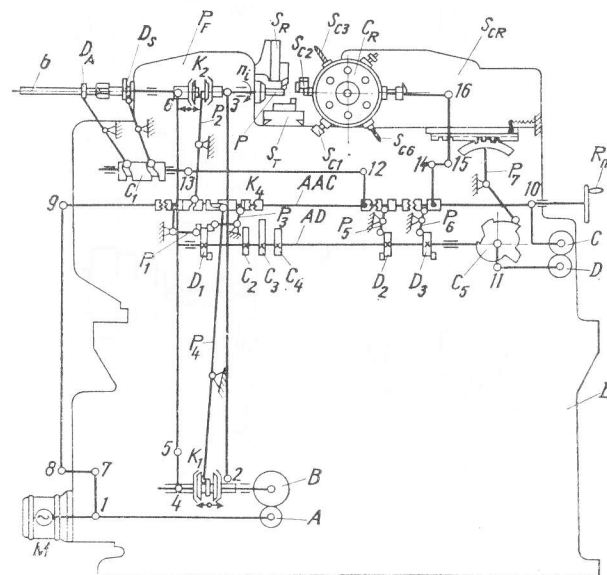
Acționarea mașinii în faza de reglare se face pe cale manuală, cu ajutorul roții de mină  $R_m$  (fig. 12.42).

**Strunguri automate monoaxe cu cap revolver.** În fig. 12.45, se dă schema principală cinematică și constructivă. Ecuații cinematice:

1) mișcarea principală

$$n_{t1} = n_M i_1(A/B) i_2 i_3 \text{ [rot/min]} \text{ (sens normal),}$$

$$n_{t2} = n_M i_1(A/B) i_4 i_5 i_6 \text{ [rot/min]} \text{ (sens invers);}$$



## 3) mișcarea pentru arborele auxiliar de comandă

$$n_{AAC} = n_M i_1 i_7 i_8 i_9 \text{ [rot/min]}.$$

În aceste ecuații  $n_{AAC}$  este turația arborelui auxiliar de comandă,  $A, B, C$  și  $D$  — numărul de dinți ai roților de schimb respective,  $h_{C2...5}$  — panta camelor  $C_2...5$  [mm/rot]. Valoarea raportului de transfer al roților de schimb  $C$  și  $D$  se determină prin relația  $n_{AD} = 1/T = n_M i_1 i_7 i_8 i_9 i_{10} (C/D) i_{11} = q(C/D)$ , în care  $q = n_M i_1 i_7 i_8 i_9 i_{10} i_{11} = \text{const.}$ , iar

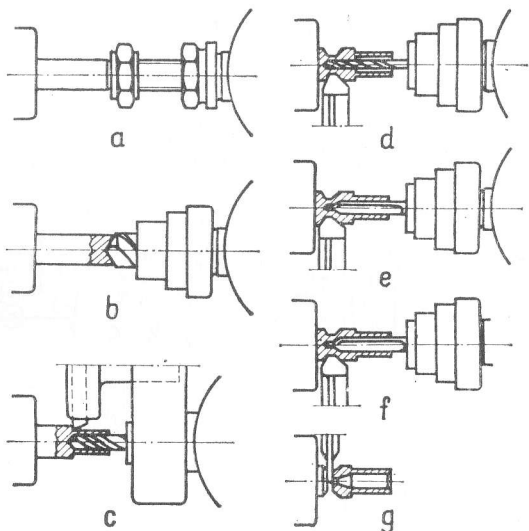


Fig. 12.46. Planul de desfășurare a fazelor de execuție [49]

$T$  — timpul total necesar pentru executarea unei piese (durata unui ciclu tehnologic):

$$T = \sum_{i=1}^n (t_{bi} + t_{ai}). \text{ Pentru determinarea timpilor } t_{bi} \text{ se întocmește planul de desfășurare}$$

a fazelor de execuție a pieselor (fig. 12.46 [49]), care constituie în același timp și baza proiectării camelor cu care se înzestrează mașina-unealtă de fiecare dată cînd se prelucrază un nou tip de piesă.

**Strunguri automate multiaxe orizontale.** În figura 12.47, se dă schema principală cinematică și constructivă. Prelucrarea pieselor are loc prin trecerea succesivă a fiecărui arbore principal în dreptul fiecăruia din posturile de lucru  $I, II, \dots, VIII$ , sub acțiunea mecanismului cruce de Malta  $CM$ . Piese, astfel permutate, suferă prelucrările fazelor prevăzute pentru fiecare post de lucru. Ecuații cinematice:

## 1) mișcarea principală

$$n_i = n_M i_1 i_2 i_3 i_4 (A/B) i_5 i_6 \text{ [rot/min]};$$

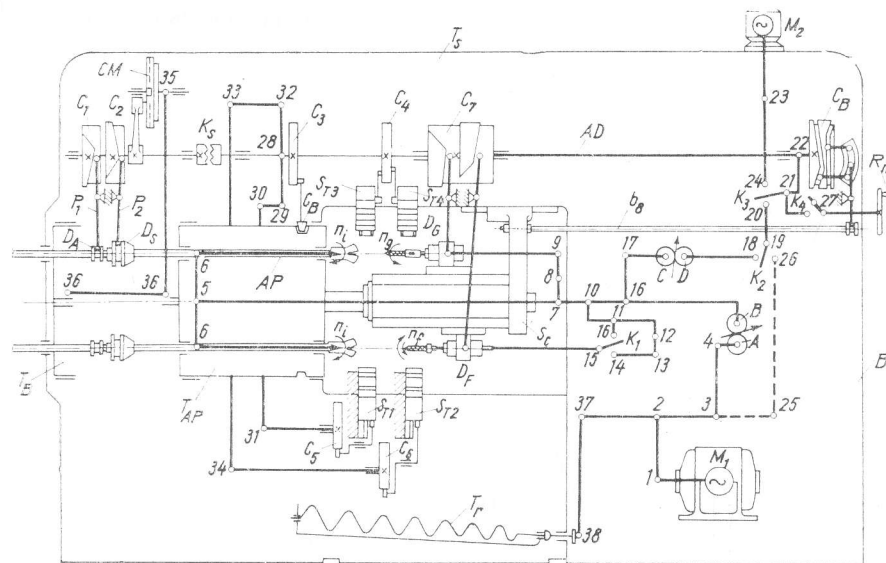


Fig. 12.47. Schema cinematică principală a strungului automat multi-ax, orizontal

## 2) mișcarea pentru găurire

$$n_g = n_M i_1 i_2 i_3 i_4 (A/B) i_7 i_8 i_9 \text{ [rot/min]};$$

## 3) mișcarea pentru filetare

$$n_f = n_M i_1 i_2 i_3 i_4 (A/B) i_{10} i_{11} i_{12} i_{13} i_{14} i_{15} \text{ [rot/min]};$$

## 4) mișcarea pentru realizarea avansurilor;

— avansul de lucru al saniei centrale

$$s'_x = n_M i_1 i_2 i_3 i_4 (A/B) i_{16} i_{17} (C/D) i_{18} i_{19} i_{20} i_{21} i_{22} h_{C8} \text{ [mm/min]}$$

$$\text{sau } s_x = s'_x / n_i \text{ [mm/rot]};$$

— avansul de lucru al saniei transversale superioare,

$$s'_{yT} = n_{AD} h_{C4} \text{ [mm/min]} \text{ sau } s_{yT} = n_{AD} h_{C4} / n_i \text{ [mm/rot]},$$

$$\text{în care } n_{AD} = n_M i_1 i_2 i_3 i_4 (A/B) i_{16} i_{17} (C/D) i_{18} i_{19} i_{20} i_{21} i_{22};$$

— avansul de lucru al saniei inferioare:

$$s'_{yT1} = n_{AD} i_{23} i_{29} i_{30} i_{31} h_{C5} \text{ [mm/min]} \text{ sau } s_{yT1} = s'_{yT1} / n_i \text{ [mm/rot]},$$

$$s'_{yT2} = n_{AD} i_{28} i_{32} i_{33} i_{34} h_{C6} \text{ [mm/min]} \text{ sau } s_{yT2} = s'_{yT2} / n_i \text{ [mm/rot]};$$

— avansul rapid al săniilor de lucru are loc pentru o turație rapidă și constantă a arborelui de distribuție, care se determină cu relația:

$$n_{ADr} = n_{M2} i_{23} i_{24} i_{21} i_{22} \text{ [rot/min]},$$

în care  $n_g$  este turația pentru găurire,  $n_f$  — turația pentru filetare,  $A, B, C$  și  $D$  — numărul de dinți ai roților de schimb respective,  $h_{C4...8}$  — panta camelor  $C_4...8$  [mm/rot].

Determinarea valorii turației arborelui de distribuție  $n_{AD}$ , pentru fazele de lucru, se face cu relația  $n_{AD} = 1/T_b = p(C/D)$ , în care  $p = n_{M1} i_{12} i_{13} i_{14} (A/B) i_{16} i_{17} i_{18} i_{19} i_{20} i_{21} i_{22}$ , iar  $T_b$  — timpul de bază total nesuprapus, necesar executării unei piese (de obicei corespunde

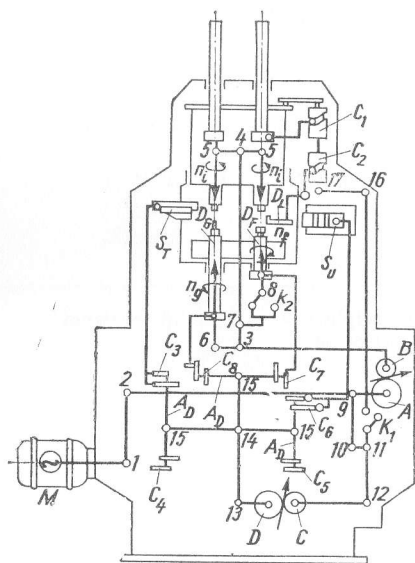


Fig. 12.48. Schema cinematică principală a strungului automat multi-ax, vertical

punde cu valoarea timpului de bază al fazei de lucru cu durata cea mai lungă). Pentru determinarea timpului  $T_b$ , și pentru reglarea poziției suporturilor portscule (la aceste tipuri de automate nu se schimbă camele odată cu felul piesei prelucrate — utilizându-se came tipizate), se elaborează planul de desfășurare a procesului de prelucrare pe posturi de lucru și faze.

**Strunguri automate multi-axiale verticale.** Prezintă aceleași caracteristici constructive și cinematice ca și cele orizontale, deosebirea funcțională constind în faptul că poziția arborilor principali și a dispozitivelor axiale este verticală, precum și faptul că lipsește total dispozitivul de avansare a semifabricatului, deoarece acesta avansează pînă la limitatorul de dozare prin greutatea proprie. În fig. 12.48, se dă schema principală cinematică și constructivă a unui asemenea strung.

**12.21.2. PARAMETRII OPERAȚIEI DE STRUNJIRE. Precizia de prelucrare.** La degroșare, se obține calitatea 11 ISO în cazul arborilor și calitatea 10 ISO la prelu-

crarea alezajelor, iar rugozitatea  $R_a = 50 \mu\text{m}$ . La finisare, se obține calitatea 10 ISO pentru arbori și 9 ISO pentru alezaje, iar rugozitatea  $R_a$  este  $1,6 \dots 6,3 \mu\text{m}$ . La strunjirea cu diamant, se obține calitatea 6 ISO.

După Comisia de Așchieră metalelor din URSS rugozitatea se calculează aproximativ cu formulele:

$$\text{— pentru oțel, } R_{max} = 0,21 s^{1,07} / v^{0,65} \text{ [mm]}, \quad (12.36)$$

$$\text{— pentru fontă, } R_{max} = 0,189 s^{1,1} / v \text{ [mm]}. \quad (12.37)$$

La prelucrarea canalelor, se obține rugozitatea  $R_a 6,3 \dots 25 \mu\text{m}$ .

În cazul prelucrării cu cuțit avînd  $\alpha_1 = 0$  (după geometria Kolesov), se obține rugozitatea  $R_a 3,2 \dots 12,5 \mu\text{m}$ , pentru avansul  $s = 2,5 \dots 2,7 \text{ mm/rot}$ .

**Forțele de așchiere.** Se calculează cu formulele (12.6) ... (12.8), în care  $k_z$  se determină cu relația (12.23). Valorile coeficienților, exponenților și coeficienților de corecție se dau în tabelele 12.10 ... 12.19 [67] [3] [24]. În ceea ce privește valoarea exponentului  $n_F$ , acesta se ia din tabelul 12.27.

În cazul prelucrării cu cuțite după geometria Kolesov, forța de așchiere se calculează cu formula  $F_z = 385 t^{0,9} s^{0,9} / v^{0,15} \text{ [daN]}$ .

Tabelul 12.10

Coeficienții forțelor de așchiere  $F_z = C_{Fz} t^{0,75} k_z$ ,  $F_x = C_{Fx} \cdot t^{1,2} s^{0,55} k_x$  și  $F_y = C_{Fy} t^{0,9} s^{0,75} k_y$  (după BNT v MS SSSR) pentru scule din oțel rapid

Materialul prelucrat	$C_{Fz}$	$C_{Fx}$	$C_{Fy}$
Oțel și oțel turnat			
$\sigma_r = 35 \text{ daN/mm}^2$	140	19	27
$\sigma_r = 55 \text{ daN/mm}^2$	165	42	67
$\sigma_r = 75 \text{ daN/mm}^2$	200	67	125
Fontă cenușie			
HB 150	80	28	59
HB 190	100	40	88
HB 270	115	52	120
Fontă maleabilă			
HB 110	100	39	88
HB 150	115	51	119
HB 200	140	66	188

Observație. Pentru carburi metalice:  $C_{Fz} = 300$  pentru oțel  $\sigma_r = 75 \text{ daN/mm}^2$   
 $C_{Fz} = 92$  pentru fontă cenușie HB 190  
 $C_{Fz} = 81$  pentru fontă maleabilă HB 150

Tabelul 12.11

Coeficientul de corecție în funcție de starea și grupa materialului  $k_{CF}$ 

Starea și grupa materialului		$k_{CF}$
Oțeluri trase la rece		0,80
Oțeluri laminate la cald, recoapte, normalizate și tratate termic		1,0
Aluminiu și siluminii		0,20
Duraluminii	$\sigma_r = 25 \text{ daN/mm}^2$	0,30
	$\sigma_r = 35 \text{ daN/mm}^2$	0,40
	$\sigma_r > 35 \text{ daN/mm}^2$	0,55
Electron $\sigma_r = 16 \text{ daN/mm}^2$		0,15

Observație. Coeficienții de corecție pentru aliajele de aluminiu și de magneziu se iau pentru oțel laminat la cald cu  $\sigma_r = 70-80 \text{ daN/mm}^2$ .

Tabelul 12.12

Coeficientul de corecție în legătură cu proprietățile mecanice ale materialului  $k_{MFz, x, y}$ 

Oțel și Oțel turnat	$\sigma_r, \text{ daN/mm}^2$	30-40	40-50	50-60	60-70	70-80	80-90	90-100	100-110	110-120
Oțel și Oțel turnat	$k_{MFz}$	0,69	0,76	0,82	0,89	1,0	1,1	1,18	1,28	1,36
	$k_{MFx}$	0,28	0,47	0,63	0,81	1,0	1,22	1,40	1,61	1,84
	$k_{MFy}$	0,22	0,36	0,54	0,76	1,0	1,29	1,57	1,89	2,24
Fontă cenușie	HB	140-160	160-180	180-200	200-220	220-240	240-260	260-280		
	$k_{MFz}$	0,88	0,94	1,0	1,06	1,12	1,17	1,22		
	$k_{MFx}$	0,77	0,89	1,0	1,12	1,24	1,36	1,48		
Fontă maleabilă	HB	100-120	120-140	140-160	160-180	180-200				
	$k_{MFz}$	0,84	0,92	1,0	1,07	1,14				
	$k_{MFx}$	0,71	0,85	1,0	1,15	1,30				
Aliaje de cupru	HB	100-120	120-140	140-160	160-180	180-200				
	$k_{MFz}$	0,84	0,92	1,0	1,07	1,14				
	$k_{MFx}$	0,71	0,85	1,0	1,15	1,30				
Aliaje de cupru	Eterogene		De plumb, cu structură de bază eterogenă		Omogene		Cu conținut de plumb sub 10% cu structură de bază omogenă		Cupru	
	Duritate mare	Duritate medie								
	$k_{MFz}$	0,75	1,0	0,62	1,8-2,2	0,65-0,70	1,7-2,1	0,25-0,45		

Tabelul 12.13

Coeficientul de corecție  $k_{x Fz, x, y}$  pentru scule din oțel rapid

	Materialul prelucrat	$\alpha^\circ$						
		10	20	30	45	60	75	90
$k_{x Fz}$	Oțel, oțel turnat, aliaje de aluminiu și magneziu	1,32	1,16	1,08	1,0	0,98	1,03	1,08
	Fontă	—	—	1,05	1,0	0,96	0,94	0,92
	Aliaje de cupru	—	—	—	1,04	1,0	0,98	0,96
$k_{x Fx}$	Oțel, oțel turnat	—	—	0,70	1,0	1,27	1,51	1,82
	Fontă	—	—	0,63	1,0	1,11	1,20	1,28
$k_{x Fy}$	Oțel, oțel turnat	—	—	1,63	1,0	0,71	0,54	0,44
	Fontă	—	—	1,23	1,0	0,87	0,77	0,70

Tabelul 12.14

Coeficientul  $k_{\gamma Fz}$ 

$\gamma^\circ$	-15	-10	-5	0	+5	+10	+15	+20	+25	+30
$k_{\gamma Fz}$	1,4	1,3	1,23	1,13	1,06	1,00	0,94	0,89	0,83	0,77

Tabelul 12.15

Coeficientul  $k_{h Fz}$ 

Materialul prelucrat	Scule din oțel rapid				Scule cu carburi metalice	
	Uzura pe fața de așezare $h_{\alpha}$ , mm					
	4,0	2,0	1,0	0,5	0,8—1,0	1,5—2,0
	Coeficientul $k_{h Fz}$					
Oțel, oțel turnat	—	1,0	0,95	0,93	1,0	1,05
Fontă cenușie	1,0	0,83	0,82	—	1,0	1,05

Tabelul 12.16

Coeficientul  $k_{WFz}$ 

Felul prelucrării	$k_{WFz}$
Prelucrare uscată	1,0
Emulsie	0,9
Ulei mineral	0,9
Ulei sulfonat cu baza minerală	0,8
Ulei sulfonat cu baza vegetală	0,7

Tabelul 12.17

Coeficientul  $k_{rFz, y}$ 

Materialul prelucrat	$r$					$r$				
	0,5	1,0	2,0	3,0	5,0	0,5	1,0	2,0	3,0	5,0
	$k_{rFz}$					$k_{rFy}$				
Oțel, oțel turnat	0,87	0,93	1,0	1,04	1,10	0,65	0,81	1,0	1,13	1,32
Fontă	0,91	0,95	1,0	1,03	1,07	0,76	0,87	1,0	1,08	1,20

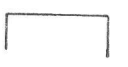



Tabelul 12.18

Coeficientul  $k_v Fz$ 

Materialul prelucrat	Viteza de așchiere $v$ , m/min.							
	$\leq 50$	100	150	200	250	300	400	$\geq 500$
	Coeficientul $k_v Fz$							
Oțel (pentru $\gamma > 0$ )	1,00	0,89	0,83	0,79	0,76	0,73	0,70	0,67
Fontă cenușie	1,00	0,98	0,90	0,86	0,83	0,80	—	—

Tabelul 12.19

Coeficientul de corecție pentru cuțite profilate  $k_{fFx, y}$ 

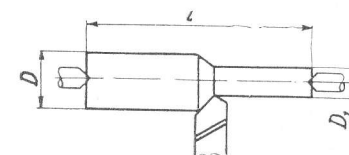
Materialul prelucrat	Forma muchiei tăișului			
				
	Coeficientul $k_{fFx, y}$			
Oțel	0,85	0,90	1,0	1,05

**Regimul de așchiere.** Se va considera prelucrarea unui arbore (fig. 12.49):

— Adâncimea de așchiere  $t = (D - D_1)/2$  [mm].

— Avansul se calculează luând în considerare [38, p. 244]: rezistența piesei  $s \leq \sqrt[3]{F_p / (1,12 C_{Fz} t^{y_{Fz}})}$  [mm/rot], unde  $F_p = 4 \sigma_a W / l$ ,  $W \approx 0,1 D_1^3$ ,  $\sigma_a$  fiind rezistența

Fig. 12.49. Strunjirea unui arbore.



admisibilă la încovoiere; rigiditatea piesei, conform (12.26); rezistența mecanismului

de avans al strungului  $s \leq \sqrt[3]{F_{mu} / (0,34 C_{Fz} t^{x_{Fz}})}$  [mm/rot]; rugozitatea — conform (12.36) și (12.37)  $s \leq \sqrt[3]{R_{max} r_{0,65} / 0,21}$  [mm/rot] (pentru oțel),  $s \leq \sqrt[3]{R_{max} r_{0,189}}$  [mm/rot] (fontă). Se adoptă valoarea minimă.

— Viteza de așchiere, conform (12.34) respectiv tabelul 12.3, în care  $k_v$  se determină cu relația (12.24). Valorile coeficienților, exponenților și coeficienților de corecție se dau în tabelele 12.20...12.33.

În cazul prelucrării cu cuțite după geometria Kolesov, viteza de așchiere se calculează cu formulele [3]  $v = 290 / (T^{0,18} t^{0,35} s^{0,15})$  pentru  $t \leq s$ ;  $v = 290 / (T^{0,18} t^{0,15} s^{0,3})$  pentru  $t > s$ .



Coeficienții și exponenții pentru calculul vitezei de așchiere cu formula  $v = C_v k_v (T^{m_p} v^{m_s} v^{m_v}) [m/min]$ 

Materialul prelucrat	Felul prelucrării	Materialul sculei	Adâncimea de așchiere $t$ , mm și avansul $s$ , mm/rot	Valoarea coeficienților și exponenților				Durabilitatea $T$ , min
				$C_v$	$Y_p$	$X_p$	$m$	
Oțel de construcție $\sigma_r = 75 \frac{daN}{mm^2}$	Strunjire exteroară longitudinală	P 30	$s < 0,3$	273	0,15	0,20	0,20	60
			$s = 0,3 - 0,75$	227		0,35		
			$s > 0,75$	221		0,45		
Fontă cenușie HB 190	Idem	P 10	$t \leq s$	292	0,3 - 0,15	0,15 - 0,3	0,18	45
	Retezare	P 30	—	47	0	0,83	0,20	60
	Strunjire exteroară longitudinală	K 30	$s \leq 0,4$	293	0,15	0,20	0,20	60
			$s > 0,4$	243		0,40		
		K 30	$t \leq s$	324	0,40	0,20	0,28	30
			$t > s$		0,20	0,40		
Fontă maleabilă HB 150	Retezare	K 30	—	68,5	0	0,40	0,20	60
	Rabo-Plană	K 40	—	162	0,15	0,40	0,20	120
	Canelare		—	38,2	0			
	Strunjire longitudinală	K 40	$t < 2$ $s \leq 0,4$	317	0,15	0,20	0,20	60
			$t \geq 2$	215	0,15	0,45	0,20	

Tabelul 12.21

Coeficientul de corecție pentru strunjirea interioară

Strunjirea exteroară longitudinală	Diametrul găurii interioare, mm			
	$\leq 75$	76 - 150	151 - 250	$> 250$
	$k_{int}$			
1,0	0,80	0,90	0,95	1,00

Tabelul 12.22

Coeficientul de corecție pentru strunjirea canalelor și pieselor cave cu  $D$  — diametrul maxim,  $d$  — diametrul minim, mm

Materialul cuțitului	Raportul $d/D$				
	Material plin	0,1	0,2	0,5	0,8
	Coeficientul de corecție				
Carburi metalice P 10	1,0	0,91	0,83	0,76	0,73
Oțel rapid	1,0	0,99	0,98	0,97	0,90

Tabelul 12.23

Coeficienții de prelucrabilitate  $k_M$  pentru scule din oțel rapid

Grupa de oțeluri prelucrate	Caracteristici mecanice		Coeficientul de prelucrabilitate $k_M$
	Rezistența $\frac{daN}{mm^2}$	Duritatea HB	
Oțel pentru automate		200 - 230	1,20
Oțel de construcție $C < 0,7\%$		200 - 230	1,00
Oțel de construcție și de scule, $C \geq 0,7\%$		200 - 230	0,80
Oțel cu crom		200 - 230	0,85
Oțel-mangan		260 - 275	0,80
Oțel cu nichel	70 - 80	200 - 230	1,00
Oțel crom-nichel		200 - 230	0,95
Oțel crom-molibden		200 - 230	0,80

Tabelul 12.24

Valoarea exponenților  $n_v$  și  $n_F$  din formulele  $k_v = \left(\frac{\sigma_{re}}{\sigma_r}\right)^{n_v}$  și  $k_v = \left(\frac{HB_e}{HB}\right)^{n_v}$ ,

$$k_{MF} = \left(\frac{\sigma_r}{\sigma_{re}}\right)^{n_F} \text{ și } k_{MF} = \left(\frac{HB}{HB_e}\right)^{n_F} \text{ pentru oțel respectiv fontă}$$

a) Scule din oțel rapid

Grupa de material prelucrat	Rezistența $\sigma_r$ daN/mm²	Felul prelucrării				
		Strunjire		Frezare	Găurire	
		Valoarea exponentului				
		$n_v$	$n_F$	$n_v$	$n_v$	$n_F$
Oțel pentru automate	40—90	1,75	0,35 pentru $\sigma_r \leq 55 \frac{\text{daN}}{\text{mm}^2}$	—	1,05	0,75
Oțel carbon	< 50	—1		—0,9	—0,9	
	50—90	1,75		0,9	0,9	
	> 90	1,75		2,0	0,9	
Oțel cu crom	≤ 90	1,75	$\sigma_r \leq 55 \frac{\text{daN}}{\text{mm}^2}$	1,45	0,9	
	> 90	1,75		2,0	0,9	
Oțel cu crom și nichel	≤ 90	1,5	și 0,75 pentru $\sigma_r > 55 \frac{\text{daN}}{\text{mm}^2}$	1,35	0,9	
	> 90	1,5		2,0	0,9	
Oțeluri cu nichel și mangan, cu crom-mangan, crom-siliciu-mangan, crom-siliciu, siliciu-mangan, crom-nichel-mangan	≤ 90	1,5		1,0	0,9	
	> 90	1,5		2,0	0,9	
Oțeluri cu crom-molibden, crom-nichel-molibden, crom-molibden-aluminiu, oțeluri rapide	≤ 90	1,25		1,0	0,9	
	> 90	1,25		2,0	0,9	
Fontă maleabilă	—	1,7	0,55	0,85	1,3	0,6
Fontă cenușie	—	1,7	0,55	0,95	1,3	0,6

b) Scule cu plăcuțe din carburi metalice

Materialul prelucrat	Felul prelucrării		
	Strunjire		Frezare
	Valoarea exponentului		
	$n_v$	$n_F$	$n_v$
Oțel de construcție și oțel aliat necălit	1,5	0,35 pentru $\sigma_r \leq 60 \text{ daN/mm}^2$ 0,75 pentru $\sigma_r > 60 \text{ daN/mm}^2$	1,0
Oțel călit	2,0	1,3	2,0
Fontă cenușie	1,75	0,5	1,4

Tabelul 12.25

Coefficientul de corecție în funcție de starea materialului,  $k_{st}$

Starea materialului	Tras la rece	Laminat la cald	Normalizat	Recopt
Coefficientul $k_{st}$	1,1	1,0	0,95	0,9

Tabelul 12.26

Coefficientul de corecție în funcție de starea suprafeței materialului,  $k_c$

Materialul	Oțel		Fontă		HB < 160	HB 160—200	HB > 200
	Fără scorii	Cu scorii	Fără crustă	Cu crustă			
Coefficientul $k_c$	1,0	0,9	1,0	Coefficientul $k_c$	0,7	0,8	0,9

Tabelul 12.27

Coefficientul de corecție în funcție de materialul sculei,  $k_s$

Grupa de utilizare	P 30	P 20	P 10	P 01	K 01	K 30	K 40
Coefficientul de corecție $k_s$	1,0	1,23	1,54	2,15	1,2	1,0	0,83

Observație. Pentru oțel rapid  $k_s \approx 0,25$ ; pentru plăcuțe mineralo-ceramice  $k_s \approx 1,5 \dots 2,0$ .

Tabelul 12.28

Coefficientul de corecție în funcție de unghiul de degajare,  $k_\gamma$

Unghiul de degajare	$\gamma = +15^\circ$	$\gamma = -5^\circ$
Coefficientul de corecție $k_\gamma$	1,0	1,05

Tabelul 12.29

Coefficientul de corecție în funcție de unghiurile de atac  $k_\alpha$  și  $k_{\alpha 1}$ , pentru cuțite din oțel rapid

$k_\alpha$	$\alpha$	30	45	60	70	90
	Oțel	1,26	1,0	0,84	0,74	0,66
$k_{\alpha 1}$	Fontă	1,2	1,0	0,88	0,79	0,73
	$\alpha_1$	10	15	20	30	45
	$k_{\alpha 1}$	1,0	0,97	0,94	0,91	0,87

Tabelul 12.30

Coeficientul de corecție în funcție de raza de rotunjire a muchiei tăișului sculei,  $k_r$ 

Materialul prelucrat	Felul prelucrării	$r, \text{ mm}$			
		1	2	3	4
		$k_r$			
Oțel, aliaje de aluminiu și magneziu	Degroșare Finisare	0,94	1,0	1,03	—
		0,86	1,0	1,09	1,21
Fontă	Degroșare Finisare	0,90	1,0	1,06	—
		0,94	1,0	1,03	1,07

Tabelul 12.31

Coeficientul de corecție în funcție de aria secțiunii cozii cuțitului  $k_{q1}$ , pentru cuțite din oțel rapid

Materialul prelucrat	$q_1, \text{ mm}^2$					
	16 × 25	20 × 30	25 × 40	30 × 45	40 × 60	60 × 90
$k_{q1}$						
Oțel	0,9	0,93	0,97	1,0	1,04	1,10
Fontă	0,95	0,96	0,98	1,0	1,02	1,05
Aliaje de cupru	—	0,96	0,98	1,0	1,02	—

Tabelul 12.32

Coeficientul de corecție în funcție de uzura cuțitului  $k_h$ 

Mărimea uzurii $h_x$	0,8—1	1,5	2
Coeficientul $k_h$	1,0	1,1	1,2

Tabelul 12.33

Coeficientul de corecție în funcție de forma feței de degajare  $k_x$ 

Forma feței de degajare		
Plană cu unghi de degajare pozitiv	Plană cu fațetă negativă	Plană cu unghi de degajare negativ
$k_x$		
0,87	1,0	1,05

Nu se recomandă o viteză sub 60 m/min, deoarece apar ondulații mari [3].

Pentru prelucrarea filetelui: [38, p. 482].

**Timpul de bază la strunjire** [60]. Se va nota:  $l$  — lungimea de strunjire, mm;  $l_1$  — distanța de pătrundere, mm;  $l_2$  — depășirea sculei, mm;  $i$  — numărul de treceri;  $t$  — adâncimea de așchiere, mm;  $s$  — avansul, mm/rot;  $n$  — turația, rot/min;  $D$  — diametru exterior sau diametrul barei, mm;  $d$  — diametrul interior, mm.

Timpul de bază (fig. 12.50)

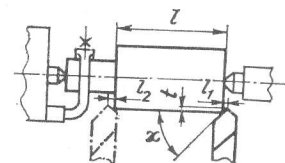


Fig. 12.50. Calculul timpului de bază [60]

$$t_b = (l + l_1 + l_2) i / (sn) \text{ [min-om]}, \quad (12.38)$$

în care, valorile lui  $l$ ,  $l_1$  și  $l_2$  se iau din [60, p. 39—46, 59—61].

**12.2.1.3. CUȚITE PENTRU STRUNJIRE. Cuțite standardizate.** Se deosebesc (fig. 12.51): cuțite pe dreapta și cuțite pe stînga. După forma capului: cuțite drepte, cuțite încovoiate, cuțite cu capul îngustat pe stînga, simetric, pe dreapta, utilizate la retezare etc.

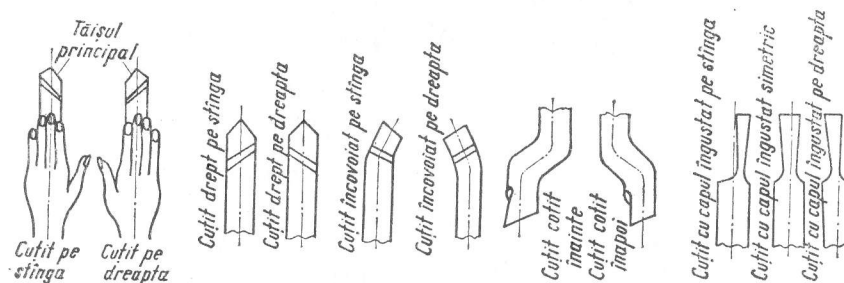


Fig. 12.51. Clasificarea cuțitelor

cuțite încovoiate, cuțite cu capul îngustat pe stînga, simetric, pe dreapta, utilizate la retezare etc.

În figura 12.52, se dau cuțitele standardizate și utilizarea acestora. În STAS R 6781-63 și R 6375-61, se dau recomandările pentru parametrii geometrici. În STAS 6373-61, se dau forma și dimensiunile plăcuțelor de carburi metalice. În STAS 6541-62, se dau rugozitățile permise; restul condițiilor tehnice se dau în STAS 6542-62 și STAS 6541-62. În STAS 7934-67, se dau metodele de verificare și încercare a plăcuțelor din carburi metalice sinterizate pentru scule așchietoare.

Calculul cuțitului. Considerînd ipoteza III-a de rupere, se găsește [61] (fig. 12.53)

$$\sigma = \sqrt{\sigma_{\max}^2 + 4\tau_{\text{tot}}^2} \leq \sigma_a,$$

$$\sigma_{\max} = 6(F_z l - F_y H/2)/(BH^2) + 6(F_x l - F_y x_1)/(B^2 H) + F_y/(BH)$$

$$\tau_{\text{tot}} = 1,5F_z/(BH) + F_z x_1/HB^2\alpha + F_x 0,5H/(HB^2\alpha);$$

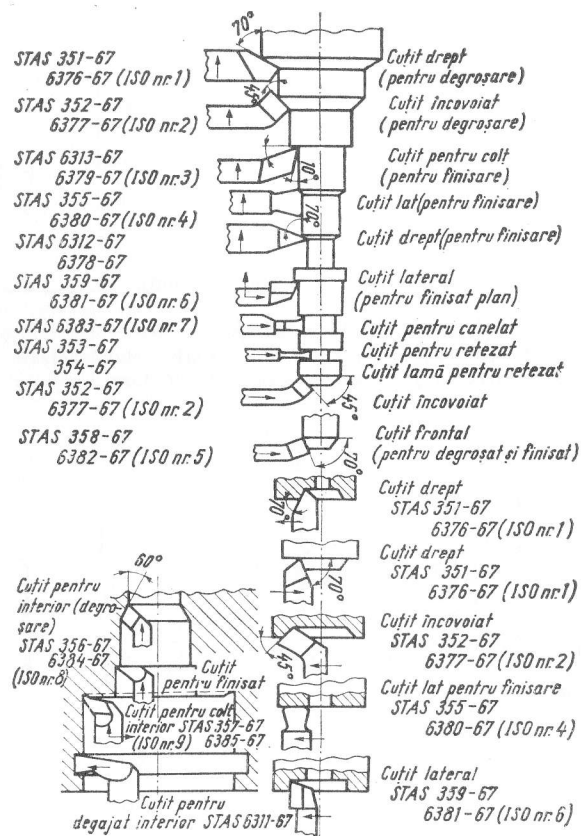


Fig. 12.52. Cuțite de strung standardizate

unde  $l$  — lungimea în consolă a cuțitului, mm;  $x_1$  — brațul cuplului, mm;  $\alpha$  — coeficient în funcție de raportul  $H/B$  [51, v. I. p. 445];  $\sigma_a$  — rezistența admisibilă la încovoiere, daN/mm<sup>2</sup>;  $H$  și  $B$  — dimensiunile cozii cuțitului, mm.

În cazul cuțitelor drepte (avînd:  $x_1 \approx 0$ ,  $H/B = q$ ,  $l/H = \mu$ ,  $F_x = k_x F_z$  și  $F_y = k_y F_z$ ), relația precedentă devine

$$B \geq \sqrt{\xi C_{Fz} l^3 F_z s^3 / \sigma_a} \text{ [mm] sau } s \leq \sqrt{\sigma_a B^2 / (\xi C_{Fz} l^3 F_z)} \text{ [mm/rot]}, \quad (12.39)$$

în care  $\xi = \sqrt{\varepsilon^2 + 4\nu^2}$ ,  $\varepsilon = (6\mu - 2k_y + 6k_x \mu q)/q$ ,  $\nu = [1,5 + (0,5k_x q/\alpha)]/q$ . În general:  $q = 1,5$  sau  $1$ ,  $\mu = 1 \dots 1,5$ .

**Fragmentarea așchii.** În cazul strunjirii oțelului cu viteze mari (peste 75 m/min), se obțin așchii continue; este necesar să se creeze astfel de condiții încît: 1) așchia

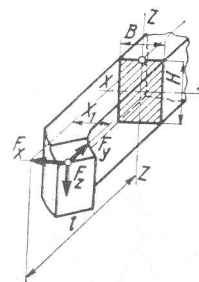


Fig. 12.53. Dimensionarea cuțitului de strung (Titov)

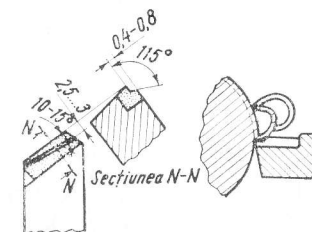


Fig. 12.54. Cuțite cu prag pentru așchii.

să se înfășoare formînd spire ușor de rupt sau 2) așchia să se fragmenteze, pe baza deformării suplimentare, fie prin executarea unui prag special în spatele muchiei tăișului (tăiat în plăcuță sau aplicat peste plăcuță, fig. 12.54), fie printr-un dispozitiv special, de ex. [38, fig. 218].

Cercetările au arătat că parametrii fragmentatorului de așchii depind de condițiile în care are loc așchieria, și anume de: adîncimea de așchiere, avans, viteza de așchiere, omogenitatea materialului prelucrat, geometria sculei etc. Ca urmare, este practic imposibil să se dea reguli precise pentru stabilirea dimensiunilor fragmentatorului utilizat pentru diferite condiții de așchiere. Ca o indicație generală, se poate lua  $h = 0,5$ ,  $l = (8 \dots 12)s$  [mm] [33]. În figura 12.55, se dau dimensiunile pragului după cercetările lui Hemscheid. De exemplu, unghiul  $\phi$  poate fi pozitiv sau negativ, influențînd astfel direcția de desfășurare a așchii, sau nul (fig. 12.55). Este de observat că trebuie neapărat să se facă încercări înainte de definitivarea unui fragmentator.

**Cuțite cu plăcuțe fixate mecanic.** În prezent, există tendința, din ce în ce mai răspîdită, de a se trece, de la cuțite cu plăcuțe lipite, la cuțite cu plăcuțe fixate mecanic, reglabile. O rezolvare modernă o constituie cuțitele cu plăcuțe amovibile (care, după uzura totală, se aruncă), de formă poligonală cu trei, patru, cinci sau șase laturi (fig. 12.56). În cazul cînd sînt destinate pentru așchieria cu unghi de degajare negativ (numite plăcuțe negative), plăcuțele sînt de forma unor prisme drepte; prin așezarea lor înclinată, se obține unghiul de degajare și așezare dorit, de exemplu  $\gamma = -6^\circ$  și  $\alpha = 6^\circ$ , precum și un unghi de înclinare  $\lambda$  negativ. Pentru așchieria cu unghi de degajare pozitiv (plăcuțe

pozitive), suprafețele laterale ale plăcuțelor sînt înclinate la  $11^\circ$ , astfel încît, prin poziționarea lor la un unghi de așezare  $\alpha = 5^\circ$ , se obține un unghi  $\gamma = +6^\circ$ . Numărul de tășuri al plăcuțelor pozitive este egal cu numărul laturilor plăcuțelor; cele negative

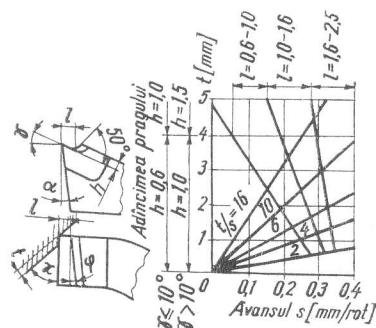


Fig. 12.55. Dimensiunile pragului (Hemscheid)

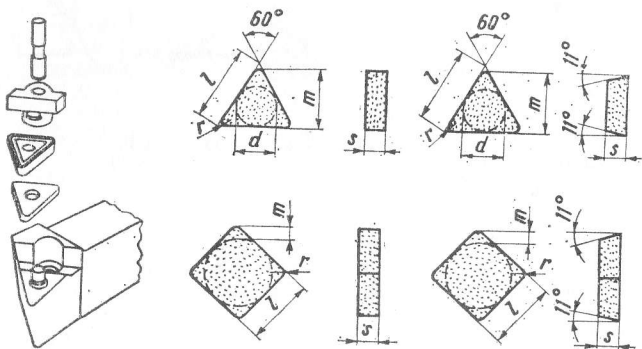


Fig. 12.56. Cuțite cu plăcuțe amovibile

au un număr dublu. Fețele de degajare pot avea pe ele concavități pentru fragmentarea așchilor.

**Plăcuțe fixate prin forțele de așchiere** [71] (fig. 12.57). Forța rezultantă  $\bar{R} = \bar{F}_2 + \bar{F}_N$  poate apăsa plăcuța asupra suprafeței de reazem, dacă  $\alpha < \psi < \delta$  (în care  $\tan \psi = F_N/F_2$ ). Depășirea A a plăcuței față de suport se calculează cu relația  $A_{max} = B \sin \psi / \sin (\delta - \psi)$ .

**Cuțite pentru așchiere cu avans mare.** Pentru a se obține o netezime corespunzătoare a suprafeței prelucrate în cazul așchierii cu avans mare, este necesar să se ia  $x_1 = 0$ . Pentru ca tășul de finisare să corespundă cu generatoarea piesei, este necesar ca  $\gamma_x = 0$  respectiv,  $\tan \lambda = \tan \gamma \tan x$  [42, p. 47].

**Cuțite pentru prelucrări interioare.** Pentru alezaje de diametru mare, cuțitele se fixează în portcuțite (fig. 12.58 [2, p. 180] și 12.59 [10, p. 50]). Pentru strunjirea alezajelor cu diametru mai mare de 40 mm, se folosesc cuțite în formă de plăci (fig. 12.60 [10, p. 53]).

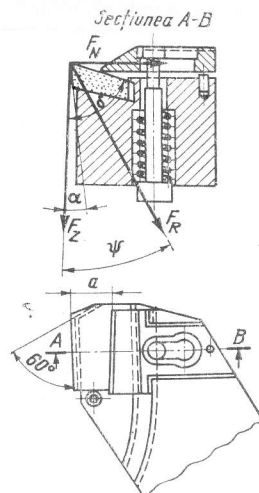


Fig. 12.57. Cuțite fixate prin forțele de așchiere

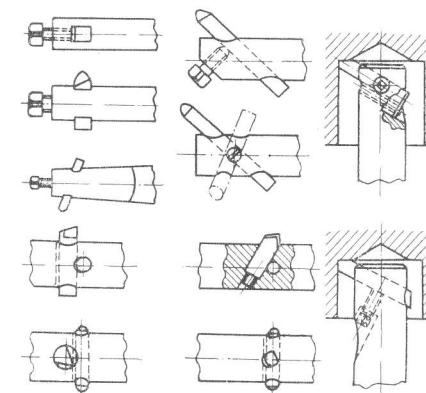


Fig. 12.58. Portcuțite pentru prelucrări interioare [2]

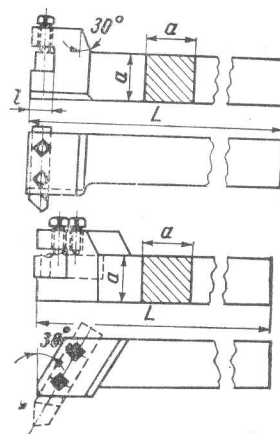


Fig. 12.59. Portcuțite pentru prelucrări interioare [10]

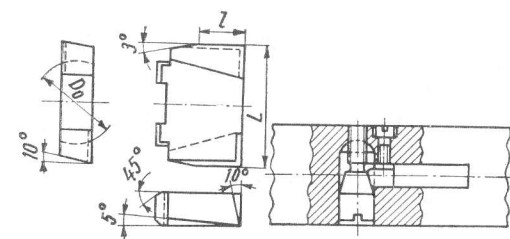


Fig. 12.60. Cuțit în formă de placă [10]



În scopul măririi productivității, se utilizează blocuri de cuțite (casete) cu un rând sau două rânduri de cuțite (fig. 12.61, după ENIMS). La fabricația de masă, pentru degroșare se utilizează capete pentru strunjit interior cu 4–8 cuțite (fig. 12.62 10 [p. 54])

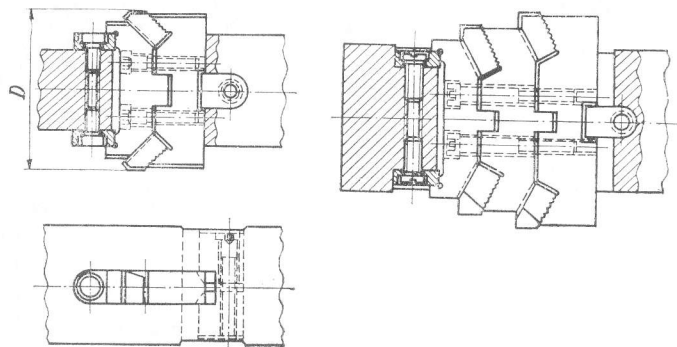


Fig. 12.61. Bloc de cuțite (casete) (ENIMS)

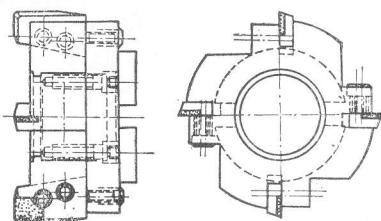


Fig. 12.62. Cap pentru strunjit interior [10]

**Cuțite profilate. Cuțite disc.** Așezarea peste centru:  $h = R \sin \alpha$  (fig. 12.63), în care  $R$  este raza exterioară a cuțitului,  $\alpha$  — unghiul de așezare corespunzător exteriorului cuțitului. Într-un punct oarecare al profilului:  $\tan \alpha_l = \tan \alpha \cos \varphi$ , în care  $\varphi$  este unghiul pe care-l face tangenta la profil în punctul respectiv (fig. 12.64); se ia pentru punctul cel mai dezavantajos al profilului  $\alpha_{l \min} = 2 \dots 3^\circ$ . Când apar unghiuri laterale  $\alpha_l$  nule, ca urmare a profilului piesei ( $\varphi = 90^\circ$ ), se adoptă îmbunătățiri (fig. 12.65) sau se proiectează cuțite speciale (fig. 12.73...12.75). Raza cercului de ascuțire:  $H = R \sin (\alpha + \gamma)$ . Diametrul cuțitului:  $D \geq d + 2(a + b + c)$ , în care  $d$  este diametrul dornului,  $a$  — adâncimea profilului prelucrat,  $b = 3 \dots 6 \text{ mm}$ ,  $c \geq (0,25 \dots 0,3) d$ ; pentru prelucrarea interioară:  $D_{\max} = (0,6 \dots 0,85) d_{\text{int}}$ , în care  $d_{\text{int}}$  este diametrul interior al alezajului piesei. Diametrul dornului, la cuțitele disc cu alezaj, este solicitat la încovoiere; în cazul când cuțitul disc face corp comun cu dornul de fixare, acesta din urmă este solicitat la răsucire și încovoiere:  $d = \sqrt[3]{10 M' / \sigma_{ia}}$ ,  $M' = \sqrt{M_z^2 + \alpha_0^2 M_t^2}$ ,  $\alpha_0 \approx 1$ ,  $M_t = F_R \cdot l$  (în care  $l$  este lungimea dornului în consolă, cuprinsă între suport și centrul cuțitului),  $M_z = F_R R_0$  (în care  $R_0 \approx R$ ),  $F_R = \sqrt{F_z^2 + F_y^2}$  (fig. 12.66).

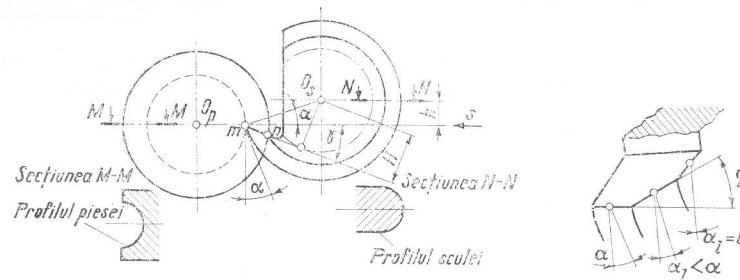


Fig. 12.63. Cuțit-disc profilat

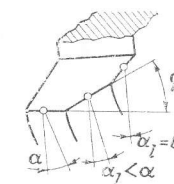


Fig. 12.64. Unghiul de așezare lateral

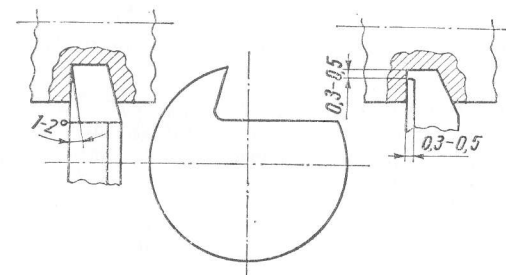


Fig. 12.65. Cuțite prevăzute cu degajări

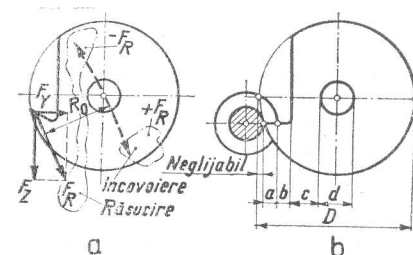


Fig. 12.66. Dimensionarea cuțitului disc:  
a — jocul de forțe; b — dimensiuni

Profilul cuțitului pentru prelucrarea exterioară [42, p. 77]: 1) grafic (fig. 12.67, a) se ia un punct oarecare de pe profilul piesei  $P_i$ , se merge în  $P_1$  (din planul axial al piesei), apoi cu un cerc cu rază  $r_i$  (corespunzătoare punctului  $P_i$ ) până în  $P_2$  (pe fața de degajare a sculei), de aici în  $P_3$  (din planul axial al sculei) și apoi în  $P_4$  (pe urma planului

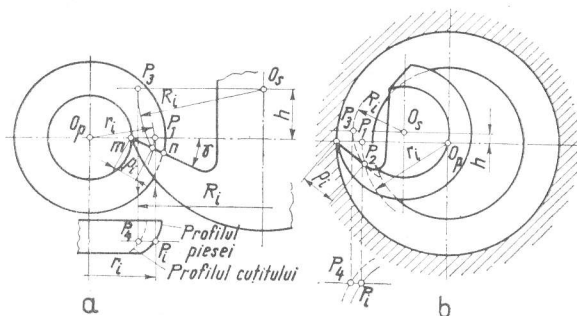


Fig. 12.67. Determinarea grafică a profilului

care trece prin  $P_i$ ); 2) analitic (fig. 12.68):  $R_i = \sqrt{R^2 + p_i^2 - 2Rp_i \cos(\alpha + \gamma)}$ , (12.39) în care  $R_i$  este raza punctului căutat pe profilul cuțitului,  $p_i = r_i \sin \psi_i / \sin \gamma$ ,  $\psi_i = \gamma - \zeta_i$ ,  $\sin \zeta_i = r_i \sin \gamma / r_i$ ,  $r_i$  — raza interioară a profilului piesei. Luându-se în mod similar și alte puncte (importante) pe profilul piesei, se determină punctele corespunzătoare de pe profilul sculei, respectiv razele punctelor de pe profilul sculei. Profilul sculei, determinat prin puncte de coordonate cunoscute, se înlocuiește printr-un profil format din arce de cerc, determinat de razele și coordonatele centrelor acestora. Înlocuirea se face astfel încât profilul înlocuitor să nu difere de cel determinat cu 1/3...1/4 din toleranța admisă.

În cazul prelucrării interioare, profilul cuțitului se stabilește în mod analog (fig. 12.67, b și 12.69). Analitic:  $R_i$  și  $p_i$  se determină cu aceeași formulă,  $\psi_i = 180^\circ - (\zeta_i + \gamma)$ ,  $\zeta_i = 180^\circ - \arcsin[(r/r_i) \sin \gamma]$ , în care  $r$  este raza exterioară a profilului piesei.

Mărimea  $p_i$  poate fi calculată și cu expresiile [42, p. 79]:

$p_i = \sqrt{r_i^2 - r^2 \sin^2 \gamma} - r_1 \cos \gamma$  (cuțit exterior) și  $p_i = r \cos \gamma - \sqrt{r_i^2 - r^2 \sin^2 \gamma}$  (cuțit interior).

În cazul când lățimea cuțitului este mică, sub 15 mm, forțele de frecare de pe părțile frontale ale cuțitului sînt suficiente pentru a împiedica rotirea lui. Pentru dimensiuni mai mari, asigurarea împotriva rotirii se face printr-o rozetă de cuplare, cu 30...34 dinți, făcînd corp comun cu cuțitul sau fiind aplicată separat pe fața frontală a cuțitului. După reascuțire, cuțitul se rotește cu un dinte, iar poziționarea fină se face cu ajutorul unui suport prevăzut cu șurub și sector melcat (fig. 12.70, c).

**Cuțite prismatice.** Dimensionarea (fig. 12.71):  $b_1 = a + b + c$ , în care  $b = (0,2...0,5)B_1$ ,  $c$  — din tabelul 12.34.

Profilul cuțitului [42, p. 80]: 1) grafic:  $P_i \rightarrow P_1 \rightarrow P_2 \rightarrow P_3$ ; 2) analitic:  $l_i = p_i \cos(\alpha + \gamma)$ , în care  $p_i$  se calculează ca și anterior. În ceea ce privește  $\gamma$ , se recomandă să se aleagă astfel încît  $h \leq 0,1r$ , ( $h$  fiind înălțimea punctului extrem al profilului).

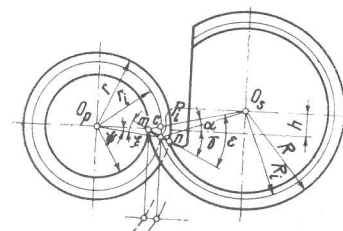


Fig. 12.68. Determinarea analitică a profilului, exterior.

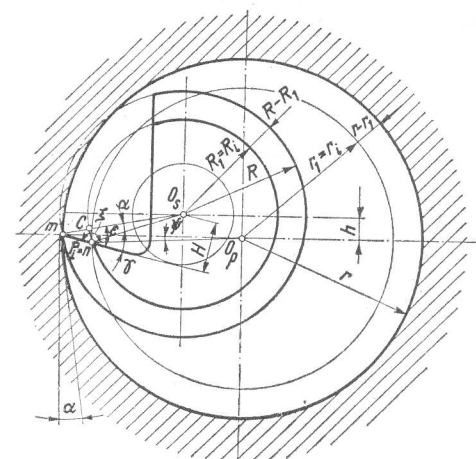


Fig. 12.69. Determinarea analitică a profilului, interior.

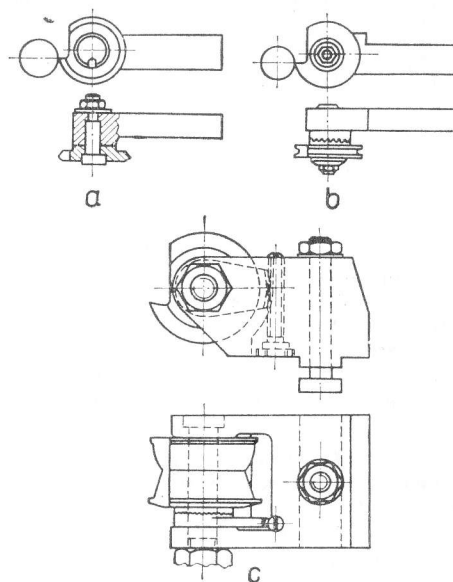


Fig. 12.70. Fixarea cuțitului disc

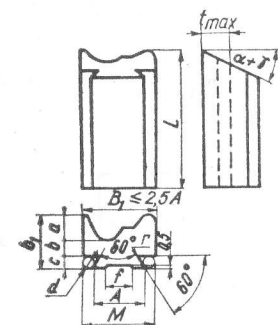


Fig. 12.71. Dimensiunile cuțitului-prismatic [23].

Tabelul 12.34

Dimensiunile secțiunii cuțitului profilat prismatic [23]

Adâncimea profilului piesei $t_{max}$	Dimensiunile cuțitului						Dimensiunile peste role			
	$a + b$	$L$	$c$	$A$	$f$	$r$	$d$	$M$	$d$	$M$
< 4	9	75	4	15	7	0,5	4	21,31	3	18,577
< 6	14	75	6	20	10	0,5	6	29,46	4	24,000
< 10	19	75	6	25	15	0,5	6	34,46	4	29,000
< 14	25	90	10	30	20	1	10	45,77	6	34,846
< 20	35	90	10	40	25	1	10	55,77	6	44,846
< 28	45	100	15	60	40	1	15	83,66	8	64,536

$$M = A + d \left( 1 + \cotg \frac{\lambda}{2} \right) - 2c \cotg \lambda; \lambda = 60^\circ$$

Fixarea cuțitului se face conform construcției de principiu din figura 12.72.

Cuțite profilate așezate oblic față de axa semifabricatului [23]. Se utilizează în scopul apariției unui unghi de așezare  $\alpha_l \neq 0$ .

Profilul cuțitului disc (fig. 12.73): Se duce o dreaptă prin  $K$  (punctul extrem) paralelă cu axa cuțitului ( $\Phi = 15-20^\circ$ ), se determină punctul  $P_1$  cu corespondentul  $P_2$ ; prin  $P_2$  se duce urma feței de degajare înclinată la unghiul  $\gamma_N (\tg \gamma_N = \tg \gamma \cos \Phi)$ ; se construiesc segmentele  $n_1, n_2, n$  și  $m$ . Se ia un punct oarecare pe profilul piesei ( $P_i, P_{i1}$ ), determinarea de coordonatele  $r_i$  și  $b_i$ ; acest punct este executat de punctul ( $P'_i, P'_{i1}$ ) de pe cuțit. Se găsește:  $a_i = a_2 \cos \Phi$ , în care  $a_2 = n_2 \cos \gamma_N$ ,  $n_2 = n - n_1$ ,  $n = r_i \cos \psi$ ,  $n_1 = r_{i1} \cos \gamma_N$ ,  $r_{i1} = r \pm a_1$ ,  $a_1 = b_i \tg \Phi$ ,  $\sin \psi = m/r_i$ ,  $m = r_{i1} \sin \gamma_N$ . O dată cunoscut  $a_i$ , se determină  $p_i = a_i / \cos \gamma$ , valoare ce se introduce în expresia (12.39). Coordonata pe lățime a profilului cuțitului:  $B_i = (b_i / \cos \Phi) \pm p_i \cos \gamma \tg \Phi$ . (Semnul  $\pm$  s-a dat pentru diferite situații ale punctului  $P_i$  față de  $K$ ; în cazul punctului  $P_i$  din figură, se ia semnul  $+$ ).

Profilul cuțitului prismatic se calculează la fel, doar că, odată determinat  $p_i$ , se deduce  $l_i = p_i \cos (\alpha + \gamma)$ , ca și la celelalte cuțite.

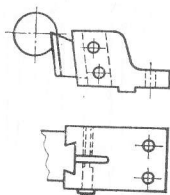


Fig. 12.72. Fixarea cuțitului-prismatic.

Cuțite profilate prismatice așezate înclinat [14]. Profilul cuțitului în secțiune normală (fig. 12.74):  $l_i = p_i \cos (\alpha + \gamma)$ , ca și în cazul clasic;  $B_i = b_i \cos \alpha_{l1}$ , în care  $\tg \alpha_{l1} = \tg \alpha_l \cos \alpha$ ,  $\alpha_l$  fiind unghiul de înclinare laterală a cuțitului față de verticală.

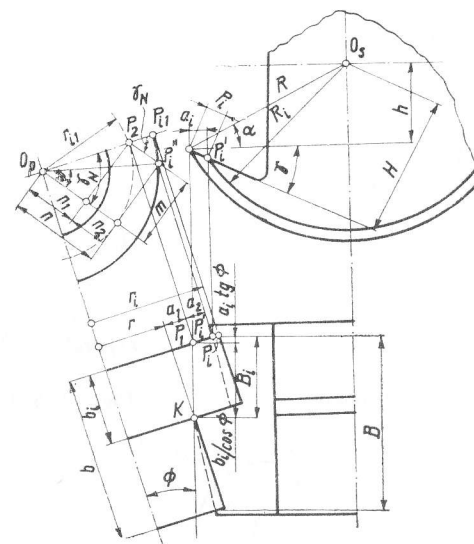


Fig. 12.73. Cuțit-disc profilat așezat oblic [23]

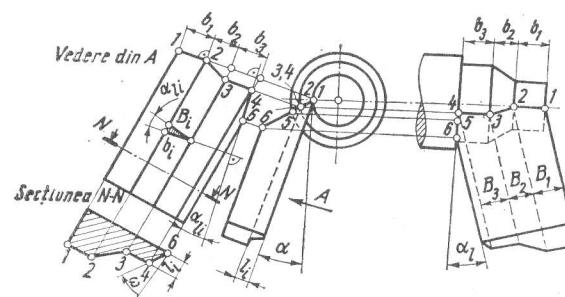


Fig. 12.74. Cuțit-prismatic profilat așezat înclinat [14]

Cuțite disc elicoidale [14]. Sint cuțite disc, corespondentele cuțitelor prismatice așezate oblic (fig. 12.75). Razele  $R_i$  se calculează ca și la cuțitul disc clasic; lățimile:  $B_i = b_i + \Delta_i$ , în care  $\Delta_i = \psi_i$ .  $P_{Es}/360^\circ$ ,  $P_{Es} = \pi D \tg \alpha_l$ ,  $\alpha_l \approx 6^\circ$ ,  $\psi_i = p_i \sin (\alpha + \gamma) / R_i$ .

**Cuțite disc spirale** (fig. 12.76). Se execută după spirala lui Arhimede — astfel încît, deși se așează la centrul piesei, rezultă totuși  $\alpha \neq 0$ . Obișnuit  $\alpha = 10^\circ$ . Pasul spiralei:  $s = 2\pi R \operatorname{tg} \alpha$ . Se ia  $\gamma = 0$  și ca urmare, profilul cuțitului este identic cu profilul piesei.

**Cuțite profilate pentru piese conice sau cu porțiuni conice importante.** Se construiesc astfel încît, pe porțiunea conică a profilului, toate punctele tăișului să fie la centrul piesei (fig. 12.77). Calculul profilului se face conform [42, p. 86] și [72].

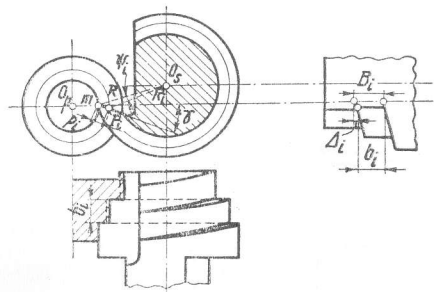


Fig. 12.75. Cuțit-disc elicoidal

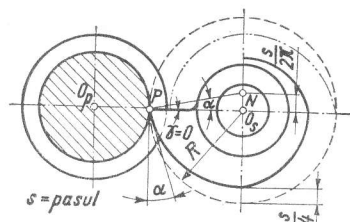
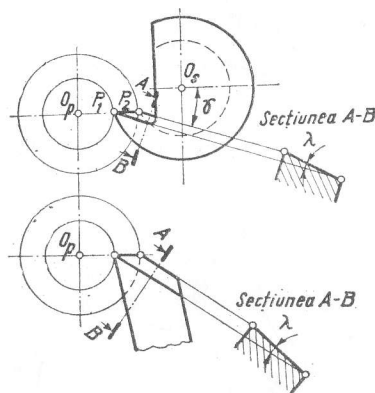


Fig. 12.76. Cuțit-disc spiral

Fig. 12.77. Cuțit profilat cu fața de degajare înclinată  $\lambda \neq 0$ 

**Cuțite profilate prismatice cu avans tangențial.** În cazul prelucrării unei piese cilindrice (fig. 12.78), secțiunea cuțitului are forma trapezoidală:  $\operatorname{tg} \omega = \sin \alpha \operatorname{ctg} \varphi$  (în care  $\varphi = 45 - 75^\circ$ ). Pentru un profil oarecare se consideră o piesă imaginară, cilindrică (fig. 12.79), față de care profilul real al cuțitului se calculează. De exemplu, pentru punctul  $D_1$ , corespunzător punctului  $D$  de pe piesă,  $D_1E_1 = DE \cos(\alpha + \gamma) / \cos \gamma$ . Se poate pune  $h = \cos(\alpha + \gamma) / \cos \gamma = \operatorname{ctg} [14]$ .

**Erorile hiperbolice ale cuțitelor profilate.** La prelucrarea unei piese conice, cu cuțit profilat avînd  $\gamma \neq 0$ , punctul  $P_1$  (fig. 12.80) se află la centrul piesei, iar restul (de ex.  $P_2$ ) sub centru, deci planul feței de degajare va secționa piesa după o hiperbolă. Ca urmare, pentru ca piesa să rezulte conică, tăișul trebuie să aibă o formă hiperbolică. Din motive

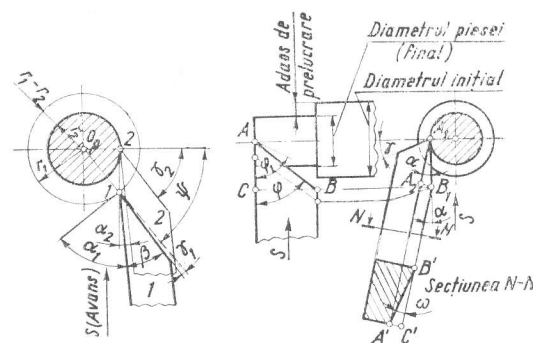


Fig. 12.78. Cuțit tangențial

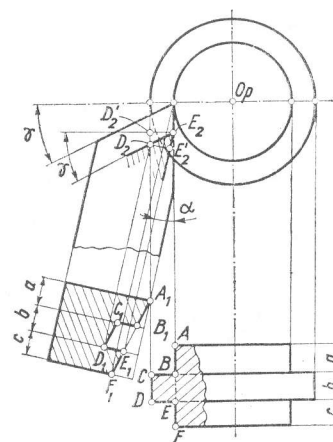


Fig. 12.79. Calculul profilului cuțitului tangențial [14]

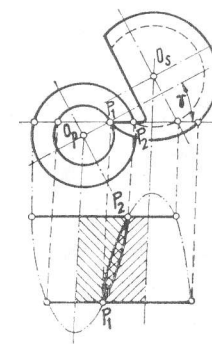


Fig. 12.80. Erori hiperbolice

tehnologice, acest lucru nu este respectat. Dacă se consideră tăișul rectiliniu, piesa rezultă după un hiperboloid. Se introduc erori „hiperbolice” provenite de la piesă. Considerarea tăișului rectiliniu la cuțitele disc, este numai ipotetică. În realitate cuțitul se execută conic, astfel încît, tăiat cu fața de degajare, dă un tăiș hiperbolic. Apare astfel o eroare

„hiperbolică” din partea sculei. În cazul prelucrării exterioare, cele două erori hiperbolice, proprii piesei și sculei se adună, iar la prelucrarea interioară se scad.

Există studii care dau indicații asupra alegerii diferiților parametri astfel încât erorile hiperbolice să se încadreze în limita condițiilor tehnice impuse. [41]

**Cuțite pentru prelucrarea filetului. Cuțite normale.** În cazul cînd  $\gamma = 0$  (fig. 12.81),  $\text{tg}(\varepsilon_s/2) = \text{tg}(\varepsilon/2)/\cos \alpha$ , unde  $\varepsilon$  este unghiul profilului filetului de pe piesă iar  $\varepsilon_s$  este unghiul profilului cuțitului. În cazul cînd  $\gamma \neq 0$  (fig. 12.82), are loc o „fugă” pe elice a punctelor de intersecție a feței de degajare cu filetul. Pentru profilul cuțitului cuprins în fața de degajare [38, p. 276], se găsește:  $b_{is} = b_i$ ;  $b_{ms} = b_m$ ,  $b_{es} = b_e$ ,  $\Delta_e = \theta_e p/360^\circ$ ,  $\Delta_m = \theta_m p/360^\circ$ ,  $\theta_e = \gamma - \text{arc sin}(\gamma_i \sin \gamma/r_m)$ ,  $\theta_m = \gamma - \text{arc sin}(\gamma_i \sin \gamma/r_e)$ ,  $i_s m_s = r_m \sin$

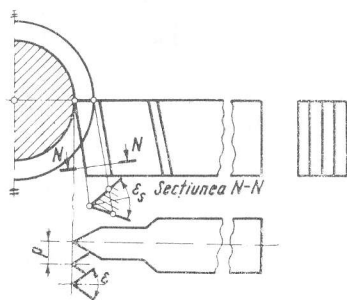


Fig. 12.81. Cuțit pentru filet ( $\gamma = 0$ )

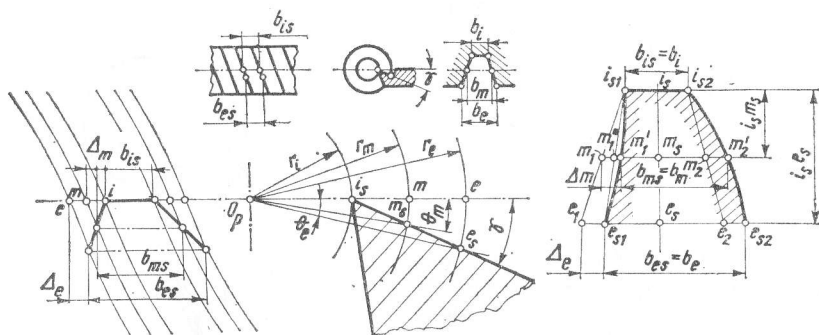


Fig. 12.82. Cuțit pentru filet ( $\gamma \neq 0$ )

$\theta_m/\sin \gamma$ ,  $i_s e_s = r_e \sin \theta_e/\sin \gamma$ ; eroarea hiperbolică:  $m'_1 m'_1 = \Delta_m - \Delta_e i_s m_s/i_s e_s$  (are valoarea 0,0008 mm pentru filet M 10); unghiurile profilului [42, p. 100]:  $\text{tg} \varepsilon_{st} = [(b_e - b_i)/2 - \Delta_e]/i_s e_s$ ,  $\text{tg} \varepsilon_{dr} = [(b_e - b_i)/2 + \Delta_e]/i_s e_s$  (pentru filet M 10:  $\varepsilon_{st} = 29^\circ 22' 30''$ ,  $\varepsilon_{dr} = 30^\circ 03' 56''$ ).

**Cuțite disc-pieptene** (cu filet, fig. 12.83). Profilul cuțitului în secțiune axială [38, p. 277]:  $\text{tg} \varepsilon_{st} = a_2 b_3'/t_s$ ,  $\text{tg} \varepsilon_{dr} = b_2' c_2/t_s$ ,  $a_2 b_3' = p/2 + h(\text{tg} \tau_1 - \text{tg} \tau_2)$ ,  $b_2' c_2 = p/2 + h(\text{tg} \tau_2 - \text{tg} \tau_1)$ , în care  $t_s = R - R_1 = R - \sqrt{(R^2 - p_i \cos \alpha)^2 + (p_i \sin \alpha)^2}$ ,  $\tau_{1,2}$  repre-

zintă unghiurile de pantă ale filetului,  $R$  — raza cuțitului. Diametrul cuțitului disc se adoptă astfel încît să rezulte pentru panta filetului de pe cuțit aceeași valoare cu panta filetului de pe piesă, cu o abatere de  $\pm 30'$ .

**Cuțite pentru filet mult înclinat.** La prelucrarea filetului se urmărește ca unghiul de așezare lateral să nu fie mai mic de  $3-5^\circ$  (fig. 12.84, a); în caz contrar, se ia un cuțit cu flancurile înclinate (fig. 12.84, b). În ceea ce privește unghiurile de degajare

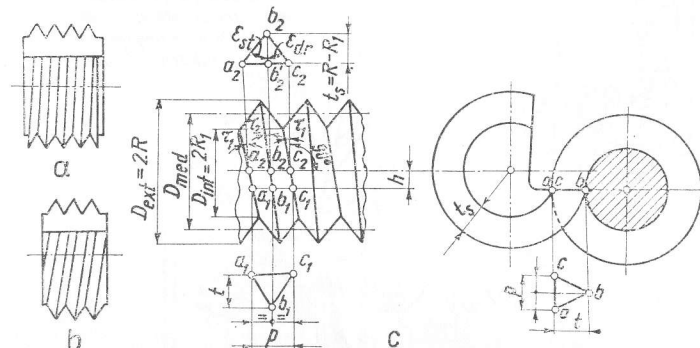


Fig. 12.83. Cuțit pieptene-disc pentru filet:

a — filet „inelar”; b — filet elicoidal; c — calculul profilului

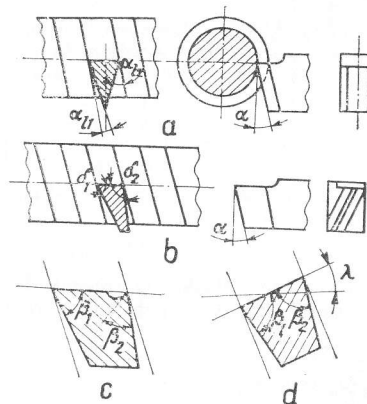


Fig. 12.84. Cuțite pentru filet mult înclinat:

a — obișnuit; b — înclinat; c — normal la filet

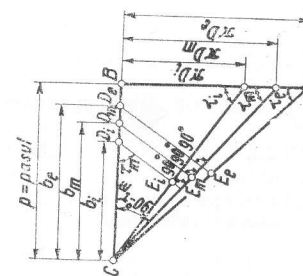


Fig. 12.85. Cuțit pentru filet înclinat ( $\tau \leq 10^\circ$ )

laterale, pentru a fi egale, se poate practica o ascuțire suplimentară (fig. 12.84, c). În cazul filetului mult înclinat, este necesar ca fața de degajare să se ia înclinată la unghiul  $\lambda$  (fig. 12.84, d). Se disting două cazuri:



Unghiul de pantă  $\tau_m \leq 10^\circ$  [38, p. 279], în care caz (fig. 12.85), pentru un filet trapezoidal 1) grafic:  $b_{es} = D_e E_e$ ,  $b_{ms} = D_m E_m$ ,  $b_{is} = D_i E_i$ ; 2) analitic:  $b_{es} = b_e \cos \tau_e / \cos (\tau_m - \tau_e)$ ,  $b_{ms} = b_m \cos \tau_m / \cos (\tau_m - \tau_m)$ ,  $b_{is} = b_i \cos \tau_i / \cos (\tau_m - \tau_i)$ .

Unghiul de pantă  $\tau_m > 10^\circ$  după H. S. Schröder (fig. 12.86). Luîndu-se un punct oarecare pe profilul filetului piesei, de exemplu  $A(b/2, r)$ , se determină punctul corespun-

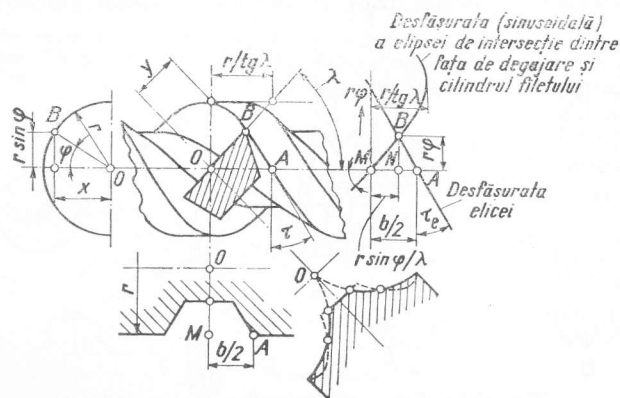


Fig. 12.86. Cuțit pentru filet înclinat ( $\tau_m > 10^\circ$ )

zător de pe cuțit,  $B(x, y, \psi)$ . Dacă  $\psi \leq 10^\circ$ , atunci  $b_{es} = 2y_n = b_e / [\cos \lambda (1 + \tg \tau_e \tg \lambda)]$ ,  $\sin \psi_n = y_n \sin \lambda / r$ ,  $x_n = r \cos \psi_n$  (s-a notat cu indicele  $n$  valorile găsite în acest caz); la fel:  $b_{ms} = b_m / [\cos \lambda (1 + \tg \tau_m \tg \lambda)]$ ,  $b_{is} = b_i / [\cos \lambda (1 + \tg \tau_i \tg \lambda)]$ . Dacă  $\psi > 10^\circ$ , atunci:

$$b_{es} = 2y_* = b_e \frac{1}{\cos \lambda (1 + \tg \tau_e \tg \lambda)} \left( 1 - \frac{\psi_n - \sin \psi_n}{\sin \psi_n} \frac{\cos \psi_n \tg \lambda \tg \tau_e}{\cos \varphi_n + \tg \tau_e \tg \lambda} \right),$$

$\sin \varphi_* = y_* \sin \lambda / r$ ,  $x_* = r \cos \varphi_*$  (s-au notat cu asterisc valorile găsite în acest caz).

## 12.2.2. RABOTAREA ȘI MORTEZAREA

12.2.2.1. MAȘINI DE RABOTAT ȘI MORTEZAT. Mașini de rabotat. În figura 12.87 se dă schema cinematică și constructivă principală a unei mașini de rabotat cu două coloane (portală). Ecuații cinematice:

— mișcarea principală

$$v_{ML} = n_{M1} i_1 i_2 \pi d_3 \text{ [m/min];}$$

— mișcarea de avans transversal de lucru

$$s'_y = n_{M2} i_5 i_{m1} i_6 i_{RC1} i_8 i_{12} i_{13} i_{14} i_{15} s_y \text{ [mm/min]} \\ \text{sau } s_y = s'_y / n_{cd} \text{ [mm/cursă dublă];}$$

— mișcarea de avans vertical de lucru

$$s'_z = n_{M2} i_5 i_{m1} i_6 i_{RC1} i_8 i_{12} i_{13} i_{18} i_{p18} \text{ [mm/min]} \\ \text{sau } s_z = s'_z / n_{cd} \text{ [mm/cursă dublă];}$$

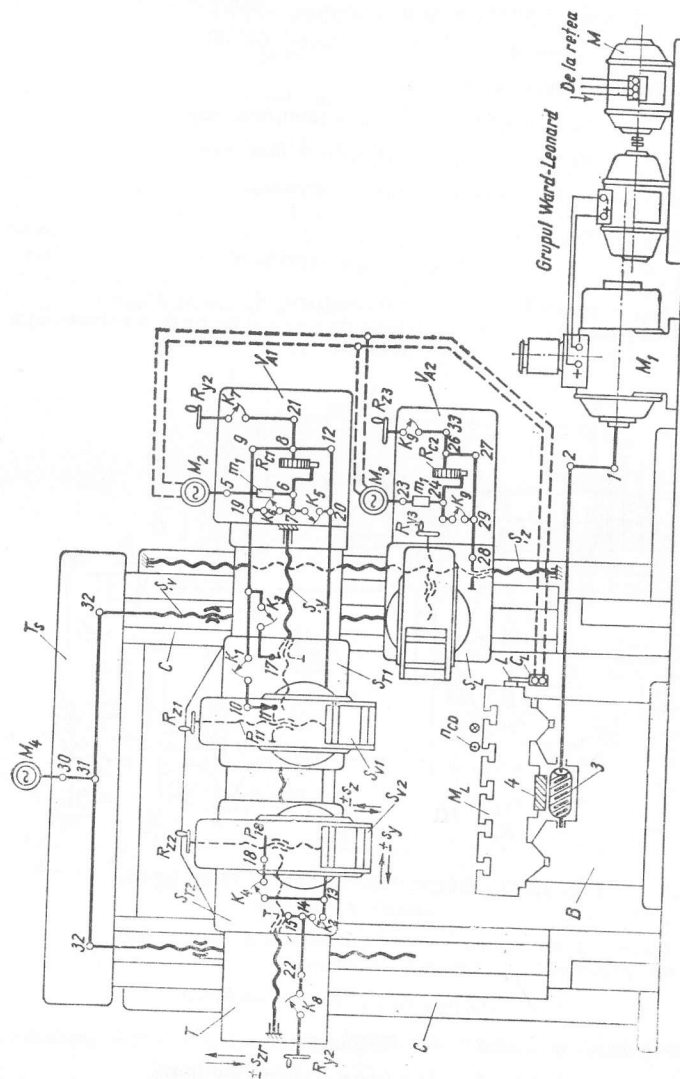


Fig. 12.87. Schema cinematică a unei mașini de rabotat portală

- mișcarea de avans vertical de lucru a suportului lateral

$$s'_{zL} = n_{M3} i_{23} i_{m1} i_{24} i_{RC2} i_{26} i_{27} i_{28} i_{\phi L} \text{ [mm/min]}$$

$$\text{sau } s_{zL} = s'_{zL} / n_{cd} \text{ [mm/cursă dublă];}$$

- mișcarea rapidă a suporturilor

$$v_y = n_{M2} i_{56} i_{67} i_{20} i_{13} i_{14} i_{15} i_{\phi y} \text{ [mm/min]} \text{ sau}$$

$$v_z = n_{M2} i_{56} i_{67} i_{20} i_{13} i_{18} i_{\phi 18} \text{ [mm/min]} \text{ sau}$$

$$v_z = n_{M3} i_{23} i_{24} i_{25} i_{29} i_{28} i_{\phi z} \text{ [mm/min];}$$

- mișcarea traversei mobile

$$v_{zT} = n_{M4} i_{30} i_{31} i_{32} i_{\phi v} \text{ [mm/min]},$$

în care  $i_{\phi y}$ ,  $i_{\phi z}$ ,  $i_{\phi 18}$  — pasul șuruburilor conducătoare  $S_y$ ,  $S_z$  și  $P_{18}$ .

**Șepingul.** În figura 12.88, se dă principiul de lucru și lanțurile cinematice principale ale unui șeping normal. Ecuațiile cinematice (fig. 12.88, a):

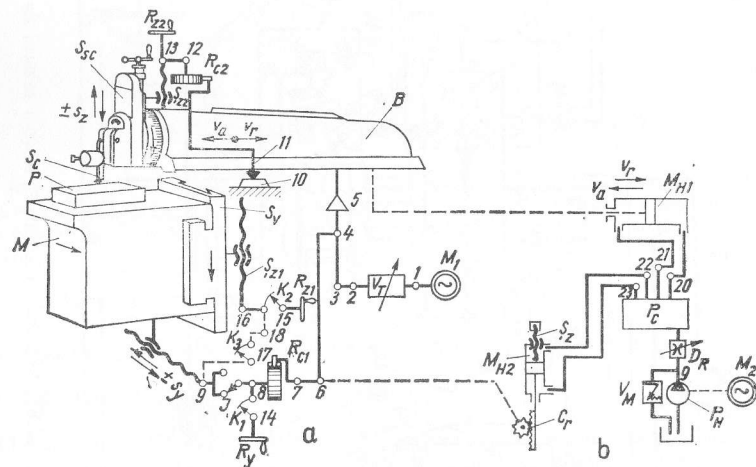


Fig. 12.88. Schema cinematică a unui șeping:  
a — mecanic; b — hidraulic

- mișcarea principală

$$n_{cd} = n_{M1} i_{1v} i_{23} i_{4} \text{ [cursă dublă/min];}$$

- mișcarea de avans transversal a mesei

$$s'_y = n_{M1} i_{1v} i_{23} i_{4} i_{67} i_{7R} C_1 i_{89} i_{\phi y} \text{ [mm/min]}$$

$$\text{sau } s_y = s'_y / n_{cd} \text{ [mm/cursă dublă];}$$

- mișcarea de avans vertical a mesei

$$s'_{zM} = n_{M1} i_{1v} i_{23} i_{4} i_{67} i_{7R} C_1 i_{89} i_{17} i_{18} i_{16} i_{\phi z1} \text{ [mm/min]}$$

$$\text{sau } s_{zM} = s'_{zM} / n_{cd} \text{ [mm/cursă dublă];}$$

- mișcarea de avans a suportului portsculă

$$s_z = h_{19} i_{R} C_2 i_{12} i_{13} i_{\phi z2} \text{ [mm]},$$

în care  $n_{cd}$  este numărul de curse duble ale berbecului,  $i_{RC1}$ ,  $i_{RC2}$  — raportul de transfer al mecanismului clichet — roată clichet.

Acționări și reglări manuale pot fi executate cu roțile de mină  $R_y$ ,  $R_{z1}$ , și  $R_{z2}$ .

În cazul lanțului cinematic hidraulic (fig. 12.88, b), se realizează aceleași mișcări, utilizându-se ca elemente principale: motorul electric  $M_2$ , pompă cu debit constant  $P_H$ , droselul  $D_R$ , ventilul maximal  $V_M$ , panoul de comandă  $P_c$ , motorul hidraulic rectiliniu pentru mișcarea principală  $M_{H1}$ , motorul hidraulic rectiliniu pentru mișcările de avans

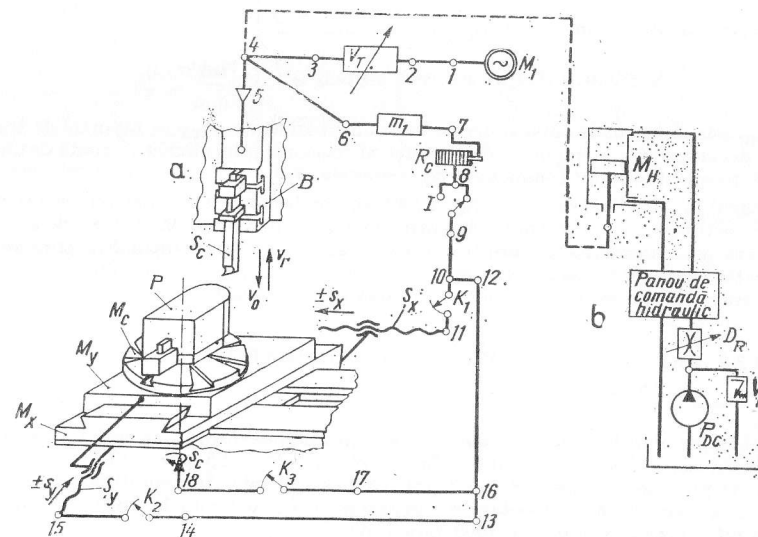


Fig. 12.89. Schema cinematică a unei mașini de mortezat:  
a — mecanic; b — hidraulic

$M_{H2}$  și cremaliera — pinion  $C_r$  pentru transformarea mișcării rectilinii în mișcare circulară etc.

**Mașini de mortezat.** În figura 12.89 se dă principiul de lucru și lanțul cinematic principal al unei mașini de mortezat. Ecuații cinematice:

— mișcarea principală

$$n_{cd} = n_{M1} i_1 i_2 i_v T i_3 i_4 [\text{cursă dublă/min}];$$

— mișcarea de avans longitudinal

$$s'_x = n_{M1} i_1 i_2 i_v T i_3 i_4 i_6 i_{mi} i_7 i_{Rc} i_8 i_9 i_{10} i_{11} i_{sx} [\text{mm/min}]$$

$$\text{sau } s_x = s'_x / n_{cd} [\text{mm/cursă dublă}];$$

— mișcarea de avans transversal

$$s'_y = n_{M1} i_1 i_2 i_v T i_3 i_4 i_6 i_{mi} i_7 i_{Rc} i_8 i_9 i_{10} i_{12} i_{13} i_{14} i_{15} i_{sy} [\text{mm/min}]$$

$$\text{sau } s_y = s'_y / n_{cd} [\text{mm/cursă dublă}];$$

— mișcarea de avans circular

$$s_c = n_{M1} i_1 i_2 i_v T i_3 i_4 i_6 i_{mi} i_7 i_{Rc} i_8 i_9 i_{10} i_{12} i_{16} i_{17} i_{18} [\text{rot/min}],$$

în care  $n_{cd}$  este numărul de curse duble pe minut ale berbecului;  $i_v T$  — raportul de transfer al cutiei de viteze;  $i_{Rc}$  — raportul de transfer al mecanismului clichet — roată de clichet;  $s_x, t_{sy}$  — pasul șurubului conducător  $S_x$  respectiv  $S_y$ .

În cazul acționării hidraulice (fig. 12.89, b), berbecul  $B$  este antrenat de un motor hidraulic rectiliniu  $M_H$ , comandat de către un panou de comandă. Viteza de acționare este reglată prin droselul  $D_R$ , care limitează accesul debitului pompei  $P_{DC}$  spre motorul  $M_H$ . Debitul suplimentar se reîntoarce din circuit în rezervor prin ventilul maximal  $V_M$ , care limitează în același timp și presiunea maximă în circuit.

#### 12.2.2.2. PARAMETRII OPERAȚIILOR DE RABOTARE ȘI MORTEZARE

**Precizia prelucrării.** În cazul rabotării de degroșare, se obține netezimea  $R_a = 12,5 \dots 50 \mu\text{m}$ , calitatea 9 ISO; în cazul finisării —  $R_a = 3,2 \dots 12,5 \mu\text{m}$ , calitatea 7 ISO; la finisarea de precizie —  $R_a = 0,8 \dots 3,2 \mu\text{m}$ , calitatea 6 ISO. În condițiile practice obișnuite, precizia obținută la rabotare nu depășește  $0,1 \dots 0,2 \text{ mm}$  la  $1000 \text{ mm}$  lungime; iar în cazul șepingului —  $0,5$  la  $1000 \text{ mm}$  lungime.

În mortezare, se obține netezimea  $R_a = 25 \dots 100 \mu\text{m}$  și precizia  $0,1 \dots 0,25 \text{ mm}$  la  $1000 \text{ mm}$  lungime.

**Forțele de așchiere.** Se calculează ca și la strunjire:  $F_z = C_{Fz} t^{y_{Fz}} s_x^{x_{Fz}} s_y^{y_{Fz}}$ , în care coeficientul și exponenții se iau din tabelul 12.35 [24].

**Regimul de așchiere.** În cazul rabotării cu cuțite pentru degroșat, adâncimea de așchiere se ia pînă la  $3 \text{ mm}$ , iar avansul  $s = 0, l = 0,3 \text{ mm/cursă dublă}$ ; în cazul cuțitelor de finisat (late),  $t = 0,2 \dots 0,5 \text{ mm}$  iar avansul se ia  $0,25 \dots 0,5$  din lățimea cuțitului. În ceea ce privește viteza de așchiere, calculul se face ca la strunjire:  $v = C_{vk} v / T^{m_{kv}} s^{x_v}$ . Valoarea coeficientului și exponenților se iau din tabelul 12.36 [24].

Tabelul 12.35

Coeficienții și exponenții pentru calculul forței de așchiere la rabotare și mortezare, cu formula  $F_z = C_{Fz} t^{y_{Fz}} s_x^{x_{Fz}} s_y^{y_{Fz}}$  [24]

Materialul prelucrat	Felul prelucrării	Materialul sculei	Valoarea coeficienților și exponenților		
			$C_{Fz}$	$y_{Fz}$	$x_{Fz}$
Fontă cenușie HB 190	Plană	K 40	32	1,0	0,75
	Plană	$R_p 3$	125	1,0	0,75
	Canelare		158	1,0	1,0
Oțel carbon, oțel crom și oțel-crom-nichel	Plană	$R_p 3$	191	1,0	0,75
	Canelare		214	1,0	1,0
	Plană		191	1,0	0,75
	Canelare		214	1,0	1,0
Aliaje ale cuprului	Plană		55	1,0	0,66

Tabelul 12.36

Coeficienții și exponenții pentru calculul vitezei de așchiere la rabotare și mortezare, cu formula  $v = C_{vk} v / (T^{m_{kv}} s^{x_v})$  [24]

Materialul prelucrat	Felul prelucrării	Materialul sculei	Valoarea coeficienților și exponenților			
			$C_v$	$y_v$	$x_v$	$m$
Fontă cenușie HB 190	Plană	K 40	162	0,15	0,4	0,2
	Canelare		38,2	0	0,4	0,2
	Plană	$R_p 3$	39,2	0,15	0,4	0,10
	Canelare		19,5	0	0,4	0,15
Oțel carbon, oțel crom și oțel crom-nichel $\sigma_r = 65 \text{ daN/mm}^2$	Plană	$R_p 3$	61,1	0,25	0,66	0,12
	Canelare		20,2	0	0,66	0,25
Aliaje ale cuprului	Plană		167	0,12	0,5	0,23

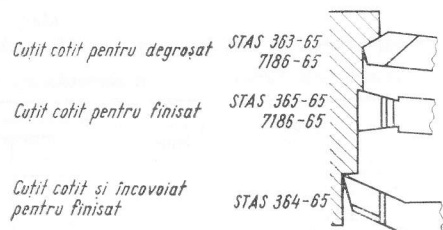
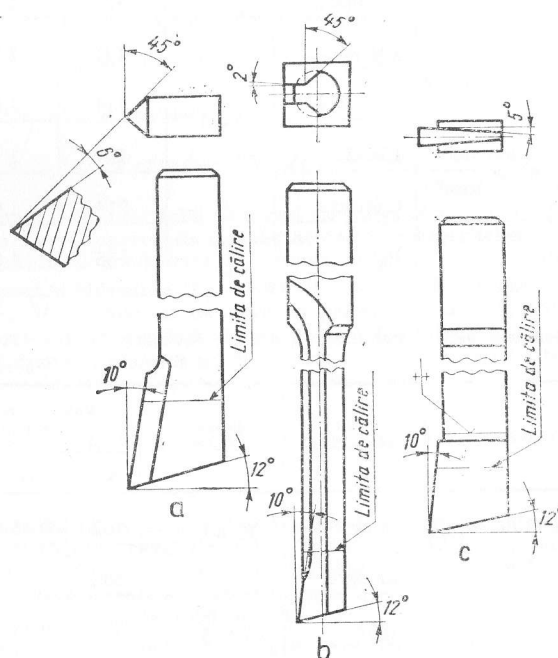


Fig. 12.90. Cuțite de rabotat standardizate

Fig. 12.91. Cuțite de mortezat standardizate:  
a — degroșare; b — canale de pană; c — canelat

Timpul de bază la mașini-unelte cu mișcarea principală rectilinie [60]. Se calculează cu formula (12.38), în care valorile lui  $l$ ,  $l_1$  și  $l_2$  se iau din [60, p. 46—47].

12.2.2.3. *Cuțite pentru rabotat și mortezat.* În figura 12.90, se dau cuțitele de rabotat standardizate și utilizarea lor. Valoarea parametrilor geometrici este dată în STAS

R 6781-63 și STAS R 6375-61. Condițiile tehnice sînt date în STAS 6542-62 și STAS 6541-62.

În figura 12.91, se dau cuțitele de mortezat standardizate. Condițiile tehnice sînt date în STAS 6542-62.

### 12.2.3. BROȘAREA

12.2.3.1. *MAȘINI-UNELTE DE BROȘAT.* În figura 12.92, se dă schema principală de lucru și de acționare (hidraulică) a unei mașini de broșat interior, orizontală.

Acționarea motorului hidraulic rectiliniu  $M_H$  se face, de obicei, cu una sau două pompe cu debit constant  $P_{DC}$ , iar viteza de așchiere  $v_a$  se reglează continuu, cu ajutorul droselului  $D_r$ . Inversarea mișcării de comandă prin distribuitorul  $D$ , iar limitarea valorii

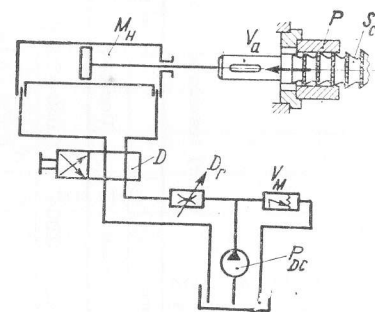


Fig. 12.92. Schema principală a unei mașini de broșat

maxime a presiunii lichidului din sistem se face cu ventilul maximal  $V_M$ . Forța de tracțiune exercitată asupra sculei  $S_c$  poate atinge 5 000—40 000 daN sau chiar mai mult.

12.2.3.2. *PARAMETRII OPERAȚIEI DE BROȘARE. Precizia prelucrării.* La broșarea interioară, în condiții obișnuite, se obține calitatea 7 ISO; iar la broșarea exterioară — calitatea 7 ... 9 ISO. Rugozitatea:  $Ra = 0,8 \dots 1,6 \mu m$ . La prelucrarea danturii, se obține calitatea 8 ISO; iar erorile de divizare 6 ... 16  $\mu m$  [33].

*Forțele de așchiere.* Forța de așchiere se calculează cu expresia  $F = p a \Sigma b k_F$  [daN], în care  $p$  este apăsarea specifică de așchiere (tabelul 12.37 [33]),  $a$  — grosimea așchii ridicată de un dinte (tabelul 12.38 [33]),  $\Sigma b$  — suma lățimii tuturor tășurilor care prelucrează simultan,  $k_F = k_p k_w k_\alpha k_\gamma$ ,  $k_p, k_w, k_\alpha, k_\gamma$  fiind coeficienții de corecție în legătură cu raza de ascuțire  $\rho$ , respectiv fluidul de așchiere  $w$ , unghiul de așezare  $\alpha$  sau unghiul de degajare  $\gamma$  (tabelul 12.39).

Valorile apăsării specifice de așchiere  $p$  daN/mm<sup>2</sup> [33]

Materialul prelucrat	Grosimea așchiei, $a$ , mm			Materialul prelucrat			Grosimea așchiei, $a$ , mm		
	0,02	0,05	0,1	Materialul prelucrat			0,02	0,05	0,1
OL C 15	270	280	290				450	360	310
OL C 35	340	290	250				350	320	200
OL C 45	360	280	240				430	360	310
OL 50	430	330	270				360	300	260
OL 70	280	250	220						

Tabelul 12.38

Valori recomandate pentru grosimea așchiei  $a$  mm [33]

Materialul prelucrat	Broșe cilindrice		Broșe plane		Broșe pentru canale și dantură
	Degroșare	Finisare	Degroșare	Finisare	
Oțel	0,015—0,030	0,0025—0,004	0,040—0,100	0,010—0,015	0,020—0,080
Fontă cenușie			0,100—0,150	0,040—0,060	0,040—0,100
Aliaje de aluminiu și magnezii (după proprietățile mecanice)	0,015—0,080	0,0025—0,010	0,040—0,100	0,010—0,015	0,020—0,100
Alama și bronzul					
Aliaje cu conținut ridicat de nichel					

Ca la aliajele de aluminiu

0,040—0,075      0,050—0,100      0,050—0,100

Tabelul 12.39

Valoarea coeficienților  $k_p$ ,  $k_w$ ,  $k_\alpha$ ,  $k_\gamma$  (I. M. Besprozvannii)

Coeficientul		Valoarea coeficientului
$k_p$	Dinte ascuțit	1
	Dinte cu uzură normală (0,3 mm) pe fața de așezare	1,15
	Dinte cu uzura pe fața de așezare <1 mm	1,75
$k_w$	Ulei cu sulf	1
	Emulsie 10%	1,13
	Uscat (pentru oțel)	1,34
$k_\gamma$	$\gamma = 10...12^\circ$	1
	$\gamma = 6...8^\circ$	1,13
	$\gamma = 0...2^\circ$	1,35
	$\alpha = 2...3^\circ$	1
$k_\alpha$	$\alpha < 1^\circ$ (pentru oțel)	1,2
	$\alpha < 1^\circ$ (pentru fontă)	1,12

**Regimul de așchiere.** Viteza de așchiere se calculează conform formulei date în tabelul 12.4. Valorile coeficientului și exponenților se dau în tabelul 12.40, iar coeficientul  $k_v$  se poate lua analog operației de strunjire.

Tabelul 12.40

Valoarea coeficientului și exponenților  $C_v$ ,  $m$ ,  $\gamma_v$ 

Materialul prelucrat	Broșare rotundă			Canelare		
	$C_v$	$m$	$\gamma_v$	$C_v$	$m$	$\gamma_v$
OL C 45, HB 160—180	12	0,62	0,62	11	0,60	0,75
41 C10, 15 C 07, 13 CN 33	11	0,62	0,62	10	0,60	0,75
OL C 45, HB 220—260	8	0,62	0,62	5	0,60	0,75
41 C 10, HB 200—230						
15 C 07, HB 180—220						
13 CN 33, HB 180—220						
Fontă HB 160—180	10	0,50	0,60	12,5	0,50	0,60
Fontă HB 190—220	8,2	0,50	0,60	10,5	0,50	0,60



**Timpul de bază la broșare** [60]. Se calculează cu formula  $t_b = (l + l_1 + l_2) / (1000v)$  [min], în care  $l = l_{ub}$  (lungimea utilă a broșei) plus  $l_p$  (lungimea piesei), mm (fig. 12.93);  $l_1 = 0$ ;  $l_2 = (5 \dots 10)$  mm.

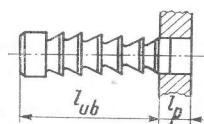


Fig. 12.93. Calculul timpului de bază la broșare [60]

**12.2.3.3. BROȘE. Broșe interioare.** În figura 12.94 se dau desene reprezentând diferite operații de broșare *interioară și exterioară* [65] [2], iar în figura 12.95 diferite construcții de broșe.

Broșa are 4–6 părți distincte (fig. 12.94, a): coada, a cărei lungime  $l_1$  servește la fixare [STAS 7991-67], iar lungimea  $l_2$  depinde de lungimea piesei, dispozitivului și flanșei mașinii de broșat; conducerea din față de lungime  $l_3$ ; partea de așchiere, de lungime  $l_4$ , la care ultimii 2–3 dinți sunt de finisare; partea de rezervă și calibrare, de lungime  $l_5$ ; partea de conducere din spate, de lungime  $l_6$ , și partea finală de lungime  $l_7$ .

Pentru uniformizarea procesului de așchiere și evitarea vibrațiilor, pasul danturii se poate lua variabil, 0,1–0,5 mm de la un dinte la altul, pe un interval de 3–5 dinți,

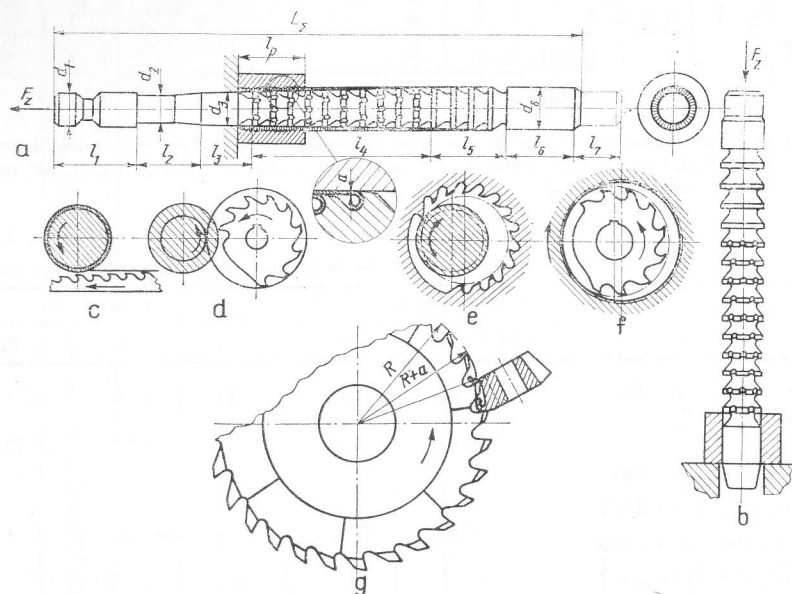


Fig. 12.94. Diferite operații de broșare:

a – la întindere; b – la compresie; c, d, e, f – strunjire; g – danturare

după care se repetă. Valoarea pasului:  $p = (1,25–1,5) \sqrt{l_p}$ . Înălțimea dinților  $h = \sqrt{k a l_p}$ , în care  $k$  depinde de forma și grosimea așchiilor (tabelul 12.41). Forma dinților (fig. 12.96, a),  $f_1 = (0,32–0,43)p$ ,  $f = 0,05$  mm, pentru partea de „calibrare”, fațeta  $f$

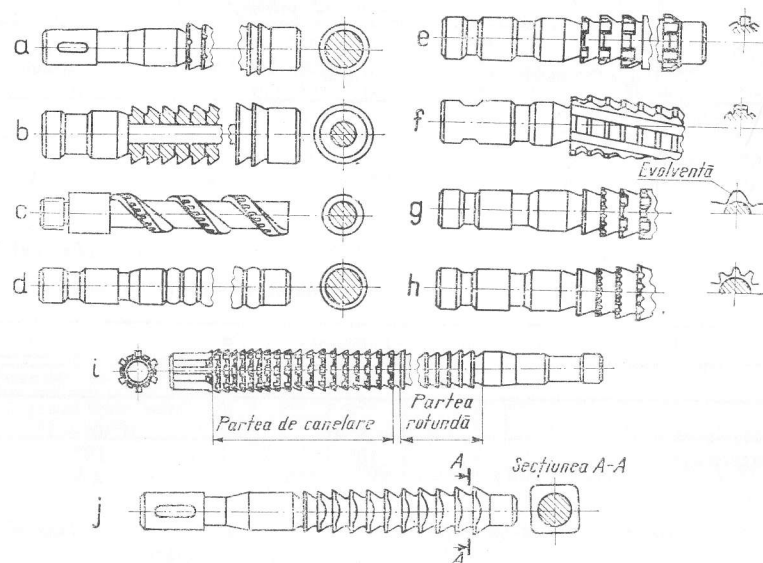
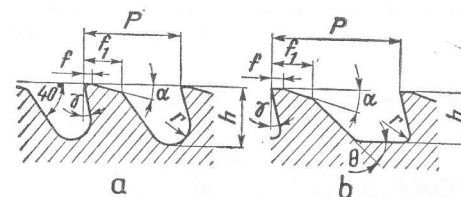


Fig. 12.95. Diferite construcții de broșe

Fig. 12.96. Forma dinților broșei:  
a – dantură obișnuită;  
b – dantură cu pas mărit



are valoarea 0,2 mm, crescând treptat până la 1,2 mm pentru ultimul dinte. În cazul cind locașul de broșat este întrerupt, apărind două așchii (fig. 12.96, b),  $f_1 = h$  și  $\theta = 20 \dots 30^\circ$ . La broșarea interioară, unghiul de așchiere se ia mic pentru ca broșa să nu-și piardă dimensiunea prin reascuțire; la broșarea exterioară,  $\alpha$  se ia mai mare (tabelul 12.42). Unghiul de degajare se ia în funcție de materialul prelucrat (tabelul 12.3).

Numărul de dinți: partea de degroșare,  $z_d = [(A - 2 \sum a_{fin}) / 2a] + 1$  – în care  $A$  este adaosul de prelucrare pe diametru,  $2 \sum a_{fin}$  – grosimea materialului ridicat de dinți de finisare pe diametru,  $a$  – grosimea așchiei (tabelul 12.38),  $a_{fin}$  – grosimea așchiei pe dinți de finisare (grosimea așchiei se ia mai subțire și scade cu 0,01...0,02 mm pe

Tabelul 12.41

Valoarea coeficientului  $k$  pentru determinarea înălțimii dintelui broșei (A. M. Danielian)

a mm	Materialul prelucrat			
	Oțel		Fontă și bronz	Alamă, cupru, aluminiu
	$\sigma_r \leq 70 \text{ daN/mm}^2$	$\sigma_r > 70 \text{ daN/mm}^2$		
<0,03	2	3	1,5	2
0,03–0,07	3	4	2	3
>0,07	4	4,5	3	4

Tabelul 12.42

Valoarea unghiului de așezare la broșe

Tipul broșei	$\alpha$	
	Partea de așchiere	Partea de „calibrare“
Broșă interioară	2 ... 3°30'	0°30' ... 1°
Broșă exterioară	10°	10°

Tabelul 12.43

Valoarea unghiului de degajare la broșe

Materialul prelucrat			$\gamma^\circ$
Oțel	$\sigma_r$	< 60 daN/mm <sup>2</sup>	15–18
		60–100 daN/mm <sup>2</sup>	12–15
		> 100 daN/mm <sup>2</sup>	8–10
Fontă	HB	≤ 180	8–10
		> 180	4–8
Fontă maleabilă			10
Aluminiu			12–15
Bronz			0–5
Compoziție pentru lagăre (babbit)			10–15
Cupru tehnic pur			15
Alamă fragilă			2
Alamă moale			6

diametru, de la un dinte de finisare la altul); partea de finisare  $z'_4 = 2-3$ ; partea de așchiere,  $z_4 = z'_4 + z'_4$ ; partea de „calibrare“,  $z_5 = x \operatorname{tg} \alpha / a_{fin3}$ , în care  $x = (0,5 \dots 0,6) f_1$  și  $a_{fin3}$  — grosimea așchii pe ultimul dinte de finisare.

Lungimea broșei:  $l_1$  se alege în funcție de forma capului de fixare;  $l_2$  se stabilește grafic [38, p. 284];  $l_3 = l_p$  pentru  $l_p \leq 50$  și oricare diametru,  $l_3 = 50$  mm pentru  $l_p > 50$  mm și  $D = 50 \dots 100$  mm și  $l_3 = 80$  mm pentru  $l_p > 50$  mm și  $D > 100$  mm;  $l_4 = z_4 p$ ;  $l_5 = z_5 p$ ;  $l_6 = (1,5 \dots 2) D$  pentru  $l_p \geq 2D$ ;  $l_\Sigma = l_1 + l_2 + l_3 + l_4 + l_5 + l_6$ ; se verifică lungimea dacă nu depășește condițiile de rigiditate și anume  $40D$  în care  $D$  este diametrul părții de „calibrare“ pentru broșele rotunde, sau se folosesc valorile din tabelul 12.44 la broșe pentru canale de pană. De asemenea, se verifică dacă nu se depășește lungimea cursei mașinii-unelte sau dacă există posibilități de execuție a acestora. Dacă se depășește lungimea permisă, partea de așchiere a broșei se împarte în mai multe broșe, prevăzându-se dinți de rezervă și partea de conducere din spate numai la ultima broșă.

Verificări: 1) rezistența cozii:  $\sigma_z = (F_z/q_1) \leq \sigma_a$ , în care  $q_1$  este secțiunea periculoasă a cozii,  $\sigma_a = 25 \text{ daN/mm}^2$  pentru broșe rotunde din oțel rapid,  $\sigma_a = 25 \text{ daN/mm}^2$  pentru

Tabelul 12.44

Lungimile limită ale broșelor pentru canale de pană

Aria secțiunii broșei pentru primul dinte, mm <sup>2</sup>	35	50	150	240	390	545	645	835
$L_\Sigma$	500	700	900	1 000	1 100	1 200	1 300	1 500

broșe poligonale, caneluri, canale în evolventă și  $\sigma_a = 20 \text{ daN/mm}^2$  pentru canale de pană; pentru broșele solicitate la compresiune, rezistența admisibilă se ia de 1,5 ori mai mare; 2) la strivire în cazul fixării broșei cu pana:  $(F_z/bD_1) \leq 60 \text{ daN/mm}^2$ , în care  $b$  este lățimea canalului de pană; 3) rezistența broșei într-o secțiune făcută prin primul canal pentru așchii:  $\sigma = 4k_i F_z / [\pi(D_1 - 2h)^2] \leq \sigma_a$ ; 4) dacă așchiile au loc în canalele dintre dinți:  $k_1 = S_b/S_a = 3 \dots 6$ , în care  $S_b \approx 0,79 h^2$  (aria secțiunii canalului),  $S_a = al_p$ ,  $k_1 = 3 \dots 4,5$  pentru  $a = 0,02 \dots 0,03$  mm, respectiv  $k_1 = 6$  pentru  $a = 0,05 \dots 0,2$  mm (la materiale dure și fragile, se iau valori mai mici pentru  $k_1$ ). Coeficientul efectiv de concentrare a tensiunilor  $k_i$  se datorește particularităților comportării oțelurilor de scule tratate termic<sup>1</sup> ( $k_i = 1,1 \dots 1,15$ ).

În scopul fragmentării așchiilor, dinții sint prevăzuți cu șanțuri așezate în șicană (fig. 12.97). Așchiile devin mai puțin late, se așează mai bine în canale și nu zgărie pereții laterali, de exemplu la prelucrarea canalelor de pană.

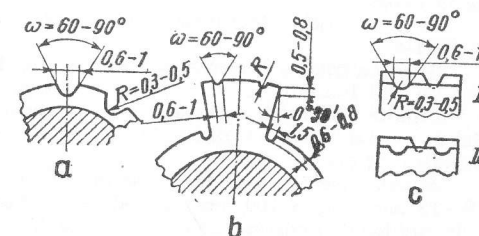


Fig. 12.97. Canale pentru fragmentarea așchiilor

<sup>1</sup> Z. M. Koniushko: Cu privire la calculul de rezistență al broșelor. În: Mașini-unelte și scule (traducere din limba rusă), nr. 10/1955 pag. 35.

Este bine ca forma broșelor să plece de la forma circulară (fig. 12.98), astfel ajutându-se execuția.

În cazul când broșa are dinți pe două sau trei laturi (fig. 12.99), se va observa că există o legătură geometrică între geometria dinților. De asemenea, se va lua în considerare

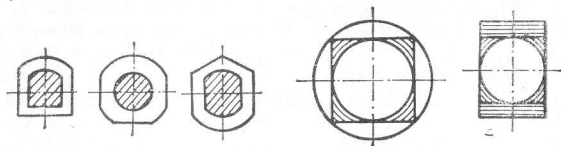


Fig. 12.98. Diferite profile de broșe

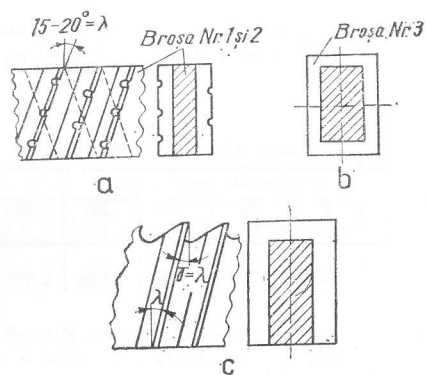


Fig. 12.99. Broșe cu dinți pe 2-4 laturi:  
a - cu 2 tăișuri; b - cu 4 tăișuri; c - cu 3 tăișuri

și solicitarea excentrică a broșelor [7, vol. II, p. 975], care provoacă o întindere însoțită de încovoire.

Pentru broșele de canelat s-au standardizat condițiile tehnice în STAS 8040-67 și 8041-67.

**Broșe exterioare.** Proiectarea acestora, (fig. 12.100), este ușurată, deoarece dimensiunile nu sînt limitate de mărimea găurii de prelucrat.

**Diferite construcții de broșe.** Broșe progresive (fig. 12.101), la care stratul de material de așchiat se împarte în fișii înguste, astfel încît așchiile au o lățime mai mică. Durabilitatea broșei se mărește.

**Broșele elicoidale** (fig. 12.95), se întrebunțază la broșarea găurilor adînci, cu  $D \leq 10-15$  mm și  $l_p > 100$  mm, în vederea evacuării așchiilor. Pe lîngă deplasarea rectilinie, are loc și o mișcare de rotație a broșei.

**Broșele pentru canale elicoidale** (fig. 12.95), diferă de broșele obișnuite prin faptul că dinții se dispun în șiruri elicoidale. Forța de așchiere crește cu cca 60%, iar datorită frecărilor care intervin, are loc o răminere în urmă a înclinării canalelor broșate fapt pentru care unghiul elicei broșei se va lua cu 2-3' mai mare, dar urmează neapărat și o verificare practică.

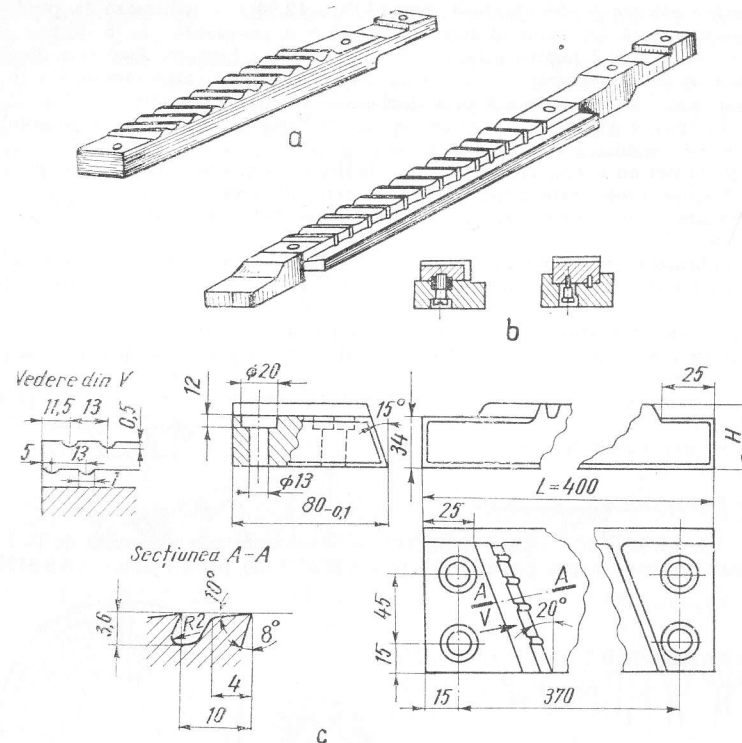


Fig. 12.100. Broșe pentru exterior:  
a - monobloc; b - din bucăți; c - construcția broșei

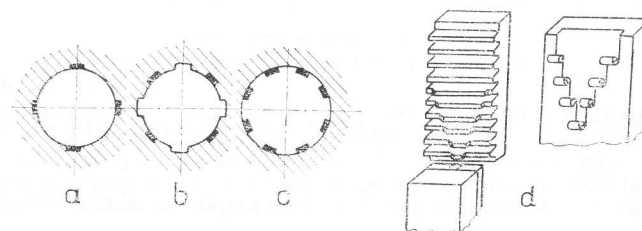


Fig. 12.101. Broșa progresivă:  
a, b, c - broșare rotundă; d - broșare plană

Broșele circulare pentru dantură conică<sup>1</sup> (fig. 12.94), se utilizează la producția de serie mare sau masă. Broșa are diametrul de 540 mm, prevăzută cu 75 dinți așchietori, 48 pentru degroșare, 7 pentru semifinisare și 20 pentru finisare. Așchierea fiecărui gol al danturii se face în timpul unei rotații a broșei. Semifabricatul rămâne fix în timpul prelucrării. Avansul se realizează prin deplasarea rectilinie a sculei de-a lungul golului dintelui. În timpul degroșării, broșa se deplasează dinspre capătul îngust al golului spre capătul lat al acestuia, iar la finisare în sens invers.

Dinții broșei au o creștere treptată pe înălțime și grosime, sau numai pe grosime. Profilul dinților broșei este după un arc de cerc, de același diametru, dar cu centrul de coordonate diferit pentru fiecare dinte. Dinții sint detalonați avind parametrii:  $\alpha = 10^\circ$ ;  $\gamma = 15^\circ$ .

Discul broșei prezintă două porțiuni fără dinți: în prima se așază dispozitivul pentru prelucrarea teșiturilor; în a doua se execută rotirea semifabricatului după prelucrarea unui gol.

Dinții semifabricatului sint prelucrați după arce de cerc.

Broșe cu dinți separați (fig. 12.95). Se utilizează în special la prelucrarea găurilor de diametru mare.

Broșe pentru netezire (fig. 12.95). Deformează remanent pereții găurii prelucrate, netezindu-i și ecruisindu-i. Se iau  $a = 0,01 \dots 0,02$  mm,  $v = 8 \dots 20$  m/min iar forțele se stabilesc experimental.

#### 12.2.4. PILIREA

12.2.4.1. CLASIFICAREA PILELOR. Se deosebesc: pile obișnuite de lăcătușerie, pile de ceasornicărie; rașpele pentru lemn (STAS 8120/2-68), pentru piele (STAS 8120/3-68),

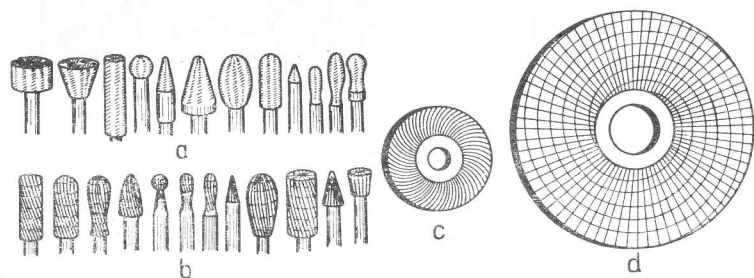


Fig. 12.102. Pile pentru mașină:

a - rotative tăiate; b - rotative frezate; c - disc

pentru potcovărie (STAS 8120/4-68), pile pentru mașină - prismatice, semirotunde triunghiulare, patrute, late, rotative tăiate sau frezate (fig. 12.102, a și b), disc (fig. 12.102, c).

12.2.4.2. DANTURA PILELOR. Capacitatea de așchiere a pilelor depinde de unghiul de înclinare al dinților față de axa pilei, de pasul danturii, unghiul de degajare al dinților, forma dinților. Se deosebesc: pile cu tăietură simplă, înclinată la dreapta ( $\beta = 60^\circ$ ),

<sup>1</sup> L. Z. Ganopolski: Nekotore voprosi teorii zubciatih koles kmgovogo zateplenii i rasciota instrumenta dlea ih narezania. În Novoe v Konstruirovanii metallorejuschih. Sub redacția prof. I. I. Semencenko, Mașghiz, 1958, p. 107-201.

(fig. 12.103, a), pentru materialele neferoase, pile cu tăietură dublă (fig. 12.103, b), pentru materiale feroase. La pilele cu tăietură dublă, tăietura de bază este cea superioară, care ridică așchiile; tăietura superioară are înclinarea la dreapta ( $\beta = 70^\circ$ ), iar cea inferioară la stînga ( $\alpha = 50^\circ$ ). Tăietura feței laterale are înclinarea la dreapta ( $\omega = 75^\circ$ ).

Finețea danturii este definită prin numărul de dinți pe centimetru măsurat în direcția axei pilei. Se deosebesc patru clase de danturi (STAS 631-67): 0 - aspră, 1 - bastardă, 2 - semifină, 3 - fină. Pasul tăieturii inferioare este mai mare cu 10% față de

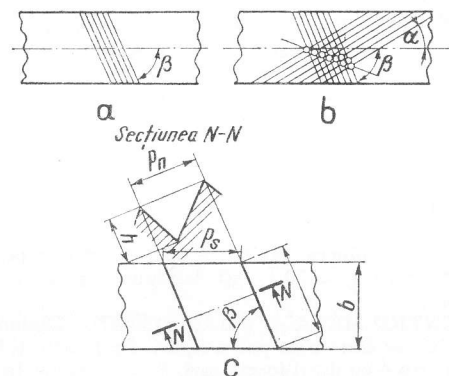


Fig. 12.103. Dantura pilelor:  
a - simplă; b - dublă; c - determinarea volumului canalelor

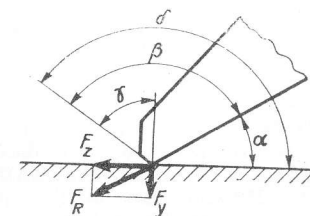


Fig. 12.104. Geometria răzuitorului

pasul tăieturii superioare. Pasul tăieturii fețelor laterale este mai mic cu 5% față de pasul tăieturii superioare.

La alegerea mărimii pasului (pasul normal față de dinți), este necesar să se țină seama de valoarea cursei pilei, respectiv de volumul așchii rezultate. Volumul teoretic al golului dintre dinți [42, p. 136]:  $V = 0,25 \cdot b \cdot p_n^2 / \sin \beta$  - în care  $b$  este lățimea pilei  $p_n$  - pasul normal. Volumul util:  $V_u \approx 0,6 \cdot V$ . Între volumul util și volumul așchii ridicate trebuie să existe o rezervă:  $V_u / V_a \geq k$ , în care  $V_a$  este volumul așchiilor iar  $k \approx 6$ .

În STAS 630-67 se dau condițiile generale pentru pile, iar în STAS 8120/1-68, pentru rașpele.

#### 12.2.5. RĂZUIREA

Se consideră [18] (fig. 12.104):  $\alpha \approx 15^\circ$ ,  $\gamma \leq -30^\circ$ , pentru oțel și  $\alpha \approx 10^\circ$ ,  $\beta \leq -15^\circ$ , pentru fontă dură  $\alpha \approx 25^\circ$ . Răzuirea poate fi mecanizată.

#### 12.2.6. FERESTRUIREA

12.2.6.1. PÎNZE PENTRU FERĂSTRAIE CU MIȘCARE ALTERNATIVĂ (STAS 1066-63). Sint acționate manual (tip. I) sau mecanic (tip. II). Geometria danturii este dată în fig. 12.105, a. Pentru micșorarea frecării laterale, la pînze tip I se execută





Ferăstrău cu coadă				Ferăstrău cu bandă		
Material cu $\sigma_r$ daN/mm <sup>2</sup>	<70	70—100	100—130	Material	Oțel	Oțel de scule
$v$ medie m/min	30	20	14	$v$ m/min	60	30
$v$ maximă m/min	47	31,5	22			
Numărul de curse duble pe minut la curse de				Material	Capete de tur- nare cu coajă	Alamă, Bronz cu Sn de turnătorie
140 mm	108	73	50	$v$ m/min	20—30	100
150 mm	98	67	47			
160 mm	93	63	43			

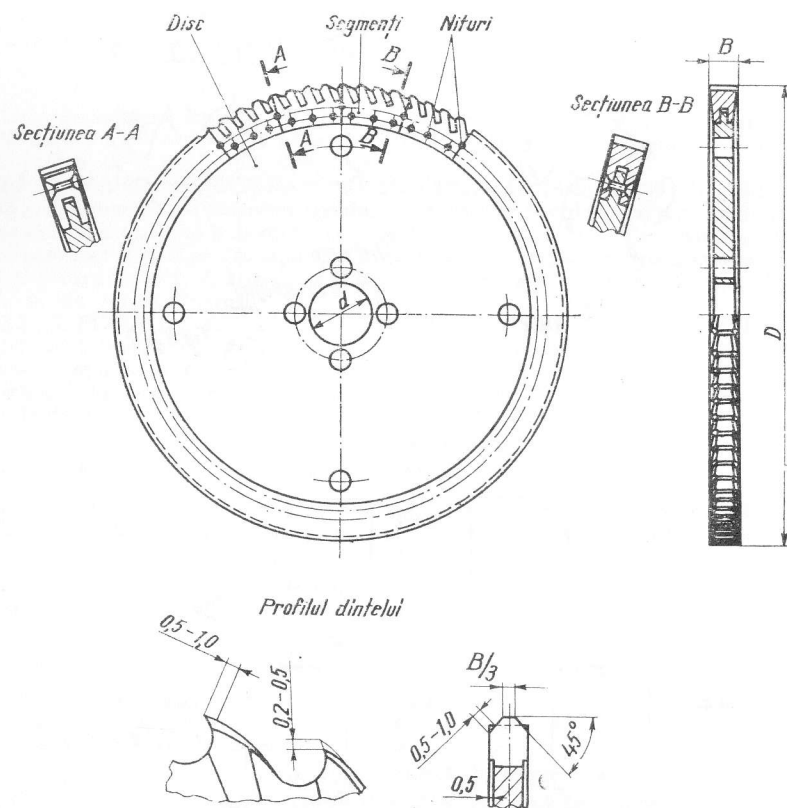


Fig. 12.107. Pinze de ferăstrău circular cu segmenti

Tabelul 12.45

Regimul de așchiere pentru ferăstraie [18]

Ferăstrău circular					
Oțel rapid	Cupru	Material	Ferăstrău de masă	Cu sanie și pirghie	La cald
20	80	Oțel după duritate		$v = 9-30$ $s = 10-400$	$v = \dots 6000$ $s = 50-250$
Metale ușoare	Materiale presate	Bronz pentru turnătorie zinc, bronz	$v = \dots 300$ $s = \dots 400$	$v = 200-800$ $s = 300-600$	
400–1200	300–900	Materiale ușoare	$v = \dots 600$ $s = \dots 1000$	$v = \dots 500$ $s = \dots 600$	

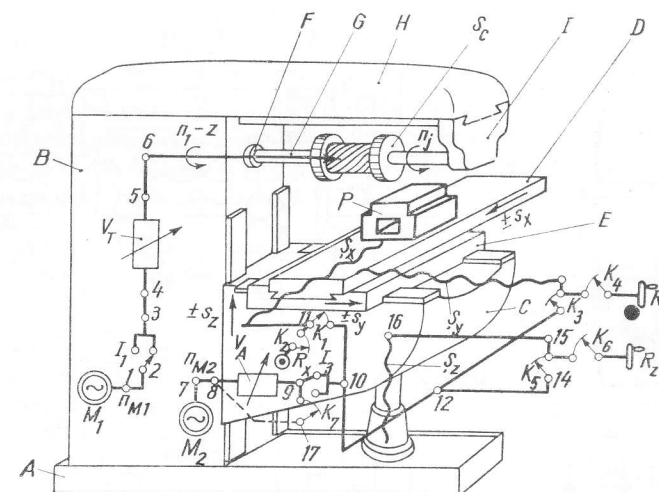


Fig. 12.108. Schema principală a mașinii de frezat cu consolă, orizontală.

Ecuatia cinematică a avansului vertical:

$$s_z = n_{M2} i_7 i_8 i_9 i_{10} i_{11} i_{12} i_{13} i_{14} i_{15} i_{16} t_z \text{ [mm/min]},$$

sau  $s'_z = s_z/n_i$  [mm/rot] și  $s''_z = s_z/(n_i t_c)$  [mm/dinte], în care  $t_z$  — pasul șurubului conducător  $S_z$ ;  $s_z$ ,  $s'_z$ ,  $s''_z$  — avansul vertical al consolei.

Ecuatii cinematice pentru poziționarea piesei față de sculă:

$$v_{rx} = n_{M2} i_7 i_8 i_{17} i_9 i_{10} i_{11} t_x \text{ [mm/min]},$$

$$v_{ry} = n_{M2} i_7 i_8 i_{17} i_9 i_{10} i_{13} t_y \text{ [mm/min]},$$

$$v_{rz} = n_{M2} i_7 i_8 i_{17} i_9 i_{10} i_{14} i_{15} i_{16} t_z \text{ [mm/min]},$$

în care  $v_{rx}$ ,  $v_{ry}$ ,  $v_{rz}$  sînt vitezele de deplasare rapidă a mesei pe cele trei direcții  $x$ ,  $y$ ,  $z$ .

Mișcările pentru avansuri de lucru, precum și cele pentru deplasările rapide pe cele trei direcții  $x$ ,  $y$ , și  $z$ , pot fi selectate cu ajutorul cuplelor  $K_1$ ,  $K_3$  respectiv  $K_5$ .

Mișcarea de reglare a mesei poate fi făcută și manual, prin roțile manuale  $R_x$ ,  $R_y$  și  $R_z$  și cuplele  $K_2$ ,  $K_4$  și  $K_6$ .

**Mașini de frezat verticale.** Din punct de vedere cinematic, sînt asemănătoare (în unele cazuri chiar identice) cu cele orizontale. Se deosebesc mașini de frezat verticale normale sau universale.

**Mașini de frezat plan.** În fig. 12.109 (după Catalogul Fritz Werner), sînt date cîteva variante constructive de mașini de frezat plan, orizontale sau verticale. Din punct de vedere

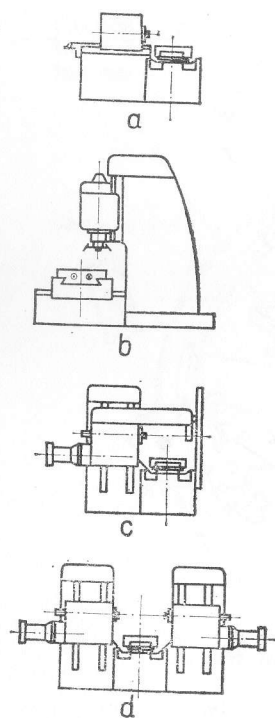


Fig. 12.109. Mașini de frezat plan (Fritz Werner)

cinematic, aceste mașini au un lanț cinematic al mișcării principale de așchiere, care asigură rotirea sculei și un lanț cinematic al mișcării secundare, de avans, care asigură deplasarea mesei.

**Mașini de frezat longitudinal.** Din punct de vedere al caracteristicilor cinematice și tehnologice, au mare asemănare cu mașinile de frezat plan. Se construiesc cu masă mobilă sau fixă.

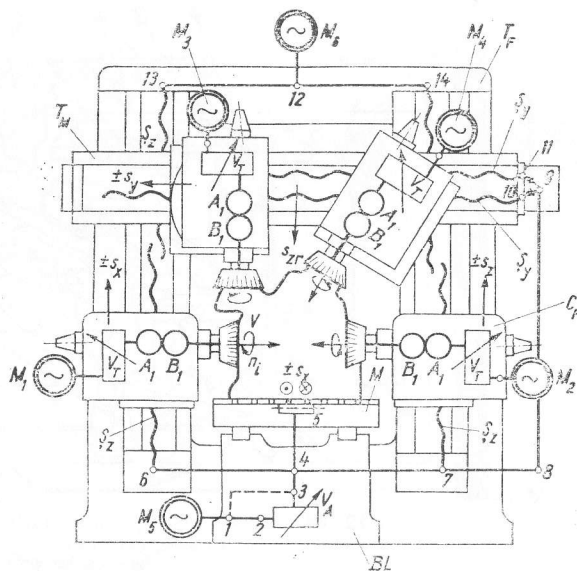


Fig. 12.110. Mașină de frezat longitudinal, portală.

Mașinile de frezat longitudinale, cu masă mobilă, pot fi: cu o coloană și cu cap de frezat; cu două coloane și mai multe capete de frezat. Primele se confundă aproape integral cu mașinile de frezat plan, diferența constînd din existența unei traverse orizontale, pe care se poate deplasa și înclina capul de frezat; cele cu două coloane, în majoritatea lor, se construiesc de tip portal.

În figura 12.110, se dă schema principală cinematică și de lucru a unei mașini tip portal.

Mișcările mașinii:

— mișcarea principală, de așchiere, se realizează printr-un lanț cinematic scurt, individual pentru fiecare cap de frezat: motorul electric  $M_1 \dots M_4$  — cutia de viteze  $V_T$  combinată cu roți de schimb  $A_1/B_1$  sau numai cu roți de schimb;

— mișcarea de avans longitudinal, care rezultă din deplasarea mesei  $M$  pe cale mecanică, hidraulică, hidromecanică și electromecanică (grup Ward-Leonard); lanțul cinematic:  $M_5-1-2-V_A-3-4-5$ , care acționează cremaliera fixată pe masa  $M$ ;

— mișcarea de avans a capetelor de frezat pe direcție verticală sau transversală (orizontală), au ca sursă de acționare motorul electric  $M_5$  și lanț cinematic comun pînă la nodul cinematic 4, de unde se ramifică ajungînd prin 6 sau 7 la șuruburile conducătoare  $S_z$ , respectiv, prin 8-9-10 sau 8-9-11, la șuruburile conducătoare  $S_y$ ;

— mișcarea de deplasare pe verticală a traversei mobile  $T_M$  are ca sursă de acționare motorul  $M_6$  și un lanț cinematic scurt, cu rapoarte de transfer constante, prin care se face poziționarea rapidă a capetelor de frezare; poziționarea precisă se face manual, prin deplasarea axială a arborelui principal în capul de frezare.

**Mașini de frezat prin copiere.** Lucrează după un șablon, model sau program dat. În funcție de poziția arborelui principal, pot fi verticale sau orizontale. După metoda copierii, se disting mașini de frezat prin copiere: în plan, după două dimensiuni și în spațiu, după trei dimensiuni. În figura 12.111, se dă schema principală de lucru a unei mașini verticale. Șablonul  $S$  este urmărit de palpatorul  $P_p$ , care, prin capul de palpate  $C_p$  (traductor), trimite semnalul de intrare în sistemul de comandă al mișcărilor sculei  $S_c$ , în vederea reproducerii formei șablonului pe piesa  $P$ , fixată pe masa  $M$ . Mișcarea de transport  $v_x$  este realizată de capul de frezare  $C_F$ , iar cea de urmărire  $v_y$  și de alimentare  $v_z$ , intermitentă de masa  $M$ .

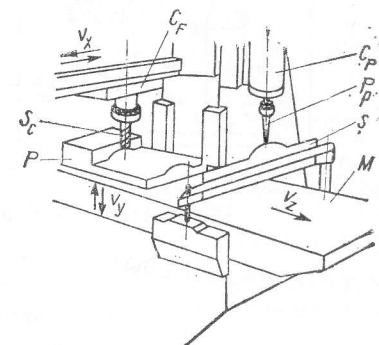


Fig. 12.111. Mașină de frezat prin copiere, verticală



Coeficientii și exponenții vitezei de așchiere și puterii, la frezare [24]

Tabelul 12.46 (continuare)

1		2	3	4	5	6	7
Freză cilindrică		K 40	Fontă cenușie HB 180	$t_l < 2,5$ , $S_d \leq 0,2$	796	0,37	0,42
				$t_l < 2,5$ , $S_d > 0,2$	507	0,37	0,42
				$t_l \geq 2,5$ , $S_d \leq 0,2$	1018	0,37	0,42
				$t_l \geq 2,5$ , $S_d > 0,2$	647	0,37	0,42
		Rp3	Oțel constr. carbon și aliat $\sigma_r = 65 \text{ daN/mm}^2$	$s_d \leq 0,1$	62,5	0,45	0,33
				$d > 0,1$	40,2	0,45	0,33
			Fontă maleabilă HB 150	$s_d \leq 0,1$	77,0	0,45	0,33
				$s_d > 0,1$	49,5	0,45	0,33
Aliaje cupru HB 150—200	$s_d \leq 0,1$		80,8	0,45	0,33		
	$s_d > 0,1$		52,0	0,45	0,33		
Fontă cenușie HB 180	$s_d \leq 0,15$		60,5	0,7	0,5		
	$s_d > 0,15$		28,3	0,7	0,5		
Freză disc	plană și în trepte de canelat	P10	Oțel de constr. carbon și aliat (crom și crom-nichel) $\sigma_r = 65 \text{ daN/mm}^2$	$s_d < 0,12$	1465	0,2	0,35
				$s_d \geq 0,2$	810	0,2	0,35
				$s_d < 0,06$	2000	0,2	0,35
				$s_d \geq 0,06$	757	0,2	0,35
	cu dinți demontabili	Rp3	Oțel const. carb. și aliat $\sigma_r = 65 \text{ daN/mm}^2$	$s_d \leq 0,1$	85,7	0,25	0,2
				$s_d > 0,1$	55,0	0,25	0,2
			Fontă maleabilă HB 150	$s_d \leq 0,1$	105,8	0,25	0,2
				$s_d > 0,1$	68,0	0,25	0,2
			Aliaje cupru HB 150—200	$s_d \leq 0,1$	110,9	0,25	0,2
				$s_d > 0,1$	71,4	0,25	0,2
			Fontă cenușie HB 180	—	89,4	0,2	0,15

8	9	10	11	12	13	14	15	16	17
0,23	0,19	0,13	0,14						
0,23	0,47	0,13	0,14						
0,23	0,19	0,4	0,14	2,8	0,1	1,0	0,8	0,9	1,0
0,23	0,47	0,4	0,14						
0,1	0,2	0,3	0,1	3,36					
0,1	0,4	0,3	0,1						
0,1	0,2	0,3	0,1	1,54	0,14	1,0	0,72	0,86	1,0
0,1	0,4	0,3	0,1						
0,1	0,2	0,3	0,1	1,16					
0,1	0,4	0,3	0,1						
0,3	0,2	0,5	0,3	1,49	0,17	1,0	0,65	0,83	1,0
0,3	0,6	0,5	0,3						
0,1	0,34	0,3	0,1	—	—	—	—	—	—
0	0,12	0,4	0	13,8	—0,1	0,85	0,7	0,8	1,0
0	0,4	0,4	0						
0,1	0,12	0,3	0	12,86	—0,1	1,1	0,8	0,9	0,9
0,1	0,4	0,3	0						
0,1	0,2	0,3	0,1	3,36					
0,1	0,4	0,3	0,1						
0,1	0,2	0,3	0,1	1,54	0,14	1,0	0,72	0,86	1,0
0,1	0,4	0,3	0,1						
0,1	0,2	0,3	0,1	1,16					
0,1	0,4	0,3	0,1						
0,1	0,4	0,5	0,1	1,49	0,17	1,0	0,65	0,83	1,0



1	2	3	4	5	6	7
mono-bloc cu dinți drepți		Oțel constr. carb. și aliat $\sigma_r = 65$	—	77,8	0,25	0,2
		Fontă maleabilă HB 150	—	95,8	0,25	0,2
		Aliaje cupru HB 150—200	—	100,8	0,25	0,2
		Fontă cenușie HB 180	—	75,5	0,2	0,15
Cu plăcuțe lipite	P 10	Oțel de construcție carbon	—	262	0,44	0,37
Cu coroană monobloc		$\sigma_r = 65 \text{ daN/mm}^2$	—	162	0,44	0,37
Cu plăcuțe lipite		Oțel de construcție crom-nichel	—	382	0,65	0,5
Cu coroană monobloc		$\sigma_r = 65 \text{ daN/mm}^2$	—	244	0,65	0,5
Freze cilindrice cu coadă	Rp 3	Oțel de construcție carbon și aliat $\sigma_r = 65 \text{ daN/mm}^2$	—	53,0	0,45	0,33
		Aliaje cupru HB 150—200	—	72,0	0,45	0,33
		Fontă maleabilă HB 150	—	68,5	0,45	0,33
		Fontă cenușie HB 180	—	75,5	0,7	0,25
		Oțel austenitic 13 NC 185	—	22,5	0,35	0,27

Tabelul 12.46 (continuare)

8	9	10	11	12	13	14	15	16	17
0,1	0,2	0,3	0,1	3,36					
0,1	0,2	0,3	0,1	1,54	0,14	1,0	0,72	0,86	1,0
0,1	0,2	0,3	0,1	1,16					
0,1	0,4	0,5	0,1	1,49	0,17	1,0	0,65	0,83	1,0
0,1	0,26	0,24	0,13						
0,1	0,26	0,24	0,13	0,615	0,27	1,0	0,75	0,85	1,13
0,18	0,28	0,32	0,23						
0,18	0,28	0,32	0,23						
0,1	0,5	0,5	0,1	3,36					
0,1	0,2	0,3	0,1	1,16	0,14	1,0	0,72	0,86	1,0
0,1	0,2	0,3	0,1	1,54					
0,3	0,2	0,5	0,3	1,49	0,17	1,0	0,65	0,83	1,0
0,03	0,48	0,21	0,1	4,2	0,14	1,0	0,6	0,75	1,0

Tabelul 12.46 (continuare)

1	2	3	4	5	6	7
Freze frontale	P10	Oțel de construcție carbon și aliat $\sigma_r = 65$	—	382	0,2	0,2
	K30	Fontă cenușie HB 180	—	396	0,2	0,32
		Fontă maleabilă HB 150	$s_d \leq 0,18$	825	0,22	0,33
			$s_d > 0,18$	577	0,22	0,33
		Oțel austenitic 13 NC 185	—	108	0,2	0,32
	Rp 3	Oțel de construcție carbon și aliat $\sigma_r = 65 \text{ daN/mm}^2$	$s_d \leq 0,1$	73,5	0,25	0,2
			$s_d > 0,1$	46,5	0,25	0,2
		Aliaje cupru HB 150—200	$s_d \leq 0,1$	95,0	0,25	0,2
			$s_d > 0,1$	60,4	0,25	0,2
		Oțel austenitic 13 NC 185	—	49,6	0,15	0,14
Freză pentru canelat și retezat	Rp 3	Oțel de construcție carbon și aliat $\sigma_r = 65 \text{ daN/mm}^2$	—	60,2	0,25	0,2
		Fontă maleabilă HB 150	—	74,0	0,25	0,2
		Aliaje cupru HB 150—200	—	78,0	0,25	0,2
		Fontă cenușie HB 180	—	31,4	0,2	0,15
	Rp 3	Oțel de construcție carbon și aliat $\sigma_r = 65 \text{ daN/mm}^2$	—	60,2	0,45	0,33
Freze profilate	Convexă	Concavă și unghiulară	—	50,0	0,45	0,33
Freze deget de canelat cu două tășuri	Rp3	Idem	—	13,6	0,3	0,26

\*) Concavă: 2,32; unghiulară: 1,92

8	9	10	11	12	13	14	15	16	17
0,2	0,4	0,1	0	40,7	—0,3	1,1	0,75	1,0	0,8
0,2	0,35	0,15	0	2,66	0	1,0	0,74	0,9	1,0
0,22	0,1	0,17	0	25,2	0,3	1,1	0,75	1,0	0,8
0,22	0,32	0,17	0						
0,2	0,3	0,06	0	11,2	—0,15	1,0	0,78	0,92	1,0
0,15	0,2	0,1	0,1	4,05					
0,15	0,4	0,1	0,1		—0,1	1,1	0,8	0,95	1,0
0,15	0,2	0,1	0,1	1,93					
0,15	0,4	0,1	0,1						
0,2	0,3	0,2	0,1	—	—	—	—	—	—
0,2	0,2	0,3	0,1	3,36		1,0	0,72	0,86	1,0
0,2	0,2	0,3	0,1	1,54	0,14				
0,2	0,2	0,3	0,1	1,16					
0,2	0,4	0,5	0,1	1,49	0,17	1,0	0,65	0,83	1,0
0,1	0,2	0,3	0,1	2,32	0,14	1,0	0,72	0,86	1,0
0,1	0,2	0,3	0,1	*)					
0	0,25	0,3	0	—	—	—	—	—	—

Tabelul 12.47  
Valoarea coeficienților de corecție  $k_{Mv}$  și  $k_{Mp}$  [24]

Materialul	Duritate $H_B$	$\sigma_r$ daN/mm <sup>2</sup>	$k_{Mv}$	$k_{Mp}$	Materialul	Duritate $H_B$	$\sigma_r$ daN/mm <sup>2</sup>	$k_{Mv}$	$k_{Mp}$
Freze frontale cu carburi metalice									
Oțel de construcție carbon, crom și nichel-crom		40-50	1,44	0,89	Oțel crom		40-50	1,48	0,89
		50-60	1,18	0,95			50-60	1,1	0,95
		60-70	1,00	1,00			60-70	0,88	1,00
		70-80	0,87	1,04			70-80	0,7	1,04
		80-90	0,76	1,09			80-90	0,59	1,09
Fontă cenușie		90-100	0,68	1,12	Oțel crom-nichel		90-100	0,44	1,11
		100-110	0,62	1,15			100-110	0,36	1,15
		130-150	1,38	0,78			40-50	1,39	0,89
		150-170	1,16	0,89			50-60	1,17	0,95
		170-190	1,00	1,00			60-70	0,95	1,0
Fontă maleabilă		190-210	0,88	1,11	Oțel nichel		70-80	0,79	1,04
		210-230	0,78	1,22			80-90	0,7	1,09
		230-250	0,70	1,33			90-100	0,49	1,12
		100-120	1,47	0,73			100-110	0,4	1,15
		120-140	1,19	0,87			110-120	0,34	1,18
Freze cilindrice cu carburi metalice		140-160	1,00	1,00	Oțel carbon de scule (C > 0,6%)		40-50	1,47	0,89
		160-180	0,85	1,13			50-60	1,2	0,95
		180-200	0,74	1,26			60-70	1,01	1,0
							70-80	0,88	1,04
							80-90	0,78	1,09
Oțel de construcție carbon, crom și nichel și nichel și oțel turnat		40-50	1,44	0,89			90-100	0,55	1,12
		50-60	1,18	0,95			60-70	0,8	1,0
		60-70	1,00	1,00			70-80	0,7	1,04
		70-80	0,87	1,04			80-90	0,64	1,09
		80-90	0,76	1,09			90-100	0,46	1,12
		90-100	0,67	1,12			100-110	0,37	1,15
		100-110	0,58	1,15					

Fontă cenușie	130-150	1,21	0,78	40-50	1,0	0,89
	150-170	1,09	0,88	50-60	0,76	0,95
	170-190	1,00	1,00	60-70	0,66	1,0
	190-210	0,92	1,11	70-80	0,58	1,04
	210-230	0,86	1,22	80-90	0,41	1,09
	230-250	0,8	1,33	90-100	0,34	1,12
				100-110	0,28	1,15
				110-120	0,27	1,18
Freze disc, cu carburi metalice						
Oțel de construcție carbon, crom și nichel		40-50	1,27	0,89	Oțel crom-molibden, crom-nichel-molibden, crom-aluminiu	
		50-60	1,12	0,95		
		60-70	1,00	1,00		
		70-80	0,91	1,04		
		80-90	0,84	1,09		
Freze cu coadă, cu carburi metalice		90-100	0,78	1,12	Oțel crom-mangan, crom-siliciu, crom-siliciu-mangan, siliciu-mangan	
		100-110	0,73	1,15		
		40-50	1,34	0,89		
		50-60	1,14	0,95		
		60-70	1,00	1,00		
Oțel de construcție crom-nichel		70-80	0,89	1,04	Oțel crom-nichel-volfam	
		80-90	0,81	1,09		
		90-100	0,74	1,12		
		100-110	0,68	1,15		
		60-70	1,00	1,00		
Freze din oțel rapid, diverse		70-80	0,82	1,04	Fontă maleabilă	
		80-90	0,69	1,09		
		90-100	0,59	1,12		
		100-110	0,51	1,15		
		30-40	0,74	0,83		
Oțel de construcție carbon (C < 0,6%) <sup>1</sup>		40-50	0,91	0,89	Fontă cenușie	
		50-60	1,16	0,95		
		60-70	1,00	1,00		
		70-80	0,88	1,04		
		80-90	0,79	1,09		

Tabelul 12.47 (continuare)

Materialul prelucrat			Duritatea HB	$k_{Mv}$
Aliaje de cupru	Eterogene	Duritate mare	150—200	1,0
		Duritate medie	100—140	1,43
	De plumb, cu structură de bază eterogenă		70—90	2,4
	Omogene		60—90	2,85
	Cu conținut de plumb sub 10% cu structură de bază omogenă		60—80	5,7
	Cupru		60—70	11,4
	Cu conținut de cupru peste 15%		35—45	17,0

Tabelul 12.48

Coeficientul de corecție în funcție de starea suprafeței  $k_{cv}$  [24]

Felul suprafeței		Materialul prelucrat	$k_{cv}$
Fără crustă	Laminat, forjat	Oțel	1,0
	Turnat	Oțel	0,9
	Turnat	Fontă, aliaje ale cuprului	1,0
Pe crustă	Laminat la cald		0,9
	Forjat	Oțel	0,8—0,9
	Turnat		0,75—0,85
	Turnat	Fontă	0,7—0,8
	Turnat	Aliaje ale cuprului	0,9—0,95
	Pe crustă cu impurități de turnare	Oțel și fontă	0,5—0,6
		Aliaje ale cuprului	0,7—0,8

Tabelul 12.49

Coeficientul de corecție în funcție de materialul sculei  $k_{sv}$  [24]

Calitatea materialului considerat în norme (tabele)		P 10		K 30		Rp 3	
Calitatea efectivă a materialului sculei		P 20	P 30	K 10	K 20	Rp 4	OSC 10 OSC 12
Coeficientul de corecție $k_{sv}$	Toate tipurile de freze, exclusiv freze cu coadă	0,94	0,65	1,32	1,2	0,9	0,5 și mai mic
	Freze cu coadă		0,75				

Tabelul 12.50

Coeficientul de corecție în funcție de unghiul de atac  $\alpha$  [24]

Materialul frezei	Materialul prelucrat	Unghiul de atac principal $\chi$ , grad							
		90		60		30		15	
		Valorile coeficientului							
		$k_{\chi v}$	$k_{\chi p}$	$k_{\chi v}$	$k_{\chi p}$	$k_{\chi v}$	$k_{\chi p}$	$k_{\chi v}$	$k_{\chi p}$
Carburi metalice	Oțel, crom inoxidabil	0,86	1,14	1,0	1,0	1,28	1,15	1,6	1,23
	Fontă Oțel inoxi- dabil	—	—	1,0	—	1,2	—	—	—
Oțel rapid	Oțel, crom inoxidabil	0,89	—	1,0	—	1,18	—	1,34	—
	Oțel inoxi- dabil	—	—	1,0	—	1,25	—	—	—

Tabelul 12.51

Coeficientul de corecție în funcție de  $\gamma$ , pentru carburi metalice [24]

Unghiul de degajare $\gamma$ în grad	—10	0	10
Coeficientul de corecție $k_{\gamma P}$	1,0	0,89	0,79

Tabelul 12.52

Coefficientul de corecție în funcție de utilizarea fluidului de așchiere

Materialul prelucrat	Cu fluid	Fără fluid
	$k_{wv}$	
Oțel	1,0	0,5
Fontă	—	1,0

Tabelul 12.53

Valoarea lui  $C_v$  și  $T$  la frezarea filetului [24]

Unghiul $\gamma$	Criteriul de uzură	Materialul prelucrat	$C_v$	Durabilitatea	
				$D_s$ , mm	$T$ , min
5°	Pentru $p \leq 1,25$ mm, $h_\alpha = 0,15-0,25$ mm;	Oțel carbon, $\sigma_r = 75$	25,6	10	90
		Oțel crom și crom-nichel, $\sigma_r = 75$ daN/mm <sup>2</sup>	22,2	20 40	90 120
	pentru $p \leq 1,75$ mm, $h_\alpha = 0,2-0,3$ mm;	Oțel 31 CMS 10, $\sigma_r = 75$ daN/mm <sup>2</sup>	19,1	>40	180
	pentru $p > 1,75$ mm, $h_\alpha = 0,25-0,35$ mm	Oțel aliat călit și revenit HRC $\leq 42$	10,2		
	$h_\alpha = 0,8-1,0$ mm	Fontă cenușie HB 140-180	140	65	200

de finisare (tabelul 12.55). Condițiile tehnice sînt date în STAS 6663-62 pentru freze cu alezaj, STAS 7605-66 pentru freze cu coadă și STAS 6664-62 pentru freze cu dinți demontabili din oțel rapid.

Frezele cu alezaj cilindric se fixează pe dornuri portfreză cu pană sau antrenor frontal STAS 3338-66.

**Dimensionarea frezelor. Freze cilindrice** (fig. 12.115). Dornul frezei este solicitat la încovoiere și răsucire, dimensionându-se cu relația  $d = \sqrt[3]{10M'/\sigma_{td}}$ , în care  $M' = \sqrt{M_t^2 + \alpha_0^2 M_f^2}$ ,  $\alpha_0 \approx 1$ ,  $M_t = Rl$ , în cazul cînd dornul se încastrează la un capăt sau  $M_t = 3Rl/16$  cînd se încastrează la un capăt și se reazemă la celălalt,  $M_t = 0,5 F_z D$ ,  $R = \sqrt{F_x^2 + F_y^2} = F_z \sqrt{1 + k_x^2}$ ,  $l$  — lungimea dornului,  $D$  se poate lua la calculul prealabil  $t_1/D = 0,05$  [38, p. 140 și 296]. Dornul se verifică și la deformare, cu relația (12.40), în care  $F_f = 4 \cdot 2,15 \cdot 10^4 f_{adm} \cdot d^4/l^3$  [mm].

Diametrul frezei:  $D = d + 2m_0 + 2h$ , în care  $m_0 = (0,3 \dots 0,5)d$  [55], respectiv  $m \approx 0,4 d$  [38];  $h$  (înălțimea dinților), se poate lua  $h = 0,6$  pentru dinți dreپți și  $h = (0,3 \dots 0,4)p$  pentru dinți elicoidali; în aceste relații  $p = \pi D/z$ ,  $z = m \sqrt{D}$ ,  $m = 1,05$  pentru freze cu dinți rari cu  $\lambda \leq 30^\circ$ ;  $m = 2$  pentru freze cu dinți deși și  $\lambda = 15-20^\circ$ ;  $m = 0,9$  pentru freze asamblate, cu dinți rari  $\lambda = 20^\circ$ ;  $m = 0,8$  pentru freze asamblate, cu dinți rari și  $\lambda = 45^\circ$ ;  $m = 0,5$  pentru freze asamblate, cu dinți rari și  $\lambda = 55-60^\circ$ . La prelucrarea fontei,  $z$  poate fi mărit cu 50%.

În contact cu materialul prelucrat, trebuie să fie minimum doi dinți:  $z_{min} > 720/\psi$ , în care  $\psi$  este unghiul de contact și are valoarea  $\cos \psi = 1 - 2t_1/D$ . Dacă această condiție nu este respectată, se prevăd dinți elicoidali. În acest caz, unghiul de înclinare al dinților se calculează din condiția de uniformitate.

În general,  $D = (2,5 \dots 3)d$  și este bine ca  $D$  să fie cît mai mic. Pentru  $D > 75$  mm, se recomandă proiectarea de freze cu dinți demontabili.

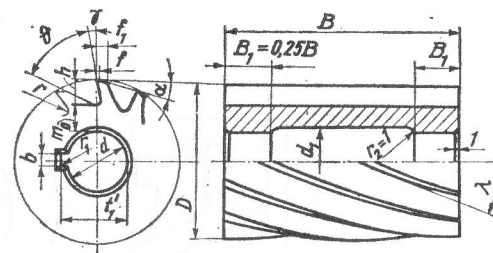


Fig. 12.115. Freză cilindrică

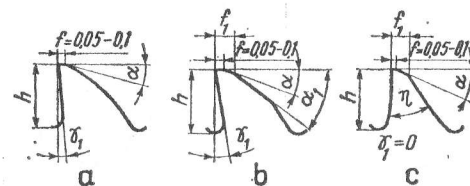


Fig. 12.116. Geometria dinților frezei:

a — parabolică; b — dinți rari; c — dinți deși

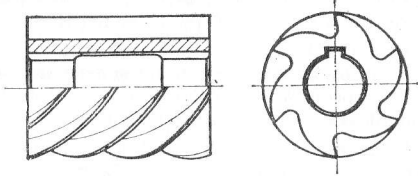
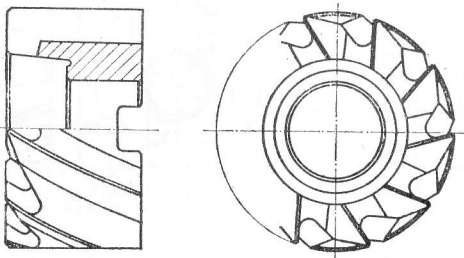
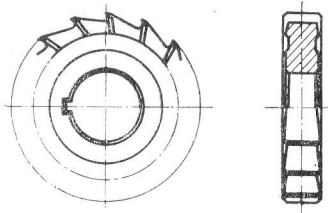
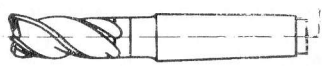
Forma dinților poate fi parabolică (fig. 12.116,a) solid de egală rezistență, sau în trepte urmărind conturul parabolic; cu două unghiuri (fig. 12.116,b), pentru degroșare (dinți rari); cu un unghi (fig. 12.116,c), pentru finisare (dinți deși). Se ia:  $f = 0,05-0,1$  mm,  $f_1 = 1-2$  mm,  $\alpha_1 = 20-30^\circ$ ,  $\theta = 45^\circ$ ;  $50^\circ$ ;  $55^\circ$ ; ... și așa etc. din 5 în 5° pînă la  $110^\circ$ , în funcție de sculele de ordinul doi existente; raza de racordare a fundului canalului,  $r \geq \sqrt{(3 \dots 4) t_1 s_d/\pi}$ . Reascuțirea se face pe fața de așezare.

Restul elementelor:  $d_1$  (de la alezaj) =  $d + (1-2)$  mm;  $r_2 = 1$  mm; teșirea la capătul alezajului (0,5-1) mm la  $45^\circ$ ; lungimea degaiării interioare,  $B/2$ ,  $B$  fiind lățimea frezei.



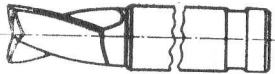
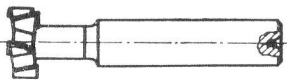
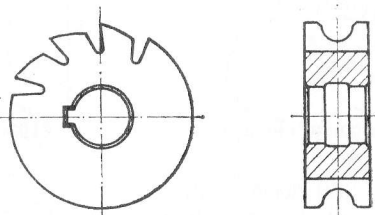
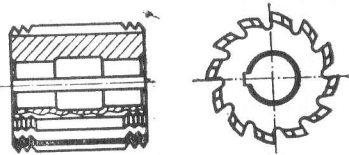
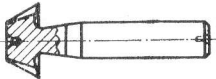
Tabelul 12.54

Nomenclatorul frezelor standardizate (din oțel rapid) (STAS 4705-65)

Forma frezei	Construcția	
	Schița	
Cilindrică		
Cilindro-frontală cu alezaj		
D i s c		
Cilindro-frontală cu coadă		

frezei			Geometria frezei			Diametrul exterior <i>D</i>
Felul frezei		STAS	$\alpha$	$\gamma$	$\lambda$	
Cu dinți rari		578-67	16°	15°	40°	50-100
Cu dinți normali			16°	15°	30-35°	40-100
Pentru aliaje ușoare		2216-67	18-20°	15°	45°	50-100
Cuplată		4460-66	16°	15°	45°	63-100
Cu dinți demontabili	Simplă	(GOST-1979)	12°	15°	20°	75-150
	Compusă		12°	15°	45°	75-200
Cu dinți rari		2217-66	14°	15°	25°	63-100
Cu dinți normali		579-66	14°	15°	15°	40-100
Pentru aliaje ușoare		8193-68	20°	15°	50°	50-80
Cu dinți demontabili (dinții: STAS 6309-66)		6308-67	12°	15°	10°	80-250
Pentru canale		580-67	20°	15°	—	50-100
Detalonată pentru canale		2214-65	~11°	10°	—	50-100
Cu trei tășuri		2215-67	20°	15°	—	50-100
Cu trei tășuri cu dinți în zigzag		3861-67	12°	15°	±15°	63-125
Cu trei tășuri cu dinți demontabili în zigzag		4083-66	12°	15°	±8°-15°	100-315
Coadă cilindrică	dinți rari	1684-67	14°	10°	30°	3-12
	dinți norm.					3-20
Coadă conică	dinți rari	1683-67	14°	10°	35°	14-50
	dinți norm.				30°	14-50

Tabelul 12.54 (continuare)

Forma frezei	Construcția	
	Schița	
Pentru canelat		
Cilindro-frontală pentru canale		
Profilată		
Unghiulară		
Pentru filet metric		

frezei	STAS	Geometria frezei			Diametrul exterior, D
		$\alpha$	$\gamma$	$\lambda$	
Coadă cilindrică	1680-67	8°	0°	20°	2-20
Coadă conică	1681-67	8°	0°	20°	16-40
Pentru canale T	1682-66	15°	10°	15°	6-54
				10°	6-22
Pentru canale pene disc	5257-66	15-20°	5-10°	0° sau $\pm 15^\circ$	4-45
Semirotundă convexă	3546-67	$\sim 10^\circ$	5°	—	50-112
Semirotundă concavă	3540-67	$\sim 10^\circ$	5°	—	56-112
Semiconcavă	3545-67	$\sim 10^\circ$	5°	—	56-112
Conică cu coadă cilindrică	5145-67	15-20°	5°	—	10-25
Conică cu alezaj	3541-66	16°	10°	—	40-63
Biconică	3542-67	12°	10°	—	40-80
Simetrică	5651-67	15°	—	—	63-100
Pentru canelarea frezelor detalonate cu dinți drepți	3543-67	12°	10°	—	63-100
Cu coadă	5258-65	$\sim 10^\circ$	4°	0° sau max 7°	10-25
Cu alezaj	3379-65				32-100

Freză cu coadă, pentru finisare, cu dinți aplicați		$z_1 = 0$ pentru lățimea $b_0$ ; $b_0 = (4...6)s_r$ ; $z_1 = 2^\circ$ $s_r$ = avansul pe rotație
Freză frontală cu dinți de finisare, pentru prelucrarea fină a fontei		$z_1 = 2^\circ$ ; $b_1 > s$ , dar nu mai puțin de 30 mm. Numărul de dinți suplimentari de finisare: $D \geq 250$ mm, $z = 2$ ; $D < 250$ mm, $z = 1$ .
Freză frontală cu dinți de finisare, pentru prelucrarea fină a oțelului		$z_1 = 2^\circ$ ; $z_1' = -(6'...20')$ ; $b_1 > s$ , dar nu mai puțin de 30 mm. Numărul de dinți suplimentari de finisare: $D \geq 250$ mm, $z = 2$ ; $D < 250$ mm, $z = 1$ .

**Freze frontale.** Pentru frezele cu dinți deși, se adoptă varianta monobloc. Se consideră:  $D = (1,25 \dots 1,5) t_f$ , dar lățimea frezei nu mai mică decât  $D/2$ . După determinarea lui  $D$ , se determină diametrul dornului  $d$  și se face verificarea și la frezele cilindrice. Numărul de dinți se calculează cu formula  $z = 2\sqrt{D}$ . Forma dinților se realizează conform fig. 12.116 c, cu parametrii:  $\alpha = 15^\circ$ ,  $\gamma = 12 \dots 14^\circ$ ,  $r = 0,8 \dots 1$  mm,  $f_1 = 1,5$  mm,  $f = 0,03 \dots 0,05$  mm,  $\lambda = 15^\circ$ .

La frezele cu dinți rari se recomandă ca aceștia să fie demontabili, sau cînd este posibil, roțile se vor turna. Numărul de dinți,  $z = 1,2 \sqrt{D}$ . Frezele cu diametrul mare se execută cu dinți demontabili conform STAS 6308-67.

**Freze cilindro-frontale cu coadă.** Se calculează ca și frezele cilindrice. Diametrul se determină cu formula  $t_f/D \leq 0,5$ . Apoi se face verificarea valorii adoptate pentru  $D$ . Pentru canelat, se construiesc freze speciale, STAS 1680-67 și 1681-67.

**Freze cu coadă pentru canale T** (fig. 12.117). Diametrul se ia egal cu dimensiunea nominală a canalului  $T$ . Diametrul dornului,  $d = D - 2(t' + \Delta)$ , în care  $t'$  este adinci-

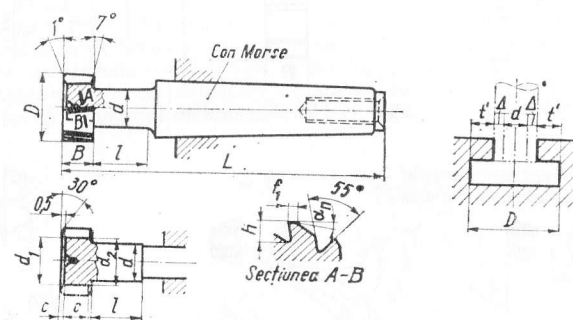


Fig. 12.117. Freză cu coadă pentru canal T

mea canalului,  $\Delta$  — jocul dintre dorn și canal ( $\Delta \approx 2,5$  mm). Urmează verificarea dornului, respectiv stabilirea regimului de așchiere.

**Freze disc** (fig. 12.118). Diametrul,  $D = d + 2t' + 2,7,5 + 2,2,5$  mm, în care  $t'$  este adincimea canalului de prelucrat; 7,5 mm — grosimea inelului de distanțare; 2,5 mm — jocul dintre inel și semifabricat. Diametrul dornului  $d$  se determină ca și la frezele cilindrice. Inițial, se ia  $t_f/D = 0,2$  pentru  $t = t_f$ . Pentru micșorarea frecării, se prevede o subțiere laterală  $\alpha_1 = 0^\circ 30'$ .

Frezele disc se pot executa: cu dinți deși,  $z = m \sqrt{D}$  pentru finisare sau canale puțin adînci și cu dinți rari,  $z = 2 \sqrt{D}$ .

Pentru îmbunătățirea așchierii, se pot prevedea dinți înclinați, la unghiul  $\lambda$ , sau dinți în zig-zag, STAS 3861-67.

Frezele disc de dimensiuni mari se execută cu dinți demontabili, STAS 4083-66.

**Freze unghiulare.** Proiectarea acestora se face stabilindu-se diametrul dornului, pe baza solicitărilor, apoi, pe baza diametrului dornului și adîncimii de frezare, se stabilește diametrul frezei. Numărul de dinți,  $z = (2,8 \dots 2,5) \sqrt{D}$ , numărul mai mare se ia pentru frezele cu diametrul mai mic. Pe desenul frezei se indică și unghiul la care se înclină axul capului divizor, la execuția danturii acesteia. Pentru freze plane (fig. 12.119),

$\cos A = \operatorname{tg} \delta \operatorname{ctg} \theta$  în care  $\delta$  este pasul danturii, iar  $\theta$  — unghiul frezei de ordinul doi; înălțimea dinților va fi  $h = R \cos A$ , în care  $R = D/2$ . Pentru freza conică (fig. 12.119, b),  $A = A_1 - A_2$ , în care  $A_1 = \cos \delta \operatorname{ctg} \varphi$  și  $\sin A_2 = \operatorname{ctg} \operatorname{tg} \delta \sin A_1$ , iar  $\varphi$  — unghiul frezei; înălțimea dinților va fi  $h = R \cos (A + \varphi) / \cos \varphi$  respectiv  $H = h / \cos A$ .

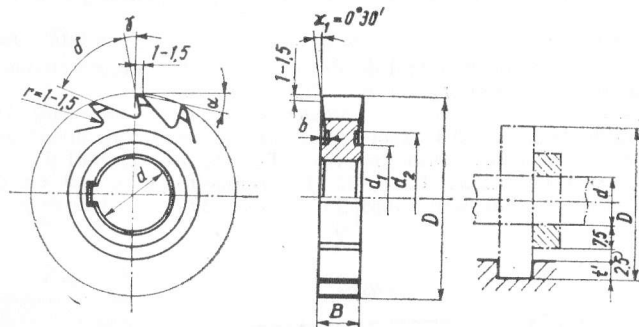


Fig. 12.118. Freză disc.

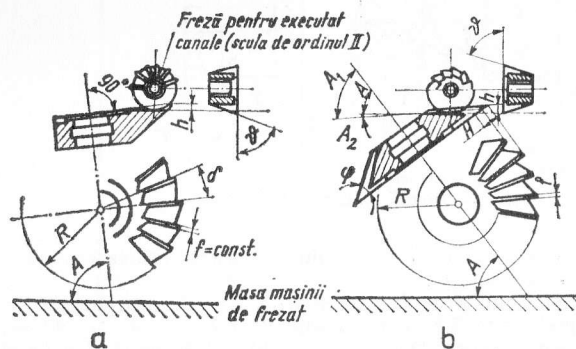
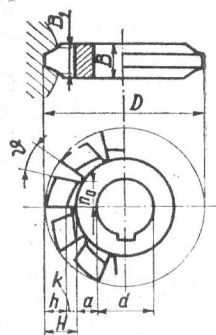
Fig. 12.119. Poziționarea frezei conice la danturare:  
a — freză plană; b — freză conică

Fig. 12.120. Freză detalonată

Freze detalonate (fig. 12.120). Diametrul:  $D = d + 2a + 2b + 2k + 2h$ , în care  $d = k' \sqrt[4]{h \sqrt{B}}$ ,  $h$  — înălțimea profilului frezei,  $k = \pi D \operatorname{tg} \alpha / z$  adâncimea de detalonare,  $B$  — lățimea frezei,  $\alpha$  — unghiul de așezare,  $z$  — numărul de dinți,  $k'$  — coeficient (pentru freză încastrată într-o parte:  $k' = 8$  — pentru așchii subțiri,  $k' = 10$  — pentru așchii groase și în general eforturi mari; pentru freză încastrată și sprijinită:  $k' = 7$  — așchii subțiri,  $k' = 9$  — așchii groase). Corpul frezei:  $m_0 = 0,4 \sqrt{B_1 / B d}$ , în care  $B_1$  este lățimea profilului prelucrat. Numărul de dinți:  $z = \pi D / p$ , în care pasul danturii are valoarea  $p = (1,3 \dots 1,8)H$  pentru finisare și  $p = (1,8 \dots 2,5)H$  pentru degroșare; iar  $H = h + k + r \approx$

$\approx h_1 + (5 \dots 10)$  mm, unde  $h_1$  este înălțimea profilului piesei (de observat că  $h = h_1 + 1 \dots 5$  mm, luându-se în considerare variația adaosului prelucrat). Valorile lui  $z$  se pot lua și din tabelul 12.56. Raza de racordare de la fundul canalului:  $r = \pi D / (10 z)$ ; în general  $r = 0,5 \dots 2$  mm și se va avea grijă ca așchiile să încapă în canal:  $r \geq \sqrt{(3 \dots 4) t_s d / \pi}$ .

Tabelul 12.56

Numărul de dinți  $z$  al frezelor profilate (P. R. Rodin)

$D$ , mm	40—45	50—55	60—75	80—105	110—125	130—140	150—210
$z$	16	14	12	11	10	9	8

Grosimea de înțepenire a dintelui,  $n_0 = (0,8 \dots 1)H$ ; în cazul cînd nu este satisfăcută această relație, canalul se va construi cu înălțimea variabilă (fig. 12.121). Dacă spatele dintelui se rectifică, se prevede o detalonare dublă:  $k_1 = (1,2 \dots 1,5)k$  (fig. 12.122). Este necesar ca în contact cu piesa să prelucereze minimum doi dinți:  $z_{\min} \geq 720 / \psi$ , în care  $\cos \psi = 1 - 2t/D$ , iar  $\psi$  — unghiul de contact. În caz contrar, se prevăd dinți elicoidali.

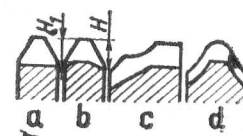


Fig. 12.121. Canal cu adâncime variabilă

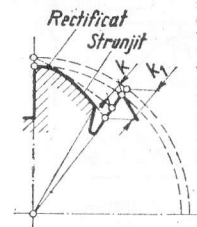


Fig. 12.122. Datalonare dublă

În ceea ce privește profilul frezei, dacă  $\gamma = 0$ , profilul este identic cu al piesei. Dacă  $\gamma \neq 0$ , atunci, între profilul piesei și al frezei (considerat într-un plan axial, ceea ce este același lucru cu profilul cuțitului de ordinul doi cu care se execută detalonarea — în cazul cînd acesta are  $\gamma = 0$ ), există diferența<sup>1</sup>  $l_x = k \varphi_x z / 360^\circ$ , în care  $k$  este adâncimea de detalonare,  $z$  — numărul de dinți,  $\varphi_x$  — valoarea unghiului curent (fig. 12.123). În acest caz, se introduce o eroare teoretică neglijabilă, considerîndu-se curbele  $T-P_1$  ca arce de cerc, în loc de ortocicloide..

Pentru un profil particular, trapezoidal (fig. 12.124), înălțimea profilului va avea valoarea  $h_{fx} = h_{px} - l_x$ , în care  $h_{px}$  este înălțimea profilului piesei,  $l_x = k \varphi_x z / 360^\circ$ , iar  $\varphi_x$

<sup>1</sup> H. Kottsieper: Profilberichtigung an Hinterdrehteiseln, In Werkstattstechnik der Betrieb, nr. 6/1943.





*Freze profilate cu dinți frezați.* Acestea permit, de asemenea, un unghi de așezare mare. Necesită însă dispozitive și șabloane, pentru frezarea, ascuțirea și reascuțirea pe fața de așezare.

*Freze pentru așchiera avansată.* În scopul măririi productivității, se construiesc freze cu plăcuțe din carburi metalice: cilindrice, cilindro-frontale, disc (fig. 12.128).

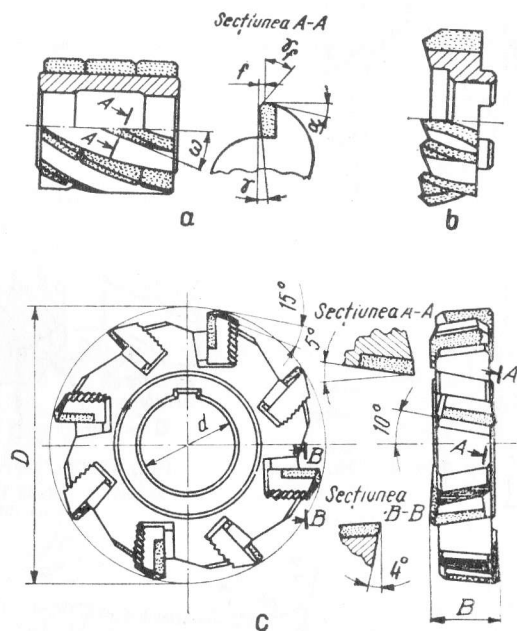


Fig. 12.128. Freze cu plăcuțe din carburi metalice:

a — cilindrică; b — cilindro-frontală; c — disc

De asemenea, freze pentru canale  $T$ , freze cilindro-frontale cu coadă, freze cu coadă pentru canelat, freze unghiulare (fig. 12.129). În cazul prelucrării intensive (cu avans mare), se ia unghiul de atac secundar nul.

*Capete de frezat.* Pentru prelucrarea suprafețelor mari, pe mașini-unelte puternice și rigide, se utilizează capete de frezat, al cărui corp este construit din oțel, oțel turnat sau aluminiu, iar partea așchietoare din cuțite de oțel rapid sau prevăzute cu plăcuțe din carburi metalice lipite. În ultimul timp, se utilizează capete cu plăcuțe amovibile cu 4 sau 6 laturi, care se aruncă după uzura pe toate tășurile acestora. Se fixează în suporturi reglabili în direcție radială sau axială sau prin pene (fig. 12.130 [47]).

În tabelul 12.57, se dă numărul de cuțite ale capetelor de frezat [33]. Tipul  $U$ , cu număr relativ mic de tășuri este pentru materiale moi și mijlocii. În cazul materialelor

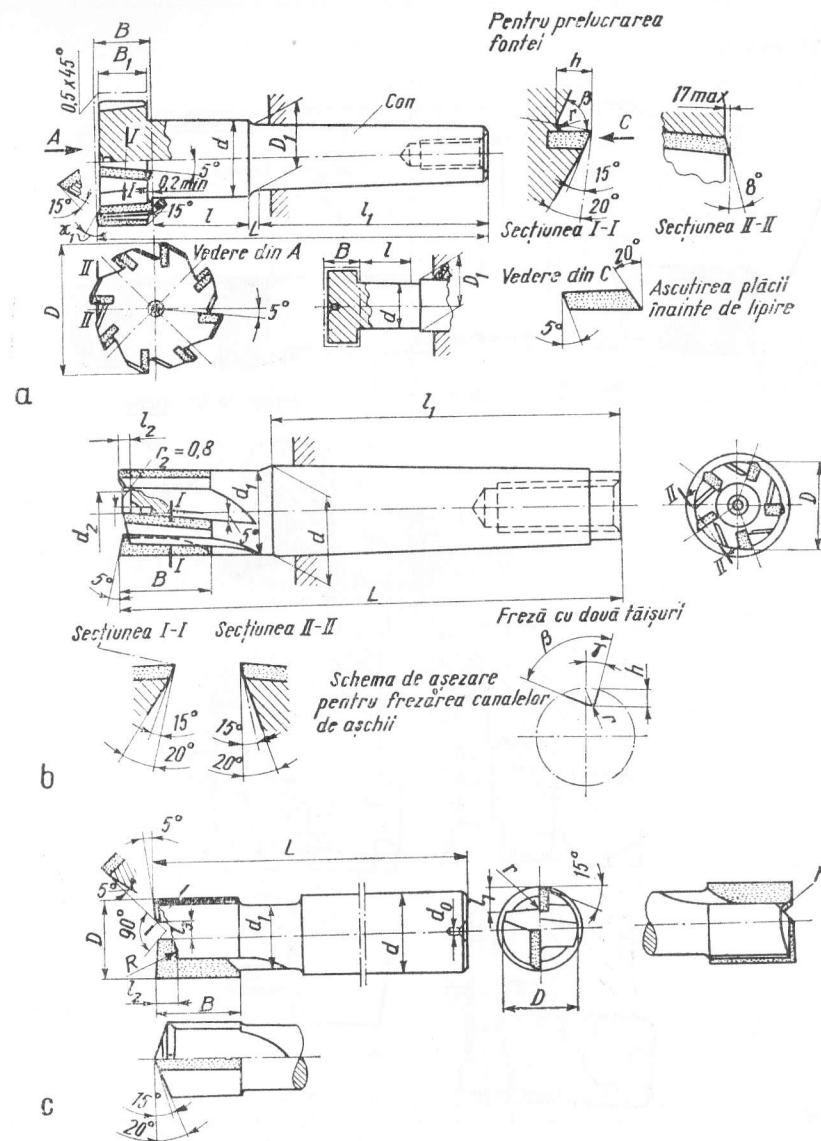


Fig. 12.129. Freze cu plăcuțe din carburi metalice:

a — pentru canale  $T$ ; b — cilindro-frontală cu coadă; c — pentru canelat

Tabelul 12.57

Numărul de tăisuri ale capetelor de frezat [33]

D	< 100		160		200		250		355		500	
U	6	8	8	10	10	12	12	16	16	20	20	24
M	10	12	12	14	14	16	16	18	20	26	24	32
T	12	14	16	18	20	22	24	28	34	40	42	50

deosebit de moi, se poate scoate fiecare al doilea dinte. Tipul *T*, cu număr maxim de dinți, pentru solicitări mari, în cazul fontei și materialelor asemănătoare. Tipul *M*, număr mijlociu de dinți, pentru materiale dure și de duritate mijlocie.

Corelația dintre toleranța frezei și toleranța piesei. Mărima toleranței frezei (și acest lucru este valabil la orice sculă) se ia  $T_p/3 \dots 4$ ; în unele cazuri, de exemplu la alezare, se merge până la  $T_p/5$ , în funcție de tehnicitatea sculăriei. Plasarea cimpului

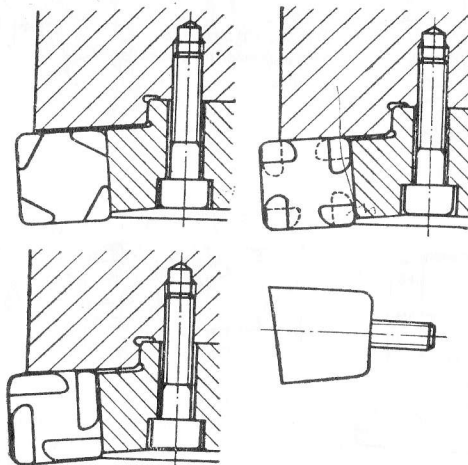
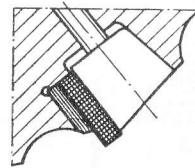
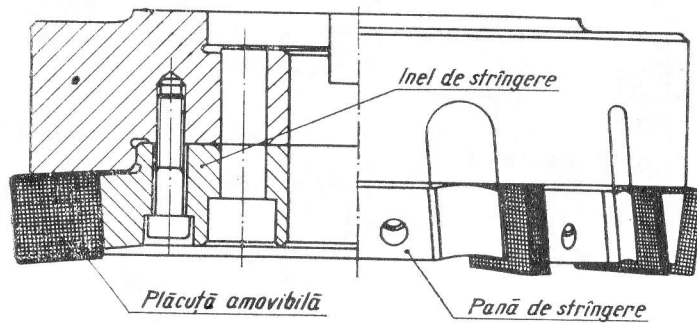


Fig. 12.130. Cap de frezat [33]

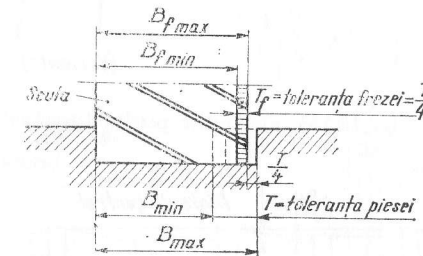


Fig. 12.131. Precizia sculei așchietoare

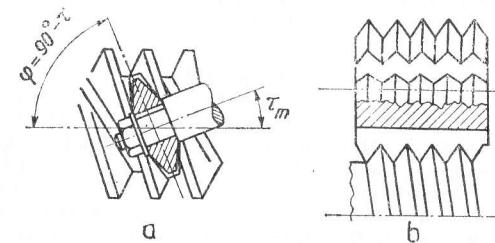


Fig. 12.132. Freze pentru filet:

a — filete lungi; b — filete scurte

de toleranță alsculei se face astfel încât să existe o rezervă pentru uzura sculei (fig. 12.131); se lasă întotdeauna o majă de siguranță, luându-se în considerare deformările, vibrațiile etc.

12.2.7.4. FREZE PENTRU FILETAT. Se deosebesc: freze-disc, pentru prelucrat filete lungi (fig. 12.132, a) și freze-pieptene pentru prelucrat filete scurte (fig. 12.132, b).

**Freze-disc.** Diametrul (fig. 12.133),  $D \approx 2(h_f + l_{min} + a_{min}) + (2 \dots 3) \text{ mm}$  [mm]. Numărul de dinți se determină din condiția ca în contact să se găsească minimum doi dinți,  $z_{0min} = \psi/\delta = 2$ ,  $\delta = 360^\circ/z$ ,  $\cos \psi = 1 - [(r^2 - r_1^2)/2R(R + r_1)]$ , unde  $R = D/2$ ,  $r$  este raza exterioară a filetului și  $r_1$  — raza interioară a filetului. Dinții se fac frezați și așchiază alternativ, se prevede un dinte de control, (fig. 12.134).

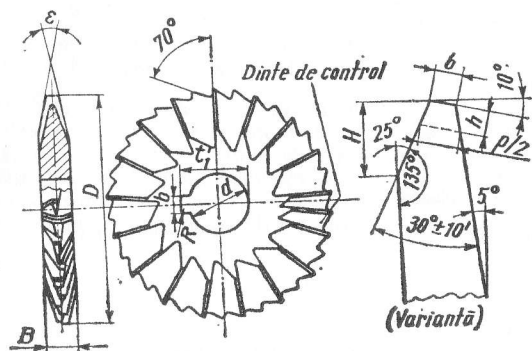


Fig. 12.133. Freză-disc pentru filet

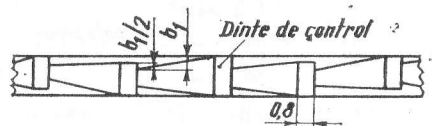


Fig. 12.134. Plasarea alternantă a dinților frezei

Profilul frezei se determină grafic [38, p. 322].

**Freze — pieptene.** Diametrul:  $D = 6,32 p^{1,46}$  [mm] — pentru freze cu coadă (STAS 5258-67) și  $D = 18,5 p^{0,7}$  [mm] — pentru freze cu alezaj (STAS 3379-67); la ultimele este necesar ca  $D > d + 2m_0 + 2H$  [mm], în care  $d$  este diametrul alezajului,  $H$  — înălțimea totală a dinților frezei,  $m_0 = (0,3 \dots 0,4) d$ . Pentru filetele interioare se poate face pentru  $d_i > 14 \text{ mm}$ . Lățimea frezei:  $B = L + (2 \dots 3)p$  [mm], în care  $L$  este lungimea piesei filetate; în general,  $B = 1,25 D$  pentru freze cu coadă și  $B = D$  pentru freze cu alezaj fixate într-o parte sau  $B = (1,5 \dots 2)D$  — pentru freze cu alezaj fixate în două părți.

Dinții se construiesc detalonati,  $\alpha = 8 \dots 12^\circ$ ; în cazul frezelor rectificate, se prevede detalonare dublă,  $k_1 = 1,5 k$ . Numărul de dinți,  $z = 1,75 \sqrt{D}$ . Unghiul de degajare  $\gamma = 3^\circ$  pentru oțel dur,  $\gamma = 5 \dots 10^\circ$  pentru oțel de duritate mijlocie și  $\gamma = 12 \dots 30^\circ$  pentru aluminiu și aliaje ușoare. Adâncimea canalului,  $H = t_2 + k + r$  — pentru freze nerectificate și  $H = t_2 + [(k + k_1)/2] + r$  — pentru freze rectificate, în care  $t_2$  este înălțimea nominală a filetului,  $r$  — raza de racordare la fundul canalului. Unghiul canalului,

$\theta = 45^\circ$  când  $D \leq 30 \text{ mm}$  și  $\theta = 35 \dots 30^\circ$  când  $D > 30 \text{ mm}$ . Canalele pot fi drepte ( $\lambda = 0$ ) sau înclinate ( $\lambda = 5 \dots 15^\circ$ ); în ultimul caz, apar deformări suplimentare ale filetului.

Profilul filetului se determină analitic [41, p. 350].

## 12.2.8. BURGHIEREA, LĂRGIREA, ADÎNCIREA, LAMAREA ȘI ALEZAREA

**12.2.8.1. MAȘINI DE GĂURIT.** Se deosebesc: mașini de găurit de masă (fig. 12.135 [16]), mașini de găurit cu coloană (fig. 12.136 [16]), mașini de găurit cu montan

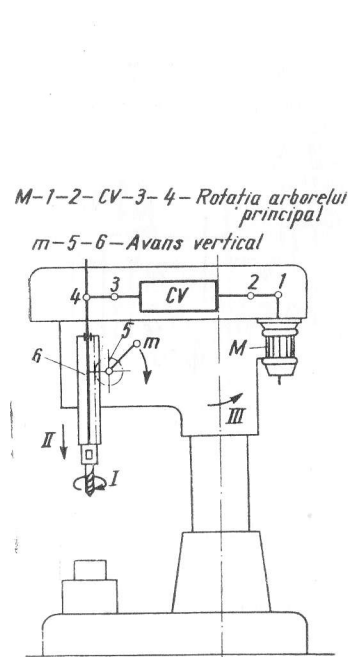


Fig. 12.135. Mașină de găurit de masă [16]

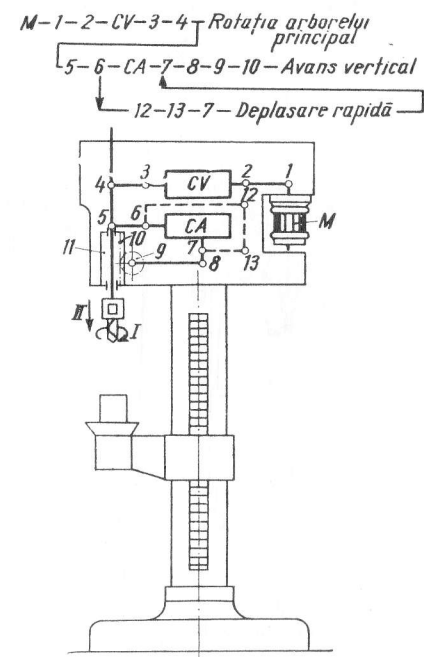


Fig. 12.136. Mașină de găurit cu coloană [16]

(fig. 12.137 [16]), mașini de găurit radiale (fig. 12.138 [51]), mașini de găurit în coordonate (fig. 12.139 [16]).

Structura cinematică a acestor mașini constă dintr-un lanț cinematic pentru mișcarea principală și un lanț cinematic de avans, care primește mișcarea din lanțul cinematic

principal. În cazul mașinii de găurit cu coloană (fig. 12.136), ca exemplu, ecuațiile cinematice vor fi:

$$n_s = n_{M1-2} i_{CV} i_{3-4} \text{ [rot/min]},$$

$$s = n_{M1-2} i_{CV} i_{3-4} i_{5-6} i_{CA} i_{7-8} i_{9-10} \pi m_9 z_9 \text{ [mm/rot]}.$$

În cazul mașinii de găurit prin coordonate (fig. 12.139), există și lanțuri cinematice de poziționare transversală a capului portsculă ( $M_1 - 11 - 12$ ), verticală a traver-

$M_1-2-CV-3-4$ —Rotația arborelui principal  
 $5-6-CA-7-8-9-10$ —Avans vertical  
 $11-12-7$ —Deplasare rapidă

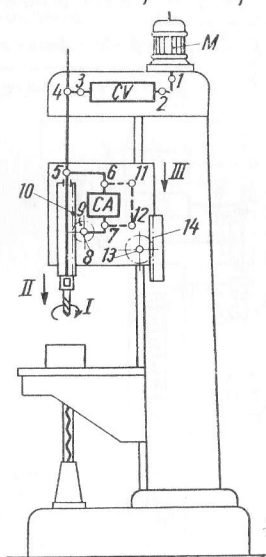


Fig. 12.137. Mașină de găurit cu montanț [16]

$M_1-2-CV-3-4$ —Rotația arborelui principal  
 $5-6-CA-7-8-9-10$ —Avans vertical  
 $12-13-7$ —Deplasare rapidă  
 $M_2-16-17-18-19$ —Deplasarea verticală a brațului  
 $m-14-15$ —Deplasarea manuală orizontală a saniei de găurire

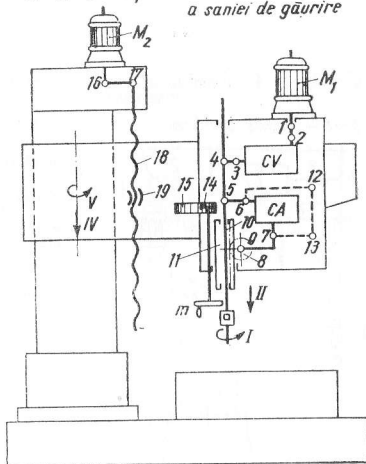


Fig. 12.138. Mașină de găurit radială [16]

sei mobile ( $M_2 - 13 - 14 - 15 - 16$ ) și de deplasare longitudinală a mesei ( $M_3 - 17 - 18 - 19 - 20$ ).

**12.2.8.2. MAȘINI DE ALEZAT ȘI FREZAT ORIZONTALE** În fig. 12.140, se dă schema principală constructivă și cinematică a unei mașini orizontale. Ecuațiile cinematice:

— mișcarea principală de rotație a arborelui principal

$$n_i = n_{M1} i_{1V} T i_2 i_3 i_4 \text{ [rot/min]};$$

— mișcarea secundară de avans a arborelui principal

$$s'_{xAP} = n_{M1} i_{1V} T i_2 i_3 i_4 (A_1/B_1) i_{41} i_{13} i_{35} i_{36} i_{37} i_{38} i_{39}^t X_{AP} \text{ [mm/min]}$$

$$\text{sau } s_{xAP} = s'_{xAP} / n_i \text{ [mm/rot]};$$

$M_1-1-2-CV-3-4$ —Rotația arborelui principal

$5-6-CA-7-8-9$ —Avans vertical

$m_1-11-12$ —Deplasarea manuală orizontală a saniei de găurire

$M_2-13-14-15-16$ —Deplasare verticală a traversei

$M_3-17-18-19-20$ —Deplasare masă

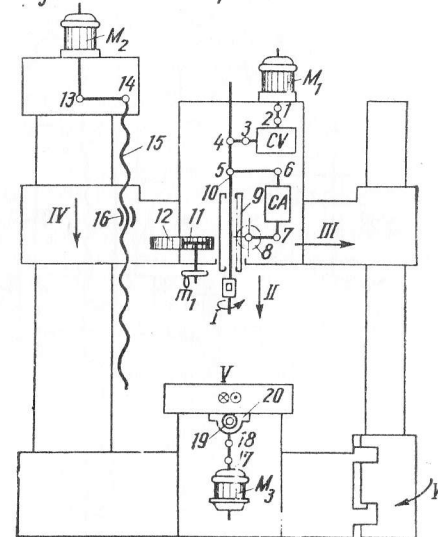


Fig. 12.139. Mașină de găurit în coordonate

— mișcarea principală de rotație a șabei plane

$$n_{sp} = n_{M1} i_{1V} T i_2 i_3 i_4 i_{\Sigma} i_{16} i_{17} \text{ [rot/min]},$$

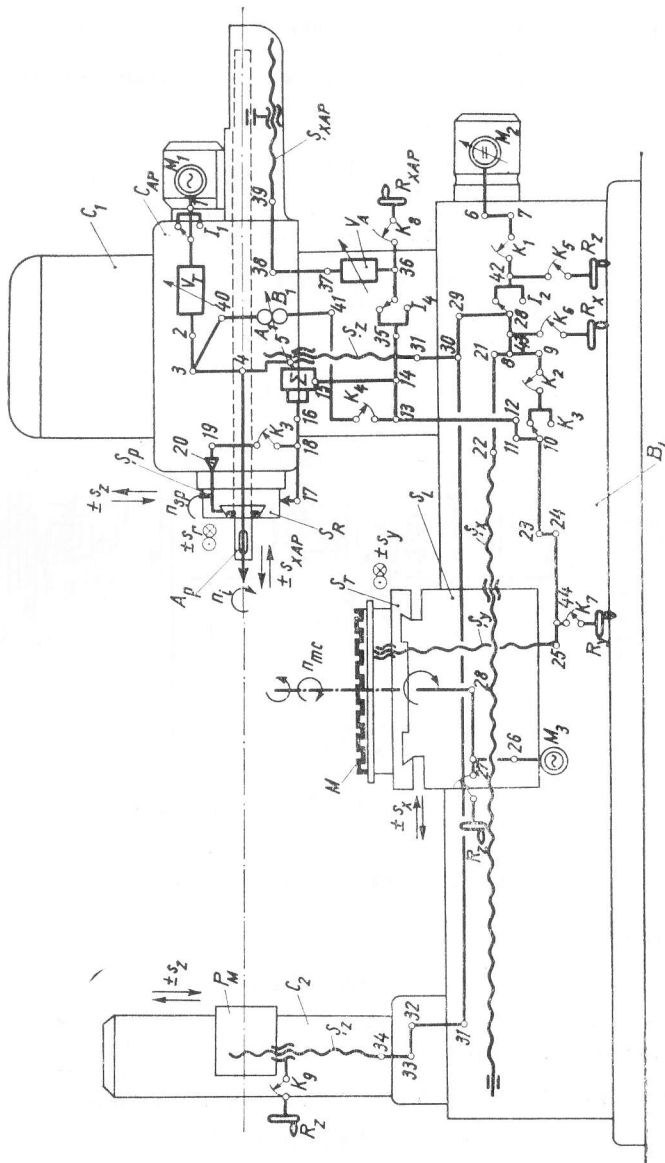
în care  $i_{\Sigma}$  este raportul de transfer al diferențialului;

— mișcarea de avans radial al saniei radiale

$$s'_r = n_{M1} i_{1V} T i_2 i_3 i_4 i_5 (1 + i_{\Sigma} i_6 i_7 i_8 i_9 i_{10} i_{11} i_{12} i_{13} i_{14} i_{15}) i_{16} i_{18} i_{19} \pi m_{20} z_{20} \text{ [mm/min]}$$

$$\text{sau } s_r = s'_r / n_{sp} \text{ [mm/rot]},$$

în care  $z_{20}$  și  $m_{20}$  reprezintă numărul de dinți respectiv modulul roții 20;





Valoarea coeficienților

Materialul prelucrat	Felul prelucrării	Materialul sculei	Avansul $s$ , mm/rot	Valoarea coeficienților	
				$C_F$	$q_F$
Oțel carbon de construcție HB 170–200 $\sigma_r = 65 \text{ daN/mm}^2$	Burghiere	Rp3	$\leq 0,2$ $> 0,2$	61,2	1,0
	Burghiere de lărgire	Rp3	—	34	0
	Lărgire	Monobloc Cu dinți aplicați	—	3,5	0,5
				—	—
		—	P10	—	—
Fontă cenușie HB 195	Alezare	Rp3	—	8	0,7
	Burghiere	Rp3	$\leq 0,3$ $> 0,3$	43,4	1,0
		K 40	—	42,7	1,2
	Burghiere de lărgire	Rp3	—	23,8	0
		K 40	—	—	—
	Lărgire	Monobloc Cu dinți aplicați	—	2,0	0,65
				—	—
		—	K 40	—	—
Fontă maleabilă HB 150	Alezare	Rp3	—	10	0,61
	Burghiere	Rp3	$\leq 0,3$ $> 0,3$	52,5 52,5	1,0 1,0
		Rp3	—	—	—
	Burghiere cu lărgire	Rp3	—	—	—
	Lărgire	Rp3	—	0,2	0,65
Bronz HB 100–140	Alezare	Rp3	—	10,0	0,61
	Burghiere	Rp3	$\leq 0,3$ $> 0,3$	31,5 31,5	1,0 1,0
		Rp3	—	—	—
	Burghiere cu lărgire	Rp3	—	—	—
	Lărgire	Rp3	—	—	—
	Alezare	Rp3	—	—	—

Observație. Pentru lărgitoare cu dinți aplicați: \*25,1; \*\*37,5.

Tabelul 12.58  
și exponenților pentru calculul forței axiale, momentului și vitezei de așchiere [24]

Valoarea coeficienților și exponenților										
$x_F$	$y_F$	$C_M$	$q_M$	$x_M$	$y_M$	$C_v$	$m$	$q_v$	$y_v$	$x_v$
0,7	0	31	2,0	0,8	0	8 11,1	0,2 0,2	0,4 0,4	0 0	0,7 0,5
0,7	1,3	81	1,0	0,8	0,9	18,4	0,2	0,4	0,2	0,5
0,7	0,95	105	1,0	0,75	0,74	18,6	0,3	0,3	0,2	0,5
—	—	—	—	—	—	16,6	0,3	0,3	0,2	0,5
—	—	848	0,75	0,8	0,95	20,6	0,25	0,6	0,2	0,3
0,72	1,0	88	1,15	0,85	0,64	12,1	0,4	0,3	0,2	0,65
0,8	0	21,4	2,0	0,8	0	14,2 16,5	0,125 0,125	0,25 0,25	0 0	0,55 0,4
0,75	0	12,2	2,2	0,8	0	42,3	0,4	0,5	0	0,5
0,4	1,2	86,3	1,0	0,75	0,8	21,6	0,125	0,25	0,1	0,4
—	—	172	0,85	0,8	0,7	55,2	0,4	0,5	0,15	0,45
0,55	1,0	72	1,0	0,70	0,74	18,2	0,125	0,2	0,1	0,4
—	—	—	—	—	—	16,3	0,125	0,2	0,1	0,4
—	—	199	0,85	0,8	0,7	101,5	0,4	0,4	0,15	0,45
0,4	0,88	23	1,42	0,79	0,74	15,1	0,3	0,2	0,1	0,5
0,8 0,8	0 0	20,3 20,3	1,9 1,9	0,8 0,8	0 0	15,6 18,1	0,125 0,125	0,25 0,25	0 0	0,55 0,4
—	—	—	—	—	—	24,8	0,125	0,25	0,1	0,4
0,55	1,0	72	1,0	0,70	0,74	27,9*	0,125	0,2	0,1	0,4
0,4	0,88	23	1,42	0,79	0,74	23,2	0,3	0,2	0,1	0,5
0,8 0,8	0 0	12,2 12,2	1,9 1,9	0,8 0,8	0 0	23,4 27,2	0,125 0,125	0,25 0,25	0 0	0,55 0,4
—	—	—	—	—	—	37,2	0,125	0,25	0,1	0,4
—	—	—	—	—	—	41,8**	0,125	0,2	0,1	0,4
—	—	—	—	—	—	34,8	0,3	0,2	0,1	0,5



Tabelul 12.61 (continuare)

Starea materialului	Laminat și prelucrat găurile în prealabil		Tratat termic			Turnat, matrițat (pentru lărgire)	
	Tras la rece	Laminat la cald	Normalizat	Recopt	Îmbunătățit	Fără decapare	Cu decapare
Coefficientul $k_{st}$	1,1	1,0	0,95	0,9	0,8	0,75	0,95
Duritatea HB							
Materialul prelucrat	35-65	70-80	60-80	60-90	70-90	105-125	125-145
	145-165	165-185	185-205	205-225	225-245	245-265	
Coefficientul $k_{Mv}$							
Piese turnate din fontă cenușie	-	-	-	-	-	1,15	1,0
Piese turnate din fontă maleabilă	-	-	-	-	-	1,26	1,1
Etero-gene	-	-	-	-	-	1,35	1,35
Duritate mare	-	-	-	-	-	-	-
Duritate medie	-	-	-	-	-	-	-
De plumb cu structură de bază eterogenă	-	-	-	-	-	-	-
Omogene	-	-	-	-	-	-	-
Cu conținut de plumb sub 10%	-	-	-	-	-	-	-
Cupru	-	-	-	-	-	-	-
Cu conținut de cupru peste 15%	24,0	-	-	-	-	-	-

Aliaje de cupru

Tabelul 12.61 (continuare)

Materialul sculei		Rp3		CS 14	
Coefficientul $k_{sv}$		1,0		0,6	

b) Scule din carburi metalice

Materialul prelucrat	Duritatea HB					
	105-125	125-145	145-165	165-185	185-205	205-225
Coefficientul $k_{Mv}$						
Piese turnate din fontă cenușie	-	-	-	1,15	1,0	0,88
Piese turnate din fontă maleabilă	2,2	1,77	1,48	1,26	1,1	-
Coefficientul $k_{Mv}$						
245-265						
225-245						

Condițiile de lucru		uscăt		cu fluid de așchiere	
Coefficientul $k_{wv}$		1,0		1,2-1,3	

Materialul sculei		K 40		K 30	
Coefficientul $k_{sv}$		1,0		1,2-1,4	

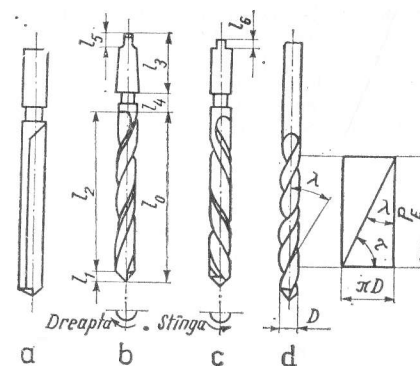
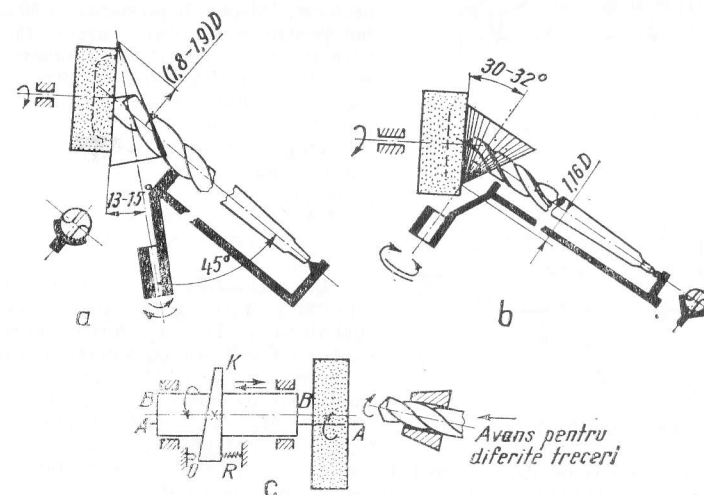


Tabelul 12.63 (continuare)

Materialul de prelucrat	Duritatea HB											Materialul sculei	Coeficientul (pentru fontă și aliaje de cupru) $k_{sv}$
	60-80	60-90	70-90	105-125	125-145	145-165	165-185	185-205	205-225	225-245	245-265		
	Coeficientul $k_{Mv}$												
Fontă cenușie	—	—	—	—	—	—	1,15	1,0	0,88	0,79	0,71	—	
Fontă maleabilă	—	—	—	2,2	1,77	1,48	1,26	1,1	—	—	—	—	
Aliaje de cupru	8,0	4,0	3,3	2,0	2,0	1,35	1,35	—	—	—	—	—	
Materialul sculei	Rp3											CS 14	0,6

seama de valoarea unghiului de degajare. Unghiul de așezare funcțional, într-un punct oarecare  $M$ , are valoarea  $\alpha_M^* = \alpha_M - \arctg s/(\pi D_M)$ ; se observă că acesta este mai mic spre centrul burghiului. Pentru remediere, se face ascuțirea feței de așezare după o suprafață conică, varianta Washborne-Stock, numită standard (fig. 12.142, *a*), care dă o creștere unghiului de așezare constructiv, spre centru, de  $\sim 14^\circ$ ; varianta Weisker (fig. 12.142, *b*), cu o creștere puțin pronunțată, sau suprafața elicoidală cu pas variabil varianta Oliver, (fig. 12.142, *c*); ascuțirea se poate face și după o suprafață cilindrică-circulară, metoda Blau, cu o mărire accentuată a lui  $\alpha$  spre centru, sau cilindrică — eliptică metoda românească Belous.

S-au standardizat: burghie elicoidale extrascurte cu coadă cilindrică (STAS 4566-67), burghie elicoidale mici cu coadă cilindrică îngroșată (STAS 6728-67), burghie elicoidale scurte cu coadă cilindrică (STAS 573-67) sau conică (STAS 575-67), idem pentru materiale metalice neferoase (STAS 8213-68 și 8212-68), burghie elicoidale lungi cu coadă cilindrică (STAS 574-67) sau conică (STAS 6727-67) sau coadă conică

Fig. 12.141. Burghie elicoidale:  
a — canal drept; b, c — canal elicoidalFig. 12.142. Ascuteala burghiului elicoidal:  
a, b — conică; c — elicoidală





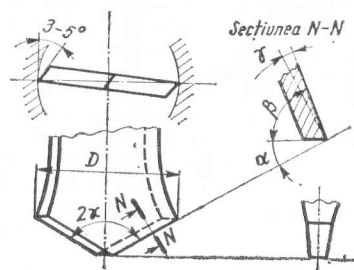


Fig. 12.147. Burghiu plat

un cilindru cu raza unitară, în radiani,  $r$  — raza sculei,  $A$  — aria secțiunii sculei,  $I_p$  — momentul de inerție polar. De exemplu, pentru  $\lambda = 20^\circ$ , rezultă un moment suplimentar de aproape 70%.

Este necesar ca  $M \leq M_\Sigma$ , în care  $M$  este momentul de așchiere. Se găsește, luând în considerare (12.14):

$$s \leq \frac{X_M}{\sqrt{M_\Sigma / (C_M D q k_M)}} \text{ [mm/rot]}. \quad (12.43)$$

Este necesar să se facă o verificare la flambaj:

$$s \leq \frac{X_{Fx}}{\sqrt{F_{fl} / (C_{Fx} D q F_x k_{Fx} c_{fl})}} \text{ [mm/rot]}, \quad (12.44)$$

în care, pentru burghie de diametru mic  $F_{fl} = 2\pi^2 B_y / \{ [1 + (B_y/B_x)] l_2 \}$ ;  $B_x = EI_{max}$ ;  $B_y = EI_{min}$  [51, v. III, p. 953];  $B_{x,y}$  — rigiditatea maximă, respectiv minimă;  $E = 2 \cdot 10^4$  daN/mm<sup>2</sup>;  $I_{max,min}$  — momentul de inerție maxim respectiv minim, mm<sup>4</sup>;  $c_{fl}$  — coeficient de siguranță la flambaj;  $l$  — lungimea burghiului.

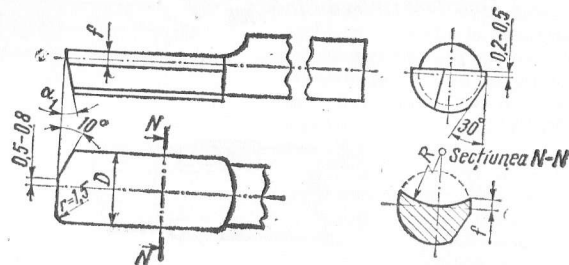


Fig. 12.148. Burghiu pentru țevă de tun

Profilul canalului se determină astfel ca, din intersecția acestuia cu fața de degajare, să rezulte un tăiș rectiliniu. Se ia, în plus, în considerare: rezistența burghiului, repartiția rațională a materialului burghiului, spațiul necesar pentru așchii, conducerea și evacuarea ușoară a așchiilor.

**12.2.8.5. LĂRGITOARE.** Lărgitoarele sînt scule cu 3—4 dinți (fig. 12.149) utilizate pentru lărgirea găurilor. Se pot construi cu plăcuțe de carburi metalice. De asemenea, se pot construi lărgitoare melc (fig. 12.150), pentru îndepărtarea adașurilor de prelucrare și lărgitoare reglabile (fig. 12.151).

S-au standardizat: lărgitoare elicoidale cu coadă conică (STAS 4141-64) sau alezaj conic (STAS 4142-64), lărgitoare melc (STAS 7899-67). În STAS 8054-67 și 7094-64, sînt date condițiile generale respectiv dimensiunile nominale și toleranțele de fabricație.

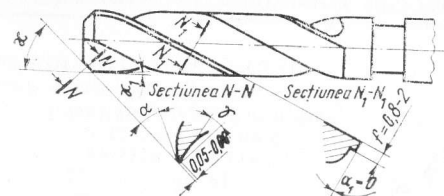


Fig. 12.149. Lărgitor

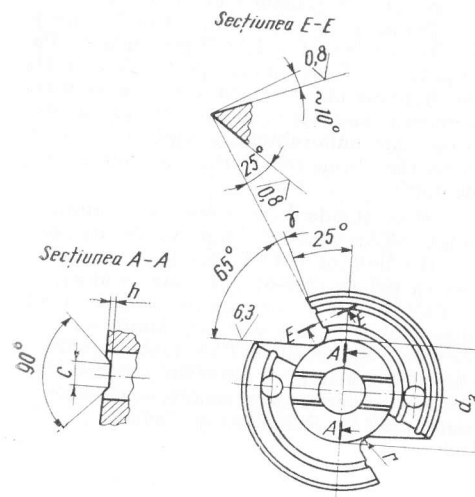
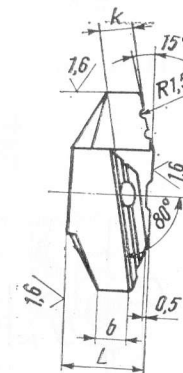
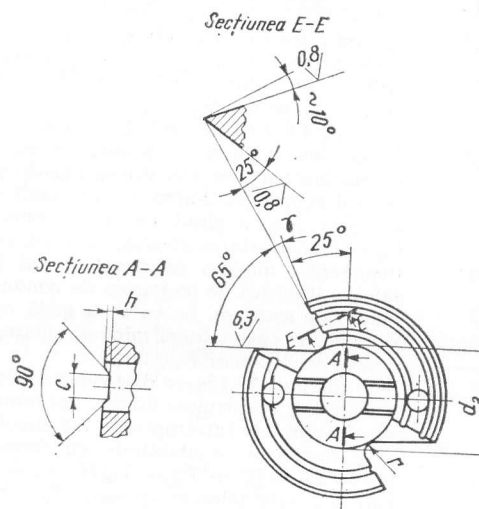


Fig. 12.150. Lărgitor melc

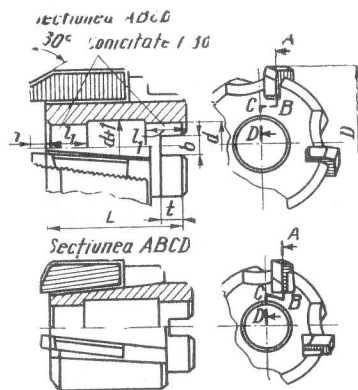


Fig. 12.151. Lărgitor reglabil

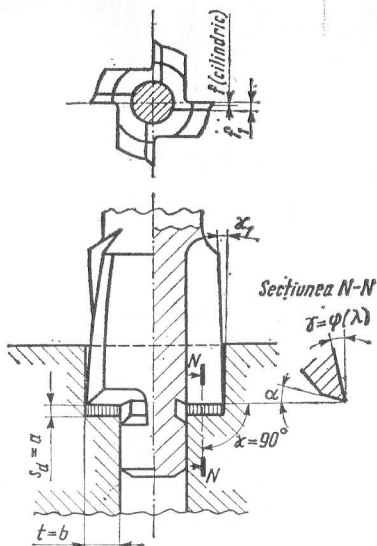


Fig. 12.152. Adâncitor

12.2.8.6. ADÎNCITOARE. Servesc la executarea unei adâncituri coaxiale cu o gaură prelucrată în prealabil, de exemplu, pentru capete de șuruburi. Se execută cu cep de ghidare fix, STAS 6411-67 și 8155-68 sau demontabil STAS 6410-67. În figura 12.152, se dă construcția de principiu a adâncitoarelor.

12.2.8.7. SCULE PENTRU LAMAT. Servesc pentru executarea unei suprafețe plane perpendiculare pe axa unei găuri prelucrate în prealabil, în care scop sînt prevăzute cu un cep de ghidare (fig. 12.153).

12.2.8.8. ALEZOARE. Servesc pentru prelucrarea fină a găurilor cilindrice și netede, în scopul mării preciziei dimensionale și a netezimii suprafeței. Factorii care contribuie la aceasta sînt: unghiul de atac secundar nul ( $\kappa_1 = 0$ ), conicitatea inversă, care defavorizează depunerile, unghiul de degajare nul ( $\gamma = 0$ ), fațeta cilindrică de pe partea de conducere, lichidul de așchiere. Se va avea grijă ca viteza de așchiere să se aleagă mică sau mare, pentru a se evita depunerile pe tăiș.

În figura 12.154, se dă geometria alezoului. Canalele se construiesc drepte, iar cînd se alezează suprafețe întrerupte, se fac elicoidale.

Diametrul se stabilește cu formula [38] [42]:  $D_s = [D + T_p - T_p/(4...5)] - T_s$ , în care  $T_p$  este toleranța piesei;  $T_s$  — toleranța sculei [ $T_s = T_p/(4...5)$ ], sau se iau în considerare valorile stabilite în STAS 2943-65 care sînt obligatorii;  $D$  — diametrul alezajului.

Numărul de dinți [10]:  $z = 2 + 1,5 \sqrt{D}$ , pentru oțel;  $z = 4 + 1,5 \sqrt{D}$  pentru fontă. Pasul se poate alege egal sau neegal (după o jumătate de circumferință se repetă, pentru a se măsura diametrul mai ușor); în ultimul caz, se obține o oarecare uniformitate a așchierii (un efect similar se obține considerînd un număr impar de dinți).

S-au standardizat: alezoare cilindrice de mină (STAS 1263-67), alezoare de mașină cu coadă cilindrică (STAS 1264-67), sau cu coadă conică (STAS 1265-67), alezoare cu alezaj conic (STAS 3456-64), alezoare de mașină cu dinți demontabili (STAS 4227-68), alezoare reglabile de mină spintecate (STAS 1266-64), alezoare de mină reglabile cu dinți demontabili (STAS 5713-67). Geometria și condițiile generale sînt date în STAS R 7042-64 și 2942-64.

Se pot construi alezoare și cu plăcuțe din carburi metalice.

Pentru alezajele cu conicitate mare, se prevede un joc de trei alezoare (fig. 12.155), la care un dinte de la primul alezor, poate fi privit ca format dintr-o succesiune de cuțite

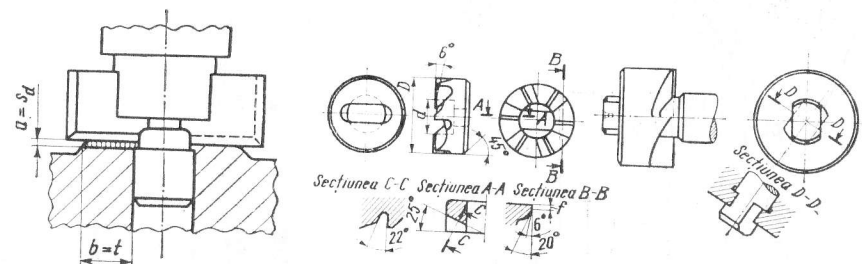


Fig. 12.153. Sculă pentru lămat

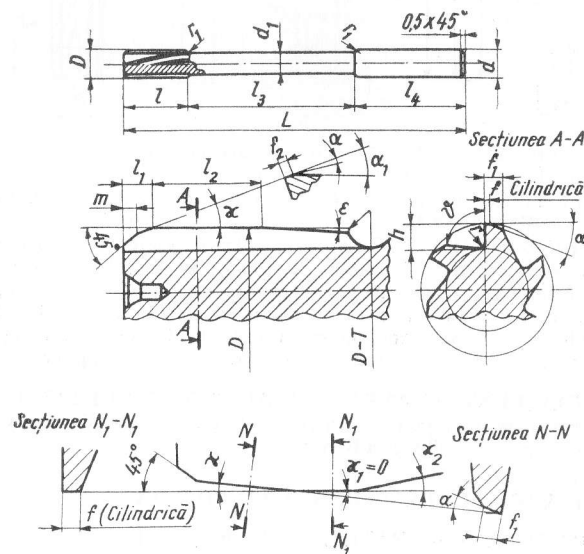


Fig. 12.154. Alezor

de strung (sculă combinată); cel de-al doilea pregătește materialul pentru a fi ridicat de ultimul (oarecum fără a avea o așchie lată de lățime constantă).

S-au standardizat: alezoare cu coadă cilindrică pentru con 1 : 50 pentru știfturi conice (STAS 2647-64), alezoare cu coadă cilindrică pentru con 1 : 30 (STAS 2646-64),

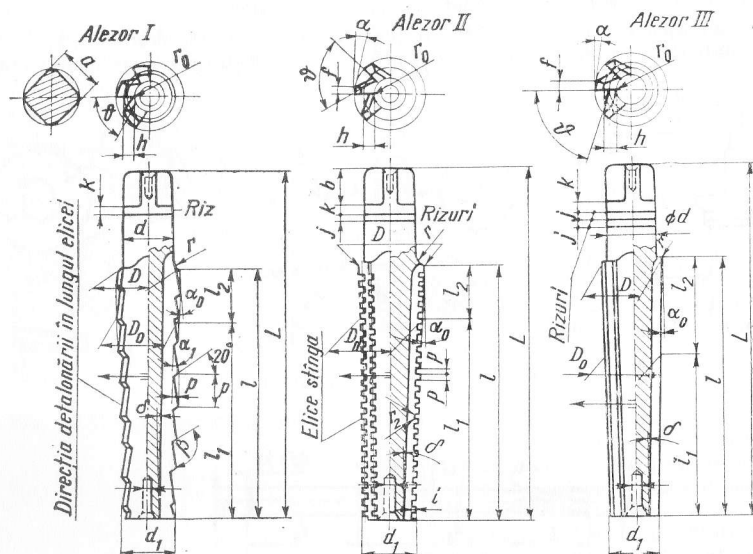


Fig. 12.155. Joc de trei alezoare conice

idem pentru conuri metrice (STAS 589-67) și conuri morse (STAS 588-67), alezoare pentru găuri de nit (STAS 590-64).

12.2.8.9. SCULE COMBinate. În vederea măririi productivității muncii, se utilizează scule combinate pentru prelucrarea găurilor: scule combinate din scule pentru aceeași operație dar de diametre diferite, de exemplu burghiele de centrare, scule combinate din scule pentru operații diferite, de exemplu burghiu cu alezor, burghiu cu tarod, lărgitor cu alezor etc. Se execută monobloc sau asamblate. Execuția și întreținerea acestor scule este costisitoare. Literatura de specialitate dă o serie de exemple concrete.

12.2.8.10. SCULE PENTRU MAȘINA DE ALEZAT ȘI FREZAT UNIVERSALĂ. Se construiesc alezoare speciale, conduse în bușe de ghidare ale dispozitivelor de alezat (fig. 12.156). De asemenea, se utilizează bare portscule.

## 12.2.9. TARODAREA ȘI PRELUCRAREA CU FILIERA

12.2.9.1. PARAMETRII OPERAȚIILOR DE FILETARE. Momentul de așchiere la filetare se calculează cu formulele de forma (12.19).

Pentru tarozi de piuliță, cazul  $l_1 > l$ , în care  $l_1$  este lungimea conului de atac, iar  $l$  — lungimea găurii filetate, pentru oțel cu 0,10–0,20% C,  $M = 31 D^{1,25} p^{0,9} \text{tg}^{0,65} \alpha z^{0,2} 10^{85} [\text{daN} \cdot \text{mm}]$ , în care:  $\alpha$  este unghiul de atac principal;  $p$  — pasul filetelui;  $z$  — numărul de canale ale tarodului.

Pentru oțel cu 0,35–0,45% C,  $M = 24 D^{1,25} p^{0,9} \text{tg}^{0,65} \alpha z^{0,2} 10^{85} [\text{daN} \cdot \text{mm}]$ .

În cazul tarozilor de mașină ( $l_1 < l$ ),  $M = 20 D^{1,25} p^{1,75} z^{0,2} / \text{tg}^{0,2} \alpha [\text{daN} \cdot \text{mm}]$  — pentru oțel cu 0,10–0,20% C și  $M = 15 D^{1,25} p^{1,75} z^{0,2} / \text{tg}^{0,2} \alpha [\text{daN} \cdot \text{mm}]$  — pentru oțel cu 0,35–0,40% C.

Formulele sînt pentru tarozi rectificați, avînd  $\gamma = 10^\circ$  în condițiile utilizării unui fluid de așchiere (sulfrezol sau emulsie). Pentru tarozi nerezificați, intervine factorul de corecție 1,25, iar pentru tarozi uzați, factorul 1,5.

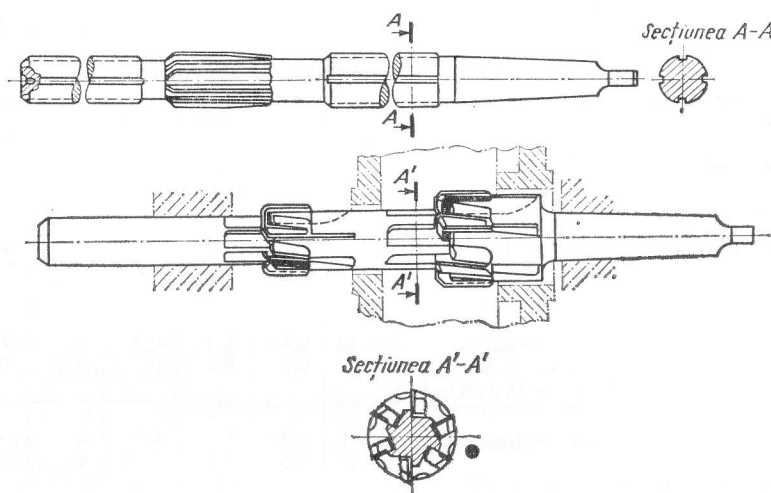


Fig. 12.156. Sculă pentru mașina de alezat și frezat (Bolotin)

În tabelul 12.64 se dau valori ale unor momente de așchiere la filetare, printre care și pentru fontă.

Tabelul 12.64  
Valoarea momentului de așchiere la filetare

Scula	Materialul prelucrat	Momentul de așchiere daN · cm
Tarozi de mașină rectificați	Fontă cenușie HB=190	$M = 1,57 D^{1,4} p^{1,5}$
Tarozi rectificați pentru piulițe		$M = 1,41 D^{1,7} p^{1,5}$
Tarozi rectificați pentru mașini automate de filetat piulițe	Oțel carbon de construcție $\sigma_r = 75 \text{ daN/mm}^2$	$M = 0,25 D^{2,0} p^{1,5}$
Filiere rotunde		$M = 4,5 D^{1,1} p^{1,5}$
Cuțit-pieptene și cap de filetat cu cuțite tangențiale		$M = 4,6 D^{1,1} p^{1,5}$

Viteza de așchiere se calculează cu formula dată în tabelul 12.4. Deoarece  $z \approx \text{const}$ , obișnuit se ia  $u_v = 0$ , iar ceilalți coeficienți se iau din tabelele 12.65 și 12.66 [24].

Tabelul 12.65

Valorile coeficienților și exponenților la tarodare [24]

Tipul de tarod și materialul acestuia	Materialul prelucrat	Diametrul filetului	Valoarea exponenților				
			$m$	$q_v$	$y_v$	$u_v$	$C_v$
Tarod pentru pu-lițe, din oțel rapid Rp3	Oțel carbon $\sigma_r = 50...80 \text{ daN/mm}^2$	$\leq 10$	0,5	1,0	0	0	23,7
		$> 10$	0,5	0,5	0,5	0	85
	Oțel crom și crom-nichel $\sigma_r = 75 \text{ daN/mm}^2$	$\leq 10$	0,5	1,0	0,5	0	21,34
		$> 10$	0,5	0,5	0	0	76,5
	Oțel refractar	$\leq 10$	0,5	1,0	0,5	0	4,74
		$> 10$	0,5	0,5	0	0	17
Tarod pentru mașină, din oțel rapid Rp3	Oțel carbon $\sigma_r = 50..80 \text{ daN/mm}$						42,8
	Oțel crom și crom-nichel $\sigma_r = 75 \text{ daN/mm}^2$						38,5
	Oțel crom-siliciu-mangan $\sigma_r = 75 \text{ daN/mm}^2$	5—30	0,9	1,2	0,9	0	32,1
	Oțel refractar						8,56
	Fontă HB 190	5—36	0,6	1,2	0,9	0	6,2
	Silumin	$\leq 10$	0,8	2,3	0,5	0	0,83
Tarod pentru mașină din oțel aliat pentru scule	Duraluminu Electron	$\leq 10$	0,5	2,3	0,5	0	1,3
		$> 10$	0,5	0,78	0,5	0	43,1

Tabelul 12.66

Valoarea coeficientul  $C_v$  la prelucrarea filetului cu filieră sau capete de filetat:

$$v = C_v D_s^{1,2} / (T^{0,5} p^{1,2}) \quad [24]$$

	Filiere rotunde	Capete de filetat cu piepteni disc, sau prismatici așezați tangențial
Oțel carbon $\sigma_r = 75 \text{ daN/mm}^2$	2,7	7,4
Oțel crom și crom-nichel $\sigma_r = 75 \text{ daN/mm}^2$	2,16	5,9
Oțel crom-siliciu-mangan $\sigma_r = 75 \text{ daN/mm}^2$	1,11	5,9
Duraluminu și electron	12	—
Alamă	9	—

Timpu de bază, pentru filiere rotunde și capete de filetat, se calculează cu formula (12.38). Pentru tarozi:

$$t_b = [(l + l_1 + l_2)/(pn)] + [(l + l_1 + l_2)/(pn_1)] \quad [\text{min}],$$

în care  $n$  este turația la filetare, iar  $n_1$  — turația de deșurubare. Valorile  $l$ ,  $l_1$  și  $l_2$  se iau din [60, p. 62].

12.2.9.2. TAROZI. Tarodul se poate considera constituit din mai multe cuțite decalate radial cu avansul de reglare (fig. 12.7, m). În scopul măririi productivității, se consi-

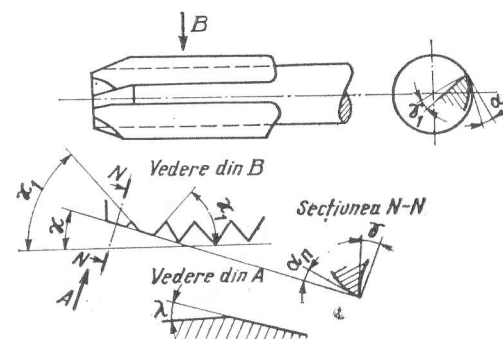


Fig. 12.157. Geometria tarodului

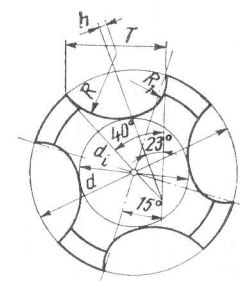


Fig. 12.158. Canalul de evacuare la tarozi [55]

deră mai multe șiruri de cuțite — așezate pe periferia tarodului, astfel încât acesta apare ca un șurub prevăzut cu canale longitudinale, drepte sau elicoidale, în scopul formării tășurilor (fig. 12.157). Profilul canalelor este important în legătură cu: apariția unghiului de degajare, curgerea așchiilor, reascuțirea astfel încât să nu apară trepte care să împiedice așchiile, rezistența tarodului (v. fig. 12.158 și tabelul 12.67 [55]). În scopul



Tabelul 12.67  
Dimensiunile canalelor (fig. 12.158) [55]

$d$	$d_i$	$R$	$R_1$	$h$	$z_k$	$T$	$d$	$d_i$	$R$	$R_1$	$h$	$z_k$	$T$
3	1,3	1,7	0,95	0,24	3	0,375d	18	9	5,45	3,05	0,67	4	0,49d
3,5	1,4	1,7	0,95	0,24			20	10	5,95	3,3	0,73		
4	1,5	1,7	0,95	0,24			22	11	6,55	3,7	0,81		
5	2	1,9	1,1	0,24	3	0,375d	24	12	7,35	4,1	0,9		
6	2,4	2,5	1,35	0,3			27	13,15	8,15	4,55	1		
7	2,6	2,7	1,5	0,33			30	15	8,9	5	1,09		
8	3,2	3	1,7	0,35	4	0,49d	36	18	10,4	5,65	1,28		
9	3,6	3,4	1,9	0,42			39	19,5	11,9	6,7	1,45		
10	4	3,9	2,2	0,48			42	21	13	7,3	1,6		
11	5,5	3,4	1,9	0,42	4	0,49d	45	22,5	13,9	7,8	1,7		
12	6	3,9	2,2	0,48			48	24	14,8	8,35	1,8		
14	7	4,4	2,5	0,54			52	26	15,7	8,85	1,9		
16	8	4,9	2,75	0,6									

aparitiei unghiurilor de așezare, tarodul este detalonat pe conul de atac și, cînd este necesar, pe întreg profilul filetelui. Tarozii din oțel de scule carbon se execută nedetalonați. Tarozii din oțel rapid se detalonează, operație executată odată cu rectificarea.

Pentru ca cele două flancuri ale filetelui tarodului să așchieze la fel, se poate prevedea un unghi de înclinare  $\lambda$  numai pe lungimea conului de atac, sau canale elicoidale, în care caz este necesar să se ia în considerare corecțiile de profil necesare. În practică, sensul elicei canalului elicoidal se ia în legătură cu degajarea așchiilor.

Lungimea conului de atac se ia  $l_1 = H_1 p / a_d z_k$ , în care  $H_1$  este înălțimea filetelui tarodului,  $p$  — pasul,  $a_d$  — grosimea așchiei,  $z_k$  — numărul de canale. Pentru  $a_d \approx 0,03 p / z_k$ , rezultă  $l_1 \approx 17 p$ . Este de observat că, în cazul  $l_1 > l$ , momentul de tarodare este minim; în cazul  $l_1 = l$ , momentul de tarodare este maxim — situație ce se va evita; pentru  $l_1 < l$ , rezultă o valoare spre minim.

În cazul  $l_1 > l$ , pe prima parte a tarodului (de lungime  $\sim l_1/3$ ), se prevede filet conic, de aceeași conicitate cu conul de atac — pentru evitarea așchiilor late.

Partea cilindrică a tarodului servește la conducerea acestuia (rol de șurub conducător — de la strung) și, în parte, la calibrare. Pe partea cilindrică, se prevede conicitate inversă a profilului (în general 1 : 1000).

Pentru tarozi de mină (joc de trei tarozi), se ia:  $l_{II} = 5 p$ ;  $l_{III} = 3,5 p$ ;  $l_{III} = 2 p$ . Diametrul [55]:  $d_I = d_{III} - 0,75 p$ ,  $d_{II} = d_{III} - 0,35 p$ , în care  $d_{III}$  este diametrul exterior al tarodului III. În cazul filetelor fine, se consideră joc de doi tarozi:  $l_{II} = 5 p$ ,  $l_{III} = 2 p$ ,  $d_I = d_{II} - 0,35 p$ .

S-au standardizat: tarozi de mină pentru filet metric (STAS 1112-67) respectiv filet G 1/8 ... G 1 1/2 (STAS 1822-67), tarozi de mașină și de mină pentru filet metric (STAS 7447-66), tarozi de mașină pentru filet G 1/8 ... 2 (STAS 1824-67), tarozi pentru piulițe cu filet metric (STAS 1153-67), idem cu coadă curbă (STAS 6837-67), tarozi pentru filet metric conic (STAS 7609-66), respectiv filet conic în inci (Briggs) (STAS 7610-66), tarozi pentru filetul tuburilor de protecție etanșe (IPE) (STAS 8269-68); de asemenea: condiții generale (STAS 6372-68), toleranțe de fabricație ale filetelor (STAS 2884-61).

Verificarea tarodului se face la răscuire:  $\tau_{max} = M_t / W_t$ . Deoarece  $r/R \approx 0,75$ , se ia  $k_2 \approx 1,9$  sau, acoperitor,  $k_2 = 2$ . Adică:  $W_t = R^3/2$  respectiv  $\tau_{max} = 2M_t/R^3$  în care  $R$  este raza exterioră a tarodului. Analizîndu-se diferitele secțiuni ale tarodului, se găsesc ca secțiuni periculoase: racordarea între partea filetată și coadă, precum și racordarea, dintre coadă și capul patrat al cozii. Teoria și practica arată că tarozii de diametru mic sînt subdimensionați.

12.2.9.3. FILIERE. Filiera este de forma unei piulițe, prevăzută cu găuri pentru așchii — în scopul apariției tășurilor (fig. 12.159). Așchieria se face pe partea de atac detalonată axial, iar partea cilindrică (de lungime  $\sim [3 \dots 5] p$ ) servește la conducere și, în parte, la calibrare.

Lungimea conului de atac:  $l_1 = 1,5 p$ . Pe conul de atac se poate prevedea un unghi de înclinare  $\lambda$ , rezultat din teșire sau din executarea înclinată a găurilor de evacuare a așchiilor.

După uzare, filiera se deschide cu un disc abraziv, în care scop se execută de la început un canal de despicare, netăiat și se strînge cu șuruburile de fixare din portfilieră (STAS 2609-66). Stringerea este posibilă în cazul cînd filiera este elastică:  $e = (0,6 \dots 0,9 \sqrt{D})$  [mm], în care  $D$  este diametrul exterior al filierei,  $D \approx 2,5$  ori diametrul nominal al filetelui.

Lățimea minimă a dintelui după reascuțire:  $H_{min} = p$ . Lățimea dintelui:  $H = 1,26 d_i / z_k$  — în care  $d_i$  este diametrul interior al filetelui; este necesar ca  $H > H_{min} + 2$ . Rezultă  $z_k = 1,26 d_i / (p + z)$ . Diametrul găurilor pentru așchii [55]:  $d_a = d_i \sin \omega / \sin (\delta - \omega)$ , în care  $\delta = 90^\circ - \gamma$ ,  $2\omega = 360^\circ / [z_k(1 + H/G)]$ ; raportul  $H/G$  se ia din tabelul 12.68 [55]. Diametrul centrelor găurilor de așchii:  $D_2 = d_i [\cos \omega + \sin \omega \cotg (\delta - \omega)]$ .

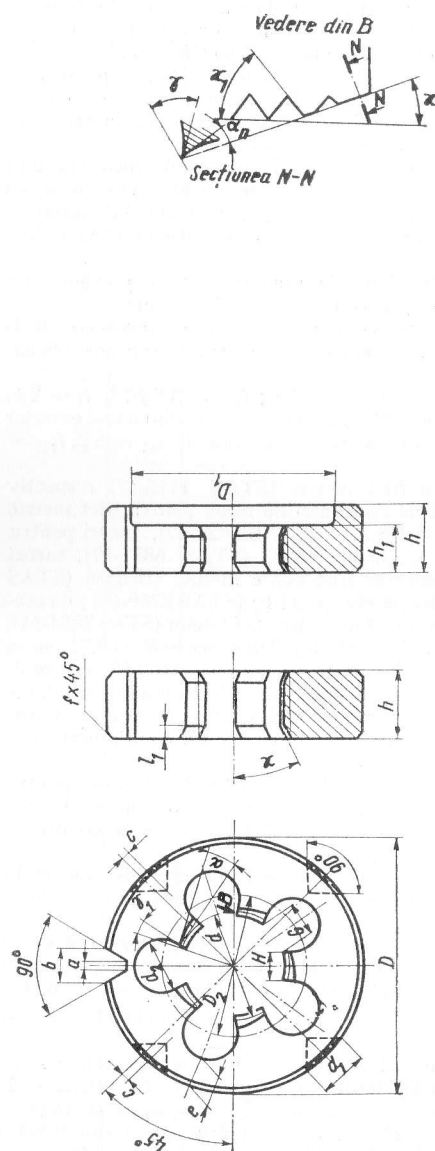


Fig. 12.159. Geometria filierei

Tabelul 12.68  
Dimensiunile filierelor [55]

Diametrul filetului	2-2,5	3-6	7-9	10-11	12-14	15-20	22-24	25-27	28-33	35-36	38-42	45-48	50-52	56-60
D	16	20	25	30	38	45	55	65	65	65	75	90	90	100
z <sub>k</sub>	3	3	4	4	4	5	5	5	6	7	7	7	8	8
H/G	1	1	0,9	0,9	0,9	0,9	0,8	0,8	0,8	0,7	0,7	0,7	0,65	0,65

În cazul filierelor calibrate, lepuite cu dorn filetat din fontă, găurile pentru așchii nu trebuie să intersecteze filetul; după calibrare, are loc deschiderea găurilor cu disc abraziv și ascuțirea la geometria prescrisă.

S-au standardizat: filiere rotunde pentru filet metric (STAS 1160-69), filet metric conic (STAS 8053-67), filet conic în inci (Briggs) (STAS 8052-67), filiere rotunde pentru filetul tuburilor de protecție etanșe (IPE) (STAS 8261-68); de asemenea: condiții generale (STAS 8307-69).

Pentru calibrarea filetelor, se construiesc filiere cu un număr mai mare de găuri pentru așchii, deoarece în acest caz se ridică așchii mai subțiri. Pentru lucrările de montaj, se utilizează filiere de formă exagonală, pentru a putea fi rotite cu cheia fixă. Pentru

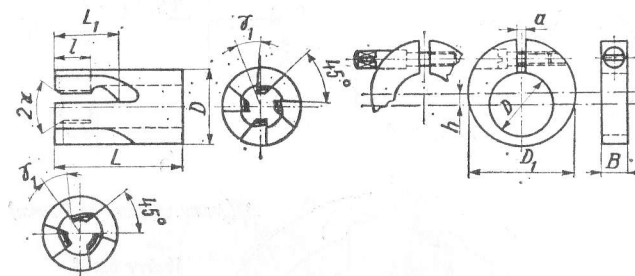


Fig. 12.160. Filieră tubulară

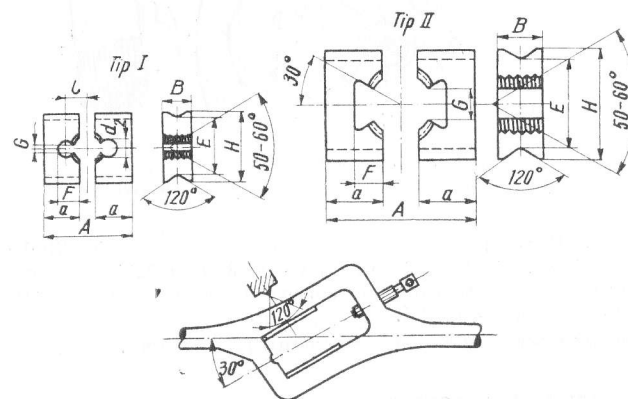


Fig. 12.161. Clupă pentru filetat

mașinile-unelte automate, se construiesc filiere tubulare (fig. 160), în vederea eliminării mai ușoare așchiilor.

12.2.9.4. CLUPE PENTRU FILETARE. La lucrările de lăcătușerie se utilizează bacuri de filetat (fig. 12.161), cu diametrul mai mare decât diametrul filetului de prelucrat, în scopul apariției unghiului de așezare.

Pentru filetarea țevelor, se utilizează clupe cu cuțite-pieptene drepte, care pot fi apropiate și îndepărtate de centru — după mărimea diametrului prelucrat.

12.2.9.5. CAPETE DE FILETAT. Pentru prelucrarea filetului exterior, se utilizează capete de filetat cu autodeschidere. Se deosebesc: capete de filetat cu piepteni drepti așezați radial (fig. 12.162, a); capete de filetat cu piepteni drepti așezați tangențial (fig. 12.162, b); capete de filetat cu piepteni disc (fig. 12.162, c). Primele sînt din

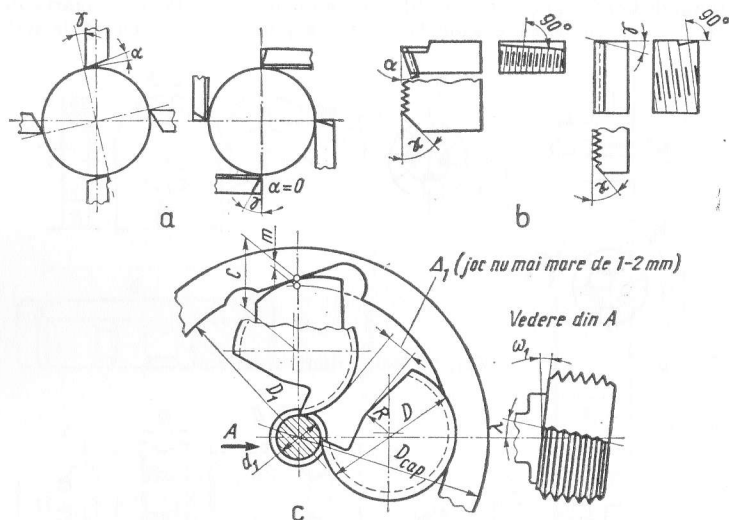


Fig. 12.162. Capete de filetat [2] [65]:

a — piepteni radiali; b — piepteni tangențiali; c — piepteni disc

ce în ce mai puțin utilizate; cele tangențiale au o serie de avantaje, fiind cele mai folosite. S-au standardizat: pieptenii drepti STAS 2298-66 și 2299-51; din ce în ce mai mult se folosesc cele cu piepteni disc. Literatura de specialitate dă construcția acestor capete și a pieptenilor utilizați [31].

În mod analog se construiesc capete pentru filetat interior.

## 12.2.10. DANTURAREA ROȘILOR CILINDRICE

12.2.10.1. DANTURAREA PRIN COPIERE. Constă în copierea pe semifabricat a profilului sculei, care poate fi: freză-disc modul (fig. 12.163, a), STAS 2763-67, sau freză-deget modul (fig. 12.163, b) STAS 3337-52, ultima în special la prelucrarea roților cu modul mare ( $m_1 \geq 20$  mm) sau la prelucrarea danturii în V, precum și acolo unde, din motive de gabarit, nu este posibilă utilizarea frezelor-disc. Parametrii așchierii: mișcarea principală cu viteza de așchiere  $v$ , m/min, mișcarea de avans cu viteza  $w$ , mm/min

sau avansul  $s$ , mm/rot, mișcarea de divizare intermitentă și mișcarea de avans radial, acolo unde este cazul; la prelucrarea roților în V, este necesară o mișcare suplimentară de rotație, pentru generarea elicei danturii.

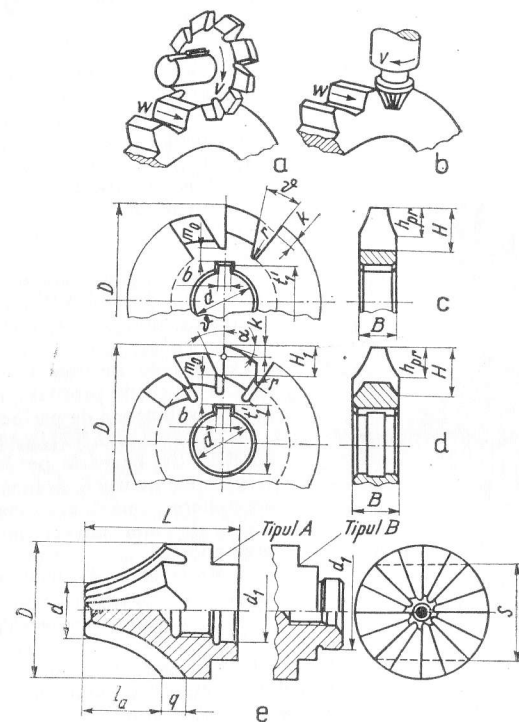


Fig. 12.163. Freze modul:

a — disc; b — deget

În general, prelucrarea se face pe mașini de frezat universale. Pentru producția de serie, roți mici și pentru executarea roților mari, se utilizează mașini de frezat speciale, cu ciclu de lucru automat.

Frezele modul sînt freze profilate, detalonate, proiectîndu-se ca atare. În cazul frezei-deget, se face o detalonare laterală oblică ( $\psi = 10...15^\circ$ ) și o detalonare frontală axială. Deoarece profilul frezei depinde de modulul  $m_1$  și numărul de dinți  $z_1$  al roții prelucrate, pentru a se reduce numărul de freze necesar, se introduce o eroare teoretică: intervalul de dinți  $z_1 = 12... \infty$ , pentru fiecare modul, se împarte în 8; 15 sau 26 zone, pentru fiecare zonă construindu-se o singură freză. Calculul acestora se face pentru numărul minim de dinți al zonei, astfel încît să fie posibilă angrenarea și pentru celelalte numere

de dinți din zona considerată. Pentru  $m_1 \leq 8$ , se consideră 8 zone, respectiv 8 freze notate cu numerele 1...8; pentru module  $m_1 > 8$ , se consideră 15 freze, iar pentru roți dințate precise și cu modul mare, 26 freze.

Pentru degroșare, se utilizează freze cu profil trapezoidal, în trepte sau chiar freze disc; în cazul frezelor-deget, acestea se execută cu dinți frezați și canale de întreruperea așchiilor.

În cazul danturii înclinate, pentru precizie mică și unghi de înclinare mic, se pot folosi freze modul de la dantura dreaptă, cu condiția de a se alege freza corespunzătoare modulului normal  $m_{n1}$  și numărului de dinți echivalent (ideal):  $z'_1 = z_1 / \cos^3 \beta_{d1}$ , în care  $\beta_{d1}$  este unghiul de înclinare al danturii pe cercul de divizare. Pentru roți dințate precise și cu unghi de înclinare mare, este necesar să se construiască freze modul cu profil special [41].

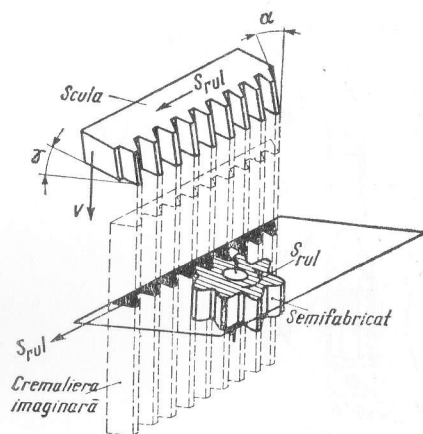


Fig. 12.164. Materializarea cremalierii prin cuțit-pieptene

Parametrii așchierii: mișcarea principală cu viteza de așchiere  $v$ , m/min, mișcarea secundară a avansului de rulare  $s_{rul}$ , mm/cursă dublă, mișcarea secundară a avansului de pătrundere (radial)  $s_{patr}$ , mm/cursă dublă. Mișcarea avansului de rulare este intermitentă, după fiecare cursă dublă a cuțitului; mișcarea avansului de pătrundere încetează după pătrunderea sculei la adâncimea limită. În plus, la întoarcerea sculei (cursă inactivă) se prevede o retragere a acesteia.

Rezultă:  $w = s_{rul} \cdot n_s$  [mm/min],  $n_s = v_{med} \cdot 1000 / 2L$  [cursă duble/minut], în care  $w$  este viteza de avans, mm/min,  $n_s$  — numărul de curse duble pe minut,  $v_{med}$  — viteza principală medie  $v_{med} = L / \Delta\tau$  [m/min], în care  $\Delta\tau$  este durata cursei active, în minute,  $L$  — lungimea cursei sculei; ( $L = l + l_2$ , în care  $l$  este lungimea dintelui prelucrat,  $l_2 \approx 5 \dots 10$  mm).

Deoarece lungimea sculei este limitată, pentru prelucrarea întregii danturi, sînt necesare: oprirea așchierii, readucerea sculei în poziție inițială, reluarea procesului de așchiere, faze executate automat.

Forța maximă la care se verifică rezistența mecanismului mișcării principale a mașinii-unelte este:  $F_{zmax} = p \Sigma q_{max}$  [daN], în care  $\Sigma q_{max}$  este suma maximă a ariilor tuturor secțiunilor ridicate simultan de toate tășurile în contact cu semifabricatul, mm<sup>2</sup>,  $p =$

Viteza de așchiere se calculează cu formula  $v = 49 / (T^{0.33} s^{0.45})$  m/min, pentru prelucrarea oțelului OLC 45, HB = 207.

În cazul producției de masă, se utilizează capete de mortezat, prevăzute cu număr de cuțite profilate, egal cu numărul golurilor danturii de prelucrat.

**12.2.10.2. DANTURAREA PRIN RULARE.** Se bazează pe legile angrenării. Generarea danturii se face cu ajutorul unei cremalieri imaginare materializată prin sculă, ale cărei tășuri „mătură” flancurile cremalierii.

**Mortezarea danturii cu cuțit-pieptene (procedul Maag-Sunderland).** Scula cea mai simplă, care materializează cremaliera generatoare, este cuțitul-pieptene (fig. 12.164).

apăsarea specifică de așchiere, daN/mm<sup>2</sup>,  $p = 180$  pentru oțel carbon de construcție, OLC 45;  $p = 300$  pentru oțel crom și crom-nichel;  $p = 140$  pentru fontă.

Puterea necesară,  $P_e = v_{med} \Sigma F_{zmed} k / 6120$  [kW], în care  $\Sigma F_{zmed} = p \Sigma q_{med}$ , unde  $k$  este un parametru ce caracterizează raportul dintre timpul cursei active și timpul cursei inative ( $k_{max} = 0,5 [2C_1]$ ).

Timpul de bază (după A. I. Kașirin),  $t_b = [\pi m_1 z_1 / (n_s s_{rul})] + (\pi m_1 z_0 / w_1) + 0,012 z_0$  [min], în care  $z_0$  este numărul de calcul de dinți la roata dințată, pentru compensarea timpului de pătrundere a sculei la adâncimea dintelui, (tabelul 12.69),  $w_1$  — viteza deplasării inverse a roții dințate, mm/min.

**Frezarea danturii cu freza-melc (procedul Pfauter).** Materializarea cremalierii generatoare poate fi obținută și prin freza-melc (fig. 12.165). Parametrii așchierii: mișcarea principală cu viteza de așchiere  $v$ , m/min, mișcarea secundară de avans tehnologic  $s$ , mm/rot piesă, mișcarea secundară de avans de rulare (legată cinematic de rotirea frezei:  $\alpha_1 z_1 = \alpha_s q$ , în care  $\alpha_s$  este unghiul de rotire al sculei,  $q$  — numărul de înepături ale frezei,  $\alpha_1$  — unghiul de rotire al piesei).

Se consideră:  $s = C_s z_1^{0.14} / m_1^{0.25}$  [mm/rot], în care coeficientul  $C_s$  se ia din tabelul 12.70;  $v = C_v / (T^{0.33} m_1^{0.45})$  [m/min], pentru prelucrarea danturii și  $v = C_v z_1^{0.37} / (T^{0.33} m_1^{0.45})$  [m/min], pentru prelucrarea arborilor canelați (în care  $h$  este înălțimea canalelor,  $z_1$  — numărul de canale); puterea necesară:  $P = C_p s p m_1 q D q p$  [kW], în care  $D$  este diametrul frezei mm. Coeficienții și exponenții se iau din tabelul 12.71. Coeficienții de corecție — din tabelele 12.72...12.78.

Deoarece adâncimea pe care se prelucreează dantura este mare, se execută o așchiere prealabilă cu adâncimea de frezare  $t_1 = 1,4 m_1$ , urmată de o prelucrare finală cu adâncimea de frezare  $t_f = 0,7 m_1$ .

În cazul frezării dinților înclinați,  $s_{incl} = s_{dr} \cos \beta_{d1}$  [mm/rot], în care  $s_{dr}$  este avansul la danturarea roților cu dinți drepiți.

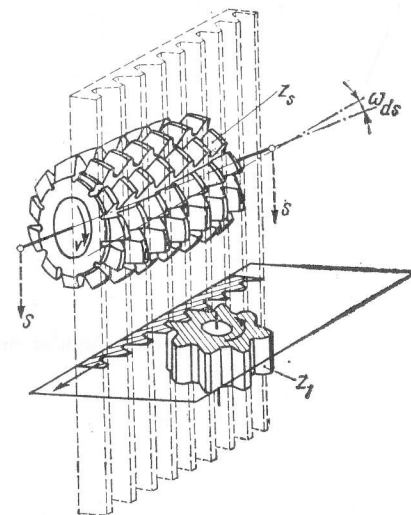


Fig. 12.165. Materializarea cremalierii prin freză-melc

Tabelul 12.69

Numărul de calcul de dinți (după Ghipromaș)

Numărul real de dinți	$z_1$	6	7	12	19	27	37	49	81	141	173
Numărul de calcul	$z_0$	8	9,5	15	22,2	31	41,5	54	87	148	181

Timpul de bază,  $t_b = (l + l_1 + l_2)z_1/(sn_s g k)$  [min], în care  $l$  este lungimea dintelui de prelucrat (sau a dinților prelucrați simultan);  $l_1$  — lungimea de pătrundere,  $l_1 = \sqrt{t_1(D_s - t_1)}/\cos \psi$  [mm], unde  $\psi$  este unghiul de înclinare al axei frezei (fig. 12.166),

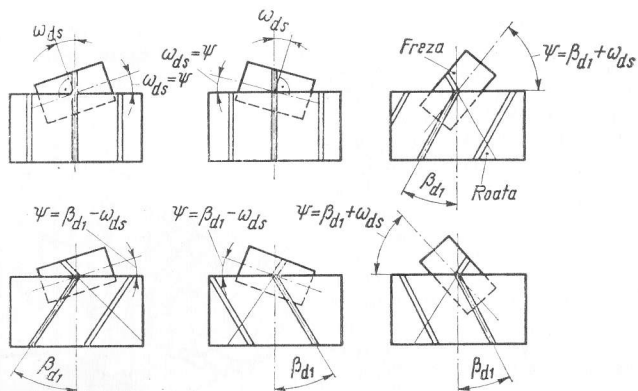


Fig. 12.166. Unghiul de înclinare al frezei-melc

Tabelul 12.70

Valoarea coeficientului  $C_s$ , în cazul frezei melc-modul [64]

Materialul prelucrat	$C_s$
Oțel carbon, $\sigma_r = 70...85$ daN/mm <sup>2</sup>	2,65
Oțel crom și crom-nichel, $\sigma_r = 75...90$	2,00
Fontă, $HB = 160...180$	3,70

$\psi = \beta_{d1} - \omega_{ds}$ , dacă roata dințată și freza melc au înclinarea elicei în același sens, și  $\psi = \beta_{d1} + \omega_{ds}$ , dacă înclinarea elicei este în sens contrar — în care  $\omega_{ds}$  este unghiul de ridicare al elicei frezei-melc față de diametrul de divizare;  $l_2$  — lungimea de intrare și de ieșire a frezei în direcția avansului ( $l_2 = 2...4$  mm),  $k$  — numărul de roți dințate danturate simultan. Pentru roțile cu dinți drepecți,  $\psi = \omega_{ds}$ .

Precizia de prelucrare la degroșare: clasa de precizie 4 și rugozitatea  $Ra = 2,5...5$  μm; la finisare: clasa de precizie 2...3 și rugozitatea  $Ra = 1,25...2,5$  μm [15].

Tabelul 12.71  
Coeficienții și exponenții pentru calculul vitezei de așchiere în cazul danturării [24]

Scula	Materialul prelucrat	Felul prelucrării	Modulul $m$ , mm	$C_v$	$m_1$	$x_v$	$y_v$	$C_p$	$x_p$	$y_p$	$q_p$
Freză-melc modul	OLC 45 $HB = 207$	Degroșare	1,5—6	312	0,33	0,5	0	0,124	0,9	1,7	-1
		Finisare (dintr-o trecere)	7—26	350	0,33	0,5	0,1				
	Fontă cenușie $HB = 170...210$	Degroșare	1,5—26	198	0,2	0,3	0,15	0,062	0,9	1,7	-1
		Finisare	1,5—3	152	0,3	0,4	-0,4				
Freză-melc pentru arbori canelați	OLC 45 $HB = 207$	Degroșare	—	780	0,4	0,5	1,28	$42 \cdot 10^{-5}$	0,65	0	1,1
		Finisare	—	390	0,4	0,5	1,28				
	OLC 45 $HB = 207$	Degroșare	—	49	0,2	0,5	0,3		1	2	0,11
		Finisare	—	90	0,3	0,5	0	$179 \cdot 10^{-4}$			
Cuțit-roată*	Fontă cenușie $HB = 170...210$	Degroșare	—	54	0,2	0,25	0,15				
		Finisare	—	113	0,3	0,5	0				

\* Pentru 40 C 10, valoarea lui  $C_v$  este cu 5% mai mică, iar, pentru 13 CN 35, cu 17% mai mică.



Tabelul 12.72

Valoarea coeficienților de corecție  $k_{Ms}$ ,  $k_{Mv}$ , și  $k_{Mp}$  pentru freze melc-modul, freze pentru canelat, cuțite-roată și cuțite de rabotat dinți drepiți și curbi de la roțile conice [24]

	Oțel carbon de construcție				Oțel aliat de construcție			
	OL C 35	OL C 45	OL C 50	41 C 10	13 CN 23 21 TMC 12 15 C 07	28 TMC 12	38 Mo CA 09	
Duritate HB	156—187	170—207	<241	170—229	156—229	156—207	156—229	229—285
$k_{Mv}$	1,1	1,0	0,8	0,9	0,9	0,8	0,6	
$k_{Mp}$								0,9
$k_{Ms}$	1,0	1,0	0,9	1,0	0,9	0,8	0,7	

Tabelul 12.73

Valorile coeficienților  $k_{gs}$ ,  $k_{gv}$  și  $k_{gp}$  [24]

Scula		Unghiul de înclinare al dinților, în grade									
		0	15	30	45	60					
Freză-melc	$k_{gs}$	1,0	0,90	0,80	0,65	0,45					
	$k_{gv} = k_{gp}$	1,0	0,75	0,65	0,50	0,35					
		1,0	1,0	0,9	0,8	0,7					
		1,0	1,0	0,95	0,9	0,8					
Cuțit-roată	$k_{gp}$	1,0	0,9	0,85	0,7	—					
		1,0	0,95	0,9	0,7	—					
		1,0	0,95	0,9	0,7	—					

Tabelul 12.74

Valorile coeficienților  $k_{ks}$ ,  $k_{kv}$ , și  $k_{kp}$  pentru freza-melc [24]

Materiaul prelucrat	Numărul de începuturi ale frezei	1	2	3
—	Coeficientul $k_{ks}$	1	0,75	0,65
Oțel carbon și aliat	Coeficientul $k_{kv}$	1	0,85	0,75
	Coeficientul $k_{kp}$	1	1,64	2
Fontă HB 170—210	$k_{kv}$	1	0,85	0,75
	$k_{kp}$	1	1,4	1,5

Tabelul 12.75

Valorile coeficienților  $k_{wv}$  și  $k_{wp}$  pentru freze-melc la prelucrarea oțelului carbon, aliat și fontei [24]

Numărul de deplasări axiale		0	1	2	3 și mai mult
$k_{wv} = k_{wp}$	Degroșare	1,0	1,1	1,2	1,3
	Finisare	1,0			

Tabelul 12.76

Valoarea coeficientului  $k_{Mv}$  la prelucrarea roților melcate cu freză-melc [24]

Materialul	Fontă cenușie				Bronz			
	140—160	160—180	180—200	200—220	80	100	120	140
Duritatea, HB								
Coeficientul $k_{Mv}$	1,25	1,12	1,0	0,9	1,2	1,1	1,0	0,9

Tabelul 12.77

Coeficienții  $k_{fv}$  și  $k_{fp}$  la prelucrarea arborilor canelați cu freza-melc [24]

Forma dinților frezei	fără protuberanță	cu protuberanță
Coeficienții $k_{fv} = k_{fp}$	1,0	0,85

Tabelul 12.78

Coeficienții  $k_{zv}$  și  $k_{zp}$  la prelucrarea arborilor canelați cu freza-melc [24]

Numărul de canale ale arborelui, $z$	4	6	8	10	16	20
Coeficienții $k_{zv} = k_{zp}$	0,85	1,0	1,1	1,2	1,4	1,5

Mortezarea danturii cu cuțit-roată (procedeul Fellows). Materializarea cremalierii generatoare se poate face prin cuțit-roată (fig. 12.167). Parametrii așchierii: mișcarea principală cu viteza de așchiere  $v$ , m/min, mișcarea secundară (continuu) a avansului de rulare  $s_{rul}$ , mm/cursă dublă, mișcarea secundară a avansului de pătrundere (radial)  $s_{pătr}$ , mm/cursă dublă — care încetează după pătrunderea sculei la adâncimea limită a dinților. Rezultă:  $w = s_{rul} \cdot n_s$  [mm/min], în care  $n_s$  este numărul de curse duble pe minut. Restul formulelor sînt aceleași ca și la mortezarea cu cuțit-pieptene; se ia (după A. I. Malkin):

$$\Sigma q_{max} = 0,609 m_1^2 s_{rul} / z_1^{0,11} [\text{mm}^2] \text{ și } \Sigma q_{med} = 0,475 m_1^2 s_{rul} / z_1^{0,09} [\text{mm}^2].$$

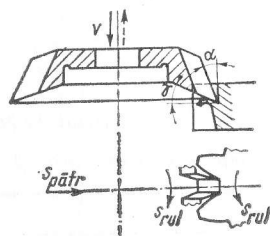


Fig. 12.167. Materializarea cremalierii prin cuțit-roată

În timpul cursei inactive se prevede depărtarea relativă a sculei de semifabricat.

Avansul de rulare are valoarea:  $s_{rul} = \pi D_{ps} \alpha_s / 360^\circ$  [mm/cursă dublă], în care  $\alpha_s$  este unghiul de rotire al cuțitului-roată în timpul unei curse duble,  $D_{ps}$  — diametrul de divizare (primitiv) al cuțitului-roată.

Se ia:  $s = C_s / m_1^{0,5}$  [mm/cursă dublă],  $v = C_v / (T m_s^{x_v} m_1^{y_v})$  [mm/min],  $P = C_p s^{x_p} m_1^{y_p} / z^{z_p}$  [kW], în care coeficienții și exponenții se iau din tabelele 12.71 și 12.79. Coeficienții de corecție se iau din tabelele 12.72, 12.73 și 12.80. Avansul de pătrundere  $s_{pătr}$  se ia de 0,1...0,2 din avansul de rulare. Dacă dantura se execută fără degroșare prealabilă, avansul de rulare se ia cu 10...25% mai mic.

Timpul de bază,  $t_b = [(h_1 / (s_{pătr} n)) + [\pi m_1 z_1 k / (s_{rul} n)]]$  [min], în care  $h_1$  este înălțimea dinților prelucrați,

$k$  — numărul de rulări (treceți),  $n$  — numărul de curse duble pe minut.

Precizia de prelucrare este aceeași ca și la frezele-melc [15].

Tabelul 12.79

Valoarea coeficientului  $C_s$ , în cazul cuțitului roată [64]

Materialul prelucrat	$C_s$
Oțel carbon, $\sigma_r = 60...75$ daN/mm <sup>2</sup>	0,47
Oțel crom, $\sigma_r = 70...80$ daN/mm <sup>2</sup>	0,41
Fontă duritate mijlocie și bronz dur	0,67

Tabelul 12.80

Coeficientul  $k_{zp}$  la prelucrarea cu cuțit-roată [24]

Numărul de dinți al roții		12	20	40	80	120
$k_{zp}$	Oțel carbon și aliat	0,95	1,0	1,1	1,2	1,25
	Fontă cenușie $HB\ 170-210$	0,94	1,0	1,1	1,15	1,2

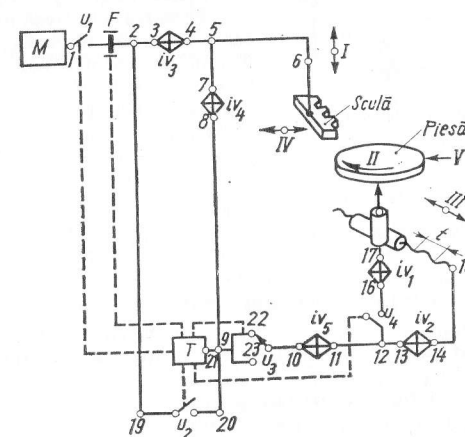


Fig. 12.168. Structura cinematică la mortezarea cu cuțit-pieptene

12.2.10.3. MAȘINI-UNELTE PENTRU DANTURAT PRIN RULARE. Mortezarea cu cuțit-pieptene. În figura 12.168, se dă structura cinematică, de bază, la mortezarea cu cuțit-pieptene.

Ecuția lanțului cinematic de așchiere:

$$n_M i_{1-2} i_{2-3} i_{3-4} i_{4-5} i_{5-6} = n [\text{curse duble/min}],$$

de unde:

$$i_{v3} = C_4 \cdot n.$$

Ecuția lanțului cinematic de rotație a piesei rezultă din condiția ca, la o rotație cu unghiul  $\lambda$  a portprogramului T, piesa să se rotească cu un dinte:

[ $\lambda/360$ ] rot/portprogram  $i_{21-9} i_{9-22} i_{22-10} i_{10-11} i_{11-12} i_{12-16} i_{16-17} i_{17-18} = [1/z]$  rot/piesă, de unde  $i_{v1} = C_2/z$ , deoarece  $i_{v5}$  este constant pentru o metodă de divizare, de exemplu dinte cu dinte.

Ecuția lanțului cinematic de translație se deduce din condiția ca, la aceeași rotație cu unghiul  $\lambda$  a portprogramului T, centrul piesei să execute o mișcare de translație de un pas  $p_1 = \pi m_1$ :

[ $\lambda/360$ ] rot/portprogram  $i_{21-9} i_{9-22} i_{22-10} i_{10-11} i_{11-12} i_{12-13} i_{13-14} i_{14-15} = [\pi m_1]$  deplasare/piesă, de unde, considerind  $i_{v5} = \text{const}$ :  $i_{v2} = C_3 m_1$ .

Ecuția lanțului cinematic de avans (al sculei) se determină din condiția ca evolventa dintelui piesei să rezulte ca înfășurătoare a unui număr ales (în funcție de rugozitate)  $n$  de poziții succesive ale profilului sculei:

[ $\lambda/360$ ] rot/portprogram  $i_{21-9} i_{9-8} (1/i_{v4}) i_{7-5} i_{5-6} = [n]$  curse duble/sculă, de unde valoarea variatorului  $i_{v4}$  (mecanism cu clichet) va fi:  $i_{v4} = C_5/n$ .

**Frezarea cu freză-melc.** Pentru generarea danturii înclinate, sînt necesare două grupuri de lanțuri cinematice: pentru generarea evolventei și pentru generarea în lungime a formei dintelui (fig. 12.169), corespunzătoare mașinii FD-320, UMCugir (fig. 12.170), frecvent utilizată de firmele constructoare.

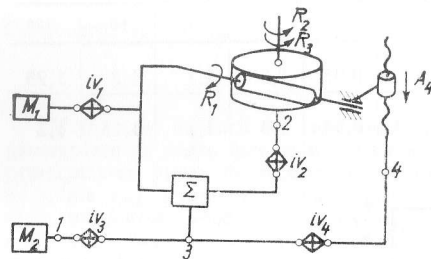


Fig. 12.169. Structura cinematică a mașinii FD-320, U.M. Cugir

Ecuția lanțului cinematic închis de rulare:

[1] rot/freză  $i_{5-4} i_{4-6} i_{6-7} i_{7-8} i_{8-9} i_{9-10} i_{10-11} = [q/z_1]$  rot/piesă, în care  $i_{6-7}$  cuprinde și raportul mecanismului diferențial,  $q$  — numărul de începuturi ale frezei. Rezultă  $i_{v2} = C_1 q/z$ .

Ecuția lanțului cinematic închis pentru generarea în lungime a formei dintelui:

[1] rot/piesă  $i_{11-10} i_{10-9} (1/i_{v2}) i_{8-7} i_{7-15} i_{15-16} (1/i_{v4}) i_{17-14} = [\pi m_1 / \sin \beta d_1]$  deplasare pe verticală a sculei, în care  $i_{7-15}$  cuprinde și raportul de transmitere al mecanismului diferențial. Rezultă:  $i_{v4} = C_3 \sin \beta d_1 / m_1$ .

Ecuția lanțului cinematic de antrenare a frezei:

$$n_M i_{1-2} i_{2-3} i_{3-4} i_{4-5} = n_s [\text{rot/min}],$$

în care  $n_s$  este turația frezei. Rezultă:  $i_{v1} = C_4 n_s / n_M$ , în care  $n_s = 1000 v / (\pi D_{ds})$ ,  $D_{ds}$  fiind diametrul de divizare al frezei.

Ecuția lanțului cinematic de avans vertical al frezei:

[1] rot/piesă  $i_{11-10} i_{10-12} i_{12-13} i_{13-14} = [s]$  mm deplasare pe verticală a sculei, în care  $s$  este pasul șurubului conducător. Rezultă  $i_{v3} = C_5 s$ .

**Observație:** constantele  $C_1$ ,  $C_2$ ,  $C_3$ ,  $C_4$  și  $C_5$  sînt caracteristice fiecărui tip de mașină-unealtă și sînt date în cartea mașinii.

În cazul cînd, pentru numărul de dinți dat  $z_1$ , nu există o roată potrivită în garnitura de roți a variatorului  $i_{v2}$ , se descompune numărul de dinți de prelucrat sub forma unei sume:  $z_1 = z_0 \pm c$ , unde  $z_0$  este un număr pentru care se găsește roată de schimb.

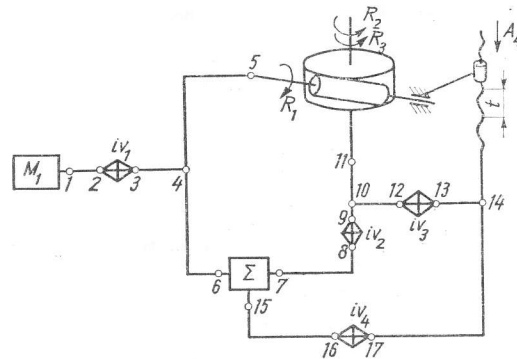


Fig. 12.170. Structura cinematică la danturarea cu freză-melc

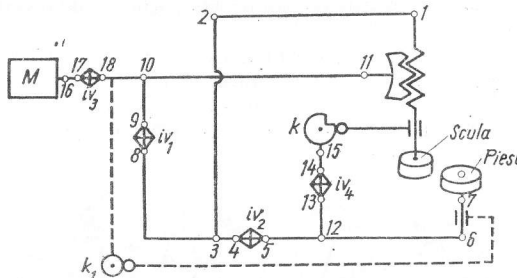


Fig. 12.171. Structura cinematică la mortezarea cu cuțit-roată

Reglînd pe  $i_{v2}$  corespunzător lui  $z_0$ , la o turație dată a frezei, piesa va avea o turație mai mare sau mai mică. Ca urmare, este necesar să i se scadă sau să i se adauge turația, cu o anumită valoare, pentru a se roti cu raportul de transmitere  $k/z$  — ceea ce se realizează prin mișcarea suplimentară luată de la piesă prin lanțul cinematic  $10-12-13-14-17-16-15$ , mărimea acestuia fiind reglată cu variatorul  $i_{v4}$  (fig. 12.170). Ecuția lanțului cinematic complex va fi:

[1] rot/piesă  $i_{11-10} i_{10-9} (1/i_{v2}) i_{8-7} i_{7-6} i_{6-10} i_{12-13} i_{13-14} i_{14-17} \cdot i_{v4} i_{16-15} i_{15-6} i_{6-4} i_{4-5} = [(z_1/q) \pm (c/q)]$  rot/piesă.

Rezultă că ecuația lanțului cinematic pentru mișcarea suplimentară va fi:

[1] rot/piesă  $i_{11-10} i_{10-12} i_{12-13} i_{13-14} i_{14-17} i_{v4} i_{16-15} i_{15-6} i_{6-4} i_{4-5} = [c/q]$  rot/sculă

Se găsește:  $i_{v3} = C_5 s$  și  $i_{v4} = C_6 / (q \cdot s)$ .

Se recomandă ca  $c$  să fie ales mai mic decât  $1/5$  din valoarea avansului  $s$ . În ceea ce privește semnul  $+$  sau  $-$ , interpretarea se va da în sensul că se introduce sau nu o roată intermediară în variatorul  $i_{v4}$ , care va determina o adunare sau o scădere a mișcării suplimentare față de mișcarea de bază din lanțul de rulare.

**Mortezarea cu cuțit-roată.** Ecuația lanțului cinematic închis de rulare (fig. 12.171).

[1]  $rot/sculă i_{1-2} i_{2-3} i_{3-4} i_{4-5} i_{5-6} i_{6-7} = [z_8/z_1] rot/piesă$ ,  
de unde  $i_{v2} = C_1 z_8/z_1$ .

Ecuația lanțurilor cinematice ale avansurilor:

— lanțul care leagă rotația sculei cu deplasarea acesteia:

[1]  $rot/sculă i_{1-2} i_{2-3} i_{3-8} (1/i_{v1}) i_{9-10} i_{10-11} = n_s = [\pi m_1 z_8/s]$  număr curse sculă,  
de unde  $i_{v1} = C_2 s/D_{ds}$ , deoarece  $m_1 z_8 = D_{ds}$ ;

— lanțul de pătrundere

[1]  $rot/piesă i_{7-6} i_{6-12} i_{12-13} i_{13-14} i_{14-15} = [\alpha_k/360^\circ] rot/camă$ ,

în care  $\alpha_k$  este unghiul de rotire a camei  $k$  pentru o rotație a piesei ( $\alpha_k = 270^\circ$  pentru camă cu o trecere,  $\alpha_k = 135^\circ$  pentru camă cu două treceri,  $\alpha_k = 90^\circ$  pentru camă cu trei treceri); rezultă  $i_{v4} = C_3 \alpha_k/360^\circ$ .

Ecuația lanțului cinematic de așchiere:

$n_{M16-17} i_{v3} i_{18-10} i_{10-11} = n_s$  [curse duble/min],  
de unde  $i_{v3} = C_4 n_s$ .

Constantele  $C_1$ ,  $C_2$ ,  $C_3$  și  $C_4$  sunt caracteristice diferitelor tipuri de mașini de mortezat.

**Observație:** Cama pentru o trecere se alege în cazul prelucrării în plin, pentru modulele  $m_1 < 3$  mm și oțel moale; cama pentru două treceri se utilizează pentru  $m_1 < 5$  mm, pentru materiale de rezistență mijlocie; iar cama pentru trei treceri — pentru module  $m_1 > 5$  mm și oțeluri de mare rezistență sau pentru obținerea de precizii ridicate la roțile cu modul mic.

**12.2.10.4. SCULE PENTRU DANTURARE PRIN RULARE. Cuțite-pieptene pentru dantură dreaptă.** În figura 12.172 stînga, se dă construcția cuțitului de mortezat tip Maag; iar în dreapta, a celui de tip Sunderland. Pentru primul,  $\alpha^* = 11^\circ 30'$  [68],  $\gamma^* = 6^\circ 30'$  (obținute prin poziționarea cuțitului); pentru al doilea,  $\alpha = 6^\circ 52'$ ,  $\gamma = 4^\circ$  (obținute prin construcția cuțitului).

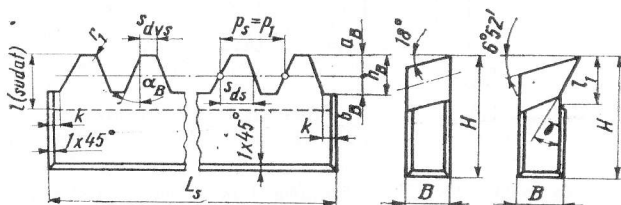


Fig. 12.172. Geometria cuțitului pieptene

În cazul cuțitului Maag,  $a_B = a_A/\cos \gamma$ ,  $h_B = h_A/\cos \gamma$ , în care:  $a_A = b_1 = 1,25 m_1$ ;  $h_A = 2,5 m_1$ ;  $b_1$  fiind înălțimea piciorului dintelui roții 1, inclusiv jocul dintre vârful dintelui roții dinate și fundul cuțitului-pieptene; pentru cuțitele de degroșare, înălțimea capului dintelui sculei se ia mai mare cu  $0,1/m_1$  pentru  $m_1 = 1...1,75$  mm și  $0,2/m_1$  pentru  $m_1 = 2...24$  mm; în cazul cînd roata prelucrată urmează să fie finisată cu cuțit-roată, se ia  $a_A = 1,3 m_1$ ;  $\tan \alpha_B = \tan \alpha_{d1} \cos \gamma$ ,  $p_s = \pi m_1$ ,  $s_{ds} = \pi m_1/2$ . Pentru degroșare,

$s_{ds} = (\pi m_1/2) - 2 \cdot 0,2 \sqrt{m_1}$ ; dacă prelucrarea este urmată de rectificare,  $s_{ds} = (\pi m_1/2) - 2 \cdot 0,1 \sqrt{m_1}$ ,  $r_1 = (0,35...0,4) m_1$ .

Pentru prelucrarea materialelor mai moi, se face o ascuțire suplimentară pe fața de degajare (fig. 12.173).

**Cuțite-pieptene pentru dantură înclinată.** Pentru dantură înclinată sau în V, cuțitul-pieptene poate avea dantură dreaptă (fig. 12.174, a) sau înclinată (fig. 12.174, b și 12.175). În primul caz, angrenarea piesă-sculă se face în secțiunea normală; ca urmare,

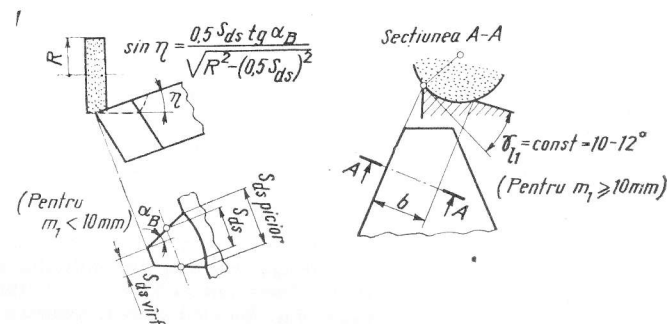


Fig. 12.173. Ascuțire suplimentară

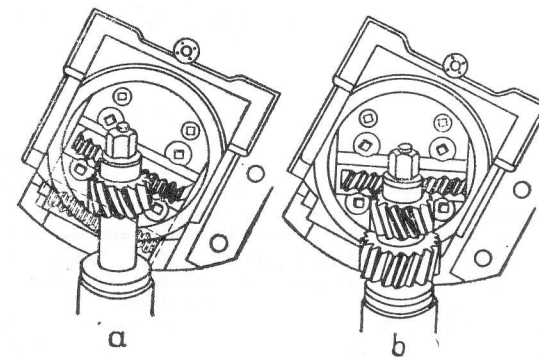


Fig. 12.174. Danturarea înclinată

în formulele angrenării se vor introduce elementele normale ale roții transformate, deoarece în secțiunea normală rezultă o elipsă, care, pentru angrenare, trebuie transformată în cerc. În cazul al doilea, se ia  $\gamma = 0$ , adică planul frontal al cuțitului corespunde cu suprafața frontală a roții; se va avea grijă ca, pentru dantură înclinată la dreapta, să se construiască cuțite cu dinți înclinați la stînga și invers.

Pentru cuțite-pieptene cu dinți înclinați la stînga (fig. 12.174):

$$\operatorname{tg}(\alpha'_{Nst}, \alpha''_{Nst}) = (\operatorname{tg} 20^\circ \cos \omega'_s / \cos \alpha) \pm \operatorname{tg} \alpha \sin \omega'_s.$$

Pentru cuțite-pieptene cu dinți înclinați la dreapta:

$$\operatorname{tg}(\alpha'_{Ndr}, \alpha''_{Ndr}) = (\operatorname{tg} 20^\circ \cos \omega'_s / \cos \alpha) \mp \operatorname{tg} \alpha \sin \omega'_s,$$

în care  $\operatorname{tg} \omega'_s = \operatorname{tg} \omega_s \cos \alpha$ ,  $\omega_s$  fiind unghiul de înclinare al dinților.

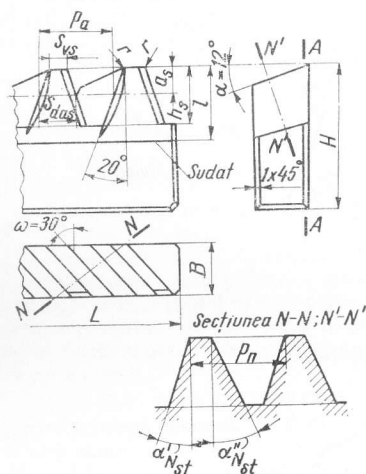


Fig. 12.175. Cuțit-pieptene pentru dantură înclinată

care  $H = h_s + 0,5(k + k_1) + 1 \dots 1,5$  mm pentru detalonare dublă și  $H = h_s + k + 0,5$  mm pentru freze nerectificate; unde  $k = (\pi D_{es} \operatorname{tg} \alpha) / z_k$ ,  $k_1 = (1,2 \dots 1,5)k$ ;  $d$  — diametrul dornului (stabilit pe baza solicitărilor); cu cît diametrul frezei este mai mare, cu atît erorile care se obțin la profilarea frezei sînt mai mici; de asemenea, prin mărirea lui  $D_{es}$ , se poate mări numărul de canale iar suprafața prelucrată rezultă mai netedă. Începînd cu  $m_1 = 10$  mm, frezele se execută numai cu dinți demontabili.

Diametrul de divizare,  $D_{ds} = D_{es} - 2a_s - (0,2 \dots 0,5)k$ .

Numărul de dinți (după A. N. Grubin),  $z_k = 2\pi / \operatorname{arc} \cos (1 \dots 4,4 m_{n1} / D_{es})$ .

Se va verifica ca grosimea dintelui la picior să fie mai mare de  $0,75 H$ . Pentru frezele de precizie, se recomandă  $z_k \geq 10$ .

Lungimea frezei,  $L_{min} \approx 13 m_{n1}$ . Cu cît lungimea utilă este mai mare, cu atît sînt posibile mai multe deplasări, după uzură.

Diametrul gulerelor,  $D_1 = D_{es} - 2H - (3 \dots 5)$  mm; lungimea acestora,  $e = 4 \dots 5$ . Gulele se teșesc pe  $1 \dots 1,5$  mm la  $30^\circ$ .

Parametrii geometrici:  $\gamma$  (finisare) =  $0^\circ$ ,  $\gamma$  (degroșare) =  $3 \dots 10^\circ$ ,  $\alpha = 9 \dots 12^\circ$  (ca urmare rezultă un unghi de așezare lateral de  $3 \dots 4^\circ$ ).

**Freza-melc.** Nu este altceva decît un șurub-melc, prevăzut cu canale de evacuarea așchiilor și detalonat. Canalele se construiesc în general elicoidale, înclinate la  $\omega_{ds}$ , în care  $\omega_{ds}$  este unghiul de ridicare (pantă) al dinților elicoidali ai frezei, și care este egal cu unghiul de înclinare al dinților roții prelucrate  $\beta_{d1}$ . Rezultă:  $\omega_{ds} = m_{ns} / D_{ds}$  în care  $m_{ns} = m_{n1}$ ; pentru dinți drepiți:  $\omega_{ds} = m_1 / D_{ds}$ .

În secțiunea normală, profilul frezei se ia (introducînd o eroare teoretică):  $\alpha_{ns} = \alpha_{d1}$ , în care  $\alpha_{d1}$  este unghiul profilului de referință în secțiunea normală; pentru dantură dreaptă:  $\alpha_{ns} = \alpha_{d1}$ . În mod corect, pentru a se obține un dinte cu profil în evolventă, este necesar să se utilizeze freze cu profil în evolventă (K. Kutzbach, 1925). Celelalte elemente:  $a_s = b_1 = 1,25 m_{n1}$  (respectiv  $1,25 m_1$ ),  $b_s = 1,25 m_{n1}$  (respectiv  $1,25 m_1$ ),  $h_s = a_s + b_s = 2,5 m_{n1}$  (respectiv  $2,5 m_1$ ),  $p_{ns} = p_{n1}$  (respectiv  $p_1$ ),  $S_{asn} = p_{ns} / 2$  sau, pentru degroșare,  $S_{asn} = (p_{ns} / 2) - \Delta_s$ , în care  $\Delta_s$  este adaosul lăsat pentru finisare,  $r_1 = (0,25 \dots 0,3) m_{n1}$  și  $r_2 = (0,2 \dots 0,3) m_{n1}$ .

Alte elemente: în (fig. 12.176), se dau diametrul frezei  $D_{es} \geq (1,5 \dots 2)d + 2H$ , în

Freza-melc prezintă o serie de surse de erori, datorită reascuțirii, abaterilor unghiului de înclinare al canalului de evacuarea așchiilor, necuprinderea într-un plan a tășurilor dinților frezei, etc. Fața de degajare poate fi însă și după o suprafață elicoidală riglată. Este de observat că, cu cît canalul este mai înclinat, cu atît erorile introduse sînt mai mari.

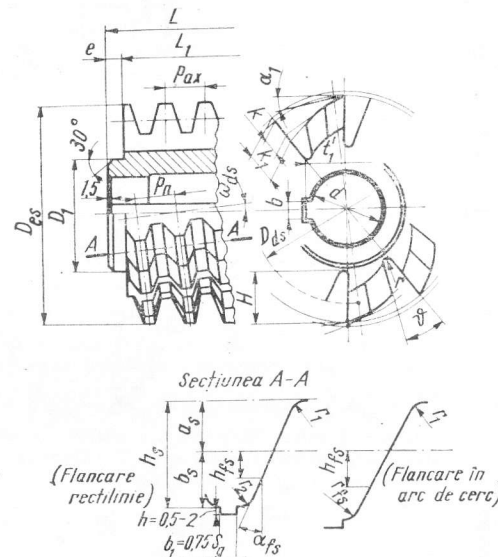


Fig. 12.176. Freză-melc.

În STAS 3092-67, sînt date dimensiunile și condițiile tehnice ale frezelor-melc cu un început, pentru finisarea roților dințate cilindrice cu modul de la 1 mm la 20 mm; iar în STAS 3091-65 și 7678-66 — freze-melc pentru finisarea arborilor canelați cu profil dreptunghiular în evolventă.

**Cuțitul-roată pentru dantură dreaptă** (fig. 12.177) Este o roată dințată cilindrică cu dantură deplasată, avînd, în fiecare secțiune normală la axul cuțitului, deplasări de profil primitiv al cremalieriei diferite. În secțiunea de referință, la distanța  $a$ , dantura este zero deplasată; spre fața de degajare, deplasarea este pozitivă; iar, spre spatele sculei, deplasarea este negativă. Mărirea distanței la secțiunea de referință,  $a = em$ , se stabilește ținîndu-se seama de ascuțirea vîrfului dintelui sculei. Cu cît  $a$  este mai mare, cu atît lățimea dintelui la vîrf este mai mică, rezultînd o durabilitate mai mică a sculei. Mărirea unghiului de așezare ( $\alpha = 6^\circ$ ) influențează asupra deplasării profilului de referință al sculei pe înălțimea întregii scule. Unghiul de degajare ( $\gamma = 5^\circ$ ) influențează asupra profilului sculei, deformîndu-l. De aceea, în vederea corectării deformărilor, diametrul cercului de bază al sculei se calculează cu relația [44]:  $\operatorname{tg} \alpha_s = \operatorname{tg} \alpha_{d1} / (1 - \operatorname{tg} \gamma \operatorname{tg} \alpha)$ , în care  $\alpha_s$  este unghiul profilului sculei considerat într-o secțiune normală la axa cuțitului. Se observă că, dacă  $\gamma = 0$  sau  $\alpha = 0$ , atunci  $\alpha_s = \alpha_{d1}$ ; iată de ce mult timp valorile lui  $\gamma$  și  $\alpha$  au fost limitate.

Diametrul de divizare nominal,  $D_{dn}$ , se adoptă în funcție de tipul mașinii-unelte, modulul și felul angrenării (exterioare sau interioare). Se va observa că, cu cît diametrul



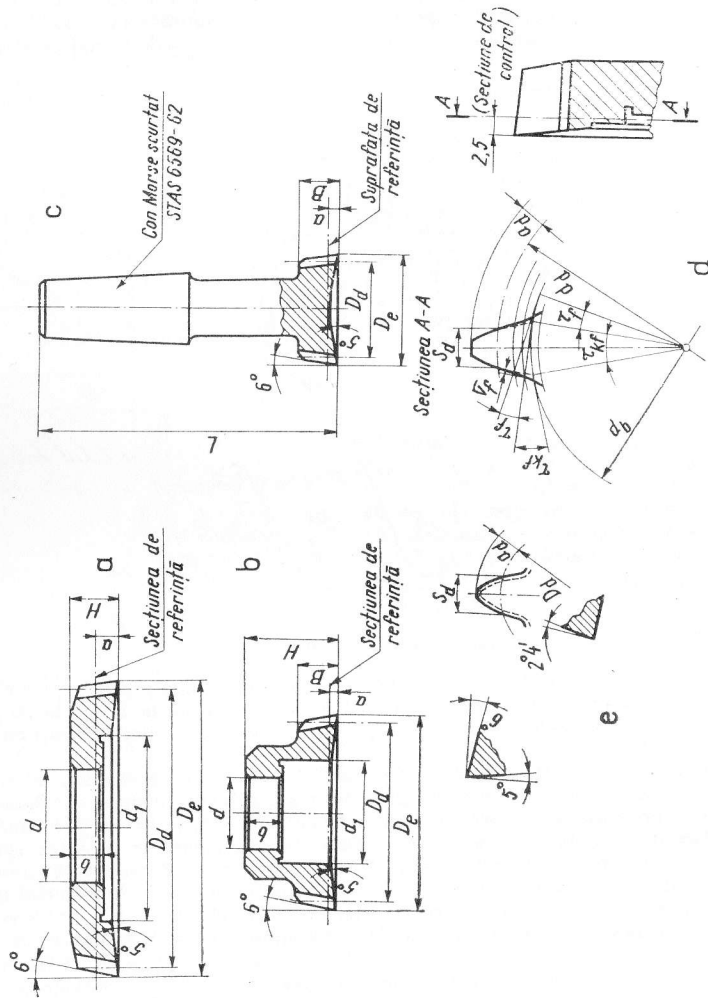


Fig. 12.177. Cuțite-roată: a — cuțit-roată disc; b — cuțit-roată oală; c — cuțit-roată cu coadă; e — dantură neflancată; d — dantură flancată

suclei este mai mic, cu atât este mai rigidă; dar, la un diametru mic, rezultă deformări mai mari ale evolventei la roata prelucrată. Cele mai utilizate sînt:  $D_{dn} = 100$  și  $75$  mm. S-au standardizat:  $D_{dn} = 75, 100, 125, 160, 200$  — pentru cuțit-roată disc,  $D_{dn} = 50, 75, 100, 125$  — pentru cuțit-roată oală și  $D_{dn} = 25, 38$  — pentru cuțit-roată cu coadă.

Numărul de dinți, în mod obișnuit este  $15 \leq z_s \leq 75$ , deoarece la roțile care au sub 15 dinți, la prelucrare rezultă curbe de trecere înalte, iar peste 75 dinți, rectificarea cuțitului ridică probleme — discul abraziv trebuind să dureze la ascuțirea tuturor dinților. Odată ales numărul de dinți, diametrul de divizare real are valoarea:  $D_{ds} = z_s m$  unde  $m = m_1 = m_s$ .

În secțiunea de referință,  $a_{s0} = (f' + c')m$ , unde  $f' + c' = 1,3$  sau  $1,25$ ;  $b_{s0} = (1,3$  sau  $1,25)m$ ;  $s_{d0} = 0,5\pi m_1 + \Delta s_d$  unde  $\Delta s_d$  este creșterea pentru asigurarea jocului minim dintre flancuri, la o roată dințată avînd clasa de precizie apropiată de 6JC. Pe fața frontală:

$$a_s = (f' + c')m + a \operatorname{tg} \alpha, s_{ds} = 0,5\pi m + \Delta s_d + 2a \operatorname{tg} \alpha, D_{es} = D_{ds} + 2a_s,$$

$$D_{is} = D_{ds} - 2b_s.$$

În STAS 6655-57, se dau dimensiunile și condițiile tehnice pentru cuțite-roată

Este necesar să se facă verificarea la interferență evitîndu-se ca porțiunea activă, reală a profilului roții 1 să depășească porțiunea în evolventă a dintelui roții conjugate 2.

Astfel,  $A_{1,2} \sin \alpha_{d1} - \sqrt{R_{e2}^2 - R_{b2}^2} \geq A_{s1} \sin \alpha_{s1} - \sqrt{R_{es}^2 - R_{bs}^2}$  unde  $A_{12}$  și  $A_{s1}$  sînt distanțele dintre centrele roților 1,2 respectiv roata 1 și scula s;  $\alpha_{s1}$  — unghiul de angrenare dintre roata 1 și sculă;  $R_{e2,s}$  — raza exterioară a roții 2 respectiv sculei s. De asemenea, pentru evitarea posibilității subțierii piciorului dintelui roții prelucrate,

$$R_{es} < \sqrt{(A_{s1,2} \sin \alpha_{s1,2})^2 + R_{bs}^2}. \text{ Pentru executarea corectă a capului dintelui roții}$$

prelucrate,  $R_{e1,2} < \sqrt{(A_{s1,2} \sin \alpha_{s1,2})^2 + R_{b1,2}^2}$  iar pentru realizarea unor curbe de trecere mai puțin înalte, se face  $f' + c' = 1,3$ , ceea ce este necesar mai ales la cuțite-roată cu număr mic de dinți.

În cazul prelucrării danturii interioare, pentru evitarea interferenței primare (interferența profilelor în evolventă la capătul dintelui sculei și la piciorul dintelui roții),

$$R_{es} \geq \sqrt{(A_{s2} \sin \alpha_{s2})^2 + R_{b2}^2}, \text{ în care indicele 2 s-a luat pentru roata cu dantură interioară; pentru ca vîrfurile dinților roții 2 și ai pinionului 1, la angrenare, să nu pătrundă în curbele de racordare de la piciorul dintelui, } \sqrt{R_{e1}^2 - R_{b1}^2} + A_{12} \sin \alpha_d \leq A_{s2} \sin \alpha_{s2} -$$

$$- \sqrt{R_{es}^2 - R_{bs}^2}. \text{ În cazul pinionului 1, raza cercului pe care este amplasat punctul inițial de contact al pinionului să fie mai mare decît raza punctului de contact al vîrfului}$$

dintelui sculei, adică  $\sqrt{R_{e2}^2 - R_{b2}^2} - A_{12} \sin \alpha_d \geq A_{s1} \sin \alpha_{s1} - \sqrt{R_{es}^2 - R_{bs}^2}$ . Pentru evitarea interferenței secundare (interferența profilelor în evolventă la capetele dinților roții prelucrate 2 și sculei, la intrarea sau la ieșirea din angrenare a dinților) este necesar ca — după criteriul lui Buckingham [9]:  $x_2 > x_1$ , în care  $x_2 = \delta - v_f$ ;  $x_1 = \operatorname{inv} \alpha_{2f}$ ;  $\delta = [z_s(\operatorname{inv} \alpha_{sf} - \operatorname{inv} \alpha_d)/z_s] + \operatorname{inv} \alpha_d$ ;  $v_f = \arcsin [(R_{es} \sin \epsilon_s)/R_{es}] - \epsilon_s$ ;  $\cos \alpha_{2f} = R_{b2}/R_{es}$ ;  $\cos \alpha_{sf} = R_{bs}/R_{es}$ ;  $\cos \epsilon_s = (R_{e2}^2 - R_{es}^2 - A_{s2}^2)/(2A_{s2}R_{es})$ ;  $\epsilon_s = (z_s/z_2)\epsilon_s$ . Henriot [78, v.I, p. 159] dă o diagramă pentru stabilirea diferenței  $(z_2 - z_1)_{\min}$ , pentru diferiți coeficienți

ai înălțimii capului dintelui, astfel încât să se evite interferența secundară la angrenarea pinionului 1 cu roata cu dantură interioară 2 (fig. 12.178); se observă că, pentru  $f'_2 + c'_2 = 1$  și  $\alpha_d = 20^\circ$ , se găsește  $z_2 - z_1 \geq 8$ .

Aceeași diagramă poate fi utilizată și pentru generarea danturii interioare a roții 2, cu cuțitul-roată, dacă se consideră  $f'_s + c'_s = 1,25$  sau  $1,3$ ; în acest caz, pentru  $\alpha_d = 20^\circ$ ,  $f'_2 + c'_2 = 1$  și  $f'_s + c'_s = 1,25$ , calculându-se valoarea medie  $(1 + 1,25)/2$ , se găsește din diagrama  $z_2 - z_1 \geq 9$ . În cazul prelucrării danturii interioare, este necesar să se verifice și interferența datorită avansului de pătrundere radial al cuțitului-roată. În acest caz se calculează coordonatele  $x_1, x_2, x_3, \dots$  respectiv  $X_1, X_2, X_3, \dots$  ale vîrfurilor dinților sculei respectiv roții 2 pînă la linia centrelor acestora [78]  $x_1 = R_{es} \sin \delta_1$ ;  $x_2 = R_{es} \sin \delta_2$ ;  $x_3 = R_{es} \sin \delta_3, \dots$  și  $X_1 = R_{e2} \sin \delta_1$ ;  $X_2 = R_{e2} \sin \delta_2$ ;  $X_3 = R_{e2} \sin \delta_3, \dots$  în care  $\delta_1 = S_{es}/2R_{es}$  și  $\Delta_1 = (\pi/z_2) - (S_{e2}/2R_{e2})$  — pentru cazul cînd axa dintelui sculei coincide cu linia centrelor, sau  $\delta_1 = (\pi/z_s) + (S_{es}/2R_{es})$  și  $\Delta_1 = (2\pi/z_2) - (S_{e2}/2R_{e2})$  — pentru cazul cînd axa unui gol al danturii sculei coincide cu linia centrelor. Celelalte cazuri sînt intermediare iar  $\delta_2 = \delta_1 + (2\pi/z_s)$ ;  $\delta_3 = \delta_1 + (4\pi/z_s), \dots$  și  $\Delta_2 = \Delta_1 + (2\pi/z_2)$ ,  $\Delta_3 = \Delta_1 + (4\pi/z_2), \dots$ , în care  $S_{es}$  și  $S_{e2}$  sînt grosimile vîrfurilor dinților de la sculă respectiv roata 2,  $z_s$  și  $z_2$  — numărul de dinți al sculei, respectiv roții 2,  $z_1$  — numărul de dinți al pionului 1,  $\alpha_d$  — unghiul de angrenare. Pentru a nu exista interferență, este necesar ca  $x_i < X_i$ , pentru toți dinții. În mod practic, se poate utiliza, și în acest caz, diagrama

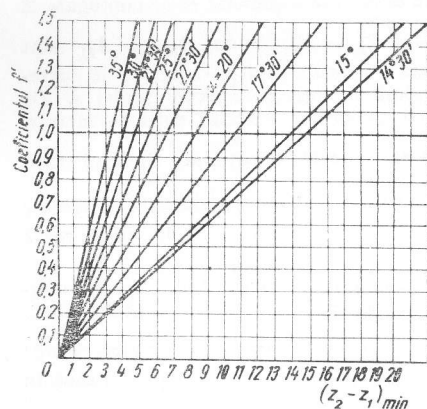


Fig. 12.178. Diagramă pentru  $(z_2 - z_1)_{min}$  [29]

și pentru diferența limită  $(z_2 - z_s)$ , adăugîndu-se la valoarea obținută 6 dinți [29].

Ascuțirea cuțitului-roată se face conform figurii 12.179, a. În cazul prelucrării oțelurilor moi, se face o ascuțire suplimentară (fig. 12.179, b, c și d). În ceea ce privește fețele laterale ale dinților, acestea vor fi suprafețe elicoidale în evolventă, generate cu același arc de bază.

<sup>1</sup> V. F. Romanov, Mașini-unelte și scule, nr. 6/1954

Datorită reascuțirii sculei, aceasta va forma cu roata dințată prelucrată diferite tipuri de angrenaje, după coeficientul de deplasare  $\xi_s$ , din secțiunea unde s-a ajuns cu reascuțirea. Distanța dintre centrele sculei și piesei se va calcula cu formula  $A_{1s} = A_0 + (\xi_1 + \xi_s)m$ , în care  $\xi_{1s}$  se vor înlocui cu valorile lor reale, putînd rezulta angre-

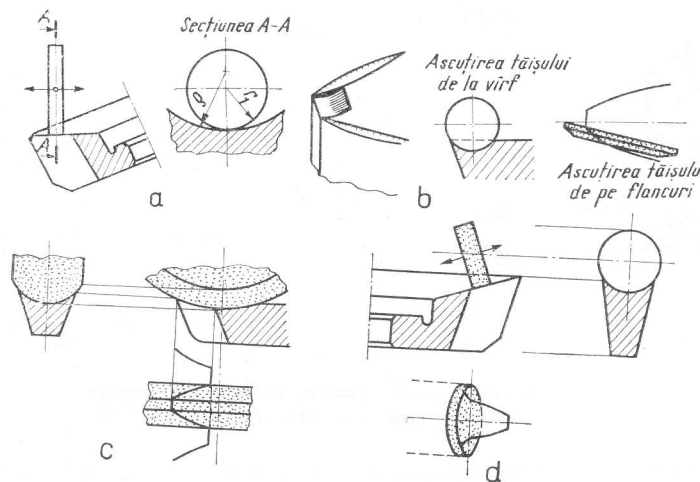


Fig. 12.179. Ascuțirea cuțitului-roată:  
a — normală; b, c, d — suplimentară

narea zero, pozitivă sau negativă; valoarea lui  $A_0 : A_0 = 0,5(z_s + z_1)m$ . Ținînd seama de jocul dintre flancuri, se poate considera relația:  $A_{1s} < A_0 + (\xi_1 + \xi_s)m$ .

**Cuțite-roată pentru dantură înclinată** (fig. 12.180, b). Pentru ca dinții generați de sculă să aibă o suprafață laterală elicoidală în evolventă, este necesar ca suprafața înfășurătoare materializată de muchiile tășurilor sculei să fie o suprafață elicoidală în evolventă; ca urmare, muchiile tășurilor trebuie să execute o mișcare elicoidală realizată de exemplu de un ghidaj special, de pas egal cu pasul  $P_{ES}$  al suprafeței elicoidale materializată de tășuri (fig. 12.180, a). În plus, va exista și o rotație a sculei datorită avansului de rulare. Unghiul de înclinare al suprafeței materializată de tășuri  $\omega_{as}$ , măsurat pe cilindrul de divizare al sculei, va fi egal cu unghiul de înclinare al danturii prelucrate,  $\beta_{d1}$ . Dacă cuțitul-roată are diametrul de divizare egal cu al semifabricatului, va rezulta:  $\omega_{as} = \beta_{d1}$  și  $P_{ES} = P_{E1}$ . Mașinile-unelte fiind echipate cu ghidaje elicoidale de schimb, calculate pe un anumit diametru nominal al cercului de divizare al cuțitului-roată și pentru un anumit unghi al danturii, rezultă că, pentru un unghi  $\beta_{d1}$  prescris, diametrul cuțitului-roată este impus de ghidajele elicoidale existente.

Fața de degajare poate fi: 1) cuprinsă în planul frontal al roții prelucrate (fig. 12.180) c — cuțit Sykes sau 2) normală la suprafața elicoidală materializată de tășurile sculei (fig. 12.180, d) — cuțit tip Fellows. În ultimul caz, diferitele elemente ale sculei, din secțiune frontală și secțiune normală, se calculează cu relațiile:  $m_a = m_n / \cos \alpha_{ds}$ ,  $\tan \alpha_{da} = \tan \alpha_{dn} / \cos \alpha_{ds}$ ,  $f'_a = f'_n \cos \alpha_{ds}$ .

Pentru cuțitul Sykes,  $a_s = 0,8 m_a$ ,  $b_s = 1,1 m_a$ ,  $c$  (jocul radial)  $= 0,3 m_a$ ,  $\alpha_{da} = 20^\circ$  sau  $17^\circ 30'$ ,  $m_a = m_n / \cos \beta_{d1}$  (în cazul cînd roata dințată are un anumit modul în secțiune normală,  $m_n$ ). Pentru cuțitul Fellows,  $\alpha_{dn} = 20^\circ$ ,  $f'_n = 1$  sau  $0,8$ ,  $c'_n$  (coeficientul jocu-

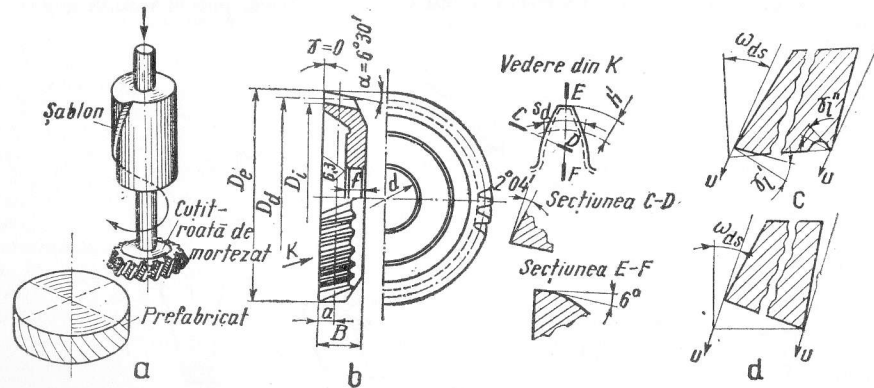


Fig. 12.180. Cuțite-roată pentru dantură înclinată:

a - ghidaj; b - cuțit; c - Sykes; d - Fellows

lui)  $= 0,25 \dots 0,3$ ,  $s_{dsn} = 0,5\pi m_a \cos \omega_{ds}$  (din secțiunea de referință  $A_n - A_n$ ) sau, luînd în considerare jocul,  $s_{dsn} = (0,5\pi m_a + f) \cos \omega_{ds}$ ,  $s_{dsn} = s_{dsn} / \cos \omega_{ds}$  (din secțiunea frontală de referință).

### 12.2.11. ȘEVERUIREA

12.2.11.1. PROCESUL DE ȘEVERUIRE. Șeveruirea este un proces de răzuire, în care scula, sub formă de cremalieră (mai puțin răspîdită) sau roată, prevăzută cu canale pe înălțimea dintelui, rulează cu semifabricatul, formînd un angrenaj încrucișat, la care contactul dintre dinți este teoretic punctiform. Șeverul are o alunecare relativă de-a lungul flancurilor dinților fig. 12.181, a. Se obține: mărirea preciziei roților prelucrate cu o treaptă; îmbunătățirea netezimii suprafețelor  $Ra = 0,32 \dots 0,63 \mu m$ , față de  $Ra = 2,5 \dots 5 \mu m$  la prelucrarea prealabilă; bombarea dinților (eventual), atunci cînd se prevede oscilarea suportului portpiesă. Se prelucreează roți dințate netratate sau îmbunătățite cu  $\sigma_r = 70 \dots 90 \text{ daN/mm}^2$ , max  $110 \text{ daN/mm}^2$ .

Unghiul de încrucișare a proiecțiilor axelor  $\delta$ , se ia de  $15^\circ$  (minim  $3^\circ$ , maxim  $30^\circ$ ). Cu cît  $\delta$  este mai mare, cu atît alunecarea și deci așchieria sînt mai intense, dar cu atît zona de contact este mai mică și presiunea specifică mai mare, existînd pericolul de înțepenire, ruperea danturii și, în același timp, rezultă suprafețe mai rugoase. Dacă  $\delta$  este mic, viteza de așchiere este mică, mărindu-se efectul de presare (durificarea materialului); ca urmare, crește undulația suprafeței prelucrate. Unghiul  $\delta$  are valoarea  $\delta = \beta_{d1} \pm \omega_{ds}$ , semnul  $+$  se ia cînd dinții sînt înclinați în același sens, iar  $-$  în sens contrar (fig. 12.181, b).

În afară de mișcarea principală de rulare, sînt necesare două avansuri:  $s_l$  - avansul longitudinal, mm/rot semifabricat și  $s_r$  - avansul radial (periodic), mm/cursă sanie

portpiesă. Avansul longitudinal poate fi: axial (de-a lungul axei roții), tangențial (perpendicular pe axa roții) și oblic cuprins între primele două cazuri. Direcția avansului longitudinal influențează asupra productivității (datorită lungimii cursei: mai mică în cazul avansului tangențial, mai mare în cazul avansului axial) și asupra microgeometriei suprafeței (fig. 12.181, c), în care traiectoria 1 este pentru avans axial, traiectoria 2 pentru avans tangențial.

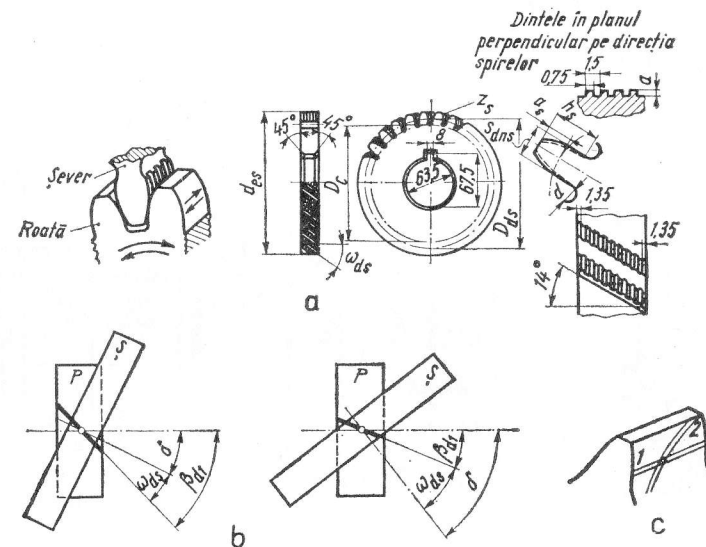


Fig. 12.181. Șeveruirea:

a - șever-roată; b - unghiul axelor; c - traiectoriile așchierii

Obişnuit, șeverul este acela care se rotește și antrenează semifabricatul, iar avansul radial este executat de piesă pentru roți mari, lucrurile se petrec invers. Avansul longitudinal este executat de șever sau de roată. În cazul roților mici, axa acestora este orizontală; la roțile mari se preferă verticală. În figura 12.182. se dă schema cinematică structurală pentru o mașină de șeveruit. Lanțul cinematic principal execută mișcarea de rotație a sculei, primind mișcarea de la motorul  $M_1$ , prin roțile de schimb  $A_v, B_v$ . Lanțul cinematic de avans longitudinal primește mișcarea de la motorul  $M_2$ , prin roțile de schimb  $A_{WL}, B_{WL}$ . Mișcarea de avans radial este asigurată printr-un mecanism cu clichet MC, comandat de o camă K, acționată de lanțul cinematic de avans longitudinal.

Prelucrarea prealabilă șeveruirii trebuie să se facă cu o sculă cu protuberanțe (fig. 12.183) și să asigure un adaos de prelucrare de maxim  $0,03 \dots 0,06 \text{ mm}$  pe o latură a dintelui. Pentru calculul adaosului se poate lua:  $\Delta_s = 0,035 m_1$ , după M. D. Genkin și E. I. Trofimova.

Regimul de așchiere se ia după practica uzinelor și în funcție de datele cinematice ale mașinilor-unelte (tabelul 12.81). Timpul de bază se calculează cu formula  $t_b = (l + 10)$

$z_1 h / (s_1 n_s z_s s_t)$  [min], în care  $l$  este lungimea dintelui prelucrat,  $h$  — adaosul de prelucrare pe flancul dintelui, mm.

În ultimul timp, s-a introdus șeveruirea cu șever abraziv.

12.2.11.2. PROIECTAREA ȘEVERULUI-ROATĂ. Calculul șeverului se face plecând de la angrenarea acestuia și a semifabricatului în secțiune normală la direcția dinților, înlocuindu-se șeverul real printr-un șever ideal (după I. I. Semencenko) [42,

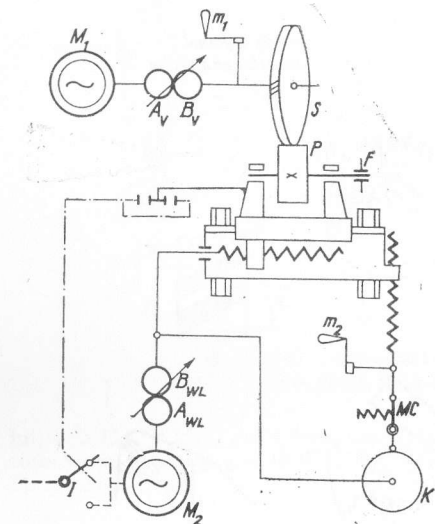


Fig. 12.182. Schema cinematică structurală a mașinii de șeveruit

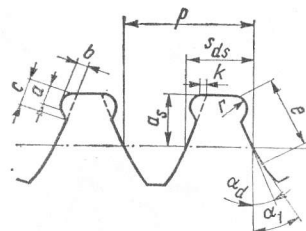


Fig. 12.183. Prelucrarea prealabilă șeveruirii

p. 474—483], sau considerându-se șeverul și semifabricatul ca formînd un angrenaj cu dinți elicoidali și axe încrucișate. Diametrul șeverului se ia maximum posibil, în funcție de limitele permise de mașina-unealtă, durabilitate și productivitate. Numărul de dinți ai șeverului  $z_s$  se ia astfel ca să fie un număr prim, sau să nu aibă factori comuni cu numărul de dinți  $z_1$  al roții și să nu fie un multiplu al numărului de dinți  $z_1$  al roții.

## 12.2.12. DANTURAREA ROȘILOR MELCATE ȘI A MELCILOR

12.2.12.1. PRELUCRAREA ANGRENAJELOR MELCATE CILINDRICE. Prelucrarea roților melcate. Generarea danturii se face de către un melc imaginar, materializat de tășurile sculei, care poate fi freza-melc (fig.12.184) sau cuțitul rotativ (fig.12.188). În primul caz, frezarea are loc cu avans radial, metoda este mai productivă, dar mai puțin precisă. Este utilizată pînă la o înclinare a danturii prelucrate de 6 ... 8°. Frezarea cu avans tangențial este mai precisă. Obșnuit, se consideră un melc Arhimede, astfel că freza-melc va avea un profil rectiliniu în secțiune axială:  $\text{ctg } \alpha_{dr} = \text{ctg } \alpha_{d1} - \text{tg } \alpha_c$ ,  $\text{ctg } \alpha_{st} = \text{ctg } \alpha_{d1} + \text{tg } \alpha_c$ , în care  $\text{tg } \alpha_c = k z_k / P_k$ ,  $z_k$  fiind numărul de canale, iar  $P_k$  — pasul canalului elicoidal (fig. 12.185).

Dimensiunile frezei:  $D_{es} = D_{e1} + 2(c' + 0,1)m$ , în care  $D_{e1}$  este diametrul exterior al melcului conjugat, 0,1 m — adaos pentru compensarea reascuțirii,  $c'$  — coeficientul

Tabelul 12.81  
Regimul de așchiere în cazul șeveruirii [24]

Clasa de precizie a roții dințate	Rugozitatea $Ra$ , $\mu\text{m}$	Numărul de dinți al roții $Z_1$				Avansul radial $s_r$ , mm/cursă masă
		17	25	40	100	
		Avansul longitudinal $s_l$ , mm/rot piesă				
6	$\leq 0,63$ 1,25	0,15—0,20 0,20—0,25	0,20—0,25 0,25—0,30	0,25—0,30 0,35—0,40	0,35—0,40 0,50—0,60	0,02—0,025
7	$\leq 0,63$ 1,25	0,15—0,20 0,20—0,25	0,20—0,25 0,25—0,30	0,25—0,30 0,35—0,40	0,35—0,40 0,50—0,60	0,04—0,05
Oțel carbon de construcție						
Materialul prelucrat		OLC 15 OLC 20 OLC 25	OLC 30 OLC 35	OLC 40, OLC 45 OLC 50	Oțel aliat	Fontă cenușie
Duritatea, HB		$< 170$	$< 196$	$< 217$	$< 285$	$< 210$
Viteza periferică inițială $v_0$ , m/min		150	140	130	80	80
Viteza de așchiere: $v = v_0 \sin\delta/\cos\beta_d$ , m/min						
Adaosul de prelucrare						
Forma dinților		Adaosul de prelucrare la distanța între centre unghiul de angrenare $\alpha$ , grade				Adaosul de prelucrare pe grosimea dintelui
		15	20	25	30	
		Adaosul, mm				
Dinți drepecți	$< 3,5$	0,18—0,24	0,15—0,20	0,12—0,16	0,10—0,14	0,10—0,15
	$< 5$	0,25—0,30	0,20—0,25	0,17—0,20	0,15—0,17	0,15—0,18
	$< 8$	0,30—0,35	0,25—0,30	0,20—0,24	0,17—0,20	0,18—0,22
Dinți înclinați	$< 3,5$	0,30—0,40	0,20—0,30	0,16—0,20	0,12—0,18	0,15—0,20
	$< 5$	0,40—0,45	0,30—0,35	0,20—0,25	0,12—0,20	0,20—0,25
	$< 8$	0,45—0,55	0,35—0,40	0,25—0,30	0,20—0,25	0,25—0,30







**Prelucrarea melcilor cilindrici.** Degroșarea se poate face cu freza; finisarea se face cu cuțite. În cazul melcilor riglați, tăișul cuțitului materializează dreapta generatoare a melcului.

Tabelul 12.82

## Regimul de așchiere pentru danturarea roților melcate

Modulul $m$ , mm	Avans radial, $s_r$ mm/rot		Avans tangențial $s_t$ , mm/rot		Materialul prelucrat: fontă cu HB			
	Numărul de dinți al roții $Z_1$				160	180	200	220
	$\leq 40$	$> 40$	$\leq 40$	$> 40$	Viteza de aşchiere, $v$ , m/min			
3	0,95	1,16	1,38	1,68	37,0	32,8	29,3	26,6
4	0,88	1,08	1,28	1,56	34,4	30,4	27,2	24,8
5	0,82	1,04	1,20	1,48	32,4	28,6	25,6	23,3
6	0,80	1,00	1,14	1,40	31,0	27,4	24,5	22,3
8	0,74	0,90	1,05	1,30	28,2	25,4	22,7	20,6
10	0,70	0,86	1,00	1,24	27,1	24,0	21,4	19,5

Observație. Datele pentru fonta cenușie HB = 180...200 corespund și pentru bronz HB = 120.

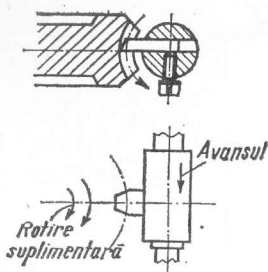


Fig. 12.188. Cuțit rotativ, cu avans tangențial

**12.2.10.5. PRELUCRAREA ANGRENAJELOR MELCATE GLOBOIDALE.** Prelucrarea roților melcate. Generarea danturii se face de către un melc globoidal imaginar, materializat de tăișurile sculei, care poate fi un dorn portcuțite (fig. 12.189). Se pot proiecta cuțite rotative pentru degroșare sau cuțite rotative pentru finisare. Pentru finisare se poate utiliza, un șever-melc globoidal care este o copie a melcului globoidal generator imaginar. Se poate executa și o lepuire a roții melcate globoidale, cu un melc globoidal din fontă, având dimensiunile melcului generator imaginar.

**Prelucrarea melcilor globoidali.** Degroșarea se poate face cu freză-deget sau capete port-cuțite. Finisarea se face numai cu capete portcuțite (fig. 12.190), ale căror tăișuri materializează generatoarele profilului dinților.

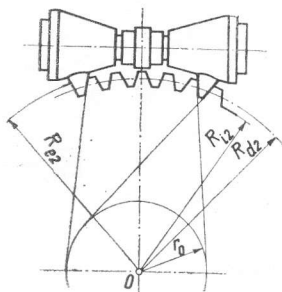


Fig. 12.189. Dorn portcuțite generator

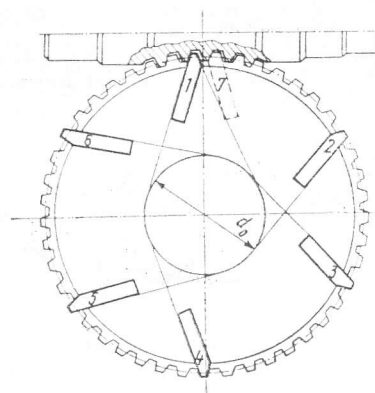


Fig. 12.190. Cap portcuțite generator

## 12.2.13. DANTURAREA ROȚILOR CONICE CU DINȚI DREPTI ȘI ÎNCLINAȚI

**12.2.13.1. DANTURAREA PRIN COPIERE.** Constă din copierea pe semifabricat a profilului sculei (freză-melc modul, freză-deget modul, broșe) sau a unui șablon.

Prelucrarea cu freză-disc modul se face pe mașina de frezat universală sau pe mașini speciale, de exemplu mașina de eboșat EZ 1 [16, v.VI, p. 390—392]; prelucrarea cu freză deget modul se execută pe mașini speciale (mașina de frezat OKU 35 sau 50, care permite prelucrarea dinților drepti, înclinați sau în V, pînă la modulul  $m = 50$  și diametre de 5000 mm [8, p. 250—251]). Danturarea cu freze modul nu asigură precizia necesară, de aceea se utilizează numai pentru degroșare sau atunci cînd nu se impun condiții funcționale deosebite, de exemplu angrenaje de mică importanță, cu viteză tangențială mică.

Prelucrarea cu broșă (fig. 12.94,g) se face pe mașini speciale, de exemplu mașina sovietică ST 1222 [8, p. 252—253], pentru prelucrarea în masă a pinioanelor de la diferențialul auto. Timpul de bază,  $t_b = \tau z_1 / 60$  [min], în care  $\tau$  este timpul de prelucrare a unui dinte, stabilit prin reglarea cinematică a mașinii-unelte.

Copierea cu șablon se utilizează, în general, pentru roți dințate conice de module și dimensiuni mari, pentru care danturarea prin rulare nu este posibilă. Are avantajul că scula este foarte simplă (cuțit de rabotat) și se poate realiza orice profil, obținându-se dinți bombați, atît în lungime cît și în înălțime. Metoda are însă dezavantajul că necesită multe șabloane, iar productivitatea este scăzută. Prelucrarea se face pe mașini-speciale, de exemplu pe mașina sovietică 5283 [8, p. 253—254], care permite danturări pînă la  $m = 30$  mm și diametrul de 180 ... 750 mm; Gleason, pentru roți de 5000 mm diametru; Oerlikon, pentru roți cu diametrul 1250 ... 1600 mm.

**12.2.13.2. DANTURAREA PRIN RULARE.** Se bazează pe legile angrenării, generarea danturii se face cu ajutorul unei roți plane imaginare, materializată prin sculă, ale cărei tăișuri „mătură” flancurile cremalierei.

**Rabotarea cu un cuțit.** Scula are forma prismatică (fig. 12.191), tăișurile materializînd un dinte al roții plane (cu unghiul de  $180^\circ$ ). Prin așezarea înclinată apare unghiul

de așezare  $\alpha$  și unghiurile laterale  $\alpha_l$ . Prelucrarea se face pe mașina Reinecker AKH-3 sistem Bilgram [8, p. 262–264].

**Rabotarea cu două cuțite.** Profilul trapezoidal al unui gol al danturii roții plane este materializat de două cuțite, cu tășuri rectilinii, care formează elementul de bază al

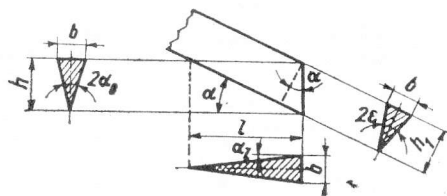


Fig. 12.191. Cuțit Bilgram

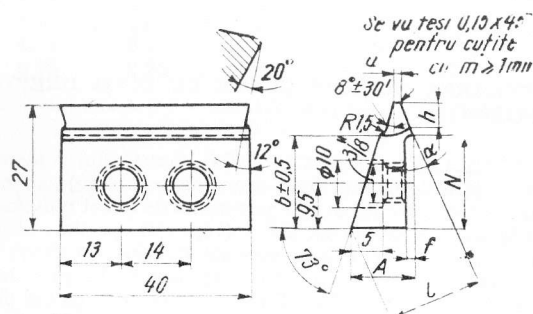


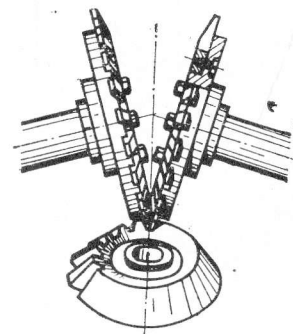
Fig. 12.192. Cuțit pentru rabotat dantura conică Gleason (3).

sculei, restul elementelor fiind în legătură cu poziționarea tășului (fig. 12.192). Forma cuțitelor este standardizată (STAS 6985-67). Prin așezarea înclinată a cuțitului, față de traiectorie, apare unghiul de așezare  $\alpha$ , precum și unghiuri de așezare laterale  $\alpha_l$ . Pentru simplificarea cinematicii, în general, se consideră o roată cu virf plan și în acest caz, deplasarea cuțitelor se face perpendicular la axa roții plane. Prelucrarea se face pe mașina sovietică 526, 5A26 și 523 sau Heidenreich-Harbeck 12 H, 26 H, 60 H și 75 KH. Literatura tehnică de specialitate [8, p. 257–261] [7, p. 524–526] dă schema structurală și reglarea mașinii-unelte.

Timpul de bază,  $t_b = \tau z_1 / 60$  [min], în care  $\tau$  este timpul de prelucrare al unui dinte, stabilit prin reglarea cinematică a mașinii.

**Frezarea cu două freze-disc (prelucrarea danturii drepte).** Dintele roții plane este materializat de tășurile a două freze-disc, cu dinți laterali (fig. 12.193). Datorită existenței unghiului  $\mu$ , rezultă dinți în formă de butoi, cu săgeata  $\Delta s = b^2 \tan \mu / (8R)$ , în care  $b$  este lățimea coroanei dințate,  $R$ -raza frezei. Pentru module  $m = 0,5 \dots 3,0$  mm, se recomandă  $\Delta s = 0 \dots 0,02$  mm. Cunoscându-se  $\Delta s$ , se determină  $\mu$ . Dinții frezei sint detalonați,

luindu-se  $\alpha = 12^\circ$ . Fața de degajare se ascute la unghiul  $\gamma_N = 20^\circ$ . Danturarea se face pe mașinile: 5 P 23 (URSS), Gleason nr. 114 (dantură Coniflex), Modul ZFTK 500  $\times$  30 (RDG) (dantură Konvoid), Klingelnberg BF 201 A (RFG) (dantură Sferoid). Literatura de specialitate [7, p. 526–529] dă schema structurală de principiu. Avantajul prelucrării este productivitatea ridicată (de 3–5 ori mai mare decât în cazul rabotării), precum și precizia de prelucrare; în schimb, rezultă o suprafață mai rugoasă. Pentru prelucrarea pinioanelor conice cu dantură dreaptă de la diferențialele auto, dantura care nu impune condiții de precizie superioare celei mijlocii și care, datorită seriei mari, justifică cheltuielile de investiții [7].



#### 12.2.14. DANTURAREA ROȚILOR CONICE CU DINȚI CURBILINII

**12.2.14.1. DANTURĂ ÎN ARC DE CERC (PROCEDUL BÖTCHER).** Dinții roții plane sînt în arc de cerc (fig. 2.194), de rază  $r_s$ , formînd cu tangenta unghiul de înclinare  $\beta_m$  față de axa roții plane; cînd  $\beta_m = 0$  — dantură zerol. Materializarea acestora se face de către capul portcuțite, de rază  $r_s$  (fig. 2.195). Cuțitele, materializînd un dinte al roții plane de profil trapezoidal, vor fi prismatice (ca și la cuțitul Bilgram), prisme așezate pe un suport de fixare și răsucite — pentru a putea trece prin golurile curbilinii ale roții prelucrate (fig. 2.196). Datorită unghiului  $\alpha$ , apar unghiuri de așezare laterale  $\alpha_l$  și, în același timp, suprafețele laterale ale prisme devin suprafețe elicoidale (elicoidul lui Arhimede). Pentru ușurarea prelucrării, sînt prevăzute cuțite cu tășuri exterioare și cuțite cu tășuri interioare.

Prelucrarea roții și pinionului se execută: 1) ambele pe aceeași mașină-Gleason nr. 106, 116 sau nr. 108, 118 cu capete cu 16 cuțite cu ciclu de degroșare și ciclu de finisare sau capete cu 18 cuțite, dintr-o singură trecere (dantură Cyclex); 528 (URSS), Modul ZFTKK — 500  $\times$  10 K (dantură Kurvex), cu cap portcuțite dublu (fig. 2.197), caz în care unul prelucurează un flanc iar celălalt alt flanc al golului roții; 2) roată prelucrată separat, pentru diferențialele auto, (profilul este apropiat de profilul roții plane-trapezoidal), danturarea făcîndu-se fără rulare, pe mașina Gleason nr. 112, într-un ciclu (Single-Cycle) dantură Formate, sau pe mașinile sovietice 5255 și 5255 A și Modul ZFTKK — (ultimele sînt de construcție mai simplă, fără lanț cinematic de rulare), iar pinionul

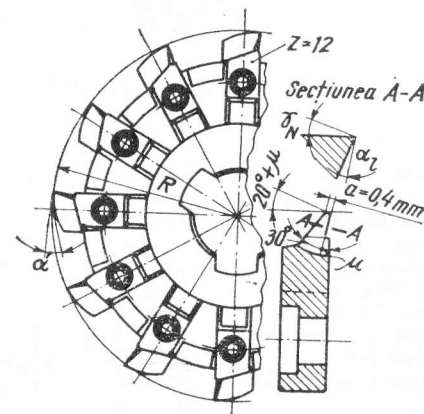


Fig. 12.193. Frezarea prin rulare a danturii conice.

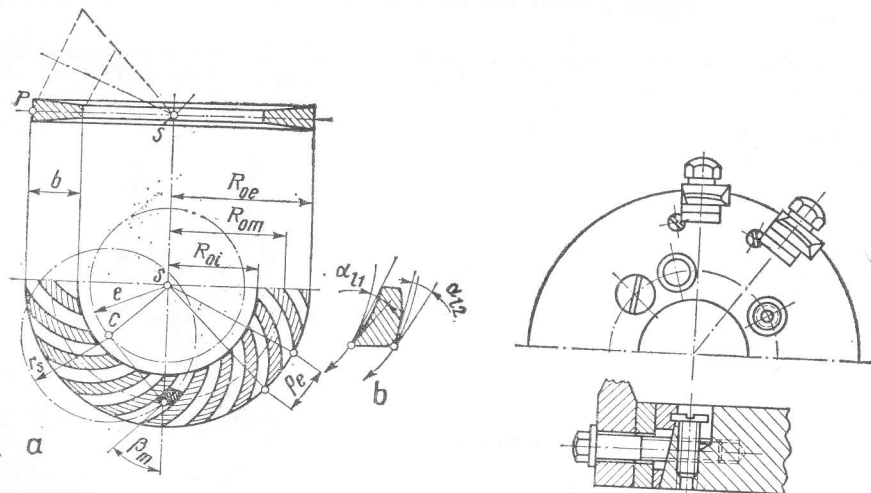


Fig. 12.194. Roată plană pentru dantură în arc de cerc.

Fig. 12.195. Cap portcuțit Gleason

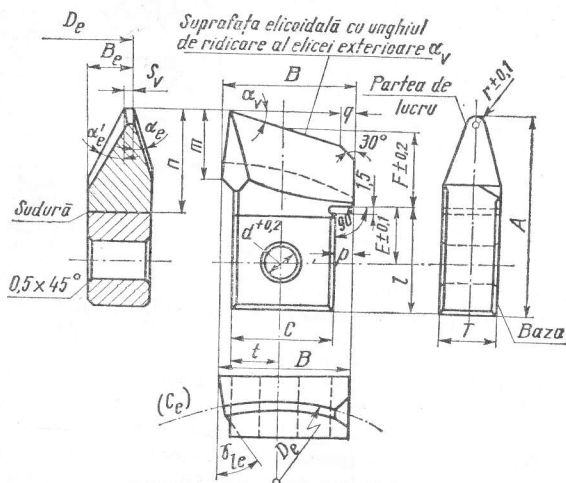


Fig. 12.196. Cuțit pentru dantura în arc de cerc (exterior)

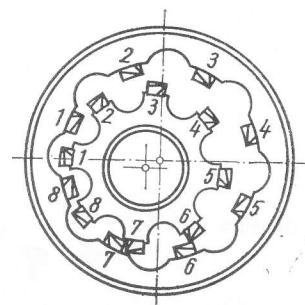


Fig. 12.197. Cap portcuțite dublu (Kurvex)

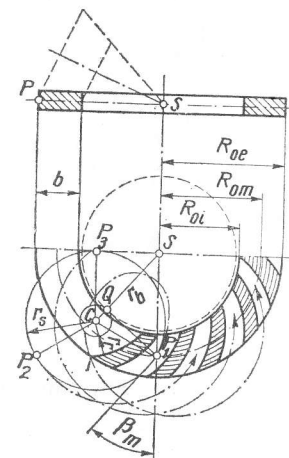


Fig. 12.198. Roata plană pentru dantură eloidă.

12.2.14.2. DANTURĂ ELOIDĂ (PROCEDEUL MAMMANO). Roata plană are ca directoare (forma dintelui) o epicloloidă alungită (fig. 12.198) sau hipocicloloidă alungită, materializată de un cap portcuțite (fig. 12.199), care rulează solidar cu cercul de rază  $r_r$ , pe cercul de bază cu raza  $r_b$ . Capul portcuțite are 3—11 grupe de câte trei cuțite (sau 2,4 și chiar 5), reprezentate schematic prin punctele  $P_i = 1, 2, 3 \dots$ . Fiecare grupă de cuțite prelucreează câte un gol al danturii roții conice. În cazul unei grupe de exemplu de 3 cuțite, unul este de degroșare, iar celelalte sînt de finisarea celor două flancuri ale golului. Prelucrarea se face pe mașina Spiromatic nr. 1 sau 2 [7, p. 540—542], produsă de firma Oerlikon (Elveția). Se pot prelucra roți conice cu diametrul exterior de  $\sim 350$  mm respectiv 580 mm și module maxim 10 mm respectiv 13,6 mm. Forma cuțitelor este dată în fig. 12.200.

12.2.14.3. DANTURĂ SPIROIDĂ (PROCEDEU MAMMANO). Procedul se deosebește, față de cel anterior, prin faptul că cercul rostogolitor  $r_r$  este foarte mic în raport cu cercul de bază de rază  $r_b$  în plus, capul portcuțite are o singură grupă de cuțite (18 sau 24), care prelucreează toate un gol al danturii roții conice (fig. 12.201 [7]). Cuțitele sînt așezate aproximativ după o spirală și au forma din figura 12.202. Prelucrarea se face pe o mașină italiană Fiat DIS-400 [7, p. 542-544].

12.2.14.4. DANTURA CICLO-PALOIDĂ. Roata plană are ca directoare două epicloide alungite (pentru cele două flancuri ale dintelui roții plane, fig. 12.203): flancul convex (interior) este generat de cercul  $C_1$ , iar flancul concav (exterior) — de cercul  $C_2$ , care rulează pe cercurile de bază cu razele  $r_{b1}$  respectiv  $r_{b2}$ . Distanța dintre centrele  $C_1$  și  $C_2$  constituie excentricitatea  $E$  (reglabilă). Dintele roții plane este materia-

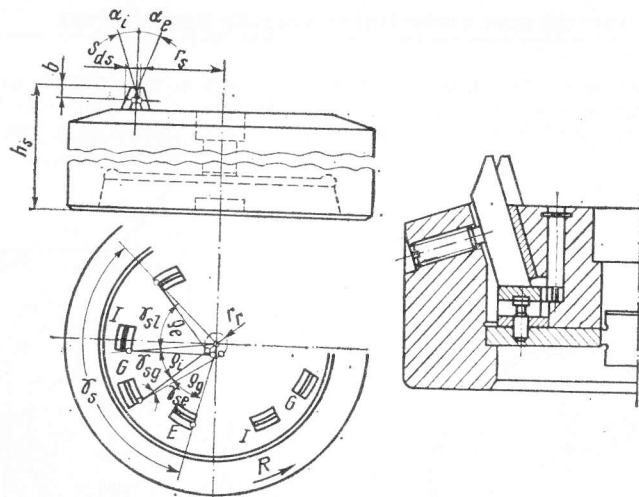


Fig. 12.199. Cap portcuțite pentru dantura eloidă.

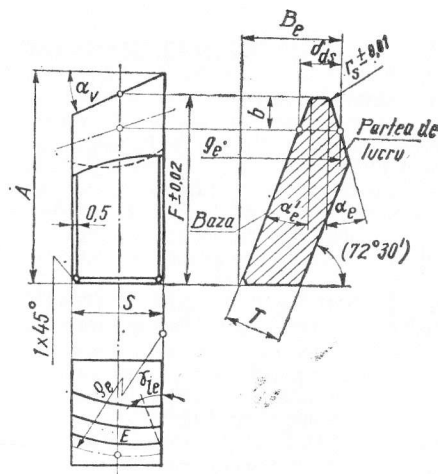


Fig. 12.200. Cuțit pentru dantura eloidă (exterior)

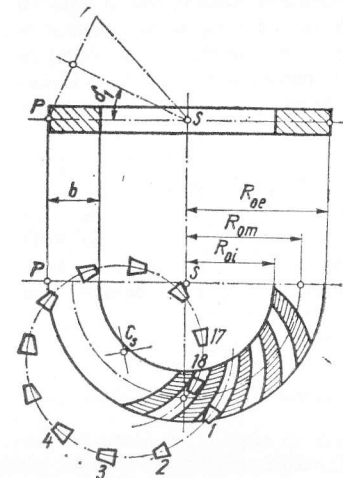


Fig. 12.201. Prelucrarea danturii spiroidale

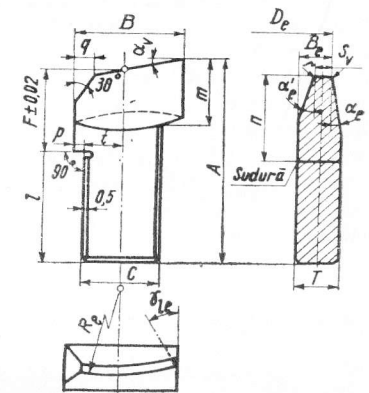


Fig. 12.202. Cuțit pentru dantura spiroidă exterior)

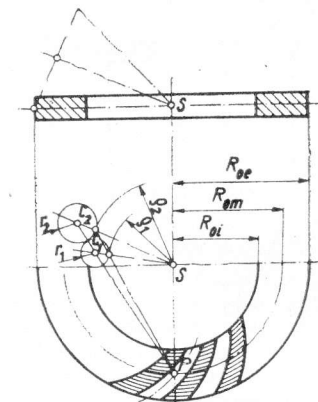


Fig. 12.203. Roata plană pentru dantura ciclo-paliodă

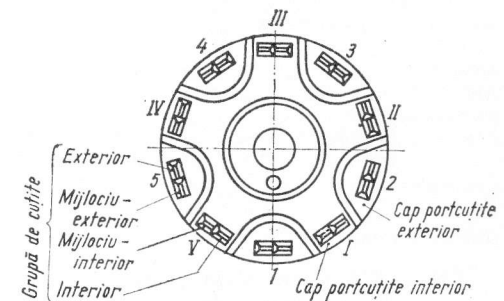


Fig. 12.204. Cap portcuțite pentru dantura ciclo-paliodă.

lizat de două capete portcuțite (fig. 12.204), așezate la excentricitatea  $E$ ; unul din capete se rotește față de celălalt, printr-un mecanism excentric. O grupă de cuțite este formată

din 4 cuțite: exterior, mijlociu-exterior (ambele fixate în capul exterior cu centrul în  $C_2$ ), mijlociu-interior, interior (ambele fixate în capul interior, cu centrul în  $C_1$ ); cuțitele mijlociu-exterior și mijlociu-interior sînt de degroșare, iar cele exterior și interior — de

finisare. Degroșarea roții dințate se face, în general, cu avans de pătrundere; iar finisarea, cu avans de rulare. Danturarea se face pe mașinile Klingelnberg AMKU 630 și 250. În cazul danturii pentru mecanică fină, cu modul până la 1,5 mm, capul portcuțite este prevăzut cu cuțite profilate-disc, care, datorită existenței unghiului de degajare  $\gamma \neq 0$ , vor avea un profil curbiliniu, în loc de rectiliniu, pentru a anula erorile hiperbolice care intervin. Literatura de specialitate dă schema structurală a mașinilor [7, p. 544–546]

12.2.14.5. DANTURA EPISINOIDĂ. Roata plană are ca directoare (forma dintelui) o sinusoidă de amplitudine  $2\gamma$  trasată pe cercul  $R_{om}$  și deformată printr-o mișcare oscilatorie a roții plane (fig. 12.205 [7]), obținută din compunerea a două mișcări sinusoidale:  $v_{BM}$  (după direcția  $PT$ , înclinată la unghiul  $\varphi$ ) și  $v_E$  (tangentă la cercul  $R_{om}$ ). Prelucrarea se face pe mașina sovietică 5284 [7, p. 534–537], cu ajutorul unui cuțit, care prelucurează dinte cu dinte dantura roții conice, prin divizare.

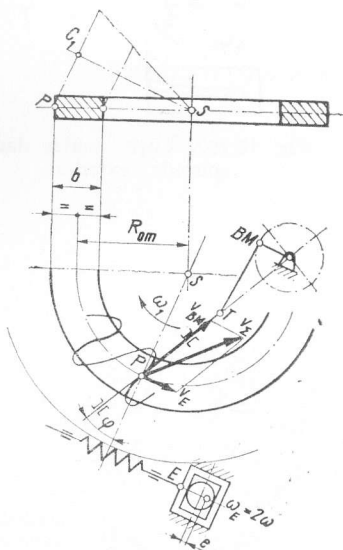


Fig. 12.205. Roata plană pentru dantura episinoidă.

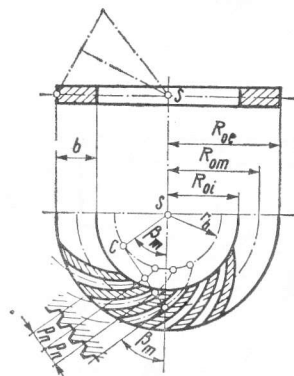


Fig. 12.206. Roata plană pentru dantura paloidă.

12.2.14.6. DANTURĂ PALOIDĂ (PROCEDEUL PREISS-SCHLICHT). Flancurile dinților roții plane generatoare sînt evolvente, obținute prin rostogolire pe cercul de bază, de rază  $r_b$ , a unei cremaliere (fig. 12.206). Materializarea cremalierei se face printr-o freză-melc conică (fig. 12.207), după schema dată în figura 12.208. Grosimea dinților

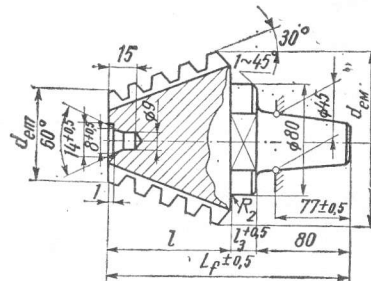


Fig. 12.207. Freză-melc conică.

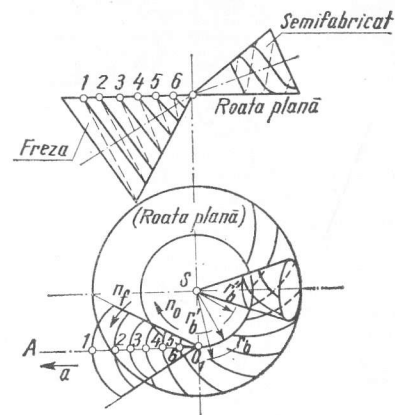


Fig. 12.208. Materializarea roții plane.

frezei, măsurată pe dreapta de divizare, în general nu este constantă — pentru a compensa reglarea necorespunzătoare. Danturarea se face pe mașina Klingelnberg AFK 153, 203 [7, p. 537–540].

#### 12.2.15. PRELUCRAREA PROFILELOR NEEVOLVENTICE PRIN METODA RULĂRII

În cazul fabricației în serie mare, unele piese cu profiluri neevolventice, de exemplu arborii canelați, piese poligonale, roți cu diferite profile, came etc., pot fi prelucrate prin rulare (fig. 12.209), cu freze-melc, cu cuțite-roată sau cu cuțite înfășurătoare, pentru strunjire. Metoda dă: productivitate și precizie mari, identitate a profilelor pieselor. La baza prelucrării stă înfășurarea reciprocă a profilelor sculei și piesei, în urma rulării, fără alunecare, a centroidei sculei pe centroida semifabricatului (fig. 12.210 [56]), rularea celor două centroide imaginare fiind asigurată de cinematica mașinii-unelte. În afară de mișcarea de înfășurare, este necesar să existe mișcarea de așchiere, care se asigură prin mișcarea sculei (de exemplu rotirea frezei-melc, deplasarea cuțitului-roată etc.) sau mișcarea semifabricatului (de exemplu la prelucrarea cu cuțitul înfășurător).

Literatura de specialitate [42, p. 553–562] dă indicații în legătură cu proiectarea frezelor melc pentru arbori canelați.

Timpul de bază, pentru prelucrarea arborilor canelați cu freza-melc sau cu cuțitul-roată, se calculează ca și pentru roțile dințate cilindrice.

#### 12.2.16. RECTIFICAREA

12.2.16.1. SCULE ABRAZIVE. Discurile abrazive sînt constituite din granule abrazive, liant și pori (fig. 12.211).

Granulele abrazive se caracterizează prin: natura chimică, mărimea granulei (granulație), duritatea (7 ... 9 după Mohs — pentru abrazivi naturali, 9 ... 10 — pentru abrazivi



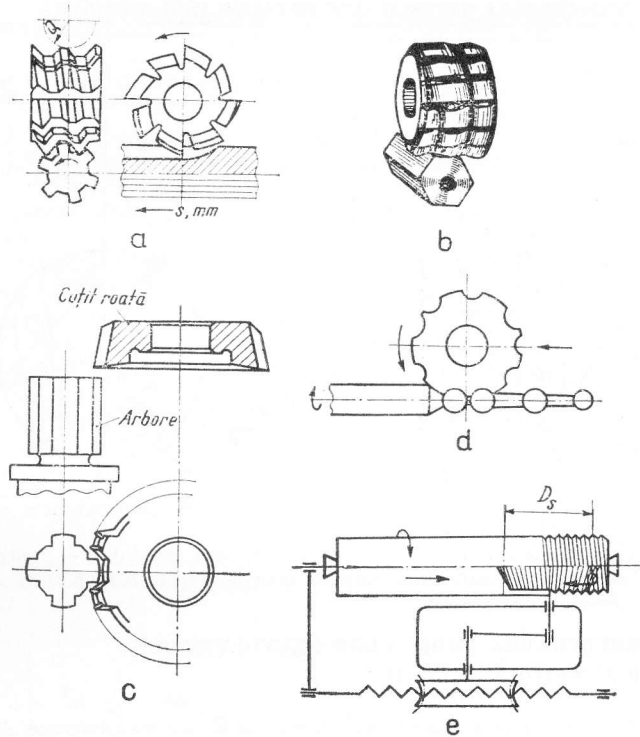


Fig. 12.209. Prelucrarea prin rulare a profilelor neevolventice

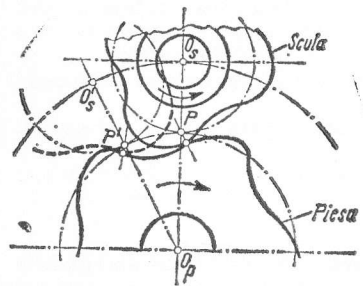


Fig. 12.210. Principiul prelucrării prin rulare (I. I. Semencenko ș.a.)

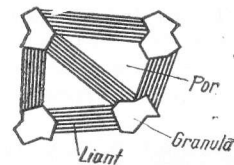


Fig. 12.211. Elementele corpului abraziv

sintetici) și capacitate abrazivă. În tabelul 12.83, se dă clasificarea materialelor abrazive după natura chimică a acestora (STAS 1469-68). *Dimensiunile granulei*: lungimea  $l$ , lățimea  $b$ , înălțimea  $h$ , în care  $l > b > h$ , ale unui paralelipiped circumscris granulei; mărimea granulei abrazive este caracterizată convențional prin lățimea  $b$ , în microni. În ceea ce privește *granulația*, aceasta reprezintă conținutul în granule de diferite mărimi, exprimat în procente de greutate (compoziția granulometrică); după dimensiuni, granulațiile se împart în trei grupe (STAS 1753-60): granule (2500 ... 160  $\mu\text{m}$ ), pulberi (160 ... 40  $\mu\text{m}$ ), micropulberi (40 ... 3  $\mu\text{m}$ ). Fiecare grupă se caracterizează prin compoziția granulometrică (în%), după cinci fracțiuni: fracțiunea limită, fracțiunea mare, fracțiunea principală, fracțiunea complexă, fracțiunea mărunță. Fracțiunea principală este aceea care dă notarea granulației: granule cu granulație 200, 160, 125, 100, 80, 63, 50, 40, 32, 25, 20, 16; pulberi cu granulație 12, 10, 8, 6, 5, 4; micropulberi (cu litera  $M$ ) M40, M28, M20, M14, M10, M7, M5. Notarea granulațiilor pentru granule și pulberi reprezintă, în sistemul metric, numărul de 0,01 mm pe care îl au dimensiunile granulelor sau pulberilor (respectiv mărimea deschiderii libere a ochiului sitei, în microni, care reține granulele sau pulberile), iar în sistemul în țoli notarea granulației se face prin numărul de ochiuri pe țol liniar al sitei care reține granulele sau pulberile. Notarea granulației micropulberilor se face considerând dimensiunea maximă a micropulberii în microni. *Capacitatea abrazivă* reprezintă proprietatea pe care o au diversele materiale abrazive de a prelucra diferit același material.

Tabelul 12.83

Clasificarea materialelor abrazive după natura chimică (STAS 1469-68)

Natura chimică	Materiale abrazive	
	Naturale	Sintetice
Bogate în alumina	Șmirghel (emeri), Corindon (safir, rubin), Granat	Corindon sintetic sau electrocorindon (denumit comercial electrocorund), electrorubin, alundum, abrazit etc.
Silicoși puri	Cuarț, Cremene (flint), Gresie, Tripoli	Sticlă
	Piatră ponce	
Cu conținut de carbon sau carburi	Diamant	Carbură de siliciu (denumită comercial și carborundum), carboxită etc. Carbură de bor, Diamant

Observație. Electrocorindonul poate fi: normal (E), nobil sau alb (veral) (En); carbura de siliciu: carbură de siliciu neagră (Cn), carbură de siliciu verde (Cv.)

*Liantul asigură coeziunea granulelor abrazive* (tabelul 12.84). Cel mai utilizat (80%) este liantul ceramic (păstrează profilul corpului abraziv și suportă bine umiditatea; dezavantaj: fragilitatea). Liantul pe bază de magneziu are o utilizare limitată (rezis-

Tabelul 12.84  
Clasificarea lianților, după natura acestora (STAS 1469-68)

Grupa	Subgrupa	Caracteristicile liantului
Anorganici	Ceramici (C) Minerali: silicioși magnezieni (M)	Amestec de argilă, feldspați, cuarț și caolin, ars la 1200–1300°C Silicați fluizi, care se întăresc la 200°C Oxiclorură de magneziu (ciment Sorel)
Organici	Lacuri Rășini sintetice Pe bază de cauciuc natural sintetic	Șerlac Bachelita (B) Cauciuc natural Cauciuc sintetic Cauciuc vulcanizabil (V)

Tabelul 12.85  
Grupe și grade de duritate (STAS 1469-68 completat)

Grupa de duritate	Foarte moale	Moale	Mijlocie	Tare	Foarte tare	Extra tare
Gradu de duritate	E; F; G	H; I; J; K	L; M; N; O	P; Q; R; S	T; U; V; W	X; Y; Z

Observație. Fiecare literă reprezintă o duritate mai mare decât litera precedentă.

Tabelul 12.86  
Structura discurilor abrazive (STAS 1469-68, completat)

Struc- tura	Foarte deasă	Deasă	Cu desime mijlocie	Rară	Foarte rară	Poroasă	Superporoasă															
Simbolul	0	1	2	3	4	<table><tr><td>5</td><td>6</td><td>7</td><td>8</td></tr></table>	5	6	7	8	9	10	11	12	13	14	15	16	17	18	19	20
5	6	7	8																			
Volum % granule	62	60	58	56	54	52	50	48	46	44	42	40	38	36	34	32	30	28	26	24	22	

tență relativ mică, sensibilitate la umiditate); viteză periferică inferioară liantului ceramic. Liantul pe bază de bachelită este rezistent, elastic, dar se distruge sub acțiunea lichidelor de așchiere alcaline; se utilizează la finisare, rectificarea sculelor cu multe tășuri etc. Liantul de bază de cauciuc este compact și are elasticitate mare; se utilizează la lustruire, netezire, tăiere (de exemplu la tăierea filierelor); se pot confecționa discuri subțiri (0,5 mm) și de diametru relativ mare (125 ... 150 mm); nu este atacat de umiditate, dar se îmbibesește repede; viteza de așchiere este aceeași ca la cele cu liant de bachelită.

Porii au rolul de a ușura evacuarea așchiilor și a granulelor abrazive, uzate.

Parametrii de bază care determină proprietățile corpurilor abrazive: forma și dimensiunile, natura materialului abraziv, granulația acestuia, natura liantului, duritatea corpului abraziv, structura acestuia.

Duritatea corpului abraziv și rezistența complexului abraziv-liant la tendința de desprindere a granulelor abrazive de pe suprafața corpului, sub influența eforturilor exterioare născute în timpul lucrului sint date în (STAS 1469-68). Se observă că duritatea apare ca un parametru funcțional, care depinde de o serie de factori: cantitatea și calitatea liantului, forma și microgeometria granulelor, regimul de așchiere, materialul prelucrat, felul rectificării, mărimea suprafeței de contact, calitatea regenerării suprafeței așchietoare, puterea disponibilă, natura și debitul lichidului de așchiere, starea mașinii-unelte și calificarea muncitorului etc. În practică, se consideră metode de determinarea durității, apropiate de duritatea statică, după care corpurile abrazive sint împărțite în cinci grupe de duritate, fiecare având 3 ... 4 grade de duritate (scara Norton), fără a se specifica condițiile în care trebuie considerate (tabelul 12.85, după STAS 1469-68, completat cu gradele W, X, Y, Z).

Structura corpului abraziv. Raportul cantitativ dintre volumul granulelor abrazive, al liantului și al porilor pe unitate de volum, se simbolizează prin cifre (tabelul 12.86, după STAS 1469-68, completat). Fiecare cifră corespunde unui anumit volum de granule în % (de exemplu cifra 6 corespunde la 50% volum granule; restul cifrelor merg din 2 în 2%, scăzând de la structura 0 spre structura 20). În rectificarea plană și rectificarea interioară, unde așchiile au tendința de a rămâne între piesă și corpul abraziv, se alege structura deschisă (8 ... 12); la rectificarea cilindrică, mai ales când trebuie menținut un profil sau un unghi, se alege corp abraziv cu structură mijlocie (5 ... 6); pentru lucrările care cer o presiune mare de lucru, ca de exemplu debavurare, se merge către structurile strinse (5 și mai puțin)[69]. Pentru prelucrări speciale, sau pentru cazurile când nu se pot utiliza fluide de așchiere, se utilizează corpi abrazive superporoase [74].

În fig. 12.212, sint date corpurile abrazive standardizate.

De asemenea, sint standardizate: hîrtie pentru șlefuire uscată (STAS 1581-61), pinză pentru șlefuire uscată (STAS 1582-61).

12.2.16.2. OPERAȚII DE RECTIFICARE. Se deosebesc: rectificarea rotundă exterioară de trecere (fig. 12.213,b) sau prin pătrundere (fig. 12.213,c); rectificarea rotundă interioară (fig. 12.213,d sau e); rectificarea suprafețelor plane, pe mașina de rectificat rotund exterior (fig. 12.213,f) sau pe mașina de rectificat interior (fig. 12.213,g); rectificarea plană; cu periferia discului abraziv cilindric pe mașini-unelte cu masă dreptunghiulară (fig. 12.213,h), cu periferia discului abraziv cilindric pe mașini-unelte cu masă rotundă rotativă (fig. 12.213,i), cu partea frontală a discului abraziv în formă de oală pe mașini-unelte cu masă dreptunghiulară și ax vertical (fig. 12.213,j), cu partea frontală a discului din segmenti abrazivi pe mașini-unelte cu masă dreptunghiulară și ax vertical (fig. 12.213,k), cu partea frontală a discului abraziv pe mașini-unelte cu masă rotativă și ax vertical (fig. 12.213,l), cu partea frontală a discului abraziv cilindric (fig. 12.213,m); rectificarea rotundă fără virfuri, de trecere (fig. 12.214,a) sau prin pătrundere (fig. 12.214,b). În cazul rectificării fără virfuri, piesa se rotește între două discuri

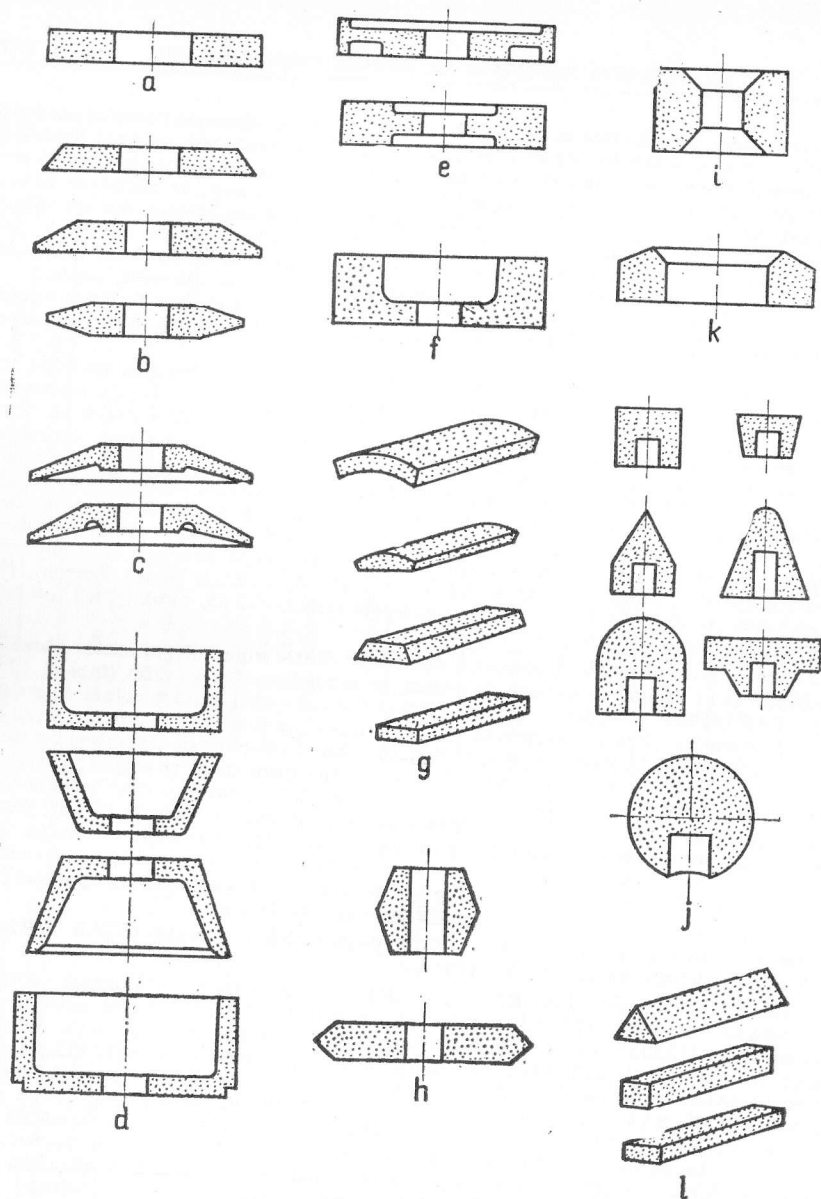


Fig. 12.212. Corpuri abrazive:

a - pietre cilindrice plane (STAS 601-63); b - pietre conice plane (STAS 603-59); c - pietre taler (STAS 604-59); d - pietre oală (STAS 605-59); e - pietre cilindrice cu scobituri (STAS 606-59); f - pietre cilindrice cu degajare (STAS 607-59); g - pietre segmente (STAS 3639-62); h - pietre bitroconice (STAS 3818-53); i - pietre cilindrice cu dublă degajare simplă (STAS 3825-53); j - pietre cu tijă (STAS 5086-55); k - pietre cilindrice cu tăieturi și degajare și dreptunghiulară, (STAS 7284-65)

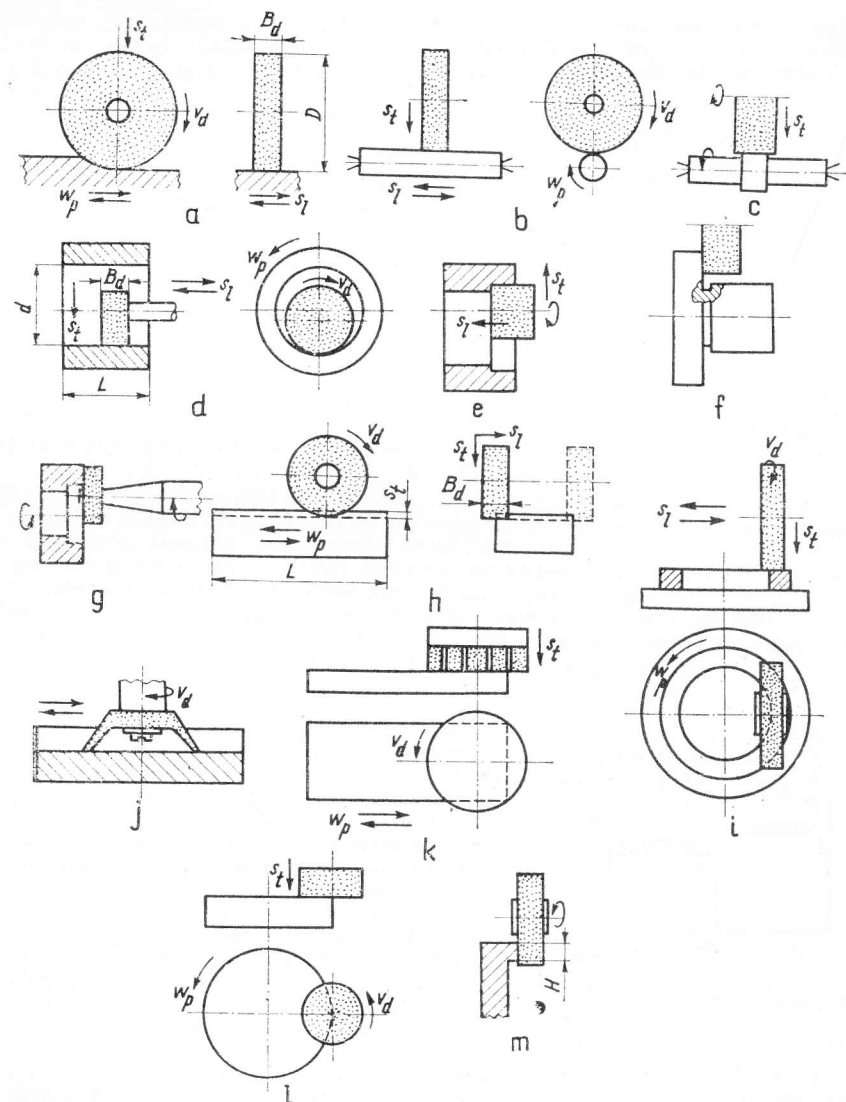


Fig. 12.213. Operații de rectificare [3]

abrazive, dintre care unul constituie elementul așchietor (disc rectificator), iar celălalt (disc conducător) rotește piesa și îi transmite mișcarea de translație. În cazul rectificării de trecere, când axa discului conducător se află înclinată la un unghi  $\alpha = 1 \dots 4,5^\circ$  față

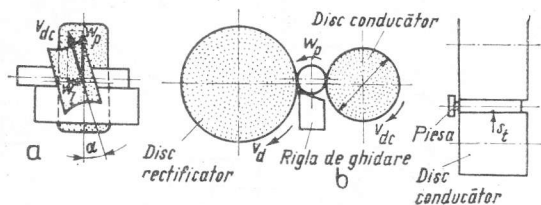


Fig. 12.214. Rectificarea fără virfuri

de axa discului rectificator, viteza periferică a discului conducător  $v_{dc}$  se descompune în două componente: viteza periferică teoretică a piesei  $w_p$  și viteza teoretică de avans longitudinal  $w_l$  (fig. 12.214,a) sau numai rotește piesa, când rectificarea se execută prin pătrundere, caz în care  $\alpha = 0^\circ$  (fig. 12.214,b).

Rectificarea unei piese are loc în trei etape (fig. 12.215 [33], p. 377–378 [24] p. 598: etapa 1 — crearea în sistem a unor strângeri prelabile (strângerea inițială, în funcție de dimensiunile piesei de prelucrat și rigiditatea mașinii-unelte, obținută printr-un avans transversal executat manual sau cu un mecanism special, într-un interval de timp de 0,05 min), în scopul asigurării regimului de lucru necesar etapei următoare; etapa 2 — ridicarea celei mai mari părți a adaosului de prelucrare; etapa 3 — netezirea (se obțin dimensiunile definitive și calitatea prescrisă), în care sistemul elastic revine în poziția inițială, iar strângerea și intensitatea rectificării se micșorează treptat.

### 12.2.16.3. PARAMETRII RECTIFICĂRII.

Rectificarea plană: viteza principală de așchiere  $v_d$ , m/s (viteza periferică a discului) (fig. 12.213,a); viteza de avans a piesei  $w_p$ , m/min — viteza mișcării de translație a piesei; avansul longitudinal (perpendicular la viteza de avans a piesei)  $s_l$ , mm/cursă piesă sau disc; avansul transversal (în direcție normală la suprafața prelucrată)  $s_t$ , mm/rot masă mm/cursă masă, mm/cursă dublă masă sau viteza de avans transversal  $w_t$ , mm/min.

Rectificarea rotundă (fig. 12.213,b,c e c.): viteza principală de așchiere  $v_d$ , m/s; viteza de avans a piesei (avansul circular)  $w_p$ , m/min, avansul longitudinal  $s_l$ , mm/rot piesă, avansul transversal  $s_t$ , mm/rot piesă sau viteza de avans transversal  $w_t$ , mm/min.

Avansul longitudinal se raportează la lățimea  $B_d$  a discului de rectificat:  $s_B = s_l/B_d$ ; se ia [33]:  $s_B = 2/3 \dots 3/4$  pentru degroșare și  $s_B = 1/4 \dots 1/2$  pentru finisare. Viteza de avans longitudinal  $w_l = s_l n_p = s_B B_d n_p$  [mm/min], în care  $n_p$  este turația piesei rot/min — pentru rectificarea rotundă, respectiv numărul de curse pe minut ale piesei sau turația mesei — în cazul rectificării plane.

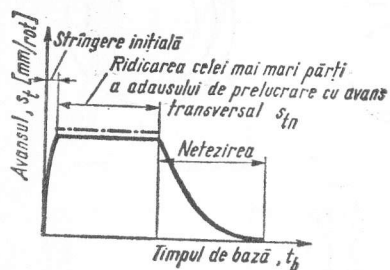


Fig. 12.215. Etapele operației de rectificare [3] [24]

Viteza periferică a piesei,  $w_p$ , ca și pentru celelalte scule [22]:  $w_p = 0,17 D_p^{0,3} k_1 k_2 / (T^{0,5} s_l s_t)$  [m/min], în care  $k_1$  și  $k_2$  depind de materialul prelucrat respectiv diametrul discului (tabelul 12.87). În general:  $w_p = 20 \dots 85$  m/min pentru degroșare și  $w_p = 15 \dots 50$  m/min pentru finisare; viteza piesei  $w_p$  nu este esențială, ci raportul  $v_d/w_p$ , în legătură cu parametrii așchierii (tabelul 12.88 [33]). Pentru obținerea unei finete mari, se ia  $v_d/w_p$  mare (până la 500). În ceea ce privește  $s_t$ , se ia 0,01 ... 0,07 mm/cursă dublă pentru degroșare și 0,005 ... 0,02 mm/cursă dublă pentru finisare.

Tabelul 12.87

Valorile coeficienților  $k_1$  și  $k_2$  [24]

T, min	$k_1$				$k_2$	
	$Dd$ , mm				Materialul prelucrat	$k_2$
	400	500	600	750		
6	1,25	1,4	1,6	1,8	Oțel necălit	1,0
9	1,0	1,12	1,25	1,4	Oțel călit	0,95
15	0,8	0,90	1,0	1,12	Oțel refractar	0,85
24	0,63	0,71	0,8	0,9	Fontă	1,05

Tabelul 12.88

Valorile raportului  $V_d/W_p$  [33]

Materialul de prelucrat	Natura materialului abraziv	Granulația, duritatea și raportul vitezelor				
		Rectificare rotundă	Rectificare plană cu periferia discului	Rectificare interioară	Rectificare plană cu segmenti	Rectificare plană cu piatră oală
Oțel călit	Electro-corindon	25 K 125	50 K 80	50 J 80	80 J 50	80 I 50
Oțel necălit	Electro-corindon	25 L 125	50 L 80	50 K 80	80 K 50	80 J 50
Fontă	Carbură de siliciu	25 L 100	50 L 63	50 K 63	80 K 40	80 J 40
Cupru, alamă, bronz	Carbură de siliciu	25 J 80	50 I 50	50 I 50	80 I 32	80 H 32
Metale ușoare	Carbură de siliciu	25 I 50	50 I 32	50 H 32	80 H 20	80 G 20

Timpul de bază (tehnologic),  $t_b = A/V$  [min], în care  $A$  este volumul de așchii de îndepărtat,  $\text{mm}^3$ ;  $V$  — volumul de metal așchiat în unitate de timp,  $\text{mm}^3/\text{min}$ .

Rectificarea rotundă exterioară de trecere [3]:  $V = C_v D_p^{0.75} h^{0.5}$  [ $\text{mm}^3/\text{min}$ ], în care  $h$  este adaosul de prelucrare pe diametru, mm;  $C_v$  — din tabelul 12.89;  $t_b = l_p h k / (2 n_p s_t s_l)$  [min], în care  $l_p$  este lungimea suprafeței de prelucrat, mm;  $n_p$  — turația piesei, rot/min;  $s_l$  — avansul transversal pe o cursă simplă a mesei, mm/cursă;  $k$  — din [60, p. 108].

Tabelul 12.89

Valorile coeficientului  $C_v$  [3]

Felul rectificării	Tipul suprafeței care se prelucrează	Numărul de pătrunderi	Precizia de prelucrare			
			5 ISA	6 ISA	8 ISA	10 ISA
			Coeficientul $C_v$			
Rectificare de trecere	Suprafață cilindrică sau conică	—	139	169	272	483
Rectificare prin pătrundere	Suprafață cilindrică	1	66	77,8	111	173
		2	44	51,8	74	115
		3	34,8	41	58,5	91,2
	Suprafață cilindrică cu o racordare	1	37	43,6	62,4	96,8
		2	25	29	41,5	64,3
		3	19,5	23	33,5	51,2
	Suprafață cilindrică cu două racordări	1	34,8	41	58,6	91
		2	23,2	27,4	39	60,7
		3	17,4	20,5	29,4	45,5

Rectificarea rotundă exterioară prin pătrundere [3]:

$V = C_v D_p^{0.34} l_p^{0.6} h^{0.5}$  [ $\text{mm}^3/\text{min}$ ],  $C_v$  — tabelul 2.89;  $t_b = h k / (2 n_p s_t)$  [min].

Rectificarea rotundă interioară [3]:  $V = C_v D_p^q h^x$  [ $\text{mm}^3/\text{min}$ ], în care  $C_v$ ,  $q$  și  $x$  — din tabelul 12.90;  $t_b = l_p h k / (n_p s_t s_l)$  [min], în care  $s_l$  este avansul transversal pe o cursă dublă a mesei, mm.

Rectificarea fără virfuri de trecere [3]:  $V_t = C_v D_p^{0.3} / T^{0.5}$  [ $\text{mm}^3/\text{min}$ ] pentru degroșare sau  $w_t = C_s / (T^{0.5} D^{0.72} t)$  [mm/min], în care  $C_s = C_v / 1,57$  (se ia din tabelul 12.91). În general, pentru degroșare:  $w_t = 1\,000 \dots 2\,500$  mm/min; pentru semifinisare:  $w_t = 1\,200 \dots 1\,400$  mm/min; pentru finisare:  $w_t = 1\,000 - 2\,000$  mm/min. Timpul de bază,  $t_b = (l_p q + B_d) i k / (w_t g)$  [min], în care  $q$  este numărul de piese din lot rectificate în flux continuu,

$i$  — numărul de treceri realizat fără modificarea regimului de lucru,  $w_t = 1\,000 w_p \sin \alpha$  [mm/min],  $\alpha$  — unghiul de înclinare al discului conducător. Viteza periferică a discului conducător:  $v_{dc} = 1,05 w_p$ .

— Rectificarea fără virfuri prin pătrundere [3]:  $t_b = C_t D_p^{q/l_p} h^{0.75} / (1000 \delta^y)$  [min] în care  $\delta$  este toleranța diametrului,  $C_{t,q,x,y}$  — din tabelul 12.92.

Tabelul 12.90

Valorile coeficientului  $C_v$  [3]

Felul rectificării	$q$	$x$	Coeficientul $C_v$ pentru precizia			
			5 ISA	6 ISA	8 ISA	10 ISA
Suprafețe cilindrice și conice interioare, cu ieșirea discului	1,17	0,25	6,12	8,75	14,9	24,5
Idem fără ieșirea discului	1,17	0,25	2,46	3,85	7,0	13,2
Toleranța dimensiunii, mm						
			0,1	0,2	0,4	0,8
Suprafețe frontale	1,00	0,25	12	14	16,8	20

Tabelul 12.91

Valorile coeficientului  $C_s$  [3]

O ț e l		F o n t ă	
Discul abraziv	$C_s$	Discul abraziv	$C_s$
40 M	18 500	40 L	24 000
40 O	15 700		
25 L	16 600		
25 P	15 200		

Tabelul 12.92

Valorile  $C_t$ ,  $q$ ,  $k$ ,  $y$  [3]

$D_p$ , mm	$\delta$ , mm	$C_t$	$q$	$x$	$y$
$\leq 40$	$\leq 0,05$	1,1	0,34	0,75	0,34
	$> 0,05$	0,755	0,34	0,75	0,65
$> 40$	$\leq 0,05$	0,256	0,87	0,75	0,34
	$> 0,05$	0,118	0,87	0,75	0,65



Rectificarea plană cu periferia discului abraziv, pe mașini cu masă dreptunghiulară sau rotundă [3]:  $V = C_v k_u^z \delta^y / k_u^p$  [mm<sup>3</sup>/min], în care  $k_u$  este coeficientul de încărcare al mesei ( $k_u = \Sigma A_{ef} / \Sigma A_{gab}$ ,  $\Sigma A_{ef}$  — suma ariilor tuturor suprafețelor rectificate,  $\Sigma A_{gab}$  — suprafața de gabarit a mesei);  $C_v, z, y, p$  — tabelul 12.93.

Tabelul 12.93

Valorile  $C_v, z, y, p, g$  [3]

Felul rectificării	Tipul mașinii-unelte	$C_v$	$z$	$y$	$p$	$g$
Rectificare plană cu periferia discului abraziv, cind $\delta \leq 0,12$	Cu masă dreptunghiulară	42 000	0,35	1,34	0,51	—
	Cu masă rotundă	12 175	0,35	0,70	0,51	—
Rectificare plană de degroșare cu partea frontală a discurilor din segmenti abrazivi (pentru segmenti: E 125 I)	Cu masă dreptunghiulară	8 380	—	—	—	0,47
	Cu masă rotundă	15 500	—	—	—	0,10

Rectificarea plană cu partea frontală a discului abraziv format din segmenti, pe mașini cu masă dreptunghiulară sau rotundă [3]:  $V = C_v B_r^q$  [mm<sup>3</sup>/min], în care  $B_r$  este lățimea de rectificare redusă ( $B_r = B_{gab} k_u = \Sigma A_{ef} / l_g$  [mm],  $B_{gab}$  — lățimea suprafeței de așchiere a pieselor pe mașină,  $l_g$  — lățimea suprafeței pieselor care se rectifică concomitent),  $C_v$  și  $g$  — tabelul 12.93.

Rectificarea plană cu partea frontală a discului abraziv cilindric pe mașină cu masă dreptunghiulară [3]:  $V = 2 800 H^{0.31} h^{0.35}$  [mm<sup>3</sup>/min], în care  $H$  este înălțimea suprafeței ce se rectifică (fig. 12.213, m).

Rugozitatea suprafețelor rectificate este influențată de parametrii regimului de așchiere, parametrii discului abraziv, durabilitatea discului, caracteristicile semifabricatului și piesei finite. Micșorându-se avansul în direcția de așchiere  $w_p$  sau mărindu-se viteza de așchiere  $v_a$ , densitatea zgirieturilor de pe suprafața prelucrată va crește și ca urmare suprafața va rezulta mai netedă. Aceleași lucru se întâmplă cu direcție longitudinală: dacă se ia lățimea discului  $B_d > s_l$ , netezimea suprafeței crește. Ca urmare, mărimea avansului longitudinal va influența asupra creșterii microneregularităților. În același sens influențează și avansul transversal. În general, rugozitatea obținută este de ordinul:  $R_a = 0,63 \mu\text{m}$  pentru rectificarea rotundă exterioară de trecere,  $R_a = 0,63 \dots 0,32 \mu\text{m}$  pentru rectificarea rotundă exterioară de pătrundere,  $R_a = 2,5 \dots 1,25 \mu\text{m}$  pentru rectificarea interioară  $R_a = 0,32 \mu\text{m}$  pentru rectificarea fără virfuri la piese călite și  $R_a = 0,63 \mu\text{m}$  la piese necălite.

Calitatea fizică a suprafeței prelucrate este o altă problemă, care se ridică în cazul rectificării. Datorită faptului că raza de ascuțire  $\rho$  a granulei abrazive este de același ordin de mărime cu grosimea așchii ridicate, se produce o ecruisare puternică a materialului, apărind în stratul superficial (pe o adâncime de 5 ... 25  $\mu\text{m}$ ) tensiuni interne. Datorită căldurii instantanee și locale, temperatura stratului superficial depășește mult

temperatura de transformare structurală a materialului rectificat. Fenomenul se produce cu viteze foarte mari, atât la încălzire, cât și la răcire. În locul structurii, de exemplu, martensitice a oțelului călit, se observă după rectificare, în stratul superficial lucrat, structuri intermediare (sorbită, troostită), care au calități mecanice și rezistență la uzură inferioare structurii inițiale.

Precizia obținută la rectificare este 5–6 ISA.

În figura 12.216, se dau forțele care apar în cazul rectificării rotunde de trecere. Datorită razei de ascuțire  $\rho$  de același ordin de mărime cu așchia, forța preponderantă este  $F_y$ , care este de 1,5 ... 3 ori mai mare decât  $F_z$ . Valoarea lui  $F_z$  [26]:  $F_z = C_F w_p^{0.7} s_l^{0.7} s_t^{0.7}$  [daN], în care  $C_F = 2,2$  pentru oțel călit,  $C_F = 2,1$  pentru oțel necălit,  $C_F = 2,0$  pentru fontă. Puterea necesară rectificării:  $P = F_z v_a / 102$  [kW]. Mai comod, se poate utiliza energia specifică de rectificare<sup>1</sup>  $e = F_z v_a / V$  [daN · cm/cm<sup>3</sup>], în care valorile lui  $e$  sînt date în tabelul 12.94.

În figura 12.217, se dă schema influenței condițiilor de așchiere, asupra procesului de rectificare, după J. Peklenik.

#### 12.2.16.4. UTILIZAREA CORPURILOR ABRAZIVE.

La alegerea discului abraziv, trebuie ca parametrii acestuia și condițiile de așchiere să fie astfel intercondiționate, încît discul să lucreze în domeniul autoascuțirii [18, v. II, p. 658], adică granulele uzate să fie rupte sau desprinse din liant de forțele de așchiere. Cu cît este mai mare și mai uniformă capacitatea de autoascuțire a discului, în condițiile alese, cu atît durabilitatea acestuia va fi mai mare, iar productivitatea mai ridicată și consumul de corp abraziv mai mic. În afara tocirii granulelor, poate interveni și îmbicsirea (chiar atunci cînd gra-

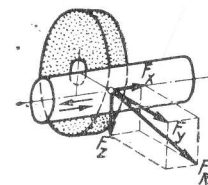


Fig. 12.216. Jocul de forțe la rectificare

Tabelul 12.94

Valorile energiei specifice de rectificare (M. C. Shaw)

Materialul prelucrat	Duritarea, HB	$e$ , daN · cm/cm <sup>3</sup>	
		I	II
Aluminiu moale	80	35 · 10 <sup>4</sup>	10,5 · 10 <sup>4</sup>
Aluminiu dur	150	35 · 10 <sup>4</sup>	7 · 10 <sup>4</sup>
Fontă	215	63 · 10 <sup>4</sup>	11,9 · 10 <sup>4</sup>
Oțel carbon de construcție	110	70 · 10 <sup>4</sup>	14 · 10 <sup>4</sup>
Oțel carbon de scule, moale	240	70 · 10 <sup>4</sup>	12,6 · 10 <sup>4</sup>
Oțel carbon de scule, dur	530	70 · 10 <sup>4</sup>	13,3 · 10 <sup>4</sup>
Oțel rapid	700	84 · 10 <sup>4</sup>	17,5 · 10 <sup>4</sup>
Oțel inoxidabil	185	84 · 10 <sup>4</sup>	15,4 · 10 <sup>4</sup>
Oțel refractar	340	84 · 10 <sup>4</sup>	14 · 10 <sup>4</sup>
Aliaj cu titan	295	56 · 10 <sup>4</sup>	16,1 · 10 <sup>4</sup>

Observație. I — rectificare cu așchii mici (rectificări normale: plană cu ax orizontal, rotundă); II — rectificare cu așchii mari (retezare abrazivă, plană cu ax vertical etc.).

<sup>1</sup> M. C. Shaw: How to Estimate Grinding Forces and Power. În Machinery, martie 1968.

nulele sînt ascuțite), care se produce datorită pătrunderii așchiilor în porii discului abraziv, de exemplu la prelucrarea unor materiale fragile ca: fonta, oțelurile speciale etc. În cazul prelucrării materialelor tenace (aluminiiu, cupru, aliaje refractare etc.), așchiile aderă ușor la granulele abrazive, micșorîndu-se capacitatea de așchiere — fiind necesar să fie îndepărtate prin rectificarea discului.

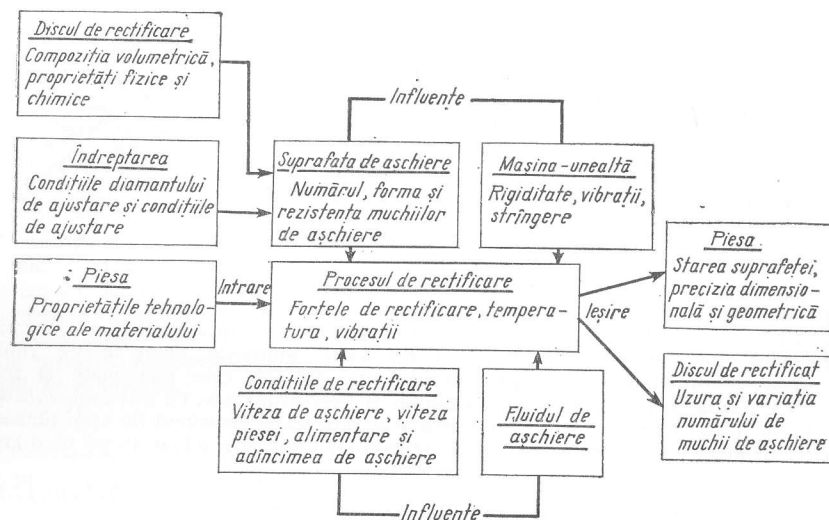


Fig. 12.217. Influența condițiilor asupra rectificării (Peklenik)

Este greu să se dea indicații definitive în legătură cu alegerea unui disc și a condițiilor de abrazare, datorită existenței numărului mare de parametri. Iată de ce, indicațiile din tabelul 12.88, precum și ale firmelor furnizoare [74] [69] [70] constituie doar puncte de plecare, de care trebuie să se țină seamă la alegerea unui disc pentru o prelucrare nouă, urmînd apoi să se facă corecțiile necesare. Citeva observații:

a. Alegerea naturii materialului abraziv: electrocorindon — pentru oțel obișnuit și special, fontă maleabilă (după recoacere), bronz dur; carburi de siliciu — pentru materiale dure și casante, materiale cu rezistență mică (fontă sau fontă maleabilă înainte de recoacere, bronz moale, alamă, aluminiiu, marmoră, granit, sticlă, cauciuc, carburi metalice).

b. Alegerea liantului [47]: ceramic — rectificare umedă; silicos — piese cu muchii, cu pereți subțiri; magnezian: materiale moi (Al, Zn); bachelitic — debitare, rectificare plană, degroșare, ascuțire scule; șelac și cauciuc — rectificare fină, lustruire.

c. Alegerea granulației: granulație mare — degroșare, materiale moi și plastice (cu așchii de curgere, care necesită un spațiu mare), arc de contact mare (lungimea așchiilor mare), aria suprafeței de contact mare, carburi metalice (excepție); granulație fină — finisare, materiale dure și casante (cu așchii mici — spațiu necesar mic), lungimea așchiilor scurtă ( $D_p \ll D_d$ ), cînd se urmărește o încălzire mai mică.

d. Alegerea durtății: durtate mai mare — pentru materiale moi, oțeluri necălite, rectificare cilindrică exterioară, aria suprafeței de contact mică, lungimea așchiilor scurtă, presiune de contact mare, adîncimea de trecere mare,  $D_d$  și  $D_p$  mic,  $v_d$  inferioară vitezei normale,  $w_p$  mare, motor de antrenare puternic, fluid de așchiere cu proprietăți lubrifiante, presiunea și debitul lichidului mari, rigiditate scăzută a mașinii-unelte, vibrații, arbore portdisc pe rulmenți, durtate mai mică — materiale dure, oțel, călit, oțel fragil, materiale sensibile la încălzire, rectificare plană, lungimea așchiilor lungă, aria suprafeței de contact mare, presiunea de lucru mică, adîncimea de așchiere mică,  $w_p$  mic, mașini rigide,  $D_d$  și  $D_p$  mari, fluide de așchiere fără proprietăți lubrifiante.

e. Un disc se comportă în acțiune mai moale, cînd: aria suprafeței de contact scade,  $v_d$  este inferioară vitezei normale de utilizare,  $w_p$  crește, există vibrații,  $D_d$  mic,  $D_p$  mic, se mărește adîncimea de trecere, se utilizează un motor de antrenare puternic, se îndreaptă grosolan discul, se micșorează raportul  $v_d/w_p$ ; și invers.

f. Structura [47]: 2...3 pentru materiale casante, profile complicate; 5...6 rectificarea interioară a oțelului; 6...7 metale moi, oțeluri tenace; 7...9 metale dure; 8...9 degroșare grosolană, fontă cenușie.

g. Viteza de așchiere  $v_d$ : 33 m/s pentru disc ceramic dur, 25 m/s pentru disc ceramic moale, 30...50 m/s pentru liant de bachelită, 65 m/s pentru disc armat, 80 m/s pentru discuri de debitare. În nici un caz nu se va depăși viteza prescrisă pe disc.

h. Influența operatorului: cunoaște mașina-unelte, simte adîncimea de trecere optimă și știe momentul cînd discul trebuie îndreptat, se acomodează cu un disc mai dur (dar rezultă necesitatea de a dispune de putere suplimentară la motorul de antrenare), ceea ce face ca prețul de revenire să scadă.

De mare importanță este respectarea regulilor pentru asigurarea securității în exploatare (STAS 6177-60), care cuprinde: vitezele periferice de lucru, verificarea și încercarea corpurilor abrazive, montarea corpurilor abrazive, carcase de protecție, suporturi pentru piese, reguli generale de exploatare.

## 12.2.17. PRELUCRAREA FINĂ PRIN AȘCHIERE

Constă din îmbunătățirea preciziei dimensionale (cel puțin precizia ISA 7, după VDI 3220 Ed. 1960), preciziei de formă și poziție (maxim 30% IT 7) și netezimii suprafeței (maxim 40% IT 7).

Strunjirea fină [18, v. II] se execută cu cuțite de diamant, mai ales pentru aliaje de aluminiiu, aliaje de magneziu, aliaje de siliciu și aluminiiu; cu carburi metalice P10, P01 pentru oțel, K20 pentru fontă și aliaje neferoase, K30 pentru alamă și compoziție de lagăre; viteza de așchiere, des limitată de mașină,  $v = 120...300$  m/min pentru carburi metalice și  $v = 2000...3000$  m/min pentru diamant; adîncimea de așchiere,  $t = 0,05...0,3$  mm; avansul,  $s = 0,005...0,1$  mm/rot la degroșare pentru precizia IT 6 sau IT 7 cu un adaus de prelucrare de  $0,040...0,3$  mm; iar la finisare, IT 3; rugozitatea, la prelucrarea cu diamant,  $R_{max} = 1...2,5$   $\mu$ m și cu carburi metalice  $R_{max} = 2,5...10$   $\mu$ m.

Găurirea fină cu bare portcuțite cu 1—2 tășuri de finisare, cu prelucrare prealabilă, cu sculă reglabilă fin, prevăzută cu carburi metalice; pentru acest gen de operație, rămîn valabile datele precedente.

Frezarea fină se realizează cu capete de frezat pentru dimensiuni mici, cu 1—2 tășuri, prevăzute cu carburi metalice; rugozitatea obținută,  $R_{max} \approx 4$   $\mu$ m [18].

Rectificarea fină cu discuri de granulație fină și durtate mare,  $R_{max} = 0,2...0,3$   $\mu$ m [33]. Răzuirea — § 12.2.5.

Rulare cu așchiere [33] [17, p. 343—347] se execută cu scule disc sau prismatice (la prelucrarea manuală), din carbură de wolfram, pietre ceramice speciale sau pietre

de rectificat (pentru adaus de prelucrare mai mare), striate la periferie în genul pilelor, în general normal la direcția de mișcare sau înclinat la  $10...30^\circ$  față de axa sculei, cu efect de răzuire; viteza de așchiere,  $v = 2,5...3$  m/s pentru carbură de W,  $v = 5...7$  m/s pentru pietre de rectificat; adausul de prelucrare maxim  $0,01...0,02$  mm — pentru oțel necălit, alamă și nichel,  $0,005...0,01$  mm — pentru oțel călit,  $0,05...0,08$  mm în cazul pietrelor ceramice; lichid: ulei din copite de bovine — pentru oțel călit, ulei solubil (apă de săpun) — pentru oțel necălit, 50% ulei de colza (vegetal) și 50% petrol — pentru alamă; timpul de lucru,  $0,5...40$  s; piesa de sprijin confecționată din carbură de W.

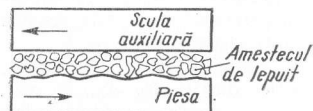
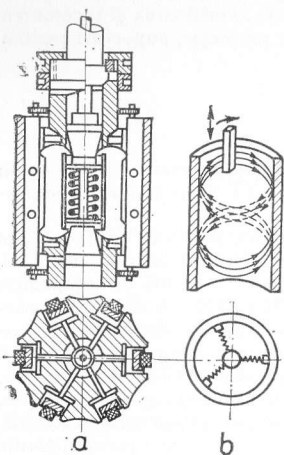


Fig. 12.218. Lepuire

Lepuirea [33] constă din așchiere executată cu granule abrazive în suspensie, introduse între piesa de finisat și scula auxiliară de lepuire (fig. 12.218). Pentru oțel moale și tare, fontă, metale neferoase și sticlă se utilizează carbură de siliciu și se obține o adâncime mai mare. De asemenea, se mai folosește electrocorindonul (adesea cel natural), cu granule de  $5-50 \mu\text{m}$ , maxim  $100 \mu\text{m}$ . La carburile metalice, lepuirea se face cu carbură de bor sau chiar cu pulbere de diamant; la materiale moi (alamă, bronz, aluminiu) — materiale de lepuire moi (piatră ponce). Ca fluide se folosesc: ulei, petrol sau amestecurile acestora. Materialul sculei auxiliare: fontă perlitică cu structură fină (HB 170–200), iar pentru scule mici, cupru, alamă și oțel moale. Presiunea de lepuire:  $0,1-3$  daN/cm<sup>2</sup> (la presiune mică, se obține o calitate mai bună); viteza:  $10-100$  m/min iar la prelucrări mai precise circa  $30$  m/min. Rugozitatea obținută este:  $R_z \approx 0,05 \mu\text{m}$ .

Fig. 12.219. Honuirea:  
a — honul; b — schema operației

Lepuirea cu jet [33] constă din împrăștierea mediului abraziv (suspensie în apă de carbură de siliciu și electrocorindon, de granulație 6-M14; pentru curățire — și bile de sticlă, coaje de nucă etc.), cu aer comprimat ( $4-7$  daN/cm<sup>2</sup> suprapresiune), asupra piesei. Ca mediu: volum de apă/volum de șlefuire =  $7/1\%$ . Înclinarea jetului:  $30-50^\circ$ . Rugozitatea obținută,  $R_{max} = 5...6 \mu\text{m}$  pentru granulația 16 și  $R_{max} = 0,8...1,5 \mu\text{m}$  pentru granulația 200. Timpul de lucru:  $3$  s pentru  $1 \text{ cm}^2$  de suprafață lepuită.

Lepuirea prin tobuire constă din introducerea în toba a piesei împreună cu amestecul de lepuire. Se obține îmbunătățirea calității, îndepărtarea bavurilor și a urmelor de prelucrare.

Honuirea [33] (fig. 12.219) constă din finisarea prin așchiere a unei suprafețe, cu ajutorul honului (sculă cu bare abrazive, montate extensibil) — care efectuează o mișcare elicoidală. Se mărește precizia dimensională (IT 3...IT 4), precizia de formă, netezimea suprafeței ( $R_{max} = 1...2 \mu\text{m}$ ). Scula: bare din electrocorund (pentru oțel, alamă, bronz, aluminiu, materiale sintetice), carbură de siliciu (pentru fontă), pentru cazuri speciale — diamant. Granulația pentru honuire prealabilă este de  $16...4$ , pentru finisare M28-M7;

liant: ceramic sau bachelită; duritatea  $K...P$  (cu cât materialul prelucrat este mai dur, cu atât se alege un grad de duritate mai moale). Presiunea: la prelucrarea prealabilă,  $10...15$  daN/cm<sup>2</sup> pentru oțel călit și  $2...8$  daN/cm<sup>2</sup> pentru oțel necălit; la finisare, presi-

unea este mai mică. Fluid: amestec petrol-ulei în cantitate mare (necesar la filtrare și eventual la răcire); în cazuri speciale honuirea se execută uscat. Adausul de prelucrare:  $0,01...0,2$  mm. Mișcarea de rotație,  $v = 10...35$  m/min; mișcarea axială  $w_{ax} = 5...15$  m/min (valorile mai mici pentru oțel călit); unghiul de încrucișare a urmelor sculei,  $45-60^\circ$ . Cursa honului:  $1/3$  din lungimea honului și depășește în ambele părți suprafața honuită. Avansul în adâncime,  $s_t = V/(s_l v_d 10^3)$  [mm/rot], în care  $s_l = 1000 w_{ax}/n$  [mm/rot],  $n$  — turația [rot/min],  $V = C_v D_p^{0.9} l_{act}$  [mm<sup>3</sup>/min] [3],  $l_{act}$  — lungimea suprafețelor active lale baretelor de honuit,  $C_v$  — tabelul 12.95. Timpul de bază [3],  $t_b = C_t D_p^{0.1} h$  [min] pentru  $l_s > l_p$ ,  $t_b = C_t D_p^{0.1} h l_p/l_s$  [min] pentru  $l_s < l_p$ ,  $l_s$  — lungimea barelor,  $l_p$  — lungimea piesei,  $h$  — adausul de prelucrare, mm/diametru;  $C_t$  — din tabelul 12.95.

Tabelul 12.95  
Valoarea coeficienților  $C_v$  și  $C_t$  [3]

Precizia alezajului prelucrat	0,01	0,015	0,025	0,050	0,100
$C_v$	0,038	0,048	0,065	0,074	0,09
$C_t$	41	33	24	21	17,5

Supranetezirea (vibronetezirea) [33] constă din prelucrarea cu una sau mai multe bare abrazive, care efectuează mișcări rectilinii alternative rapide, combinate cu mișcări de avans axial, piesa executând o mișcare lentă transversală pe direcția comună a celorlalte mișcări (fig. 12.220). Rotirea piesei: ca la honuire; avansul longitudinal, de-a lungul axei, ceva mai mic decât la honuire ( $0,5...1,5$  m/min pentru prelucrarea fără virfuri); mișcarea alternativă:  $1000...2800$  vibrații/minut; amplitudinea vibrației:  $2...6$  mm. Granulația sculei, M5. Presiunea barelor:  $1...5$  daN/cm<sup>2</sup>. Rugozitatea:  $R_{max} = 0,1...0,3 \mu\text{m}$ . Timpul de bază [3],  $t_b = C_t D^{0.9}$  [min] pentru  $l_s > l_p$  și  $t_b = C_t D^{0.9} l_p/l_s$  [min] pentru  $l_s < l_p$ , în care  $C_t$  se ia din tabelul 12.96.

Rodarea este prelucrarea prin așchiere executată cu granule abrazive în suspensie, introduse între piesă și piesa conjugată în mișcare relativă, pentru îmbunătățirea contactului efectiv dintre două suprafețe, de exemplu între supape și scaunul acestora. Adausul de prelucrare  $\sim 0,05$  mm.

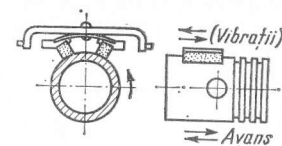


Fig. 12.220. Supranetezirea

Tabelul 12.96  
Valoarea coeficientului  $C_t$  [3]

Rugozitatea după suprafinisare	$R_a = 0,16 \mu\text{m}$	$R_a = 0,08 \mu\text{m}$
Rugozitatea înainte de suprafinisare	$R = 0,32 \mu\text{m}$	$R = 0,4 \mu\text{m}$
$C_t$	0,223	0,315

Polizarea este prelucrarea executată cu corpuri abrazive (în general discuri), prin care se obține curățirea suprafeței piesei, fără a se cere o precizie dimensională sau de netezime.

Lustruirea este prelucrarea executată cu pînze abrazive sau cu abrazivi în suspensie; se obține o suprafață cu aspect lucios, fără a impune respectarea unor condiții dimensionale. Timpul efectiv reprezintă timpul de bază inclusiv timpul de apropiere și îndepărtare a piesei de disc și controlul periodic al suprafeței prelucrate [3]:  $T_{ef} = C_t l_p^{1,0} D_p^{0,75} h^{0,5} / R_a^{0,45}$  [min], în care  $l_p$  este lungimea piesei de prelucrat, mm;  $h$  — adausul de prelucrare, mm/diametru la suprafețe cilindrice și conice;  $R_a$  — abaterea medie aritmetică a profilului,  $\mu m$ ;  $C_t$  — din tabelul 12.97.

Tabelul 12.97

Valoarea coeficientului  $C_t$  [3]

Forma suprafeței	Materialul prelucrat		
	Oțel	Aliaje de aluminiu	Bronz
<i>Ct</i>			
Lustruirea			
Suprafață plană și plană profilată (o parte a suprafeței cilindrice)	0,0011	0,00066	0,00088
Șlefuirea			
Suprafață cilindrică și conică	0,038	0,0228	0,0304

Șlefuirea este prelucrarea cu granule abrazive fixate cu adezivi pe periferia unor discuri (din lemn, piele, pîslă) sau pe pînză etc., pentru îndepărtarea neregularităților de pe suprafața unei piese; mărimea adausului de prelucrare este 0,01...0,09 mm. Timpul efectiv [3],  $T_{ef} = C_t l_p^{1,0} B_p^{0,7} h^{0,5} / R_a^{0,53}$  [min] (valabilă pentru  $B_p > 20$  mm), în care  $B_p$  este lățimea suprafeței prelucrate, mm;  $C_t$  din tabelul 12.97.

## BIBLIOGRAFIE

- ACERKAN, N.S. *Metallorejuscii stanki*, v. I și II. Moscova, Mașinstroenie, 1965.
- ARȘINOV, V.A. ȘI ALEKSEEV, G.A. *Rezanie metallov i rejuscii instrument*. Moscova, Mașinstroenie, 1964.
- BARANOV, B.A. ș.a. *Normarea tehnică în uzinele constructoare de mașini* (traducere din limba rusă). București, Editura tehnică, 1960.
- BAȘTA, T.M. *Transmisiile hidraulice de urmărire ale mașinilor* (traducere din limba rusă). București, Editura tehnică, 1961.
- BLANPAIN, E. *Théorie et pratique des outils de coupe*. Paris, Editura Eyrolles, 1955.
- BOGUSLAVSKI, B.L. *Tokarnie avtomati*. Moscova, Mașghiz, 1958.
- BOTEZ, EMIL. *Mașini-unelte*. Cinematica. București, Editura tehnică, 1969.
- BOTEZ, EMIL. *Angrenaje*. București, Editura tehnică, 1962.
- BOUILLET, J.P. *Le coupe de metaux*, v.I. Paris, Dunod, 1964.

- CETVERIKOV, S.S. *Metallorejuscii instrument*. Moscova, Vișia Șkola, 1965.
- CLAIRE, L.J. *Design and use of cutting tools*. New-York, Mc Graw-Hill Book Company, Inc., 1952.
- CRÎȘAN, SILVIU. *Mașini-unelte*, v. II. București, Editura didactică și pedagogică, 1963.
- CRÎȘAN, SILVIU, ș.a. *Mașini-unelte*, v.I. București, Editura tehnică, 1959.
- DARMANCIEV, S.K. *Fasonie reži* Leningrad, Mașinstroenie, 1969.
- DIACENKO, P.E. și IAKOBSON, M.O. *Calitatea suprafețelor la prelucrarea metalelor prin așchiere* (traducere din limba rusă). București, Editura tehnică, 1954.
- DIACONESCU, IONEL ș.a. *Mașini-unelte*, v.I-VI. București, Editura transporturilor și telecomunicațiilor, 1959—1962.
- DIACONESCU, G.H. ș.a. *Tehnologia mecanicii fine*. București, Editura tehnică, 1969.
- \* \* \* *Dubels Taschenbuch für den Maschinenbau*, v.I și II. Berlin — Heidelberg—New-York, Editura Springer, 1966.
- DULĂMIȚĂ, T. *Alegerea și tratamentul termic al oțelurilor de scule*. București, Editura tehnică, 1963.
- ELIEZER, S. *Scule cu plăcuțe*. București, Editura tehnică, 1969.
- ENACHE, ST. *Calitatea suprafețelor prelucrate*. București, Editura tehnică, 1966.
- FILONENKO, S.N. *Rezanie metallov*. Kiev, Vișia Șkola, 1969.
- FRAIFELD, I.A. *Rasceti i konstrukcii spetsialnogo metallorejusciego instrumenta*. Moscova—Leningrad, Mașghiz, 1957.
- GAȚOV, A.D. ș.a. *Spravochnik normirovscika mașinostroitelia*, v. II. Moscova, Mașghiz, 1961.
- GILLS, I.U.A. *Instrumentalnie stali*. Moscova, Metalurghizdat, 1961.
- GRANOVSKI, G.I. GRUDOV, P.P. KRIVOUHOV, V.A. LARIN, M.N., MALKIN, A.I.A. *Rezanie metallov*. Moscova, Mașghiz, 1954.
- GULEAEV, A.P. *Tratamentul termic al oțelurilor* (traducere din limba rusă). București, Editura tehnică, 1962.
- HARRIS, C.M. și CREDE, C.H.E. *Șocuri și vibrații* (traducere din limba engleză S.U.A.). București, Editura tehnică, 1969.
- HENRIOT, G. *Traté théorique et pratique des engrenages*. Paris, Dunod, v. I—1963, v. II—1961.
- \* \* \* *Hülte. Taschenbuch für Betriebsingenieure (Betriebschülte)*, v.I și II. Berlin, Editura Wilhelm Ernst & Sohn, 1951 și 1952.
- KARTEV, S.P. *Scule pentru prelucrarea filetelui* (traducere din limba rusă). București, IDT, 1956.
- KUCHAMA, I.K. *Vestnik mașinstroenie*, (9): 33 (1956).
- IVANOV, G.P. *Durificarea prin scînteii electrice* (traducere din limba rusă). București, Editura tehnică, 1963.
- KLINGELNBERG, *Technisches Hilfsbuch*. Berlin Heidelberg—New-York, Editura Springer, 1967.
- KRONENBERG, MAX. *Grundzüge der Zerspansungslehre*, v.I. și II. Berlin, Springer, 1954 și 1963.
- KRUMME, W. *Klingelnerberg-Spiralkegelrader*. Berlin—Heidelberg New-York, Springer, 1967.
- KUCER, A.M. ș.a. *Metallorejuscii stanki*. Moscova, Mașinstroenie, 1965.
- KUZNETOV, D.I. și ITKIN, A.L. *Recondiționarea sculelor* (traducere din limba rusă). București, I.D.T.
- LĂZĂRESCU, I. *Teoria așchierii și proiectarea sculelor*. București, Editura didactică și pedagogică, 1958.
- LĂZĂRESCU, I. *Asupra posibilității de abstracționare a sculei așchietoare*. În: Studii și cercetări de mecanică aplicată, nr. 1, 1968.
- LĂZĂRESCU, I. și BOGDAN, A. *Contribuții în legătură cu geometria cușitelor pentru prelucrarea danturii roților dințate conice cu dinți în arc de cerc*. În: Studii și cercetări de mecanică aplicată, X (1959) nr. 3, p. 887—916.
- LĂZĂRESCU, I. ABRUDAN, G. și ARGHIR, G. *Asupra preciziei de prelucrare a pieselor conice*. În: Studii și cercetări de mecanică aplicată, nr. 1, 1962, p. 219.
- LĂZĂRESCU, I. și ABRUDAN, G. *Analiza erorilor hiperbolice ce apar la prelucrarea pieselor conice*. În: Buletinul științific al Institutului politehnic din Cluj, nr. 8, 1963, p. 277.
- LĂZĂRESCU, I. D. *Calculul și construcția sculelor așchietoare*, București, Editura tehnică, 1962.
- MAROS, D. KILLMAN, V. ROHONYI, V. *Angrenaje melcate*. București, Editura tehnică, 1966.
- MAROS, D. *Cinematica roților dințate*. București, Editura tehnică, 1958.
- MAIUȘIN, V. M. *Mortizarea roților dințate* (traducere din limba rusă). București, I.D.T., 1953.
- MERRIT, H. E. *Theory of self-Excited Machine-Tool Chatter*. În: Journal of Engineering for Industry, noiembrie, 1963.
- MÜLLER, K. G. *Werkzeugmaschinen*. München, Institut für Fertigungstechnik, 1967—1968.
- OPITZ, H. *Les causes d'usure des outils de coupe au carbure métallique*. În: K.D.M. Information, nr. 8, 1963.
- OSMAN, M. *Automata esztergákvészérlő görbéli*. Budapest, Műszaki könyvkiadó, 1960.
- OȘER, R. N. *Prepararea lichidelor de ungere și răcire și întreținerea lor la prelucrarea metalelor prin așchiere* (traducere din limba rusă). București, Editura tehnică, 1953.
- PONOMARIOV, S. D. ș.a. *Calculul de rezistență în construcția de mașini* (traducere din limba rusă), v. I—III. București, Editura tehnică, 1960—1964.
- REZNIKOV, N. I. *Ucenie o rezanii metallov*. Moscova, Mașghiz, 1947.
- ROMANOV, V. F. *Verificarea cușitelor-roată la prelucrarea roților dințate cu angrenare interioară*. În: Mașini-unelte și scule (traducere din limba rusă), nr. 6, 1954.
- SAUER, L. *Proiectarea sculelor*. București, Editura didactică și pedagogică, 1967.
- SCHMIDT, E. ș.a. *Priručka rezných nástrojů*. Praha, SNTL—Nakladatelství Technické literatury, 1967.
- SEMENCENKO, I. I., MATIUȘIN, V. M. SAHAROV, G. N. *Proektirovanie metallorejusciih instrumentov*. Moscova, Mașghiz, 1962.



57. SOKOLOVSKI, A. P. *Precizia prelucrării mecanice și metodele pentru mărirea ei* (traducere din limba rusă). București, Editura tehnică, 1954.
58. ȘAVLIUGA, N. I. *Înșiruri cinematice ale mașinilor-unelte* (traducere din limba rusă), București Editura tehnică, 1954.
59. TIȘIN, S. D. *Răscetă masinnoy vremeni raboti na metallorejuscih stankov*. Spravocinik. Moscova, Mașino-stroenie, 1964.
60. ȘAUMEAN, G. A. *Mașini automate* (traducere din limba rusă). București, Editura tehnică, 1957.
61. TITOV, G. N. *Procinosti metallorejuscih instrumentov*. Moscova, Mașghiz, 1948.
62. TLUSTY, J. ș.a. *Selbsterregte Schwingungen an Werkzeugmaschinen*. Berlin, VEB Verlag Technik, 1962.
63. TOBIAS, S. A. *Vibrațiile mașinilor-unelte*. În: „Socuri și vibrații” sub redacția C. ril M. Harris și Charles E. Crede, v. III (traducere din limba engleză S.U.A.). București, Editura tehnică, 1969, p. 91.
64. TOLČENOV, T. V. *Tehničeskoe normirovanie stanocin și slesarnoborocin și rabot*. Moscova, Mașghiz, 1956.
65. VULF, A. M. *Rezanie metallov*. Moscova-Leningrad, Mașghiz, 1963.
66. WEISZ, M. *Étude Métallographique de la Formation du Copeau d'Usinage*. În: „Publication de l'Institut de Recherches de la Sidérurgie”, februarie, 1957, seria A, nr. 142.
67. \*\*\* *Rejimi rezaniiia cernih metallov instrumentov, osnasciennim tverdim splaven*. NIBTH Glavniiproekta pri Gosplane SSSR, Mașghiz, 1958.
68. \*\*\* *Catalogue des outils MAG de taillage d'engrenages*. Zurich, (1965).
69. \*\*\* *Aide memoire formulaire des utilisateurs de meules*. Compagnie NORTON, Paris, 1966.
70. \*\*\* *Comment choisir une meule*. Compagnie NORTON, Paris, 1966.
71. SEMENCENKO, I. I. *Așchierea rapidă a metalelor și sculele respective* (traducere din limba rusă). București. I.D.T., (70/119).
72. \*\*\* *Mașinostroenie*. Ențiklopediceski spravocinik, v. 7. Moscova, Mașghiz, 1949, p. 288–289.
73. Ministerstvo stankostroeniia SSSR. *Rejimi rezaniiia metallov instrumentami iz bistrorejusciiei stali*. Moscova, Mașghiz, 1950.
74. Ministerul Industriei Metalurgice. *Corpuri abrazive*. CARBOCHIM, București, Oficiul de documentare tehnică, 1968.

## 13. PRELUCRAREA MATERIALELOR PRIN EROZIUNE

### 13.1. DEFINIREA, CLASIFICAREA ȘI CARACTERISTICILE GENERALE ALE METODELOR DE PRELUCRARE DIMENSIONALĂ PRIN EROZIUNE

În procesele de eroziune, definite ca procese de distrugere a integrității substanței din straturile de suprafață ale obiectului supus eroziunii, este caracteristică o interacțiune între agentul eroziv și obiectul supus eroziunii, de tipul celei prezentate principal în fig. 13.1. Acțiunea agentului eroziv asupra materialului obiectului eroziunii se exercită în spațiu și timp, putând fi localizată sau generalizată, respectiv discontinuă sau continuă. Eficacitatea acestei acțiuni, exprimată prin variația masei, respectiv geometriei obiectului erodat, este determinată de parametrii definitorii ai agentului eroziv, de dinamica procesului de interacțiune agent eroziv-obiectul eroziunii și de ansamblul proprietăților materialului supus eroziunii.

Principalele forme de eroziune, care prezintă interes din punct de vedere tehnologic, sînt date în fig. 13.2. Trăsătura caracteristică a tuturor formelor de eroziune prezentate constă în natura specifică a energiei primare, conținută de agentul eroziv. Această energie primară este predominant electrică, electromagnetică, electrochimică, chimică și radiantă și, numai în cazuri excepționale, termică și mecanică. Trebuie precizat că în această ultimă situație, energia primară mecanică a agentului eroziv nu se transmite obiectului eroziunii prin acțiunea directă și de durată relativ mare a unui corp solid, așa cum este cazul la metoda de prelucrare prin așchiere.

În zona de interacțiune agent eroziv-obiectul eroziunii, energia primară a agentului eroziv se transformă în energie termică, mecanică sau chimică, care se consumă, în principal, pentru distrugerea integrității substanței de la suprafața obiectului eroziunii.

Mecanismul distrugerii erozive poate prezenta următoarele tipuri de fenomene elementare:

- topire, vaporizare, sublimare a unor volume elementare de material, afectate de acțiunea agentului eroziv;
- ruperi de material în straturile de suprafață ale obiectului eroziunii, ca urmare a unor acțiuni termice și mecanice repetate;
- coroziune.

Procesul îndepărtării materialului erodat de pe suprafața obiectului eroziunii se realizează în contul energiei agentului eroziv și are, în majoritatea cazurilor, un caracter discontinuu și cumulativ.

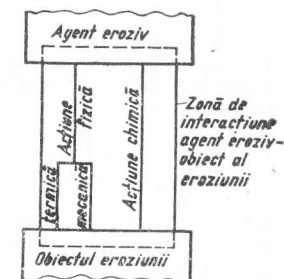


Fig. 13.1. Interacțiunea agent eroziv-obiectul eroziunii



Principalele metode de prelucrare dimensională prin eroziune aplicate industrial sînt prezentate în tabelul 13.1.

*Metoda de prelucrare prin eroziune electrică* se bazează pe acțiunea erozivă polarizată a unor descărcări electrice prin impuls, amorstate în mod succesiv între un electrod ajutător pentru localizarea macroscopică a eroziunii și obiectul prelucrării. Localizarea microscopică a actelor erozive elementare are un caracter statistic și este asigurată prin selectivitatea intrinsecă a procesului amorșării descărcărilor electrice.

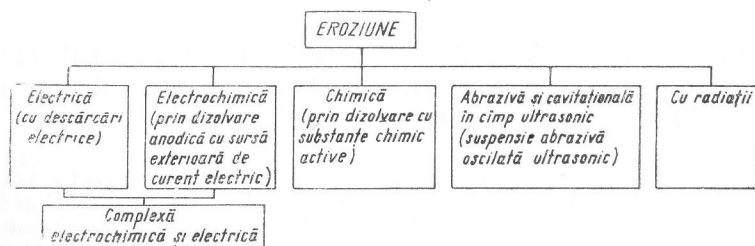


Fig. 13.2. Principalele forme de eroziune de interes tehnologic

*Metoda de prelucrare prin eroziune cu plasmă* se bazează pe acțiunea erozivă a plamei unei descărcări electrice în arc staționar, stabilizată cu ajutorul unui curent de gaz. Localizarea eroziunii cu plasmă se realizează prin transferarea anodului arcului, amorstat inițial în generatorul de plasmă, pe suprafața obiectului prelucrării (plasmă-arc) și, respectiv, prin dirijarea formei și dimensiunilor jetului de plasmă, suflat în afara generatorului de plasmă de către curentul de gaz utilizat (plasmă-jet).

*Metoda de prelucrare prin eroziune electrochimică* se bazează pe fenomenul dizolvării electrochimice (anodice) a substanței obiectului prelucrării în procese caracteristice de schimb de sarcini electrice și de masă între electrolit, anod și catod. Suprafața necesară de interacțiune între anod-electrolit-catod se asigură prin geometria adecvată a electrodului ajutător-catod, pentru localizarea macroscopică a eroziunii. Localizarea microscopică are un caracter statistic și este determinată de valorile maxime ale densității curentului electric pe suprafața de prelucrat.

*Metoda de prelucrare prin eroziune chimică* se bazează pe fenomenul de dizolvare electrochimică ce acționează în condițiile aplicării pe suprafața obiectului prelucrării a unei substanțe solvent chimic active, datorită diferențelor de potențial electrochimic dintre diferitele puncte ale suprafeței de prelucrat și respectiv între acestea și particulele substanței solvent. Principial deci, eroziunea chimică reprezintă o formă specifică a eroziunii electrochimice, caracterizată prin lipsa sursei exterioare de curent electric. Localizarea macroscopică a prelucrării se realizează prin acoperirea cu pelicule de protecție anticorrosivă a părților suprafeței obiectului prelucrării ce nu trebuie supuse eroziunii.

*Metoda de prelucrare complexă prin eroziune electrochimică și electrică* se bazează pe desfășurarea, simultană în timp și diferențiată în spațiu, a unor procese de eroziune electrochimică și de eroziune electrică cu descărcări în arc nestaționar, a suprafeței obiectului prelucrării. Posibilitatea realizării prelucrării este condiționată de formarea unei pelicule anodice tari, insolubile, izolatoare din punct de vedere electric, de existența unei presiuni de contact și a unei mișcări relative tangențiale la suprafața de prelucrat, între electrodul ajutător — catod pentru localizarea macroscopică a eroziunii și obiectul prelucrării.

Tabelul 13.1

Principalele metode industriale de prelucrare prin eroziune

Nr. crt.	Denumirea care reflectă fenomenele fundamentale utilizate de metodă	Alte denumiri folosite în literatura de specialitate	Denumirea recomandată
1	<i>Prelucrare prin eroziune electrică</i>		
1.1.	Cu descărcări în scînteii	Prelucrare prin electroeroziune Prelucrare cu descărcări electrice Prelucrare cu scînteii electrice	Prelucrare prin eroziune electrică Prelucrare cu descărcări electrice în scînteii
1.2.	Cu descărcări în arc nestaționar:		
1.2.1.	a. amorstate prin străpungerea unui mediu dielectric	Prelucrare cu impulsuri electrice	Prelucrare cu descărcări electrice în arc
1.2.2.	amorsate prin ruperea unui contact electric parcurs de curent	Prelucrare prin contact electric Prelucrare electromecanică	Prelucrare prin contact electric
2.	<i>Prelucrare prin eroziune cu plasmă</i>		Prelucrare prin eroziune cu plasmă
3.	<i>Prelucrare prin eroziune electrochimică</i>	Prelucrare electrochimică Prelucrarea electrolitică Lustruire electrolitică	Prelucrare prin eroziune electrochimică
3.1.	Cu depasivare naturală		Prelucrare electrochimică naturală
3.2.	Cu depasivare forțată:		
3.2.1.	prin circulara forțată a electrolitului	Prelucrare electrochimică dimensională	Prelucrare electrochimică hidrodinamică
3.2.2.	prin abrazare	Prelucrare electroabrazivă Elizare	Prelucrare electrochimică abrazivă

Tabelul 13.1 (continuare)

Nr. crt.	Denumirea care reflectă fenomenele fundamentale utilizate de metodă	Alte denumiri folosite în literatura de specialitate	Denumirea recomandată
4.	<i>Prelucrare prin eroziune chimică</i>	Prelucrare chimică	Prelucrare prin eroziune chimică
5.	<i>Prelucrare complexă prin eroziune electrochimică și electrică</i>	Prelucrare anod-mecanică	Prelucrare prin eroziune chimico-electrică
6.	<i>Prelucrare prin eroziune abrazivă cavitațională</i>	Prelucrare cu ultrasunete Prelucrare cu ajutorul oscilațiilor ultrasonore	Prelucrare prin eroziune abrazivă cavitațională
7.	<i>Prelucrare prin eroziune cu radiații</i>	Prelucrare cu radiații de înaltă energie	Prelucrare prin eroziune cu radiații
7.1.	Cu fascicul de electroni	Prelucrare cu fascicul de electroni	Prelucrare cu fascicul de electroni
7.2.	Cu fascicul de ioni	Prelucrare cu raze electronice Prelucrare cu raze ionice	Prelucrare cu fascicul de ioni
7.3.	Cu fascicul de fotoni	Prelucrare cu laser Prelucrare cu ajutorul generatorilor cuantici	Prelucrare cu fascicul de fotoni

*Metoda de prelucrare prin eroziune abrazivă și cavitațională în câmp ultrasonic* se bazează pe acțiunea, în strinsă interdependență, a unor procese de eroziune abrazivă și cavitațională, dezvoltate simultan în condițiile oscilării ultrasonice a suspensiei abrazive interpusă între un obiect ajutător, fixat pe suprafața activă a transformatorului acustic al unui transductor ultrasonic, și obiectul prelucrării. Localizarea macroscopică a prelucrării este asigurată prin forma adecvată a suprafeței active a obiectului ajutător prin care se radiază energia ultrasonică în agentul eroziv.

*Metoda de prelucrare prin eroziune cu radiații* se bazează pe acțiunea erozivă a unui fascicul de radiații de mare energie și puternic focalizat la suprafața obiectului prelucrării.

Localizarea prelucrării se realizează prin focalizarea și dirijarea spațială corespunzătoare a fasciculului de radiații cu ajutorul lentilelor electrice, magnetice sau electromagnetice (la radiații corpusculare), respectiv cu oglinzi și lentile optice (la radiații electromagnetice luminoase).

Din punct de vedere tehnologic, metodele de prelucrare dimensională prin eroziune prezintă următoarele caracteristici generale:

- influența proprietăților mecanice ale materialului obiectului prelucrării asupra caracteristicilor tehnologice este (cu excepția metodei de prelucrare prin eroziune abrazivă și cavitațională) de ordin secundar;

- cinematica generării suprafețelor prelucrate este relativ simplă; în cazul metodelor de prelucrare prin eroziune electrică (tabelul 13.1 poz. 1.1 și 1.2.1) electrochimică (tabelul 13.1 poz. 3.2.1) și respectiv abrazivă-cavitațională este posibilă reproducerea formei spațiale a electrodului ajutător, respectiv a obiectului ajutător fixat pe suprafața activă a transformatorului acustic, printr-o mișcare de avans de pătrundere liniară a acestora;

- simultan cu modificarea formei obiectului prelucrării au loc și modificări ale proprietăților materialului din straturile de suprafață ale obiectului prelucrării; în anumite condiții este posibilă îmbunătățirea unor proprietăți ale materialului prelucrat;

- procesele de prelucrare se pot automatiza relativ ușor, asigurându-se condiții pentru deservirea simultană a mai multor mașini de către un singur operator.

În cazul prelucrării materialelor obișnuite și a suprafețelor de complexitate redusă (plane, de revoluție sau generate prin combinarea unei mișcări de rotație cu o mișcare liniară), metodele de prelucrare dimensională prin eroziune prezintă, în general, caracteristici tehnologice inferioare și un consum specific de energie superior în raport cu metoda de prelucrare prin așchiere.

Domeniul actual de aplicare cu maximă eficiență tehnico-economică a metodelor de prelucrare dimensională prin eroziune este reprezentat de prelucrarea materialelor cu proprietăți mecanice, termice și chimice excepționale, prelucrarea suprafețelor spațiale de mare complexitate și toate categoriile de prelucrări microdimensionale.

## 13.2. PRELUCRAREA DIMENSIONALĂ PRIN [EROZIUNE ELECTRICĂ]

### 13.2.1. PRINCIPII FIZICE ȘI TEHNOLOGICE

Din punct de vedere fizic, procesul de prelucrare dimensională prin eroziune electrică este determinat de acțiunea erozivă complexă, localizată și discontinuă a unor descărcări electrice prin impuls (fig. 13.3), amorțate în mod repetat între obiectul prelucrării și un electrod ajutător (numit, în continuare, electrod NA). Acțiunea descărcării electrice prin impuls se exercită asupra obiectului prelucrării, electrodului și mediului dielectric

dintre aceștia, avînd drept consecință principală distrugerea integrității substanței de la suprafața obiectului prelucrării și îndepărtarea din zona de prelucrare a produselor metalice și de altă natură rezultate.

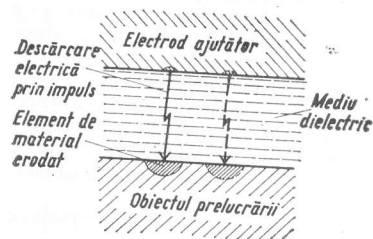


Fig. 13.3. Schema de principiu a prelucrării dimensionale prin eroziune electrică

În procesul eroziunii, energia primară electrică furnizată de un echipament de alimentare cu energie pentru amorsarea, dezvoltarea și întreținerea temporară a descărcării este transformată, predominant, în energie termică și mecanică. În acest mod, descărcarea electrică prin impuls reprezintă o sursă de energie distructivă puternic concentrată (densitatea volumetrică de energie atinge  $30\,000\text{ J/mm}^3$ ), care determină pe suprafața obiectului prelucrării modificări locale ale stării de agregare și structurii, ruperi micro și macroscopice și expulzări de material. Un proces calitativ similar se desfășoară și pe suprafața afectată de descărcare a electrodului.

Schema de principiu a celor mai importante fenomene fizico-chimice caracteristice ce se desfășoară în procesele de eroziune electrică realizate în medii dielectrice lichide este reprezentată în fig. 13.4.

În practica prelucrării dimensionale prin eroziune electrică se utilizează descărcări prin impuls, în scînteie, de tranziție scînteie-arc și în arc.

Principalele condiții fizice care determină posibilitatea utilizării fenomenului de eroziune electrică în procesele tehnologice de prelucrare dimensională a materialelor electroconductoare sînt prezentate în continuare.

**Introducerea directă a energiei primare electrice la suprafața obiectului prelucrării.** Aceasta se realizează prin conectarea obiectului prelucrării și a electrodului, între care s-a interpus un mediu dielectric, la tensiunea de ieșire a echipamentului de alimentare cu energie electrică. Interstițiul dintre suprafețele active ale obiectului și electrodului este stabilizat la valori corespunzătoare amorsării descărcărilor electrice prin acțiunea unui sistem de reglare automată. În acest fel, introducerea directă a energiei electrice în zona de prelucrare este posibilă fie exclusiv prin canalul descărcării (prelucrare cu descărcări în scînteie sau în arc), fie prin contactul temporar dintre electrod și obiectul prelucrării și prin canalul descărcării amorsate la ruperea acestuia (prelucrare prin contact electric). În ultimul caz, este obligatorie o mișcare relativă ajutătoare între electrod și obiectul prelucrării, tangențială la suprafața de prelucrat.

**Dozarea temporală a energiei primare electrice transmise obiectului prelucrării.** Aceasta se asigură prin limitarea duratei descărcărilor la valori, în general, sub  $10^{-2}\text{ s}$ . În acest fel, energia electrică este transmisă obiectului prelucrării în mod discontinuu, sub formă de impulsuri.

Generarea impulsurilor de curent electric în spațiul de interacțiune electrod-obiectul prelucrării (spațiul de lucru) se poate realiza pe cale electrică (descărcări amorsate prin străpungerea unui mediu dielectric) sau pe cale mecanică (descărcări amorsate prin ruperea unui contact parcurs de curent). În primul caz, alimentarea cu energie electrică a spațiului de lucru se face prin intermediul unui generator de impulsuri de tensiune, cu parametri corespunzători. În cel de-al doilea caz, spațiul de lucru, caracterizat prin existența unor contacte metalice locale temporare între electrod și obiectul prelucrării, se alimentează în mod direct cu curent electric continuu sau alternativ, de la o sursă cu tensiune suficient de mare, în general peste  $20\text{ V}$ .

**Localizarea energiei primare electrice pe suprafața obiectului prelucrării.** Localizarea microscopică a acțiunii impulsurilor de curent electric pe suprafața obiectului prelucrării este consecința selectivității intrinseci a procesului de amorsare a descărcărilor electrice. Această proprietate determină, implicit și posibilitatea localizării macroscopice a eroziunii.

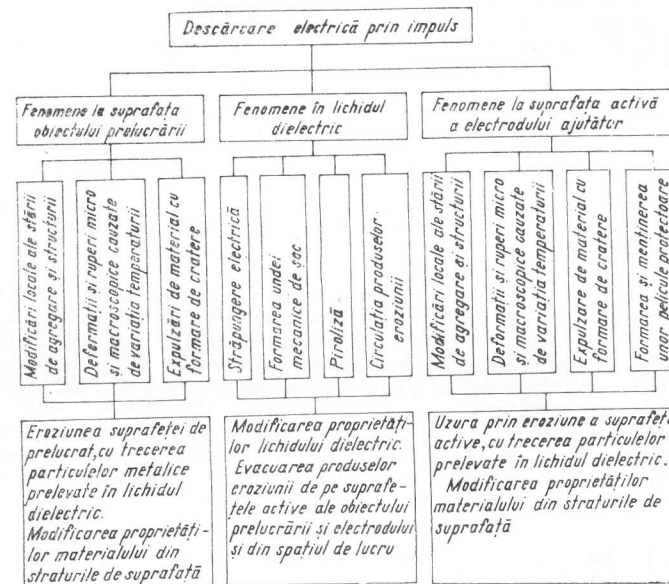


Fig. 13.4. Fenomene fizico-chimice caracteristice prelucrării dimensionale prin eroziune electrică în medii dielectrice lichide

Astfel, atribuind electrodului o configurație conjugată cavității ce trebuie executată și orientînd mișcarea de avans de pătrundere a electrodului după sensul necesar al eroziunii, se realizează generarea suprafeței prelucrate prin copierea forme spațiale a electrodului în obiectul prelucrării. Actualmente, circa 80% din volumul de prelucrare dimensionale executate prin eroziune electrică utilizează principiul copierii. Se conturează însă tendința largirii posibilităților tehnologice ale prelucrării, prin aplicarea altor metode de generare a suprafețelor, cum ar fi integrarea urmei, rularea etc.

**Asigurarea unui caracter polarizat al eroziunii în descărcări electrice prin impuls.** În condiții tehnologice, caracterul polarizat al eroziunii este determinat în special de fenomenele fizico-chimice de pe suprafața activă a electrodului. La prelucrarea cu descărcări în scînteie, eroziunea obiectului prelucrării este maximă cînd acesta este conectat la anodul echipamentului de alimentare cu energie electrică. La prelucrarea cu descărcări în arc de străpungere, această condiție se realizează prin conectarea obiectului prelucrării la catodul echipamentului respectiv. La prelucrarea prin contact electric în curent continuu, obiectul prelucrării se conectează la anod.



Analiza fenomenelor termice și hidrodinamice din procesele de prelucrare arată că, la materiale date ale electrodului și obiectului prelucrării și la un mediu dielectric bine determinat, caracteristicile tehnologice ale prelucrării sunt determinate, în ultimă instanță, de parametrii impulsurilor de curent electric ce acționează la suprafața de prelucrat și respectiv de configurația și dimensiunile spațiului de lucru.

Ansamblul parametrilor definitorii ai impulsurilor de curent ce acționează la suprafața obiectului prelucrării reprezintă deci, în condiții date, regimul de prelucrare prin eroziune electrică. Din considerente practice, regimul de prelucrare se caracterizează obișnuit, în mod incomplet, prin mărimi integrale măsurabile cu mijloace simple (tensiunea de mers în gol a echipamentului de alimentare cu energie electrică, valorile mijlocii sau efective ale tensiunii de amorsare a descărcărilor respectiv ale curentului în spațiul de lucru etc.) și prin parametrii constructivi ai echipamentului de alimentare cu energie electrică (de exemplu, valorile elementelor de circuit pasive RLC ale generatoarelor de impulsuri).

În tabelul 13.2 se indică regimurile de prelucrare prin eroziune electrică utilizate în prezent, cu evidențierea orientativă a interdependenței dintre parametrii impulsurilor de curent electric, fenomenele fizice din spațiul de lucru și unele caracteristici tehnologice ale prelucrării.

Principalele concluzii ce se desprind din examinarea datelor respective sunt următoarele:

- Pentru prelucrări de degroșare sunt de preferat prelucrarea cu descărcări în arc, joasă frecvență și, atunci când există posibilitatea asigurării unei mișcări relative între electrod și obiectul prelucrării, tangențială la suprafața de prelucrat-prelucrarea prin contact electric în curent alternativ, ca fiind cele mai productive și mai avantajoase din punct de vedere energetic.

- Pentru prelucrări de finisare, în special ale materialelor sensibile la modificări structurale și rupei în straturile de suprafață, se recomandă aplicarea prelucrărilor cu descărcări în scinteie, de înaltă frecvență și a prelucrării prin contact electric în curent continuu, cu regimuri de lucru fine.

### 13.2.2. UTILAJE PENTRU PRELUCRAREA PRIN EROZIUNE ELECTRICĂ

**13.2.2.1. MAȘINI DE PRELUCRARE.** Mașinile de prelucrare prin eroziune electrică pot fi universale, speciale și specializate.

Din punct de vedere constructiv, acestea posedă numeroase elemente comune cu mașinile pentru prelucrarea prin așchiere, în special în ceea ce privește echipamentele de acționare și părțile mecanice (batiu, ghidaje, lanțuri cinematice etc.). În același timp, prezintă și unele elemente caracteristice, determinate de condițiile specifice în care se realizează prelucrarea materialului obiectului prelucrării, și anume: echipamente pentru alimentarea cu energie electrică a spațiului de lucru, echipamente pentru reglarea stabilizatoare a interstiului de lucru, sisteme pentru introducerea și menținerea lichidului dielectric în spațiul de lucru și dispozitive suplimentare pentru satisfacerea cerințelor tehnicii securității muncii și pazei contra incendiilor.

Clasificarea mașinilor de prelucrare universale, în funcție de natura mișcărilor de lucru, este prezentată în tabelul 13.3.

În fig. 13.5 se reproduce vederea de ansamblu a unei mașini universale de prelucrare prin copierea formei spațiale a electrodului, de construcție caracteristică. La acest tip de mașini, cel mai răspândit în industrie, masa obiectului prelucrării poate varia în mod obișnuit între 5 și 10 000 kg iar masa electrodului, inclusiv dispozitivul de prindere, între 1 și 250 kg.

Principalele procese tehnologice de prelucrare pentru care există în exploatare mașini de prelucrare speciale și specializate sunt: execuția paletelor de turbine cu abur sau gaz, execuția rotoarelor de turbine hidraulice Pelton, execuția sitelor cu orificii de secțiune circulară sau dreptunghiulară, execuția orificiilor de mici dimensiuni în aparatura de injecție a combustibilului lichid, marcarea produselor metalice, extragerea sculelor așchietoare rupte din obiecte de prelucrat mici și mijlocii.

**13.2.2.2. GENERATOARE DE IMPULSURI DE TENSIUNE.** Generarea impulsurilor de curent electric, determinante pentru procesul de prelucrare, se realizează prin amorsarea și întreținerea în spațiul de lucru, sub acțiunea impulsurilor de tensiune produse de un generator corespunzător, a unor descărcări electrice prin impuls cu caracteristici adecvate. Datorită acestui fapt, proprietățile spațiului de lucru exercită o importantă influență cantitativă și chiar calitativă asupra funcționării generatoarelor de impulsuri.

Principalele metode de formare a impulsurilor de tensiune pentru prelucrarea prin eroziune electrică sunt:

- descărcarea energiei înmagazinate în câmp electric sau magnetic;
- întreruperea curentului continuu sau alternativ;
- compunerea unei tensiuni continue cu tensiuni alternative de diferite amplitudini, faze și frecvențe;
- conversiunea de frecvență a tensiunii alternative;
- dirijarea spațială temporală a înălțării magnetice dintre inductor și indus la generatoarele rotative, cărora li se adaugă, în special pentru obținerea unor impulsuri unipolare;
- redresarea tensiunilor sinusoidale sau impulsurilor de tensiune alternative.

În toate cazurile (cu excepția generatoarelor rotative), metodele de formare a impulsurilor se bazează pe acțiunea de comutare, autonomă sau comandată, a unor elemente de circuit neliniare.

În tabelul 13.4 se prezintă clasificarea și câteva caracteristici ale generatoarelor de impulsuri de tensiune de interes industrial.

Exploatarea în condiții tehnico-economice optime a mașinilor de prelucrare universale impune realizarea proceselor de prelucrare printr-o succesiune de treceri, cu regimuri de lucru din ce în ce mai fine. Din acest punct de vedere este ideală echiparea mașinilor universale cu generatoare de impulsuri cu o gamă cât mai largă a regimurilor de lucru. Urmărirea datelor din tabelul 13.4 relevă satisfacerea acestei condiții, în primul rând, de către generatoarele de impulsuri RC (fig. 13.6), care de altfel echipează în prezent cea mai mare parte a mașinilor de prelucrare universale. Există tendința limitării folosirii generatoarelor RC exclusiv la mașini de putere redusă (în general sub 1 kW), destinate

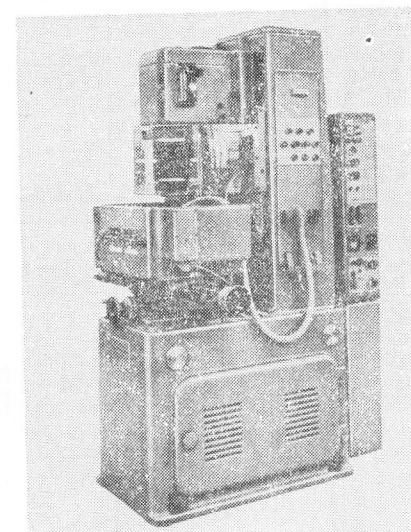


Fig. 13.5. Mașină de prelucrare prin eroziune electrică cu copierea formei spațiale a electrodului în obiectul de prelucrat

Tabelul 13.2

## Regimuri de prelucrare prin eroziune electrică

Parametrii impulsurilor de curent electric						Fenomenele fizice în spațiul	
Metoda de generare	Frecvența $f$	Durata impulsului	Coeficientul de umplere	Energia impulsului $W_i$	Valoarea maximă a curentului prin spațiul de lucru $I_{max}$	Forma descărcării prin impuls	Mecanismul prelevării materialului
0	1	2	3	4	5	6	7
Electrică	(0,3... ...1) $10^3$	20—200	0,03— 0,08	0,05— 10	10—60	Scinteie- arc	Vaporizare lentă și explozivă
	(1... 1 500) $10^3$	0,2—12	0,015— 0,04	0,0001— 0,03	0,1—1	Scinteie	Vaporizare explozivă
	(0,05... ...0,3) $10^3$	(10... ...12) $10^3$	0,3— 0,65	—	250— 1 200	Arc	Topire
	(0,3... ...1) $10^3$	(1... ...1,8) $10^3$	0,4—0,7	5—50	80—600	Arc	Topire și vaporizare lentă
	(1... 100) $10^3$	40—400	0,5— 0,95	0,001— 0,9	2—100	Scinteie arc	Topire și vaporizare lentă
Mecanică	50	—	—	—	(1... ...10) $10^3$	Arc	Topire
	(20... ...30) $10^3$	0,5—10	—	—	2...250	Arc	Topire și vaporizare lentă

Observație. În acest tabel s-au dat valori numerice numai acolo unde s-au găsit publicate în

\*) Electrode din cupru și obiect din oțel.

\*\*) Idem în curent alternativ.

\*\*\*) Electrode din fontă și obiect din carburi metalice.

de lucru	Caracteristicile tehnologice ale prelucrării				
Polaritatea obiectului prelucrării	Productivitatea $Q_{max}$	Înălțimea medie a neregularităților $R_a$	Adâncimea stratului modificat structural $h_s$	Uzura relativă $u_v$	Consumul specific de energie $W_s$
	mm <sup>3</sup> /min	μm	mm	%	J/mm <sup>3</sup>
8	9	10	11	12	13
Anod*)	$1,5 \cdot 10^3$	50—1,6	0,01— 0,08	10—80	6—50
Anod*)	2—20	3,2—0,6	0,001— 0,002	20—100	100—1000
Catod*)	$25 \cdot 10^3$	Peste 100	0,1—0,9		1—10
Catod*)	$6 \cdot 10^3$	Peste 100	0,08— 0,25	0,2—20	10—100
Catod*)	900	12,5—1,6	0,01— 0,02	5—30	(0,1... ...1) $10^3$
**)	$50 \cdot 10^3$	Peste 100	0,3—2	1—15	0,5—1
Anod***)	250	6,3—0,4	0,004— 0,25		10—60

literatura de specialitate.



Tabelul 13.3

## Clasificarea mașinilor universale de prelucrare prin eroziune electrică

Denumirea mașinilor	Metodele de generare a impulsurilor	Mișcarea de avans de pătrundere	
		Organul care o execută	Natura mișcării
Mașini de prelucrare prin copierea formei electrodului	Electrică	Electrodul	Rectilinie
	Electrică	Electrodul	Translație circulară
Mașini de prelucrare cu electrod filiform	Electrică	Obiectul prelucrării	Rectilinie
	Electrică	Obiectul prelucrării	Oarecare în plan
Mașini de prelucrare cu electrod rotativ	Electrică	Electrodul și obiectul prelucrării	Rectilinie
Mașini de prelucrare cu electrod rotativ	Mecanică	Electrodul și obiectul prelucrării	Rectilinie
Mașini de prelucrare cu obiecte de prelucrat rotative	Mecanică	Electrodul	Rectilinie

prelucrării la regimuri de finisare a obiectelor din materiale cu tendință de fisurare la variații mari de temperatură (în special carburi metalice).

Un domeniu larg de reglare a regimurilor de lucru prezintă și generatoarele de impulsuri de tensiune cu semiconductori (fig. 13.7). Avantajele acestora, printre care posibilitatea comandării independente și în limite largi a parametrilor principali ai impulsurilor și randamentul mare, ca urmare a eliminării elementelor de circuit acumulator de energie, au determinat o asimilare rapidă a generatoarelor de impulsuri cu semiconductori în tehnica electroeroziunii, în special la mașini de putere mare și regimuri de lucru de degroșare.

Mișcările de lucru ajutătoare		Variante constructive	Operații ce se pot executa
Organul care le execută	Natura mișcărilor		
Electrodul *)	Oscilatorie longitudinală rotație	Mișcări de deservire executate de: — electrod — obiectul prelucrării	Găurire, gravare și marcare
—	—		Finisarea orificiilor și cavităților cu orificii și respectiv cavități tehnologice
Electrodul	Rectilinie		Retezare
Electrodul	Rectilinie	Cu comandă: — după șablon — după desen — după program	Decupare după orice contur
Electrodul și obiectul prelucrării *)	Rotație	Mișcare de rotație: — în plan vertical — în plan orizontal	Retezare, rectificare plană și cilindrică, fasonare, filetare interioară
Electrodul	Rotație	Mișcare de rotație: — în plan vertical — în plan orizontal	Rectificarea suprafețelor plane și curbe în spațiu retezare, găurire, profilarea, obiectelor paralelipipedice
Obiectul prelucrării și electrodul *)	Rotație		Rectificarea suprafețelor cilindrice Netezirea suprafețelor de revoluție

\* Numai în cazuri particulare de prelucrare, de obicei, cu dispozitive auxiliare.

Problema echipării mașinilor de prelucrare universale cu generatoare de impulsuri de tensiune cu gamă largă a regimurilor de lucru se rezolvă în prezent prin utilizarea în aceeași mașină a mai multor tipuri de generatoare (2—4), specializate pentru regimuri de lucru diferite.

Uneori, în funcție de condițiile concrete ale prelucrării, în special când se urmărește asigurarea unei productivități ridicate, se practică alimentarea de la un generator de impulsuri a mai multor posturi de lucru și respectiv alimentarea unui post de lucru, secționat pe mai multe circuite, de la mai multe generatoare de impulsuri.

Caracteristicile generatoarelor

Generatoarele de impulsuri					
Tipul	Denumirea	Energia primară de intrare	Elementul neliniar de comutare		Elementul de redresare în circuitul impulsurilor
			Natura	Modul de funcționare	
Statice	RC (inclusiv RLC, RLCL, RCR și R neliniar)	Electrică, curent continuu, joasă tensiune	Spațiul de lucru	Autonom	Nu
	LC	Electrică, curent continuu, joasă tensiune	Spațiul de lucru	Autonom	Nu
	CC	Electrică, curent alternativ, frecvență industrială	Spațiul de lucru	Autonom	Nu
	RC, RLC cu tiratron	Electrică, curent continuu, înaltă tensiune	Tub ionic	Comandat	Nu
	Electronic	Electrică, curent continuu, înaltă tensiune	Tub electronic	Comandat	Da
	Cu semiconductori	Electrică, curent continuu joasă tensiune	Tranzistor, tiristor	Comandat	Nu
	Magnetice	Electrică, curent alternativ, joasă tensiune	Amplificator magnetic	Comandat	Da
Rotative	De medie frecvență cu rotor bobinat	Mecanică, electrică curent continuu	—	—	Da
	De medie frecvență de tip inductor	Mecanică, electrică curent continuu	—	—	Da

Tabelul 13.4

de impulsuri de tensiune care echipează mașini de prelucrare prin eroziune electrică

Particularitățile constructive	Caracteristicile funcționale				
	Frecvența impulsului $f$ Hz	Durata impulsului $t_i$ $\mu$ s	Coeficientul de umplere $K_u$	Tensiunea de străpungere $U_{str}$ V	Puterea maximă a generatorului $P_{max}$ kW
—	(0,1...100)10 <sup>3</sup>	0,5—200	0,01—0,10	50—250	15
Electrod oscilant	(0,1...0,4)10 <sup>3</sup>	800—1 000		80—100	10
Redresor în circuitul de încărcare	(0,2...2)10 <sup>3</sup>	50—100		100—200	—
Legătura cu spațiul de lucru prin trafo de impuls	(2...100)10 <sup>3</sup>	0,6—15	0,01—0,20	100—200	1
Idem	(1...1 500)10 <sup>3</sup>	1—600	0,25—0,65	Sub 120	5
Electrod oscilant	(1...200)10 <sup>3</sup>	2—2 000	0,002—0,99	55—110	25
—	(50...100)	3 000—12 000	0,3—0,65	40—60	150
Cu colector și redresor mecanic în rotor	(0,4...1)10 <sup>3</sup>	900—1 800	0,4—0,70	80—160	20
Rotor dințat	(0,4...16)10 <sup>3</sup>	300—1 800	0,4—0,70	100—250	5

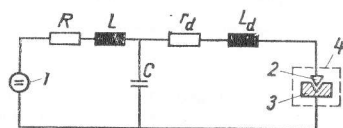


Fig. 13.6. Schema de principiu a generatorului de impulsuri RC:

1 — sursă de alimentare cu curent continuu; 2 — electrod; 3 — obiectul prelucrării; 4 — element de comutare neliniar;  $R$  și  $L$  — rezistența, respectiv inductanța circuitului de încărcare;  $r_d$  și  $L_d$  — rezistența, respectiv inductanța circuitului de descărcare

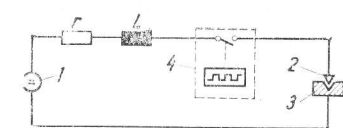


Fig. 13.7. Schema de principiu a generatorului de impulsuri cu semiconductori:

1 — sursă de alimentare cu curent continuu; 2 — electrod; — obiectul prelucrării; 4 — element de comutare comandat

13.2.2.3. ECHIPAMENTE DE REGLARE AUTOMATĂ ȘI COMANDĂ. Echipamentele de reglare automată și comandă a mașinilor de prelucrare prin eroziune electrică asigură desfășurarea în condiții optime a prelucrării propriu-zise și automatizarea ciclului de prelucrare, considerat în ansamblu.

Optimizarea prelucrării propriu-zise se realizează cu:

— sisteme de reglare automată a interstițiului de lucru (SRAI), respectiv a vitezei mișcării de avans de pătrundere, cu programare manuală a vitezei pe baza indicațiilor unor instrumente de măsură sau în funcție de manifestările exterioare ale desfășurării procesului de prelucrare;

— sisteme de reglare automată extremală a interstițiului de lucru (SREI), cu determinarea și menținerea automată a valorii optime a interstițiului respectiv a vitezei de avans de pătrundere;

— sisteme de reglare automată a regimurilor de lucru (SRAR) în funcție de condițiile caracteristice ale prelucrării (în special adâncimea de pătrundere și mărimea suprafeței de interacțiune dintre electrod și obiectul prelucrării) și de parametri tehnologici impuși (în special netezimea suprafeței prelucrate). Obiectivul principal al acestor sisteme este asigurarea unei durate minime a prelucrării. Ele pot fi cu program rigid sau elastic, stabil de tehnolog și autoadaptive.

Pentru automatizarea ciclului de prelucrare în ansamblu se aplică sisteme de comandă după program, asemănătoare cu cele utilizate la mașinile-unelte de prelucrare prin așchiere.

Echipamentele de reglare automată a interstițiului de lucru sînt de o mare varietate principală și constructivă (tabelul 13.5).

În funcție de condițiile concrete ale prelucrării, interstițiul de lucru poate lua, la generarea electrică a impulsurilor de curent electric, valori cuprinse între 0,025 și 0,55 mm. Datorită dificultăților legate de măsurarea acestuia, în practică se operează cu viteza liniară de avans de pătrundere a electrodului, care are, în mod obișnuit, valori cuprinse între 0,0003 și 0,4 mm/min.

13.2.2.4. ELECTROZI. Principalele funcții ale electrodului sînt introducerea energiei primare electrice în spațiul de lucru și localizarea macroscopică a acțiunii impulsurilor de curent electric la suprafața obiectului prelucrării. În acest scop, electrodul trebuie să asigure introducerea energiei în condițiile desfășurării stabile a procesului de prelucrare, să fie stabil la eroziune electrică, să posede baze pentru fixarea pe mașină și să fie executat cu o precizie geometrică și dimensională corespunzătoare preciziei impuse prelucrării.

Tabelul 13.5

Caracteristicile sistemelor de reglare automată a interstițiului de lucru

Mărimea reglată	Amplificatorul	Elementul de execuție	Organul de execuție
Amplitudinea tensiunii de străpungere a interstițiului de lucru	Electronionic	Motor de curent continuu	Arbore în transmisie rigidă cu mecanism șurub-piuliță
Valoarea mijlocie a tensiunii interstițiului de lucru	Cu semiconductori	Motor de curent alternativ	Ax în echilibru dinamic
	Magnetic	Motor pas cu pas	
	Rotativ	Electromagnet	
		Motor hidraulic rotativ	
Valoarea mijlocie a curentului prin spațiul de lucru	Hidraulic	Motor hidraulic liniar	

Din faptul că energia dezvoltată în descărcările electrice prin impuls se repartizează între electrod și obiectul prelucrării într-un mod determinat, corespunzător materialelor acestora, parametrilor impulsurilor de tensiune și curent și mediului în care au loc descărcările, rezultă că nu poate exista un material universal pentru electrod, utilizabil în condiții avantajoase la prelucrarea cu orice regimuri de lucru, în orice mediu, a oricăror materiale electroconductoare.

În tabelul 13.6 sînt prezentate principalele materiale utilizate pentru executarea electrozilor, cu indicarea domeniilor de aplicare.

Din punct de vedere constructiv, electrozii sînt constituiți dintr-o parte activă, care participă la generarea suprafeței prelucrate și este executată dintr-un material corespunzător cerințelor procesului de eroziune, și dintr-o parte auxiliară, necesară pentru bazarea și fixarea electrodului pe mașina de prelucrare, executată din același material cu partea activă sau din materiale mai ieftine și respectiv mai potrivite pentru condițiile specifice impuse acestei părți. La prelucrarea cavităților de mari dimensiuni sau de geometrie complexă, în special în producția de serie, partea activă a electrozilor se execută prin asamblarea unor elemente tipizate identice sau diferite. În fig. 13.8 se prezintă câteva variante constructive ale electrozilor folosiți la prelucrarea orificiilor străpunse. Partea activă a acestor electrozi se execută sub formă de bară sau țevă (pentru suprafețe transversale mari), cu profilul exterior al secțiunilor transversale asemenea profilului transversal corespunzător al orificiului ce trebuie executat.

Distanța  $\Delta$  dintre suprafața exterioară a electrodului și pereții orificiului executat se determină cu relația

$$\Delta = \delta + Z \quad [\text{mm}], \quad (13.1)$$

în care  $\delta$  este mărimea interstițiului de lucru iar  $Z$  — adaosul de prelucrare pentru îmbunătățirea preciziei de prelucrare și calității suprafeței prelucrate. Valorile lui  $\delta$  și  $Z$  sînt indicate orientativ și numai pentru unele cazuri particulare de prelucrare în instrucțiunile de exploatare ale mașinilor de lucru. Ele trebuie corectate pe baza încercărilor experimentale efectuate în condițiile concrete ale prelucrării date.

## Materiale utilizate pentru executarea electrozilor

Materialul	Avantaje	Dezavantaje	Domeniul de aplicare
Cupru	Posibilitatea introducerii unor puteri electrice mari în spațiul de lucru. Stabilitate foarte bună a prelucrării pentru toate materialele prelucrabile prin eroziune electrică. Prelucrabilitate bună prin deformare plastică	Material deficitar. Preț de cost ridicat  Uzură relativă mare	Prelucrarea în orice regimuri de lucru a obiectelor din carburi metalice și aliaje de aluminiu. Executarea orificiilor străpuse de secțiune redusă în orice material. Regimuri de lucru fine, cu frecvență ridicată a impulsurilor. Oriunde este posibilă utilizarea semifabricatelor industriale (în special țevi, bare de secțiune redusă și fire)
Alamă	Stabilitate bună a prelucrării. Prelucrabilitate bună	Uzură relativă mare, în special la prelucrarea obiectelor din carburi metalice	Executarea orificiilor mici și mijlocii în regimuri de degroșare, utilizând semifabricate industriale
Aluminiu și aliaje de aluminiu	Greutate specifică redusă. Stabilitate relativă bună a prelucrării, dar numai pentru o gamă restrânsă de materiale (în special oțeluri)	Uzură relativă mare, în special la electrozii confecționați din material turnat și la părți predominente înguste ale electrozilor	Prelucrarea de degroșare a orificiilor și cavităților, fără adîncituri înguste, în obiecte din oțel și aliaje refractare
Aliaje de zinc și plumb	Prelucrabilitate foarte bună prin turnare. Recuperare prin retopire a electrozilor uzați. Preț de cost relativ redus	Uzură relativă foarte mare	Prelucrarea de finisare a orificiilor și cavităților în obiecte din oțel și aliaje refractare

Wolfram și molibden	Stabilitate ridicată la eroziune electrică	Preț de cost ridicat. Prelucrabilitate limitată	Executarea orificiilor de secțiune foarte mică și debitarea obiectelor din oțel și aliaje refractare cu electrod filiform sau sub formă de bandă
Pulberi de W-Cu, W-Ag sau Mo-Cu	Stabilitate relativ mare la eroziune electrică. Rezistență mecanică mare. Prelucrabilitate mecanică satisfăcătoare	Materiale scumpe și deficiente. Realizarea materialului exclusiv prin metalurgia pulberilor	Executarea orificiilor de secțiune redusă. Prelucrări miniaturale
Fontă	Preț de cost redus. Stabilitate relativă bună a prelucrării în cazul asigurării unei mișcări de lucru ajutătoare	Uzură relativă mare. Stabilitatea prelucrării este asigurată numai la puteri relativ mici	Prelucrare cu electrod rotativ a aliajelor dure și altor materiale. Prelucrări preliminare prin copierea formei electrodului la puteri relativ mici
Grafită pentru eroziune electrică	Stabilitate ridicată la eroziune electrică. Stabilitate bună a prelucrării obiectelor din oțel, fonte albe și aliaje refractare și stabilitate satisfăcătoare a prelucrării obiectelor din carburi metalice, în cazul asigurării unei mișcări de lucru ajutătoare. Prelucrabilitate mecanică bună. Greutate specifică mică	Puterea electrică introdusă în spațiul de lucru limitată. Elaborare exclusiv prin metalurgia pulberilor. Stabilitate necorespunzătoare a prelucrării obiectelor din carburi metalice prin copierea formei electrodului. Preț de cost ridicat, în special la executarea unui număr mic de electrozi identici. Rezistență mecanică relativ mică.	Executarea cavităților cu geometrie complexă și adînci în producția de serie. Prelucrări de finisare la suprafețe mari. Electrozi a căror formă permite o prelucrare ușoară și de mare productivitate

Lungimea părții active a electrozilor de străpungere plini se ia de 1,5–2 ori lungimea orificiului de executat (la electrozi din cupru pentru obiecte din aliaj dur) și de 8–10 mm, independent de lungimea orificiului (la electrozi din grafit pentru obiecte de prelucrat din oțel). La electrozii tubulari și din tablă se recomandă ca grosimea minimă a pereților să fie mai mare de 0,7–1 mm, pentru evitarea uzurii exagerate a acestora. Lungimea părții active se ia, în astfel de cazuri, de 4–10 ori lungimea orificiului de executat.

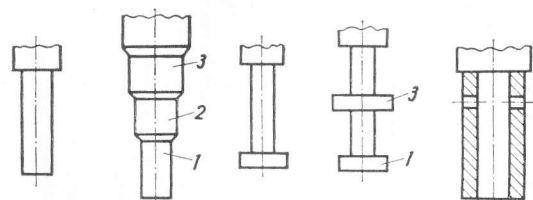


Fig. 13.8. Construcții caracteristice ale electrozilor utilizați la executarea orificiilor străpunse:

1 — porțiune de degroșare; 2 — porțiune de semifinisare; 3 — porțiune de finisare

ziunii din spațiul de lucru, în acești electrozi se execută canale pentru circulația forțată a lichidului dielectric (fig. 13.9). Orificiile de ieșire a canalelor pe suprafața activă a electrodului se plasează pe părțile cele mai proeminente și respectiv pe porțiunile înclinate ale acestora. Distanța între două orificii alăturate se ia de 20–50 mm.

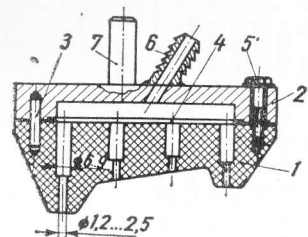


Fig. 13.9. Construcția caracteristică a electrodului utilizat la executarea cavităților prin copiere:

1 — partea activă; 2 — partea auxiliară; 3 — știft de centrare; 4 — garnitură de etanșare; 5 — șurub de asamblare a părților activă și auxiliară; 6 — ajutor pentru circulația forțată a lichidului dielectric; 7 — coadă de prindere a electrodului în capul de lucru al mașinii

Fixarea pe mașină a electrozilor pentru prelucrarea prin copiere se realizează astfel:

- la electrozii metalici ușori și de configurație simplă, printr-o coadă, care face corp comun cu partea activă;

La prelucrarea cavităților prin copierea formei spațiale a electrodului, profilul părții active a electrodului reprezintă imaginea conjugată a profilului cavității de executat cu corecția dimensională impusă de relația (13.1). Date fiind greutățile ce intervin în evacuarea naturală a produselor ero-

Electrozii pentru prelucrarea orificiilor și cavităților cu mișcare de pătrundere de translație circulară (v. și fig. 13.14 și 13.28) au particularitatea că distanța dintre suprafața exterioară a electrodului și pereții orificiului, respectiv cavității de prelucrat, variază periodic în timpul prelucrării. Excentricitatea mișcării circulare  $e$  (fig. 13.10) se calculează cu relația (13.5) și are, în mod obișnuit, valori cuprinse între 0,02 și 2 mm.

La prelucrarea cavităților pe periferia corpurilor de revoluție este caracteristică mișcarea de rulare, fără alunecare, a electrodului în raport cu obiectul prelucrării (fig. 13.11). Corecția dimensiunilor radiale și axiale ale cavităților se realizează prin modificarea corespunzătoare a distanței dintre axa longitudinală a electrodului și centrul secțiunii transversale a obiectului și, respectiv, prin deplasarea corespunzătoare a electrodului după direcția axei longitudinale a obiectului de prelucrat. Corecția dimensiunilor tangențiale se efectuează prin rularea cu alunecare a electrodului în raport cu obiectul prelucrării (fig. 13.12).

- la electrozii metalici grei și de configurație complicată, printr-o coadă executată, separat, care se atașează părții active prin îmbinare demontabilă sau nedemontabilă;
- la electrozi cu partea activă din grafit, printr-o piesă auxiliară din oțel, solidarizată de partea activă a electrodului prin îmbinări mecanice sau prin lipire cu adeziv.

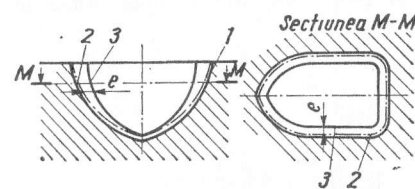


Fig. 13.10. Schema de dimensionare a electrodului la generarea suprafeței prelucrate prin rulare:

1 — profilul suprafeței de prelucrat; 2 — poziția electrodului la sfârșitul prelucrării; 3 — profilul electrodului;  $e$  — excentricitatea mișcării circulare

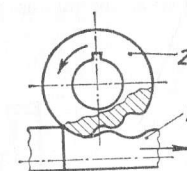
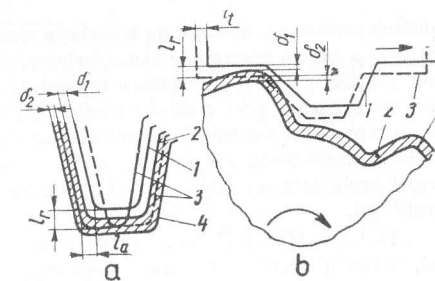


Fig. 13.11. Generarea suprafeței prelucrate prin rulare: 1 — electrod; 2 — obiectul de prelucrat

Fig. 13.12. Corecția dimensiunilor radiale, tangențiale și axiale ale cavităților executate prin rulare:

$a$  — în secțiunea transversală a cavității;  $b$  — în secțiunea longitudinală a cavității; 1 — poziția electrodului la prelucrare preliminară; 2 — profilul cavității după prelucrarea preliminară; 3 — poziția electrodului după deplasările de corecție a dimensiunilor radiale, tangențiale și axiale ale cavității; 4 — profilul cavității după prelucrarea de corecție;  $\delta_1$ ,  $\delta_2$  — interstițiile de lucru la prelucrarea preliminară și, respectiv, de corecție;  $l_1$ ,  $l_a$  și  $l_t$  — deplasările de corecție, a dimensiunilor radiale, axiale și, respectiv tangențiale



Ca electrozi filiformi sau sub formă de bandă se folosesc fire, respectiv benzi, cu diametrul 0,05–0,5 mm la cupru și alamă și sub 0,1 mm la wolfram și cu grosimea de 0,1 — 0,3 mm, la alamă și 0,6–1 mm la oțel.

Electrozii rotativi se execută sub formă de disc, cu suprafața activă periferică (pentru debitare și profilare) sau frontală (pentru rectificare plană) și sub formă cilindrică (pentru rectificare cilindrică și profilare). La discurile pentru debitare, grosimea se ia de 0,8–2 mm, iar diametrul cât mai mare posibil. La discurile pentru profilare, respectiv rectificare plană (fig. 13.13), este caracteristică executarea pe suprafețele active a unor canale (lățimea 2–3 mm și adâncimea 6–8 mm) pentru alimentarea continuă și uniformă cu lichid dielectric a spațiului de lucru. Fixarea pe mașină a electrozilor disc se realizează similar cu fixarea pietrelor de rectificare prin așchiere.

Principalele metode și procedee de execuție, respectiv recondiționare a electrozilor, sînt:

- La materiale metalice: turnare (în special în forme metalice), forjare, matrițare la cald sau la rece, extrudare, ambutisare, metalurgia pulberilor, așchiere, metalizare



eroziune chimică și electrochimică, ajustare manuală. Pentru electrozii din cupru se recomandă matrișarea la cald, urmată de calibrare la rece (în producția de serie) și prelucrare prin așchiere, cu ajustare manuală (în producția individuală);

— La grafit pentru eroziune electrică: prelucrarea prin așchiere pe mașini universale, cu ajustare manuală (în producția individuală) și prelucrare prin așchiere pe mașini-

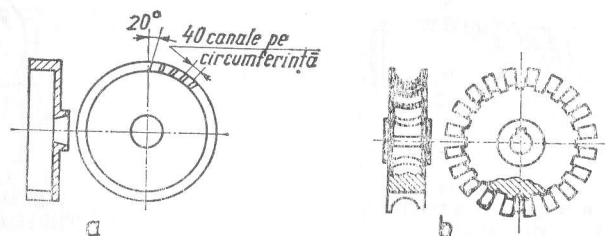


Fig. 13.13. Electrozi disc:

a — pentru rectificarea plană; b — pentru profilare

unelte speciale, cu mișcare de translație circulară în plan transversal al sculei și copierea formei spațiale a acesteia în semifabricatul electrodului (în producția de serie). În ultimul caz, profilarea sculei așchietoare la configurația conjugată electrodului ce trebuie executat, se realizează prin eroziune electrică. Neregularitățile suprafeței prelucrate prin eroziune reprezintă elementele active ale sculei așchietoare. Deși scula se execută din oțeluri de construcție netratate termic, modificările structurale ale materialului de la suprafața sculei prelucrată cu descărcări electrice asigură creșterea de duritate necesară așchierii grafitului.

**13.2.2.5. MEDIUL DE LUCRU.** Principalele funcții ale mediului de lucru (de obicei, lichid dielectric) sînt asigurarea caracterului localizat și de impuls a introducerii energiei primare electrice la suprafața obiectului prelucrării, dirijarea repartiției energiei impulsurilor de curent electric între obiectul prelucrării și electrod și evacuarea produselor eroziunii din spațiul de lucru. Condițiile impuse mediului de lucru sînt: conductivitate electrică și durată de deionizare reduse, viscozitate corespunzătoare condițiilor date ale prelucrării, pasivitate chimică în raport cu materialele electrodului și obiectului prelucrării, stabilitate chimică la acțiunea descărcărilor electrice prin impuls, securitate în exploatare și preț de cost redus.

Cele mai utilizate lichide de lucru pentru prelucrarea prin eroziune electrică sînt prezentate, cu indicarea domeniului de aplicare în tabelul 13.7. Prelucrarea prin contact electric în regimuri de degroșare se realizează în aer.

**13.2.2.6. DISPOZITIVE.** Pentru bazarea și fixarea electrodului și a obiectului prelucrării pe mașina de prelucrare se folosesc dispozitive principale similare celor ce echipază mașinile de prelucrare prin așchiere. Modificările constructive ce intervin sînt impuse, în principal, de necesitatea conectării sau izolării electrice a diferitelor elemente și mecanisme, în conformitate cu cerințele procesului de eroziune și tehnicii securității muncii.

Tabelul 13.7  
Lichide de lucru utilizate la prelucrarea prin eroziune electrică

Mediul	Avantajele				Dezavantajele	Domeniul de aplicare
	Natura	Denumirea				
Anorganic	Apă distilată	Intensificarea procesului de prelucrare cu generatoare de impulsuri RC la frecvențe mari. Murdăria minimă a spațiului de lucru cu produse de piroliză. Evacuarea favorabilă a produselor eroziunii prin convecție cu H <sub>2</sub> și O <sub>2</sub> . Nu se carburează suprafața prelucrată. Calități de exploatare foarte bune. Preț de cost redus			Necesitatea unor generatoare de impulsuri specializate. Posibilitatea apariției unor procese electrolitice. Posibilitatea oxidării suprafeței prelucrate	Prelucrare cu electrod filiform în condițiile: W <sub>i</sub> < 10 <sup>-3</sup> J; t <sub>i</sub> < 1,5μs, I <sub>m</sub> = 0,2...0,8 A. Prelucrarea materialelor semiconductoare
	Apă industrială Soluții și suspensii apoase	Murdărie minimă a spațiului de lucru. Preț de cost redus. Nu se carburează suprafața prelucrată			Îmbătrânire rapidă. Consum mare de energie și coroziunea suprafeței prelucrate datorită proceselor electrochimice	Prelucrări de degroșare, în special la generarea mecanică a impulsurilor
	Petrol lampant Ulei de transformator	Formarea peliculelor protectoare de grafit cristalin pe suprafața electrodului. Evacuarea favorabilă a produselor eroziunii			Murdăria lichidului dielectric cu cenușă fin dispersată. Saturarea suprafeței prelucrate cu carbon Inflamabilitate	Prelucrări de degroșare și finisare a materialelor metalice industriale cu orice tip de generator de impulsuri
Mixt	Alcooli etilic, metilic, butilic	Murdărie redusă a spațiului de lucru			Punct de inflamabilitate coborât	Prelucrări de precizie, cu interstii de lucru mici
	Emulsii ulei-apă					Prelucrări de degroșare, în special la generarea mecanică a impulsurilor

Ca dispozitive specifice prelucrării prin eroziune electrică se disting:

- dispozitive pentru sporirea productivității muncii, reducerea uzurii electrodului și îmbunătățirea preciziei prelucrării: capete și mese oscilante, capete și mese rotative, capete pentru mișcare de translație circulară a electrodului (fig. 13.14), capete multielectrod, filtre pentru lichidul dielectric;
- dispozitive pentru lărgirea posibilităților tehnologice ale utilajului existent: capete universale pentru mașinile de prelucrare prin copierea formei spațiale a electrodului, capete pentru mișcarea elicoidală a electrodului.

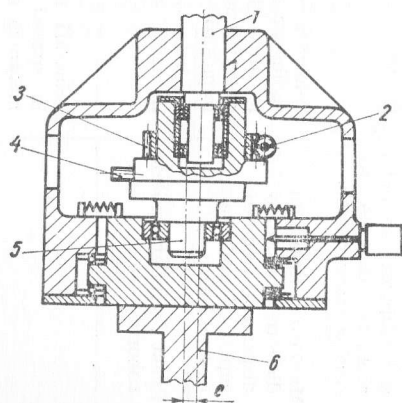


Fig. 13.14. Cap de lucru pentru mișcarea de translație circulară a electrodului:  
1 — axul de ieșire al sistemului de reglare a interstițiului; 2 — șurub-melc; 3 — roată melcată; 4 — șurub pentru reglarea excentricității; 5 — excentric; 6 — portelectrod

### 13.2.3. PROCESE TEHNOLOGICE DE PRELUCRARE CARACTERISTICE

**13.2.3.1. PRELUCRAREA PRIN COPIEREA FORMEI SPAȚIALE A ELECTRODULUI. Execuția și recondiționarea matrițelor pentru forjat.** Principala modificare introdusă în structura procesului tehnologic de execuție a matrițelor pentru forjat de către aplicarea prelucrării prin eroziune electrică constă în faptul că prelucrarea cavităților se poate efectua atât înainte, cât și în urma tratamentului termic al matriței semifinite. Se elimină, în ultimul caz, necesita-

tea unei rectificări suplimentare a matriței pentru înlăturarea deformațiilor termice determinate de tratament.

De obicei, prelucrarea cavităților matriței se realizează în 1—2 treceri de degroșare și o trecere de semifinisare, pentru asigurarea unei rugozități a suprafeței  $R_a = 12,5 \dots 6,3 \mu\text{m}$  și unei precizii de  $0,1 \dots 0,15 \text{ mm}$ .

În cazul matrițelor cu cavități multiple, prelucrarea acestora se realizează simultan, utilizând, ca și în cazul cavităților de dimensiuni mari, alimentarea cu energie electrică prin mai multe circuite de lucru.

Prelucrarea cavităților matrițelor, în toate situațiile indicate, se efectuează cu circularea forțată a lichidului dielectric prin canalele executate în acest scop în electrozi. Electrozii folosiți la finisare sînt reutilizați, în mod repetat, la degroșare.

În mod excepțional, la cavitățile cu volum foarte mare, se preferă o variantă aparte a procesului tehnologic de execuție a matriței. La început, în stare netratată a materialului, se aplică prelucrarea de degroșare prin așchiere pe mașini de frezat universale sau de copiat, lăsîndu-se un adaos de prelucrare pentru eroziune electrică de  $2 \dots 10 \text{ mm}$ , în funcție de complexitatea configurației cavității. Urmează apoi tratamentul termic și rectificarea suprafețelor de referință ale matriței, după care se efectuează prelucrarea prin eroziune electrică. Se folosesc electrozi din grafit și respectiv din cupru, aplicați prin lipire cu adezivi electroconductori și, respectiv, prin depunere electrolitică, pe modele cu configurația corespunzătoare, executate din material plastic.

Structura procesului tehnologic de recondiționare a matrițelor uzate se modifică mai mult prin introducerea prelucrării prin eroziune electrică. Necesitatea tratamentelor

termice de recoacere și respectiv călire este înlăturată. Adîncirea cavității prin eroziune electrică se realizează, în mod obișnuit, prin două treceri și urmează rectificării suprafeței de bază superioare a matriței.

**Execuția formelor metalice pentru turnare și a matrițelor pentru presarea materialelor plastice și cauciucului.** Comparativ cu cavitățile matrițelor de forjat, cavitățile formelor de turnare și matrițelor pentru materiale plastice se caracterizează prin dimensiuni mai reduse, geometrie mai complicată și pretenții calitative mult mai ridicate (rugozitatea suprafeței  $R_a = 0,2$ , precizia  $0,03 \dots 0,5 \text{ mm}$ ). Ca urmare este necesar să se acorde o atenție deosebită poziționării și fixării corecte a electrodului, respectiv obiectului prelucrării.

De obicei, prelucrarea prin eroziune electrică urmează unei prelucrări preliminare prin așchiere, care asigură configurația generală simplă a cavității. Obținerea profilului detaliat al cavității se realizează printr-un număr mare de treceri (3—5).

Pentru asigurarea unei precizii ridicate de reproducere a formei electrodului în cavitățile matriței, după ultima trecere se efectuează o prelucrare suplimentară, cu același electrod, dar la un regim de lucru mai fin. Pentru asigurarea interstițiului de lucru corespunzător acestui regim și realizarea prelucrării propriu-zise, electrodul se apropie în mod succesiv, prin deplasări de precizie, în plan orizontal, de suprafețele cele mai importante ale cavității (fig. 13.15).

La cavitățile matrițelor pentru materiale plastice la care este necesară o suprafață activă lustruită, prelucrarea prin eroziune electrică este dusă pînă la rugozități ale suprafeței  $R_a = 3,2 \dots 1,6$ , cu un adaos de prelucrare ulterioară de  $0,05 \dots 0,1 \text{ mm}$ . Acest

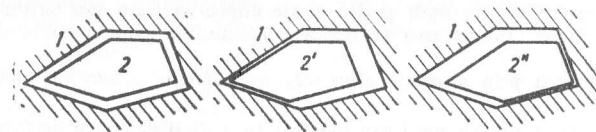


Fig. 13.15. Prelucrare de finisare prin deplasarea succesivă a electrodului înspre suprafețele și muchiile principale ale cavității:

1 — obiectul prelucrării; 2 — electrod; 2', 2'' — poziții succesive ale electrodului

adaos, uniform distribuit pe contur, este îndepărtat cu ușurință prin metodele obișnuite de lustruire. Pentru matrițele de presare a cauciucului, la care este satisfăcătoare suprafața mată obținută prin eroziune electrică, lustruirea ulterioară nu mai este necesară.

**Execuția ștanțelor pentru decupat.** Dacă prin eroziune electrică se prelucurează numai placa tăietoare, schema procesului tehnologic pentru plăci tăietoare cu unul sau mai multe orificii de lucru de aceeași formă însă de configurație relativ simplă, în producția de serie este prezentată în cele ce urmează.

Dacă placa tăietoare se execută din oțel, înainte de tratamentul termic și rectificarea suprafețelor de referință, se efectuează o prelucrare mecanică de degroșare a orificiului, lăsîndu-se un adaos de  $0,5 \dots 1 \text{ mm}$  pentru finisarea prin eroziune electrică. Dacă placa tăietoare se execută din carburi metalice, orificiul se prelucurează în întregime prin eroziune electrică. În acest caz, trecerile de degroșare (1—2) urmează rectificării suprafețelor de referință și se realizează cu electrozi tubulari din tablă de cupru, la contururi active de lungime mare sau cu electrozi plini, în trepte, la contururi scurte. Adaosul de finisare este de  $0,3 \dots 0,5 \text{ mm}$ .

Trecerile de finisare se realizează, de obicei, în condițiile asamblării ștanței, asigurându-se fixarea plăcii de bază inferioare, inclusiv placa tăietoare semifinită pe masa mașinii, fixarea plăcii de bază superioare, cu electrodul ca poanson, în capul de lucru

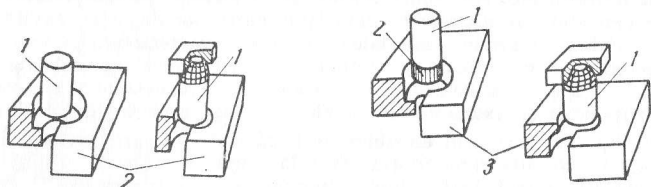


Fig. 13.16. Finisarea suprafețelor active ale plăcii tăietoare, utilizând poansonul ca electrod:

1 — poanson; 2 — placă tăietoare

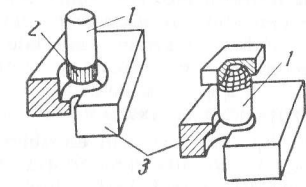


Fig. 13.17. Finisarea suprafețelor active ale plăcii tăietoare, utilizând un electrod fixat pe poanson și rectificat final împreună cu acesta:

1 — poanson; 2 — electrodul propriu-zis; 3 — placa tăietoare

al mașinii și izolarea, din punct de vedere electric, prin mijloace adecvate, a electrodului în raport cu placa tăietoare semifinită și masa mașinii. Electrozii se execută din cupru sau grafit (pentru plăci din oțel) și din aliaje cupru-wolfram sau cupru (pentru plăci din carburi metalice). Prelucrarea se realizează simultan pentru toate orificiile plăcii tăietoare.

După prelucrarea prin eroziune electrică, suprafețele active ale plăcii se suprafinisează mecanic.

Pentru plăci tăietoare cu unul sau mai multe orificii de lucru de formă diferită și de configurație complexă, în producția de unicate, în schema indicată mai sus intervin câteva modificări esențiale. Astfel, ca electrod (electrozi) pentru trecerea de finisare se folosește fie poansonul ștanței, executat mai lung (numai pentru  $h < 12$  mm; fig. 13.16), fie o parte activă din grafit sau cupru, fixată cu adezivi de capătul activ al poansonului și rectificată, în prealabil, împreună cu acesta (fig. 13.17). În acest caz, adaosul de finisare se ia mai mic de 0,3 mm. Interstițiul dintre poanson și placă, uniform pe toată periferia conturului orificiului, are mărimea interstițiului de lucru al prelucrării prin eroziune electrică (în condițiile date 0,01—0,1 mm). Dacă necesitățile ștanțării impun valori mai mici ale interstițiului, partea activă a electrodului este supusă unei reduceri dimensionale, realizabilă prin atac chimic (pentru electrozi metalici) sau prin rectificare mecanică (pentru grafit). Ca o consecință a tehnologiei expuse, necesitatea lucrărilor de ajustare relativă a profilelor poansonului și plăcii tăietoare este eliminată.

*Dacă prin eroziune electrică se prelucurează placa tăietoare și poansonul*, simultan cu executarea orificiului plăcii tăietoare, printr-una din variantele tehnologice prezentate anterior, se prelucurează și orificiul unei garnituri de plăci auxiliare (fig. 13.18). Aceste plăci auxiliare, executate dintr-un material corespunzător, servesc ca electrozi cu suprafață activă interioară pentru prelucrarea prin copiere a suprafeței exterioare a poansonului (tratată termic, dacă este cazul, și prelucrată până la rectificarea finală).

**Execuția sculelor așchietoare profilate armate cu plăcuțe din carburi metalice.** Se folosesc electrozi disc din grafit, fontă cenușie sau alamă (v. fig. 13.13) sau electrozi pieptene executați din grafit, profilați corespunzător prelucrării dorite (fig. 13.19). De obicei, se prelucurează simultan 2—20 de cuțite, etajate pe verticală (la prelucrarea cu

electrozi disc) și respectiv distribuiți pe orizontală (la prelucrarea cu electrozi pieptene). Pentru prelucrarea de profilare, electrozii disc se fixează rigid în capul de lucru al unei mașini universale de prelucrare. După fiecare din cele 5—6 regimuri de lucru aplicate

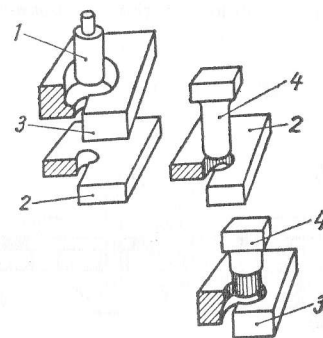


Fig. 13.18. Finisarea suprafețelor active ale plăcii tăietoare și poansonului cu electrozi cu suprafețe active conjugate:

1 — electrod pentru finisarea orificiului de lucru; 2 — electrodul pentru finisarea poansonului; 3 — placă tăietoare; 4 — poanson

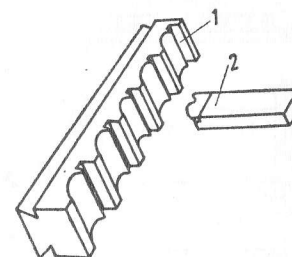


Fig. 13.19. Electrod pieptene pentru prelucrarea de profilare a sculelor așchietoare:

1 — electrod; 2 — sculă așchietoare profilată

succesiv, discul se rotește cu un unghi oarecare, pentru compensarea uzurii, iar sculele de profilat se deplasează în plan orizontal, în sensul apropierei de electrod, pentru asigurarea interstițiului de lucru corespunzător regimului următor. La prelucrarea cu electrozi pieptene, profilarea se realizează cu 2—3 regimuri de lucru succesive, iar obținerea interstițiului necesar eroziunii se asigură prin deplasarea sculelor de profilat.

Independent de electrozii folosiți, la cuțite mici și mijlocii prelucrarea începe dinspre partea de oțel, iar la cuțite mari—dinspre plăcuța de carburi metalice. Înclinările dorite ale suprafețelor profilate se obțin prin poziționarea corespunzătoare a semifabricatelor. Fețele sculelor profilate se suprafinisează mecanic.

**Execuția sitelor și filtrelor metalice cu orificii de orice profil.** Principalele particularități ale produselor enumerate constau în necesitatea executării unui număr foarte mare de orificii profilate identice, cu aria secțiunii transversale relativ mică, în obiecte de prelucrat cu pereți subțiri, executate, cel mai des, din oțeluri inoxidabile.

Prelucrarea acestor orificii se realizează pe mașini universale sau specializate și se caracterizează prin utilizarea unor electrozi cu părți active multiple, respectiv a unui număr mare de circuite de lucru. În mod obișnuit, se prelucurează simultan 24—2 000 orificii.

**13.2.3.2. PRELUCRAREA PRIN DECUPARE CU ELECTROD FILIFORM.** Execuția ștanțelor pentru decupat. Tehnologia de prelucrare a elementelor active ale ștanțelor cuprinde următoarele etape:



— Executarea unui orificiu tehnologic cu diametrul de 1–3 mm, pentru introducerea electrodului filiform; orificiul se plasează în partea care se îndepărtează a obiectului prelucrării, cât mai aproape de conturul de decupat.

— Decuparea, după conturul impus, pe bază de șablon sau comandă program a orificiului de lucru al plăcii tăietoare respectiv a profilului exterior al poansonului.

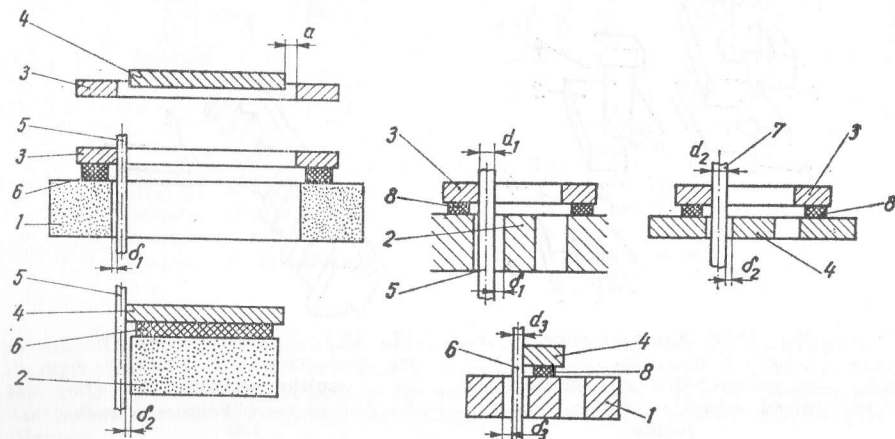


Fig. 13.20. Decuparea orificiului de lucru al plăcii tăietoare și a poansonului utilizând două șabloane cu profile de lucru conjugate, executate prin prelucrare mecanică:

1 — placă tăietoare; 2 — poanson; 3 — șablon pentru decuparea orificiului plăcii tăietoare; 4 — șablon pentru decuparea poansonului; 5 — electrod filiform; 6 — peliculă se clei electroizolant; a — jocul lateral între suprafețele conjugate ale șabloanelor 3 și 4

Fig. 13.21. Decuparea orificiului de lucru al plăcii tăietoare și al poansonului utilizând un singur șablon executat prin prelucrare mecanică:

1 — placă tăietoare; 2 — poanson; 3 — șablon pentru decuparea poansonului și a șablonului pentru decuparea orificiului plăcii tăietoare; 4 — șablon pentru decuparea orificiului de lucru al plăcii tăietoare; 5, 6 și 7 — electrozii filiformi; 8 — peliculă de clei electroizolant

În cazul folosirii șabloanelor, decuparea plăcii tăietoare și, respectiv, a poansonului se poate face după șabloane conjugate, profilate interior și, respectiv, exterior prin prelucrare mecanică (fig. 13.20). În mod obișnuit însă se execută prin prelucrări mecanice numai un singur șablon (pentru placă sau pentru poanson) și pe baza acestuia se execută, prin prelucrare cu electrod filiform de diametru adecvat și regimuri de lucru corespunzătoare, cel de-al doilea șablon și, respectiv, elementul activ conjugat (fig. 13.21). Pentru mărirea preciziei de prelucrare, șabloanele se fixează pe suprafața obiectului de prelucrat cu ajutorul unei pelicule uniforme de clei electroizolator cu grosimea 0,5–0,8 mm.

La ștanțele la care interstițiul nominal între poanson și placa tăietoare are valori relativ mari (0,1–0,4 mm) este posibilă executarea simultană a acestora, din același semifabricat, printr-o singură trecere de prelucrare cu electrod filiform. Lățimea dorită a tăieturii se obține, în acest caz, prin alegerea judicioasă a diametrului electrodului și regimului de lucru.

— Finisarea fețelor active ale plăcii tăietoare și poansonului, care se realizează printr-o a doua trecere de prelucrare, utilizând aceleași șabloane ca și pentru decupare, dar electrozi și regimuri diferite. Întrucât după finisare, rugozitatea suprafețelor este de ordinul  $R_a = 1,6...0,8$  (precizie 0,002 mm), se impune supranetizarea prin aşchiere

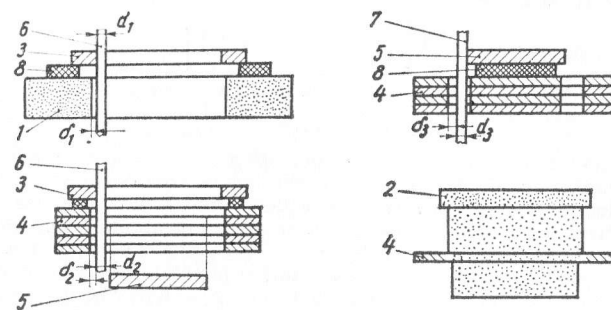


Fig. 13.22. Executarea orificiului plăcii tăietoare prin decupare cu electrod filiform și executarea poansonului prin copierea suprafeței active a unui electrod placă:

1 — placă tăietoare; 2 — poanson; 3 — șablon pentru decuparea orificiului plăcii tăietoare; 4 — electrozi-placă cu suprafață activă interioară; 5 — șablon pentru decuparea orificiului activ a electrozilor-placă de degroșare; 6 și 7 — electrozii filiformi; 8 — peliculă de clei electroizolant

a suprafețelor active. În mod obișnuit se folosesc electrozi din alamă și cupru, cu diametre de 0,05–0,5 mm și electrozi din wolfram cu diametrul de 0,03–0,1 mm.

În cazuri determinate, se execută prin prelucrare cu electrod filiform numai placa tăietoare. Pentru executarea poansonului se folosește prelucrarea prin copiere cu electrozi sub formă de plăci, având suprafața activă interioară prelucrată prin decupare simultan cu placa tăietoare (fig. 13.22). Rezultă interstițiul între poanson și placă de ordinul a 0,015–0,04 mm.

#### 13.2.4. ELEMENTE DE PROIECTARE A PROCESELOR TEHNOLOGICE

Eficacitatea tehnico-economică maximă a prelucrării electroerozive se realizează în procesele de copiere a formei spațiale a electrodului, care, de altfel, dețin în prezent majoritatea absolută în tehnologia de prelucrare. Datorită acestui fapt, elementele de proiectare ale proceselor tehnologice, prezentate orientativ în cele ce urmează, se vor referi exclusiv la prelucrarea prin copiere a formei electrodului.

**Stabilirea materialului electrodului.** Se au în vedere criteriile enunțate la 13.2.2.4 și posibilitățile de execuție a electrodului disponibile.

**Determinarea numărului de treceri.** Trecerea reprezintă prelucrarea cu un electrod a obiectului prelucrării. În principiu obținerea dimensiunilor suprafeței de prelucrat în câmpul de toleranță impus este realizabilă prin:

— prelucrarea într-o singură trecere, cu stabilirea dimensiunilor electrodului în funcție de particularitățile procesului de eroziune la care acesta este supus în timpul prelucrării;

— prelucrarea în mai multe treceri, folosind electrozi dimensionați fără a se ține seama de uzura lor în procesul de prelucrare; această variantă, fundamentală la prelucrarea suprafețelor de configurație complicată, asigură, la un număr suficient de treceri, o concordanță satisfăcătoare între suprafața prelucrată și cea proiectată.

În cazul cel mai general, numărul de treceri

$$n = \frac{\log \left[ \frac{H}{AK} (1 - uN) + uN \right]}{\log \left( \frac{1 - uN + uNK}{uNK} \right)}, \quad (13.2)$$

unde:  $H$  este adâncimea de prelucrare în porțiunea cu uzura electrodului maximă în valoare absolută, mm; dacă uzura este constantă pe toată suprafața transversală a cavității de prelucrat  $H$  reprezintă adâncimea de prelucrare cea mai mare;  $u$  — uzura relativă volumetrică a electrodului pe porțiunea cu uzură absolută maximă, %;  $A$  — abaterea limită admisibilă la dimensiunile suprafeței prelucrate cauzată de uzura electrodului, mm; în mod obișnuit  $A$  se ia aproximativ jumătate din adaosul de prelucrare postoperațional, dar nu mai mult de 0,2–0,3 mm;  $N$  — numărul obiectelor de prelucrat iar

$$K = \frac{1 - (1 - uN)(1 + u)^N}{uN[(1 + u)^N - 1]}. \quad (13.3)$$

În fig. 13.23 se dau două nomograme, construite pe baza relațiilor (13.2) și (13.3) pentru  $u = 0,2\%$  (fig. 13.23, a) și  $u = 2\%$  (fig. 13.23, b), care au ca parametru pe

$$K_f = \frac{H}{A}. \quad (13.4)$$

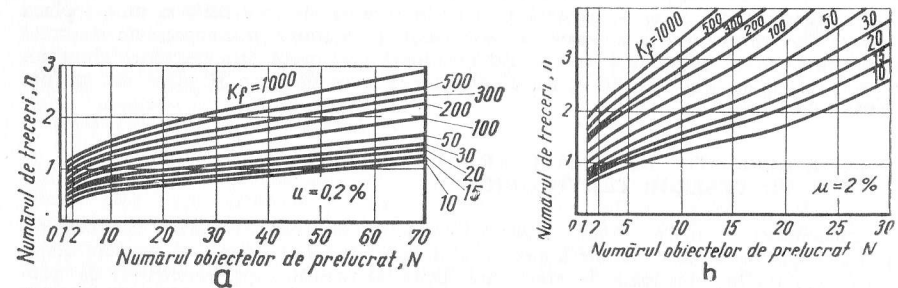


Fig. 13.23. Nomograme pentru determinarea numărului de treceri la prelucrarea prin eroziune electrică

Astfel de nomograme servesc la determinarea numărului de treceri  $n$  pentru  $N$  și  $K_f$  date și, respectiv, pentru determinarea numărului de piese  $N$ , care pot fi realizate cu un singur electrod pînă la uzura acestuia la limita admisă de  $A$ .

**Stabilirea regimurilor de lucru.** Independent de echipamentul de alimentare cu energie electrică utilizat, regimul de lucru la prelucrarea prin eroziune electrică poate fi carac-

terizat prin puterea electrică mijlocie introdusă în spațiul de lucru  $P_m$ . Aceasta este determinată de valorile mijlocii ale tensiunii  $U_m$  și curentului  $I_m$ , care la rîndul lor depind, în ultimă instanță, de energia, frecvența și coeficientul de umplere a impulsurilor de curent electric din spațiul de lucru.

Obținerea calității impuse a suprafeței prelucrate, într-un timp minim, determină necesitatea aplicării unei succesiuni de regimuri de lucru de degroșare și de finisare.

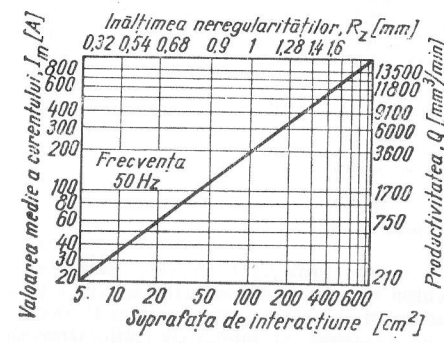


Fig. 13.24. Nomogramă pentru determinarea regimurilor de degroșare la prelucrarea pe mașini universale echipate cu generatoare de impulsuri magnetice

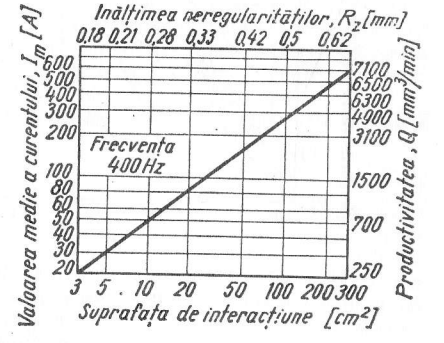


Fig. 13.25. Nomogramă pentru determinarea regimurilor de degroșare la prelucrarea pe mașini universale echipate cu generatoare de impulsuri rotative

La prelucrarea de degroșare, căreia i se afectează cea mai mare parte a adaosului de prelucrare total, se urmărește asigurarea unei productivități maxime.

Stabilirea regimului de degroșare se face pe baza unor programe de tipul celor reprezentate în fig. 13.24–13.26.

În timpul prelucrării de degroșare trebuie avut în vedere că suprafața de interacțiune electrod-obiectul prelucrării poate varia în limite largi. Pentru asigurarea desfășurării în condiții optime a procesului de eroziune este necesară și modificarea corespunzătoare a regimului de lucru.

La prelucrarea de finisare se urmărește obținerea calității impuse a suprafeței prelucrate, într-un timp cât mai scurt. În consecință, se reduce energia și durata și se mărește frecvența impulsurilor de curent electric, iar adaosul de prelucrare se ia cât mai mic posibil. Numărul și condițiile de realizare a comutărilor de regimuri de lucru la finisare sînt determinate de calitatea suprafeței rezultată după degroșare, respectiv impusă pentru finisare, și de geometria prelucrării.

Deși posibilă, trebuie evitată aplicarea unor regimuri de lucru de supranetezire, întrucît productivitatea prelucrării scade extrem de mult la rugozități ale suprafețelor inferioare lui  $R_a = 1,6...0,8$  (fig. 13.27). Aceasta se referă, în special, la prelucrarea semifabricatelor din carburi metalice, la care cerințele impuse calității suprafeței (lipsa tensiunilor și microfisurilor în straturile de suprafață) determină, în majoritatea cazurilor, necesitatea unei supraneteziri mecanice.

Una din dificultățile practice legate de comutarea regimurilor de lucru de la degroșare la finisare, în cazul suprafețelor prelucrate cu porțiuni paralele sau puțin înclinate



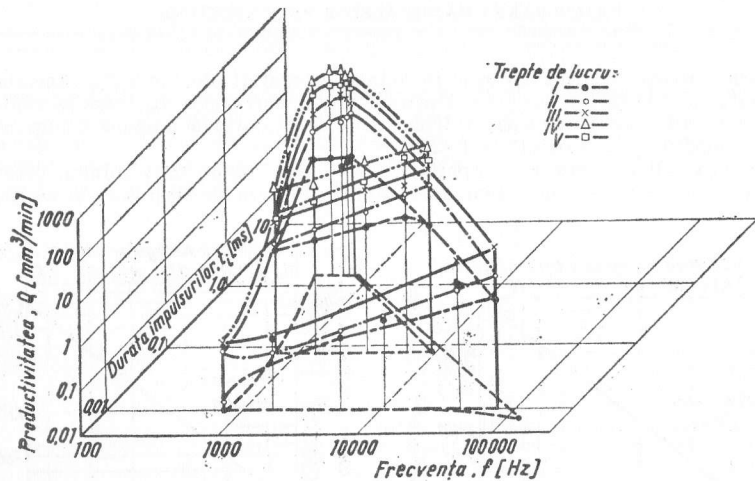


Fig. 13.26. Nomogramă pentru determinarea regimurilor de degroșare la prelucrarea pe mașini universale echipate cu generatoare de impulsuri cu semiconductori

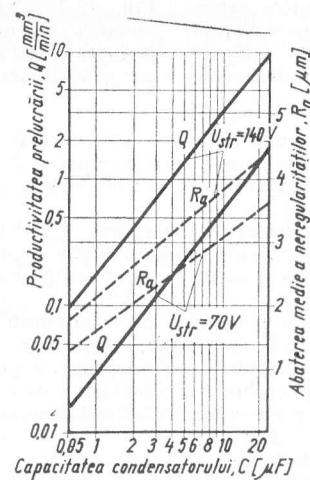


Fig. 13.27. Caracteristici tehnologice ale prelucrării prin eroziune electrică a unor obiecte din carburi metalice pe mașini universale echipate cu generatoare de impulsuri RC

în raport cu direcția mișcării de avans de pătrundere, constă în micșorarea inevitabilă a interstițiului de lucru. Procesul de eroziune continuă pe suprafețele perpendiculare pe direcția mișcării de pătrundere, dar se întrerupe pe suprafețele laterale, unde se păstrează rugozitatea obținută la degroșare. Problema poate fi soluționată prin introducerea unei treceri suplimentare cu electrod de finisare de dimensiuni corespunzătoare. Rezultă însă un consum sporit de electrozi și mărirea considerabilă a duratei prelucrării. La mașinile prevăzute cu masă în coordonate este posibilă realizarea succesivă a prelucrării de finisare de-a lungul conturului transversal al suprafeței de prelucrat prin apropierea succesivă (de obicei după 3–6 direcții) a obiectului prelucrării și electrodului la mărimi corespunzătoare ale interstițiului de lucru (v. fig. 13.15).

Soluția optimă constă în folosirea unui dispozitiv cu mișcare de translație circulară a electrodului (v. fig. 13.14). Excentricitatea mișcării circulare (v. fig. 13.10).

$$e = Z + \delta_1 - \delta_2 \quad (13.5)$$

unde:  $Z$  este adaosul de prelucrare pentru finisare;  $\delta_1$  — interstițiul de lucru maxim la degroșare;  $\delta_2$  — interstițiul de lucru minim la finisare. În acest caz, pe lângă compensarea diferenței interstițiilor de lucru la degroșare și la finisare, se obține mărirea sensibilă a productivității, deoarece prelucrarea se desfășoară mai stabil și se reduce prețul de cost al prelucrării cu circa 50–60% în raport cu prelucrarea în mai multe treceri. Reglarea corespunzătoare a excentricității permite, de asemenea, corectarea dimensiunilor suprafeței în procesul de prelucrare.

**Stabilirea adaosurilor de prelucrare și a dimensiunilor electrodului.** Condiția fundamentală la stabilirea adaosurilor de prelucrare este îndepărtarea la fiecare trecere a stratului de material de calitate și precizie necorespunzătoare rezultat în urma prelucrării anterioare. Adaosul de prelucrare unilateral minim

$$Z_{2min} = h_{s1} + R_{z1} + A_{pr1} + A_{po2}, \quad (13.6)$$

unde: indicele 1 se referă la trecerea anterioară, iar 2 la trecerea curentă;  $h_s$  — adâncimea stratului modificat structural;  $R_z$  — înălțimea neregularităților suprafeței prelucrate;  $A_{pr}$  — abaterea de precizie determinată de procesul de prelucrare;  $A_{po}$  — abaterea de precizie determinată de poziționarea obiectului prelucrării și electrodului.

În tabelul 13.8 se indică orientativ, în funcție de dimensiunile suprafeței prelucrate suma abaterilor  $A_{pr}$  (exclusiv abaterile determinate de imprecizia de execuție a elec-

Tabelul 13.8

Suma abaterilor de precizie determinate de procesul de prelucrare (exclusiv abaterile determinate de imprecizia execuției electrodului) și de poziționarea obiectului prelucrării și electrodului, mm

Materialul obiectului prelucrat	Materialul electrodului	Abateri de precizie la prelucrarea prin eroziune electrică (exclusiv abaterile determinate de imprecizia dimensiunilor electrodului) pentru dimensiuni liniare ale suprafeței prelucrate de mm:					
		25	50	100	200	400	800
Oțel	Aluminiu	0,04	0,05	0,06	0,11	0,2	0,4
Aliaje refractare	Cupru Grafite	0,04	0,04	0,045	0,06	0,1	0,16
		0,04	0,05	0,055	0,1	0,16	0,32
Carburi metalice	Cupru Grafite	0,04	0,05	0,054	0,1	—	—
		0,04	0,04	0,045	0,06	—	—

trozilor) și  $A_{po}$ . În această situație, la prelucrarea suprafețelor profilate mici și mijlocii (100–200 mm) este posibilă obținerea obișnuită a unei precizii globale de ordinul 0,015–0,1 mm, în special prin reducerea corespunzătoare a lui  $A_{po}$ . Se recomandă ca abaterea de precizie a execuției electrodului să reprezinte 30–50% din  $A_{pr}$ .

Valorile maxime ale adâncimii stratului modificat structural  $h_s$  sint date, pentru prelucrarea cu descărcări în arc, în tabelul 13.9, iar pentru prelucrarea cu descărcări în scinteie — în tabelul 13.10.

Tabelul 13.9

Valori maxime ale adâncimii  $h_s$  a stratului de suprafață modificat structural la prelucrarea cu descărcări electrice în arc, în regimuri de degroșare, mm

Frecvența impulsurilor de curent electric Hz	Valoarea curentului mediu în spațiul de lucru $I_m$ , A:										
	10	20	50	100	200	300	400	500	600	800	1 000
50	0,2	0,35	0,42	0,47	—	0,63	0,73	—	0,8	—	0,94
100	0,15	0,2	—	0,31	0,36	0,54	—	0,6	—	0,9	—
400	0,06	—	0,2	0,23	0,26	0,3	0,47	0,53	0,6	—	—

Observație. Obiectul prelucrării OL 45, electrod din cupru electrolitic.

Tabelul 13.10

Valori maxime ale adâncimii  $h_s$  a stratului de suprafață modificat structural la prelucrarea cu descărcări electrice în scinteie, mm

Regimul de prelucrare					$h_s$	
Tensiunea de mers în gol a generatorului de impulsuri $U_{gol}$ , V	Capacitatea condensatorului acumulator de energie $C$ , $\mu F$	Tensiunea de străpungeră $U_{str}$ , V	Curentul de scurtcircuit al generatorului de impulsuri $I_{SC}$ , A	Valoarea medie a curentului în spațiul de lucru $I_m$ , A	Suprafața frontală	Suprafața laterală
220	4	120–130	2	1	0,02...0,14	pînă la 0,08
220	90	110–140	12	6	0,06...0,2	pînă la 0,08
220	210	120–150	18	9	0,2...0,3	0,09...0,14
220	300	100–130	30	18	0,8...1,65	0,11...0,3

Observație. Obiectul prelucrării OSC 8; electrod Am 59.

Stabilirea dimensiunilor electrodului se face pe baza adaosului de prelucrare determinat cu relația (13.6) și a distanței  $\Delta$ , calculate cu relația (13.1).

Calculul timpului de prelucrare pe mașină. Principial, timpul de prelucrare pe mașină

$$t_b = \frac{HA_m}{Q} = \frac{V}{Q} \quad [\text{min}], \quad (13.7)$$

unde:  $H$  este adâncimea maximă a cavității de prelucrare, mm;  $A_m$  — aria mijlocie a proiecției orizontale a suprafeței de interacțiune electrod-obiectul prelucrării, mm<sup>2</sup>;  $V$  — volumul de material ce trebuie îndepărtat prin eroziune electrică, mm<sup>3</sup>;  $Q$  — productivitatea prelucrării, mm<sup>3</sup>/min. Întrucît prelucrarea se face pe mai multe regimuri de lucru, se calculează întii timpii parțiali corespunzători diferitelor adaosuri de prelucrare, prin însumarea cărora se obține  $t_b$ . În practică, metoda de calcul este diferită pentru regimurile de degroșare și respectiv de finisare.

Astfel, timpul de degroșare se calculează pe baza interdependenței dintre viteza mișcării de avans de pătrundere  $v$ , mm/min, și suprafața de interacțiune electrod-obiectul prelucrării (fig. 13.28). Adâncimea totală de prelucrare  $H$  se divide în segmentele  $H_1, H_2 \dots H_n$  pentru care ariile suprafețelor prelucrate pot fi considerate constante și egale, respectiv, cu  $A_1, A_2 \dots A_n$ . Corespunzător acestora, din fig. 13.28, rezultă vitezele  $v_1, v_2 \dots v_n$ . Prin însumarea duratelor de prelucrare parțiale se obține  $t_b$  pentru degroșare.

$$t_{b1} = \frac{v_1}{H_1}; \quad t_{b2} = \frac{v_2}{H_2} \dots t_{bn} = \frac{v_n}{H_n} \quad [\text{min}]. \quad (13.8)$$

Timpul de finisare se calculează pe baza duratei specifice de netezire  $t_s$ , min/cm<sup>2</sup>, definită ca timpul necesar pentru netezirea unei suprafețe prelucrate de 1 cm<sup>2</sup> de la rugozitatea inițială (existentă) la rugozitatea finală (impusă). În acest scop se folosesc

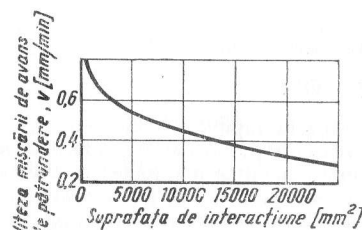


Fig. 13.28. Dependenta vitezei mișcării de pătrundere de mărimea suprafeței de interacțiune electrod-obiectul prelucrării

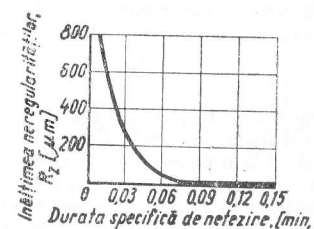


Fig. 13.29. Diagrama pentru determinarea duratei specifice de netezire

diagrame de tipul celei prezentate în fig. 13.29. Timpul de finisare  $t_b$  se obține din produsul duratei specifice  $t_s$ , obținută din fig. 13.29, cu aria suprafeței de interacțiune electrod-obiectul prelucrării. În calcule mai precise se va ține seama de variația lui  $t_s$  cu mărimea suprafeței de prelucrat.

### 13.3. PRELUCRAREA DIMENSIONALĂ PRIN EROZIUNE CU PLASMĂ

#### 13.3.1. PROPRIETĂȚILE PLASMEI ȘI FENOMENE CARACTERISTICE

Plasma este un mediu gazos aflat la un grad ridicat de disociere și ionizare, considerat în ansamblu un mediu neutru din punct de vedere electric (suma sarcinilor electrice negative fiind practic egală cu cea a sarcinilor pozitive). Natura mediului gazos și gradul de ionizare determină temperatura plasmei, care variază în limite foarte largi de la temperaturile mediului ambiant (plasma din tuburile cu descărcări în gaze rarefiate) până la milioane de grade Kelvin (plasma nucleară). În construcția de mașini se folosește plasma de 6 000–30 000 K. În acest domeniu de temperaturi, plasma se obține în mod obișnuit din cea realizată în coloana arcului electric căreia i se ridică temperatura prin comprimare radială. La arcul electric liber, în condiții de funcționare stabilă, energia electrică  $W_e$  transformată în căldură în unitatea de timp și pe unitatea de lungime a coloanei arcului este egală cu cea schimbată cu mediul ambiant de același element de coloană în același timp:

$$W_e = E_c I, \quad (13.9)$$

unde:  $E_c$  este intensitatea cîmpului electric în coloana arcului; iar  $I$  — intensitatea curentului.

Căldura  $Q$  cedată prin radiație (la temperatura înaltă a coloanei, convecția se poate neglija) este proporțională cu aria de schimb (considerată ca suprafața cilindrică laterală a elementului de lungime egală cu unitatea și de rază  $r_c$ )  $A = 2\pi r_c l$  și cu diferența  $\theta_1^4 - \theta_2^4$  unde  $\theta_1$  este temperatura, K, coloanei și  $\theta_2$  cea a mediului ambiant. Deci

$$Q = kr_c(\theta_1^4 - \theta_2^4), \quad (13.10)$$

unde  $k$  este o constantă.

Raza coloanei arcului liber crește pînă la satisfacerea condiției

$$E_c I = kr_c(\theta_1^4 - \theta_2^4). \quad (13.11)$$

Dacă se păstrează  $E_c$ ,  $I$  și  $\theta_2$  la valori constante și se impune coloanei o rază  $r_c$  mai mică, temperatura  $\theta_1$  va crește, determinînd și creșterea corespunzătoare a gradului de ionizare. Rezultă că la o putere electrică dată și la o anumită lungime a coloanei arcului se poate produce plasmă de temperatură dorită. Aceasta se realizează în generatoare de plasmă (plasmatroane) în care coloana arcului este obligată, sub acțiunea unui jet de gaz, să treacă printr-un spațiu limitat de orificiul unei duze cu perete răcit.

În principiu, un plasmatron (fig. 13.30) este constituit dintr-un electrod,  $E$ , din wolfram aliat cu toriu și duza  $D_2$ , montate pe corpul  $C$  și răcite printr-un circuit de răcire  $cr$ . Gazul  $g$ , necesar obținerii plasmei, este introdus cu debitul  $q$ , dm<sup>3</sup>/min, în camera generatorului, axial, prin orificii executate în izolația electrică  $I_z$ , sau lateral, printr-o conductă tangențială.

Arcul electric de lungime  $h_1 + h_2 + h$ , realizat între electrod și obiectul prelucrării  $OP$ , va fi caracterizat de o mare concentrare a energiei în axa coloanei. Concentrarea energiei în zona axială este atribuită unor fenomene termice și electromagnetice:

— răcirea periferiei arcului de către peretele duzei produce o modificare a cîmpului termic, determinînd micșorarea gradului de ionizare a gazelor în zona răcită, ceea ce

reduce conductivitatea electrică în această zonă și mărește densitatea de curent în zona centrală a coloanei;

— mărirea curentului în centrul coloanei determină în secțiunea transversală a acesteia o creștere a forțelor electromagnetice exercitate asupra liniilor de curent și

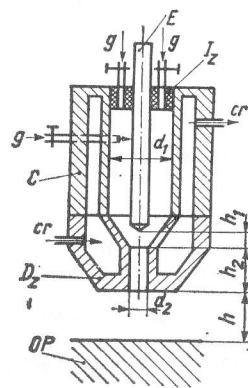


Fig. 13.30. Schema de principiu a unui generator de plasmă

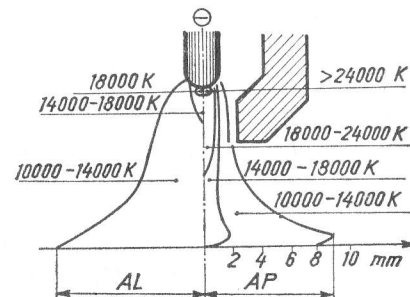


Fig. 13.31. Repartizarea temperaturilor medii în arc liber și în arc cu plasmă: AL — arc liber în argon la  $U = 14,5$  V și  $I = 200$  A; AP — arc de plasmă în argon la  $U = 29$  V,  $I = 200$  A și  $q = 19$  dm<sup>3</sup>/min

orientate înspre axa arcului, ceea ce duce la o creștere și mai mare a constrictiei radiale.

Cele două efecte interdependente stabilesc starea de echilibru la care plasma ocupă partea centrală a canalului duzei și este izolată de peretele acesteia printr-un strat tubular de gaz mai rece. Acest strat, datorită gradientului termic ridicat și conductivității termice și electrice mici se comportă ca un ecran termic și electric care asigură menținerea temperaturii ridicate în zona centrală. În fig. 13.31 se arată comparativ temperaturile medii în diferitele zone ale arcului liber în argon AL și ale arcului de plasmă AP în argon, la același curent.

#### 13.3.2. UTILAJ PENTRU PRELUCRAREA CU PLASMĂ

13.3.2.1. GENERATOARE DE PLASMĂ. Generatorul propriu-zis. După modul în care se realizează descărcarea, generatoarele de plasmă pot funcționa în două variante principale distincte (fig. 13.32):

— cu arc de plasmă AP, cînd arcul arde între electrod (catod) și obiectul prelucrării (anod), trecînd prin duză (arc transferat);

— cu jet de plasmă JP, cînd arcul arde între electrod (catod) și duză (anod), plasma fiind suflată de către presiunea gazului în exterior, sub formă de jet (arc suflat); în acest caz, pata anodică poate să fie plasată în interiorul duzei (fig. 13.32, a—arc netransferat intern) sau în exteriorul acesteia (fig. 13.32, b—arc netransferat extern).

La o variantă a jetului de plasmă, pentru mărirea eficacității jetului, se suprapune, în afara plasmatronului, un arc de curent alternativ între duze și obiectul prelucrării. Jetul de plasmă poate fi obținut și dintr-un arc de curent alternativ realizat între doi electrozi de wolfram și suflat prin duză de către gazul plasmagen.

Cel mai des folosit este arcul de plasmă, la care se utilizează și căldura petei anodice dezvoltată pe obiectul prelucrării.

Jetul de plasmă se folosește în cazuri particulare, și anume:

- la prelucrarea materialelor neconductoare de curent electric;
- ca mijloc de amorsare a arcului de plasmă, când realizează condiții de încălzire a electrodului și de ionizare a camerei plasmatronului, ușurând transferarea ulterioară a arcului;

- ca stabilizator (arc pilot) al arcului de plasmă, caz în care îl însoțește pe acesta în tot timpul prelucrării.

În tabelul 13.11 se prezintă caracteristicile tehnice ale unor generatoare de plasmă elaborate în R.S.R. la Centrul de sudură și încălziri la oboșală — Timișoara al Academiei.

Sursa de alimentare cu energie electrică. Sursa de curent cea mai frecvent utilizată în prezent la instalații cu putere utilă până la 50 kW o constituie două (trei) grupuri convertizoare sau redresoare, de tipul celor folosite la sudarea cu arc electric descoperit, legate în serie și prevăzute uneori cu sisteme suplimentare de mărire a pantei caracteristicilor externe. Au fost construite grupuri convertizoare speciale care alimentează instalații cu putere până la 100 kW, precum și redresoare speciale care asigură

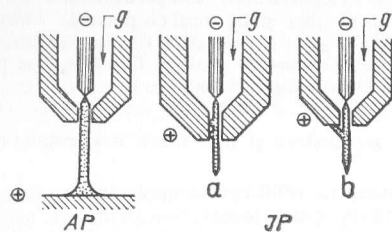


Fig. 13.32. Variantele de funcționare a generatoarelor de plasmă:

AP — arc de plasmă; JP — jet de plasmă; a — cu arc netransferat intern; b — cu arc netransferat extern

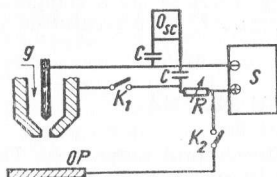


Fig. 13.33. Schema de principiu a alimentării cu energie electrică a plasmatronelor:

S — sursă de curent;  $O_{sc}$  — oscilator de înaltă tensiune și frecvență; C — condensatoare de cuplare;  $K_1$ ,  $K_2$  — întrerupătoare; R — rezistență variabilă

caracteristici superioare și parametri ce pot fi reglați în trepte, acoperind o gamă largă de puteri, până la 200 kW, la un randament ridicat al sursei. Sursele trebuie prevăzute cu dispozitive speciale de amorsare a descărcării, de obicei oscilatoare de înaltă frecvență (fig. 13.33).

**Sistemul de alimentare cu gaz plasmagen.** Alimentarea cu gaz se face de la butelii de presiune înaltă, prevăzute cu regulatoare, sau cu ajutorul unor pompe speciale.

Tabelul 13.11

Caracteristici tehnice ale unor generatoare de plasmă construite în R.S.R.

Caracteristicile	Tipul generatorului			
	CCT-4	CCT-5	CCT-6	CCT-7
Destinația generatorului	Pentru tăiere	Pentru tăiere și sudare		
Greutatea (fără conducte), kg	0,8	1,2	1,4	1,6
Puterea, kW	15	25...30	45	60
Curentul maxim, A	150—200	170—200	300	400
Gazul plasmagen	Argon + azot sau azot	Azot + aer	Azot + aer	Azot + aer
Consumul apă de răcire, l/min	4	4	5	8
Diametrul ajutorului, mm	3	4,5	4,5	4,5
Durata de utilizare a ajutorului, h	30—50	40—100	100—200	80—150
Materialul ajutorului	Cupru	Cupru	Cupru	Cupru
Materialul electrodului	Wolfram calibrat	Wolfram calibrat	Wolfram calibrat	Wolfram calibrat
Diametrul electrodului, mm	3—4	4—6,3	6,3	6,3—8
Uzura electrodului, mm/h	0,2	0,1	0,2	0,2

Gazul sau amestecul de gaze folosit se alege în funcție de condițiile economice impuse de funcționarea stabilă a generatorului, de tipul operației și natura materialului prelucrat. Stabilitatea descărcării și durabilitatea duzei cer folosirea unor gaze monoatomice (argon și heliu). Operațiile tehnologice care cer un mare transfer de căldură la obiect impun folosirea unor gaze biatomice, mai ieftine (hidrogen, azot), care disociază în coloana arcului și se recombina la obiectul prelucrării. Natura obiectului condiționează natura gazului, funcție de reacțiile dorite sau nedorite ce pot avea loc între ele.

În cele mai economice regimuri se folosesc amestecuri de gaze, unele introduse axial, altele tangențial la presiuni și cu debite care variază de la caz la caz. Uneori poate fi folosit aer, vapori de apă, amoniac.



13.3.2.2. DISPOZITIVE AUXILIARE. Pentru realizarea prelucrărilor cu plasmă, deplasarea relativă a plasmatronului față de material se poate face manual sau mecanizat, cu utilizarea unor dispozitive similare cu cele de la tăierea cu oxigen. Deplasarea mecanizată se impune la tăierea cu arc de plasmă la care este importantă distanța duză-obiectul prelucrării. La jetul de plasmă, această distanță poate fi redusă până la contactul dintre material și duză, ceea ce permite deplasarea manuală a plasmatronului.

13.3.2.3. FENOMENE CARACTERISTICE CARE INFLUENȚEAZĂ REGIMURILE DE PRELUCRARE CU GENERATOARE DE PLASMĂ. Regimurile de prelucrare cu plasmă sînt condiționate de mai mulți parametri interdependenți. Neexistind

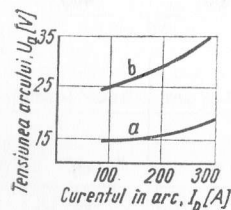


Fig. 13.34. Caracteristica statică a arcului:  
a — arc WIG în argon; b — arc de plasmă în argon ( $q = 2 \text{ dm}^3/\text{min}$ ;  $d_2 = 2,5 \text{ mm}$ )

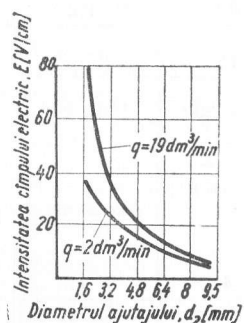


Fig. 13.35. Variația gradientului  $E$  axial cu diametrul  $d_2$  al ajutoajului, la  $q = \text{const}$ , în argon

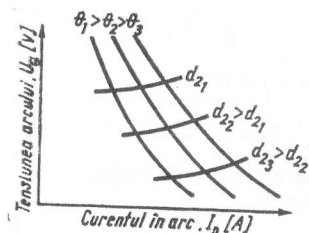


Fig. 13.36. Interdependența între  $U_a$ ,  $I_p$ ,  $\theta_{\max}$  și  $d_2$  în arcul de plasmă

încă metode de calcul, stabilirea regimului de lucru se face experimental, pe baza unor principii generale de care trebuie să se țină seama:

- Tensiunea necesară menținerii aceluiași curent este mai mare în arcul de plasmă față de arcul WIG (wolfram, inert, gaz; fig. 13.34).

- La același curent tensiunea arcului de plasmă depinde de  $q$  și de  $d_2$  (fig. 13.35).

- Diametrul duzei  $d_2$  influențează hotărîtor relația între tensiunea arcului  $U_a$  curentul electric în plasmă  $I_p$  și temperatura maximă  $\theta$  a plasmă. Această interdependență se prezintă calitativ în fig. 13.36.

- Comprimarea arcului de plasmă nu poate fi făcută decît în anumite limite. La un diametru  $d_2$  dat corespunde o intensitate de curent critică, de la care, datorită ionizării excesive, apare un arc perturbator între electrod — pereții duzei — obiectul prelucrării, care distruge duza și stabilitatea descărcării. La același diametru al duzei, curentul critic depinde de natura gazului și de dimensiunile  $h$ ,  $h_1$ ,  $h_2$ , astfel încît el se plasează într-o zonă critică (fig. 13.37).

- Forma și dimensiunile duzei determină și debitul minim de gaz necesar funcționării stabile a generatorului.

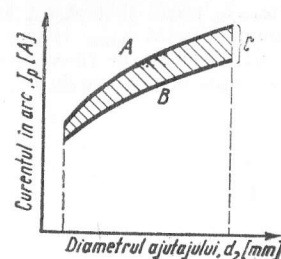


Fig. 13.37. Variația curentului critic în funcție de diametrul  $d_2$ :

A — zona arcului perturbator;  
B — zona arcului de plasmă; C — zona critică

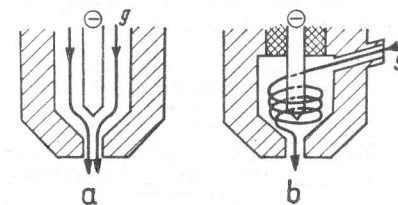


Fig. 13.38. Tipuri de curgere a jetului de gaz:

a — axială; b — tangențială

- Stabilitatea arcului este condiționată și de curgerea gazului, care este laminară în cazul insuflării axiale (stabilizarea longitudinală, fig. 13.38, a) sau turbionară (stabilizarea tangențială, fig. 13.38, b);

- Forma și dimensiunile secțiunii transversale a jetului de plasmă pot fi dirijate prin folosirea unor duze multicanel, la care în jurul canalului principal se insuflă, prin canale axiale suplimentare, gaz pentru protecția și dirijarea jetului.

### 13.3.3. UTILIZAREA PLASMEI ÎN PRELUCRAREA DIMENSIONALĂ

Prelucrarea dimensională cu plasmă urmărește executarea mai rațională a unor operații realizate cu mijloace clasice de generare a temperaturilor înalte și, mai ales, extinderea domeniilor și depășirea limitelor de aplicare ale acestora. Principalele aplicații ale prelucrării cu plasmă se prezintă în fig. 13.39.

În cele ce urmează se vor prezenta elemente caracteristice pentru operațiile cele mai răspîndite: tăierea prin eroziune cu plasmă și acoperirea prin pulverizare cu plasmă (pentru sudare v. 10.5.7.1).

13.3.3.1. TĂIEREA MATERIALELOR CU PLASMĂ. Tăierea cu plasmă se aplică, în special, la prelucrarea oțelurilor inoxidabile și a metalelor neferoase ușor oxidabile, unde sînt limitate posibilitățile tăierii cu oxigen. Spre deosebire de tăierea cu oxigen, aplicabilă numai la prelucrarea metalelor care au temperatura de ardere mai mică decît cea de topire (produsele arderii fiind îndepărtate din tăietură sub formă de oxizi), tăierea cu plasmă se poate realiza la orice material, prin încălzirea pînă la topire a unui strat limitat din acesta și suflarea lui din tăietură de către jetul de gaz.

La tăiere se poate aplica atît arcul de plasmă, cît și jetul de plasmă.

În cazul unui generator de plasmă dat, stabilirea regimului optim de tăiere cu arc de plasmă a unui anumit material este o operație complicată care, pînă în prezent se face experimental, comportînd corelarea parametrilor plasmă (tensiune, curent, natura și debitul gazului plasmagen) și a vitezei de tăiere cu caracteristicile tăieturii (forma și dimensiunile secțiunii transversale, calitatea suprafeței, adîncimea zonei influențate termic).

Forma tăieturii, la alți parametri constanți, depinde de viteza de tăiere, putîndu-se determina o viteză optimă  $v_0$  la care lățimea tăieturii în partea superioară  $b_s$  este egală



cu lățimea tăieturii în partea inferioară  $b_i$  (fig. 13.40). Viteza  $v_0$  poate fi depășită atunci cînd nu se pune condiția  $b_s = b_i$  însă numai pînă la o anumită limită  $v_{max}$ , la care tăietura nu mai este pătrunsă ( $b_i = 0$ ). Variația formei tăieturii cu viteza de tăiere se datorește poziției petei anodice în adîncimea tăieturii. La o anumită grosime de material,

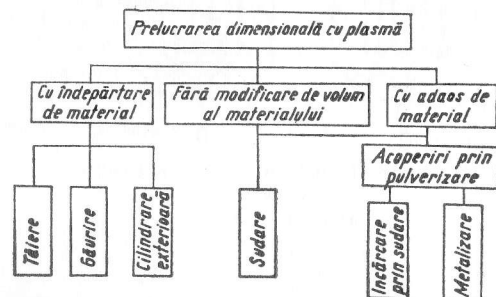


Fig. 13.39. Clasificarea operațiilor de prelucrare dimensională cu plasmă

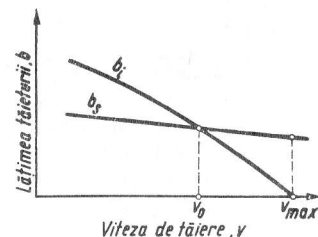


Fig. 13.40. Variația lățimii tăieturii în funcție de viteza de tăiere

pata anodică se mută cu atît mai sus, cu cît viteza este mai mare. Pata anodică nu ocupă o poziție fixă în adîncimea tăieturii. Ea oscilează în jurul unei adîncimi medii cu o frecvență de cîțiva zeci de hertzi. Acest fenomen determină apariția unor asperități pe suprafața tăiată. Mărimea acestora este influențată de natura gazului (în ordinea crescîndă:  $H_2$ ,  $N_2$ , aer).

Zona influențată termic la tăierea cu plasmă este mai mică decît cea rezultată la tăierea cu oxigen. Aceasta se datorește gradientului termic relativ mai ridicat.

Pentru orientare generală se dau regimurile de tăiere ale oțelului inoxidabil (tabelul 13.12) și ale aluminiului (tabelul 13.13).

În afară de oțeluri inoxidabile, aluminiu și aliajele lui, cu plasmă se pot tăia, în condiții bune, cuprul, magneziul și aliajele lor.

Oțelul carbon se poate tăia și cu oxigen și cu plasmă. Pînă la 30–40 mm grosime, viteza de tăiere și lățimea tăieturii sînt favorabile tăierii cu plasmă; peste această grosime tăierea cu oxigen este mai economică.

**13.3.3.2. ACOPERIRI PRIN PULVERIZARE CU PLASMĂ.** Pentru executarea acoperirilor se introduce în plasmă materialul de adaus sub formă de sîrmă sau de pulbere antrenată de un gaz de transport. Materialul topit la temperatura înaltă a plasmăi este proiectat de jetul de gaz plasmagen pe suprafața de prelucrat.

Dacă se folosește arcul de plasmă (de cele mai multe ori însoțit de arc auxiliar), între materialul depus și materialul de bază se realizează o legătură de natură metalurgică, procedeul fiind similar cu cel cunoscut sub denumirea de încărcare prin sudare.

Dacă se folosește jetul de plasmă, zona superficială a obiectului nu ajunge la temperatura de topire, astfel încît legătura dintre stratul depus și piesă se bazează mai mult pe efecte mecanice. Picăturile topite și proiectate pe suprafața piesei se infiltrează în rugozitățile acesteia și, prin solidificare, se fixează, procedeul fiind similar cu cel cunoscut sub denumirea de metalizare.

Tabelul 13.12

Regimuri de tăiere cu plasmă a oțelului inoxidabil

Compoziția gazului	Debitul $q$ , m <sup>3</sup> /h	Grosimea tablei $\delta$ , mm	Curentul $I_p$ , A	Tensiunea $U_a$ , V	Viteza de tăiere $v$ , m/h	Tipul de oțel
Argon 65% + hidrogen 35%	2,8	6,3	400	60	200	7NC180 (STAS R 4400–64)
	5,6	12,7	380	107	120	
	5,6	19	380	110	70	
	2,8; 5,6	25,4	500; 600	80; 110	50; 60	
	2,8; 5,6	38	600; 620	80; 115	40; 50	
	2,8; 5,6	51	700	85; 120	30; 40	
	5,6	76	700	130	40	
	8,4	101,6	700	160	10	
Azot 71% + hidrogen 29%	4,2	60	500	150	25–30	10TNC (STAS R 4400–64)
	4,2	100	550	182	12–20	
Argon + aer + apă	0,3–0,72 15 (6...12) 10 <sup>-3</sup>	3–20	150–300	65–80	50–30	—
		20–30	350–400	80–90	32–22	
		30–40	380–420	80–95	24–16	
		40–50	420–500	85–95	16–12	
		50–60	500–550	95–110	12–10	

Tabelul 13.13

## Regimuri de tăiere cu plasmă a aluminiului

Compoziția gazului	Debitul $q$ , m <sup>3</sup> /h	Grosimea tablei $\delta$ , mm	Curentul $I_p$ , A	Tensiunea $U_a$ , V	Viteza de tăiere $v$ , m/h
Argon 65% + hidrogen 35%	1,7	6,3	400	70	460
	1,7	12,7	400	65	230
	2	19	350	70	115
	2	25,4	400	72	76
	2	38	400	80	53
	2,8	51	700	87	38
	5,6	76	700	96	30
	8,4	101,6	700	155	20
	8,4	127	700	170	12
Argon 50% + hidrogen 50%	6,8	150	480	170—195	5,4—6,3
	8	170	510	175—200	5,1—6,0
	10	200	560	180—205	4,5—5,1
	11	220	670	185—210	3,9—4,5
	12	250	730	190—215	3,6—3,9
Argon 44% + amoniac 56%	2,2	6	250—260	70—75	120
	2,2	10	250—260	70—85	96
	2,6	20	250—260	90—95	60
	3,7	40	300	110—115	32
	4,6	50	320	120—125	12
Argon + aer + apă	0,3—0,72 15 (6...12)10 <sup>-3</sup>	8—20	180—380	50—75	50—60
		22—30	380—450	80—90	45—55
		30—40	400—450	85—95	24—32
		40—50	450—500	90—110	24—18
		50—80	500—600	130—135	16—19

Pentru pulverizare se folosesc instalații cu gaze plasmagene inerte, asemănătoare cu cele utilizate la tăiere, cu deosebirea că în camera arcului se introduce, printr-un orificiu suplimentar, gazul de transport cu pulbere (de exemplu, azot la o presiune de 1—1,5 daN/cm<sup>2</sup>). Circuitul de pulbere este format dintr-un sistem distribuitor-regulator, a cărui funcționare este dirijată corelat cu parametrii plamei, temperatura apei de răcire, caracteristicile pulberii (granulație, constante termofizice), grosimea stratului depus și viteza de depunere, în m<sup>2</sup>/h. Diametrul maxim al pulberii este limitat de condiția topirii sale în timpul în care pulberea parcurge plasma. Diametrul minim este limitat de condiția păstrării pulberii în stare topită (înainte de vaporizare). Ținând seama de constantele termofizice ale materialelor, temperatura medie a plamei și timpul mediu de proiectare a particulelor, diametrul maxim al pulberilor din materiale refractare variază de la 26  $\mu$ m la ZrO<sub>2</sub> până la 280  $\mu$ m la W pur.

În general pot fi utilizate toate materialele pulverizate prin procedeele obișnuite, caracteristicile depuse fiind mai bune la prelucrarea cu plasmă (mai dense și mai aderente). Pulverizarea cu plasmă se face cu viteză mai mare la temperaturi mai ridicate și poate fi executată în atmosferă densă sau controlată, ceea ce o recomandă în special la prelucrarea materialelor refractare și a celor averse de oxigen. Pot fi pulverizate metale pure (Cr, Ti, W, Ni, Cd, Mo), aliaje de Si, B, Br, Cr-Ni, carburi (TiC, B<sub>4</sub>C, WC) boruri (TiB, TiB<sub>2</sub>, ZrB, MoB), oxizi de Al, Ti, Zr, cermeți (ZrB-Cr, Ni; WC-Fe, Cr, Ni, Al, Si; MgO-Ni).

Tipul de pulbere utilizat și regimul de prelucrare se stabilesc în funcție de calitatea dorită a stratului depus. Orientativ se prezintă în tabelul 13.14 regimuri de pulverizare, proprietăți și posibilități de utilizare a unor acoperiri cu plasmă.

Distanța dintre plasmatron și obiectul prelucrării variază între 30—120 mm și influențează calitatea stratului depus; distanțele mici îmbunătățesc aderența și densitatea acoperirii, dar măresc tensiunile interne în materialul pulverizat; distanțele mari au efecte inverse.

În cazul acoperirilor ceramice este necesară pulverizarea unui strat intermediar de 0,1—0,3 mm pentru îmbunătățirea aderenței. Se utilizează (în ordinea calității): aliaje Ni-Cr; Mo; aliaje de Ni-Al; Al.

## 13.4. PRELUCRAREA PRIN EROZIUNE ELECTROCHIMICĂ

## 13.4.1. CONSIDERAȚII GENERALE

Prelucrarea electrochimică, unde prelevarea de material se datorește efectului chimic al curentului electric, reprezintă o metodă relativ nouă în tehnica actuală, care a trecut de la faza de experiment la o aplicare industrială din ce în ce mai largă.

Principalele avantaje ale metodei sînt: productivitatea mai mare în raport cu alte metode, o suprafață prelucrată de calitate superioară, lipsa transformărilor structurale și a tensiunilor superficiale, obținerea unor piese în stare finită, eliminînd prelucrările ulterioare, ceea ce nu este posibil la alte metode.

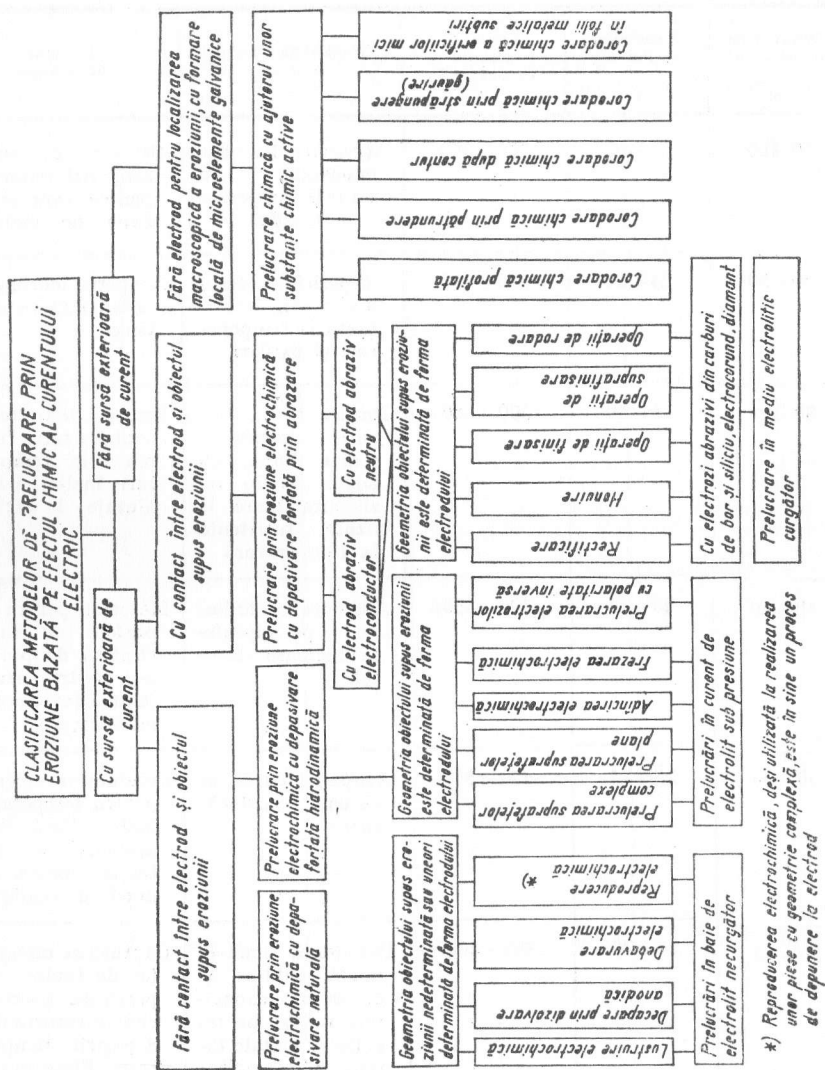
Procedeele de prelucrare bazate pe eroziunea datorită efectului chimic al curentului electric sînt foarte variate. O clasificare generală a acestor procedee se prezintă în tabelul 13.15 și tabelul 13.16. Dintre aceste procedee, o mai largă răspîndire au primit-o operațiile de lustruire și reproducere, bazate pe depasivarea naturală, prelucrarea dimensională a suprafețelor complexe din cadrul operațiilor cu depasivare hidrodinamică. Prelucrarea prin eroziune electrochimică abrazivă și-a găsit aplicații, în special, la operații de finisare și suprafinisare a suprafețelor plane, cilindrice și profilate.

Tabelul 13.14

## Pulverizarea cu plasmă

Materialul pulverizării	Granulația $\mu\text{m}$	Tempera- tura de topire $\theta$ $^{\circ}\text{C}$	Gaz plasmagen		Gaz transportor	
			Natura gazului	Debitul $q$ $\text{dm}^3/\text{min}$	Natura gazului	Debitul $q$ $\text{dm}^3/\text{min}$
W curgător	20—40	3380	$\text{N}_2$	2	$\text{N}_2$	1,2
W fin	5—15	3380	Ar	30	$\text{N}_2$	1,2
WC	20—40	2850	$\text{N}_2$	2	$\text{N}_2$	1,2
Mo	5—20	2622	Ar	30	$\text{N}_2$	1,2
WC-TiC 50%...50%	1—10	3000	Ar	30	$\text{N}_2$	1,2
$\text{Al}_2\text{O}_3$	15—40	2030	Ar	30	$\text{N}_2$	0,8

Distanța de pulverizare mm	Tensiunea arcului $U_a$ V	Curentul electric în plasmă $I_p$ A	Proprietățile stratului depus	Exemple de utilizare
70—100	75—60	300—350	Acoperiri lucioase, maleabile, rezis- tente la temperatu- ri și oxidări	Straturi de uzură acoperiri refractare pentru vane și su- pape de motoare
30—50	24—20	350—390	Acoperiri lucioase, maleabile, rezis- tente la tempera- turi și oxidări	Acoperiri foarte den- se la contacte elec- trice
80—120	75—60	300—350	Rezistență la fre- care, aderență foarte bună, cu adaos de Co re- zistență mare la uzură, rezistență la temperatură	Straturi de protecție contra uzurii, rezis- tențe la tempera- turi înalte pentru ajutaje la rachete
40—60	26—24	300—350	Aderențe foarte bu- ne și pe suprafe- țe lucioase de o- țel.	Material pentru su- prafețe de rulare straturi de protec- ție contra uzurii, strat intermediar de aderență
30—50	26—24	300—350	Acoperiri dense, a- derență satisfăcă- toare	Conductori electrici pentru temperaturi înalte (fără WC), acoperiri de protec- ție contra căl- durii și oxidării
30—50	24—20	350—400	Rezistență bună la uzură, căldură și coroziune, capaci- tate redusă de reac- ție cu metale to- pice, refractarita- te mare și con- ductivitate termi- că redusă	Căptușirea creuzete- lor de topire, aco- periri de protecție contra coroziunii și depășirii tempera- turii. Piese în con- tact cu metal lichid

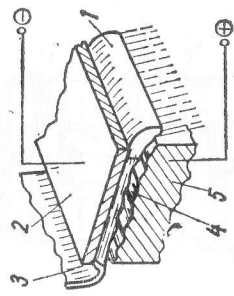
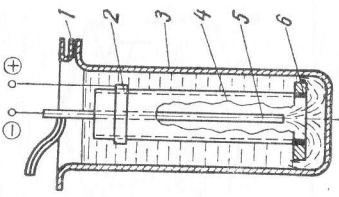


Tabelul 13.16

## Scheme principale și aplicații ale metodei electrochimice de prelucrare

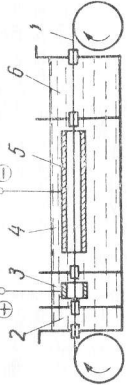
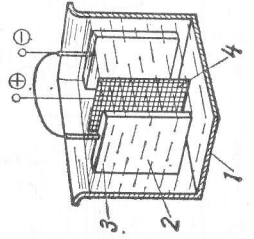
Schema de principiu	Denumirea operației și domeniul de utilizare	Tipul piesei prelucrate		Mediul de lucru
		Forma	Materialul	
<p>1 — baia de electroliză; 2 — electrolit; 3 — piesa; 4 — catod; 5 — strat de oxizi</p>	Curățirea suprafețelor de oxizi metalici (funder) prin dizolvare anodică (decapare anodică)	Orice formă	Practic orice material metalic	Soluții de diferiți acizi sau săruri
<p>1 — baia de electroliză; 2 — electrolit; 3 — piesa; 4 — catod; 5 — strat de oxizi</p>	Lustruirea electrică a suprafețelor metalice la piesele fasonate (armături). Se produce o dizolvare anodică a unui strat de pe suprafața interioară a piesei	Armături diferite, supape, clapete, piese de racordare, colțare, teuri etc.	Oțeluri aliate	Amestec de acizi: fosforic, sulfuric și cromic

1 — piesa de lustruit; 2 — catod; 3 — garnitură izolată

Schema de principiu	Denumirea operației și domeniul de utilizare	Tipul piesei prelucrate		Mediul de lucru
		Forma	Materialul	
	Netezirea electrochimică a asperităților suprafețelor plane, prelucrarea suprafețelor plane	Orice formă	Metale și aliaje feroase	Soluție de clorură de sodiu
	Polizarea electrolitică a țevelor scurte	Țevi	Oțeluri aliate	Amestec de acizi: azotic, fosforic, cromic

1—ieșirea electrolitului; 2—placă catodică; 3—intrarea electrolitului;  
4—suprafața supusă netezirii; 5—piesa (anod)

1—ieșirea electrolitului; 2—racord pentru curent la anod; 3—baia de electrolit; 4—țeavă (anod); 5—catod;  
6—inle de sprijin izolan

	Lustruirea continuă a benzilor, sîrmelor și platbandelor prin metoda bipolară. Se produce dizolvarea anodică a unui strat de pe suprafața conductorului în mișcare continuă	Conductori și benzi de orice lungime	Oțeluri carbon și oțeluri aliate	Amestec de electroliti: fosforic, sulfuric și cromic
	Reproducerea electrochimică a grilelor. Operația este analogă cu gravarea electrochimică, și cu prelucrarea chimică	În special table și foițe subțiri	Orice metal sau aliaj omogen	Soluții de diferiți acizi sau săruri

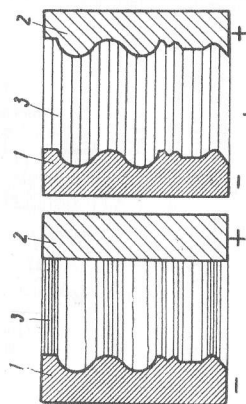
1—banda sau conductorul de lustruit;  
2—baia de spălare; 3—baia de degresare;  
4—baia de lustruire; 5—catod;  
6—a doua baie de spălare

1—baia de electrolit; 2—catod;  
3—electrolit; 4—piesă (anod)

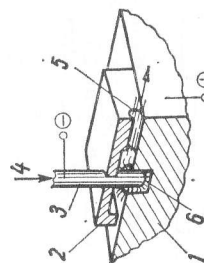


Tabelul 13.16 (continuare)

Denumirea operației și domeniul de utilizare	Tipul piesei prelucrate		Mediul de lucru
	Forma	Materialul	
Profilarea electrochimică a pieselor metalice. Dizolvarea este mai intensă în porțiunile mai apropiate de catod ca urmare a unei rezistențe mai mici a loanei de electrolit	Piese cu axă de simetrie sau fără simetrie (profile active la palete de turbine)	Metale și aliaje de construcție	Soluții de acid clorhidric sau clorură de sodiu
Găurirea electrochimică și prelucrarea diferitelor cavi-tăți în piese metalice. Dizolvarea este limitată la porțiunea frontală activă a catodului tubular	Orice formă	Metale și aliaje feroase. Aliaje dure și extradure	Soluții de clorură de sodiu



1—catod; 2—anod; 3—liniile de cîmp electric; a—înaintea prelucrării; b—după prelucrare



1—piesă; 2—carcasă; 3—electrod-sculă tubular (catod); 4—intrarea electrolitului; 5—ieșirea electrolitului; 6—orificiul obținut prin dizolvare

## 13.4.2. PRINCIPII DE BAZĂ ALE PRELUCRĂRII ELECTROCHIMICE

Prelucrarea electrochimică se bazează pe procesele ce au loc la electrozi în cadrul electrolizei, sub acțiunea unui cîmp electric exterior, reprezentată schematic în fig. 13.41.

Considerîndin celula de electroliză soluția unui electrolit binar uni-univalent  $R_A R_B$ , disociat în ioni săi  $R_A^+$  și  $R_B^-$ , sub acțiunea cîmpului electric exterior  $E$ , acești ioni se vor deplasa spre cei doi electrozi. Electronii anodului, mai slab legați, trec în circuitul exterior prin ruperea legăturii lor. În contact cu electrozii, ioni electrolitului pierd sarcinile lor electrice:

— la catod  $R_B^+ + e^- \rightarrow R_B$ ;

— la anod  $R_A^- - e^- \rightarrow R_A$ ,

unde  $e$  este sarcina electrică a electronului.

Experiența arată o scădere a concentrației electrolitului între cei doi electrozi, mult mai accentuată în imediata vecinătate a electrozilor și cu atît mai mare cu cît durata electrolizei este mai mare.

Variația concentrației ionilor care se descarcă în imediata vecinătate a electrozilor duce la apariția fenomenului de *polarizare de concentrație*, care are drept consecință încetarea difuziunii spre și dinspre electrod.

Un fenomen aproape general în timpul electrolizei și pe care se bazează, principal, prelucrarea electrochimică îl constituie dizolvarea anodică, adică trecerea în soluție a materialului anodului.

În general, catodul nu este supus acțiunii de dizolvare. Îndepărtarea peliculei pasivatoare viscoase și solubile care apare în proces, în scopul reactivării procesului de dizolvare, se poate face prin încălzirea, ridicarea temperaturii, mărirea concentrației și creșterea presiunii electrolitului.

**Legile generale ale procesului.** Metoda de prelucrare electrochimică are la bază legile electrochimiei stabilite pe baza transformării ionice a metalelor, sub acțiunea curentului electric, și anume:

— Cantitatea teoretică de substanță  $m_t$  care se depune la electrod, respectiv cantitatea de metal adus în stare ionică ca urmare a acțiunii electrochimice a curentului, este proporțională cu intensitatea curentului  $I$  (A) și cu durata de trecere a sa  $t$  (h), stabilită prin legea lui Faraday:

$$m_t = kIt \quad [g]. \quad (13.12)$$

Coefficientul de proporționalitate  $k$ , g/A·h, este echivalentul electrochimic al substanței și reprezintă cantitatea de metal dizolvat la anod, la trecerea unui curent de 1 A timp de 1 h.

— Pentru a se dizolva la anod un echivalent gram de substanță trebuie să treacă prin electrolit o cantitate de electricitate egală cu 96 500 Coulombi (As) sau 26,8 A·h, respectiv 1 A timp de 26,8 h.

Din aceste două postulate derivate din legea lui Faraday se pot deduce o serie de mărimi importante ce caracterizează cantitativ prelucrarea electrochimică.

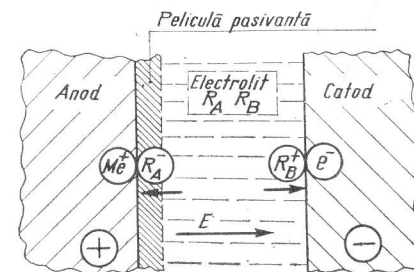


Fig. 13.41. Schema de principiu a procesului electrochimic

Echivalentul electrochimic

$$k = \frac{A}{zF} \quad [\text{g/Ah}], \quad (13.13)$$

unde:  $A$  este greutatea atomică a elementului supus dizolvării;  $z$  — valența elementului și  $F$  — numărul lui Faraday ( $96\,500 \text{ A} \cdot \text{s} = 26,8 \text{ A h}$ ).

În tabelul 13.17 se prezintă echivalenții electrochimici ai citorva elemente mai uzuale.

**Randamentul prelucrării electrochimice.** Ca urmare a fenomenelor secundare din procesul de electroliză — pierderi pe rezistența electrolitului, reacții secundare, polarizarea

Tabelul 13.17

Echivalenți electrochimici ai unor elemente

Elementul	Valența	Greutatea atomică	$k$ g/A · h
Aluminiu	3	26,97	0,34
Fier	2	55,85	1,042
Fier	3		0,69
Cobalt	2	58,94	1,10
Mangan	2	54,94	1,025
Cupru	1	63,54	2,37
Cupru	2		1,19
Nichel	2	58,69	1,095
Crom	3	52,01	0,65
Crom	6		0,32
Wolfram	6	183,92	1,14
Oxigen	2	16	0,295
Clor	1	35,45	1,32
Brom	1	79,91	2,98
Cadmiu	2	112,41	3,09
Argint	1	107,88	4,024
Mercur	2	200,61	3,74
Hidrogen	1	1,008	0,0376

electrozilor — cantitatea efectivă de metal depus la electrod  $m_{ef}$  este mai mică decât cea rezultată din legea lui Faraday  $m_t$ . Randamentul procesului se poate exprima fie prin intermediul curentului, fie prin intermediul energiei consumate.

Randamentul de curent  $\eta_i$  reprezintă raportul dintre cantitatea de curent teoretic necesară (conform legii lui Faraday) și cantitatea de curent practic utilizată pentru obținerea aceleiași cantități de substanță transformată la electrod, respectiv raportul între cantitatea efectivă de substanță transformată  $m_{ef}$  și cantitatea teoretică de substanță  $m_t$ , pentru aceeași cantitate de curent:

$$\eta_i = \frac{m_{ef}}{m_t} 100 [\%]. \quad (13.14)$$

Înlocuind în (13.14) expresia lui  $m_t$ , se obține

$$\eta_i \% = \frac{m_{ef}}{\frac{A}{zF} I t} = \frac{m_{ef} 26,8 \cdot z \cdot 100}{I t A}, \quad (13.15)$$

unde  $I$  este în  $A$  iar  $t$  în  $h$ .

Energia electrică teoretic necesară unui proces de electroliză va fi egală cu produsul dintre tensiunea teoretic necesară  $U_t$  și cantitatea teoretică de curent  $I_t$  conform legii lui Faraday. Practic, tensiunea necesară este mai mare decât cea teoretică datorită căderilor pe rezistența electrolitului, electrozilor, a contactelor de legătură etc.

Ca urmare, energia electrică consumată va fi egală cu produsul dintre tensiunea practică  $U_p$  determinată pe baia de electroliză și cantitatea de curent practic utilizată  $I_p$ . Randamentul energetic

$$\eta_e = \frac{W_t}{W_p} = \frac{U_t I_t}{U_p I_p} 100 [\%], \quad (13.16)$$

unde:  $W_t$  este energia teoretică și  $W_p$  energia practic utilizată. Economicitatea unui proces electrochimic industrial va fi determinată de randamentul energetic.

### 13.4.3. PROCEDEE DE PRELUCRARE PRIN EROZIUNE ELECTROCHIMICĂ CU DEPASIVARE NATURALĂ

Procedeele de prelucrare bazate pe acțiunea electrochimică a curentului electric își găsesc o răspindire industrială în continuă creștere. Aplicații, cu operațiile specifice ale acestor procedee, au fost prezentate în tabelele 13.15 și 13.16.

Caracteristicile tehnice generale, materiale pentru electrozi și pentru diferite operații de prelucrare electrochimică se dau în tabelul 13.18.

O mai largă utilizare au primit procedeele de lustruire și reproducere electrochimică.

**13.4.3.1. LUSTRIUREA ELECTROCHIMICĂ.** Pe suprafața cu asperități a obiectului supus prelucrării se formează o peliculă viscoasă pasivizatoare, dispusă paralel cu suprafața anodului și care are grosimea mai mare în adâncituri decât în regiunea virfurilor microasperităților. Dizolvarea și, ca urmare, netezirea va începe în regiunea virfurilor asperităților, datorită concentrației de cimp electric în această zonă. Schema principală cu care se execută lustruirea electrochimică este dată în figura 13.42. O mare influență asupra formării peliculei pasivizatoare o are modificarea concentrației de ioni în stratul de electrolit în contact cu electrozii. Cele mai active sînt metalele electronegative. Dizolvarea anodică are loc cu precădere la aceste metale. Dizolvarea aliajelor are loc după legi complexe la un potențial comun, care depinde de potențialele fazelor și este mai apropiat de potențialul fazei mai negative.

Rugozitatea suprafețelor lustruite depinde direct de starea suprafeței inițiale. Cu cît e mai mică rugozitatea inițială, cu atît e mai bună suprafața obținută după lustruire.

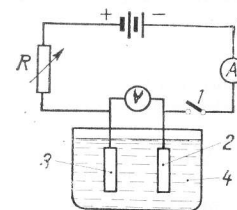


Fig. 13.42. Schema de principiu a lustruirii electrochimice:

1 — întrerupător; 2 — electrod (câtod); 3 — obiectul eroziunii; 4 — baia de electroliză

Tabelul 13.18

Caracteristicile tehnice de bază ale unor operații de prelucrare electrochimică a metalelor în curent continuu

Caracteristicile	Unitatea de măsură	Curățirea prin decapare anodică	Îndepărtarea anodică a peliculei de oxizi	Lustruire electrochimică	
				Metale neforese în electroliți reci	Metale și aliaje feroase în electroliți calzi
Tensiunea sursei	V	4—12	6—12	6—12	15—18
Tensiunea pe electrozi	V	3—5	4—8	5—7	12—14
Densitatea de curent teoretică	A/dm <sup>2</sup>	0,5—20	5—10	10—50	40—60
Energia specifică consumată	kWh/daN kWh/dm <sup>2</sup>	10—40 0,005—0,01		5—20 0,01—0,1	10—30 0,01—0,1
Randamentul prelucrării	%	60—90		70—95	80
Distanța dintre electrozi	mm	20—250	20—200	20—200	25—200
Durata operației	min	2—30	0,2—2	5—10	
Temperatura electrolitului	°C	20—60	350—450	15—25	70—90
Calitatea suprafeței $R_a$	μm	25—3,2		Cu 2—3 clase superioară clasei inițiale	
Viteza de prelevare a materialului	μm/min dm <sup>2</sup>	0,1—5		3...5	7—10

Observație. Intensitatea prelevării de material poate fi mult mărită în majoritatea operațiilor prin mărire

Găurire electrochimică	Netezire electrochimică	Gravare electrochimică	Profilare electrochimică	Fabricarea grilelor pe cale electrochimică	Fabricarea foilor prin depunere electrochimică
15—30	12—20	4—12	6—24	6—12	6—15
10—25	10—15	3—8	5—20	4—8	3—11
10 000—14 000	400—1 000	10—50	20—150	5—40	10—50
8—15 1—2	8—15 1—2	5—15	5—40	10—25	10—25
80—90	80—90	70—85	65—90	80—90	60—85
0,1—0,5	0,2—5	20—100	0,1—0,5	20—200	20—200
20—30	20—30	20—40	20—80	15—40	40—90
6,3—0,8	6,3—0,8		1,6—0,2	0,4	0,2
2 000—3 000	100—500		5—20	10—15	5—10

a densității de curent și a temperaturii electrolitului.

Pentru a obține prin lustruire suprafețe cu  $R_a = 0,10 \dots 0,08 \mu\text{m}$ , trebuie ca rugozitatea suprafeței inițiale să fie  $R_a = 1,25 \dots 0,63 \mu\text{m}$ , iar pentru a se obține o rugozitate cu  $R_a = 1,25 \dots 0,63 \mu\text{m}$ , suprafața inițială trebuie să aibă cel puțin  $R_a = 10 \dots 5 \mu\text{m}$ .

Calitatea lustruirii electrochimice mai depinde de natura și calitatea metalelor și aliajelor supuse lustruirii.

**Băi de lustruire.** Băile ce se folosesc obișnuit la lustruirea electrochimică pot fi cele utilizate în tehnica operațiilor de acoperire galvanică, sau băi de construcție specială. Lustruirea se poate efectua fie în electrolit rece, fie în electrolit cald. În funcție de aceasta se pot utiliza pentru executarea băilor, respectiv pentru căptușirea lor, diferite materiale naturale sau sintetice, cu rezistență mare la agenți corosivi (tabelul 13.19).

Tabelul 13.19

Materiale pentru băi de lustruire electrochimică

Natura electrolitului	Materialul din care este executată cuva băii	Materiale pentru căptușeala cuvei
Acid sulfuric și acid fosforic, reci	Lemn, beton, oțel	Materiale plastice vinilice, sticlă organică, porțelan, produse ceramice, plumb, oțeluri anticorosive, mase bituminoase, emailuri, cauciucuri
Acid azotic, acid clorhidric, reci	Oțel, beton	Sticlă, porțelan, produse ceramice, oțeluri anticorosive
Acid sulfuric și acid citric, acid sulfosulfuric, acid sulfacetic, calzi	Oțel	Materiale plastice termorezistente pe bază de rășini vinilice, epoxidice etc. Oțel anticorrosiv, plumb, sticle termorezistente, emailuri
Acizi cromosulfosulfurici și acizi cromofosforici, calzi	Oțel	Idem
Electroliti neutri reci pe bază de cianură de argint	Lemn, beton, oțel	Sticlă, porțelan, produse ceramice, materiale plastice, emailuri speciale, lacuri speciale
Electroliti alcalini reci	Lemn, beton	Oțel carbon, sticlă organică, emailuri, materiale plastice, bazelor, cauciuc
Electroliti alcalini calzi	Oțel, beton	Oțel carbon, produse ceramice, materiale plastice termorezistente și rezistente la acțiunea emailuri

Consumul de putere electrică pentru încălzirea electrolitului se determină din nomograma din fig. 13.43.

**Electrozi (catozii).** Pentru electrozi se utilizează toate materialele electroconductoare rezistente la agenți chimici. Distanța dintre electrozi anod-catod în baie se ia, de obicei, de 40–100 mm.

**Electroliti.** Electroliti utilizați pentru lustruirea electrochimică trebuie să îndeplinească următoarele condiții: să aibă capacitatea mare de lustruire pentru diferite metale, stabilitate din punct de vedere termic și chimic, nocivitate redusă, preț de cost scăzut. Electroliti pot fi utilizați reci sau calzi. Electroliti mai uzuali pentru lustruirea electrochimică sînt dați în tabelul 13.20.

**Regimuri electrice și surse de curent.** Sursele de alimentare utilizate la lustruirea electrochimică sînt: generatoarele de curent continuu, de putere relativ mică, cu tensiuni de 6–12 V. Se pot utiliza și redresoare uscate (seleniu sau cuproxid) sau chiar acumulatori pentru băile mici de laborator la lustruirea probelor metalografice. La electroliti reci, unde densitățile uzuale sînt mici, pînă la 25 A/dm<sup>2</sup>, sursele sînt de putere mică și tensiuni mici. La electroliti calzi, unde densitățile pot fi de 40–200 A/dm<sup>2</sup>, se utilizează surse de putere mai mare.

**Tehnologia lustruirii electrochimice.** Etapele principale ale procesului tehnologic de lustruire sînt date în tabelul 13.21. Trebuie să se acorde atenție calității inițiale a suprafeței de care depinde calitatea finală a lustruirii.

**Aplicații ale lustruirii electrochimice.** Lustruirea se poate aplica la o categorie foarte largă de piese: lustruirea paletelor de turbine executate din oțeluri greu prelucrabile, lustruirea interioară și exterioară a țevelor, lustruirea diferitelor scule așchietoare, ca freze, burghie etc., la roțile dințate pentru prevenirea efectului de ciupire, lustruirea probelor metalografice ș.a.

**13.4.3.2. REPRODUCEREA ELECTROCHIMICĂ. Principiul reproducerii electrochimice.** Spre deosebire de acoperire, unde depunerea se face direct pe piesă, la reproducere, depunerea se face pe un model, în scopul de a obține piese cu pereți foarte subțiri; stratul depus nu trebuie să adere la suprafața modelului. Modelul reprezintă negativul piesei și constituie catodul băii, iar ca anod se folosește un metal care trebuie să se depună pe catod.

**Utilaje și materiale pentru reproducerea electrochimică.** Se folosesc, în general, aceleași materiale ca și la acoperirea electrochimică, adăugîndu-se numai utilajele necesare pentru executarea modelului. Modelele utilizate sînt executate din diferite materiale metalice sau nemetalice (tabelul 13.22).

**Tehnologia reproducerii electrochimice. Pregătirea suprafeței modelelor. Depunerea stratului electroconductor.** Modelele nemetalice (râu conducătoare de electricitate) sînt preparate corespunzător cu diferiți solvenți sau acizi, în vederea acoperirii lor cu un strat metalic. Pe suprafețele modelelor, degresate și spălate în apă, se aplică stratul conductor, operație care poate fi făcută prin: grafitare, bronzare, reducerea soluțiilor de

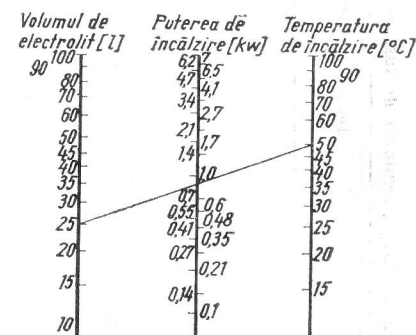


Fig. 13.43. Nomogramă pentru calculul consumului de putere electrică la încălzirea electrolitului

Tabelul 13.20  
Electrolizi și regimuri de lustruire electrochimică

Compoziția electrolitului	Conținutul, %	Metahul de lustruit	Densitatea de curent, A/dm <sup>2</sup>	Temperatura, °C	Țimpul de lustruire, min.
Acid ortofosforic	75...78	Oțeluri de scule aliate	50-60	80-90	6-10
Acid sulfuric	11...12	Oțeluri de scule bogate în carbon	40...50	75...80	5...10
Anhidridă cromică	5...6	Oțeluri sărace în carbon	30...40	75...90	10...15
Apă	5...16	Aluminii	50...60	80...90	3...5
Acid fluorhidric	2-16	Aluminii și aliajele sale	2-15	20-30	3-10
Apă	84-98	Wolfram	3-6	25	20-30
Sodă caustică	10	Oțeluri aliate	8-40	20-80	5-15
Apă	90	Alamă, alpaca	10-200	20-80	5-15
Acid fluorofosforic	5...10	Oțeluri, Pb, Sn, Sb, Al	15...30	15	0,5-2
Acid sulfuric	38...45	Siluminuri	5-50		
Apă	39...50	Argint	4-10		1-5
Acid fluorofosforic	85...93				
Apă	7...15				
Acid percloric 70%*	13				
Acid acetic	17				
Apă	60				
Acid fluorhidric	15...60				
Glicerină	30...75				
Apă	10				
Clorură de argint	3				
Cianură de argint	4				
Cianură de potasiu	7,5				
Carbonat de sodiu	2				
Apă	83,5				

\*) Substanță explozivă la temperaturi ridicate.

Tabelul 13.21

## Etapetele procesului tehnologic de lustruire electrochimică

Conținutul operației	Obligativitatea operației	Destinația (scopul) operației
Pregătirea mecanică a suprafeței (șlefuire)	+	Realizarea unei suprafețe inițiale de finețe ridicată
Montarea piesei în dispozitive de suspendare	+	Crearea unui contact electric sigur
Degresare chimică sau electrochimică. Degresarea chimică se face în soluții calde la 90-100°C (NaOH, PO <sub>4</sub> Na <sub>3</sub> , H <sub>2</sub> O, Na <sub>2</sub> SiO <sub>2</sub> )	-	Dacă pe suprafața piesei sînt impurități, grăsimi care trebuie îndepărtate
Spălare	+	Pentru a împiedeca pătrunderea diferitelor impurități în baia de electrolit în scopul împiedecării degradării lui
Lustruirea electrochimică cu un regim corespunzător	+	Obținerea unei suprafețe cu proprietăți corespunzătoare scopului
Spălare cu apă	+	Oprirea coroziunii ulterioare a materialului
Neutralizarea în soluții alcaline	-	Îndepărtarea tuturor urmelor de electrolit
Spălare în apă fierbinte	+	Îndepărtarea urmelor de soluție și ușurarea uscării ulterioare
Uscarea în aer cald sau cu rumeguș	+	Prevenirea coroziunii datorită apei
Demontarea piesei	+	Nu se efectuează în cazurile cînd în continuare suprafața lustruită va fi acoperită
Impregnarea pieselor în uleiuri fierbinți la 120-150°C	-	La piese de importanță mare în vederea conservării lor

Observație. Semnul + reprezintă operație obligatorie iar semnul -, după necesitate.



Tabelul 13.22

## Aliaje ușor fuzibile pentru modele

Compoziția chimică, %					Temperatura de topire, °C
Bi	Pb	Sn	Cd	Hg	
35	35	30			140
52	32	15,5			94,5
50	25	25			94,0
50	30	10			92,0
50	27	13,0	10		70,0
53	15	20	12		70,0
50	25	12,5	12,5		60,5
47	37		7	10	62,0
42	32		6	20	58,0
36	28		6	30	48,0

Tabelul 13.23

## Soluții pe bază de argint pentru stratul electroconductor

Părțile componente	Rețeta			
	1	2	3	4
I. Soluție de argint	7	—	—	—
Azotat de Ag	20 g	10 g	20 g	10 g
Potasă caustică	10 g	—	—	—
Apă distilată	400 ml	1 000 ml	100 ml	250 ml
Până la dezvoltarea precipitatului, după care se adaugă soluția de 4% azotat de Ag, care produce o turbulență				
II. Reductor	—	2 g	—	—
Azotat de Ag	90 g	—	5–10 g	—
Zahăr rafinat	4 ml	—	—	—
Acid azotic	—	1,7 g	—	—
Sare seignette	—	—	5 ml	7 g
Formaldehidă	—	—	—	4 g
Pirgalol	—	—	—	4 g
Acid citric	—	—	—	—
Apă distilată	1 000 ml	1 000 ml	40 ml	1 000 ml

argint, cupru, aur, formarea unor pelicule de sulfuri (sulfură de argint, sulfură de plumb), prin pulverizare în vid, prin metalizare etc. Cea mai răspândită metodă de acoperire este argintarea. Soluțiile mai uzuale pentru argintare sînt prezentate în tabelul 13.23.

**Aplicarea stratului de separație.** Are ca scop împiedicarea formării unei rețele cristaline comune între metalul modelului sau metalul stratului conductor și metalul care se depune. Straturile pot fi aplicate mecanic (ulei, ceară, grafit) sau pe cale electrochimică. Grosimea straturilor este de 5–20 μm.

## 13.4.4. PRELUCRAREA DIMENSIONALĂ ELECTROCHIMICĂ CU DEPASIVARE HIDRODINAMICĂ

**13.4.4.1. CONSIDERAȚII GENERALE.** Prelucrarea dimensională electrochimică se bazează pe un proces de descompunere, chimică, care are loc la anod și care se supune legilor generale ale electrolizei, enunțate anterior. Catodul, și în acest caz, nu este în contact cu obiectul prelucrării (anodul) și este doar parțial supus acțiunii electrolitului.

Îndepărtarea metalului (produselor dizolvării anodice) are loc datorită curentului de electrolit. Intensitatea dizolvării metalului anodului depinde de viteza cu care ionii metalului în soluție pot fi îndepărtați de pe suprafața anodului, evitîndu-se polarizarea de concentrație. La prelucrarea dimensională electrochimică, prelevarea de metal este de 200–500 ori mai mare decît în cazul lustruirii electrochimice.

Diferența dintre prelucrabilitatea diferitelor metale este mică. Chiar prelucrabilitatea unor aliaje nu diferă mult între ele și se pot obține, la regimuri dure, suprafețe de calitate corespunzătoare cu rugozități  $R_a = 0,8...6,3 \mu m$ . La prelucrarea unuia și aceluiași material, se pot obține aceleași productivități în diferiți electroliti, dar, pentru a obține o anumită calitate a suprafeței, trebuie ales electrolitul corespunzător. În timpul prelucrării, electrolitul este dirijat în spațiul dintre electrozi cu viteze de 27–55 m/s, la presiuni de 7–14 daN/cm<sup>2</sup> (în unele cazuri 24–28 daN/cm<sup>2</sup>).

Un debit mare de electrolit însoțit de o viteză și o presiune mare previne atît fenomenul de polarizare a electrozilor, cît și încălzirea excesivă a electrolitului, ducînd la creșterea cantității de material prelevat.

La prelucrarea dimensională electrochimică a oțelurilor, cele mai utilizate soluții pentru electroliti sînt soluțiile apoase de clorură de sodiu, cu adaosuri de acid boric sau soluțiile apoase de fluoruri și acid fluorhidric. La utilizarea unor acizi sau baze puternice, se recomandă măsuri speciale de protecție a utilajului și măsuri de tehnică securității a personalului de deservire.

**Domenii de utilizare a metodei de prelucrare dimensională electrochimică cu depasivare hidrodinamică.** Metoda se remarcă, în primul rînd, printr-o productivitate superioară. În plus, calitatea suprafeței și precizia de prelucrare sînt superioare în comparație cu alte procedee electroerozive. De asemenea, suprafețele prelucrate rezultă fără tensiuni superficiale, fără modificări structurale și fără microfisuri, ceea ce le conferă o rezistență la oboseală, la uzură și, în unele cazuri, la agenți corosivi, lucru greu sau imposibil de obținut prin alte procedee de prelucrare.

Din aceste considerente, metoda se aplică la prelucrarea materialelor dure și foarte dure (carburi metalice) și a materialelor cu caracteristici termo-fizice superioare. Cea mai largă utilizare o are la operațiile de găurire și reproducere (copiere, profilare), aplicate la suprafețe complexe, ca de exemplu executarea matrițelor pentru forjare și ambutisare, executarea paletelor de turbine.

**Electrozii-sculă (catozii).** Catozii se execută obișnuit prin așchiere din materiale rezistente la agenți corosivi și electroconductoare: oțeluri inoxidabile, aliaje speciale anticorrosive, cupru, alamă, bronzuri, aluminiu și aliajele sale. De precizia de prelucrare

a catodului și de precizia forme sale geometrice depinde precizia dimensională și geometrică a obiectului supus eroziunii. Se constată însă că datorită unor fenomene foarte complexe ce apar în spațiul dintre electrozi, ca degajarea hidrogenului la catod sau reacțiile secundare la anod, care duc la variația conductibilității spațiului dintre electrozi, între forma geometrică a catodului și geometria finală a obiectului supus prelucrării există diferențe. În cazul prelucrării electrochimice nedirijate, cind menținerea strict constantă a interstițiului de lucru este foarte greu de realizat, în diferitele zone de prelucrare, parametrii procesului se modifică, datorită modificării caracteristicilor electrolitului, ca temperatura și conductibilitatea, datorită variației tensiunii rețelei, neomogenității materialului de prelucrat sau a vitezei diferite de scurgere a electrolitului, modificări care au drept urmare variația vitezei de dizolvare anodică. Aceste cauzează o abatere, o distorsiune de la forma dată a profilului piesei prelucrate.

Pentru a obține o abatere minimă de la forma profilului dat, este necesar ca electrozii-sculă să fie executați după o tehnologie specială. Astfel, la prelucrarea unui anumit profil, spațiul dintre electrozi este variabil conform fig. 13.44. Între  $a_1$ , distanța dintre electrozi pe axa de simetrie a profilului sculei, și  $a_2$  distanța dintre electrozi într-un punct oarecare de pe profil, considerind conductibilitatea electrică constantă în spațiul de lucru, există o legătură de forma:

$$a_2 = a_1 / \sin \alpha, \quad (13.17)$$

unde  $\alpha$  este unghiul dintre tangenta la profil în punctul considerat și direcția de avans. Deci, pentru a realiza un profil dat, trebuie executat catodul cu o anumită formă. Corecția corespunzătoare a forme catodului se face micșorind dimensiunea electrodului (catodului) cu valoarea  $a_2$ .

Legătura între mărimea spațiului dintre electrozi, viteza de eroziune și curentul din spațiul de lucru (electrolit-soluție apoasă de ClNa 15%) se prezintă în fig. 13.45 și

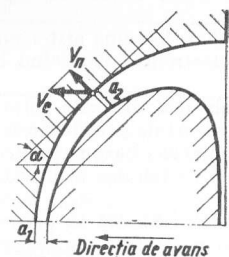


Fig. 13.44. Variația spațiului dintre electrozi în funcție de înclinarea profilului obiectului în raport cu direcția de avans a electrodului

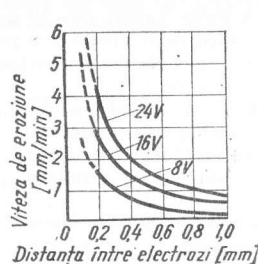


Fig. 13.45. Variația vitezei de eroziune în funcție de distanța dintre electrozi, la diferite tensiuni

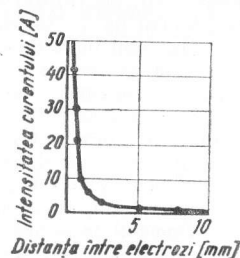


Fig. 13.46. Variația curentului electric între electrozi în funcție de distanța dintre ei

13.46. Relația între mărimea spațiului dintre electrozi și tensiunea de lucru (pe electrozi), la o viteză de avans dată, se prezintă în fig. 13.47. Se remarcă că alura curbelor nu este în conformitate cu legea lui Ohm, indicind existența și a unei alte rezistențe, pe lângă rezistența pur ohmică a electrolitului.

Pentru a reduce la maximum posibil abaterea profilului obiectului prelucrat de la forma profilului electrodului-sculă, se iau măsuri de izolare a zonei catodului, care nu trebuie să participe la eroziunea anodului. În ultimul timp s-a pus la punct o metodă

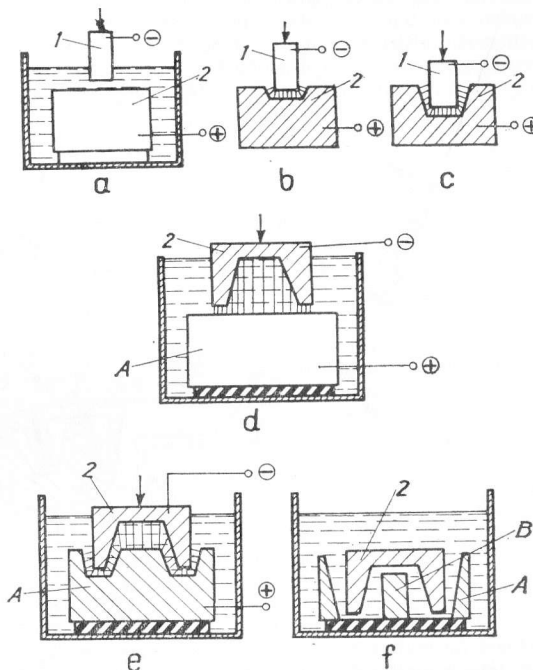


Fig. 13.48. Schema principală de prelucrare dimensională cu electrozi de polaritate inversă

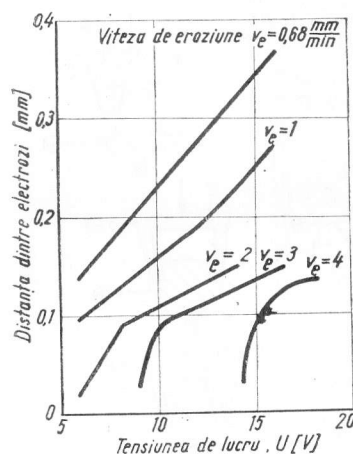


Fig. 13.47. Variația spațiului dintre electrozi în funcție de tensiune, pentru o viteză de eroziune dată

(brevet S.U.A.) prin care electrozii-sculă se pot fabrica prin eroziune electrochimică cu polaritate inversă.

Electrozii se fabrică prin reproducerea forme profilului unei piese pe cale electrochimică iar obiectul astfel obținut va fi utilizat apoi ca sculă, în condiții de lucru identice ca la reproducere (tensiuni, densități de curent, presiunea, debitul și natura electrolitului).

**13.4.4.2. PRELUCRAREA DIMENSIONALĂ ELECTROCHIMICĂ CU ELECTROZI CU POLARITATE INVERSĂ. Principii generale.** Prelucrarea dimensională electrochimică are loc, principal, conform schemelor prezentate în fig. 13.48, a, b și c. Reproducerea spațială a electrodului 1, de formă prismatică, în obiectul supus prelucrării 2 are loc cu abaterile corespunzătoare, catodul nefiind izolat pe părțile laterale. Pe măsură ce adâncimea de pătrundere a catodului crește, crește și interstițiul dintre electrozi (fig. 13.48, b și c), obținându-se în final un orificiu cu pereți înclinați. Dacă se introduc

variabilele care determină la obiectul prelucrării abaterea de la profilul catodului într-un model care să fie apoi utilizat ca electrod în procesul de prelucrare, abaterile de la forma geometrică a obiectului se reduc foarte mult sau dispar. Precizia de prelucrare va fi cu atât mai mare cu cât parametrii regimului vor fi menținuți mai constanți și egali cu parametrii corespunzători de la prelucrarea modelului. În fig. 13.48, *d*, *e*, și *f* se prezintă schematic utilizarea unui electrod 2, realizat prin prelucrare electrochimică cu abaterile corespunzătoare, pentru a obține din obiectul supus prelucrării *A* o piesă *B*, de forma electrodului 1 din fig. 13.38, *a*. În cele ce urmează se prezintă schematic un exemplu

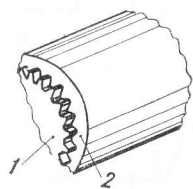


Fig. 13.49. Asamblare arbore canelat-bucșă canelată:  
1 - arbore canelat; 2 - bucșă canelată

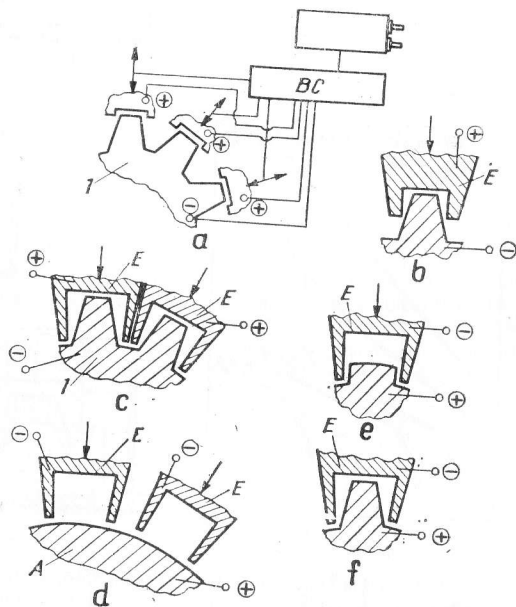


Fig. 13.50. Fazele procesului tehnologic de realizare a unui arbore canelat cu electrod realizat prin prelucrare dimensională electrochimică cu polaritate inversă

de realizare a unui arbore canelat dintr-o asamblare arbore canelat-bucșă canelată (fig. 13.49). În fig. 13.50 se prezintă fazele procesului tehnologic de prelucrare electrochimică. Fazele primei etape se succed conform fig. 13.50, *a*, *b*, și *c*, când arborele canelat, conectat la polul negativ, este modelul cu care se realizează electrozii *E*, conectați la polul pozitiv. Această primă etapă se termină în situația când electrozii *E* au forma din fig. 13.50, *c*. În continuare, cu electrozii *E*, conectați de data aceasta la polul negativ, se prelucurează, în aceleași condiții și cu aceiași parametri ai regimului de lucru, obiectul *A*, conectat la polul pozitiv (fig. 13.50, *d*, *e* și *f*) - un arbore canelat de aceeași precizie dimensională și cu forma geometrică identică cu a modelului 1. Comanda pentru coordonarea mișcărilor electrozilor *E* în sensul indicat de săgeți se face de la blocul de comandă *BC* cu programare. Acționarea poate fi electrică, mecanică sau hidraulică.

**Prelucrarea electrochimică a profilelor active a paletelor de turbină.** După un brevet S.U.A., profilul activ al unei palete de turbină poate fi realizat în două faze, dintr-un semifabricat paralelipipedic *A* (fig. 13.51, *a* și *b*), cu ajutorul unor electrozi executați

din materiale neconducătoare de electricitate, pe care se depune la suprafață un strat electroconductor. În prima fază, modelul (fig. 13.51, *a*), executat din material plastic sau alt material rezistent la agenți corosivi, pe care s-a depus stratul conductor 2 și care constituie electrodul, este conectat la polul negativ al unei surse de curent continuu.

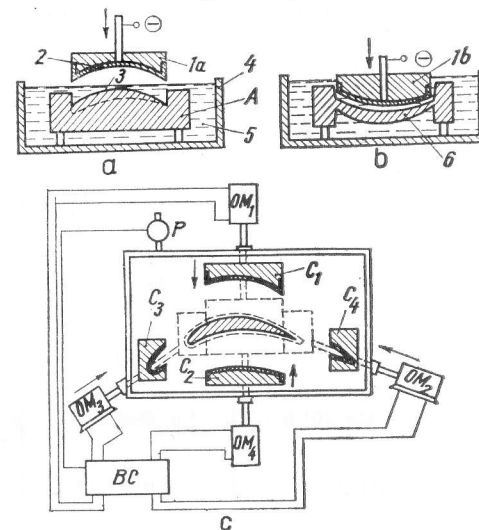


Fig. 13.51. Fazele prelucrării profilelor active ale paletelor de turbină cu electrozi (catozi) realizați din materiale nemetale, placate cu materiale electroconductive

Obiectul de prelucrat *A* este introdus în baia 4, cu un electrolit, 5, sub presiune. Se obține astfel partea convexă 3 a profilului paletei. În faza a doua, semifabricatul *A* se rotește cu 180° și se continuă prelucrarea cu un electrod de formă corespunzătoare, 1*b*, realizându-se partea concavă 6 a profilului (fig. 13.51, *b*). În fig. 13.51, *c* este reprezentat un alt mod de execuție a profilelor active cu electrozi multipli din materiale plastice placate cu metal, la care, printr-o singură prindere, se asigură realizarea racordărilor corespunzătoare pentru bordul de fugă, bordul de atac, partea convexă și partea concavă a profilului. Comanda de coordonare a mișcărilor electrozilor *C*<sub>1</sub>, *C*<sub>2</sub>, *C*<sub>3</sub> și *C*<sub>4</sub>, în sensul indicat de săgeți, se face de la blocul de comandă *BC* cu programare. Acționarea se face prin intermediul organelor motoare *OM*<sub>1</sub>, *OM*<sub>2</sub>, *OM*<sub>3</sub> și *OM*<sub>4</sub>.

**Instalații pentru prelucrarea dimensională electrochimică.** Instalațiile realizate pentru prelucrarea electrochimică sînt instalații cu destinație specială și instalații universale. Instalațiile speciale sînt destinate prelucrării profilelor complexe, ca: palete, arbori canelați etc. din materiale greu prelucrabile. Instalațiile universale sînt destinate pentru mai multe categorii de operații, ca: profilare, ascuțire, găurire, prelucrare plană etc.

Caracteristicile generale ale instalațiilor de prelucrare dimensională electrochimică și performanțele posibile ale acestora la prelucrarea, în special, a paletelor de turboreactoare (profile complexe în general) sînt indicate în tabelul 13.24.

Tabelul 13.24

## Instalații pentru prelucrarea dimensională electrochimică

Caracteristicile instalațiilor	Instalații speciale	Instalații universale	Instalații portal
	Operații specifice:		
	Profilări complexe, prelucrarea paletelor, prelucrarea arborilor canelați, degroșări, honuire	Profile simple, ascuțire, găurire, prelucrare plană	Piese de dimensiuni mari
Numărul capetelor de lucru	1; 2 sau 4	1; 2 sau 4	1 sau 4
Poziția capului de lucru	Orizontal (vertical)	Orizontal (vertical)	Vertical
Numărul posturilor de lucru	1—4	1—4	1—4
Puterea utilă de lucru, kW	3—10	3—10	20
Viteza avansului de lucru (automat), mm/min	0,025—19	0,025—13	0,5—15
Electrolitiți utilizați	CINa 10—20% sau CINa și diferite adaosuri de NaOH	Electrolitiți speciali (după caz)	—
Spațiul dintre electrozi (de lucru), mm	0,01—0,5	0,01—0,5	0,25—0,5
Viteza electrolitului în spațiul de lucru, m/s	10—55	6—35—50	30—50
Debitul pompei de electrolit, l/min	450	450	560
Presiunea electrolitului, daN/cm <sup>2</sup>	7; 14 sau 28	5; 6 sau 28	24
Capacitatea băii, l	150	150	Peste 1 000
Capacitatea rezervorului de electrolit, l	1 000	1 000	3 800

Tabelul 13.24 (continuare)

Caracteristicile instalațiilor	Instalații speciale	Instalații universale	Instalații portal
	Operații specifice:		
	Profilări complexe, prelucrarea paletelor, prelucrarea arborilor canelați, degroșări, honuire	Profile simple, ascuțire, găurire, prelucrare plană	Piese de dimensiuni mari
Cursa pe verticală sau orizontală a capului de lucru, mm	200—450	200—550	1 000
Productivitatea prelucrării cm <sup>3</sup> /min · 100A	16,4	16,4	—
Precizia prelucrării, μm	0,13—12	0,13—12	±40
Adaosul de prelucrare la piesă pe o parte, mm	0,4—0,8	0,13; 0,4 sau 0,8	—
Densitatea de curent uzuală (medie), A/cm <sup>2</sup>	16—230	7,7—25	—
Tensiunea de alimentare a mașinii, V	5—15	5—12	1,5—24
Curentul debitat de sursă, A	1 000—10 000	50—10 000	1 000—50 000
Dimensiunile pieselor de prelucrat, mm	25 × 75 și mai mari	25 × 75 și mai mari	900 × 900
Timpul de lucru mediu pentru piesă, min	Pentru palete mici, 7—8	Pentru piese mici, 5—10	—
Timpul de lucru prin metode clasice pentru o piesă, min	La palete, 60—120 după o presare prealabilă și 350—600 din material brut	46—180	—

### 13.4.5. PRELUCRAREA PRIN EROZIUNE ELECTROCHIMICĂ ABRAZIVĂ

**Principii generale.** Procedul de prelucrare prin eroziune electrochimică abrazivă se bazează pe desfășurarea simultană în timp a unor procese de eroziune electrochimică (anodică), cu depasivare forțată mecanică prin intermediul unui disc abraziv electroconductor. Procesul este condiționat de formarea unor pelicule anodice insolubile și izolante din punct de vedere electric, de existența unei presiuni de contact între sculă

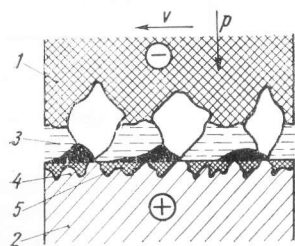


Fig. 13.52. Schema de principiu a electroabraziunii:

1 — disc electroconductor cu granule abrazive

și piesă și de existența unei mișcări relative între cei doi electrozi (catod — obiectul supus prelucrării). Acest procedeu, în comparație cu altele, dă o mare productivitate (la aliaje dure poate ajunge până la 300–500 mm<sup>3</sup>/min, la secțiuni de 1 cm<sup>2</sup>), un luciu oglindă al suprafeței. ( $R_a = 0,05 \dots 0,2 \mu\text{m}$ ) și o precizie mare de prelucrare. Procedul poate fi utilizat atât la prelucrări de finisare, cât și de degroșare.

**Principiul prelucrării prin electroabraziune.** Schema de principiu a prelucrării prin electroabraziune este dată în fig. 13.52. Discul electroconductor 1, constând din granule abrazive într-o masă de umplutură electroconductoare (grafit) și un liant de bachelită (discul poate fi și metalic, cu granulele abrazive presate într-un strat periferic sau executat prin tehnologia pulberilor metalice), este legat la polul negativ al unei surse de curent continuu și are o mișcare relativă în raport cu obiectul supus prelucrării 2, legat la polul pozitiv al aceleiași surse. În spațiul dintre cei doi electrozi e adus lichidul de lucru 3 (electrolit). Îndepărtarea peliculei anodice 5 are loc în primul rând la nivelul virfurilor asperităților 4. Acțiunea abrazivă a discului are drept scop reactivarea anodului prin îndepărtarea peliculei pasive și a produselor eroziunii.

În tabelul 13.25 se dau valorile uzuale ale unor parametri pentru diferite operații de electroabraziune.

## 13.5. PRELUCRAREA PRIN EROZIUNE COMPLEXĂ ELECTRICĂ ȘI ELECTROCHIMICĂ (CHIMICO-ELECTRICĂ)

### 13.5.1. CONSIDERAȚII GENERALE

La procedul de prelucrare prin eroziune complexă electrică și electrochimică, prelevarea de material este consecința acțiunii simultane a dizolvării anodice și a descărcărilor electrice prin impulsuri nedirijate cvasistaționare, care au loc, la nivelul microasperităților, între electrodul-sculă (catod) — element pentru localizarea macroscopică a eroziunii — și obiectul supus prelucrării (anod), într-un mediu de lucru cu proprietăți speciale (electrolit). Procesul prelevării este condiționat de formarea peliculei pasivizatoare insolubilă, cu proprietăți dielectrice și mecanice ridicate și de existența unei presiuni între electrozi, combinată cu o mișcare relativă între ei, cu scopul depasivării forțate mecanice. Ca urmare a acestor acțiuni cumulate are loc, în principal, eroziunea obiectului supus prelucrării. Este parțial supus eroziunii și electrodul-sculă. Schema principală de reali-

Tabelul 13.25

Regimuri de lucru la electroabraziune

Parametrul	Unitatea de măsură	Operația			
		Degroșare	Finisare	Suprafinisare	Rodare
Tensiunea sursei	V	20–34	18–20	6–24	12–24
Tensiunea pe electrozi	V	16–20	14–16	4–5	10–20
Densitatea de curent	A/cm <sup>2</sup>	8–15	3–7	0,5–12,2	0,5–1
Consumul specific de energie la oțeluri	kWh/daN	10–20	15–25	3–6	8–15
Viteza periferică a sculei	m/s	20–30	20–30	20	30
Presiunea între electrozi	daN/cm <sup>2</sup>	0,5–5	0,5–1,5	0,5–1,6	1–1,5
Debitul de material prelevat	mm <sup>3</sup> /min	10–30	2–15	2–3	2–6
Calitatea suprafeței ( $R_a$ )	$\mu\text{m}$	3,2–1,6	0,8–0,2	0,2–0,05	0,025–0,06



zare a procedurii este prezentată în fig. 13.53. Datorită caracterului prelucrării, la diferite valori ale parametrilor electrici poate deveni preponderent fie fenomenul electrochimic, fie fenomenul electroeroziv. Dacă puterea specifică introdusă în spațiul de lucru este mică, prelevarea are loc datorită, în special, dizolvării anodice, cînd productivitatea este mică dar precizia de prelucrare și calitatea suprafeței sînt superioare. La creșterea

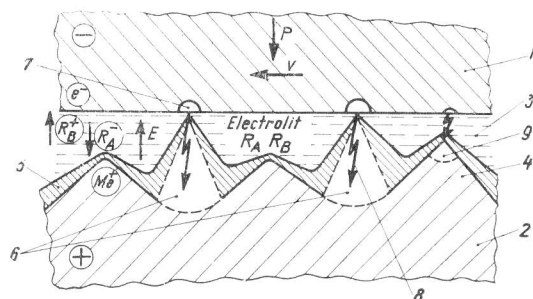


Fig. 13.53. Schema principală a procedurii de prelucrare prin eroziune complexă electrică și electrochimică:

1 — electrod; 2 — obiectul supus eroziunii; 3 — electrolit; 4 — microasperitate; 5 — peliculă pasivă; 6 — element de material erodat din anod prin descărcări electrice datorită contactului metalic; 7 — element de material erodat electric din catod; 8 — descărcări electrice prin impulsuri nedirijate; 9 — element de material erodat din anod prin descărcări electrice datorită străpungerii spațiului disrupativ dintre electrozi;  $p$  — presiunea între electrozi;  $v$  — viteza mișcării între electrozi;  $E$  — cîmp electric exterior

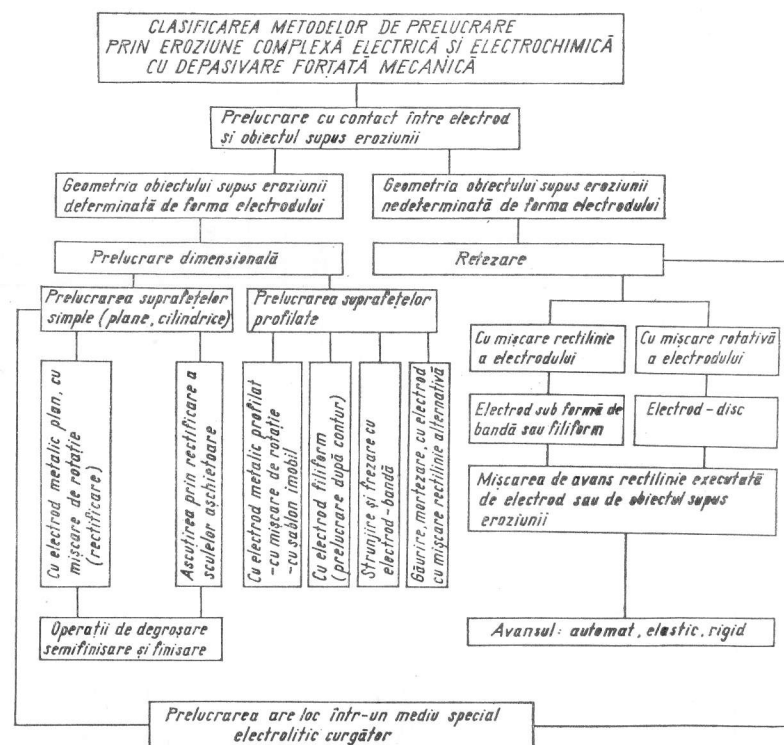
puterii specifice introduse în spațiul de lucru, prelevarea se datorește aproape exclusiv procesului termic al descărcărilor electrice. Și în acest caz are loc o prelevare datorită dizolvării anodice, simultan cu prelevarea prin scintei, dar în afara suprafeței afectată de descărcările electrice. Pelicula anodică generată de componenta continuă a curentului are grosime relativ mare. Ca și în cazul prelucrării electrochimice propriu-zise, această peliculă este mai groasă în caracterele asperităților și mai subțire spre virfurile lor, datorită variației gradientului cîmpului  $E$ . Datorită efectelor termice din proces (temperatura în descărcările electrice poate atinge  $10\,000^\circ\text{C}$ ) se produce și descompunerea electrolitului, produsele dizolvării și ale descompunerii concurînd la formarea peliculei pasivante și la determinarea proprietăților acesteia. Datorită mișcării relative tangențiale dintre electrozi, pelicula pasivă este ruptă la nivelul virfurilor microasperităților. Reactivarea anodului prin îndepărtarea peliculei face posibilă apariția descărcărilor electrice fie datorită efectului Joule la ruperea contactului de scurtcircuit metalic pe asperitățile dezvelite de peliculă, fie datorită străpungerii spațiului dintre două asperități imediat vecine, una situată pe anod, iar cealaltă pe catod.

Probabilitatea de a exista aceleași condiții fizico-chimice în mai multe puncte de pe suprafața de prelucrare este mare și acest lucru face posibilă apariția mai multor descărcări simultane sau parțial suprapuse. Datorită acestui fapt există posibilitatea măririi puterii specifice introduse sub formă de impulsuri de curent în zona de interacțiune electrod-piesă, ceea ce are ca urmare creșterea debitului de material prelevat în raport

cu alte procedee (prelucrare prin electroeroziune, prelucrare prin impulsuri etc.). Tensiunea în spațiul de lucru se menține constantă la valoarea de  $18-30\text{ V}$ . Productivitatea poate să atingă valori de pînă la  $8\,000\text{ mm}^3/\text{min}$ .

Procedul anodo-mecanic de prelucrare și-a găsit aplicații în diferite operații, cu precădere la rectificarea suprafețelor plane, la profilarea suprafețelor cilindrice sau plane și la retezarea semifabricatelor din materiale greu prelucrabile etc. Clasificarea principalelor operații de prelucrare prin eroziune complexă se prezintă în tabelele 13.26. În tabe-

Tabelul 13.26

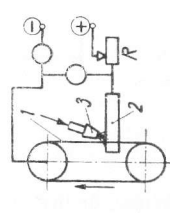
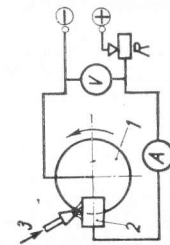


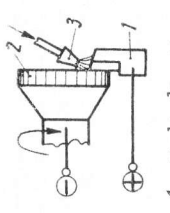
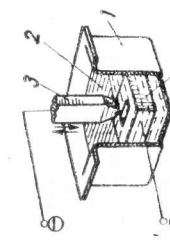
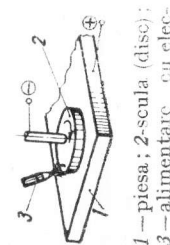
lul 13.27 se prezintă schemele principale ale diferitelor operații de prelucrare prin eroziune complexă electrică și electrochimică iar în tabelul 13.28 — caracteristicile tehnice cele mai importante.

Procesul de prelucrare este influențat, în principal, de următorii factori:

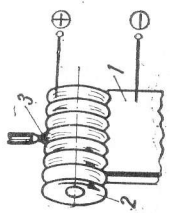
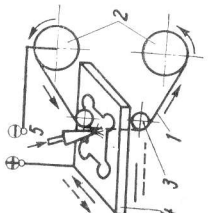
— tensiunea dintre electrozi, de mărimea căreia depinde stabilitatea și natura procesului;

Scheme principale ale diferitelor operații de prelucrare prin eroziune complexă electrică și electrochimică

Schema de principiu	Denumirea și scopul operației	Forma semifabricatului (piesa)	Materialul	Mediul de lucru
 <p>1 — sculă-bandă; 2 — semifabricat (anod); 3 — alimentare cu electrolit; 4 — ampermetru; V — voltmetru; R — reostat</p>	Tăiere (rețezare) cu bandă. Se pot efectua și operații mai complexe (strunjire cu bandă)		Aliaje dure, oțeluri refractare, oțeluri calite etc.	Soluții coloidale în special de silicat de sodiu. Suspensii de caolin în apă. Suspensii apoase de silicat de aluminiu
 <p>1 — sculă-disc; 2 — semifabricat; 3 — alimentare cu electrolit</p>	Tăiere (rețezare) cu disc	Bare de defirite profile	Materiale feroase, aliaje speciale	I d e m

 <p>1 — scula de ascuțit; 2 — disc metallic (catod); 3 — alimentare cu electrolit</p>	Ascutirea sculelor aşchietoare. Rectificarea suprafețelor plane sau profilate	Scule aşchietoare. Cuțite, freze, plăcuțe din aliaje dure etc.	Aliaje dure și extradure	Soluții de silicat de sodiu
 <p>1 — baie; 2 — electrolit; 3 — scula; 4 — piesa (anod)</p>	Prelucrarea cavităților, găurire. Prelucrarea se realizează cu o sculă ce reprezintă negativul orificiului de prelucrat și are o mișcare rectilinie alternativă. Prelevarea de material are loc sub acțiunea efectului eroziv al descărcărilor electrice și datorită dizolvării anodice	Matrițe, ștanțe etc.	Materiale feroase, aliaje dure și aliaje speciale	I d e m
 <p>1 — piesa; 2 — scula (disc); 3 — alimentare cu electrolit</p>	Rectificare plană. Se realizează după o schemă de rectificarea plană frontală cu ajutorul unui disc metallic	Piese plane cu secțiune mare	Aliaje dure. Aliaje speciale	Soluții de silicat de sodiu

Tabelul 13.27 (continuare)

Schemă de principiu	Denumirea și scopul operației	Forma semifabricatului (piesa)	Materiialul	Mediul de lucru
 <p>1 — șablon (catod); 2 — piesa de profilat; 3 — alimentare cu electrolit</p>	Prelucrare profilată. Se realizează cu șabloane plane sau scule disc profilate. Se pot roti fie piesele de profilat, fie sculele	Diverse profile	Aliaje dure	I d e m
 <p>1 — sculă filiformă; 2 — role motoare; 3 — role de întindere; 4 — piesa; 5 — alimentare cu electrolit</p>	Prelucrare profilată (decupare) după contur cu electrod filiform	Piese plane în care se execută orificii de profil complex	Materiale dure și foarte dure	Soluții de silicat de sodiu

Tabelul 13.28  
Caracteristicile tehnice la prelucrarea prin eroziune complexă electrică și electrochimică

Operația	Regimul de lucru		Viteza relativă, m/s	Consumul specific de energie, kWh/daN	Producția, mm³/min	Precizia de prelucrare	Rugozitatea suprafeței $R_a$ $\mu\text{m}$
	Tensiunea, V	Densitatea de curent, A/cm²					
Debitare cu disc	20–24	70–500	15–20	3–5	8–25	3–4	50–12,5
Debitare cu bandă	20–30	100–600	15–25	2–4	10–30	3–4	50–12,5
Tăiere după contur cu electrod filiform	20–30	75–500	15–25	3–5	1 500–4 000	2–3	50–12,5
Mortezare	18–24	5–15	15–20 curs duble/s	2–3	50–250	2–4	50–3,2
Profilare	16–20	8–150	5–10	10–20	100–200	1–2	3,2–0,8
Rectificare de:							
— degroșare	16–20	8–15	20–25	5–10	10–20	2–3	3,2–1,6
— finisare	12–16	3–7	20–30	15–25	2–15	1–2	0,8–0,2
— suprafinisare	8–14	0,5–1	20–30	8–15	2–6	1–2	0,4–0,1
— netezire	4–6	0,3–0,5	20–30	4	5	1–2	0,2–0,05

- curentul de lucru, respectiv densitatea de curent; la densități mici de curent prelucrarea are un caracter preponderent electrochimic;
- presiunea dintre electrozi, de care depinde păstrarea celorlalți parametri (tensiune, curent) în limitele admise;
- viteza relativă dintre electrozi, care influențează asupra evacuării produselor eroziunii și asupra accesului electrolitului în zona de prelucrare;
- lichidul de lucru (compoziția, densitatea etc.); lichidele folosite trebuie să fie capabile să genereze pelicule foarte viscoase sau chiar solide, pentru a împiedeca scurt-circuitarea electrozilor;
- natura surselor de alimentare și natura circuitului de lucru.

Fiecare tip de sursă de alimentare utilizată (redresor, generator de curent continuu, acumulator) dă o anumită variație a curentului și tensiunii în spațiul de lucru. De natura rezistivă, capacitivă sau inductivă a circuitului de lucru depind puterea, durata, frecvența și energia unei descărcări, respectiv eficacitatea procedurii.

Circuitele cu caracter inductiv limitează creșterea curentului pe o descărcare, mărind durata descărcării. Se recomandă pentru prelucrarea materialelor casante.

Capacitățile introduse în circuit măresc curentul pe o descărcare și micșorează durata descărcării. Asemenea circuite nu se vor utiliza la prelucrarea materialelor casante.

Alți factori care influențează prelucrarea sînt: bătăile radiale și laterale ale electrozilor-sculă, geometria spațiului de lucru, geometria electrozilor-sculă, geometria piesei etc.

### 13.5.2. ASCUȚIREA PRIN EROZIUNE COMPLEXĂ

La ascuțirea sau recondiționarea sculelor din oțeluri rapide sau armate cu plăcuțe din aliaje dure, prelucrarea prin eroziune complexă asigură o precizie ridicată, o calitate superioară a suprafeței și o productivitate ridicată. Prelucrarea conferă sculelor și o durabilitate superioară în raport cu procedeele mecanice de ascuțire cu discuri abrazive (tabelul 13.29). Ascuțirea se face la mașinile de ascuțit a căror schemă principală se prezintă în fig. 13.54.

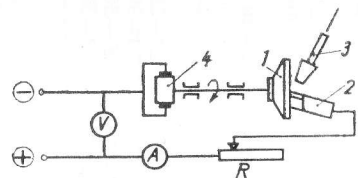


Fig. 13.54. Schema de principiu a ascuțirii prin eroziune complexă:

1 — sculă-disc; 2 — piesă; 3 — alimentare cu electrolit; 4 — colector cu perii; A — ampermetru; V — voltmetru; R — reostat

Regimuri de prelucrare și rugozitatea suprafețelor plăcuțelor din cabluri metalice ascuțite prin eroziune complexă sînt prezentate în tabelul 13.30. Pentru rectificarea, cel mai utilizat electrolit este silicatul de sodiu. Debitul de electrolit necesar este de 8–10 l/min, la o densitate de 1,2–1,3 g/cm<sup>3</sup> și un modul de 2,8–3,2.

### 13.5.3. DEBITAREA PRIN EROZIUNE COMPLEXĂ

Procedul poate fi utilizat pentru o gamă largă de semifabricate: profile, bare, semifabricate plane etc. Productivitatea operației este ridicată și depinde de aproape toți parametrii procesului, dar în special de parametrii electrici. În funcție de tipul constructiv al mașinii (cu electrod sub formă de disc, bandă sau fir), se pot debita semifabricate cu dimensiuni de peste 1 000 mm. Determinarea regimurilor electrice la debitare se face în funcție de dimensiunile piesei în secțiunea transversală, de forma acestei secțiuni,

Tabelul 13.29  
Comparație între ascuțirea mecanică și prin eroziune complexă (anodo-mecanică) a sculelor

Metoda de ascuțire	Regimul de lucru	Volumul de material îndepărtat, mm <sup>3</sup> /min	Uzura sculei, % din materialul îndepărtat	Înălțimea asperităților suprafeței ascuțite, μm	
				Pe fațetă	Pe tăiș
Rectificare mecanică	Fără răcire	$\frac{35-40}{25-30}$	250	0,25–0,5	2–3,5
	Cu răcire	$\frac{50-60}{40-45}$	200	0,2–0,3	1,5–2
	Finisare cu pastă	$\frac{7-8}{5-6}$	2–5	0,2–0,3	0,5–0,1
Rectificare anodo-mecanică	Eboșare	$\frac{120-150}{150-200}$	15–25	3–3,5	5–6
	Semifinisare	$\frac{25-30}{40-45}$	5–10	1–2	2–4
	Finisare	$\frac{1-2}{2-3}$	2–4	0,25–0,3	0,5–1

\*) Valorile de la numărător sînt pentru plăcuțe P 10 iar cele de la numitor pentru plăcuțe K 40.

Tabelul 13.30

Regimuri de prelucrare și rugozitatea suprafețelor la ascuirea prin eroziune complexă (anodo-mecanică)

Operația	Parametrul	Viteza periferică a sculei m/s					
		10		50		K 40	K 40
		P 10	P 10	P 10	P 10		
Eboșare	Curentul, A	35-40	35-40	35-40	35-40	60-65	60-65
	Tensiunea, V	18-19	21-22	21-22	21-22	21-22	21-22
	Productivitatea, g/min	1,5-17	2,2-2,6	2,2-2,6	2,2-2,6	4,4-4,8	4,4-4,8
	Adâncimea microfisurilor, mm	0,3	0,16-0,17	0,16-0,17	0,16-0,17	0,13-0,14	0,13-0,14
Semifinisare	Rugozitatea suprafeței $R_a$ , $\mu m$	2,5-12,5	25-12,5	25-12,5	25-12,5	25-12,5	25-12,5
	Curentul, A	8-10	8-10	8-10	8-10	20-22	20-22
	Tensiunea, V	10-12	10-12	10-12	10-12	15-16	15-16
	Productivitatea, g/min	0,3	0,3-0,4	0,3-0,4	0,41	0,96	0,96
Finisare	Adâncimea microfisurilor, mm	0,16-0,17	0,08-0,10	0,06-0,07	0,06-0,07	0,05-0,06	0,05-0,06
	Rugozitatea suprafeței $R_a$ , $\mu m$	12,5-6,3	12,5-6,3	12,5-6,3	12,5-6,3	12,5-6,3	12,5-6,3
	Curentul, A	3-4	3-4	3-4	3-4	3-4	3-4
	Tensiunea, V	7-8	5-6	10-12	10-12	10-12	10-12
	Productivitatea, g/min	0,05	0,06	0,07	0,07	0,078	0,078
	Rugozitatea suprafeței $R_a$ , $\mu m$	0,4	0,4	0,4	0,4	0,4	0,4
	Durata operației, min	3,5	2	1	1	1	1

de tipul constructiv al mașinii și de caracteristicile electrolitului. Întrucât viteza de eroziune variază cu secțiunea semifabricatului, pentru că densitatea de curent este variabilă, este necesară menținerea unei viteze optime de avans, care se poate realiza corespunzător numai cu sisteme automatizate.

Un sistem de reglare și stabilizare automată a avansului (brevet Institutul Politehnic Timișoara) este prezentat principal în fig. 13.55. Reostatul 1 are rol de traductor curent-

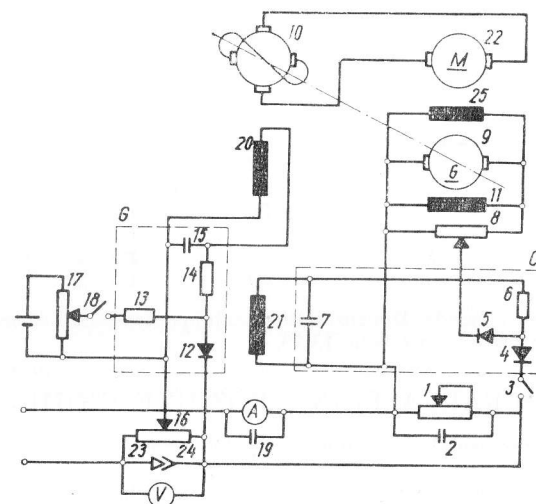


Fig. 13.55. Schema electrică de principiu a reglării automate a avansului la debitarea prin eroziune complexă:

1 — reostat; 2, 7, 15 și 19 — capacități; 3 și 18 — întrerupătoare; 4, 5 și 12 — diode; 6, 13 și 14 — rezistențe; 8, 16 și 17 — potențiometre; 9 — generator; 10 — amplidină; 11 — excitația generatorului; 20 și 21 — înfășurările în opoziție ale amplidinei; 22 — motor de curent continuu de avans al electrodului-sculă sau piesă; 23 — electrod-sculă (disc sau bandă); 24 — electrod-piesă; 25 — excitația motorului de curent continuu

tensiune, șuntat de capacitatea 2. Un selector de tensiune maximă C — compus din diodele 4 și 5, rezistența 6 și capacitatea 7 — primește tensiunea de la potențiometrul 8. Un selector de tensiune minimă G — format din dioda 12, rezistențele 13 și 14 și capacitatea 15 — primește tensiunea de reacție de la potențiometrul 16. Tensiunea selectorului G se aplică înfășurării de comandă 20 a amplidinei, iar tensiunea selectorului C — celeilalte înfășurări 21, în opoziție cu 20. Cele două înfășurări, împreună cu amplidina 10, au rol de comparator și amplificator. În acest mod se asigură ca semnalul trimis la comparator să fie dependent de mărimea curentului în spațiul de lucru numai când acesta depășește valoarea impusă de sursa de etalonare (potențiometrul 8) și de mărimea tensiunii din spațiul de lucru numai când aceasta scade sub valoarea impusă de sursa etalon 16.



Astfel, parametrii electrici se mențin constanți prin menținerea constantă a distanței dintre electrozi, prin intermediul motorului de curent continuu 22, alimentat de amplidina 10.

În tabelul 13.31 se prezintă principalele caracteristici ale debitării prin eroziune complexă iar în tabelul 13.32 — caracteristicile tehnice generale ale debitării la mașini

Tabelul 13.31.

## Regimuri de debitare prin eroziune complexă (anodo-mecanică)

Diametrul piesei, mm	Intensitatea curentului, A	Tensiunea pe spațiu de lucru, V	Presiunea dintre electrozi, daN/cm <sup>2</sup>	Debitul de electrolit, l/min.
10—20	20—40	20—22	0,5—1	5—10
20—40	40—80	20—22	0,5—1	5—10
40—80	80—125	20—22	0,5—1	5—10
80—125	125—200	22—24	1—1,5	10—15
125—150	200—275	24—26	1—1,5	10—15
150—200	275—350	24—26	1,5—2	15—20
200—250	350—450	26—28	1,5—2	15—20
250—300	450—600	28—30	1,5—2	25—30

de debitat cu scule disc și bandă. Dimensiunile discului pentru diferitele secțiuni ale materialului supus debitării se dau în tabelul 13.33.

### 13.6. PRELUCRAREA PRIN EROZIUNE CHIMICĂ

**Caracteristicile procedurii.** Principiul prelucrării prin eroziune chimică este atacul cu o substanță chimică activă a suprafeței care urmează a fi prelucrată. Operația se realizează prin imersarea piesei în soluții speciale (de preferat soluții sodice). Compoziția chimică a substanței cu care se realizează atacul este funcție de calitatea metalului prelucrat și de cantitatea de material ce urmează a fi îndepărtată în unitatea de timp. În general, randamentul prelucrării este influențat de aceiași factori care influențează și randamentul prelucrării electrochimice, și anume: compoziția chimică a electrolitului, temperatura băii, compoziția chimică și, în special, structurală a obiectului supus eroziunii, structura cristalină a metalului (se produce la limita de separare a cristalelor).

**Aplicațiile procedurii.** Aplicațiile practice ale prelucrării prin eroziune chimică sînt diverse. Procedul este aplicat cu precădere la prelucrarea pieselor care au două dimensiuni mult mai mari decît a treia (plăci, table), la gravarea unor profile, la operații de găurire în materiale pe bază de Ni, W, Mo, Ti, la imprimarea circuitelor electrice, la executarea grilelor fine etc. Se pot prelucra și piese forjate sau turnate.

Precizia de prelucrare este condiționată de oprirea la timp a eroziunii chimice. Se realizează un grad înalt de precizie prin îndepărtarea unui strat uniform, chiar la piese cu configurație geometrică complexă. Un dezavantaj al metodei este obținerea muchiilor rotunjite.

Cînd înlăturarea de material nu trebuie să se facă pe toată suprafața, procedul se complică. În acest caz se acoperă zonele ce nu trebuie prelucrate cu o mască de material plastic rezistent la agenții corosivi (fig. 13.56). Pentru o cit mai bună aderență a măștii, semifabricatele sînt, în prealabil, degresate, spălate și uscate.

Mai dificilă este îndepărtarea unor diferite cantități de metal în diferite puncte ale suprafeței de prelucrat. Prin cîteva încercări prealabile se pot stabili parametrii exacti

Tabelul 13.32

## Caracteristicile tehnice generale ale debitării prin eroziune complexă (anodo-mecanică)

Caracteristica	Mașini cu sculă-disc	Mașini cu sculă-bandă
Diametrul semifabricatului, mm	30—300	270—500
Lungimea semifabricatului, mm	Practic nelimitată	300—1 500
Puterea maximă a transformatorului, kW	2—24	2—24
Diametrul sculei disc, mm	100—1100	—
Lungimea sculei bandă, mm	—	400—7 500
Curentul maxim, A	100—800	1 000—2 000
Tensiunea de lucru, V	12—34	14—34
Viteza periferică a discului, m/s	7—22	—
Viteza liniară a benzii, m/s	—	16—20
Grosimea electrodului sculă, mm	1—2,5	0,8—1,5
Productivitatea, cm <sup>2</sup> /min	20—40	20—40

Tabelul 13.33

## Dimensiunile sculelor-disc în funcție de dimensiunea semifabricatului la debitarea prin eroziune complexă

Dimensiunile semifabricatului, mm	Dimensiunile discului			Diametrul flanșelor de stringere, mm
	Diametrul, mm	Grosimea, mm	Diametrul alezajului, mm	
Pînă la 30	300	0,5	15—20	40—50
30—100	200—400	0,8—1	25—30	50—80
100—200	400—700	1—1,5	30—35	100—150
200—400	700—1200	1,5—2	35—45	150—200

ai prelucrării. Prelucrarea unei piese cu dimensiuni în trepte se face imersind piesa în baia de electrolit și apoi extrăgând-o treptat, cu diferite viteze, pentru a se atinge dimensiunile necesare fiecărei trepte (fig. 13.57).

În cazul adâncirii în trepte (fig. 13.57), inițial, se lasă descoperită o zonă cu dimensiunea  $d_1$  (fig. 13.57, a). După prelucrarea pe adâncimea  $h_1$ , stratul de material plastic se

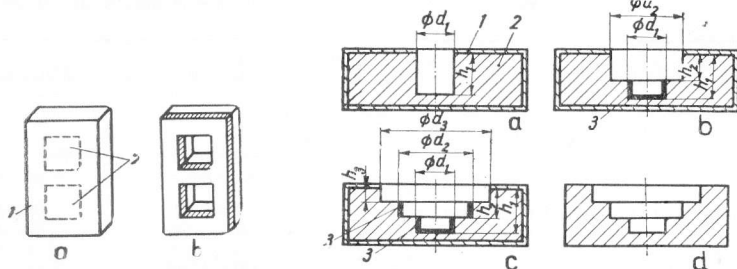


Fig. 13.56. Schema de principiu la prelucrarea prin eroziune chimică; a - semifabricatul înaintea prelucrării; 1 - mască din material plastic; 2 - orificiile ce vor fi prelucrate fără peliculă de material plastic; b - piesa după prelucrare

îndepărtează de pe zona cu dimensiunea  $d_2$  iar pereții orificiului  $d_1$  se acoperă cu un strat protector. Se face apoi prelucrarea până la adâncimea  $h_2$ , pentru dimensiunea  $d_3$  (fig. 13.57, b). Operația se repetă asemănător pentru treapta a treia (fig. 13.57, c). În final se obține piesa cu o cavitate nepătrunsă, în trepte (fig. 13.57, d).

Prelucrarea poate să devină mai productivă dacă se folosesc mai multe băi simultan, sau se utilizează băi de dimensiuni mari, cu care se pot prelucra simultan mai multe piese.

Parametrii principali tehnologici realizați la prelucrarea prin eroziune chimică a diferitelor materiale se prezintă în tabelul 13.34.

## 13.7. PRELUCRAREA PRIN EROZIUNE ABRAZIVO-CAVITAȚIONALĂ ÎN CÎMP ULTRASONIC

### 13.7.1. PROPRIETĂȚILE UNDELOR ULTRASONICE

Ultrasunetele sînt vibrații acustice cu frecvențe superioare celor care produc senzație auditivă omului ( $f > 16$  kHz) și inferioare frecvenței hipersunetelor ( $f < 10$  000 MHz). Undele ultrasonice se aplică în diverse domenii ale tehnicii, datorită proprietăților lor specifice, ca: lungime de undă mică, posibilitate de dirijare în direcție dorită (reflexie, refracție, difracție), transport de energie în mediu elastic în care se propagă, posibilitate de concentrare în spații limitate, rezultînd energii locale ridicate, atenuarea (absorbția), difuzia, ridicarea temperaturii mediului, declanșarea unor reacții chimice etc.

Tabelul 13.34

Parametrii tehnologici și toleranțele realizate la prelucrarea prin eroziune chimică

Materialul	Grosimea minimă a stratului îndepărtat mm	Grosimea totală a stratului îndepărtat mm	Toleranța la adâncime mm
Aliaje de Al	0,025	Pină la 0,5 0,51—1,5 Peste 1,5	$\pm 0,025$ $\pm 0,050$ $\pm 0,070$
Aliaje de Mg	0,033	Pină la 0,5 0,51—1,5 Peste 1,5	$\pm 0,025$ $\pm 0,050$ $\pm 0,070$
Oțeluri inoxidabile și termorezistente	0,013	Pină la 0,5 0,51—1,5 Peste 1,5	$\pm 0,025$ $\pm 0,050$ $\pm 0,075$

După modul în care ultrasunetele intervin în procesele tehnice, aplicațiile lor se grupează în active și pasive (tabelul 13.35). La aplicațiile active, energia ultrasonică este suficient de mare pentru a produce modificări în structura mediului prin care se propagă, iar la cele pasive, valoarea energiei ultrasonice este relativ scăzută, astfel încît nu produce modificări în structura mediului, avînd rolul de a furniza informații referitoare la proprietățile, structura, dimensiunile și calitățile substanței examinate.

Principalele caracteristici ale undelor ultrasonice sînt: frecvența de undă, amplitudinea și viteza de propagare. Aceste mărimi variază funcție de proprietățile mediului prin care se propagă (densitate, modul de elasticitate etc.), temperatură și presiune.

Datorită proprietăților lor specifice, undele ultrasonice se aplică și la prelucrarea dimensională prin eroziune abrazivă și cavitațională a obiectelor executate din materiale dure și fragile. Metoda de prelucrare se bazează pe transmiterea energiei cinetice a corpului ajutător 1 (fig. 13.58), care vibrează cu frecvență ultrasonică, unor particule abrazive 2, aflate în suspensie în lichidul 3, care desprind, prin șoc, din stratul de suprafață al obiectului de prelucrat 4 particule sub formă de așchii, 5. Agentul eroziv este constituit din particulele abrazive în suspensie, care transferă energia primară de vibrație ultrasonică a corpului ajutător în energie distructivă mecanică, termică și electrochimică a stratului de suprafață

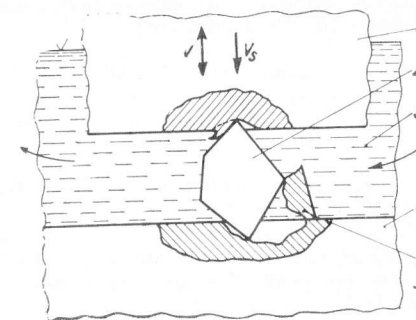


Fig. 13.58. Principiul prelucrării prin eroziune abraziv-cavitațională în cîmp ultrasonic:

1 - corp ajutător; 2 - particule abrazive; 3 - lichid; 4 - obiectul de prelucrat; 5 - particule de material erodat;  $v$  - viteza mișcării principale;  $v_s$  - viteza mișcării ajutătoare

Tabelul 13.35

## Aplicațiile ultrasunetelor

Aplicații active	Aplicații pasive
<p>Prelucrarea prin eroziune abrazivo-cavitațională a materialelor dure și casante în câmp ultrasonic</p> <p>Vibrarea ultrasonică a sculelor așchietoare la procedeele clasice de prelucrare prin așchiere (strunjire, frezare, rectificare, honuire, supranetezire etc.)</p> <p>Aplicarea ultrasunetelor la prelucrarea prin electroeroziune</p> <p>Curățirea pieselor metalice și nemetalice cu configurație complexă</p> <p>Vibrarea sculelor la procedeele de deformare plastică (trefilare, laminare etc.)</p> <p>Eliminarea pietrei depuse pe suprafața cazanelor și rezervoarelor</p> <p>Tratarea ultrasonică a metalelor și aliajelor în stare topită pentru omogenizarea structurii, reducerea grăunților și eliminarea gazelor. Obținerea aliajelor omogene din componente cu densități mult diferite (Al-Pb, Mg-Pb etc.)</p> <p>Aplicarea ultrasunetelor la tratamente termice pentru o mai bună dispersare a carburilor și elementelor de aliere, creșterea vitezei de călire, mărirea pătrunderii călirii piesei și eliminarea oxidurilor</p> <p>Utilizarea ultrasunetelor la acoperiri galvanice</p> <p>Sudarea cu ajutorul ultrasunetelor a pieselor metalice care formează cu aerul oxizi rezistenți (aliaje de Al și Mg). Sudarea maselor plastice</p> <p>Lipirea metalelor și aliajelor ce formează oxizi rezistenți</p> <p>Aplicarea ultrasunetelor la asamblarea ajustajelor intermediare prin vibrarea axială a arborelui și radială a alezajului</p> <p>Depunerea particulelor fine aflate în suspensii gazoase și lichide</p> <p>Formarea emulsiilor și accelerarea reacțiilor chimice</p> <p>Utilizarea efectului de încălzire a ultrasunetelor la uscarea materialelor</p>	<p>Defectoscopie ultrasonică:</p> <ul style="list-style-type: none"> <li>— unde continue:</li> <li>— metoda transmisiei</li> <li>— metoda umbrei</li> <li>— metoda imaginii</li> <li>— metoda rezonanței</li> <li>— unde modulate în frecvență</li> <li>— impulsuri:</li> <li>— metoda transmisiei</li> <li>— metoda reflexiei</li> <li>— un palpator</li> <li>— două palpatoare</li> </ul> <p>Măsurări de mărimi fizice:</p> <ul style="list-style-type: none"> <li>— la solide:</li> <li>— modul de elasticitate</li> <li>— rezistență mecanică</li> <li>— densitate</li> <li>— coeficient Poisson</li> <li>— dimensiunea grăunților cristalini</li> <li>— reziliență</li> <li>— la lichide:</li> <li>— compresibilitate</li> <li>— viscozitate</li> <li>— temperatură</li> <li>— debit</li> <li>— la gaze</li> <li>— compresibilitate</li> <li>— capacitate calorică</li> <li>— temperatură</li> <li>— concentrație</li> <li>— durată de reverberație</li> <li>— difuzibilitate</li> </ul> <p>Măsurări de mărimi geometrice:</p> <ul style="list-style-type: none"> <li>— la solide</li> <li>— dimensiuni liniare</li> <li>— la lichide</li> <li>— nivele</li> <li>— hidrolocație (reperaj submarin)</li> <li>— la gaze</li> <li>— distanțe</li> </ul>

a obiectului de prelucrat. Pe lângă eroziunea abrazivă, în proces apar și fenomene de cavitație ultrasonică în mediu lichid, care amplifică efectul eroziv în spațiul de lucru. Suspensia abrazivă este circulată în spațiul de lucru cu scopul de a evacua produsele eroziunii, formate din particulele prelevate din obiectul de prelucrat și corpul ajutător și de a înlocui particulele abrazive cu muchii uzate cu altele, cu muchii active. Forma macroscopică a eroziunii obiectului prelucrării este dată de configurația în secțiunea transversală a corpului ajutător, prin care se transmite agentului eroziv energia de vibrație ultrasonică.

## 13.7.2. PRODUCEREA UNDELOR ULTRASONICE

Pentru producerea undelor ultrasonice se utilizează emițătoare mecanice, piezoelectrice, magnetostrictive etc. La prelucrarea abrazivo-cavitațională în câmp ultrasonic, cel mai utilizat tip de emițător este cel magnetostrictiv. Funcționarea lui se bazează pe fenomenul de magnetostricțiune, care constă în modificarea dimensiunilor geometrice ale unui corp feromagnetic sub acțiunea unui câmp magnetic variabil. Deformarea liniară în sensul câmpului magnetic aplicat — lungire sau scurtare — este mai importantă decât deformările transversală și de volum. Dintre materialele magnetostrictive, cele mai utilizate sînt: nichelul pur, aliajele de cobalt și fier, numite permendur (65% Co + 35% Fe; 49% Co + 49% Fe + 2% V), aliajele de fier și aluminiu (12,8% Al, restul Fe; 13,8% Al, restul Fe), iar în ultimul timp se folosesc tot mai mult feritele și materialele ceramice (titanat de bariu).

Blocul ultrasonic magnetostrictiv (fig. 13.59) se compune din: transductorul 1, care transformă energia câmpului magnetic variabil, prin efect magnetostrictiv, în energie mecanică (radiantă) de vibrație ultrasonică și transformatorul ultrasonic 2, cu rol de a mări amplitudinea de vibrație și de a concentra în secțiune transversală energia ultrasonică, cu scopul de a fi transmisă, prin intermediul corpului ajutător 3, agentului eroziv din spațiul de lucru.

Transductorul și transformatorul ultrasonic se dimensionează din condiția ca frecvența lor proprie de oscilație să fie egală cu frecvența aplicată, pentru a vibra în regim de rezonanță și a obține la corpul ajutător amplitudini maxime. Transformatoarele ultrasonice au, obișnuit, forme exponențiale, catenoidale, conice și cilindrice în trepte.

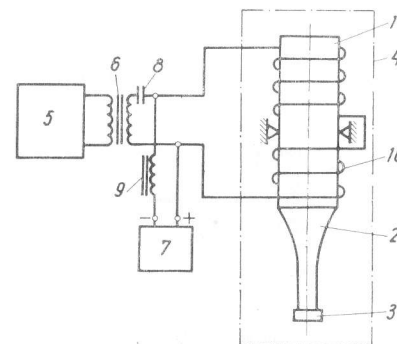


Fig. 13.59. Schema de principiu a blocului ultrasonic cu emițător magnetostrictiv: 1 — transductor magnetostrictiv; 2 — transformator ultrasonic; 3 — corp ajutător; 4 — blocul ultrasonic; 5 — generator de înaltă frecvență; 6 — transformator electric; 7 — sursă de curent continuu; 8 — condensator; 9 — bobină de șoc; 10 — bobină de excitație

## 13.7.3. CARACTERISTICILE PRELUCRĂRII PRIN EROZIUNE ABRAZIVO-CAVITAȚIONALĂ ÎN CÂMP ULTRASONIC

**Principii generale.** Metoda se aplică cu precădere la prelucrarea dimensională a materialelor dure, extradure și fragile, cu sau fără conductibilitate electrică sau termică, care prin alte metode nu pot fi prelucrate. După gradul de prelucrabilitate, materialele

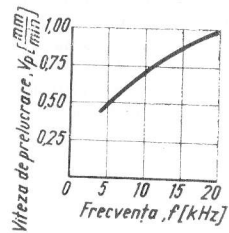


Fig. 13.60. Variația vitezei de prelucrare în funcție de frecvența oscilațiilor, pentru amplitudinea  $A = 15,7 \mu\text{m}$  la prelucrarea sticlei cu suspensie de carbură de bor în apă

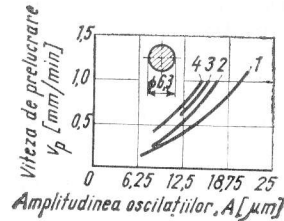


Fig. 13.61. Variația vitezei de prelucrare în funcție de amplitudinea oscilațiilor sculei la prelucrarea sticlei cu suspensie de carbură de bor în apă:

1 — pentru  $f = 5,1 \text{ kHz}$ ; 2 — pentru  $f = 11 \text{ kHz}$ ; 3 — pentru  $f = 16,3 \text{ kHz}$ ; 4 — pentru  $f = 19,5 \text{ kHz}$

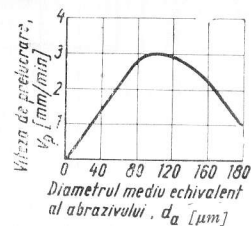


Fig. 13.62. Variația vitezei de prelucrare în funcție de diametrul mediu echivalent al particulelor abrazive la prelucrarea unei plăci din sticlă cu grosimea de 3 mm, cu suspensie de carbură de bor în apă

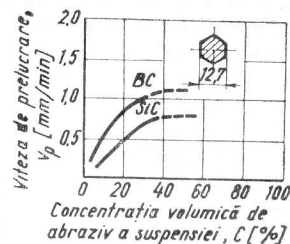


Fig. 13.63. Variația vitezei de prelucrare în funcție de concentrația în abraziv a suspensiei (carbură de bor BC cu granulația 12, STAS 1753-60; carbură de siliciu SiC, cu granulația 10; lichid-apă; material prelucrat-sticlă)

se clasifică în două grupe: ușor prelucrabile — sticlă, cuarț, materiale semiconductoare, ceramică, diamant, grafit, ferite, bioxid de uraniu etc. și mediu prelucrabile — aliaje dure, oțeluri călite, cementate, nitrurate, aliaje de titan etc. Se recomandă a se aplica ca prelucrare de degroșare și de finisare pentru materialele din prima grupă și de finisare pentru cele din grupa a doua. Criteriul de prelucrabilitate este definit de fragilitatea materialului prelucrat. Cu cât fragilitatea este mai mare, cu atât prelucrabilitatea este mai bună.

Metoda de prelucrare prin eroziune abrazivo-cavitațională se bazează pe două procese fundamentale în zona de lucru: lovirea prin șoc repetat și de scurtă durată a suprafeței obiectului prelucrării de către particulele abrazive, care produc microfisuri și desprinderi de material și procesul de circulație a suspensiei de împropățare a abrazivului și eliminare a produselor eroziunii din spațiul de lucru. Pentru eroziunea obiectului prelucrării este necesar ca duritatea particulelor abrazive să fie mai mare sau cel puțin egală cu duritatea acestuia. Între corpul ajutător și particulele de abraziv se creează o presiune statică de circa  $0,5-5 \text{ daN/cm}^2$ , cu scopul de a mări efectul de șoc dat abrazivului în spațiul de lucru.

Mișcarea principală este determinată de oscilația longitudinală cu frecvență ultrasonică a corpului ajutător, caracterizată prin viteza

$$v = \frac{4fA}{1000} \quad [\text{m/s}], \quad (13.18)$$

unde  $f$  este frecvența vibrațiilor, Hz iar  $A$  — amplitudinea oscilațiilor, mm; obișnuit  $A = 10 \dots 60 \mu\text{m}$  iar  $v = 0,6 \dots 7 \text{ m/s}$ .

Mișcările ajutătoare — numite și de avans — rectilinii sau curbilinii se clasifică, funcție de direcția lor față de mișcarea principală, în mișcări de avans longitudinale, transversale și curbilinii (în particular circulare).

În cadrul metodei există o singură mișcare principală și una sau mai multe mișcări ajutătoare. În sensul mișcării principale are loc eroziunea principală, iar între suprafața laterală a corpului ajutător și suprafața prelucrată apar și fenomene de eroziune secundară.

Generarea suprafețelor pe obiectul de prelucrat se realizează, în esență, prin mișcări ajutătoare simple sau compuse și prin forma și dimensiunile în secțiunea longitudinală și transversală a corpului ajutător (tabelul 13.36).

**Factorii principali care influențează productivitatea prelucrării.** Acești factori sînt prezentați în continuare:

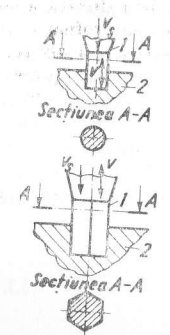
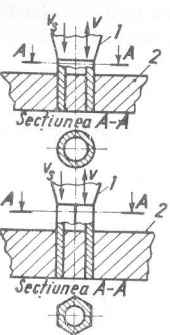
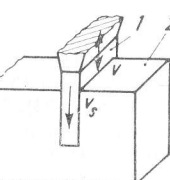
— Asupra productivității un rol important îl are viteza principală de vibrație, respectiv frecvența și amplitudinea oscilațiilor corpului ajutător (fig. 13.60 și 13.61). O dată cu mărirea lor crește viteza de prelucrare. Alegerea amplitudinii  $A$  a oscilațiilor trebuie corelată cu diametrul mediu echivalent  $d_a$  al particulelor abrazive. Experiențele arată

că viteza de prelucrare are valori maxime pentru raportul  $\frac{2A}{d_a} = 0,6 \dots 0,8$ ; la  $2A = 20 \dots 100 \mu\text{m}$  corespunde  $d_a = 12 \dots 50 \mu\text{m}$ .

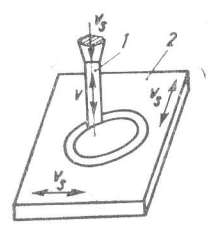
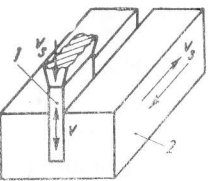
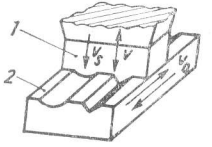
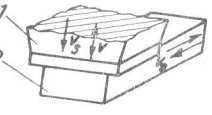
— Influența abrazivului asupra productivității prelucrării este determinată de mărirea particulelor abrazive (fig. 13.62), respectiv de granulația abrazivului (tabelul 13.37), natura materialului abraziv (tabelul 13.38) și concentrația lui în lichid (fig. 13.63). Productivități ridicate se obțin la prelucrarea de degroșare cu abraziv din grupa pulberi cu granulație 12-10, din carbură de bor, carbură de siliciu și electrocorund, la o concentrație volumică în apă de 25-40%.

Tabelul 13.36

Scheme de generare a suprafețelor prin eroziune abrazivo-cavitațională în câmp ultrasonic

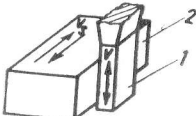
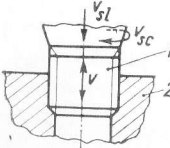
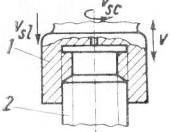
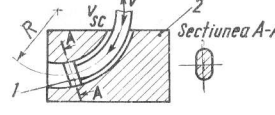
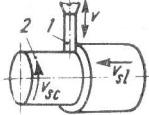
Schema de principiu	Denumirea
	<p>Găurirea unor alezaje cilindrice sau profilate nepătrunse cu corp ajutător plin (arie transversală mică): 1—corp ajutător; 2—obiectul de prelucrat; <math>v</math>—viteză principală; <math>v_s</math>—viteză de avans</p>
	<p>Găurirea unor alezaje cilindrice sau profilate străpunse cu corp ajutător tubular (arie transversală mare)</p>
	<p>Retezarea pieselor mici</p>

Tabelul 13.36 (continuare)

Schema de principiu	Denumirea
	<p>Canelarea după o curbă plană</p>
	<p>Canelare rectilinie, respectiv retezarea pieselor mari</p>
	<p>Rectificarea ultrasonică a suprafețelor profilate: <math>v_0</math>—viteza de avans rectilinie, alternativă a obiectului de prelucrat</p>
	<p>Rectificarea ultrasonică a suprafețelor plane horizontale <math>v</math>—viteză principală; <math>v_s</math>, <math>v_0</math>—viteze de avans.</p>



Tabelul 13.36 (continuare)

Schema de principiu	Denumirea
	Rectificarea ultrasonică a suprafețelor plane verticale
	Filetare ultrasonică interioară: 1—corp ajutător (șurub); 2—obiectul de prelucrat; $v$ —viteză principală; $v_{sl}$ —viteză de avans longitudinal a corpului ajutător sau obiectului prelucrării; $v_{sc}$ —viteză de avans circular a corpului ajutător sau obiectului prelucrării
	Filetare ultrasonică exterioară: 1—corp ajutător (piuliță); 2—obiectul de prelucrat; $v$ —viteză principală; $v_{sl}$ —viteză de avans longitudinal; $v_{sc}$ —viteză de avans circular
	Găurire profilată cu axă curbă
	Cilindrare exterioară ultrasonică:

Tabelul 13.37

Influența granulației particulelor abrazive asupra productivității prelucrării

Granulația (STAS 1753-60)	Dimensiunea particulei abrazive, $\mu\text{m}$	Coefficientul relativ de productivitate în funcție de granulație *)
12	125—150	1,00
10	105—125	0,96
8	85—105	0,85
6	75—85	0,74
5	63—75	0,65
4	53—63	0,54
3	42—53	0,44
M40	28—42	0,35
M28	20—28	0,17
M20	14—20	0,09
M14	10—14	0,05
M10	7—10	0,03
M7	5—7	0,02
M5	3,5—5	0,01

\*) Coeficientul relativ de productivitate este raportul dintre productivitatea la granulația considerată și productivitatea la granulația nr. 12.

Tabelul 13.38

Influența naturii particulelor abrazive asupra productivității prelucrării

Materialul prelucrat	Materialul abrazivului			
	Carbură de bor	Carbură de siliciu	Electrocorund	Pulbere de diamant de 25 $\mu\text{m}$
Coefficientul relativ de productivitate *				
Sticlă de sodiu	1	1,2	1,4	1,1
Porțelan	1	1,3	2,2	—
Carbură de Wolfram	1	1,8	17,0	—
Aliaj dur	1	3,0	—	—
Oțel de matriță	1	1,4	20,0	—
Germaniu	1	1,1	—	—

\*) Coeficientul reprezintă raportul dintre productivitatea cu materialul abraziv considerat și productivitatea cu carbură de bor

— Natura lichidului și condițiile de circulație a suspensiei abrazive. Cele mai bune rezultate s-au obținut la utilizarea apei și soluției de săpun ca lichide purtătoare a particulelor abrazive (tabelul 13.39). Experimental s-a constatat că, o dată cu creșterea viscozității lichidului, scade productivitatea, ca urmare a măririi rezistenței opuse la intrarea

Tabelul 13.39

**Influența naturii lichidului suspensiei abrazive asupra productivității prelucrării**

Lichidul utilizat	Coefficientul relativ de productivitate *)
Apă	1,00
Ulei de transformator	0,28
Ulei de mașină	0,33
Ulei de in	0,28
Benzină	0,70
Petrol	0,70
Glicerină	0,30
Amestec 75% glicerină și 25% apă	0,14
Amestec 50% glicerină și 50% apă	0,22
Soluție de săpun în apă	0,98
Ulei dens de motor	0,28
Spirt etilic	0,56

\*) Coeficientul reprezintă raportul dintre productivitatea în lichidul considerat și productivitatea în apă.

abrazivului și îngreuierea condițiilor de circulație a suspensiei abrazive (fig. 13.64). Un rol hotărâtor asupra productivității prelucrării îl au condițiile de circulație a suspensiei în spațiul de lucru. Metoda de circulație obișnuită a suspensiei are dezavantajul că, la mărirea adâncimii de prelucrare peste 10–15 mm, productivitatea scade aproape la zero, din cauza circulației defectuoase a suspensiei. Pentru îmbunătățirea circulației se aplică metoda de aspirație prin vacuum a suspensiei (fig. 13.65), cu ajutorul unei pompe de vid, ceea ce duce la mărirea productivității de 2–6 ori (tabelul 13.40), valoarea ei fiind practic independentă de adâncimea de prelucrare. La aspirația suspensiei, productivitatea depinde de debitul aspirat și produsul între presiunea statică dintre corpul ajutător-abraziv și pătratul amplitudinii oscilației, atingând valori maxime în condițiile în

Tabelul 13.40

**Productivități volumetrice la prelucrarea unor materiale diferite**

Materialul prelucrat	Productivitatea volumetrică $Q_v$ , $\text{mm}^3/\text{min}$		Uzura relativă a corpului ajutător (raportată la cantitatea de material prelevată din obiectul prelucrării), %
	Cu aspirația suspensiei	Fără aspirația suspensiei	
Sticlă	1200	250	1
Germaniu	800	180	3
Micalex	800	150	1
Ferită	800	150	3
Grafit	500	100	1
Cuarț cristalizat	400	100	2,5
Silice	400	80	3
Agat	320	60	5
Ceramică	250	50	6
Perlmuit	250	50	6
Spinel	100	25	6
Dural	40	6	20
Rubin, safir	30	8	10
Carburi metalice	30–40	5–7	50–80
Carburi de bor	2,5–10	1–4	50
Alamă (Am 58)	12	2	40
Oțel cu crom (12%Cr)	8	1	120
Oțel de scule	6	1	100
Oțel rapid	4	1	200
Diamant		0,05	1 000

**Observație.** Condițiile de lucru: frecvența 22 kHz; puterea de ieșire a generatorului 400 W; corp ajutător tubular cu diametrul exterior de 10 mm și grosimea peretelui 1 mm; abraziv-carbură de bor cu granulația 4 STAS 1753-60 în apă; adâncimea de prelucrare 0–5 mm fără aspirație și 0–20 mm cu aspirație.

care viteza de înlocuire a abrazivului este egală cu viteza de distrugere a lui. Cele mai bune rezultate s-au obținut aplicând metoda de introducere sub presiune (pompa) prin injecție) a suspensiei în spațiul de lucru, la presiuni de refulare de  $1-3 \text{ daN/cm}^2$ .

— Secțiunea corpului ajutător și adâncimea de prelucrare. La amplitudine și frecvență constantă a oscilațiilor, mărirea secțiunii transversale a corpului ajutător și a adin-

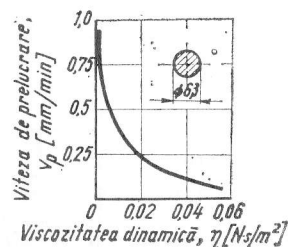


Fig. 13.64. Variația vitezei de prelucrare în funcție de viscozitatea dinamică a lichidului (lichid-apă; obiectul de prelucrat-sticlă; abraziv-carbură de bor)

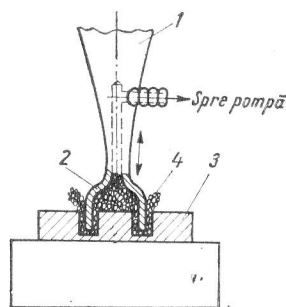


Fig. 13.65. Schema prelucrării utilizând metoda de aspirație (vacuum) a suspensiei abrazive:

1 — transformator ultrasonic; 2 — corp ajutător tubular; 3 — obiectul de prelucrat; 4 — suspensia abrazivă

cimii de prelucrare duce, în general, la scăderea productivității, ca urmare a înrăutățirii condițiilor de circulație a suspensiei și a micșorării forței de lovire care revine unei particule abrazive. Un rol important îl joacă și configurația în secțiunea transversală a corpului ajutător, respectiv raportul dintre circumferință și aria transversală.

— Presiunea statică între corpul ajutător, abraziv și obiectul de prelucrat are rol important în transmiterea forței de șoc particulelor abrazive, influențând și circulația suspensiei (fig. 13.67).

— Proprietățile fizico-mecanice ale materialului de prelucrat și ale corpului ajutător — fragilitatea, microduritatea, structura și proprietățile elastice — au un rol hotărâtor. la prelucrarea abrazivo-cavitațională. Cel mai important factor îl constituie fragilitatea Factorii care influențează precizia prelucrării. Acești factori sunt prezentați în continuare:

— Uzura corpului ajutător în direcție longitudinală și transversală (fig. 13.68 — 13.70).  
— Granulația abrazivului. O dată cu scăderea granulației, crește precizia de prelucrare. Obșnuit, dimensiunea interstițiului este de 1,5 ori mai mare decât dimensiunile medii ale particulelor abrazive. Preciziile obținute sînt: la degroșare cu abraziv cu granulație 12—6 sînt de circa  $0,06-0,08 \text{ mm}$ ; la semifinisare cu abraziv cu granulație 5—3, de  $0,03-0,06 \text{ mm}$ ; la finisare cu micropulberi se poate atinge  $0,005 \text{ mm}$ .

— Precizia utilizării. Precizia prelucrării este influențată de precizia de execuție și montaj a mașinii și accesoriile sale, coaxialitatea părților componente ale blocului ultrasonic, sensibilitatea mecanismului de avans, precizia de poziționare a corpului ajutător față de obiectul prelucrării etc.

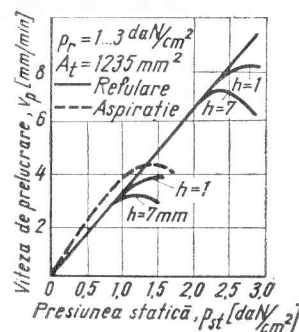


Fig. 13.66. Variația vitezei de prelucrare în funcție de presiunea statică și presiunea de refulare  $p_r$  a suspensiei abrazive (material de prelucrat-sticlă; suspensie-carbură de bor în apă;

$A_t$  — aria transversală a corpului ajutător

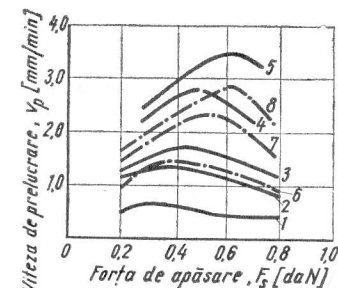


Fig. 13.67. Variația vitezei de prelucrare în funcție de forța de apăsare, pentru diverse amplitudini și diametre ale corpului ajutător (cu linie plină pentru diametre de  $0,2 \text{ mm}$  iar cu linie punct pentru  $0,4 \text{ mm}$ ):

1 pentru  $A = 21,5 \text{ }\mu\text{m}$ ; 2 pentru  $A = 29 \text{ }\mu\text{m}$ ; 3 pentru  $A = 33 \text{ }\mu\text{m}$ ; 4 pentru  $A = 39 \text{ }\mu\text{m}$ ; 5 pentru  $A = 46 \text{ }\mu\text{m}$ ; 6 pentru  $A = 27,5 \text{ }\mu\text{m}$ ; 7 pentru  $A = 36,5 \text{ }\mu\text{m}$ ; 8 pentru  $A = 42 \text{ }\mu\text{m}$  (materialul prelucrat-sticlă; suspensie-carbură de bor în apă)

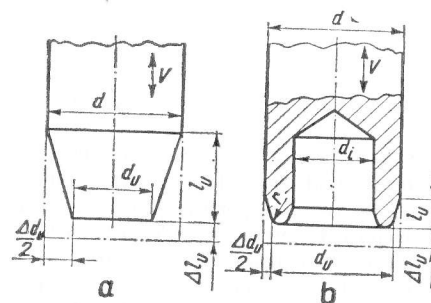


Fig. 13.68. Uzura corpurilor ajutătoare: a — cu secțiune plină; b — cu secțiune inelară

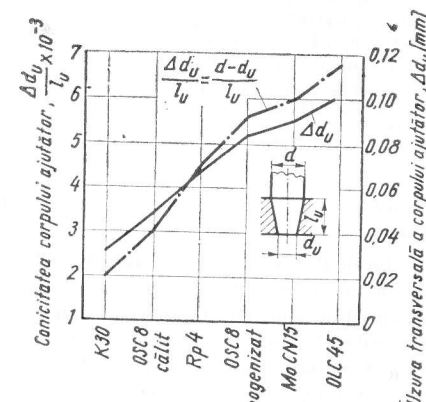


Fig. 13.69. Variația conicității și uzurii transversale a corpului ajutător executat din diferite materiale, la prelucrarea ceramicii dure cu 91 HRA (adâncimea de prelucrare  $h = 15 \text{ mm}$ ; suspensie-carbură de bor în apă)

**Calitatea suprafețelor prelucrate.** Cercetările metalografice și roentgenografice au arătat că suprafețele prelucrate prin eroziune abrazivo-cavitațională în câmp ultrasonic sînt lipsite practic de arsuri, fisuri, modificări structurale și tensiuni remanente, caracteristice altor metode. Rugozitatea suprafețelor prelucrate variază funcție de granulația abrazivului (fig. 13.71), proprietățile fizico-mecanice ale materialului de prelucrat și ale

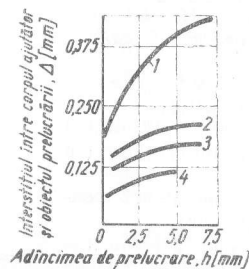
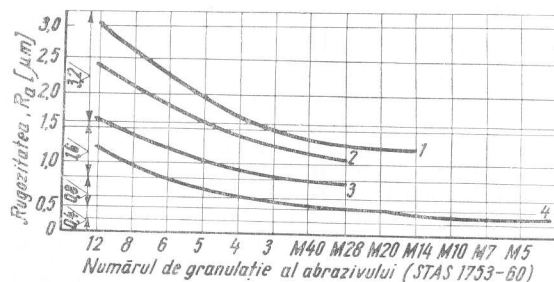


Fig. 13.70. Variația interstițiului dintre corpul ajutător și obiectul de prelucrat, în funcție de adîncimea de prelucrare, pentru diferite granulații ale abrazivului (materialul prelucrat-sticlă, abraziv-carbură de bor, lichid-apă):

1 - granulație nr. 12 STAS 1753-60; 2 - granulație nr. 5; 3 - granulație nr. 4; 4 - granulație M28



1 - sticlă; 2 - materiale semiconductoare și ceramică; 3 - materiale mineraloceramice (TM-332 după GOST); 4 - aliaje dure

lichidului suspensiei, amplitudinea oscilațiilor și rugozitatea suprafețelor corpului ajutător

**Durabilitatea particulelor abrazive.** Particulele abrazive sînt elemente active în spațiul de lucru care determină principalele caracteristici ale metodei: productivitatea, precizia dimensională, rugozitatea suprafețelor prelucrate. Compoziția granulometrică a sorturilor de particule abrazive standardizate cuprind patru fracțiuni (STAS 1753-60): mare, principală, complexă și mărunță cu dimensiuni medii echivalente diferite. Oscilațiile corpului ajutător se transmit cu intensitate ridicată numai particulelor mari (fig. 13.72), care sub acțiunea șocurilor repetate suferă o pronunțată uzură prin fărîmîtare și pierdere a calității așchietoare a muchiilor active (tocire). Fărîmîtarea particulelor abrazive mari în timpul prelucrării face ca forța de șoc  $F_s$  a corpului ajutător să fie distribuită mai multor particule, scăzînd energia cinetică individuală a acestora, fapt care, împreună cu uzura muchiilor active, duce la scăderea productivității (fig. 13.73). Aceasta impune înlocuirea periodică a abrazivului uzat. Drept criteriu de apreciere a durabilității abrazivului, din considerente economice și precizie dimensională, s-a ales timpul de prelu-

Tabelul 13.41  
Principalele caracteristici tehnice ale unor mașini-unelte ultrasonice

Caracteristicile	Tipul mașinii-unelte ultrasonice									
	UZS-1 (U.R.S.S.)	UZS-3M (U.R.S.S.)	UZS-4 (U.R.S.S.)	UZS-5 (U.R.S.S.)	4770 (U.R.S.S.)	Diatron (R.F.G.)	4772 (U.R.S.S.)	MPD (Anglia)	2UPS (U.R.S.S.)	
Puterea blocului ultrasonic, kW	0,5-1,5	2	2-3	1-2	0,25	0,6	1,5	0,5	1,5	
Frecvența oscilațiilor, kHz	20	18-22	18-22	18-22	18-19	22	20-22	20	16,5	
Aria de lucru a mesei, mm <sup>2</sup>	260 × 600	180 × 180	250 × 600	Ø 140	105 × 125	—	250 × 350	190 × 190	200 × 400	
Cursa săniilor	verticală, mm longitudinală, mm transversală, mm	60	135	40	110	270	150	—	150	
		—	300	60	100	—	100	—	300	
		—	200	30	80	—	150	—	150	
Diametrul găurilor prelucrate, mm	—	—	—	50	0,5-10	0,3-50	1-40	0,25-0,51	—	
Adîncimea maximă de prelucrat, mm	—	—	—	—	(2-5) Ø	40	30	—	—	
Unghiul de rotire al capului, grd	—	—	—	60	± 90	—	—	—	—	
Forța de avans, daN	—	—	—	0,2-10	4,5	0,05-2	—	—	0-10	
Gabaritul mașinii, mm	1 125 × 1 405 × 1 100	570 × 390 1 430	1 075 × 1 037 × 1 863	290 × 570 × 435	515 × 420 × 705	700 × 600 × 2 220	560 × 875 × 1 850	1 800 × 1 090 × 788	1 500 × 1 300 × 1 800	
Masa mașinii fără generator, kg	850	—	1 100	100	155	—	1 000	450	400	

crare continuă a particulelor abrazive pînă la scăderea la jumătate a productivității prelucrării.

**Utilaje pentru prelucrarea abrazivo-cavitațională.** Mașinile-unelte ultrasonice au, din punct de vedere constructiv, unele elemente asemănătoare cu mașinile-unelte așchie-

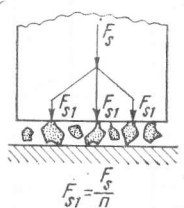


Fig. 13.72. Schema distribuirii forței de șoc a corpului ajutător asupra particulelor abrazive

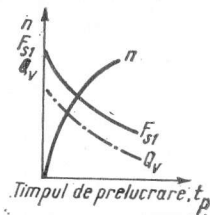


Fig. 13.73. Variația în timp a productivității volumetrice  $Q_v$ , a forței de șoc ce-i revine unei particule abrazive  $F_{s1}$  și a numărului  $n$  de particule lovite simultan de corpul ajutător

toare, și anume: batiu, ghidaje, sisteme de sănii, lanțuri cinematice pentru mișcări ajutătoare. În același timp însă prezintă diferențe specifice metodei, ca: blocul ultrasonic, sisteme de avans, sisteme de circulație a suspensiei abrazive, echipament electric de alimentare și protecție, elemente automate de reglare a presiunii statice etc. De obicei, generatorul de înaltă frecvență constituie o parte independentă, nefiind încorporat în mașina propriu-zisă.

După destinație, mașinile-unelte ultrasonice se clasifică în: universale, speciale și specializate. După poziția mișcării principale (sensul vibrației blocului ultrasonic), mașinile ultrasonice pot fi: verticale, orizontale și chiar înclinate. Mașinile speciale și specializate sînt, în general, de tip agregat, cu mai multe posturi de lucru construite din subansambluri tipizate.

În fig. 13.74 se prezintă schema de principiu a unei mașini ultrasonice universale. În general, mașinile ultrasonice utilizate industrial (tabelul 13.41) lucrează cu frecvențe  $f = 18 \dots 25 \text{ kHz}$  și puteri de  $0,1\text{--}3 \text{ kW}$ .

**Corpuri ajutătoare.** Forma și precizia pieselor prelucrate prin eroziune abrazivo-cavitațională depind, în mare măsură, de geometria, calitatea suprafețelor și materialul corpului ajutător. Dintre operațiile prezentate la generarea suprafețelor, aplicație industrială mai largă au găurirea pătrunsă sau nepătrunsă, retezarea, gravarea și marcarea. Prelucrarea pieselor de precizie se execută în mai multe treceri (2–10). La prelucrarea orificiilor cilindrice sau profilate în secțiune transversală, corpurile ajutătoare se execută din material plin, pentru secțiuni mici și tubulare (inelare), pentru secțiuni mari, cu grosimea minimă a peretelui de  $0,5\text{--}2 \text{ mm}$ .

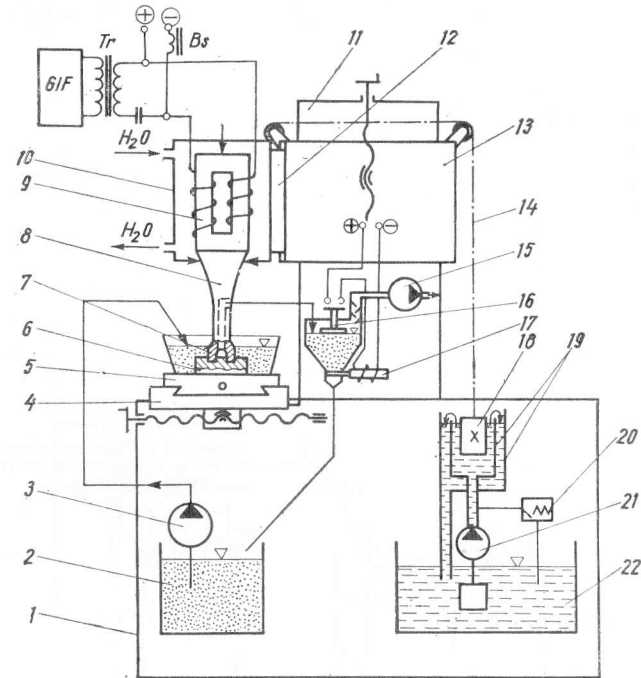


Fig. 13.74. Schema de principiu a unei mașini-unelte ultrasonice cu sistem de aspirație a suspensiei abrazive:

1 - batiu; 2 - rezervor cu suspensie abrazivă; 3 - pompă cu debit constant; 4 - sanie transversală; 5 - sanie longitudinală; 6 - obiectul de prelucrat; 7 - corp ajutător; 8 - transformator ultrasonic; 9 - transductor magnetostrictiv; 10 - carcasa blocului ultrasonic; 11 - montant (coloană); 12 - sania blocului ultrasonic; 13 - sanie verticală; 14 - cablu flexibil; 15 - pompă de vid; 16 - plutitor; 17 - electromagnet; 18 - contragreutate; 19 - cilindrii; 20 - supapă de suprapresiune; 21 - pompă cu debit constant; 22 - rezervor cu ulei

Pentru prelucrarea orificiilor nepătrunse de adîncime mică, corpul ajutător are formă exterioară constantă, iar pentru orificii adînci, prezintă o degajare de  $0,2\text{--}0,5 \text{ mm}$ , pentru a reduce frecările axiale și a micșora conicitatea (fig. 13.75).

La prelucrarea orificiilor pătrunse de precizie ridicată a materialelor ușor prelucrabile prin eroziune abrazivo-cavitațională, se recomandă prelucrarea cu corpuri ajutătoare combinate (fig. 13.76), astfel încît la o singură trecere să se realizeze degroșarea și finisarea, reducînd timpii auxiliari de schimbare a corpurilor ajutătoare. În același timp se asigură o precizie ridicată a coaxialității și un interstițiu constant pe toată periferia.



La prelucrarea orificiilor dreptunghiulare sau rotunde în aliaje dure și oțel călit se recomandă pentru corpul ajutător conicități inverse și fațete de ghidare (fig. 13.77).

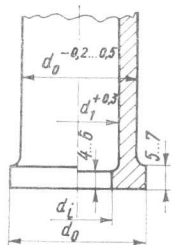


Fig. 13.75. Geometria corpului ajutător pentru orificii nepătrunse adânci

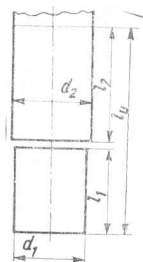


Fig. 13.76. Geometria corpului ajutător combinat pentru prelucrarea de degroșare și finisare a orificiilor pătrunse:

$d_1, l_1$  — diametrul și lungimea părții de degroșare;  $d_2, l_2$  — diametrul și lungimea părții de finisare

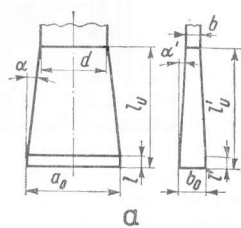


Fig. 13.77. Geometria corpului ajutător pentru prelucrarea aliajelor dure și oțelurilor călite:

a — pentru orificii dreptunghiulare; b — pentru orificii cilindrice

Dimensiunile părții active a corpului ajutător se calculează cu următoarele relații:

— pentru degroșare  
respectiv

$$d_0 = D_N - (0,4 \dots 0,6) \text{ [mm];}$$

$$a_0 = A_N - (0,4 \dots 0,6) \text{ [mm];} \quad (13.19)$$

$$b_0 = B_N - (0,4 \dots 0,6) \text{ [mm];}$$

— pentru finisare

$$d_0 = D_N + T - 2d_a \text{ [mm];} \quad (13.20)$$

$$a_0 = A_N + T - 2d_a \text{ [mm];}$$

$$b_0 = B_N + T - 2d_a \text{ [mm],}$$

Tabelul 13.42  
Numărul de reconstrucții a corpurilor ajutătoare din OSC 8 la prelucrarea aliajelor dure în funcție de adâncimea și precizia prelucrării (suspensie de carbură de bor în apă)

Adâncimea de prelucrare, mm	1	2	5	8	10
Precizia de prelucrare, mm	0,02	0,05	0,1	0,2	0,5
Numărul de reconstrucții sau de înlocuiri ale corpului ajutător uzat	4	6	7	8	10

în care:  $d_0, a_0$  și  $b_0$  sunt dimensiunile active ale corpului ajutător, mm;  $D_N, A_N$  și  $B_N$  — dimensiunile nominale indicate pe desenul de execuție al piesei, mm;  $T$  este cimpul de toleranță al piesei, mm;  $d_a$  — diametrul mediu echivalent al particulelor abrazive, mm. Pentru lățimea fațetei se recomandă  $l = 0,5 \dots 2$  mm, iar pentru unghiurile de înclinare la degroșare se recomandă  $\alpha = 1,5 \dots 2,5^\circ$ , iar la finisare,  $\alpha = 0,1 \dots 0,3^\circ$ . Numărul de reconstrucții ale corpului ajutător se alege funcție de adâncimea prelucrării și precizia piesei (tabelul 13.42). Fixarea corpurilor ajutătoare de transforma-

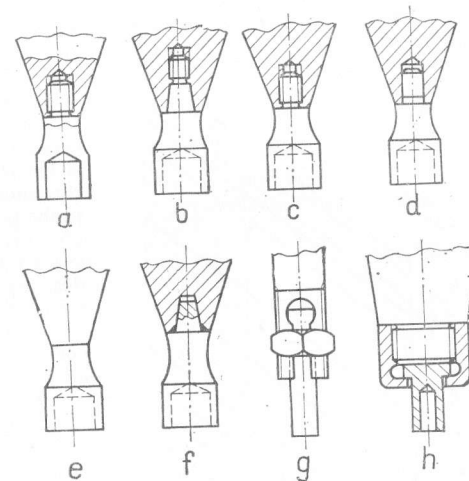


Fig. 13.78. Variante de fixare a corpului ajutător de transformatorul ultrasonic:

a — cu filet; b — cu filet și centrare prin asamblare conică; c — cu filet și lipire; d — lipire și centrare prin asamblare cilindrică; e — lipire; f — asamblare conică și lipire; g — strângere elastică; h — fixare cu piuliță olandetă

torul ultrasonic se face obișnuit fie prin lipire îngrijită, fără goluri, cu alamă sau aliaje de argint, fie prin înșurubare, fie combinat (fig. 13.78). Materiale pentru corpuri ajutătoare: OSC 8, OSC 9 (STAS 1700-64), OLC 35, ... 55 (STAS 880-66); Rp 3, Rp 4 (STAS 7382-66), 10 TNC 180 (STAS 3583-64); 31 CMS 10 (STAS 791-66).

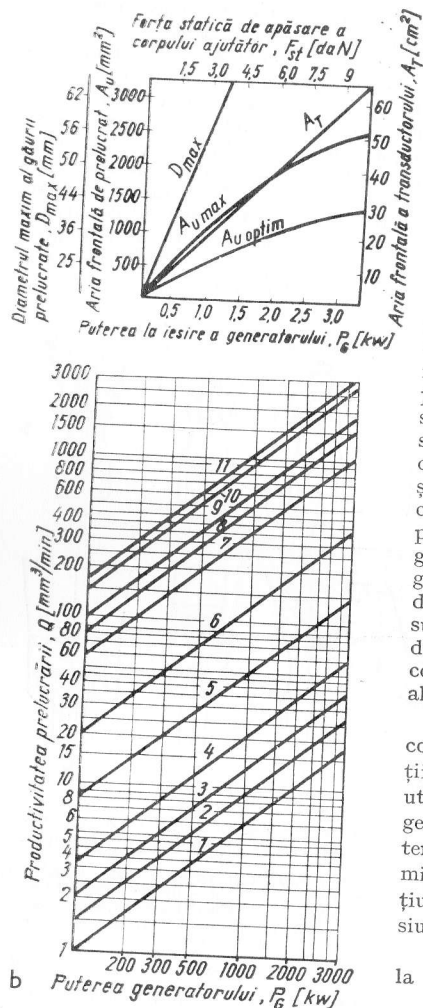


Fig. 13.79. Nomograme pentru alegerea regimului de lucru la prelucrarea abrazivocavitatională:

a — nomogramă pentru alegerea parametrilor regimului de prelucrare funcție de puterea la ieșire a generatorului, pentru diferite materiale prelucrate: 1 — suspensie de carbură de bor; 2 — oțel rapid; 3 — dur-fărită, germaniu, siliciu; 4 — aliaje dure; 5 — safir; 6 — mineraloceramice; 7 — agat; 8 — cuarț; 9 — ceramică; 10 — ferită; 11 — sticlă. Condiții de lucru: amplitudinea oscilațiilor  $A = 50 \mu\text{m}$ ; frecvența oscilațiilor  $f = 20 \text{ kHz}$ ; suspensie de carbură de bor cu granulație 12 în apă cu concentrația volumetrică 50%

### 13.7.4. PROCESUL TEHNOLOGIC DE PRELUCRARE

Posibilitățile tehnologice de aplicare a metodei nu sînt studiate suficient. În prezent se cunosc următoarele domenii de aplicabilitate: prelucrarea filierelor, matrițelor și poansonelor cu configurație complexă și dimensiuni mici, din aliaje dure și de oțeluri tratate termic; prelucrarea pieselor din materiale semiconductoare (germaniu, siliciu); fabricarea pieselor din sticlă, cuarț, ceramică specială, utilizate în optică și construcția de aparate; prelucrarea pieselor din ferite și materiale metaloceramice utilizate în radiotehnică; prelucrarea mineralelor prețioase naturale și sintetice; realizarea orificiilor nepătrunse de precizie, cu dimensiuni mici de profil simplu sau complex în piese de oțel cementat sau nitrurat; rectificarea sticlei, cuarțului și ceramicii; executarea orificiilor cu axă curbă și formă complexă în piese din sticlă mineralocerică și metalocerică; executarea unor probe pentru studiul proprietăților materialelor greu prelucrabile prin metode obișnuite. La alegerea tehnologiei de prelucrare se au în vedere și dezavantajele metodei: nu permite prelucrarea suprafețelor și adîncimilor mari; consum mare de energie; productivitate mică și uzură mare a corpului ajutător la prelucrarea pieselor din aliaje dure și oțel călit.

Elaborarea unui proces tehnologic rațional constă în alegerea succesiunii logice a operațiilor de prelucrare, regimului optim de lucru, utilajului și dispozitivelor ajutătoare. La alegerea regimului de lucru se ține seama de interdependența factorilor specifici metodei: viteza mișcării principale, puterea generatorului, secțiunea de prelucrat, granulația abrazivului, presiunea statică (fig. 13.79).

Reducerea timpului de bază și auxiliar la găurire se realizează prelucrînd piese în

pachet și, în general, utilizînd scule combinate. La găuri pătrunse, la intrarea și ieșirea corpului ajutător se produc rotunjiri (ciobituri) a orificiilor pieselor extreme. Aceste abateri se elimină fie prin utilizarea unor adaosuri cu grosimea de 1–3 mm înleiate pe pachetul de piese, fie prin prelucrarea bilaterală cu 1 sau 2 blocuri ultrasonice coaxiale (fig. 13.80). La retezarea lamelelor de 0,15–5 mm din sticlă, cuarț (plăcuțe rezonatoare) materiale semiconductoare etc. se utilizează corpuri ajutătoare combinate formate din 20–50 benzi de oțel tratat termic ( $HRC = 42 \dots 46$ ), cu grosimea de 0,3–0,5 mm,

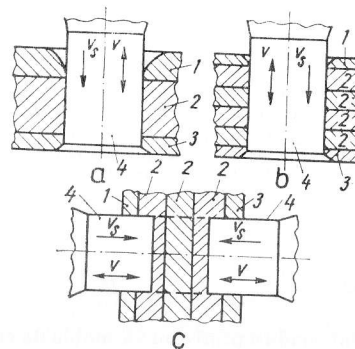


Fig. 13.80. Soluții tehnologice de reducere a rotunjirii marginilor orificiilor prelucrate la intrarea și ieșirea corpului ajutător:

a și b — prelucrare unilaterală; c — prelucrare bilaterală; 1 și 3 — plăci de adaos; 2 — obiectele de prelucrat; 4 — corp ajutător;  $v$  — viteza mișcării principale;  $v_s$  — viteza mișcării ajutătoare

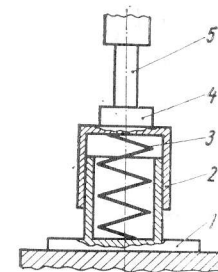


Fig. 13.81. Dispozitiv cu arc pentru realizarea presiunii statice între corpul ajutător și obiectul de prelucrat, la executarea orificiilor de diametru mic:

1 — placă de bază cu cilindru de ghidare; 2 — cilindru glisant; 3 — arc; 4 — obiectul de prelucrat; 5 — corp ajutător

care acționează simultan. Obținerea orificiilor cu diametru foarte mic,  $\varnothing = 0,06 \dots 0,3 \text{ mm}$ , constituie o problemă tehnologică dificilă, din cauza rigidității reduse a corpului ajutător la aplicarea presiunii statice, indispensabile procesului de eroziune. Prelucrarea se realizează pe mașini ultrasonice de precizie ridicată, cu mecanisme de avans foarte sensibile, utilizînd dispozitive speciale cu arc (fig. 13.81).

### 13.8. PRELUCRAREA PRIN EROZIUNE CU RADIATII

Radiațiile corpusculare sau cele electromagnetice la densități mari de energie, concentrate într-o pată focală asupra unui obiect, pot genera la locul de interacțiune surse termice de temperaturi înalte, care sînt capabile să prelucreze prin eroziune orice material utilizat în tehnică.

Dintre procedeele de prelucrare cu radiații mai răspîndite în practica industrială sînt cele care utilizează fasciculele de electroni și fasciculele de fotoni.

## 13.8.1. PRELUCRAREA CU FASCICUL DE ELECTRONI

**13.8.1.1. FENOMENE FIZICE DE BAZĂ LA PRELUCRAREA CU FASCICUL DE ELECTRONI.** Fasciculul de electroni folosit la prelucrarea materialelor este un curent de electroni cu densitate și energie cinetică mari, accelerați, focalizați și comandați într-un spațiu cu grad înaintat de vidare. Principial (fig. 13.82), electronii produși prin

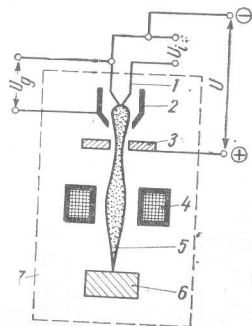


Fig. 13.82. Schema de principiu a prelucrării cu fascicul de electroni:

1 — termocatotod; 2 — electrod de comandă; 3 — anod; 4 — sistem de focalizare; 5 — fascicul de electroni; 6 — obiectul de prelucrat; 7 — camera vidată;  $U_g$  — tensiune de comandă;  $U_t$  — tensiune de încălzire a catodului

emisiune termoelectronică de către catodul 1 sînt conduși printr-un ansamblu de electrozi, 2 și 3, astfel încît să străbată o diferență mare de potențial  $U$  și să preia de la câmpul electric o energie cinetică conform relației

$$n \cdot e \cdot U = n \frac{mv^2}{2} \quad [J], \quad (13.21)$$

în care:  $n$  este numărul electronilor;

$e$  — sarcina electrică a unui electron, Cb;

$m$  — masa electronului, kg;

$v$  — viteza electronilor, m/s.

Fasciculul dirijat de electrodul de comandă trece prin orificiul anodului și apoi este focalizat prin lentilele electrono-optice, pe obiectul prelucrării, în pete focale de diametre foarte mici (microni sau zeci de microni). Electronii accelerați, pătrunzînd în corpul solid, interacționează cu substanța acestuia. Energia lor cinetică este absorbită pe măsură ce, prin interacțiuni repetate, viteza de intrare scade ca mărime și își modifică direcția. Unghiul devierii probabile a electronilor crește pe măsura micșorării vitezei, astfel că mărimea pierderilor de energie cinetică (transformată aproape integral în căldură) are un maximum la așa-numita *adîncime de pătrundere*, unde materialul se încălzește la temperatura cea mai ridicată. Adîncimea de pătrundere

$$x_p = 2,2 \cdot 10^{-12} \frac{U^2}{\rho} \quad [cm], \quad (13.22)$$

unde:  $U$  este tensiunea de accelerare, V;  
 $\rho$  — densitatea materialului, g/cm<sup>3</sup>.

Rezultă că, la prelucrarea cu fascicul de electroni, sursa de căldură principală este volumetrică. Materialul se încălzește pînă la vaporizare sub o zonă superficială de grosime  $\delta_s$  (fig. 13.83), care poate fi considerată transparentă la electroni. Presiunea vaporilor expulzează materialul din zona de grosime  $\delta_s$  și o parte din materialul ajuns în stare de fuziune. Se formează astfel un crater de eroziune. Formarea craterului este condiționată de localizarea încălzirii în zona sursei pînă la 6 000°C, în timp ce la o distanță de

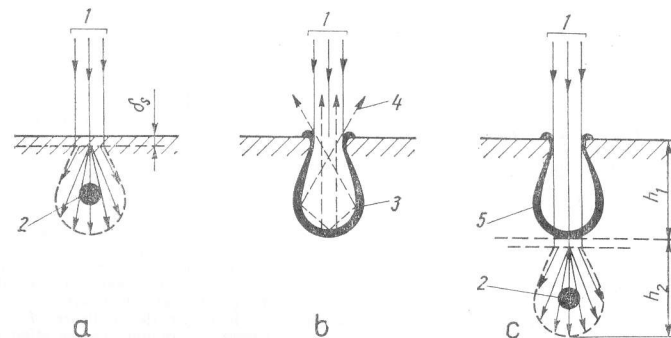


Fig. 13.83. Schema de principiu a procesului de eroziune cu fasciculul de electroni:

a — formarea sursei termice; b — formarea craterului de eroziune; c — repetarea impulsului; 1 — fascicul de electroni; 2 — sursă termică; 3 — fază lichidă; 4 — jet de vapori; 5 — zonă solidificată;  $h_1$ ,  $h_2$  — adîncimi prelucrate

numai 1  $\mu$ m temperatura nu depășește 300—400°C. Gradientul ridicat al temperaturii se realizează prin conectarea periodică a fasciculului de electroni în impulsuri cu o durată mică ( $10^{-6}$ — $10^{-4}$  s) și frecvență ridicată ( $10^2$ — $10^4$  Hz). Impulsurile următoare creează alte cratere de eroziune pînă la străpungerea completă a obiectului de prelucrat.

La puteri mici ale fasciculului, procesul de încălzire poate fi dirijat, pentru a se obține numai faza lichidă, permițînd dirijarea unor operații de prelucrare fără îndepărtare de material (sudare).

**13.8.1.2. INSTALAȚII PENTRU PRELUCRAREA DIMENSIONALĂ CU FASCICUL DE ELECTRONI.** O instalație de prelucrare cu fascicul de electroni, indiferent de tipul constructiv (un exemplu se prezintă în fig. 13.84), este formată dintr-un sistem electrono-optic (proiectorul de electroni și sistemul de focalizare), surse de alimentare cu energie electrică, sistem de vidare și dispozitive auxiliare.

Proiectorul de electroni este format din termocatotodul 1 și anodul 3, prevăzut cu orificiu de extracție a electronilor. Forma specială a acestor electrozi permite, atunci cînd sînt puși sub tensiune, realizarea în spațiul dintre ei a unei distribuții de potențial, care acționează ca o lentilă electrostatică, asigurînd trecerea electronilor prin orificiul anodului. Uneori proiectoarele au și un electrod intermediar (de comandă), 2, sub formă de diafragmă, cilindru sau combinații de cilindri și diafragme. Prin variația negativării electrodului intermediar, se determină focalizarea fasciculului în orificiul anodului, se comandă întreruperea periodică și mărimea curentului în impulsuri, durata și frecvența acestora. Termocatozii sînt încălziți direct, prin efect Joule-Lenz, sau indirect, prin conducție sau radiație; pot fi construiți din metale pure (W, Ta, Mo, Nb), cu peliculă

emisivă (W cu peliculă de toriu), cu oxizi (de Ba sau Sr depuși pe un suport de nichel) sau complecși. Anodul se execută din molibden sau aliaje kovar-inox, kovar-tantal.

Sistemul de focalizare este constituit din una sau mai multe lentile electromagnetice. Fasciculul de electroni accelerați în tunel electronic este concentrat la ieșire de către lentila de focalizare 4 scurtă. Secțiunea minimă a fasciculului este aproape de centrul lentilei (distanța focală  $f_c = 2 \dots 3$  mm) și este dificil de folosit în scopuri tehnologice.

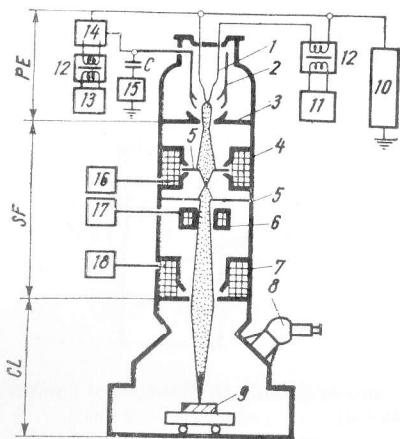


Fig. 13.84. Sistemul electrono-optic și schema bloc de alimentare electrică a unei instalații cu fascicul de electroni:

PE — proiector de electroni; SF — sistem de focalizare; CL — cameră de lucru; 1 — catod; 2 — electrod de comandă; 3 — anod; 4 — lentilă de focalizare scurtă; 5 — diafragmă; 6 — stigmat; 7 — lentilă de focalizare lungă; 8 — microscop; 9 — obiectul de prelucrat; 10 — sursă de înaltă tensiune; 11 — sursă de încălzire a catodului; 12 — transformatoare; 13 — sursă de negativare a electrodului de comandă; 14 — redresor; 15 — modulator cu condensator de cuplare; 16 și 18 — stabilizatoare de curent pentru alimentarea lentilelor de focalizare; 17 — stabilizator de curent pentru alimentarea stigmatului

De aceea, mai jos este plasată o altă lentilă, 7, de focalizare lungă ( $f_c = 30 \dots 180$  mm), care permite prelucrarea unor piese de dimensiuni relativ mari. Focalizarea este îmbunătățită prin introducerea unor diafragme, 5, care rețin electronii laterali, și a unei bobine de corecție (stigmatul 6), care asigură forma de cerc corect a secțiunii transversale a fasciculului, rectificând abaterile formei datorate imperfecțiunilor constructive ale lentilelor.

Alimentarea cu energie electrică a diferitelor elemente ale instalației se face de la surse separate. Particularitatea de bază a acestor surse constă în necesitatea menținerii unei stabilități înalte a tensiunii și curentului pentru a limita aberațiile lentilelor magnetice și diametrul petei de focalizare. În tot timpul prelucrării, toate tensiunile trebuie menținute cu o precizie de 0,01%. Sursa de înaltă tensiune continuă ( $U = 25 \dots 200$  kV) este, de obicei, legată cu polul pozitiv la pământ, ceea ce impune izolarea electrică de restul instalației a catodului și a electrodului de comandă, precum și a surselor de alimentare ale acestora.

Sistemul de vidare, pentru o funcționare normală a instalațiilor trebuie să asigure presiuni mai mici de  $1,4 \cdot 10^{-8}$  N/m<sup>2</sup>, la care lungimea totală a traiectoriei electronilor în camera de vid este mai mică decât parcursul liber mijlociu al moleculelor din gazul rezidual. Se evită astfel apariția produselor de ionizare, care ar provoca dispersia fasciculului și străpungeri laterale.

Instalația de pompare se compune dintr-un sistem de pompe în trepte: pompe de vid preliminar (de obicei pompe mecanice cu paletă), care asigură funcționarea pompelor de vid înainte (de difuzie cu ulei sau mercur).

Dispozitivele auxiliare cele mai importante sînt cele care asigură deplasarea relativă între fasciculul de electroni și obiectul de prelucrat. Deplasări mici (pînă la 4–6 mm)

se pot realiza prin completarea sistemului electrono-optic cu o bobină de deflecție, care deviază fasciculul, plimbînd pata focală pe obiectul de prelucrat (fig. 13.85).

Pentru deplasări mai mari se folosesc mese în coordonate și rotative, acționate de motoare electrice. La producția de serie sînt adaptate uneori dispozitive mai complicate

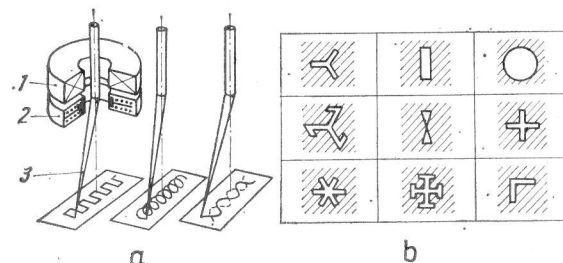


Fig. 13.85. Deplasarea fasciculului de electroni prin deflecție: a — scheme de deplasare; b — exemple de orificii (fante) prelucrate prin deflecția fasciculului; 1 — bobină de focalizare; 2 — stigmat; 3 — fascicul de electron

pentru manevrarea semifabricatelor. De exemplu, se montează ecluze de presiune la camera de lucru prin care trec transbordoare, evitîndu-se devidarea la schimbarea piesei. Operațiile efectuate sînt conduse după program.

13.8.1.3. OPERAȚII DE PRELUCRARE CU FASCICUL DE ELECTRONI. Prelucrarea dimensională cu fascicul de electroni, realizată printr-un proces de vaporizare în vacuum, este posibilă numai în cazul în care cantitatea de căldură folosită pentru încălzirea, topirea și vaporizarea materialului este mai mare decât căldura pierdută prin conducție și radiație.

Condiția de vaporizare impune pentru fiecare material o valoare minimă a puterii specifice în focarul fasciculului de electroni (exemple se dau în tabelul 13.43).

Tabelul 13.43

Puteri specifice minime necesare pentru prelucrarea dimensională cu fascicul de electroni

Materialul de prelucrat	Temperatura de topire, °C	Conductivitatea termică, J/cm·g·s	Puterea specifică minimă pentru prelucrarea dimensională cu fascicul de electroni, 10 <sup>6</sup> W/cm <sup>2</sup>
Titan	1800	0,146	38–5
Nichel	1452	0,890	8–9
Fier	1535	0,728	8,5–10
Aluminiu	658	0,896	15–30
Tantal	2900	0,544	15–18
Platină	1770	0,698	17–19
Molibden	2636	1,465	27–30
Cupru	1083	3,850	29–31
Wolfram	3380	1 970	28–31

Tabelul 13.44

## Regimuri tehnologice la prelucrarea microorificiilor cu fascicul de electroni

Materialul prelucrat	Temperatura de topire, [°C]	Conductivitatea termică, [J/cm·g·s]	Densitatea, [g/cm³]	Grosimea materialului, [μm]	Diametrul găurii, [μm]
Wolfram	3380	1,99000	19,22	30	8
				30	15
Molibden	2620	1,45000	10,40	30	10
Fier	1535	0,67500	7,86	100	24
Argint	960	4,18500	10,50	20	1
Aluminiu	660	2,09000	2,70	30	10
Titan	1725	0,15100	4,54	30	7
Cupru	1083	3,81000	8,92	30	15
Constantan	1190	0,22600	8,90	20	2
				100	6
Alamă	—	—	8,50	300	8
Cuarț	1756	0,013800	2,20	4 000	18
Steatit	1450	0,00252	2,50	300	5
Ferită	—	—	4,65	2 000	10
Sticlă	—	0,00544	2,23	1 000	15

Tensiunea de accelerare, [kV]	Intensitatea curentului, [A]	Puterea specifică, [W/cm²]	Viteza de vaporizare, [g/s]	Timpul de prelucrare, [s]
100	$8 \cdot 10^{-4}$	$1,6 \cdot 10^8$	$2,9 \cdot 10^{-10}$	100
100	$10^{-3}$	$5,6 \cdot 10^7$	$8,47 \cdot 10^{-10}$	120
100	$8 \cdot 10^{-4}$	$10^8$	$7,8 \cdot 10^{-10}$	30
100	$6 \cdot 10^{-4}$	$1,33 \cdot 10^6$	$5,9 \cdot 10^{-8}$	6
100	$10^{-5}$	$1,3 \cdot 10^8$	$5,43 \cdot 10^{-11}$	3
80	$3 \cdot 10^{-5}$	$3 \cdot 10^4$	$6,47 \cdot 10^{-9}$	1
80	$2 \cdot 10^{-5}$	$4,1 \cdot 10^6$	$1,02 \cdot 10^{-7}$	0,5
100	$10^{-3}$	$5,6 \cdot 10^7$	$9,44 \cdot 10^{-9}$	5
80	$10^{-5}$	$2,54 \cdot 10^7$	$1,12 \cdot 10^{-10}$	0,5
100	$10^{-5}$	$3,5 \cdot 10^6$	$5,04 \cdot 10^{-9}$	5
100	$3,5 \cdot 10^{-4}$	$6,9 \cdot 10^7$	$2,44 \cdot 10^{-9}$	5
100	$5 \cdot 10^{-4}$	$1,96 \cdot 10^7$	$1,25 \cdot 10^{-7}$	180
100	$3,2 \cdot 10^{-4}$	$1,63 \cdot 10^8$	$4,6 \cdot 10^{-8}$	3
100	$4 \cdot 10^{-4}$	$5 \cdot 10^7$	$3,65 \cdot 10^{-7}$	2
100	$6 \cdot 10^{-4}$	$3,4 \cdot 10^7$	$1,84 \cdot 10^{-7}$	24



Pentru optimizarea procesului de prelucrare a unui material dat trebuie să se țină seama de interdependența dintre mărimile caracteristice ale fascicului: tensiunea de accelerare  $U$  și parametri impulsurilor (curentul  $I_i$ , durata  $t_i$ , frecvența  $f_i$ , sarcina impulsului  $q_i = I_i t_i$  și raportul  $t_p/t_i$  dintre timpul de pauză și durata impulsului).

Se urmărește corelarea acestor parametri astfel încât numărul de impulsuri  $n_i$  necesare pentru perforarea materialului de grosime  $\delta$  să fie cât mai mic. Întrucât nu s-au putut elabora expresii analitice pentru funcțiile complicate de interdependență între parametrii, acestea se determină experimental pentru fiecare material în parte.

Prelucrarea cu fascicul de electroni este limitată de necesitatea vidării spațiului de lucru și utilizării înaltei tensiuni. Este totuși economică și foarte eficientă la executarea unor piese de dimensiuni mici, din materiale greu prelucrabile, la obținerea unor orificii de diametru mic și a fantelor înguste, la tăierea rectilinie sau curbilinie a peliculelor și plăcuțelor de grosime mică.

Găurirea cu fascicul de electroni este economică la executarea unor orificii singulare sau a sistemelor de orificii (site, rețele) cu diametre sub 0,1 mm în corund sintetic (lagăre și filiere), în aliaje dure (filiere), în materiale refractare, sticlă, ceramică (filiere pentru fibre sintetice), în materiale plastice (filtre fine — 70 000 de orificii cu diametrul de 2  $\mu$ m pe un centimetru pătrat de folie).

Orientativ, în tabelul 13.44 se prezintă regimurile tehnologice la prelucrarea micro-orificiilor cu fascicul de electroni în diverse materiale. La orificii foarte mici se constată o lipsă de stabilitate a dimensiunilor. Cele mai stabile rezultate s-au obținut la orificii de diametre între 25—50  $\mu$ m. Productivitatea instalațiilor poate fi foarte mare (aproximativ 3 000 orificii pe oră) și este limitată de deplasarea semifabricatului. Pentru deplasarea în trepte cu ajutorul unui dispozitiv automat se consumă aproximativ 0,8 s/orificiu, adică mult mai mult decât pentru găurirea propriu-zisă.

O problemă deosebită o ridică prelucrarea materialelor electroizolante, la care trebuie luate măsuri speciale pentru înlăturarea electrizării, ce poate constitui zone de sarcini spațiale ce perturbă procesul de prelucrare. Suprafața obiectelor de prelucrat se acoperă cu straturi fine conductoare, iar zona prelucrată se bombardează suplimentar cu electroni de energie mică care provoacă o puternică emisie secundară.

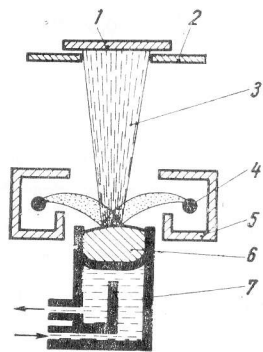


Fig. 13.86. Schema de principiu a depunerii de acoperire cu fascicul de electroni:

1 — suport pentru depunere; 2 — mască-șablon; 3 — vapori de metal; 4 — termocatot; 5 — electrod de comandă; 6 — material de depus; 7 — creuzet răcit cu apă

Prin operații de tăiere după contur și prelucrare de canale cu fascicul de electroni se execută multe piese și dispozitive auxiliare în tehnica electronică miniaturală (elemente semiconductoare, rezistențe de precizie, măști pentru metalizarea microschemelor etc.).

Fasciculul de electroni poate fi folosit și la realizarea unor depuneri de acoperire. Instalațiile utilizate pentru depuneri au sistemul electrono-optic simplificat, în general lipsind bobinele de focalizare. Într-o astfel de instalație (fig. 13.86), metalul de depus, plasat într-un creuzet constituie anodul iar fasciculul de electroni emiși de termocatot este deviat și focalizat electrostatic de către electrodul de comandă. Vaporii rezultați din eroziunea anodului se condensează în vid pe obiectul suport, dând acoperiri foarte fine (filme metalice). Zonele de acoperit sînt delimitate prin ecrane șablon (măști), executate din tantal sau molibden. Pe lângă acoperiri de protecție și izolație, pe această cale se pot realiza scheme electrice integrate de mare precizie.

### 13.8.2. PRELUCRAREA CU FASCICUL DE FOTONI

13.8.2.1. PRINCIPIUL GENERĂRII FASCICULULUI DE FOTONI. Fasciculele de fotoni se realizează în generatoare cuantice de radiații, numite în literatura de specialitate lasere.

Principiul general de funcționare a acestor generatoare se bazează pe absorbția de energie de către un mediu activ și emiterea acesteia sub formă de radiație stimulată. Dacă se consideră un ansamblu  $N$  de sisteme atomice (molecule, atomi sau ioni) care alcătuiesc o substanță, acestea vor popula — în funcție de energia proprie momentană — nivele energetice cuantificate, astfel încît pe nivelele posibile 1, 2, 3...  $n$  se vor găsi  $N_1, N_2, N_3 \dots N_n$  sisteme ( $N = N_1 + N_2 + N_3 + \dots + N_n$ ). În stare de echilibru termodinamic, raportul numerelor  $N_1, N_2, N_3 \dots N_n$  (raportul populațiilor) este determinat de legea

$$N_i = N_1 e^{\frac{E_i - E_1}{-k\theta}} \quad (13.23)$$

în care:  $i = 1 \dots n$ ,  $k$  este constanta lui Boltzman;  $\theta$  — temperatura absolută;  $E_i - E_1$  este diferența dintre energia nivelului  $i$  și nivelului fundamental 1. Această relație arată că în echilibru natural  $N_1 < N_2 < N_3 < \dots < N_n$  la  $E_1 < E_2 < E_3 < \dots < E_n$ . Starea de echilibru se realizează în interiorul ansamblului cu energie internă constantă, la o anumită temperatură  $\theta$ , în condițiile existenței schimbului de energie între sistemele atomice diferite precum și între acestea și întreg ansamblu conform tranzițiilor posibile reciproce între nivelele energetice ale sistemelor atomice (excitări, dezexcitări).

Dezexcitarea unui sistem se poate face neradiativ, cînd energia eliberată este preluată de ansamblul sistemelor (de exemplu, rețeaua cristalină) sau radiativ (spontan sau stimulat), cînd energia se emite sub forma unei cuante electromagnetice de frecvență  $f$  dată de relația

$$hf = \Delta E \quad (13.24)$$

în care  $h$  este constanta lui Planck iar  $\Delta E$  — diferența de energie între nivelele de tranziție.

Undele electromagnetice pot interacționa cu un sistem atomic în două moduri, cu efecte diferite: prin absorbție de radiație, cînd se produce excitarea sistemului; prin emisie stimulată de radiație, cînd se produce dezexcitarea unui sistem excitat, prin interacțiunea acestuia cu o cantă de energie incidentă de aceeași frecvență cu cea a cuantelor de dezexcitare.

Dacă sînt create condiții speciale, este posibilă amplificarea radiației stimulate, cei doi fotoni rezultați printr-o emisie (între nivelul  $i$  și nivelul 1 de exemplu) putînd stimula încă două sisteme atomice de pe nivelul  $i$ , rezultînd 4 fotoni stimulatori, apoi 8 etc., prin multiplicare în serie geometrică (fig. 13.87).

Prima condiție necesară este realizarea unei inversiuni de populație între cele două nivele implicate în proces:  $N_i < N_j$ , respectiv crearea, pentru un anumit timp, a unui echilibru forțat. În funcție de natura materialului care constituie mediul activ și determină tipul de laser inversiunea de populație se poate face prin mai multe metode (tabelul 13.45). Fiecare metodă de inversiune are mecanismul său fizic specific.

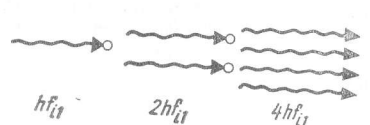


Fig. 13.87. Schema de principiu a amplificării radiației stimulate

A doua condiție pentru obținerea efectului laser este așa-numita condiție de autooscilație, determinată de cerința ca puterea radiației obținută prin amplificare să depășească puterea radiației pierdută în mediu, ceea ce presupune în primul rând ca surplusul de populație pe nivelul energetic superior  $\Delta N = N_i - N_j$  să depășească o anumită valoare, care corespunde unui prag al puterii radiației de pompaj peste care laserul poate funcționa în regim de generator.

Stimularea se face în acest caz de către fotonii de aceeași lungime de undă emiși spontan în interiorul mediului activ. În al doilea rând, pentru dezexcitarea din fază și pe o anumită direcție a unui număr cât mai mare de sisteme atomice excitate, mediul activ trebuie plasat într-un dispozitiv optic cu reflexii multiple — cameră de rezonanță. În cea mai simplă cameră de rezonanță (fig. 13.88), amplificarea radiației stimulate și selectarea fotonilor codirecționali cu axa laserului este realizată prin plasarea unei oglinzi opace într-o parte a mediului activ și a uneia semitransparente, paralelă cu prima în partea opusă. Radiația amplificată iese parțial prin suprafața semitransparentă formind fasciculul laser coerent, monocrom, direcțional și foarte intens. Datorită

Tabelul 13.45

Metode de realizare a inversiunii de populație

Tipul de laser	Metoda de inversiune	Sursa de excitație
Cu mediu activ solid	Prin iradiere optică	Lămpi cu descărcări în gaze Energie solară
Cu semiconductori	Prin injecție de electroni în găuri Prin iradiere electronică Prin iradiere optică	Surse de curent electric Tunuri electronice speciale Lasere de diferite tipuri
Cu mediu activ gazos	Prin ciocniri neelastice	Generatoare de radiofrecvență Descărcări electrice în mediul activ Tunuri electronice speciale
	Prin iradiere optică	Lămpi cu descărcări în gaze
Chimici	Disocieri chimice	Mediu chimic activ

tempului scurt în care se produce emisiunea stimulată și amplificarea (aproximativ  $10^{-6}$  s) și a posibilității de focalizare optică fasciculul poate fi concentrat pe suprafețe mici, la densități de putere ce pot ajunge la  $10^{10}$  W/cm<sup>2</sup>.

13.8.2.2. INSTALAȚII PENTRU PRELUCRARE CU FASCICUL DE FOTONI. Principal, orice instalație laser are elemente funcționale descrise în continuare.

Sistemul de excitație este format din sursa de alimentare cu energie electrică și sursa de excitație.

Sursele de alimentare pot fi de mai multe tipuri. Cele mai des utilizate sînt, în principiu, de trei categorii:

- cu acumulare de energie în condensatori de capacitate mare aproximativ 1 000  $\mu$ F), la o tensiune înaltă (de ordinul 10 kV), pentru laseri solizi care funcționează în impuls;

- cu redresori pentru intensități mari de curent (puteri de zeci de kilowați), pentru laseri solizi cu funcționare continuă;

- cu generatoare de înaltă tensiune continuă sau alternativă de înaltă frecvență (20–30 MHz), pentru laseri cu gaz funcționînd în regim continuu sau pulsant.

Dintre sursele de excitație cele mai răspîndite sînt cele de iradiere optică (de obicei, lămpi cu descărcări în gaze). Acestea se caracterizează printr-un randament foarte scăzut. Din toată energia dezvoltată, pentru realizarea pompatului este absorbită o cantitate foarte mică (0,01–2%), restul consumîndu-se pentru încălzirea puternică a mediului activ. De aceea, cele mai multe surse lucrează în impulsuri de scurtă durată și sînt plătate în carcase reflectante, într-o astfel de geometrie, încît să concentreze o cantitate cât mai mare de lumină asupra mediului activ.

Cavitatea de rezonanță cu mediul activ, în afară de rezonatorii cu oglinzi plane paralele, poate fi de mai multe tipuri constructive, (cu două oglinzi sferice cu focar comun și raze de curbă comună, egală cu distanța dintre ele, cu suprafețe prismatice cu reflexie totală etc.).

Drept mediu activ poate fi folosită o gamă foarte largă de materiale solide, semiconductoare și gazoase. Au fost realizați și laseri cu mediu activ lichid.

Sistemul optic de focalizare se bazează pe proprietățile de reflexie și refracție ale fasciculului laser. Aparatura necesară — lentile, prisme, oglinzi sferice — se alege în funcție de lungimea de undă a fasciculului astfel încît pierderile în sistemul de focalizare și aberația cromatică să fie minime. În unele cazuri, lentilele obișnuite nu corespund și pentru focalizare se folosesc lentile de germaniu sau oglinzi cu aur, argint sau aluminiu.

Intensitatea radiației în pata focalizată nu este constantă: este maximă în centrul petei și scade cu creșterea razei acesteia. Convențional, se consideră diametrul petei egal cu dublul distanței de la axa fasciculului pînă la zona unde intensitatea radiației este 1/8 din valoarea maximă.

Cu precizie suficientă se poate calcula diametrul petei

$$d_p = \frac{\lambda f_c}{D}, \quad (13.25)$$

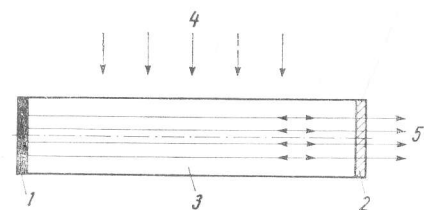


Fig. 13.88. Schema generării fasciculului laser în rezonator cu oglinzi plane paralele: 1 — oglindă cu reflexie totală; 2 — oglindă semitransparentă; 3 — mediu activ; 4 — radiație de pompaj; 5 — fasciculul laser



Îndepărtarea materialului sub formă de vapori presupune pierderi de energie după obținerea fazei lichide pentru încălzirea acesteia și pentru transformarea de fază lichid-vapori. O metodă de îmbunătățire a randamentului găuririi este metalizarea suprafeței opuse intrării fasciculului cu un material care are  $\theta_{vap} < \theta_{top}$  al materialului de prelucrat. În acest caz, cînd faza lichidă a străpuns grosimea materialului, presiunea vaporilor stratului depus expulzează lichidul din orificiu.

Pe scară industrială, în prezent se execută perforări în filiere de diamant, din ceramică, din aliaje dure, în pietre de corund sintetic pentru ceasornice, în diafragmele aparaturilor electronice și optice, în inele de ferită etc.

Prin prelucrarea cu laser a filierelor de diamant cu orificii mici, timpul de lucru se reduce de aproximativ 100 de ori. Filierile ceramice pentru fibre sintetice, cu multiorificii (peste 1 500) au durabilitate de 10–12 ori mai mare decît cele metalice și nu pot fi prelucrate prin nici o altă metodă.

**Tăiere.** Spre deosebire de perforare, la care regimurile pulsante sînt corespunzătoare procesului, la tăiere sînt necesare regimuri continue (obținute cu laseri cu  $CO_2$ ) sau pulsante de înaltă frecvență cu impulsuri parțial suprapuse (obținute cu laseri cu He-Ne).

Viteza de tăiere și grosimea materialului sînt factori cu acțiune contrară în alegerea regimului de prelucrare. Tăierea în condiții economice impune grosimi mici, variabile de la material la material (la oțel aliat pînă la 0,2 mm, la sticlă pînă la 1 mm, la materiale plastice pînă la 25 mm). Pentru mărirea grosimii materialului de tăiat și îndepărtarea produselor erodate cu mai multă ușurință se execută tăierea cu laser și jet de oxigen (fig. 13.92). Gradientul termic mare la marginile focarului permite ca reacțiile ce apar între oxigen și metalul încălzit să aibă loc pe o zonă mai mică decît secțiunea jetului de oxigen, astfel încît lățimea tăieturii nu depășește mai mult de 4/3 din diametrul focarului.

**Prelucrarea canalelor și trasarea reticulelor.** Se pot prelucra canale cu lățime de 10  $\mu m$  și reticule pentru scale la aparate optice. Cantitatea de material erodat poate fi infimă. De exemplu, după echilibrarea dinamică a rotoarelor giroscopelor prin metode obișnuite, se face o echilibrare de precizie prin îndepărtare de material de circa  $10^{-4}$  g, printr-o prelucrare cu laser.

Astfel de prelucrări permit realizarea unor elemente de scheme electrice cu precizie ridicată (capacități, rezistențe, semiconductoare). Prin vaporizarea de pelicule depuse pe suporturi, rezistențele, de exemplu, pot ajunge la o precizie de 0,05%.

În afară de aceste operații, în construcția de mașini laserii se mai folosesc la sudarea unor piese de dimensiuni mici, cu grosimi de la 30  $\mu m$  la 0,8 mm și a peliculelor depuse cu grosimi de 0,5–100  $\mu m$ , precum și în măsurători de precizie la determinarea rectiliniei, planității și perpendicularității.

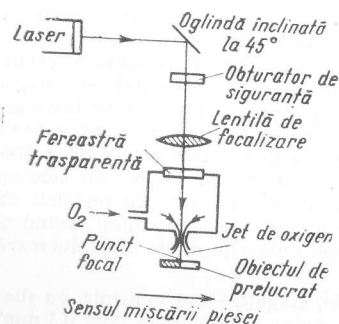


Fig. 13.92. Schema de principiu a tăierii cu laser și jet de oxigen

## BIBLIOGRAFIE

1. ALBINSKI, K. *L'usage des métaux par électroérosion*. Dunod, Paris 1960.
2. ATANASIU, I. *Electrochimie*. București. Editura tehnică, 1968.
3. AVRAM, I. și SĂLĂGEAN, T. *Procedee conexe sudării*. București, Editura tehnică, 1968.
4. BĂDĂRAU, R. și GRUMĂTESCU, M. *Ultra-acustica fizică și tehnică*. București, Editura tehnică, 1967.
5. COHEN, M. I. *Laser-beams and integrated circuits*. In: *Laser Focus*, nr. 21, 1967.
6. CUCUREZEANU, I. *Laseri*. București, Editura tehnică, 1966.
7. DE GROAT, G. *Lasers: tools not toys*. In: *Amer. Machinist*, nr. 22, 1967.
8. DEMARS, P. *Le soudage „plasma”*. In: *Soudage et techn. Connexes*, nr. 5 și 6, 1968.
9. EINSTEIN, P. și BEALDE, R. *Electron-beam operation on materials*. London, Iron and Steel Institut, Machinabilit, 1967.
10. FEINBERG, B. *Laser tooling goes to work. Tool and Manuf.*, nr. 4, 1966.
11. FLEMING, D. *Le Laser comme outil de soudage*. In: *Schweisstechnik Soudure*, nr. 1, 1968.
12. GALE, D. *Prelucrarea prin electroeroziune a matritelor și șanțelor*. București, I.D.T., 1968.
13. GANSEK, K. *Feinbearbeitung metallischer Werkstoffe durch funkenerosives Senken*. Köln, R. Pulm, 1961.
14. GROTH, R. *Electronenstrahlen in der Fertigungstechnik*. In: *Schweiz Maschinenmarkt*, nr. 39, 1967.
15. GUEKOS, G. *Die Laserstrahlung als Hilfsmittel zur Materialbearbeitung*. In: *Schweiz Bauzeitung*, nr. 41, 1967.
16. HORBENKO, I. G. *Ultrasvuk v mašinostroenii*. Moscova, Mašinostroenie, 1966.
17. KAZANTEV, V. F. *Șa. Căile pentru ridicarea productivității și a preciziei la prelucrarea cu ultrasunete*. In: *Prelucrarea metalelor*, nr. 14, 1966.
18. KIPS, P. *Funkenerosives Profilflächenschleifen*. Stuttgart, Deutsche Verlags Anstalt Abt. Fachverlag, 1964.
19. KURCENKO, V. I. *Elektroeroziionnaia i elektrohimiceskaia obrabotka metallov*. Moscova-Leningrad, Mašinostroenie, 1967.
20. LIVȘIȚ, A. I. *Șa. Elektroimpulsiionnaia obrabotka metallov*. Moscova, Mašinostroenie, 1967.
21. NANU, A. *Șa. Cercetări teoretice și experimentale asupra productivității debitării electroeroziune anodo-mecanice la mașina MAMB-1*. In: *Studii și cercetări științifice și tehnice*, Acad. R.S.R., 1963.
22. NANU, A. și NICHICI, A. *Definirea, clasificarea și caracteristicile generale ale metodelor de prelucrare dimensională prin eroziune electrică*. In: *Standardizarea 21*, nr. 2, 1969.
23. NANU, A. *Șa. Determinarea electroeroziivă*. In: *Buletinul științific și tehnic*, I.P.T., 1964.
24. NANU, A. *Fundamentarea teoretică a principiilor fenomenelor constatate experimental la prelucrarea anodo-mecanică a metalelor*. In: *Buletinul științific și tehnic*, I.P.T., 1961.
25. NANU, A. *Șa. Mașina anodo-mecanică de tăiat cu bandă MAMB-1*. In: *Studii și cercetări științifice și tehnice*, Acad. R.S.R., 1963.
26. NANU, A. *Șa. Studiul caracteristicilor stratului de suprafață obținut la durificarea prin scintei electrice*. In: *Buletinul științific și tehnic*, I.P.T., 1966.
27. NICHICI, A. *Șa. Contribuții la determinarea interdependenței dintre parametrii electrice și tehnologici la rectificarea anodo-mecanică a plăcuțelor din aliaj dur K10*. In: *Buletinul științific și tehnic*, I.P.T., 1967.
28. NICHICI, A. *Contribuție la determinarea regimurilor optime de prelucrare cu scintei electrice în funcție de mărirea suprafeței prelucrate*. In: *„Construcția de mașini”*, 28, nr. 11, 1966.
29. NICHICI, A. *Influența materialului și geometriei electrodului-sculă asupra parametrilor de prelucrare cu scintei electrice a pieselor din oțel C120*. In: *„Construcția de mașini”*, 28, nr. 12, 1966.
30. OSIAL, A. T. *The laser today, tomorrow and later*. In: *Tooling and Product*, nr. 5, 1967.
31. PATERMAAT, F. *Les applications thermiques du bombardement électronique*. In: *Electricité*, nr. 133, 1967.
32. PILS, E. *Materialbearbeitung mit Hilfe von Laserstrahlen*. In: *Schweiz Maschinenmarkt*, nr. 33, 1967.
33. POPOVICI, V. *Șa. Studiul modificărilor structurale în stratul superficial la oțelurile debitate prin electroeroziune*. In: *Buletinul științific și tehnic*, I.P.T., 1967.
34. ROOK, B. W. *Electrical method of machining*. In: *Production (NZ)* 2, nr. 11, 1967.
35. SAEKI, S. *Nozzle electrodes for a plasma jet generator*. In: *Electr. Engr.*, Japan, nr. 3, 1967.
36. SAUVAIRE, M. C. *L'usinage par faisceau laser*. In: *Mec. Electr.*, nr. 16, 1967.
37. SĂLĂGEAN, TR. *Șa. Cercetări privind tăierea cu plasmă a tablelor de aluminiu*. In: *Studii și cercetări de metalurgie*, Edit. Acad. R.S.R., 1968.
38. SCHULTZ, P. *Laser-Gerätechnik für die industrielle Fertigung*. In: *Elektro-Anz. Ausg. ges. Ind.*, nr. 7, 1968.
39. SERETOV, V. I. *Osobnosti i oblasti primenennia elektronno-lucevogo sposoba obrabotki*. In: *Stanki i instrument*, nr. 9, 1967.
40. SMOLENTEV, V. P. *Izgotovlenie instrumenta neprofilirovanim elektrodom*. Moscova, Mašinostroenie, 1967.
41. SULLIVAN, I. *Gas-jet laser cuts metals*. In: *British Welding Journal*, nr. 8, 1967.
42. TEODORESCU, I. *Acceleratoare de particule încăldate*. București. Edit. Acad. R.S.R., 1967.
43. URVANȚOV, L. A. *Eroziia și zașcita metallov*. Moscova, Mašinostroenie, 1968.
44. VAKS, E. D. *Oblasti primenennia i problemi obrabotki materialov fokusirovanim svetovim luciom*. In: *Stanki i instrument*, nr. 9, 1967.



45. VAȘ, A. *Considerații asupra stabilirii unui regim optim la tăierea cu plasmă a oțelurilor inoxidabile.* În: Stud. și cercet. de metalurgie, Edit. Acad. R.S.R., 1968.
46. VISSER, A. *Werkstoffabtrag mittels Elektronenstrahlen.* Dissertation Braunschweig, 1966.
47. WAN MAL, G. *Principe et quelques exemples d'application de la technique de projection au plasma.* În: Schweissttechnik soudure, nr. 12, 1967.
48. \* \* \* *Brevet „General Electric Company“.* S.U.A., nr. 153959, 1961.
49. \* \* \* *Brevet R.S.R., nr. 5007, 1967.*
50. \* \* \* *Fiziceskie osnovi elektroiskrovoi obrabotki materialov,* Moscova, Nauka, 1966.
51. \* \* \* *Istoniciki majnovu ultrazvuka.* Moscova, Nauk. S.S.S.R., 1967.
52. \* \* \* *IX Internationales Kolloquium Fertigungstechnik.* Technische Hochschule Ilmenau, 1964.
53. \* \* \* *O nouă mașină de prelucrat mater ale dure cu ajutorul ultrasunetelor.* În: Construcția de mașini, nr. 11, 1968.
54. \* \* \* *Plasma, flame cutting done faster with newest equipment.* În: „Tooling and Product“, nr. 1, 1968.

## 14. TRATAMENTE TERMICE ȘI TERMOCHIMICE ALE OȚELURILOR ȘI FONTELORE

### 14.1. CONSIDERAȚII GENERALE

Una din tendințele principale care se manifestă în producția de oțel este elaborarea unor oțeluri de construcție slab sau mediu aliate, care să prezinte o rezistență la rupere peste  $200 \cdot 10^7 \text{ N/m}^2$ , rezistență ridicată la oboseală, ductilitate cât mai pronunțată, sudabilitate și turnabilitate corespunzătoare și preț de cost cât mai scăzut.

Aceste deziderate se pot realiza acționând asupra: modului de elaborare, compoziției chimice și tratamentului termic.

Modificarea sau ameliorarea proprietăților fizico-mecanice ale oțelurilor depinde în primul rînd de structura lor, adică de natura, distribuția și cantitatea constituenților structurali. La o marcă de oțel modificarea sau dirijarea în sensul dorit a anumitor caracteristici se realizează prin tratament termic, adică prin operații de încălzire și răcire, care pot schimba cantitatea, distribuția și natura fazelor structurale principale: ferita și cementita.

Natura structurii ferito-cementitice care apare în urma transformării austenitei se schimbă considerabil în funcție de gradul de subrăcire sau de viteza de răcire aplicată. Un tratament termic corespunzător trebuie să cuprindă o subrăcire dirijată a austenitei. Comportarea austenitei în timpul transformării poate fi cel mai bine evidențiată prin diagramele TTT și CCT.

#### 14.1.1. DIAGrame LA RĂCIRE IZOTERMĂ ȘI LA RĂCIRE NEIZOTERMĂ (CONTINUĂ) A AUSTENITEI

În timpul răcirii unui aliaj feros de la temperatura de austenitizare acționează simultan doi factori: temperatura și timpul. Dacă se menține constantă temperatura și se urmărește evoluția structurii în timp se obțin curbe de transformare izotermă care dau diagrama TTT (Time, Temperature, Transformation) sau diagrama la răcire izotermă. Dacă se urmărește evoluția structurii cînd variază și temperatura și timpul se obțin curbele la răcire continuă, care dau diagrama CCT (Continuons, Cooling, Transformation) sau diagrama neizotermă.

**14.1.1.1. DIAGrame TTT LA RĂCIREA IZOTERMĂ A AUSTENITEI.** Aceste diagrame se trasează stabilind în timp începutul și sfîrșitul transformărilor izoterme prin:

— determinarea naturii structurii obținute la diferite temperaturi izoterme, folosind cercetarea metalografică asociată cu cea durimetrică;

— determinarea punctelor critice de transformare izotermă prin metoda dilatometrică și a naturii structurii prin cercetare metalografică asociată cu cea durimetrică;



- determinarea punctelor critice de transformare prin metode magnetice;
- determinarea naturii constituenților structurali pentru diferite grade de sub-răcire, folosind metoda radiocristalină (iradiatii cu raze X).

În etapa actuală, o extindere mare are dilatometria asociată cu cercetarea metalografică.

**Tipuri de diagrame T.T.T.** Diagramele TTT prezintă aspecte diferite și din ce în ce mai complicate pe măsură ce crește numărul, natura și concentrația elementelor de aliere. Până acum nu a fost încă întreprins un studiu sistematic al influenței elementelor de aliere asupra transformărilor izoterme ale austenitei. Acest studiu ar permite totuși determinarea asocierii cea mai eficientă a elementelor de aliere, fapt care ar prezenta interes pentru folosirea industrială a aliajelor feroase. Din studiile întreprinse, diagramele TTT se pot grupa în patru categorii (A, B, C, D), după modul cum sunt dispuse cele trei zone ale transformărilor: de echilibru, intermediare, în afară de echilibru.

Diagramele din clasa A sînt caracteristice oțelurilor carbon de construcție, la care timpul minim de incubație al transformării perlitice și bainitice este același (fig. 14.1). Curbele din fig. 14.1, *a* și *c* sînt caracteristice oțelurilor eutectoide, iar cele din fig. 14.1, *b* și *d* corespund unor oțeluri hipoeutectoide. Structurile care apar în diferite zone de temperaturi sînt: perlită, sorbită, trostită, bainită, martensită (la oțelurile eutectoide) și în plus ferită proeutectoidă (la oțelurile hipoeutectoide).

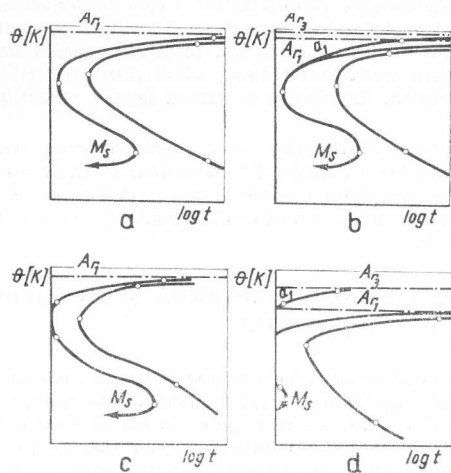


Fig. 14.1. Diagrama TTT clasa A

Diagramele din clasa B sînt caracteristice oțelurilor aliate cu Cr-Mo, Cr-V, Cr-Mo-V-W, la care timpul minim de incubație al transformării perlitice și bainitice are aproape aceeași valoare, dar transformarea apare la temperaturi diferite (fig. 14.2). La aceste oțeluri transformarea perlitică are loc la temperaturi mai înalte de 923 K, cea martensitică sub 473°K iar cea bainitică între aceste valori (923—473 K).

Diagramele din clasa C sînt caracteristice oțelurilor complex aliate (Mn-Ni-Mo-V) la care timpul minim de incubație al transformării perlitice și bainitice este din ce în ce mai bine marcat (fig. 14.3). Transformările de tip bainitic sînt clar evidențiate.

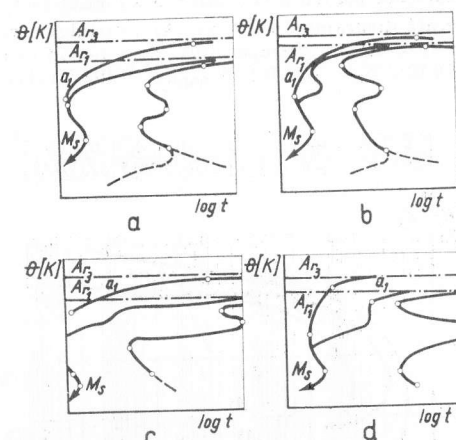


Fig. 14.2. Diagrama TTT clasa B

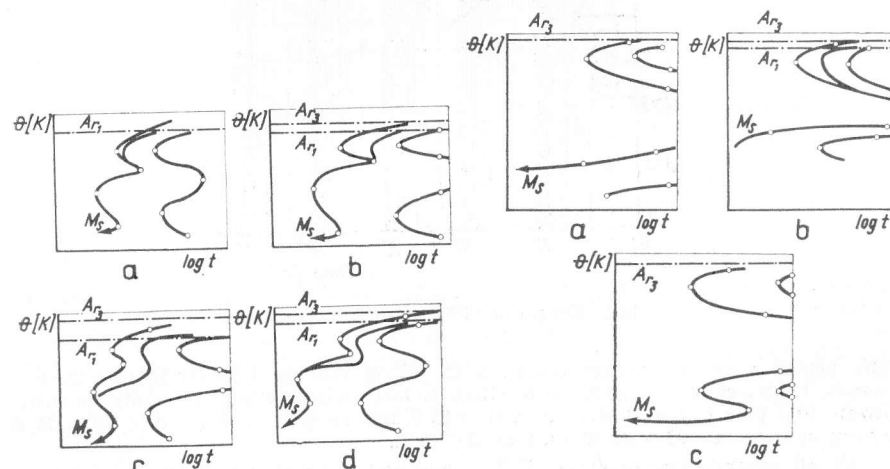


Fig. 14.3. Diagrama TTT clasa C

Fig. 14.4. Diagrama TTT clasa D

Diagramele din clasa D sînt caracteristice oțelurilor bogat aliate în special cu elemente care formează carburi (Cr, Mo, V, Ti), la care apare o întrerupere importantă între transformarea perlitică și cea bainitică (fig. 14.4).

Diagramele TTT, ridicate pentru un mare număr de mărci de oțeluri permit determinarea parametrilor tratamentului termic spre a se obține anumite transformări structurale. Astfel, se poate stabili temperatura de austenitizare, timpul minim de incubare, durata de menținere izotermă pentru a se obține o anumită transformare structurală.

În fig. 14.5 se prezintă diagrama TTT (clasa A) a oțelului carbon de calitate (OLC 45) din analiza căreia rezultă:  $\theta_A$  (temperatura de austenitizare) = 1 153 K;  $Ac_1$  = 1 008 K;  $Ac_3$  = 1 058 K;  $M_s$  = 623 K;  $M_{f(90\%)}$  = 493 K. Timpul minim de incu-

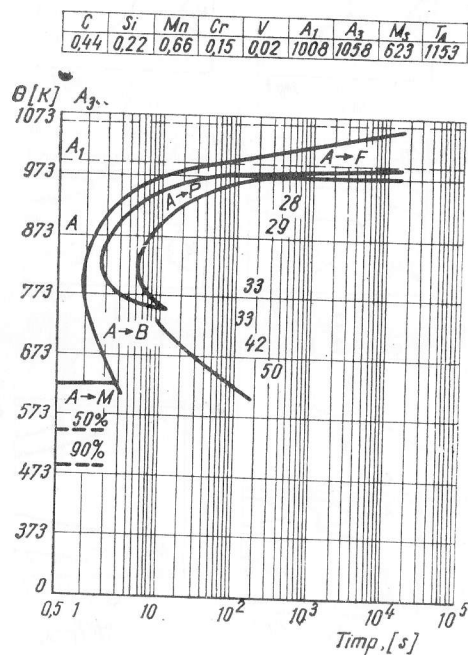


Fig. 14.5. Diagrama TTT a oțelului OLC 45

bație pentru a se descompune austenita în perlită este de 1,5 s iar în bainită de o secundă. Pentru călire izotermă, martensitică, se face răcirea de la temperatura de austenitizare ( $\theta_A$ ) pînă la temperatura de 603–613 K într-un timp mai mic de o secundă și se menține izoterm (603–613 K) un timp de 3 min.

Un alt exemplu este diagrama TTT a unui oțel bogat aliat în crom prezentată în fig. 14.6 (clasa D) din care rezultă:  $\theta_A$  = 1 203 K,  $Ac_1$  = (1 041...1 070)K,  $M_s$  = 458 K,  $M_f$  = 293 K. Transformarea izotermă a austenitei, de exemplu la 573 K, se face într-un timp mai mare de 24 h. Pentru a se descompune 50% austenită este necesar un timp de 5 h.

Alte diagrame TTT se dau în lucrările [6, 12, 13].

**Precizări asupra folosirii diagramelor TTT.** Viteza de descompunere a austenitei este determinată de gradul de subrăcire și de parametrii cristalizării (viteza de creștere a grăuntelui și numărul centrelor de cristalizare). Parametrii cristalizării sînt influențați de compoziția chimică a aliajului, de gradul de omogenitate și de mărimea grăunților

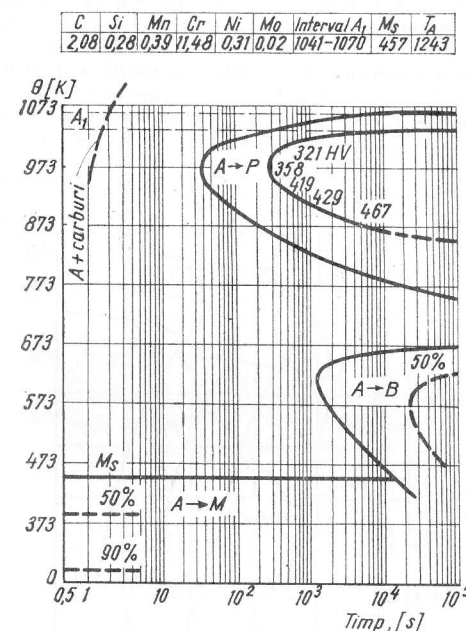


Fig. 14.6. Diagrama TTT a unui oțel înalt aliat cu crom

de austenită. Conținutul de carbon modifică în mod deosebit poziția curbilor TTT. Astfel, față de oțelul eutectoid, oțelurile hipereutectoide și hipoeutectoide au timpi de incubare mai mici. La cele hipereutectoide, această observație are valabilitate dacă încălzirea s-a făcut peste  $Ac_{cem}$ . Oțelurile hipoeutectoide cu conținuturi mici în carbon (0,05–0,1% C) au un timp foarte mic de incubare și pentru a le căli este necesar să se ridice temperatura de austenitizare. Ridicarea temperaturii de austenitizare provoacă mărirea grăunțului de austenită și creșterea timpului de incubare.

Elementele de aliere pot modifica atât poziția cât și alura curbilor TTT. Toate elementele de aliere cu excepția cobaltului, măresc timpul de incubare, micșorează viteza critică de călire, îmbunătățesc calibilitatea. Elementele de aliere care formează carburi (Cr, W, Mo, V, Ti) schimbă și alura curbilor TTT, separînd domeniul transformării bainitice de cel al transformării perlitice.

Temperatura de încălzire favorizează creșterea grăunțului și omogenizarea austenitei și ca atare, valoarea temperaturii de austenitizare are un rol important. Se reco-

mandă ca la folosirea curbelor TTT să se țină seama de compoziția chimică a aliajului, de temperatura și durata austenitizării. Folosirea industrială a diagramelor TTT trebuie să respecte destul de strâns condițiile în care ele au fost construite (compoziția chimică a aliajului, temperatura de austenitizare, gradul de omogenitate al austenitei).

14.1.1.2. DIAGrame LA RĂCIREA CONTINUĂ A AUSTENITEI (CCT). În practica industrială se aplică cu precădere tratamente termice, variind și temperatura și timpul, fapt care a impus construirea curbelor la răcire continuă (diagramele CCT).

Pentru construirea diagramelor CCT există mai multe metode experimentale: cercetarea metalografică, analiza magnetică, analiza dilatometrică, analiza termică. Datorită preciziei lor și a ușurinței de lucru, în ultima vreme se impune din ce în ce mai mult analiza dilatometrică și termică asociate cu cercetarea metalografică și durimetrică.

Diagrama la răcire continuă a austenitei (CCT) poate prezenta aspectul general (fig. 14.7). Funcție de vitezele de răcire aplicate se pot obține diferite transformări struc-

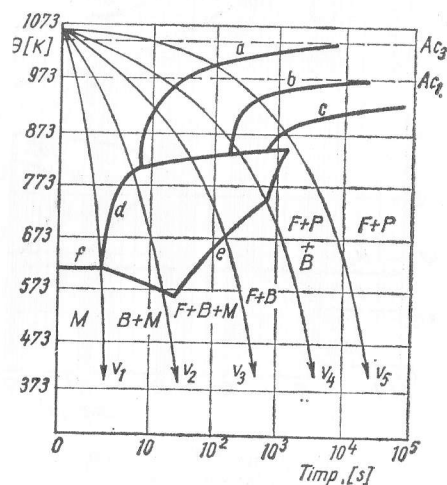


Fig. 14.7. Diagrama CCT:

a — începutul formării feritei proeutectoidice; b și c — începutul respectiv sfârșitul formării perlitului; d și e — începutul respectiv sfârșitul transformării bainitice; f — începutul transformării martensitice

turale. Astfel la viteze de răcire mai mici decât  $v_5$ :  $A \rightarrow F + P$ ;  $v_5 - v_4$ :  $A \rightarrow F + P + B$ ;  $v_4 - v_3$ :  $A \rightarrow F + B$ ;  $v_3 - v_2$ :  $A \rightarrow F + B + M$ ;  $v_2 - v_1$ :  $A \rightarrow B + M$  și sub  $v_1$ :  $A \rightarrow M$ .

Funcție de compoziția chimică a oțelului diagramele CCT pot prezenta diferite aspecte, cu linii de separare a fazelor proeutectoidice, cu sau fără domenii distincte pentru transformările de tip perlitic și bainitic, cu sau fără întreruperea transformării austenitei. (Există uneori parcă întreruperea transformării și apar distanțate domeniile de transformare ale austenitei în perlită și în bainită).

Folosirea diagramei CCT pentru determinarea parametrilor regimului de tratament termic. O diagramă CCT n-are aplicabilitate industrială decât în condiții identice (de

compoziție chimică, stare structurală inițială, viteză de încălzire, temperatură și durată de austenitizare) cu acelea care au fost folosite pentru trasarea ei. Pentru fiecare din acești factori există limite între care pot varia fără să influențeze apreciabil rezultatele, dar din păcate nu se pot enunța reguli generale, fiecare aliaj constituind un caz aparte.

În general, starea inițială nu are o influență prea puternică asupra poziției curbelor diagramei CCT, dat fiind faptul că există o austenitizare completă. (Se recomandă aplicarea în prealabil a unei recoaceri de normalizare).

Ridicarea temperaturii de austenitizare poate provoca o deplasare importantă a curbelor diagramei, dacă se modifică mărimea grăuntelui și gradul de omogenizare al austenitei. Viteza de încălzire poate fi modificată în limite destul de largi fără să se influențeze valorile vitezelor critice de călire; doar curbele CCT se rotesc în raport cu axa temperaturii.

În ultimii ani folosirea curbelor CCT s-a extins și la fenomenele structurale ce au loc în zona afectată termic de sudură. Se precizează însă că diagramele CCT construite pentru studiul tratamentelor termice, nu pot fi folosite pentru studierea transformărilor struc-

C	Si	Mn	Cr	V	A <sub>1</sub>	A <sub>2</sub>	M <sub>s</sub>	T <sub>d</sub>
0,44	0,22	0,68	0,15	0,02	1008	1050	623	1153

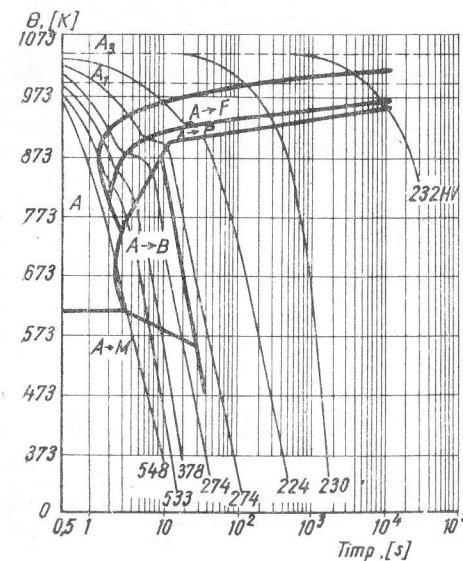


Fig. 14.8. Diagrama CCT a oțelului OLC 45

turale în piesele sudate, dat fiind ciclurile termice foarte diferite. Pentru studiul transformărilor în piesele sudate se construiesc diagrame, simulând regimul termic folosit la sudare.

Pentru tratamentul termic al unui oțel carbon de construcție (OLC 45) se folosește diagrama CCT (fig. 14.8). Din studiul acestuia rezultă:  $\theta_A = 1153$  K, viteza medie de răcire pentru obținerea structurii formată din  $(M + A_{rez})$ ,  $v_r = 285$  K/s (răcire în apă





grafitului sub formă de cuiburi (cvasiglobule). Când s-a ajuns la temperatura punctelor  $A_{r1}$  se micșorează viteza de răcire (2 K/h) pentru a se evita formarea perlitei. Se obține în final o masă de bază feritică și cuiburi de grafit (fig. 14.11).

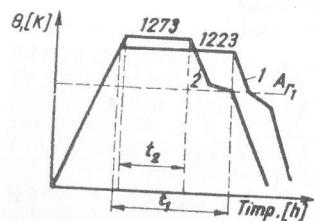


Fig. 14.10. Ciclu termic pentru obținerea fontei maleabile negre.

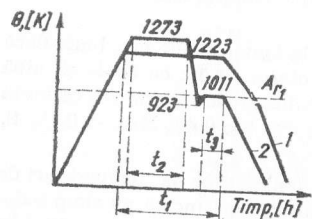


Fig. 14.12. Ciclu termic pentru obținerea fontei maleabile albe.

Fontele maleabile perlite (fontele maleabile albe) se obțin din fonte albe prin încălzirea și răcirea în mediu oxidant după ciclurile termice indicate în fig. 14.12.

Se face încălzirea cu viteze de 25 K/h până la 1223 K, se menține un timp de 75 h și se aplică răcirii cu viteze mici (10 K/h) până la 923 K și apoi în aer liniștit (fig. 14.12). Structura obținută va fi perlitică în miez și feritică la suprafață, și cuiburi de grafit (fig. 14.13).

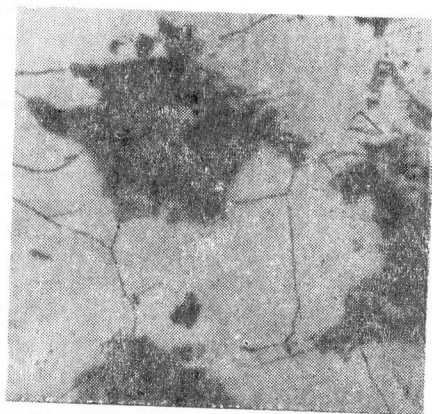


Fig. 14.11. Fontă maleabilă feritică (200 : 1)

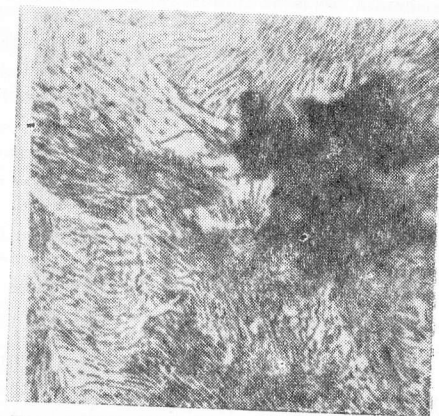


Fig. 14.13. Fontă maleabilă perlitică (200 : 1)

Caracteristicile mecanice ale fontelor maleabile sînt mult mai bune decît a celor cu grafit lamelar. Astfel, fontele maleabile feritice au:  $\sigma_r = (30 \dots 40) \cdot 10^7 \text{ N/m}^2$ ,  $\delta = 6 \dots 18\%$ ,  $KCU = 3 \cdot 10^5 \text{ J/m}^2$  și  $HB = 110 \dots 160$ , iar fontele maleabile perlitice  $\sigma_r = (40 \dots 70) \cdot 10^7 \text{ N/m}^2$ ,  $\delta = 5\%$ ,  $HB = 150 \dots 200$ .

#### 14.2.2. CĂLIREA ȘI REVENIREA ALIAJELOR FEROASE

Oțelurile sînt aliajele la care călirea și revenirea au o influență deosebită și variațiile caracteristicilor mecanice sînt cele mai evidente. Variația caracteristicilor mecanice se datorește modificărilor structurale și structurii reticulare, adică pe de o parte formării constituenților duri sau moi, de anumite forme, dimensiuni sau repartiții și pe de altă parte aranjării arhitecturii cristaline care la o anumită scară are o influență marcantă.

**14.2.2.1. CĂLIREA OȚELURILOR.** Viteza de încălzire pentru călire se alege pe considerente economice și funcție de proprietățile particulare ce se urmăresc a se obține. Din punctul de vedere al modificărilor structurale valoarea vitezei de încălzire nu prezintă importanță deosebită, dar ea poate influența ruperea, dilatarea, deformarea la cald a piesei și alte degradări ale piesei. Din aceste considerente viteza de încălzire pentru călire integrală se alege ținînd seama de conductivitatea termică a materialului, de dimensiunea și complexitatea pieselor [7, 10].

Temperatura de încălzire pentru călire se alege în funcție de necesitatea de a pune în soluție componenții. Călirea se poate face pornind de la soluția  $\alpha$  sau  $\gamma$  (în cazul oțelurilor).

**Călirea structurală pornind de la soluția solidă  $\alpha$ .** Se realizează prin încălziri la 1023–1073°K, cu o durată de menținere pentru punere în soluție a elementelor (a carbonului, azotului, cromului, cuprului, molibdenului, vanadiului) care prezintă o bună solubilitate în fierul  $\alpha$  și răcirea cu viteză mare (în apă). Revenirea va produce precipitări fine, care vor permite ridicarea rezistenței la rupere și a limitei elastice. Acest tratament termic poate fi utilizat pentru ameliorarea caracteristicilor mecanice ale oțelurilor ambutisabile, sudabile, folosite în special sub formă de țevi sau table subțiri.

**Călirea clasică pornind de la soluția solidă  $\gamma$ .** Soluția solidă  $\gamma$  va apare la oțelurile carbon peste temperatura de 996 K; la oțelurile aliate soluția solidă  $\gamma$  va apare peste 823 K la cele aliate cu elemente gamagene (Ni, Mn, Cu) și peste 1073 K la cele aliate cu elemente alfa-gene (Cr, Mo, Si, W). Pentru a se forma soluție solidă  $\gamma$  temperatura și timpul de menținere prezintă importanță deosebită. Pentru a obține o soluție solidă  $\gamma$  omogenă (într-un timp relativ scurt 15–30 min) se recomandă încălzirea la temperaturile  $A_{c3} + 50 \dots 70$  (oțelurilor hipoeutectoide) și  $A_{c1} + 50 \dots 70$  (oțelurilor eutectoide și hipereutectoide) (fig. 14.14).

Temperaturile de încălzire vor fi mai înalte pentru oțelurile inoxidabile (1123–1373K) și mai ales pentru oțelurile rapide (1473–1573 K) la care trebuie ca punerea în soluție a elementelor de aliere să fie cît mai complet posibilă.

**Durata de menținere la temperatura de călire.** După încălzirea la temperatura prescrisă se succed două fenomene: dizolvarea elementelor și apoi omogenizarea austenitei. Punerea în soluție a carbonului se realizează în cîteva secunde, la temperaturi ce depășesc puțin  $A_{c3}$  și în cîteva fracțiuni de secundă dacă temperatura este  $A_{c3} + 100 \text{ K}$ . În cazul altor componenți dizolvarea diferă; astfel, nichelul se dizolvă foarte repede iar cromul necesită o durată mai mare pentru dizolvare, dat fiind faptul că formează carburi complexe.



Difuziunea elementelor este mult mai lentă decât punerea lor în soluție, ceea ce determină ca durata de menținere să crească funcție de coeficientul de difuziune caracteristic. Durata de menținere pentru oțelurile carbon este de 1 min/1 mm din secțiunea piesei, iar pentru oțelurile aliate cu elemente care formează carburi este de circa 1,5 min/1 mm din secțiunea piesei.

Trebuie precizat că temperatura și durata de menținere influențează atât rezultatele călirii, cât și condițiile de executare, a tratamentelor termice ulterioare.

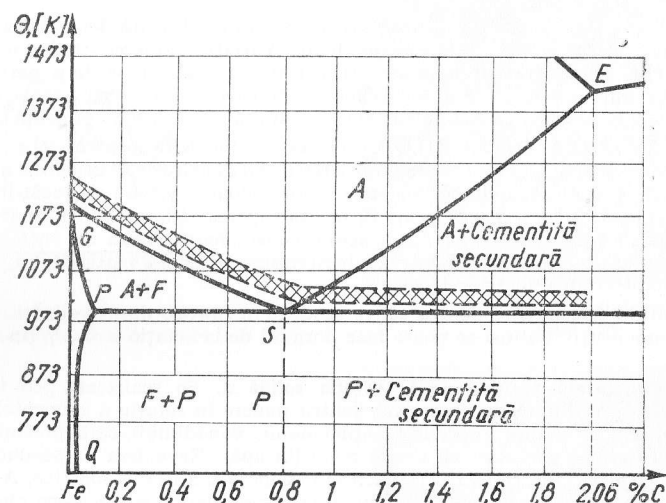


Fig. 14.14. Domeniul temperaturilor de călire ale oțelurilor.

**Punerea în soluție a azotului.** Azotul se poate dizolva atât în fierul  $\alpha$  cât și în fierul  $\gamma$ . Austenita aliată cu azot se comportă similar cu cea nealiată Fe  $\gamma$  (C) și prin descompunere dă aceeași constituenți. Austenita aliată cu azot se formează de la temperaturi mai joase (temperatura eutectoidului este la 873 K) și este de asemenea mai stabilă la descompunere. O îmbogățire în azot permite modificarea ciclului termic prin coborîrea temperaturii de punere în soluție și prin micșorarea vitezei de răcire.

Viteza de răcire aplicată după punerea în soluție dacă este suficient de lentă provoacă descompunerea austenitei mai întâi în constituenți hipo sau hipereutectoizi și apoi în perlită sau în alți constituenți.

Separarea constituenților hipo și hipereutectoizi poate fi evitată dacă se mărește viteza de răcire. Acest lucru trebuie totdeauna realizat deoarece prezența feritei libere micșorează considerabil rezistența la oboseală. Pe măsura creșterii vitezei de răcire vor apărea constituenții: perlită, troostită, sorbită, bainită, martensită și proprietățile mecanice vor fi puternic influențate (fig. 14.15). Descompunerea austenitei poate avea loc la răcire izotermă (fig. 14.16), la răcire continuă cu o viteză corespunzătoare (fig. 14.15) sau

printr-un ciclu complex care constă mai întâi dintr-o răcire rapidă până la temperatura de transformare dorită, o menținere la această temperatură și apoi răcirea până la temperatura ambiantă (fig. 14.17) (călirea în trepte). Între aceste moduri de răcire apar două diferențe:

— în cazul răcirii continue, descompunerea depinde în afară de temperatura de imersie și de scoaterea pieselor și de natura temperatura și agitația lichidului băii de răcire;

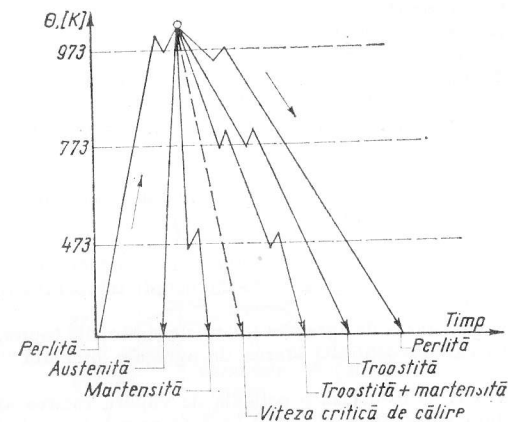


Fig. 14.15. Transformarea austenitei la diferite viteze de răcire.

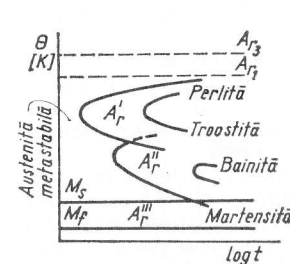


Fig. 14.16. Structuri obținute prin transformarea izotermă a austenitei

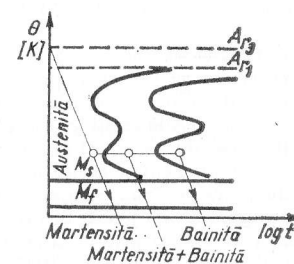


Fig. 14.17. Ciclul de călire în trepte.

— În cazul răcirii izoterme, se dispune între altele de temperatura intermediară de reacție și de timpul de menținere; funcție de timpul de menținere izoterm se obține amestecuri de constituenți, a căror cantitate poate influența puternic proprietățile mecanice ale piesei.

Pe de altă parte succesiunea reacțiilor este diferită: o răcire continuă provoacă reacții decalate în timp la suprafața și în centrul piesei și ca atare și proprietățile

mechanice sînt diferite; o răcire izotermă provoacă reacții sensibil sincronizate și identice (sub rezerva că răcirea inițială a fost suficient de rapidă) atît la suprafața cit și în centrul piesei. Călcirea prin răciri continue este mai simplă, iar cea izotermă mai complicată, dar permite obținerea de proprietăți particulare.

Călcirea se face imersînd piesa în diferite medii de răcire dintre care mai principale sînt:

- apa și soluțiile apoase care conțin fie substanțe activante (clorură de sodiu, hidroxid de sodiu), fie substanțe ce micșorează capacitatea de răcire (silicați, glicerină);
- uleiuri vegetale sau minerale;
- băi de săruri sau metale topite, aduse la o temperatură prescrisă;
- gaze, în particular aer, în mod excepțional hidrogen.

Capacitatea de răcire a mediului depinde de numeroși parametri: masă, căldură specifică, difuzibilitate termică, viscozitate, agitație, căldură de vaporizare, temperatură, ș.a. Acești parametri au format obiectul a numeroase studii care au permis stabilirea unor concluzii cu privire la:

- energia sau capacitatea de călire a unui mediu în anumite condiții;
- viteza de răcire de la suprafața și din miezul pieselor de diferite forme (cilindrice, plate, complexe etc);

În general mediile de încălzire se pot împărți în două grupe:

- care și schimbă starea de agregare în domeniul temperaturii de folosire (apa, soluțiile apoase, uleiurile);
- care nu și schimbă starea de agregare (metalele și sărurile topite, plăcile metalice).

Răcirea în medii care și schimbă starea de agregare prezintă trei faze distincte anume pentru apă:

- între 1073—873 K se formează o peliculă de vapori, răcirea să fie lentă, pentru că schimbul de căldură între piesă și lichid se face prin intermediul acestei pelicule;
- între 873—473 K lichidul este în contact direct cu piesa și schimbul de căldură este energic datorită curentului de bule formate chiar și în porțiunile în care nu mai există contact direct; de aceea viteza de răcire este maximă;
- în jurul temperaturii de 373 K producția de vapori se micșorează și viteza de răcire scade.

În prima fază de răcire există pericolul de a se separa din austenită produsele peritectoide, fapt care ar înrăutăți proprietățile finale ale pieselor. Spre a se evita acest lucru se recomandă agitarea pieselor sau mediului de răcire, deci împiedicarea formării peliculei de vapori. Adăugînd clorură de sodiu sau hidroxid de sodiu se micșorează stabilitatea peliculei de vapori și răcirea este mai energică.

În cazul folosirii pentru răcire a uleiurilor, prima fază de răcire are o durată mai mare (cam de 5 ori mai mare ca a apei) care crește pe măsură ce mediul are o temperatură de evaporare mai joasă. Cea de a doua fază de răcire este mai puțin influențată de temperatură în comparație cu apa pentru că viscozitatea scade pe măsura creșterii temperaturii uleiurilor și se intensifică schimbul de căldură.

Capacitatea de răcire în faza a treia este foarte mică. Natura, viscozitatea influențează capacitatea de răcire a uleiurilor (tabelul 14.1). Uleiurile devin mai active dacă au o temperatură de inflamabilitate mai ridicată. Actualmente se produc uleiuri cu temperaturi de inflamabilitate de 523 K.

Viteza de răcire în uleiuri minerale cu temperatura de 313 K este mai mare la uleiurile cu indicele de viscozitate Engler (la 323 K) mai mare. (fig. 14.18).

Pentru a evidenția influența mediului de răcire asupra vitezei de răcire din centrul piesei s'a făcut răcirea de la 1073 K a unei piese cilindrice din oțel ( $\varnothing$  25 mm) în diferite medii; rezultatele sînt arătate în fig. 14.19. Se observă că se obține viteză mare la răcirea în apă și mică la răcirea în ulei de antracit.

Tabelul 14.1

## Capacitatea de răcire a unor uleiuri în raport cu a apei

Mediul de răcire	Densitatea $\rho$ , kg/dm <sup>3</sup>	Punct de inflamabilitate, K	Viscozitate absolută la 293 K, în °C	$\frac{v_r \text{ ulei}}{v_r \text{ apă}}$ %
Ulei mineral cu 3% acizi grași	0,862	478	0,421	44
Ulei mineral cu 3% acizi grași	0,874	483	0,415	35
Ulei de transformator	0,909	353	1,29	22
Ulei de palma	0,870	498	0,400	35

Rezultatele s-au obținut prin răcirea unor runde de oțel carbon cu 1% C încălzite la 1148 °K. (După French).

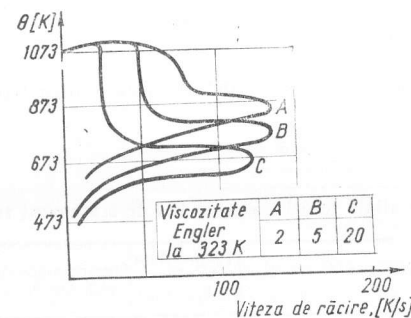


Fig. 14.18. Viteza de răcire a diferitelor uleiuri

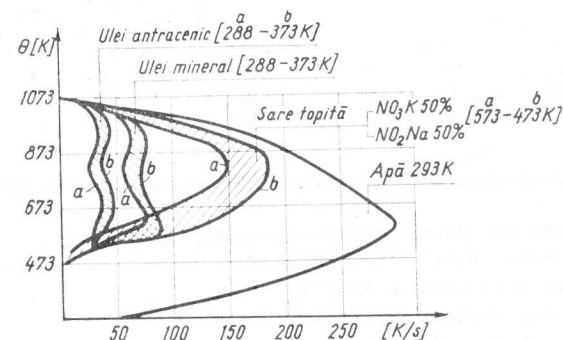


Fig. 14.19. Variația vitezei de răcire în miezul unei piese călitate de la 1073 K în diferite medii

Răcirea în băi de metale și săruri topite și în aer are loc într-o singură fază, curbele de răcire avînd aceeași alură, dar parametrii sînt sensibil diferiți (fig. 14.19). Amestecurile de săruri folosite curent (tabelul 14.2).

Tabelul 14.2

Cele mai folosite amestecuri de săruri pentru călire

Compoziția amestecului	Temperatura de topire $\theta_f$ , K	Temperatura de utilizare $\theta$ , K
35% NaOH + 65% KOH	428	433–673
50% CaCl <sub>2</sub> + 30% BaCl <sub>2</sub> + 20% NaCl	703	773–923
50 NaNO <sub>3</sub> + 50% KNO <sub>2</sub>	416	433–823
75% NaCN + 25% KCN	796	823–873
22,5% NaCl + 77,5% BaCl <sub>2</sub>	908	938–1143
44% NaCl + 56% KCl	933	993–1173
100% BaCl <sub>2</sub>	1233	1373–1673
50% BaCl <sub>2</sub> + 39% NaCl + 8% borax + 3% MgO	1003	1023–1673

În tabelul 14.3 se dau metalele și aliajele folosite pentru băi de tratament termic (tabelul 14.3).

Tabelul 14.3

Metale și aliaje folosite pentru băi de tratament termic

Compoziția băii	Temperatura de topire $\theta_f$ , °K	Temperatura de utilizare $\theta$ , K	Observații
100% Pb	600	1073–1173	emană gaze
100% Sn	505	673–773	aderă la suprafețe
Silumin (13% Si + rest. Al)	863	1123–1173	—
92% Sn + 8% Zn	472	773–873	aderă de suprafețe
51,2 %Sn + 30,6% Pb + 18,2% Cd	418	630–700	—
40% Sn + 56% Bi + 4% Zn	403	600–650	—
25,9% Sn + 53,9% Bi + 20,2% Cd	386	550–650	—

La alegerea compoziției băii din metale, aliaje sau săruri topite trebuie să se țină seama că:

- piesele să nu fie atacate (coroziune locală);
- să nu se emită vapori nocivi în cantitate mare;
- să nu adere de suprafața pieselor;
- să nu fie prea scumpe.

Variația vitezei medii de răcire între 973–773 K în diferite puncte ale unei bare rotunde imersată în diverse medii de răcire se prezintă în fig. 14.20 (mediul și piesa în repaus).

Cunoașterea vitezei de răcire este foarte importantă deoarece există posibilitatea ca prin compararea cu cea din diagramele CCT ale oțelului să se facă precizări asupra structurii obținute după tratamentul termic.

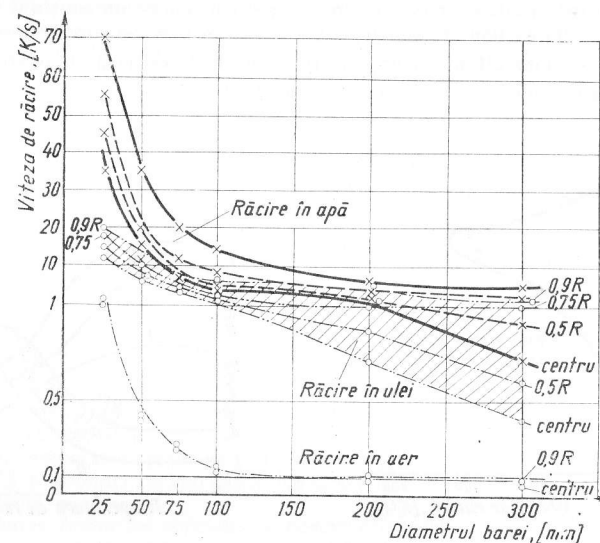


Fig. 14.20. Viteza medie de răcire între 973–773 K în diferite puncte ale unei bare imersată în diferite medii

Este de remarcat faptul că starea suprafeței piesei are o influență mare asupra valorii vitezei de răcire. Prezența unui strat de oxizi aderenți va micșora mult viteza de răcire (fig. 14.21).

14.2.2.2. REVENIREA OȚELURILOR CĂLITE. Revenirea este în fond destul de complexă și folosirea anumitor valori pentru parametrii ei permite obținerea unor caracteristici mecanice ridicate (fig. 14.22).

Transformările structurale respectiv proprietățile mecanice nu depind numai de temperatură, ci și de durata de menținere, viteza de încălzire și viteza de răcire.

Influența temperaturii și duratei de menținere asupra durității după revenire rezultă din diagrama prezentată în fig. 14.23.

Viteza de încălzire la revenire se pare că nu are o influență deosebită asupra evoluției reacțiilor de transformare. Dacă ea este prea mare poate favoriza creșterea tensiunilor interne și pot apare fisuri (în piese cu alungire mică) sau deformări (în piesele tenace).

În general, viteza de răcire după revenire n-are nici o influență dacă a fost atins echilibrul structural. Din contră, această viteză are importanță dacă nu s-a transformat austenita reziduală și dacă oțelurile sînt aliate cu elemente care le fac sensibile la fragilitatea de revenire. Se recomandă să se utilizeze viteze de răcire mai mari (răcire în apă,

ulei) pentru oțelurile aliate cu mangan, crom și pentru cele cu un conținut ridicat de fosfor; pentru oțelurile carbon de construcție răcirea se face cu viteză mică în aer).

Pentru a se produce cât mai complet transformările de fază și pentru a se reduce tensiunile se recomandă aplicarea revenirilor multiple.

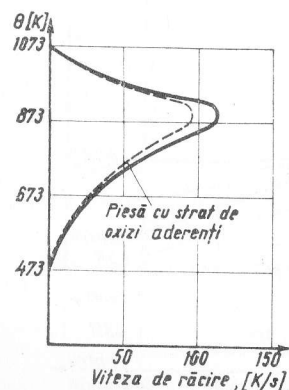


Fig. 14.21. Influența stratului de oxid asupra valorii vitezei de răcire a pieselor

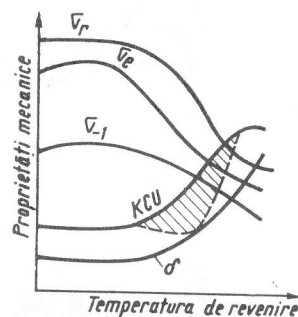


Fig. 14.22. Variația caracteristicilor mecanice în funcție de temperatura de revenire

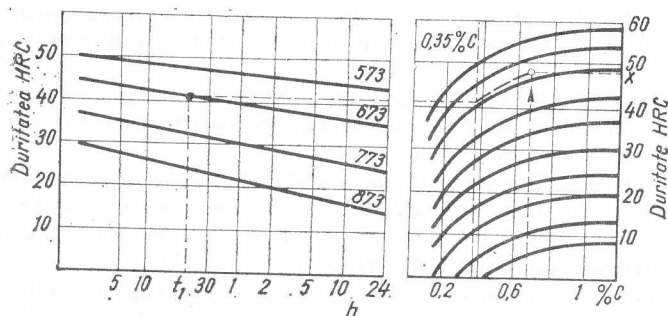


Fig. 14.23. Diagramă pentru determinarea parametrilor revenirii

**14.2.2.3. CĂLIREA LA TEMPERATURI JOASE.** Răcirea la temperaturi joase poate completa sau înlocui în unele cazuri revenirea; se favorizează transformarea austenitei reziduale în martensită.

Pentru călire la temperaturi joase se imersează piesele în amestecuri refrigerente, alese astfel ca temperatura lor să fie apropiată sau sub punctul critic  $M_f$  al aliajului. În tabelul 14.4 se dă compoziția unor amestecuri refrigerente.

Tabelul 14.4

Amestecuri refrigerente	
Compoziția amestecului	Temperaturi $\theta$ , K
Zăpadă carbonică + alcool	273—200
Zăpadă carbonică + azot lichid	173—123
Azot lichid	77
Aer lichid	100
Oxigen lichid	90

Durata de menținere la temperatura amestecului variază între 1—3 h și nu prezintă importanță deosebită.

Călire la temperaturi joase se poate aplica oțelurilor al căror punct critic  $M_f$  este situat sub 273 K (oțeluri carbon peste 0,6% C și cea mai mare parte a oțelurilor aliate) și se recomandă pentru:

- durificarea oțelurilor speciale de construcție cementate și călite (chiar și revenite la 433 K); crește duritatea cu 2—10 unități HRC;
- mărirea tensiunilor de compresiune în straturile superficiale la oțelurile cementate și călite;
- mărirea stabilității dimensionale a calibrelor, tampoanelor executate din oțeluri speciale; călire la temperaturi joase stabilizează atât martensita cit și austenita, și ca atare dimensiunile instrumentelor rămân stabile;
- durificarea oțelurilor rapide; se favorizează transformarea aproape totală a austenitei reziduale.
- durificarea oțelurilor cu conținut ridicat în crom.

Pentru a mări cantitatea de austenită reziduală transformată este bine să se aplice mai multe răcirii la temperaturi joase, separate prin reveniri joase. Se recomandă ca răcirea la temperaturi joase să se aplice imediat după călire în medii obișnuite.

Se menționează că există pericolul de a se produce fisuri datorită acestei răcirii energice. Un mijloc de a micșora acest risc este protejarea pieselor cu un material izolant (azbociment).

### 14.2.3. CĂLIREA SUPERFICIALĂ A ALIAJELOR FEROASE

Mărirea vitezei de încălzire permite ridicarea temperaturii straturilor superficiale peste cea critică într-un timp scurt încât restul materialului va avea temperaturi mai joase. Aceste rezultate se pot obține prin încălziri cu flacără oxiacetilenică cu rezistență electrică de contact, cu curenți induși sau prin încălziri parțiale în băi de săruri sau metale topite, a căror temperatură este înaltă. Încălzirea superficială permite concentrarea unor energii mari: 25 000 W/cm<sup>2</sup> la încălzirea prin curenți induși de mare frecvență; 1 500 W/cm<sup>2</sup> la încălzirea cu flacără oxiacetilenică și 15 W/cm<sup>2</sup> la încălzirea în băi de săruri.

## 14.2.3.1. CĂLIREA PRIN ÎNCĂLZIRE CU FLACĂRĂ OXIACETILENICĂ.

Piesa primește o mișcare de rotație, iar arzătorul se deplasează de-a lungul generatoarei cu o anumită viteză (fig. 14.24) fiind urmat la o distanță „a” de conducta de răcire prin care se transmite lichidul de răcire sub presiune de 2—4 at.

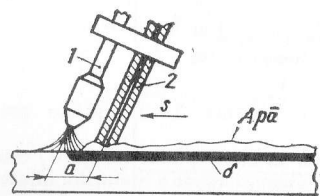


Fig. 14.24. Schema călirii prin încălzire cu flacără oxiacetilenică:

1 — arzător; 2 — conductă de răcire

Adâncirea stratului călit ( $\delta = 5 \dots 10$  mm) depinde de avansul arzătorului, intensitatea flăcării, distanța dintre arzător și conducta de răcire și se calculează cu relația:

$$\delta = f \left( \frac{1}{I_f}; \frac{1}{s}; a \right)$$

în care:  $I_f$  este intensitatea flăcării;

$s$  — avansul arzătorului;

$a$  — distanța dintre arzător și conducta de răcire.

La acest procedeu de călire materialul se supraîncălzește și se oxidează nu se pot stăpini toți parametrii încălzirii, ceea ce constituie un mare neajuns. Metoda se folosește la călirea batiurilor de mașini unelte, arborilor, roților dințate, frezelor.

14.2.3.2. CĂLIREA PRIN ÎNCĂLZIRE CU REZISTENȚĂ ELECTRICĂ DE CONTACT. Piesa execută o mișcare de rotație și este în legătură cu circuitul secundar al unui transformator de curent electric ( $U = 2 \dots 4$  V;  $I = 500 \dots 1500$  A) (fig. 14.25). Prin trecerea curentului de la electrod la piesă, pe suprafața de contact (electrod-piesă) apare o densitate mare de curent care datorită efectului Joule-Lenz va provoca încălzirea straturilor superficiale într-un timp scurt.

Electrodul de cupru (disc) se deplasează cu un anumit avans pe generatoarea piesei. Răcirea piesei se face cu lichid sub presiune (1—2 at.). Pe suprafața piesei apar benzi de duritate diferită (la călirea succesivă a straturilor pe generatoare se creează condiții de revenire a unor zone).

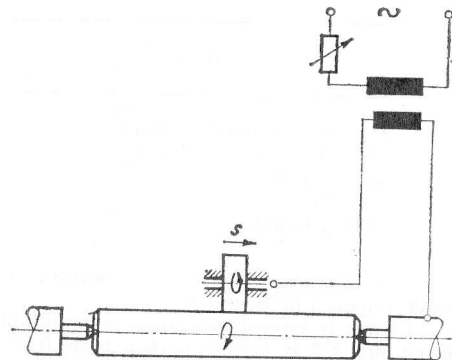


Fig. 14.25. Schema instalației de călire prin contact electric

Productivitatea mică și apariția benzilor de duritate diferită constituie neajunsuri ale metodei și de aceea răspîndirea ei în producție nu este prea mare.

14.2.3.3. CĂLIREA PRIN ÎNCĂLZIRE CU CURENȚI INDUȘI DE ÎNALTĂ FRECVENȚĂ. Piesa este înconjurată cu un inductor străbătut de un curent alternativ de înaltă frecvență. Încălzirea straturilor superficiale se realizează datorită curenților induși și datorită efectului pelicular. Forma și dimensiunile inductoarelor este adaptată la piesa de tratat pentru a se obține densități mari de flux magnetic.

Adâncimea de pătrundere a curenților induși depinde de caracteristicile fizice ale materialului și de frecvența curentului folosit:

$$p = 5 \cdot 0,3 \cdot 10^3 \sqrt{\frac{\mu \rho}{f}} \text{ [mm]}. \quad (14.1)$$

în care:  $f$  este frecvența curentului folosit, Hz;

$\mu$  — permeabilitatea magnetică, H/m;

$\rho$  — rezistivitatea materialului,  $\Omega\text{m}$ .

Cum  $\mu$  și  $\rho$  variază cu temperatura ( $\mu$  devine aproape nul la deplasarea punctului Curie, iar  $\rho$  crește puțin) pătrunderea curentului va fi dependentă de frecvență.

Adâncimea de încălzire  $\delta$  va fi egală cu pătrunderea curenților induși dacă:  $10 p > 2r > 4,5 p$ .

Clasificarea frecvențelor de lucru se face convențional în funcție de raportul  $r/p$ :

$$\frac{r}{p} < 1,77 \text{ — frecvență joasă};$$

$$1,77 < \frac{r}{p} < 10 \text{ — frecvență medie};$$

$$\frac{r}{p} > 10 \text{ — frecvență înaltă}.$$

Nu se vor supune încălzirii prin curenți de înaltă frecvență pentru a fi călite piese cu diametrul sub 3 mm (se produce încălzire pe toată secțiunea).

Încălzirea prin curenții de înaltă frecvență se face cu viteză mare, punctele de transformare se deplasează la temperaturi mai înalte, crește viteza de germinare, se va obține austenită omogenă, cu granulație mai fină. La răcire se obține martensită ce prezintă microvolume cu neomogenități importante, cresc stările tensionate, crește viteza critică de călire și se obțin caracteristici mecanice mai ridicate.

Date tehnice de la încălzirea prin C.I.F. Puterea specifică absorbită

$$P_s = 2\pi H_0^2 \sqrt{\mu \rho f} \text{ [W/m}^2\text{]}. \quad (14.2)$$

Puterea specifică absorbită nu depinde de dimensiunile piesei ci de intensitatea cîmpului magnetic inductor ( $H_0$ ) și caracteristicile materialului ( $\rho$ ,  $\mu$ ) (tabelul 14.5).

Randamentul de transfer al energiei de la inductor la piesă este mult mai mare dacă există diferență între materialul inductorului și al piesei (de exemplu: inductor de cupru, piesă de oțel:  $\eta_t = 87-98\%$ , iar inductor de cupru, piesă de cupru:  $\eta_t = 50\%$ ).



Tabelul 14.5

Puterea specifică absorbită în încălzirea prin curenți de înaltă frecvență

Material	Puterea specifică $P_s$ , W/cm <sup>2</sup>			Observații
	$f = 10$ KHz	100 KHz	1 MHz	
Cupru	0,35	0,13	14	
Oțel	0,35	1,1	3,5	peste punctul Curie
	4,5	14	45	sub punctul Curie

Puterea necesară încălzirii piesei:

$$P = KP_i \text{ [J/s]}, \quad K = 4,18 \text{ [J/cal]}, \quad (14.3)$$

$$P_i = mc \frac{\Delta\theta}{\Delta t} \text{ [W]}, \quad (14.4)$$

în care:  $m$  este masa materialului supus încălzirii; $c$  — căldura specifică, J/kg . grad; $\frac{\Delta\theta}{\Delta t}$  — viteza de încălzire, K/s.

Puterea necesară încălzirii pe unitatea de volum:

$$P_v = \frac{P_i}{V} \text{ [J/s . cm}^3\text{]}, \quad (14.5)$$

în care:  $V$  este volumul de material încălzit, m<sup>3</sup>.

Energia necesară la călirea superficială se calculează cu relația:

$$W = W_v \delta A \text{ [J]}, \quad (14.6)$$

în care:  $W_v = 4\,600 \text{ J/cm}^3$  este energia necesară unui cm<sup>3</sup> de oțel pentru a suferi transformarea la 1 073°K; $\delta$  — adâncimea stratului călit, cm; $A$  — suprafața supusă încălzirii, cm<sup>2</sup>.

Puterea specifică pentru încălzirea unității de volum:

$$P_s = \frac{W_v \delta}{t_i} \text{ [W/cm}^2\text{]}, \quad (14.7)$$

în care  $t_i$  este timpul de încălzire, s.

Tabelul 14.6

Puterea specifică necesară pentru încălzirea cu curenți de înaltă frecvență

Material	Puterea pe unitatea de masă, kW/g	Puterea specifică $P_s$ , kW/cm <sup>2</sup>
Cupru	1,2	11
Oțel	0,65	5,1

Puterea specifică depinde de  $\rho$ ,  $\mu$  și de temperatura de încălzire, și ca atare relația (14.7) nu dă decît valori aproximative și este necesar de a se stabili experimental ținînd seama de condițiile de lucru.

Pentru viteza de încălzire de 1 000°C/s, puterea specifică se dă în tabelul 14.6.

Din punct de vedere tehnologic călirea prin încălzire cu curenți de înaltă frecvență poate fi simultană (fig. 14.26) sau succesivă (fig. 14.27).

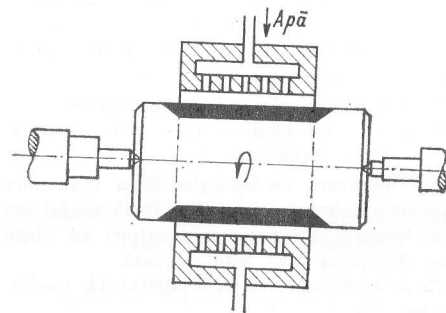


Fig. 14.26. Călirea simultană la încălzirea prin CIF

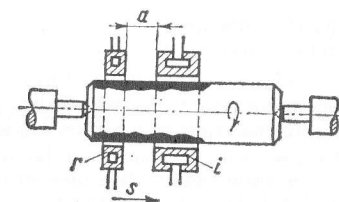


Fig. 14.27. Călirea succesivă la încălzirea prin CIF

#### 14.2.4. TRATAMENTE TERMOCHIMICE APLICATE OȚELURILOR ȘI FONTELOR

Tratamentele termochimice provoacă atît modificări de structură cît și de compoziție chimică a straturilor superficiale. Modificarea compoziției chimice are loc datorită îmbogățirii straturilor superficiale cu un anumit element de aliere (C, N, Al, Cr, S etc.).

Pentru realizarea tratamentului termochimic, piesele trebuie să se încălzească la temperaturi mai înalte sau mai joase decît temperaturile de transformare, în medii bogate în elemente cu care se urmărește să se îmbogățească straturile superficiale.

În timpul încălzirii pieselor pentru tratamentul termochimic au loc procesele elementare: disocierea mediului și apariția de atomi activi, absorbția acestor atomi în piesă, difuziunea atomilor activi.

14.2.4.1. CEMENTAREA. Cementarea este un tratament termochimic prin care se obține îmbogățirea în carbon a straturilor superficiale. Se supun cementării oțelurile cu un conținut mai mic de 0,25% C. Ca mediu de încălzire se folosește un amestec format din 40% mangal de mesteacăn și 20% carbonat de sodiu (pentru cementare în mediu solid), sau 76–83% Na<sub>2</sub>CO<sub>3</sub> + 11–14% NaCl + 6–10% SiC (pentru cementare în mediu lichid), oxid de carbon, gaz metan (pentru cementare în mediu gazos).

Cementarea se realizează prin: încălzire la 1 173—1 223°K (sau la 1 123—1 173 K în cazul cementării în mediul lichid sau gazos) timp de 8—10 h pentru o adâncime de 1 mm a stratului cementat (durata cementării scade la 4—5 h în cazul folosirii mediilor lichide sau gazoase).

Porțiunile din piesă care nu trebuie cementate se protejează prin cuprare sau prin acoperire cu silicat de sodiu (filete, capete).

După cementare piesele se supun la călire și revenire joasă. Călirea poate fi: simplă, când răcirea se face în apă sau ulei direct de la temperatura de cementare, indirectă, când piesele se răcesc de la temperatura de cementare în aer, se încălzesc la temperatura de călire și apoi se răcesc în apă sau ulei și dublă când se aplică o tehnologie similară cu cea a călirii indirecte cu deosebirea că se face în plus o a doua călire de la temperatură ceva mai joasă. Cele mai bune rezultate se obțin la călire dublă deoarece se obține o structură mai fină și caracteristici mecanice mai mari.

**14.2.4.2. NITRURAREA.** Nitrurarea este tratamentul termochimic prin care se realizează îmbogățirea straturilor superficiale în azot.

Piesele călite, revenite și prelucrate la cote finale se încălzesc în atmosferă de amoniac la temperaturi de 773—823°K și se mențin circa 40—60 h (se obține o adâncime de strat nitrurat de 0,2—0,4 mm).

Adâncimea stratului nitrurat depinde de temperatura de încălzire (este mai mare dacă temperatura este mai înaltă) și de compoziția chimică a oțelului. Dacă oțelul are conținut mai ridicat în carbon sau este aliat cu elemente care formează carburi se obțin adâncimi mai mari ale stratului nitrurat, dar duritatea este mai ridicată.

Se recomandă răcirea pieselor în atmosferă de amoniac până la temperatura mediului ambiant, pentru a obține suprafețe lucioase.

Zonele din piese care nu trebuie nitrurate se protejează cu silicat de sodiu, cupru depus electrolic sau vopsele speciale.

Piesele nitrurate prezintă rezistență mare la uzură, la oboseală și la coroziune. Se pot nitrura oțelurile carbon de construcție, oțelurile aliate și fontele. Se obțin rezultate mai bune la oțelurile și fontele aliate.

**14.2.4.3. CARBONITRURAREA.** Carbonitrurarea este tratamentul termochimic prin care se realizează îmbogățirea straturilor superficiale în carbon și azot.

Piesele se încălzesc în mediu bogat în azot și carbon (amestec de 75% gaz metan și 25% amoniac) la temperaturi de 1123—1223°K timp de 3—5 h funcție de grosimea stratului carbonitrat ce trebuie obținut ( $\delta = 0,5 \dots 0,7$  mm).

Piesele supuse carbonitrurării trebuie curățate de grăsimi, uleiuri etc. înainte de introducerea în cuptor. Curățirea se poate realiza cu diferite substanțe degresante prin introducerea pieselor în băi alcaline sau instalații speciale de tricloretilenă.

Carbonitrurarea se poate realiza încălzind piesele în mediul gazos format din hidrocarburi și amoniac (procentul de amoniac se recomandă să fie de 20% până la 1123 K și de 10% la temperaturi mai înalte). Se recomandă următoarea tehnologie de lucru: piesele se încălzesc până la 973°K, se introduce apoi gazul metan (sau alte hidrocarburi) și se menține un timp de 0,5—1 h; cu jumătate de oră înainte de terminarea procesului se oprește introducerea hidrocarburilor și se lasă numai amoniacul. Respectarea acestei tehnologii favorizează obținerea unui strat de legătură între miezul și straturile superficiale ale piesei și se împiedică formarea rețelei de carburi la limitele grăunților

Se recomandă ca debitul de hidrocarburi și amoniac să se regleze funcție de posibilitatea de absorbție a atomilor activi de către suprafața pieselor supuse carbonitrurării.

Perfecționarea procedurii de carbonitrurare s-a realizat prin folosirea atmosferelor controlate, cu adaosuri de hidrocarburi și amoniac. Atmosfera controlată se obține în generatoare endoterme la care se adaugă 3—7% gaz metan și 2—15% amoniac anhidru. Debitul gazelor de atmosferă controlată se stabilește funcție de mărimea camerei de lucru (respectiv suprafața totală a pieselor supuse carbonitrurării) și de punctul de rouă. Se recomandă să se folosească un debit de 12—14 m<sup>3</sup>/h pentru fiecare metru cub al camerei de lucru (atmosfera controlată având punctul de rouă 388 K) la care se adaugă 10% amoniac și 5% gaz metan, fapt care face ca la temperatura de 1173 K și durata de 3—4 h grosimea stratului carbonitrat să fie de 0,4—0,6 mm.

Călibritatea straturilor carbonitrate este bună și răcirea pieselor se poate face în ulei. Spre a se evita scăderea conținutului în azot al straturilor superficiale și pentru ca suprafața pieselor să fie lucioasă se recomandă ca răcirea în ulei să se facă sub atmosferă bogată în amoniac.

Carbonitrurarea se poate aplica oțelurilor carbon de construcție, oțelurilor aliate de construcție, fontelor cu grafit nodular și fontelor maleabile. Piesele carbonitrate prezintă stabilitatea la revenire [și păstrează proprietățile mecanice și la temperaturi înalte (673—723 K)] și au o rezistență la uzură de circa 2—3 ori mai mare ca cele cementate.

#### 14.2.5. UTILAJE PENTRU ÎNCĂLZIREA PIESELOR SUPUSE TRATAMENTULUI TERMIC

Pentru încălzirea integrală a pieselor se folosesc diferite cuptoare cu flacără, cu rezistențe electrice, băi de săruri și metale topite.

La alegerea și construirea unui cuptor de tratament termic trebuie:

- să fie posibilă obținerea unei anumite temperaturi și cantități de căldură;
- să se poată regla ușor temperatura;
- să se poată obține o anumită atmosferă de lucru (în general reducătoare);
- să se poată realiza o anumită capacitate de producție.

Cuptorul trebuie să producă o cantitate de căldură (la temperatura dorită) care să asigure încălzirea încălzirii și compensarea pierderilor. În același timp va trebui să asigure o uniformitate a temperaturii în toată masa încălzirii.

În plus, se va ține seama de dimensiunile pieselor la dimensionarea spațiului de lucru.

**14.2.5.1. CUPTOARE CU FLACĂRĂ.** Schema de principiu a unui cuptor cu flacără este reprezentat în fig. 14.28.

Capacitatea productivă a cuptorului cu flacără se poate determina folosind ipotezele:

- transferului de căldură către încălzitură;
- uniformizarea temperaturii în încălzitură.

**Calculul capacității productive în ipoteza transferului de căldură către încălzitură.** Pentru a calcula puterea de încălzire în această ipoteză se recomandă să se folosească coeficienții globali de transmitere a căldurii. Prin coeficient global de transmitere a căldurii se înțelege valoarea medie a coeficienților de transmitere a căldurii prin convecție, radiație, conductibilitate.

Valoarea coeficienților globali de transmitere a căldurii se stabilește în funcție de temperatura agentului termic și a piesei. În mod obișnuit valoarea coeficientului global de transmitere a căldurii se alege din diagrama prezentată în fig. 14.29, ținând seama de temperatura încălzirii ( $\theta_{inc}$ ) și de temperatura flăcării ( $\theta_{fl}$ ).

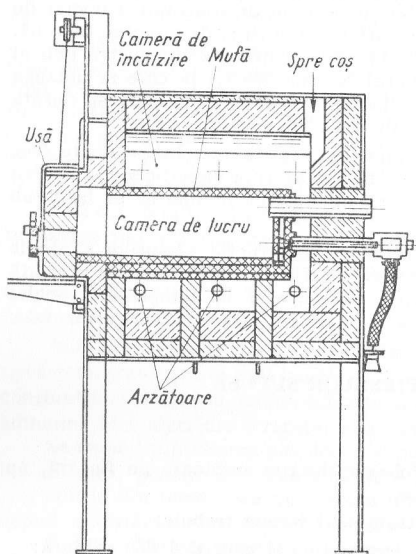


Fig. 14.28. Secțiune transversală schematică a unui cuptor cu flacără

Cantitatea de căldură transmisă piesei de un metru pătrat de suprafață din instalația de încălzire se calculează cu relația:

$$Q_s = K'' \theta_{med} t \quad [\text{J/m}^2]. \quad (14.8)$$

În calcul se recomandă să se folosească temperatura medie care ține seama de posibilitățile încălzirii uniforme a piesei la suprafață și în miez.

Temperatura medie se calculează cu relația:

$$\theta_{med} = \theta_f - \theta_s + 0,4 \theta_i \quad [\text{K}], \quad (14.9)$$

în care:  $\theta_f$  este temperatura agentului termic;  $\theta_s$  — temperatura suprafeței încălzirii;  $\theta_i$  — temperatura miezului încălzirii.

Pentru a nu se crea o stare puternic tensionată se recomandă ca diferența între temperatura suprafeței și miezului piesei să nu fie mai mare de 40°C:

$$\theta_{med} = \theta_f - \theta_s + 0,4(\theta_s - 40) = \theta_f - 0,6 \theta_s - 16 \quad [\text{K}]. \quad (14.10)$$

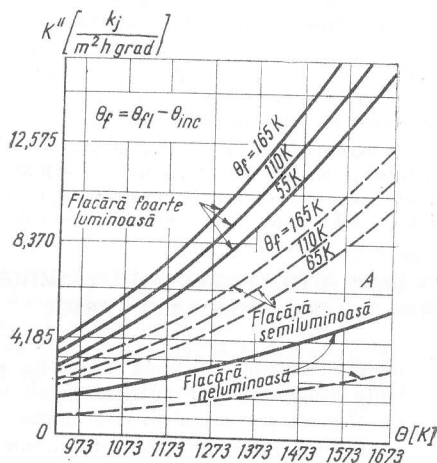


Fig. 14.29. Coeficienții globali de transmitere a căldurii către încălzire:

Cantitatea de căldură necesară încălzirii încălzirii se calculează folosind căldura latentă caracteristică materialului respectiv:

$$Q_2 = m_s \Delta L_t = m_s (L_{t2} - L_{t1}) \quad [\text{J/m}^2], \quad (14.11)$$

în care:  $m_s$  este masa încălzirii pe un  $\text{m}^2$  din suprafața vetrei;

$L_{t2}$  = căldura latentă la temperatura de încălzire a încălzirii;

$L_{t1}$  = căldura latentă la temperatura ambiantă a încălzirii.

Cantitatea de căldură produsă pe unitatea de suprafață a instalației se presupune că se transmite integral încălzirii. Pe această bază se poate scrie:

$$K'' \theta_{med} t = m_s (L_{t2} - L_{t1}), \quad (14.12)$$

$$t = \frac{m_s (L_{t2} - L_{t1})}{K'' \theta_{med}} \quad [\text{s}]. \quad (14.13)$$

Cunoscând timpul în care se face încălzirea încălzirii, pentru fiecare metru pătrat de suprafață se poate calcula ușor capacitatea de încălzire a unui cuptor cu vatra de o anumită suprafață și cu încălzirea specifică cunoscută.

Notînd cu  $A$  suprafața totală a vetrei cuptorului, în  $\text{m}^2$  și cu  $m_s$  încălzirea specifică, în  $\text{kg/m}^2$ , capacitatea de încălzire a cuptorului va fi:

$$m_o = \frac{A m_s}{t} \quad [\text{kg/h}]. \quad (14.14)$$

Se recomandă ca amplasarea pieselor în cuptor să fie judicios aleasă pentru a asigura o încălzire uniformă și într-un timp cât mai scurt.

**Calculul capacității productive în ipoteza uniformizării temperaturii în încălzire.** În cazul pieselor cu dimensiuni mari și conductibilitate termică scăzută factorul determinant la calculul puterii de încălzire al cuptorului este timpul de încălzire în care se face uniformizarea temperaturii în încălzire.

Diferența de temperatură între suprafața și miezul piesei prezintă importanță mare în două perioade:

— la sfîrșitul încălzirii, cînd trebuie cunoscută exact valoarea diferenței de temperatură între suprafață și miez, pentru a obține prin tratamente termice transformările dorite;

— în timpul încălzirii, cînd în funcție de diferența de temperatură între suprafață și miezul piesei se alege viteza de încălzire de așa manieră încît să nu producă deteriorarea acestora (fisurări, crăpături, deformări).

Dacă încălzirea se face într-un cuptor la care temperatura depășește cu 35–55 K pe cea a încălzirii se poate admite că practic nu există perioadă de uniformizarea bine definită. Din contră dacă încălzirea este încălzită într-un cuptor a cărui temperatură depășește cu 150–200 K pe cea a încălzirii, uniformizarea începe atunci cînd temperatura cuptorului a scăzut la cea a piesei (cuptorul fiind scos din circuit după ce temperatura suprafeței piesei a atins valoarea impusă).

Durata acestei perioade este greu de stabilit. Durata încălzirii se admite a fi proporțională cu dimensiunile încălzirii în timp ce durata uniformizării nu respectă această proporționalitate.

Determinarea timpului de egalizare a temperaturii, când temperatura suprafeței este menținută constantă în timpul uniformizării, se poate face comod folosind relația:

$$k_0 = \frac{\Delta\theta_1 \text{ Diferența de temperatură admisă la sfârșitul uniformizării}}{\Delta\theta \text{ Diferența de temperatură existentă la începutul uniformizării}} \quad (14.15)$$

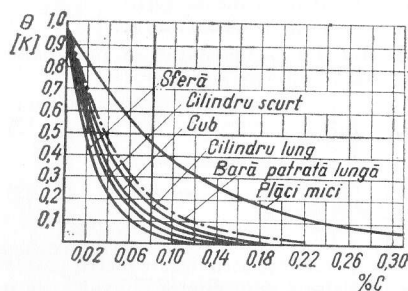


Fig. 14.30. Nomogramă pentru determinarea coeficienților de calcul ai timpului de uniformizare a încălzirii.

— se calculează valoarea raportului  $k_0$ , admițând o valoare minimă a diferenței finale între temperatura suprafeței și miezul piesei (la tratamente termice se admite maximum 40°K);

— în funcție de valoarea raportului  $k_0$  cu diagrama din fig. 14.30 se stabilește valoarea lui  $k$ ;

— cunoscând valoarea lui  $k$  timpul de uniformizare se poate calcula cu formula:

$$t = \frac{k \delta^2}{a} \quad [\text{s}]. \quad (14.17)$$

În funcție de forma piesei și valoarea  $k_0$  din diagrama 14.30 se stabilește valoarea coeficientului  $k$ , care ține seama de timpul de uniformizare, de difuzibilitatea termică și de dimensiunile piesei:

$$k = \frac{at}{\delta^2}, \quad (14.16)$$

în care:  $a$  este difuzibilitatea,  $\text{m}^2/\text{s}$ ;  $t$  — timpul de menținere pentru uniformizare, s;  $\delta$  — grosimea piesei, m.

Calculul timpului de uniformizare se face în felul următor:

— se calculează difuzibilitatea materialului;

Capacitatea de încălzire a cuptoarelor electrice se determină în funcție de puterea specifică admisibilă a elementului de încălzire ( $P_s \text{ adm}$ ).

Valoarea lui  $P_s \text{ adm}$  se alege în funcție de materialul elementului de încălzire și de temperatura de lucru. În tabelul 14.7 se dau câteva exemple.

Tabelul 14.7

Puterea specifică admisibilă pentru rezistențe electrice metalice

Aliajul folosit pentru rezistență	Puterea specifică admisibilă $P_s \text{ adm}$ , W/cm <sup>2</sup>							
	Temperatura, K							
	573	573—673	673—873	873—1073	1073—1173	1173—1273	1273—1373	1373—1473
20% Cr + 30% Ni + 50% Fe	3	2,5	2	1,5	1	—	—	—
<0,15% C; 15—18% Cr; 55—61% Ni; 15% Mn; <1% Si; restul Fe	3,5	3	2,5	2	1,5	—	—	—
<0,15% C; 20—23% Cr; 75—78% Ni; 1,5% Mn; 0,5% Si; restul Fe	4	3,5	3	2,5	2	1	0,8	—
20% Cr; 5% Al; 0,5% Co restul Fe	—	—	—	—	—	2—3 2,7	1,8	1,3 1,8

De obicei interesează capacitatea de încălzire pe unitatea de suprafață a vetrei cuptorului și de aceea se aproximează că suprafața de pozare a rezistențelor electrice metalice este egală cu dublul suprafeței vetrei.

Încărcarea pe unitatea de suprafață a vetrei va fi:

$$P_s = 2 k P_s \text{ adm} \quad [\text{W/cm}^2]. \quad (14.18.)$$

$k = 0,75$  este un coeficient ce ține seama că rezistențele electrice ocupă numai 75% din suprafața peretelui pe care sînt montate.

Ținînd cont de suprafața vetrei cuptorului ( $A$ ) se determină puterea totală:

$$P_t = P_s A \quad [\text{W}]. \quad (14.19)$$

Rezistența electrică se determină cu relația:

$$R = \frac{U^2}{P_t} \quad [\Omega] \text{ (pe o fază)}. \quad (14.20)$$



Dimensiunile rezistenței se determină cu relațiile:

$$\text{Lungimea: } l = \frac{P_t}{\pi d \rho_{s \text{ adm}}} = \frac{R A_s}{\rho} \quad [\text{m}], \quad (14.21)$$

$$\text{Diametrul: } d = \sqrt[3]{\frac{4 \rho_{s \text{ adm}} P_t^2}{\pi^2 U^2 P_{s \text{ adm}}}} \quad [\text{m}]. \quad (14.22)$$

La cuptoarele cu bare de silită se recomandă alimentarea prin intermediul unui transformator cu prize multiple și montarea după schema prezentată în fig. 14.31.

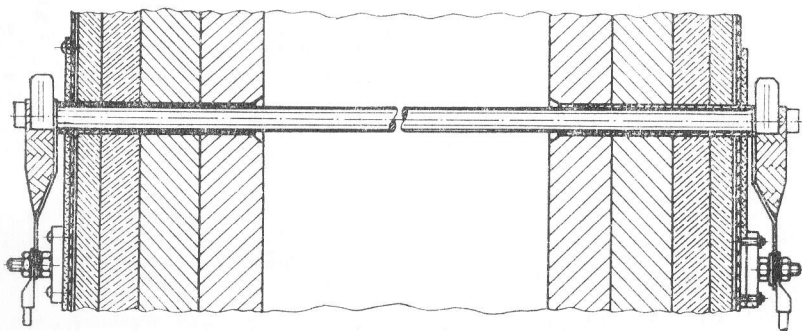


Fig. 14.31. Schema montării barelor de silită

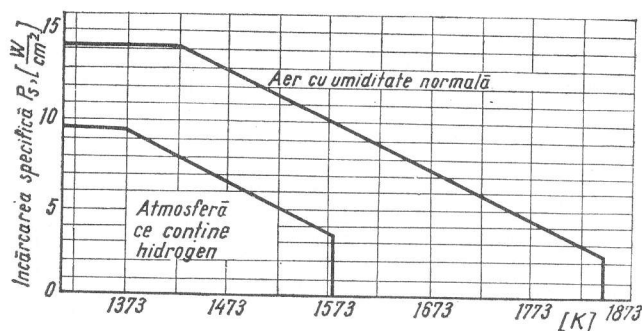


Fig. 14.32. Încărcarea specifică admisibilă a barelor de silită

Barele de silită se montează unele față de altele și față de pereții cuptorului la o distanță cel puțin egală cu dublul diametrului barei.

Încărcarea specifică a barei de silită este funcție de temperatura și natura atmosferei de lucru (fig. 14.32).

Calculul de dimensionare al barelor de silită este similar cu cel prezentat la rezistențele metalice.

14.2.5.3. CUPTOARE CU BĂI DE SĂRURI. Încălzirea acestora se poate face direct cu flacără, cu rezistențe electrice sau direct prin imersarea electrozilor în săruri

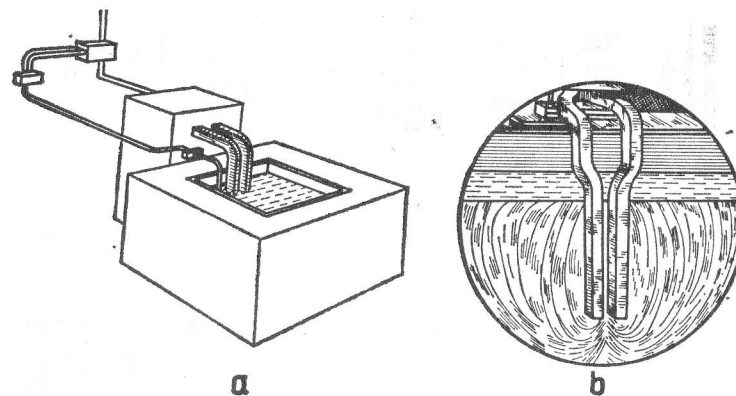


Fig. 14.33. Cuptor cu baie de săruri cu electrozi imersați

topite. Electrozii sînt alimentați cu curent alternativ prin intermediul unui transformator de joasă tensiune ( $U = 5 \dots 20 \text{ V}$ ,  $I = 1.000 \dots 8.000 \text{ A}$ ).

Între electrozi se exercită o forță electromagnetică suficientă ca să provoace circulația sărurilor topite (fig. 14.33).

Se recomandă ca distanța dintre electrozi să fie de 25–75 mm, să se imerseze cel puțin 250 mm și să fie distanța față de fundul creuzetului cu cel puțin 100 mm.

Punerea în funcțiune a cuptorului cu electrozi imersați se realizează prin topirea unei cantități mici de sare (prin rezistență electrică sau prin arc electric) în care apoi treptat se adaugă sare pînă la umplerea băii.

Cuptoarele cu băi de săruri au capacitate productivă mică, de aceea se recomandă folosirea mai multor băi montate în baterii (4–8).

14.2.5.4. INSTALAȚII PENTRU ÎNCĂLZIREA PRIN INDUCȚIE CU CURENȚI DE ÎNALTĂ FRECVENȚĂ. Aceste instalații sînt realizate într-o gamă foarte variată:

a. Generatoare rotative pentru curenți de înaltă frecvență; se construiesc pentru puteri pînă la 200 kW,  $f = 200 \dots 10.000 \text{ Hz}$ ; și  $\eta_t = 0,7 \dots 0,8$  (fig. 14.34).

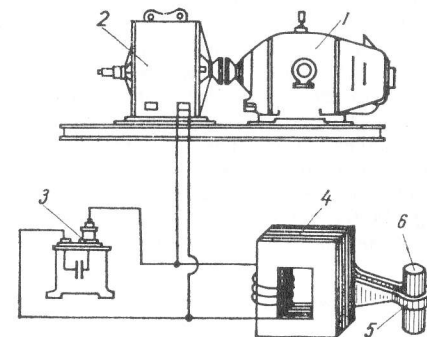


Fig. 14.34. Generator rotativ pentru curenți de înaltă frecvență:

1 - motor de antrenare; 2 - generator; 3 - condensatori; 4 - transformator; 5 - inductor; 6 - piesă



b. Generatoare electronice pentru curenți de înaltă frecvență (fig. 14.35). Se construiesc în general pentru puteri mari (pot fi și unități de putere mică) și frecvențe ridicate ( $f > 10.000$  Hz), putând atinge 300–500 MHz și  $\eta_t = 0,6 \dots 0,7$ .

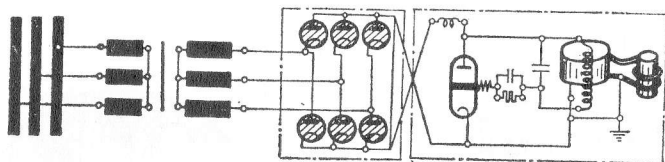


Fig. 14.35. Generator electronic pentru curenți de înaltă frecvență

Pentru călirile superficiale se recomandă folosirea generatoarelor electronice pentru curenți de înaltă frecvență.

#### 14.2.6. UTILAJE PENTRU RĂCIREA PIESELOR SUPUSE TRATAMENTULUI TERMIC.

În secțiile de tratament termic se folosesc diferite instalații de răcire, care pot fi grupate în: băi de răcire izoterme și băi de răcire continuă.

14.2.6.1. BĂILE DE RĂCIRE IZOTERMĂ. Sînt de fapt cuptoare cu băi de săruri sau metale topite, care prezintă o construcție similară cu cele folosite la încălzire (fig. 14.36). În funcție de temperatura la care se face menținerea izotermă se vor folosi diferite metale, aliaje sau amestecuri de săruri, toate îndeplinind condițiile arătate la cuptoarele băi pentru încălzire.

Băile de răcire continuă sînt de fapt recipiente cu diferite lichide (apă, soluții apoase, uleiuri etc) a căror construcție permite menținerea constantă a temperaturii lichidului și asigură răcirea unui anumit lot de piese. Băile de răcire pot fi prevăzute cu diferite mecanisme pentru manipularea pieselor.

14.2.6.2. BĂI DE RĂCIRE CU REÎMPROSPĂTAREA LICHIDULUI. De obicei în aceste băi se folosește apa drept mediu de răcire și menținerea constantă a temperaturii se realizează prin introducerea de lichid rece prin partea inferioară (fig. 14.37) sau și la anumite nivele pe pereții laterali, dacă baia are înălțime mare.

Calculul unor asemenea băi se face pornind de la bilanțul termic:

$$m(c_1\theta_i - c_2\theta_f) = Vc_l(\theta_{lf} - \theta_{li}) \quad (14.23)$$

în care:  $m$  este masa pieselor supuse răcirii, kg;  $c_1, c_2$  — căldurile specifice ale materialului răcit J/kg. grad;  $\theta_i$  — temperatura inițială K;  $\theta_f$  — temperatura finală, K;  $c_l$  — căldura specifică a mediului de răcire, J/m<sup>3</sup> grad;  $\theta_{lf}$  — temperatura finală a mediului de răcire, K;  $\theta_{li}$  — temperatura inițială a mediului de răcire, K;  $V$  — volumul lichidului de răcire m<sup>3</sup>.

Pentru apă se recomandă să se adopte:

$$\theta_{li} = 288 \dots 293 \text{ [K]} \text{ și } \theta_{lf} = \text{maximum } 313 \text{ [K]}.$$

Ținînd seama de volumul dislocuit de piesele introduse, de dilatația lichidului și de faptul că trebuie să nu se creeze curenți reci de apă, baia se prevede cu o pungă de evacuare al cărei volum se determină cu relațiile:

$$V_p = V_{l1} + V_{l2} \quad (14.24)$$

$$V_{l1} = \frac{\rho_i - \rho_f}{\rho_i} V; \quad V_{l2} = \frac{m}{\rho} \quad (14.25)$$

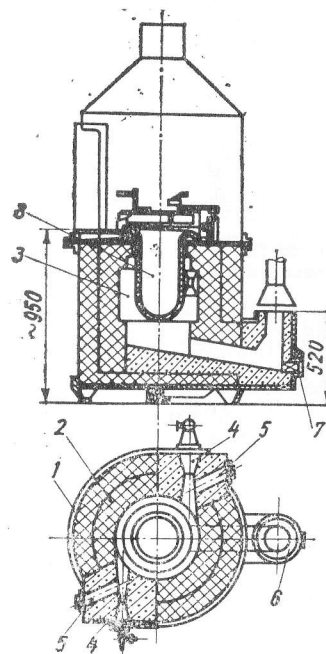


Fig. 14.36. Baie de răcire izotermă:

— carcasă metalică; 2 — cărămidă refractară; 3 — cameră de ardere; 4 — arzător; 5 — orificiu pentru aprindere; 6 — canal de fum; 7 — orificiu pentru evacuarea sărurilor; 8 — creuzet

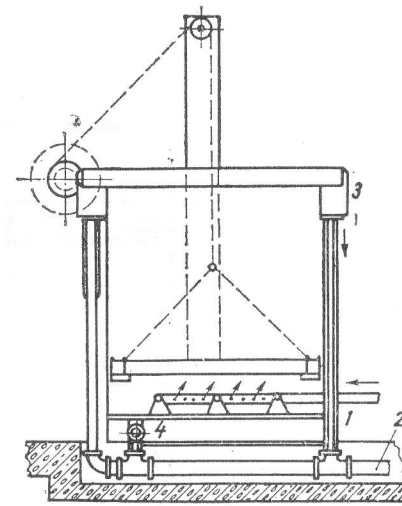


Fig. 14.37. Baie de răcire cu reîmprospătarea lichidului:

1 — conductă de aducțiune; 2 — conductă de evacuare; 3 — pungă de evacuare; 4 — robinet de golire

Volumul total al băii de răcire va fi:

$$V_t = V + V_p \text{ [m}^3\text{]} \quad (14.26)$$

Spre a stabili dimensiunile recipientului se ia în considerare lungimea maximă a pieselor și faptul că trebuie să existe un strat de lichid de cel puțin 250 mm deasupra pieselor.

Ținînd seama de lungimea pieselor se stabilește înălțimea recipientului și funcție de  $V_t$  se determină secțiunea transversală a băii.

Dimensionarea conductelor de introducere și de evacuare a lichidului se face ținând seama de debitul de lichid necesar pentru menținerea constantă a temperaturii și de viteza lichidului în conducte.

**14.2.6.3. BAI DE RĂCIRE LOCALĂ PRIN SERPENTINĂ.** În cazul folosirii uleiurilor și a produselor petroliere sau a soluțiilor apoase, menținerea constantă a tem-

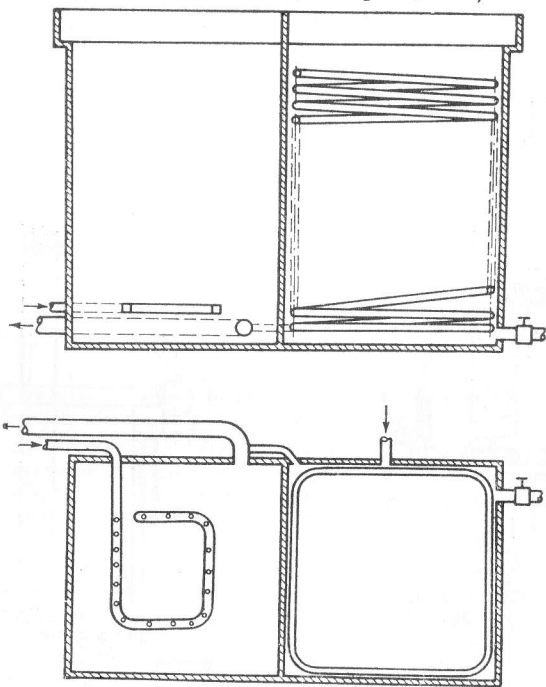


Fig. 14.38. Baie cu răcire locală prin serpentină

peraturii lichidului se realizează prin evacuarea căldurii introdusă de piesă, printr-o serpentină în care circulă apă sub presiune (fig. 14.38).

Cantitatea de căldură ce se poate evacua prin serpentină se determină cu relația:

$$Q_1 = \alpha A \theta_{med} t \quad [J], \quad (14.27)$$

în care:  $\alpha$  este coeficientul mediu de transmiterea căldurii de la ulei la apă prin pereții serpentinei ( $\alpha = 8 \dots 120 \text{ J/m}^2\text{s grad}$ );

$A$  — suprafața de schimb de căldură,  $\text{m}^2$ ;

$$\theta_{med} = \frac{\theta_{ui} + \theta_{uf}}{2} - \frac{\theta_{ai} - \theta_{af}}{2} \quad [^\circ K] \quad (14.28)$$

diferența medie între temperatura uleiului și a apei ( $\theta_{ui}$  și  $\theta_{uf}$  sunt temperaturile inițiale și finale ale uleiului iar  $\theta_{ai}$  și  $\theta_{af}$ , temperaturile inițiale și finale ale apei);

$t$  — timpul, s.

Cantitatea de căldură ce trebuie evacuată din baie pentru a menține temperatura constantă se calculează cu relația:

$$\theta_2 = \theta_{met} = m(c_i \theta_i - c_f \theta_f). \quad (14.29)$$

Va trebui ca:

$$Q_1 = Q_2.$$

Deci:

$$A = \frac{m(c_i \theta_i - c_f \theta_f)}{t \theta_{med}} \quad [\text{m}^2]. \quad (14.30)$$

Se poate apoi calcula debitul de apă necesar pentru menținerea temperaturii uleiului între anumite limite (303–353K) și luând în considerare viteza de circulație a apei: se determină dimensiunile conductei serpentinei (diametru, lungime).

Serpentina se fabrică din țevă de cupru și se așază dealungul pereților interiori ai recipientului, distanța dintre spire fiind cel puțin egală cu diametrul țevii folosite.

**14.2.6.4. BAI DE RĂCIRE MECANIZATE.** Pentru răcirea pieselor încălzite în instalații cu acțiune continuă se folosesc băi mecanizate, care se realizează într-o gamă foarte

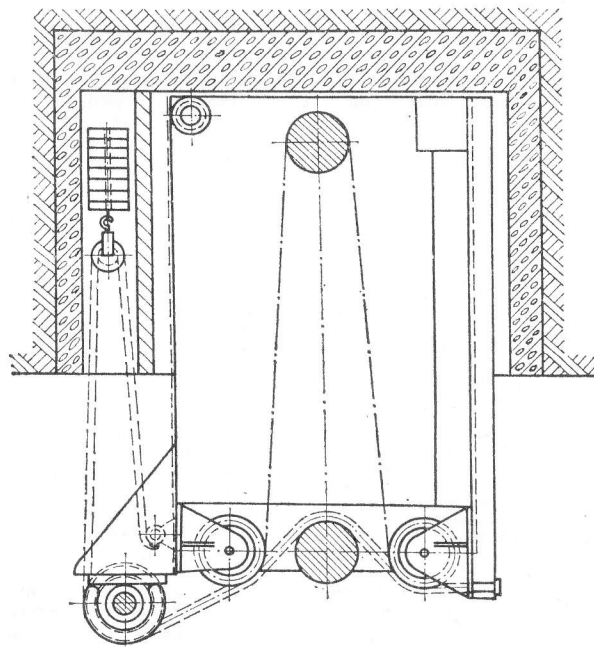


Fig. 14.39. Baie de răcire a arborilor și țevelor

variata. Spre ilustrare se prezintă schema de principiu ale băilor folosite pentru răcirea în poziție orizontală a pieselor de lungime mare (fig. 14.39) sau pentru răcirea unor loturi mari de piese de dimensiuni mici (fig. 14.40).

La calculul dimensional al acestor băi se ține seama și de bilanțul termic dar în ultimă instanță dimensiunile lor sînt date de cele ale dispozitivelor de evacuare a pieselor.

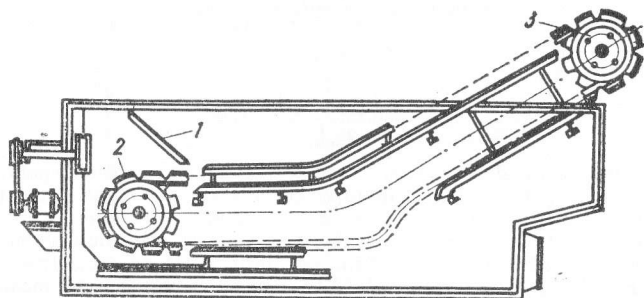


Fig. 14.40. Baie de răcire cu transportor:

1 — plan înclinat; 2 — bandă transportoare; 3 — roți de antrenare

La băile cu transportor se recomandă ca lichidul de răcire să aibă un nivel de cel puțin 300 mm peste partea orizontală a benzii transportorului.

## BIBLIOGRAFIE

1. BOLHOVITINOV, H. F. *Metallvedenie i termiceskaia obrabotka*. Moscova, Mašinostroiene, 1965.
2. BRUCE, CH. *Métallurgie physique*. Paris, Dunod, 1963.
3. COTTRELL, A. H. *Métallurgie structurale théorique*. Paris, Dunod, 1955.
4. GULEAEV, A. P. *Tratamentul termic al oțelului* (trad. din l. rusă), București, Editura tehnică, 1962.
5. MANTEA ȘT. ș.a. *Teoria și practica tratamentelor termice*. București, Editura tehnică, 1965.
6. POPOV, A. A., POPOVA, L. E. *Isotermiceskie i termocineticeskie diagrammi raspada pereohladjenogo austenita*. Moscova, Mașghiz, 1961.
7. SOKOLOV, V. N. *Încălzirea metalului* (trad. din l. rusă), București, Editura tehnică, 1959.
8. TRINKS, W. *Les fours industriels*. Paris, Dunod, 1957.
9. TRUȘCULESCU, M. *Tehnologia și utilajul tratamentelor termice*. Institutul Politehnic Timișoara, 1964.
10. TRUȘCULESCU, M. ș.a. *Îndrumător. Studii metalice* (Tratamente termice). Institutul Politehnic Timișoara, 1969.
11. VAZACA, CR. *Încălzirea prin inducție în joasă și înaltă frecvență*. București Editura Academiei R.S.R., 1956.
12. WEVER, F. ș.a. *Atlas zur Wärmebehandlung der Stähle*. Düsseldorf, 1954, 1956, 1958.
13. \* \* \* *Atlas of Isothermal Transformation Diagrams of B.S.En. Steels*. Londra, 1949.
14. \* \* \* *Comptes rendus de recherches*. In: Travaux du Centre National de Recherches Métallurgiques. Bruxelles, Belgia.
15. \* \* \* *Cercetări metalurgice*. București, I.C.E.M., 1964—1969.
16. \* \* \* *Mémoires scientifiques*. In: Revue de Métallurgie. Paris, 1965—1969.
17. \* \* \* In: Revue de Métallurgie. Paris, 1963—1969.
18. \* \* \* Studii și cercetări de metalurgie, tom. 9, 10, 11, 12. București, Editura Academiei.
19. MINKEVICI, A. N. *Tratamente termochimice* (traducere din l. rusă). București, Editura tehnică, 1968.

## 15. COROZIUNEA ȘI PROTECȚIA MATERIALELOR METALICE

### 15.1. CONSIDERAȚII GENERALE

Prin coroziunea metalelor se înțelege degradarea acestora sub acțiunea mediului înconjurător, adică combinarea lor cu mediul cu formare de produși solubili sau insolubili de coroziune.

Coroziunea se datorește instabilității termodinamice a metalelor, adică tendinței lor de a reacționa spontan cu mediul, respectiv cu unul sau mai mulți componenți ai mediului.

După natura mediului, se deosebesc de obicei următoarele tipuri de coroziune:

- coroziunea în gaze;
- coroziunea în soluții apoase de electrolit;
- coroziunea în săruri topite;
- coroziunea în lichide sau soluții organice;
- coroziunea în metale topite

Pentru inginerul constructor de mașini, de un interes deosebit sînt cazurile de coroziune care se încadrează în primele două tipuri.

### 15.2. CONSIDERAȚII TEORETICE ASUPRA COROZIUNII

#### 15.2.1. COROZIUNEA ÎN GAZE

Una din cele mai importante probleme de coroziune în gaze este oxidarea metalelor la temperatură înaltă.

Suprafața curată a multor metale expuse la aer se oxidează rapid, dacă reacția respectivă de oxidare



are loc cu scăderea energiei libere. În primul moment al interacțiunii moleculele de oxigen sînt adsorbite pe suprafața metalului și concomitent scindate în atomi. După aceasta are loc unirea atomilor de oxigen cu atomii de metal și formarea primului strat molecular de oxid (fig. 15.1).

Dacă pelicula de oxid formată prezintă proprietăți protectoare, viteza de reacție, foarte mare la început, scade repede cu timpul. La temperatura ordinară, în general, o peliculă încă invizibilă poate opri total procesul de coroziune și metalul se comportă practic stabil în atmosfera respectivă. La o temperatură mai ridicată însă, pelicula invi-

zibilă nu mai asigură în general o protecție satisfăcătoare, procesul de coroziune continuă, iar pelicula se îngroașă, trecând treptat prin diverse culori de interferență. La o încălzire prelungită, la temperaturi ridicate, se obțin de obicei pelicule groase de oxid.

Capacitatea de protecție a peliculelor de oxid depinde de permeabilitatea lor pentru substanțele cu care reacționează. O peliculă poroasă protejează, desigur, mult mai slab decât o peliculă compactă.

Porozitatea peliculelor de oxid depinde de raportul dintre volumul oxidului și al metalului din care s-a format, dat de relația:

$$V_{oxid} : V_{metal} = \frac{M}{\rho_{oxid}} : \frac{nA}{\rho_{metal}} \quad (15.2)$$

în care  $M$  și  $\rho_{oxid}$  reprezintă masa moleculară și densitatea oxidului,  $A$  și  $\rho_{metal}$  — masa atomică și densitatea metalului, iar  $n$  — numărul de atomi de metal din molecula de oxid (tabelul 15.1).

Dacă  $V_{oxid} : V_{metal} < 1$ , pelicula este poroasă și nu prezintă proprietăți protectoare. Dacă  $1 < V_{oxid} : V_{metal} < 1,5$ , pelicula este compactă, cu bune proprietăți protectoare. Dacă  $V_{oxid} : V_{metal} > 1,5$ , pelicula este compactă, dar are tensiuni interne pronunțate.

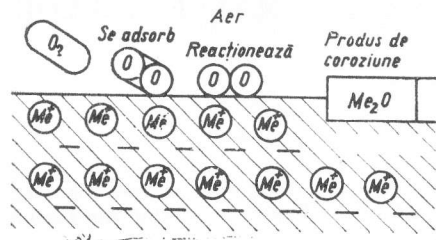


Fig. 15.1. Schema procesului de oxidare a metalelor

Tabelul 15.7

Valoarea raportului  $V_{oxid} : V_{metal}$  pentru câteva metale

Metalul	Oxidul	$V_{oxid} : V_{metal}$	Proprietățile peliculei de oxid
K Na Ca Ba Mg	K <sub>2</sub> O Na <sub>2</sub> O CaO BaO MgO	0,41 0,57 0,64 0,74 0,79	Pelicule de oxid poroase, fără proprietăți protectoare
Cd Al Pb	CdO Al <sub>2</sub> O <sub>3</sub> PbO	1,21 1,24 1,29	Pelicule de oxid compacte, cu proprietăți protectoare
Zn Ni Cu Cr Fe W	ZnO NiO Cu <sub>2</sub> O Cr <sub>2</sub> O <sub>3</sub> Fe <sub>2</sub> O <sub>3</sub> WO <sub>3</sub>	1,57 1,60 1,71 2,03 2,16 3,59	Pelicule de oxid compacte, cu proprietăți protectoare numai la grosimi mici

O peliculă poroasă nu poate proteja metalul de bază, din care cauză, la temperatură constantă, acesta se oxidează cu o viteză practic constantă, conform relației

$$x = K_1 t + K'_1 \quad (15.3)$$

în care  $x$  reprezintă grosimea peliculei,  $t$  — timpul, iar  $K_1$  și  $K'_1$  — constante.

Un caz tipic (fig. 15.2) îl constituie oxidarea magneziului la temperatură ridicată.

Dacă pelicula este compactă ar fi de așteptat ca după formarea primului strat monomolecular oxidarea să fie complet oprită și pelicula, neputând să crească, să rămână invizibilă. Experiența arată însă că chiar și straturi relativ groase prezintă o permeabilitate apreciabilă pentru substanțele care reacționează, așa că procesul de oxidare continuă.

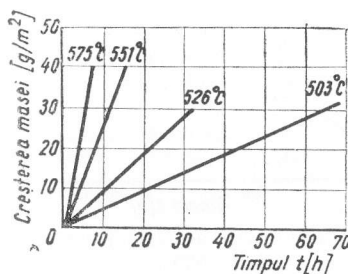


Fig. 15.2. Creșterea masei magneziului pur oxidat în oxigen pur

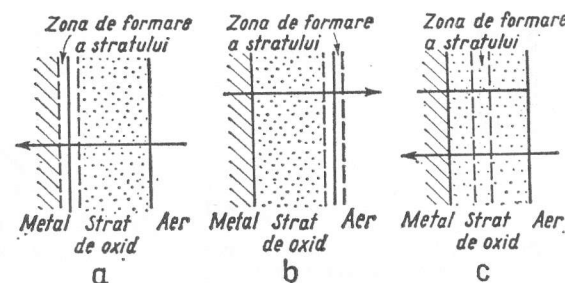


Fig. 15.3. Poziția zonei de formare a stratului de oxid în funcție de mecanismul de difuziune

Creșterea mai departe a stratului de oxid poate avea loc după următoarele trei scheme (fig. 15.3):

- atomii de oxigen difuzează prin pelicula de oxid din exterior spre metal; pelicula crește spre interior, adică la limita  $Me/MeO_n$  (fig. 15.3, a);
- atomii de metal difuzează prin pelicula de oxid spre exterior; pelicula crește spre exterior, adică la limita  $MeO_n/aer$  (fig. 15.3, b);
- difuziunea atomilor de oxigen spre interior are loc concomitent cu difuziunea atomilor de metal spre exterior; în acest caz atomii de oxigen se întâlnesc cu atomii de metal undeva în interiorul peliculei de oxid, care va fi și locul de creștere a peliculei (fig. 15.3, c).

Prin urmare, în cazurile cînd pelicula este compactă, hotărîtoare este difuziunea atomilor de oxigen și metal prin peliculă. Plecînd de la legile difuziunii, se deduce pentru aceste cazuri o lege de creștere parabolică:

$$x^2 = K_2 t + K'_2 \quad (15.4)$$

în care  $x$  reprezintă grosimea peliculei,  $t$  — timpul, iar  $K_2$  și  $K'_2$  — constante. Un caz tipic este oxidarea cuprului la temperatură ridicată (fig. 15.4).

Uneori, mai ales cînd sînt subțiri, peliculele pot crește după una din legile:

$$x^3 = K_3 t + K'_3 \quad (15.5)$$

sau:

$$x = K_4 \lg(K'_4 t + K'_4) \quad (15.6)$$

în care  $x$  reprezintă grosimea peliculei,  $t$  — timpul, iar  $K_3, K_4, K'_3, K'_4$  și  $K''_4$  — constante.

Dacă pelicula este compactă, dar  $V_{oxid} : V_{metal} > 1,5$ , tensiunile interne sînt așa de mari încît, după atingerea unei anumite grosimi, pelicula se exfoliază și procesul de oxi-

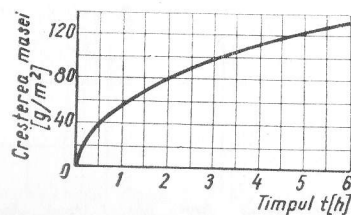


Fig. 15.4. Creșterea masei cuprului pur oxidat în aer la 800°C

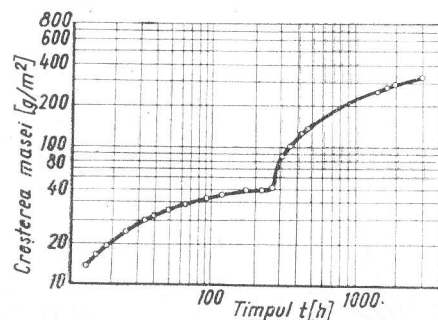


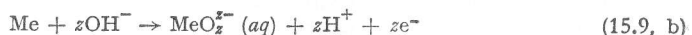
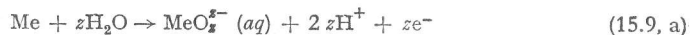
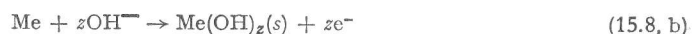
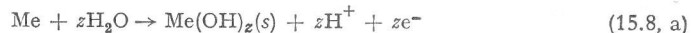
Fig. 15.5. Creșterea masei fierului oxidat în aer la 700°C

dare continuă nestingherit. Așa este cazul tipic de oxidare cu viteză neregulată a fierului (0,04% C, 0,06% Mn, 0,01% Si) în aer, la 700°C, datorită exfolierii sau fisurării peliculei de oxid (fig. 15.5).

### 15.2.2. COROZIUNEA ÎN SOLUȚII APOASE DE ELECTROLIT

Coroziunea în soluții de electrolit este un proces electrochimic. În zonele anodice atomii metalului părăsesc rețeaua metalică și trec în soluție în stare de ioni, sau sînt convertiți într-un compus insolubil al metalului.

15.2.2.1. TERMODINAMICA PROCESELOR DE COROZIUNE. În absența unui ion complexant sau precipitant, altul decît ionul  $\text{OH}^-$ , procesul anodic poate fi reprezentat prin una din reacțiile de electrod:



în care cu  $\text{aq}$  s-au notat produșii solubili, cu  $\text{s}$  — produșii greu solubili, iar cu  $z$  — valența ionului de metal.

Excesul de electroni care rezultă din reacția anodică încarcă negativ metalul și procesul anodic nu poate continua decît dacă pe suprafața metalului poate avea loc un proces catodic cuplat care să consume integral electronii puși în libertate de una din reacțiile (15.7) — (15.9).

În soluții apoase care sînt în contact cu atmosfera, procesul catodic cuplat poate fi reducerea ionilor de hidrogen



sau reducerea oxigenului dizolvat



În primul caz se vorbește de „coroziune cu depolarizare cu hidrogen” iar în al doilea caz de „coroziune cu depolarizare cu oxigen”.

Astfel, de exemplu, la dizolvarea unui metal mai puțin nobil (cu potențial standard mai negativ) decît hidrogenul într-un acid neoxidant (fig. 15.6), cele două reacții cuplate sînt redată prin ecuațiile (15.7) și (15.10), iar reacția globală prin ecuația:

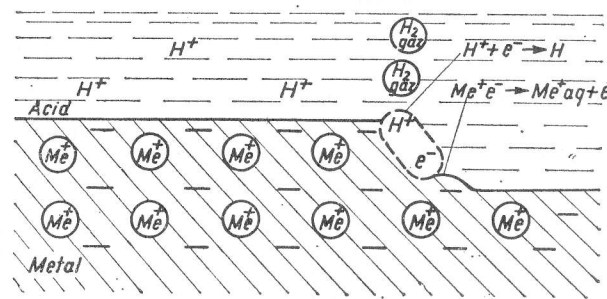


Fig. 15.6. Schema coroziunii unui metal cu depolarizare cu hidrogen

Uneori „depolarizantul”, substanța ce se reduce catodic, poate fi și un alt oxidant  $\text{Ox}$  prezent întîmplător în soluție, ca de exemplu  $\text{HNO}_3$ ,  $\text{KMnO}_4$ ,  $\text{K}_2\text{Cr}_2\text{O}_7$ ,  $\text{KNO}_3$  etc. Reducerea lui poate fi reprezentată prin reacția de electrod:



în care prin  $\text{Ox}$  s-a notat forma oxidată, iar cu  $\text{Red}$  — forma redusă a substanței.



Din punct de vedere electrochimic cele două reacții cuplate nu pot avea loc decît dacă potențialul de echilibru al procesului anodic de dizolvare a metalului este mai negativ decît potențialul de echilibru al procesului catodic cuplat:

$$\varepsilon_{Me} < \varepsilon_c \quad (15.14)$$

în care  $\varepsilon_c$  reprezintă la procesele de coroziune cu depolarizare cu hidrogen, potențialul de echilibru  $\varepsilon_{H_2}$  al electrodului de hidrogen, iar la procesele cu depolarizare cu oxigen, potențialul de echilibru  $\varepsilon_{O_2}$  al electrodului de oxigen.

Potențialul de echilibru al electrodului de hidrogen este redat de relația

$$\varepsilon_{H_2} = -0,059 pH - 0,029 \lg P_{H_2} \quad (15.15)$$

iar cel al electrodului de oxigen prin relația

$$\varepsilon_{O_2} = 1,23 - 0,059 pH + 0,014 \lg P_{O_2} \quad (15.16)$$

Și potențialele de echilibru ale proceselor (15.7)–(15.9) au fost măsurate sau calculate.

Echilibrul dintre un metal și soluția produșilor săi de coroziune este redat sugestiv de „diagrama de echilibru electrochimic”.

Fig. 15.7 redă o astfel de diagramă, într-o formă simplificată, pentru zinc. În diagramă sînt trecute, pentru o activitate a ionilor  $Zn^{2+}$  și  $HZnO_2^-$  egală cu  $10^{-6}$  mol/l și pentru presiunea de 1,013 daN/cm<sup>2</sup>, valorile potențialului de echilibru al electrozilor  $Zn/Zn^{2+}$ ,  $Zn/Zn(OH)_2 \cdot OH^-$ ,  $Zn/HZnO_2^-$ ,  $H_2/H^+$  și  $OH^-/O_2$ , în funcție de pH-ul soluției, precum și valorile pH-ului la echilibrul dintre  $Zn^{2+}$ , respectiv  $HZnO_2^-$  și  $Zn(OH)_2$ . Diferența  $(\varepsilon_{Me} - \varepsilon_{H_2})$ , respectiv  $(\varepsilon_{Me} - \varepsilon_{O_2})$ , este o măsură a instabilității termodinamice la un pH dat, în absența, respectiv în prezența oxigenului.

Săgețile 7, 8 și 9 din figură indică reacțiile reprezentate prin ecuațiile (15.7) – (15.9). Se vede că la pH-uri scăzute, deci în soluții puternic acide, zincul se corodează conform ecuației (15.7), cu formare de cationi solubili de  $Zn^{2+}$ ; la pH-uri ridicate, deci în soluții puternic alcaline, zincul se corodează conform ecuației (15.9), cu formare de anioni solubili  $HZnO_2^-$ ; la valori intermediare ale pH-ului se formează hidroxid de zinc,  $Zn(OH)_2$ , conform ecuației (15.8), care, fiind greu solubil, formează pe suprafața metalului o peliculă protectoare și, în consecință, zincul tinde să treacă în stare pasivă. Trebuie menționat că eficacitatea peliculelor formate din produși greu solubili în prevenirea coroziunii depinde de structura lor cristalină și de proprietățile lor mecanice, în special de adeziunea și compactitatea lor.

În diagramă se disting două zone, menționate prin „imunitate” și „pasivitate”. În care nu are loc coroziunea. Există însă o mare diferență între aceste două zone. În zona „imunitate” coroziunea nu poate avea loc din motive termodinamice, în timp ce în zona „pasivitate” coroziunea este posibilă termodinamic, dar este împiedecată de pelicula de hidroxid, care posedă proprietăți fizice și mecanice corespunzătoare unei pelicule pasivatoare.

În fig. 15.8 se dă diagrama de echilibru electrochimic (într-o formă simplificată) pentru fier. Din diagramă se vede că pînă la  $pH \approx 9,5$  fierul se corodează conform reacției (15.7), cu formare de cationi solubili de  $Fe^{2+}$  sau  $Fe^{3+}$ , în funcție de potențialul electrodului; la  $pH > 12$  fierul se corodează conform reacției (15.9) cu formare de ferat (II) alcalin; la valori intermediare ale pH-ului se formează  $Fe(OH)_2$ ,  $Fe_3O_4$  sau  $Fe_2O_3$ ,

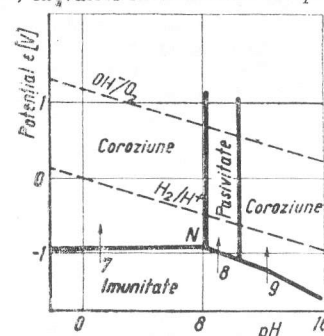


Fig. 15.7. Diagrama simplificată de echilibru electrochimic a zincului

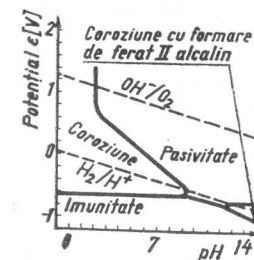


Fig. 15.8. Diagrama simplificată de echilibru electrochimic a fierului

în funcție de potențialul electrodului, și în consecință fierul tinde să treacă în stare pasivă.

**15.2.2.2. CINETICA PROCESELOR DE COROZIUNE.** În problemele practice de coroziune nu este atât de importantă cunoașterea posibilității teoretice de desfășurare a procesului, cît cunoașterea vitezelor reale cu care se desfășoară acesta. Dacă procesul de coroziune este posibil, dar are loc cu o viteză foarte mică, pierderile de metal pot fi neglijabile și metalul poate fi considerat ca rezistent la coroziune.

Viteza de coroziune se exprimă prin masa de metal distrus pe unitate de suprafață în unitate de timp, sau prin adîncimea la care au ajuns deteriorările în unitate de timp. Mărimile sînt exprimate, de obicei, în g/m<sup>2</sup> · h sau, respectiv, în mm/an.

În practică se consideră că un metal cu densitatea 7 000 ... 8 000 kg/m<sup>3</sup> care se dizolvă cu o viteză de 0,1 g/m<sup>2</sup> · h este foarte rezistent la coroziune. O viteză de zece ori mai mare, adică de 1 g/m<sup>2</sup> · h reprezintă o rezistență la coroziune încă acceptabilă, iar dacă viteza depășește această valoare, rezistența este nesatisfăcătoare. Desigur, în funcție de cazul concret urmărit, aceste limite pot fi deplasate spre valori mai mici sau mai mari ale vitezelor de coroziune.

Deoarece procesul anodic de dizolvare a metalului sau de convertire a lui într-un produs greu solubil nu poate avea loc decît concomitent cu un proces catodic cuplat, viteza de coroziune va fi determinată de viteza procesului cel mai lent. Dacă procesul catodic determină viteza, atunci se vorbește de un „control catodic”, iar dacă cel anodic determină viteza, se vorbește de un „control anodic” al procesului de coroziune.

Procesele anodice și catodice sînt localizate de obicei pe porțiuni diferite ale suprafeței metalului. Uneori însă ele au loc consecutiv în același punct al suprafeței, fără vreo diferențiere spațială a zonelor anodice și catodice. În primul caz se vorbește de „coroziune eterogenă”, iar în al doilea, cînd procesele anodice și catodice sînt repartizate statistic pe toată suprafața metalului, se vorbește de „coroziune omogenă”.

**Coroziunea omogenă.** Un exemplu de coroziune omogenă este dizolvarea unui metal mai puțin nobil decât hidrogenul într-o soluție acidă în care caz pe suprafața metalului vor avea loc concomitent reacțiile (15.7) și (15.10).

La trecerea din rețeaua metalică în soluție, conform reacției (15.7), ionii de metal transportă cu ei o cantitate de electricitate corespunzătoare sarcinii lor electrice. Cantitatea de electricitate ce trece de pe metal în soluție, în unitate de timp și prin unitate de suprafață de electrod, se numește „densitate de curent anodică parțială” și se notează de obicei cu  $j_+$ . Desigur, acest curent este o măsură a vitezei de dizolvare a metalului. În mod analog cantitatea de electricitate ce trece din soluție pe metal, în unitate de timp și prin unitate de suprafață de electrod, concomitent cu descărcarea hidrogenului, se numește „densitate de curent catodică parțială” și se notează de obicei cu  $j_-$ .

Deoarece procesele de coroziune omogenă au loc fără trecerea unui curent electric exterior, cele două densități de curent parțiale trebuie să fie egale între ele,

$$j_+ = j_- \quad (15.17)$$

și egale la rîndul lor cu valoarea „densității curentului de coroziune”  $j_c$ .

Pe metalul care se corodează omogen se stabilește o valoare staționară a potențialului,  $\varepsilon_c$  „potențial de coroziune”, intermediară valorii potențialului de echilibru al metalului și al electrodului de hidrogen.

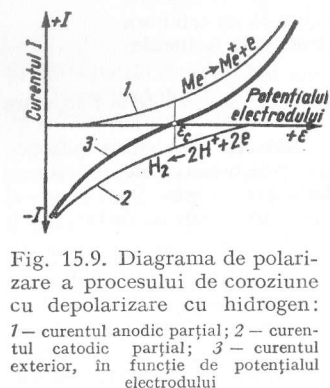


Fig. 15.9. Diagrama de polarizare a procesului de coroziune cu depolarizare cu hidrogen: 1 — curentul anodic parțial; 2 — curentul catodic parțial; 3 — curentul exterior, în funcție de potențialul electrodului

Valoarea potențialului de coroziune,  $\varepsilon_c$ , și cea a curentului de coroziune,  $j_c$ , pot fi determinate cel mai simplu grafic, cu ajutorul diagramelor de polarizare.

La polarizarea unui metal care se corodează cu depolarizare cu hidrogen (fig. 15.9), pe ordonată sînt trecute valorile curentului anodic și catodic parțial, pe abscisă potențialul electrodului, adică al metalului care se corodează. Curba anodică parțială redă dependența vitezei de dizolvare a metalului, iar cea catodică parțială dependența vitezei de descărcare a hidrogenului, în funcție de potențialul electrodului. Potențialul de coroziune  $\varepsilon_c$  va avea aceea valoare la care densitățile de curent parțiale vor fi egale între ele. Valoarea comună a densităților de curent parțiale la potențialul de coroziune este egală cu densitatea curentului de coroziune căutată.

Desigur curba de polarizare catodică poate reprezenta nu numai reducerea ionilor de hidrogen, ci și reducerea oxigenului sau a unui alt oxidant dizolvat în soluție.

Poziția și forma celor două curbe de polarizare pot varia între limite largi, în funcție de cele două procese cuplate.

**Coroziunea eterogenă.** Majoritatea cazurilor practice de coroziune constituie efectul unor procese care au loc cu o diferențiere spațială a zonelor anodice și catodice, adică a funcționării așa numitelor „elemente locale”.

După mărimea electrozilor, elementele locale pot fi clasificate în două grupe: a) macroelemente, care sînt elemente de coroziune a căror electrozi se pot distinge cu ochiul liber și b) microelemente care sînt elemente de coroziune a căror electrozi sînt de dimensiuni microscopice.

Principial nu există vreo diferență între un microelement și un element galvanic obișnuit. Fig. 15.10, a reprezintă modelul unui element galvanic obișnuit. Dacă se rotește unul dintre electrozi cu  $180^\circ$  și, în locul conductorului exterior, se stabilește contactul prin atingerea directă a celor două metale, atunci se obține modelul macroelementului

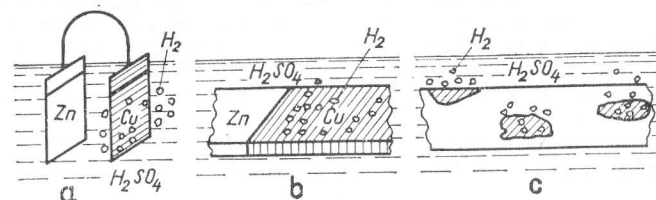


Fig. 15.10. Modelul de transformare a unui element galvanic obișnuit într-un microelement

din fig. 15.10, b. Micșorînd suprafața electrozilor și considerînd suprafața lor neregulată, se obține modelul microelementelor din fig. 15.10, c.

Adeseori suprafața metalului care se corodează este o combinație de macro și microelemente. Fig. 15.11 redă schematic un astfel de caz.

După natura lor, elementele locale pot fi împărțite în următoarele grupe:

a) elemente ai căror electrozi diferă prin compoziția lor chimică, de exemplu duraluminiul cu microelectrozii Al-CuAl<sub>2</sub>; b) elemente ai căror electrozi au aceeași compoziție chimică, dar diferă prin proprietățile lor fizice, ca de exemplu, aluminiu prelucrat mecanic — aluminiu tratat termic; c) elemente care apar în urma diferenței proprietăților peliculei de protecție pe diferite sectoare ale metalului; astfel de elemente locale pot să apară, de exemplu, pe suprafața fierului sau a aluminiului; d) elemente care apar în urma diferențelor în compoziția electrolitului la zona de atingere cu suprafața metalului; cazul cel mai tipic este coroziunea prin aeratie diferențială, în urma vitezei diferite de difuziune a oxigenului spre diferite zone ale suprafeței metalului și cînd zona mai aerată funcționează drept catod, iar zona neaerată drept anod.

Existența unor neomogenități pe suprafața metalului, indiferent de natura lor, are totdeauna ca efect accelerarea [considerabilă a coroziunii].

Pe baza modelului microelementului reprezentat în fig. 15.10, c, se poate deduce următoarea relație semicantitativă pentru viteza procesului de coroziune:

$$\frac{dc}{dt} = \frac{nfk}{A} (\varepsilon_c - \varepsilon_a + \eta_c - \eta_a) \quad (15.18)$$

în care  $n$  este numărul de microelemente pe unitatea de suprafață de metal,  $f$  — echivalentul electrochimic al metalului,  $k$  — conductibilitatea specifică a soluției de electrolit,  $\varepsilon_c$  și  $\varepsilon_a$  — potențialele de echilibru catodic și anodic,  $\eta_c$  și  $\eta_a$  — supratensiunile catodică

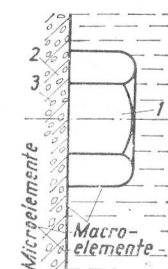


Fig. 15.11. Reprezentarea schematică a unei combinații de macro și microelemente: 1 — cupru; 2 — duraluminiu; 3 — CuAl<sub>2</sub>

și anodică, iar  $A$  — un coeficient care depinde de forma, dimensiunile și așezarea microelementelor.

Relația (15.18) arată că viteza de coroziune crește o dată cu creșterea numărului  $n$  de microelemente pe unitatea de suprafață, adică ea este cu atât mai mare cu cât metalul este mai impur. Ea crește de asemenea cu creșterea conductibilității specifice  $k$  a soluției de electrolit și cu creșterea diferenței de potențial dintre cei doi electrozi. Prin urmare viteza de coroziune este cu atât mai mare cu cât metalul este mai puțin nobil și cu cât potențialul catodic cuplat se desfășoară la un potențial mai pozitiv.

Factorii care reduc polarizările  $\eta_c$  și  $\eta_a$ , ca de exemplu creșterea temperaturii, măresc de asemenea viteza procesului de coroziune.

### 15.3. METODE DE PROTECȚIE ANTICOROSIVĂ

Pe baza cunoașterii mecanismului proceselor de coroziune și a influenței diferiților factori asupra vitezei lor s-au putut elabora câteva metode deosebit de eficiente de protecție împotriva coroziunii, adaptate la tipul de coroziune și la condițiile concrete în care se desfășoară.

#### 15.3.1. PROTECȚIA METALELOR ÎMPOTRIVA OXIDĂRII LA TEMPERATURĂ ÎNALTĂ

Dintre metodele de protecție ale metalelor împotriva oxidării la temperatură înaltă, cele mai importante sînt:

- aliera metalului;
- acoperirile metalice;
- acoperirile nemetalice.

15.3.1.1. ALIEREA METALULUI. Mărirea rezistenței la oxidare a unui metal se poate realiza în primul rînd prin alierea lui cu un component adecvat. Uneori concentrații relativ scăzute ale componentului de aliere reduc deja considerabil viteza de oxidare. Astfel alumiul în cupru (fig. 15.12) sau siliciul și cromul în fier, chiar în concentrații de 1–2%, măresc sensibil rezistența aliajului la oxidare.

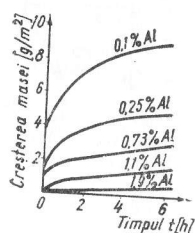


Fig. 15.12. Creșterea masei cuprului cu conținut diferit de aluminu oxidat în aer la 775°C

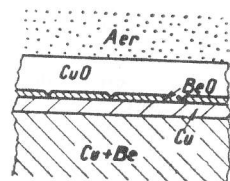


Fig. 15.13. Secțiune prin pelicula de oxid format pe cupru aliat cu beriliu

Influența componentului de aliere asupra vitezei de oxidare este complexă. Ea se bazează de multe ori pe formarea unui strat intern foarte bogat în oxidul componentului de aliere (fig. 15.13) care constituie o importantă barieră în calea difuziunii reactanților.

Tabelul 15.2 redă viteza de oxidare a citorva metale și aliaje.

15.3.1.2. ACOPERIRILE METALICE. Rezultate excelente în protejarea metalelor împotriva oxidării la temperaturi înalte se pot obține și prin acoperirea lor cu alte metale rezistente la oxidare. Astfel, de exemplu, oțelul acoperit cu aluminiu rezistă la

temperatura de 480°C fără să-și modifice culoarea. Peste această temperatură ia naștere un strat refractar de culoare gri-închisă, format dintr-un aliaj de aluminiu-fier, care protejează foarte bine metalul de bază pînă la temperatura de 800°C, iar pentru un timp mai scurt chiar la temperatura de 950°C.

15.3.1.3. ACOPERIRILE NEMETALICE. Și acoperirea metalului cu straturi protectoare nemetalice dă de multe ori rezultate satisfăcătoare. Astfel, de exemplu, acoperirea oțelului cu un email refractar îl protejează pînă la temperaturi de 700–800°C.

Tabelul 15.2

Viteze de oxidare a unor metale și aliaje la diferite temperaturi

Materialul	Creșterea masei, g/m² · h		
	700°C	800°C	900°C
Fier pur	21,2	25,4	51,6
Oțel moale	4,1	12,5	34,5
Nichel	0,41	0,41	1,2
Crom	0,20	0,41	0,83
Oțel cu 37% Ni	1,7	4,1	5,8
Oțel cu 8% Cr și 3% Ni	0,12	0,83	0,83
Oțel cu 13% Cr	0,08	0,83	1,2
Oțel cu 19% Cr	0,25	0,29	0,83
Oțel cu 18% Cr și 8% Ni	0,41	0,41	1,2

#### 15.3.2. PROTECȚIA METALELOR ÎMPOTRIVA COROZIUNII ÎN SOLUȚII APOASE DE ELECTROLIT

Dintre metodele de protecție ale metalelor împotriva coroziunii în soluții apoase de electrolit cele mai importante sînt: a) alierea metalului; b) utilizarea inhibitorilor de coroziune; c) metode electrochimice de protecție; d) acoperirile metalice; e) acoperirile nemetalice.

15.3.2.1. ALIEREA METALULUI. Mărirea rezistenței la coroziune a unui metal se poate realiza fie prin mărirea stabilității sale termodinamice, prin alierea lui cu un metal mai nobil, fie prin accentuarea tendinței sale spre pasivizare, prin alierea lui cu un component protector.

Dintre aliajele rezistente la coroziune o importanță deosebită o prezintă oțelurile inoxidabile. Principalele lor elemente de aliere sînt cromul și nichelul.

Cromul, deși din punct de vedere termodinamic este mai puțin nobil ca și fierul, datorită efectului de pasivizare asigură oțelului o rezistență superioară în medii oxidante. Influența favorabilă a cromului se manifestă numai începînd de la concentrații de 12–13%.

Nichelul, mai nobil decît fierul, se adaugă oțelului în scopul asigurării rezistenței sale și față de medii reducătoare. În afară de aceasta îmbunătățește proprietățile mecanice și tehnologice ale oțelului.

Titanul și niobiul se adaugă oțelurilor inoxidabile cu scopul de a lega carbonul în carburi stabile de Ti sau Nb și de a evita astfel formarea de carbură de crom și scăderea concentrației cromului sub 12–13%.

Molibdenul se adaugă pentru a asigura rezistența de coroziune față de ionul clor și rezistența la temperaturi înalte.

Tabelul 15.3 redă viteza de coroziune în condiții atmosferice a unor metale și aliaje, între care și a citorva oțeluri inoxidabile.

Tabelul 15.3

Viteza de coroziune a unor metale și aliaje în condiții atmosferice

Materialul	Pierdere în masă timp de 2 ani, g/m <sup>2</sup>	Pierdere în masă timp de 5 ani, g/m <sup>2</sup>
Oțel moale	1500	3700
Oțel cu 13,5% Cr	115	270
Oțel cu 18% Cr	—	135
Oțel cu 30% Cr	—	70
Oțel cu 12% Cr și 12% Ni	45	160
Oțel cu 18% Cr și 8% Mn	55	165
Oțel cu 18% Cr și 8% Ni	25	85
Oțel cu 18% Cr, 8% Ni și 0,6% Ti	20	70
Oțel cu 18% Cr, 8% Ni și 2,5% Mo	1	1
Oțel cu 25% Cr și 20% Ni	20	80
Aluminiu	—	165
Bronz fosforos	—	200
Zinc	—	385
54/44 Cu Ni	—	440

## 15.3.2.2. UTILIZAREA INHIBITORILOR DE COROZIUNE.

Inhibitorii de coroziune sînt substanțe care adăugate mediului, adică soluției de electrolit, frînează procesul de coroziune. Ei pot fi împărțiți în trei categorii mari: a) inhibitori anodici, care frînează procesul anodic de dizolvare a metalului prin formarea unor pelicule protectoare; b) inhibitori catodici, care frînează procesul catodic prin mărirea supratensiunii; c) inhibitorii de adsorbție, combinații organice cu grupe puternic polare, care duc la formarea de straturi de adsorbție pe suprafața metalului.

Din prima grupă fac parte oxidații puternici, ca nitriții sau cromatii, care trec metalul în stare pasivă, sau anioni fosfați sau wolframați, care precipită ionii ce se dizolvă și formează astfel pelicule aderente și compacte. În cazul cînd inhibitorul anodic se găsește în cantitate insuficientă ca să formeze pelicula compactă, în locurile neacoperite coroziunea este deosebit de

intensă. De aceea inhibitorii anodici în concentrații insuficiente sînt deosebit de periculoși. Din a doua grupă fac parte combinații ale zincului, nichelului, magneziului sau calciului, precum și combinații ale arsenului, antimonului sau mercurului. Primii dintre aceștia acționează prin aceea că formează pe zonele catodice combinații greu solubile și izolează astfel catodul de soluția de electrolit, iar ultimii prin aceea că se reduc la metal pe zonele catodice, mărind supratensiunea hidrogenului. În ambele cazuri procesul catodic este mult frînat. În fig. 15.14 se arată influența inhibitorului asupra curbei de polarizare catodică și implicit asupra vitezei de coroziune.

În absența inhibitorului, procesul catodic este reprezentat prin curba 1, iar potențialul de coroziune este  $\epsilon_c$ . În prezența inhibitorului polarizarea catodică va fi mai mare, reprezentată prin curba 2, iar potențialul de coroziune  $2\epsilon_c$ . Din figură se vede că în acest al doilea caz viteza de coroziune este mai mică.

Spre deosebire de inhibitorii anodici, cei catodici nu sînt periculoși. Adăugați în cantitate insuficientă, în cel mai rău caz, nu frînează suficient coroziunea, dar, în nici un caz, nu o accelerează.

Inhibitorii de adsorbție sînt substanțe superficial active, de obicei combinații organice cu O, N și S, ca de exemplu amine, amide, imide, imine, mercaptani etc. Ei acționează prin aceea că se adsorb pe suprafața metalului și frînează ambele procese de electrod, dar în special procesul catodic de descărcare a hidrogenului. De aceea ei se utilizează în primul rînd pentru frînarea dizolvării metalelor în medii puternic acide, de exemplu la decapare, fiind foarte eficiente, chiar în cantități foarte mici, de zecimi sau sutimi de procente.

15.3.2.3. METODE ELECTROCHIMICE DE PROTECȚIE. Principiul protecției electrochimice constă în polarizarea construcției sau instalației de protejat la un potențial la care procesul de coroziune este oprit, sau în orice caz puternic frînat.

De obicei sistemul protejat este polarizat catodic pînă la un potențial la care metalul încetează de a se mai coroda (domeniul de imunitate). Polarizarea catodică poate fi reali-

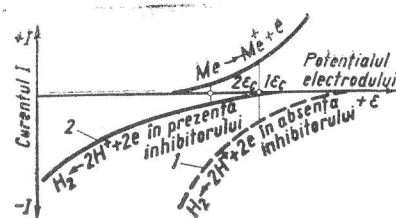


Fig. 15.14. Influența inhibitorilor care măresc supratensiunea hidrogenului asupra coroziunii metalului și asupra potențialului de coroziune

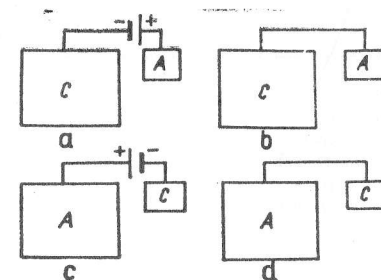


Fig. 15.15. Schema de principiu a protecțiilor electrochimice:

a — protecția catodică cu sursă exterioră de curent; b — protecția catodică cu anod protector; c — protecția anodică cu sursă exterioră de curent; d — protecția anodică cu catod protector

zată fie cu ajutorul unei surse exterioră de curent, fie prin legarea sistemului protejat de un electrod cu potențial puternic negativ cu care acesta formează un element local și în care el funcționează drept catod. Primul procedeu este denumit „protecție catodică cu curent exterior”, iar al doilea „protecție catodică cu anod protector”.

Dacă metalul protejat are tendința spre pasivizare, atunci mult mai indicată este polarizarea lui anodică pînă la un potențial la care trece în stare pasivă. Aceasta se realizează de asemenea fie cu un curent exterior, fie prin legarea sistemului protejat de un electrod cu potențial puternic pozitiv, față de care să funcționeze drept anod. Denumirea celor două procedee este „protecția anodică cu curent exterior” și „protecția anodică cu catod protector”. Fig. 15.15 redă schematic principiul celor patru variante de protecție electrochimică.

Protecția catodică se utilizează de obicei la protecția unor instalații metalice montate în sol sau în apă.

Fig. 15.16 redă schema de principiu a aplicării protecției catodice cu sursă exterioră de curent în cazul unei conducte îngropate în pământ. De la polul pozitiv al sursei 1 curentul continuu trece prin conductorul 2 și ajunge la anodul auxiliar 3, de la care trece apoi în sol. Din sol, prin locurile defecte ale izolației 4 curentul ajunge la țeava 5, se îndreaptă spre locul de drenaj 6, de unde, prin conductorul 7, se întoarce la polul negativ al sursei de curent. În cazul de față prin protecție catodică sînt protejate zonele de pe suprafața conductei unde izolația nu este eficientă.

Anozii folosiți la protecția catodică cu sursă exterioră de curent sînt de obicei din oțel sau grafit.

Experiența a arătat că pentru protejarea fierului este suficientă deplasarea potențialului la o valoare  $\epsilon < -0,53$  V (față de electrodul normal de hidrogen), iar pentru protejarea plumbului la o valoare  $\epsilon < -0,23$  V.



Tabelul 15.4

Valorile curentului catodic de protecție pentru instalații de oțel, în diverse medii

Mediul	Densitatea curentului catodic de protecție, mA/m <sup>2</sup>	Mediul	Densitatea curentului catodic de protecție mA/m <sup>2</sup>
Sol uscat	5—15	Apă proaspătă staționară	50
Sol umed	25—60	Apă proaspătă curgătoare	50—60
Sol puternic acid	50—150	Apă proaspătă turbulentă	
Conducte încălzite, în sol	50—250	care conține mult oxigen	50—150
Beton uscat	5—15	Apă caldă	50—150
Beton umed	50—250	Apă reziduală	500—1500
		Apă de mare	50—250

Pentru asigurarea acestui potențial este necesară o densitate de curent catodică minimă. Tabelul 15.4 redă valoarea curentului catodic de protecție în diverse medii pentru instalații de oțel.

La protecția catodică cu anod protector drept anod se utilizează de obicei magneziu sau zinc, mai rar aliaje de aluminiu.

Fig. 15.17 redă schema de principiu a aplicării protecției catodice cu anod protector în cazul unui cablu îngropat în pământ.

Protecția anodică s-a dovedit deosebit de utilă la protejarea oțelurilor inoxidabile împotriva coroziunii în soluții de acid sulfuric. În acest mediu potențialul oțelului inoxi-

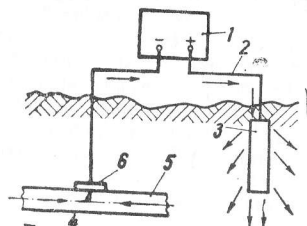


Fig. 15.16. Schema de principiu a protecției catodice cu sursă exterioară de curent a unei conducte îngropate:

1 - sursă de curent; 2 - conductor;  
3 - anod; 4 - zonă de conductă  
cu izolație defectă; 5 - conductă;  
6 - loc de drenaj; 7 - conductor

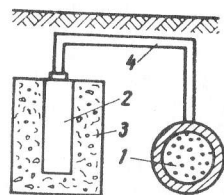


Fig. 15.17. Schema de principiu a protecției catodice cu anod protector a unui cablu îngropat:

1 - cablu; 2 - anod protector;  
3 - material de umplutură;  
4 - conductor izolat

dabil 18—8 Cr-Ni trebuie să aibă valori cuprinse între +0,5 și +1,0 V față de electrodul normal de hidrogen.

15.3.2.4. ACOPERIRILE METALICE. Acoperirile metalice pot fi realizate pe diverse căi:

- pe cale galvanică;
- pe cale termică, care poate fi la rîndul ei prin cufundare în metal topit, prin pulverizare, prin difuziune etc.;
- prin placare.

Aceste acoperiri, cu excepția celor obținute prin placare, prezintă de obicei o porozitate mai mult sau mai puțin pronunțată. De aceea acoperirile metalice nu pot izola complet metalul de bază de mediul coroziv, putînd apărea elemente locale, cu toate consecințele lor.

Trebuie deosebite două cazuri distincte, după cum potențialul metalului acoperitor, în mediul corosiv respectiv, este mai pozitiv sau mai negativ decît potențialul metalului de bază, adică după cum el funcționează drept catod (pozitiv) sau anod (negativ) în elementul local format.

Dacă metalul acoperitor este mai nobil (are potențialul de echilibru mai pozitiv) decît metalul de bază, atunci în cazul unor discontinuități, metalul de bază este anod și se dizolvă. Cu toate acestea, datorită proprietăților lor decorative deosebite, acoperirile catodice de nichel sau crom se folosesc pe scară largă. Aceste metale prezintă o rezistență la coroziune proprie excelentă, datorită tendinței lor accentuate spre pasivizare, din care cauză în condiții atmosferice își păstrează mult timp luciul. Dacă metalul de protecție are o rezistență la coroziune proprie ridicată, rezistența la coroziune a obiectului protejat este determinată în primul rînd de porozitatea acoperirii metalice, din care cauză se caută ca aceasta să fie cît mai scăzută.

Dacă metalul de protecție este mai puțin nobil (are potențialul de echilibru mai negativ) decît metalul de bază, ca de exemplu, zinc, cadmiu și aluminiu pe fier și oțel sau staniu pe cupru sau aliaje de cupru, atunci în cazul formării unui element local metalul acoperitor este anod și se dizolvă, iar metalul de bază catod. În acest caz potențialul metalului de bază se deplasează spre valori atît de negative încît dizolvarea încetează, ca și în cazul protecției electrochimice cu anod protector.

În cazul acoperirilor anodice, porozitatea depozitelor are un rol secundar, deoarece pe principiul protecției electrochimice în timp ce se dizolvă anodic ele protejează metalul descoperit.

Tabelul 15.5 redă viteza de coroziune a fierului și zincului în diverse tipuri de atmosferă, precum și eficacitatea unor acoperiri de zinc.

Tabelul 15.5

Viteza de coroziune a fierului și zincului în diferite tipuri de atmosferă și durata evaluată a eficacității unui strat de zinc de 600 g/m<sup>2</sup> pe fier

Tipul de atmosferă	Viteza de coroziune, mm/an		Durata evaluată a eficacității, ani
	Fier pur	Zinc	
Uscată tropicală	0,0	0,00025	300
Uscată subtropicală	0,0076	0,00025	300
Sub-polară	0,0025	0,00025	300
Marină-tropicală	0,020	0,00076	100
Rurală	0,056	0,0023	34
Marină	0,12	0,0033	23
Industrială	0,12	0,015	5
Tunel de cale ferată	0,063	0,074	1



15.3.2.5. ACOPERIRILE NEMETALICE. Acoperirile nemetalice pot fi anorganice sau organice.

Una din cele mai folosite metode de a proteja o suprafață metalică constă în corodarea ei artificială în astfel de condiții încât produșii de coroziune să formeze o peliculă compactă și aderentă.

Astfel, la tratarea anodică a aluminiului și a aliajelor sale într-un electrolit adecvat (acid sulfuric, cromic sau oxalic) pe suprafața metalului se formează un strat compact și aderent de oxid, cu bune proprietăți protectoare. Procedul poartă denumirea de „eloxare”.

Dacă electrolitul conține fosfat solubil sau acid fosforic, pe suprafața metalului se formează o peliculă deosebit de aderentă de fosfați. Acest procedeu denumit „fosfatare”, ce poate fi efectuat cu sau fără curent exterior, a găsit largi aplicații la oțel și fier, dar poate fi aplicat și la zinc, cadmiu sau aluminiu.

Alte pelicule protectoare anorganice pot fi obținute prin tratarea metalului cu un anion adecvat, ca de exemplu nitrat (brunare) sau cromat (cromatare).

Dintre acoperirile organice trebuie amintite în primul rând vopselele, lacurile, unsorile, uleiurile, precum și acoperirile de asfalt sau bitum. Rolul lor principal este de a feri metalul cât mai mult posibil de apă, respectiv umezeală, indispensabilă funcționării elementelor locale. Cel mai mult folosite sînt desigur vopselele și lacurile formate din substanțe pelculogene, ca rășini naturale sau sintetice, derivați ai celulozei și ai cauciucului etc., dizolvate în dizolvanți potriviți ca benzen, toluen, xilen, alcoolii, acetona, esteri etc. Ei mai conțin diferiți pigmenți ca miniu, oxid de zinc, cromat de plumb sau de bariu, pulberi metalice etc., care asigură culoarea dorită, dar care de multe ori prezintă și o acțiune anticorozivă remarcabilă.

Deosebit de eficiente sînt acoperirile combinate formate dintr-o peliculă anorganică peste care s-a suprapus una organică, de exemplu o fosfatare urmată de o vopsire.

Trebuie menționat că alegerea uneia sau alteia dintre metodele de protecție sînt determinate de condițiile concrete de funcționare a diferitelor utilaje sau instalații. Cunoașterea mecanismului de coroziune, a factorilor principali care o influențează, vor permite alegerea metodei celei mai eficiente și mai economice.

## BIBLIOGRAFIE

1. AKIMOV, G. V. *Teoriia i metodii issledovaniia Korrozii metallov*. Moscova—Leningrad, Izdatelstvo Akademii Nauk S.S.S.R., 1945.
2. EVANS, U. R. *Korrosion, Passivität und Oberflächenschutz von Metallen*. Berlin, Springer-Verlag, 1939.
3. EVANS, U. R. *The Corrosion and Oxidation of Metals*. London, Arnold, 1960.
4. HAGYMAȘ, GH., C. FIROIU, RADOVICI, O. *Coroziunea și protecția metalelor*. București, Editura Tehnică, 1963.
5. KAESCHKE, H. *Die Korrosion der Metalle*. Berlin-Heidelberg-New York, Springer-Verlag, 1966.
6. KOVÁCS, K. *Korróziós alapfogalmak*. Budapest, Műszaki Könyvkiadó, 1965.
7. SHREIR, L. L. *Corrosion*, London, George Newnes Limited, 1963.
8. TÖDT, F. *Korrosion und Korrosionsschutz*. Berlin, Walter de Gruyter et Co., 1961.
9. TOMAȘOV N. D. *Teoriia Korrozii i zashchita metallov*. Moscova Izdatelstvo Akademii Nauk, 1960.
10. UHLIG, H. H. *The Corrosion Handbook*. New York, J. Wiley and Sons, 1948.
11. VETTER, K. J. *Elektrochemische Kinetik*. Berlin-Göttingen-Heidelberg, Springer-Verlag, 1961.
12. \* \* \* *Protecția anticorozivă în industria petrolului și chimiei*. București, Centrul de Documentare al M.I.P.C., 1965.

## 16. PRELUCRAREA MATERIALELOR PLASTICE

### 16.1. CONSIDERAȚII GENERALE

În ultimele decenii, chimia a pus la dispoziția tehnicii moderne un mare număr de materiale noi, în cea mai mare parte substanțe organice cunoscute ca: materiale plastice, cauciucuri sintetice, fire și fibre sintetice, adezivi și materiale de acoperire.

Ceea ce este comun tuturor acestor materiale, cu toate proprietățile lor foarte deosebite, este un anumit mod de construcție a moleculelor chimice. Majoritatea acestor substanțe sînt formate din molecule neobișnuit de mari, macromolecule, ceea ce a condus la denumirea întregului domeniu: compuși macromoleculari sau polimeri înalți.

O parte din compușii macromoleculari sînt produși naturali ce se folosesc fie ca atare (celuloză, cauciuc natural etc.), fie după transformări chimice (celuloid, acetyl celuloză, galalit, ebonită etc.).

Materialele noi sînt produse de sinteză chimică în care se pornește de obicei de la materiile prime cu molecule mici obișnuite, folosind următoarele metode principale de obținere a compușilor macromoleculari: policondensare, polimerizare, poliadiție, transformări chimice ale unor compuși macromoleculari sintetici sau naturali.

Numărul de molecule mici legate chimic într-un compus macromolecular se numește grad de polimerizare. Acesta fixează masa moleculară a compusului macromolecular, devenind o caracteristică importantă, care condiționează proprietățile, comportările și utilizările materialului.

Un rol important pentru înțelegerea comportării acestor materiale noi îl are și modul de așezare al elementelor constitutive în macromoleculă, adică așa-numita macro- și microstructură.

Există trei moduri fundamentale de înlănțuire a merilor (elemente chimice care se repetă), care dau naștere la trei tipuri de macromolecule și anume: liniare, ramificate, reticulate.

Unii polimeri liniari, la care unitățile structurale sînt așezate într-o anumită ordine spațială preferențială, ce poate fi dirijată prin sinteză, sînt cunoscuți sub denumirea de polimeri stereoregulați. Polimerii stereoregulați pot avea unele proprietăți superioare polimerilor liniari în care această ordine lipsește. Exemplu: polipropilena atactică este un material cu aspect cauciucos, cu punct de topire coborât; polipropilena izotactică este un material rigid cu duritate superficială remarcabilă avînd punct de topire ridicat (175°C).

#### 16.1.1. NOMENCLATURA COMPUȘILOR MACROMOLECULARI

Nomenclatura compușilor macromoleculari sintetici are în general ca bază, denumirea monomerului căruia i se adaugă prefixul poli, ca de exemplu: monomer — poli[mer]; etilenă — poli[etilenă]; propilenă — poli[propilenă], sau, uneori, denumirea substanțelor inițiale, care reacționează pentru a forma compusul respectiv, este precedată de cuvîntul rășină, de exemplu: fenol + formaldehidă → rășină fenol-formaldehidică (bachelită), iar uree + formaldehidă → rășină ureo-formaldehidică (aminoplast).

În practică, de multe ori, locul denumirilor științifice este luat de denumirile comerciale ca de exemplu: polietilenă de presiune înaltă — Alkaten; polietilenă de presiune joasă — Hostalen; polietilenă de presiune medie — Marlex; policarbonați — Makrolon; poliformaldehidă — Delrin sau Hostaform.

Dacă denumirea științifică a produsului identifică clasa de polimeri din care face parte, denumirea comercială trebuie să atragă atenția asupra tipului, respectiv asupra caracteristicilor speciale ale materialului, care sînt o urmare directă a metodei prin care a fost produs.

### 16.1.2. CLASIFICAREA MATERIALELOR DE TIP POLIMER

Clasificarea materialelor de tip polimer se poate face după mai multe criterii. Este de subliniat însă, că nici unul nu are valoare absolută și că se găsesc multe puncte de interferență între ele. Vom menționa acele criterii, care au mai multă tangență cu specialității nechimști.

*Clasificarea după proveniență:* naturale (celuloză, cauciuc, amidon, cazeină etc.); artificiale (celuloid, galalit, ebonită etc.); sintetice (polipropilenă, polimetacrilat de metil etc.).

*Clasificarea după macrostructură:* liniare (polipropilenă); ramificate (polietilenă etc.); tridimensionale (rășini fenol — formaldehidice etc.).

*Clasificarea după modificările suferite în urma procesului de prelucrare:* termoplaste — materiale permanent fuzibile și solubile (polietilenă, polipropilenă, polistiren etc.); termorigide — materiale care în procesul de prelucrare finală devin insolubile și infuzibile (rășini fenol-formaldehidice, rășini ureo-formaldehidice etc.).

Din punct de vedere practic această ultimă clasificare prezintă o importanță deosebită, deoarece ea delimitează două sisteme fundamental diferite în prelucrarea polimerilor.

## 16.2. PRELUCRAREA DIMENSIONALĂ A MATERIALELOR PLASTICE

### 16.2.1. PRELUCRAREA TERMOPLASTELOR

**16.2.1.1. ASPECTE TEORETICE.** Dezvoltarea tehnicilor de transformare a polimerilor în produse finite a mers paralel cu dezvoltarea proceselor de sinteză.

Caracteristicile polimerilor, ca și necesitățile practice, au introdus în prelucrarea materialelor plastice aproape toate procedeele de prelucrare folosite la alte materiale, procedee ce fac apel la energia mecanică și la energia termică sau la efectul combinat al acestora.

Comportarea diferită la temperatură este factorul principal, care determină posibilitățile de prelucrare ale fiecărui polimer.

Materialele termoplastice suferă, sub influența căldurii, modificări de stare fizică, a căror evoluție poate fi observată din fig. 16.1. Curbele termomecanice (deformație funcție de temperatură) permit punerea în evidență a unor temperaturi critice ( $T_v$ ,  $T_c$ ,  $T_d$ ) la care caracteristicile polimerilor se schimbă calitativ și ca o consecință directă se schimbă și posibilitățile de prelucrare. Temperatura de vitrifiere  $T_v$  este temperatura ce marchează trecerea din stare sticloasă în stare înalt elastică. Temperatura de curgere  $T_c$  este temperatura de trecere din starea înalt elastică în stare plastic-vîscoasă (fluidă). Temperatura de descompunere  $T_d$  este temperatura maximă pînă la care se mai păstrează individul chimic macromolecular. Peste această temperatură polimerul se descompune putînd da uneori chiar monomerul de la care s-a pornit.

Sub  $T_v$ , polimerul se află în stare solidă sticloasă și poate suferi doar deformații reversibile foarte mici, el se va prelucra sub această temperatură numai prin procedee mecanice. Peste  $T_v$  polimerul se află în stare înalt elastică, în care mobilitatea elementelor structurale este intermediară între starea sticloasă și fluidă, deoarece aici apar toate gradele de libertate ale mișcării termice, dar nu pentru molecule întregi (ca în starea fluidă), ci doar pentru părți de molecule. În această stare deformația elastică crește apreciabil (modulul de elasticitate scade), iar sistemele de prelucrare sînt cele de formare la cald. La depășirea temperaturii  $T_c$  polimerul trece în stare fluidă, cînd alături de deformația elastică apare și o deformație ireversibilă datorită curgerii, ca urmare a mișcării termice moleculare (mișcare macrobrowniană). Peste această temperatură polimerul se prelucurează prin turnare, injecție, presare etc.

Valorile temperaturilor critice sînt dependente de natura chimică a polimerului și de gradul de polimerizare a acestuia, cum rezultă din fig. 16.2 și 16.3.

Intervalul  $T_v - T_c$  este pentru unii polimeri mai mare (pentru cauciuc este între  $-70^\circ\text{C}$  pînă la  $200^\circ\text{C}$ ), iar pentru alții mai mic (pentru materiale plastice  $100^\circ\text{C} - 160^\circ\text{C}$ ), în funcție de posibilitatea transformării lor conformaționale. La polimeri cu forțe secundare foarte mari și cu catene rigide,  $T_v$  coincide cu  $T_c$ , deci pentru acești polimeri nu este practicabil orice sistem de prelucrare prin formare la cald (exemplu: poliamide). Pentru polimerii la care  $T_v$  este mai mare decît  $T_d$  (respectiv  $T_t$  — temperatura de topire a cristalelor — este mai mare decît  $T_d$ ) singura stare fizică în care poate exista polimerul este cea sticloasă. El se va prelucra în consecință prin așchiere (celuloza) sau

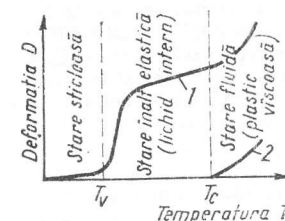


Fig. 16.1. Curba termo-mecanică și stările fizice ale polimerilor liniari amorfi:

1 — curba deformațiilor totale;  
2 — curba deformațiilor permanente

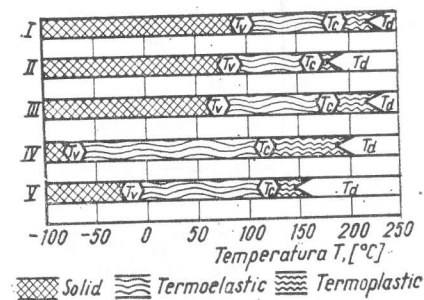


Fig. 16.2. Temperaturile critice ale citorva materiale termoplastice

I — polimetacrilat de metil; II — P.C.V. rigid;  
III — copolimer acrilonitril; IV — polietilenă de presiune înaltă; V — P.C.V.p lastificat (40% tricresilfosfat și 60% P.C.V.);  $T_c$  — temperatura de curgere;  $T_d$  — temperatura de descompunere;  $T_v$  — temperatura de vitrifiere

din soluții (poliacrilonitrilul). Valorile temperaturilor critice pot fi deplasate în sensul dorit fie prin modificări în constituția chimică a polimerului (plastifiere internă → copolimerizare) fie prin modificări externe, prin adaos de substanțe cu moleculă mică, străine de polimer (plastifiere externă).

Valorile temperaturilor critice au o importanță deosebită pentru stabilirea sistemelor de prelucrare în obiecte finite a materialelor de tip polimer.

**16.2.1.2. PRELUCRAREA MECANICĂ.** Pentru acest sistem de prelucrare, polimerii sînt solicitați în stare sticloasă. În această situație ei se comportă, la tensiuni mici, analog cu materialele solide clasice. Ca urmare prelucrările mecanice, cu sau fără așchiere sînt aplicabile în condiții bune pentru multe materiale plastice dure cum sînt: policlorura de vinil dură, polimetacrilatul de metil, poliamide, policarbonați etc.

Tăierea, ștanțarea, curbarea, strunjirea, frezarea, găurirea, filetarea, rabotarea, polisarea sînt procedee prin care se pot obține din semifabricate de materiale plastice (foi, plăci, tuburi, bare, blocuri) cele mai diverse piese.

La prelucrarea mecanică a materialelor plastice intervin anumite modificări ale vitezelor de lucru și ale uneltelor de prelucrare cauzate de: natura chimică organică, conductibilitatea termică scăzută, coeficientul de dilatare specifică foarte mare, pericolul de încărcare electrostatică etc., de care este absolut necesar să se țină seama pentru a asigura obținerea unei piese de calitate (v. tabelele 16.1 și 16.2).

Alături de aceste sisteme de prelucrare la rece prin procedee mecanice, se poate aplica uneori și prelucrarea la rece cu viteze mari (ambutisarea la rece cu viteze mari a materi-

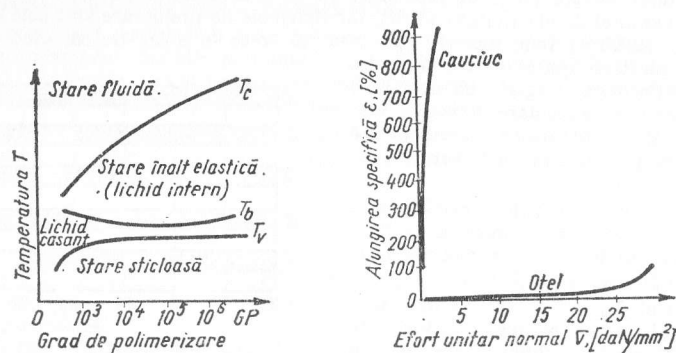


Fig. 16.3. Variația temperaturilor caracteristice ale polimerilor amorfi cu gradul de polymerizare (GP):

$T_v$  și  $T_c$  — (v. fig. 16.2);  
 $T_b$  — temperatura de fragilitate (brittle point)

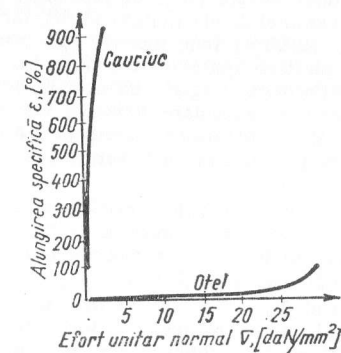


Fig. 16.4. Curbele  $\sigma$ - $\epsilon$  comparative pentru cauciucul natural și oțel

alelor de tip ABS, care sînt copolimeri ternari — acrilonitril — butadienă — stiren sau compoundinguri). Acest sistem de prelucrare este posibil datorită faptului că materialele plastice pot suferi, la tensiuni mari, deformații apreciabile, ca urmare a faptului că și în stare sticloasă părți ale catenei macromoleculi dispun de o relativă libertate.

Tabelul 16.1

Geometria burghiului și regimurile de găurire a materialelor plastice

Materialele plastice de prelucrat	Geometria burghiului				Regimul de găurire	
	Unghiul la vîrf $2\alpha^\circ$	Unghiul de așezare principal $\alpha^\circ$	Unghiul de degajare principal $\gamma^\circ$	Unghiul de înclinare al elicei $\omega^\circ$	Viteza de așchiere $v$ , m/s	Viteza de avans $v_s$ , mm/s
Presate termoreactive	60—90	8	10	30	0,6—1	0,6—1
Rășini turnate	85		10	35	0,8—1,1	0,3—0,6
Fenoplaste stratificate (țesătură)	60		6—8	25	0,8—1	1—1,3
Fenoplaste stratificate (hîrtie)	90—100	8	6—8	25	0,8—1	1—1,6
Acetat de celuloză	120			40	0,5—0,8	1,3—1,6
Polistiren	45—50		2—4	35	0,4—0,6	1,3—1,6
PCV rigid	130—145		0	40	0,2—0,3	0,6—1
Polimetacrilat de metil	120—140			30	1,3—1,6	0,5—0,8
Poliamidă	100—120	10—20	10	35	2—2,5	0,6—1

Tabelul 16.2

Geometria cuțitelor și regimul de așchiere la strunjirea materialelor plastice

Material plastic	Geometria cuțitelor			Regimul de așchiere		
	Unghi de înclinare al tăișului principal $\lambda^\circ$	Unghi de degajare principal $\gamma^\circ$	Unghi de atac principal $\alpha^\circ$	Adîncimea principală de așchiere $t$ , mm	Avansul pe rotație $s$ , mm/rot	Viteza de așchiere $v$ , mm/s
Presate termoreactive	Negativ	8	60	0,5—1	0,1	0,7—1
Rășini turnate	Zero	18—20	50	0,1—0,2	0,05	0,6—1
Stratificate (țesătură)	1—4	15—20	68—74	1—3	0,5—1	3,3—4,1
Stratificate (hîrtie)	Zero sau negativ	15—20	70—80	1—4	0,5	2,1—2,5
PVC rigid	Zero	0,5	60—70	0,8—1	0,3	8—13
Poliamide	Zero	40	10	0,5—0,6	0,3	1,6
Polistiren	Negativ	6	20—30	0,2—0,4	0,04	1—1,3
Polimetacrilat de metil	Negativ	4—8	20—30	0,2—0,4	0,05	1,6—2,5

**16.2.1.3. PRELUCRAREA PRIN FORMARE LA CALD.** Formarea la cald (mularea la cald) solicită materialele plastice în zona stării înalt elastice, adică în intervalul cuprins între  $T_v$  și  $T_c$ . În stare înalt elastică, polimerii prezintă particularități de defor-

mare neîntilnite la alte materiale. Diferența cantitativă dintre elasticitatea solidelor și a cauciucurilor (reprezentanții de bază ai corpurilor cu deformare înalt elastică) este reprezentată în curbele  $\sigma - \varepsilon$  din fig. 16.4.

Se observă că polimerii, în stare înalt elastică sînt caracterizați prin modulul de elasticitate foarte mic. Ca urmare pentru formarea polimerilor în această stare este nevoie de o forță de deformare relativ mică. Deformarea înalt elastică are un mecanism cinetic, constînd din regruparea (rearanjarea) părților de catenă macromoleculară și este caracterizată prin reversibilitate. Procesul de restabilire a echilibrului (revenire la forma inițială) — perturbat de o forță deformatoare — nu are loc instantaneu, ci cu viteze finite. Aceste viteze de revenire cresc repede cu creșterea temperaturii, deoarece restabilirea echilibrului se realizează prin mișcarea termică a părților macromoleculare. Totodată, influența temperaturii asupra vitezei de dezvoltare a deformăției înalt elastice este mult mai însemnată decît cea exercitată asupra mărimii deformățiilor de echilibru. Teoria cinetică a deformăției înalt elastice indică o relație de proporționalitate între deformare și temperatura absolută de forma:

$$D_{\infty} \approx f \approx T \left( \frac{\partial f}{\partial T} \right)_t$$

în care:  $D_{\infty}$  este deformarea înalt elastică;  $f$  — tensiunea în material la deformarea  $D_{\infty}$ ;

$T$  — temperatura absolută;  $\left( \frac{\partial f}{\partial T} \right)_t$  — variația cu temperatura a tensiunii la deformare constantă.

Viteza deformării elastice s-a dovedit a crește exponențial cu temperatura, analog cu viteza de curgere a lichidelor.

Perioada de relaxare  $\theta$  în funcție de temperatură este dată de relația

$$\theta = A e^{E/kT}$$

în care:  $E$  este energia de acționare a relaxării;  $A$  — o constantă;  $kT$  — constanta Boltzman.

Mărimea acestei energii este determinată de natura chimică a particulelor și de densitatea împachetării lor. Prin urmare, pentru formarea la cald a materialelor termoplastice, procedeele utilizate vor ține cont că piesele trebuiesc răcite sub presiune, pînă la o temperatură aproximativ egală cu  $T_v$  pentru a se obține o deformare permanentă. Irreversibilitatea deformăției este doar aparentă, deoarece prin reîncălzirea obiectului peste  $T_v$ , proba revine la forma inițială (exemplu o placă de polimetacrilat de metil deformată la cald, sub presiune, revine la forma inițială de placă, prin reîncălzire). De acest lucru trebuie să se țină seama și la condițiile de utilizare ale piesei.

Între procedeele de formare la cald cele mai cunoscute sînt:

**Ambutisarea.** Este un procedeu prin care o foaie parțial înmuiată prin încălzire este adusă în formă concavă cu ajutorul unei matrițe negative și a unui poanson de presare. Presiunea de lucru variază între 15–40 daN/cm<sup>2</sup>. Obținerea unor piese cu grosimea cît mai uniformă, depinde de raza de curbura imprimată, calculată în funcție de grosimea și de tipul materialului utilizat.

**Formarea sub vid.** Este o operație rapidă ce dă posibilitatea realizării exacte a obiectelor de serie, chiar cu configurația complexă. Principiul de formare sub vid (fig. 16.5) constă în „sugerea” materialului, încălzit prin radiație, într-o matriță deschisă prevăzută cu orificii pentru evacuarea aerului. Forța necesară pentru formarea foi ia naștere datorită diferenței dintre presiunea atmosferică și vidul creat prin aspirația aerului din interiorul

forme. Presiunea exercitată este deci mică 0,90–0,95 daN/cm<sup>2</sup>. În cazul cînd este necesar se recomandă o combinare a procesului de aspirație cu apăsarea mecanică sau cu folosirea aerului comprimat.

La formarea prin aspirație grosimea peretelui obiectului format este neuniformă și anume la fundul piesei grosimea va fi mai mică decît pe pereții laterali, iar la colțuri minimă (fig. 16.5). Ca urmare trebuie să se respecte un anumit raport între înălțimea  $H$  și deschiderea  $D$ , care nu trebuie să depășească valoarea de 1 : 2.

Procedul de formare în vid prin întindere — aspirație (fig. 16.6) se folosește pentru fabricarea de piese mai adînci, cu pereți verticali și cu rază de curbura mai mică.

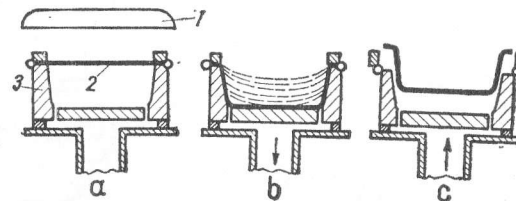


Fig. 16.5. Formarea sub vid pe matriță negativă ( $H : D = 1:2,5 \dots 1:2$ ):

a — încălzire; b — formarea sub vid (aspirația); c — scoaterea produsului cu presiune de aer; 1 — sistem de încălzire; 2 — placă de material plastic; 3 — matriță

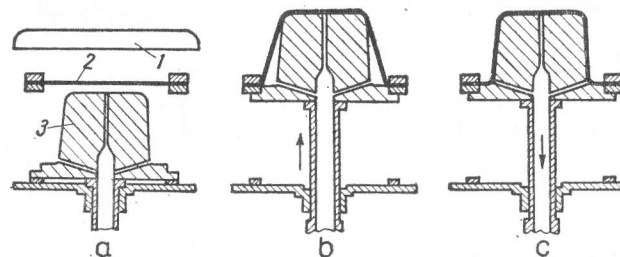


Fig. 16.6. Formarea sub vid pe matriță pozitivă ( $H:D = 1,25:1 \dots 1,5:1$ ):

a — încălzire; b — întindere (ambutisare); c — aspirație pe poanson; 7 — sistem de încălzire; 2 — placă de material plastic; 3 — poanson

În afară de formare în vid prin întindere sau prin aspirație pe matriță pozitivă există și posibilitatea formării pe matriță negativă. Presiunea exercitată de poanson asupra materialului este limitată la 2–8 daN/cm<sup>2</sup> și ajută la obținerea unor obiecte la care raportul  $H/D$  merge de la 1/1 la 1,5/1. Pereții obiectelor obținute suferă și în acest caz de neuniformitate. Variația grosimii peretelui unei piese din PVC rigidă în funcție de procedul de formare în vid este prezentată în fig. 16.7.



În consecință, la stabilirea unei tehnologii corespunzătoare va trebui să se țină seama de uniformitatea grosimii pereților, știind că aceasta diferă de la un procedeu la altul.

**Formarea cu aer comprimat.** Se mai numește și formarea pneumatică și se caracterizează prin utilizarea unei forțe de formare mai mare decât la formarea sub vid. Pre-

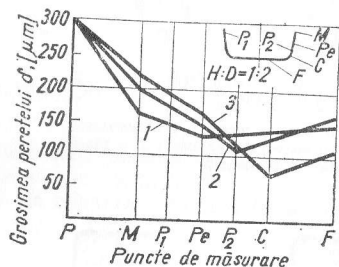


Fig. 16.7. Variația grosimii peretelui unui obiect din folie de P.V.C. rigid, de grosime  $P$ , format prin trei procedee:

1 - pozitivă, cu întindere mecanică; 2 - negativă, cu întindere mecanică; 3 - negativă

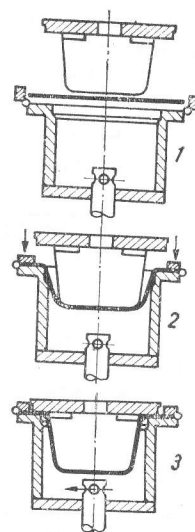


Fig. 16.8. Formarea cu aer comprimat și întindere mecanică, în matriță pozitivă:

1 - matriță deschisă; 2 - întinderea cu poanson; 3 - obiect format

siunea variază între 6–8 daN/cm<sup>2</sup>. Schema de principiu a instalației de formare prin comprimare este prezentată în fig. 16.8.

Formarea pneumatică prezintă avantaj față de formarea în vid, atât în ceea ce privește raportul  $H/D$  cât și a uniformității grosimii pereților după cum se vede din fig. 16.9 și 16.10.

**Formarea cu presiune de aer cald.** Se folosește numai pentru obiecte cu pereți subțiri (0,5–1 mm). Foaia de material plastic este încălzită și presată pe pereții matriței de un curent de aer cald a cărui presiune oscilează între 6–8 daN/cm<sup>2</sup>. Procedul este practicat și pentru obținerea buteliilor și a altor „corpuri goale”, pe mașini specializate.

**Tipuri de materiale recomandate pentru formarea la cald.** Pentru formarea sub vid sînt indicate materiale termoplastice sub formă de foi sau plăci rigide, semirigide și flexibile, cu grosimea între 0,025–10 mm. Alegerea materialului se va face potrivit locului

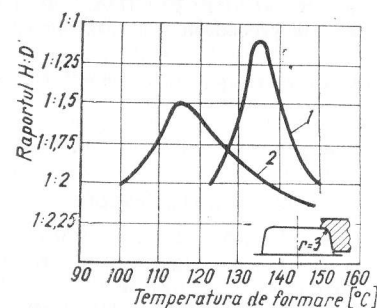


Fig. 16.9. Raportul  $H:D$  la diferite temperaturi de formare:

1 - formare cu aer comprimat; 2 - formare sub vid fără întindere mecanică a unei folii de PVC rigidă

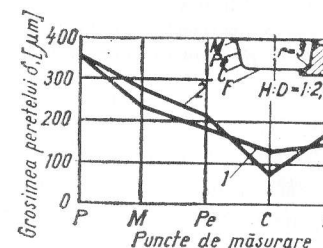


Fig. 16.10. Variația grosimii peretelui unui obiect din folie de PVC rigidă de grosime  $P$ :

1 - formare cu aer comprimat; 2 - formare în vid

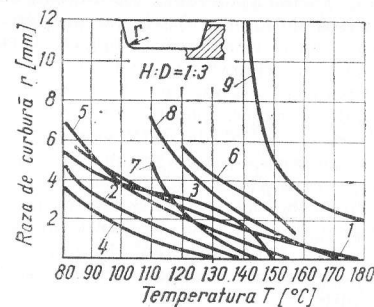


Fig. 16.11. Influența temperaturii asupra razei de curbura:

1 - PVC rigid tip emulsie; 2 - PVC rigid tip suspensie; 3 - PVC semirigid tip suspensie; 4 - copolimer clorură-acetat de vinil; 5 - polistiren modificat; 6 - polimetacrilat de metil; 7 - poliacetat flexibil; 8 - poliacetat rigid; 9 - policarbonat

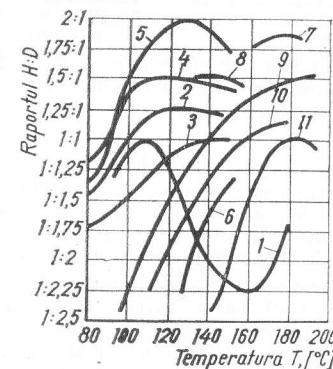


Fig. 16.12. Influența temperaturii asupra raportului  $H:D$ :

1 - PVC rigid tip emulsie; 2 - PVC rigid tip suspensie; 3 - PVC semirigid tip suspensie; 4 - copolimer clorură-acetat de vinil; 5 - polistiren modificat; 6 - polimetacrilat de metil; 7 - polipropenă; 8 - polietilenă de joasă presiune; 9 - poliacetat flexibil; 10 - poliacetat rigid; 11 - policarbonat



de utilizare, dar și ținând cont că fiecare material se comportă diferit în aceste condiții de prelucrare așa cum rezultă din fig. 16.11 și 16.12.

**16.2.1.4. PRELUCRAREA POLIMERILOR ÎN STARE FLUIDĂ.** În această stare se prelucrază numeroase materiale plastice prin procedeele de: calandrare, extrudare, injecție, filare etc.

În zona fluidă (peste  $T_0$ ) chiar pentru un interval de timp  $t$  scurt, deformarea globală va conține toți termenii conform relației:

$$D_t = D_0^E + D_t^E + D_t^C = D^E + D_t^C$$

în care:  $D_t$  este deformarea totală;  $D^E = D_0^E + D_t^E$  deformarea elastică totală,  $D_0^E$  — deformarea elastică obișnuită;  $D_t^E$  — deformarea înalt elastică, iar  $D_t^C$  — deformarea de curgere (care se produce în timpul  $t$  considerat), așa cum rezultă și din fig. 16.13.

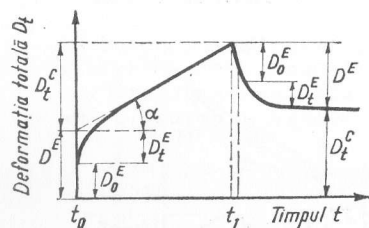


Fig. 16.13. Curbele  $D_t = f(t)$  la încărcare și descărcare pentru polimerii elasto-plastici

ma filme și fire rezistente. O altă particularitate a curgerii polimerilor este legată de așa-numitul fenomen al curgerii chimice. Fenomenul are loc datorită viscozității mari a polimerilor, care sub acțiunea forțelor deformatoare mari se rup chiar la legăturile chimice din macromoleculă. Particulele formate prin rupere, fiind mai mici, se vor deplasa mai ușor și vor asigura curgerea, dar în același timp vor contribui la accelerarea procesului de îmbătrânire și la reducerea indicilor de rezistență mecanică a obiectului finit. În prelucrarea termoplastelor trebuie ținut deci cont de toate particularitățile curgerii, pentru a putea fixa parametrii optimi de prelucrare, parametrii ce vor asigura calitățile optime ale obiectelor finite.

**Calandrarea.** Prelucrarea pe calandre (procedeu utilizat mai ales în industria cauciucului) constituie cea mai rapidă metodă de formare a foilor și foliilor din materiale plastice. Procedeu constă în trecerea unui amestec (polier + plastifiant) în prealabil omogenizat și preîncălzit, între mai multe perechi de cilindri încălziți. Viteza de rotire a cilindrilor și distanța dintre ei se stabilesc în așa fel încât produsul să iasă sub forma unei foi uniforme de grosime dorită (de la câteva sutimi de mm până la 1 mm). Modelul unui calandru cu cilindrii dispuși în formă de L răsturnat este dat în fig. 16.2.10.14.

Materialul termoplastic, trecut prin câteva laminări succesive, capătă un caracter anizotrop rezultat din orientarea preferențială a macromoleculelor în direcția de calandrare. Această anizotropie este cunoscută sub numele de „efect de calandru” și trebuie să fie luată în considerație la utilizarea materialului. Efectul de calandru se manifestă

curgerea ca și deformarea înalt elastică are caracter de relaxare și deci influența temperaturii asupra acestei deformări se manifestă asupra perioadei de relaxare. Durata regupării macromoleculelor scade și aici exponențial cu temperatura. Deoarece, în stare fluidă, curgerea polimerilor este însoțită de îndreptarea catenelor macromoleculare în direcția forței de deformare, ei dobîndesc o viscozitate din ce în ce mai mare. Orientarea în procesul curgerii reduce nu numai fluiditatea, dar elimină elasticitatea polimerului, cauzînd așa-numita vitrifiere mecanică. În practică se observă foarte rar creșterea viscozității pînă la vitrifierea completă. Creșterea viscozității în timpul curgerii stă la baza capacității specifice a macromoleculelor de a forma

prin diferențe în rezistența la tracțiune și a alungirii relative la ruperea foliei pe cele 2 direcții. Încercările efectuate perpendicular pe direcția de calandrare au valori mai mici decît cele efectuate de-a lungul acesteia.

Din grupul materialelor plastice cel mai frecvent utilizat pentru formarea prin calandrare este poli[clorura de vinil].

**Extrudarea.** Prin extrudare se înțelege procesul continuu de obținere din materiale plastice a diferitelor profile cu lungime nelimitată cum sînt: tuburi cu diverse diametre și grosimi de perete, profile diverse, foi, cabluri izolate, monofilamente etc. Extrudarea realizează deci o gamă largă de semifabricate. O instalație de extrudare pentru materiale plastice se compune din: mașina de extrudare (extruderul), dispozitivul de extrudare (matrița), dispozitivul de calibrare și răcire, sistemul de preluare și tăiere, sistemul de tragere sau de înfășurare. Elementul principal al instalației este extruderul. El poate fi de mai multe tipuri: cu melc sau cu piston, cu un melc sau mai mulți melci etc. Tipul constructiv se alege în funcție de materialul prelucrat și de profilul ce trebuie obținut. Procesul de extrudare constă în esență în împingerea masei de polimer încălzită pînă la starea plastică prin capul de extrudare, care formează profilul. Schema unei mașini de extrudare este prezentată în fig. 16.15.

Organul cel mai important al extruderului este melcul. El preia materialul neplastifiat din buncăr și îl transmite capului pe extrudare sub formă de topitură omogenă. Melcul este împărțit în mai multe zone, după funcția pe care o îndeplinesc: zona de alimentare, zona de comprimare și zona de dozare sau pompare. Forma melcului, diametrul melcului, lungimea

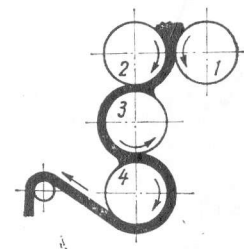


Fig. 16.14. Calandru cu cilindrii dispuși în formă de L răsturnat

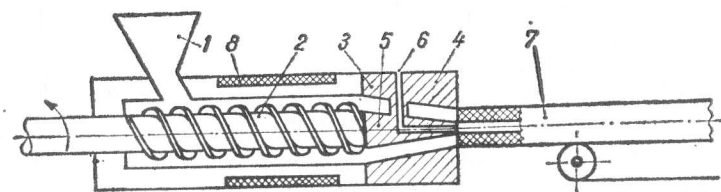


Fig. 16.15. Schema unei mașini de extrudare:

1 — pîlnie de alimentare; 2 — melc transportor; 3 — sită; 4 — cap de extrudare; 5 — dorn pentru diametru interior; 6 — orificiu pentru aer; 7 — tub extrudat; 8 — sistem de încălzire

activă, jocul între melc și cilindru, pasul, adîncimea canalului raportul de compresie sînt cîteva din caracteristicile principale ale melcului, importante însă pentru a fixa alegerea melcului în funcție de materialul prelucrat. Pentru cele mai folosite materiale în procesul extruderii se dau în tabelul 16.3. cîteva caracteristici de prelucrare.

**Injecția** (fig. 16.16). Este procedeul cel mai răspîndit pentru formarea termoplastelor. În principiu, în cursul acestei prelucrări materialul termoplastic este topit și injectat sub presiune înaltă într-o matriță închisă unde se răcește și se solidifică. Matrița este

Materialul plastic	Produsul	Densitatea materialului, $\rho$ , g/cm <sup>3</sup>	
		Zona alimentator	Materialul extrudat
PVC dură $K^* = 70...72$	Tuburi, plăci, profile	0,4–0,6	1,3–1,4
Copolimeri (acetat-clorură de vinil) (5 : 95) = $K=70$	Tuburi	0,4–0,6	1,3–1,4
Copolimeri (acetat+ clorură de vinil: 10%+90%; 20%+80%) $K = 70$	Foi tuburi cablaj	0,4–0,6	1,3–1,4
Polietilenă de presiune înaltă cu indice de curgere $a$ $a = 0,2...2$ $a = 2$ $a = 2...7$ $a = 20$	Tuburi foi folii cablaj produse suflate	0,4	0,922
Polietilenă de presare joasă $a = 2...7$	Tuburi butelii recipiente	0,4	0,96
Polipropilenă	Tuburi folii cabluri	0,4	1
Poliamide	Tuburi butelii folii	0,5	1,3
Materiale tip ABS	Plăci tuburi profile	0,6	1,1

\* Constanta  $K$  după Fikentscher.

Tabelul 16.3

Unele caracteristici ale prelucrării materialelor termoplastice prin extrudare

Raport de compresie $n:l$	Regim termic pe zone			Calibrare	Răcirea produsului
	Alimentator °C	Corp °C	Cap °C		
3:4	160	180–190	160–190	Vid, aer comprimat, liber	Apă caldă 60–70°C, aer
3:4	150	160–180	150–180	Vid aer comprimat, liber	Apă caldă 60–70°C, aer
3:4	140	160	160		
2:3	70–100	170–200	115–170	Vid aer	Apă caldă 80–90°C
2:5	70–170	210–230	140–200	Vid aer	Apă caldă
2:3	100	200–230	200–220	Vid aer	Apă caldă 20–50°, aer
1:9	100	220–260	200–230	Vid aer	Aer

apoi deschisă, piesa scoasă din ea și ciclul începe din nou. Procedul utilizat pentru topire (plastifiere) și injecție diferă de la o mașină la alta.

Există astăzi o gamă foarte variată de tipuri de mașini de injecție care diferă prin: sistemul de acționare, direcția de lucru, numărul matrițelor de injecție etc. Oricare ar fi tipul constructiv, elementele principale ale mașinei de injecție rămân aceleași: ansamblul cilindrului principal de injecție, duza de injecție, sistemul de dozare, sistemul de încălzire.

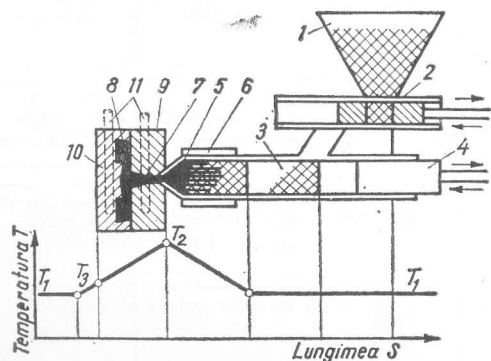


Fig. 16.16. Schema procesului de formare în mașina de injecție:

1 — buncăr; 2 — dispozitiv de dozare; 3 — camera de primire; 4 — piston; 5 — cilindru de încălzire; 6 — încălzitor electric; 7 — canal central de injecție al matriței; 8 — cavitatea matriței în care se formează produsul; 9 — partea din față a matriței; 10 — partea din spate a matriței; 11 — țevi pentru răcirea matriței;  $T$  — temperatura materialului plastic;  $S$  — drumul materialului plastic înainte de injecție;  $T_1$  — temperatura materialului plastic înainte de injecție;  $T_2$  — temperatura materialului plastic în timpul injectării;  $T_3$  — temperatura materialului plastic din produs în momentul deschiderii matriței

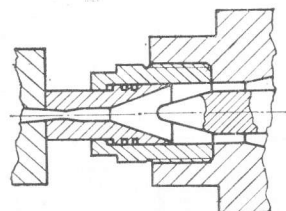


Fig. 16.17. Duza de injecție cu cap lat

Dintre aceste elemente cel mai afectat de tipul materialului prelucrat este duza de injecție care suferă modificări constructive în funcție de fluiditatea materialelor injectate. Materiale ca: acetatul de celuloză, polistirenul și copolimerii săi, polimetacrilatul de metil — tip special pentru injecție — au la temperatura de injecție o vâscozitate medie suficient de ridicată pentru ca să se poată injecta printr-o duză obișnuită cu capul plat (fig. 16.17).

Polimerii stereoregulați sau cu cristalinitate mare (poliamidele), prezintă un punct de topire net și o fluiditate foarte mare în stare topită. Ca urmare, duza de injecție trebuie să prezinte un dispozitiv de închidere, care să împiedice scurgerea topiturii din mașina de injecție când aceasta este deschisă. Există diferite tipuri de obturatoare care pot fi clasate în: sisteme statice, constituite dintr-un grup de grile (site) ce acționează prin pierdere de presiune, și sisteme dinamice: cu robinet (fig. 16.18), cu sertar (fig. 16.19) sau cu supapă cu resort (fig. 16.20).

Poli[clorura de vinil] rigidă și poli[trifluoromonocloretilenă] prezintă mari dificultăți la prelucrarea prin injecție datorită faptului că au o vâscozitate foarte mare și tendință de descompunere pronunțată. Pentru mărirea cadenței de injecție se recomandă în acest caz duze deschise.

Calitatea unui produs finit obținut prin injecție este condiționată de o serie de parametri interdependenți cum sînt: presiunea realizată de piston în cilindru, temperatura materialului injectat, temperatura matriței, durata unui ciclu de injecție, dimensiunile

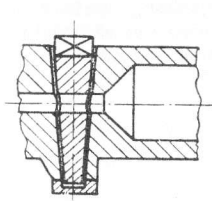


Fig. 16.18. Obturator cu robinet

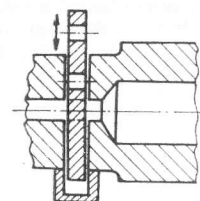


Fig. 16.19. Obturator cu sertar

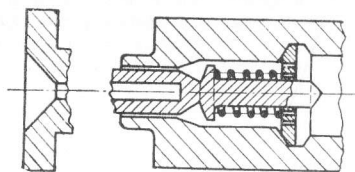


Fig. 16.20. Obturator cu supapă și resort

și forma duzei și a canalelor matriței etc. În cazul organelor de mașini și dispozitive se pune problema respectării cu strictețe a dimensiunilor finale, din care cauză trebuie să se țină seama de contracția materialelor plastice (tabelul 16.4). Pentru obținerea datelor comparative din tabelul 16.4 injecția s-a lucrat în condiții identice (temperatura de injecție 260°C, determinarea contracției la 20°C și 1 at).

Tabelul 16.4

#### Contracția unor termoplaste

Presiunea $p$ , daN/cm <sup>2</sup>	Contracția de volum, %			
	Polistiren	Polimetacrilat de metil	Acetobutirat de celuloză	Polietilenă
0	35	35	52	70
350	23	26	43	59
700	14	18	34	51
1400	3	7	21	36

Cauze ce țin de natura procesului de transfer de căldură în polimer duc la apariția fenomenului de contracție neuniformă care complică foarte mult procesul de injecție. Tipul materialului prelucrat impune atît modificări constructive ale utilajului cît și modificarea parametrilor de injecție, cum rezultă din tabelul 16.5

**Extrudare-injecție.** Este un sistem de prelucrare utilizat pentru materialele plastice cu vâscozitate mare la temperaturi ridicate (PVC dură), sau care au temperatură de topire foarte apropiată de temperatura de descompunere (PVC dură) sau pentru cazurile cînd se injectează piese de volum foarte mare (aproximativ 1000 cm<sup>3</sup>).

**Extrudare-suflare.** Este un procedeu foarte productiv de formare a foliilor (polietilenă, polipropilenă), dar în același timp și pentru formarea diferitelor obiecte goale: butelii, flacoane etc. Procedul combină în esență 2 sisteme de prelucrare: extrudarea,

care formează un semifabricat continuu, de exemplu sub formă de tub, și suflarea, care transformă tubul în diferite obiecte prin comprimare cu aer în teritoriul unei matrițe.

**Sinterizarea sau autodifuziunea.** Acest procedeu de prelucrare este utilizat numai pentru polimerii fluorurați, în mod special pentru politetrafluoretilenă (teflon), care încălzită se descompune înainte de a atinge un grad de plastifiere suficient pentru ca să poată fi prelucrată prin alte procedee cunoscute. De aceea din pudra de teflon se formează prin

Tabelul 16.5

Unele caracteristici ale prelucrării termoplastelor prin injecție

Material plastic	Ușurința formării	Temperatura de formare, °C	Presiune de formare, daN/cm²	Raportul volumul prafului și al obiectului format	Contrație %
Copolimer (clorură-acetat de vinil) rigid	Excelentă	140—150	1260—2100	2	0,1
Copolimer (clorură-acetat de vinil) plastifiat fără umplutură	Bună	120—170	700—1700	2,5	1—1,7*
Policlorură de vinil plastifiată	Bună	150—180	1400—1600	2,0—2,5	1—1,7*
Polivinilformal	Bună	175—205	900—2700	—	0,2—0,4
Polivinilbutiral rigid	Bună	140—160	—	—	—
Polivinilbutiral plastifiat fără umplutură	Bună	120—170	1350—2100	—	—
Polimetacrilat de metil	Excelentă	165—260	900—2700	1,6—2,2	0,2—0,6
Polistiren	Excelentă	190—260	900—2700	2—2,3	0,2—0,8
Poliетенă	Excelentă	150—200	310—1500	3,6	0,8—1,2
Poliamide	Excelentă	230—275	100—800	2,3	1,5—2,0
Acetat de celuloză	Excelentă	170—260	210—2100	2—2,8	1—1,2

\* Variabil după plastifiant.

compresie cu o presiune de 400 daN/cm² un semifabricat a cărei consistență este suficientă pentru a îl putea scoate din formă. Aceasta se încălzește la o temperatură cuprinsă între 350—390°C timp de 10 minute pentru fiecare mm grosime și apoi se răcește lent. Metoda nu servește decât la obținerea plăcilor și barelor din care se prelucreează apoi piese de diferite forme prin procedee mecanice.

**Turnarea.** Este o metodă de formare utilizată mai ales pentru obținerea pieselor prototip sau de serie foarte mică. Caracteristica formării prin turnare este aceea că se folosesc matrițe deschise, fără a fi necesară o presiune. Materialele mai des folosite în acest scop sînt polimetacrilat de metil și polistirenul sub formă de siropuri de prepolimer. Metoda se folosește și pentru unele materiale termoreactive cum sînt rășinile fenol-formaldehidice, poliesterii nesaturați și rășinile epoxidice.

**Presarea.** Această metodă deși nu este o prelucrare specifică materialelor termoplastice, se amintește numai ca posibilitate. Se pot presa la cald granule din materiale plastice, dar obiectul trebuie răcit în formă menținînd presiunea, ceea ce reduce productivitatea metodei. Se utilizează la obținerea plăcilor din PVC dură. În acest scop în prese hidraulice se pun pachete de foi subțiri din PVC, se încălzesc, se presează și se răcesc sub presiune.

**Sudarea.** Este o metodă de asamblare a semifabricatelor și se aplică numai materialelor termoplastice. Principiul ce stă la baza sudării este încălzirea suprafețelor de sudat pînă la temperatura de topire, cînd se produce coliziunea suprafețelor în contact. Încălzirea se poate face cu curenți de înaltă frecvență (în cazul unor polimeri polari), cu impuls termic sau cu agenți termici gazoși.

## 16.2.2. PRELUCRAREA MATERIALELOR PLASTICE TERMOREACTIVE (TERMORIGIDE)

Materialele plastice termorigide rezultă din sinteză ca materiale cu capacitate de a reacționa în continuare sub influența căldurii, de unde denumirea: termoreactive. Ele reprezintă stări intermediare în care formațiile moleculare nu au mărimea unui edificiu macromolecular, dar au capacitatea de a se transforma în polimeri tridimensionali, ca urmare a unor reacții chimice sub influența catalizatorilor sau a căldurii. Starea intermediară îngăduie aducerea materialului la o formă convenabilă (adică formarea) după care urmează aproape concomitent reacția de transformare chimică care duce la formarea unei macromolecule tridimensionale uriașe. Mărimea edificiului molecular este nedeterminabilă, din cauza insolubilității și a infuzibilității materialului. Această stare este obținută deci abia în forma obiectului finit, în matriță. Din cauza bunei rezistențe termice și a formelor finale materialele poartă și numele de termorigide. În general rășinile termoreactive se utilizează în amestec cu materiale de umplutură, care au un rol deosebit în modificarea proprietăților de exploatare. De la rășini casante se ajunge astfel la materiale (obiecte) cu rezistență la șoc foarte bună. Indiferent de tipul materialului de umplutură folosit (făină de lemn, praf de celuloză, pulberi minerale, bucăți de textile, bucăți de hirtie, fibre scurte de sticlă etc.), procedeele de prelucrare ale materialelor termoreactive apelează, în general, la acțiunea combinată a energiei mecanice și termice.

**Presarea.** Este cel mai utilizat procedeu de formare a materialelor termorigide. Ea permite obținerea cu viteze destul de mari a obiectelor de cele mai diferite forme și mărimi. Formarea în matriță necesită folosirea unor forțe mari, care să comprime materialul silindu-l să ia contact cu pereții încălziți ai matriței. Utilajele folosite în acest scop sînt presele. Ele pot fi de cele mai diferite tipuri constructive, avînd posibilitatea de a dezvoltă forțe utile între 5—5000 tf. Forma obiectului este impusă de matriță, care este alcătuită (fig. 16.21) din mai multe părți și e prevăzută cu sistem de încălzire. O grijă deosebită trebuie acordată proiectării obiectelor pentru formarea în matrițe. Regulile de proiectare a obiectelor din metal se aplică într-o măsură neînsemnată la proiectarea celor din materiale plastice. Cu scop informativ, se dau câteva indicații privitoare la modul de proiectare al obiectelor (respectiv a matrițelor) în fig. 16.22 — 16.26.

Principiul formării prin presare este simplu. Materialul de presare se încarcă în matriță ca pulbere sau pastile, eventual preîncălzite, apoi matrița se închide. Sub acțiunea căl-

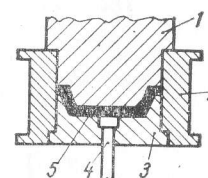


Fig. 16.21. Schema unei matrițe:

1 — poanson; 2 — bazin;  
3 — fundul bazinului; 4 —  
aruncător; 5 — obiectul  
format



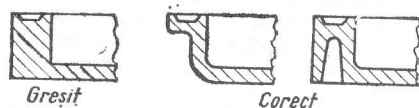


Fig. 16.22. Alegerea grosimii pereților

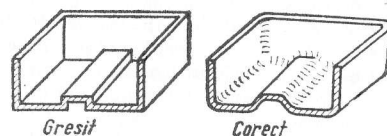


Fig. 16.23. Racordarea suprafețelor

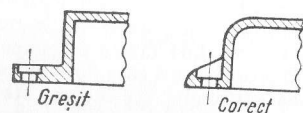


Fig. 16.24. Consolidarea urechilor de prindere

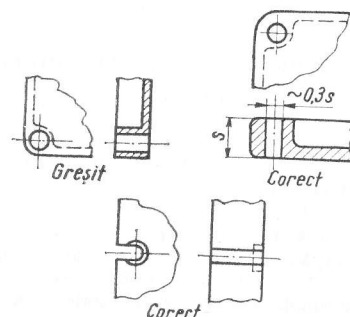


Fig. 16.25. Plasarea găurilor pentru trecerea șururilor

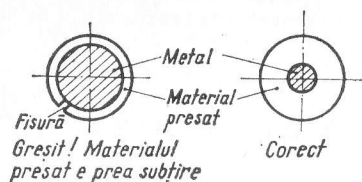


Fig. 16.26. Fixarea insertiilor în obiectele formate

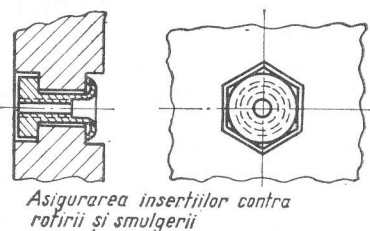


Fig. 16.27. Schema unei matrițe pentru presare prin transfer:

1 — piston; 2 — matriță superioară; 3 — canale de curgere; 4 — piesă presată; 5 — canale de încălzire

durii și a presiunii, materialul se topește, curge, și ia forma matriței. Piesa se menține sub presiune un timp, reglat după grosimea peretelui, până la terminarea reacției de reticulare. Apoi matrița se deschide și piesa este împinsă afară cu ajutorul aruncătorului. Operațiile de formare prin presare sînt comune pentru toate materialele, condițiile însă în care se face presarea diferă de la material la material (tabelul 16.6).

**Presarea prin transfer.** Este un procedeu prin care se înlătură unele inconveniente ale presării directe prin folosirea unui utilaj special (fig. 16.27).

**Extruderea.** Acest procedeu este mai puțin răspîndit pentru formarea materialelor termoreactive, din cauza dificultăților pe care le prezintă. Prin extrudare se fabrică (din rășini fenolice, ureo-formaldehidice sau compoundurile acestora cu poli [clorura de vinil]), profile de diferite forme și dimensiuni utilizate pentru montarea panourilor, culise sau tuburi pentru industria electrotehnică și chimică.

**Injectia** Este un procedeu rar folosit pentru prelucrarea termoreactivelor. Există totuși posibilitatea prelucrării prin acest sistem pe utilaje cu principiu de funcționare saemănător cu cel de la termoplaste, dar cu modificări constructive de amănunt.

### 16.2.3. MATERIALE PLASTICE ARMATE

Realizarea materialelor plastice armate, în special cu fibre de sticlă, are drept scop obținerea unor rezistențe maxime, la o greutate minimă. Aceste materiale sînt folosite în cele mai variate domenii: construcții, electrotehnică, arhitectură, construcții de mașini etc. Materialele plastice armate sînt materiale care, structural, reprezintă o asociație mecanică de fire sau de fibre flexibile de sticlă cu un material plastic în general de tipul termorigid. Proprietățile materialului finit pot fi impuse atît prin alegerea materialului plastic cît și prin alegerea formei și tipului armăturii. Ca materiale plastice se uti-

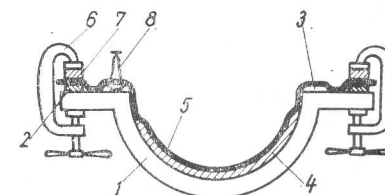


Fig. 16.28. Procedul de formare cu vid cu ajutorul sacului de cauciuc:

1 — matriță; 2 — garnitură; 3 — pîslă; 4 — stratificat; 5 — sac de cauciuc; 6 — clemă; 7 — ramă; 8 — legătura la vid

lizează: poliesteri nesaturați, rășini epoxidice, rășini fenolice, rășini melaminice, rășini siliconice etc. Rolul rășinii este acela de a asigura rigiditatea armăturii în formă finală.

Formarea obiectelor din materiale stratificate se poate efectua prin: procedeu prin contact — cînd straturile de armătură se impregnează cu rășină prin pensulare sau prin pulverizare și apoi se presează cu un valț de cauciuc sau cu mîna; prin procedeu cu vid (fig. 16.28) pe forma cu armătura impregnată se aplică o foaie flexibilă care se prinde într-o ramă și apoi se trage la vid. Aerul presează foaia pe armătura impregnată cu o presiune de  $\approx 0,6 \text{ daN/cm}^2$ .



Unele caracteristici ale prelucrării materialelor termoreactive prin presare

Material plastic	Ușurința formării	Temperatura de formare prin presare, °C	Presiunea de formare P, daN/cm <sup>2</sup>	Raportul volumul prafului și al obiectului format	Contrație, %
Fenoplaste:					
fără umplutură	Acceptabilă	130—160	140—350	2,0—2,6	1—1,2
cu umplutură:	Excelentă	150—170	250—400	2,2—4,4	0,5—0,9
— făină de lemn și bumbac	Acceptabilă—bună	150—170	300—500	2—12,5	0,1—0,5
— asbest	Acceptabilă—bună	130—175	110—220	2,1—2,7	0,1—0,4
— mică	Acceptabilă—bună	150—170	250—600	4—18	0,2—0,6
— țesătură și cord					
Fenol-furfurol					
cu umplutură:	Excelentă	140—200	70—350	2,2—3	0,5—1
— făină de lemn	Bună	135—190	70—420	2—8,5	0,2—0,6
— minerală	Bună	135—190	70—560	2,1—15	0,2—0,7
— țesătură					
Uree-formaldehidă	Excelentă	140—160	105—420	2,2—3	0,6—1,4
cu umplutură:					
— alfa-celuloză					
Melamină-formaldehidă					
cu umplutură:	Excelentă	140—160	200—400	2,1—3,1	0,6—1,5
— asbest	Bună	140—170	170—490	2,1—2,5	0,4—0,7
— țesătură	Bună	135—170	210—350	5—10	0,3—0,5
Anilină-formaldehidă fără umplutură	Acceptabilă	150—170	105—120	2,5—2,3	0,2—0,3
Cazeină	Grea	100—110	140—175	—	—

## 16.3. ACOPERIRI CU MATERIALE PLASTICE

Tehnica modernă a soluționat problema acoperirii cu straturi protectoare cu materiale plastice a suprafețelor de metal, lemn sau beton prin metoda aplicării prin pulverizare la cald.

Principiul pulverizării la cald constă în trecerea materialului plastic sub formă de pastă sau pulbere printr-o flacără deschisă inelară. Datorită căldurii materialul se topește și sub presiunea aerului se depune într-un strat fin pe suprafața piesei de protejat. Pentru pulverizare se utilizează dispozitive cu aer comprimat, care pot antrena fie dispersii vinilice (policlorura de vinil plastifiată), fie pulberi fine de polimer (poliamide, polistiren, polimetacrilat de metil, polietilenă etc.). Pentru încălzire se utilizează dispozitive speciale în care se arde un gaz combustibil. Încălzirea este făcută în așa fel încât materialul să devină plastic sau să se topească fără a se degrada. Conductibilitatea termică mică a materialelor plastice este compensată de dispersarea lor în particule foarte fine. Timpul de încălzire se reglează prin viteza materialului în aparat. Acest sistem de acoperire are mari aplicații în industria constructoare de mașini.

## 16.4. POLIMERI CU UTILIZĂRI ÎN INDUSTRIA CONSTRUCTOARE DE MAȘINI

Problema prelucrării materialelor plastice este complexă și, așa cum s-a arătat, este în permanentă dependență de proprietățile materialului de prelucrat. Totuși preocuparea cea mai importantă rămâne utilizarea acestor materiale la locul potrivit. Alegerea corespunzătoare a materialului este tributară într-un grad mai mare caracteristicilor și a schimbărilor lor în condițiile de exploatare.

Problema de bază la alegerea unui material plastic este deci cunoașterea exactă a modului cum va răspunde în condițiile de folosire și apoi a tehnologiei prelucrătoare corespunzătoare realizării piesei. În vederea unei bune orientări în alegerea unui material plastic, este necesară cunoașterea unor indici minimi cum sînt: greutatea specifică, modulul de elasticitate, rezistența la tracțiune, rezistența la șoc, stabilitatea termică a formei, temperatura de descompunere.

Trebuie reținut faptul că indicii fizico-mecanici nu au valori fixe, ci dependente de temperatură și de timp. Unii indici, ca rezistența la rupere, modulul de elasticitate, cresc odată cu scăderea temperaturii, în timp ce alții, ca rezistența la șoc, rezistența la compresie, rezistența la încovoire, scad în aceste condiții. Aceste schimbări ale valorilor rezistențelor mecanice se manifestă printr-o casanță mărită, concomitentă cu o modificare a stabilității formei.

Se accentuează de asemenea asupra faptului că fiecare producător livrează la același tip de polimer sortimente (indicate prin litere și cifre) care pot diferi mult față de valorile standard din tabele.

## BIBLIOGRAFIE

1. BERNHARDT, E. C. *Pererabotke termoplastitsenih materialov*. Moscova, Gosudarstvennoe nauchno-tehniceskoie izdatelstvo himiceskovo literaturi, 1962.
2. CHRISTOPHER, W. F. *Polycarbonates*, Reinold Publishing Co. New-York, 1962.
3. GOSSOT, J. *Les matières plastiques*. Paris, Dunod, 1968.
4. HEINRICH, W. *Grundstätze der Platanwendung*. Leipzig, VEB Deutscher Verlag für Grundstoff-industrie, 1963.
5. HOUWINK, R. și STAVERMAN, A. J. *Chemie und Technologie der Kunststoffe*. Akademischer Verlag. Leipzig, 1963.
6. MIHAIL, R. și GOLDENBERG, N. *Prelucrarea metalelor plastice*. București, Editura tehnică, 1963.
7. NITSCHKE, W. *Kunststoffe*. Berlin, Springer Verlag, 1961.
8. SCHRADER, E. C. *Prelucrarea și sudarea materialelor plastice*. București, Editura tehnică, 1962.

### III. PRINCIPII DE PROIECTARE A PROCESELOR TEHNOLOGICE DE PRELUCRARE

## 17. PROIECTAREA PROCESELOR TEHNOLOGICE

### 17.1. PROBLEME CU CARACTER GENERAL LA PROIECTAREA UNUI PROCES TEHNOLOGIC

La elaborarea procesului tehnologic de prelucrare trebuie să se înceapă prin analiza caracteristicilor constructive și dimensionale ale piesei, a condițiilor de precizie dimensională și de formă și a calității suprafețelor prelucrate. Pe baza acestei analize se va stabili procedeul tehnologic optim prin studierea mai multor variante.

Factorii principali de care se va ține seama la alegerea variantei sînt: proiectul de execuție a produsului, utilajul disponibil, caracterul producției, semifabricatul folosit, organizarea procesului de fabricație, cadrele disponibile, condițiile de muncă.

#### 17.1.1. PROIECTUL DE EXECUȚIE AL UNUI PRODUS

Proiectul de execuție al unui produs formează documentul de bază pentru elaborarea procesului tehnologic. El trebuie să cuprindă, fără echivoc, toate elementele necesare execuției, pînă la punerea în funcțiune a produsului proiectat.

Un proiect de execuție complet trebuie să cuprindă: borderoul de desene, nomenclatorul de piese, desenul de ansamblu general, desenele de subansamblu, desenele de detaliu pentru fiecare piesă componentă, memoriul justificativ de calcule, documentele tehnice.

a. În borderoul de desene sînt enumerate piesele desenate care fac parte din proiect în rubricile borderoului de desene se trece denumirea fiecărui desen, numărul desenului, formatul fiecărui desen și numărul planșelor, dacă vreun desen se compune din mai multe planșe. Borderoul de desene servește la identificarea desenelor și orientează tehnologul asupra volumului proiectului, exprimat prin număr total și prin forma pieselor desenate. Borderoul de desene se întocmește după indicațiile date în STAS 4659-65.

b. Nomenclatorul de piese conține o listă a reperelor fiecărui subansamblu. Nomenclatorul de piese conține indicații asupra calității materialului fiecărui reper, a greutății brute și nete și altele.

c. Desenul de ansamblu general conține toate vederile și secțiunile necesare identificării subansamblurilor. Pe acest desen se trec numai cotele principale, și dacă este cazul, și cotele de legătură cu alte elemente. Tot pe ansamblul general se trec într-un text scurt valorile caracteristice: putere, moment, curse, viteze etc., care permit determinarea produsului reprezentat pe desen.

d. Desenele de subansamblu vor conține toate elementele necesare identificării pieselor componente și cele necesare montării: indicarea ajustajelor, datele funcționale caracteristice ale pieselor, de exemplu: numărul de dinți la roțile dințate, modulul, jocul între flancuri etc., cotele de legătură cu subansamblurile învecinate și toate particularitățile care privesc montarea subansamblului în cauză.

e. Desenul de execuție pentru o piesă componentă oarecare trebuie în așa fel întocmit, încât piesa să fie complet determinată ca: formă, dimensiuni, material și calitate a suprafeței. În cazul studiului sau verificării unui desen de execuție trebuie urmărită continuu problema economicității prelucrării. Indicarea rugozității suprafeței prin notațiile corespunzătoare trebuie făcută în concordanță cu rolul funcțional pe care îl are suprafața respectivă în ansamblu; impunerea unor suprafețe mai fin prelucrate decât este necesar are ca urmare o scumpire nejustificată a produsului. Aceeași problemă se pune și la indicarea toleranțelor. Se vor aplica toleranțe numai dimensiunilor funcționale, adică numai acelor care sînt determinante pentru buna funcționare a mașinii. Abuzul prescrierii de toleranțe duce de asemenea la scumpirea produsului.

f. Memoriul justificativ de calcule reprezintă documentul în care proiectantul își expune ideile de concepție, justificînd datele caracteristice, arătînd calculele principale cinematice, calculele de rezistență, calculele termice, hidraulice, dacă este cazul de asemenea și unele calcule deosebite privind unele organe componente, ca de exemplu: calculul angrenajelor, calculul ungerii hidrodinamice (în cazul lagărelor de alunecare cu viteză ridicată a fusului) și altele similare.

g. Documente tehnice se compun din patru piese scrise și anume: directivele tehnologice, memoriul tehnic, cartea mașinii și caietul de sarcini.

Directivele tehnologice cuprind recomandări privind unele particularități la fabricația unor repere importante ale produsului proiectat sau indicații privind încercarea unor organe proiectate înainte de utilizarea lor definitivă sau condiții speciale de control tehnic etc.

Memoriul tehnic este documentul care orientează executantul asupra caracteristicilor produsului proiectat, asupra funcționării lui, asupra calității și a performanțelor acestuia, asupra particularităților tehnice etc. Memoriul tehnic va cuprinde tema de proiectare, justificarea soluțiilor adoptate în proiect, avantajele și dezavantajele pe care le prezintă soluția constructivă aleasă, în comparație cu alte produse similare, indicînd și documentația utilizată. De asemenea se vor arăta, în domeniul tehnic, calitățile economice pe care le oferă soluția constructivă a produsului proiectat: productivitate, consum de combustibil, consum de energie, randament etc. Se va descrie funcționarea produsului proiectat în baza schemelor explicative legate de aceasta și se vor preciza particularitățile care asigură buna funcționare, de exemplu calitatea uleiului pentru acționarea hidraulică, calitatea și modul de finisare a suprafețelor elementelor lagărelor speciale cu mai multe suprafețe portante, calitatea lubrifianților pentru fiecare loc de ungere, temperaturile de funcționare, jocurile funcționale admisibile pentru rulmenți, angrenaje și alte date similare.

Cartea mașinii este documentul în care sînt cuprinse indicații asupra modului de exploatare și de întreținere.

Caietul de sarcini conține condițiile de omologare, respectiv condițiile de recepție a mașinii fabricate. În caietul de sarcini se vor preciza problemele de verificare și limitele abaterilor admise pentru fiecare caracteristică sau performanță a mașinii. Pentru executarea fiecărei probe se vor indica instrumentele de măsurat, eventual și piesele de probă și, bineînțeles, condițiile în care trebuie executate probele.

### 17.1.2. ALEGEREA UTILAJULUI NECESAR PRELUCRĂRII

La elaborarea procesului tehnologic se va ține seama de dotarea și posibilitățile de dotare a întreprinderii cu mașini-unelte și alte utilaje. Este necesară cunoașterea utilajului și încărcarea lui. Este bine însă să nu se admită o influență prea mare a utilajului existent, ținînd seama că procedeele tehnologice trebuie perfecționate continuu, că

apar procedee noi și deci este necesar și utilaj nou. Pe baza unor calcule tehnico-economice se poate justifica, în cele mai multe cazuri, necesitatea procurării utilajelor noi de productivitate mai bună, care asigură o calitate superioară și o reducere a prețului de cost.

De multe ori, printr-o examinare atentă se poate realiza o modernizare a utilajului existent, se pot confecționa dispozitive, scule, se pot mecaniza anumite operații, în așa fel încît să se ridice productivitatea chiar la utilajul mai vechi.

În vederea ușurării alegerii tipului de mașină-unelte, pe care urmează a se executa prelucrarea unei suprafețe, se face o clasificare a acestora. După criteriile tehnologice, mașinile-unelte se pot clasifica în:

- mașini-unelte de utilizare generală, mașini universale;
- mașini-unelte de înaltă productivitate, caracterizate printr-o putere mare și rigiditate bună;
- mașini-unelte specializate, la care prin adoptarea anumitor dispozitive se pot efectua lucrări speciale;
- mașini-unelte agregate, pe care se pot efectua diferite operații;
- mașini-unelte speciale la care se pot efectua numai lucrări specifice.

Alegerea tipului și dimensiunii mașinilor-unelte se face pe baza caracteristicilor producției și a semifabricatelor care urmează a fi prelucrate. La o producție de serie mică, cînd la aceeași mașină urmează să se execute mai multe operații, ea trebuie să corespundă condițiilor de trecere ușoară de la o operație la alta.

La producția de masă, unde fiecare mașină execută o singură operație, trebuie să se aleagă o mașină-unelte de înaltă productivitate.

Pentru alegerea tipului și dimensiunii mașinii-unelte trebuie să se ia în considerare următorii factori:

- felul prelucrării ce trebuie executată (strunjire, frezare, găurire etc.);
- care sînt dimensiunile semifabricatului, pentru ca dimensiunile utile ale mașinii-unelte să corespundă;
- schema cinematică a mașinilor-unelte, avînd în vedere concordanța cu regimul de așchiere ales și cu materialul de prelucrat;
- puterea efectivă a mașinii-unelte, pentru a se putea realiza regimul admis;
- precizia de prelucrare a mașinii-unelte să fie în concordanță cu precizia cerută la prelucrare.

Trebuie să se mai țină seama și de:

- gradul de utilizare al mașinii-unelte;
- costul mașinii-unelte;
- gradul necesar de concentrare a lucrărilor;
- productivitatea mașinii-unelte;
- gradul de mecanizare și automatizare.

Pentru a cunoaște care este numărul de mașini-unelte necesar pentru executarea unui produs, trebuie stabilit volumul de lucru al prelucrărilor mecanice. Volumul de muncă pentru diferitele categorii de mașini-unelte se cunoaște din documentația tehnologică. Numărul de piese care urmează să se prelucreză se calculează ținînd seama de planul de producție, în care sînt prevăzute mașinile ce urmează a se fabrica. Știînd că la o mașină sînt necesare piese de un anumit tip (exemplu: arbori), atunci numărul total de piese care trebuie prelucrate va fi:

$$p_a = p_1 P_r \left( 1 + \frac{k}{100} \right) \quad (17.1)$$

în care:  $p_1$  reprezintă piese pe mașină, buc.;  $P_r$  — numărul de mașini fabricate anual buc.;  $k$  — un coeficient prin care se ține seama de piesele care trebuie prelucrate fie ca piese de rezervă, fie pentru completare în caz de rebuturi.

Stabilirea numărului de mașini-unelte se face și în funcție de fondul de timp disponibil. În mod obișnuit, fondul de timp disponibil se calculează ținând seama de numărul de zile lucrătoare dintr-un an și de numărul de schimburi. Este de reținut că dacă se lucrează în două sau trei schimburi numărul de ore nu crește de două sau de trei ori. În acest caz se va lua în considerare un coeficient de reducere și anume se poate admite, pentru două schimburi 97%, iar pentru trei schimburi  $\approx 95\%$  din numărul total de ore.

Fondul de timp real  $F_r$  se calculează cu relația:

$$F_r = \left(1 - \frac{\alpha}{100}\right) F_a \quad (17.2)$$

în care:  $F_a$  este fondul de timp anual, ore;  $\alpha = 4 \dots 6$  este un coeficient de opriri.

În calcule trebuie să se țină seama, de asemenea, în cazul producției de serie mică, de timpul de pregătire și încheiere, de numărul de reglări.

Numărul teoretic necesar de mașini  $N_{tm}$  va fi dat de relația

$$N_{tm} = \frac{T_{ef} P_a}{F_r 60} \quad (17.3)$$

în care:  $T_{ef}$  reprezintă timpul efectiv pentru prelucrarea unei piese;  $P_a$  — numărul de piese, anual, buc.

La producție de serie mare sau de masă se calculează ritmul producției  $R_p$  cu relația:

$$R_p = \frac{F_r 60}{P_a} [\text{min/buc.}] \quad (17.4)$$

Numărul necesar de mașini se poate calcula și cunoscând ritmul producției:

$$N_{tm} = \frac{T_{ef}}{R_p}$$

Pentru o producție în serie, prelucrarea făcându-se în mai multe loturi de produse, se ține seama și de timpul de pregătire și încheiere. Numărul teoretic de mașini va fi dat atunci de relația:

$$N_{tm} = \frac{\sum_{i=1}^n T_{efi} P_{ai} + \sum_{i=1}^n T_{pi} k_i}{F_r 60} \quad (17.5)$$

în care:  $T_{pi}$  reprezintă timpul de pregătire și încheiere, min;  $k_i$  — numărul de loturi pentru diferite operații.

Numărul teoretic obținut poate să fie fracționar. În acest caz, numărul se rotunjește la întreg, fie neglijând fracționarea, fie rotunjind în plus.

După calcularea numărului de mașini trebuie să se facă o analiză a gradului de utilizare. Se va stabili astfel dacă alegerea mașinii-unelte s-a făcut bine. În cazul în care

rezultă un număr mare de mașini, trebuie analizat dacă nu se pot alege mașini-unelte de mare productivitate. Sau, dacă rezultă necesitatea folosirii unor mașini-unelte scumpe, dacă nu pot fi folosite mașini mai economice.

Calcule de verificare trebuie făcute și din punct de vedere al capacității de lucru a mașinii, puterea motorului, utilizarea capacității maxime de așchiere la mașini cu mai multe scule etc.

Calculul se va face deci ținându-se seama de toate elementele care influențează economicitatea prelucrării.

### 17.1.3. ÎNTOCMIREA DOCUMENTAȚIEI TEHNOLOGICE

Întocmirea documentației tehnologice se face după ce în prealabil s-au executat lucrările pregătitoare, expuse în continuare.

Se studiază în primul rînd documentația tehnică a mașinii care urmează a se fabrica, se va face o analiză a condițiilor de precizie, a condițiilor de exploatare. În acest scop se vor preleva lanțuri de dimensiuni.

Pe baza condițiilor de precizie se vor stabili procedeele tehnologice, utilajele și cadrele necesare. De asemenea se va studia necesarul de SDV-uri. După această pregătire se poate trece la stabilirea elementelor principale ale procesului tehnologic. Se vor stabili astfel:

- felul și dimensiunile semifabricatelor sau laminatelor;
- ordinea operațiilor;
- modul în care se va face așezarea, cu stabilirea bazelor de așezare pentru fiecare operație;
- calculul adaosurilor de prelucrare;
- mașinile-unelte la care urmează să se execute operațiile de prelucrare;
- precizări privind dimensiunea și felul sculelor;
- normele de timp pentru fiecare operație;
- calculul economic pentru mai multe variante, cu scopul stabilirii procedeei mai corespunzătoare.

După stabilirea acestor date se poate trece la întocmirea fișelor tehnologice și a planurilor de operații, se pot elabora desenele pentru SDV-uri, se întocmesc fișele de control.

Prin stabilirea variantei economice se ajunge la cunoașterea soluției concrete, care se poate aplica în uzina respectivă. O dată stabilite procedeele tehnologice, se poate trece la întocmirea documentației tehnologice.

Documentația tehnologică trebuie să conțină toate datele necesare pentru a se putea executa lucrarea în cele mai bune condiții. Între altele, documentația tehnologică trebuie să precizeze mașina-unelte pe care se va face prelucrarea, sculele și precizia lor, dispozitivele care se vor folosi, regimul de așchiere. La baza întocmirii documentației tehnologice stă nomenclatorul de piese.

**17.1.3.1. FIȘA TEHNOLOGICĂ** (tabelul 17.1). Fișa tehnologică trebuie să cuprindă toate datele necesare prelucrării. În funcție de tipul producției diferă și conținutul fișei tehnologice. În fișa tehnologică se face o înșiruire a succesiunii operațiilor.

Dacă în procesul tehnologic intervine o modificare, se întocmește o altă fișă. Fișa tehnologică poate fi folosită uneori și ca document pentru antecalculul prețului de cost.



*Tabelul 17.1*  
**Fișă tehnologică**

Întreprinderea:		0000	0000	00	90	80	70	60	50	40	30	20	10	1	2	3	4	5	6	7	8	9	0		
Secția: Teh.																									
FIȘĂ TEHNOLOGICĂ																									
Preluare mecanică																									
Nr.																									
Nr. reper .....																									
Produsul .....		Simbol .....																							
Ansamblul .....																									
Piesa .....																									
Desen.....		Poz ..... buc./prod .....																							
Valabil pentru seria de .....		buc.																							
Schita piesei																									
Verificat tehnolog:																									
Verificat normativ:																									
Material (STAS)		Calitate (stare)		Secțiunea (profil)		Unit. măsur.		Necesar pentru 1 buc.		Valoarea materialului		Valoarea totală manoperă		Întocmit tehnolog:		Verificat tehnolog:									
Operația		Utilajul		Indicații-unitehnologice		Buc. prelucrate simultan		Echipa		Timp normal min/maș.		Norma, lei		% din lucrare											
Nr.		Mașina, loc de lucru		Dispozitive		Scule		Verificatoare		De-serv.		Grupa categ.		Preșă-tăți		Uni-tăți		Preșă-tăți		Uni-tăți					
1		3		4		5		6		7		8		9		10		11		12		13			
2		3		4		5		6		7		8		9		10		11		12		13			

17.1.3.2. PLANUL DE OPERAȚII (tabelele 17.2 și 17.3). Planul de operații pune la îndemîna muncitorului un proces de prelucrare întocmit după criterii științifice, bazat pe cele mai recente rezultate practice și în așa fel stabilit, încît succesiunea operațiilor și a fazelor de lucru, să fie univocă și complet determinată, scutind muncitorul sau maistrul de a adopta soluții de moment. Planul de operații conține, prin urmare, un studiu detaliat al procesului tehnologic de prelucrare mecanică. Felul prelucrărilor și succesiunea operațiilor se stabilesc de către inginerul tehnolog, după criterii corespunzătoare tehnicii avansate și în funcție de utilajul existînd în uzina respectivă.

Elementul principal al planului de operații este operația. Fiecare operație este tratată separat pe câte o filă, ea fiind descompusă și analizată în cele mai mici amănunte. Această analiză se referă însă nu numai la operație, la fazele ei, la treceri, la așezările și pozițiile piesei în decursul prelucrării, ci corespunde și precizează mașina-uneltă, SDV-urile, agentul de răcire, regimul de așchiere, schița despre felul așezării piesei pe mașină sau în dispozitiv, cu indicarea suprafețelor care trebuie prelucrate. Indicațiile tehnologice trebuie date clar și precis (și unde este cazul, conform STAS) pe fila planului de operații, pentru fiecare dintre elemente, pentru a exclude orice echivoc.

Rezultă că fila de operații este destinată locului de muncă la care se execută operația, ea trebuie să asigure muncitorului toate datele și indicațiile necesare intervențiilor sale în vederea executării prelucrărilor cuprinse în operația în cauză. Aceste indicații trebuie respectate întocmai, nerespectarea lor (abatere de la disciplina tehnologică) ducând uneori la o scădere a productivității muncii și, aproape întotdeauna, la scăderea calității.

Totalitatea fişelor de operaţii care se referă la prelucrarea uneia şi aceleiaşi piese formează planul de operaţii. Tehnologul de sector supraveghează desfăşurarea procesului tehnologic, pe baza acestui plan de operaţii. Pe coperta planului de operaţii sînt prevăzute caracteristicile semifabricatului, cantitatea de materiale prevăzute în planul de operaţii, data întocmirii planului, numele tehnologului proiectant etc.

Utilizarea planului de operații este absolut necesară pentru buna desfășurare a procesului tehnologic de prelucrare și constituie o necesitate imperioasă pentru ridicarea nivelului tehnic al uzinei.

#### 17.1.4. TIPIZAREA PROCESELOR TEHNOLOGICE

În construcția de mașini are o importanță deosebită tehnologicitatea mașinilor și economicitatea proceselor tehnologice aplicate. În vederea obținerii unei bune tehnologicități, a unei prelucrări economice, trebuie create premisele posibilității folosirii unor procese tehnologice care să se poată aplica unui număr cât mai mare de piese similare.

Mijloacele și metodele moderne de producție în construcția de mașini sînt în prezent foarte diferite. Un număr de sute de mii de piese se execută astăzi, după diverse procedee tehnologice, la diferite utilaje, cu diferite scule și dispozitive. Varietatea procedeeelor tehnologice este atît de mare, încît aceeași piesă se execută prin procedee tehnologice diferite, de multe ori chiar la aceeași uzină. Volumul de muncă pentru confecționarea aceleiași piese poate să difere de zeci și chiar de sute de ori. Diferențele atît de mari se datoresc faptului că dezvoltarea tehnică a întreprinderilor este foarte neuniformă, iar programul de producție este foarte diferit. Pentru eliminarea acestor nepotriviri, pentru îmbunătățirea tehnologicității și productivității este foarte eficace tipizarea proceselor tehnologice la piese care prezintă asemănări.

Problema tipizării proceselor tehnologice se pune numai la producția de serie mică sau unicate. La producția de serie mare sau de masă, se aplică procese tehnologice

Coperta planului de operații

Întreprinderea		<p align="center"><b>PLAN DE OPERAȚII</b>          pentru prelucrări mecanice</p> <p align="center"><b>COPERTA</b></p> <p align="center">Produsul _____</p> <p align="center">Simbol____ Ansamblu____</p> <p align="center">Denumirea piesei_____</p>	Reper nr.	
			Desen nr.	Poziția
Secția			Total file	Total operațiuni
			Copia nr.	Data copierii
Atelierul			Apartine	

STAS	Calitatea (starea)		Secțiunea (profilul)		Caracteristici tehnice	vații
Unitate de măsură	Necesar pe bucată Neto	Bruto	Necesar pe produs	Nr. desen forjă	Nr. desen turnătorie	

## LEGENDĂ

$a$	Adîncimea de aşchiere, mm	$t$	Toleranţa de prelucrare a fazei	+++
$s$	Avansul, mm/rot (cursă)	$T_b$	Timp de bază	Suprafaţa de fixare a piesei
$v$	Viteza de aşchiere, m/min	$T_a$	Timp ajutător	√
$n$	Numărul de rot (curs) pe min	$T_e$	Timp efectiv $T_e = T_b + T_a$	Direcţia de stringere
$i$	Numărul de treceri succesive (şpanuri)	$T_t$	Timp adaos deservire tehnică (în % din $T_b$ )	
$l_c$	Lungimea de calcul a piesei	$T_0$	Timp adaos de deservire organizatorică (în % din $T_e$ )	
$l_p$	Lungimea de prelucrare (fără majorare)	$T_u$	Timp unitar $T_u = T_e + T_t + T_0$	Suprafaţa de prelucrare
$d$	Diametrul (lăţimea) piesei	$T_p$	Timp de pregătire	

Tableul 17.3

## Plan de operații pentru prelucrări mecanice

[illegible]

verificate și îmbunătățite, pe baza folosirii pe o durată lungă de timp a aceluiași proces tehnologic.

Elementele comune care se iau în considerare la întocmirea procesului tehnologic tip sînt:

- metoda cea mai perfecționată de elaborare a semifabricatelor;
- utilajul să fie identic ca dimensiune și tip;
- metodele de alegere a bazelor de referință și de fixare să fie aceleași;
- ordinea executării operațiilor de prelucrare mecanică să fie aceeași, pentru toate piesele cuprinse în procesul tehnologic tip.

Tipizarea proceselor tehnologice trebuie să aibă la bază, în primul rînd o clasificare a pieselor de prelucrat și a proceselor tehnologice. Pentru aceasta trebuie să se facă un studiu amănunțit asupra proceselor tehnologice, asupra forme constructive a pieselor, asupra materialelor folosite și a procedeelor de elaborare a semifabricatelor.

Tipizarea proceselor tehnologice trebuie să înceapă cu clasificarea pieselor (tabelul 17.4).

Tabelul 17.4  
Clasificarea pieselor de mașini

Categoria	Clasa	Grupa
Piese standardizate	1. Organe de formă prismatică	— Pene, liniare, echere — Plăci de tușat, mese de trasat etc. — Piulițe
	2. Organe de forma corpurilor de rotație	— Știfturi buloane — Șuruburi — Rondele — Supape
	3. Organe de formă complexă	— Armături
Piese specifice	1. Organe de formă prismatică	— Plăci, capace — Batiuri, console, suporti, sănii, glisiere — Carcase
	2. Organe de forma corpurilor de rotație	— Arbori, osii, leviere — Discuri, roți, volanți — Bucșe, flanșe, cuzineți — Roți dințate
	3. Organe de formă complexă	— Piese cu mai multe axe (arbori cotiți excentrici) — Piese cu axe concurente (cruci cardanice, osii articulate) — Piese cu suprafețe elicoidale (bare filetate, șuruburi conducători, melci)

Forma constructivă a piesei determină alegerea utilajelor pentru prelucrare, alegerea sculelor, regimurilor de lucru etc. Materialul și procedeul tehnologic folosite la elaborarea semifabricatelor determină de asemenea alegerea procedului de prelucrare, a sculelor, regimului de așchiere etc.

Elaborarea și fundamentarea principiilor de proiectare a proceselor tehnologice, clasificarea pieselor, tipizarea proceselor tehnologice contribuie la dezvoltarea tehnologiei construcției de mașini.

Fundamentarea acestor probleme conduce la posibilitatea generalizării soluțiilor tehnologice și astfel la obținerea unor procese tehnologice optime.

La tipizarea proceselor tehnologice trebuie să se țină seama de condițiile concrete din cadrul fiecărei întreprinderi.

Pentru stabilirea proceselor tehnologice tip, trebuie să se pornească de la normalizarea pieselor și a suprafețelor acestora. Aplicînd la prelucrare principiul succesiunii proceselor tehnologice, se ajunge la posibilitățile generalizării unei anumite tehnologii. Prin formarea unei serii tehnologice se creează condițiile de lucru similare unei producții de serie.

Tipizarea proceselor tehnologice prezintă o serie de avantaje, deși în prima fază ea necesită un volum de muncă destul de mare. Astfel prin tipizarea proceselor tehnologice se va stabili metoda de aplicare a proceselor tehnologice înaintate, se pot stabili baze pentru tipizarea mașinilor-unelte și a dispozitivelor, se pot elabora scule speciale, se poate îmbunătăți organizarea secțiilor de prelucrare, se poate realiza o colaborare mai bună între întreprinderi. Din punct de vedere tehnico-economic se realizează o simplificare a proiectării, prin folosirea unor piese tipizate, o scurtare a timpului de pregătire a documentației pentru fabricație, prin trecerea de la producție de serie mică la producție de serie mare, crește productivitatea, se îmbunătățește norma de timp, se reduce prețul de cost.

O formă superioară de aplicare a proceselor tehnologice o formează tehnologia normalizată. Prin tehnologie normalizată se înțelege tehnologia care se aplică tuturor elementelor comune din seria respectivă de piese.

În construcția de mașini se poate realiza o unificare a produselor sau subansamblelor diferitelor produse. Prin unificare se realizează:

- o reducere a nomenclaturii pieselor;
- o scurtare a timpului de proiectare;
- o specializare a întreprinderilor;
- posibilitatea fabricării unor produse noi;
- se poate introduce producția în flux.

După datele constructive din acest punct de vedere, piesele se pot împărți în: piese normalizate, piese comune care se găsesc la toate mașinile (arbori, roți dințate etc.), piese speciale.

În ceea ce privește procesele tehnologice de fabricație se poate aplica tehnologia unică pentru toate cele trei categorii; tehnologia tipizată se poate aplica la primele două categorii, iar tehnologia normalizată se aplică numai la piesele normalizate.

Pentru a se putea aplica tehnologia normalizată se pune deci problema normalizării și unificării pieselor și a suprafețelor. Prin normalizarea proceselor tehnologice se creează condiții pentru automatizare și mecanizare complexă. Normalizarea este un mijloc important prin care se poate reduce prețul de cost al prelucrării mecatice.

## 17.2. INFLUENȚA VOLUMULUI PRODUCȚIEI ASUPRA PROIECTĂRII PROCESULUI TEHNOLOGIC

### 17.2.1. PROIECTAREA PROCESELOR TEHNOLOGICE PENTRU PRODUCȚIA DE UNICATE ȘI DE SERIE MICĂ

Aceasta se referă la programul de producție pentru fabricarea mașinilor unicate sau într-un număr mic din aceeași mașină.

În cadrul întreprinderii se produce însă o mare diversitate de mașini. Un astfel de program de producție necesită o pregătire deosebită a procesului tehnologic.

Pentru obținerea unei mai bune productivități, se impune ca încă de la pregătirea procesului tehnologic să se studieze posibilitățile de grupare a pieselor astfel încât să se poată prelucra în loturi sau pe principiul tehnologiei de grup.

Procedeele de prelucrare folosite în aceste condiții sînt foarte diferite, iar semifabricatele elaborate prin forjare sau turnare conțin adaosuri de prelucrare foarte mari.

Deoarece pregătirea și dotarea tehnologică pentru o astfel de producție este foarte costisitoare, pentru realizarea unei construcții și aplicarea unei tehnologii economice trebuie să se colaboreze între proiectant și tehnolog pentru elaborarea unor produse, care să satisfacă ambele condiții. Această colaborare este necesară și din cauză că nu se pot stabili consumuri de materiale pe bază de normative, ci pe bază de experiență sau după lista de materiale prevăzută de constructor.

Pentru prelucrare sînt folosite mașini-unelte universale care permit trecerea ușoară de la prelucrarea unei categorii de piese la alta. Pentru prelucrare se cere însă ca muncitorii să aibă o calificare ridicată deoarece dotarea cu SDV-uri este mai redusă, iar documentația tehnologică nu este stabilită pînă în cele mai mici amănunte, aceasta nefiind economic.

La asamblare se prevede, în majoritatea cazurilor, metoda asamblării prin ajustare.

Pentru eliminarea caracterului unei producții de unicate se cere ca anumite elemente componente ale mașinii să fie normalizate, ceea ce ar schimba caracterul producției cel puțin parțial, putîndu-se ajunge, pentru aceste cazuri, la producție de serie.

La producția de unicate nu se poate folosi nici cooperarea între întreprinderi din cauza modificărilor frecvente ale tehnologiei. Ciclul de fabricație este lung. Din cauza unei slabe productivități și a dificultăților de aplicare a unei tehnologii economice se impune ca un astfel de proces să se aplice numai în cazuri speciale și pentru volum de produse cît mai mic. Se impune de asemenea ca de la proiectare, pentru astfel de mașini, să se prevadă cît mai multe elemente tipizate și standardizate.

### 17.2.2. PROIECTAREA PROCESELOR TEHNOLOGICE PENTRU PRODUCȚIA DE SERIE

În domeniul construcției de mașini, producția de serie este cea mai larg răspîdită. Din punct de vedere tehnologic, aceasta se caracterizează prin efectuarea — după anumite perioade de timp — a acelorași operații asupra unor loturi de piese.

Pregătirea fabricației și a procesului tehnologic trebuie să fie făcută în mod detaliat. O dată cu întocmirea planului de desfășurare a procesului tehnologic trebuie indicate concret datele necesare pentru prelucrare, pentru dispozitivele ce urmează a fi folosite; se întocmește planul pentru schimbarea sculelor. De asemenea se vor indica concret succesiunea operațiilor și a fazelor de prelucrare și de reglare a mașinilor-unelte.

Stabilirea seriilor și a mărimii loturilor se face pe considerente economice.

Organizarea desfășurării procesului tehnologic pentru serii mici corespunde principiului pe ateliere sau grupe de mașini, iar la serie mijlocie sau mare se introduce tot mai mult principiul producției în flux.

Mașinile-unelte folosite sînt mașini universale, modernizate, mașini specializate sau mașini speciale. Se folosesc larg dispozitivele și sculele speciale.

Desfășurarea procesului de prelucrare în flux cere o calificare superioară pentru cadrele folosite la reglarea mașinilor-unelte și a dispozitivelor.

În cazul folosirii mașinilor-unelte cu comandă program, o dată cu proiectarea tehnologiei, se pregătesc programele de lucru, obișnuit pe bandă perforată, fișe sau bandă magnetică.

Cheltuielile pentru pregătirea tehnologiei față de totalul cheltuielilor sînt mai mici, de asemenea pe unitate de produs.

### 17.2.3. PROIECTAREA PROCESELOR TEHNOLOGICE PENTRU PRODUCȚIA DE MASĂ

La producția de masă este caracteristic faptul că la locurile de muncă se execută în mod permanent aceeași operație. Din aceste considerente pregătirea procesului tehnologic de prelucrare se cere să se facă la cel mai înalt grad.

În mod deosebit trebuie să se stabilească în mod amănunțit tehnologia pentru liniile tehnologice și pentru liniile de transfer. Pentru prelucrare se folosesc mașini-unelte de mare capacitate, în general mașini specializate și speciale, mașini-agregate, mașini automate. Se folosesc parțial sau total linii automate de prelucrare. La asamblare se folosește foarte rar metoda pentru ajustare.

La producția de masă, deși pregătirea tehnologică se face la cel mai înalt grad, cheltuielile raportate la unitatea de produs rezultă ca fiind minime.

Pe lângă pregătirea minuțioasă a tehnologiei trebuie să se aibă în vedere posibilitățile de introducere pe scară largă a proceselor tehnologice automate.

## 17.3. PROIECTAREA PROCESULUI TEHNOLOGIC PENTRU TEHNOLOGIA DE GRUP

### 17.3.1. LUCRĂRI PREGĂTITOARE PENTRU APLICAREA TEHNOLOGIEI DE GRUP

Tipizarea proceselor tehnologice și normalizarea acestora, bazată pe clasificarea pieselor, are un rol important în perfecționarea continuă a proceselor tehnologice. În această privință, tehnologia de grup este de asemenea o metodă care contribuie la îmbunătățirea organizării și executării tehnologiei de prelucrare pe mașini-unelte. În vederea aplicării tehnologiei de grup, o importanță deosebită o are clasificarea pieselor. Aceasta se poate face luîndu-se în considerare forma și dimensiunile pieselor sau forma și dimensiunile suprafețelor. Majoritatea uzinelor folosesc clasificarea pieselor și mai rar a suprafețelor.



Clasa este de fapt o subdiviziune, care cuprinde totalitatea pieselor ce se aseamănă prin caracterul comun al tehnologiei de prelucrare. Continuând clasificarea, se ajunge la grupe de piese de același tip. Cuprinderea pieselor în grupe se face în așa fel încât, în aceleași condiții, ele să aibă un plan comun de prelucrare a principalelor suprafețe.

O dată cu stabilirea tipului de piese se poate fixa și tipul procesului tehnologic de aplicat. În general se poate arăta că o clasă cuprinde piese care se deosebesc de altele prin caracterul utilizării, prin forma constructivă și prin problemele tehnologice.

Subclasa cuprinde piesele care au formă similară și itinerariul tehnologic de prelucrare asemănător.

Grupe cuprinde piesele care au aceeași configurație și număr de operații.

Tipul cuprinde piesele care necesită aceeași operație de prelucrare. Orice metodă se folosește la clasificare, se ajunge tot la piese tip. Folosind baze științifice pentru clasificarea și tipizarea pieselor (conform schemei din fig. 17.1), se creează condiții ca — pentru producția individuală sau de serie mică — să se poată aplica o tehnologie asemănătoare prelucrării pieselor de serie.

Pentru obținerea unor rezultate mai bune, trecerea la tehnologia de grup ar trebui să înceapă de la proiectare. Prin proiectarea pieselor în așa fel încât ele să poată fi cuprinse mai ușor în grupe tehnologice se ușurează munca de clasificare. Aceasta cere o normalizare constructivă și chiar o unificare a pieselor și subansamblurilor.

În construcția de mașini, piesele se pot împărți în piese normalizate, având aceeași construcție și dimensiuni proportionale; piese de uz comun, folosite la toate tipurile de mașini: roți dințate, arbori, bucșe etc., dar care diferă ca dimensiuni și formă, și piese speciale, proprii numai unei anumite mașini. Proportia între cele trei categorii diferă de la un produs la altul.

Clasificarea pieselor în vederea aplicării tehnologiei de grup se face deosebit de aceea pentru aplicarea proceselor tehnologice tipizate și anume — în acest caz — se pleacă de la felul prelucrărilor. Astfel se formează clase de prelucrare la strunguri paralele, la strunguri-revolver, la mașini de frezat, la automate etc.

Clasificarea dă posibilitatea să se formeze grupe care să se poată prelucra cu aceeași mașină-unealtă, cu același echipament tehnologic și cu un reglaj comun.

Grupele se creează ținându-se seama de următoarele:

- forma geometrică și caracteristicile comune ale suprafețelor de prelucrat;
- dimensiunile pieselor, care determină dimensiunile mașinilor-unelte și ale dispozitivelor;
- procedeele de elaborare a semifabricatelor;
- precizia de prelucrare și calitatea suprafețelor;
- seria de fabricație;
- economicitatea procedurii.

Se obțin grupe de piese (fig. 17.2), care se pot prelucra la aceeași mașină-unealtă, grupe formate numai după criteriul unor anumite operații tehnologice și grupe cu ciclul de prelucrare la diferite mașini-unelte.

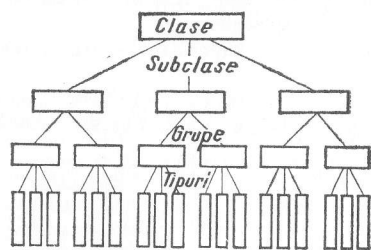


Fig. 17.1. Schemă de clasificare a pieselor pentru tehnologia de grup

Această clasificare are importanță și din punct de vedere al organizării fluxului tehnologic și dotării cu utilaj. Astfel, pentru grupele 1, 2, 3, 7 și 8, utilajele se amplasează în ordinea succesiunii operațiilor, folosindu-se dispozitive și reglaje de grup; pentru grupele 4, 5 și 6 se repartizează grupa de piese la un loc de muncă anumit, ceea ce permite o dotare mai bună.

Formarea grupelor tehnologice cere o cunoaștere bună a pieselor și a proceselor tehnologice. În principiu, pentru formarea grupelor se procedează la alegerea unei piese

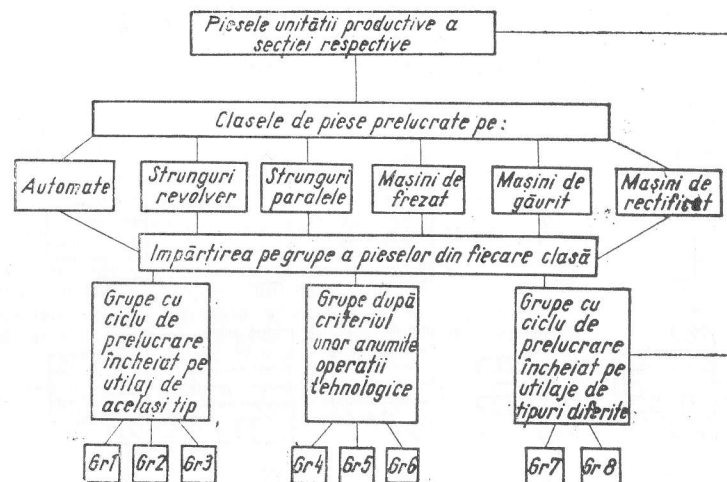


Fig. 17.2. Schemă de clasificare pentru prelucrarea de grup pe grupe de mașini-unelte

caracteristice din grupă, numită piesă complexă, care să cuprindă o serie de suprafețe elementare (cilindrice, conice, degajări, filete, teșituri etc.) exterioare și interioare. Celelalte piese din grupă vor conține toate sau numai o parte din suprafețele pe care le conține piesa complexă. Ordinea așezării suprafețelor poate să fie oarecare.

Alegerea piesei complexe se va face în așa fel încât prelucrarea să se poată executa cu un reglaj de grup, cu folosirea aceluiași dispozitive și a aceluiași scule.

Piesa complexă va conține deci elementele geometrice ale pieselor din grupa respectivă, iar procesul tehnologic întocmit pe baza ei, cu mici completări de reglaj, poate fi utilizat pentru prelucrarea oricărei piese din grupa respectivă. De exemplu, piesa complexă A cuprinde suprafețele 1...8 (fig. 17.3). Această piesă complexă poate sta la baza întocmirii unui proces tehnologic pentru o grupă de piese B...K. Se poate constata că numărul de piese compuse din suprafețele conținute de piesa complexă și care formează grupa respectivă poate fi mult mai mare.

Se poate întâmpla ca practic să nu se găsească o piesă reală, care să cuprindă toate suprafețele de prelucrat de la piesele din grupă. În acest caz se va crea convențional piesa complexă, ea conținând de data aceasta toate elementele pieselor din grupă (fig. 17.4).



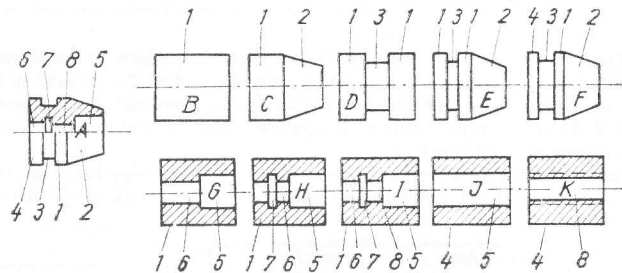


Fig. 17.3. Grupă de piese

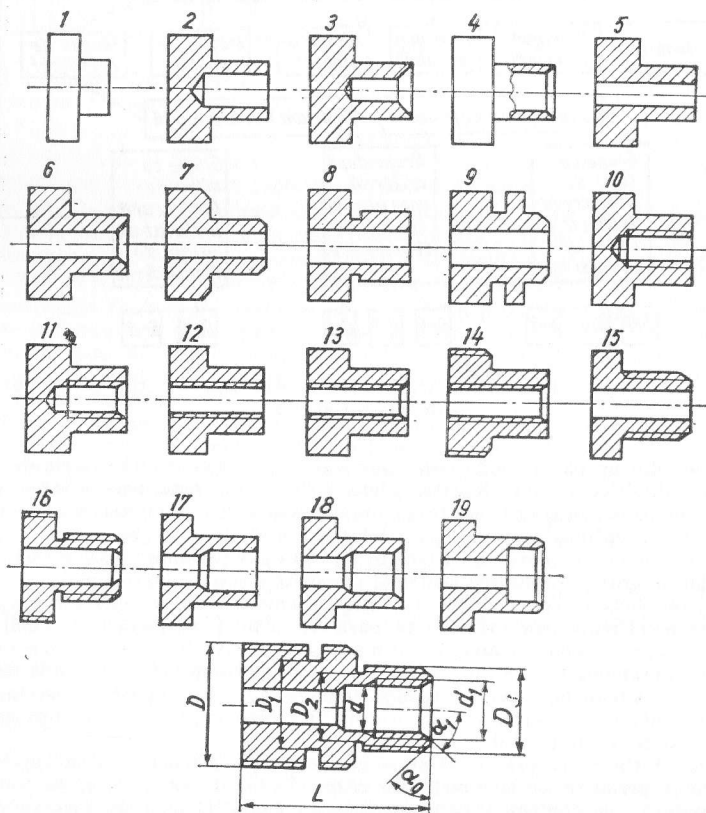


Fig. 17.4. Grup de piese cu piesă convențională

### 17.3.2. ELABORAREA PROCESELOR TEHNOLOGICE DE GRUP

După efectuarea clasificării pieselor în grupe urmează pregătirea procesului tehnologic de grup.

Pentru elaborarea procesului tehnologic se folosește, așa după cum s-a văzut, o piesă complexă, reală sau convențională. Pentru prelucrarea unei piese oarecare din grupă nu este necesar să se folosească toate sculele prevăzute pentru prelucrarea suprafețelor piesei complexe. Sculele de prisos se vor înlătura sau înlocui.

La elaborarea proceselor tehnologice de grup se pleacă de la următoarele principii:

- ordinea adoptată pentru succesiunea operațiilor tehnologice trebuie să asigure prelucrarea oricărei piese din grup, în conformitate cu documentația tehnică;
- echipamentul tehnologic folosit la procesul de grup (dispozitive, scule) trebuie să asigure prelucrarea oricărei piese din grup;
- echipamentul folosit trebuie să asigure o bună productivitate, cu cheltuieli minime de timp pentru reglaj, la trecerea de la prelucrarea unei piese din grup la alta. Planul de operații folosit pentru tehnologia de grup se întocmește în mod corespunzător (tabelul 17.5).

Elaborarea procesului tehnologic de grup cere rezolvarea unei serii de probleme generale, ele determinând mersul lucrării în continuare. Astfel, trebuie să se procedeze la unificarea semifabricatelor, să se proiecteze dispozitivele de grup, să se indice ce îmbunătățiri se vor aduce utilajelor; uneori se poate prevedea chiar construirea unor mașini-unelte specializate sau agregate. Pentru a scoate în evidență economicitatea procedurii aplicat se va face analiza mai multor variante, alegându-se varianta optimă.

### 17.4. PROIECTAREA PROCESULUI TEHNOLOGIC PENTRU PRELUCRĂRI PE MAȘINI-UNELTE CU COMANDĂ NUMERICĂ

#### 17.4.1. CONSIDERAȚII GENERALE

Creșterea productivității la prelucrarea pieselor unicate sau de serie mică se asigură astăzi prin folosirea pe scară largă a mașinilor-unelte cu comandă numerică. Dintre avantajele pe care le prezintă aceste mașini-unelte se remarcă:

- se reduc timpii de pregătire-încheiere și timpii auxiliari;
- nu sînt necesare dispozitive speciale, came, șabloane etc.;
- nu apar abateri de bazare;
- se elimină abaterile de măsurare;
- se asigură pentru toate piesele aceeași precizie de prelucrare.

Poziționarea și reglarea se realizează cu precizie foarte mare. Literatura de specialitate indică unele date orientative:

- cimpul de dispersie la poziționare  $\pm 0,005$  mm; la mașini de prelucrat în coordonate în spațiu cu aer termosta  $\pm 0,0005$  mm;
- abaterile dimensionale se încadrează în limitele  $\pm 0,02$  mm sau  $\pm 0,004$  mm;
- precizia de reglare a sculelor 0,01 mm sau 0,001 mm.

Comanda mașinii se face de către un purtător de program care poate fi cartelă perforată, bandă perforată etc. Cartelele perforate se aplică pe tablouri comutatoare.

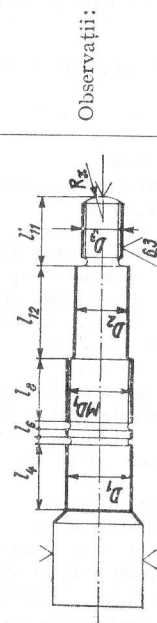
Benzile perforate pot fi cu 5 (fig. 17.5, a) sau cu 8 coloane (fig. 17.5, b). Pentru înscrierea programului pe bandă perforată se utilizează diferite coduri de folosință internațională.

Tabelul 17.5  
Plan de operații pentru prelucrări mecanice de grup

Întreprinderea		Secția: I		Plan de operații pentru prelucrări mecanice de grup				Nr. operației	Pagina 6
		Atelier: Prelucrări mecanice							
Nr.	Denumirea fazei	Regim					Data	Numele	Semnătura
		$t$	$s$	$v$ , m/min	$n$ , rot/min	$f$ , mm			
3	Strunjire de finisare „I”	1	0,13	76	1000	0,288			
4	Filetare: filet metric	4	1,75	75	2000	0,947			
5	Filetare: filet trapezoidal	7	5	105	2000	2,25			

Technical drawing of a stepped shaft with dimensions and labels. The shaft has a total length of 100 mm. The dimensions are:  $l_1 = 10$ ,  $l_2 = 10$ ,  $l_3 = 10$ ,  $l_4 = 10$ ,  $l_5 = 10$ ,  $l_6 = 10$ ,  $l_7 = 10$ ,  $l_8 = 10$ ,  $l_9 = 10$ ,  $l_{10} = 10$ . The diameters are:  $D_1 = 10$ ,  $D_2 = 10$ ,  $D_3 = 10$ ,  $D_4 = 10$ ,  $D_5 = 10$ ,  $D_6 = 10$ ,  $D_7 = 10$ ,  $D_8 = 10$ ,  $D_9 = 10$ ,  $D_{10} = 10$ . The labels are:  $M_1$ ,  $M_2$ ,  $M_3$ ,  $M_4$ ,  $M_5$ ,  $M_6$ ,  $M_7$ ,  $M_8$ ,  $M_9$ ,  $M_{10}$ . The drawing shows a cross-section of the shaft with a central hole of diameter  $d = 10$  and a depth of  $l_{11} = 10$ . The drawing is labeled with  $R_1$ ,  $R_2$ ,  $R_3$ ,  $R_4$ ,  $R_5$ ,  $R_6$ ,  $R_7$ ,  $R_8$ ,  $R_9$ ,  $R_{10}$ .

Observații:



Observații:

Nr.	Faze Simbol sau de- numire produs	Reper	Dimensiuni										Utilaj		
			$D_1$	$MD_1$	$D_2$	$D_3$	$D_4$	$l_1$	$l_2$	$l_3$	$l_4$	$l_5$	$l_6$	$l_7$	Mașina
1	Tijă	09-PD-465-02-01	20 - 0,070 20 - 0,210	Tr 20 x 4	15 M10	135	—	63	21	6	8	Cuțit 20 x 20 dr. 45 STAS 351-60			
2	Tijă	09-PD-465-02-02	30 - 0,030 30 - 0,100	Tr 30 x 5	22 M16	186	—	90	25	14	14	cuțit 25 x 16 dr. 14 STAS 351-60			
2	Tijă	09-PD-465-02-03	18 - 0,260 18 - 0,760	—	10 M9	120	1	64	18	9	6	cuțit pentru filet metric			

CCIT Nr.2	Program code 5	Numărul coloanei				
Simbol	Simbol	1	2	3	4	5
g	0					
u	1					
j	2					
w	3					
y	4					
b	5					
m	6					
c	7					
p	8					
t	9					
e	+					
a	-					
d	a					
h	d					
i	h					
k	i					
l	k					
n	l					
o	n					
r	o					
s	r					
v	s					
x	v					
z	x					
A	z					
INT	A					
<	INT					
≡	<					
≡	≡					

Program code BB (EIA)	Numărul coloanei				
Simbol	8	7	6	5	4
0					
1					
2					
3					
4					
5					
6					
7					
8					
9					
+					
-					
a					
d					
h					
i					
k					
l					
n					
o					
r					
s					
v					
x					
y					
z					
ERO					
INT					
<					
≡					
TAB					
b					
c					
e					
f					
g					
l					
m					
p					
o					
t					
u					
w					
MA					
MI					
.					
?					
/					
STP					
BL					

# LEGENDA

ERO Eroare  
INT Interval  
< Cursă de revenire  
≡ Schimb de rînd  
TAB Tabulator  
MA Litere majuscule  
MI Litere minuscule  
STP Stop  
BL Avansul benzii  
A Urmează litere

Fig. 17.5. Coduri pentru înscrierea programului pe bandă perforată

## 17.4.2. ÎNTOCMIREA PROGRAMULUI DE LUCRU

Pentru întocmirea programului de lucru care urmează a se codifica pe fișe sau pe bandă este necesar în primul rând a se adopta sistemul de cotare al desenului de execuție al piesei care urmează să fie prelucrată. Această adoptare se va face în concordanță cu sistemul de comandă al mașinii. Se întâlnesc două sisteme:

— primul se referă la mașinile care au sistemul de coordonate rectangular cu origine comună, corectarea desenului trebuind să se facă în raport cu aceste axe (fig. 17.6); acest sistem se întâlnește la mașinile cu comandă după program numeric cu traductor absolut;

— al doilea se referă la sistemul la care, după atingerea unui punct caracteristic, originea sistemului de coordonate este mutată în acel punct, cotarea făcându-se în raport cu noul punct considerat ca origine de plecare (fig. 17.7).

Sistemele de comandă după program numeric pot fi folosite pentru prelucrarea unor suprafețe simple sau pentru prelucrarea unor suprafețe complexe.

Pentru sistemele de prelucrare a suprafețelor simple, după recotarea desenului se întocmește fișa tehnologică, indicându-se toate fazele care urmează a fi executate de mașina-unealtă cu program.

În vederea asigurării unor baze tehnologice, pentru fixarea pe mașina cu comandă numerică, se vor prelucra anterior suprafețele care se vor folosi ca baze de fixare. În fișa tehnologică se vor indica și sculele care se vor folosi la fiecare fază de prelucrare.

Deoarece pentru precizia de prelucrare poziția de fixare are importanță deosebită, trebuie să se întocmească planul de fixare pe mașină.

Cu aceste date pregătitoare se trece la întocmirea planului de operații. Acesta va conține date cu privire la fixarea și poziționarea piesei față de axele de coordonate, mărirea coordonatelor (lungimea curselor) x, y și z, succesiunea pozițiilor piesei, succesiunea

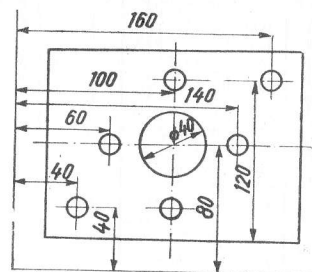


Fig. 17.6. Sistem de cotare în coordonate cu origine comună

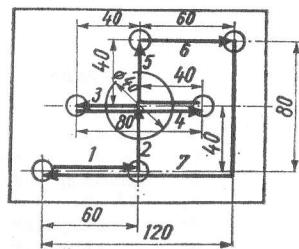


Fig. 17.7. Sistem de cotare în coordonate cu schimbarea originii

fazelor de prelucrare, sculele, valoarea avansului, turația etc. Pe baza acestui plan de operații se întocmește programarea și perforarea cartelei sau benzii, după sistemul conținut de mașină.

Pentru prelucrarea unei carcase pe o mașină de alezat orizontală (fig. 17.8) se dă fișa tehnologică în tabelul 17.6 și planul de operații (tabelul 17.7).

Tabelul 17.6

Fișă tehnologică pentru prelucrarea unei carcase

Mașina: Bf 85 nu		Produsul: cutie de viteze Nr. des. F-03.002		Material Fc20 STAS 568-67
Nr. fazei	Denumirea fazei	Suprafața	Sculele	Codul sculei
1	Frezarea suprafeței 2		Cap de frezat Ø 160	01
2	Rotirea mesei cu 180°			
3	Frezarea suprafeței 4		Cap de frezat Ø 160	01
4	Strunjirea alezajului I/Ø 100	Suprafața 4	Bară de strunjit Ø 100	02
5	Strunjirea alezajului II/Ø 75		Bară de strunjit Ø 75	03
6	Strunjirea alezajului III/Ø 70		Bară de strunjit Ø 70	04
7	Strunjirea alezajului IV/Ø 70		Bară de strunjit Ø 70	04
8	Rotirea mesei cu 180°			
9	Strunjirea alezajului V/Ø 32	Suprafața 2	Bară de strunjit Ø 32	05
10	Strunjirea alezajului VI/Ø 75		Bară de strunjit Ø 75	03
11	Strunjirea alezajului VII/Ø 75		Bară de strunjit Ø 75	03
12	Strunjirea alezajului VIII/Ø 75		Bară de strunjit Ø 75	03
13	Rotirea mesei cu 90°			
14	Strunjirea alezajului IX/Ø 100	Suprafața 3	Bară de strunjit	02
15	Strunjirea alezajului X/Ø 32		Bară de strunjit	05
16	Strunjirea alezajului XI/Ø 75		Bară de strunjit	03
17	Strunjirea alezajului XII/Ø 40		Bară de strunjit	06

Tabelul 17.7  
Plan de operații pentru prelucrarea unei carcase

Mașina BFI 85		Cutie de viteze		Reper 170454		Material Fc 20								
Nr. crt.	Succesiunea fazelor	Coordonate				Avans, mm/rot		$v$ m/min	$n$ rot/min	Scula	Timpii			
		$x$	$y$	$z$	$z_1$	rapid	normal				$t_{pi}$	$t_b$	$t_a$	
1	Fixarea piesei													
2	Verificarea poziției 0	0000,00	000,00	0000,00	000,00									
3	Introducerea benzii în portprogram													
4	Punerea sub tensiune a sistemului de reglare													
5	Fixarea sculei													
6	Pornirea pentru executarea programului									0,1				
<i>Frezarea feței 2</i>														
7	Masa în sens transversal	56,00						r						
8	Păpușa în sens vertical		533,00					r						
9	Arborele de sens longitudinal				224,50				1,02					
10	Masa în sens longitudinal			740,00					1,02					
11	Frezarea feței 2	645,00							85	168				
12	Idem		430,00						1,02					
13	Idem	200,00							1,02					

14	Idem	302,00						1,02				
15	Idem	645,00						1,02				
16	Idem	174,00						1,02				
17	Idem	056,00						1,02				
18	Masa retur longitudinal			545,00		r						
19	Păpușa la	533,00				r						
20	Masa în sens transversal	42,00				r						
21	Rotirea mesei											
22	Masa în sens longitudinal			740,00		r						
23	<i>Frezarea feței 4</i>											
24	Frezarea feței 4	600,00						85	168			
25	Idem		430,00					1,02				
26	Idem	155,00						1,02				
27	Idem	302,00						1,02				
28	Idem	600,00						1,02				
29	Idem	11,00						1,02				
30	Arborele retur la				108,80	r						
31	Masa de retur longitudinal la			703,00		r						
32	<i>Alezarea pe fața 4</i>											
33	Schimbarea sculei								0,2			
34	Pornirea și alezarea	292,00										
35	Masa în sens transversal	297,00				r		1,02				

Întocmirea procesului tehnologic de prelucrare pe mașini-unelte automate se efectuează respectind următoarele etape:

- ### 17.5.1. PROIECTAREA SCHEMEI DE PRELUCRARE

La alegerea variantei optime se va ține seama de toate considerentele care determină desfășurarea procesului tehnologic de prelucrare. O importanță deosebită se va acorda alegerii și proiectării sculelor și dispozitivelor portsculă necesare pentru dotarea unui strung automat.

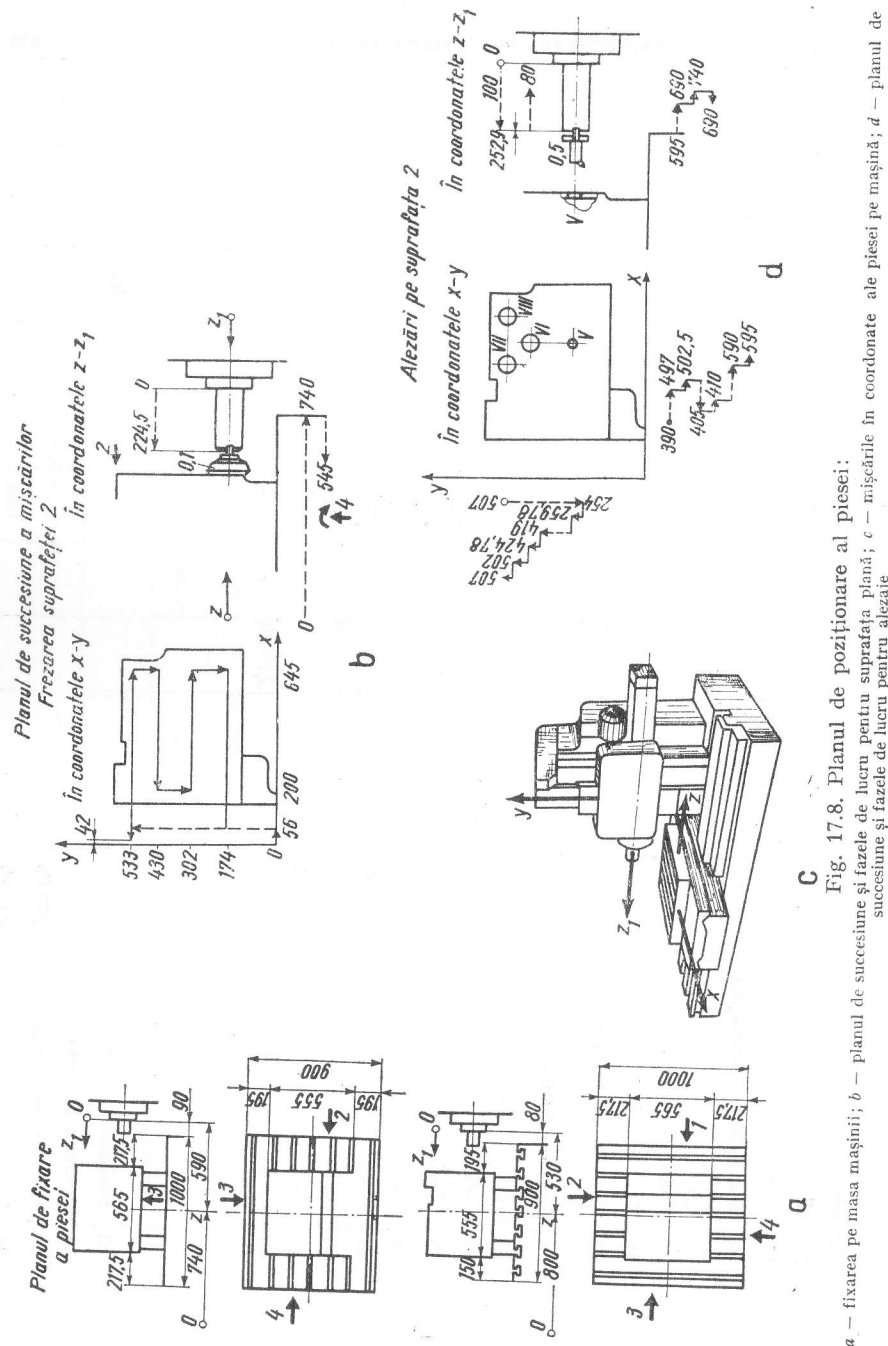
Deoarece la strungurile automate se recomandă acționarea simultană a mai multor scule, prin schema de reglare se va face verificarea dacă acestea nu se împiedică reciproc în timpul funcționării.

După analiza semifabricatului, se face alegerea strungului automat corespunzător din punctul de vedere dimensional și al posibilităților de executare a operațiilor de prelucrare, ținând seama că în mod obișnuit, piesa trebuie să fie complet prelucrată.

Viteza economică se va calcula cu relația:

$$v_{ec} = v_0 K \quad [\text{m/s}] \quad (17.6)$$

în care:  $v_0$  este viteza optimă stabilită pe bază de calcul pentru un material admis ca etalon (poziția 2, tabelul 17.8), m/s;  $K$  — coeficientul de corecție rezultat al produsului tuturor coeficienților de corecție luați din tabele de care se va ține seama.



**C** Fig. 17.8. Planul de poziționare al piesei:  
ne și fazele de lucru pentru suprafața plană;  $c$  — mișcări  
succesiune și fazele de lucru pentru alezaje



Pentru calculul vitezelor se dau în tabelul 17.9 relațiile și valorile exponenților și constantele.

Pentru verificarea posibilităților de folosire a strungului ales se va calcula forța principală de așchiere în condițiile vitezei maxime (tabelul 17.10).

Tabelul 17.8

**Coefficienții de prelucrabilitate  
în funcție de viteza de așchiere a oțelurilor**

Poziția	Grupa de oțeluri care se prelucurează	Caracteristici mecanice		Coeficientul de prelucrabilitate $K$		
		Rezistența de rupere la tracțiune $\sigma_r$ , daN/mm <sup>2</sup>	Duritatea Brinell HB	Strunjire	Frezare	Găurire, adâncire, alezare
1	Oțeluri pentru strunjiri automate	70—80	200—230	1,20	—	1,20
2	Oțeluri carbon de construcție cu conținut de carbon $C < 0,7\%$	70—80	200—230	1,00	1,00	1,00
3	Oțeluri carbon de construcție și de scule cu un conținut de carbon $C < 0,7\%$	70—80	200—230	0,80	0,80	0,80
4	Oțeluri cu crom	70—80	203—230	0,85	0,85	0,85
5	Oțeluri mangan	70—80	260—275	0,80	0,80	0,70
6	Oțeluri cu nichel	70—80	203—230	1,00	1,00	0,95
7	Oțeluri crom-nichel	70—80	203—230	0,95	0,90	0,90
8	Oțeluri crom-molibden, crom-molibden-aluminiu	70—80	203—230	0,80	0,75	0,70
9	Oțeluri crom-mangan, crom-siliciu-mangan	70—80	203—230	0,70	0,75	0,80
10	Oțeluri crom-nichel-wolfram, crom-nichel-molibden	70—80	203—230	0,80	0,70	0,75
11	Oțeluri rapide pentru scule	70—80	203—230	0,60	0,60	0,60

Tabelul 17.9.

**Relațiile de calcul și valorile constantelor și exponenților pentru determinarea vitezei de așchiere  $v$**

Operația de prelucrare	Materialul de prelucrat	Condiții de prelucrare $s$ , mm/rot	Relația de calcul $v$ , m/min	Valorile constantei $C_v$ și ale exponenților mărimilor $T$ , $t$ , și $s$ , $D$				
				$C_v$	$z$	$m$	$x_v$	$y_v$
Strunjirea longitudinală	Oțel cu $\sigma_r \leq 65 \cdot 10^7$ [N/m <sup>2</sup> ]	$s < 0,2$	$v = \frac{C_v}{T^m \cdot t^{x_v} \cdot s^{y_v}}$	97,9	—	0,20	0,16	0,20
	Alamă	$s \geq 0,2$		79,8	—	0,20	0,16	0,30
	Duraluminiu	—		143,5	—	0,20	0,10	0,25
	Duraluminiu	—		178,2	—	0,20	0,16	0,36
Strunjire cu cuțite profilate	Oțel cu $\sigma_r \leq 65 \cdot 10^7$ [N/m <sup>2</sup> ]	$s < 0,05$	$v = \frac{C_v}{T^m \cdot s^{y_v}}$	80,0	—	0,286	—	0,35
	Alamă	$s \geq 0,05$		46,8	—	0,286	—	0,50
	Duraluminiu	—		58,0	—	0,286	—	0,50
	Duraluminiu	—		78,1	—	0,286	—	0,50
Strunjire cu cuțite de rețezat și canelat	Oțel cu $\sigma_r \leq 65 \cdot 10^7$ [N/m <sup>2</sup> ]	$s \leq 0,05$	$v = \frac{C_v}{T^m \cdot s^{y_v}}$	71,0	—	0,286	—	0,40
	Alamă	$s > 0,05$		45,2	—	0,286	—	0,55
	Duraluminiu	—		59,8	—	0,286	—	0,50
	Duraluminiu	—		94,8	—	0,286	—	0,50
Burghiere și centruire	Oțel cu $\sigma_r \leq 65 \cdot 10^7$ [N/m <sup>2</sup> ]	$s < 0,2$	$v = \frac{C_v \cdot D^z}{T^m \cdot s^{y_v}}$	6,02	0,4	1,20	—	0,70
	Alamă	$s > 0,2$		8,28	0,4	0,20	—	0,50
	Duraluminiu	$s < 0,2$		10,5	0,4	0,20	—	0,70
	Duraluminiu	$s > 0,2$		14,5	0,4	0,20	—	0,50
Adâncire cu adâncitor	Oțel cu $\sigma_r \leq 65 \cdot 10^7$ [N/m <sup>2</sup> ]	$s < 0,2$	$v = \frac{C_v \cdot D^z}{T^m \cdot t^{x_v} \cdot s^{y_v}}$	19,4	0,4	0,20	—	0,70
	Alamă	$s > 0,2$		25,8	0,4	0,20	—	0,50
	Duraluminiu	—		18,6	0,30	0,30	0,20	0,50
	Duraluminiu	—		32,4	0,30	0,30	0,20	0,50
Adâncire cu burghiu	Oțel cu $\sigma_r \leq 65 \cdot 10^7$ [N/m <sup>2</sup> ]	—	$v = \frac{C_v \cdot D^z}{T^m \cdot t^{x_v} \cdot s^{y_v}}$	59,6	0,30	0,30	0,20	0,50
	Alamă	—		13,7	0,4	0,20	0,20	0,50
	Duraluminiu	—		24,0	0,4	0,20	0,20	0,20
	Duraluminiu	—		42,8	0,4	0,20	0,20	0,50
Alezare	Oțel $\sigma_r \leq 65 \cdot 10^7$ [N/m <sup>2</sup> ]	—	$v = \frac{C_v \cdot D^z}{T^m \cdot t^{x_v} \cdot s^{y_v}}$	12,1	0,30	0,40	0,20	0,65
	Alamă	—		15,1	0,30	0,40	0,20	0,65
	Duraluminiu	—		30,2	0,30	0,40	0,20	0,65

Tabelul 17.10

Calculul forței principale de așchiere în condițiile vitezei maxime

Operația de prelucrare	Materialul de prelucrat	Relația de calcul $F_z$ , daN	Valorile constantei $C$ și valorile exponenților $x_F$ , $y_F$ și $z_F$			
			$C_F$	$x_F$	$y_F$	$z_F$
Strunjirea longitudinală	Oțeluri cu $\sigma_r < 65 \cdot 10^7$ [N/m <sup>2</sup> ] AUT 12 : AUT 20	$F_z = C_{Fz} \cdot l^{x_{Fz}} \cdot s^{y_{Fz}}$	145	1,00	0,80	—
	Alamă		40	1,00	0,66	—
	Duraluminu		45	1,00	0,80	—
Strunjire cu cuțite profilate	Oțeluri cu $\sigma_r < 65 \cdot 10^7$ [N/m <sup>2</sup> ] AUT 12: AUT 20	$F_z = C_{Fz} \cdot s^{y_{Fz}} \cdot b$	180	—	0,85	—
	Alamă		46,5	—	0,66	—
	Duraluminu		75	—	0,80	—
Strunjire cu cuțite de retezat și canelat	Oțeluri cu $\sigma_r < 65 \cdot 10^7$ [N/m <sup>2</sup> ] AUT 12: AUT 20	$F_z = C_{Fz} \cdot s^{y_{Fz}} \cdot D^{x_{Fz}}$	215	—	0,85	—
	Alamă		48	—	1,00	—
	Duraluminu		78	—	1,00	—
Burghiere și centruire	Oțeluri cu $\sigma_r < 65 \cdot 10^7$ [N/m <sup>2</sup> ] AUT 12; AUT 20	$F_x = C_{Fx} \cdot s^{y_{Fx}} \cdot D^{x_{Fx}}$	68	—	0,70	1,00
	Alamă		20,4	—	0,70	1,00
	Duraluminu		22,6	—	0,65	1,00
Adâncire cu adâncitor sau burghiu	Oțeluri cu $\sigma_r < 65 \cdot 10^7$ [N/m <sup>2</sup> ] AUT 12; AUT 20	$F_x = C_{Fx} \cdot l^{x_{Fx}} \cdot s^{y_{Fx}}$	34	1,30	0,70	—
	Alamă		10,2	1,30	0,70	—
	Duraluminu		16,3	1,30	0,65	—

Numărul de rotații ale arborelui principal se va calcula ținând seama de diametrul de lucru:

$$n_a = \frac{1000 v}{\pi d} \quad [\text{rad/s}]. \quad (17.7)$$

Pentru calcularea numărului de rotații necesare pentru fiecare operație trebuie să se determine fazele de lucru. La această determinare, pe lângă lungimea de lucru, se va lua în considerare și pătrunderea, respectiv depășirea sculelor.

Numărul de rotații active pentru fiecare fază de lucru se va calcula cu relația:

$$n_{at} = \frac{L_i}{s_i} \quad [\text{rot}] \quad (17.8)$$

în care:  $L_i$  este lungimea de lucru, mm;  $s_i$  — avansul de rotație, mm/rot.

Pentru filetare numărul de rotații se calculează ținând seama de pasul filetului  $p$ , numărul de treceri  $m$  și de raportul între viteze,  $i$ :

$$n = \frac{L}{p} i m \quad [\text{rot}] \quad (17.9)$$

iar pentru mers în gol, cînd se produce întoarcerea cuțitului de filetat,  $n_i = i i_1 \frac{3}{4} m$ ,

în care  $i_1$  este raportul între rotația arborelui principal și rotația dispozitivului suplimentar.

Numărul total de rotații active necesare prelucrării piesei va fi:

$$n_a = \sum_{i=1}^n n_{at} \quad [\text{rot}]. \quad (17.10)$$

Se va determina apoi numărul de rotații pentru toate cursele de mers în gol  $n_g$ . Numărul total de rotații pentru procesul de prelucrare va fi:

$$n_t = n_a + n_g. \quad (17.11)$$

Pe baza acestor calcule se va trece la determinarea unghiului pe camă pentru fiecare fază de lucru.

$$\sum \alpha_l = 100 - \sum \alpha_g \quad (17.12)$$

în care:  $\alpha_l$  reprezintă unghiul de rotire pentru faza de lucru;  $\alpha_g$  — pentru mers în gol.

#### 17.5.2. CALCULUL DE REGLARE ȘI AL REGIMULUI DE AȘCHIERE

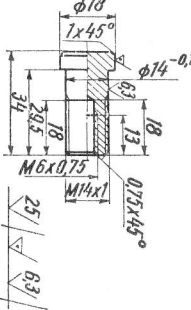
Alegerea strungului automat se face pe baza analizei formei și dimensiunii piesei de prelucrat. Schema de reglare se va întocmi în așa fel încît să asigure condițiile de precizie, calitate și de productivitate.

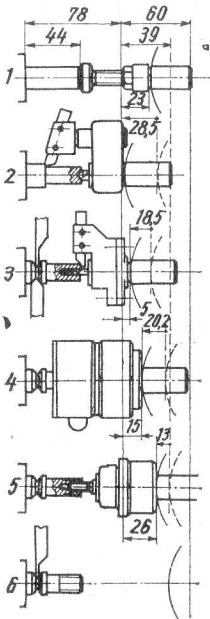
De exemplu, pentru piesa din fig. 17.9, ca semifabricat se folosește bară de oțel pentru automate Aut. 20 T, STAS 1350-67, tras la rece cu  $\varnothing 18$  mm, conform STAS 1800-61. Prelucrarea se poate executa pe un strung automat cu cap revolver, de exemplu SKODA-20. Din configurația piesei și corespunzător operațiilor ce trebuie executate reiese că sînt necesare circa 8 scule.

### Plan de operații pentru prelucrarea pe strung automat

Întreprinderea	PLAN DE OPERAȚII pentru strung automat cu cap revolver		Atelier:
			Secția:
Denumirea automatului:	Strung automat cu cap revolver		
Firma:	SKODA		
Model:	A 20	Nr. de inventar:432	
Condiții de răcire:	Ulei mineral 4-6 E°/50°C		

Portunțul	Faza	Denumirea fazelor	Viteza de aşchiere m/s	Cursa de lucru mm	Avansul mm/rot sau $\frac{1}{\pi \cdot 1000} \frac{m}{rad}$	Nr. de rotații pe faze		Sutimi pe camă			
						rotații calculate	rotații întrebun-țate	Cursa auxiliară	Cursa de lucru	De la	Până la
1	2	3	4	5	6	7	8	9	10	11	12
Capul revolver	1	Avansarea barei, tamponare și stringere	—	—	—	—	—	1,5	—	0	1,5
		Retragerea și rotirea capului $X_1$	—	—	—	—	—	2,5	—	1,5	4,0
	2	Strunjire longitudinală, centruire	0,108	29,5	0,16	188	190	—	25,5	4,0	29,5
		Netezire	—	—	—	—	—	—	0,5	29,5	30,0
		Retragea și rotirea capului	—	—	—	—	—	0,5	—	30,0	30,5
		$X_2$	—	—	—	—	—	2,5	—	30,5	33,0
	3a	Găurire, teșire și netezire	0,313	18	0,10	180	180	—	25	33,0	58,0
		Retragerea și rotirea capului	—	—	—	—	—	0,5	—	58,0	58,5
		$X_3$	—	—	—	—	—	2,5	—	58,5	61,0
	4	Schimbarea sensului de rot.	—	—	—	—	—	(1,0)	—	—	—
		Filetare M 14 × 1	0,288	20 pași	3,95:1	79,8	80	—	11	61,0	72,0
		Descrierea capului de filetat	—	—	—	—	—	1,5	—	72,0	73,5
		Retragerea și rotirea capului $X_4$	—	—	—	—	—	2,5	—	73,5	76,0

Mecanic		Dop filetat				Reper nr.: 84		
Automate		Denumirea piesei		Fabricat tip:				
				Semifabricat	Simbol	t Ø 18je 6 STAS 1800-69 AUT 35 STAS 1350-67	Operația nr.	1
σ = 0,0186					Starea	Normalizată	Pagina	1
					Duritatea	200 HB	Pagini	2
					Execuție	Bară trasă la rece	Bucăți pe fabricat	4
Raza camei					Dimensiuni brute (profil)	Ø 36 x 40	Copia nr.	
La început	La terminat	Distanța de la fața arborelui la capul revolver			Greut.	Brută		
13	14	15	16		Netă			
Scule								
Poz.		Așchietoare		Poz.		Ajutătoare		
17		18		19		20		

67	67	Cama capului revolver 1		1	—	1	Tampon nr. 16		
67	61,5			2	Cuțit Burghiu de centrare	2	Portsculă comb. nr. 23		
61,5	90			3	Cuțit Burghiu spiral	3	Portsculă comb. nr. 24		
90	90								
90	72,5								
72,5	90			4	Cap de filetat M14	4	—		
90	90								
90	54,8								
—	—								
54,8	75								
75	75								
75	51,3								

Tabelul 17.11 (continuare)

1	2	3	4	5	6	7	8	9	10	11	12
Capul revolver	5	Filetare M6 × 0,75	0,092	17 pași	3,95:1	67,15	67	—	9	76,0	85,0
		Schimbarea sensu- lui de rotire	—	—	—	—	—	1,0	—	85,0	86,0
		Retur	—	17 pași	1:1	(17)	—	2,5	—	86,0	88,5
		Rotirea capului X <sub>5</sub>	—	—	—	—	—	(2,5)	—	83,5	91,0
	6-a	Rotirea capului X <sub>6</sub>	—	—	—	—	—	(2,5)	—	91,0	93,5
		Mers în gol	—	—	—	—	—	—	—	93,5	96
		Continuare în gol	—	—	—	—	—	—	—	96	100
		Sania față			—	—	—	—	—	—	(10)
Profilare și netezire	0,835			3,5	0,05	(70)	—	—	—	45,0	45,0
Netezire	—			—	—	—	—	0,5	—	—	—
Retragerea cuțitului	—			—	—	—	—	(2,5)	—	45,5	48,0
Sania spate	3-b		—	—	—	—	—	—	—	—	—
		Retezarea pre- liminară	0,835	2	0,05	(40)	—	—	(6)	50,0	56,0
		Retragerea cuți- tului în gol	—	—	—	—	—	(2,5)	—	56,0	58,5
		Repaos	—	—	—	—	—	—	—	58,5	88
Sania spate	6-b	Retezare	0,417	6,5	0,10	65	65	—	9	88	97,0
		Retragerea cuțitului	—	—	—	—	—	3	—	97	100
Total							582	20,0	80,0		

Întreprinderea

Continuare  
PLAN DE OPERAȚII  
pentru strung automat cu cap revolver

Atelier:

mecanic

Secția:

automate

Reglarea automatului

Nr. de rotații pe minut ale arborelui			Tăierea filetelor			Poziția pintenilor pentru schimbări rapide și a camelor pentru discurile cu 100 diviziuni											Distanța maximă de la capul revolver la fața arborelui	
			Nr. de rotații pe minut	Roți de schimb		Avans material	Schimbare cap revolver						Came pentru suporturi transversali					
				a	b		c	d	1	2	3	4	5	6	față	spate		
1 151	43	51	292	46	48	0	1,5	30,5	58,5	79,5	88,5	91,0	47,5	32,5 85,5	—	117		

13	14	15	16	17	18	19	20	
51,3	64	Cama capului revolver 1		5	Tarod M6	5	Porttarod nr. 18	
64	64							
64	51							
51	51							
51	51							
51	51	3-b						Cuțit de profilat N.I. 06.52.01
51	67	6-a		Cuțit de retezat N.I. 06.52.02	6-a	—		
52	58,5	Cama saniei din spate 2						
58,5	58,5							
—	—							
58,5	51	Cama saniei din față 3		6-b	Identic cu 6-a	6-a	—	
55	57							
57	56							
56	56							
56,0	62,5	Cama 3						
62,5	55							
Dop filetat						Reper:		
Denumirea				Fabricat tip		Nr. 84		

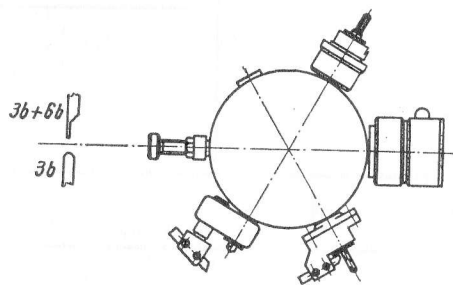
Operația	1
Pagina	2
Pagini	2
Copia nr.	

Tabelul 17.11 (continuare)

Intreprinderea				Continuare PLAN de OPERAȚII pentru strung automat cu cap revolver						Atelier: mecanic			
										Secția: automate			
Nr. de rotații ale arborelui pentru o rotație a axului cu came	Timp de bază s	Timp ajutor s	Timp efectiv s	Roți de schimb pentru avans						Dispozitiv de găurire rapidă			
				a	b	c	d	—	—	Rot/min ale dispozitivului	Rot/min efective	Roți de schimb	
758	30,23	5,69	35,92	50	80	65	75	—	—	—	—	—	—

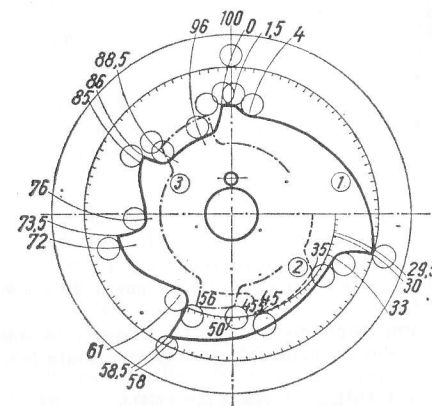
## Normare

Timp efectiv s	Timp auxiliar		Timp pe buc. s	Norma		Nr. automatelor		Categorie	
	s	%		pe oră	pe schimb	pentru un lucrător	pentru un reglor	pentru un lucrător	pentru un reglor
35,92	2,88	8	38,80	92,8	740	2	5	IV	VII



Nr. fișei	Modificări	Data	Numele	Nr. fișei	Modificări	Data	Numele

Dop filetat		Reper:
Denumirea	Fabricat tip	Nr. 84



Nr. crt.	Denumirea camelor	Numărul desenului	Cifru convențional	Modificări came		
				Nr.	Data	Semnătura
1	Cama capului revolver	06.51.01				
2	Cama saniei din spate	06.51.02				
3	Cama saniei din față	06.51.02				

Serviciul tehnologic		Data	Numele	Semnătura	Serviciul tehnologic		Data	Numele	Semnătura
	Conceput					Șef secție			
	Desene					Aprobat			
	Verificat								



Calculul vitezei economice se face ținând seama de toți coeficienții dați în normative. Pentru cazul considerat, viteza optimă este  $v = 1,666$  m/s, viteza economică va fi  $v_e = v_0 k_v = 1,666 \cdot 0,688 = 1,15$  m/s.

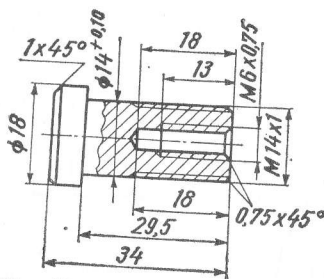


Fig. 17.9. Schița piesei de prelucrat pe strung automat

Filetarea se va executa deci la o viteză mai mică corespunzătoare unei rotații admise pentru cazul concret de 31,4 rot/s.

Avansul pentru retezare, după normative, se admite  $s = 0,04$  mm/rot. În planul de operații (tabelul 17.11) se dau valorile calculate pentru toate fazele de lucru stabilite.

### 17.5.3. PROIECTAREA CAMELOR DE COMANDĂ

După caracteristicile constructive ale strungului automat și ale elementele pe care le comandă, camele sînt în formă de disc sau în formă de cilindru.

Pentru fiecare produs care urmează a fi prelucrat pe strunguri automate vor trebui executate came, atît pentru comanda capului revolver, cît și pentru comanda săniilor transversale. Trasarea camelor pe baza datelor din planul de operații se face după divizarea sutimilor pe circumferință.

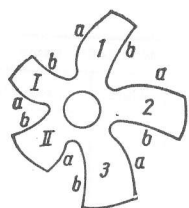


Fig. 17.10. Șablon pentru camele săniilor transversale

Pentru trasarea curbilor de lucru se determină valoarea razelor pentru fiecare fază. Aceste valori se înscriu în planul de operații (tabelul 17.11, coloanele 13 și 14). Curbele de urcare se trasează după spirala lui Arhimede (tabelul 17.11).

Camele pentru săniile transversale se trasează pe baza șablonului livrat pentru strungul respectiv (fig. 17.10). Pentru verificarea momentului de intrare în acțiune a săniilor transversale se impune trasarea camelor respective, suprapuse cu cama de comandă a capului revolver.

## 17.6. PROIECTAREA PROCESELOR TEHNOLOGICE DE PRELUCRAREA PE STRUNGURI AUTOMATE MULTIAX

Proiectarea unui proces tehnologic de prelucrare pe strunguri automate multiax este în funcție de mai mulți factori. În primul rînd de caracteristicile constructive, număr de axe, număr de săni transversale, număr de poziții de lucru ale saniei longitudinale,

cursurile săniilor, regimurile de așchiere ce se pot realiza etc. În al doilea rînd posibilitățile determinate de sistemul de reglare, sculele și dispozitivele speciale, caracteristicile constructive ale semifabricatului.

Pentru strungurile automate la care prelucrarea se execută după sistemul paralel, procesul tehnologic este similar ca și la un strung monoax. La strungurile automate, la care prelucrarea se execută consecutiv, pentru întocmirea tehnologiei, trebuie să se împartă fazele pe numărul de poziții pe care le are strungul. Durata de prelucrare pentru fiecare fază trebuie să fie aproape egală, deoarece ciclul de prelucrare se determină după faza cu durata cea mai lungă. Această fază va determina productivitatea strungului.

Tot în funcție de această fază se stabilește viteza de așchiere și avansul pentru sculele fixate pe sania multipozițională. Prelucrările care necesită viteze și avansuri diferite, se execută cu dispozitive speciale.

Alegerea tipului de mașină se face ținându-se seama de complexitatea formei constructive a piesei care urmează să se prelucereze. Procesele tehnologice paralel-construcitive se aplică, de obicei, pe strunguri automate cu șase sau mai multe axe, fiind necesare minimum trei poziții.

Prelucrarea pieselor de formă complexă pe strunguri automate multiax prezintă avantajul că se folosesc scule și dispozitive simple, realizându-se o productivitate ridicată. Tipurile de scule și dispozitivele portscule sînt determinate de forma piesei, de numărul de poziții de lucru ale mașinii. Varianta optimă de prelucrare se alege ținându-se seama și de costul sculelor și al dispozitivelor portsculă.

Pentru fixarea sculelor și a portsculelor trebuie să se întocmească schema de fixare (fig. 17.11).

Pentru prelucrarea piuliței din fig. 17.11 sînt necesare doar două poziții. La poziția I și III se execută găurirea cu sculă combinată și formarea piuliței, iar la pozițiile II și IV se execută operația de retezare.

Pentru prelucrarea unui arbore pe un strung automat cu patru axe (fig. 17.12), strunjirea de degroșare și de finisare a arborelui, din cauza rigidității mici, trebuie să se facă prin sprijinire pe lunete, pozițiile I, II și III.

Pentru prelucrarea unei bucșe pe un strung automat cu șase axe (fig. 17.13), la pozițiile I și II se execută strunjirea de degroșare a suprafețelor exterioare și burghierea suprafeței interioare. În poziția III se execută canalul bucșei cu ajutorul unui dispozitiv special fixat în sania longitudinală. La poziția IV se execută canelura și strunjirea de finisare exterioară. La poziția V se execută finisarea interioară, semifabricatul fiind sprijinit pe role de ghidare.

Pentru prelucrarea unei piese nesimetrice pe un strung automat cu șase axe (fig. 17.14) trebuie observat că bara din care se prelucurează piesa este fixată excentric într-un dispozitiv special. La poziția I se execută burghierea și așchiera cu sculă combinată, strunjirea canalelor exterioare și a suprafeței plane. La poziția II se execută burghierea și profilarea. La poziția III se execută strunjirea unei suprafețe cilindrice exterioare excentrice față de axa semifabricatului. La poziția IV se execută strunjirea profilată de finisare, și, în același timp, se execută și filetarea interioară. La poziția V, cu o sculă specială de interior, se execută o degajare la partea centrală și țesirea la capătul unde se va face retezarea la poziția VI, după calibrarea filetului.

În vederea întocmirii fișei de calcul necesară reglării, se procedează la determinarea datelor necesare folosindu-se următoarele etape de calcul:

— determinarea datelor inițiale privind caracteristicile strungului automat, sculele care urmează a se folosi, caracteristicile constructive ale piesei de prelucrat;

— calculul lungimii curselor de lucru și alegerea camelor de comandă. Lungimile de lucru se vor calcula ținînd seama de lungimea de apropiere, de pătrundere și de depășire.

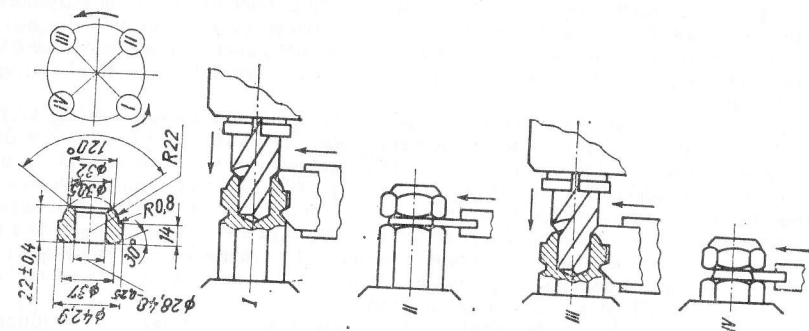


Fig. 17.11. Schema pentru prelucrarea unei piulite de formă specială

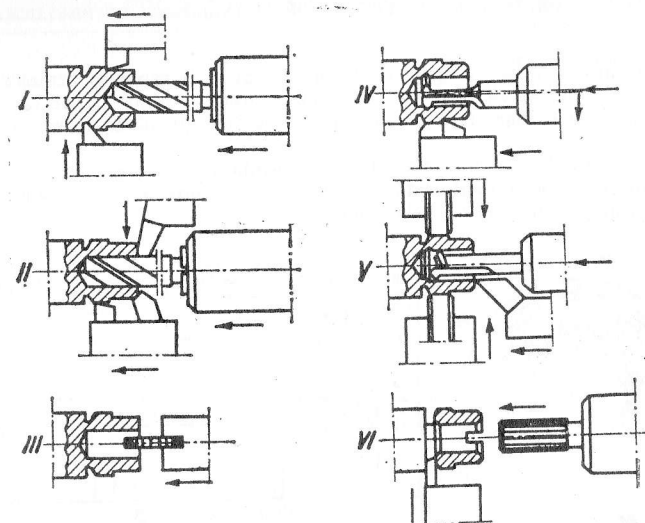


Fig. 17.14. Schema prelucrării unei piese nesimetrice pe un strung automat cu 6 axe

Lungimea cursei săniilor se determină ținând seama de raportul brațelor de pirghie, care acționează săniile. Se va alege apoi o camă cu urcarea calculată sau cea mai apropiată având valoarea mai mare față de cea calculată. Se exprimă apoi urcarea și avansul în unghi de rotire.

Alegerea avansurilor se face pentru fiecare sculă ținând seama de toți factorii de care sînt condiționate. Avansurile astfel calculate se vor corecta pe baza admiterii numărului de rotații apropiate față de cele calculate.

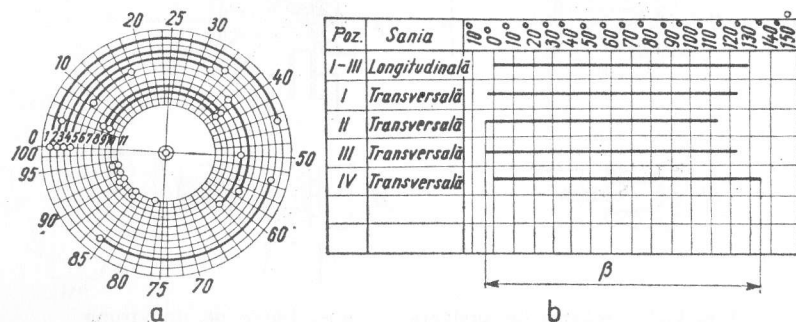


Fig. 17.15. Ciclograma pentru prelucrarea unui șurub pe un strung automat multi-ax 123

Pe baza avansurilor calculate și ținând seama de durabilitatea economică se calculează pentru fiecare fază viteză de așchiere. În continuare se vor calcula turațiile arborelui principal și ale arborelui dispozitivelor suplimentare iar în încheiere se calculează timpul unitar (tabelul 17.12).

Pe baza calculelor efectuate se trasează ciclograma strungului automat în coordonate polare sau în coordonate rectangulare și se întocmește fișa de calcul.

În tabelul 17.13 sînt prezentate calculele pentru prelucrarea unui șurub, cu dimensiunile arătate în schiță, pe un automat multi-ax tip 123, iar în fig. 17.15 este dată ciclograma pentru prelucrarea piesei considerate (datele din tabelul 17.13).

Tabelul 17.12

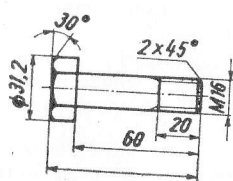
Elementele de calcul pentru fișa de reglare a strungurilor automate multi-ax

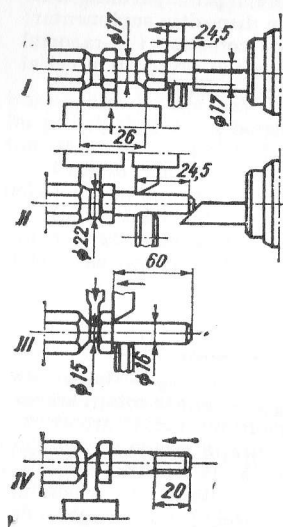
Elementul de calcul	Relația de calcul	Notații
Lungimea cursei de lucru, $L$	$L = l + l_a + l_1 + l_2$ [mm]	$l$ — lungimea de prelucrare; $l_a$ — lungimea de apropiere; $l_1$ — lungimea de pătrundere; $l_2$ — lungimea de depășire
Lungimea cursei saniei, $h$	$L = h \cdot c$ sau $h = \frac{L}{c}$	$h$ — urcarea pe camă, mm; $c$ — raportul între lungimile brațelor de pirghie din cartea mașinii

Tabelul 17.12 (continuare)

Elementul de calcul	Relația de calcul	Notații
Unghiul de rotire arbore cu came, $\beta_k$	$\beta_k = \frac{360 L}{\pi D_c}$	$L$ — lungimea cursei de lucru, mm; $D_c$ — diametrul tamburului pe care se fixează sectoarele de camă, mm
Calculul numărului de rotații ale arborelui principal, $\eta_{ap}$	$\eta_{ap} = \frac{L}{s} \frac{360}{\beta}$	$L$ — lungimea crescîndă lucru; $s$ — avansul de lucru, mm/rot; $\beta$ — unghiul corespunzător porțiunii de pe camă care comandă avansul în grade.
Calculul numărului de rotații pentru dispozitivele suplimentare, $n_s$	$n_s = \frac{1}{(1+i)s} \frac{360}{\beta}$ și $\eta_s = \frac{1}{(1-i)s} \frac{360}{\beta}$	$i$ — raportul de transmitere total dintre arborele principal și arborele dispozitivului suplimentar
Calculul turațiilor arborelui principal în funcție de viteză, $\eta_{ap}$	$n_{ap} = \frac{1000 V}{\pi d}$ $n'_{ap} = \frac{1000 V}{\pi d} C_c$ $C_c = \frac{1}{1+i}$ Pentru filet dreapta $C_c = \frac{1}{1-i}$ Pentru filet stînga $C_c = \frac{1}{i-1}$	$n'_p$ — turația arborelui principal dacă scula este fixată într-un dispozitiv suplimentar; $C_c$ — coeficient de corecție; $i$ — raportul între turațiile arborelui principal și cel al dispozitivului suplimentar
Calculul timpului unitar	$T_u = T_l + T_g$ $T_l = \frac{n_{apc}}{n_{ap}}$ $n_{apc} = n_k \frac{\beta_{kl}}{360}$ $T_g = \frac{360 - \beta_{kg}}{360} \frac{1}{n_g}$	$T_l$ — timpul de lucru; $T_g$ — timpul de mers în gol; $n_{apc}$ — număr rotații arbore principal corespunzător rotirii arbore de comandă; $n_g$ — turația rapidă a arborelui de comandă dată în cartea mașinii; $n_k$ — numărul de rotații ale arborelui principal necesar fazei $k$ ; $\beta_{kl}$ — unghiul de rotire pentru cursa de lucru; $\beta_{kg}$ — pentru cursa în gol

Fișe de calcul pentru strungul automat multi-ax model 123

Schita piesei		Denumirea automatului					
		Uzina constructoare					
		Model					
		Numărul de sănii					
Lucrează	Numărul fazei	Poziția de lucru	Succesiunea fazelor	Diametre în mm		Inițial	Final
Schema de reglare	1	2	3	4	5	6	



SLC	1	I	Strunjire longitudinală pe lungimea 24,5 mm	31,2	17
SLC	2	I	Strunjire frontală	—	—
ST	3	I	Strunjire profilată până la Ø17 mm	31,2	17
SLC	4	II	Strunjirea longitudinală pe lungimea 24,5 mm	31,2	17
SLC	5	II	Teșire 2 × 45°	—	—
ST	6	II	Teșire la 45° până la Ø 22 mm	31,2	22
SLC	7	III	Strunjire longitudinală pe lungimea 60 mm	17	16
ST	8	III	Preretezare de la Ø 22 mm la Ø 15 mm	22	15
SLC	9	IV	Filetare M16	—	—
ST	10	IV	Retezare la lungimea de 72 mm	15	0

Strung automat cu patru axe

123

1 sanie longitudinală centrală  
4 sănii transversale

Cursa de lucru calculată $L$	Raportul brațelor pîr-gheii $c$	Curse		Avansul, mm/rot		Viteza de aşchiere, m/min	Turaja ax principal rot/min
		Urcarea pe camă $h$	Cursa de lucru reală	Determinat din tabele	Real		
7	8	9	10	11	12	13	14
25,5	1,00	25	25,00	0,10	0,096	28,7	294
—	—	—	—	—	—	—	—
8,10	1,00	8	8,00	0,05	0,033	31,4	321
25,00	1,00	25	25,00	0,10	0,096	28,7	294
—	—	—	—	—	—	—	—
5,60	1,00	6	6,00	0,080	0,025	—	—
59,00	1,36	45	61,20	0,135	0,21	36,3	681
4,50	1,00	5	5,00	0,065	0,021	53,2	770
21,00	1,00	22	22,00	2	2	7,5	150
9,00	1,00	9	9,00	0,065	0,036	43,1	915



### 17.7. PROIECTAREA PROCESELOR TEHNOLOGICE PENTRU PRELUCRAREA PE STRUNGURI VERTICALE MULTIPOZIȚIONALE

Acest gen de mașini-unelte se folosește la prelucrarea semifabricatelor de forma arborilor, discurilor, roților, manșoanelor ș.a. Capacitatea mare de prelucrare face rentabilă folosirea acestor mașini la prelucrarea pieselor de serie mare.

Strungurile semiautomate multipoziționale pot avea 6 (fig. 17.16), 8 sau mai multe poziții de lucru. După complexitatea operațiilor de prelucrare a pieselor, acestea se pot repartiza pe toate pozițiile pe care le are strungul (fig. 17.17), prelucrarea efectuându-se la două așezări.

Dacă operațiile de executat nu necesită folosirea tuturor pozițiilor, repartizarea se va face în așa fel, încât să se folosească numai o parte din poziții.

Pentru folosirea capacității maxime a strungului se pot prelucra simultan aceleași piese având 2 sau mai multe poziții de fixare după împărțirea operațiilor pe poziții. Repartizarea operațiilor în aceste cazuri se va face în așa fel încât să corespundă unui ciclu complet. Pentru repartizarea pozițiilor pentru prelucrarea a două piese diferite (fig. 17.18) se iau două poziții de fixare a pieselor și de trei ori câte două poziții de lucru.

La proiectarea procesului tehnologic se va da atenție deosebită calculului regimurilor de așchiere. În prima fază se vor stabili regimurile separat pentru fiecare poziție, după care se va face o verificare a acestora, astfel ca durata de lucru, timpul de mașină, să fie același la toate pozițiile. Prin această verificare se poate realiza o îmbunătățire a durabilității sculelor, folosindu-se viteze economice.

În cazul prelucrării de degroșare a unor suprafețe mari, se pot folosi un număr mare de scule, care să lucreze simultan. Nu este indicat însă a se concentra un număr mai mare de 6...8 scule la o poziție, deoarece, pe de o parte, crește puterea necesară (în procesul de așchiere aparând vibrații și producându-se o uzură mai accentuată a sculelor) iar pe de altă parte, prin creșterea numărului de scule, crește foarte mult timpul necesar pentru reglare.

Practic, reglarea sculelor la aceste mașini durează 1...1,5 ore pe schimb, o creștere a timpului de reglare conducând la reducerea sau chiar anularea avantajului pe care îl prezintă prelucrarea pe aceste mașini, la care timpul de mașină pentru toate pozițiile corespunde ca durată fazei celei mai lungi.

În general, la stabilirea numărului de scule care să lucreze simultan și a regimului de așchiere se va lua în considerare rigiditatea sistemului tehnologic.

Productivitatea ridicată la prelucrarea pe aceste mașini este determinată și de faptul că operațiile de fixare și defixare a pieselor se execută simultan cu fazele de lucru.

Alegerea sculelor este foarte importantă. Se recomandă a se folosi scule cu rezistență mare la uzură pentru a se evita necesitatea unor schimbări frecvente a sculelor.

La prelucrarea unor suprafețe de lungime mai mare, pentru reducerea timpului de mașină se poate face o împărțire a suprafeței pentru a fi prelucrată la mai multe poziții sau se mărește numărul de cuțite pentru prelucrarea la aceeași poziție. Această împărțire

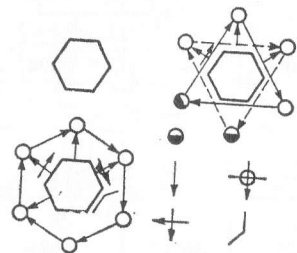


Fig. 17.16. Schema unei mașini cu 6 poziții

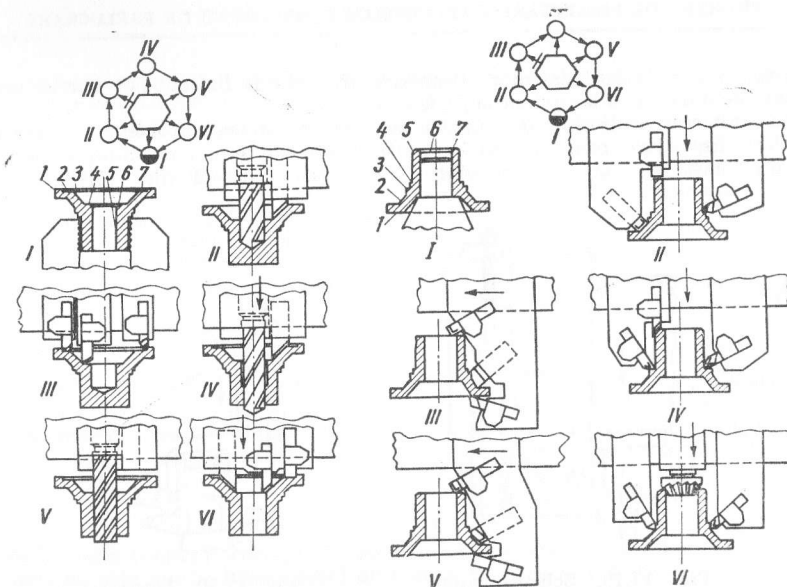


Fig. 17.17. Schema prelucrării unei piese la 2 așezări

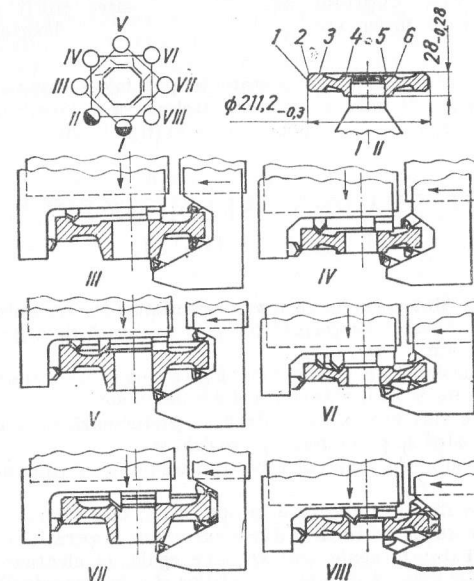


Fig. 17.18. Schema prelucrării a două piese diferite



se va face numai la prelucrarea de degroșare, deoarece la finisare pot rămâne urme și diferențe de dimensiuni la limitele suprafețelor.

La prelucrarea de finisare, pentru a se evita rizarea suprafeței prelucrate, se pot folosi dispozitive prin care să se realizeze o îndepărtare a cuțitului de pe suprafața prelucrată la cursa de revenire la poziția verticală (fig. 17.19).

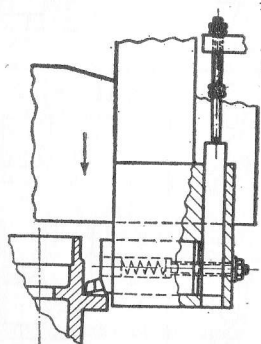


Fig. 17.19. Schema unui dispozitiv special pentru îndepărtarea cuțitului la cursa de întoarcere

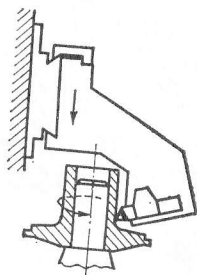


Fig. 17.20. Dispozitiv pentru compensarea erorii de indexare

Pentru asigurarea preciziei de prelucrare se pot folosi dispozitive speciale. Astfel pentru compensarea erorii de indexare a mesei, trebuie să se asigure o fixare perpendiculară a cuțitului în suport printr-un dispozitiv special (fig. 17.20).

## 17.8. PROIECTAREA PROCESELOR DE PRELUCRARE PENTRU LINII TEHNOLOGICE

Liniile tehnologice sînt caracterizate prin aranjamentul mașinilor-unelte în ordinea succesiunii operațiilor. Aceasta reprezintă o formă avansată de organizare și desfășurare a procesului de prelucrare.

După gradul de mecanizare, liniile tehnologice pot fi *linii simple*, *linii mecanizate*, *linii automatizate*, numite și linii transfer și *linii automate*.

Liniile tehnologice sînt *monovalente*, dacă se prelucrază un singur fel de piese, și *polivalente*, dacă pe acestea se prelucrază piese diferite.

Organizarea procesului de prelucrare pe linii tehnologice impune satisfacerea următoarelor cerințe:

- divizarea procesului de prelucrare în operații și faze cit mai simple;
- așezarea posturilor de lucru în ordinea succesiunii operațiilor;
- asigurarea unei durate egale, sau aproape egale, la efectuarea fiecărei operații;
- sincronizarea riguroasă a duratei operațiilor și a transporturilor pieselor de la un loc de muncă la altul.

În vederea valorificării avantajelor economice ale liniilor tehnologice se mai cere îndeplinirea următoarelor condiții:

- volumul producției să corespundă pentru o cotă optimă de amortizare a utilajului;
- asigurarea constantei constructive a produsului;
- asigurarea constantei caracteristicilor calitative și cantitative ale semifabricatului;
- folosirea (încărcarea) optimă a utilajului;
- aplicarea unui sistem sigur de comandă și reglare;
- asigurarea constantei procesului tehnologic.

În acest sens, se va calcula ritmul  $R$  care trebuie să fie asigurat de linie:

$$R = \frac{F_n s \eta}{N} \quad \text{sau} \quad R = \frac{F_r s}{N} \quad (17.13)$$

în care:  $F_n$  este fondul nominal de timp anual pentru un schimb;  $F_r$  — fondul real de timp;  $s$  — numărul de schimburi;  $N$  — numărul de produse prelucrate pe linie, în bucăți pe oră;  $\eta$  — coeficient de utilizare a fondului de timp nominal ( $\eta = 0,8 \dots 0,9$ ).

Cunoscînd ritmul se poate determina numărul  $m_i$  de posturi de lucru necesare

$$m_i = \frac{T_{ni}}{R} \quad (17.14)$$

în care  $T_{ni}$  este timpul normă pentru operația considerată.

Dacă  $m_i$  este număr întreg, locul de muncă va avea o încărcare uniformă, fluxul de prelucrare va fi continuu.

Dacă  $m_i$  este fracționar, prin rotunjirea în sus, se obține un număr întreg mai mare, ceea ce înseamnă că încărcarea nu va fi uniformă și că se vor produce aglomerări la operațiile cu productivitate mai mică, fluxul va fi discontinuu.

Pentru întocmirea și studierea planului de desfășurare a procesului tehnologic datele caracteristice se prezintă tabelar. Astfel, pentru un proces tehnologic de prelucrare a unei serii de roți dințate cu un ritm de 4 minute (tabelul 17.14) coeficientul mediu de

Tabelul 17.14

Proces tehnologic pentru prelucrarea unei serii de roți dințate

Operația	Timp normat, min	Nr. de mașini necesare, buc.	Nr. de mașini admise, buc.	Încărcarea mașinilor	Ore de funcționare pe schimb
Găurire, adîncire	3	0,75	1	0,75	6
Broșare	1	0,25	1	0,25	2
Strunjire degroșare	2	0,50	1	0,50	4
Strunjire finisare	2	0,50	1	0,50	4
Control tehnic	—	—	—	—	—
Danturare degroșare	10	2,5	3	0,83	6,64
Danturare finisare	6	1,5	2	0,75	6
Netezire dantură	22	5,5	6	0,92	7,36
Rotunjire dantură	2	0,5	1	0,50	4
Control	—	—	—	—	—
Total:	48	—	16	5,00	—

încărcare a liniei este

$$\eta = \frac{\sum \eta_i}{\text{nr. operații}} = \frac{5}{8} = 0,625.$$

Pe baza datelor din tabelul 17.14 se întocmește planul de desfășurare a procesului tehnologic (fig. 17.21). În grafic, segmentele de dreaptă orizontale îngroșate reprezintă durata de funcționare continuă a mașinilor-unelte. Liniile întrerupte arată durata cît mașinile-unelte nu sînt încărcate.

Pe baza acestui plan se poate organiza munca în așa fel încît lucrătorii să deservască mai multe mașini în perioada în care rămîne timp disponibil (exemplu: operația 1 sau 2).

Timpul disponibil la mașinile de la celelalte operații poate fi folosit pentru prelucrarea altor piese.

Problema repartizării duratei operațiilor pe mașinile-unelte încărcate incomplet se cere a fi analizată cu multă atenție. O repartizare necorespunzătoare are ca urmare o aglomerare de produse neterminate la unele locuri de lucru sau lipsă de piese la alte locuri de lucru. O verificare a stocurilor de produse neterminate pe linie, la un anumit moment, se face prin determinarea mărimii stocului cu ajutorul relației:

$$s = \frac{m_i T_i}{t_{ni}} - \frac{m_{i+1} T_{i+1}}{t_{n(i+1)}} \quad (17.15)$$

în care  $m_i$  și  $m_{i+1}$  reprezintă mașinile-unelte de la operația  $i$ , respectiv  $i+1$ ,  $T_i$  și  $T_{i+1}$  — durata de funcționare continuă a mașinilor-unelte, iar  $t_{ni}$ ,  $t_{n(i+1)}$  — timpii normai pentru aceleași operații.

Examinînd situația pentru exemplul admis, la primul punct de inflexiune se obține:

$$s_1 = \frac{m_1 T_1}{t_{n1}} - \frac{m_2 T_2}{t_{n2}} = \frac{1 \cdot 180}{3} - \frac{1 \cdot 0}{1} = +60 \text{ buc.}$$

Dacă rezultatul este cu semnul minus, înseamnă că mașina poate ajunge la un moment dat în gol de producție, dacă nu se iau măsuri de asigurare a stocului necesar de piese pentru prelucrare.

Deoarece stocul de piese de pe linie este direct proporțional cu  $T_i$  și deci cu perioada de repetare  $R_p$ , pentru a nu avea stocuri mari se va lucra în perioade mai mici (fig. 17.22). Reducerea perioadei de repetare poate provoca însă prejudicii privind operativitatea lucrului pe linii și productivitatea muncii.

Reducerea stocurilor pe linie se poate realiza și prin respectarea unor reguli privind poziționarea segmentelor de dreaptă care reprezintă intervale de funcționare continuă a mașinilor-unelte neîncărcate suficient pe perioada  $R_p$ , astfel:

— în cazul în care  $t_{ni} < t_{n(i+1)}$  se recomandă să se înceapă concomitent lucrul la mașinile neîncărcate suficient, terminarea concomitentă a lucrului implicînd apariția unui stoc mai mare;

— cînd  $t_{ni} > t_{n(i+1)}$ , spre a obține un stoc minim în decursul perioadei, se recomandă ca mașinile de la operațiile vecine să termine lucrul concomitent, începerea concomitentă prilejuind creșterea stocului pe linie;

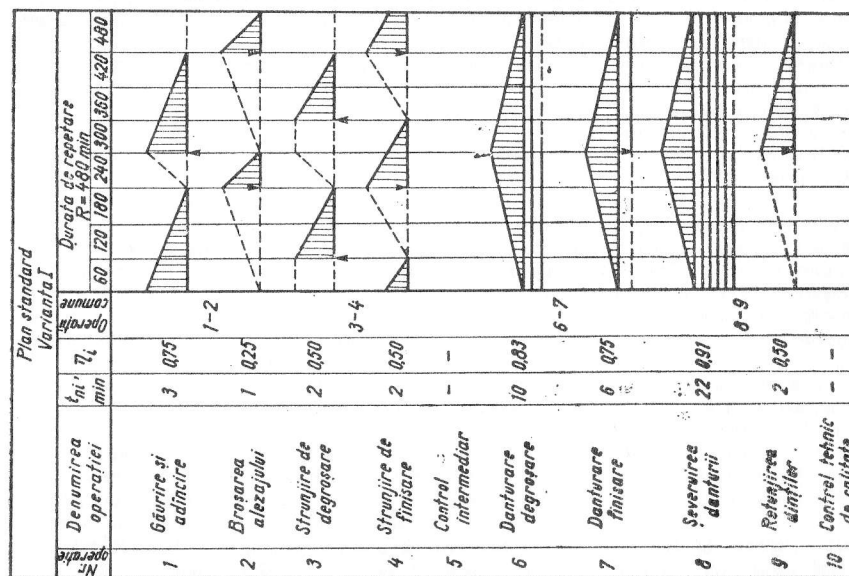


Fig. 17.21. Plan de desfășurare a procesului de prelucrare pe o linie tehnologică

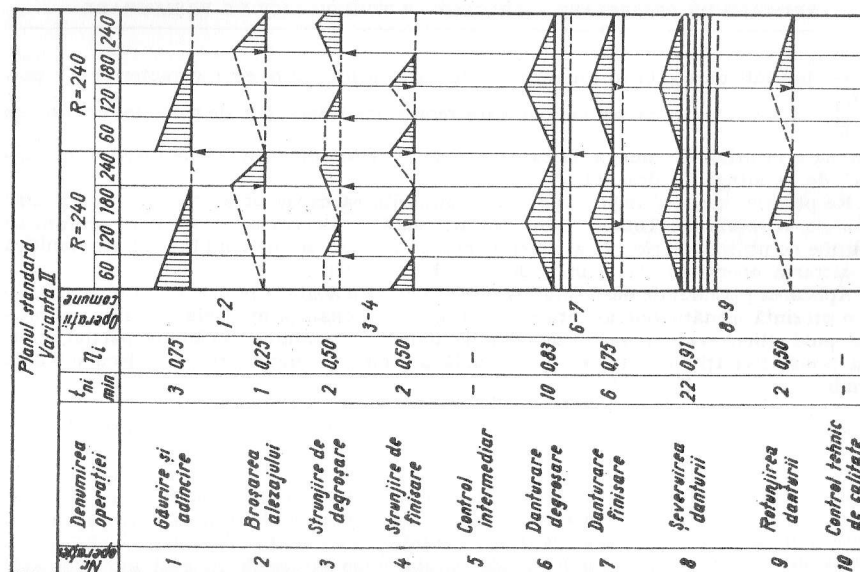


Fig. 17.22. Plan de desfășurare a procesului de prelucrare de la fig. 17.22, cu o perioadă de repetare mai mică

— când într-un sector al liniei există operații pentru care este caracteristic raportul  $\frac{t_{nl}}{R} < 1$ , se impune ca segmentele care reprezintă intervalele de timp de funcționare

continuă a locurilor de muncă, la care se execută aceste operații, să fie dispuse în „cas-cadă” de la stînga la dreapta.

Respectarea acestor reguli asigură, în majoritatea cazurilor stocuri minime pentru produsele neterminate. Totuși uneori este necesară încălcarea acestor reguli, impusă de condițiile de utilizare rațională a forței de muncă pe linie sau de felul în care se planifică concentrarea operațiilor la locurile de muncă ale liniei.

Aplicarea planului de desfășurare a procesului tehnologic la proiectarea liniilor tehnologice prezintă următoarele avantaje: amplasarea rațională a utilajului pe linie, ritmicitatea producției, evidențierea rezervelor de muncă a mașinilor încărcate parțial, creșterea productivității prin folosirea rațională a timpului muncitorilor în decursul unui schimb.

## 18. PROIECTAREA ȘI CONSTRUCȚIA DISPOZITIVELOR

### 18.1. INTRODUCERE

#### 18.1.1. DEFINIREA ȘI CLASIFICAREA DISPOZITIVELOR

În general, noțiunea de dispozitiv are o semnificație foarte largă. Prin dispozitiv utilizat în cadrul proceselor tehnologice din industria constructoare de mașini, se înțelege sistemul tehnic, constituind o unitate din punct de vedere funcțional, care stabilește și menține sau modifică orientarea obiectelor de lucru sau a sculelor putînd îndeplini și funcții ale mașinilor de lucru sau ale operatorului. Orientarea obiectelor de lucru sau a sculelor, reprezintă acțiunea de stabilire a poziției relative a elementelor geometrice ale acestora față de direcțiile unor mișcări date. În cazul dispozitivelor de instalare, pentru operații de prelucrare mecanică, direcțiile mișcărilor față de care se realizează orientarea, sînt cele de generare a suprafețelor și cele de reglare dimensională (reglarea dimensională reprezentînd totalitatea mișcărilor necesare pentru stabilirea cotelor de reglare, rezultate din lanțul de dimensiuni tehnologice, în condițiile asigurării preciziei operației). Funcțiunile dispozitivelor pot fi de alimentare, instalare, mișcare și control; acțiunea esențială, comună acestor funcții, este de orientare a obiectelor de lucru sau a sculelor. Astfel, de exemplu, instalarea unui obiect supus prelucrării necesită orientarea acestuia (prin așezare și rezemare), menținerea orientării lui (prin fixare) și reglarea dimensională în așa fel încît suprafețele rezultate în urma prelucrării să rezulte la dimensiunile și la precizia impusă. Dacă dispozitivul realizează toate acțiunile enumerate anterior, el este denumit de instalare, iar în cazul în care reglarea dimensională este realizată de mașina-unealtă, de exemplu, dispozitivul este de prindere.

Din punctul de vedere al funcțiunilor pe care le îndeplinesc, dispozitivele pot fi clasificate în: dispozitive de alimentare, dispozitive de instalare, dispozitive de mișcare și dispozitive de control. În funcție de mișcarea realizată, dispozitivele de mișcare pot fi cu mișcare complexă, cu mișcare liniară sau cu mișcare circulară; cele cu mișcare circulară pot avea o axă orizontală, verticală sau după o direcție oarecare. Dispozitivele care îndeplinesc mai multe din funcțiunile amintite sînt dispozitive cu funcțiuni complexe sau dispozitive complexe.

Dispozitivele pot să-și exercite funcțiunile simultan sau succesiv asupra unor obiecte de lucru sau scule. Dacă funcțiunile dispozitivelor se exercită asupra unui singur obiect, acestea se numesc singulare. Dacă funcțiunile dispozitivului se exercită simultan asupra mai multor obiecte de lucru sau scule, supuse aceluiași faze sau operații, dispozitivele se numesc multiple. În cazul în care funcțiunile dispozitivelor se exercită simultan, asupra mai multor obiecte de lucru sau scule supuse unor faze sau operații diferite, acestea se numesc multipoziționale.

Obiectele de lucru sau sculele, asupra cărora dispozitivele își exercită funcțiile, pot să se găsească în situații relative deosebite. Astfel, din punct de vedere tehnologic și constructiv, ele pot fi: identice (în limitele abaterilor admise), similare (asemănătoare)

și diferite. Dispozitivele destinate să-și exercite funcțiunile asupra unor obiecte de lucru sau scule identice sînt denumite *speciale*; iar cele pentru obiecte de lucru sau scule similare sau diferite — *specializate*, respectiv universale.

Dispozitivele pentru prelucrarea mecanică (care intră în componența sistemului tehnologic elastic) se mai denumesc de lucru, spre deosebire de celelalte tipuri de dispozitive ajutătoare, care sînt *exterioare* acestui sistem (fig. 18.1).

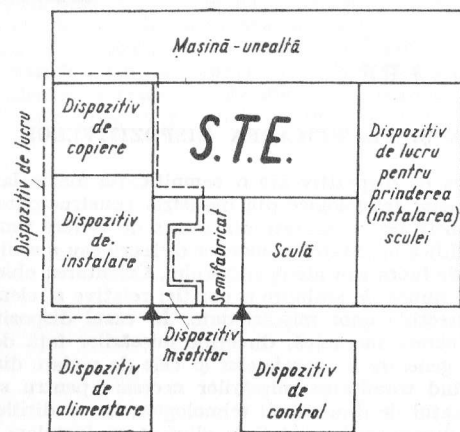


Fig. 18.1. Dispozitive de lucru și dispozitive auxiliare

Constructiv, dispozitivul poate fi separat în ansambluri, subansambluri și elemente constructive.

După natura unora dintre elementele constructive, dispozitivele pot fi: mecanice, electro-mecanice, electro-magnetice, magnetice, hidraulice, pneumatice, pneumo-hidraulice optice etc.

Elementele dispozitivelor pot fi normalizate, parțial normalizate și nenormalizate. Dispozitivele cu elemente în totalitate normalizate sînt denumite dispozitive normalizate. Normalizarea parțială a elementelor dispozitivelor poate să se extindă numai asupra unor subansambluri sau ansambluri ale dispozitivelor, în care caz dispozitivul este denumit cu subansambluri, respectiv cu ansambluri normalizate. Dispozitivele constituite din elemente nenormalizate, cu excepția elementelor de îmbinare (șuruburi, pene, știfturi, piulițe etc.) sînt denumite dispozitive cu elemente speciale.

În funcție de natura acționării, dispozitivele pot fi cu acționarea manuală, mecanizată și automatizată.

În general, după natura proceselor tehnologice pe care le echipează dispozitivele pot fi: pentru prelucrări mecanice, pentru montaj, pentru tratamente termice, pentru sudare, pentru control, pentru încercare etc.

Dintre dispozitivele pentru prelucrări mecanice cele de lucru se subclasifică în funcție de natura operației. Astfel, se deosebesc dispozitive de lucru pentru strunjire, găurire, alezare etc.

### 18.1.2. CONDIȚII IMPUSE DISPOZITIVELOR

Condițiile impuse dispozitivelor și proceselor tehnologice sînt aceleași și anume, de a fi raționale, ceea ce presupune obținerea produsului de o calitate superioară, cu minimum de preț de cost și de efort uman.

Dintre componentele echipamentului tehnologic, dispozitivele, de o varietate foarte mare, se pot adapta ușor condițiilor tehnologice diverse, avînd astfel un rol activ în realizarea rațională a condițiilor tehnologice impuse. Astfel, pe lângă acțiunile proprii dispozitivelor, cum sînt orientarea și fixarea obiectelor supuse prelucrării sau a sculelor, în anumite condiții, ele pot suplini și anumite acțiuni proprii mașinii-unelte sau operatorului. De exemplu, acțiunile proprii ale mașinilor-unelte sînt cele de realizare a mișcărilor de generare a suprafețelor. Suplinirea acestor mișcări de către dispozitive poate fi executată prin: completarea mișcărilor, de exemplu, cu o mișcare de copiere în cazul dispozitivelor de copiat, multiplicarea mișcărilor, în cazul capetelor de găurit multi-ax, asigurarea preciziei mișcărilor, în cazul dispozitivelor de alezat, la care dornul cu scule este fixat în dispozitiv la ambele capete, în care caz, precizia prelucrării nu mai este influențată de impreciziile mișcărilor de avans ale mașinii-unelte.

Acțiunile proprii operatorului sînt cele de alimentare, orientare, fixare, control, mișcare etc. a obiectelor de lucru sau a sculelor. În cazul în care cerințele impuse procesului tehnologic, rezultate din condiții de raționalitate a acestuia, depășesc posibilitățile fiziologice ale operatorului, dispozitivelor sau mașinilor-unelte le revine sarcina de a prelua în parte sau în întregime, acțiunile operatorului. În aceste cazuri sînt introduse dispozitive de alimentare, de mișcare și de control, iar dispozitivele pentru instalare sînt prevăzute cu sisteme de acționare mecanizate sau automatizate, la care mișcarea, de orientare a obiectului se execută simultan sau succesiv cu mișcarea de fixare. Astfel, de exemplu, orientarea pieselor în mandrinele universale se realizează simultan cu cea de fixare, iar pentru instalarea pieselor la operația de frezare mișcarea pentru orientarea piesei și pentru fixarea ei se desfășoară *succesiv în timp*, de la o acționare comună (fig. 18.2).

Proiectarea dispozitivelor este indisolubil legată de proiectarea proceselor tehnologice; cele două acțiuni fiind în strînsă interdependență și condiționare reciprocă, iar variantele de proiectare pot fi multiple. Preferința pentru anumite dispozitive trebuie motivată prin considerații tehnologice și economice, productivitate etc.

Considerațiile tehnologice se referă la condițiile de lucru care asigură obținerea produsului, astfel încît să corespundă condițiilor de utilizare.

Considerațiile economice impun, în general, proiectarea dispozitivelor prin care procesul tehnologic se realizează cu cele mai mici cheltuieli de producție. Considerațiile tehnologice și economice sînt, de obicei, factori decisivi pentru elaborarea celor mai raționale dispozitive și procese tehnologice.

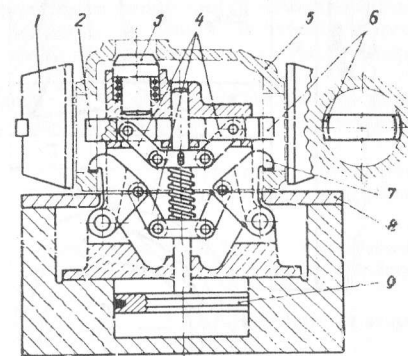


Fig. 18.2. Realizarea succesivă a mișcărilor de orientare și fixare a obiectivului supus prelucrării de la o acționare comună, în cazul unui dispozitiv de prindere pentru frezare:

1 — freză; 2 și 6 — bolțuri; 3 — virf de obiect; 4 — pîrghii; 5 — obiect supus prelucrării



Productivitatea maximă a unui dispozitiv e un factor decisiv numai dacă e necesară o productivitate foarte mare, impusă. Din cauza cheltuielilor mari de investiție, dispozitivul cu productivitate maximă nu este, de multe ori și cel mai economic.

## 18.2. BAZAREA OBIECTELOR DE LUCRU

Bazarea obiectelor de lucru reprezintă operația de stabilire a bazelor de referință. Alegerea bazelor de referință constituie o acțiune de o însemnătate deosebită, de reușita acesteia depinzând în mare măsură precizia prelucrării precum și simplitatea sau complexitatea dispozitivului.

În principiu, alegerea bazelor de referință are în vedere: obținerea unor lanțuri de dimensiuni cu elemente minime; eliminarea abaterilor de bazare, prin excluderea

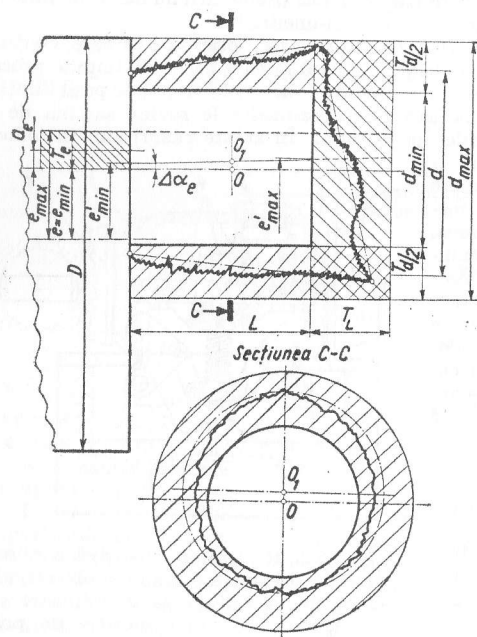


Fig. 18.3. Abaterile de prelucrare ale unei piese excentrice

Corpurile elementare ale produselor sînt delimitate de suprafețe, intersecțiile acestora determinînd anumite linii, iar intersecțiile acestora din urmă diferite puncte, toate constituind elementele geometrice reale ale produselor. Elementele reale ale produselor au

din lanțul de dimensiuni tehnologice a dimensiunilor aparținînd obiectului de lucru cu excepția acelor considerate drept dimensiuni de închidere; obținerea unei construcții simple a dispozitivului și ușor de realizat, în vederea reducerii costului acestuia; reducerea la minimum a timpilor auxiliari și eliminarea acțiunii variației forțelor de strîngere asupra preciziei de prelucrare prin alegerea bazelor de fixare a elementelor care au o direcție paralelă cu direcția dimensiunii obținute în urma prelucrării.

Obiectele de lucru sînt corpuri, sau sisteme de corpuri caracterizate prin elemente geometrice dimensiuni și baze de referință. În timpul procesului de muncă acestea își modifică forma și dimensiunile, ajungînd de la stadiul de semifabricat la acela de produs finit, care poate fi o piesă sau un sistem tehnic.

**Elementele geometrice ale produselor.** Acestea sînt părțile geometrice elementare în care pot fi descompuse produsele. Piese de formă oricît de complicată pot fi descompuse în corpuri elementare. De exemplu excentricul din fig. 18.3 se poate afirma că este constituit din doi cilindri de dimensiuni diferite, așezați, cu axe paralele, la o distanță egală cu excentricitatea  $e$ .

întotdeauna forme curbe complexe, care nu pot fi definite. Astfel, ceea ce se numește suprafață plană a unui produs, în realitate este o suprafață curbă neregulată, complexă, determinată de ondulațiile și micronegularitățile suprafeței. În acest caz, pentru a distinge aceste aspecte se definesc elementele teoretice, care le aproximează pe cele reale.

Pe lângă elementele reale în care poate fi descompus un produs, din punct de vedere geometric, acesta mai poate fi determinat de diferite elemente fictive cum sînt: plane, axe și puncte de simetrie. Este rațional să se caracterizeze poziția unei suprafețe cilindrice prin poziția axei ei, în care caz axa cilindrului constituie un element caracteristic al acestei suprafețe.

Descompunerea produselor în elemente geometrice facilitează definirea dimensiunilor și bazelor de referință.

**Dimensiuni.** Prin dimensiuni se înțelege lungimea segmentului de dreaptă care determină singur sau împreună cu altele, mărimea și poziția relativă a elementelor geometrice ale unui produs.

Dimensiunile pieselor sînt determinate în prealabil prin proiectare, astfel încît să corespundă condițiilor prestabilite (de asamblare, rezistență statică și dinamică etc.). Această valoare a piesei se ia drept bază, indiferent de abaterile inerente care rezultă din execuție și se introduc în calculele privind obiectul considerat, fiind denumită dimensiune nominală.

O parte din dimensiunile unui produs ( $D, d, L$ , fig. 18.3) determină dimensiunile și implicit mărimea suprafețelor, iar altele poziția relativă a volumelor elementare.

Dimensiunile care determină mărimea elementelor produsului poartă denumirea de dimensiuni sau cote (după cum se referă la produs sau la desenul de execuție al produsului) spre deosebire de dimensiunile sau cotele de coordonare, care determină poziția relativă a elementelor produsului.

Pentru a reflecta rolul pe care îl au dimensiunile în asigurarea funcționării piesei sau la executarea ei, acestea se pot clasifica în dimensiuni funcționale, respectiv dimensiuni tehnologice.

**Baze de referință.** Prin bază de referință se înțelege elementul component al unui produs, care ocupă la un moment dat o situație deosebită, în raport cu care se studiază situația celorlalte elemente.

Pentru a exprima rolul pe care îl au bazele de referință (pe scurt bazele) în asigurarea funcționării piesei (ansamblului) sau la executarea acesteia, bazele se pot clasifica în funcționale, respectiv tehnologice.

O subclasificare a bazelor în cadrul proiectării dispozitivelor, în funcție de scopul pentru care se definesc, se prezintă în continuare.

**Baze de proiectare sau cote** sînt elementele geometrice față de care se determină poziția altor elemente geometrice la proiectare, respectiv la executarea unei piese. Astfel, suprafețele  $S_1$  și  $S_2$  (fig. 18.4) constituie baze de cotare pentru alezajul cu axa în  $O_1$ , a cărui poziție este determinată de cotele de coordonare  $C_1$  și  $C_2$ , pentru desenul de execuție al piesei și baze de proiectare pentru piesă.

Pentru respectarea condițiilor funcționale impuse piesei este întotdeauna necesar ca baza de cotare să coincidă cu baza de proiectare; în caz contrar piesa proiectată nu va coincide cu cea obținută prin prelucrare.

**Baze de măsurare** sînt acele elemente geometrice ale piesei de la care se măsoară dimensiunile obținute în urma prelucrării, în scopul verificării acestora. Bazele de măsurare coincid cu bazele de proiectare atunci cînd sînt elemente reale ale produsului. Cînd unul sau ambele elemente sînt fictive (nematerializate), baza de măsurare diferă de cea de



proiectare așa cum este cazul măsurării distanței  $L$  (fig. 18.4) între axele alezajelor  $O_1$  și  $O_2$ . În acest caz drept baze de măsurare pot fi alese generatoarele  $A_1$  și  $A_2$  sau  $B_1$  și  $B_2$ , iar mărimea distanței  $L$ , rezultă prin adunarea, respectiv scăderea, sumei jumătăților diametrelor măsurate în prealabil.

Baza de prelucrare este elementul geometric al piesei obținut în urma prelucrării, pentru care se determină sau se studiază precizia de prelucrare. Astfel, la excentricul

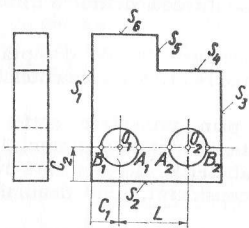


Fig. 18.4. Cotarea poziției unui alezaj și măsurarea distanței între axele a două alezaje

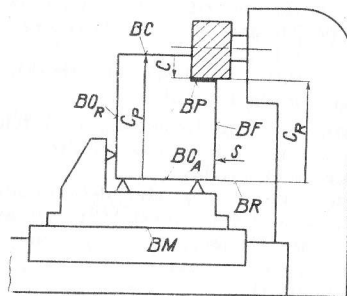


Fig. 18.5. Bazele de referință ale unei scheme de instalare pentru prelucrarea prin frezare a unui semifabricat:

BC — bază de cotare; BOA — bază de orientare de așezare; BOR — bază de orientare de rezemare; BF — bază de fixare; BM — bază de montare; BP — bază de prelucrare.

din fig. 18.3 atât dimensiunea suprafeței  $d$  cât și cea de coordonare  $e$  se obțin simultan, în urma aceleiași prelucrări. Pentru precizia dimensiunii suprafeței  $d$  suprafața cilindrică exterioară a bolțului constituie bază de prelucrare, iar pentru precizia de poziționare a bolțului față de discul excentricului, deci pentru precizia dimensiunii de coordonare  $e$ , axa geometrică a bolțului ( $O_1$ ) constituie bază de prelucrare.

Baze tehnologice sînt elementele geometrice dedublate, aparținînd pe de o parte obiectului de prelucrat, iar pe de altă parte dispozitivului sau altei componente a sistemului tehnologic elastic (S.T.E.) prin care se determină orientarea obiectului de prelucrat și se menține orientarea lui, în vederea realizării operației tehnologice.

Prin orientarea obiectului de prelucrat se introduc relații binare determinate între direcțiile elementelor geometrice ale produsului, care sînt baze de referință, și direcțiile mișcărilor de generare a suprafețelor de prelucrare și cele ale mișcărilor de reglare. Orientarea obiectului supus prelucrării face posibilă stabilirea distanțelor între elementele acestuia și celelalte elemente ale componentelor STE, fără a realiza acest lucru. Stabilirea distanțelor relative între elementele produsului și celelalte elemente ale componentelor STE revine acțiunii de reglare. Relațiile binare necesare orientării sînt de apartenență, direcție și sens, iar relațiile binare necesare reglării sînt de egalitate.

Bazele de referință tehnologice sînt de orientare (BTO) și de fixare (BTF), după cum prin ele se asigură orientarea produsului, respectiv menținerea orientării lui (fig. 18.5). Inițialele  $A$  și  $R$  ale bazelor tehnologice de orientare (sau baze de orientare) reprezintă inițialele bazelor de orientare de așezare, respectiv de rezemare.

Baze de reglare sînt elementele componentelor STE de la care se definesc și se realizează dimensiunile de reglare în așa fel încît să se asigure realizarea preciziei de prelucrare impuse. În funcție de componența STE care realizează mișcarea de reglare, se deosebește reglarea mașinii-unelte, reglarea dispozitivului, reglarea sculei și reglarea piesei. În exemplul din fig. 18.5 baza de reglare BR este identică cu baza de orientare de așezare a dispozitivului, iar mișcarea de reglare este asigurată de mașina-unealtă

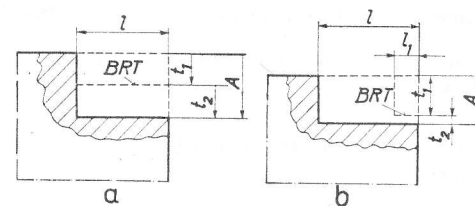


Fig. 18.6. Baze de reglare temporare

prin deplasarea pe verticală a mesei, în vederea stabilirii cotei de reglare  $C_R$  care rezultă din lanțul de dimensiuni tehnologice în condițiile respectării toleranței impuse la dimensiunea de prelucrare  $C$ .

În producția de serie mică și unicat este des folosită metoda creării bazelor de reglare temporare (BRT) prin metoda așchii de probă. În fig. 18.6,  $b$  precizia de prelucrare va fi cu atât mai mare cu cît adaosul rămas  $t_2$  după așchieria de probă pe lungimea redusă  $l_1$  este mai mic. Reducerea exagerată a acestuia poate cauza rebutarea piesei pe porțiunea de probă  $l_1$ . Această metodă poate fi utilizată cînd întregul adaos de prelucrare  $t$  poate fi îndepărtat la o singură trecere. În cazul în care adaosul de prelucrare are valori mari (fig. 18.6,  $a$ ) și nu poate fi îndepărtat la o singură trecere se caută îndepărtarea la prima trecere a unei părți din adaosul de prelucrare astfel încît, pe cît posibil, să existe egalitatea  $t_1 = t_2$ . Cu cît  $t_1$  este mai apropiat de valoarea  $t_2$ , cu atât mai mică va fi abaterea obținută în urma prelucrării. Aplicarea metodei din fig. 18.6,  $b$  pentru acest caz ar necesita 3 treceri (una de probă) în loc de două.

Baze de montare a dispozitivului pe mașina-unealtă sînt elementele geometrice dedublate, aparținînd pe de o parte dispozitivului, iar pe de altă parte mașinii-unelte, care caracterizează poziția relativă a acestor componente ale STE. Altfel spus, bazele de montare sînt elementele caracteristice ale suprafețelor de contact între dispozitiv și mașina-unealtă. În fig. 18.5 baza de montare este o axă paralelă cu direcția avansului, conținută în suprafața plană (BM). În cazul montării unei mandrine universale pe capătul arborelui principal al unui strung, baza de montare este reprezentată de axa geometrică a arborelui care caracterizează contactul dispozitiv-mașină unealtă, constituit de două suprafețe cilindrice sau conice.

### 18.3. ELEMENTELE ȘI MECANISMELE DISPOZITIVELOR

În funcție de rolul pe care îl au în cadrul dispozitivului, elementele și mecanismele acestuia pot fi:

- elemente și mecanisme de orientare;
- elemente și mecanisme de fixare (inclusiv cele de acționare);

- elemente și mecanisme de reglare;
- elemente și mecanisme de asamblare și montare.

În cazul în care semifabricatele nu se așază direct pe masa mașinii-unelte, poziția relativă a elementelor și mecanismelor amintite anterior se asigură prin intermediul corpului dispozitivului sau plăcii de bază a acestuia.

Întrucât orientarea este comună tuturor tipurilor de dispozitive, elementele și mecanismele de orientare intră în componența tuturor tipurilor de dispozitive, celelalte tipuri de elemente și mecanisme se găsesc în componența anumitor tipuri de dispozitive, de la caz la caz.

Elementele și mecanismele enumerate mai înainte intră, în general, în componența dispozitivelor de instalare.

### 18.3.1. ABATERILE DE INSTALARE ALE OBIECTELOR DE LUCRU ÎN DISPOZITIV

Abaterile de instalare  $\varepsilon$ , ca una din componentele abaterii generale a dimensiunii executate, se compune din abaterea de bazare  $\varepsilon_b$ , abaterea de fixare, cauzată de variația forțelor de strângere  $\varepsilon_s$  și abaterea de orientare  $\varepsilon_o$ .

Abaterile de bazare depinde de alegerea schemei de instalare și apare atunci când baza de reglare nu coincide cu baza de cotare sau în cazul în care elementele în coincidență nu sînt de aceeași natură.

Abaterile de fixare reprezintă valoarea domeniului de dispersie al bazei de cotare (proiectare) ca urmare a deformațiilor cauzate de variațiile forței de strângere. Notînd deformațiile corespunzătoare forței de strângere maxime și minime cu  $\delta_s \max$ , respectiv  $\delta_s \min$ , abaterile de fixare se pot determina cu relația:

$$\varepsilon_s = (\delta_s \max - \delta_s \min) \cos \alpha \quad (18.1)$$

în care  $\alpha$  este unghiul dintre direcția dimensiunii executate și direcția de deplasare a bazei de cotare. Expresia din paranteză determină distanța dintre pozițiile limită ale bazei de cotare, adică domeniul de dispersie al acestei baze. La o rigiditate suficientă a dispozitivului și semifabricatului deplasările sînt cauzate de deformațiile de contact ale semifabricatului cu elementele de orientare. Deformațiile de contact pentru îmbinările semifabricat — elemente de orientare, se exprimă în general prin relația:

$$\delta = CR^n \quad (18.2)$$

în care:  $R$  este forța de reacțiune ce revine îmbinării, în punctul de contact;  $C$  — coeficientul care caracterizează tipul contactului (materialul semifabricatului, rugozitatea și structura straturilor superficiale);  $n$  — coeficient subunitar.

Pentru fiecare caz concret, valorile  $C$  și  $n$  se stabilesc experimental. Dependența deformațiilor de contact în funcție de valoarea forței de reacțiune este reprezentată grafic în fig. 18.7.

Înlocuind valorile maxime și minime ale deformațiilor de contact în relația (18.1), se obține abaterea de fixare ca funcție a variației forțelor de fixare

$$\varepsilon'_s = C(R_{\max}^n - R_{\min}^n) \cos \alpha \quad (18.3)$$

Notînd raportul  $\frac{R_{\max}}{R_{\min}} = K$  și considerînd forța medie  $R_m$  drept forța de calcul,

$$\text{se obține: } \varepsilon'_s = 2^n CR_m^n \frac{K^n - 1}{(K + 1)^n} \times \cos \alpha.$$

La mecanismele de strângere pneumatice și hidraulice  $K$  este apropiat de 1. Pentru dispozitive de strângere acționate manual  $K = 1,3$  dacă poziția manetei este comodă și  $K = 1,5 \dots 1,6$  dacă poziția manetei este incomodă. La  $K = 1$ ,  $\varepsilon_s = 0$ .

Considerînd forța de strângere constantă se poate obține eroarea de fixare  $\varepsilon''_s$ , determinată de neomogenitățile proprietăților straturilor de suprafață al semifabricatului:

$$\varepsilon''_s = (C_{\max} - C_{\min}) R^n \cos \alpha. \quad (18.4)$$

Experiențele executate cu suprafețe de bază brute ale semifabricatelor, au stabilit că dispersia punctelor experimentale care caracterizează mărimea deplasărilor la  $R = \text{const}$  este pînă la 10% în ambele sensuri, față de valoarea medie  $C$ . Pentru cazul analizat, se poate considera aproximativ:

$$\varepsilon''_s = 0,2 CR^n \cos \alpha. \quad (18.5)$$

Pentru neomogenitatea rugozității suprafețelor, cînd raportul înălțimilor maxime și minime a rugozităților este 2, eroare de fixare este în medie de 30% din mărimea deplasărilor.

Presupunînd că distribuția abaterilor  $\varepsilon'_s$  și  $\varepsilon''_s$  se supune unei legi normale, se obține eroarea generală de fixare:

$$\varepsilon_s = \sqrt{\varepsilon'^2_s + \varepsilon''^2_s}. \quad (18.6)$$

Presările elastice ale subansamblelor dispozitivului provoacă deplasarea semifabricatului. Drept rezultat apare eroarea componentă de fixare suplimentară  $\varepsilon'''_s$ , în care caz:

$$\varepsilon_s = \sqrt{(\varepsilon'_s + \varepsilon''_s)^2 + \varepsilon'''^2_s}. \quad (18.7)$$

Din relațiile obținute rezultă că  $\varepsilon'_s = 0$  la  $\varepsilon_s = 0$  folosirea acționărilor care asigură eforturi de strângere constante ( $S = \text{const}$ ) precum și în cazul cînd deplasarea semifabricatului sub influența forțelor de strângere se produce perpendicular pe direcția dimensiunii executate ( $\cos \alpha = 0$ ).

Abaterile datorate orientării sau de orientare reprezintă limitele maxime de variație a bazelor de orientare față de baza de orientare stabilită teoretic ca urmare a abaterilor constructive ale dispozitivului, a uzurii elementelor acestuia, precum și a erorilor de montare a dispozitivului pe mașina-unelte.

Abaterile constructive ale dispozitivului sînt inevitabile și depind de abaterile de fabricație ale pieselor acestuia, de abaterile de asamblare ulterioară, ale ajustării și

reglării lui. În fiecare caz în parte este necesar să se stabilească abaterile admisibile de fabricare ale dispozitivului, în funcție de toleranțele pentru dimensiunea executată.

Intensitatea uzurii elementelor de orientare depinde de construcția și dimensiunea acestora, de materialul și masa semifabricatului, de starea suprafețelor acestuia, precum și de condițiile de așezare și scoaterea semifabricatului din dispozitiv. Mărirea uzurilor după normala la suprafața activă a acestora poate fi exprimată aproximativ cu relația

$$U = K_u \sqrt{N} \quad (18.8)$$

în care:  $N$  este numărul contactelor semifabricatului cu elementul de orientare, iar  $K_u$  — coeficient, care depinde de tipul elementului de orientare și de condițiile contactului, avind următoarele valori orientative: 0,5—2 pentru suprafețe active sferice; 0,3—0,8 pentru prisme; 0,2—0,4 pentru plăcuțe; 0,05—0,1 pentru bolțuri.

Abaterile datorate montării dispozitivului pe mașina-unealtă se reduc la mărimi mici în cazul folosirii elementelor de montare. În cazul așezării pe mese cu canale  $T$  prin pene de ghidare cu joc ( $j_1$  respectiv  $j_2$ ), distanțele între pene fiind  $L$ , dezaxarea maximă poate fi exprimată cu relația:

$$\operatorname{tg} \Delta \alpha = \frac{j_1 + j_2}{L}$$

iar deplasarea maximă este reprezentată de valoarea jocului maxim.

Ținând seama că  $\varepsilon_b$ ,  $\varepsilon_s$  și  $\varepsilon_0$  reprezintă cimpuri de dispersie a unor mărimi întimplătoare, eroarea de instalare  $\varepsilon$  se poate determina cu relația

$$\varepsilon = \sqrt{\varepsilon_b^2 + \varepsilon_s^2 + \varepsilon_0^2}. \quad (18.9)$$

Alegerea schemei de instalare trebuie efectuată, comparînd abaterea  $\varepsilon$  de instalare obținută pentru cazul dat cu abaterea admisibilă  $T_\varepsilon$ . Aceasta din urmă poate fi determinată din expresia toleranței tehnologice  $T$  pentru operația executată, exprimată de relația

$$T = \sqrt{T_\varepsilon^2 + T_F^2 + T_R^2 + 3T_i^2 + 3T_u^2} + \Sigma \Delta \Phi \quad (18.10)$$

în care:  $T_F$  este valoarea limită de dispersie a dimensiunii în urma variației forțelor de așchiere;  $T_t$  — abaterile de prelucrare, provocate de deformările STE sub acțiunea variațiilor de temperatură;  $T_R$  — eroarea de reglare;  $T_u$  — uzura admisă sculei, iar  $\Sigma \Delta \Phi$  — suma aritmetică a abaterilor de formă care apar ca urmare a abaterilor geometrice ale mașinii-unelte.

Din relația (18.10) rezultă

$$T = \sqrt{(T - \Sigma \Delta \Phi)^2 - (T_F^2 + T_R^2 + 3T_i^2 + 3T_u^2)}. \quad (18.11)$$

Pentru schema de instalare proiectată trebuie respectată condiția:  $\varepsilon \leq T_\varepsilon$ .

### 18.3.2. ELEMENTE ȘI MECANISME DE ORIENTARE

Orientarea obiectelor de lucru în dispozitive este realizată prin contactul acestora cu elementele și mecanismele de orientare ale dispozitivului. Realizarea contactului permanent cu obiectul de lucru în 6 puncte, anulează cele 6 grade de libertate ale acestuia și prin aceasta, piesa are o poziție univoc determinată față de elementele de orientare ale dispozitivului și implicit față de dispozitiv.

În funcție de numărul punctelor de contact cu obiectul de prelucrat, orientarea poate fi:

— completă, dacă numărul punctelor de contact este egal cu numărul gradelor de libertate ale obiectului de lucru, adică șase.

— Incompletă, dacă teoretic și în ansamblul orientării numărul punctelor de contact este mai mic decît 6. Această orientare este posibilă în cazul în care una sau mai multe din mișcările obiectului prelucrat nu influențează asupra poziției suprafețelor de prelucrat și asupra preciziei de execuție a acestora.

— Parțială, dacă numărul punctelor de contact (teoretic) este mai mic decît 6, dar în ansamblu orientarea este completă. Astfel, așezarea unei piese pe suprafețele ei plane necesită numai trei puncte de contact. Această orientare este parțială și este denumită așezare, dacă este urmată de o rezemare pe alte 3 puncte de contact, dintre care două formează o rezemare de ghidare. Dintre orientările parțiale, așezarea este orientarea parțială care asigură stabilitatea semifabricatului și determină tipul orientării complete.

— Nedeterminată, dacă teoretic numărul punctelor de contact este mai mare decît 6 și orientarea parțială nedeterminată, dacă teoretic numărul punctelor de contact cu un anumit element al piesei (pe care trebuie să se realizeze o orientare parțială); depășește numărul punctelor care determină, din punct de vedere matematic, natura elementului respectiv. Astfel, un al patrulea punct pe o suprafață plană a piesei provoacă o orientare parțială nedeterminată, întrucît planul este definit de 3 puncte necoliniare.

La alegerea elementelor și mecanismelor de orientare se caută evitarea orientării nedeterminate.

În cazul în care rigiditatea scăzută a obiectului de prelucrat sau forțele de stringere și de așchiere impun un număr mai mare de puncte de contact, în vederea evitării deformării obiectului de lucru, punctele suplimentare necesare vin în contact cu acesta după orientarea lui și nu au funcția de orientare, astfel încît să fie evitată orientarea nedeterminată. Elementele și mecanismele dispozitivului care vin în contact cu piesa după orientarea acesteia, în scopul îmbunătățirii rigidității STE în ansamblu, în anumite secțiuni, sînt denumite elemente și mecanisme suplimentare de sprijin.

În funcție de tipul elementelor geometrice ale obiectelor de lucru prin care se realizează orientarea acestuia se deosebește:

— Orientarea fără simetrie (poziționare), cînd drept baze de referință tehnologice de orientare nu servesc elemente geometrice ale obiectului de prelucrat care constituie elemente de simetrie ale acestuia.

— Orientarea cu simetrie (centrare), cînd drept baze de referință tehnologice de orientare servesc elementele geometrice ale obiectului de prelucrat care sînt elemente geometrice de simetrie ale acestuia. După cum elementul de simetrie al obiectului de prelucrat este un plan de simetrie, o axă de simetrie sau un punct de simetrie se deosebește orientarea cu plan de simetrie (semicentrare), cu axă de simetrie (sau cu centrare) și respectiv cu punct sau centru de simetrie (centrare completă).

Alegerea orientării cu sau fără simetrie este impusă de bazele de cotare ale piesei. Dacă drept baze de cotare ale piesei servesc elemente de simetrie ale acesteia, atunci drept baze de orientare trebuie alese aceleași elemente de simetrie în scopul eliminării abaterilor de bazare.

Alegerea punctelor teoretice necesare orientării obiectelor de prelucrat, trebuie să respecte anumite reguli, care rezultă din evitarea orientării nedeterminate și parțiale nedeterminate.

Orientarea obiectelor de prelucrat se execută întâi prin așezarea și apoi prin rezemare.

Pentru evitarea erorilor de orientare, elementele de fixare (stringere) ale dispozitivului trebuie să asigure contactul obiectului de prelucrat cu elementele de orientare ale dispozitivului. Aducerea în contact a obiectului de prelucrat cu elementele de orientare ale dispozitivului se realizează prin mișcări de orientare care pot fi executate manual și mecanizat. În majoritatea cazurilor, acționarea mișcărilor de orientare și a mișcărilor de fixare a obiectelor de lucru este comună și se pot executa succesiv sau simultan.

18.3.2.1. CONDIȚII IMPUSE ELEMENTELOR ȘI MECANISMELOR DE ORIENTARE. Indiferent de ce tip sînt acestea, precizia de execuție și poziția lor reciprocă în corpul dispozitivului vor influența în mod nemijlocit precizia de prelucrare. Din aceste motive, toate categoriile de elemente și mecanisme de orientare vor trebui să satisfacă următoarele condiții de bază:

- Să-și păstreze timp îndelungat precizia dimensională și poziția reciprocă în corpul dispozitivului.
- Suprafețele active să fie rezistente la uzură.
- Să fie construite și montate în corpul dispozitivului în așa fel încît după uzură să poată fi înlocuite cu ușurință.
- La folosirea bazelor brute cu rugozitatea suprafeței mai mare de  $R_a = 25\mu m$  elementele de orientare se recomandă a fi executate cu suprafețe de rezemare cît mai mici, în scopul reducerii influenței rugozității piesei asupra preciziei de orientare.
- Elementele de orientare, pe cît posibil, să nu deterioreze suprafețele pieselor. Această cerință este foarte importantă la orientarea pe suprafețe precise și curate, care nu sînt supuse prelucrării ulterioare.
- Elementele de orientare să fie rigide și să-și păstreze valoarea rigidității în timp.
- Suprafețele active portante ale elementelor de orientare să fie rectificate, încît rugozitatea suprafețelor să nu depășească valoarea  $R_a = 0,80\mu m$ .
- Fixarea elementelor de orientare în dispozitiv trebuie să evite aglomerarea așchiilor, care ar putea modifica poziția obiectului de lucru în dispozitiv.

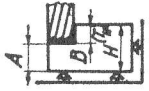
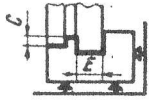
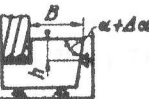
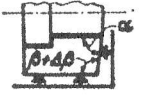
18.3.2.2. ELEMENTE ȘI MECANISME DE ORIENTARE A OBIECTELOR DE LUCRU DUPĂ SUPRAFEȚELE LOR PLANE. Elementele și mecanismele de orientare a obiectelor de prelucrat fără simetrie, după suprafețele lor plane sînt cepurile și plăcuțele de sprijin. Cîteva scheme de instalare pe suprafețele plane cu orientare fără simetrie și abaterile de bazare corespunzătoare acestora sînt date în tabelul 18.1.

Cepurile de sprijin sînt elemente de orientare normalizate. Ele pot fi fixe, reglabile și autoreglabile.

În funcție de forma suprafeței active, cepurile fixe pot fi: cu cap striat, cu cap plat, cu cap bombat și cu cap sferic (fig. 18.8,a), iar dimensiunile și caracteristicile impuse cepurilor sînt indicate în tabelele 18.2—18.4.

Tabelul 18.1

Abaterile de bazare la instalarea pe suprafețe plane fără simetrie

Schema de instalare	Dimensiunea	Abaterile de bazare
	A B	$\epsilon_b(A) = 0$ $\epsilon_b(B) = T_H$
	C E	$\epsilon_b(C) = 0$ $\epsilon_b(B) = 0$
	B	$\epsilon_b(B) = h \operatorname{tg} \Delta \alpha$
	$\alpha$	$\epsilon_b(\alpha) = \Delta \beta$

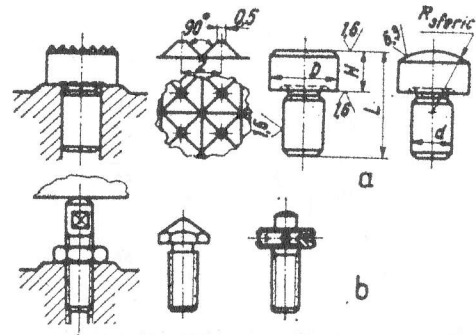
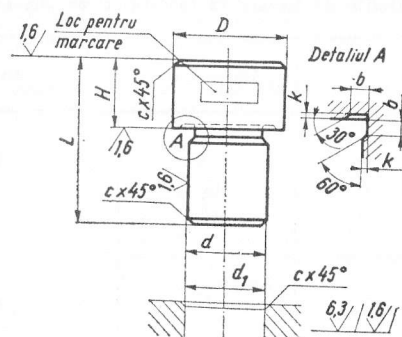


Fig. 18.8. Cepuri de sprijin: a — fixe; b — reglabile



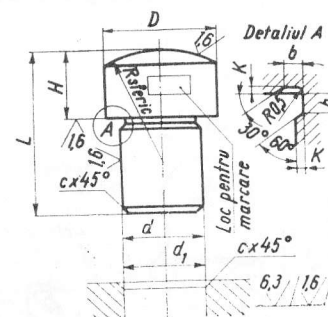
Tabelul 18.2  
Dimensiunile cepurilor de sprijin cu cap plat, mm



Cod	D	H (h6)	d (n6)	L	c	k	b	d <sub>1</sub> (h6)
7034-0001 7034-0002	6	$\frac{4}{6}$	4	$\frac{10}{12}$	0,7	0,25	0,8	4
-0003 -0004	8	$\frac{4}{8}$	6	$\frac{12}{18}$	1	0,25	0,8	6
-0005 -0006	12	$\frac{6}{17}$	8	$\frac{18}{24}$	1,2	0,5	1,5	8
-0007 -0008	16	$\frac{10}{15}$	10	$\frac{25}{30}$	1,5	0,5	1,5	10
-0009 -0010	20	$\frac{12}{20}$	12	$\frac{30}{38}$	1,8	0,5	2	12
-0011 -0012	25	$\frac{15}{25}$	16	$\frac{38}{50}$	2	0,5	2	16
-0013 -0014	30	$\frac{20}{30}$	20	$\frac{50}{60}$	2,5	0,5	2,5	20
-0015 7034-0016	40	$\frac{20}{40}$	25	$\frac{56}{76}$	3	0,5	2,5	25

Observații. 1. Exemplu de notare a unui cep de sprijin cu cap plat având  $D = 12$  mm și  $H = 6$  mm: Cep de sprijin  $12 \times 6 - 7034 - 0005$ . 2. Materiale OLC 15 STAS 880-66 3. Tratamente termice, cementat pe adâncimea de 0,8-1 mm, călit, revenit la  $HRC = 54-58$ . 4. Se va marca codul cepului și materialul (vezi și STAS 8768-71).

Tabelul 18.3  
Dimensiunile cepurilor de sprijin cu cap bombat, mm



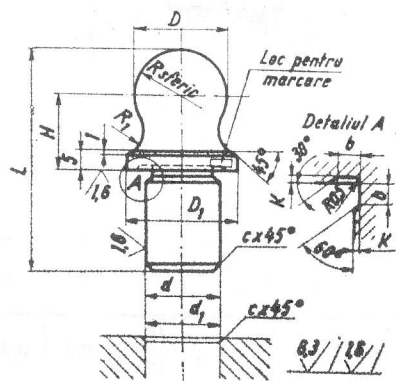
Cod	D	H (h6)	d (n6)	L	C	K	R	d <sub>1</sub> (h6)	b
7034-0021	6	$\frac{4}{6}$	4	$\frac{10}{12}$	0,7	0,25	4	4	0,8
-0022	8	$\frac{4}{8}$	6	$\frac{12}{18}$	1	0,25	6	6	0,8
-0023	12	$\frac{6}{17}$	8	$\frac{18}{24}$	1,2	0,5	12	8	1,5
-0024	16	$\frac{10}{15}$	10	$\frac{25}{30}$	1,5	0,5	16	10	1,5
0025	20	$\frac{12}{20}$	12	$\frac{30}{38}$	1,8	0,5	20	12	2
0026	25	$\frac{15}{25}$	16	$\frac{38}{48}$	2	0,5	25	16	2
0027	30	$\frac{20}{30}$	20	$\frac{50}{60}$	2,5	0,5	30	20	2,5
0028	40	$\frac{20}{40}$	25	$\frac{56}{76}$	3	0,5	40	25	2,5
0029	40	$\frac{20}{40}$	25	$\frac{56}{76}$	3	0,5	40	25	2,5

Observații. 1. Exemplu de notare a unui cep de sprijin cu cap bombat diametrul  $d = 12$  mm și înălțimea  $H = 6$  mm: Cep de sprijin  $12 \times 6 - 7034 - 0025$ ; 2. Material: OLC15 STAS 880-66. 3. Tratament termic cementat pe adâncimea de 0,8-1 mm călit revenit la  $HRC = 54-58$ . 4. Se va marca codul cepului și materialul (vezi și STAS 8767-70).



Tabelul 18.4

Dimensiunile cepurilor de sprijin cu cap sferic, mm



Cod	D (h 12)	D <sub>1</sub>	H	d <sub>2</sub>	L	R <sub>1</sub>	C	K	b	d <sub>1</sub> (H 6)
7034-0041	16	19	13	12	42	3	1,8	0,5	2	12
-0042	20	24	16	16	50	4	2	0,5	2	10
7034-0043	25	30	20	20	60	6	2,5	0,5	2,5	20

Observații. 1. Exemplu de notare a unui cep de sprijin cu cap sferic avind  $D = 16$  mm: Cep de sprijin 16-7034-0041. 2. Material OLC15 STAS 880-66. 3. Tratament termic: cementat pe adâncime de 0,8-1 mm călit și revenit la  $HRC = 54-58$ . 4. Se va marca codul cepului și materialul (vezi și STAS 885-71).

Cepurile cu cap plat au avantajul că, în anumite condiții, pot fi rectificate după montarea lor în dispozitiv, în care caz erorile la construcția dispozitivului pot fi corectate. Înălțimea  $H$  a suprafeței active a cepurilor se tolerează în sistem arbore unitar, precizia 5 sau 6 ( $h_5 - h_6$ ). În cazul în care suprafețele active ale cepurilor nu se rectifică după

montarea lor în dispozitiv, înclinarea bazei de orientare, pe direcția a două cepuri ( $\alpha'$ ) așezate la distanța  $L$  are valoarea maximă:

$$\operatorname{tg} \alpha' = \frac{T_H}{L} \quad (18.12)$$

în care  $T_H$  reprezintă cîmpul de toleranță al dimensiunii  $H$  a cepului.

La aplicarea excentrică a forței de strîngere are loc o deformare neuniformă a obiectului de lucru ca urmare a inegalității valorice a reacțiunilor ( $R_1, R_2$ ) în punctele de contact (fig. 18.9).

Unghiul de rotire al piesei  $\alpha''$ , în acest caz, se determină cu relația

$$\operatorname{tg} \alpha'' = \frac{C(R_1^n - R_2^n)}{L} \quad (18.13)$$

sau cu relația

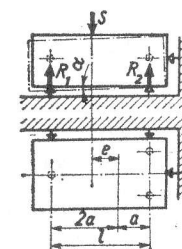
$$\operatorname{tg} \alpha'' = \frac{y_1 - y_2}{L} \quad (18.14)$$

în care  $y_1$  și  $y_2$  sînt deplasările bazei de referință ca urmare a deformațiilor de contact. Dependența experimentală a deplasărilor  $y$  datorită forțelor normale  $R_{1,2}$  care lucrează asupra cepurilor este indicată în tabelul 18.5.

Pentru reducerea deformațiilor de contact între cep și placa de bază a dispozitivului, suprafețele în contact sînt rectificate. Pentru micșorarea suprafeței de rectificat a plăcii, în locurile de introducere a cepurilor, aceasta este prevăzută cu bosaje.

Cepurile reglabile se folosesc în cazul în care semifabricatele din două loturi prezintă abateri dimensionale mari datorate unor erori sistematice. La trecerea de la prelucrarea

Fig. 18.9. Modificarea orientării unui obiect de lucru în cazul aplicării excentrice a forței de strîngere  $S$

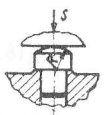
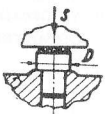



unui lot de semifabricate la altul, se realizează o nouă poziție a bazei de orientare prin modificarea poziției cepurilor, posibilă prin reglarea acestora.

Cîteva forme constructive de cepuri reglabile sînt redată în fig. 18.8. b, iar dimensiunile normalizate și condițiile tehnice impuse acestora în tabelele 18.6 și 18.7.

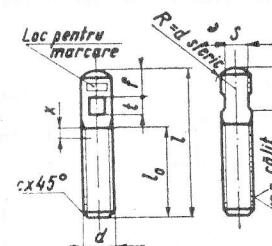
Tabelul 18.5

Deformațiile de contact (deplasările  $y$ ) în funcție de forțele normale

Schița așezării	Tipul elementului de sprijin	Deformația de contact
	Cep cu cap bombat ( $R$ , mm; $S$ , daN; $y$ , $\mu\text{m}$ )	Pentru oțel: $y = \left( 0,67 - 0,003 HB + \frac{6,23}{R} \right) S^{0,8}$ Pentru fontă: $y = \left( 2,7 - 0,008 HB + \frac{9,23}{R} \right) S^{0,6}$
	Cep cu cap striat ( $D$ , mm; $S$ , daN; $y$ , $\mu\text{m}$ )	Pentru oțel: $y = (0,38 - 0,004 HB + 0,0034 D) S^{0,6}$ Pentru fontă: $y = (1,76 - 0,0008 HB - 0,03 D) S^{0,6}$
	Cepuri sau plăci de sprijin plate $A$ — suprafața de contact, $\text{cm}^2$ ; $R_z$ — rugozitatea, $\mu\text{m}$ ; $q$ — presiunea de contact, $\frac{\text{daN}}{\text{cm}^2}$ ; $HB$ — duritatea, unități Brinell $y$ — deplasarea, $\mu\text{m}$ ;	Pentru oțel: $y = (0,4 + 0,012 A + 0,004 R_z - 0,0016 HB) q^{0,7}$ Pentru fontă $y = (0,776 + 0,053 A + 0,016 R_z - 0,0045 HB) q^{0,6}$

Tabelul 18.6

Dimensiunile cepurilor de sprijin reglabile, mm

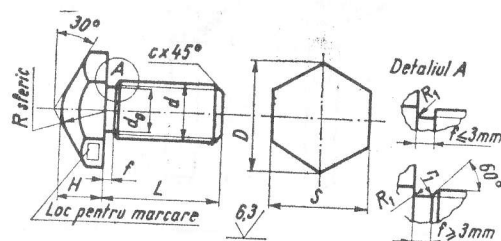


Cod	$d$	$l$	$l_0$	$t$	$c$	$R$	$f$	$S$ (h12)
7035—0001	M10	30	20	5	1,5	10	3	8
0002		40	25	6			4	
0003		50	35					
0004	M12	35	20		1,8	12	5	9
0005		45	25	8				
0006		60	40					
0007	M16	50	30		2	16	5	14
0008		60	35	10				
0009		80	50					
0010	M20	60	40		25	20	6	17
0011		70	45					
0012		80	55	12			8	
0013	M24	100	60		3	24		19
0014		120						
0015		80	55				8	
0016	M24	100	70		14	3	10	19
0017		120						
0018		140	90					
7035—0019		180						

Observații. 1. Exemplu de notare a unui cep de sprijin reglabil avind diametrul  $d = M10$  și lungimea  $l = 50$  mm: Cep de sprijin reglabil M×50—7035—0003. 2. Material: OLC45 STAS 880-66. 3. Tratamente termice: pe lungimea indicată în desen HRC 35—40 iar restul îmbunătățit la 75—85 daN/mm<sup>2</sup>. 4. Filete conform STAS 510-61. 5. Ieșirea filtrului  $\alpha$  conform STAS 3508-65. 6. Abaterea limită la filete: clasa de precizie mijlocie. 7. Muchiile ascuțite se vor teși. 8. Se va marca: codul cepului și materialul (vezi și STAS 8883-71).

Tabelul 18.7

Dimensiunile cepurilor de sprijin reglabile cu cap hexagonal, mm



d	M8	M10	M12	M16	M20	M24
R	5	7	9	12	15	18
C	1,2	1,5	1,8	2	2,5	3
H	8	10	12	16	20	24
D	16,2	19,6	25,4	31,2	36,9	41,6
S(h12)	14	17	22	27	32	36
d <sub>0</sub>	6,2	7,8	9,5	13	16,4	19,5
f	2	3	4	4	5	6
R <sub>1</sub>	0,5	1	1	1	1,6	1,6
r <sub>1</sub>	—	0,5	0,5	0,5	0,5	1
L	25...120					

Observații. 1. Exemplu de notare a unui cep de sprijin reglabil cu cap hexagonal avind  $d = M12$  și lungimea  $l = 60$  mm: cep de sprijin M12×60. 2. Material: OLC45, STAS 880-66. 3. Tratamente termic: capul HRC = 35–40, restul îmbunătățit 75–85 daN/mm<sup>2</sup>. 4. Filetul conform STAS 510-61. 5. Abateri limită la filete: clasa de precizie mijlocie. 6. Muchiile ascuțite se vor teji. 7. Se va marca: codul cepului și materialul.

Cepurile autoreglabile (fig. 18.10) se construiesc în scopul înlocuirii unui punct teoretic de contact cu semifabricatul prin două sau mai multe suprafețe de contact reale. Ele se folosesc pentru asigurarea stabilității așezării obiectelor de lucru (fig. 18.10, a) sau pentru rezemarea după suprafețe plane decalate (fig. 18.10, b).

Cepurile autoreglabile introduc abateri de orientare suplimentare, întrucât poziția punctului teoretic, reprezentat de cele două suprafețe de contact, poate varia în funcție de variația înălțimii brațelor pîrghiei acestor elemente, ca urmare a abaterilor de execuție a acestora. Notind cu  $\Delta H_1$  și  $\Delta H_2$  diferența înălțimilor celor două suprafețe reale de contact ale pîrghiilor cu semifabricatul, față de suprafața stabilită pentru punctul teoretic de contact (pe care acestea îl reprezintă), abaterea suplimentară de orientare, în planul pîrghiei are valoarea:

$$\Delta H = \frac{1}{2} (\Delta H_1 + \Delta H_2)$$

Pentru cepul reglabil din fig. 18.10, b, abaterea suplimentară depinde și de toleranța  $T_c$  la cota C. Abaterea suplimentară în acest caz are valoarea:

$$\Delta H' = \sqrt{\Delta H^2 + \left(\frac{T_c}{2}\right)^2}$$

Plăcile de sprijin (fig. 18.11) (plăcuțele) sînt elemente de orientare, de construcție paralelipipedică, avind suprafața (fig. 18.11) activă, plană (STAS 8769-70) sau bombată

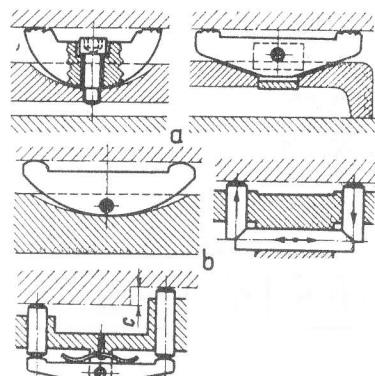


Fig. 18.10. Cepuri de sprijin autoreglabile

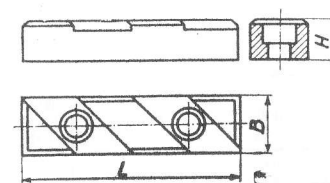


Fig. 18.11. Placă de sprijin

Elementul dimensional caracteristic al plăcilor de sprijin este înălțimea acestora  $H$ , tolerată ca și în cazul cepurilor. Pentru realizarea unui contact minim cu piesa se recomandă ca suprafața activă a plăcuțelor, determinată de dimensiunile  $L$  și  $B$ , să fie cît mai mică. Pentru evitarea modificării orientării, ca urmare a îngrămădirii așchiilor în locurile de îmbinare a plăcilor cu corpul dispozitivului, suprafața activă a plăcilor se construiește discontinuă. Muchiile pragurilor create servesc și la așchiera bavurilor semifabricatului cînd acesta este deplasat pe placă. Dimensiunile normalizate și condițiile tehnice impuse plăcilor de sprijin cu suprafața canelată sînt redată în tabelul 18.8.

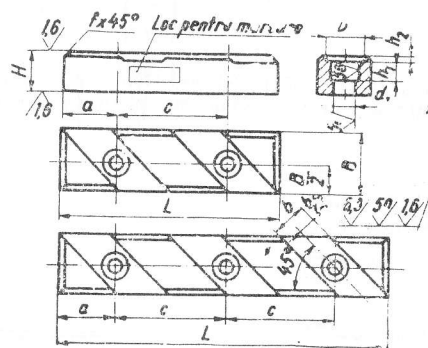
Schemele de instalare pentru orientarea produselor cu plan de simetrie și cu ax de simetrie sînt redată în fig. 18.12 respectiv 18.13. Alegerea orientării cu plan de simetrie este cerută de condiția impusă semifabricatului ca suprafețele prelucrate să rezulte în planul de simetrie al piesei indiferent de abaterile  $T_L$  la lungimea piesei  $L$  (fig. 18.12, b). Abaterea de bazare pentru orientarea semifabricatului cu plan de simetrie se datorește abaterilor unghiulare ale piesei și are valori mici, pe cînd în cazul orientării aceleiași piese fără simetrie, abaterea de bazare se datorește atît abaterilor unghiulare cît și a celor liniare. Abaterile de bazare datorate abaterilor dimensiunilor liniare ale semifabricatului  $\epsilon_b$  au valoarea

$$\epsilon_b = \frac{T_L}{2}$$

în care  $T_L$  este toleranța la dimensiunea  $L$ .

Tabelul 18.8

Dimensiunile plăcilor de sprijin cu suprafața canelată, mm



Cod	L	B	H h6	f	h <sub>1</sub>	D	d <sub>1</sub>	b	h <sub>2</sub>	a	c	Nr. găuri	Șurub d × L
7033—0121	80										36	2	
0122	120	20	13						1,5	22	38	3	M8 × 18
0123	100	25	16	1	6	13	9	14				2	
0124	150								2	25	50	3	
0125	120											2	
0126	180	30	20	1,5	7	16	11	18	2,5	30	60	3	M10 × 22
0127	150											2	
7033—0128	220	35	25	1,5	8	19	13	22	3	40		3	M12 × 25

Observații. 1. Exemplu de notare a unei plăci de sprijin cu suprafața canelată avind dimensiunile: B = 25 mm L = 100 mm și H = 16 mm: placa 16 × 100 = 7033—0,123. 2. Material OLC 15, STAS 880-66. 3. Tratament termic cementat la o adâncime de 0,8—1 mm. 4. Mușchiile ascuțite se vor țese. 5. Se va marca codul plăcii și materialul.

Abaterea poziției suprafețelor prelucrate în cazul orientării cu plan de simetrie este o eroare de orientare  $\varepsilon_0$ , datorită impreciziei mecanismului de orientare care realizează sincronismul deplasării celor două fălci, cât și de eroarea de reglare a sculei față de planul de simetrie al acestui mecanism. În general, abaterea  $\varepsilon_0$  este mult inferioară abaterii de bazare.

În majoritatea cazurilor orientarea cu simetrie a obiectelor de lucru se realizează simultan cu fixarea acestora de către aceleași mecanisme. Mecanismul de orientare cu

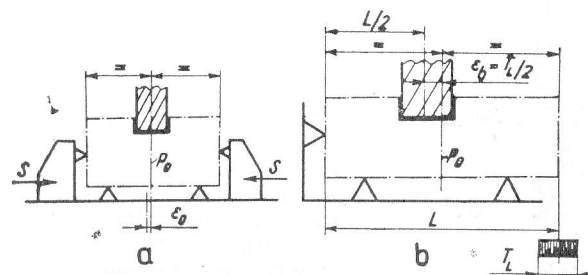


Fig. 18.12. Schema de instalare:

a — pentru orientarea cu plan de simetrie; b — pentru orientarea fără simetrie;  $p_0$  — planul de simetrie impus obiectului de lucru

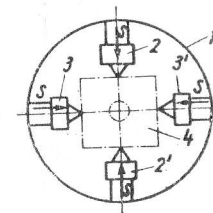


Fig. 18.13. Schemă de instalare pentru orientarea cu axă de simetrie (centrare):

1 — corpul dispozitivului; 2, 2' și 3, 3' — perechi de fălci cu deplasare radială sincronizată; 4 — obiect de lucru

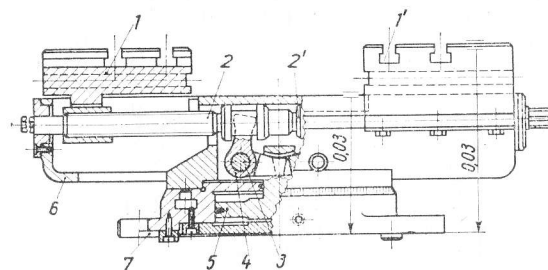


Fig. 18.14. Menghină autocentrantă cu acționare hidrolică:

1, 1' — bacuri cu mișcare sincronizată; 2, 2' — tije filetate pentru transmiterea forțelor de acționare; 3 — bolt; 4 — pîrghie; 5 — pistonul motorului hidrolic liniar; 6 — corpul superior al dispozitivului cu posibilități de rotire; 7 — corpul inferior fix al dispozitivului

plan de simetrie și de fixare a piesei, care materializează schema de instalare din fig. 18.12, a, este redat în fig. 18.14 și este reprezentat de o menghină autocentrantă acționată hidrolic.

Schema de instalare a produselor pe suprafețele lor plane, cu orientare după o axă de simetrie, este redată în fig. 18.13, iar dispozitivul care realizează o astfel de schemă este mandrina universală cu 4 fâlcii din fig. 18.15.

Pentru ca precizia orientării să nu fie influențată de variația dimensiunilor secțiunii transversale a obiectului de lucru, acționarea a două fâlcii opuse este rigidă, iar perechile

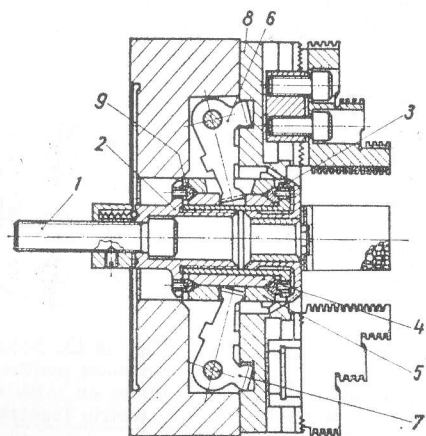


Fig. 18.15. Mandrină cu patru fâlcii (secțiune radială în unghi drept):

1 - tijă; 2, 3 - piese intermediare îmbinate prin filet; 4, 5 - bușe concentrice deplasabile relativ în direcție axială; 6, 7 - pirghii dispuse la 90°; 8 - bac; 9 - segment cu secțiunea în formă de pană dublă înclinare

de fâlcii sînt acționate prin intermediul unor elemente (3, 4 și 5), care permit deplasarea relativă a perechilor de fâlcii.

**18.3.2.3. ELEMENTE ȘI MECANISME DE ORIENTARE A OBIECTELOR DE LUCRU DUPĂ SUPRAFEȚELE LOR CILINDRICE.** În funcție de forma obiectelor de lucru, orientarea după suprafețele lor cilindrice poate fi: orientare completă pe suprafețe cilindrice, cînd atît așezarea cit și rezemarea se execută pe suprafețe cilindrice

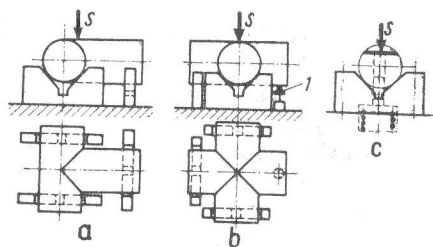


Fig. 18.16. Schema de instalare:

a - cu orientare completă după suprafețele cilindrice ale obiectului de lucru; b - așezarea și rezemarea pe trei prisme; c - așezarea pe prismă și rezemarea pe bolt; 1 - element suplimentar de sprijin

(fig. 18.16) și orientare parțială pe suprafețe cilindrice, cînd numai orientarea parțială de așezare este executată pe suprafețe cilindrice, rezemarea executînduse pe alte tipuri de suprafețe (plane, sferice sau complexe).

În vederea orientării lor, obiectele de lucru cilindrice pot fi așezate pe suprafețe cilindrice exterioare sau pe suprafețe cilindrice interioare. Tipul elementelor de orientare depinde de tipul suprafeței cilindrice. În majoritatea cazurilor, așezarea pe suprafețe cilindrice realizează o orientare cu plan sau axă de simetrie și mai rar cu centru de simetrie sau fără simetrie. De asemenea, orientarea realizată este în general incompletă, mișcarea de rotație în jurul axei suprafeței cilindrice fiind preluată de forțele de frecare care apar sub acțiunea forțelor de strîngere.

**Elemente și mecanisme de orientare a obiectelor de lucru după suprafețele lor cilindrice exterioare.** Acestea sînt: prismele de sprijin, bușele de sprijin și mandrinele.

**Prismele de sprijin** (fig. 18.17) asigură așezarea pieselor pe suprafețele lor cilindrice exterioare, realizînd o orientare cu plan de simetrie. Planul de simetrie este reprezentat de planul bisector al suprafețelor active ale prismelor, care fac un unghi  $\alpha$  între ele. Prin așezarea obiectului de lucru pe prismă, axa acesteia va ocupa o poziție determinată de cota  $H$ , în funcție de diametrul  $D$  al piesei. Elementul obiectului de lucru care caracterizează suprafața cilindrică este axa geometrică a acestuia, care va ocupa o anumită poziție în planul de simetrie al prisme, în funcție de variația dimensiunii  $D$  a piesei și de variația elementelor caracteristice ale prisme ( $h$ ,  $C$ ,  $\alpha$ ). În practică, pentru prismele de sprijin, unghiul de deschidere al acestora  $\alpha$  are valori de 30°, 60°, 90° și 120°. Dimensiunile primelor sînt indicate în tabelul 18.9 și în STAS 8881-71.

Pentru cota  $a$  se recomandă:  $a = (0,14 - 0,16) D$ .

În funcție de diametrul piesei și de elementele caracteristice ale prisme de sprijin, cota  $H$  poate fi determinată din relația:

$$H = h + 0,5 \left( \frac{D}{\sin \frac{\alpha}{2}} - \frac{C}{\tan \frac{\alpha}{2}} \right) \quad (18.15)$$

Pentru un unghi  $\alpha = \frac{\pi}{2}$  relația (18.15) devine:  $H = h + 0,707 D - 0,5 C$ , iar

pentru  $\alpha = \frac{2\pi}{3}$  rezultă:  $H = h + 0,578 D - 0,289 C$ .

Deplasarea pe verticală a axei semifabricatului  $\Delta H$  ca urmare a variației dimensiunilor  $h(\Delta h)$  și  $\alpha(\Delta \alpha)$  se află din diferențiala funcției  $H$ , de două variabile independente  $h$  și  $\alpha$ , exprimate prin relația:

$$\varepsilon_H = \Delta h + 0,5 \left( \frac{C - D \cos \frac{\alpha}{2}}{2 \sin^2 \frac{\alpha}{2}} \right) \Delta \alpha \quad (18.16)$$

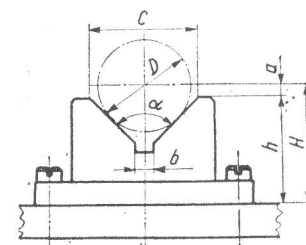
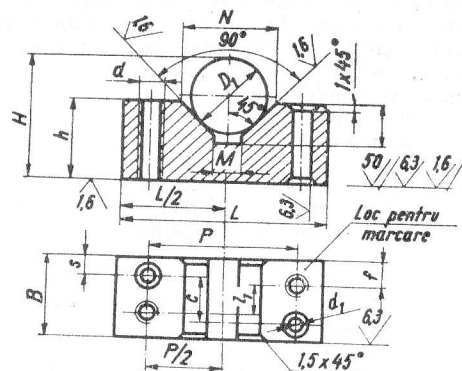


Fig. 18.17. Prismă de sprijin





Codul	Diametrul piesei D	D <sub>1</sub> pentru măsurat H	L	B	h	H
						Nominală
7033—0011	De la 15— 20	20	45	22	16	31
0012	20— 25	25	55	22	22	40
0013	25— 30	30	70	28	25	45
0014	30— 45	45	85	28	30	63
0015	45— 60	60	100	35	35	80
0016	60— 80	80	120	35	40	104
7033—0017	80—100	100	140	40	45	123

Observații. 1. Exemplu de notare a unei prisme de sprijin, având găuri de fixare filetate, pentru 3. Tratament termic: cementat pe o adâncime de 0,8—1 mm, călit și revenit la HRC împreună cu contrapiesa. 5. Muchiile ascuțite se vor teși. 6. Se va marca codul prisme și materialul.

Tabelul 18.9

Dimensiunile prismelor de sprijin cu găuri de fixare filetate, mm

H	K	N ≈	M	P	f	l <sub>1</sub>	S	C	d	d <sub>1</sub> H <sub>6</sub>
Abateri limită										
±0,01	9	18,2	6	30	7	8	5	12	M <sub>6</sub>	5
	12	24,3	8	40	7	8	5	12	M <sub>6</sub>	5
	14	32,4	12	50	10	8	6	16	M <sub>6</sub>	6
	18	42,6	16	65	10	8	6	16	M <sub>8</sub>	6
	22	54,8	20	75	12	11	7	21	M <sub>10</sub>	8
	25	65,1	30	90	12	11	7	21	M <sub>10</sub>	8
	30	85,4	40	110	14	12	8	24	M <sub>12</sub>	10

diametrul D de la 25 la 30 mm. Prisma 25—30—7033—0013. 2. Material: OLC 15 STAS 880-66. 56—60; se va cementa și căli pe fețele de reazem ale prisme. 4. Găurile cu diametrul d<sub>1</sub> se vor găuri materialul.

Deplasarea pe verticală a semifabricatului, în acest caz, datorindu-se în exclusivitate abaterilor dimensionale ale prisme, reprezintă tocmai eroarea de orientare. Ea poate fi corectată dacă reglarea dimensiunii sculei se face de la un calibrul cilindric, așezat pe prismă, ale cărui dimensiuni sînt cunoscute. Diferența dintre dimensiunea calibrului

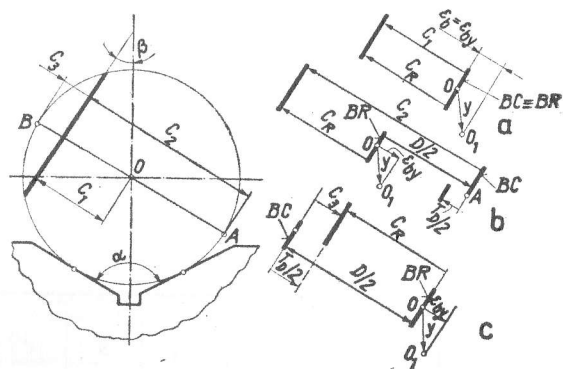


Fig. 18.18. Scheme pentru determinarea erorilor de bazare la așezarea pe prisme:

a — baza de cotare BC coincide cu baza de reglare BR; b și c — baza de cotare nu coincide cu baza de reglare; y — deplasarea axei semifabricatului în planul de simetrie

și cea a piesei de executat, ca o abatere sistematică, poate fi compensată prin corijarea cotei de reglare.

Datorită variației dimensiunii  $D$  a semifabricatului, acesta se deplasează pe verticală, pentru a păstra contactul cu suprafețele active ale prisme, cu o distanță  $y$  corespunzătoare segmentului  $OO_1$  (fig. 18.18), exprimată prin relația:

$$y = \frac{T_D}{2 \sin \frac{\alpha}{2}} \quad (18.17)$$

Deplasarea  $y$  reprezintă o componentă a abaterii de bazare în cazul așezării pe prisme și se datorește faptului că bazele de referință care coincid nu sînt de aceeași natură. Baza de referință de orientare a prisme este un plan, iar baza de referință de orientare a obiectului de lucru este o dreaptă, reprezentată de axa de simetrie a acestuia, care poate ocupa în planul de simetrie al prisme o poziție oarecare, față de poziția cores-

punzătoare unui semifabricat a cărui dimensiune  $D$  nu variază. A doua componentă a abaterii de bazare apare în cazul în care baza de cotare (proiectare) nu coincide cu baza de orientare (axa semifabricatului)

În fig. 18.18 sînt reprezentate diferite sisteme de cotare a poziției suprafeței de prelucrare. Abaterile de bazare la cota  $C_1$  se poate deduce pe baza schemei din fig. 18.18, a, ca proiecție a erorii  $y$  pe direcția cotei  $C_1$ , reprezentată prin relația:

$$\varepsilon_{b(C_1)} = - \frac{T_D}{2 \sin \frac{\alpha}{2}} \cos \left( \frac{\alpha}{2} - \beta \right) = - \frac{T_D}{2 \sin \frac{\alpha}{2}} \sin \beta \quad (18.18)$$

Semnul minus indică faptul că la o creștere a dimensiunii  $D$  față de dimensiunea nominală, cota  $C_1$  scade. Abaterile de bazare la cotele  $C_1$  și  $C_2$  depind și de toleranța la dimensiunea  $D$ , datorită neconcordanței bazelor și în conformitate cu schemele din fig. 18.18, b și c se pot deduce valorile lor, exprimate prin relațiile:

$$\varepsilon_{b(C_2)} = \frac{T_D}{2} \left( 1 - \frac{\sin \beta}{\sin \frac{\alpha}{2}} \right); \quad (18.19)$$

$$\varepsilon_{b(C_2)} = \frac{T_D}{2} \left( 1 + \frac{\sin \beta}{\sin \frac{\alpha}{2}} \right). \quad (18.20)$$

Pentru poziția suprafeței de prelucrare, determinată de un unghi  $\beta = 0$  (fig. 18.19, a), din relațiile (18.18), (18.19) și (18.20) rezultă:

$$\varepsilon_{b(C_1)} = 0; \quad \varepsilon_{b(C_2)} = \frac{T_D}{2};$$

$$\varepsilon_{b(C_2)} = \frac{T_D}{2} \text{ pentru } \beta = 0;$$

$$\varepsilon_{b(C_1)} = - \frac{T_D}{2 \sin \frac{\alpha}{2}};$$

$$\varepsilon_{b(C_2)} = \frac{T_D}{2} \left( 1 + \frac{1}{\sin \frac{\alpha}{2}} \right) \text{ pentru } \beta = \frac{\pi}{2};$$

$$\varepsilon_{b(C_1)} = - \frac{T_D}{2}; \quad \varepsilon_{b(C_2)} = 0; \quad \varepsilon_{b(C_2)} = T_D \text{ pentru } \beta = \frac{\alpha}{2}$$

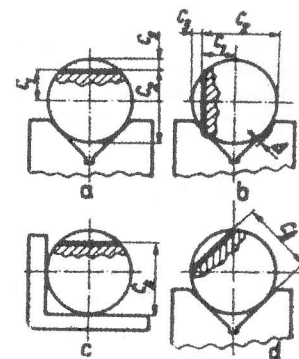


Fig. 18.19. Scheme pentru determinarea erorilor de bazare la așezarea pe prisme:

a)  $\beta = \frac{\pi}{2}$ ;  $\alpha = \frac{\pi}{2}$ ; b)  $\beta = 0$ ;

$\alpha = \frac{\pi}{2}$ ; c)  $\beta = \frac{\pi}{2}$ ;  $\alpha = \pi$ ;

d)  $\beta = \frac{\alpha}{2}$

Se observă că în cazul poziționării suprafeței de prelucrare prin cota  $C_2$ , abaterea de bazare la această cotă este reprezentată printr-o diferență a abaterilor componente

de bazare și în cazul egalității acestora, eroarea de bazare poate fi nulă. Pentru ca  $\varepsilon_{b(C_2)} = 0$ , rezultă condiția:  $\beta = \frac{\alpha}{2}$ . Deci, în condițiile în care, suprafața activă a prisme

se ia paralelă cu suprafața de prelucrare și cotarea se realizează de la generatoarea de contact a obiectului de lucru cu această suprafață activă, abaterea de bazare este nulă. Pentru prelucrarea unei suprafețe plane orizontale avind  $\beta = 0$ , rezultă conform egalității anterioare  $\alpha = 0$ , în care caz, prisma degenerază într-un plan de așezare și erorile de bazare la cota  $C_2$  sînt nule, datorită coincidenței bazelor. Acest caz, reprezentat în fig. 18.19, c nu mai asigură în schimb orientarea cu plan de simetrie, ci o orientare fără simetrie.

Abaterile de bazare la așezarea semifabricatelor pe prisme sînt indicate în tabelul 18.10.

Uzura prismelor pe suprafețelelor active creează o scobitură prelungită (fig. 18.19, b), care provoacă o deplasare a axei semifabricatului în jos cu o mărime

$$y' = \frac{\Delta l}{\sin \frac{\alpha}{2}}$$

$$\sin \frac{\alpha}{2}$$

În cazul în care semifabricatul prezintă o conicitate de valoare  $C$ , așa cum se arată în fig. 18.20, apare o înclinare a axei semifabricatului  $\beta$ , a cărei valoare se poate determina cu formula aproximativă:

$$\tan \beta = \frac{C}{2 \sin \frac{\alpha}{2}}$$



Fig. 18.20. Erori de bazare datorită conicității obiectului de lucru

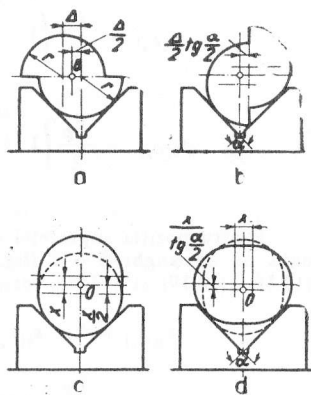


Fig. 18.21. Erori de bazare datorită erorilor de formă ale obiectelor de lucru obținute prin matrițare:

a și b - datorate deplasării relative a matrițelor; c și d - datorate matrițării incomplete

Semifabricatele cilindrice obținute prin matrițare au erori de formă, în urma deplasării matrițelor. Dacă urma planului de separație al matrițelor va fi orizontală (fig. 18.21, a), atunci axa acestuia se va deplasa cu  $\frac{\Delta}{2}$ , în care  $\Delta$  reprezintă deplasarea axelor matrițelor. La poziția verticală a acestui plan axa semifabricatelor, menținând poziția anterioară în înălțime, se deplasează lateral cu mărimea  $\frac{\Delta}{2} \tan \frac{\alpha}{2}$  (fig. 18.21, b). Dacă mări-

Tabelul 18.10

Abaterile de bazare la așezarea pe prisme

Schema de instalare	Cota	Abaterea de bazare	Observații
	$H_1$	$\varepsilon_{b(H_1)} = \frac{T_D}{2} \left( \frac{\sin \beta}{\sin \frac{\alpha}{2}} - 1 \right)$	Pentru $\beta = \frac{\alpha}{2} \dots \frac{\pi}{2}$
	$H_2$	$\varepsilon_{b(H_2)} = \frac{T_D}{2} \left( 1 - \frac{\sin \beta}{\sin \frac{\alpha}{2}} \right)$	Pentru $\beta = 0 \dots \frac{\alpha}{2}$
	$H_3$	$\varepsilon_{b(H_3)} = \frac{T_D}{2} \left( \frac{\sin \beta}{\sin \frac{\alpha}{2}} + 1 \right)$	$T_D$ este toleranța la diametrul suprafeței cilindrice $D$
	$H_4$	$\varepsilon_{b(H_4)} = 0$	
	$H_1$	$\varepsilon_{b(H_1)} = \frac{T_D}{2} \frac{1}{\sin \frac{\alpha}{2}}$	
	$H_2$	$\varepsilon_{b(H_2)} = \frac{T_D}{2} \left( \frac{1}{\sin \frac{\alpha}{2}} - 1 \right)$	
	$H_3$	$\varepsilon_{b(H_3)} = \frac{T_D}{2} \left( 1 + \frac{1}{\sin \frac{\alpha}{2}} \right)$	
	$H_4$	$\varepsilon_{b(H_4)} = 0$	Suprafață în trepte prelucrată cu o garnitură de freze

Tabelul 18.10 (continuare)

Schema de instalare	Cota	Abaterea de bazare	Observații
	$H_1$ $H_2$ $H_3$ $H_4$	$\varepsilon_{b(H_1)} = 0$ $\varepsilon_{b(H_2)} = \frac{T_D}{2}$ $\varepsilon_{b(H_3)} = \frac{T_D}{2}$ $\varepsilon_{b(H_4)} = 0$	
	$H_1$ $H_2$ $H_3$ $H_4$	$\varepsilon_{b(H_1)} = \frac{T_D}{2}$ $\varepsilon_{b(H_2)} = 0$ $\varepsilon_{b(H_3)} = T_D$ $\varepsilon_{b(H_4)} = 0$	
	$H_1$ $H_2$ $H_3$	$\varepsilon_{b(H_1)} = A$ $\varepsilon_{b(H_2)} = A - \frac{T_D}{2}$ $\varepsilon_{b(H_3)} = A + \frac{T_D}{2}$	$A = \sqrt{\left(r + \frac{D}{2} + \frac{T_D^2}{2}\right)^2 - \frac{L^2}{2}} - \sqrt{\left(r + \frac{D}{2}\right)^2 - \frac{L^2}{4}}$ unde $r$ este raza cepului; $L$ — distanța între cepuri; $D$ — diametrul minim al obiectului de lucru
	$H$	$\varepsilon_{b(H)} = 0$ $\varepsilon_{l(H)} = \frac{T_D}{2 \sin \frac{\alpha}{2}}$ $\varepsilon_{b(H)} = \frac{T_D}{2} \left( \frac{1}{\sin \frac{\alpha}{2}} - 1 \right)$	Suprafața $a$ prelucrată după schema 2 Suprafața $a$ prelucrată după schema 3 Suprafața $a$ prelucrată după schema 4

mea admisă de deplasare a matrițelor se consideră  $0,4 T_D$  atunci la  $\alpha = 90^\circ$ , deplasarea verticală și orizontală a axei semifabricatului va fi de  $0,2 T_D$ .

Matrițarea insuficientă a semifabricatelor cilindrice, care provoacă creșterea dimensiunii transversale în direcția perpendiculară față de planul matrițelor, provoacă deplasarea semifabricatului pe linia de simetrie a prisme. Pentru poziția din fig. 18.21,  $c$  deplasarea este egală cu jumătatea matrițării incomplete  $x$ , iar pentru poziția din fig. 18.21,  $d$  această valoare va fi  $\frac{x}{2 \tan \frac{\alpha}{2}}$ .

Dacă secțiunea transversală a semifabricatului are o eroare de formă elipsoidală, atunci axa acestuia ocupă o poziție diferită ca înălțime și în direcție orizontală. În fig. 18.22 sînt marcate traiectoriile de mișcare ale axei semifabricatului în cazul în care

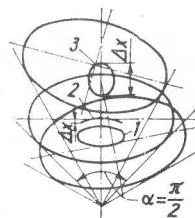


Fig. 18.22. Traiectoria mișcării axei obiectului de lucru eliptic în prisme cu unghiuri de deschidere diferite:

$$1) \alpha > \frac{\pi}{2}; \quad 2) \alpha = \frac{\pi}{2}; \quad 3) \alpha < \frac{\pi}{2}$$

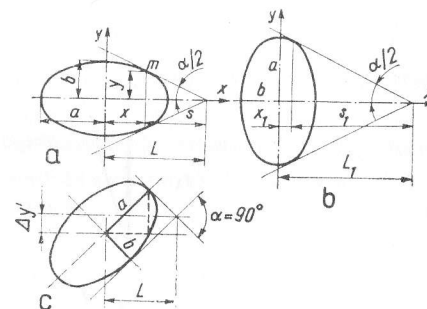


Fig. 18.23. Schemă pentru determinarea deplasării axei obiectelor de lucru eliptice așezate pe prisme avînd  $\alpha \leq \frac{\pi}{2}$

acesta este rotit în prismă. Valoarea maximă a deplasării pe verticală se obține pentru  $\alpha < \frac{\pi}{2}$ , iar pentru  $\alpha = \frac{\pi}{2}$  valoarea este minimă, în schimb deplasările pe orizontală variază invers. Notînd prin  $a$  și  $b$  semiaxe elipsei, se pot determina analitic distanțele  $L$  și  $L_1$  de la axa semifabricatului pînă la vîrfurile unghiului prisme, pentru pozițiile extreme din fig. 18.23,  $a$  și  $b$ .

Deplasarea axei semifabricatului în direcția axei  $x$  se produce în limitele:  $\Delta x = L - L_1$  în care:  $L = x + S$  avînd valorile determinate cu relațiile

$$x = \sqrt{\frac{a^4 \operatorname{tg}^2 \frac{\alpha}{2}}{b^2 + a^2 \operatorname{tg}^2 \frac{\alpha}{2}}} \quad (18.21)$$

și

$$S = \frac{b}{\operatorname{tg} \frac{\alpha}{2}} \sqrt{1 - \frac{a^2 \operatorname{tg}^2 \frac{\alpha}{2}}{b^2 + a^2 \operatorname{tg}^2 \frac{\alpha}{2}}} \quad (18.22)$$

ar lungimea  $L_1$  are expresia:  $L_1 = x_1 + S_1$  în care:

$$x_1 = \sqrt{\frac{b^4 \operatorname{tg}^2 \frac{\alpha}{2}}{a^2 + b^2 \operatorname{tg}^2 \frac{\alpha}{2}}} \quad (18.23)$$

și

$$S_1 = \frac{a}{\operatorname{tg} \frac{\alpha}{2}} \sqrt{1 - \frac{b^4 \operatorname{tg}^2 \frac{\alpha}{2}}{a^2 + b^2 \operatorname{tg}^2 \frac{\alpha}{2}}} \quad (18.24)$$

Analiza dependențelor obținute arată că pentru  $\alpha = \frac{\pi}{2}$   $L = L_1$ . Prin urmare în acest caz, axa semifabricatului ocupă una și aceeași poziție. Din fig. 18.23, c se poate determina deplasarea maximă a axei semifabricatului în direcția axei  $y$ :

$$\Delta y' = \frac{\sqrt{2}}{2} (a - b).$$

Deplasarea totală (în ambele sensuri) are valoarea:

$$\Delta y = 2 \Delta y' = \sqrt{2} (a - b).$$

Analog se află distanța  $L'$  cu relația:  $L' = \frac{\sqrt{2}}{2} (a + b)$ .

Deplasarea axei semifabricatului în direcția axei  $x$ , pentru  $\alpha = 90^\circ$  se produce în limitele:  $\Delta x = L - L'$ . Pentru cazul cînd  $\alpha < \frac{\pi}{2}$  (fig. 18.24, b),  $\Delta y = 2 \left( T \sin \frac{\alpha}{2} - \frac{b}{\cos \frac{\alpha}{2}} \right)$  în care

$$T = x + S + \frac{b}{\operatorname{tg} \alpha} + b \operatorname{tg} \frac{\alpha}{2}.$$

Mărimile  $x$  și  $S$  se calculează din relația (18.21), respectiv (18.22). Pentru  $\alpha > \frac{\pi}{2}$  valoarea  $\Delta y$  se află din relația:

$$\Delta y = 2 \left[ x + S - b \operatorname{tg} \left( \alpha - \frac{\pi}{2} \right) - b \operatorname{tg} \left( \frac{\pi}{2} - \frac{\alpha}{2} \right) \cos \left( \frac{\pi}{2} - \frac{\alpha}{2} \right) \right].$$

La fixarea semifabricatelor pe prisme au loc deformații de contact care provoacă deplasarea axei semifabricatului. Pe baza cercetărilor experimentale [2], mărimea deplasării semifabricatului în  $\mu\text{m}$ , în planul de simetrie al prisme cu un unghi  $\alpha = \frac{\pi}{2}$ , se poate determina cu formula:

$$y = \left( 0,086 + \frac{15}{\text{HB}} + 0,005 R_z + \frac{8,4}{D} \right) q^{0,7}$$

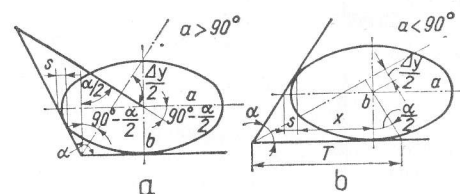


Fig. 18.24. Schemă pentru determinarea deplasării axei obiectelor de lucru eliptice așezate pe prisme

în care:  $D$  este diametrul semifabricatului, mm;  $q$  — efortul de strângere pe unitatea de lungime a generatoarei de contact, daN/mm;  $R_z$  — rugozitatea suprafeței semifabricatului,  $\mu\text{m}$ ; HB — duritatea Brinell a materialului semifabricatului.

Dependența poate fi folosită pentru determinarea erorilor de fixare.



Bucșele de sprijin (fig. 18.25), se utilizează pentru așezarea semifabricatelor pe suprafețele lor cilindrice exterioare, în cazul în care diametrul suprafeței de bază a semifabricatului este executat într-o precizie de cel puțin 5–6. Jocul radial determină posibilitatea deplasării axei semifabricatului față de poziția inițială. Deplasarea radială maximă este

$$y_{max} = \frac{T_{Ds}}{2} + \frac{T_{DB}}{2} + J_{rmin} [\mu m]$$

unde  $T_{Ds}$ ,  $T_{DB}$  sînt toleranțele la diametru ale semifabricatului, respectiv ale bucșei de sprijin,  $\mu m$ , iar  $J_{rmin}$  este jocul radial minim garantat pentru introducerea semifabricatului în bucșe.

Deplasarea radială minimă este:  $y_{min} = J_{rmin}$ .

Abaterea de bazare la executarea dimensiunii  $A$  (fig. 18.25) este:  $\epsilon_{b(A)} = \frac{T_{Ds}}{2}$ , în cazul presării semifabricatelor într-o singură direcție. Abaterile de orientare sînt determinate de jocul  $J_{rmin}$  și eroarea de execuție a bucșei  $T_{DB}$  și se exprimă prin relația  $\epsilon_0 = T_{Ds} + 2 J_{rmin}$  în cazul în care deplasarea este posibilă în diferite direcții. Această deplasare poate fi atenuată, devenind practic neglijabilă, atunci cînd introducerea semifabricatului în bucșe se realizează cu un ajustaj cu stringere. În acest caz, bucșa realizează o orientare cu axă de simetrie, iar bazele de orientare aparținînd semifabricatului și bucșei coincid.

Mandrinele, sînt mecanisme pentru orientarea semifabricatului cu așezare pe suprafața cilindrică exterioară a acestora. În anumite cazuri ele pot realiza și așezarea semifabricatelor pe suprafețe exterioare și interioare de alte forme. În scopul orientării semifabricatelor, suprafețele active ale mandrinelor vin în contact cu semifabricatul printr-o deplasare sau deformare a anumitor elemente ale acestuia, în care caz mandrinele pot fi deplasabile respectiv deformabile. Mandrinele realizează prinderea semifabricatelor, orientarea și fixarea acestora realizîndu-se prin aceeași mișcare.

a. Mandrine cu elemente deplasabile. Elementele deplasabile ale acestor mandrine pot fi acționate individual, în care caz nu realizează o mișcare sincronă și mandrina deplasabilă este fără autocentrare. În cazul în care elementele deplasabile sînt acționate simultan și au o mișcare radială sincronă, mandrinele sînt cu autocentrare, realizînd o orientare cu axă de simetrie.

În funcție de numărul elementelor deplasabile ale mandrinei, aceasta poate fi cu 2, cu 3, cu 4 sau cu un număr mai mare de elemente deplasabile. În cazul în care mandrina are două elemente deplasabile, aceste elemente sînt niște prisme de sprijin cu planele de simetrie confundate, asemănătoare cu cele ale menghinei din fig. 18.26. Pentru celelalte tipuri de mandrine, elementele deplasabile sînt bacurile și falcile.

Mecanismele mandrinelor care realizează autocentrarea acestora pot fi cu pană, cu șurub stînga-dreapta, cu disc filetat plan (spiral), cu pîrghii, came etc. În tabelul 18.11 sînt indicate principalele dimensiuni ale mandrinelor fără autocentrare, iar în tabelele 18.12 și 18.13, — dimensiunile principale ale mandrinelor autocentrate cu pîrghii, respectiv cu pană.

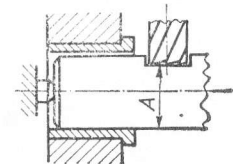


Fig. 18.25. Așezarea piesei de prelucrat în bucșă de sprijin

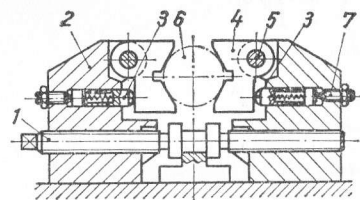


Fig. 18.26. Menghină autocentrantă cu două fălci prismatice:

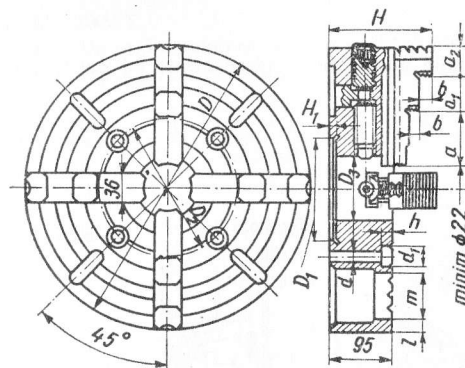
1 — șurub stînga-dreapta; 2 — corpul dispozitivului; 3 — plunjer de presiune; 4 — falcă prismatică; 5 — bolt; 6 — obiect de lucru

bile, aceste elemente sînt niște prisme de sprijin cu planele de simetrie confundate, asemănătoare cu cele ale menghinei din fig. 18.26. Pentru celelalte tipuri de mandrine, elementele deplasabile sînt bacurile și falcile.

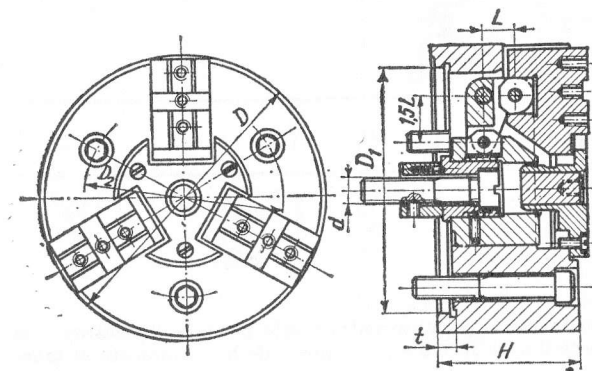
Mecanismele mandrinelor care realizează autocentrarea acestora pot fi cu pană, cu șurub stînga-dreapta, cu disc filetat plan (spiral), cu pîrghii, came etc. În tabelul 18.11 sînt indicate principalele dimensiuni ale mandrinelor fără autocentrare, iar în tabelele 18.12 și 18.13, — dimensiunile principale ale mandrinelor autocentrate cu pîrghii, respectiv cu pană.

Tabelul 18.11

Dimensiunile mandrinelor fără autocentrare, mm



D	D <sub>1</sub>	D <sub>2</sub>	D <sub>3</sub>	H	H <sub>1</sub>	d	d <sub>1</sub>	h	m	l	b	a	a <sub>1</sub>	a <sub>2</sub>
300	160	130	75	135	6	13	20	13	42	15	15	34	34	27
400	200	165	90	145	8	17	25	17	60	19	18	42	42	36



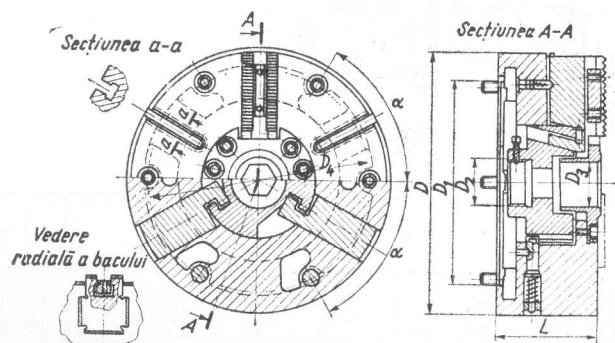
Tabelul 18.12

Dimensiunile mandrinelor autocentrante cu pîrghii, mm

D	D <sub>1</sub>	D <sub>2</sub>	H	d	t	Cursa maximă a falcii
150	130	100	90	M16	10	10
200	180	140	100	M18	12	12
250	230	170	110	M22	15	14
300	280	200	120	M24	15	16
350	320	220	140	M27	15	18

Tabelul 18.13

Dimensiunile mandrinelor autocentrate cu pană, mm



D	D <sub>1</sub>	D <sub>2</sub>	D <sub>3</sub>	D <sub>4</sub>	L	α
200	140	M36	32	175	95	120°
275	195	M45	40	215	115	60°
350	270	M64	62	295	295	60°

La așezarea semifabricatelor în mandrine autocentrate este posibilă deplasarea axei semifabricatelor ca urmare a abaterilor de formă ale suprafeței de bază, indicate în tabelul 18.14.

La fixarea în mandrine a semifabricatelor nerigide de tipul inelelor, apar deformări ale acestora care provoacă abateri de formă (tabelul 18.15). Dacă se utilizează fălci late, deformările inelelor se reduc considerabil. În scopul micșorării deformărilor, raza semifabricatului  $R_1$  trebuie să fie egală cu raza suprafeței fălcilor  $R_2$ .

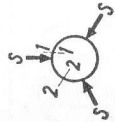
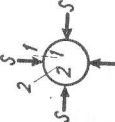
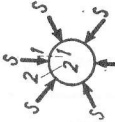
b. Mandrine cu elemente deformabile. Elementele deformabile ale mandrinelor realizează prinderea produselor datorită simultaneității orientării și fixării acestora, prin deplasarea suprafețelor active ale elementelor, datorită deformării acestora. La aceleași forțe de acționare, forțele de strângere obținute la aceste mandrine sînt mai mici, deoarece o parte a lucrului mecanic se consumă pentru deformarea elementului elastic

Tabelul 18.14

Deplasările axelor semifabricatelor datorită abaterilor de formă ale suprafețelor de bază

Tipul mandrinei	Tipul abaterii de formă a obiectului de prelucrat	Schema de prindere	Deplasarea axei obiectului de prelucrat	Observații
Cu trei fălci late	Eliptică datorită matrițării incomplete		$x = 0,167\Delta$ ; $y = 0,288\Delta$	$\Delta$ este mărimea matrițării incomplete
Cu trei fălci înguste	Eliptică		$x = \frac{a(a^2 - b^2)}{3b^2 - a^2}$ ; $y = \frac{b(a^2 - b^2)}{3b^2 - a^2}$	$a$ —axa mare a secțiunii eliptice; $b$ —axa mică a secțiunii eliptice
Cu trei fălci late	Deplasarea semisecțiunilor de la matrițare		Mărimea maximă a deplasării pentru diferite unghiuri de rotire a obiectului de prelucrat $x = \frac{\Delta}{2}$	$\Delta$ —deplasarea relativă a matrițelor
Cu două fălci prismatice	Eliptic		Idem $0,01 = \frac{\Delta}{2}$	$\Delta$ —mărimea matrițării incomplete

Valorile concavităților și convexităților maxime și abaterile de formă respective la utilizarea unor mandrine cu falci obișnuite (înguste)

Condițiile de fixare	Concavitatea maximă ( $\delta_{-1}$ ), convexitatea maximă ( $\delta_{+1}$ ) și abaterile de formă ( $\Delta\phi$ ) ale obiectului de prelucrat cm	Schema de prindere		
				
$S = \text{const}$	$\delta_{1-1}$	0,016 C	0,006 C	0,0017 C
	$\delta_{2-2}$	-0,014 C	-0,005 C	-0,0016 C
	$\Delta\phi = 2( \delta_{1-1}  +  \delta_{2-2} )$	0,06 C	0,023 C	0,006 C
$M_{fr} = \text{const}$	$\delta_{1-1}$	0,011 C	0,003 C	0,0006 C
	$\delta_{2-2}$	-0,0009 C	-0,0003 C	-0,0005 C
	$\Delta\phi = 2( \delta_{1-1}  +  \delta_{2-2} )$	0,04 C	0,011 C	0,0022 C

**Observație.** Pentru calcul se ia  $C = \frac{SR^3}{EI}$  [cm], în care  $S$  este forța de strângere dezvoltată de o falcă a mandrinei, daN,  $R$  — raza fibrei medii a semifabricatului înelar, cm,  $E$  — modulul de elasticitate longitudinal al materialului semifabricatului, daN/cm<sup>2</sup>,  $I$  — momentul de inerție al secțiunii semifabricatului înelar față de fibra medie, cm<sup>4</sup>. Indicii 1-1, respectiv 2-2 ai deformației  $\delta$  reprezintă secțiunile în care este considerată deformația.

(fig. 18.27). Mandrinele de acest tip se clasifică în funcție de natura elementului elastic la fel ca și dornurile deformabile. Deosebirea între elementele elastice folosite la mandrine și a celor folosite la dornuri constă în aceea că primele au suprafața activă interioară, iar celelalte exterioară.

**Elemente și mecanisme de orientare a obiectelor de lucru după suprafața lor cilindrică interioară.** Orientarea obiectelor de lucru după suprafețele lor cilindrice interioare poate

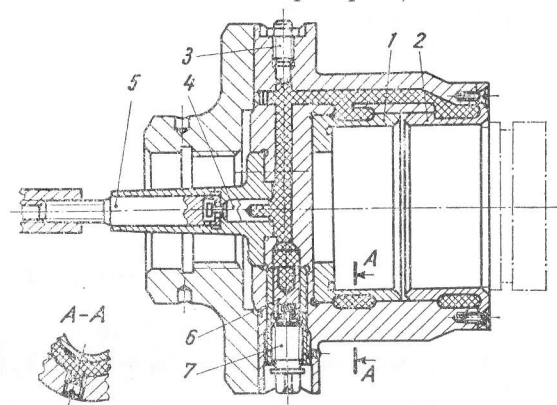


Fig. 18.27. Mandrină cu bucsă elastică cu pereți subțiri, cu hidroplast:

1 și 2 — bucsă elastică; 3 — șurub; 4 — piston pentru acționare mecanizată; 5 — tijă; 6 — piston pentru acționare manuală; 7 — șurub de acționare

fi realizată pe una, două sau mai multe suprafețe. În cazul în care suprafețele interioare de orientare sînt mai multe, acestea pot avea axele paralele, în coincidere sau distincte.

Elementele și mecanismele de orientare a semifabricatelor după suprafețele lor cilindrice interioare, depind de numărul suprafețelor și de poziția relativă a acestora și sînt: dornurile și bolțurile.

**Dornurile rigide**, sînt elemente de orientare pentru așezarea obiectelor de lucru pe suprafețele lor interioare, realizînd o orientare cu axă de simetrie.

Abaterile de orientare în cazul așezării pe dornuri a semifabricatelor în cazul existenței jocului radial minim necesar  $J_{r \min}$ , pentru introducerea semifabricatului, au valoarea

$$\epsilon_0 = \frac{J_{r \min}}{2} + \frac{T'_d}{2}, \text{ dacă deplasarea este posibilă într-o singură direcție, și valoarea}$$

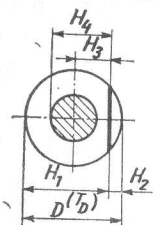
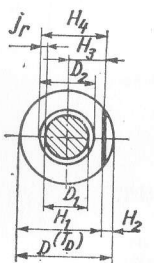
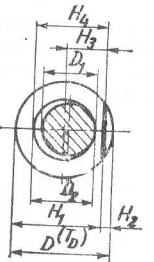
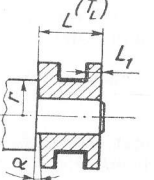
$$\epsilon_0 = 2J_{r \min} + T'_d, \text{ dacă deplasarea este posibilă după mai multe direcții, în care } T'_d \text{ reprezintă toleranța la diametrul } d \text{ al suprafeței de așezare a dornului. Abaterile de bazare la așezarea pe dornuri cu joc este determinată de variația diametrului suprafeței interioare}$$

$$\text{de bazare } T_d \text{ și are valoarea } \epsilon_b = \frac{T_d}{2} \text{ sau } \epsilon'_b = T_d, \text{ după cum deplasarea radială a}$$

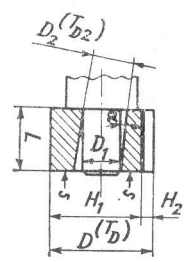
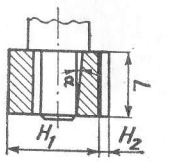
semifabricatului este posibilă într-un singur sens, respectiv în două.

Abaterile de orientare și bazare cumulate, la care s-au mai adăugat erorile datorate așezării excentrice a dornului față de axa dispozitivului sau mașinii-unealte, de mări-mi, sînt prezentate în tabelul 18.16. În cazul preluării jocului radial, prin asigurarea

Tabelul 18.16  
Abaterile de orientare și bazare

Schema de instalare	Cota	Abaterile de bazare și orientare
	$H_1$	$\varepsilon_{b(H1)} = \frac{T_D}{2} + 2e$
	$H_2$	$\varepsilon_{b(H2)} = \frac{T_D}{2} + 2e$
	$H_3$	$\varepsilon_{b(H3)} = 2e$
	$H_4$	$\varepsilon_{b(H4)} = 0$
	$H_1$	$\varepsilon_{b(H1)} = \frac{T_D}{2} + 2e + T_{D1} + T_{D2} + 2j_r$
	$H_2$	$\varepsilon_{b(H2)} = \frac{T_D}{2} + 2e + T_{D1} + T_{D2} + 2j_r$
	$H_3$	$\varepsilon_{b(H3)} = 2e + T_{D1} + T_{D2} + 2j_r$
	$H_4$	$\varepsilon_{b(H4)} = T_{D1} + T_{D2} + 2j_r$
	$H_1$	$\varepsilon_{b(H1)} = \frac{T_D}{2} + 2e + \frac{T_{D2}}{2}$
	$H_2$	$\varepsilon_{b(H2)} = \frac{T_D}{2} + 2e + \frac{T_{D2}}{2}$
	$H_3$	$\varepsilon_{b(H3)} = \frac{T_{D1}}{2} + \frac{T_{D2}}{2} + 2e$
	$H_4$	$\varepsilon_{b(H4)} = \frac{T_{D1}}{2} + \frac{T_{D2}}{2}$
	$L_1$	$\varepsilon_{b(L1)} = T_L + 2r \operatorname{tg} \alpha$

Tabelul 18.16 (continuare)

Schema de instalare	Cota	Abaterile de bazare și orientare
	$H_1$	$\varepsilon_{b(H1)} = \frac{T_D}{2} + 2e + T_{D1} + T_{D2} + 2j_r - 2L \operatorname{tg} \alpha$
	$H_2$	$\varepsilon_{b(H2)} = \frac{T_D}{2} + 2e + T_{D1} + T_{D2} + 2j_r - 2L \operatorname{tg} \alpha$
	$H_1$	$\varepsilon_{b(H1)} = \frac{T_D}{2} + 2e + \frac{T_{D2}}{2} + L \operatorname{tg} \alpha$
	$H_2$	$\varepsilon_{b(H2)} = \frac{T_D}{2} + 2e + \frac{T_{D2}}{2} + L \operatorname{tg} \alpha$

unui ajustaj cu strângere, abaterile anterior amintite se anulează cu excepția excentricității dornului ( $2e$ ). Așezarea semifabricatelor pe dornuri rigide (fig. 18.28 și 18.29) permite preluarea jocurilor prin interpunerea unui element elastic 8, care se deformează uniform în direcție radială, sub acțiunea forțelor axiale transmise de la arcul 4, prin pana

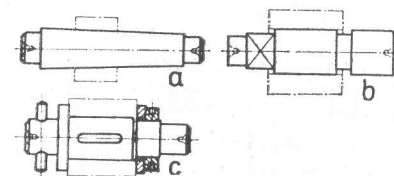


Fig. 18.28. Dornuri rigide:

a - conice; b - cilindrice; c - cilindrice cu pană de antrenare

2 și tija 6. Dispozitivul realizează și așezarea pe suprafața cilindrică interioară de dimensiune mai mare ( $D$ ) prin intermediul plunjerelor 5 și a penei 2.

Dornurile cu elemente deplasabile radial realizează preluarea jocului radial minim necesar așezării semifabricatelor, eliminând abaterile de orientare și de bazare. În funcție de elementele care realizează deplasarea radială, dornurile deplasabile pot fi cu bile, cu role, cu plunjere sau cu alte elemente (fig. 18.30 și 18.31).

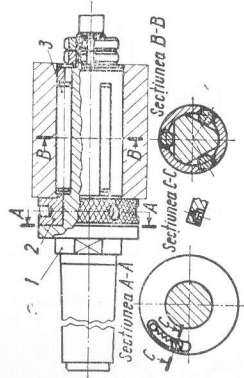


Fig. 18.30. Dorn deplasabil cu role:  
1 — rola; 2 — bușă; 3 — rola

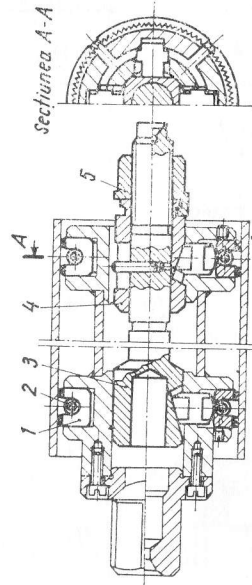


Fig. 18.31. Dorn deplasabil cu plunjer:

1 — plunjer; 2 — arc circular; 3 și 4 — pene; 5 — șurub de strângere

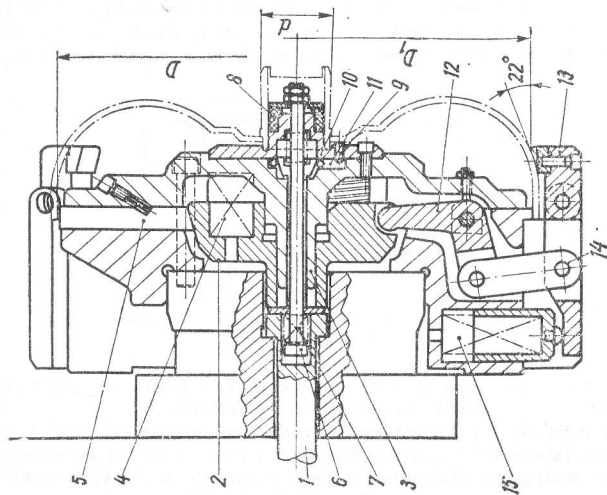


Fig. 18.29. Dispozitiv cu dorn extensibil cu fixare complexă a obiectului de lucru după suprafețele interioare și exterioare ale acestuia:

1 — tijă de acționare; 2 — capac; 3 — cap; 4 — arc de acționare; 5 — plunjer de fixare; 6 — pene; 7 — bușă; 8 — obiect de lucru; 9 — știft; 10 — bușă; 11 — obiect de lucru; 12 — pene; 13 — element elastic; 14 — șurub de strângere

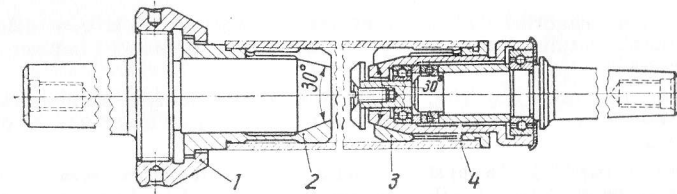


Fig. 18.32. Dornuri extensibile cu bușă elastică secționată:  
1 — piuliță de strângere; 2 — bușă elastică secționată; 3 — dorn conic; 4 — obiect de lucru

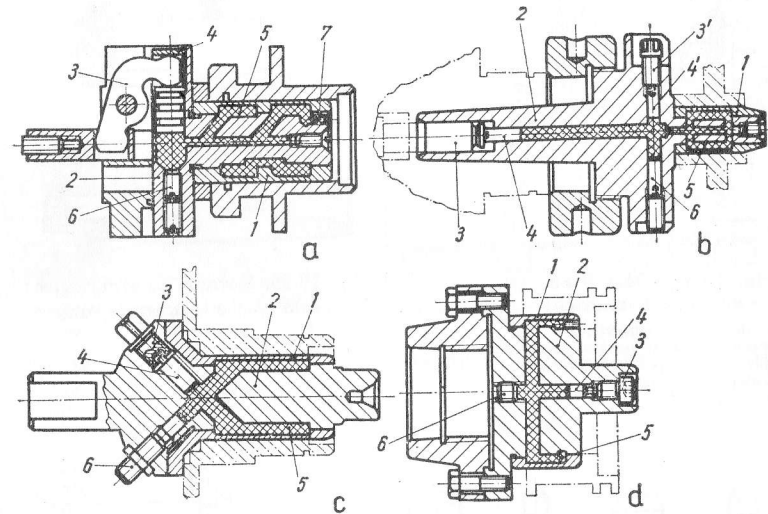


Fig. 18.33. Dornuri extensibile cu bușă elastică cu pereți subțiri:

a — acționat pneumatic; b — acționat mecanizat sau manual; c și d — acționate manual cu șurub; 1 — bușă elastică; 2 — corpul dornului; 3 — sistem de transmitere și acționare; 4 — piston; 5 — hidroplast; 6 — șurub de reglare; 7 — evacuator aer

Dornurile cu elemente elastice, realizează așezarea semifabricatelor pe suprafețele lor cilindrice interioare, asigurând orientarea cu axă de simetrie, prin preluarea jocului radial datorită elementelor elastice.

Dornurile cu elemente elastice deformabile se clasifică în funcție de natura elementului elastic.

a. Dornuri cu bușă elastică secționată (fig. 18.32). Deformarea elastică a elementelor secționate 2 ale bușei se produce sub acțiunea forțelor axiale și a penei, determinate de mecanismul șurub-piuliță 1. Semifabricatul fiind de lungime mare, este așezat pe dornuri la ambele capete.

b. Dornuri cu bușă elastică cu pereți subțiri (fig. 18.33). La aceste dornuri transmiterea forțelor pentru deformarea pereților bușelor se realizează, în general, prin intermediul hidroplastului.



c. Dornuri și mandrine cu membrană elastică (fig. 18.34) la care deformarea și prinderea semifabricatului se realizează prin deformarea membranei 1 sub acțiunea forței axiale transmise de tija 3.

d. Dornuri cu arcuri disc (fig. 18.35). Realizează prinderea semifabricatului prin deformarea seturilor de arcuri 1 sub acțiunea forțelor axiale amplificate de mecanismul șurub-piuliță 2.

Bolțurile de sprijin (fig. 18.36) sînt elemente normalizate pentru așezarea semifabricatelor în general, pe două alezaje cilindrice avînd axele paralele. În acest caz (fig. 18.37)

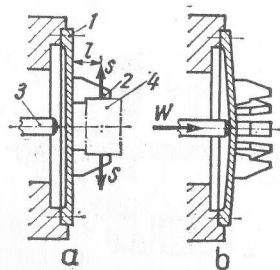


Fig. 18.34. Mandrină cu membrană elastică:

a - în timpul prinderii; b - membrana deformată pentru așezarea obiectului de prelucrat; 1 - membrană; 2 - fâlc; 3 - tijă de acționare; 4 - obiect de lucru

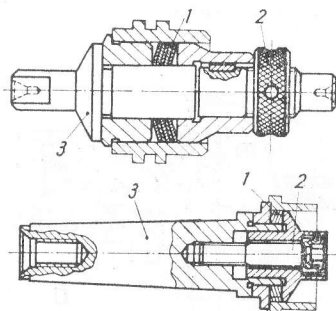


Fig. 18.35. Dornuri cu arcuri disc:  
1 - arcuri disc; 2 - sistem de stringere;  
3 - corp

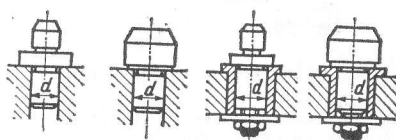


Fig. 18.36. Bolțuri de sprijin

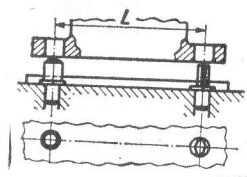


Fig. 18.37. Așezarea obiectului de lucru pe bolțuri

așezarea este cu orientare după un plan de simetrie, determinat de cele două axe paralele ale bolțurilor de sprijin.

Pentru introducerea semifabricatelor pe bolțuri, unul dintre bolțuri se teșește (fig. 18.38). Lățimea  $b$  a părții neteșite a bolțului se determină cu relația

$$b = \frac{D_2 j_2}{T_{LP} + T_{LD} - j_1}$$

în care:  $D_2$  este diametrul alezajului corespunzător bolțului teșit;  $j_1$  și  $j_2$  - jocurile maxime între bolțuri și alezajul semifabricatelor, corespunzător celor două alezaje; iar  $T_{LP}$  și  $T_{LD}$  - toleranța distanței între axa  $L$ , pentru produs, respectiv pentru bolțuri.

Jocurile existente între alezajele pieselor și bolțuri pot provoca abateri de orientare, determinate de orientarea planului real de simetrie al obiectului de prelucrat față de planul

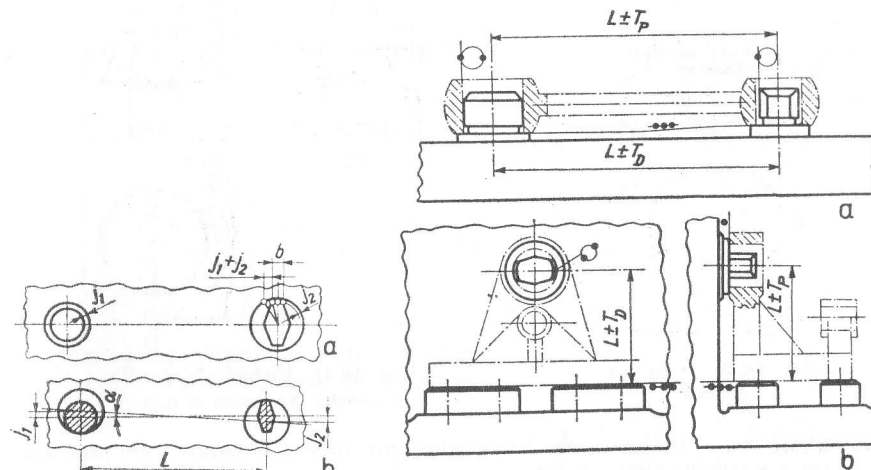


Fig. 18.38. Bolțuri teșite:  
a - schemă pentru determinarea lățimii  
b a bolțului teșit; b - schema rotirii și  
deplasării obiectului de lucru

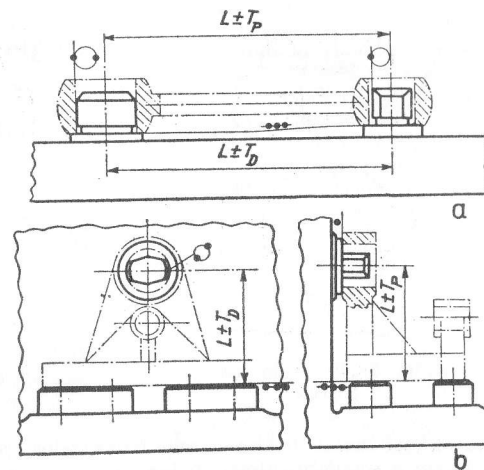


Fig. 18.39. Exemple de așezare a obiectelor de lucru pe bolțuri:

a - așezare și rezemare pe bolțuri; b - rezemare simplă pe bolțuri de așezare și rezemare de ghidare pe suprafețe plane

de simetrie de orientare al bolțurilor (fig. 12.38, b). Unghiul de rotație  $\alpha$  se poate determina cu relația aproximativă

$$\sin \alpha = \frac{j_1 + j_2}{L}$$

În fig. 18.39, a este reprezentată o schemă pentru așezarea pieselor pe două bolțuri, iar în fig. 18.39, b așezarea piesei se execută pe suprafața plană a acestuia, bolțul avînd rolul de elemente de rezem.

18.3.2.4. ELEMENTE ȘI MECANISME DE ORIENTARE A OBIECTELOR DE PRELUCRAT DUPĂ SUPRAFEȚELE LOR CONICE ȘI SFERICE. Orientarea obiectelor de prelucrat prin așezarea acestora pe suprafețele lor conice asigură o orientare cu axă de simetrie care preia piesei 5 grade de libertate. Rotația piesei în jurul axei de simetrie se elimină prin rezemarea în canale de pană, sau pe alte suprafețe ale piesei, sau prin intermediul forțelor de stringere.

Elementele de orientare caracteristice așezării pieselor pe suprafețele lor conice și sferice exterioare sînt conurile de sprijin (fig. 12.40), iar pentru așezarea pe suprafețe

conic

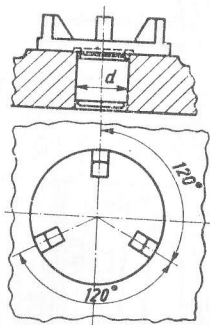


Fig. 18.40. Con de  
sprijin

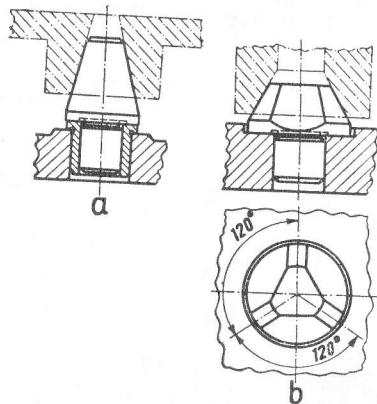

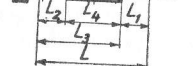


Fig. 18.41. Vîrfuri de sprijin:  
a — conice; b — conice cu degajări

a suprafeței conice de bază a semifabricatelor apar abateri de bazare, care provoacă o deplasare a semifabricatelor în lungul axei de simetrie.

Orientarea obiectelor de lucru prin așezarea lor pe două suprafețe conice interioare sau exterioare, cu axele confundate se realizează pe două virfuri respectiv pe două conuri. Abaterile de bazare, în acest caz, sînt indicate în tabelul 18.17. Acest sistem de orientare

*Tabelul 18.17*  
**Abateri de bazare**

Abateri de bazare			
Caracteristica orientării	Schema de instalare	Cota	Abaterea de bazare
Așezarea și rezemarea între virfuri		$L_1$ $L_2$ $L_3$ $L_4$	$e_{b(L_1)} = T_L + T_{dc}$ $e_{b(L_2)} = T_{dc}$ $e_{b(L_3)} = T_{dc}$ $e_{b(L_4)} = 0$
Așezarea între virfuri, rezemarea pe o suprafață frontală plană		$L_1$ $L_2$ $L_3$ $L_4$	$e_{b(L_1)} = T_L$ $e_{b(L_2)} = 0$ $e_{b(L_3)} = 0$ $e_{b(L_4)} = 0$

*Observație.*  $T_L$  reprezintă toleranțe la dimensiunea  $L$  iar  $T_{dc}$  — toleranța la diametrul găurii de centrare.

este des întâlnit la operația de strunjire a semifabricatelor lungi, în care caz elementele pentru păpușa fixă a strungului sînt fixe, iar cele pentru păpușa mobilă fixe sau rotative. Vîrfurile de sprijin rotative (fig. 18.42) realizează o precizie de centrare mai mică, datorită impreciziei elementelor suplimentare introduse ( $r_{\text{ulm}}(\text{menți})$ ), în schimb permit prelucrarea semifabricatelor așezate între vîrfuri la turații  $n_1$  dicate.

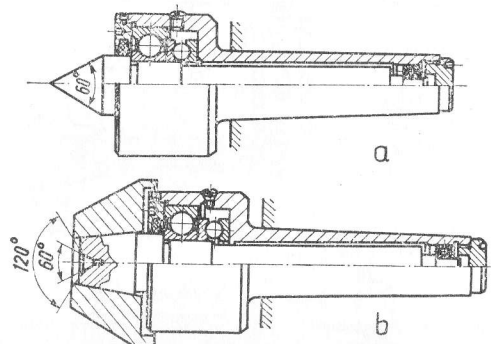


Fig. 18.42. Vîrfuri de centrare rotative:  
a — pentru găuri de centrare; b — pentru țevi

Pentru eliminarea abaterilor de bazare, datorate impreciziilor de prelucrare a găurilor de centrare a semifabricatelor, virful păpușii fixe poate fi construit deplasabil, astfel încât poziția axială a semifabricatului să fie determinată de suprafața frontală de rezemare a semifabricatului cu suprafața conjugată a bucejii în care este montat virful (fig. 18.43).

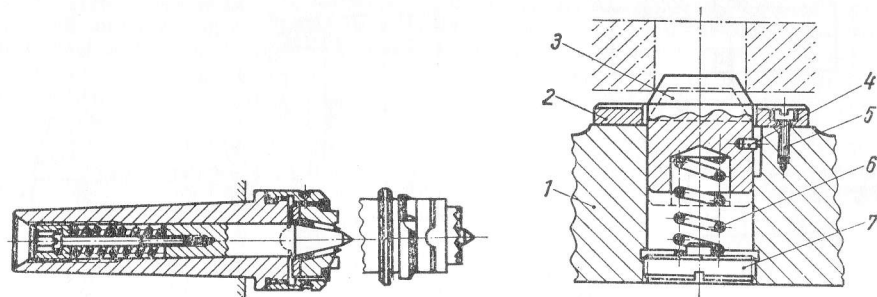


Fig. 18.43. Virf de centrare cu antrenare frontală

Fig. 18.44. Vîrf deplasabil axial:  
1 — placă de bază; 2 — placă de sprijin;  
3 — vîrf deplasabil; 4 — știft; 5 — șurub  
de fixare; 6 — arc; 7 — șurub de reglare

În cazul în care cele două vîrfuri sau conuri sînt incluse într-un mecanism de centrare, astfel încît mișcarea lor simultană să fie simetrică față de un plan, orientarea semifabricatului rezultă cu centru de simetrie; centrul de simetrie apare la intersecția axei de simetrie a vîrfurilor cu planul de simetrie al mecanismului de centrare.

Atît vîrfurile cît și conurile de sprijin pot lucra pe elementele semifabricatelor, care rezultă la intersecția suprafețelor plane și cilindrice ale acestuia, în care caz erorile de bazare sînt influențate și de abaterile de la poziția relativă a acestor suprafețe. În fig. 18.44 vîrfurile deplasabil lucrează pe muchia de intersecție a suprafeței cilindrice cu cea plană a semifabricatului, pentru rezemarea acestuia.

18.3.2.5. ELEMENTE ȘI MECANISME SUPLEMENTARE DE SPRIJIN. Elementele și mecanismele suplimentare de sprijin au rolul de a preîntîmpina deformarea pieselor mai puțin rigide, sub acțiunea forțelor de strîngere și de așchiere (fig. 18.45). Suprafețele active ale elementelor suplimentare, care realizează contactul cu semifabricatul,

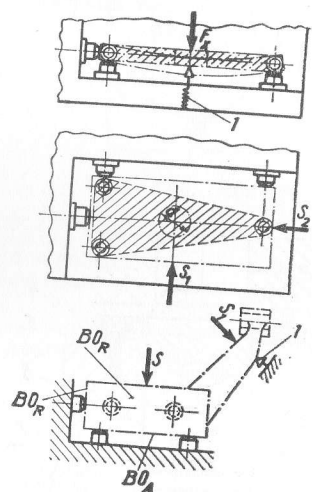


Fig. 18.45. Schemă de amplasare a elementelor suplimentare de sprijin

au o formă dictată de forma suprafeței semifabricatului și pot fi asemănătoare oricăror elemente de orientare cunoscute.

În funcție de modul de funcționare, mecanismele suplimentare de sprijin pot fi:

- Autoașezabile, la care contactul semifabricatului cu elementul suplimentar de sprijin se realizează sub acțiunea greutății proprii a semifabricatului sau sub acțiunea forței de strîngere (fig. 18.46, b).
- Cu așezare ulterioară, la care aducerea în contact a elementului suplimentar de sprijin cu semifabricatul se realizează prin acționarea suplimentară a anumitor elemente ale mecanismului suplimentar de sprijin, cum ar fi deplasarea orizontală a penei 1 (fig. 18.46, a).

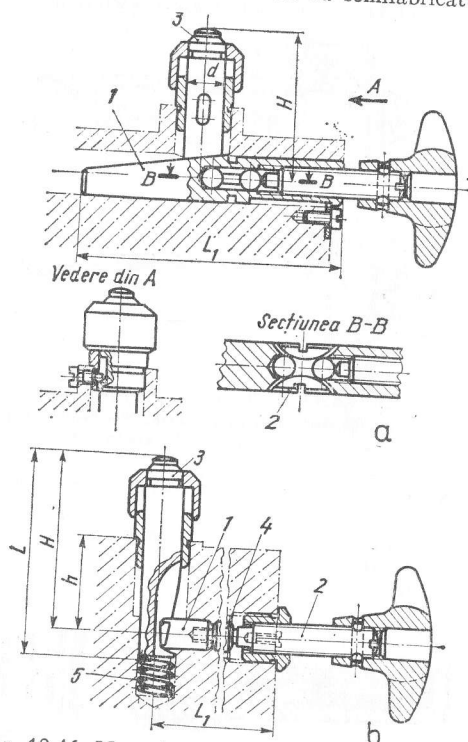


Fig. 18.46. Mecanisme suplimentare de sprijin:  
a — cu așezare ulterioară; b — cu autoașezare; 1 — pană cu autofrînare; 2 — sistem de blocare; 3 — element de sprijin; 4 — element de transmitere; 5 — arc

Mecanismele suplimentare de sprijin sînt prevăzute cu elemente de blocare. Mecanismul autoașezabil din fig. 18.46, b folosește pentru blocare autofrînarea pe suprafața activă a șurubului 2 ( $\alpha \leq \varphi_1 + \varphi_2$ ), iar mecanismul suplimentar de sprijin cu așezarea ulterioară, forțele de frecare ce apar la contactul penelor segment 2 cu corpul dispozitivului.

Pentru toate tipurile de mecanisme suplimentare de sprijin este necesar ca forța axială a elementului de sprijin suplimentar să nu modifice orientarea semifabricatului.

### 18.3.3. ELEMENTE ȘI MECANISME DE FIXARE

18.3.3.1. CONSIDERAȚII GENERALE. Elementele și mecanismele de fixare ale dispozitivelor de instalare pentru prelucrări mecanice au rolul de asigurare a menținerii orientării semifabricatelor, anulînd acțiunile forțelor de așchiere. Elementele de fixare vin în contact nemijlocit cu semifabricatul pe suprafețele de referință tehnologice de fixare ale acestuia, transmițînd semifabricatului forțele de strîngere, dezvoltate de veriga motoare a mecanismului de fixare.

Pentru realizarea forțelor necesare fixării produselor se folosesc diferite sisteme de acționare: manuală, mecanizată și automatizată.

Acționarea manuală a mecanismelor de fixare se execută prin forța de acționare pe care o poate dezvolta operatorul în condiții normale de muncă. Forța operatorului este exercitată asupra verigii motoare a mecanismului de fixare, care poate fi o manetă, pedală, pîrghie, roată de mină etc., provocînd rotația acesteia și în rare cazuri o mișcare de translație. Întrucît acționarea manuală exercită forțe și momente de acționare reduse, pentru obținerea unor forțe de strîngere de valori ridicate se folosesc elemente de amplificare, care trebuie să fie cu autofrînare, pentru menținerea valorilor forțelor de strîngere și după încetarea acțiunii forței de acționare, împiedicînd deplasarea semifabricatului în timpul prelucrării. Acționarea manuală se folosește în principal la dispozitivele pentru producția de serie mică și unicat, dar și la dispozitivele universale și specializate la care utilizarea altor tipuri de acționări nu este posibilă sau introducerea lor nu este justificată din punct de vedere economic.

Acționarea mecanizată poate fi pneumatică, hidrolică, electromecanică, electromagnetică și magnetică. Ea are avantajul unei acționări rapide realizînd forțe de acționare mari, în schimb este mai costisitoare. În fig. 18.47 este indicată o schemă bloc care poate să corespundă acționării pneumatice sau hidrolice.

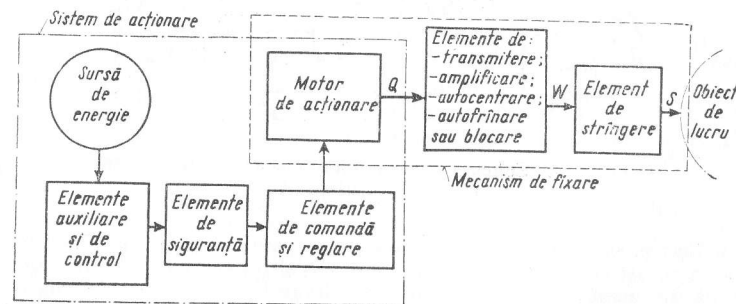


Fig. 18.47. Schema bloc a unui mecanism de fixare și a sistemului de acționare mecanizat:

Q — forță de acționare; W — forță transmisă; S — forță de strîngere

Aționarea automatizată folosește în vederea fixării particularitățile semifabricatelor și ale forțelor de așchiere sau forțele și momentele dezvoltate de acționările principale sau secundare ale mașinilor unelte (fig. 18.48).

18.3.3.2. DETERMINAREA FORTELOR DE ACȚIONARE. Deoarece toate ecuațiile de echilibru ale corpurilor ce alcătuiesc mecanismul de fixare a unui dispozitiv compus

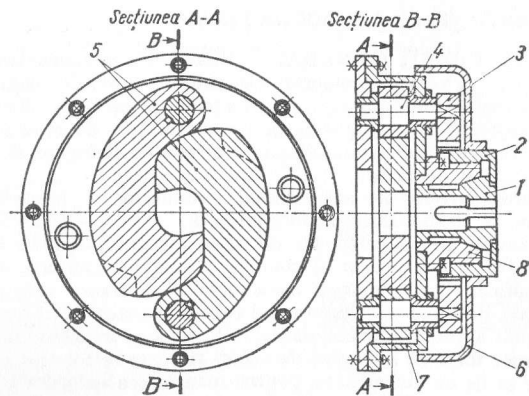


Fig. 18.48. Mandrină cu bucsă elastică acționată inertial de forțele centrifuge:

1 — bucsă elastică sectionată; 2 — piuliță de tragere cu dantură exterioră; 3 — sector dințat; 4 — arbore de transmitere; 5 — segmenti de acționare; 6 — capac de protecție; 7 — carcasă; 8 — bucsă tronconică

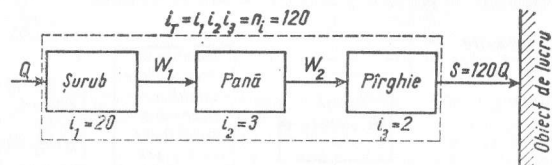


Fig. 18.49. Schema bloc a unui mecanism de fixare folosit la un dispozitiv

de exemplu din trei elemente de transmitere și amplificare a forțelor (fig. 18.49) sînt liniare și omogene în raport cu elementele mecanice motor și rezistent (forță sau cuplu), după ce se elimină din aceste ecuații reacțiunile din legături, rezultă întotdeauna o ecuație de formă  $S = i_T Q$  în care  $Q$  și  $S$  sînt forțele de acționare, respectiv de strîngere, iar  $i_T$  este raportul total de transmitere al forțelor, corespunzător mecanismului analizat.

Raportul total de transmitere al forțelor este egal cu produsul rapoartelor de transmitere al elementelor componente ale mecanismului:  $i_T = i_1 i_2 i_3 \dots i_n = \Pi i$ .

Este important de remarcat faptul că raportul  $i_T$  de transmitere al forțelor, pentru același mecanism și pentru aceeași poziție a sa, este variabil între două limite care corespund celor două sensuri posibile de mișcare a mecanismului: spre elementul de strîngere  $i_S$ , sau spre cel de acționare  $i_Q$ , adică:  $i_S \leq i \leq i_Q$ .

Pentru a crea o forță de strîngere  $S$ , forța de acționare  $Q$  trebuie să învingă și forțele de frecare, iar pentru menținerea echilibrului, atunci cînd forța  $S$  tinde să deplaseze elementele mecanismului spre cel de acționare, forța  $S$  trebuie să învingă forțele de frecare și în consecință:  $i_S < i_Q$ .

În absența frecării, aceste două valori sînt egale între ele, adică:  $i_S = i = i_Q$ .

Notînd cu  $\lambda$  inversul rapoartelor de transmitere al forțelor se poate scrie că:

$W_n = \frac{1}{i} S = \lambda S$ , unde  $W_n$  este forța care acționează asupra ultimului element al mecanismului de fixare.

În cazul în care forța  $S$  tinde să deplaseze mecanismul înspre forța de acționare  $Q$  (în sens invers sensului forței  $Q$ ), relația anterioară are forma  $W_n = \lambda_Q \cdot S$ .

Din relație rezultă că pentru  $\lambda_Q = 0$ , indiferent de valoarea forței  $S$ , mecanismul rămîne în echilibru pentru  $W_n = 0$ . Acest lucru reprezintă tocmai condiția de autofrînare a acestui element, exprimată prin inegalitatea:  $\lambda_Q \leq 0$ .

O observație importantă este aceea că  $\lambda_Q$  se obține din expresia coeficientului  $\lambda_S$  prin schimbarea semnului coeficientului de frecare, regulă generală care este folosită la calculul valorilor extreme ale raportului de transmitere al forțelor. Astfel, pentru a obține o forță de strîngere  $S$ , cu ajutorul unei pene cu o singură înclinare  $\alpha$  (fig. 18.50), forța necesară de acționare se determină cu expresia:

$$S = \frac{Q}{\operatorname{tg}(\alpha + \varphi) + \operatorname{tg} \varphi_1}.$$

În acest caz, deplasarea executîndu-se spre semifabricat, deci spre forța  $S$  (în sensul forței  $Q$ ), rezultă:  $\lambda_S = \operatorname{tg}(\alpha + \varphi) + \operatorname{tg} \varphi_1$  și  $\lambda_Q = \operatorname{tg}(\alpha - \varphi) - \operatorname{tg} \varphi_1$ .

Așadar, pentru a menține pana în echilibru sub acțiunea forțelor elastice  $S$  ce apar la contactul între acesta și semifabricat, este necesară o forță de acționare  $Q$  exprimată de relația:  $Q = \lambda_Q \cdot S$ .

Condiția de autofrînare a penei este exprimată de ecuația  $\lambda_Q = 0$  și este:  $\alpha \leq \varphi_1 + \varphi$ .

În cazul în care  $\alpha = \varphi_1 + \varphi$ , forța necesară desfacerii penei este nulă, adică  $Q_a = 0$ , iar pentru condiția  $\alpha < \varphi_1 + \varphi$  forța de desfaceră a penei este exprimată de relația:

$$Q_a = \frac{S}{\operatorname{tg}(\alpha - \varphi) - \operatorname{tg} \varphi_1}.$$

În lipsa frecărilor, pentru  $\varphi_1 = \varphi = 0$ , forța de strîngere are valoarea  $S = Q/\operatorname{tg} \alpha$ . Raportul  $1/\operatorname{tg} \alpha = i_{id}$  reprezintă raportul de transmitere ideal al forțelor, în lipsa frecărilor, în care caz se obține valoarea maximă  $S_{id}$  a forțelor de strîngere, denumită forță de strîngere ideală:  $S_{id} = i_{id} Q$ .

Inversul coeficientului  $i_{id}$  exprimă tocmai raportul de transmitere al deplasărilor (curselor)  $i_n$  după direcția vectorilor forțelor, adică  $i_n = 1/i_{id}$ .

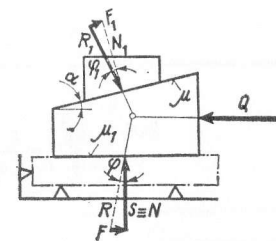


Fig. 18.50. Schema forțelor care acționează asupra unui element de fixare în formă de pană



Randamentul unui element component al mecanismului este exprimat de raportul  $\eta = \frac{S}{S_{td}} = \frac{i}{i_{td}} = i i_n$  iar randamentul întregului mecanism se determină cu relația:  $\eta_T = \eta_1 \eta_2 \dots \eta_n$ .

Cunoscându-se valorile forțelor sau momentelor necesare acționării, durata realizării acestora și randamentul mecanismului, pot fi determinate cu ușurință valorile puterii necesare acționării mecanismului de fixare.

**18.3.3.3. ELEMENTE DE TRANSMITERE ȘI AMPLIFICARE A FORȚELOR. MECANISMELE ELEMENTARE DE FIXARE A PIESELOR.** În scopul obținerii unor forțe de strângere superioare valoric celor de acționare, mecanismele de fixare ale dispozitivelor sint prevăzute cu elemente de amplificare și transmitere a forțelor de tipul penelor, pîrghiilor etc. Pentru obținerea unui mecanism de fixare cu autofrinare, cel puțin unul dintre elementele componente ale mecanismului de fixare trebuie să prezinte proprietăți de autofrinare.

Elementele de transmitere și amplificare a forțelor pot forma singure un mecanism de fixare, denumit din această cauză elementar, în special în cazul acționării manuale. În acest caz elementul trebuie să fie construit de așa natură încît să prezinte proprietăți de autofrinare în domeniul de lucru.

**Mecanisme de fixare cu pană.** Sint de construcție simplă și pot forma diferite combinații de mecanisme împreună cu plunjere și pîrghii. Pentru reducerea pierderilor prin frecare, pe suprafețele active și de reazem ale acestora, se pot introduce role, în care caz frecarea este de rostogolire, sau role articulate, în care caz frecarea este mixtă. Rapoartele de transmitere pentru diferite tipuri de mecanisme cu pană constituie în același timp și coeficienți de amplificare ai acestor mecanisme (tabelele 18.18 și 18.19).

Tabelul 18.18

Rapoarte de transmitere pentru diferite mecanisme cu pană

Schița	Raportul de transmitere
	$i = \frac{1}{\operatorname{tg}(\alpha_1 + \varphi_1) + \operatorname{tg}\varphi_2}$
	$i = \frac{1}{\operatorname{tg}(\alpha_1 + \varphi_{1e}) + \operatorname{tg}\varphi_2 \frac{d}{D}}$ unde $\varphi_{1e} = \arctg \mu_1 \frac{d}{D}$

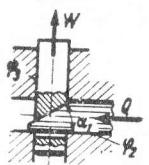
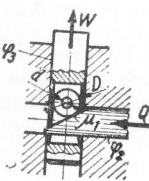
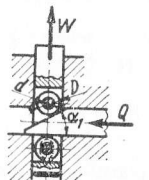
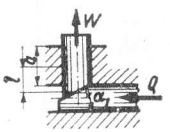
Tabelul 18.18 (continuare)

Schița	Raportul de transmitere
	$i = \frac{1}{\operatorname{tg}(\alpha_1 + \varphi_{1e}) + \operatorname{tg}\varphi_2}$
	$i = \frac{1}{\operatorname{tg}(\alpha_1 + \varphi_1)};$ $W_\Sigma = Qi \text{ iar } W = \frac{W_\Sigma}{2}$
	$i = \frac{1}{\operatorname{tg}(\alpha_1 + \varphi_{1e})}$
	$i = \frac{1}{\operatorname{tg}(\alpha_1 + \varphi_1) + \operatorname{tg}\varphi_2};$ $W_\Sigma = Qi; \quad W = \frac{W_\Sigma}{n},$ n fiind numărul penelor
	$i = \frac{1}{\operatorname{tg}(\alpha_1 + \varphi_1)}$

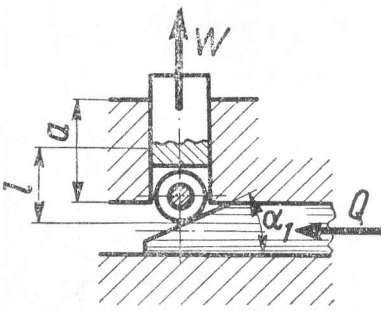
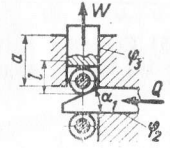
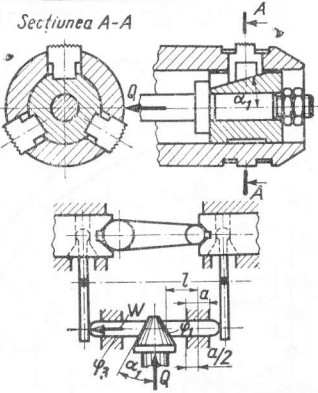
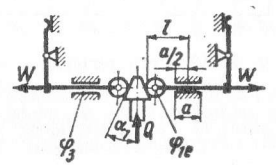


Tabelul 18.19

Raportul de transmitere pentru diferite mecanisme cu pană cu plunjeri

Schița	Raportul de transmitere
	$i = \frac{1 - \operatorname{tg}(\alpha_1 + \varphi_1) \operatorname{tg} \varphi_3}{\operatorname{tg}(\alpha_1 + \varphi_1) + \operatorname{tg} \varphi_3}$
	$i = \frac{1 - \operatorname{tg}(\alpha_1 + \varphi_{1e}) \operatorname{tg} \varphi_3}{\operatorname{tg}(\alpha_1 + \varphi_{1e}) + \operatorname{tg} \varphi_3},$ unde $\varphi_{1e} = \arctan \operatorname{tg} \mu_1 \frac{d}{D}$
	$i = \frac{1 - \operatorname{tg}(\alpha_1 + \varphi_{1e}) \operatorname{tg} \varphi_3}{\operatorname{tg}(\alpha_1 + \varphi_{1e}) + \operatorname{tg} \varphi_3 \frac{d}{D}}$
	$i = \frac{1 - \frac{3l}{a} \operatorname{tg}(\alpha_1 + \varphi_1) \operatorname{tg} \varphi_3}{\operatorname{tg}(\alpha_1 + \varphi_1) \operatorname{tg} \varphi_2}$

Tabelul 18.19 (continuare)

Schița	Raportul de transmitere
	$i = \frac{1 - \frac{3l}{a} \operatorname{tg}(\alpha_1 + \varphi_{1e}) \operatorname{tg} \varphi_3}{\operatorname{tg}(\alpha_1 + \varphi_{1e}) + \operatorname{tg} \varphi_2}$
	$i = \frac{1 - \frac{3l}{a} \operatorname{tg}(\alpha_1 + \varphi_{1e}) \operatorname{tg} \varphi_3}{\operatorname{tg}(\alpha_1 + \varphi_{1e}) + \operatorname{tg} \varphi_2 \frac{d}{D}}$
	$i = \frac{1 - \frac{3l}{a} \operatorname{tg}(\alpha_1 + \varphi_1) \operatorname{tg} \varphi_3}{\operatorname{tg}(\alpha_1 + \varphi_1)};$ $W_{\Sigma} = Qi; \quad W = \frac{W_{\Sigma}}{n},$ $n \text{ fiind numărul plunjerelor}$
	$i = \frac{1 - \frac{3l}{a} \operatorname{tg}(\alpha_1 + \varphi_{1e}) \operatorname{tg} \varphi_3}{\operatorname{tg}(\alpha_1 + \varphi_{1e})}$

Valorile rapoartelor de transmitere se pot lua direct din diagramele din fig. 18.51–18.55.

La transmiterea forțelor dezvoltate de pană prin plunjere, în cazul în care direcția plunjerului nu este normală pe direcția forței de acțiune  $Q$  (fig. 18.56), forțele dezvoltate de plunjer pot fi determinate cu relația

$$W = \frac{\sin(\alpha_2 - \varphi_1) - \cos(\alpha_2 - \varphi_1) \operatorname{tg} \varphi_3 Q}{\sin(\alpha_1 + \varphi_1) + \cos(\alpha_1 + \varphi_1) \operatorname{tg} \varphi_2}$$

pentru plunjere apăsate pe o singură parte a ghidajului și cu relația

$$W = \frac{\sin(\alpha_2 - \varphi_1) - \frac{3l}{a} \cos(\alpha_2 - \varphi_1) \operatorname{tg} \varphi_3}{\sin(\alpha_1 + \varphi_1) + \cos(\alpha_1 + \varphi_1) \operatorname{tg} \varphi_2} Q$$

pentru plunjere în consolă (solicitate de un moment de rotație) în care  $a$  este lungimea

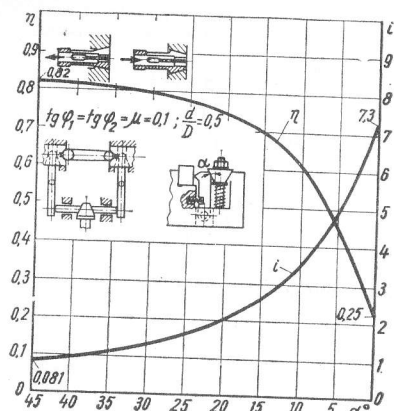


Fig. 18.52. Raportul de transmitere  $i$  al forțelor și randamentul  $\eta$  la elementele de fixare cu pană cu dublă înclinare

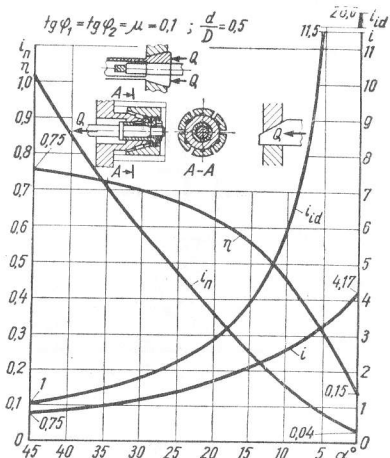


Fig. 18.51. Caracteristicile elementelor de fixare cu pană

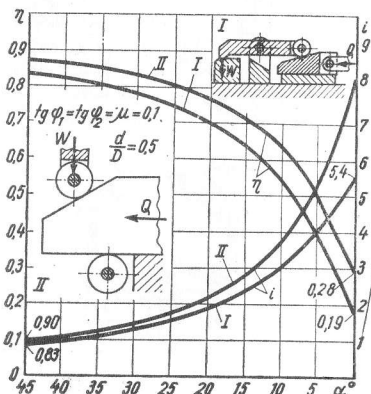


Fig. 18.53. Caracteristicile elementelor de fixare cu pană:

I – cu frecare mixtă pe suprafața activă a penei; II – cu frecare mixtă pe ambele suprafețe ale penei

de ghidare a plunjerului iar  $l$  – cota punctului de contact al rezultantei forțelor de contact plunjer-pană, față de mijlocul lungimii de ghidare.

**Mecanisme de fixare cu șurub** (tabelul 18.20). Sînt des utilizate la mecanismele de fixare ale dispozitivelor, datorită construcției simple și siguranței sporite în exploatare.

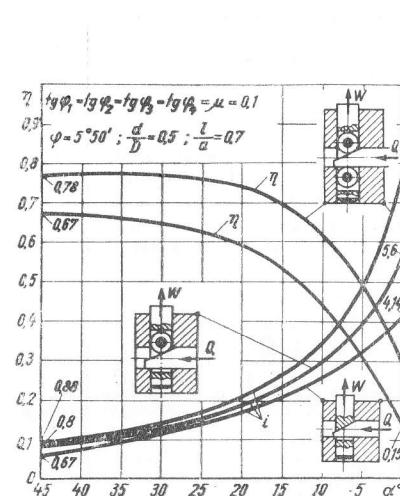


Fig. 18.54. Raportul de transmitere al forțelor  $i$  și randamentul  $\eta$  la mecanismele de fixare cu pană și plunjer

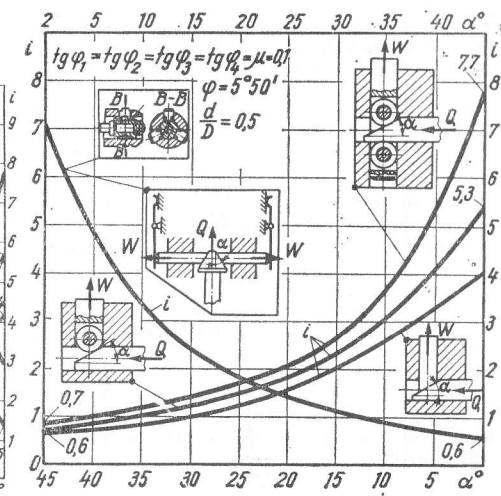


Fig. 18.55. Raportul de transmitere al forțelor  $i$  la mecanismele de fixare cu pană și plunjer

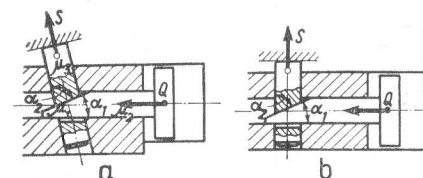


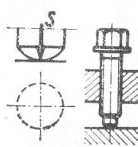
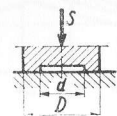
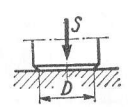
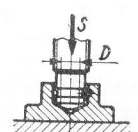
Fig. 18.56. Mecanismele de fixare cu pană și plunjer cu acționare mecanizată:

a)  $\alpha_1 + \alpha_2 > \frac{\pi}{2}$ ; b)  $\alpha_1 + \alpha_2 = \frac{\pi}{2}$

**Mecanisme de fixare cu pîrghii și pîrghii articulate.** Sînt folosite ca elemente de amplificare, avînd coeficienți de amplificare reduși. Nu pot forma singure mecanisme elementare de fixare, deoarece nu prezintă proprietăți de autofrînare.

Tabelul 18.20

## Determinarea forțelor de strângere la mecanismele cu șurub

Tipul	Schema mecanismului de fixare	Formule de calcul pentru determinarea forței de strângere $S$	$i$ , raportat la tipul I
I	Șurub cu cap sferic 	$S = \frac{QL}{r_m \operatorname{tg}(\alpha + \varphi)}$ $L$ — lungimea brațului de acționare a forței $Q$ la cheie (manetă); $r_m$ — raza medie a filetului; $\varphi$ — unghiul de frecare; $\alpha$ — unghiul de ridicare a filetului	1
II	Șurub cu cap plat inelar 	$S = \frac{QL}{r_m \operatorname{tg}(\alpha + \varphi) + \frac{1}{3} \mu \frac{D^3 - d^3}{D^2 - d^2}}$ $\mu$ — coeficient de frecare	0,52
III	Șurub cu cap plat 	$S = \frac{QL}{r_m \operatorname{tg}(\alpha + \varphi) + \frac{1}{3} \mu D}$	0,75
IV	Șurub cu cap sferic cu pastilă de presiune 	$S = \frac{QL}{r_m \operatorname{tg}(\alpha + \varphi) + \frac{1}{2} \mu D}$	0,70

Forțele dezvoltate de pîrghii (fig. 18.57), cu considerarea pierderilor prin frecare

în articulație, se pot exprima cu relațiile  $S = W \frac{a - \frac{a+b}{b} \mu r}{b}$  pentru fig. 18.57, a

și  $S = W \frac{a + b - \frac{a}{b} \mu r}{b}$  pentru fig. 18.57, b în care  $r$  este raza fusului articulației iar  $\mu$  — coeficient de frecare la alunecarea din articulație.

Relațiile anterioare pot fi scrise și sub forma  $S = W \frac{a}{b} \eta$  și  $S = W \frac{a+b}{b} \eta$ , în care randamentul poate fi considerat în limitele  $\eta = 0,97 \dots 0,985$ .

Pîrghiile articulate (fig. 18.58) pot realiza coeficienți de amplificare mai mari atunci cînd unghiul  $\alpha$  format de pîrghia de distanțare 2 are valori mici. Pentru cazul prezentat în figură, relația pentru determinarea forței  $V$  dezvoltate de pîrghia de distanțare este

$$V = W \frac{L}{l_1 \operatorname{tg}(\alpha + \beta)} \text{ în care } \beta = \arcsin \frac{\mu d}{L} = 1^\circ,$$

$d$  fiind diametrul bolțului articulației.

În tabelul 18.21 sînt indicate relațiile de calcul pentru diferite tipuri de mecanisme cu pîrghii articulate. Valorile rapoartelor de transmitere  $i$  și cursele  $s$  ale punctelor de

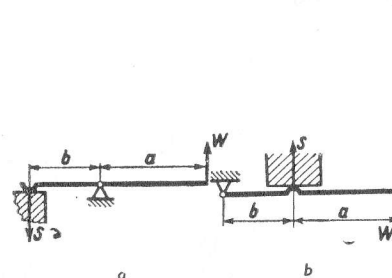


Fig. 18.57. Mecanisme de fixare de tipul pîrghiilor

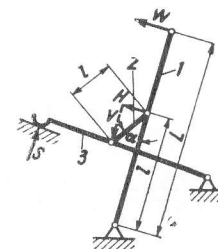


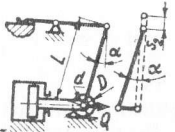
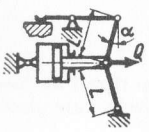
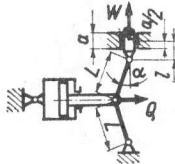
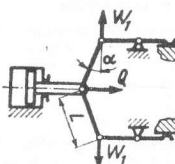
Fig. 18.58. Mecanisme de fixare cu pîrghii articulate:

1 — pîrghie de acționare;  
 2 — pîrghie de distanțare;  
 3 — pîrghie de strângere

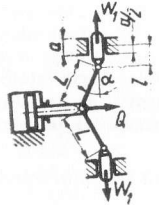

aplicație a forțelor  $W$  pot fi aflate din diagramele din fig. 18.59 ridicate pentru valorile coeficienților de frecare la alunecare:  $\operatorname{tg} \varphi_1 = \operatorname{tg} \varphi_2 = \operatorname{tg} \varphi_3 = \mu = 0,1$  și  $\beta = 1^\circ 10'$ ;  $d/L = 0,2$ ;  $d/D = 0,5$ ;  $l/a = 0,7$ .

Tabelul 18.21

Relații de calcul pentru mecanismele cu pîrghii articulate

Schița	Rapoartele de transmitere $i$ și cursele $s$
	$i = \frac{1}{\operatorname{tg}(\alpha + \beta) + \operatorname{tg} \varphi_2 \frac{d}{D}};$ $i_{id} = \frac{1}{\operatorname{tg} \alpha};$ $s_2 = L(1 - \cos \alpha)$
	$i = \frac{1}{2 \operatorname{tg}(\alpha + \beta)};$ $i_{id} = \frac{1}{2 \operatorname{tg} \alpha};$ $s_2 = 2L(1 - \cos \alpha)$
	$i = \frac{1}{2} \left[ \frac{1}{\operatorname{tg}(\alpha + \beta)} - \frac{3L}{a} \operatorname{tg} \varphi_3 \right];$ $i_{id} = \frac{1}{2 \operatorname{tg} \alpha}$
	$i = \frac{1}{\operatorname{tg}(\alpha + \beta)}; \quad i_{id} = \frac{1}{\operatorname{tg} \alpha};$

Tabelul 18.21 (continuare)

Schița	Rapoartele de transmitere $i$ și cursele $s$
	$W_{\Sigma} = Q_i; \quad W_1 = \frac{W_{\Sigma}}{2};$ $s_{2\Sigma} = 2L(1 - \cos \alpha);$ $s_2 = \frac{s_{2\Sigma}}{2}$
	$i = \left[ \frac{1}{\operatorname{tg}(\alpha + \beta)} - \frac{3l}{a} \operatorname{tg} \varphi_3 \right];$ $i_{id} = \frac{1}{\operatorname{tg} \alpha}; \quad W_{\Sigma} = Q_i; \quad W_1 = \frac{W_{\Sigma}}{2};$ $s_{2\Sigma} = 2L(1 - \cos \alpha); \quad s_2 = \frac{s_{2\Sigma}}{2}$

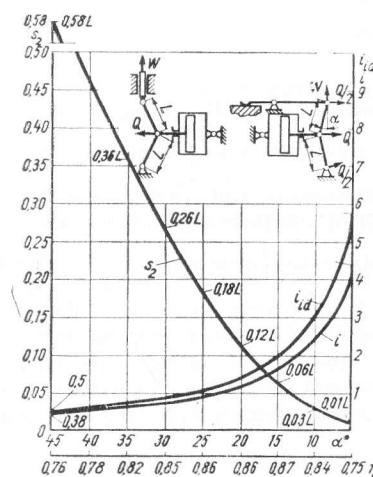
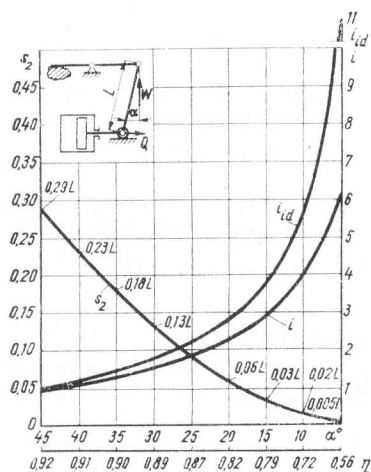


Fig. 18.59. Caracteristicile mecanismelor de fixare cu pîrghii articulate

**Mecanisme de fixare cu excentric.** Pot fi cu excentric circular sau curbiliniu. Excentricul circular are o utilizare mai mare datorită construcției sale simple (fig. 18.60) și are dezavantajul unor proprietăți de autofrinare variabile. Proprietățile de autofrinare ale excentricului circular sînt solicitate la limita maximă pentru o poziție a manetei determinată de unghiul de rotație al acestuia  $\beta$  față de direcția excentricității, de valoare:

$$\beta = \frac{\pi}{2} - \varphi, \text{ în care } \varphi \text{ este unghiul de}$$

frecare corespunzător contactului excentricului pe suprafața activă exterioară, determinată de raza  $r$ .

Condiția de autofrinare a excentricului circular, pe toată suprafața activă exterioară de contact, este exprimată prin relația  $e \leq \rho + \rho_1$ , în care  $e$  este excentricitatea, mm,  $\rho$  și  $\rho_1$  — razele cercurilor de frecare corespunzătoare suprafețelor cilindrice exterioare respectiv a fusului, determinate de relațiile  $\rho = r \sin \varphi$  și  $\rho_1 = r_1 \sin \varphi_1$ , în care  $r$  și  $r_1$  — razele suprafețelor cilindrice exterioare, respectiv a fusului excentricului, iar  $\varphi$  și  $\varphi_1$  — unghiurile de frecare corespunzătoare contactului pe suprafețele cilindrice determinate de razele  $r$  și  $r_1$ .

Fig. 18.60. Element de fixare cu excentric circular

La axe excentrice, la care stringerea se realizează cu ajutorul bolțului excentric de rază  $r_1$ , condițiile de autofrinare sînt exprimate de relația:

$$e \leq \rho - \rho_1.$$

Raportul de transmitere al forțelor (sau coeficientului de amplificarea) are valori variabile în funcție de unghiul de rotație al manetei, avînd valoarea minimă pentru  $\beta = \frac{\pi}{2} + \varphi$ . Pentru această poziție, rezultantele forțelor care lucrează asupra excentricului circular sînt paralele între ele iar forța de stringere  $S$  are o valoare minimă  $S_{min}$  pentru o forță de acțiune  $Q$  constantă. Forța minimă de stringere dezvoltată de excentricul circular (pentru  $\beta = \frac{\pi}{2} + \varphi$ ) se poate determina cu expresia  $S_{min} = Q \frac{L + \rho_1}{2e} \cos \varphi$  în care:  $L$  este brațul de acționare  $Q$ ;  $e$  — excentricitatea; ( $e = \rho + \rho_1$ );  $\varphi$  — unghiul de frecare la contactul excentricului cu semifabricatul.

În condițiile în care excentricul nu prezintă proprietăți de autofrinare pe întreaga suprafață activă, determinarea coeficientului minim de amplificarea, și prin acesta a forței minime de stringere, se face cu relația:

$$i_{min} = \frac{L + \rho_1}{e + \rho + \rho_1} \cos \varphi \text{ iar } S_{min} = Q i_{min}.$$

Forța necesară de acționare  $Q$  pentru realizarea unei forțe rezultante de stringere  $R$ , pentru orice poziție a excentricului poate fi determinată cu relația exactă

$$Q = \frac{R}{L^2 - \rho_1^2} [E + \sqrt{E^2 - (E_1^2 - \rho_1^2)(L^2 - \rho_1^2)}]$$

în care  $R = \frac{S}{\cos \varphi}$ ,  $E = LE_1 - \rho_1^2 \sin \gamma$  și  $E_1 = \rho + e \sin \gamma$ , unde  $\gamma = \beta - \varphi$ , sau cu

$$\text{relația aproximativă } S = \frac{QL}{e[1 + \sin(\beta + \varphi)]}.$$

#### 18.4. DETERMINAREA EFICIENȚEI ECONOMICE A UTILIZĂRII DISPOZITIVELOR

Reducerea consumurilor neproductive ale timpului de muncă, în scopul creșterii productivității muncii și a intensificării folosirii utilajului, impun sarcina proiectării și folosirii permanente a dispozitivelor.

În majoritatea cazurilor, în același scop, pot fi proiectate mai multe variante de dispozitive, sau, mai general, de echipament tehnologic, în care caz, alegerea variantei optime impune pe lîngă analiza tehnică, a variantelor și analiza economică a acestora.

Pentru ca un dispozitiv (sau, mai general, echipamentul tehnologic) să fie eficient din punct de vedere economic este necesar ca economiile realizate, ca o consecință sau efect al utilizării dispozitivului, să depășească valoric cheltuielile efectuate cu acesta într-o perioadă oarecare de timp, în general pe durata unui an, adică să se respecte inegalitatea:

$$EN \geq C \left[ \frac{\text{lei}}{\text{an}} \right] \quad (18.25)$$

în care:  $E$  este efectul economic al folosirii dispozitivului,  $\frac{\text{lei}}{\text{buc}}$ ; pentru o singură piesă;

$N$  — programul anual de producție,  $\frac{\text{buc}}{\text{an}}$ ;  $C$  — cheltuieli anuale pentru dispozitiv,  $\frac{\text{lei}}{\text{an}}$ .

În condițiile respectării inegalității (18.25), eficiența economică  $F$  a utilizării unui dispozitiv, exprimată prin economiile anuale rezultate, poate fi determinată din relația:

$$F = EN - C \left[ \frac{\text{lei}}{\text{an}} \right], \quad (18.26)$$

iar eficiența economică specifică, raportată la un singur produs prin relația:

$$\frac{F}{N} = E - \frac{C}{N} \text{ sau } f = E - c \left[ \frac{\text{lei}}{\text{an} \cdot \text{buc}} \right] \quad (18.27)$$

în care:  $f = \frac{F}{N}$  reprezintă eficiența economică specifică iar  $c = \frac{C}{N}$  reprezintă cheltuieli anuale specifice pentru dispozitive.



Funcția care reprezintă variația eficienței economice specifice poate fi obținută și grafic ca diferență a funcțiilor  $E$  și  $c$ , toate exprimate în funcție de programul anual de producție  $N$  (fig. 18.61). Din determinarea grafică a eficienței economice specifice

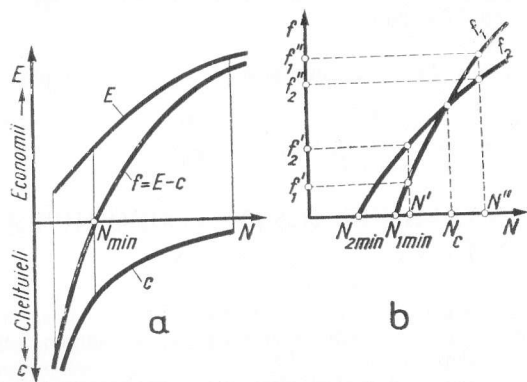


Fig. 18.61. Variația eficienței economice a utilizării unui dispozitiv:

a — determinarea grafică; b — variația eficienței economice a două variante de dispozitive

(fig. 18.61, a) rezultă că aceasta are valori pozitive pentru  $N > N_{min}$ , iar pentru  $N < N_{min}$ , eficiența economică este negativă, ceea ce denotă că varianta de dispozitiv analizată, în acest caz nu este rentabilă.

#### 18.4.1. DETERMINAREA PROGRAMULUI ANUAL DE PRODUCȚIE MINIM ȘI A CELUI CRITIC

Determinarea programului anual minim ( $N_{min}$ ), care delimitează eficiența economică pozitivă a unui dispozitiv, se poate deduce din condiția:  $E = c$ , pentru  $N = N_{min}$ , sau

$$E = \frac{C}{N_{min}} \text{ și se exprimă prin relația:}$$

$$N_{min} = \frac{E}{C} \left[ \frac{\text{buc}}{\text{an}} \right]. \quad (18.28)$$

Inegalitatea (18.25) poate fi respectată de mai multe variante de dispozitive, în care caz se pune problema alegerii variantei optime. În fig. 18.61, b este reprezentată variația funcției economiilor specificate în cazul a două variante de dispozitive. Din diagramă rezultă că pentru  $N' < N_c$  este mai avantajoasă varianta a doua deoarece  $f'_2 > f'_1$ , iar pentru  $N'' > N_c$  situația se prezintă invers. Valoarea critică a programului anual de producție  $N_c$ , care delimitează folosirea unei anumite variante de dispozitiv, rezultă din condiția:  $f_1 = f_2$  pentru  $N = N_c$  sau  $E_1 - \frac{C_1}{N_c} = E - \frac{C_2}{N_c}$ .

Din relația anterioară rezultă valoarea lui  $N_c$  exprimată de relația:

$$N_c = \frac{C_2 - C_1}{E_2 - E_1} \left[ \frac{\text{buc}}{\text{an}} \right]. \quad (18.29)$$

#### 18.4.2. DETERMINAREA EFECTULUI ECONOMIC DATORAT UTILIZĂRII DISPOZITIVELOR

În urma utilizării dispozitivelor în cadrul proceselor de producție pot să apară efecte economice directe și indirecte. Efectele economice directe se pot datora: mării productivității muncii, prin reducerea volumului de muncă pentru executarea piesei ca urmare a reducerii timpilor auxiliari și uneori și a celor de bază, fără modificarea piesei ca urmare a modificării condițiilor de lucru ale operatorului în cazul folosirii unor dispozitive complexe care permit mecanizarea și automatizarea operațiilor, făcând posibilă absența parțială sau totală a operatorului, în care timp acesta se poate preocupa de realizarea altor operații tehnologice ( $E_{a3}$ ).

Efectele economice indirecte ( $E_i$ ) se pot datora: modificării avantajoase a semifabricatului ca urmare a utilizării dispozitivului ( $E_{i1}$ ); modificării calității produsului obținut și în special a preciziei de prelucrare și a rugozității suprafețelor prelucrate, în cazul folosirii dispozitivului ( $E_{i2}$ ); reducerii efortului fizic depus de operator, astfel încât acesta se poate concentra asupra obținerii calității produsului ( $E_{i3}$ ); modificării condițiilor de exploatare ale componentelor STE cum ar fi: reducerea uzurii sculelor și a mașinii ca urmare a reducerii valorilor forțelor de așchiere, a evitării șocurilor și a vibrațiilor etc. ( $E_{i4}$ ). Efectele economice indirecte, enumerate anterior ca și altele, pot fi în general foarte greu de exprimat valoric în care caz acțiunea lor se neglijează.

Efectul economic, datorat utilizării unui dispozitiv, se poate exprima ca sumă a efectelor economice parțiale, directe și indirecte, prin relația:

$$E = \sum E_d + \sum E_i \left[ \frac{\text{lei}}{\text{buc}} \right]. \quad (18.30)$$

Avîndu-se în vedere posibilitatea modificării procesului tehnologic și la alte operații decât aceea pentru care este destinat dispozitivul, determinarea corectă a eficienței economice se face luînd în considerare toate operațiile procesului tehnologic, care suferă modificări datorită utilizării dispozitivului, începînd cu operațiile de debitare și terminînd cu cele de asamblare, inclusiv lucrările de ajustare.

Reducerea volumului de muncă pentru o piesă, se exprimă prin relația:

$$e'_1 = \sum t_i - \sum t_j \left[ \frac{h}{\text{buc.}} \right] \quad (18.31)$$

în care  $\sum t_i$  și  $\sum t_j$  reprezintă suma volumelor de muncă, ca sumă a timpilor unitari ai operațiilor pentru realizarea acelorași piese din cele două variante care se compară,  $\frac{h}{\text{buc.}}$ .

Economia medie la salariile directe se exprimă prin relația:

$$e_1 = \sum t_i s_i - \sum t_j s_j \left[ \frac{\text{lei}}{\text{buc.}} \right] \quad (18.32)$$

în care:  $s_i$  și  $s_j$  reprezintă salariile tarifare orare ale operațiilor în cele două variante care se compară,  $\left[\frac{\text{lei}}{h}\right]$ .

La determinarea efectului economic datorat creșterii productivității muncii se ia în considerare și reducerea cheltuielilor de regie, care se exprimă în procente față de salariile directe. Efectul economic în acest caz se exprimă cu relația:

$$E_1 = \left(1 + \frac{R}{100}\right) (\sum t_i s_i - \sum t_j s_j) \left[\frac{\text{lei}}{\text{buc.}}\right] \quad (18.33)$$

în care  $R$  reprezintă cheltuieli de regie ale secției care utilizează dispozitivul, în procente (%).

În cazul modificării unor componente ale STE, în general a mașinii de lucru, efectul economic se exprimă prin relația

$$E_2 = \left(1 + \frac{R_2}{100}\right) [\sum t_i (R_i + s_i) - \sum t_j (R_j + s_j)] \left[\frac{\text{lei}}{\text{buc.}}\right] \quad (18.34)$$

în care  $R_2$  reprezintă cheltuielile de regie, cu excepția celor legate de funcționarea utilajelor, în procente (%) iar  $R_i$  și  $R_j$  — cheltuielile de regie pentru o oră de funcționare a componentelor modificate ale STE în cele două variante comparate,  $\frac{\text{lei}}{h}$ .

Efectul economic în cazul eliberării operatorului, prin automatizarea operațiilor, se determină ca sumă a cheltuielilor cu salariile directe și a celor de regie efectuate în cazul utilizării operatorului, exprimate prin relația

$$E_3 = \left(1 + \frac{R}{100}\right) \sum t_i s_i \left[\frac{\text{lei}}{\text{buc.}}\right] \quad (18.35)$$

Așa cum rezultă și din relația anterioară, în cazul eliberării operatorului prin automatizarea operațiilor tehnologice, efectul economic are o valoare maximă. În același timp și cheltuielile pentru dispozitivele și restul echipamentului tehnologic au o valoare maximă, așa încît, numai diferența acestor cheltuieli și a economiilor maxime determină eficiența economică.

#### 18.4.3. DETERMINAREA CHELTUIELILOR ANUALE PENTRU DISPOZITIVE

Metodologia determinării cheltuielilor anuale pentru dispozitive depinde de particularitățile constructive și de exploatare ale fiecărui tip de dispozitiv. În general, cheltuielile anuale pentru dispozitiv depind de:

- $C_p$  — cheltuieli pentru proiectarea dispozitivelor;
  - $C$  — cheltuieli de fabricație a acestuia, formate din cheltuielile cu manopera, cu materiale și de regie (costul dispozitivului);
  - $C_e$  — cheltuieli anuale de exploatare ale dispozitivului;
  - $T$  — durata de serviciu a dispozitivului sau durata de amortizare a acestuia (ani).
- Cheltuielile anuale pentru dispozitivele speciale ( $C_{DS}$ ) se exprimă ca sumă a cheltuielilor parțiale, afectate de durata de serviciu sau de amortizare a acestora  $T$ , prin relația:

$$C_{DS} = (C_p + C) \frac{1}{T} + C_e \quad (18.36)$$

Exprimind cheltuielile parțiale raportate la costul dispozitivului, rezultă:

$$C_{DS} = \left(\frac{k_p + 1}{T} + K\right) C \quad (18.37)$$

în care  $k_p = \frac{C_p}{C}$  reprezintă coeficientul de proiectare, exprimînd raportul între cheltuielile pentru proiectarea dispozitivului special și cele pentru execuția acestuia iar  $k_e = \frac{C_e}{C}$  — coeficient de exploatare.

Coeficientul pentru proiectarea dispozitivelor speciale se determină cu precizie suficientă pe baza normativelor institutelor de proiectare tehnologice, cu luarea în considerație a cheltuielilor de regie din birourile de proiectare. Datele experimentale arată că aceste cheltuieli reprezintă aproximativ 50% din costul dispozitivelor speciale și în mod aproximativ se poate considera  $k_p = 0,5$ .

Cheltuielile anuale pentru exploatarea dispozitivelor cuprind cheltuielile pentru reparații, reglare, depozitare și acționarea acestora (energie electrică, pneumatică) precum și alte cheltuieli cu materiale necesare exploatării dispozitivelor. Datele uzinale arată că aceste cheltuieli se ridică la 10—30% din costul dispozitivului, în care caz  $k_e = 0,1...0,3$ .

Durata  $T$  de exploatare a dispozitivelor depinde de calitatea de execuție a acestora, de condițiile de exploatare, de intensitatea folosirii și încărcarea dispozitivului etc. În funcție de acești factori, la un plan de producție stabilit pe un număr de ani, se recomandă ca termenul de amortizare să fie ales astfel:  $T = 1$  an, pentru dispozitive simple;  $T = 2...3$  ani, pentru dispozitive de complexitate medie;  $T = 4...5$  ani, pentru dispozitive de complexitate ridicată.

Costul dispozitivelor se poate determina: prin normarea consumului de materiale și a manoperei pentru confecționarea dispozitivului; după normative aproximative, în funcție de dimensiunile de gabarit, greutate, tip etc., elaborate de întreprinderi; prin comparație cu alte dispozitive analoage sau analitic, în mod aproximativ, cu relația:

$$C = kM [\text{lei}] \quad (18.38)$$

în care  $k$  este o constantă care depinde de complexitatea dispozitivului ( $k = 15...40$ ) iar  $M$  — numărul total de repere din care este constituit dispozitivul.

Pentru dispozitivele universale cheltuielile de proiectare sînt incluse în costul dispozitivelor  $C$  și în acest caz, determinarea cheltuielilor anuale pentru dispozitivele universale  $C_{DU}$  se face cu relația  $C_{DU} = \left(\frac{1}{T} + k_e\right) C$  din care, notînd  $k_a = \frac{1}{T}$ , rezultă

$$C_{DU} = (k_a + k_e) C \quad (18.39)$$

În cazul în care dispozitivul universal este proiectat și realizat în întreprindere, cheltuielile anuale se pot determina cu relația (18.36) sau (18.37).

Un dispozitiv de grup se poate compune dintr-o parte universală și  $n$  piese de reglare amovibile, formînd în exploatare o serie de variante, fiecare dintre ele asigurînd prinderea unor piese. Cheltuielile pentru dispozitivele de grup se pot determina ca sumă

a cheltuielilor pentru partea universală și pentru părțile reglabile amovibile (considerate dispozitive speciale simple) și se exprimă prin relația

$$C_{DG} = \left[ \frac{k_p + 1}{T} + k_e \right] C_u + \sum_{i=1}^n \left( \frac{k_{pi} + 1}{T} + k_{ei} \right) C_{ri} \quad (18.40)$$

în care:  $C_u$  reprezintă costul părții universale a dispozitivului de grup;  $C_{ri}$  — costurile pieselor reglabile, amovibile,  $k_{pe}$  și  $k_{ei}$  — coeficienții de proiectare și de exploatare a pieselor reglabile.

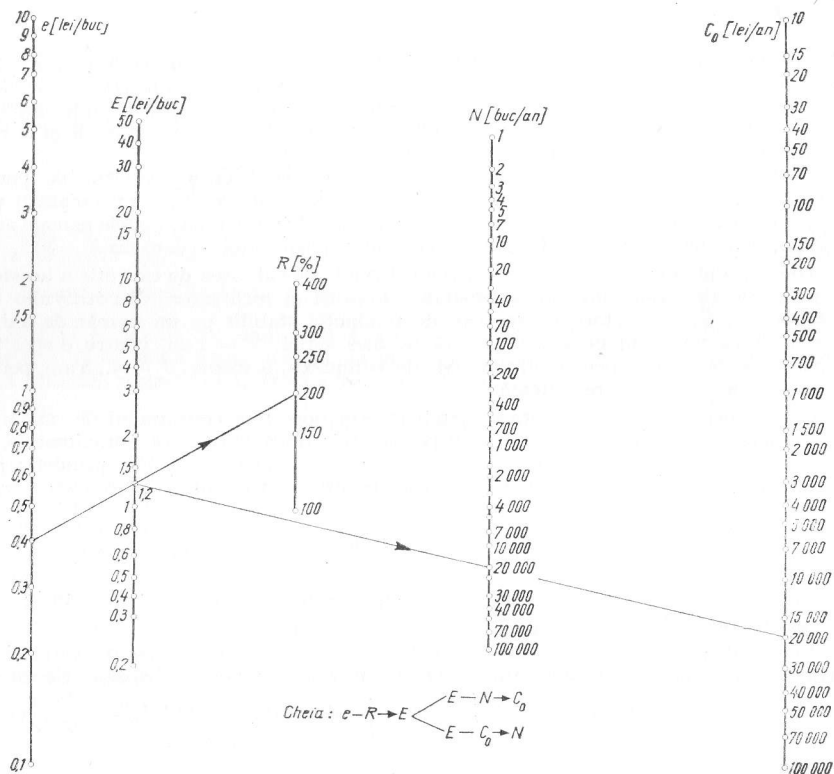


Fig. 18.62. Nomogramă pentru determinarea efectului economic  $E$  și a cheltuielilor maxime anuale  $C_0$  pentru dispozitive sau a programului anual minim de producție  $N$

Cunoscându-se programul anual de producție,  $N$ , prin determinarea efectului economic și al cheltuielilor anuale pentru dispozitive, se pot determina economiile totale anuale, cu ajutorul relației (18.26), pentru toate variantele posibile, alegându-se din punct de vedere economic aceea care realizează eficiența economică maximă (fig. 18.62).

## 19. STUDIUL TEHNICO-ECONOMIC AL PROCEDEELOR ȘI PROCESELOR TEHTNOLOGICE

### 19.1. INFLUENȚA PROCEDEELOR TEHTNOLOGICE ASUPRA ECONOMICITĂȚII FABRICAȚIEI

#### 19.1.1. UNELE CONSIDERAȚII GENERALE

La stabilirea unui proces tehnologic trebuie să se cunoască dacă procedeul tehnologic admis asigură — în condițiile unei producții unitare, de serie sau de masă — prevederile documentației tehnice, dacă se asigură calitatea corespunzătoare cu un minim de cheltuială de muncă vie și de muncă materializată. Trebuie de asemenea să se țină seama de folosirea rațională a mijloacelor de producție.

Pentru stabilirea unui proces tehnologic cu cea mai bună eficiență economică va trebui să se analizeze diferitele procedee care se pot folosi pentru prelucrarea unui produs.

Studiul variantelor de prelucrare se va face ținând seama de influența tuturor indicatorilor tehnici și economici. În acest sens se va lua în considerare volumul de muncă, consumul de materiale și cheltuielile cu SDV-urile. În afară de acești factori însă, uneori este necesar a se lua în considerare și alți factori, ca de exemplu: termenul de livrare, încărcarea mașinilor, calificarea cadrelor etc.

Deși volumul de muncă este un indicator important al variantei tehnologice, el nu poate caracteriza întotdeauna complet economicitatea procedeului tehnologic. Volumul de muncă poate fi folosit ca indicator mai ales la producția de masă și de serie mare.

Pentru exprimarea economicității proceselor tehnologice se pot folosi:

a) raportul între volumul de muncă vie folosit la ajustare și finisare și volumul de muncă folosit la mașinile-unelte; cu cât acest raport va fi mai mic, cu atât procesul tehnologic va fi mai economic;

b) compararea ponderii mașinilor-unelte de mare productivitate cu totalul mașinilor-unelte folosite se obține un indicator al nivelului tehnic al procesului de prelucrare; la această comparare trebuie să se țină seama de coeficientul economic de încărcare al mașinilor;

c) coeficientul care exprimă nivelul de înzestrare și tehnicitate a procesului tehnologic; acest coeficient poate fi obținut făcându-se raportul între numărul de SDV-uri și numărul de repere și poate exprima în anumite condiții economicitatea procedeului admis.

La studiul variantelor trebuie însă să fie luate în considerare procedeele tehnologice folosite de la elaborarea semifabricatului până la produsul finit.

Dacă nu se respectă această indicație, rezultatele analizei economicității variantelor vor fi eronate. De exemplu, analizând numai aspectul prelucrării mecanice, fără a lua în considerare procedeul de elaborare a semifabricatului înseamnă că analiza este incom-

pletă, deoarece costul prelucrării mecanice este influențat de mărimea adaosului de prelucrare. Reducerea adaosului de prelucrare se obține prin aplicarea unui procedeu mai costisitor pentru elaborarea semifabricatului, ca de exemplu forjarea liberă înlocuită cu forjarea în matriță.

La evaluarea economicității prelucrării trebuie să se țină seama și de cheltuielile operațiilor de asamblare.

Studiul variantelor economice se face în funcție de condițiile în care urmează a se aplica procesul tehnologic.

**Stabilirea unei tehnologii pentru o producție nouă într-o întreprindere nou proiectată.** Acesta este cazul cel mai favorabil, deoarece se va face dotarea după cele mai noi cuceriri ale științei și tehnicii, mașini noi și dispozitive, amenajarea locului de lucru etc. În acest caz va trebui să se țină seama de perspectivele de dezvoltare.

Analiza economicității procesului de fabricație se va face în comun de tehnologii pentru elaborarea semifabricatelor, pentru prelucrările mecanice și pentru asamblare.

**Studiul variantelor economice pentru o producție nouă în condițiile unei utilizări existente.** O astfel de situație este mai dificilă deoarece procedeele tehnologice sînt limitate de posibilitățile existente în uzină. La analiza variantelor tehnologice va trebui să se țină seama de posibilitățile de modernizare a utilajului, de introducere a tehnologiilor noi și chiar de dotare cu unele mașini-unelte noi. Calculele economice pot scoate în evidență economicitatea înlocuirii utilajului vechi prin utilaj de înaltă tehnicitate și de mare productivitate. La aceste calcule se ia în considerare volumul producției de realizat.

Cazurile mai frecvent întîlnite sînt acelea privitor la continuarea unei producții în condițiile introducerii unor tehnologii noi, cu înlocuirea unor mașini-unelte și utilaje vechi cu mașini-unelte și utilaje noi.

La această analiză se va lua în considerare creșterea productivității, posibilitățile și perioada de amortizare a investițiilor.

Pentru efectuarea studiului asupra economicității variantelor tehnologice se vor lua în considerare factorii determinanți cum sînt: costul materialelor sau a semifabricatelor, costul sculelor, dispozitivelor și verificatoarelor, costul muncii vii (salarii), cotele de amortizare, cheltuielile de regie directă și indirectă. Evaluarea chetuielilor pentru prelucrarea unei piese se poate face cu suficientă aproximație prin expresia:

$$C = C_{mat} = C_{man} + C_r + C_{am} + C_d + C_s \tag{19.1}$$

- în care:  $C_{mat}$  reprezintă costul materialelor, lei;  
 $C_{man}$  — costul manoperei lei;  
 $C_r$  — costul regiei totale lei;  
 $C_{am}$  — cota parte a amortismentului lei;  
 $C_d$  — cota de la dispozitivele speciale construite pentru prelucrările respective lei;  
 $C_s$  — cota de la sculele special construite, lei.

19.1.2. COSTUL MATERIALELOR

La costul materialelor se consideră materialele necesare pentru obținerea semifabricatelor. Deoarece o parte din valoarea materialului  $V_{mat}$  se recuperează prin valorificarea deșeurilor ce rămîn  $V_{deș}$ , aceasta se va scădea din valoarea totală a materialului.

$$C_{mat} = V_{mat} - V_{deș} \tag{19.2}$$

Dacă variantele proceselor tehnologice alese atrag după ele și deosebiri în ceea ce privește obținerea semifabricatelor, atunci va fi necesar să se facă un calcul aproape similar și pentru semifabricate.

În calculul de prelucrare mecanică va intra atunci în loc de valoarea materialelor, valoarea semifabricatelor.

19.1.3. COSTUL MANOPEREI

Calculul costului manoperei ( $C_{man}$ ), la care se va ține seama de timpul necesar pentru prelucrare și de categoriile în care se încadrează lucrările respective, se face cu relația

$$C_{man} = S_m \left( \frac{t_{pi}}{n} + t_{ef} \right) \tag{19.3}$$

- în care:  $t_{pi}$  este timpul de pregătire și încheiere, min;  
 $t_{ef}$  — timpul efectiv, min;  
 $S_m$  — salariul muncitorului, lei/oră sau lei/min;  
 $n$  — numărul de piese din seria respectivă buc.

Dacă reglorii de mașini se plătesc separat, atunci costul manoperei devine  $C'_{man}$  și se calculează cu relația

$$C'_{man} = S'_m \frac{t_{pi}}{n} + S_m \left( \frac{t_{pi}}{n} + t_{ef} \right) \tag{19.4}$$

în care  $S'_m$  este salariul reglorului, lei/oră sau lei/min.

Exprimînd timpul pe bucată pentru cazul că sînt  $n$  bucăți în serie, se poate observa că timpul unitar scade, pe măsură ce crește numărul de bucăți în serie:

$$t_u = \frac{t_{pi}}{n} + t_{ef} \tag{19.5}$$

Timpul necesar pentru toată seria se poate exprima sub forma:

$$t_s = t_{pi} + n t_{ef} \tag{19.6}$$

Dacă se reprezintă grafic aceste relații, se obține pentru timpul unitar o hiperbolă asimptotică la timpul efectiv  $t_{ef}$ , iar pentru timpul total pe serie, o dreaptă (fig. 19.1).

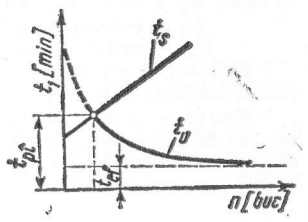


Fig. 19.1. Reprezentarea variației timpului unitar și pe serie:  
1 — timp unitar; 2 — timp total pe serie

19.1.4. COTA CORESPUNZĂTOARE CHELTUIELILOR DE REGIE

Cheltuielile de regie se exprimă în mod obișnuit proporțional cu cheltuielile de manoperă. Dacă se notează cheltuielile de regie cu  $R$  și acestea sînt exprimate în %, se poate scrie că

$$C_r = C_{man} \frac{R}{100} \tag{19.7}$$



sau

$$C_r = S_m \left( \frac{t_{pi}}{n} + t_{ef} \right) \frac{R}{100} \quad (19.8)$$

Cheltuielile de regie se mai pot exprima așa cum se produc practic, adică o parte sînt direct proporționale cu cantitatea de produse prelucrate, ca de exemplu cheltuielile pentru scule, energia electrică, uleiul etc., iar o parte sînt cheltuielile indirecte, care sînt independente (într-o oarecare măsură) de cantitatea de produse, cum sînt: amortismentele pentru clădiri, iluminatul, întreținerea clădirilor ș.a. Cu aceste prezentări relația (19.8) poate fi pusă sub forma

$$C_r = S_m t_{ef} \frac{R_d}{100} + S_m \left( \frac{t_{pi}}{n} + t_{ef} \right) \frac{R_{ind}}{100} \quad (19.9)$$

sau

$$C_r = S_m t_{ef} \frac{R_d + R_{ind}}{100} + S_m \frac{t_{pi} R_{ind}}{100 n} \quad (19.10)$$

Dacă la procedeul admis are loc un consum mare de energie electrică, calculul costului acesteia se face separat. În acest scop se poate folosi relația

$$W_e = K_e \cdot N_i \frac{C_{e1}}{60} \text{ lei/min} \quad (19.11)$$

în care:  $K_e = (0,3 \dots 0,7)$  este coeficientul de folosire a capacității motoarelor electrice;

$N_i$  — puterea instalată, kW;

$C_{e1}$  — costul energiei electrice, lei/kWh.

La calculul procentului de regie trebuie să se țină seama și de cheltuielile cu reparațiile mașinilor, de consumul materialelor de ungere, de răcire etc.

Pentru simplificarea calculului de comparație se pot face evaluări privind cheltuielile de exploatare a mașinilor. Acestea se vor exprima în lei/min. Calculul acelei părți din aceste cheltuieli care revine pe unitate prelucrată se va face în acest caz mai ușor.

#### 19.1.5. COTA DE AMORTISMENT PENTRU MAȘINILE-UNELTE

Calculul cotei de amortisment  $C_{am}$  se face ținînd seama de durata de funcționare în ani a mașinii-unelte respective și de cheltuielile cu reparațiile capitale. Pentru ușurare, se va face înainte un calcul de revenire, în lei/min pentru fiecare mașină-unealtă. Cota cit revine pe bucată de produs se va calcula cu relația

$$C_{am} = t_{ef} C_{mr} \quad (19.12)$$

Coeficientul  $C_{mr}$  se poate calcula cu relația:

$$C_{mr} = \frac{V_m \left( \frac{1}{a_m} + \frac{R}{100} \right)}{60N} \quad (19.13)$$

în care  $V_m$  este valoarea mașinii, lei;

$a_m$  — ani de amortizare;

$R_m$  — cheltuieli cu reparațiile capitale exprimate, % din valoarea mașinii;

$N$  — numărul de ore de funcționare pe an.

#### 19.1.6. COTA CORESPUNZĂTOARE CHELTUIELILOR CU CONSTRUCȚIA DISPOZITIVELOR

Dacă pentru prelucrarea unei serii de piese este necesară confecționarea unor dispozitive ce nu sînt prevăzute în mod normal pentru mașina respectivă, atunci se face calculul valorii  $C_{ds}$  care revine pe bucată de produs din aceste cheltuieli:

$$C_{ds} = V_{ds} \left( \frac{1}{a_m} + \frac{R_{ds}}{100} \right) \frac{1}{n_{an}} \quad (19.14)$$

în care:  $V_{ds}$  este valoarea dispozitivului;

$a_m$  — ani de amortisment (cca 3 ani);

$R_{ds}$  — cheltuielile pe an cu reparațiile și întreținerea dispozitivelor (15...27% din valoarea dispozitivelor);

$n_{an}$  — numărul de bucăți de piese executate pe an.

Dacă dispozitivele se folosesc numai pentru prelucrarea unei singure serii de piese, atunci relația (19.14) devine

$$C_{ds} = \frac{V_{ds}}{n} \left( 1 + \frac{R_{ds}}{100} \right) \quad (19.15)$$

$n$  fiind numărul de piese din serie.

Uneori este necesar să se facă mai întîi un calcul din care să se deducă dacă este sau nu rentabil să se construiască anumite dispozitive, ținînd seama de numărul de piese ce urmează a se fabrica.

Determinarea numărului minim de piese  $n_{min}$  dintr-o serie pentru care este rentabil să se confecționeze dispozitive ținîndu-se seama de faptul că prin folosirea dispozitivelor se reduce o bună parte din timpii auxiliari și de pregătire se poate face cu relația

$$n_{min} = \frac{0,6 \sum V_{ds}}{K_s \sum S_i t_i} \quad (19.16)$$

în care  $V_{ds}$  este suma valorilor dispozitivelor, lei;

$K_s$  — coeficient salarii (în funcție de lucru în acord, în regie etc.);

$S_i$  — salarii plătite pentru confecționarea dispozitivelor, lei/min;

$t_i$  — timpul cu cit se reduce durata executării operației respective, minute.

Gradul de înzestrare cu dispozitive arată în bună măsură nivelul tehnic de pregătire al procesului de fabricație. El are influență asupra prețului de cost al produsului. Gradul de înzestrare trebuie să se stabilească pentru fiecare uzină în parte, în raport cu produsele ce se fabrică.

Mărirea coeficientului de echipare depinde de felul și volumul producției, de forma, dimensiunea și greutatea pieselor, de volumul de muncă necesar, de diferențierea sau concentrarea operațiilor, de gradul de unificare și normalizare al produselor și al echipamentului tehnologic.



Tabelul 19.1

Valori ale coeficientului de înzestrare cu dispozitive în industria constructoare de mașini			
Felul echipamentului	Felul fabricației		
	Unicate	Serie mică	Serie mare
Dispozitive	0,05—0,1	0,4—0,8	2,0—3,0
Coeficient general de echipare (S.D.V)	0,20—0,4	2,0—4,00	8,0—12,0

Pe baza experiențelor mai multor uzine constructoare de mașini, coeficientul de înzestrare, ținând seama de felul fabricației, are valorile arătate în tabelul 19.1.

Pentru reducerea timpului de proiectare și a volumului de muncă pentru confecționarea echipamentului tehnologic se recomandă folosirea dispozitivelor compuse din subansambluri normalizate și interschimbabile, cu ajutorul cărora se pot realiza dispozitive pentru diferite operații de prelucrare.

Pentru procese tehnologice de înaltă productivitate se pot folosi dispozitive agregate.

Cuantumul cheltuielilor de înzestrare cu dispozitive în cadrul unei întreprinderi constructoare de mașini poate atinge valori destul de mari (până la 40% din valoarea mijloacelor circulante).

#### 19.1.7. COTA CORESPUNZĂTOARE CHELTUIELILOR CU CONSTRUCȚIA SCULELOR

Această cotă  $C_{sc}$  se calculează numai pentru sculele care se construiesc în mod special pentru prelucrarea respectivă. Calculul se face cu relația:

$$C_{sc} = \frac{V_{sc}}{n_t} \left( 1 + \frac{R_{sc}}{100} \right) \quad (19.17)$$

în care  $n_t = \frac{\text{timpul de lucru economic între două ascuțiri}}{\text{timpul de lucru activ pe bucată}}$   $n_r$  este numărul total de piese ce se prelucrează cu sculele respective;  
 $n_r$  — numărul de reascuțiri posibile;  
 $V_{sc}$  — valoarea sculei;  
 $R_{sc}$  — costul întreținerii sculelor.  
 Relația se mai poate scrie sub forma

$$C_{sc} = \frac{(V_{sc} + n_r C_r) t_{ef}}{t_a (n_r + 1)} \quad (19.18)$$

în care:  $n_r$  este numărul de reascuțiri;  
 $t_{ef}$  — timpul efectiv, min/buc;  
 $t_a$  — timpul de durabilitate între două ascuțiri, min.

Uneori se poate ține seama în calcule de legătura care există între durabilitate și viteză cu care se lucrează prin relația

$$v_{ef} T_{ef}^m = v_n T_n^m \quad (19.19)$$

în care:  $v_{ef}$  este viteza efectivă de așchiere;

$T_{ef}$  — durabilitatea corespunzătoare vitezei efective de așchiere;

$v_n$  — viteza de așchiere admisă ca viteză normală;

$T_n$  — durabilitatea corespunzătoare vitezei de așchiere normale și are forma

$$T_{ef} = \left( \frac{v_n}{v_{ef}} \right)^{\frac{1}{m}} T_n$$

sau înlocuind  $K_s = \left( \frac{v_n}{v_{ef}} \right)^{\frac{1}{m}}$  rezultă  $T_{ef} = K_s T_n$ . (19.20)

Deoarece la sculele așchietoare are importanță durabilitatea economică  $T_{ec}$ , se folosește aceasta în locul durabilității efective  $T_{ef}$ . Cele două durabilități diferă între ele

și în general  $\frac{T_{ec}}{T_{ef}} < 1$ .

#### 19.2. ALEGEREA VARIANTEI OPTIME A PROCESULUI TEHNOLOGIC DE PRELUCRARE

Cunoscând cheltuielile de care trebuie să se țină seama la fabricarea unei serii de piese prin aplicarea diferitelor procese tehnologice se poate alege care dintre acestea este cel mai economic.

Expresia care dă cheltuielile de prelucrare se poate scrie sub forma:

$$C_{prel} = S_m \left[ \frac{t_{pi}}{n} \left( 1 + \frac{R_{ind}}{100} \right) + t_{ef} \left( 1 + \frac{R_d + R_{ind}}{100} \right) \right] + \frac{V_m \left( \frac{1}{a_n} + \frac{R_m}{100} \right) t_{ef}}{60N} + \frac{V_{ds}}{n_{an}} \left( \frac{1}{a_m} + \frac{R_{ds}}{100} \right) + \frac{V_{sc}}{n_t} \left( 1 + \frac{R_{sc}}{100} \right). \quad (19.21)$$

Dacă se înlocuiește

$$S_m \left( 1 + \frac{R_{ind}}{100} \right) = K_{pi}; \quad S_m \left( 1 + \frac{R_d + R_{ind}}{100} \right) = K_{ef}; \quad \frac{V_m}{60 \cdot N} \left( \frac{1}{a_m} + \frac{R_m}{100} \right) = K_m$$

$$\left( \frac{1}{a_m} + \frac{R_{ds}}{100} \right) = K_{ds} \quad \text{și} \quad \left( 1 + \frac{R_{sc}}{100} \right) = K_{sc}$$

se poate scrie:

$$C_{prel} = K_{pi} \frac{t_{pi}}{n} + (K_{ef} + K_m) t_{ef} + K_{ds} \frac{V_{ds}}{n_{an}} + K_{sc} \frac{V_{sc}}{n_t} \quad (19.22)$$

sau ținând seama și de cheltuielile cu materialele:

$$C = C_{mat} + C_{prel}.$$

Coeficienții  $K_{pi}$ ,  $K_{ef}$ ,  $K_m$ ,  $K_{ds}$  și  $K_{sc}$  se pot calcula în cadrul fiecăre întreprinderi, pe baza datelor statistice.

Cheltuielile care se efectuează pentru prelucrarea unei piese se pot scrie grupându-se separat cheltuielile directe și indirecte.

Expresia generală va avea atunci forma:

$$C = C_{mat} + C_d + \frac{C_{ind}}{n} \quad (19.23)$$

Cunoscând că pentru prelucrare se pot folosi diferite procedee tehnologice, diferite mașini-unelte, pentru stabilirea variantei mai economice va trebui să se efectueze calcule comparative.

Costul prelucrării unei piese se poate exprima sub forma:

$$C_{prel} = C_d + \frac{C_{ind}}{n} \quad (19.24)$$

sau pentru toată seria:

$$C_{prel s} = nC_d + C_{ind} \quad (19.25)$$

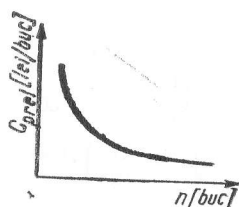


Fig. 19.2. Reprezentarea grafică a variației cheltuielilor pentru prelucrarea unei piese

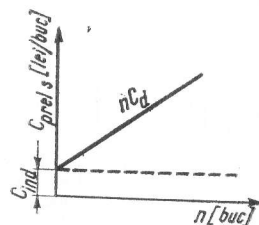


Fig. 19.3. Reprezentarea grafică a variației cheltuielilor pentru prelucrarea unui lot de piese

Reprezentînd grafic cele două expresii, ca și în cazul expresiei variației timpului în funcție de numărul de piese din serie, se obține în primul caz o hiperbolă (fig. 19.2), iar în cel de al doilea caz o dreaptă (fig. 19.3).

Pentru exemplificare se consideră cazul prelucrării unui număr  $n$  de piese. Se presupune că se vor folosi trei procese tehnologice (fig. 19.4). Se mai presupune că valoarea materialelor este aceeași. În aceste condiții se pot scrie cheltuielile celor trei cazuri:

$$C_{prel 1} = C_{d1} + \frac{C_{ind 1}}{n};$$

$$C_{prel 2} = C_{d2} + \frac{C_{ind 2}}{n};$$

$$C_{prel 3} = C_{d3} + \frac{C_{ind 3}}{n}.$$

Se admite, de exemplu, că  $C_{prel s1}$  sînt cheltuielile ce revin la prelucrarea pe un strung universal,  $C_{prel s2}$  cheltuielile la prelucrarea de pe strung revolver și  $C_{prel s3}$  cheltuielile pe un strung automat. Din relații și din grafic (fig. 19.4) se poate stabili că pînă la mărimea seriei de  $n_{12}$  piese este economică prelucrarea la strungul universal, de la  $n_{12}$  la  $n_{23}$  este mai economică prelucrarea pe un strung revolver, iar pentru seria mai mare de  $n_{23}$

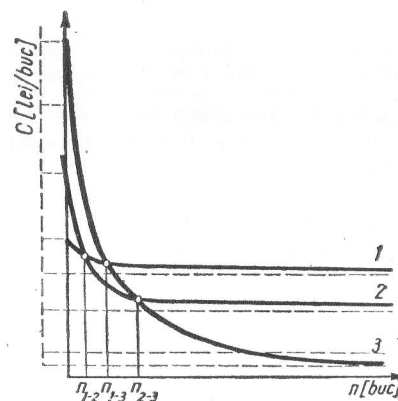


Fig. 19.4. Variația cheltuielilor pe unitate de produs în cazul celor trei variante considerate

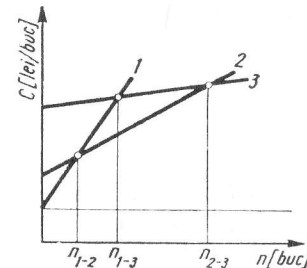


Fig. 19.5. Variația cheltuielilor pe lot în cazul celor trei variante considerate

piese, prelucrarea este mai economică la strungul automat. Din relațiile de mai sus se pot obține valorile pentru  $n_{12}$ , respectiv  $n_{23}$ :

$$n_{12} = \frac{C_{ind 2} - C_{ind 1}}{C_{d1} - C_{d2}}; \quad n_{23} = \frac{C_{ind 3} - C_{ind 2}}{C_{d2} - C_{d3}}$$

Dacă se folosește relația (19.25) rezultă (fig. 19.5):

$$C_{prel s1} = nC_{d1} + C_{ind 1}$$

$$C_{prel s2} = nC_{d2} + C_{ind 2}$$

$$C_{prel s3} = nC_{d3} + C_{ind 3}$$

Se observă că se poate stabili care este numărul de piese dintr-o serie pentru care se obține prelucrarea cea mai economică.

Scriind relația (19.22) pentru două variante și punind condiția ca pentru un număr  $n_k$  piese din serie să avem aceleași cheltuieli pentru ambele variante, se obține:

$$\begin{aligned} K_{pi1} \frac{t_{pi1}}{n_k} + (K_{ef1} + K_{m1}) t_{ef1} + K_{ds1} \frac{V_{ds1}}{n_{an}} + K_{sc1} \frac{V_{sc1}}{n_{t1}} = \\ = K_{pi2} \frac{t_{pi2}}{n_k} + (K_{ef2} + K_{m2}) t_{ef2} + K_{ds2} \frac{V_{ds2}}{n_{an}} + K_{sc2} \frac{V_{sc2}}{n_{t2}} \end{aligned}$$

de unde rezultă:

$$n_k = \frac{K_{pi2} t_{pi2} - K_{pi1} t_{pi1}}{(K_{ef1} + K_{m1}) t_{ef1} - (K_{ef2} + K_{m2}) t_{ef2} + \frac{K_{ds}}{n_{an}} (V_{ds1} - V_{ds2}) + K_{sc} \left( \frac{V_{sc1}}{n_{t1}} - \frac{V_{sc2}}{n_{t2}} \right)} \quad (19.26)$$

S-a admis:  $K_{ds1} = K_{ds2}$  și  $K_{sc1} = K_{sc2}$ , ceea ce practic se întâmplă de cele mai multe ori. Din relație se deduce că dacă numărul de piese din serie este mai mic ca  $n_k$ , atunci este mai economică a doua variantă.

În mod similar se pot face calculele pentru mai multe variante.

Dacă se ține seama numai de cheltuielile directe cu prelucrarea, fără costul dispozitivelor și al sculelor, relația va fi mai simplă:

$$n_k = \frac{K_{pi2} t_{pi2} - K_{pi1} t_{pi1}}{(K_{ef1} + K_{m1}) t_{ef1} - (K_{ef2} + K_{m2}) t_{ef2}} \quad (19.27)$$

### 19.3. DETERMINAREA LOTURILOR OPTIME DE PRELUCRARE

S-a observat în cele de mai sus că avînd un număr mai mare de piese în serie, costul prelucrării scade. Prin creșterea mărimii seriei se pot folosi procedee tehnologice de mare productivitate. Dar, prin această creștere, prelucrarea executîndu-se în loturi de piese, apar alte elemente, care influențează din punct de vedere economic ciclul de fabricație.

Prin creșterea numărului de piese în lot cresc fondurile de investiții, ciclul de fabricație va fi mai lung, semifabricatele vor aștepta timp îndelungat, fondul de rulment va crește. Se pune deci problema de a găsi cit de mare poate să fie numărul de piese în lot, pentru ca luînd în considerare avantajele și dezavantajele, prelucrarea să fie economică.

Pentru determinarea mărimii optime a unui lot de piese se poate face următorul raționament: se exprimă cheltuielile pe unitatea de produs, considerînd un lot de  $n$  piese, sub forma:

$$C_n = C_{mat} + \frac{\sum K_{pi} t_{pi}}{n} + \sum (K_{efi} + K_{mi}) t_{efi} \quad (19.28)$$

Se consideră că numărul de piese în lot crește cu  $\Delta n$ ; atunci:

$$C_{n+\Delta n} = C_{mat} + \frac{\sum K_{pi} t_{pi}}{n + \Delta n} + \sum (K_{efi} + K_{mi}) t_{efi} \quad (19.29)$$

Făcînd diferența se obține:

$$C_n - C_{n+\Delta n} = \sum K_{pi} t_{pi} \left( \frac{1}{n} - \frac{1}{n + \Delta n} \right)$$

Dacă într-un an se produc  $n_{an}$  bucăți, atunci economia realizată prin creșterea numărului de piese în lot va fi:

$$E_{an} = n_{an} \sum K_{pi} t_{pi} \left( \frac{1}{n} - \frac{1}{n + \Delta n} \right) \quad (19.30)$$

Se consideră că prin creșterea numărului de piese în lot se produc pierderi din cauzele amintite. Se poate scrie aceasta sub forma

$$P_s = p T F_c$$

în care  $F_c$  este fondul de circulație, lei;

$T$  — timpul de imobilizare, zile (ore);

$p$  — un coeficient de proporționalitate.

Pentru lotul de  $n$  piese, cheltuielile vor fi:

$$P_{s(n)} = p T_n \left[ n C_{mat} + \sum K_{pi} t_{pi} + \frac{n \sum (K_{efi} + K_{mi}) t_{efi}}{2} \right] \quad (19.31)$$

Ultimul termen reprezintă cheltuielile medii pe perioada respectivă.

La creșterea lotului cu  $\Delta n$  va crește și timpul de imobilizare, deci pierderile se pot scrie:

$$P_{s(n+\Delta n)} = p T_{(n+\Delta n)} \left[ (n + \Delta n) C_{mat} + \sum K_{pi} t_{pi} + \frac{(n + \Delta n) \sum (K_{efi} + K_{mi}) t_{efi}}{2} \right] \quad (19.32)$$

sau notîndu-se:

$$\sum K_{pi} t_{pi} = a \quad \text{și} \quad \sum C_{mat} + \frac{1}{2} (K_{efi} + K_{mi}) t_{efi} = b$$

relațiile devin:

$$P_{s(n)} = p(a + b n) T_n \quad \text{și} \quad P_{s(n+\Delta n)} = p[a + b(n + \Delta n)] T_{(n+\Delta n)}$$

Numărul de loturi pe an, dacă numărul total de piese este de  $n_{an}$ , va fi:

$$S_n = \frac{n_{an}}{n} \quad \text{sau} \quad S_{n+\Delta n} = \frac{n_{an}}{n + \Delta n}$$

Timpul necesar pentru un lot va fi

$$T_n = \frac{n}{n_{an}} \quad \text{și} \quad T_{n+\Delta n} = \frac{n + \Delta n}{n_{an}}$$

Înlocuind valoarea timpului în relațiile care dau pierderile, se obține:

$$P_{an(n)} = \frac{n_{an}}{n} p(a + bn) \frac{n}{n_{an}} = p(a + bn) \text{ și}$$

$$P_{an(n+\Delta n)} = \frac{n_{an}}{n + \Delta n} p[a + b(n + \Delta n)] \frac{n + \Delta n}{n_{an}} = p[a + b(n + \Delta n)].$$

Prin creșterea numărului de piese în lot, pierderile pe an vor fi:

$$P_{an} = P_{an(n+\Delta n)} - P_{an(n)} = pb\Delta n. \quad (19.33)$$

Înlocuind valoarea lui  $b$ , se obține:

$$P_{an} = p\Delta n \left[ C_{mat} + \frac{1}{2} \sum (K_{eft} + K_{mi}) t_{eft} \right].$$

Se pune condiția  $P_{an} < E_{an}$ , ca pierderile să fie mai mici ca economiile sau:

$$n_{an} \sum K_{pi} t_{pi} \left( \frac{1}{n} - \frac{1}{n + \Delta n} \right) > p\Delta n \left[ C_{mat} + \frac{1}{2} \sum (K_{eft} + K_{mi}) t_{eft} \right]. \quad (19.34)$$

Aducând la același numitor și aranjând termenii care conțin pe  $n$  și  $\Delta n$ , se poate scrie:

$$\lim_{\Delta n \rightarrow 0} \frac{n_{an}}{(n + \Delta n)n} \sum K_{pi} t_{pi} > p \left[ C_{mat} + \frac{1}{2} \sum (K_{eft} + K_{mi}) t_{eft} \right]$$

de unde se obține numărul optim de piese din lot:

$$n_{ec} \leq \sqrt{\frac{n_{an} K_{pi} t_{pi}}{p \left[ C_{mat} + \frac{1}{2} \sum (K_{eft} + K_{mi}) t_{eft} \right]}} \quad (19.35)$$

$p$  are valorile cuprinse între 0,1 și 0,6, în funcție de cheltuielile cu stocarea.

Dacă sînt necesare scule și dispozitive speciale, atunci în relație se va cuprinde și costul acestora.

Pentru un calcul mai rapid, în ipoteza că se cunosc cheltuielile provocate de stocarea pieselor, cheltuielile pe an sînt date de relația

$$C_{an} = \frac{n}{2} C_{st} + \frac{n_{an}}{n} t_{pi} K_{pi} \quad (19.36)$$

în care:  $n$  este numărul pieselor în lot;

$n_{an}$  — numărul de piese pe an;

$C_{st}$  — cheltuieli de stocare.

Derivînd în funcție de  $n$  se obține

$$\frac{dC_{an}}{dn} = \frac{C_{st}}{2} - \frac{n_{an}}{n^2} t_{pi} K_{pi}$$

și egalînd cu zero rezultă

$$n = \sqrt{\frac{2n_{an} K_{pi} t_{pi}}{C_{st}}} \quad (19.37)$$

În tabelul 19.2 se dau relațiile de calcul pentru diferite cazuri practice.

Tabelul 19.2

Relații de calcul pentru determinarea lotului optim în diferite cazuri practice

Relația de calcul	Observații
$n = k \frac{C_p Pl}{C_{ind} p}$	$n$ — lotul optim; $C_p$ — cheltuielile cu pregătirea; $Pl$ — produse consumate lunar; $p$ — pierderi cu imobilizarea; $C_{ind}$ — cheltuieli care nu depind de mărimea lotului de piese; $k$ — coeficient dependent de variația lui $Pl$ ; pentru $Pl = \text{constant}$ , $k = 2$
$n = \sqrt{\frac{2C_p P_z}{C_{im} \left(1 - \frac{P_z}{P}\right)}}$	Relația se folosește cînd necesarul producției pe zi nu este același cu producția realizată: $C_p$ — cheltuieli cu pregătirea pe lot; $P_z$ — Consum produs pe zi; $C_{im}$ — cheltuieli cu imobilizarea pe zi; $P$ — producția în bucăți pe zi
$n = \sqrt{\frac{2P_p C_e}{C_p C_f}}$	Relația se poate folosi pentru perioade scurte de prelucrare și relativ lungi de consum: $P_p$ — producția prevăzută; $C_e$ — cheltuieli cu pregătirea; $C_p$ — cheltuieli cu producția (preț de cost pe bucată); $C_f$ — cheltuieli cu stocarea; (10...30% la consum constant)
$n = \frac{S_r P_r}{\left(C_{ind} + \frac{C_1}{2}\right) E}$	Relația se poate folosi pentru producția la care numărul de operații este foarte mare avînd un ciclu de fabricație lung: $S_r$ — salariul reglorilor; $P_r$ — programul de producție pe un strung automat în bucăți pe an; $C_{ind}$ — cheltuieli independente de mărimea lotului; $C_p$ — prețul de cost; $E$ — pierderi pe un an la un leu mijloace circulante
$n = \frac{2 S_r P_r}{C_p E}$	Relația se poate folosi pentru cicluri de fabricație scurte
$n = \frac{T_{pi}}{tk_d}$	$t_{pi}$ — timpul de pregătire și încheiere; $t$ — timp util mașină; $k_d$ — coeficient (se admite 0,06)

### 19.4. DETERMINAREA RENTABILITĂȚII ÎNLOCUIRII MAȘINILOR-UNELTE VECI CU ALTELE NOI

La stabilirea proceselor tehnologice ce urmează a fi aplicate se pune frecvent problema înlocuirii mașinilor-unelte existente și folosirea unor mașini-unelte de mai bună productivitate.

În mod obișnuit, mașinile-unelte universale se pot folosi la prelucrarea diferitelor piese, deci se poate planifica în așa fel încât să aibă un coeficient de utilizare bun. În ceea ce privește însă mașinile speciale, acestea se pot folosi numai pentru anumite operații, deci se pune problema unui calcul economic comparativ, din care să reiasă că, prin creșterea productivității, se obțin economii care să acopere cheltuielile de procurare a mașinilor noi.

Deoarece cheltuielile de prelucrare pe unitatea de produs depind de mărimea seriei de fabricație, se poate stabili prin calcul pentru ce mărime de serie este avantajos a se procura o mașină-unelte mai scumpă, dar de productivitate mai mare.

De asemenea se pot calcula și anii în care cheltuielile în plus cu mașina-unelte nouă urmează să fie amortizate. Pentru aceste calcule trebuie să se ia în considerare toate cheltuielile care se fac prin instalarea noii mașini și echiparea cu dispozitive, scule etc.

Se presupune că atât la mașinile vechi cât și la cele noi se vor folosi numai scule și dispozitive uzuale. Cheltuielile ce se fac prin cumpărarea și instalarea mașinilor noi se pot exprima sub forma:

$$C_{mn} = C_{m2} \left( 1 + \frac{R_2}{100} \right) + C_{2inst} + C_{1dem} - C_{1r} \quad (19.38)$$

în care:  $C_{m2}$  este costul mașinii-unelte noi;

$C_{2inst}$  — costul instalării mașinii-unelte noi;

$C_{1dem}$  — costul demontării mașinii-unelte vechi;

$C_{1r}$  — valoarea care se recuperează din mașina-unelte veche;

$R_2$  — cheltuielile de întreținere și exploatare a mașinii-unelte noi.

Creșterea productivității muncii prin introducerea mașinii-unelte noi se poate exprima prin relația:

$$P = n_{an} \left[ \left( \frac{K_{pi1} t_{pi1}}{n_1} + K_{ef1} t_{ef1} \right) - \left( \frac{K_{pi2} t_{pi2}}{n_2} + K_{ef2} t_{ef2} \right) \right] \quad (19.39)$$

Făcînd raportul între cheltuielile pentru instalarea mașinii-unelte noi și creșterea productivității, se obține timpul de amortizare:

$$a_{m2} = \frac{C_{m2} \left( 1 + \frac{R_2}{100} \right) + C_{2inst} + C_{1dem} - C_{1r}}{n_{an} \left[ \left( \frac{K_{pi1} t_{pi1}}{n_1} + K_{ef1} t_{ef1} \right) - \left( \frac{K_{pi2} t_{pi2}}{n_2} + K_{ef2} t_{ef2} \right) \right]} \quad (19.40)$$

Valorile lui  $K_{ef1}$  și  $t_{ef1}$  sînt cunoscute, iar pentru  $K_{ef2}$  și  $t_{ef2}$  se iau valorile prin asimilare, în așa fel încît ele să corespundă noilor mașini-unelte.

La introducerea mașinilor noi, în general, se iau în considerare mașinile de mare productivitate. Pentru rentabilitate trebuie să se țină seama și de coeficientul de utilizare.

Scriind condiția de economicitate fără termenul  $t_{pi}$

$$E_{cmn} = \frac{t_{efv}}{\eta_{iv}} (K_{mv} + K_{efv}) - \frac{t_{efn}}{\eta_{in}} (K_{mn} + K_{efn}). \quad (19.41)$$

Dar încărcarea reală poate diferi; atunci:

$$E_{cmnr} = \frac{t_{efv}}{\eta_{iv}} \left( \frac{K_{mv}}{\eta_{ivr}} + K_{efv} \right) - \frac{t_{efn}}{\eta_{in}} \left( \frac{K_{mn}}{\eta_{inr}} + K_{efn} \right) \quad (19.42)$$

în care:  $t_{efv}$ ,  $t_{efn}$  exprimă timpul de lucru efectiv a mașinilor-unelte vechi, respectiv noi;  $K_{ev}$  și  $K_{en}$ , respectiv  $K_{mv}$  și  $K_{mn}$  reprezintă coeficienții cheltuielilor proporționale cu timpul efectiv de lucru, pentru mașinile-unelte vechi, respectiv noi;  $\eta_{in}$  și  $\eta_{iv}$  — coeficienții de utilizare planificați pentru mașinile-unelte vechi și noi;  $\eta_{inr}$  și  $\eta_{ivr}$  — coeficienții reali de folosire a mașinilor-unelte vechi, respectiv noi.

Din această relație se poate scoate coeficientul minim de utilizare, pentru care rentează introducerea mașinilor noi. Punînd condiția ca:  $E_{cmn} = 0$ , se obține:

$$\eta_{min} = \frac{t_{efn} K_{mn}}{\eta_{in} \left[ \frac{t_{efv}}{\eta_{iv}} \left( \frac{K_{mv}}{\eta_{ivr}} + K_{efv} \right) - \frac{t_{efn}}{\eta_{in}} K_{efn} \right]} \quad (19.43)$$

Dacă se ține seama și de timpii de pregătire, atunci relația pentru  $E_{cmn}$  are forma:

$$E_{cmn} = \frac{1}{\eta_{iv}} \left[ \left( t_{efv} + \frac{t_{piv}}{n} \right) \left( \frac{K_{mv}}{\eta_{ivr}} + K_{efv} \right) - \frac{1}{\eta_{in}} \left[ \left( t_{efn} + \frac{t_{pin}}{n} \right) \left( \frac{K_{mn}}{\eta_{inr}} + K_{efn} \right) \right] \right] \quad (19.44)$$

Relația este valabilă dacă pe mașini se prelucurează aceeași piesă. Seria minimă va fi dată de relația de mai sus, în condiția  $E_{cmn} = 0$

$$n_{min} = \frac{\frac{t_{pin}}{\eta_{in}} \left( \frac{K_{mn}}{\eta_{inr}} + K_{efn} \right) - \frac{t_{piv}}{\eta_{iv}} \left( \frac{K_{mv}}{\eta_{ivr}} + K_{efv} \right)}{\frac{t_{efv}}{\eta_{iv}} \left( \frac{K_{mv}}{\eta_{ivr}} + K_{efv} \right) - \frac{t_{efn}}{\eta_{in}} \left( \frac{K_{mn}}{\eta_{inr}} + K_{efn} \right)} \quad (19.45)$$

Dacă însă pe mașină se lucrează mai multe tipuri de piese, se poate repeta calculul pentru fiecare categorie de piesă. Se mai poate face calculul, dacă se cunoaște raportul între cantitățile diferitelor piese.



Să presupunem că raportul este:  $m_1, m_2, m_3, \dots, m_n$

Introducând o mărime minimă ca serie unitară  $x$ , mărimile seriilor vor fi:  $n_1 = m_1 x$ ,  $n_2 = m_2 x$ ,  $n_n = m_n x$ . Înlocuind în relația de mai înainte, se obține:

$$x = \frac{\frac{1}{\eta_{in}} \left( \frac{K_{mn}}{\eta_{inr}} + K_{efn} \right) \left( \frac{t_{pin1}}{m_1} + \dots + \frac{t_{pinn}}{m_n} \right) - \frac{1}{\eta_{iv}} \left( \frac{K_{mv}}{\eta_{ivr}} + K_{efv} \right) \left( \frac{t_{piv1}}{m_1} + \dots + \frac{t_{pivn}}{m_n} \right)}{\frac{1}{\eta_{iv}} \left( \frac{K_{mv}}{\eta_{ivr}} + K_{efv} \right) (t_{efv1} + \dots + t_{efvn}) - \frac{1}{\eta_{in}} \left( \frac{K_{mn}}{\eta_{inr}} + K_{efn} \right) (t_{efn1} + \dots + t_{efnn})} \quad (19.46)$$

Cunoscând pe  $x$  se pot determina seriile de piese economice.

## 19.5. PRODUCTIVITATEA MUNCII

### 19.5.1. FACTORII CARE DETERMINĂ CREȘTEREA PRODUCTIVITĂȚII MUNCII

Creșterea continuă a productivității muncii ca necesitate obiectivă pentru creșterea volumului producției și pentru reducerea prețului de cost al produselor fabricate, se poate realiza plecând chiar de la proiectarea mașinilor și continuind cu stabilirea tehnologiei de prelucrare și organizarea desfășurării procesului tehnologic de fabricație.

În ceea ce privește proiectarea, în vederea folosirii unui volum redus de muncă și de material trebuie ca formele constructive adoptate să satisfacă condițiile de tehnologicitate constructivă. Principalele condiții sînt:

— alegerea formei optime pentru piesă, cu număr redus de suprafețe care să fie prelucrate;

— alegerea semifabricatelor care să prezinte un adaos mic de prelucrare cu posibilități de folosire a celor mai perfecționate procedee tehnologice;

— să se asigure o unificare a pieselor, subansamblelor, a suprafețelor și a altor elemente constructive, ca filete, module pentru roți dințate, canale de pană etc.

— să se asigure o greutate minimă prin determinarea corectă a formelor constructive și folosirea materialelor de rezistență mare.

Problema alegerii formei constructive este deosebit de importantă pentru caracterizarea tehnologicității unei piese de mașini. În tabelul 19.3 sînt date unele exemple de alegere corectă și incorectă a formei constructive.

În ceea ce privește alegerea procesului tehnologic, prin analiza mai multor variante se alege varianta optimă din punct de vedere tehnic și economic. În acest fel se asigură și o creștere a productivității muncii.

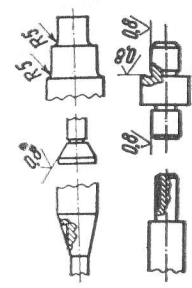
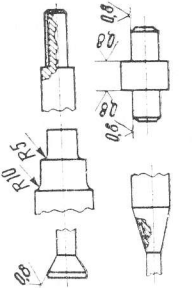
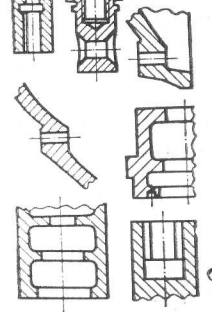
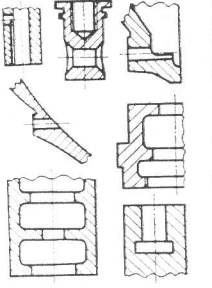
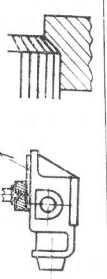
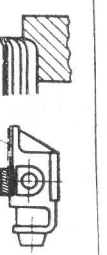
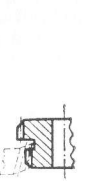

Un factor deosebit de important pentru realizarea unei înalte productivități este organizarea științifică a desfășurării procesului de producție.

Se amintesc unele principii care trebuie să stea la baza studiului organizării procesului de producție:

- asigurarea desfășurării producției după grafic, studierea drumului critic ș.a.;
- asigurarea aprovizionării cu materiale; asigurarea deservirii locului de muncă;
- organizarea procesului tehnologic în flux;
- încărcarea uniformă a schimburilor și a utilajelor;
- ridicarea calificării cadrelor și folosirea acestora în concordanță cu pregătirea și capacitatea de lucru.

Din punct de vedere al procesului tehnologic de prelucrare pe mașini-unelte, creșterea productivității este determinată de creșterea capacității de prelucrare.

Tabelul 19.3  
Exemple de alegere a formei constructive

Caracterul piesei sau suprafeței	Forma constructivă	
	Corect	Inc corect
Arbori		
Alezaje		
Suprafețe plane		
Roți dințate		

### 19.5.2. FACTORII CARE DETERMINĂ CREȘTEREA CAPACITĂȚII DE PRELUCRARE PE MAȘINI-UNELTE

Creșterea capacității de prelucrare pe mașini-unelte se poate realiza acționându-se asupra mai multor factori; o categorie se referă la tehnologia de elaborare a semifabricatului, a doua categorie la procesul de prelucrare.

Din analiza semifabricatelor de prelucrat se poate constata dacă procesul tehnologic folosit este cel mai corespunzător din punct de vedere tehnic și economic. Pentru reducerea timpului de prelucrare trebuie ca adaosul de prelucrare să fie minim. Aplicarea procedeeilor înaintate care pot asigura această cerință va fi determinată de caracterul producției și de caracteristicile constructive pe baza studiului posibilităților de aplicare a unor variante tehnologice pentru elaborarea semifabricatelor.

Dintre factorii care se referă la procesul de prelucrare pe mașini-unelte, aceștia trebuie să conducă, pentru creșterea capacității de producție, la reducerea componentelor timpilor de prelucrare. Acest deziderat se poate realiza, fie prin folosirea mașinilor-unelte de mare capacitate productivă, fie prin măsurile care se pot lua pentru creșterea acestei capacități la aceeași grupă de mașini (respectiv de reducere a timpului total de prelucrare). În vederea realizării unei reduceri a timpului de prelucrare pentru o serie de piese se va face studiul analitic al procesului tehnologic începând cu analiza seriei fabricatelor și pînă la ultima operație de control dimensional și calitativ.

O reducere însemnată a timpului de prelucrare se poate realiza prin stabilirea unui regim de prelucrare optim, prin folosirea metodelor înaintate de lucru, prelucrarea simultană, mecanizarea și automatizarea operațiilor de prelucrare și control, deservirea mai multor mașini etc.

Stabilirea regimului optim de prelucrare se poate face numai pe baze științifice. Astfel se va alege adîncimea de așchiere pe baza adaosului de prelucrare, a preciziei și a rigidității sistemului, avansul de lucru pe baza condițiilor de calitate a suprafeței, iar viteza pe baza caracteristicilor materialului, a mașinii-unelte și a sculei. În mod normal pentru aplicarea acestor cerințe trebuie pregătite semifabricatele, privind uniformitatea adaosului de prelucrare, a durității materialului etc.

### 19.5.3. POSIBILITĂȚI DE REDUCERE A TIMPULUI DE PRELUCRARE

19.5.3.1. Reducerea timpului de pregătire-încheiere. O bună parte a timpului de pregătire se consumă pentru reglarea lanțului de dimensiuni, în care se include piesa de prelucrat.

Timpul de pregătire-încheiere se poate reduce dacă:

- documentația tehnologică este pregătită și predată muncitorilor din timp;
- se face din timp instruirea muncitorului asupra procesului tehnologic de prelucrare, explicarea documentației tehnice și tehnologice;
- se mărește numărul de piese din lot; în acest fel, se reduce numărul de reglări ale lanțului de dimensiuni al mașinii-unelte;
- se pregătesc semifabricatele din timp; se face sortarea lor pe grupe, cu durități și adaosuri apropiate etc.;
- se face la timp pregătirea și predarea SDV-urilor, astfel ca muncitorul să nu piardă din timpul de lucru;
- se folosesc dispozitive speciale pentru prinderea sculelor;
- se folosește bine regula celor șase puncte, pentru a se asigura precizia de așezare și prelucrare.

19.5.3.2. REDUCEREA TIMPULUI DE BAZĂ. Pentru reducerea timpului de bază, ca primă măsură care trebuie să se ia este reducerea la minimum a adaosului de prelucrare. Pe baza proprietăților metalului și caracteristicilor de prelucrare se va alege regimul de așchiere optim. În această privință, o deosebită importanță o au parametrii părții așchietoare a sculelor. Aceștia influențează timpul de prelucrare, durabilitatea sculelor și gradul de netezime al suprafețelor prelucrate. Folosirea așchierii rapide la toate tipurile de mașini, prelucrarea cu avansuri mari, folosirea cuțitelor cu plăcuțe din carburi metalice sau mineraloceramice dau posibilitatea reducerii simțitoare a timpului de mașină.

Prin folosirea regimurilor intensive de așchiere, paralel cu introducerea metodelor avansate de prelucrare mecanică, se obține reducerea timpului de mașină.

Folosirea metodelor de lucru cu operații concentrate contribuie de asemenea la reducerea timpului de mașină.

Pe lângă măsurile amintite și altele care se mai pot lua, trebuie să se țină seama și de faptul că la reducerea timpului de lucru contribuie și alți factori. Astfel, de cele mai multe ori, în procesul de așchiere, pe lângă curse active au loc și curse în gol. Se recomandă ca procesul de prelucrare să se stabilească astfel încît cursele în gol — dacă nu se pot elimina complet — să fie minime. Aceasta se poate realiza, de exemplu, prin micșorarea distanțelor între sculele care lucrează succesiv la strungurile revolver, semi-automate, carusel, raboteze etc., prin folosirea de scule combinate, cuțite profilate ș.a., prin sortarea semifabricatelor în grupe, în așa fel încît adaosul de prelucrare să fie cît mai uniform la piesele ce se prelucrează simultan (fig. 19.6).

Uneori se poate folosi pentru prelucrare și cursa în gol, prin adaptarea unor scule corespunzătoare. Acolo unde nu se poate elimina sau micșora cursa în gol, se va mări viteza acesteia.

Folosirea metodelor de prelucrare în serie, în paralel sau mixt face să se obțină reduceri însemnate ale timpului de ba ă.

La prelucrarea în serie (fig. 19.7) prelucrarea se face succesiv. Se reduce în acest fel timpul de apropiere și de ieșire a sculei, se reduc golurile din cursele active, se reduce timpul de reglare etc.

La prelucrarea în paralel (fig. 19.8) un număr  $n$  de piese se prelucrează simultan. Timpul de mașină se reduce de la  $t_m$  la  $t'_m = t_m/n$ .

La folosirea metodei combinate (paralel-succesivă, fig. 19.9) se reunesc avantajele celor două metode.

Fixarea sculelor se poate face pe un singur sau pe mai mulți arbori (fig. 19.10). În primul caz (fig. 19.10,a) precizia este mai bună, mai ușor de obținut; în cel de-al doilea (fig. 19.10,b), avînd mai multe lanțuri de dimensiuni, precizia este influențată de erorile fiecărui lanț de dimensiuni.

La operațiile succesive, timpul de mașină pentru efectuarea tuturor operațiilor este

egal cu suma timpilor necesari pentru fiecare operație:  $T_s = \sum_{i=1}^{i=k} t_i$  sau, admițînd un timp mediu  $t_{med}$  pentru fiecare operație, se poate scrie  $T_s = kt_{med}$  în care  $k$  este numărul de operații elementare.

Dacă se realizează o concentrare a operațiilor prin folosirea blocurilor cu mai multe cuțite, fiecare executînd  $m$  operații, timpul de mașină necesar pentru prelucrare va fi

$$T_{cl} = \sum_{i=1}^{i=l} t_i = lt_{med}$$

unde  $l = \frac{k}{m}$  operații concentrate.

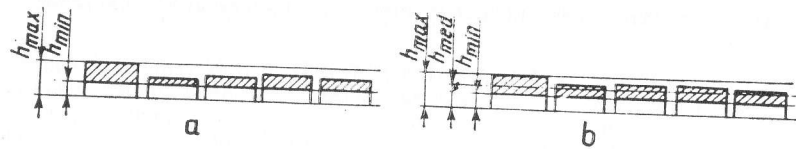


Fig. 19.6. Sortarea pieselor pentru prelucrarea pe mașini de rabotat:  
a - necorespunzătoare; b - corespunzătoare

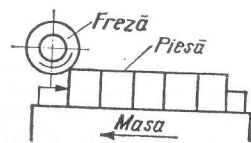


Fig. 19.7. Prelucrarea în serie

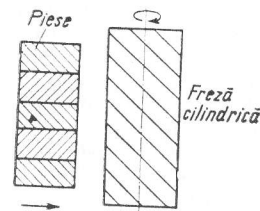


Fig. 19.8. Prelucrarea în paralel

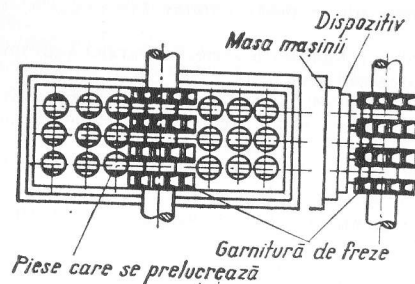


Fig. 19.9. Exemplu de prelucrare prin metoda paralel succesivă

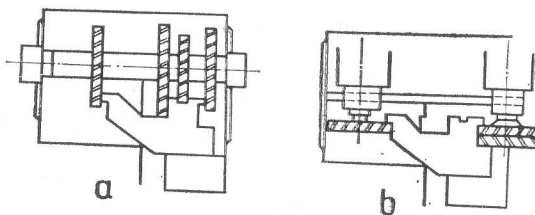


Fig. 19.10. Prelucrarea simultană:  
a - scule fixate pe același arbore portsculă; b - scule fixate pe arbori portsculă diferiți

Timpul de lucru se micșorează, deci, prin această concentrare de

$$\frac{T_s}{T_{c1}} = \frac{kt_{med}}{\frac{k}{m} t_{med}} = m \text{ ori.}$$

Se poate trage concluzia că prin concentrarea operațiilor de prelucrare mecanică se reduce durata de prelucrare, aproximativ de atâtea ori cît scule lucrează concomitent.

Dacă se procedează la o concentrare și a blocurilor de cuțite în mai multe poziții (capete, arbori principali) apare concentrarea de ordinul doi a operațiilor.

Astfel de concentrări se întîlnesc la semiautomate cu mai multe poziții și mai mulți arbori, mașini de frezat cu tambur și mai multe freze, mașini de găurit, agregate cu două și trei capete etc.

Dacă se amplacează operațiile concentrate și blocurile de scule  $l$  pe un număr  $n_c$  de mașini-unelte cu mai multe poziții, atunci fiecare mașină va avea în medie:  $m_1 = \frac{l}{n_c}$  operații concentrate.

Numărul de operații la mașini-unelte se reduce în acest caz la  $n_c = \frac{l}{m_1}$ .

Timpul de lucru va fi

$$T_{c2} = \sum_{i=1}^{i=n_c} t_i = n_c t'_{med} = \frac{l}{m_1} t'_{med} = \frac{k}{mm_1} t'_{med}$$

Timpul de lucru prin cea de-a doua concentrare se reduce cu

$$\frac{T_s}{T_{c2}} = \frac{kt_{med}}{\frac{k}{mm_1} t'_{med}} = mm_1 \frac{t_{med}}{t'_{med}} = mm_1 \tau$$

dacă  $t_{med} = t'_{med}$ , atunci timpul de lucru se reduce de  $mm_1$  ori (s-a notat  $\tau = \frac{t_{med}}{t'_{med}}$ ).

Prin reunirea operațiilor cu concentrare de gradul doi se obține concentrarea de gradul trei, adică operațiile care se execută pe mașinile-agregat cu mai multe operații sau cu mai multe capete din liniile automate. Reunind toate mașinile-unelte  $n_c$  într-o linie automată, toate operațiile elementare  $k$  vor fi executate simultan. Aceasta constituie concentrarea maximă a operațiilor, gradul de concentrare crește de încă  $n_c$  ori. Timpul de mașină scade de  $n_c$  ori:

$$T_{min} = \frac{T}{n_c} = \frac{k}{mm_1 n_c} t'_{med} = t''_{med} \text{ deoarece } k = mm_1 n_c.$$

La concentrarea maximă a operațiilor, timpul de lucru pe mașina-unealtă pentru prelucrarea unei piese este egal cu timpul de mașină al unei operații elementare, dacă la fiecare poziție se prelucurează o singură piesă.

La aplicarea metodei operațiilor concentrate, uneori crește timpul de pregătire și timpul de reglare, dar aceasta nu influențează timpul unitar.

**19.5.3.3. REDUCEREA TIMPULUI AUXILIAR.** Timpul auxiliar care intervine la prelucrările mecanice poate atinge uneori valori care să depășească durata timpului de mașină. Durata timpului auxiliar este determinată de procesul de așchiere, de dispozitivele folosite, de metodele de măsurare, de gradul de mecanizare. Pentru reducerea timpului auxiliar se poate acționa fie direct, în sensul micșorării duratei manipularilor ce compun timpul auxiliar, fie că se face în așa fel încât timpul auxiliar să se suprapună cu timpul de mașină.

Reducerea timpului auxiliar privind timpul necesar pentru fixarea pieselor sau sculelor se poate obține prin standardizarea și raționalizarea dispozitivelor de fixare. Exemple: folosirea unui singur tip de piulițe de mașini sau dispozitive, folosirea de arcuri pentru susținerea elementelor de fixare, folosirea dispozitivelor de strângere cu excentric, hidraulice, pneumatice; la fel, reducerea numărului de dispozitive de strângere, folosirea de compensatori mobili în lanțul de dimensiuni, folosirea de compensatori cu bile, din cauciuc, hidraulici sau cu hidroplast. În același sens se impune folosirea dispozitivelor cu rigle gradate sau cu comparatoare, pentru fixarea piesei sau sculelor, ceea ce va contribui la reducerea timpului de fixare și de reglare. Fixarea pentru strângerea prin metoda coordonatelor reduce timpul auxiliar până la de două ori. Folosirea dispozitivelor asigură, pe lângă reducerea timpului auxiliar, și prelucrarea la o precizie mai mare și de asemenea creșterea productivității muncii. La reducerea timpului auxiliar contribuie, pe lângă ușurarea muncii, și introducerea mijloacelor de mecanizare pentru așezarea și scoaterea pieselor.

Rezultate bune se obțin prin automatizarea opririlor, prin limitările de curse, mecanizarea deplasării cărucioarelor, a arborilor principali, a dispozitivelor de strunjire etc.

Suprapunerea timpului auxiliar cu timpul de mașină se poate face prin folosirea unor dispozitive de schimb sau cu poziții schimbabile, cu avans de lucru continuu, folosirea dispozitivelor de măsurare în timpul lucrului ș.a.

La folosirea dispozitivelor de schimb, piesele se fixează pe dispozitiv în timpul cât se prelucurează pe un alt dispozitiv. Asemenea dispozitive se pot folosi la semiautomate, strunguri cu mai multe cuțite, mașini de frezat, mașini de găurit, raboteze ș.a. Prin folosirea dispozitivelor de schimb (cu poziții schimbabile, fig. 19.11) se obține o creștere a productivității cu 50...75%.

**19.5.3.4. REDUCEREA TIMPULUI DE DESERVIRE.** Timpul de deservire se compune, în bună parte, din timpul necesar pentru reglarea și înlocuirea sculelor, prelucrarea și predarea pieselor, îndepărtarea așchiilor ș.a.

Reducerea acestui timp se poate realiza prin folosirea echipamentului interschimbabil, ca de exemplu suportii pentru scule, schimbarea rapidă a sculelor. Aceasta face ca să se reducă numărul de opriri ale mașinii-unelte pentru înlocuirea sculelor, regimul de așchiere poate fi intensificat, reglul poate deservi mai multe mașini.

**19.5.3.5. REDUCEREA TIMPULUI DE ODIHNĂ.** În timpul lucrului, muncitorul este solicitat de factori fizici, fiziologici și psihologici. Organizarea procesului de lucru trebuie să fie în așa fel făcută încât munca să se desfășoare în condiții plăcute, să se reducă eforturile fizice prin mecanizare, să se reducă eforturile fiziologice prin crearea unei atmosfere plăcute, aer curat, nu prea cald sau prea rece, fără zgomote etc.

Se cere deci ca muncitorul să-și desfășoare activitatea în condiții care să-i creeze factori pozitiv emotivi.

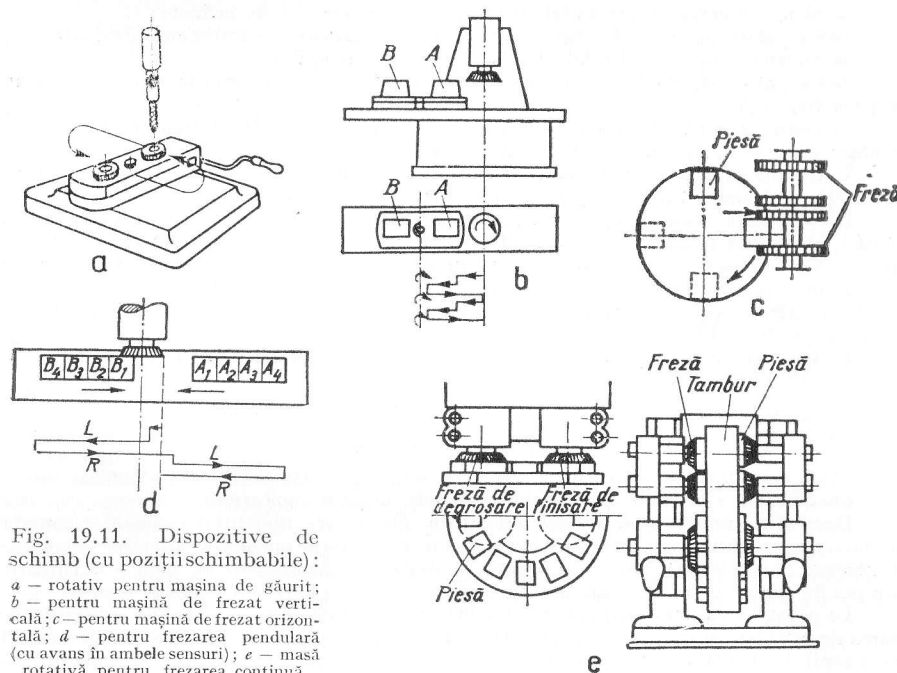


Fig. 19.11. Dispozitive de schimb (cu poziții schimbabile):  
a - rotativ pentru mașina de găurit;  
b - pentru mașină de frezat verticală;  
c - pentru mașină de frezat orizontală;  
d - pentru frezarea pendulară (cu avans în ambele sensuri); e - mașină rotativă pentru frezarea continuă

Dacă munca se desfășoară în atmosferă viciată, zgomot, în condiții de pericol de accidente, muncitorului i se cere o atenție încordată, se enervează; toți acești factori sînt negativ emotivi, care influențează în rău capacitatea de muncă a muncitorului.

#### 19.5.4. CREȘTEREA PRODUCTIVITĂȚII MUNCII PRIN DESERVIREA MAI MULTOR MAȘINI

Deservirea mai multor mașini-unelte pare, la prima vedere, a avea influență numai asupra folosirii mai raționale a timpului de manoperă. De fapt însă, pentru a se putea introduce deservirea mai multor mașini-unelte, trebuie luate o serie de măsuri, care în ultima analiză vor duce la o mai bună folosire a timpului de mașină.

Metoda deservirii mai multor mașini-unelte este o metodă care se poate folosi cu rezultate foarte bune și la procesele tehnologice de prelucrare în construcția de mașini. Această posibilitate trebuie să stea în atenția tehnologilor încă de la alegerea proceselor tehnologice. Mașinile care se pretează a fi folosite sînt diferite. Pot fi strunguri la care se prelucurează piese lungi, mașini de frezat, semiautomate cu un arbore, mașini automate ș.a. În principiu se pretează aplicării acestui principiu toate mașinile-unelte la care timpul de mașină este mare și la care se pot adapta dispozitive de oprire automată, de reversare a mișcării etc.

Pentru a se putea aplica metoda deservirii mai multor mașini trebuie să se îndeplinească anumite condiții, între care se amintesc:



- să nu fie necesară supravegherea continuă a procesului de aşchiere;
- timpul de maşină să fie mai mare decât timpul de deservire împreună cu cel auxiliar;
- maşina-uneltă să fie folosită la capacitatea maximă;
- timpul de deservire şi cel auxiliar să fie astfel încît să permită muncitorului un repaos fiziologic;
- pentru a reduce timpul cu deplasarea muncitorului de la o maşină la alta, acestea trebuie grupate în aşa fel ca să permită o uşoară supraveghere;
- trebuie să se asigure alimentarea maşinilor cu semifabricate, scule, reglarea maşinilor la timp, transportul la timp al pieselor prelucrate şi al aşchiilor.

La stabilirea tehnologiei de prelucrare, operaţiile se pot reuni în mai multe feluri. Astfel, ele se pot reuni în paralel, cînd la toate maşinile se lucrează la aceeaşi operaţie (producţie de masă), se pot reuni operaţii succesive, cînd la fiecare maşină se efectuează o altă operaţie sau fază, în ordinea succesivă la aceeaşi piesă (producţie în bandă), precum şi reunirea mixtă, cînd se combină diferite operaţii şi chiar diferite feluri de prelucrări (producţie de serie).

La aplicarea metodei de deservire a mai multor maşini se va mai ţine seama de coeficientul  $k$  de încărcare a muncitorului:

$$k = \frac{t_m}{t_{oper}} = \frac{t_m}{t_m + t_M}$$

în care:  $t_m$  este timpul manoperei de deservire, min;  $t_M$  — timpul de maşină, min.

Coeficientul  $k$  se stabileşte în funcţie de solicitările muncitorului.

**Deservirea mai multor maşini automate.** Deservirea mai multor maşini automate se poate uşor realiza, deoarece la aceste maşini muncitorul are mai mult rolul de supraveghetor. Maşinile automate sînt maşini scumpe, întrebuinţarea lor este costisitoare, timpul de reglare mare, din care motive trebuie ca ele să fie folosite cit mai bine.

La organizarea deservirii mai multor maşini automate trebuie să se studieze posibilitatea deservirii a cit mai multe maşini, fără ca să existe suprapuneri ale timpului de maşină cu timpul de deservire. Stabilirea numărului de maşini care se pot deservi se poate face prin calcul sau prin metoda grafică.

La calculul analitic se pleacă de la următorul raţionament: timpul de maşină la prelucrarea unor piese din bare, de exemplu, se poate scrie  $T_m = n t_m = n(t_g + t_b)$ , în care:  $n$  este numărul de piese;  $t_m$  — timpul de maşină pe bucată, min;  $t_b$  — timpul de bază, min;  $t_g$  — timpul de mers în gol min.

Timpul de deservire se poate scrie  $T_d = t_{a1} + t_{sc} + t_{ev} + T_{ap}$ , în care  $t_{a1}$  este timpul de alimentare, min,  $t_{sc}$  — timpul de scoatere a piesei prelucrate, min,  $t_{ev}$  — timpul necesar pentru evacuarea aşchiilor, min, iar  $T_{ap}$  — timpul de acoperire, min.

Timpul de deservire a unei maşini, în cazul deservirii simultane a mai multor maşini, în raport cu timpul cit se lucrează la o singură maşină este  $T_{duN} = T_{du1}/N$  în care  $N$  este numărul de maşini deservite iar  $T_{du1}$  — timpul de deservire care revine în cazul lucrului la o singură maşină, min.

Dacă numărul de maşini deservite este mai mare, se poate ajunge în situaţia ca să nu apară suprapuneri ale timpului de maşină cu timpul de deservire şi deci una sau mai multe maşini vor trebui să aştepte, întrerupîndu-se prelucrarea.

Dacă numărul de maşină este mai mic, atunci poate exista timp de deservire disponibil. Ținînd seama de aceste cazuri, timpul care revine pentru o maşină se poate scrie sub forma

$$T_{duN} = \frac{T_{du1} + T_{ap}}{N}$$

unde s-a notat cu  $T_{ap}$  timpul de acoperire sau disponibil.

Dacă se analizează variaţia relaţiei de mai sus în funcţie de numărul de maşini deservite  $N$ , o dată cu creşterea acestuia, valoarea timpului pe bucată va descinde pînă la o anumită limită şi apoi va începe să crească. Aceasta se explică prin aceea că, prin creşterea numărului de maşini  $N$ , scade valoarea timpului de deservire, dar, prin creşterea peste un anumit număr a maşinilor deservite, timpul de acoperire va trebui să fie mare, astfel că va influenţa timpul pe bucată, mai mult decât influenţează creşterea numărului de maşini.

Ținînd seama de acest lucru, relaţia se poate scrie:

$$T_{duN} = \frac{T_{du1} + T_{ap}}{N} \leq T_{du1}$$

Reprezentînd grafic relaţia, se obţine o curbă asimetrică (fig. 19.12) deoarece scăderea valorii timpului de deservire a mai multor maşini are loc mai lent, decât creşterea lui prin necesarul de majorare a timpului de acoperire.

Calculul numărului de maşini care se pot deservi fără a avea timp de acoperire se poate face din raportul între timpul de maşină şi timpul de deservire:  $T_m/T_d = N$ . Numărul de maşini ce se pot servi va fi  $N_d = N + 1$ .

Dacă se obţine prin împărţire un număr fracţionar, se va considera numărul întreg la care se adaugă 1 (exemplu:  $T_m/T_d = 3,18$  numărul de maşini care se pot deservi va fi de  $3 + 1 = 4$ ).

Dacă deservirea urmează să se facă combinat la maşini automate şi maşini universale, calculul este puţin mai dificil. Problema se poate rezolva mai uşor grafic.

Pentru a face un calcul economic, este necesar să se cunoască costul deservirii mai multor maşini, în comparaţie cu cel al deservirii unei singure maşini; aceasta se poate face scriind cheltuielile de deservire în cele două cazuri. Pentru simplificarea se elimină cheltuielile constante care intervin în ambele cazuri.

Cheltuielile pentru deservirea unei maşini se pot scrie sub forma  $C_{du} = T_{du1}S + T_{du}R$  în care  $S$  este salariul muncitorului care deserveşte maşina, lei/min, iar  $R$  — cheltuielile de regie, lei/min.

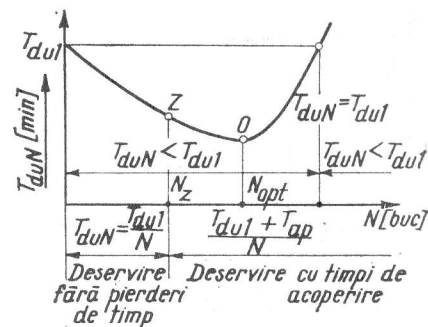
Pentru deservirea mai multor maşini se calculează

$$C_{dm} = \frac{T_{du1} + T_{ap}}{N} S + (T_{du1} + T_{ap}) R$$

sau se pune condiţia

$$T_{du1}S + T_{du1}R \geq \frac{T_{du1} + T_{ap}}{N} S + (T_{du1} + T_{ap}) R.$$

Reprezentînd grafic această relaţie, se obţine o curbă asemănătoare cu aceea a timpului (fig. 19.13). Luînd un punct corespunzător numărului de maşini  $N_d$ , acesta arată deservirea în condiţii economice a mai multor maşini. Din grafic se observă că  $N_0$  este numărul optim de maşini care pot fi deservite economic, iar  $N_e$  — numărul limită de maşini pînă la care mai este economică deservirea mai multor maşini, peste acest număr fiind mai economică deservirea unei singure maşini.





Se poate observa că există două poziții care dau aceleași cheltuieli pentru deservirea mai multor mașini. Alegerea se poate face deci pentru două cazuri. Orientarea în astfel de împrejurări se face după numărul de muncitori la dispoziție.

Analiza posibilităților de aplicare practică a deservirii mai multor mașini se poate face grafic (fig. 19.14), putându-se ușor constata dacă gruparea mașinilor-unelte sau dacă combinarea timpilor de lucru s-a făcut în condiții optime.

Pentru stabilirea condițiilor optime în care se poate aplica deservirea mai multor mașini se poate folosi teoria șirurilor de așteptare sau programarea liniară.

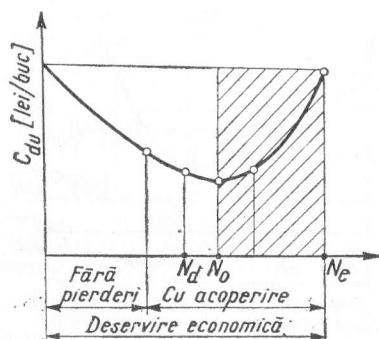


Fig. 19.13. Variația costului deservirii mai multor mașini

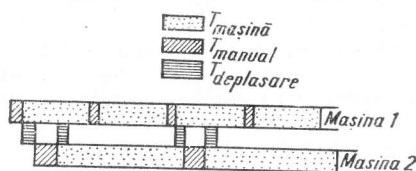


Fig. 19.14. Analiza grafică a deservirii mai multor mașini

## IV. TEHNOLOGIA ASAMBLĂRII MAȘINILOR

### BIBLIOGRAFIE (cap. 17—19)

1. ANSEROV, M. A. *Prisposoblenia dlia metalorezuşchih stankov*. Moscova, Maşinostroenie, Leningrad, 1964.
2. BALACŞIN, V. S. *Somopodnastraiviesnicska stanki*. Moscova, Maşinostroenie, 1967.
3. BALINT, L. A. *Forgacsölő megmunkálás tervezése*. Budapest, Műszaki Könyvkiadó, 1958.
4. BARANOV, B. A. *Normarea tehnică în uzinele constructoare de mașini*. București, Editura Tehnică, 1960.
5. BARUN, V. A. și BUDINSKI, A. R. *Stanki i programnim upravlianiem i program-mirovanie obrabotke*. Moscova, Maşinostroenie, 1965.
6. DUNAEV, P. F. *Laufuri de dimensiuni*. București, Editura Tehnică, 1958.
7. DUNAEV, P. F. *Razmerniie fepi*. Moscova, Maşghiz, 1963.
8. GOROŞKIN, A. K. *Prisposoblenia dlia metalorezuşchih stankov*. Moscova, Maşghiz, 1953.
9. HAIDUC, I. *Economia, organizarea și planificarea întreprinderilor constructoare de mașini*. Lit. I.P.T., 1968.
10. KAMENİTER, S. ș.a. *Economia, organizarea și planificarea întreprinderilor industriale*. București, Editura Științifică, 1962.
11. KORSÁKOV, V. S. *Osnovi konstruirovania prisposoblenii*. Moscova, Maşinostroenie, 1965.
12. KORSÁKOV, V. S. *Precizia prelucrării mecanice*. București, I.D.T., 1963.
13. KUCER, M. și KUCER, A. M. *Modernizarea și automatizarea mașinilor-unelte*. București, Editura Tehnică, 1960.
14. MANOLIU, R. ș.a. *Mașini agregate și linii automate*. București, Editura Tehnică, 1965.
15. MITROFANOV, S. P. *Tehnologia de grup construcția de mașini*. București, Editura Tehnică, 1962.
16. MOLDOVAN, C. ș.a. *Comanda electronică a mașinilor-unelte*. București, Editura Tehnică, 1965.
17. MÜLLER, S. *Technologische Fertigungsvorbereitung*. Berlin, V.V.T., 1965.
18. POPOVICI, C. ș.a. *Tehnologia construcției de mașini*. București, E.D.P., 1967.
19. ROTHaupt, ș.a. *Einführung in die Productionstechnik*. Berlin, V.T. V.E.B., 1963.
20. SAVII, GH. ș.a. *Considerații despre deservirea mai multor mașini și cumulara de noi profesii*. București, Editura Academiei R.S.R., 1969.
21. SIMON, W. *Die numerische Steuerung von Werkzeugmaschinen*. München, C.H. Verlag, 1963.
22. STĂNESCU, I. și TACHE, V. *Dispoziție pentru mașini-unelte*. București, Editura tehnică, 1969.
23. TAPARIN, I. A. *Mehanizmi tehnologiceskoi osnastki*. Moscova, Maşinostroenie, 1964.
24. VLAD, AL. și GRIGORESCU, H. *Reglarea strungurilor automate*. București, Editura Tehnică, 1965.
25. WILSON, F. W. și HALT, I. M. *Handbook of fixture design*. New-York, 1962.
26. \* \* \* *Automatizacia professov mehaniceskoi obrabotki i sborki*. Moscova, Nauka, 1967.
27. \* \* \* *Spravocinik maşinostroitelia*. Moscova, Maşinostroenie, 1964.
28. \* \* \* *Spravocinik tehnologia maşinostroitelia*. Vol. I. Moscova, Maşghiz, 1963.

## 20. PROIECTAREA PROCESELOR TEHNOLOGICE DE ASAMBLARE

### 20.1 ELEMENTELE COMPONENTE ALE PROCESULUI TEHNOLOGIC DE ASAMBLARE

Comparînd volumul de muncă consumat pentru executarea procesului tehnologic de asamblare cu volumul de muncă necesar procesului de producție a unui produs din industria constructoare de mașini, rezultă că procesul tehnologic de asamblare reprezintă 20...30% din întregul volum de muncă al procesului de producție și 30...65% din cantumul de muncă al procesului tehnologic de prelucrare la rece [6], [12]. Rezultă prin urmare că, procesul tehnologic de asamblare, prin volumul său considerabil de muncă, influențează în mare măsură formarea prețului de cost al unui produs al industriei constructoare de mașini. În consecință, se impune ca procesele tehnologice de asamblare să se proiecteze cu aceeași grijă și discernămint ca și procesele tehnologice de prelucrare prin așchiere.

Elementele componente ale procesului tehnologic de asamblare corespund, prin analogie, cu cele ale procesului tehnologic de prelucrare la rece și se definesc în conformitate cu cele indicate în STAS 6909-65. Se va înțelege deci prin operație de asamblare totalitatea intervențiilor muncitorului montator sau a echipei de montatori, asupra produsului în curs de asamblare, la același loc de muncă. Dacă produsul neterminat părăsește locul de muncă, în vederea continuării asamblării la un alt loc de muncă, urmează o altă operație de asamblare. În consecință dacă produsul se assemblează în întregime la același loc de muncă, fără să-l fi părăsit pe întreaga durată a asamblării, este vorba de o singură operație, indiferent dacă a fost executată de către un singur muncitor sau de o echipă, simultan sau într-o anumită succesiune de faze planificată.

În cadrul operației de asamblare se execută un număr oarecare de îmbinări, adică uniri a două piese vecine. Fiecare îmbinare constituie cîte o fază a operației de asamblare. Mișcările manuale sau mecanice necesare aducerii pieselor, sculelor și dispozitivelor la locul de îmbinare, a poziționării acestora și a fixării pieselor la locul prevăzut în ansamblul produsului sînt minuirile, care constituie de asemenea un element component al operației de asamblare. Desfășurarea operației de asamblare se poate urmări în fig. 20.1 care reprezintă o cutie de unsoare, echipată cu cîte doi rulmenți cu role cilindrice. În secțiunea prin cutia de unsoare, reperele sînt numerotate în ordinea asamblării.

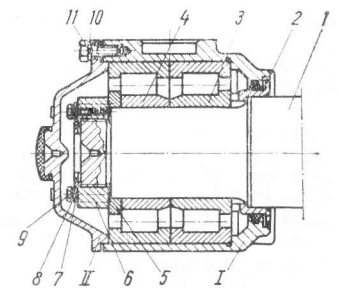


Fig. 20.1. Cutie de unsoare cu rulmenți cu role cilindrice.

Operația de asamblare a trenului de roți se execută în două așezări, considerându-se că fazele de asamblare de la fiecare capăt al osiei fac parte din câte o așezare. Dacă operația de asamblare se execută de către o singură echipă de montatori, atunci operația se desfășoară în două așezări succesive, iar dacă lucrează câte o echipă la fiecare capăt al osiei, fazele, deși se desfășoară simultan, se execută tot în două așezări. Fiecare îmbinare formează câte o fază a operației. De exemplu faza de încheiere a fiecărei așezări este înșurubarea ultimului șurub de fixare a capacului (grupa II). Mînuirile din această fază sînt scoaterea șurubului din cutia de depozitare, așezarea inelului de siguranță (grower)

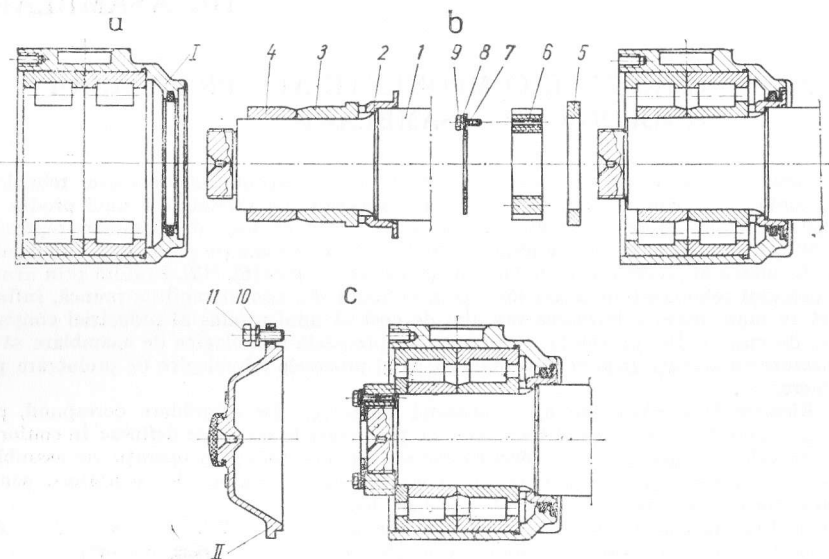


Fig. 20.2. Desfășurarea fazelor de asamblare a cutiei de unsoare reprezentată în fig. 20.1.

pe șurub, trecerea șurubului prin gaura corespunzătoare a capacului, înșurubarea manuală a primelor spire și înșurubarea mecanică a șurubului. În fig. 20.2 este reprezentată succesiunea fazelor pentru una din cele două așezări ale operației. Se observă că grupurile de repere I și II se aduc la locul de asamblare generală gata montate, acestea fiind asamblate la un alt loc de muncă.

Calitatea asamblării este determinată de concordanța dintre condițiile tehnice prescrise în caietul de sarcini al produsului privind precizia poziției reciproce a pieselor și poziția reală a pieselor asamblate, constatată prin măsurători. Durata îmbinărilor depinde de alegerea materialului pieselor îmbinate și de stabilirea corectă a ajustajelor îmbinării [12].

Abaterile de la poziția prescrisă a organelor asamblate pot fi rezultatul erorilor de prelucrare ale organelor componente, al așezării necorespunzătoare a unora dintre acestea, sau al stării de dezechilibru a maselor organelor în mișcare.

### 20.1.1. NOȚIUNI PRIVIND PROIECTAREA PROCESELOR TEHNOLOGICE DE ASAMBLARE

Prin asamblarea mai multor piese, numite în tehnologia asamblării repere, se obține un grup de repere (fig. 20.2, I). În cadrul unui grup complex de repere pot apare grupuri cu număr mai redus de repere. Fiecare dintre acestea constituie câte un subgrup de repere. Grupul de repere la rîndul său este o parte componentă a unui subansamblu (fig. 20.1), care constituie un mecanism cvasiindependent. Mai multe subansambluri formează un ansamblu, adică un produs complex finit.

Documentul de bază pentru proiectarea proceselor tehnologice de asamblare îl constituie desenul de subansamblu și desenul de ansamblu. În acestea se reprezintă toate reperele componente, precum și poziția lor în cadrul subansamblurilor, respectiv în cadrul ansamblului. Pentru a putea urmări succesiunea logică a desfășurării fazelor de asamblare, pe baza desenului de subansamblu, respectiv de ansamblu, se întocmește schema de asamblare. În fig. 20.3 se arată schema de asamblare a cutiilor de unsoare

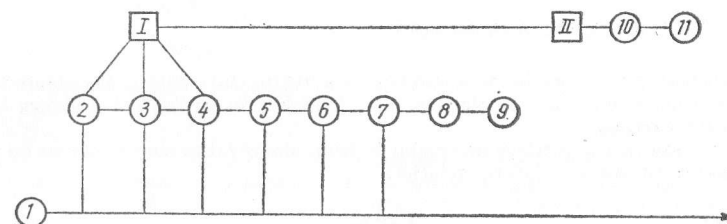


Fig. 20.3. Schema de asamblare a cutiei de unsoare reprezentată în fig. 20.1.

a osiei montate, reprezentată în fig. 20.1. După cum rezultă din fig. 20.1 fiecare cutie de unsoare se compune din câte 11 repere și din câte două subgrupe de repere I și II. Reperul de bază, pe care se montează cele două cutii de unsoare, este osia. În schema de asamblare acesta primește numărul de succesiune 1. Numerotarea celorlalte repere se face în succesiunea asamblării arătată în fig. 20.2.

Tehnologul care proiectează procesul tehnologic de asamblare nu va executa, evident, un astfel de desen în realitate. Prin operații ale gândirii însă își va imagina desfășurarea procesului tehnologic de asamblare într-o succesiune similară, logică, prin descompunerea subansamblului sau grupului de repere în felul ilustrat în fig. 20.2. După ce tehnologul și-a conceput procesul tehnologic mintal, va trece la poziționarea în schemă a fiecărui reper și subgrup de repere.

Reperele se notează pe această schemă de asamblare cu cifre arabe, iar grupurile sau subgrupurile cu cifre romane și se simbolizează cu cercuri, respectiv cu pătrățele. Dacă vreun subgrup de repere se assemblează la alt loc de muncă, atunci nu se mai trec pe schemă reperele componente ale acestuia, cum este cazul subgrupului I. Pe schema de asamblare reperele sau un subgrup de repere care formează o îmbinare, se leagă între ele cu câte o dreaptă. În felul acesta schema de asamblare oglindește nu numai succesiunea fazelor, dar și poziția reciprocă a reperelor, respectiv a subgrupurilor în raport cu reperul de bază. După ce pe baza schemei de asamblare a fost determinat numărul

fazelor de lucru, se stabilește numărul și felul sculelor necesare executării fiecărei faze. Se întocmește apoi lista de scule cu care va trebui dotat locul de muncă.

Fiecare schemă de asamblare se referă la o singură operație, adică numai la fazele și minuirile realizate la unul și același loc de muncă. În felul acesta, pe baza schemei de asamblare, se poate determina numărul fazelor, numărul și felul minuirilor, ușurându-se astfel în mare măsură întocmirea planului de operații și normarea operațiilor.

Etapele principale ale procesului tehnologic de asamblare sunt următoarele: 1-transportul organelor componente ale produsului la locul de muncă; 2-poziționarea reciprocă a organelor care se îmbină între ele; 3-îmbinarea acestora; 4-fixarea pieselor îmbinate; 5-controlul calității îmbinărilor făcute; 6-transportul produsului asamblat de la locul de muncă.

Pentru proiectarea unui proces tehnologic de asamblare este necesară cunoașterea următoarelor date inițiale: 1-programul anual de producție; 2-termenul de livrare planificat al produselor; 3-condițiile tehnice și normele de precizie precum și normele privind rigiditatea produsului, destinația acestuia și eventuale condiții tehnice deosebite de care va trebui ținut seama în cursul asamblării.

### 20.1.2. PROCEDEE DE ASAMBLARE

Se deosebesc două procedee de asamblare: asamblare staționară și asamblare mobilă, aceasta din urmă numită și asamblare în flux. Ambele procedee se pot organiza cu ritm liber și cu ritm impus.

Prin ritm sau tact se înțelege intervalul de timp planificat în care se obține un produs finit. Ritmul se obține cu ajutorul relației:

$$R = \frac{F_n \cdot s \cdot \eta_n}{N} [\text{min}] \quad (20.1)$$

în care:  $F_n$  — reprezintă fondul anual nominal de timp pe un schimb, min;  $s$  — numărul de schimburi pe zi;  $\eta_n$  — coeficientul de exploatare a fondului nominal de timp;  $N$  — producția anuală planificată în bucăți de produse, ( $\eta_n$  cuprinde atât coeficientul de folosire a timpului muncitorului cât și pe cel al mașinilor).

**20.1.2.1. ASAMBLAREA STAȚIONARĂ.** Se caracterizează prin aceea că, pe durata acesteia produsul nu părăsește locul de muncă, decît în formă finită. Asamblarea staționară (întreg procesul tehnologic se desfășoară la același loc de muncă) se compune dintr-o singură operație, care se execută de obicei de către mai mulți montatori organizați pe echipe.

Asamblarea staționară este indicată în producția de unicate sau de serie mică a produselor grele sau cu gabarit mare, pentru asamblarea de prototipuri și în cazul montării unor produse a căror piesă de bază nu este suficient de rigidă, încît produsul neterminat ar putea suferi deformații permanente în cursul deplasării de la un loc de muncă la altul.

Asamblarea staționară prezintă avantajul că sculele, dispozitivele și instrumentele de măsură și control, necesare executării operației, sînt utilaje universale procurabile la termene de livrare scurte.

În producția de serie a unor produse care se compun din mai multe subansambluri, procesul tehnologic de asamblare se poate organiza cu ritm impus, eliminînd inconvenientele proprii ale asamblării cu ritm liber. În acest caz, operația de asamblare concentrată la un singur loc de muncă (fig. 20.4, a) va fi diferențiată, încît procesul tehnologic de asamblare se va desfășura pe mai multe locuri de muncă (fig. 20.4, b). La fiecare

loc de muncă echipa de montatori, specializată pentru una dintre operațiile diferențiate, va executa numai această operație, după terminarea căreia va trece la locul de muncă următor, cedînd locul unei alte echipe specializată pentru operația diferențiată următoare. În felul acesta, după expirarea duratei ritmului, fiecare echipă va trece la locul de muncă următor. În aceste condiții, asamblarea poate fi urmărită ușor și poate fi rigu-

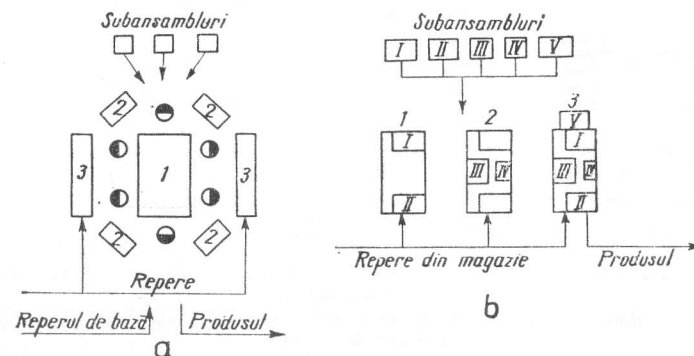


Fig. 20.4. Schema asamblării staționare:

a — cu ritm liber: 1 — reperul de bază; 2 — raft pentru scule; 3 — raft pentru repere;  
b — cu ritm impus: I...V — subansambluri; 1, 2, 3 — locuri de muncă

ros controlată, iar productivitatea muncii crește. Desfășurarea unei asamblări staționare cu ritm impus se poate urmări în fig. 20.4, b.

**20.1.2.2. ASAMBLAREA MOBILĂ.** Se recomandă în fabricație de serie pentru montarea produselor cu masa mică sau medie (pînă la cca. 500 kg) și cu gabarit redus.

În cursul asamblării mobile produsul neterminat fiind deplasat de la un loc de muncă la altul, transportul produselor mai grele ar putea crea dificultăți. În cazul asamblării mobile, procesul tehnologic se descompune în operații diferențiate, la fiecare loc de muncă efectuîndu-se o anumită parte a procesului tehnologic de către un muncitor sau de către o echipă de muncitori, calificați pentru executarea lucrărilor planificate pentru un anumit loc de muncă. Organizarea procesului tehnologic al asamblării mobile cere o astfel de diferențiere a lucrărilor, încît timpii necesari efectuării volumului de muncă planificat pentru fiecare loc de muncă să fie egali sau cît mai apropiați între ei. Transportul produselor neterminate de la un loc de muncă la altul în lungul liniei de asamblare va trebui făcut în succesiunea operațiilor, corespunzător ritmului și riguros sincronizat. La acest procedeu de asamblare ritmul este impus, folosind în acest scop însăși instalația de transport, sau un dispozitiv acustic pentru semnalizare.

Asamblarea mobilă prezintă avantajul că nu reclamă muncitori de calificare multi-laterală, montatorii putînd fi calificați chiar și la locul de muncă. Productivitatea muncii la asamblarea mobilă este ridicată, depășind pe cea a asamblării staționare. Deși din cauza instalațiilor speciale de transport, necesare deplasării produsului neterminat, spațiul util este relativ mare, totuși indicele de productivitate pe unitatea de suprafață productivă este mai ridicat decît la asamblarea staționară, ceea ce înseamnă că la asamblarea mobilă spațiul este mai bine folosit.

Asamblarea mobilă poate fi cu mișcarea continuă a produsului neterminat pe linia de asamblare sau cu mișcare intermitentă a acestuia.

Asamblarea mobilă cu mișcare continuă este indicată pentru montarea produselor ușoare (până la 20 kg) cu gabarit redus, în producția de serie mare sau în producția de

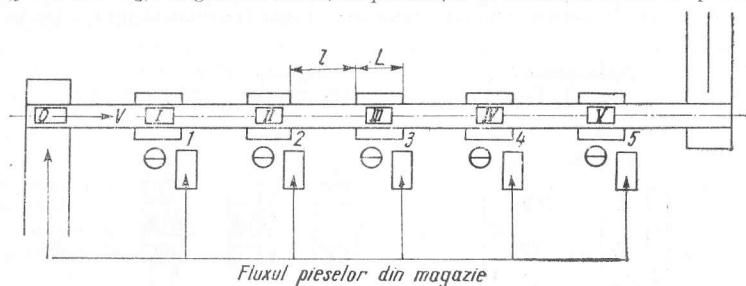


Fig. 20.5. Schema unei linii de asamblare mobilă cu mișcare intermitentă și ritm impus:

1, 2... — locuri de muncă; 0, I, II...IV — produsul neterminat pe bandă; V — post de control

masă. Îmbinările care trebuie executate la fiecare loc de muncă vor trebui să fie simple, cu mânuiri cât mai puține, iar timpul necesar efectuării lor va trebui să se încadreze în ritmul liniei. Îmbinările vor fi astfel alese ca precizia lor să nu sufere din cauza transportului în lungul liniei de asamblare. Viteza instalației de transport al produsului neterminat se va calcula cu relația:

$$v = \frac{L + l}{R} \text{ [m/min]}, \quad (20.2)$$

în care:  $L$  este lungimea ocupată de produs pe linie, m;  $l$  — distanța dintre două produse pe linie, m;  $R$  — ritmul, min.

Asamblarea cu mișcare intermitentă este potrivită pentru montarea produselor cu masa peste 20 kg cu îmbinări complexe, a căror efectuare necesită număr mare de mânuiri și un timp îndelungat. Durata întreruperii transportului produsului neterminat necesară executării operației va fi egală cu ritmul. Timpul normat al oricărei operații a liniei, împreună cu timpul necesar transportului produsului neterminat va trebui să fie deci apropiat sau egal cu ritmul liniei, pentru ca fiecare loc de muncă să fie încărcat uniform, adică

$$t_N + t_T = R \text{ [min]}, \quad (20.3)$$

în care:  $t_N$  este timpul normat al operației, min;  $t_T$  — durata transportului de la un loc de muncă la altul, min;  $R$  — ritmul, min.

Durata transportului se calculează în funcție de viteza de deplasare a produselor neterminate aflate pe linie, iar viteza de deplasare se stabilește în funcție de masa produsului și masa părților mobile ale instalației de transport, cu luarea în considerație a forțelor de inerție care apar la pornirea și oprirea instalației.

Schema unei linii de asamblare mobilă cu mișcare intermitentă și ritm impus se arată în fig. 20.5 iar a unei linii combinate în fig. 20.6.

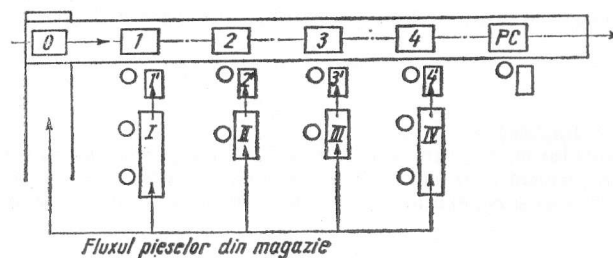


Fig. 20.6. Schema unei asamblări combinate (asamblarea generală mobilă cu mișcare intermitentă și ritm impus combinată cu asamblarea staționară a subansamblurilor): 1, 2... — produsul neterminat pe bandă; 1', 2'... — locuri de muncă; 1, II... — bancuri de muncă pentru subansambluri; PC — post de control

### 20.1.3. NORMAREA TEHNICĂ A OPERAȚIILOR DE ASAMBLARE

Abstracție făcînd de normarea tehnică a unor operații de ajustare (pilire, răzuire, teșire etc.) și a unor prelucrări manuale prin așchiere (burghiere, lărgire, alezare, filetare etc.), pentru normarea tehnică a operațiilor de asamblare nu s-a stabilit încă un procedeu de calcul analitic pentru timpul de bază, cum este cazul la normarea tehnică a prelucrărilor prin așchiere. Acest lucru îngreuiază în mare măsură stabilirea obiectivă a timpului normat pentru operațiile de asamblare.

În practica normării tehnice a operațiilor de asamblare se folosesc următoarele metode de determinare a timpului normat: 1-prin apreciere; 2-prin observații (cronometrare); 3-prin comparare cu operații similare. Normarea începe independent de procedeu de normare ales, prin stabilirea numărului de faze și numărului de mânuiri a operației considerate pe baza schemei de asamblare. După ce au fost analizate fazele și mânuirile, se va determina durata fiecărui element analizat.

### 20.1.4. DETERMINAREA NUMĂRULUI LOCURILOR DE MUNCĂ

Numărul locurilor de muncă  $m$  necesare pentru realizarea programului anual de producție  $N$  se calculează independent de procedeu de asamblare cu formula:

$$m = \frac{T_N}{F_r}. \quad (20.4)$$

În această formulă  $F_r$  reprezintă fondul real de timp, care se determină cu relația:  $F_r = F_n \eta_n s$ , acestea din urmă fiind cunoscute din (20.1), iar  $T_N$  — timpul normat pentru executarea programului anual de producție  $N$  rezultă din relația:

$$T_N = N t_N. \quad (20.5)$$



Membrul din dreapta al acestei relații introdus în (20.4) va da:

$$m = \frac{T_N}{F_r} = \frac{N t_N}{F_r} = \frac{t_N}{R}, \quad (20.6)$$

$R$  fiind cunoscut din (20.1).

Dacă valoarea lui  $m$ , obținută din (20.6) rezultă fracționară, se va rotunji la următoarea valoare superioară întreagă, obținându-se numărul adoptat al locurilor de muncă  $m_a$ . Raportul dintre  $m$  și  $m_a$  exprimă gradul de încărcare a locului de muncă:

$$\eta_i = \frac{m}{m_a}. \quad (20.7)$$

Deoarece  $m_a \geq m$ , gradul de încărcare a locului de muncă  $\eta_i$  va fi în general subunitar.

La asamblarea mobilă, care se compune dintr-un număr de  $i$  operații diferențiate, numărul locurilor de muncă  $m_i$  se calculează pentru fiecare operație în parte

$$m_i = \frac{t_{Ni}}{R}, \quad (20.8)$$

adoptându-se în cazul valorilor fracționare pentru  $m_i$  valoarea următoare întreagă. Organizarea asamblării mobile se poate considera corespunzătoare din punct de vedere economic, dacă valoarea gradului de încărcare medie a liniei de asamblare  $\eta_m$  este mai mare sau egală cu 6%, adică:

$$\eta_m = \frac{\sum_{i=1}^{n=i} \eta_{ii}}{m_a} \geq 0,6, \quad (20.9)$$

în care  $\eta_{ii}$  reprezintă gradul de încărcare a locului de muncă pentru operația  $i$ , iar  $m_a$  — numărul locurilor de muncă adoptate.

În caz că se aplică asamblarea combinată, în care montarea generală se face prin asamblare staționară, iar grupurile de repere și subansamblurile se montează paralel prin asamblare staționară sau mobilă, se va ține seama de faptul că se consumă circa 40...50% din volumul total de muncă la asamblarea generală. Notînd cu  $t_{N1}, t_{N2} \dots t_{Nn}$  timpii normați pentru asamblarea a  $k$  subansambluri, care intră în componența celor  $N$  bucăți de produse planificate pe an și luînd în considerare că 40...50% din timpul normat  $T_N$  pentru asamblarea a  $N$  produse se consumă la montarea generală, rezultă că va trebui respectată condiția:

$$t_{Nk} = (0,5 \dots 0,6) T_N. \quad (20.10)$$

## 21. ECHILIBRAREA ÎN TEHNOLOGIA ASAMBLĂRII

Lipsa preciziei de asamblare este deosebit de dăunătoare pentru subansamblurile rotoare. Chiar și în cazul unei asamblări executate cu atenție, din cauza neomogenității materialului pieselor componente, al subansamblurilor rotoare sau din cauza forme constructive a acestora, se poate produce o abatere a poziției centrului de greutate în raport cu poziția teoretică dorită, urmare fiind generarea unor forțe de inerție în cursul funcționării, care, uneori, pot depăși mărimea forțelor cu care s-au făcut calculele.

Ținînd seama de tendința în construcția de mașini de a mări turația rotoarelor, operației de echilibrare va trebui să i se dea o atenție deosebită.

Mecanismele rotoare apar în construcția de mașini în formă de disc, în formă de tambur și ca subansambluri de formă cilindrică complexă. Se va înțelege, în mod convențional, prin „formă de disc” un rotor cilindric care îndeplinește condiția:

$$\frac{l}{d} \leq \frac{1}{20}, \quad (21.1)$$

$l$  fiind lungimea, iar  $d$  diametrul rotorului. Orice rotor care nu îndeplinește această condiție se va considera de „formă cilindrică”. Rotoarele de formă cilindrică se vor echilibra dinamic, pentru rotoarele în formă de disc este în general suficientă o echilibrare statică. Totuși, dacă turația discului depășește 3 000 rot/min, respectiv viteza periferică de 30 m/s, se recomandă și pentru acesta echilibrarea dinamică.

Mașinile de echilibrat de construcție modernă permit executarea rapidă și cu mare precizie a echilibrării. Faptul că tehnica permite obținerea mărimilor fizice doar cu o aproximație mai mult sau mai puțin precisă, este caracteristic și pentru mașinile de echilibrat. Prin echilibrarea unui rotor cu ajutorul unei mașini de echilibrat, nu se va obține prin urmare o echilibrare perfectă, rotorul prezentînd chiar și după operația de echilibrare efectuată un moment restant dezechilibrator. Forța centrifugă a cărei mărime depinde în primul rînd de pătratul vitezei unghiulare, respectiv al turației (formula 21.1), este mai puțin indicată pentru exprimarea stării de echilibru masic al unui solid. Mașinile de echilibrat sesizînd forțele dezechilibratoare, se propune drept indice de calitate a echilibrării dezechilibrul restant al piesei, constatat după echilibrarea efectuată [3]. Valoarea acestuia va trebui să se încadreze în limitele toleranțelor admise [8].

Dezechilibrul restant admisibil se determină cu ajutorul indicelui specific al dezechilibrului restant  $\epsilon$ . Acesta reprezintă dezechilibrul restant admisibil pentru masa de 1 kg a piesei supuse echilibrării, în  $\mu\text{m}$ . Valorile indicelui specific al dezechilibrului restant admisibil  $\epsilon$  sînt arătate în tabelul 21.1.

Dezechilibrul restant se stabilește pe baza celor arătate în tabelul 21.1 de către proiectant și se va trece pe desenul produsului. În cazul asimilării unui produs nou, sau în cazuri incerte, se recomandă ca, după realizarea prototipului să se verifice în cursul rodării preliminare efectul dezechilibrului restant admis, observînd gradul de funcționare liniștită a mașinii (v. condițiile indicate în diagramele din fig. 21.4 și 21.5).

Tabelul 21.1

Indicii specifici pentru momentul restant admisibil

Clasa de precizie	Scopul funcțional al rotorului	Indicele specific pentru dezechilibrul restant admisibil $g$ mm/kg *
1	Giroscoape cu turații mari, arborii și discurile mașinilor de rectificat fin	0,2...1,0
2	Rotorii motoarelor electrice mici, turbine cu gaz de mărime mică și mijlocie, suflante cu turație mare, mecanisme de acționare ale mașinilor de rectificat	0,5...2,5
3	Rotorii motoarelor electrice în construcție rigidă, suflante, turbine, turbogeneratoare	2...10
4	Rotorii motoarelor electrice normale, ventilatoare, organe de mașini rotative, angrenaje cu turație mare, arborii cotați pentru motoare cu 4 și peste 4 cilindri	5...25
5	Arbori cardanici, arbori cotați pentru motoarele cu 1, 2 și 3 cilindri, concasoare, mașini textile, mașini agricole, roți de autoturisme	20...100
6	Roți de autocamioane, trenuri de roți pentru căi ferate	80...400

\*  $g$ , mm/kg, corespunde cu abaterea centrului de greutate al rotorului de la axa sa de rotație cu  $1/1\ 000\text{ mm} = 1\ \mu\text{m}$ .

Atât pentru echilibrarea statică cât și pentru cea dinamică au fost concepute mașini de echilibrat de utilizare universală sau construite pentru un anumit scop (de exemplu pentru echilibrarea roților de autovehicule).

Mașinile de echilibrat static au construcția simplă, operația de echilibrare statică rezumându-se la corectarea abaterilor poziționale ale centrului de greutate [12].

Mașinile moderne de echilibrat dinamic, deși sînt de construcție foarte variată, se compun, în general, din două sisteme de oscilații, dintre care unul este format dintr-un cadru elastic pe care se așază piesa, iar celălalt dintr-un mecanism oscilant cu posibilitatea de reglare a frecvenței (turației), a fazei și a momentului dezechilibrator. Cele două sisteme de oscilații sînt cuplate între ele. Punîndu-se în acțiune și menținînd frecvența (turația) constantă, dar variînd faza și momentul celui de al doilea sistem, la un moment dat oscilațiile celor două sisteme vor dispărea, ceea ce înseamnă că vibrațiile acestora se află în stare de echilibru. În această situație, se determină cu ajutorul celui de al doilea sistem oscilant mărimea momentului dezechilibrator și defazarea produsă.

Echilibrarea dinamică se face succesiv pentru cele două suprafețe limitrofe ale piesei, așa că dezechilibrul se va stabili separat pentru fiecare latură. Momentul echilibrator, care este de sens contrar momentului dezechilibrator, se realizează cu ajutorul unor greutăți, aplicate pe fața laterală corespunzător defazării și la o anumită distanță de la axa de rotație în așa fel, ca să se obțină mărimea momentului echilibrator necesar.

Sensibilitatea mașinilor de echilibrat dinamic de construcție recentă fiind foarte ridicată, cu ajutorul lor se pot obține, în condiții economice de lucru, echilibrări cu precizia cerută de indicațiile din tabelul 21.1.

Dintre procedeele de verificare a preciziei echilibrării aplicate în producție la mașinile cu indicare indirectă, cel mai răspîdit este procedeul de control al dezechilibrului restant în patru puncte. Procedeul constă în compararea amplitudinii maxime constatate la rotația rotorului fără masă de probă și a amplitudinii vibrațiilor produse aplicînd masa de probă, care se fixează pe una din suprafețele limitrofe ale rotorului, în patru puncte, dispuse de obicei la  $90^\circ$ ,  $180^\circ$ ,  $270^\circ$  și  $360^\circ$  pe aceeași circumferință ( $r = \text{const.}$ ). Amplitudinile vibrațiilor se măsoară cu vibrometrul mașinii.

Vibrația care se constată la controlul fără contragreutate este generată de dezechilibrul restant la suprafața limitrofă cercetată și produce în lagăr forța  $F_{1A}$ .

Mărimea forței  $F_{1A}$  se poate calcula cu ajutorul formulei (21.1) și al fig. 21.1:

$$F_{1A} = C \frac{c}{L} = m\varepsilon\omega^2 \frac{c}{L} [\text{N}], \quad (21.2)$$

în care:  $m$  este masa rotorului, kg;  $\varepsilon$  — coeficientul specific dezechilibrului restant admisibil, m;  $\omega$  — viteza unghiulară a rotației rotorului;  $c$  și  $L$  — lungimi, m.

Se poate imagina că forța  $F_{1A}$  este generată de o masă  $m_0$ , aplicată pe suprafața limitrofă  $f_1$  a rotorului la distanța  $r$  de la axa de rotație. În acest caz, valoarea forței  $F_{1A}$  se va obține cu ajutorul relației:

$$F_{1A} = m_0 r \omega^2 \frac{l_1}{L} [\text{N}]. \quad (21.3)$$

Egalînd expresiile (21.2) și (21.3) și explicitînd, pentru  $m_0$ , se obține:

$$m_0 = \frac{m\varepsilon}{r} \cdot \frac{c}{l_1} [\text{kg}]. \quad (21.4)$$

Masa  $m_0$  permite verificarea preciziei echilibrării. În producție masa de probă se ia în general  $m_0 = 2 m_0$ . Masa de probă  $m_0$  se fixează pe rînd (în felul arătat mai înainte pe suprafața cercetată a rotorului) și pentru fiecare punct se măsoară amplitudinea maximă a vibrației produse. Aceste valori se trec pe o diagramă în felul arătat în fig. 21.2. Dacă curba trasată prin legarea punctelor obținute intersectează dreapta, care reprezintă amplitudinea maximă  $a_0$  a vibrației produse de dezechilibrul restant, înseamnă că dezechilibrul restant depășește limita admisă. În acest caz, echilibrarea rotorului trebuie făcută din nou, cu o precizie mai mare, pînă ce se va obține o diagramă conform fig. 21.3, la care curba probei în patru puncte se va găsi deasupra dreptei  $a_0$ .

Drept toleranțe pentru rotoare în construcția de mașini se recomandă folosirea mărimilor indicate în tabelul 21.1, care au dat rezultate satisfăcătoare în exploatare.

Luînd în considerare efectul dăunător al vibrațiilor asupra organelor componente ale ansamblului din care face parte un rotor în dezechilibru și asupra clădirilor dimprejur, este necesar controlul periodic al stării de funcționare a acestuia. Acest control constă în măsurarea amplitudinii vibrațiilor în sens vertical și orizontal. Pentru turbinele de abur și alternoarele acționate de acestea, mărimile limită admise pentru amplitudinea vibrațiilor sînt precizate în STAS 6910-64.

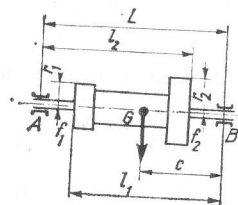


Fig. 21.1. Schema pentru controlul tehnic al calității echilibrării

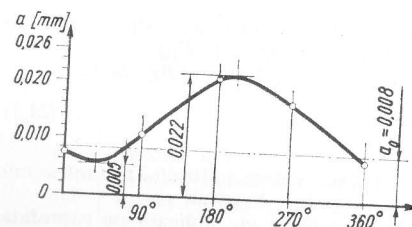


Fig. 21.2. Diagrama de control al calității echilibrării cu contragreutate

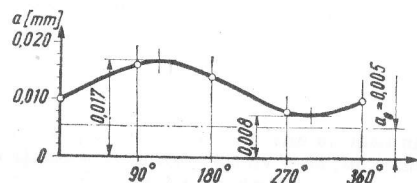


Fig. 21.3. Diagrama corectă de control al calității echilibrării cu contragreutate

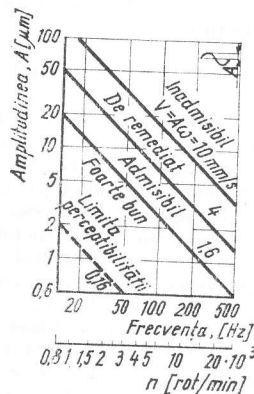


Fig. 21.4. Valori admisibile pentru amplitudinea vibrațiilor rotoarelor mari în construcția de mașini

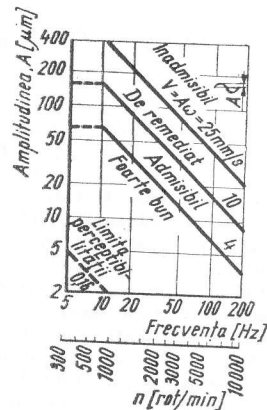


Fig. 21.5 Valori admisibile pentru amplitudinea vibrațiilor rotoarelor motoarelor și generatoarelor electrice

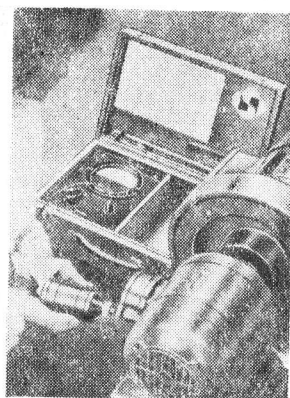


Fig. 21.6. Folosirea vibrometrului pentru măsurarea amplitudinii vibrațiilor în producție

Pentru rotoarele mari în construcția generală de mașini se pot determina valorile admisibile ale amplitudinilor limită cu ajutorul diagramelor din fig. 21.4. Diagramele sînt construite pe baza observațiilor din producție și se referă la comportarea mașinilor staționare mari cu fundații speciale din beton. Valorile din diagramă sînt valabile pentru amplitudinea maximă în sens vertical și axial. Pentru amplitudinea maximă în sens orizontal se admit valori pînă la 100% mai mari. Diagramele din fig. 21.5 servesc la aprecierea comportării motoarelor și generatoarelor electrice în general.

Pentru controlul stării de funcționare a rotoarelor în producție, se folosesc vibrometre, măsurătorile făcîndu-se în felul arătat în fig. 21.6.

## 22. TEHNOLOGIA ÎMBINĂRILOR

În tehnologia asamblării se deosebesc două categorii de îmbinări: îmbinări nedemontabile și îmbinări demontabile. Din categoria îmbinărilor nedemontabile fac parte nituirea, sudura, mandrinarea, lipirea, înclieirea și unele îmbinări cu strîngere.

Nituirea, lipirea și sudura reprezentînd procedee tehnologice întru totul specifice, care se desfășoară în sectoare anume organizate, tratarea acestora nu intră în considerentele acestui capitol. Dimpotrivă mandrinarea și înclieirea sînt procedee caracteristice de îmbinare nedemontabilă aplicate foarte mult în tehnologia asamblării mașinilor și a mecanismelor. Îmbinările cu strîngere ocupă un loc deosebit în tehnologia îmbinărilor, deoarece prin strîngere se pot obține atît îmbinări nedemontabile, cît și îmbinări demontabile. Felul îmbinării cu strîngere depinde de mărimea presiunii dintre cele două suprafețe îmbinate, adică de natura ajustajului.

Îmbinările demontabile pot fi fixe sau mobile. Îmbinările fixe demontabile se obțin prin ajustaje cu strîngere, iar îmbinările mobile se realizează prin ajustaje cu joc.

**Îmbinarea prin mandrinare.** Mandrinarea este în fond un procedeu de fixare prin strîngere a țevilor, prin lărgirea piesei cuprinse în alezajul piesei cuprinzătoare. Mandrinarea se execută manual sau mecanic. Fixarea țevilor din cupru sau din alamă cu diametru redus (între 4 și 12 mm), se face manual, folosindu-se o tijă de mandrinat (fig. 22.1). Capătul țevii se trece prin niplu, făcînd să iasă cu 1,5...2,5 mm, apoi, cu ajutorul tijei de mandrinat, se răsfrînge marginea țevii în felul arătat în fig. 22.1.

Pentru mandrinarea țevilor din cupru sau alamă cu diametrul mai mare, sau a țevilor din oțel se folosesc utilaje speciale.

Mandrinarea este indicată pentru îmbinarea acelor țevi care trebuie să asigure o etanșitate perfectă.

**Îmbinări prin înclieiere.** Înclieierea metalelor se folosește tot mai mult în construcția de mașini, datorită tehnologiei simple de realizare a îmbinării și rezistenței la tracțiune relativ mari a organelor înclieiate.

Inconvenientul acestor îmbinări este sensibilitatea lor la temperaturile de funcționare ridicate. Astfel, cleiurile industriale, pe bază de rășini epoxidice pentru lipit, se pot folosi numai pentru îmbinările la care temperatura de funcționare nu trece de 60°C. Mai puțin sensibile sînt cleiurile fabricate din rășini poliuretactice, care rezistă în exploatare pînă la temperatura de 120°C.

Rezistența la tracțiune a îmbinărilor prin înclieiere este de 200—300 daN/cm².

**Îmbinări cu strîngere.** Datorită dezvoltării teoriei elasticității și plasticității, calculele bazate pe aceasta permit determinarea precisă a strîngerii, încît îmbinările cu strîngere prezintă actualmente o siguranță deplină de funcționare.

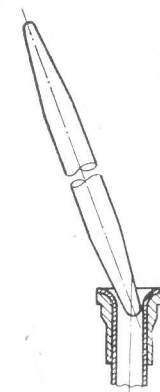


Fig. 22.1. Mandrinarea manuală

După scopul funcțional urmărit, îmbinările cu strângere pot fi fixe nedemontabile, de exemplu îmbinarea coroanei dințate cu corpul roții, sau fixe demontabile, cum sînt îmbinările cu rulmenți.

Caracterul îmbinării depinde în primul rînd de mărimea stringerii reale, apoi de precizia de formă a alezajului piesei cuprinzătoare și a fusului piesei cuprinse, precum și de rugozitatea celor două suprafețe de îmbinare. La îmbinările cu strângere nedemontabilă, piesele nu sînt interschimbabile, deoarece stringerea reală  $\Delta_r$  depinde de dimensiunile efective ale diametrului alezajului și ale fusului:

$$\Delta_r = \Delta_e - (H_1 + H_2), \quad (22.1)$$

în care:  $\Delta_e$  este stringerea efectivă ( $\Delta_e = d_{ef} - d_{ea}$ , simbolurile  $d_{ef}$  și  $d_{ea}$  însemnînd diametrul efectiv al fusului respectiv al alezajului, mm);  $H_1$  și  $H_2$  — înălțimea maximă a asperităților suprafețelor de îmbinare, mm;

Forța de strângere  $F_s$  a îmbinării se calculează cu relația:

$$F_s = c \mu \pi d l \sigma_s \text{ [daN]}. \quad (22.2)$$

În această expresie  $c$  este un coeficient de siguranță ( $c = 1,4 \dots 1,5$ );  $\mu$  — coeficient de frecare;  $d$  — diametrul nominal al celor două elemente care se îmbină, cm;  $l$  — lungimea efectivă a alezajului, cm;  $\sigma_s$  — presiunea de contact a celor două suprafețe îmbinate, daN/cm<sup>2</sup>. Valoarea coeficientului de frecare este  $\mu = 0,2$  pentru cazul general, cînd cele două suprafețe care se îmbină nu sînt unse. Presiunea de contact  $\sigma_s$  se calculează pentru îmbinarea pe un fus plin, cu relația (notațiile folosite fiind arătate în fig. 22.2):

$$\sigma_s = \frac{s}{d_i} \frac{E}{2} \left[ 1 - \left( \frac{d_i}{d_a} \right)^2 \right] \text{ [daN/cm}^2\text{]}, \quad (22.3)$$

în care  $s$  este stringerea teoretică, cm;  $d_i$  — diametrul nominal al alezajului, cm;  $d_a$  — diametrul exterior al piesei cuprinzătoare, cm;  $E$  — modulul de elasticitate a materialului piesei cuprinzătoare, daN/cm<sup>2</sup>.

Pentru îmbinările pe fus găurit se utilizează formula

$$\sigma_s = \frac{s}{d_i} \frac{E}{2} \left[ 1 - \left( \frac{d_i}{d_a} \right)^2 \right] \frac{1 - (g/d_i)^2}{1 - (g/d_a)^2} \text{ [daN/cm}^2\text{]}, \quad (22.4)$$

în care  $g$  reprezintă diametrul găurii în fus. Îmbinările cu strângere se pot executa prin presare sau prin fretare. Presarea se face cu prese hidraulice a căror forță de presare  $F$  va fi:

$$F = c F_s \text{ [daN]}, \quad (22.5)$$

în care  $c$  este un coeficient de siguranță ( $c = 1,2 \dots 1,5$ ).

Temperatura  $t_n$  la care trebuie încălzită piesa cuprinzătoare în vederea îmbinării se calculează cu relația:

$$t_n = t_d + t_a + t_r \text{ [}^\circ\text{C]}, \quad (22.6)$$

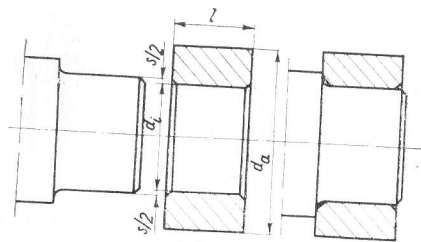


Fig. 22.2. Mărimile necesare determinării presiunii dintre suprafețele îmbinate prin presare.

în care:  $t_a$  este temperatura ambiantă,  $^\circ\text{C}$ ;  $t_r$  — temperatura de siguranță,  $^\circ\text{C}$ , cu care se ține seama de răcirea piesei în cursul transportului de la locul de încălzire și pînă la locul de asamblare ( $t_r \approx 20^\circ\text{C}$ );  $t_d$  — temperatura necesară dilatării alezajului corespunzător stringerii  $s$ , dată de relația:

$$t_d = \frac{s}{\alpha d} \text{ [}^\circ\text{C]}. \quad (22.7)$$

În această relație,  $s$  este stringerea, m;  $\alpha$  — coeficient de dilatare termică liniară, m/ $^\circ\text{C}$  (pentru oțel,  $\alpha \approx 12 \cdot 10^{-6}$  m/ $^\circ\text{C}$ );  $d$  — diametrul nominal al alezajului, m.

Încălzirea piesei cuprinzătoare se face într-o baie de ulei mineral, iar pentru temperaturi mari (peste  $200^\circ\text{C}$ ), într-o baie cu ulei de ricin. Se va avea grijă ca piesa care se încălzește să nu se așeze pe fundul cazanului băii, ci pe o plasă sau pe un grătar. Se va feri de asemenea piesa de contactul direct cu elementele de încălzire a uleiului, pentru a împiedica încălzirea neegală. Uneori este convenabilă încălzirea piesei cuprinzătoare prin inducție cu ajutorul unui dispozitiv electric adecvat.

Potrivirea piesei încălzite pe fus se face manual folosindu-se mănuși speciale din azbest. Pentru a se asigura contactul între umărul fusului și suprafața laterală a piesei cuprinzătoare, acestea i se aplică cîteva lovituri în sens axial cu ciocanul (v. fig. 23.5 și 23.6).

În cazul în care piesa cuprinzătoare este călită și trebuie menținută o anumită structură a materialului și o anumită duritate a suprafețelor, atunci piesa nu trebuie încălzită peste  $120^\circ\text{C}$ .

S-ar putea întîmpla ca temperatura  $t_n$  necesară pentru dilatarea piesei cuprinzătoare, să rezulte mai mare de  $120^\circ\text{C}$ . În astfel de situații, va trebui răcită piesa cuprinsă pentru a se obține diferența de temperatură necesară. Răcirea se poate face cu bioxid de carbon solid, cu care se obține o temperatură de  $-95^\circ\text{C}$  sau cu amoniac în frigoriere industriale cu care temperatura poate fi scăzută la  $-120^\circ\text{C}$ . Răcirea piesei cuprinse se face în instalații speciale de răcire, durata răcirii variază după mărimea și configurația piesei, între 15 minute și o oră. Piesele care urmează a fi răcite trebuie degresate și bine curățate.

**Îmbinări cu pene.** Funcționarea ireproșabilă a unei îmbinări cu pană depinde în primul rînd de alegerea corectă a penei, apoi de calitatea îmbinării. Calitatea îmbinării la rîndul său este determinată de ajustajul îmbinării și de precizia cu care a fost executată pana și canalul penei.

În construcția de mașini cele mai utilizate sînt penele longitudinale și anume penele paralele, penele înclinate și penele tangențiale. Forma și dimensiunile acestora sînt standardizate.

Penele paralele de aceeași mărime sînt interschimbabile, ceea ce ușurează în mare măsură tehnologia îmbinării. Pentru a se obține ajustajul prescris, dimensiunile canalului de pană în arbore și ale celui din butuc, precum și dimensiunile penei vor trebui executate în limitele toleranțelor indicate în STAS 6491-62.

Înainte de fixarea penei în canalul arborelui se va controla, cu un calibr, lățimea și grosimea penei precum și lățimea și adîncimea canalului. De asemenea este indicat și controlul canalului în butuc. Asamblarea corectă cu pene paralele asigură o rotire centrică a ansamblului. Asamblările cu pană paralelă sînt indicate însă numai pentru rotirea într-un singur sens și funcționarea fără șocuri, ceea ce constituie un inconvenient al acestei îmbinări. Deoarece calitatea îmbinării cu pene paralele depinde în primul rînd



de poziția penei în canalul din arbore, după așezarea penei în canal se controlează poziția acesteia cu un micrometru, în felul schițat în fig. 22.3.

Ansamblurile la care sensul rotirii se schimbă, sau care funcționează cu șocuri se asamblează cu pene tangențiale (STAS 1009-59) și (STAS 1010-60). Asamblarea cu pene tangențiale se execută de asemenea prin interschimbare totală. Penele au o înclinare de 1 : 100 pentru a se obține stringerea necesară a penelor în locaș. Penele sunt presate una față de cealaltă prin lovituri de ciocan. Loviturile nu se aplică direct pe pană, ci prin intermediul unui dorn din cupru. Asamblările cu pene tangențiale asigură de asemenea rotirea centrică a ansamblului.

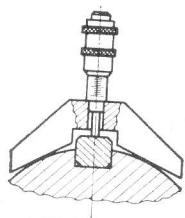


Fig. 22.3. Controlul poziției penei în canalul din arbore

Îmbinările cu pene înalte (inclinate), deși sunt foarte rigide și au o capacitate mare de transmitere a puterii, totuși se pot folosi numai pentru acele ansambluri, față de care nu se pun condiții severe în ceea ce privește rotirea centrică. Din acest motiv îmbinarea cu pană înaltă este indicată numai pentru fixarea acelor rotoari la care viteza periferică nu trece de 1,5 m/s.

Penele transversale nu sunt standardizate, ele executându-se după norme interne. Penele transversale fiind înclinate, se asamblează după aceleași principii ca și penele tangențiale. La îmbinările cu pene transversale este important ca suprafața înclinată a penei să se așeze pe întreaga lungime a suprafeței înclinate a piesei care se îmbină. Contactul dorit dintre cele două suprafețe înclinate se obține prin ajustare.

**Îmbinări cu con.** În comparație cu îmbinările cilindrice demontabile cu stringere, cele cu con prezintă avantajul că sunt mai rigide și necesită forțe de presare și de depresare mult mai reduse. Prelucrarea precisă a alezajului și a fusului conic este însă pretențioasă, deseori fiind necesare ajustări în vederea asigurării unui contact satisfăcător între suprafața conică cuprinzătoare și cea cuprinsă, ceea ce complică și scumpește realizarea îmbinărilor cu con.

Presarea piesei cuprinzătoare pe fus se face manual cu o bușă de montare, similară celei reprezentate în fig. 23.5 și 23.6. Piese mari se presează cu ajutorul unor dispozitive.

Forța necesară presării piesei cuprinzătoare pe fus se calculează cu relația:

$$F = \pi d l \sigma_s \left( \mu + \frac{1}{2k} \right) \quad [\text{daN}]. \quad (22.8)$$

Notațiile din formulă corespund cu cele din relația (22.2); simbolul  $k$  reprezintă conicitatea. Pentru rulmenți, de exemplu, conicitatea fiind 1/12, raportul  $1/2 k$  va fi  $1/24 \approx 0,042$ . Valoarea coeficientului de frecare poate fi luată și pentru această îmbinare  $\mu = 0,2$ .

Forța de depresare este mai mică și se poate calcula cu relația:

$$F = \pi d l \sigma_s \left( \mu - \frac{1}{2k} \right) \quad [\text{daN}]. \quad (22.9)$$

Fig. 22.4. Controlul îmbinărilor cu con

După executarea îmbinării, se va verifica poziția piesei cuprinzătoare față de piesa cuprinsă. Dimensiunea  $h$  (fig. 22.4) va trebui să se încadreze în toleranțele prescrise de proiectant pentru această mărime.

Limitele de toleranță vor fi:

$$h_{\min} = \frac{(D + T_{a\min}) - (D - T_{i\max})}{2 \operatorname{tg} \alpha}; \quad (22.10)$$

$$h_{\max} = \frac{(D + T_{a\max}) - (D - T_{i\min})}{2 \operatorname{tg} \alpha}, \quad (22.11)$$

în care:  $D$  este diametrul nominal de la baza conului, mm;  $T_a$  — toleranța pentru acest diametru al alezajului, mm;  $T_i$  — toleranța pentru diametrul corespunzător al fusului, mm;  $\alpha$  — semiunghiul conului.

Piese cu pereți subțiri se pot îmbina mai simplu, cu ulei sub presiune.

Tot din categoria îmbinărilor cu con fac parte îmbinările cu bușe conice (bușe de stringere și bușe de extracție) și îmbinările cu inele conice de stringere. Bușele

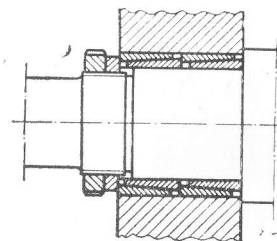


Fig. 22.5. Îmbinare cu inele conice prestrinse dintr-o singură parte

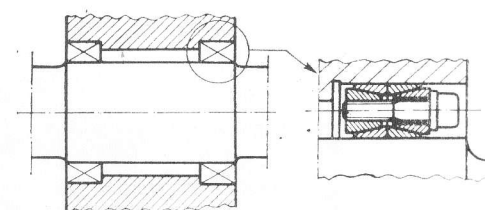


Fig. 22.6. Îmbinare cu inele conice prestrinse în ambele părți

conice se folosesc la îmbinările cu rulmenți și la cele ale pieselor în formă de inele cu pereți subțiri. Prin îmbinările cu inele conice de stringere se înlocuiesc în ultima vreme îmbinările cu pană longitudinală, îndeosebi atunci când se caută să se exploateze întreaga secțiune a arborelui și să se reducă la minimum concentratorii de tensiune.

Îmbinările cu inele conice de stringere se pot executa cu prestringerea dintr-o singură parte (fig. 22.5) sau din ambele părți (fig. 22.6). Executând prestringerea cu o singură piuliță (fig. 22.5), perechea de inele din spate transmite aproximativ jumătate din forța de stringere și deci a momentului care trebuie transmis. În cazul transmiterii unor momente mari, când influența concentratorului de tensiune trebuie redusă la minimum, îmbinarea cu inele conice elastice se execută în felul arătat în fig. 22.6 cu prestringerea din două părți renunțându-se la filetul de pe arbore. Pentru a se asigura stringerea uniformă a inelelor, șurubul fiecărui element cu con dublu se va strânge succesiv în mai multe etape. Forța de stringere a îmbinărilor cu inele conice se calculează în mod similar ca și la îmbinările cilindrice prin presare. Se neglijează în calcule în general forța pentru deformarea elastică a inelelor, de acest lucru se ține însă seama printr-un coeficient de siguranță,  $c = 1,1 \dots 1,2$ .

**Îmbinări cu filet.** Calitatea îmbinărilor cu filet în primul rând depinde de forța cu care se realizează stringerea organului înșurubat. Pentru ca o îmbinare cu filet să nu slăbească, ceea ce ar periclita siguranța funcționării întregului ansamblu, este necesar



ca înșurubarea să se facă cu o anumită forță de prestrângere. Mărimea forței de prestrângere se poate calcula cu suficientă precizie în funcție de caracterul solicitării filetului [10].

Mai dificilă este realizarea forței de prestrângere la înșurubare. Experiența și observațiile făcute în producție demonstrează că, făcând strângerea filetului cu chei obișnuite

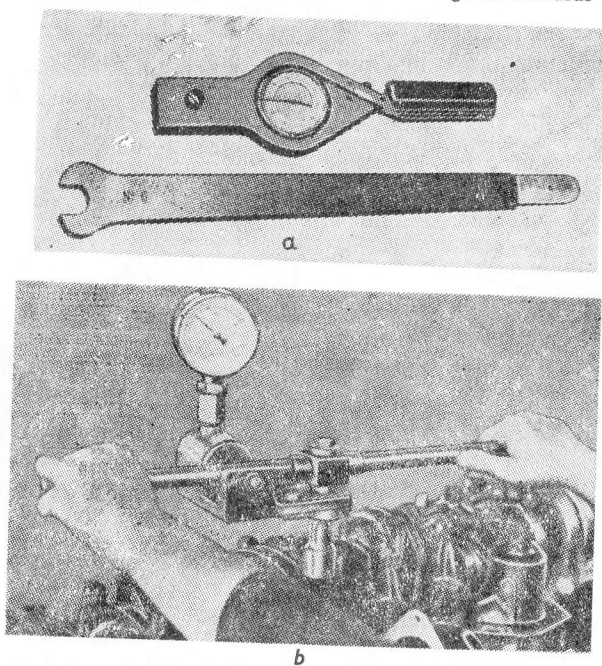


Fig. 22.7. Chei dinamometrice pentru prestrângerea manuală a prezoanelor sau a piulițelor

și lăsând executarea îmbinărilor cu filet pe seama montatorului, mărimea forței de prestrângere prezintă dispersii în limite foarte mari de la o îmbinare la alta. În trecut efectul acestei imprecizii s-a manifestat mai puțin, produsele industriei constructoare de mașini fiind în comparație cu cele de astăzi supradimensionate. În condițiile actuale de producție însă, cind materialul este exploatat la limita economică, strângerea corespunzătoare a îmbinărilor cu filet constituie un factor determinant pentru calitatea acestora. Din acest motiv forța de prestrângere trebuie realizată cu o precizie cât mai mare independent de „simțul” montatorului.

Pentru producția de unicate sau de serie mică, sînt mai avantajoase cheile dinamometrice. Cheile dinamometrice permit reglarea momentului de prestrângere la mărimea dorită; momentul este indicat pe un cadran pentru a se opri la timp strângerea, sau este delimitat de un mecanism cu decuplare automată. În fig. 22.7 sînt reprezentate două

modele de chei dinamometrice cu indicarea directă a momentului de prestrângere. Cheia arătată în fig. 22.7, a se compune din mecanismul de reglare a momentului de strângere și indicatorul acestei mărimi, precum și o trusă de chei deschise sau închise schimbabile. În fig. 22.7, b se arată o cheie dinamometrică de construcție similară cu cheile tubulare schimbabile. În fig. 22.8 se arată construcția unei chei dinamometrice cu limitarea meca-

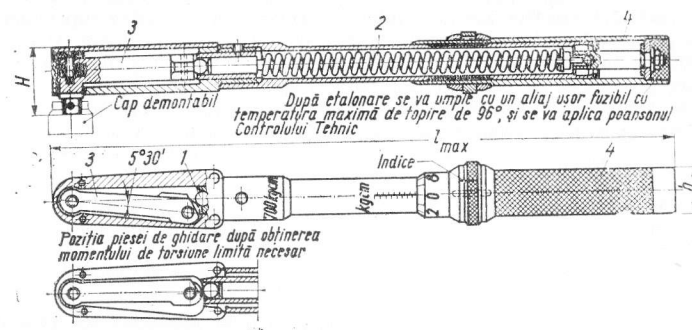


Fig. 22.8. Cheia dinamometrică cu limitarea mecanică a momentului de prestrângere

nică a momentului de prestrângere. Cheia funcționează în felul următor: prin înșurubarea mînerului 4 arcul 2 este comprimat, pînă se va obține momentul de prestrângere dorit, care se citește de pe gradația imprimată pe corpul dispozitivului. Arcul 2 apasă asupra bilei de blocare 1 care ține piesa de ghidare 3 în poziția de lucru, arătată în vederea din mijloc. Dacă momentul de prestrângere este depășit, piesa de ghidare trece peste bila de blocare (figura de jos), cheia mișcîndu-se în gol. Capul demontabil (în vederea de sus) reprezintă una din cheile tubulare schimbabile ale trusei.

Dacă sectorul de asamblare nu dispune de chei dinamometrice, se recomandă verificarea calității îmbinării să se facă pe cale indirectă, comparînd lungimea bulonului înainte și după îmbinare. Măsurătorile se fac cu un comparator cu precizia de indicare de 1 μm. Pentru asigurarea preciziei de măsurare, suprafața de contact cu palpatorul comparatorului va trebui rectificată. Măsurînd lungimea Δl a bulonului, mărimea forței de restrîngere F<sub>s</sub> se obține cu ajutorul schemei din fig. 22.9 și a relației:

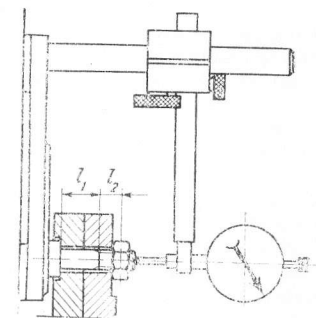


Fig. 22.9. Controlul prestrîngerii elementelor înșurubate

$$F_s = \Delta l E \frac{1}{\frac{l_1}{A_1} + \frac{l_2}{A_2}} \quad [\text{daN}], \quad (22.12)$$

în care:  $\Delta l$  este lungirea bulonului, cm, după stringerea piuliței;  $E$ -modulul de elasticitate a materialului bulonului, daN/cm<sup>2</sup>;  $A_1$  — aria secțiunii nefiletate a bulonului, cm<sup>2</sup>;  $A_2$  — aria secțiunii periculoase a părții filetate, cm<sup>2</sup>;  $l_1$  — lungimea porțiunii nefiletate, cm;  $l_2$  — lungimea până la mijlocul piuliței a porțiunii filetate a bulonului, cm.

**Îmbinări cu joc.** Calitatea îmbinărilor cu joc este determinată de existența jocului funcțional și de portanța suprafețelor active ale îmbinării. Jocul funcțional este dat de diferența diametrelor efective ale alezajului și fusului, iar portanța suprafețelor active de mărimea contactului dintre suprafața cuprinsă și cea cuprinzătoare. Mărimea suprafeței de contact, la rîndul său, depinde de precizia de formă și de netezimea suprafețelor active, precum și de coaxialitatea fusului și a alezajului. După cum se observă, calitatea îmbinărilor cu joc depinde în primul rînd de precizia de prelucrare a elementelor care se îmbină, apoi de precizia de poziționare a acestora la îmbinare.

## 23. PROBLEME DEOSEBITE ÎN TEHNOLOGIA ASAMBLĂRII

Tehnologia asamblării se rezumă în fond la rezolvarea problemelor legate de aplicarea corectă a diferitelor îmbinări arătate mai înainte, corespunzător specificului produsului care trebuie asamblat. Totuși, mai apar unele probleme deosebite de asamblare, comune pentru diverse produse ale industriei constructoare de mașini, cum ar fi de exemplu: asamblarea grupurilor de repere cu rulmenți; asamblarea angrenajelor; asamblarea arborilor compuși; asamblarea legărilor de alunecare etc., a căror rezolvare corespunzătoare este hotărîtoare pentru calitatea produsului. În cele ce urmează, se va scoate în evidență aspectul specific al tehnologiei de asamblare al acestora.

**Asamblări cu rulmenți.** Deși în proiect se prescriu în general corect condițiile de asamblare a rulmenților, se observă totuși că în exploatare, uneori, rulmenții funcționează defectuos sau că nu rezistă pe durata prevăzută prin calcule. În majoritatea covârșitoare a cazurilor cauza deficiențelor de funcționare se datorește asamblării necorespunzătoare. Experiența dovedește că factorul hotărîtor pentru funcționarea ireproșabilă a rulmenților pe durata calculată este calitatea asamblării.

Calitatea asamblării este asigurată numai prin respectarea riguroasă a unor norme, care s-au impus în tehnologia asamblării rulmenților. Aceste norme de asamblare se referă la: — verificarea rulmenților înainte de asamblare; — verificarea organelor cu care se îmbină rulmenții; — ajustajele îmbinărilor cu rulmenți; — ghidarea arborilor; — procedeele de îmbinare a rulmenților; — verificarea jocului funcțional; — ungerea rulmenților; — etanșarea rulmenților; — temperatura de funcționare; — demontarea rulmenților.

*Verificarea rulmenților înaintea asamblării* cu piesele vecine se face pe baza celor precizate în STAS 4207-65 și STAS 7115-64. După ce rulmenții au fost despachetați din ambalaj, se spală cu benzină de unsoarea de protecție, se depozitează la un loc curat și ferit, unde se acoperă cu folie de material plastic. Se controlează apoi rînd pe rînd suprafețele rulmenților care vor trebui să fie curate și lipsite de pete. Dimensiunile și tipul rulmentului vor trebui să corespundă bineînțeles, cu cel indicat pe desenul de ansamblu. Urmează apoi verificarea jocului inițial radial și axial conform indicațiilor din STAS 4207-65 și STAS 7115-64, care trebuie să se încadreze în limitele prevăzute pentru clasa de precizie a rulmentului prescris de proiectant. În lipsa dispozitivelor de control arătate în standardul amintit, jocul radial inițial se poate măsura la rulmenții radiali cu role cilindrice sau la rulmenții cu butoiașe cu o lărmă lamă (spion) (fig. 23.1), iar la rulmenții cu bile după schema arătată în fig. 23.2. Jocul axial se determină ca și în fig. 23.11. Mișcînd arborele alternativ în sensul arătat cu săgeată, comparatorul va indica mărimea jocului axial.

Între jocul radial  $j_r$  și jocul axial  $j_a$  al unui rulment radial există următoarea corelație:

— pentru rulmenți radiali oscilanți (cu bile și butoiașe):

$$\frac{j_a}{j_r} = \frac{Y_0}{0,44}; \quad (23.1)$$

valorile pentru  $Y_0$  sînt date în cataloagele de rulmenți;

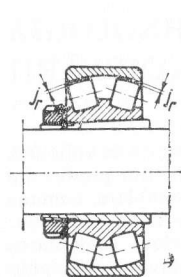


Fig. 23.1. Măsurarea jocului radial la rulmenți radiali cu butoiașe.

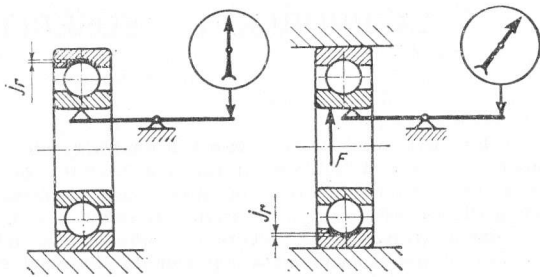


Fig. 23.2. Determinarea jocului radial la rulmenți radiali cu bile pe un rând

— pentru rulmenți radiali cu bile pe un rând, jocul axial se stabilește cu ajutorul diagramei din fig. 23.3.

Măsurarea jocului inițial la rulmenții radial-axiali și la rulmenții axiali nu are sens, deoarece la aceștia jocul apare abia în stare asamblată.

În tot timpul manipulării cu rulmenții spălați se vor folosi mănuși, pentru a se evita contactul direct al mâinilor cu suprafețele rulmentului. Sărurile acide transpirate de corpul uman atacă aceste suprafețe, amprente lăsate pe căile de rulare devenind amorse de distrugere ale acestora.

Verificarea organelor cu care se îmbină rulmenții se rezumă în fond la controlul preciziei dimensionale, a preciziei de formă și a rugozității suprafețelor fusului și a alezajului. Deși aceste organe au fost deja supuse unui control tehnic în atelierul mecanic, o nouă verificare înaintea asamblării este totuși necesară.

Diametrul fusului, respectiv al alezajului în carcasă se măsoară în cel puțin trei secțiuni în lung, făcându-se cîte trei măsurători în fiecare secțiune. Fusul, respectiv alezajul în carcasă, vor corespunde dacă dimensiunile măsurate se încadrează în cîmpul de toleranță prescris și dacă este satisfăcută condiția dată de inegalitatea

$$\frac{d_{max} - d_{min}}{2} \leq \frac{2T}{2}. \quad (23.2)$$

În cazul în care condiția (23.2) nu este satisfăcută pentru alezaje, deficiențele se pot remedia uneori prin răzuirea corespunzătoare a alezajului în vederea asigurării așezării inelului exterior al rulmentului pe întreaga suprafață [16]. Remedierea fusurilor este ceva mai dificilă, deoarece deficiențele de formă se pot elimina numai printr-o rectificare fină urmată apoi de o cromare dură, pentru a se ajunge la dimensiunea dorită a diametrului fusului. Aceste operații fiind costisitoare, se aplică numai asupra unor arbori cu preț de cost ridicat, cînd rebutarea arborelui justifică costul remedierii. Rugozitatea suprafeței alezajului va fi  $R_a = 1,6 \mu m$ , iar a fusului,  $R_a = 1,6 \mu m$ , în cazul funcționării fără șocuri, și  $R_a = 0,8 \mu m$  în cazul funcționării cu șocuri a rulmentului.

Razele de racordare ale fusului și ale alezajului vor trebui să fie mai mici decît razele de rotunjire a muchiilor inelului interior al rulmentului și vor trebui să corespundă celor cerute în STAS 6603-67.

Ajustajele îmbinărilor cu rulmenți au fost fixate prin convenții internaționale în funcție de condițiile de exploatare a rulmenților. Toleranțele pentru fusuri și alezaje,

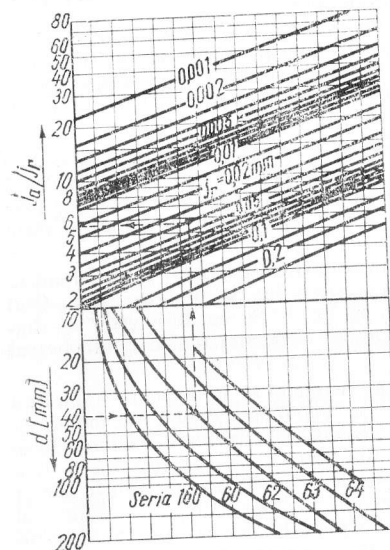


Fig. 23.3. Diagramă pentru determinarea jocului axial; exemplu: pentru rulment radial cu bile pe un rând seria 6208 cu alezajul  $d = 40$  mm, pentru jocul radial măsurat  $j_r = 0,041$  mm, rezultă, din relația  $j_a/j_r = 5,8$ ,  $j_a = 0,24$  mm.

corespunzătoare obținerii ajustajelor necesare, sînt cuprinse în STAS 6671-67. Controlul dimensional de formă și de rugozitate se face tocmai în vederea asigurării ajustajelor prescrise de proiectant.

Prin ghidarea arborilor se asigură poziția prevăzută a acestora în ansamblul mașinii. Ghidarea arborelui se obține prin imobilizarea în sens axial a unuia dintre rulmenții radiali montați pe arbore (rulment conducător), lăsînd celuilalt, sau celorlalți rulmenți, posibilitatea unei deplasări în sens axial (rulmenți conduși).

În fig. 23.4 se arată soluția clasică pentru ghidarea unui arbore cu doi rulmenți radiali. Prin fixarea în sens axial în carcasă a inelului exterior al rulmentului cu butoiașe din dreapta și fixarea inelului interior al acestuia pe arbore, rulmentul și cu aceasta și arborele obțin o poziție bine determinată în spațiu. Inelul exterior al rulmentului din stînga fiind liber în sens axial, se poate deplasa și se poate acomoda în cazul unei

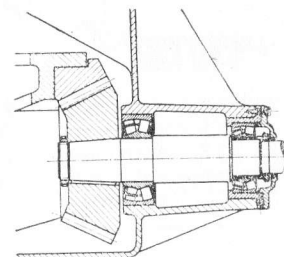


Fig. 23.4. Ghidarea arborelui în cazul montării a doi rulmenți radiali

imprecizii de asamblare sau când arborele se dilată datorită încălzirii în cursul funcționării. Dacă pe arbore s-ar monta amândoi rulmenții conducători, adică și cu inelele exterioare fixate în sens axial, atunci arborele dilatăndu-se în timpul funcționării, ar reduce sau ar putea elimina chiar jocul axial al rulmenților, producând blocarea și distrugerea lor.

Procedul de îmbinare a rulmenților depinde de mărimea și de greutatea acestora, precum și de caracterul producției.

Înainte de a începe asamblarea, fusurile, alezele în carcasă, precum și inelele exterioare și interioare ale rulmenților se șterg cu o cirpă curată (nu cu bumbac), apoi se ung cu un strat foarte subțire de ulei mineral.

În producția de unicate rulmenți mici, până la 100 mm diametrul alezajului, se assemblează manual, prin presare. Asamblarea manuală prin presare pe arbore a unui rulment radial se arată în fig. 23.5.

Dacă rulmentul trebuie montat concomitent în alezajul carcasei și pe fus, se procedează în felul reprezentat în fig. 23.6. Se va avea grijă ca diametrul plăcii să fie ceva mai mic decât diametrul alezajului.

Asamblarea manuală se va executa numai cu un dispozitiv de asamblare (bucșă de montare), loviturile pe nicovala dispozitivului exercitându-se cu un ciocan din oțel. Dacă s-ar renunța la dispozitiv și loviturile de ciocan s-ar aplica direct pe inelul rulmentului, chiar dacă s-ar folosi un ciocan din masă plastică, totuși, din cauza șocurilor la care sînt supuse elementele de rulare, acestea produc pe căile de rulare amprente (efectul Brinell), care devin amorse de decojire locală și duc la distrugerea rapidă a căilor de rulare în exploatare.

Asamblarea manuală a rulmenților de mărime mijlocie cu diametrul alezajului între 100 și 200 mm se execută în mod similar. Pentru îmbinarea rulmenților în imediata apropiere de capătul fusului se folosește dispozitivul simplu (fig. 23.5.b), iar dacă rulmentul trebuie montat la o distanță oarecare de la capătul arborelui, se folosește dispozitivul lung, cu cămașă din bronz. Aceasta are drept scop protejarea arborelui, respectiv a fusului (fig. 23.5.a). Procedul de asamblare descris corespunde atît pentru presarea rulmenților direct pe fus, cît și pentru îmbinările cu bucșe de extracție, indiferent de poziția arborelui.

Dacă în sectorul de asamblare există o instalație corespunzătoare pentru încălzirea în baie de ulei, îmbinarea rulmentului pe fus se poate face prin fretare. Temperatura de încălzire se determină în felul arătat la cap. 22. La asamblarea prin fretare, se va

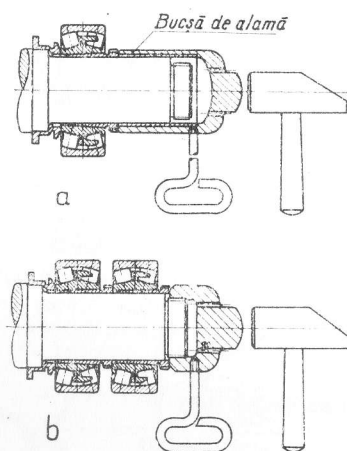


Fig. 23.5. Asamblarea manuală prin presare a doi rulmenți împreună:

a - faza I; b - faza II

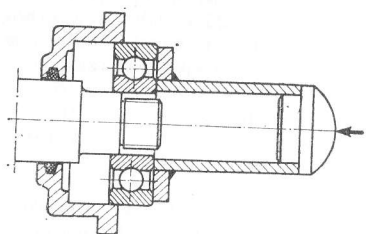


Fig. 23.6. Asamblarea manuală concomitentă a unui rulment pe arbore și în carcasă

avea în vedere ca temperatura rulmentului să nu depășească 120°C, în caz contrar duritatea căilor de rulare va scădea, fapt care are ca urmare micșorarea duratei de funcționare a rulmentului.

În scopul asigurării rezemării corecte a inelelor pe umărul fusului, respectiv pe umărul alezajului, se folosește un dispozitiv de montare, aplicîndu-se cîteva lovituri cu ciocanul imediat după ce rulmentul încălzit a fost așezat pe fus.

După încălzire, rulmenții cu alezaj conic se vor așeza în poziția corectă cu ajutorul unei lame calibru de grosimea  $u$ , corespunzător schemei din fig. 23.7. La început

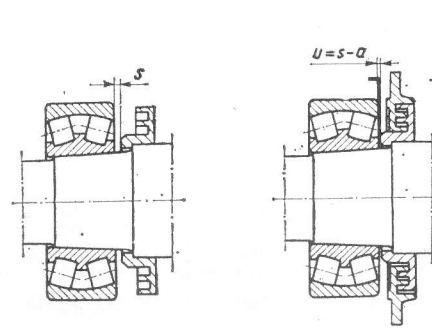


Fig. 23.7. Determinarea poziției unui rulment la îmbinarea cu con

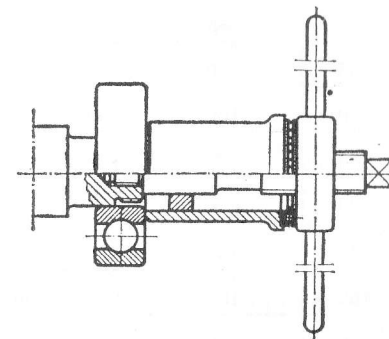


Fig. 23.8. Dispozitiv cu șurub pentru asamblarea rulmenților

rulmentul neîncălzit încă se așază pe fus și se măsoară distanța  $s$ . Mărimea  $a$  se poate lua cu foarte bună aproximație conform [19] egală cu:

$$a = 15 j_r, \quad (23.3)$$

în care  $j_r$  este valoarea cu care trebuie redus jocul radial inițial  $j_i$  al rulmentului. Valorile pentru  $j_r$  sînt date în tabelul 23.1. În felul acesta cota  $u$ , care va arăta poziția dorită a rulmentului va fi:

$$u = s - a = s - 15 j_r. \quad (23.4)$$

În producția de serie mică, se recomandă mecanizarea lucrărilor de asamblare în vederea ușurării muncii și a măririi productivității muncii. Se folosesc în general dispozitive de asamblare cu șurub, de felul celui indicat în fig. 23.8. Dispozitivul arătat în fig. 23.8 servește la îmbinarea rulmentului pe fus și pentru îmbinarea rulmentului în carcasă sau, pentru asamblarea simultană pe fus și în alezajul carcasei. În cazul din urmă, se va utiliza o placă de apăsare, de felul celei arătate în fig. 23.6.

Rulmenții cu diametrul alezajului între 50 și 200 mm se assemblează de preferință prin fretare sau cu ajutorul unui dispozitiv de presare. Presarea cu dispozitiv este indicată pentru asamblarea rulmenților cu bucșă de extracție. Asamblarea se execută în felul



Tabelul 23.1

Reducerea jocului radial la asamblarea rulmenților radiali cu alezaj conic

Diametrul alezajului mm		Micșorarea jocului radial inițial, $j_r$ , mm	Diametrul alezajului mm		Micșorarea jocului radial inițial $j_r$ , mm
peste	pînă la		peste	pînă la	
40	50	0,030...0,035	200	225	0,100...0,115
50	65	0,035...0,040	225	250	0,105...0,125
65	80	0,040...0,050	250	280	0,120...0,140
80	100	0,050...0,060	280	315	0,130...0,150
100	120	0,055...0,065	315	355	0,150...0,170
120	140	0,065...0,070	355	400	0,160...0,190
140	160	0,070...0,085	400	450	0,180...0,210
160	180	0,075...0,090	450	500	0,200...0,240
180	200	0,085...0,100			

arătat în fig. 23.9. Dispozitivul se compune din discul 1 călit și rectificat plan, din piulița 2 și din patru șuruburi de presare 3 din oțel îmbunătățit. La început, discul 1 este apăsător prin înșurubarea piuliței 2 către bușa de extracție. Apoi se strîng rînd pe rînd, în mod uniform, șuruburile 3 pînă cînd se va constata că jocul radial inițial al rulmentului a fost redus la valoarea corespunzătoare jocului funcțional  $j_f$ .

Forța de presare pentru îmbinarea cu fusul a unui rulment cu alezajul cilindric se calculează cu (22.2), doar că în acest caz efortul unitar  $\sigma_s$  se determină cu următoarea relație:

— inelul interior presat pe un fus plin:

$$\sigma_s = \frac{\Delta}{d} \frac{E}{2} \left[ 1 - \left( \frac{d}{h} \right)^2 \right] \text{ [daN/cm}^2\text{]}; \quad (23.5)$$

— inelul interior presat pe un arbore tubular:

$$\sigma_s = \frac{\Delta}{d} \frac{E}{2} \left[ 1 - \left( \frac{d}{h} \right)^2 \right] \frac{1 - \left( \frac{d_1}{d} \right)^2}{1 - \left( \frac{d_1}{h} \right)^2} \text{ [daN/cm}^2\text{]}. \quad (23.6)$$

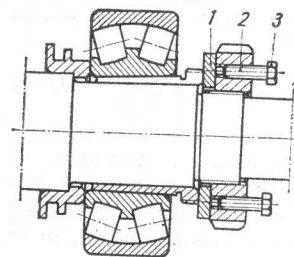


Fig. 23.9. Montarea mecanică a unui rulment radial cu butoiașe de mărime mijlocie

în care:  $\Delta$  este strîngerea, mm;  $d$  — diametrul efectiv al alezajului inelului, mm;  $h$  — diametrul redus al căii

de rulare, mm;  $d_1$  — diametrul alezajului în arbore, mm;  $E$  — modulul de elasticitate, daN/cm<sup>2</sup> ( $E \approx 2100000$  daN/cm<sup>2</sup>). Asupra mărimilor indicate în formulă orientează schițele din fig. 23.10.

Dacă ajustajul cu strîngere se prescrie pentru inelul exterior al rulmentului în alezajul carcasei, efortul unitar se calculează cu relațiile:

$$\sigma_s = \frac{\Delta}{D} \frac{E}{2} \left[ 1 - \left( \frac{H}{D} \right)^2 \right] \frac{1 - \left( \frac{D}{I} \right)^2}{1 - \left( \frac{H}{I} \right)^2} \text{ [daN/cm}^2\text{]}. \quad (23.7)$$

Pentru calculul forței de presare a rulmenților radiali cu alezaj conic (22.2) va avea următoarea formă:

$$F_{ca} = c \sigma_s \pi d l \left( \mu + \frac{1}{2k} \right) \text{ [daN]}, \quad (23.8)$$

pentru presarea pe fusul conic și,

$$F_{ca} = c \sigma_s \pi d l \left( \mu - \frac{1}{2k} \right) \text{ [daN]}, \quad (23.9)$$

pentru demontarea de pe fus.

Valoarea coeficientului de frecare conform [3] se poate lua, pentru asamblarea în stare uscată a suprafețelor de îmbinare, cu  $\mu = 0,15 \dots 0,25$ ; conicitatea fusului respectiv al alezajului rulmentului fiind  $1/k = 1/12$ , în formule se va trece  $\frac{1}{2k} = \frac{1}{24} \approx 0,042$ .

Presarea rulmenților mari cu diametrul alezajului peste 200 mm necesită forțe de presare deosebit de mari, din care cauză se preferă asamblarea acestora prin fretare sau cu ulei sub presiune. Îmbinarea prin fretare este indicată îndeosebi pentru rulmenții cu alezaj cilindric.

Îmbinarea rulmenților cu alezaj conic se poate face mai simplu cu ulei sub presiune. Procedul de îmbinare cu ulei sub presiune constă în introducerea unui strat de ulei mineral între suprafețele de îmbinare, presiunea uleiului provocînd dilatarea inelului rulmentului. Inelul alunecînd în acest caz pe un strat de ulei, coeficientul de frecare  $\mu$  scade la aproximativ 0,02, ceea ce face ca forța de presare să fie scăzută, realizabilă cu o instalație hidrolică simplă.

Verificarea jocului funcțional se exercită după asamblare, în general asupra rulmenților radiali cu alezaj conic, avînd în vedere că jocul funcțional depinde de poziția rulmentului pe fusul conic sau pe bușa de extracție. Jocul radial funcțional se calculează cu ajutorul relației  $J_f = J_i - J_s$  și se măsoară cu leră-spion. La rulmenții radiali cu bile, jocul funcțional se poate măsura cu comparatorul ca și în schema din fig. 23.2.

Jocul funcțional al ansamblurilor cu rulmenți axiali-radiali se determină prin măsurarea jocului axial în felul arătat în fig. 23.11. Jocul axial măsurat va trebui să se încadreze în valorile date în tabelul 23.2.

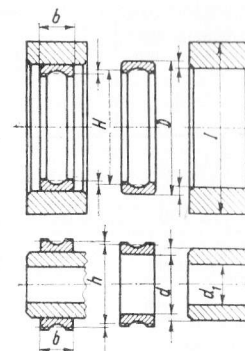


Fig. 23.10. Determinarea mărimilor pentru calculul presiunii în cazul asamblării rulmenților prin presare



Tabelul 23.2

## Jocul axial după asamblarea rulmenților

Aleazajul rulmentului, mm		Rulmenți radial-axiali cu role conice		Aleazajul rulmentului, mm		Rulmenți radial-axiali cu bile	
		seria rulmentului				seria rulmentului	
		7200(302) 7500(322)	7300(303), 7600(323) 27300(313)			46300(7200)	66300(7300)
		jocul axial, mm				jocul axial, mm	
13...30	0,03...0,08	0,05...0,11		pină la 30	0,02...0,06	0,03...0,09	
35...50	0,04...0,10	0,06...0,12		35...50	0,03...0,09	0,04...0,10	
55...80	0,05...0,12	0,07...0,14		55...80	0,04...0,10	0,05...0,12	
85...120	0,06...0,15	0,10...0,18		85...100	0,05...0,12	0,06...0,13	

La asamblările la care arborii sînt susținuți de rulmenți radiali combinați cu rulmenți axiali, aceștia din urmă vor forma rulmentul conducător. Și la aceștia se controlează jocul funcțional axial analog procedurii indicat în fig. 23.11.

Jocul funcțional radial al rulmenților radiali cu alezaj cilindric nu trebuie în general controlat, deoarece acesta este determinat de ajustajul îmbinării. Dacă acesta este corect ales, jocul funcțional radial va fi corespunzător. Totuși în anumite cazuri și anume cînd se montează rulmenți cu joc mărit ( $C_3C_4$  sau  $C_5$ ), se recomandă controlul jocului radial după asamblare. Jocul radial funcțional  $J_{rf}$  va trebui să fie:

$$J_{rf} = (0,4 \dots 0,5) J_{ri}, \quad (23.10)$$

$J_{ri}$  fiind jocul radial inițial. După montarea rulmenților cu joc redus ( $C_2$ ) este în tot cazul indicată verificarea jocului funcțional radial.

Corelația dintre jocul radial și jocul axial indicată este valabilă și pentru rulmenții după montare.

Ungerea rulmenților imediat după asamblare este indicată, lubrifiantul fiind totodată și protector contra coroziunii. Dacă pentru ungerea rulmenților proiectantul prevede unsoare consistentă, se va alege după indicațiile de utilizare din STAS 1608-65, sau după indicațiile din literatura de specialitate [16]. Spațiul rămas liber în carcasa lagărului, după montarea rulmentului, se va umple doar pînă la maximum  $1/2 \dots 3/4$  din spațiul disponibil, deoarece o cantitate prea mare de unsoare ar produce frecări interne mari, în urma cărora se poate distruge colivia rulmentului, se poate descompune unsoarea și

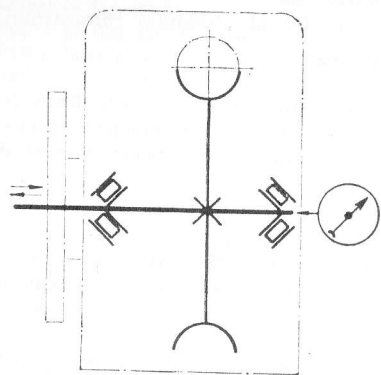


Fig. 23.11. Determinarea jocului axial la asamblările cu rulmenți radial-axiali

poate crește temperatura în așa măsură că unsoarea se topește și se scurge din carcasă. La rulmenții care lucrează către limita superioară a turației admise, pentru ungerea cu unsoare consistentă, după o zi de funcționare, va trebui completat lubrifiantul.

La ungerea cu ulei mineral, proiectantul va indica obligatoriu calitatea lubrifiantului, alegerea calității acestuia depinzînd în mare măsură de condițiile de funcționare, încît alegerea nu poate fi lăsată pe seama tehnologului montator. Acest lucru este îndeosebi important în cazul ungerii prin pulverizare a uleiului sau cînd ungerea se face cu ceață de ulei.

Dacă ungerea cu ulei se face direct, rulmenții aflîndu-se în baia de ulei, se va avea în vedere ca nivelul uleiului să nu treacă peste o jumătate din diametrul corpurilor de rulare din poziția inferioară.

Eficacitatea etanșării contribuie în mare măsură la condițiile de bună funcționare a rulmenților. Pentru etanșările cu contact și anume cu inele de pîslă, acestea vor trebui îmbibate înainte de montare într-un amestec fierbinte de  $2/3$  ulei mineral și  $1/3$  seu de oaie, la temperatura de  $80 \dots 90^\circ\text{C}$ . Se va avea grijă ca, după montare inelul de pîslă să nu adere prea strîns pe arbore, frecarea mare putînd produce creșterea temperaturii arborelui și a rulmentului montat pe acesta și uzura rapidă a inelului și a arborelui la jocul de contact cu acesta.

Etanșările cu manșon (simmeringuri) se montează mai simplu; frecarea între manșon și arbore este determinată constructiv de presiunea unui arc circular așezat în jurul manșonului sau de armătura de rigidizare a manșonului. Înainte de a se pune în contact inelul de pîslă sau manșonul cu arborele, acesta va trebui șters cu grijă, orice impuritate dură ajunsă între ele putînd produce zgîrieturi pe arbore sau chiar griparea acestuia.

La asamblarea elementelor componente ale etanșărilor fără contact (canale circulare, inele labirint) se vor respecta riguros jocurile radiale și axiale ale acestora, în caz contrar inelul rotativ ar putea produce un efect de pompă și evacuare a lubrifiantului. După terminarea asamblării intervalele spațiale între inelele labirint se vor umple cu unsoare consistentă prin orificiul prevăzut în acest scop de proiectant. Unsoarea consistentă introdusă în spațiul dintre inelele labirint mărește eficiența etanșării.

Temperatura de funcționare a unui rulment corect asamblat la temperatura ambiantă de  $20^\circ\text{C}$  nu depășește, în funcționare continuă, temperatura de cca.  $60^\circ$ , ceea ce înseamnă o creștere a temperaturii cu cca.  $40^\circ\text{C}$ . Această diferență de temperatură se menține și în cazul temperaturilor ambiante mai ridicate.

Demontarea rulmenților fiind operația inversă montării, aceasta depinde în primul rînd de procedeu de asamblare. Pentru desfacerea îmbinărilor prin presare a rulmenților radiali de mărime mică și mijlocie se va folosi un dispozitiv de demontare cu șurub construit după principiul arătat în fig. 23.12. Forța realizabilă cu un dispozitiv cu filet este în general suficientă pentru depresarea rulmenților de această mărime.

Rulmenții mari, îmbinați cu ulei sub presiune, se depresează cu același procedeu. Înainte de a se racorda dispozitivul cu ulei sub presiune, trebuie slăbită piulița de strîngere respectiv piulița bușei de extracție. După ce racordarea cu conducta de ulei a fost făcută și uleiul a fost introdus între suprafețele îmbinate, acestea se desprind una de cealaltă, permițînd îndepărtarea ușoară a rulmentului de pe arbore, respectiv scoaterea bușei de extracție.

Inelele rulmenților mari cu role cilindrice se demontează prin încălzire electrică cu un dispozitiv de felul celui schițat în fig. 23.13.

Dispozitivul prevăzut cu o tijă filetată 1 și ghiare 2 permite demontarea comodă a inelelor încălzite. Încălzirea inelelor trebuie să se producă rapid pentru a evita încălzirea și prin asta și dilatarea fusului.

**Asamblarea roților dințate.** Independent de modul în care roata dințată se îmbină cu arborele (pană paralelă, arbore canelat, profil K, știft transversal etc.), erorile de asamblare sînt cele arătate în fig. 23.14. și anume îmbinare incertă datorită forme necorespunzătoare a alezajului sau a fusului (a); bătaie axială exagerată a corpului roții (b); butucul roții nu se reazemă pe umărul arborelui (c); dantura roții are o bătaie radială prea mare (d). Erorile de poziție (a) și (d) se datoresc prelucrării necorespunzătoare,

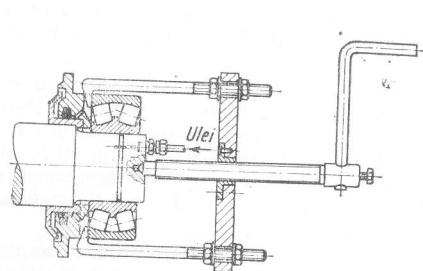


Fig. 23.12. Dispozitiv de demontare cu tijă filetată

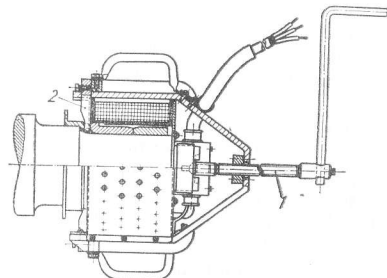


Fig. 23.13. Demontarea inelelor rulmenților cu role cilindrice prin încălzire prin inducție

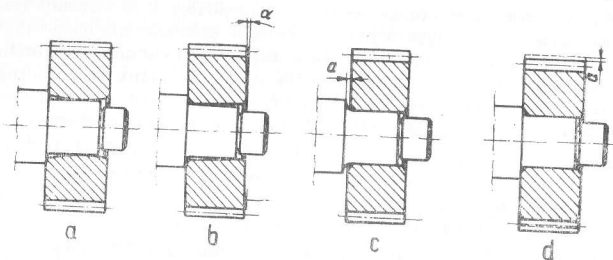


Fig. 23.14. Erorile de îmbinare a corpului unei roți dințate

piesele ajungînd în sectorul de asamblare din cauza controlului tehnic superficial. Erorile de poziție de la (c) sînt erori tipice de asamblare neglijentă.

După montarea grupului de repere controlul calității asamblării se face în felul indicat în fig. 23.15. Grupul de repere se prinde între vîrfurile păpușilor dispozitivelor de control și se controlează bătaia axială a corpului roții în apropierea danturii, bătaia radială a danturii cu ajutorul unei role etalon, apoi cu o lăcă spion contactul între butucul roții și umărul arborelui. Controlul se face anume cu grupul de repere prins între vîrfuri pentru a se elimina influența jocurilor rulmenților.

După ce angrenajul a fost gata asamblat, urmează controlul calității asamblării grupului de repere în cadrul subansamblului, respectiv al ansamblului. Acest control se face prin verificarea petei de contact (nu trebuie confundată proba petei de contact în stare montată a angrenajului, cu proba petei de contact efectuată în stare nemontată a angrenajului, cînd cele două roți dințate sînt fixate pe dornuri prinse între vîrfuri).

Pentru a putea efectua acest control, danturile celor două roți ale angrenajului supus probei vor trebui spălate și degresate, apoi una dintre danturi vopsită cu un amestec de negru de fum și petrol. Roata cu dantura vopsită se va roti de cîteva ori, măsurîndu-se apoi mărimea petelor lăsate pe dantura nevopsită. Pata de contact poate lua una dintre formele arătate în fig. 23.16. Pata de contact reprezentată în (a) are poziție

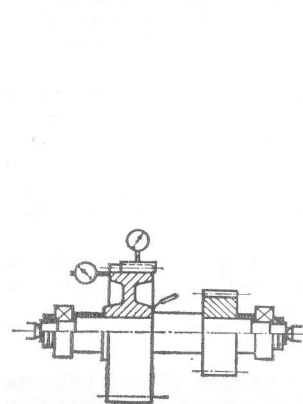


Fig. 23.15. Verificarea îmbinării unui grup de repere cu roți dințate

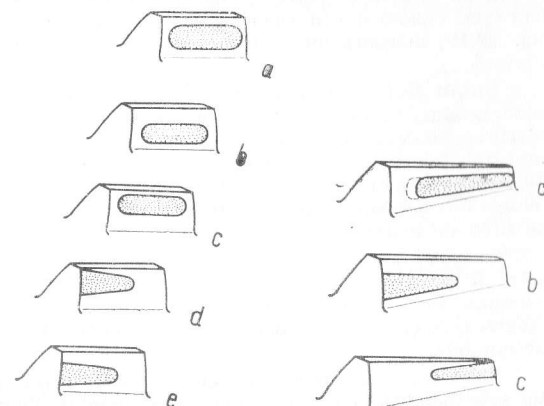


Fig. 23.16. Controlul asamblării angrenajelor cilindrice cu pata de contact

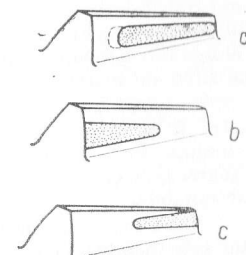


Fig. 23.17. Controlul asamblării angrenajelor conice cu pata de contact

centrală, ceea ce înseamnă că angrenajul este corect montat. Pata reprezentată în (b), deși se așează central, este plasată prea aproape de fundul dintelui, ceea ce înseamnă că alezajele lagărelor sînt coaxiale, distanța între axe însă este prea mică. Dimpotrivă, pata reprezentată în (c) dovedește că alezajele sînt coaxiale, distanța dintre axe este însă prea mare. Pata de contact deplasată lateral, după cum se vede în (d) și (e), denotă că axele celor doi arbori nu sînt paralele și ca atare angrenajul nu va asigura o funcționare satisfăcătoare în producție. Cauza rebutului poate fi prelucrarea greșită a alezajelor lagărelor din carcasă, sau prelucrarea necorespunzătoare a danturii roților dințate care formează angrenajul. Rebutul la asamblare se datorește prin urmare controlului tehnic defectuos al sectorului mecanic, care a lăsat să treacă în secția de montare produse necorespunzătoare.

În mod asemănător poziția petei de contact este un indiciu și pentru calitatea asamblării angrenajelor conice. Dacă organele componente au fost corect prelucrate și corect îmbinate, pata de contact va ocupa poziția centrală a flancului după cum se arată în fig. 23.17, a. La mersul în gol pata va apare puțin deplasată către vîrfurile conului (conturul cu linia plină), iar sub sarcină, în poziția centrală. Orice altă poziție centrală însă mai pronunțat deplasată a petei de contact denotă că axele de rotație a celor două roți dințate nu se intersectează în vîrfurile comune ale celor două conuri ale roților.

Pata de contact formată ca și în fig. 23.17, b și c arată că, sau roțile dințate nu au fost îmbinate corect cu arborii, sau axele alezajelor în carcasă nu sînt perpendiculare, sau că dantura roților dințate conice prezintă abateri de la direcția prescrisă a dinților. În

primul caz este vorba de o eroare de asamblare, în cazurile din urmă de erori de fabricație ale sectorului de prelucrare prin așchiere.

Înainte de a se pune angrenajul asamblat în funcționare de probă, va trebui controlat jocul între flancuri. Controlul se face prin blocarea uneia dintre roțile angrenajului și rotirea în poziția extremă a celeilalte. Jocul apare între flancurile opuse celor care se află în contact la perechea de dinți care este în angrenare. Jocul se măsoară cu o lărmă (spion) sau în cazuri greu accesibile cu un dispozitiv de felul celui arătat în fig. 23.19; mărimea lui va trebui să corespundă cu datele indicate pe desenele roților dințate.

Un alt factor care determină calitatea unui ansamblu de angrenaje este efectul sonor produs de acesta în timpul funcționării. Proba acustică reprezintă un control complex foarte concludent al calității asamblării. Controlul poate fi executat în mod simplu, reclamă însă o instalație specială. Zgomotul produs de un angrenaj al cărui nivel sonor este sub 30 foni se află în „zona liniștită”. Dacă nivelul sonor al unui angrenaj nu depășește 30 foni într-o încăpere, omul poate lucra netulburat. Astfel de angrenaje pot fi considerate ca fiind de foarte bună calitate.

În cazul cînd tăria zgomotului produs de funcționarea unui angrenaj este cuprinsă între 30 și 75 foni, zgomotul nu afectează sănătatea omului, dar îi îngreiază munca, zgomotul fiind enervant. Un astfel de zgomot se află în „zona zgomotelor supărătoare”. Angrenajele care în funcționare produc zgomote în zona supărătoare, sînt însă de calitate acceptabilă.

Dacă însă angrenajul produce zgomot de nivel mai ridicat decît 75 foni, influența lui este nefavorabilă asupra activității omului. Zgomotul de această intensitate face ca productivitatea muncii să scadă și pe durată lungă să afecteze chiar și sănătatea omului. Astfel de zgomote constituie „zona zgomotelor vătămătoare”. Angrenajele producînd zgomot în zona vătămătoare se consideră de calitate necorespunzătoare.

Controlul complex al calității asamblării angrenajelor melcate se face de asemenea cu proba de contact. Pentru efectuarea controlului de contact se vopsește dantura melcului, după care acesta este rotit de cîteva ori. Pata de contact produsă pe fiecare flanc al danturii roții melcate va trebui să se plaseze în zona centrală a danturii cu o ușoară deplasare înspre ieșirea din angrenare a melcului. Orice altă poziție a petei de contact este dovada că asamblarea prezintă deficiențe. Așa de exemplu, dacă pata de contact apare în zona centrală a flancului, însă deplasată înspre marginile acestuia, înseamnă că planul de simetrie a danturii roții melcate nu cuprinde axa de rotație a melcului așa că roata melcată va trebui deplasată în mod corespunzător pe arbore. Așezarea în poziție corectă a roții melcate se face sau prin ajustare sau prin reglare. Asupra posibilităților poziției petei de contact care semnaleză o asamblare greșită a unui angrenaj melcat orientează fig. 23.18. Pata de contact obținută în poziție centrală însă deplasată înspre piciorul dintelui (fig. 23.18,a), arată ca și la roțile dințate cilindrice că distanța dintre axe este prea mică, iar pata plasată, către virful dintelui arată că distanța dintre axe este prea mare (fig. 23.18,b). Petele de contact din fig. 23.18,c semnaleză că distanța dintre axe la prelucrarea  $A_p$  a fost mai mare decît distanța funcțională dintre axe  $A$ . Din analiza petelor de contact din fig. 23.18,d, se poate trage concluzia că axa de rotație a melcului nu este perpendiculară pe axa roții melcate. Petele amplasate în felul arătat în fig. 23.18,e semnaleză deplasarea planului de simetrie a danturii roții melcate față de axa de rotație a melcului. Această eroare de asamblare se poate remedia simplu prin ajustare sau prin reglare. Celelalte erori (fig. 23.18, a,b,c și d) rezultă în urma prelucrării greșite a organelor componente și nu pot fi eliminate în sectorul de asamblare.

În caz că controlul petei de contact este satisfăcător, urmează verificarea jocului între flancuri, a cărui mărime este indicată, pe desenul melcului. Jocul dintre flancuri

nu poate fi măsurat decît indirect cu un dispozitiv de felul celui reprezentat în fig. 23.19. Acesta se compune dintr-un cadran 1 cu gradația în grade, așezat provizoriu pe corpul unuia dintre lagăre, și indicatorul 2, fixat pe arborele melcului. Roata melcată se blochează prin frinare, iar melcul se rotește în limitele jocului dintre flancuri.

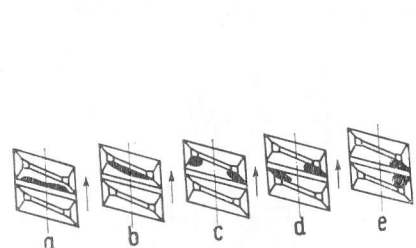


Fig. 23.18. Pozițiile posibile ale petei de contact la controlul angrenajelor melcate

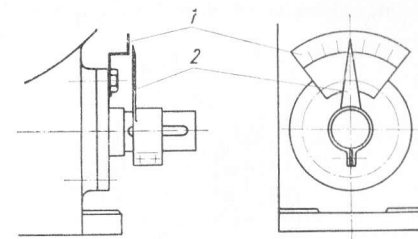


Fig. 23.19. Dispozitiv pentru determinarea jocului între flancuri

Devierea indicatorului arată jocul unghiular  $\alpha$ , cu ajutorul căruia se calculează jocul dintre flancuri,

$$J = p \frac{\alpha}{360^\circ} [\text{mm}]. \quad (23.11)$$

În această relație  $p$  este pasul axial al melcului, mm. Dacă jocul dintre flancuri constat este mai mic decît cel prescris, angrenajul trebuie demontat, iar spira, sau spirele melcului subțiate.

**Asamblarea lagărelor de alunecare.** Procesul de asamblare a lagărelor de alunecare depinde de caracterul producției. Lagărele produselor mari și a celor fabricate în serie mică sau unicat se asamblează prin metoda ajustării. În fabricația de serie mare se aplică asamblarea prin interschimbare totală sau interschimbare parțială.

Scopul urmărit prin aceste procedee de asamblare este asigurarea portanței lagărului și crearea condițiilor favorabile de ungere. Portanța lagărului este determinată de contactul dintre suprafețele fusului și ale alezajului cuzinetului. Pentru lagărele de importanță funcțională ridicată, suprafața de contact dintre piesa cuprinsă și cea cuprinzătoare trebuie să fie de 80 ... 90% din suprafața activă a alezajului cuzinetului, iar pentru lagăre de importanță funcțională secundară, de 70 ... 80%. Este evident că, cu cît precizia de formă a suprafeței cuprinse și celei cuprinzătoare va fi mai mare, cu atît mai mare va fi aderența acestora și cu aceasta și capacitatea de portanță a lagărului.

Precizia de formă a suprafeței cuprinzătoare și a celei cuprinse se determină în concordanță cu condiția dată de inegalitatea (23.2).

După ce s-a constatat că cele două suprafețe corespund, urmează să se verifice portanța acestora. Verificarea se face cu un calibr, vopsit cu negru de fum sau albastru de Paris, în felul arătat în fig. 23.20. Rotind calibrul la stînga și la dreapta, pe suprafața alezajului se imprimă o pată, care corespunde cu suprafața portantă a cuzinetului. Mărimea acesteia va trebui să satisfacă condiția de mai sus. În caz contrar suprafața portantă a cuzinetului va trebui răzuită, pînă va corespunde acestor condiții. Dacă

fusul a fost prelucrat corect și a corespuns la proba de control a preciziei de formă, buna calitate a îmbinării este asigurată.

Pentru a ușura formarea penei de ulei și a favoriza ungerea hidrodinamică, în lungul cuzinetului, pe ambele laturi, se răzuiesc lăcașuri în felul indicat în fig. 23.21. Este întru totul nepotrivită formarea așa numitelor „canale de ungere” pe suprafața activă a cuzinetului, acestea avînd efect dăunător, putînd periclita chiar buna funcționare a lagărului.

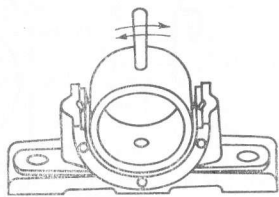


Fig. 23.20. Calibrul pentru controlul suprafeței portante a unui cuzinet

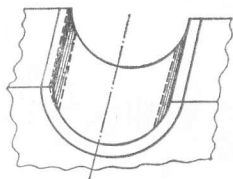


Fig. 23.21. Răzuirea în cuzinet a locașului pentru ulei.

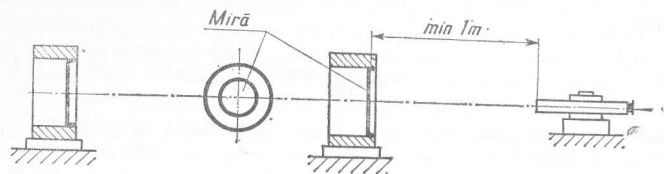


Fig. 23.22. Centrarea cu luneta a mai multor lagăre individuale

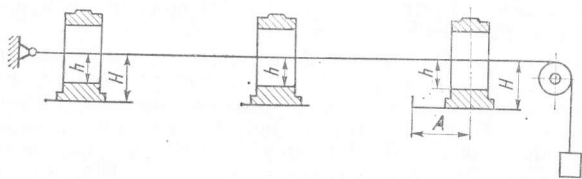


Fig. 23.23. Centrarea cu coarda de pian a mai multor lagăre individuale

Dacă corpul lagărului face corp comun cu carcasa angrenajului, după aceste lucrări pregătitoare fusul poate fi așezat în lagăr și capacul lagărului poate fi fixat. În cazul în care se montează lagăre individuale, după lucrările pregătitoare, corpul lagărului se fixează pe carcasă, urmînd apoi centrarea cu lagărul opus, pentru a se obține coaxialitatea între alezajele lagărelor. Lagărele cu funcționare importantă se centrează cu ajutorul unor lunete și unor mire. Schema unei astfel de centrări este reprezentată în fig. 23.22. Lagărele de importanță funcțională secundară se centrează cu ajutorul unei corzi de pian de 0,2 ... 0,5 mm grosime în felul arătat în fig. 23.23. Pentru a se asigura

întinderea suficientă a corzii, aceasta va fi încărcată cu o sarcină egală cu 0,3 ... 0,5 din forța de rupere a corzii. Coarda întinsă materializînd axa sistemului, lagărele se reglează după poziția acesteia cu ajutorul înălțimii axei  $H$ , a cotei de referință  $A$  și a cotei ajutoare  $h$ . Cota  $h$  se determină de obicei cu un dispozitiv. După centrare se așază arborii în lagăre și se strînge capacul fiecărui. Strîngerea cea mai eficientă a piulițelor se obține, bineînțeles, folosind o cheie dinamometrică sau un dispozitiv cu strîngere hidraulică.

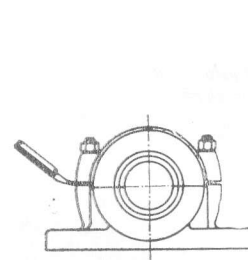


Fig. 23.24. Verificarea îmbinării capacului cu corpul lagărului

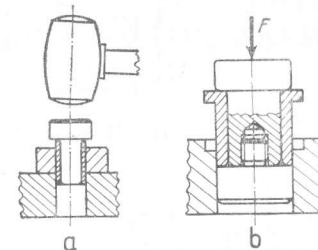


Fig. 23.25. Presarea cuzinetelor dintr-o singură bucată în corpul lagărului

lică, care permite realizarea uniformă a forței de prestîngere necesară. Înșurubarea controlată a piulițelor lagărelor este deosebit de importantă în cazul unor produse de performanță (motoare cu ardere internă, compresoare, turbine, mașini miniere etc.).

În încheiere urmează verificarea existenței interstițiului dintre capac și corpul lagărului (fig. 23.24), care confirmă așezarea corectă a suprafețelor de contact ale celor două piese.

Cuzineții lagărelor de alunecare executate dintr-o singură bucată se montează prin presare cu ajutorul unui dispozitiv. Presarea cuzinetelor cu diametru mic (pînă la  $\varnothing 50$  mm) se face manual, după cum se arată în fig. 23.25, a. Cuzineții cu diametru peste 50 mm se montează în alezajul carcsei cu ajutorul unei prese hidraulice de masă în felul reprezentat în fig. 23.25, b.

Avînd în vedere că în urma presării alezajul cuzinetului se va micșora, presarea este urmată de o calibrare cu o bilă sau cu un dorn, avînd diametrul corespunzător cotei finite a alezajului. Calibrarea se face de asemenea cu ajutorul unei prese hidraulice.

Atît cuzineții secționari, cît și cei dintr-o singură bucată trebuie blocați contra rotirii și a deplasării axiale. În acest scop, proiectantul prevede știfturi, care la cuzineții secționari se plasează la locul prevăzut înainte, iar la cuzineții dintr-o singură bucată după asamblare.

**Asamblarea arborilor compusi.** Problema de bază care apare la asamblarea arborilor compusi este asigurarea coaxialității tronsoanelor asamblate. După cum se poate vedea în fig. 23.26 unul dintre tronsoane este de obicei, montat; se presupune că, în cazul de față, acesta este tronsonul din stînga, urmînd ca celălalt tronson să fie orientat după primul. Acest lucru se face cu ajutorul unui dispozitiv cu ceas comparator, de felul celui reprezentat în fig. 23.27, a. Se fac două măsuri: una în plan vertical măsuriindu-se mărimea  $\epsilon$ , iar cealaltă în plan orizontal măsuriindu-se mărimea  $\delta$ . Abaterile constatate se elimină prin ajustarea sau reglarea plăcilor de bază ale lagărelor arborelui neorientat încă. Concordanța poziției orizontale a celor doi arbori se verifică cu o nivelă cu bulă de aer, avînd precizia de indicare de 0,03/1000 mm sau 0,05/1000 mm. Mai simplă este



măsurarea abaterilor cu ajutorul dispozitivului arătat în fig. 23.27, b, cu care abaterile se pot măsura cu o leră cu lame (spion). Dispozitivul se compune din două flanșe. Acestea sînt așezate deplasabil în sens axial pe arbore, pentru ușurarea montării și demontării lor. Măsurătorile se fac în plan vertical și rotind apoi una dintre flanșe, în plan orizontal,

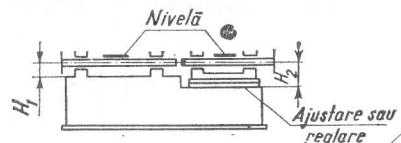


Fig. 23.26. Verificarea coaxialității arborilor care trebuie asamblați

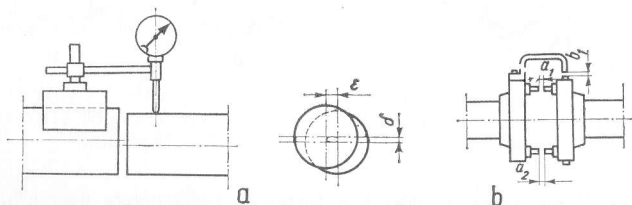


Fig. 23.27. Dispozitiv pentru controlul coaxialității a doi arbori:

a — cu ceas comparator; b — cu flanșă și indicator de fantă

urmînd să se ajusteze, sau să se regleze plăcile de bază ale lagărelor arborelui. Notațiile  $a_1$ ,  $a_2$  și  $b_1$  indică locurile de măsurare. Măsurătorile, ajustările și reglările vor trebui repetate pînă ce se ajunge la precizia dorită a centrării. După centrarea efectuată, urmează asamblarea montînd cuplajul prescris în acest scop.

## 24. MECANIZAREA ȘI AUTOMATIZAREA OPERAȚIILOR DE ASAMBLARE

### 24.1. CONSIDERAȚII GENERALE

În cursul asamblării unui produs al industriei constructoare de mașini vor trebui satisfăcute următoarele condiții: deplasarea piesei la locul de îmbinare; orientarea în spațiu a suprafețelor piesei de asamblat în raport cu piesa conjugată, cu precizia necesară; orientarea în spațiu cu precizia necesară a dispozitivelor și sculelor, necesare realizării îmbinării pieselor conjugate; îmbinarea pieselor conjugate; verificarea calității îmbinării.

Prima și a patra condiție se îndeplinesc, în majoritatea cazurilor, mecanic sau automat, cu ajutorul unor scule sau dispozitive adecvate.

Celelalte condiții care sînt legate de rezolvarea unor lanțuri de dimensiuni, face necesară, în general, intervenția muncitorului montator. Mecanizarea, îndeosebi însă automatizarea acestor operații, ridică unele probleme de ordin tehnic care, în majoritatea cazurilor, nu au putut fi rezolvate economic, nici chiar la nivelul actual al dezvoltării științei și tehnicii.

Eficiența economică a mecanizării și automatizării proceselor tehnologice de asamblare este limitată mai puțin de amortizarea investițiilor pentru utilajul de asamblare necesar, îndeosebi la asamblarea produselor de mare complexitate, cît înainte de toate, de siguranța în funcționare a acestora, deoarece orice defecțiune a utilajului de asamblare nseamnă întreruperea producției. La construcția unui utilaj de asamblare de formă complexă va trebui avută în vedere frecvența deranjamentelor posibile, care, evident, crește cu numărul organelor componente. Notînd cu  $p$  probabilitatea medie de defectare, în promil (la mie), într-o perioadă convențională de timp, de exemplu 1000 ore, a unui organ funcțional important, siguranța de funcționare  $S_t$  a acestui organ va fi:

$$S_t = 1 - \frac{p}{1000} \quad (24.1)$$

Siguranța de funcționare a utilajului întreg de asamblare  $S_t$  se poate exprima, prin urmare, cu relația:

$$S_t = S_i^n, \quad (24.2)$$

în care  $n$  reprezintă numărul organelor funcționale importante. Numărul elementelor constructive apărînd ca exponent, acesta influențează în cea mai mare măsură siguranța de funcționare a unui utilaj de asamblare [15].

În afara problemelor privind siguranța în serviciu, apar la proiectarea mecanismelor de asamblare o seamă de dificultăți constructive, legate de rezolvarea unor probleme de lanțuri de dimensiuni, caracteristice acestor mecanisme.



Dificultățile arătate, caracteristice pentru utilajul de asamblare, explică faptul că tehnologia asamblării în general nu a depășit încă stadiul mecanizării complexe și explică totodată și rămânerea în urmă a automatizării proceselor tehnologice complexe de asamblare, în comparație de exemplu, cu procesele tehnologice de prelucrare prin așchiere.

Într-adevăr, în prezent automatizarea proceselor tehnologice de asamblare se rezumă doar la unele operații simple, de exemplu la îmbinările prin filet, sau la asamblarea unor produse de complexitate redusă care se pot asambla prin interschimbarea totală sau selectivă, și la care organele componente se autoorientează, cum ar fi lanțurile cu role, unele tipuri de rulmenți, balamalele etc.

## 24.2. UTILAJE SPECIFICE FOLOSITE ÎN TEHNOLOGIA ASAMBLĂRII

Datorită diversității mari a îmbinărilor și a caracterului specific al acestora, utilajul folosit în tehnologia asamblării pentru executarea mecanică sau automată a acestora este foarte variat. În cele ce urmează, se vor descrie numai utilajele caracteristice.

O varietate mare constructivă caracterizează sculele folosite pentru îmbinările cu filet. În producția de unicate pentru înșurubarea prezoanelor se folosesc scule și dispozitive simple, în general fără verificarea directă a prestrîngerii.

În producția de serie mică se recomandă dispozitive de înșurubat, construite după principiul aplicat la cheia reprezentată în fig. 24.1, deoarece folosirea acestora este mai simplă, iar productivitatea muncii este cu mult mai mare. Cheia se compune dintr-o bucă cu gheare 2, care se poate roti cu ajutorul bilelor aflate în canalul corpului 1. În fig. 24.1, a, cheia este reprezentată în momentul în care șurubul prezon va fi prins de fălcile 3. Filetul superior al șurubului prezon se înșurubează în fălci, pînă ce capătul prezonului va împinge butonul 4 în sus, comprimînd arcu și împingînd buca cu gheare 2 în sus (fig. 24.1, b). Bilele vor fi împinse în afara canalului, iar ghearele bucei 2 se vor cupla cu ghearele din corpul 1 al dispozitivului. În această poziție a cheii începe înșurubarea filetului inferior al prezonului în piesa conjugată. În momentul în care cupa 5 atinge piesa conjugată buca cu gheare continuă să se rotească și să coboare, pînă ghearele se vor decupla permițînd fălcilor 3 să se desprindă de șurubul prezon. Cheia permite reglarea momentului de prestrîngere prin stringerea sau slăbirea arcu central. Mărimea momentului de prestrîngere necesar se poate calcula.

În producția de serie mare, înșurubarea șuruburilor cu cap crestă se execută semi-automat, cu ajutorul unui utilaj de construcție arătată în fig. 24.2, a. În partea de jos a arborelui 3 se fixează scula de lucru. Din magazinul 5, șurubul (sau piulița) înaintază pe jgheabul 7 către receptorul 2. Magazinul 5 este acționat de un motor electric prin reductorul 4, care acționează și dispozitivul pentru înșurubarea fiecărui șurub (sau piuliță) în parte.

În fig. 24.2, b se arată mecanismul de înșurubare cu șurubelnița 8. La coborîrea arborelui, șurubelnița nimereste în crestătura șurubului. Șurubul 10 începe a se roti, înșurubîndu-se.

În acest timp, semibuca receptorului 2 se sprijină pe vîrfurile 9, realizîndu-se eliberarea șurubului. După înșurubare, arborele se deplasează în sus, semibuca se va sprijini pe reazemul superior 6, permițînd în această poziție prinderea următorului șurub care vine pe jgheab, după care procesul de înșurubare se repetă.

În ceea ce privește piulițele, acestea se înșurubează în producția de unicate în ultima vreme cu chei dinamometrice de felul celor arătate în fig. 22.7 și 22.8 sau cu chei cu

limitarea mecanică a momentului de prestrîngere. Construcția unei astfel de chei se arată în fig. 24.3.

Pe arborele principal 1 al cheii se află capul 2, avînd dimensiunile corespunzătoare piuliței care trebuie strînsă; capul este fixat cu ajutorul inelului 3. Piulița 4 și contra

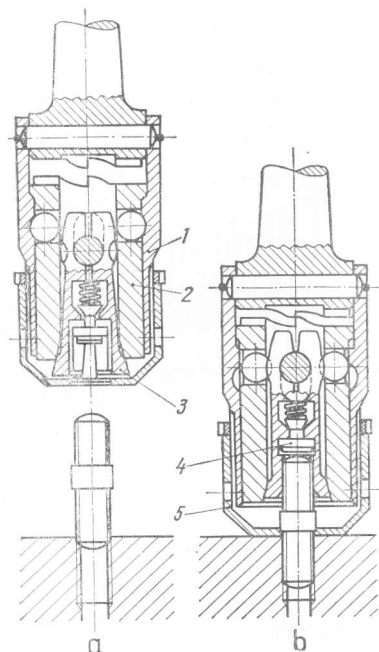


Fig. 24.1. Cheie pentru stringerea șuruburilor prezon cu limitarea mecanică a momentului de prestrîngere

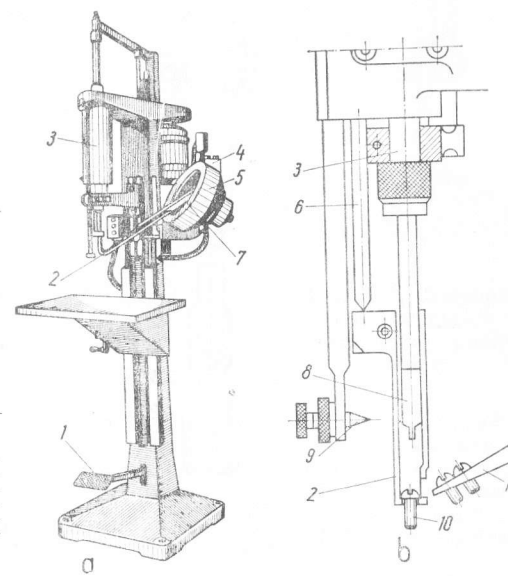


Fig. 24.2. Utilaj pentru înșurubarea automată a șuruburilor cu cap crestă

piulița 5 servesc la reglarea întinderii arcuului 6. La celălalt capăt al arborelui principal 1 este așezat, prin presare, bolțul 7, ale cărui capete intră în tăieturile înclinate ale bucei 8. Bucea este presată de un arc 6 pe umărul arborelui principal și este cuplată cu gheare cu buca 9. Aceasta din urmă este fixată de arborele principal 1, cu ajutorul șurubului 10 care permite însă rotirea bucei 9 față de acesta. Cînd forța aplicată asupra minierului 11 depășește forța limită de stringere, bolțul 7 alunecă în tăietura încrestată a bucei 8, trăgînd-o în jos și decuplînd-o de buca 9, împreună cu minierul 11 care se vor roti în gol.

Dezavantajul acestor dispozitive constă în dimensiunile lor relativ mari.

În vederea etalonării, arcul este strâns, în prealabil, pînă la o anumită valoare, la care angrenarea cuplajului cu cheie asigură transmiterea unui anumit moment de pre-tensiune.

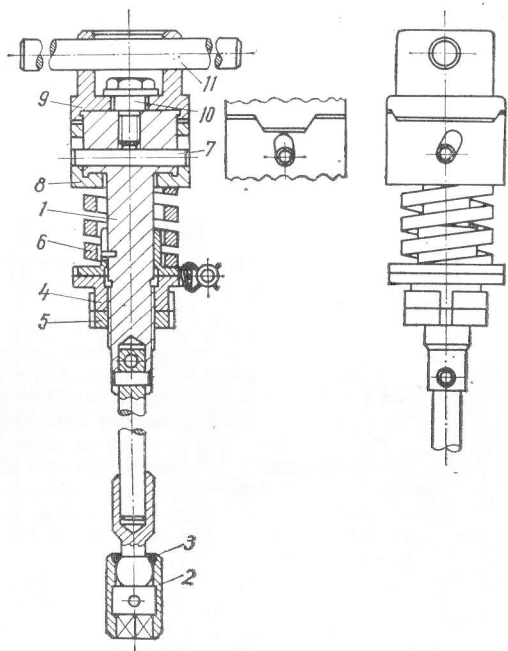


Fig. 24.3. Dispozitiv pentru înșurubarea piulițelor cu limitarea mecanică a momentului de prestrângere

În producția de serie mare se folosesc, pentru înșurubarea prezoanelor și a piulițelor, dispozitive cu tije de lucru multiple, de felul celui reprezentat în fig. 24.4. Acționarea tijelor, respectiv a elementelor de înșurubare se face în general hidraulic sau electric.

Penele paralele se îmbină în canalul din arbore prin ajustaj cu strângere. În fabricația de unicate sau de serie mică, penele paralele se presează în locaș prin lovituri ușoare date cu un ciocan din masă plastică, sau cu ajutorul unui dispozitiv a cărui construcție este arătată în fig. 24.5. Berbecul 3, ghidat pe tija 2, se ridică pînă la opritorul 1 și prin cădere liberă lovește, prin intermediul unei nicovale 4 până, pînă ce aceasta se așează în canal. În producția de serie mare este mai productivă presarea penei în canal cu ajutorul unei prese hidraulice de masă. Pentru a se evita deformarea arborelui în cursul operației, acesta va trebui sprijinit pe prisme.

Dispozitivul reprezentat în fig. 24.5 se poate folosi și la demontarea penelor paralele. În acest caz, în gaura filetată din pană se înșurubează piesa filetată 4 și lovind berbecul de opritorul 1 se va produce îndepărtarea penei.

Roțile baladoare se îmbină cu arborele canelat cu ajustaj cu joc, asamblarea executându-se, în general, manual. În producția de serie mare asamblarea se face cu dispozitive de poziționare reciprocă a pieselor. Calitatea îmbinării se controlează cu grupul de piese fixat între vîrfuri conform schemei din fig. 23.15 verificîndu-se cu comparatorul bătaia axială (fularea) roții baladoare și jocul circumferențial dintre dantura arborelui și roții.

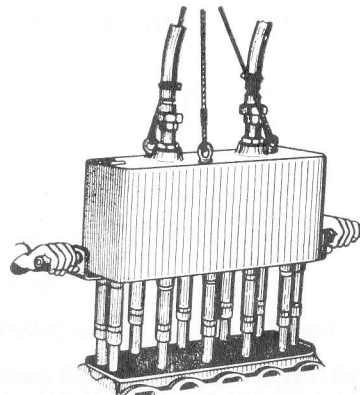


Fig. 24.4. Dispozitiv de înșurubare multiax

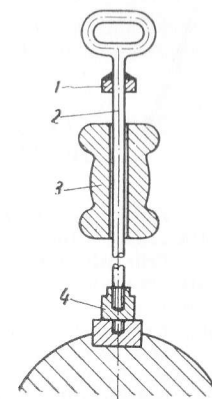


Fig. 24.5. Dispozitiv pentru montarea și demontarea penelor paralele

Penele cu înclinare (penele înalte sau penele tangențiale) se folosesc în producția de unicate, sau de serie mică. Montarea și demontarea lor se face prin lovituri date cu ciocanul, sau cu ajutorul unui dispozitiv construit după principiul arătat în fig. 24.5.

Îmbinările cu strângere a pieselor mici și mijlocii în producția de unicate și de serie mică se execută de obicei manual (fig. 23.5 și 23.25, a). În producția de serie se folosesc dispozitive mecanice (fig. 23.8) sau hidraulice. Pieseile grele se assemblează prin presare cu prese hidraulice sau prin fretare.

Deși folosirea noilor mijloace tehnice crează condiții organizatorice favorabile automatizării tehnologiei asamblării, totuși aceasta se aplică în prezent doar asupra unor operații izolate și mai rar asupra succesiunii de operații, sau asupra unei tehnologii complete de asamblare. Cauzele, care limitează deocamdată generalizarea automatizării proceselor tehnologice de asamblare, au fost expuse în paragraful premergător. Perfecționarea tehnicii va avea, evident, drept urmare extinderea tot mai mare a automatizării și în procesele tehnologice de asamblare.

## 25. LUCRĂRILE DE ÎNCHEIERE ÎN TEHNOLOGIA ASAMBLĂRII

### 25.1 CONTROLUL TEHNIC ȘI PROCESUL TEHNOLOGIC DE ASAMBLARE

După terminarea procesului tehnologic de asamblare a unui produs va trebui controlată calitatea lucrărilor de asamblare, respectiv calitatea produsului final.

Prin calitatea lucrărilor de asamblare se înțelege gradul de concordanță între capacitatea prescrisă în caietul de sarcini a produsului de a îndeplini anumite funcțiuni, în anumite condiții de lucru, caracterizat prin indici stabiliți în funcție de destinația produsului și performanța reală a acestuia.

În timpul realizării procesului tehnologic de asamblare pot să apară diferite defecte de asamblare.

Defectele de asamblare sînt de mai multe categorii: defecte de ajustaje, adică nerespectarea jocurilor și a strîngerilor stabilite în proiect; defecte de poziție, adică lipsa de coaxialitate, bătaii axiale și radiale exagerate, poziție improprie a reperelor etc.; deformări, deformarea elastică sau permanentă a unor repere datorită strîngerilor exagerate la asamblare sau lipsei de defensionare după prelucrarea la cald a piesei; defecte de suprafață, lovituri sau zgîrieturi ivite în cursul asamblării; defecte de echilibrare; defecte ce apar datorită stării locului de muncă: resturi de pilituri, praf abraziv, noroi, diferite impurități.

Aceste defecte se pot constata abia în timpul efectuării rodării preliminare și a recepției interne a produsului.

### 25.2. RODAJUL PRELIMINAR AL PRODUSULUI ASAMBLAT

Scopul rodajului preliminar este pe de o parte acomodarea între ele a suprafețelor conjugate ale organelor mobile, pe de altă parte verificarea faptului dacă unitatea asamblată sau produsul industrial răspunde la comenzile prevăzute în proiect.

Durata de rodare a unui produs industrial nou asamblat variază între 2...5 zile, în funcție de felul produsului, de precizia și complexitatea lui.

Rodajul preliminar se face la mersul în gol al mașinii. Înainte de pornire sau de începerea rodajului, se vor spăla cu petrol rafinat sau benzină, piesele mobile, cutiile de viteză, articulațiile, lagărele etc. După ce s-au uscat toate locurile de ungere, se umple cu cantitatea de ulei prescrisă. Apoi se cuplează mașina, respectiv subansamblurile acesteia, în mod succesiv.

În cursul rodajului, se urmărește comportarea organelor mobile și a tuturor îmbinărilor. Dacă se constată că îmbinările mobile nu funcționează corespunzător, constatîndu-se

încălziri exagerate sau un mers zgomotos, mașina trebuie oprită pentru a se elimina cauza deranjamentului.

Temperatura lagărelor și angrenajelor se controlează continuu cu termometrul așezat în baia de ulei sau la un loc adecvat.

La început temperatura va crește mai rapid, după un timp oarecare de funcționare, ea devine aproape stabilă, cu o creștere foarte mică. Temperatura atinsă, numită tempera-

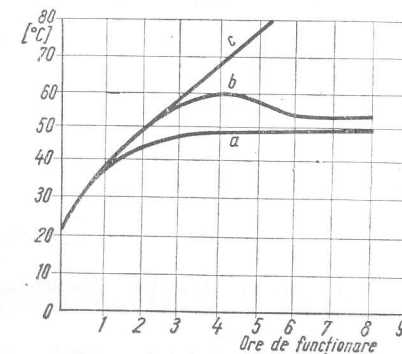


Fig. 25.1. Diagrama de variație a temperaturii de funcționare a unei mașini:  
a — variația temperaturii în timpul rodajului;  
b — variația temperaturii la funcționare normală;  
c — variația temperaturii la funcționare defectuoasă

tură de regim, se menține cu 30...50 °C peste temperatura ambiantă în funcție de tipul mașinii, de felul îmbinării, de calitatea lubrifiantului și de mărimea turației suprafețelor conjugate.

Este necesar ca în timpul rodajului să se ridice diagrame de variație a temperaturii în timp. O astfel de diagramă se vede în fig. 25.1. Aceste diagrame se pot compara cu diagrama de funcționare normală a mașinii, putîndu-se judeca astfel starea în care se găsește mașina respectivă.

După o funcționare de cca. 8 ore, lubrifiantul trebuie eliminat din mașină și introdus lubrifiant proaspăt.

Rodarea se efectuează într-un regim progresiv. La început mașina va lucra cu turația minimă și în mod treptat va ajunge la turația maximă. Turația maximă se admite numai la sfîrșitul operației de rodare preliminară și pentru un timp scurt de (1/2...1 oră). Orice mers zgomotos sau cu trepidații va fi un semn de funcționare nesatisfăcătoare, necesitînd o remediere a cauzelor care au provocat-o.

Cînd funcționarea mașinii este stabilă și temperatura de regim rămîne neschimbată, rodajul preliminar poate fi considerat terminat și se poate trece la probele de recepție a mașinii.

Prin acest rodaj preliminar, produsul nu se consideră rodat definitiv. La beneficiar se va face un rodaj de durată la mersul în gol și apoi sub sarcină redusă.

### 25.3. DOCUMENTELE PRODUSELOR INDUSTRIEI CONSTRUCTOARE DE MAȘINI

Înainte de a se trimite mașina rodată preliminar la recepție, vor trebui întocmite documentele, în care se precizează caracteristicile produsului, performanțele lui tehnice și calitatea execuției.

Documentele produsului servesc la identificarea sa. În industria constructoare de mașini, fiecare produs industrial trebuie să aibă următoarele documente:

— cartea mașinii; caietul de sarcini sau standardul cu condițiile de recepție; procesul verbal de omologare; fișa de recepție internă; fișa de recepție definitivă; prospectul.

*Cartea mașinii* conține indicații precise și obligatorii asupra proprietăților și performanțelor produsului, precum și asupra modului de exploatare și de întreținere economică a acestuia.

În acest scop, cartea mașinii va cuprinde: caracteristicile tehnice; performanțe, gabarit, greutate; condițiile de funcționare; datele tehnice și desenul fundației; condițiile de transportare, de asamblare, de descărcare, de așezare și fixare pe fundație; indicațiuni privind problemele energetice; modul de mînuire, exploatare și întreținere; lista pieselor rezervă.

*Caietul de sarcini* conține, în afara performanțelor produsului cu indicarea limitelor admisibile, și condițiile pentru stabilirea și controlul acestora, precum și unele particularități recomandate de proiectantul produsului.

Deoarece indicațiile din caietul de sarcini sînt în strînsă legătură cu fabricația produsului, caietul de sarcini se întocmește de către proiectant de comun acord cu uzina producătoare.

În caietul de sarcini se arată probele la care trebuie supus și la care trebuie să corespundă produsul. Probele de verificare se împart în două grupe: probe statice; probe dinamice.

Probele de verificare statică constau în controlul dimensional al produsului și controlul preciziei pozitionale a diferitelor organe principale în stare de repaos. Deoarece verificările statice nu dau o imagine obiectivă asupra comportării produsului în timpul funcționării, se impune și verificarea dinamică.

Probele de verificare dinamică se referă la: controlul verificării produsului în mers în gol; performanțele produsului sub sarcină; controlul în legătură cu vibrațiile și zgomolul în decursul funcționării și controlul elementelor de etanșare.

Pentru recepționarea produselor industriale de importanță deosebită pentru economia națională, s-au creat condiții unitare de recepție fixate prin standarde de stat.

*Procesul verbal de omologare* se referă la prototipul unui produs asimilat, destinat fabricației de serie.

Înainte de a se lansa produsul în fabricație, prototipul acestuia va trebui cercetat și verificat dacă producerea lui reprezintă avantaje pentru economia națională, dacă performanțele corespund cu performanțele produselor similare de pe piața mondială și dacă construcția lui corespunde nivelului tehnicii avansate. Constatările și observațiile se fac de către o comisie republicană din care fac parte: delegatul instituției tutelare și reprezentanți ai întreprinderii producătoare, specialiști din alte instituții și întreprinderi cu caracter similar și eventual reprezentantul beneficiarului.

Constatările și observațiile comisiei se trec în procesul verbal de omologare. Produsul va putea fi lansat în fabricație de serie numai dacă comisia a constatat că prototipul corespunde condițiilor arătate mai sus și condițiilor precizate de caietul de sarcini.

*Fișa de recepție internă* conține rezultatele controlului tehnic, efectuat imediat după rodajul preliminar. Rezultatele se vor trece într-un formular, întocmit corespunzător condițiilor de recepție precizate în caietul de sarcini sau în standardul de recepție. Produsele care nu corespund acestor condiții se consideră rebut și se retrimite la sectorul mecanic sau de montaj pentru remediere. Rezultatele obținute reprezintă un indicator asupra tehnicității uzinei producătoare. Cu cît indicii de calitate a produsului se apropie mai mult de cei prevăzuți în caietul de sarcini, cu atît mai ridicat va fi nivelul tehnic al întreprinderii. Variația indicilor de calitate a produselor oglindește variația tehnicității întreprinderilor.

*Fișa de recepție definitivă* se întocmește în prezența delegatului beneficiarului sau a împuternicitului acestuia. Cu ocazia recepției definitive se repetă probele făcute la recepția internă, trecîndu-se rezultatele în fișa de recepție definitivă.

Uneori fișa de recepție internă și cea de recepție definitivă se întocmesc pe un formular comun.

*Prospectul* (catalogul) produselor industriale nu constituie un document al produsului în sensul celor arătate mai sus. Prospectul servește doar la orientarea beneficiarului asupra posibilităților tehnice ale produsului, asupra gabaritului și a greutății, a consumului de energie al acestuia, pentru ca beneficiarul să-și poată forma o părere în ce măsură produsul pe care-l achiziționează îi corespunde programului său de producție.

Prospectul este prin urmare documentul de primă orientare a beneficiarului asupra produsului. Este documentul folosit de către furnizor pentru popularizarea produsului.

### 25.4. URMĂRIREA ÎN PRODUCȚIE A PRODUSELOR INDUSTRIEI CONSTRUCTOARE DE MAȘINI

Comportarea mijloacelor de producție în timpul exploatării este indiciul principal al calității lor. Din acest motiv este deosebit de importantă urmărirea comportării lor în producție, deoarece atît proiectantul cît și tehnologul pot trage învățăminte și pot primi sugestii folositoare în vederea îmbunătățirii calității produselor.

În cursul funcționării sub sarcină a produselor, pot apare unele lipsuri sau deficiențe care în timpul scurt al rodajului nu s-au putut încă manifesta. Astfel, de exemplu uzura rapidă a unor organe mobile va semnala că alegerea materialului sau calitatea prescrisă a uleiului de ungere, sau tratamentul termic al materialului ales nu a fost corespunzător.

Amplasarea greu accesibilă a organelor de ungere sau a celor de comandă, constatată în producție de muncitorul mînuitor, va permite aducerea unor modificări constructive din partea proiectantului.

Uneori muncitorul mînuitor sau maistrul sectorului în care lucrează noul utilaj va sugera completarea cu subansambluri sau cu mecanisme suplimentare, în vederea ușurării muncii fizice a muncitorului, a măririi productivității muncii sau a securității muncii.

Reclamațiile și sugestiile beneficiarilor privind un produs nou se pot împărți în general în categoria acelor care sesizează aceeași deficiență și în categoria reclamațiilor și a sugestiilor care se referă la lipsuri și deficiențe diferite.

În primul caz, cauzele deficiențelor vor trebui căutate în domeniul proiectării. Reclamațiile nesistematice din a doua categorie sînt un indiciu că tehnologia fabricației prezintă unele deficiențe.

Cauzele deficiențelor trebuie depistate pentru a se elimina sursa lor, iar sugestiile făcute trebuie studiate de colectivele interesate, luîndu-se măsuri pentru a se adapta produsul progresului tehnic.



## BIBLIOGRAFIE (cap. 20—25)

1. ESCHMANN ș.a. *Die Wälzlagerpraxis*. München, Oldenbourg, 1953.
2. FEDERN, K. *Auswuchttechnik I și II* (Werkblatt 145 și 22/222). München, C. Hanser.
3. FEDERN, K. *Unwucht toleranzen rotierender Körper*. „Werkstatt-und Betrieb“, nr. 5, 1953.
4. FEDOROV, B. F. *Mecanizarea și automatizarea montajului în construcția de mașini*. București, Editura tehnică, 1961.
5. FEDOROV, B. F. *Mechanizatsiia și avtomatizatsiia slesarno sborocinîh rabot*. Moscva, Mașghiz, 1962.
6. IVANOV, M. P. *Mecanizarea și automatizarea proceselor tehnologice în construcția de mașini*. București, Editura tehnică, 1961.
7. KORBÜLY, L., SZÉCSI, L. *Gépek szerelés*. Budapest, 1954.
8. KORSÁKOV, V. I., NOVIKOV, M. P. *Spravochnik po mehanizatsii i avtomatizatsii sborocinîh rabot*. Moscva, Mașghiz, 1961.
9. LĂZĂRESCU, D. I. *Toleranțe, ajustaje, calibre*. București, Editura tehnică, 1963.
10. MANEA, GH. ș.a. *Organe de mașini*. Vol. I și II. București, Editura tehnică, 1958.
11. NOVIKOV, M. P. *Osnovi tehnologii sborki mašin i mehanizmov*. Moscova, Mașghiz, 1962.
12. POPOVICI, C. ș.a. *Tehnologia construcției de mașini*. București, Editura didactică și pedagogică, 1967.
13. RABINOVICI, A. N. *Mecanizarea și automatizarea complexă în construcția de mașini și aparate*. București, Editura tehnică, 1962.
14. RADU, T. și BREBENEL, D. *Mașini, dispozitive și metode de echilibrare statică și dinamică*. București, Editura tehnică, 1967.
15. SIMON, W. *Conducerea numerică a mașinilor-unelte*. București, Editura tehnică, 1966.
16. SPITZER, I. ș.a. *Rulmenți*. București, Editura tehnică, 1963.
17. VÖLKENING, W. *Ein und Ausbau von mittleren und grossen Wälzlagern in schwierigen Fällen*. Industrie-Anzeiger nr. 63, 1957.
18. \* \* \* *Manualul inginerului mecanic*. Vol. III. Secț. III. București, Editura tehnică, 1952.
19. \* \* \* *Mașinostroenie*. Vol. 5 și 14. Moscova, Mașghiz.

## V. CONTROLUL TEHNIC ÎN CONSTRUCȚIA DE MAȘINI



## 26. ORGANIZAREA CONTROLULUI

### 26.1. FORME TEHNICO-ORGANIZATORICE DE CONTROL

Se deosebesc două forme importante de control tehnic al calității, și anume: *controlul pasiv* și *controlul activ*.

Controlul pasiv în industria constructoare de mașini constă în stabilirea calității pieselor finite și a produselor montate. Aplicându-se după uzinarea pieselor și montarea mașinilor, se pot evita erorile de măsurare provocate de diferiți factori care intervin în timpul prelucrării (căldura degajată în timpul aşchierii, deformări în sistemul piesă-mașină-unealtă, vibrații etc.). Această formă de control nu permite prevenirea apariției rebuturilor.

Controlul activ, numit astfel pentru că se aplică în timpul prelucrării pe mașini-unelte, reprezintă o formă perfecționată a controlului tehnic de calitate. Luând în considerare principalii factori perturbatori care provoacă abateri de prelucrare și erori de măsurare, poate preveni apariția rebuturilor.

#### 26.1.1. CONTROLUL PASIV

După cantitatea de piese verificate, există mai multe tipuri de control pasiv, și anume: control integral, control pe bază de probe, control statistic.

*Controlul integral* (control 100%) constă în verificarea tuturor produselor. Se aplică la toate tipurile de producție, în special la producția individuală și în serii mici. Este necesar în următoarele cazuri: când calitatea materialelor, semifabricatelor sau pieselor obținute prin colaborare nu este omogenă; când procesele tehnologice sînt nestabile și nu asigură uniformitatea pieselor; după operații la care se obțin multe rebuturi; după operații foarte importante, hotărîtoare pentru operațiile următoare; la piese importante, care se obțin printr-o tehnologie complicată și costisitoare; la încercarea produselor a căror uniformitate nu se poate asigura prin procesul tehnologic de montare. Experiența arată că la aplicarea acestui tip de control se consumă un timp egal cu aproximativ 25–40% din timpul total necesar pentru executarea operațiilor productive.

*Controlul pe bază de probe* constă în verificarea calității la un număr restrîns de piese ori de produse, extrase din loturile sau din seriile executate. Se aplică la producția în serie mare și în masă a unor obiecte mai puțin importante și cînd este asigurată stabilitatea proceselor tehnologice. De asemenea, se recomandă în următoarele cazuri: la prelucrarea pe mașini-unelte automate care nu au echipament de control activ; după operații a căror precizie nu prezintă importanță deosebită pentru prelucrarea ulterioară. Unele recomandări valabile și pentru acest tip de control se dau în STAS 6085–59 și STAS 6133–60. Controlul pe bază de probe este mai puțin costisitor decît controlul integral, dar nu poate preveni apariția rebuturilor.

*Controlul statistic*, variantă a controlului pe bază de probe, constă în extragerea de probe în condiții și la perioade determinate, cu însemnarea rezultatelor pe o diagramă, care permite supravegherea desfășurării proceselor tehnologice și prevenirea apariției rebuturilor. Acest tip de control, bazat pe teoria probabilităților și statistica matematică, aplicabil la producția în serie mare și în masă, duce la îmbunătățirea calității produselor și reducerea volumului lucrărilor de control; în schimb, impune o pregătire mai bună a controlorilor. Nu se recomandă aplicarea controlului statistic în cadrul prelucrării cu precizie redusă, când calitatea poate fi urmărită ușor și apariția rebuturilor este puțin probabilă.

Dacă precizia mașinii este suficientă pentru a justifica introducerea controlului statistic și procesul tehnologic este dinamic stabil, se alege metoda de control statistic corespunzătoare (de obicei o metodă combinată), se întocmesc fișele de control pe care se trasează limitele de control stabilite pe bază de calcule statistice și pe acestea se trec, la perioadele stabilite, rezultatele măsurării probelor extrase. Prescripții pentru aplicarea unor metode de control statistic și întocmirea fișelor se dau în STAS 6277—60, STAS 5880—58, STAS 6275—60, STAS 6276—60, STAS 6214—60 și STAS 5997—58.

### 26.1.2. CONTROLUL ACTIV

Este cea mai perfecționată formă de control tehnic al calității. Mijloacele folosite sînt următoarele:

1. Dispozitive de control activ, de construcție relativ simplă, conținînd un aparat indicator, care permite lucrătorului să urmărească desfășurarea procesului tehnologic și să intervină în cazul dereglării sistemului, ori la terminarea operației.

2. Instalații de control activ, conținînd un element de măsurare primar, un element de conducere și comandă și un element de execuție. Aceste instalații pot fi: instalații de conducere automată a regimului de prelucrare, în funcție de valoarea variabilă a parametrului controlat, întrerupînd prelucrarea la atingerea valorii prescrise; instalații de corectare automată a poziției sculei în timpul prelucrării; instalații de copiere automată activă.

Această formă de control tehnic se aplică în construcția de mașini numai la producția în masă și, mai ales, la operații de finisare; totuși, experiența uzinelor arată că este convenabilă și la alte tipuri de producție. Aplicarea controlului activ presupune menținerea utilajului la nivelul de precizie corespunzător, ceea ce impune supravegherea permanentă a mașinilor, dispozitivelor, uneltelor, mijloacelor de măsurare și a calității semifabricatelor.

### 26.2. FORME ORGANIZATORICE DE CONTROL

În uzinele constructoare de mașini, de controlul calității răspunde serviciul de control tehnic, care are la dispoziție: laboratorul uzinal, subsecții de control tehnic în cadrul secțiilor de producție, puncte de control tehnic în locuri de muncă, ateliere, secții, sectoare etc. Toate subunitățile menționate trebuie să aibă mijloacele de măsurare corespunzătoare.

Se deosebesc mai multe forme de control tehnic, și anume: control la locul de muncă, control de atelier, controlul subsecțiilor de control, controlul beneficiarilor.

**Controlul la locul de muncă.** Această formă de control are caracter preventiv și se execută de către controlorii din secție, atelier, sector etc., sau chiar de lucrător. Când este executat de controlori specializați, se poate prezenta sub diverse forme, ca: controlul

primelor piese, control volant, control inelar, control statistic curent, control de inspecție.

*Controlul primelor piese*, executat după reglarea mașinii, este un control preventiv. Se face periodic: la începutul schimburilor de lucru, la schimbarea sculelor, la reglarea mașinilor.

*Controlul volant* constă în cercetarea de către controlor a locurilor de muncă dintr-un sector sau atelier, la perioade de timp determinate și verificarea ultimelor piese; dacă se constată rebuturi, controlorul anunță pe șeful sectorului, atelierului etc. să ia măsurile necesare de înlăturare a cauzelor.

*Controlul inelar* este o variantă a formelor indicate mai sus și constă în verificarea produselor de la un anumit număr de locuri de muncă, pe care le cercetează succesiv după grafic.

*Controlul statistic curent*, ca și controlul volant sau inelar, constă în trecerea, la perioade stabilite, a controlorului însărcinat cu supravegherea statistică pe la toate locurile de muncă la care se aplică acest tip de control, măsurarea numărului de piese prescris și însemnarea rezultatelor pe diagramele de control de la locurile de muncă.

*Controlul de inspecție* este o formă particulară de control la locul de muncă, organizată de serviciul de control tehnic, care printr-o comisie de controlori, verifică atât calitatea produselor, cât și activitatea depusă de personalul de control din secții și ateliere.

*Autocontrolul* este cea mai nouă formă de control la locul de muncă. El presupune răspunderea deplină a lucrătorului, care se angajează să dea numai produse de calitate corespunzătoare, astfel încît să fie admise la prima prezentare. Prin aplicarea acestei forme de control nu se desființează controlul tehnic, ci se modifică doar caracterul și conținutul muncii controlorilor.

**Controlul de atelier.** Este un control intermediar, care se aplică în ateliere la prelucrarea și montarea unor părți de mașini. El se poate face pe operații sau pe grupe de operații. Controlul pe operații se aplică la operațiile foarte importante, de care depinde prelucrarea ulterioară. Controlul pe grupe de operații se aplică atunci cînd caracterul procesului tehnologic nu permite controlul după fiecare operație, ori cînd controlul pe operații nu este rațional. Se face de obicei pe locuri de muncă fixe, așezate la sfîrșitul liniilor tehnologice ori cuprinse în acestea.

**Controlul subsecțiilor de control.** Acesta poate fi un control preventiv, intermediar sau final, care se execută la punctul de control din secție, dotat cu mijloacele corespunzătoare, ori în magazia de piese finite, astfel încît să oprească trecerea mai departe a pieselor necorespunzătoare.

**Controlul beneficiarilor.** Acesta reprezintă verificarea de către beneficiar sau de către reprezentantul acestuia a produselor gata de livrare, pentru a vedea dacă acestea corespund condițiilor tehnice fixate prin standarde, norme interne sau caiete de sarcini.

## 27. CONTROLUL CALITĂȚII MATERIALELOR METALICE

În timpul prelucrării (semifabricat-faze interoperaționale-produs finit), pentru asigurarea calității corespunzătoare a materialului, se impun următoarele măsuri de control:

— Controlul prin examinarea aspectului exterior, care constă din: verificarea conservării produsului, ambalaj, izolație față de mediu, marcare și poansonare, aspectul suprafeței (culori de indicație, culori de revenire, exfolieri, scorii, fisuri, sufluri, incluziuni de corpuri străine, pojghițe, suprapuneri etc.). La examinarea aspectului exterior se poate folosi lupa.

— Determinarea compoziției chimice, care se poate face prin analiză chimică cantitativă și calitativă (gravimetrică, volumetrică, gazovolumetrică), prin metode de analiză fizico-chimice (polarografică, fotocolorimetrică) sau prin metode fizice (spectrale). O apreciere a compoziției chimice (calitativă) se poate face și prin metoda încercării prin scînteii. Analiza chimică, pentru diverse elemente, se efectuează conform normelor în vigoare, sau după procedeele clasice, indicîndu-se metoda folosită și sursa bibliografică.

— Analiza microscopică, care evidențiază microstructura (forma, mărimea și aranjamentul constituenților și fazelor structurii, mărimea grăunților, natura, forma și repartizarea incluziunilor nemetalice) și analiza macroscopică, care se efectuează cu ochiul liber sau cu ajutorul unei lupe și evidențiază macrostructura (fibrajul, incluziuni nemetalice, goluri de contracție, retasuri, sufluri, fisuri).

— Analiza proprietăților fizice care se face prin metode de laborator clasice, în general, pe epruvete cu formă specifică analizei respective. Se determină conductivitatea electrică și conductibilitatea termică, coeficientul de dilatare termică liniară, punctele critice de transformare, densitatea, greutatea specifică etc.

— Analiza caracteristicilor mecanice.

— Analiza proprietăților tehnologice. Pentru materialele metalice cu proprietăți speciale se dau indicații asupra valorilor minime ale parametrilor asigurați și asupra metodelor de analiză ale acestora.

— Analiza defectelor interne ale pieselor (defectoscopie).

### 27.1. ANALIZA DEFECTELOR INTERNE ALE PIESELOR

**Metoda distructivă.** Se execută pe epruvete, pe suprafețele rezultate din rupere sau pe suprafețe pregătite prin șlefuire și atac cu reactivi ( $H_2SO_4$ ,  $HCl$ ); atacul accentuează vizibilitatea.

**Metode nedistructive.** În cele ce urmează se prezintă principal metodele: luminiscentă, magnetică, cu radiații penetrante și cu ultrasunete.

**Metoda luminiscentă** se aplică la piese cu defecte de suprafață. Constă în iradierea cu raze ultraviolete a pieselor, care în prealabil au fost scufundate într-o soluție fluorescentă. Soluția pătrunsă în defecte devine fluorescentă sub acțiunea razelor, evidențiind locul cu defect. Se folosesc lămpi cu cuarț și mercur de tip medicinal și lichide fluorescente ca: amestec format din ulei de transformator (15%) și gaz lampant (85%) sau amestec de gaz lampant (74%), vaselină (15%), benzol (11%), cu adaos de soluție de fluor 0,2 g/l și 2 g de emulgator. Pentru mărirea contrastului (develoare) se presară praf fin de  $MgC$  sau  $MgCO_3$ . Se evidențiază defectele cu o grosime de 0,005 mm, la materiale magnetice și nemagnetice.

**Metoda magnetică** se aplică materialelor feromagnetice. Fluxul magnetic ce străbate piesa întîmpină la locul defectului o rezistență și se dispersează. În locul unde există defecte la mică adîncime sau care pătrund pînă la suprafață se produce o concentrare a liniilor de forță și la ieșirea lor din metal se produce polarizarea magnetică. Efectul este puternic cînd fluxul magnetic este îndreptat perpendicular pe defect (fig. 27.1) și e aproape nul cînd acesta este îndreptat paralel cu defectul. Pentru evidențierea defectului se folosește o pulbere magnetică ce se presară pe suprafața metalului și care se aglomerează în dreptul defectului, formînd spectre magnetice. Magnetizarea se poate face în curent continuu sau alternativ. Se determină locul, dimensiunile și caracterul defectului.

La metoda uscată (cu pulbere) pe suprafața piesei se presară pulbere din oxizi feromagnetici ( $Fe_3O_4$ ). Culoarea pulberii trebuie să fie diferită de cea a piesei iar mărimea particulelor pulberii de 5–10  $\mu m$ .

La metoda umedă (cu suspensie), pulberea se amestecă cu un lichid, ceea ce îi mărește mobilitatea. Lichidul trebuie să aibă viscozitate mică, temperatură înaltă de explozie și de aprindere, să nu corodeze și să fie de culoare deschisă. Se pot folosi: ulei de transformator, vaselină, petrol lampant, alcool etc. Se folosește 50 g pulbere la un litru lichid. Mărirea contrastului se realizează folosind pulberi colorate.

Pentru încercare, piesa se scufundă în lichid sau lichidul se întinde cu o pensulă pe suprafața de studiat. După control, piesele trebuie demagnetizate.

**La metoda cu radiații penetrante** (raze X sau gama), depistarea defectelor interne se bazează pe absorbția de diferite grade a radiațiilor penetrante prin medii diferite. În piese, locul cu defect va prezenta un grad de absorbție diferit de cel al materialului sănătos. Imaginea defectului va apărea pe un ecran sau pe o placă fotografică (fig. 27.2), avînd o intensitate diferită de impresiune a materialului fotosensibil față de celelalte porțiuni ale metalului (STAS 6606–69). Metoda poate fi radioscopică sau radiografică, ultima fiind mai sensibilă.

La folosirea razelor X se pot constata defecte în piese de oțel cu grosimi pînă la 120 mm. Radioscopia sesizează defecte cu dimensiuni de 8–15% din grosimea materialului studiat, iar radiografia de 1–2%.

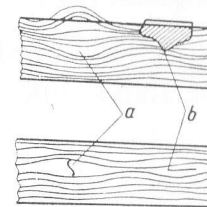


Fig. 27.1. Dispersia fluxului magnetic la piese defecte:

a - defect transversal;  
b - defect longitudinal

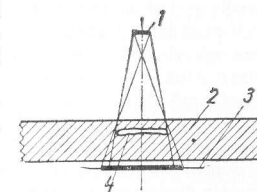


Fig. 27.2. Schema controlului cu radiații penetrante:

1 - sursa de radiații; 2 - piesa; 3 - film; 4 - defect

La folosirea razelor gama se pot constata defecte în piese de oțel cu grosimi pînă la 300 mm. Metoda este mai puțin sensibilă decît cea cu raze X.

*Metoda cu ultrasunete* (STAS 6914—64 și STAS 7802—67) se bazează pe proprietatea vibrațiilor ultrasonice de a străbate materialele și a se reflecta de pe suprafețele întîlnite. La anumite frecvențe crește concentrarea și se micșorează unghiul de deschidere a fascicului, lucrînd ca o „rază ultrasonică”. Această rază este folosită pentru explorarea internă a metalelor. Vibrațiile ultrasonice se obțin cu ajutorul unui vibrator excitat de un genera-

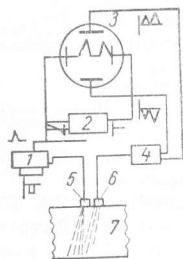


Fig. 27.3. Schema defectoscopului ultrasonic cu impulsuri:

1 — generator de impulsuri; 2 — generator de bază; 3 — oscilograf; 4 — amplificator; 5 — vibrator; 6 — detector; 7 — piesă;

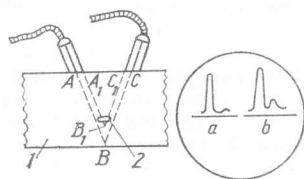


Fig. 27.4. Defectoscopia ultrasonică cu impulsuri:

1 — piesă; 2 — defect; ABC — parcursul „razei ultrasonice” reflectat de „fund”; A<sub>1</sub>B<sub>1</sub>C<sub>1</sub> — parcursul aceleiași raze reflectate de „defect”; a — vârful semnalului „defect”; b — vârful semnalului „fund”

tor special de impulsuri, care produce impulsuri scurte de tensiune variabilă și frecvență înaltă (fig. 27.3).

Vibratorul transformînd impulsurile de înaltă frecvență ale tensiunii alternative în vibrații elastice de aceeași frecvență, trimite periodic raze ultrasonice în metal. Ajungînd pînă la suprafața opusă a produsului (pînă „la fund”), raza ultrasonică este reflectată spre un detector special, care transformă vibrațiile ultrasonice reflectate în tensiune alternativă, care intră în amplificator și apare apoi pe ecranul tubului oscilografului sub formă de vîrf. Semnalul „de fund” se vede în partea dreaptă a ecranului (fig. 27.4). Dacă în grosimea metalului există un defect, vibrațiile ultrasonice se reflectă de la acesta și, deoarece parcursul razei ultrasonice pînă „la defect” este mai scurt decît pînă „la fund”, semnalul „defect” va apărea pe ecran mai înainte și mai spre stînga de semnalul „fund”. Poziția reciprocă a semnalelor se determină prin construcția oscilografului.

Se pot constata defecte foarte mici la distanțe apreciabile (cîțiva milimetri pătrați la distanța de 1 m).

## 28. MECANIZAREA ȘI AUTOMATIZAREA CONTROLULUI TEHNIC

### 28.1. CONSIDERAȚII GENERALE

**Necesitatea controlului automat.** Automatizarea operațiilor de control în cursul prelucrării a devenit necesară o dată cu mărirea productivității muncii și a preciziei de prelucrare, atribute inerente gradului de dezvoltare a tehnicii actuale. În fabricația modernă, de serie mare, operațiile de control reprezintă circa 40% din timpul consumat pentru execuția întregului proces tehnologic. În cazul acestor tipuri de producție volumul de muncă necesar pentru efectuarea operațiilor de control neautomatizate depășește cu mult pe cel al operațiilor productive.

Adoptarea controlului automat la o întreprindere industrială sau într-o secție se face numai pe baza unei analize profunde, ținînd seama de condițiile existente, factorul determinant fiind cel economic. Se poate adopta un sistem de control automat pe o mașină-unealtă, numai dacă mașina este suficient de rigidă și nu are un grad prea mare de uzură, avînd încă posibilitatea de a realiza produse, în proporție de cel puțin 60—70%, în limitele de toleranță impuse.

**Avantajele controlului automat.** Față de metodele clasice de control tehnic, controlul automat în cursul prelucrării prezintă următoarele avantaje: înlocuiește participarea efectivă a omului în procesul tehnologic; elimină erorile subiective; asigură îmbunătățirea continuă a calității produselor; dezvoltă principii de interschimbabilitate; anticipează apariția rebutului, permițînd reglarea mașinilor.

**Stadiul actual al automatizării operațiilor de control.** În stadiul actual, operațiile automate de control se desfășoară, în general, după următorul program: Se selectează numai piesele bune pentru operațiile următoare (în cazul controlului înainte de prelucrare), urmînd a fi supuse apoi unui control final, pentru detectarea tendinței erorilor, în vederea efectuării corecțiilor necesare pe mașină. Aceste operații se execută automat de către aparate de măsură cu acțiune independentă sau combinată. În acest timp, alte aparate de verificare, situate în lanțurile de transfer, examinează automat piesele, pentru a constata modul de desfășurare a procesului tehnologic. În cazul unor defecțiuni ca: uzură, dereglare sau deteriorare a sculelor, proastă orientare a poziției pieselor etc., se va da comanda pentru oprirea mașinii.

**Domeniul de aplicare.** Automatizarea operațiilor de control a găsit un larg cîmp de aplicație, cu mult succes, în fabricația de serie mare, iar în ultima vreme la realizarea automată a montajelor. În fabricația de serie mică, aparatura automată de control nu a reușit să înlocuiască aparatele de măsură convenționale, care se dezvoltă și se perfecționează în aceeași măsură cu cele automate.

**Abaterile instalațiilor automate de control.** Ca orice aparat, un aparat de control automat prezintă erori în cursul prelucrării. Aceste erori pot fi clasificate în două categorii:



— Erori care nu depind de funcționarea sistemului mașină-piesă-sculă. Acestea sînt erori care rezultă din schema cinematică a aparatului de control automat și din erorile lui de fabricație.

— Erori care depind de funcționarea sistemului mașină-piesă-sculă. Aceste erori sînt determinate de următorii factori: deformațiile sistemului elastic mașină-piesă-sculă, datorite forțelor de așchiere; vibrațiile piesei și ale mașinii; variațiile de temperatură ale piesei și ale mașinii; uzura virfurilor de măsurare.

**Eficiența economică a automatizării controlului.** Din punct de vedere economic, automatizarea controlului prezintă următoarele avantaje:

— rebururile se reduc de la 30% la 1% sau chiar la zero, datorită prevenirii abaterilor în afara cîmpurilor de toleranță;

— productivitatea crește cu 20–30%, datorită efectuării măsurărilor în cursul fabricației și a vitezei mari de măsurare;

— se reduce cu 20–30% consumul de energie electrică necesar acționării electrice a mașinilor-unelte prin eliminarea curselor în gol, necesare efectuării măsurărilor prin mijloace clasice;

— se măresc suprafețele de producție cu 25–30%, prin reducerea suprafețelor destinate amplasării aparatului clasic de control.

## 28.2. METODE DE CONTROL AUTOMAT AL DIMENSIUNILOR, FORMELOR ȘI POZIȚIEI RECIPROCE A SUPRAFEȚELOR

După faza din procesul tehnologic în care se execută, se disting trei metode de control automat: în cursul prelucrării, după prelucrare și automat.

**Controlul în cursul prelucrării.** Această metodă constă în verificarea cotelor piesei în timpul procesului de prelucrare.

**Controlul după prelucrare.** În acest caz, ansamblul care formează instalația de control automat este plasat alături sau pe mașina-unealtă (fig. 28.1). Acesta controlează cotele fiecărei piese la sfîrșitul prelucrării, asigurînd totodată și un important număr de funcții esențiale: permite trecerea pieselor bune către operația următoare; clasează piesele bune în diferite categorii, după cote; respinge piesele defecte; oprește mașina dacă numărul pieselor rebutate depășește o anumită limită; compensează variațiile în stabilitatea de funcționare a mașinii reglînd-o în caz de depășire a abaterilor maxime și minime; oprește mașina în caz de dereglare, uzură, sau deteriorare a sculei.

Fig. 28.1. Metoda de control după prelucrare

numai o dimensiune. Totodată, operațiile de măsurare făcîndu-se după prelucrare, piesa are timp să se răcească pînă aproape de temperatura mediului ambiant, ceea ce face ca precizia măsurării să fie mai mare.

Metoda oferă condiții optime pentru protejarea instalației de control automat împotriva lichidului de răcire, căldurii degajate de mașină și a vibrațiilor, limitînd erorile datorate acestor cauze.

**Controlul automat combinat.** Avantajele celor două metode prezentate mai înainte pot fi combinate (fig. 28.2). Controlul în cursul prelucrării asigură posibilitatea de per-

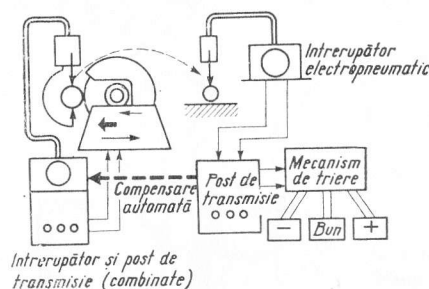


Fig. 28.2. Metoda de control combinată

cepere a variațiilor dimensiunilor pieselor, iar controlul după prelucrare asigură posibilitatea de determinare a cotelor efective ale piesei. Pentru a fi corectate, postul de control după prelucrare semnalează postului de control în timpul prelucrării corecțiile necesare reglării la noul punct de zero. Acest nou reglaj poate fi efectuat, fie urmînd o scară determinată, fie proporțional cu variațiile dimensiunilor pieselor, înregistrate de către dispozitivul de măsurare înaintea prelucrării.

Metodele de control automat expuse pot fi realizate cu aparatură electrică, electropneumatică, electronică sau pneumoelectronică.

## 28.3. AUTOMATE DE CONTROL PASIV

Orice mașină automată de control pasiv, indiferent de parametrii pe care îi măsoară, este compusă din următoarele elemente: mecanismul de alimentare; mecanismul de transport; elementul de măsurare primar; elementul de conducere și comandă; elementul de execuție. Funcționarea acestor mașini este ciclică. Ținînd seama de principiul de funcționare a elementului de măsurare primar, automatele de control se pot clasifica în: automate cu elemente de măsurare mecanice; automate cu elemente de măsurare electrice; automate cu elemente de măsurare pneumatice.

Majoritatea automatelor de control au și aparatură electronică, care servește la amplificarea semnalelor date de elementele primare, în vederea executării diferitelor comenzi.

**Aparat automat cu element de măsurare primar mecanic pentru controlul lungimii acelor de rulment.** Pe acest automat se verifică ace de rulmenți cu diametru pînă la 5 mm și lungimea pînă la 20 mm (fig. 28.3). Încărcătorul 1 care preia acele din pîlnia de alimentare 2 și căruciorul 3 primesc o mișcare de translație de la motorul 4, prin intermediul unui reductor cu angrenaj melcat. Acul de rulment ajuns în orificiul 5 al căruciorului 3 este împins în calibrul furcă, care se poate deplasa pe ghidaje. O muchie a calibrului este în contact cu o treaptă a mesei rotitoare 6. La introducerea piesei în calibrul 7, aceasta se deplasează cu o mărime funcție de cota de controlat. Dacă piesa are o lungime corespunzătoare ea trece liber prin treapta „trece” a calibrului, oprindu-se în dreapta „nu trece” și împinge calibrul pînă la capătul cursei. Dacă piesa este prea lungă (defect remedial), se oprește la intrarea calibrului în treapta „trece” și îl împinge pe acesta pînă la capătul cursei. Dacă lungimea piesei este prea mică (rebut neremedial), trece liber prin toate treptele, fără a deplasa calibrul. Astfel, calibrul poate avea trei poziții. Aceste poziții sînt fixate pe masa rotitoare 6, care sub acțiunea unui arc este în permanență apropiată de calibru, oferindu-i una din cele trei trepte, în momentul în care calibrul a ajuns în dreptul ei. Prin canalul 8 al mesei rotitoare piesele sînt dirijate în mod corespunzător sertarului, care reprezintă o grupă



de dimensiuni. Revenirea calibrului și a mesei în poziția inițială, sînt asigurate de pirghia 9. Precizia de măsurare este de  $\pm 0,05$  mm.

Aparat automat cu element de măsurare primar electric pentru controlul grosimii radiale a segmentelor de piston. În fig. 28.4 este prezentată schema de funcționare a

Fig. 28.3. Aparat automat pentru controlul lungimii acelor de rulment

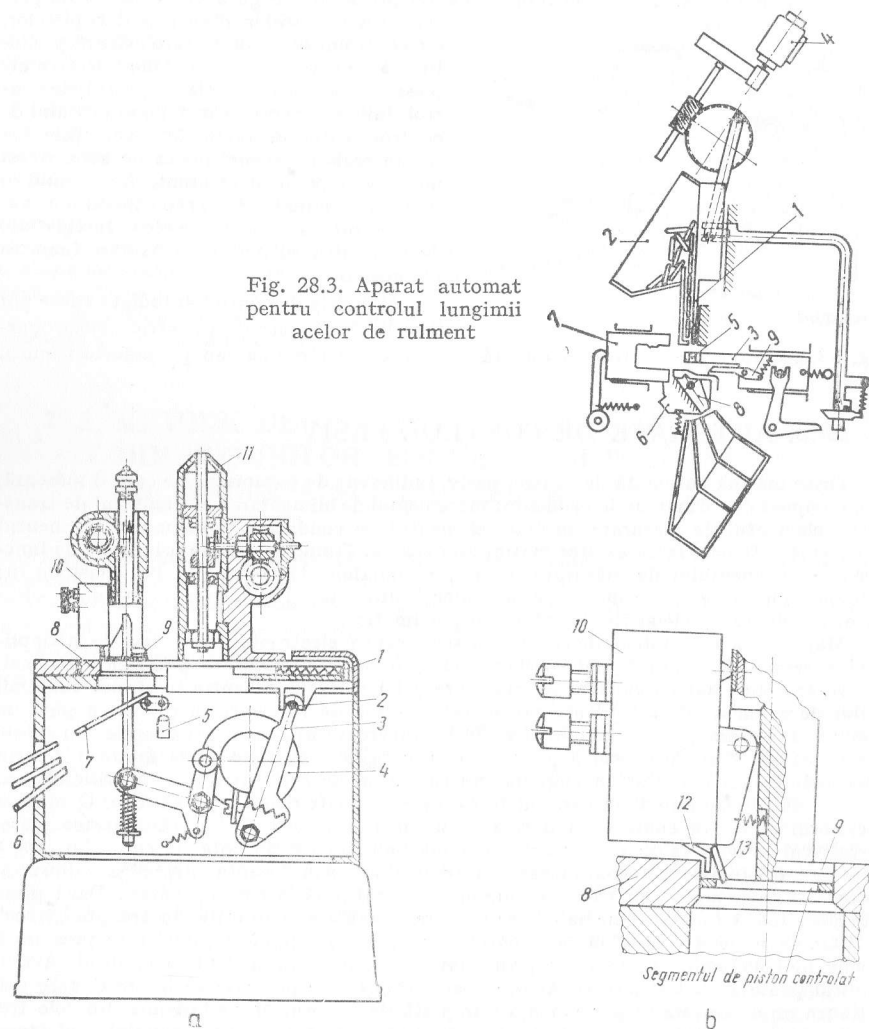


Fig. 28.4. Aparat cu contact electric pentru controlul grosimii radiale a segmentelor de piston

acestui aparat. Controlul se face pe grosimea radială cu sortarea pe trei grupe. Segmentii controlați se montează pe paharul rotitor 11. Segmentul inferior este comprimat de căruciorul 1, care are o mișcare de du-te-vino transmisă de culisa 3 și bolțul de culisare 2 de la arborele principal al motorului electric 4. Segmentul este trimis cu căruciorul special 1 pînă la limitatorul 8, care formează cu căruciorul o circumferință închisă, în care

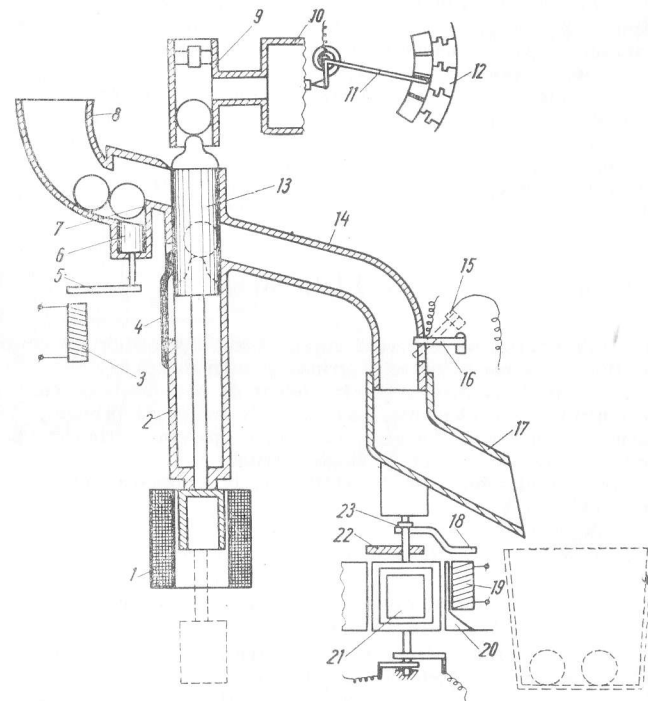


Fig. 28.5. Aparat automat pneumatic pentru sortarea bilelor de rulmenți în timpul rectificării

este comprimat segmentul de măsurat. Din această poziție, împingătorul-taler 9 trimite segmentul la poziția de măsurare. La înapoierea împingătorului-taler, traductorul cu contact electric 10 intră în poziția de măsurare, cu palpatorul fix 12 și cel mobil 13. Palpatorul mobil palpează segmentul de controlat pe diametrul interior. Electromagnetul 5 comandă poziția limitatorului 7. Limitatorul se așază în diverse poziții, corespunzând în înălțime jgheaburilor 6. Productivitatea acestui automat ajunge pînă la 2 000 segmente/oră.

Aparat automat cu element de măsurare primar pneumatic pentru sortarea bilelor de rulmenți. Principiul de funcționare a acestui aparat este prezentat în fig. 28.5.

În dispozitivul de încărcare 8 de tip pîlnie, bila este reținută de proeminența 7. Periodic, se pune în funcțiune electromagnetul 3, care, prin intermediul pîrghiei 5 și împingătorul 6, ridică bila, ce se rostogolește apoi, sub acțiunea greutății proprii, în tubul 2, unde este reținută de arcul 4. Apoi se pune în funcțiune solenoidul 1 care ridică transportorul 13, împreună cu bila, în ajutorul 9 al traductorului pneumatic cu membrană 10. În funcție de dimensiunea bilei, presiunea din traductor va crește sau se va micșora, deformînd membrana ce modifică poziția pîrghiei 11, a cărei perie închide un contact al reostatului 12. Astfel se emite semnalul pentru dispozitivul de sortare, format din jgheabul rotitor 17. După măsurare, electromagnetul 1 este scos din funcțiune, transportorul 13 coboară, arcul 4 împinge bila în țeava 14, unde, la căderea ei, rotește pîrghia 16, ce închide contactul 15, punînd în funcțiune prin aceasta electromagnetul 3, procesul de măsurare reîncepînd. Mai departe bila se dirijează pe jgheabul rotitor 17 spre colectorul respectiv. Rotirea jgheabului se realizează datorită acțiunii reciproce dintre bobina 21 și magnetul 20. Poziția jgheabului se fixează cu ajutorul electromagnetului 19 și a pîrghiei 18 care se sprijină pe opritorul 22 și apasă pe discul 23.

Automatul este calculat pentru sortarea bilelor pe grupe la intervale de  $0,5 \mu\text{m}$ .

## 28.4. AUTOMATE DE CONTROL ACTIV

Prin acest tip de control se realizează suprapunerea operațiilor de control cu cele tehnologice, existînd între ele o legătură strînsă și permanentă.

Un aparat automat de control activ, indiferent de parametrii pe care îi măsoară, este compus din următoarele elemente: elementul de măsurare primar; elementul de comandă; elementul de execuție. La cele mai simple aparate, ultimele două elemente lipsesc, fiind înlocuite de operatorul de lingă mașină.

În decursul procesului tehnologic de rectificare, funcționarea acestor aparate este continuă sau discretă.

Ținînd seama de principiul de funcționare al elementului de măsurare primar, aparatele de control activ se pot clasifica în aparate cu elemente de măsurare mecanice, electrice sau pneumatice.

Aparatele de control activ sînt montate direct pe mașina de rectificat (în majoritatea cazurilor chiar pe apărătoarea pietrei).

Majoritatea acestor aparate este dotată și cu aparatură electronică pentru amplificarea semnalelor date de elementele primare, în vederea executării diferitelor comenzi.

**Aparate cu elemente de măsurare mecanice.** Sînt folosite, în special, pentru controlul dimensiunilor diametrelor exterioare și interioare. Contactul cu piesa se realizează prin intermediul unor pîrghii, care sînt prevăzute la capete cu virfuri din materiale dure sau diamant. Variația dimensiunilor piesei este transmisă de deplasarea pîrghiilor, la un aparat indicator, înregistrator sau la niște contacte electrice prin care se transmite impulsuri de comandă, pentru modificarea avansului în vederea finisării și îndepărtării pietrei cînd s-a atins cota finală. Virfurile de contact cu piesa pot fi unu, două sau trei.

**Aparate cu elemente de măsurare electrice.** În fig. 28.6 este prezentat principiul de funcționare al unui aparat din această categorie, la care elementul de măsurare primar este format dintr-un traductor inductiv. Variația reluctanței circuitului magnetic se realizează prin deplasarea pîrghiilor solidare cu armăturile acestui circuit. Pîrghiile sînt dotate cu virfuri de diamant care vin în contact cu piesa de rectificat. Cînd cota dorită a fost atinsă, semnalul electric este transmis unui amplificator care acționează sistemul hidraulic de retragere a pietrei de rectificat.

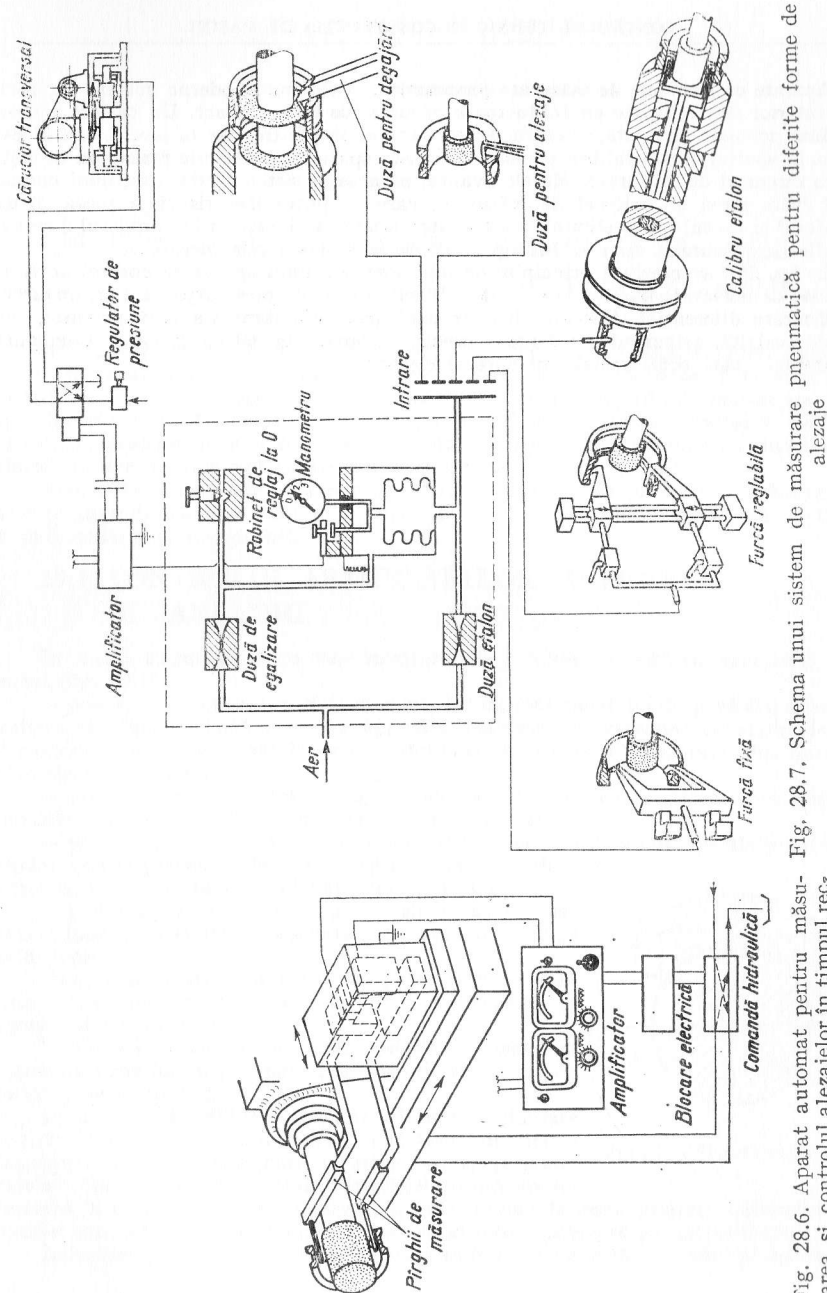


Fig. 28.6. Aparat automat pentru măsurarea și controlul alezajelor în timpul rectificării, cu traductor inductiv.

Fig. 28.7. Schema unui sistem de măsurare pneumatică pentru diferite forme de alezaje

**Aparate cu elemente de măsurare pneumatice.** Cele mai moderne mașini de rectificat interior sînt echipate cu traductoare pneumatice fără contact. Un calibrul tampon sau duze speciale cu ajutoare pentru ieșirea aerului sînt introduse în alezaj. Aerul este refulat în spațiul dintre calibrul și piesă. Mărimea spațiului constituie rezistența de ieșire pentru circuitul de măsurare. Marele avantaj al acestor sisteme este lipsa unui contact direct între piesă și calibrul de măsurare, care ar putea lăsa rizuri pe piesă și uza palpatorului și faptul că se elimină posibilitatea apariției vibrațiilor la contactul direct cu virfurile de măsurare, cum se întîmplă adesea la dispozitivele mecanice.

În fig. 28.7 se prezintă principiul de funcționare a unui aparat de control activ cu elemente de măsurare pneumatice, pentru diferite forme de piese. Aparatul are un circuit de măsurare diferențial. Sistemul funcționează prin echilibrarea a două presiuni, una față de cealaltă, asigurînd o măsurare precisă, aproape la fel ca în cazul unei punți Wheatstone, care echilibrează doi curenți electrici.

## 29. CONTROLUL ASAMBLĂRILOR ȘI AL PIESELOR DE FORMĂ COMPLEXĂ

Pe lângă obiectivele urmărite prin control asupra pieselor simple, individual considerate, în cazul pieselor complexe sau în cel al pieselor montate apar parametri suplimentari, datorăți complicării de formă sau condițiilor de montaj. Obiectivele asupra cărora se îndreaptă controlul sînt: precizia de prelucrare privitoare la parametrii de formă complexă; precizia poziției reciproce a axelor și suprafețelor pieselor montate; echilibrarea statică și dinamică a pieselor mobile; parametrii funcționali.

În scopul sistematizării, se expun obiectivele controlului asupra pieselor subansamblurilor și ansamblurilor la care se tratează în ordine obiectele măsurărilor conținute în parametrii mai susamintiți.

### 29.1. CONTROLUL ASAMBLĂRILOR CU PENE ȘI CANELURI

În cazul asamblărilor cu pene longitudinale paralele se verifică următorii parametri (fig. 29.1):

- precizia dimensiunilor: lățimea penei  $b_p$ ; lățimea canalului de pană din arbore  $b_a$ ; lățimea canalului de pană din butuc  $b_b$ ; înălțimea penei  $h$ ; adîncimea canalului de pană din arbore  $t$ ; adîncimea canalului de pană din butuc  $t_1$ ; diametrul alezajului din butuc  $D$ ; diametrul arborelui  $d$ ;

- precizia formei geometrice: planitatea suprafețelor penei; planitatea suprafețelor canalelor; abaterile de formă geometrică alezaj și arbore;

- precizia poziției reciproce (la piesele individual considerate): paralelismul suprafețelor penei; perpendicularitatea suprafețelor canalelor; simetria canalului față de planul axial al piesei;

- precizia poziției reciproce (la piesele montate): bătaia radială și frontală a organului de mașină montat prin pene.

Măsurarea acestor parametri se poate face cu aparate universale de măsură, cu dispozitive anexe de așezare și de contact.

Verificarea cu calibre este mai comodă și poate să cuprindă simultan și parametrii de dimensiune și cei de formă geometrică (fig. 29.2).

În cazul asamblărilor cu caneluri dreptunghiulare (fig. 29.3) se verifică următoarele obiective: diametrul suprafeței cilindrice exterioare a arborelui  $d_1$  și a alezajului din butuc; diametrul suprafeței cilindrice interioare a arborelui  $d_2$  și a alezajului din butuc; lățimea pinului arborelui și canalului din butuc  $b$ ; pasul circular al canelurilor (măsurat pe un cilindru mediu).

Îndeosebi pentru asamblările canelate mobile se verifică în plus: abaterile de la

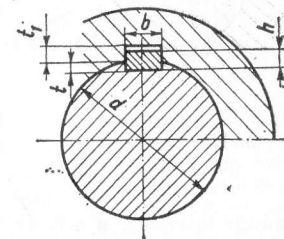


Fig. 29.1. Asamblare cu pană.

forma geometrică a arborelui și a alezajului pe suprafețele cilindrice; planitatea suprafețelor canelurilor pe arbore și alezaj.

De asemenea se verifică condițiile de precizie a poziției reciproce: paralelismul suprafețelor plane ale canelurilor pe arbore și alezaj; concentricitatea alezajului față de arbore, după montaj.

La asamblările canelate în evolută (fig. 29.4) se verifică: diametrul suprafeței cilindrice exterioare a arborelui  $d_1$  și a alezajului din butuc  $D_1$ ; diametrul suprafeței

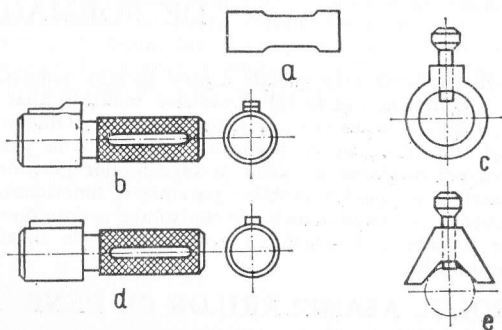


Fig. 29.2. Calibre pentru asamblări cu pană:  
a — calibrul-că pentru controlul lății canalului de pană;  
b — calibrul tampon cu pană în trepte pentru controlul adâncimii butucului; c — calibrul inel cu tijă în trepte pentru controlul adâncimii canalului arborelui; d și e — calibre pentru controlul simetriei la butuc, respectiv arbore

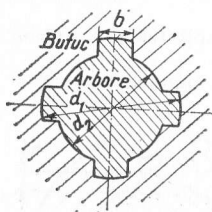


Fig. 29.3. Asamblare cu caneluri dreptunghiulare

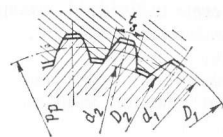


Fig. 29.4. Asamblare cu caneluri în evolută

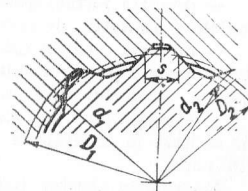


Fig. 29.5. Asamblare cu caneluri cu profil triunghiular

cilindrice interioare a arborelui  $d_2$  și a alezajului din butuc  $D_2$ ; diametrul primitiv  $d_a$ ; grosimea plinului  $t_s$ ; lățimea golului  $T_s$ ; unghiul profilului de bază al cremalierii de referință; lungimea  $L_n$  peste  $n$  dinți ai canelurii.

La asamblările canelate cu profil triunghiular (fig. 29.5) se verifică: diametrul exterior al arborelui  $d_1$  și al alezajului din butuc  $D_1$ ; diametrul interior al arborelui  $d_2$  și al alezajului din butuc  $D_2$ ; grosimea dinților  $S$  (măsurată pe diametrul mediu); unghiul flancurilor ( $2\alpha = 90^\circ; 72^\circ; 60^\circ$ ).

Verificarea acestor parametri se face după cum urmează: diametrele se controlează cu aparate universale, cu dispozitive speciale sau cu calibre; grosimile plinurilor cu aparate ca în fig. 29.6; erorile de pas (v. controlul roților dințate); profilul flancurilor

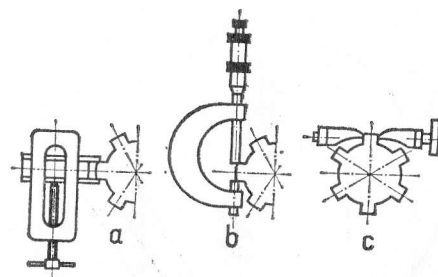


Fig. 29.6. Măsurarea grosimii canelurii:  
a — cu bloc de cale cu accesorii; b — cu micrometrul;  
c — cu optimetrul orizontal

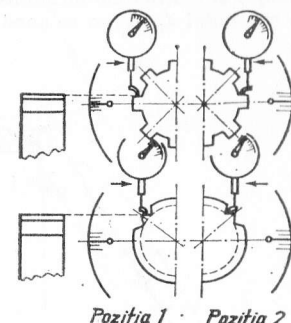


Fig. 29.7. Controlul profilului canelurilor

dinților dreptunghiulari și triunghiulari se controlează cu ajutorul unui cap divizor și unui comparator cu cadran (fig. 29.7).

În cazul canelurilor în evolută ca și la roțile dințate profilul se verifică cu evolvimetrul.

## 29.2. CONTROLUL FILETELOR

Pentru exemplificare se consideră filetul metric. În fig. 29.8. este reprezentată schema unei asamblări filetate cu cimpurile de toleranță ale șurubului și piuliței. Parametrii care se verifică sînt:

— Diametrul exterior nominal al asamblării ( $D$  la piuliță și  $d$  la șurub). Aceeași cotă o au: diametrul exterior minim admisibil al piuliței  $D_{min}$ ; diametrul exterior maxim admisibil al șurubului  $d_{max}$ . Pentru tolerarea lui  $D$ , respectiv  $d$ , se prevăd și cotele: diametrul exterior maxim admisibil al piuliței  $D_{max}$  (nu se condiționează) și diametrul exterior minim admisibil al șurubului  $d_{min}$ . Pe diametrul exterior, cele două piese perechi, șurubul și piulița, formează un ajustaj alunecător  $\frac{H}{h}$  avînd cimpurile de toleranțe:

$$T_D = D_{max} - D_{min}; \quad T_d = d_{max} - d_{min}.$$

— Diametrul mediu nominal al asamblării ( $D_2$  la piuliță și  $d_2$  la șurub). Aceeași cotă o au: diametrul mediu minim admisibil al piuliței  $D_{2min}$  și diametrul mediu maxim admisibil al șurubului  $d_{2max}$ . Pentru tolerarea lui  $D_2$ , respectiv  $d_2$ , se prevăd și cotele: diametrul mediu maxim admisibil al piuliței  $D_{2max}$  și diametrul mediu minim admisibil al șurubului  $d_{2min}$ . Pe diametrul mediu, cele două piese perechi, șurubul și piulița, formează un ajustaj alunecător  $\frac{H}{h}$  avînd cimpurile de toleranțe:

$$T_{D_2} = D_{2max} - D_{2min}; \quad T_{d_2} = d_{2max} - d_{2min}.$$



— Diametrul interior nominal al asamblării ( $D_1$  la piuliță și  $d_1$  la șurub). Aceeași cotă o are și diametrul interior maxim admisibil al șurubului  $d_{1max}$ . Pentru tolerarea lui  $D_1$ , respectiv  $d_1$ , se prevăd și cotele: diametrul interior maxim admisibil al piuliței  $D_{1max}$ ; diametrul interior minim admisibil al piuliței  $D_{1min}$ ; diametrul interior minim admisibil al șurubului  $d_{1min}$  (nu se condiționează). Pe diametrul interior, cele două piese perechi,

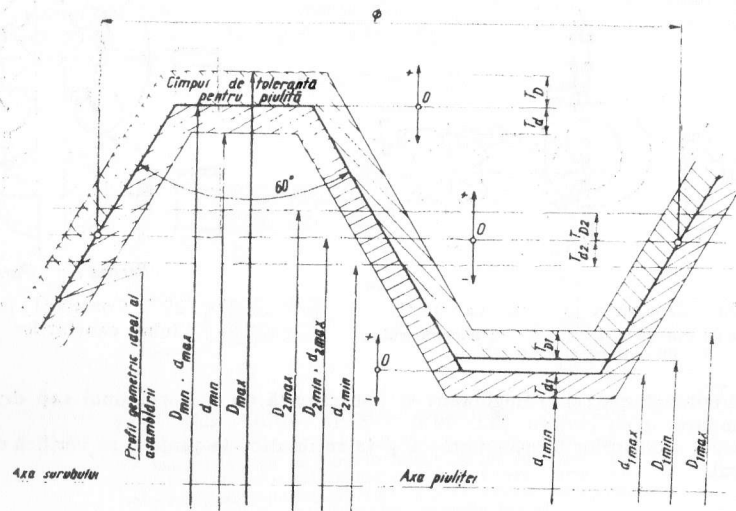


Fig. 29.8. Toleranțe ale filetului metric

șurubul și piulița, formează un ajustaj cu joc (corespunzător jocului la fund) în sistem arbore unitar, avînd cîmpurile de toleranță:

$$T_{D1} = D_{1max} - D_{1min}; T_{d1} = d_{1max} - d_{1min}.$$

Pe lângă aceste cote, se verifică: pasul filetului  $p$  și unghiul la vîrf ( $60^\circ$ ).

Pentru filetele de altă construcție, măsurarea și verificarea se face conform principiilor stabilite prin metodele consacrate.

### 29.3. CONTROLUL ANGRENAJELOR

Parametrii principali ai roților dințate și angrenajelor cu roți dințate cilindrice sînt dați în fig. 29.9. Din punct de vedere funcțional se urmăresc trei criterii de precizie (v. STAS 6273—60): precizia cinematică a roții; funcționarea lină a angrenajului; contactul dintre flancurile dinților. Notarea abaterilor diferitelor elemente pe produsul finit este dată în STAS 5013—64.

Parametrii principali ai roților dințate și angrenajelor cu roți dințate conice sînt dați în fig. 29.10. Analiza diferitelor erori ale elementelor roților dințate și angrenajelor cu roți dințate conice este dată în STAS 6460—61, iar notarea diferitelor elemente pe desenul produsului finit este dată în STAS 5996—64.

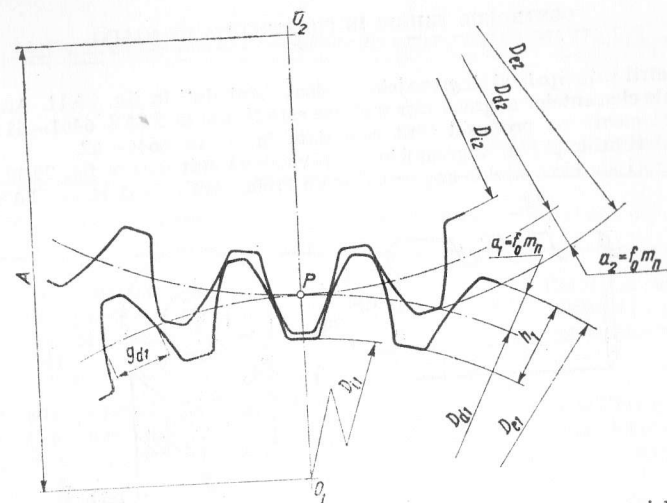


Fig. 29.9. Parametrii principali care se măsoară la angrenajele cilindrice

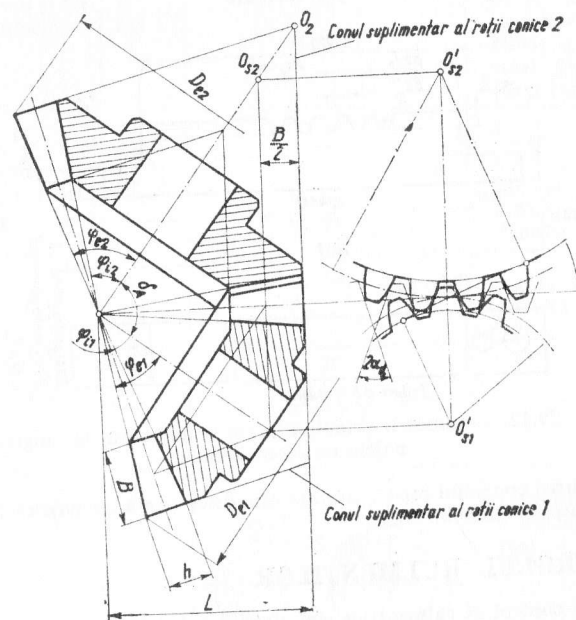


Fig. 29.10. Parametrii principali care se măsoară la angrenajele conice



Parametrii principali ai angrenajelor melcate sînt dați în fig. 29.11. Analiza diferitelor erori ale elementelor angrenajelor melcate este făcută în STAS 6461—61 iar notarea diferitelor elemente pe produsul finit este dată în STAS 6649—62.

Parametrii principali ai angrenajelor cu cremalieră sînt dați în fig. 29.12 iar analiza diferitelor erori ale elementelor angrenajelor cu cremalieră este dată în STAS 7395—66.

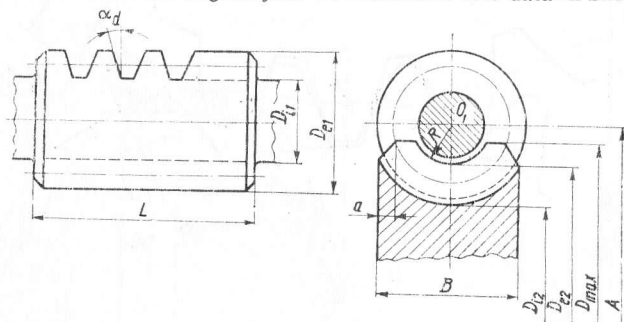


Fig. 29.11. Parametrii principali care se măsoară la angrenajele melcate

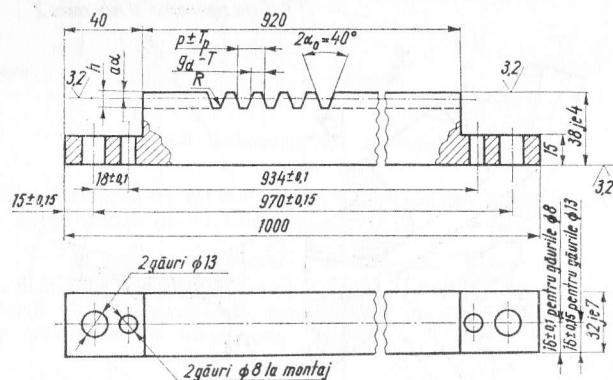


Fig. 29.12. Parametrii principali care se măsoară la angrenajele cu cremalieră

Mijloacele pentru controlul roților dințate cilindrice și a angrenajelor cu roți dințate cilindrice sînt date în tabelul 29.1.

## 29.4 CONTROLUL RULMENȚILOR

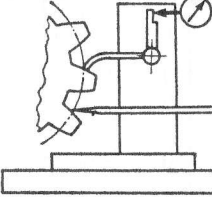
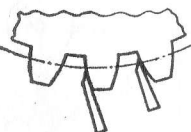
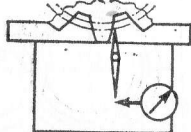
Parametrii de control ai rulmenților sînt dați în tabelul 29.2. Pentru ansamblurile cu rulmenți, cîmpurile de toleranțe pentru arbori sînt date în tabelul 29.3, iar pentru carcase în tabelul 29.4 (STAS 6671—67).

Tabelul 29.1

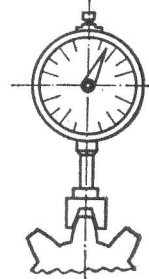
### Controlul angrenajelor cilindrice

Poz.	Parametrul	Simbolul	Schema de control	Metodele și mijloacele de control
1	Aspectul exterior, defecte grosolane pe suprafața roții și bavurii	—	—	Controlul vizual și examinare cu o lupă cu grosimetrul de 4 ×
2	Diametrul alezajului din butucul roții	$d$	—	Comparator de interior sau optimetru orizontal (la producția de serie mică) și calibre limitative (la producția de serie mare).
3	Lățimea roții și diametrul exterior	$B$ $D_e$	—	Șubler sau micrometru (la producția de serie mică) și calibre limitative (la producția de serie mare).
4	Lungimea (cota) peste $n$ dinți	$L_n$	—	Șubler cu precizie de 0,02 mm, micrometru special pentru roți dințate, portcoavă cu comparator
5	Bătaia radială a danturii	$B_r$		Aparat special cu comparator
6	Eroarea cinematică	$E_{cn}$		Instalație specială pentru verificarea erorii cinemate

Tabelul 29.1 (continuare)

Poz.	Parametrul	Simbolul	Schema de control	Metodele și mijloacele de control
7	Eroarea cumulată de pas	$E_{cp}$		Măsurarea variației pasului circular prin metoda colimației sau anticolimației și cu ajutorul pasmetrelor
8	Eroarea de rostogolire	$E_{rg}$	Ca la poz. 5 și 6	Ca la poz. 5 și 6
9	Eroare ciclică	$E_{cl}$	Ca la poz. 6	Ca la poz. 6, plus mecanismul de amplificare și mecanismul de înregistrare
10	Variația pasului	$V_p$	Ca la poz. 7	Ca la poz. 7
11	Abaterea pasului de bază	$A_{pb}$		Pasmetre staționare sau portabile și aparate universale
12	Eroarea formei profilului	$E_{fp}$		Evolventmetru cu discuri amovibile, evolventmetru universal, proiector, microscop universal, șabloane

Tabelul 29.1 (continuare)

Poz.	Parametrul	Simbolul	Schema de control	Metodele și mijloacele de control
13	Deplasarea suplimentară a profilului	$X_s$		Prin măsurarea cotei peste dinți, cu comparatorul cu planetar special, aparatul tangențial, șublerul pentru roți dințate sau microscopul optic
14	Variația distanței de măsurat dintre axe	$V_{Am}$		Aparat pentru verificarea complexă a roților dințate
15	Jocul dintre flancuri	$j$		Dispozitiv cu comparator
16	Pata de contact	$P_c$		Metoda petelor de vopsea
17	Eroarea direcției liniei de contact Eroarea rectilinității liniei de contact	$Elc$ $Er_{lc}$		Aparate universale pentru roți dințate și contactometre

Tabelul 29.2  
Controlul rulmenților

Parametru de controlat	Indicații suplimentare	Observații
Diametrul interior	—	Verificarea se face la toate tipurile de rulmenți. Controlul se face în cel puțin două planuri de măsurare, situate în afara țesăturilor inelului interior
Diametrul interior și conicitatea	—	Verificarea se face la rulmenți cu alezaj conic, controlul se face în două planuri de măsurare
Diametrul exterior	—	Verificarea se face la toate tipurile de rulmenți. Controlul se face în cel puțin două planuri situate în afara țesăturilor inelului exterior. Controlul se poate face și cu potcoave limitative sau la 300 mm cu aparate universale de măsurat

Tabelul 29.2 (continuare)

Parametru de controlat	Indicații suplimentare	Observații
Lățimea inelului interior	—	Verificarea se face la rulmenți radiali-axiali. Controlul se poate face și cu aparate universale de măsurat, în cel puțin trei puncte
Lățimea inelului exterior	—	Idem
Lățimea de montaj	—	Verificarea se face la rulmenți radiali axiali cu bile sau cu role conice
Paralelismul fețelor inelului interior	—	Verificarea se face la rulmenții radiali și radiali-axiali
Bătaia radială pe dorn a fețelor frontale ale inelului interior	—	Verificarea se face la rulmenții radiali cu role cilindrice, radiali-oscilanți cu bile sau role butoi, radiali cu bile, radiali-axiali cu role conice
Bătaia radială a inelului interior	Inelul interior se rotește, inelul exterior rămâne fix	Verificarea se face la rulmenții radiali cu role cilindrice, radiali-oscilanți cu bile sau role butoi, radiali cu bile, radiali-axiali cu bile sau role conice
Bătaia radială a inelului exterior la rulmenți radiali și radiali-axiali	Inelul exterior se rotește, inelul interior rămâne pe loc	Verificarea se face la rulmenții cu role cilindrice, radiali-oscilanți cu bile sau cu role butoi, radiali cu bile, radiali-axiali cu bile sau cu role conice
Bătaia laterală a căii de rulare a inelului interior la rulmenți radiali cu bile și radiali-axiali cu bile sau role conice	Inelul interior se rotește, inelul exterior rămâne fix	La rulmenții radiali cu role cilindrice și radiali-oscilanți cu bile sau cu role butoi nu se face această verificare
Bătaia laterală a căii de rulare a inelului exterior la rulmenții radiali cu bile și radiali-axiali cu bile sau cu role conice	Inelul exterior se rotește, inelul interior rămâne fix	Idem
Bătaia axială a căii de rulare la rulmenții axiali	Șaiba rulmentului se rotește	Rulmenții se așază pe trei puncte de sprijin. Palpatorul aparatului trebuie să fie pe verticala unuia dintre cele trei puncte de sprijin
Bătaia radială a căii de rulare la rulmenții axiali	Șaiba rulmentului se rotește	Idem

Tabelul 29.3

## Cimpuri de toleranțe pentru arbor

Caracteristicile generale ale condițiilor care determină alegerea toleranțelor			Diametrul interior al rulmentului, mm			Cimpurile de toleranță recomandate
Dacă se rotește arborele	Felul încărcării inelului interior	Regimul de lucru	Rulmenți radiali	Rulmenți radiali-axiali	Cu role	
Nu se rotește	Încărcare locală	Ușor sau normal	Toate diametrele			g6(js2)
		Normal sau greu Este posibilă depășirea inelului de-a-lungul arborelui	Toate diametrele			s7(js2) i7(js2)
Se rotește	Încărcare circulară	Ușor sau greu	Toate diametrele			h6(js2)
			< 40	< 18	—	i6(ta2); k6(tb2)
			—	—	< 100	i6(ta2) k6(tb2)
			> 40	< 100	—	k6(tb2) k5(tb1)
			—	—	> 100	k6(tb2)
			—	< 250	—	m6(tc2)
			—	—	< 250	m6(tc2)

Caracteristicile generale ale condițiilor care determină alegerea toleranțelor			Denumirea mașinilor și subsansamblurilor cu rulmenți		Diametrul interior al rulmen- tului, mm			Cimpurile de toleranță recomandate	
Dacă se rotește sau nu arborele	Felul încărcării inelului interior	Regimul de lucru			Rulmenți radiali		Rulmenți radiali-axiali	Cu role	Cu bile
					Cu bile	Cu role			
Se rotește	Încărcare circulantă	Normal sau greu. Este posibilă deplasarea inelului de-a lungul arborelui	Motoare electrice până la 100 kW, turbine, mecanisme bielă-manivelă, cutii de viteze pentru automobile și tractoare, arbori principali de la mașini-unelte, reductoare grele		<100	<40	—	—	k6(tb2) k5(tb1)
					—	—	<100	>40	k6(tb2)
					>100	<180	—	—	m6(tc2) m5(tc1)
					—	<250	—	—	n6(td2) n5(td1)
Sarcină exclusiv axială	Încărcare locală sau oscilantă	Greu (sarcini cu șoc)	Cutii de unsoare pentru osiile vagoanelor de căi ferate și tramvaie, arbori cotiți, motoare electrice peste 100 W, rolele transportoarelor de la mașini-unelte grele, roțile de rulare ale podurilor rulante		<100	<40	<100	<100	k5(tb1) k6(tb2)
					>100	<200	>100	<180	m5(tc1) m6(tc2)
					—	<250	—	<250	n6(td2) n5(tb1)
					—	—	—	—	h9(je4)
Sarcină exclusiv axială	Încărcare locală	Normal	Cutii de unsoare pentru osiile vagoanelor de cale ferată și tramvaie		Rulmenți pe bușe de tracți până la orice diametru (STAS 6196-60)			h9(je4)	
					Rulmenți pe bușe de strângere diametru (STAS 5814-66)			h9(je4)	
					Toate diametrele			j6(ta2)	

Observație. Recomandările făcute diferă de cele ale fabricii de rulmenți, SKF.

Tabelul 29.4

## Cimpuri de toleranțe pentru carcase de rulmenți (STAS 6671-67)

Caracteristicile generale ale condițiilor care determină alegerea toleranțelor			Denumirea mașinilor și asamblărilor pentru rulmenți	Cîmpurile de toleranțe recomandate
Dacă se rotește sau nu	Felul încărcării inelului exterior	Regimul de lucru		
Se rotește	Încărcare circulantă	Greu la carcase cu pereți subțiri	Roțile dințate ale automobilelor, tractoarelor, roțile avioanelor	P7
		Normal sau greu	Roțile transportoarelor cu role, rulmenții arborilor cotiți, roțile de rulare ale podurilor rulante	N7(TD2)
		Normal	Rolele transportoarelor cu role de întindere	M7(TC2) K7(TB2)
		Greu sau normal	Rulmenții arborilor principali ai mașinelor-unelte grele (de alezat frezat)	M6(TC1) K6(TB1)
Nu se rotește	Încărcare locală	Greu sau normal (deplasarea inelului de-a lungul arborilor este imposibilă)	Rulmenți cu role cilindrice la cutiile de viteze și diferențiale ale automobilelor și tractoarelor	K7(TB2) M7(TC2) J7(TA2)
	Încărcare locală sau oscilantă	Greu sau normal	Rulmenții arborilor principali ai mașinilor de rectificat (rulmenții din față). Rulmenții fusurilor principale ale arborilor cotiți	K6(TB1) J6(TA2)
	Încărcare locală	Normal	Pompe centrifuge, ventilatoare centrifuge. Rulmenți pentru arborii mașinilor-unelte	J7(TA2) J6 (TA1)



Tabelul 29 4 (continuare)

Caracteristicile generale ale condițiilor care determină alegerea toleranțelor			Denumirea mașinilor și asamblărilor pentru rulmenți	Cîmpurile de toleranțe recomandate
Dacă se rotește sau nu	Felul încărcării inelului exterior	Regimul de lucru		
Nu se rotește	Încărcare locală	Greu sau normal	Majoritatea ansamblurilor pentru rulmenții din construcții de mașini și pentru cutiile de unsoare la osiile vagoanelor de tramvaielor	H7(JE2)
		Normal sau ușor (din două bucăți)	Axe și noduri din transmisii care nu pretind precizie de rotație, mașini agricole	H7(JE2) H8(E4)

Observație. Recomandările făcute diferă de cele SKF.

## BIBLIOGRAFIE

- BOVSUNOVSKI, I. I. ș.a. *Mecanizarea și automatizarea operațiilor de control în construcția de mașini*. București, Editura tehnică, 1963.
- EGOROV, M. E. ș.a. *Tehnologia mașinostroieniei*. Moscova, Vișșiaia șkola, 1965.
- GERU, N. *Proprietățile metalelor și metode de control*. București, Editura didactică și pedagogică, 1967.
- GRIGORIEV, I. A. *Controlul dimensiunilor în construcția de mașini*. București, Editura tehnică, 1961.
- KOVAN, V. M. ș.a. *Osnovî tehnologii mașinostroieniei*. Moscova, Mașinostroenie, 1965.
- LĂZĂRESCU, I. ș.a. *Toleranțe și măsurări tehnice*. București, Editura didactică și pedagogică, 1969.
- NĂDĂȘAN, ST. ș.a. *Încercări și analize de metale*. București, Editura tehnică, 1965.
- PICOȘ, C. ș.a. *Tehnologia construcției de mașini*. Îndrumar. București, Editura didactică și pedagogică, 1964.
- POPESCU, D. *Realizări noi în tehnica ambalajului*. București, I.D.T., 1967.
- \* \* \* *Aspecte moderne și mijloace mecanizate și automatizate de control a calității producției*. București, I.D.T., 1967.

Bun de tipar: 19.09.1972. Coli de tipar 67.  
Tiraj 8.300+140+30 exemplare legate C.Z. 621(022)



Tiparul executat sub comanda  
nr. 2297 la  
Întreprinderea poligrafică  
„13 Decembrie 1918”  
str. Grigore Alexandrescu nr. 89-97.  
București.  
Republica Socialistă România.